FRANK H. NETTER, MD

www.labibliotecamedica.org
"Donde se prestan los libros para siempre"

Atlas de Anatomía Humana

4.ª Edición





Atlas de

Anatomía Humana

Consulting editors

Jennifer K. Brueckner, PhD
Assistant Professor
Department of Anatomy and Neurobiology
University of Kentucky College of Medicine
Lexington, Kentucky

Stephen W. Carmichael, PhD, DSc
Professor
Departments of Anatomy and Orthopedic Surgery
Mayo Clinic
Rochester, Minnesota

Thomas R. Gest, PhD
Associate Professor
Division of Anatomical Sciences and Department of Medical Education
University of Michigan Medical School
Ann Arbor, Michigan

Noelle A. Granger, PhD
Professor
Department of Cell and Developmental Biology
University of North Carolina School of Medicine
Chapel Hill, North Carolina

John T. Hansen, PhD
Professor of Neurobiology and Anatomy
Associate Dean for Admissions
University of Rochester School of Medicine and Dentistry
Rochester, Nueva York

Anil H. Walji, MD, PhD
Professor and Director, Division of Anatomy
Professor of Radiology and Diagnostic Imaging
Professor of Surgery
Faculty of Medicine and Dentistry
University of Alberta
Edmonton, Alberta, Canadá

Atlas de Anatomía Humana



Cuarta edición

Frank H. Netter, MD

ELSEVIER
MASSON

Ámsterdam Barcelona Beijing Boston Filadelfia Londres Madrid
México Milán Múnich Orlando París Roma Sídney Tokio Toronto

Es una publicación

ELSEVIER
MASSON

Edición en español de la 4.ª ed. de la obra original en inglés
Atlas of Human Anatomy

Copyright © MMVI by Saunders, an imprint of Elsevier Inc.

Traducción y revisión científica
Dr. Víctor Götzens García
Profesor Titular de Anatomía Humana,
Facultad de Medicina, Universitat de Barcelona



Primera edición	1996
Reimpresiones	1997, 1999
Segunda edición	1999
Reimpresiones	2000 (2), 2001 (2), 2002
Tercera edición	2003
Reimpresiones	2004, 2005, 2006, 2007

© 2007 Elsevier Doyma, S.L.
Es una publicación **MASSON**
Travessera de Gràcia 17-21 - 08021 Barcelona (España)

Fotocopiar es un delito (Art. 270 C.P.)
Para que existan libros es necesario el trabajo de un importante colectivo (autores, traductores, dibujantes, correctores, impresores, editores...). El principal beneficiario de ese esfuerzo es el lector que aprovecha su contenido.
Quien fotocopia un libro, en las circunstancias previstas por la ley, delinque y contribuye a la «no» existencia de nuevas ediciones. Además, a corto plazo, encarece el precio de las ya existentes.
Este libro está legalmente protegido por los derechos de propiedad intelectual. Cualquier uso fuera de los límites establecidos por la legislación vigente, sin el consentimiento del editor, es ilegal. Esto se aplica en particular a la reproducción, fotocopia, traducción, grabación o cualquier otro sistema de recuperación de almacenaje de información.

ISBN edición original: 978-0-8089-2379-4
ISBN edición española: 978-84-4581-759-9

Composición y compaginación: A. Parras

Advertencia
La medicina es un área en constante evolución. Aunque deben seguirse unas precauciones de seguridad estándar, a medida que aumenten nuestros conocimientos gracias a la investigación básica y clínica habrá que introducir cambios en los tratamientos y en los fármacos. En consecuencia, se recomienda a los lectores que analicen los últimos datos aportados por los fabricantes sobre cada fármaco para comprobar la dosis recomendada, la vía y duración de la administración y las contraindicaciones. Es responsabilidad ineludible del médico determinar las dosis y el tratamiento más indicado para cada paciente, en función de su experiencia y del conocimiento de cada caso concreto. Ni los editores ni los directores asumen responsabilidad alguna por los daños que pudieran generarse a personas o propiedades como consecuencia del contenido de esta obra.

El editor

A mi querida esposa, Vera

Prólogo

La cuarta edición del *Atlas de Anatomía Humana* de Frank H. Netter ha sido actualizada por nuestro equipo de *consulting editors,* formado por Jennifer K. Brueckner, Stephen W. Carmichael, Thomas R. Gest, Noelle A. Granger, John T. Hansen y Anil H. Walji. Cada uno de nosotros ha revisado, modificado y puesto al día una sección del *Atlas.* Se han incorporado imágenes de nuevas radiografías, tomografías computarizadas (TC), arteriografías mediante TC y resonancias magnéticas (RM), que reflejan la importancia del diagnóstico por la imagen en la anatomía y la medicina clínica. En esta edición se han revisado 45 láminas a fin de mostrar más adecuadamente las relaciones anatómicas, 290 láminas se han escrito de nuevo por lo que hace a las leyendas, y 17 láminas son completamente nuevas. Las nuevas y admirables ilustraciones que se incluyen en esta edición se deben a Carlos A. G. Machado, MD, que ha contribuido a las ilustraciones del fondo Netter desde hace más de 10 años. La nomenclatura anatómica ha sido actualizada, incluyéndose los términos clínicos y los epónimos de uso corriente entre paréntesis. La genialidad de las ilustraciones del Dr. Netter radica en que la anatomía es reflejada con claridad y realismo, de forma relevante a la práctica clínica y manteniendo el equilibrio entre la complejidad y el exceso de simplificación. Hemos intentado mantener estos principios en la concepción de las nuevas láminas de esta edición. Finalmente, algunas láminas se han cambiado de orden para facilitar las comparaciones, en páginas contiguas, de los elementos ilustrados más comunes. Esta cuarta edición debe mucho a los *consulting editors* de ediciones previas, los Dres. Sharon Colacino (Oberg) (1.ª edición), Arthur F. Dalley II (2.ª edición) y John T. Hansen (3.ª edición), que demostraron gran pericia y profesionalidad en su tarea, haciendo la nuestra significativamente más fácil.

La cabeza y el cuello son un área especialmente difícil de dominar para los estudiantes, residentes y profesores, debido no sólo al gran número de estructuras que se concentran en esta región relativamente pequeña del cuerpo, sino también a la complejidad de su organización anatómica en las tres dimensiones. El viejo dicho de que «hay más anatomía por encima del hioides que por debajo» plantea un reto sin igual a cualquiera que trate de representar la anatomía de esa región de forma simple, visualmente atractiva y clínicamente relevante. A esa sección se han añadido más de 10 láminas nuevas. Por primera vez, el espectacular trabajo de Carlos Machado ilustra estructuras de importancia clínica como las articulaciones uncovertebrales de las vértebras cervicales, las venas vertebrales y la intrincada vasculatura del ojo, por mencionar algunas, con brillantez artística, precisión anatómica y atractivo visual insuperables. Esta sección incluye un conciso repaso del sistema nervioso central, incluyendo los nervios craneales y vías centrales importantes.

En la sección sobre el dorso, una lámina nueva ilustra la correcta administración de un agente anestésico epidural lumbar, así como la localización para una punción lumbar o «punción espinal». Los nervios autónomos han sido tradicionalmente un problema para muchos estudiantes: los nuevos y excelentes dibujos del Dr. Machado sobre el sistema nervioso autónomo les servirán como nuevo recurso educativo para comprender estos difíciles conceptos.

La sección sobre el tórax presenta pequeñas correcciones terminológicas y sutiles modificaciones artísticas para reflejar más adecuadamente las características anatómicas más comunes. Por ejemplo, la representación del patrón del sistema venoso ácigos se ha modificado para reflejar la distribución más frecuente de estas venas, que pueden presentar amplias variaciones. La inclusión de imágenes de secciones transversales del tórax al final de esta sección refuerza la importancia del conocimiento de la anatomía seccional en la interpretación de imágenes de secciones transversales de RM y TC.

La sección sobre el abdomen ha sido la más extensamente revisada por lo que hace a líneas y leyendas. Por petición popular, la lámina que muestra las variaciones más frecuentes en las ramas de la arteria celíaca, que aparecía en la primera edición, se ha vuelto a incluir de nuevo.

La anatomía de la pelvis es un área especialmente difícil de enseñar y, debido a la profundidad y compacta organización anatómica de las estructuras internas, difícil de ilustrar. Las imágenes de Netter de la anatomía de la pelvis destacan por la claridad de su presentación y su amplia cobertura. Se ha eliminado un número muy pequeño de láminas para permitir la inclusión de ilustraciones de la fascia pélvica, una visión parasagital del ligamento ancho e imágenes de técnicas diagnósticas no patológicas (radiografías masculina y femenina, cistouretrografías e histerosalpingografía). Las imágenes comparadas de la anatomía pélvica masculina y femenina se han reorganizado para permitir compararlas una al lado de otra.

Por primera vez, se han incluido TC de arteriografías en las secciones sobre miembro superior y miembro inferior. Esta tecnología no sólo demuestra con claridad los vasos sanguíneos, sino que revela gráficamente sus puntos de referencia óseos. Los ligamentos del carpo se han ilustrado con mayor detalle

para reflejar su creciente importancia en las técnicas artroscópicas y otras aplicaciones de nuevas tecnologías en esa articulación.

Esperamos que disfrute con esta nueva edición del *Atlas de Anatomía Humana* y la encuentre útil para el estudio y la práctica profesional. Para la edición estándar y para dar mayor valor a la edición internacional del *Atlas,* hemos incluido el acceso a la dirección web www.netteranatomy.com. Registrándose en esa dirección web, usted tendrá acceso a material suplementario que ha sido organizado para ayudarle a comprender mejor la anatomía y su aplicación en la práctica clínica. Más información sobre la dirección web, que incluye el código PIN de acceso, puede encontrarse en la contracubierta de la portada del *Atlas.*

Jennifer K. Brueckner, PhD
Stephen W. Carmichael, PhD, Dsc
Thomas R. Gest, PhD
Noelle A. Granger, PhD
John T. Hansen, PhD
Anil H. Walji, MD, PhD

Agradecimientos

Ha sido un placer trabajar con los otros miembros del consejo editorial, Carlos Machado, MD, y el personal de Elsevier. Desearía expresar un especial agradecimiento a John Hansen, PhD, por darme la oportunidad de trabajar en este equipo editorial. Estoy en deuda con mi familia por el soporte y aliento que me han ofrecido.

Jennifer K. Brueckner, PhD

Quisiera dar las gracias a los especialistas de la Mayo Clinic que ayudaron a revisar las ilustraciones, especialmente Richard A. Berger, MD, PhD, Shawn W. O'Driscoll, MD, PhD, Enrique A. Sabater, MD, y Robert J. Spinner, MD.

Stephen W. Carmichael, PhD, DSc

Debo dar gracias a mi familia y especialmente a mi hija Madison y a mi hijo Taylor por su apoyo y comprensión durante el esfuerzo realizado en esta tarea editorial. Ha sido un placer trabajar con mis colegas del consejo editorial y con el personal de Elsevier. Ha sido un verdadero placer trabajar con el Dr. Carlos Machado en los cambios a las ilustraciones de esta 4.ª edición.

Thomas R. Gest, PhD

Estoy profundamente agradecida a mis colegas de la University of North Carolina School of Medicine: James Scatliff, MD, antiguo Chair del departamento de radiología, por su ayuda con las imágenes radiológicas, y O. W. Henson, PhD, Professor Emeritus of Anatomy, por sus sugerencias. Deseo expresar un especial agradecimiento a Carlos Machado, excepcional ilustrador cuyo talento hace que cualquier cambio requerido en las láminas originales sea al mismo tiempo impecable y bello.

Noelle A. Granger, PhD

Quisiera dar las gracias a Marybeth Thiel, *development editor,* a su extraordinario ilustrador médico el Dr. Carlos Machado y a todo el equipo editorial, de producción, diseño, ilustración y márketing de Elsevier por cuidar esta edición hasta el final. A todos nuestros estudiantes, pasados, presentes y futuros: este *Atlas* es para ellos. Finalmente a mi esposa, Paula, gracias por su amor y apoyo a lo largo de los años.

John T. Hansen, PhD

Quisiera dar las gracias a mi esposa, Parviz, y a mis hijas, Amreen y Farah, por su paciencia y constante apoyo y aliento durante mi implicación en este proyecto. Mi agradecimiento especial al Dr. Carlos Machado, a quien profeso la mayor admiración por su brillante trabajo artístico y con quien trabajar ha sido un enorme placer. También quisiera expresar mi sincero agradecimiento a todo el excelente personal de Elsevier, en particular a Linda Belfus por su ejemplar capacidad de liderazgo y a Anne Lenehan, Marybeth Thiel y Cecelia Bayruns por su arduo trabajo, paciencia y dedicación, sin los cuales este *Atlas* no habría sido posible. Finalmente, quisiera dar las gracias a mis compañeros coeditores y a todos los colegas que han ayudado en la revisión de las láminas, en particular a Pierre Lemelin, PhD, y Daniel Livy, PhD, cuyo examen meticuloso de la ilustración ha ayudado en gran parte a asegurar la precisión de la sección de cabeza y cuello de esta edición.

Anil H. Walji, MD, PhD

Prefacio a la primera edición

A menudo he dicho que mi carrera como artista de la medicina durante casi 50 años ha sido una forma de «cumplimiento de una orden», en el sentido de que se ha desarrollado en respuesta a los deseos y necesidades de la profesión médica. Durante todos estos años he realizado casi 4.000 ilustraciones, mayoritariamente para la *Colección CIBA* (ahora *Netter*) *de Ilustraciones Médicas,* pero también para *Clinical Symposia*. Estos dibujos están relacionados con la variedad de subdivisiones del conocimiento médico, como la anatomía macroscópica, histología, embriología, fisiología, patología, métodos diagnósticos, técnicas quirúrgicas y terapéuticas, y manifestaciones clínicas de una gran variedad de enfermedades. Sin embargo, con el paso de los años ha habido más y más peticiones de médicos y estudiantes para que realizase un atlas puramente de anatomía macroscópica. Así se ha originado este *Atlas,* no gracias a mi inspiración, sino, al igual que la mayoría de mis trabajos anteriores, para cumplir los deseos de la profesión médica.

Ello ha implicado volver atrás y repasar todas las ilustraciones que durante tantos años había realizado, seleccionar las referentes a anatomía macroscópica, clasificarlas y organizarlas por sistemas o regiones, adaptarlas al tamaño de las páginas y ordenarlas con una secuencia lógica. La anatomía, por supuesto, no cambia, pero nuestra comprensión de la anatomía y su significación clínica sí lo hacen, al igual que la terminología y la nomenclatura anatómicas. Todo ello requirió, por tanto, una gran adaptación de muchos de los dibujos más antiguos e incluso la revisión de gran número de éstos, a fin de hacerlos más adecuados a la visión actual siempre en expansión de la práctica médica y quirúrgica. Además, encontré que había vacíos en la representación gráfica del conocimiento médico, tal y como lo había dibujado en las ilustraciones anteriores, lo que precisó que realizase un número de dibujos nuevos que se incluyen en este volumen.

Al crear un atlas como éste, es importante conseguir un equilibrio adecuado entre la complejidad y la simplificación. Si los dibujos son demasiado complejos, pueden resultar difíciles y confusos al leerlos; si se sobresimplifican, es posible que no resulten definidos adecuadamente o sean incluso engañosos. Por tanto, he apostado por un término medio de realismo sin la confusión de las minuciosidades. Espero que los estudiantes y miembros de las profesiones médicas y paramédicas encontrarán las ilustraciones fácilmente comprensibles, a la vez que instructivas y útiles.

En un momento determinado, el editor y yo pensamos que sería interesante incluir un prólogo de un anatomista realmente sobresaliente y de prestigio, pero hay tantos en esta categoría, muchos de los cuales han colaborado conmigo en el pasado o se hallan ya citados en algún lugar de este volumen, que no pudimos llegar a elegir a uno. Pensamos en hombres como Vesalio, Leonardo da Vinci, William Hunter y Henry Gray, quienes, por supuesto, son desgraciadamente inaccesibles, aunque realmente me pregunto cuáles hubieran sido sus comentarios sobre este Atlas.

Frank H. Netter, M.D.
(1906-1991)



Frank H. Netter, MD

Frank H. Netter nació en la ciudad de Nueva York en 1906. Estudió arte en la Art Student's League y en la National Academy of Design antes de entrar en la Facultad de Medicina de la Universidad de Nueva York, donde se licenció en medicina en 1931. Durante sus años de estudiante, los esquemas de los apuntes del Dr. Netter atrajeron la atención de los profesores de la facultad y de otros médicos, lo cual le permitió aumentar sus ingresos ilustrando artículos y libros de texto. Después de establecer una clínica quirúrgica en 1933, continuó dibujando como actividad paralela, pero finalmente optó por dejar la práctica de la cirugía y dedicarse al arte a tiempo completo. Tras servir en el ejército estadounidense durante la Segunda Guerra Mundial, el Dr. Netter empezó su larga colaboración con la compañía farmacéutica CIBA (actualmente Novartis Pharmaceuticals). Esta asociación duró 45 años y dio como resultado una extraordinaria colección de ilustraciones bien conocidas por los médicos y otros profesionales de la salud del mundo entero.

Icon Learning Systems adquirió la Colección Netter en julio de 2000 y continuó poniendo al día la obra original del Dr. Netter, así como añadiendo nuevos dibujos encargados a artistas entrenados en el mismo estilo. En 2005, Elsevier Inc. compró la Colección Netter y todas las publicaciones de Icon Learning Systems. Existen actualmente más de 50 publicaciones de Elsevier Inc. en que figuran ilustraciones del Dr. Netter.

Los trabajos del Dr. Netter se encuentran entre los más bellos ejemplos del uso de la ilustración en la enseñanza de los conceptos médicos. Los 13 libros de la Colección Netter de ilustraciones médicas, que incluyen la mayor parte de los más de 20.000 dibujos creados por el Dr. Netter, fueron y siguen siendo uno de los trabajos médicos más famosos hasta ahora publicados. El Atlas de Anatomía Humana de Netter, publicado por primera vez en 1989, muestra los dibujos anatómicos de la Colección Netter. Traducido a 11 idiomas, es el atlas de anatomía de elección entre los estudiantes de medicina y los profesionales sanitarios de todo el mundo.

Estas ilustraciones se aprecian no sólo por sus cualidades estéticas sino, lo que es más importante, por su contenido intelectual. Como escribió el Dr. Netter en 1949, «… la clarificación de un tema constituye el objetivo y finalidad de la ilustración. No importa la belleza de la pintura, ni cuán delicada y sutil sea la representación del tema, ya que tendrá poco valor como ilustración médica si no sirve para esclarecer un determinado concepto». El planteamiento, concepción, punto de vista y enfoque del Dr. Netter son lo que da coherencia a sus dibujos y lo que los hace tan valiosos intelectualmente.

Frank H. Netter, MD, médico y artista, falleció en 1991.

Contenido

Sección 1 Cabeza y cuello

Anatomía de superficie	Lámina	1
Huesos y ligamentos	Láminas	2-22
Cara superficial	Láminas	23-26
Cuello	Láminas	27-35
Región nasal	Láminas	36-50
Región bucal	Láminas	51-62
Faringe	Láminas	63-73
Glándula tiroides y laringe	Láminas	74-80
Órbita y contenido	Láminas	81-91
Oído	Láminas	92-98
Meninges y encéfalo	Láminas	99-115
Nervios craneales y cervicales	Láminas	116-135
Vasculatura cerebral	Láminas	136-148
Exploraciones regionales	Láminas	149-151

Sección 2 Dorso y médula espinal

Anatomía de superficie	Lámina	152
Huesos y ligamentos	Láminas	153-159
Médula espinal	Láminas	160-173
Músculos y nervios	Láminas	174-180

Sección 3 Tórax

Anatomía de superficie	Lámina	181
Glándula mamaria	Láminas	182-184
Pared corporal	Láminas	185-195
Pulmones	Láminas	196-210
Corazón	Láminas	211-229
Mediastino	Láminas	230-241
Exploraciones regionales	Lámina	242
Anatomía seccional	Láminas	243-246

Sección 4 Abdomen

Anatomía de superficie	Lámina	247
Pared corporal	Láminas	248-267
Cavidad peritoneal	Láminas	268-274
Vísceras (intestino)	Láminas	275-285
Vísceras (órganos accesorios)	Láminas	286-299
Vasculatura visceral	Láminas	300-317
Inervación	Láminas	318-328
Riñones y glándulas suprarrenales	Láminas	329-347
Secciones abdominales	Láminas	348-349
Exploraciones regionales	Lámina	350

Sección 5 Pelvis y periné

Anatomía de superficie	Lámina	351
Huesos y ligamentos	Láminas	352-355
Suelo de la pelvis y contenido	Láminas	356-364
Vejiga urinaria	Láminas	365-368
Útero, vagina y estructuras de soporte	Láminas	369-375
Anatomía seccional	Lámina	376
Periné y genitales externos: mujer	Láminas	377-379
Periné y genitales externos: varón	Láminas	380-387
Estructuras homólogas de los genitales	Láminas	388-389
Testículo, epidídimo y conducto deferente	Lámina	390
Recto	Láminas	391-396
Exploraciones regionales	Lámina	397
Vasculatura	Láminas	398-408
Inervación	Láminas	409-417

Sección 6 Miembro superior

Anatomía de superficie	Lámina	418
Hombro y axila	Láminas	419-430
Brazo	Láminas	431-435
Codo y antebrazo	Láminas	436-451
Carpo y mano	Láminas	452-471
Inervación y vasculatura	Láminas	472-483
Exploraciones regionales	Lámina	484

Sección 7 Miembro inferior

Anatomía de superficie	Lámina	485
Cadera y muslo	Láminas	486-505
Rodilla	Láminas	506-512
Pierna	Láminas	513-522
Tobillo y pie	Láminas	523-537
Inervación y vasculatura	Láminas	538-546
Exploraciones regionales	Lámina	547

Sección 8 Anatomía seccional

Figuras clave para las secciones transversales	Lámina	548

Bibliografía

Índice alfabético

Contenido

Sección 1 Cabeza y cuello

Anatomía de superficie	Lámina	1
Huesos y ligamentos	Láminas	2-22
Cara superficial	Láminas	23-26
Cuello	Láminas	27-35
Región nasal	Láminas	36-50
Región bucal	Láminas	51-62
Faringe	Láminas	63-73
Glándula tiroides y laringe	Láminas	74-80
Órbita y contenido	Láminas	81-91
Oído	Láminas	92-98
Meninges y encéfalo	Láminas	99-115
Nervios craneales y cervicales	Láminas	116-135
Vasculatura cerebral	Láminas	136-148
Exploraciones regionales	Láminas	149-151

Sección 2 Dorso y médula espinal

Anatomía de superficie	Lámina	152
Huesos y ligamentos	Láminas	153-159
Médula espinal	Láminas	160-173
Músculos y nervios	Láminas	174-180

Sección 3 Tórax

Anatomía de superficie	Lámina	181
Glándula mamaria	Láminas	182-184
Pared corporal	Láminas	185-195
Pulmones	Láminas	196-210
Corazón	Láminas	211-229
Mediastino	Láminas	230-241
Exploraciones regionales	Lámina	242
Anatomía seccional	Láminas	243-246

Sección 4 Abdomen

Anatomía de superficie	Lámina	247
Pared corporal	Láminas	248-267
Cavidad peritoneal	Láminas	268-274
Vísceras (intestino)	Láminas	275-285
Vísceras (órganos accesorios)	Láminas	286-299
Vasculatura visceral	Láminas	300-317
Inervación	Láminas	318-328
Riñones y glándulas suprarrenales	Láminas	329-347
Secciones abdominales	Láminas	348-349
Exploraciones regionales	Lámina	350

Sección 5 Pelvis y periné

Anatomía de superficie	Lámina	351
Huesos y ligamentos	Láminas	352-355
Suelo de la pelvis y contenido	Láminas	356-364
Vejiga urinaria	Láminas	365-368
Útero, vagina y estructuras de soporte	Láminas	369-375
Anatomía seccional	Lámina	376
Periné y genitales externos: mujer	Láminas	377-379
Periné y genitales externos: varón	Láminas	380-387
Estructuras homólogas de los genitales	Láminas	388-389
Testículo, epidídimo y conducto deferente	Lámina	390
Recto	Láminas	391-396
Exploraciones regionales	Lámina	397
Vasculatura	Láminas	398-408
Inervación	Láminas	409-417

Sección 6 Miembro superior

Anatomía de superficie	Lámina	418
Hombro y axila	Láminas	419-430
Brazo	Láminas	431-435
Codo y antebrazo	Láminas	436-451
Carpo y mano	Láminas	452-471
Inervación y vasculatura	Láminas	472-483
Exploraciones regionales	Lámina	484

Sección 7 Miembro inferior

Anatomía de superficie	Lámina	485
Cadera y muslo	Láminas	486-505
Rodilla	Láminas	506-512
Pierna	Láminas	513-522
Tobillo y pie	Láminas	523-537
Inervación y vasculatura	Láminas	538-546
Exploraciones regionales	Lámina	547

Sección 8 Anatomía seccional

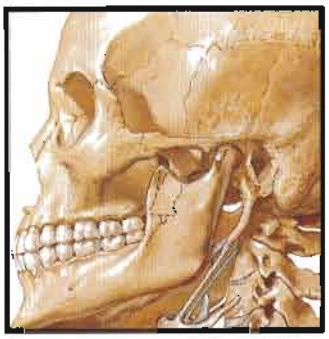
Figuras clave para las secciones transversales	Lámina	548

Bibliografía

Índice alfabético

Sección 1 Cabeza y cuello



Anatomía de superficie

Lámina 1

1 Cabeza y cuello

Huesos y ligamentos

Láminas 2–22

2 Cráneo: visión anterior
3 Cráneo: radiografía anteroposterior
4 Cráneo: visión lateral
5 Cráneo: radiografía lateral
6 Cráneo: sección sagital media
7 Calvaria
8 Base del cráneo: visión inferior
9 Huesos de la base del cráneo: visión superior
10 Agujeros de la base del cráneo: visión inferior
11 Agujeros de la base del cráneo: visión superior
12 Cráneo de recién nacido
13 Esqueleto óseo de cabeza y cuello
14 Base del cráneo: fosas pterigoideas
15 Mandíbula
16 Articulación temporomandibular
17 Vértebras cervicales: atlas y axis
18 Vértebras cervicales *(continuación)*
19 Vértebras cervicales: articulaciones uncovertebrales
20 Cambios degenerativos en vértebras cervicales
21 Ligamentos craneocervicales externos
22 Ligamentos craneocervicales internos

1 Cabeza y cuello

Cara superficial

Láminas 23–26

23 Arterias y venas superficiales de la cara y cuero cabelludo

24 Nervios cutáneos de la cabeza y cuello

25 Ramos del nervio facial y glándula parótida

26 Músculos de la expresión facial: visión lateral

Cuello

Láminas 27–35

27 Músculos del cuello: visión lateral

28 Músculos del cuello: visión anterior

29 Músculos suprahioideos e infrahioideos

30 Músculos escalenos y prevertebrales

31 Venas superficiales y nervios cutáneos del cuello

32 Plexo cervical in situ

33 Arteria subclavia

34 Arterias carótidas

35 Fascias del cuello

Región nasal

Láminas 36–50

36 Nariz

37 Pared lateral de la cavidad nasal

38 Pared lateral de la cavidad nasal *(continuación)*

39 Pared medial de la cavidad nasal (tabique nasal)

40 Arteria maxilar

41 Arterias de la cavidad nasal: tabique nasal reclinado hacia arriba

42 Nervios de la cavidad nasal: tabique nasal reclinado hacia arriba

43 Nervios de la cavidad nasal *(continuación)*

44 Inervación autónoma de la cavidad nasal

45 Nervios oftálmico (V_1) y maxilar (V_2)

46 Nervio mandibular (V_3)

47 Cavidad nasal y senos paranasales: sección transversal

48 Senos paranasales

49 Senos paranasales *(continuación)*

50 Senos paranasales: cambios con la edad

Región bucal

Láminas 51–62

51 Inspección de la cavidad bucal

52 Techo de la boca

53 Suelo de la boca

54 Músculos implicados en la masticación

55 Músculos implicados en la masticación *(continuación)*

56 Dientes

57 Dientes *(continuación)*

58 Lengua

59 Lengua *(continuación)*

60 Lengua y glándulas salivales: secciones

61 Glándulas salivales

62 Inervación aferente de la boca y faringe

Faringe

Láminas 63–73

63 Faringe: sección media (sagital)

64 Fauces

65 Músculos de la faringe: sección media (sagital)

66 Faringe: visión posterior abierta

67 Músculos de la faringe: visión posterior abierta parcialmente

68 Músculos de la faringe: visión lateral

69 Arterias de las regiones bucal y faríngea

70 Venas de las regiones bucal y faríngea

71 Nervios de las regiones bucal y faríngea

72 Vasos y nódulos linfáticos de la cabeza y cuello

73 Vasos y nódulos linfáticos de la faringe y lengua

Glándula tiroides y laringe

Láminas 74–80

74 Glándula tiroides: visión anterior

75 Glándula tiroides y faringe: visión posterior

76 Glándulas paratiroides

77 Cartílagos de la laringe

78 Músculos intrínsecos de la laringe

79 Acciones de los músculos intrínsecos de la laringe

80 Nervios de la laringe

Órbita y contenido

Láminas 81–91

81 Párpados

82 Aparato lagrimal

83 Fascias de la órbita y globo ocular

84 Músculos extrínsecos del ojo

85 Arterias y venas de la órbita y párpados

86 Nervios de la órbita

87 Globo ocular

88 Cámaras anterior y posterior del ojo

89 Lente y estructuras de soporte

90 Arterias y venas intrínsecas del ojo

91 Aporte vascular del ojo

Oído

Láminas 92–98

92 Vía de recepción del sonido

93 Oído externo y cavidad timpánica

94 Cavidad timpánica

95 Laberintos óseo y membranoso

96 Laberintos óseo y membranoso *(continuación)*

97 Orientación del laberinto en el cráneo

98 Trompa auditiva (faringotimpánica, de Eustaquio)

Meninges y encéfalo

Láminas 99–115

99 Meninges y venas diploicas

100 Arterias meníngeas

101 Hematoma epidural

102 Meninges y venas cerebrales superficiales

103 Senos venosos de la duramadre

104 Senos venosos de la duramadre *(continuación)*

105 Cerebro: visiones laterales

106 Cerebro: visiones mediales

107 Cerebro: visión inferior

108 Ventrículos del encéfalo

109 Circulación del líquido cerebroespinal (cefalorraquídeo)

110 Núcleos (ganglios) basales

111 Tálamo

112 Hipocampo y fórnix

113 Cerebelo

114 Tronco del encéfalo

115 Cuarto ventrículo y cerebelo

Nervios craneales y cervicales

Láminas 116–135

116 Núcleos de los nervios craneales en el tronco del encéfalo: esquema

117 Núcleos de los nervios craneales en el tronco del encéfalo: esquema *(continuación)*

118 Nervios craneales (distribución motora y sensitiva): esquema

119 Nervio olfatorio (I): esquema

120 Nervio óptico (II) (vía óptica): esquema

121 Nervios oculomotor (III), troclear (IV) y abducens (VI): esquema

122 Nervio trigémino (V): esquema

123 Nervio facial (VII): esquema

124 Nervio vestibulococlear (VIII): esquema

125 Nervio glosofaríngeo (IX): esquema

126 Nervio vago (X): esquema

127 Nervio accesorio (XI): esquema

128 Nervio hipogloso (XII): esquema

129 Plexo cervical: esquema

1 Cabeza y cuello

130 Nervios autónomos en el cuello
131 Nervios autónomos en la cabeza
132 Ganglio ciliar: esquema
133 Ganglios pterigopalatino y submandibular: esquema
134 Ganglio ótico: esquema
135 Vías gustativas: esquema

Vasculatura cerebral

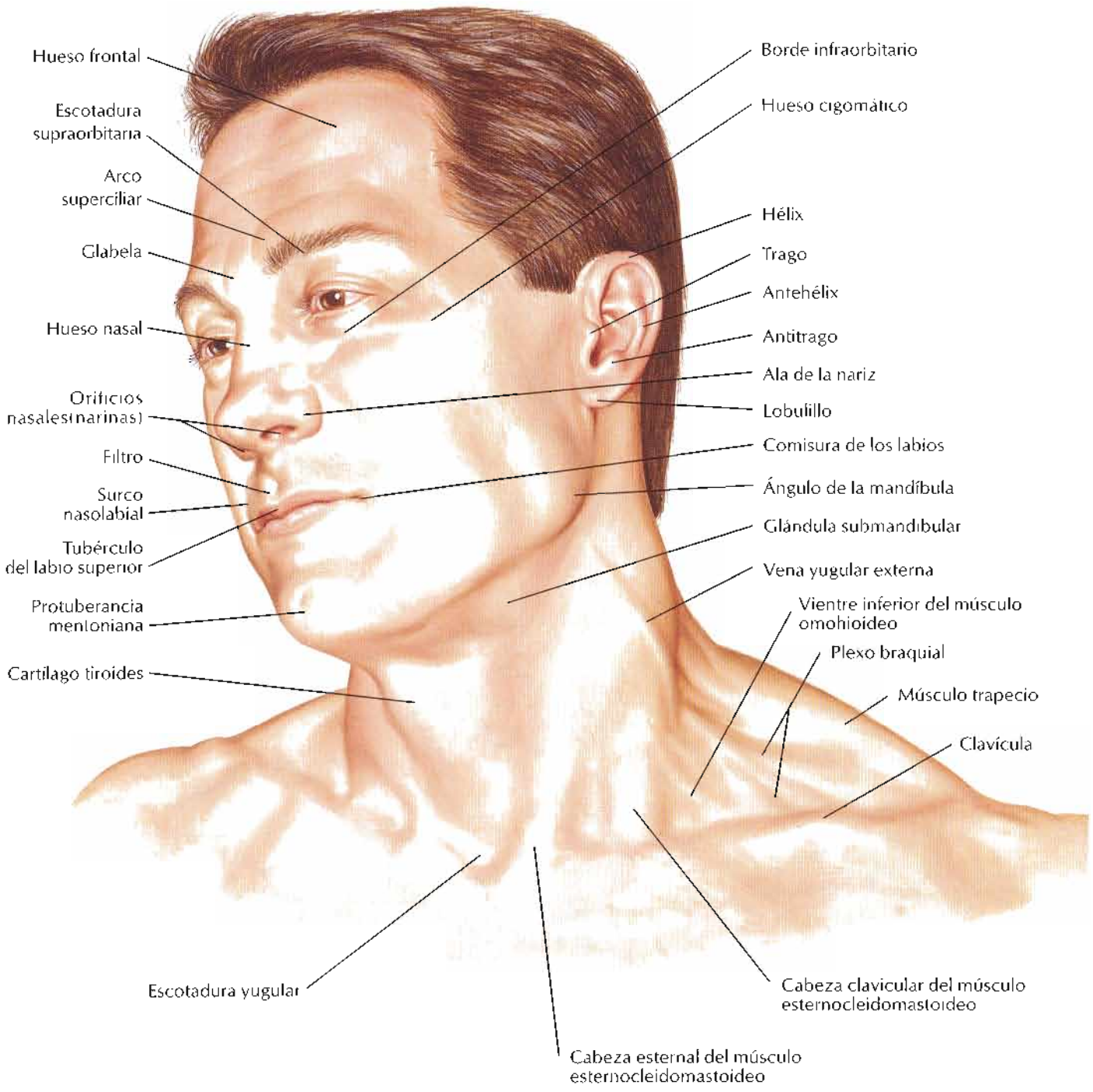
Láminas 136–148

136 Arterias del encéfalo y meninges
137 Venas de la columna vertebral: venas vertebrales
138 Arterias del encéfalo: esquema
139 Arterias del encéfalo: visiones inferiores
140 Círculo arterial del cerebro (de Willis)
141 Arterias del encéfalo: visión y sección frontales
142 Arterias del encéfalo: visiones lateral y medial
143 Arterias de la fosa craneal posterior
144 Venas de la fosa craneal posterior
145 Venas profundas del encéfalo
146 Venas subependimarias del encéfalo
147 Hipotálamo e hipófisis
148 Arterias y venas de hipotálamo e hipófisis

Exploraciones regionales

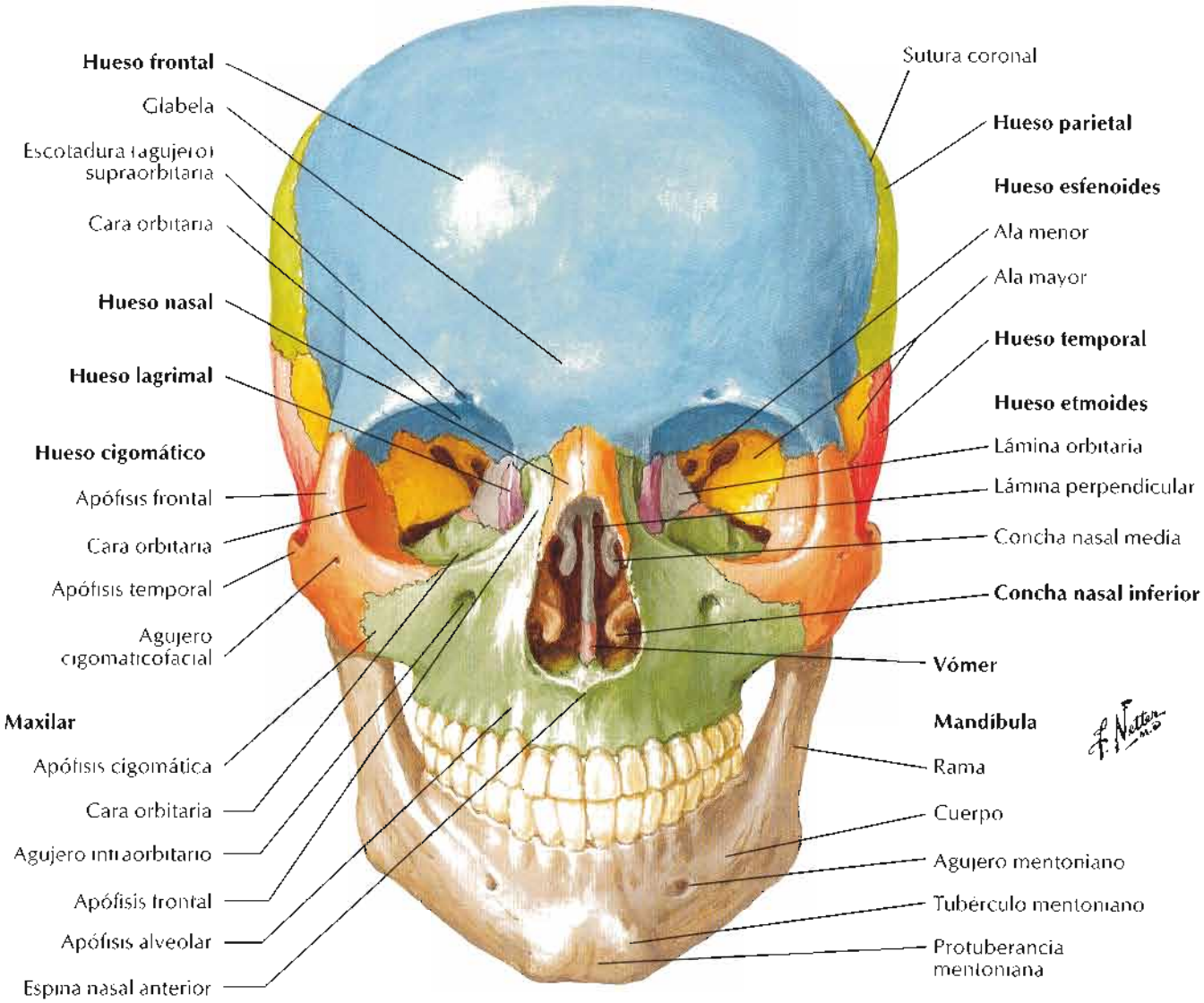
Láminas 149–151

149 Exploración de la cabeza: imágenes sagitales de RM
150 Exploración de la cabeza: imágenes axiales de TC
151 Exploración de la cabeza: imágenes coronales de TC

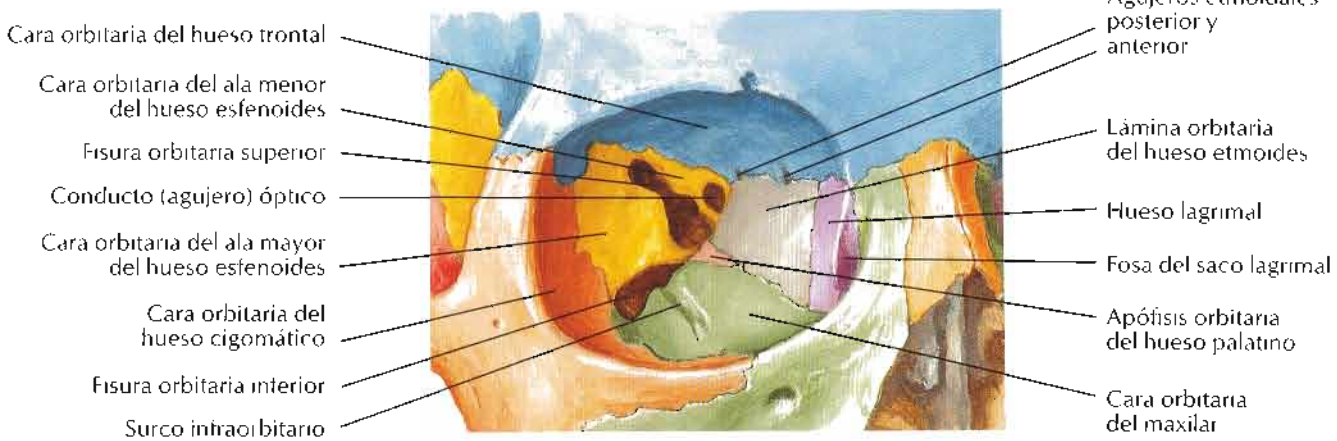

Hueso frontal
Escotadura supraorbitaria
Arco superciliar
Glabela
Hueso nasal
Orificios nasales(narinas)
Filtro
Surco nasolabial
Tubérculo del labio superior
Protuberancia mentoniana
Cartílago tiroides
Escotadura yugular
Borde infraorbitario
Hueso cigomático
Hélix
Trago
Antehélix
Antitrago
Ala de la nariz
Lobulillo
Comisura de los labios
Ángulo de la mandíbula
Glándula submandibular
Vena yugular externa
Vientre inferior del músculo omohioideo
Plexo braquial
Músculo trapecio
Clavícula
Cabeza clavicular del músculo esternocleidomastoideo
Cabeza esternal del músculo esternocleidomastoideo

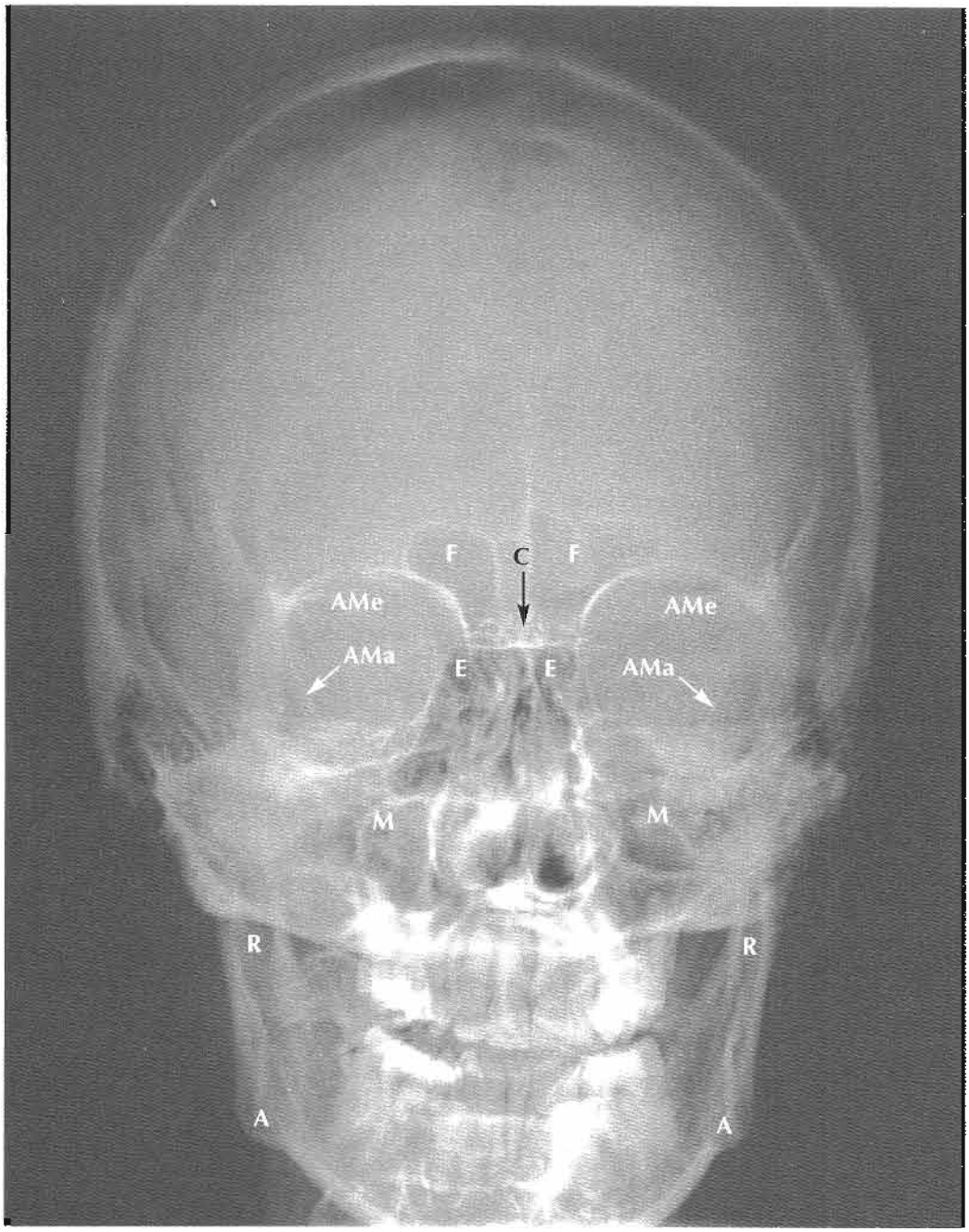
C. Machado MD

Cráneo: visión anterior



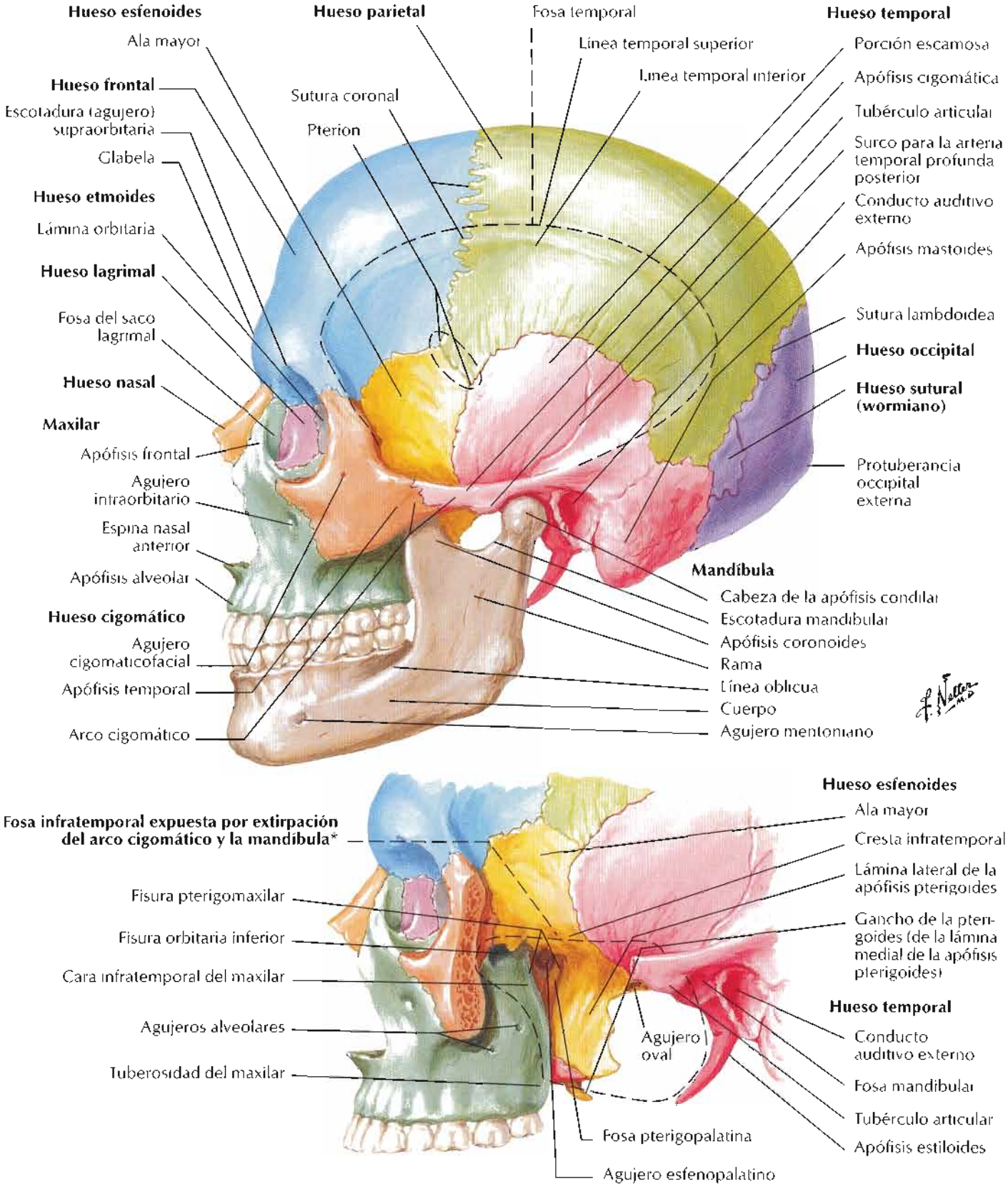
Órbita derecha: visión frontal y ligeramente lateral





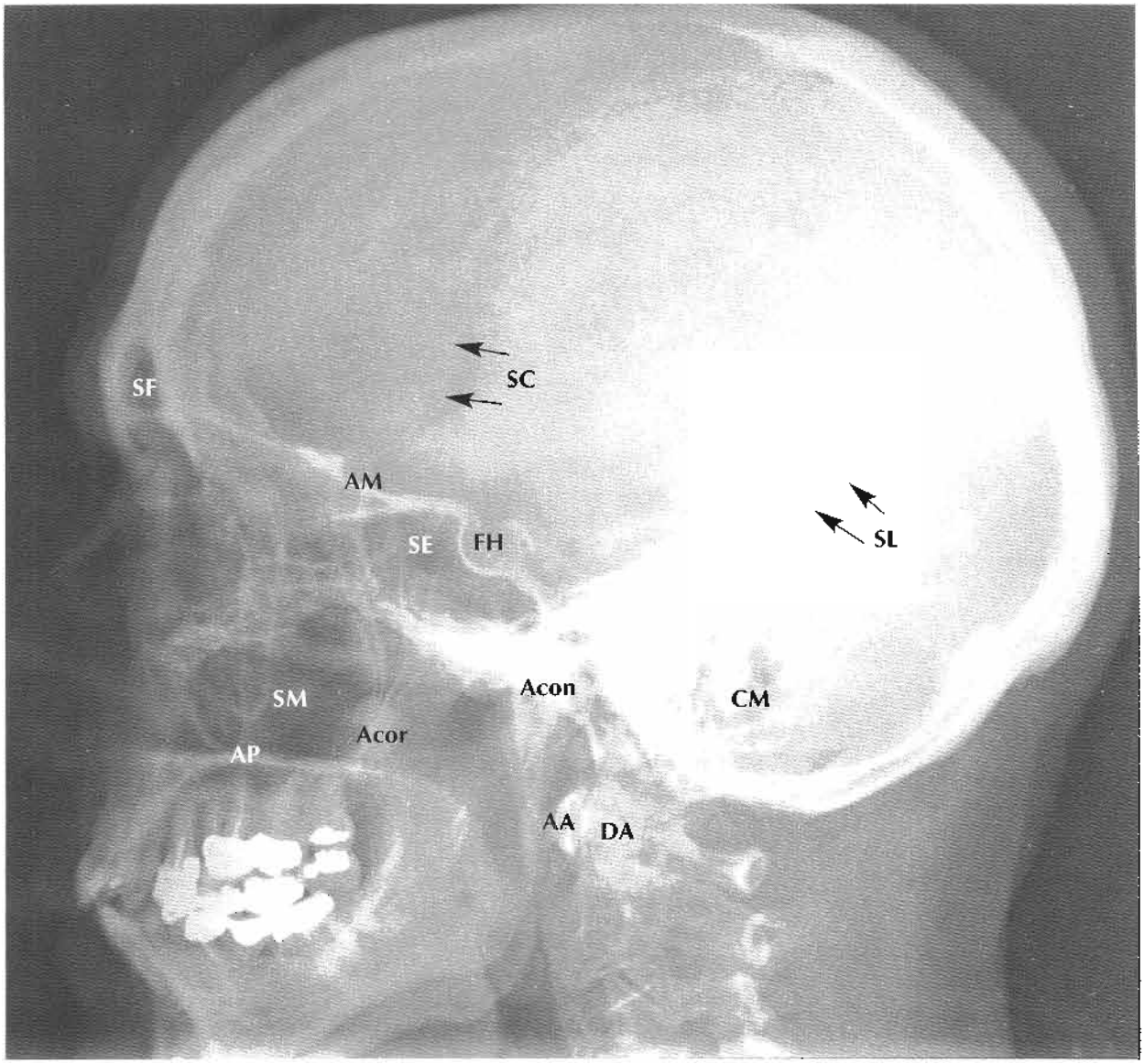
A	Ángulo de la mandíbula
AMa	Ala mayor del esfenoides
AMe	Ala menor del esfenoides
C	Crista galli
E	Celdas (senos) etmoidales
F	Seno frontal
M	Seno maxilar
R	Rama de la mandíbula

1 Cráneo: visión lateral



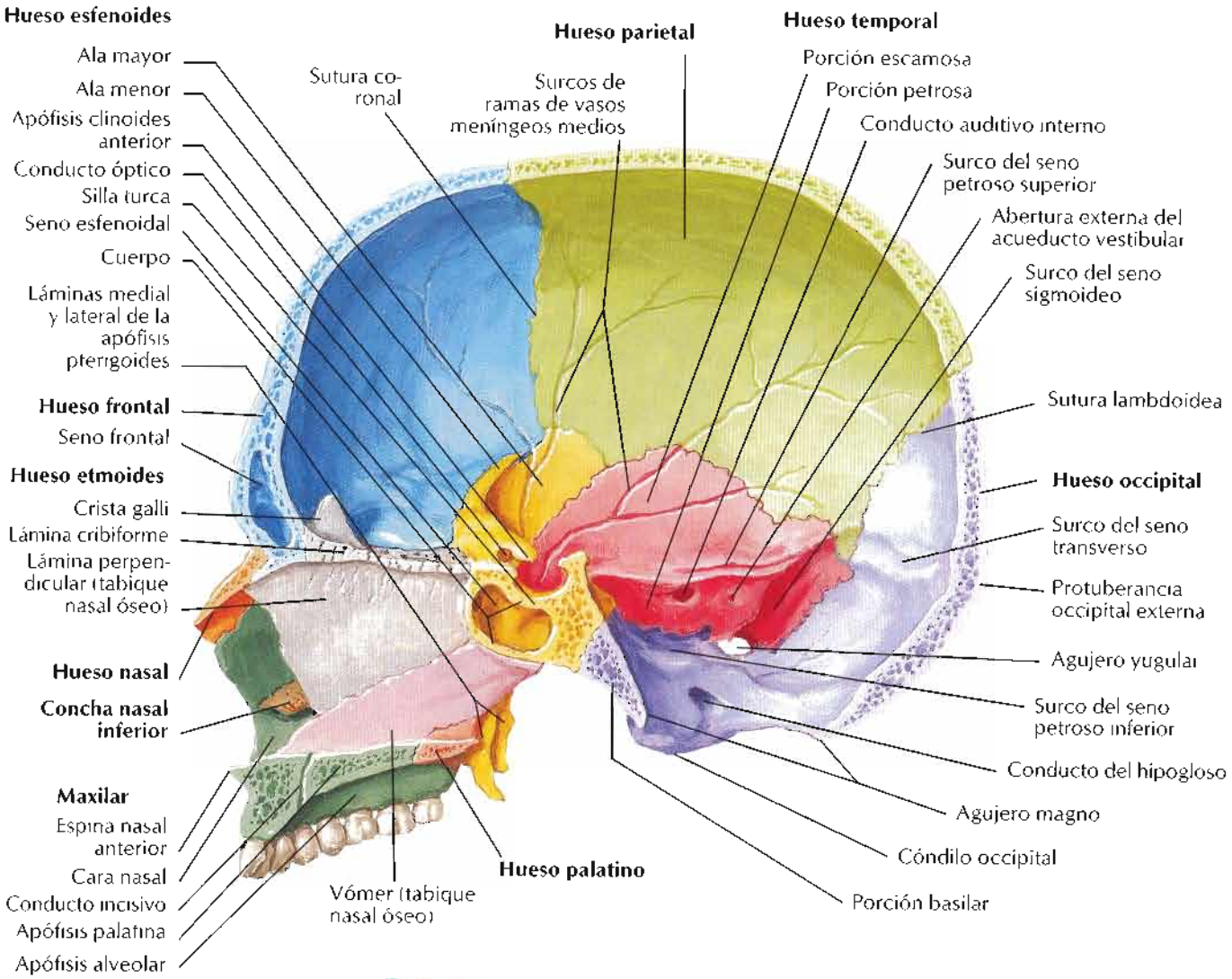
*Superficialmente, la apófisis mastoides forma el límite posterior

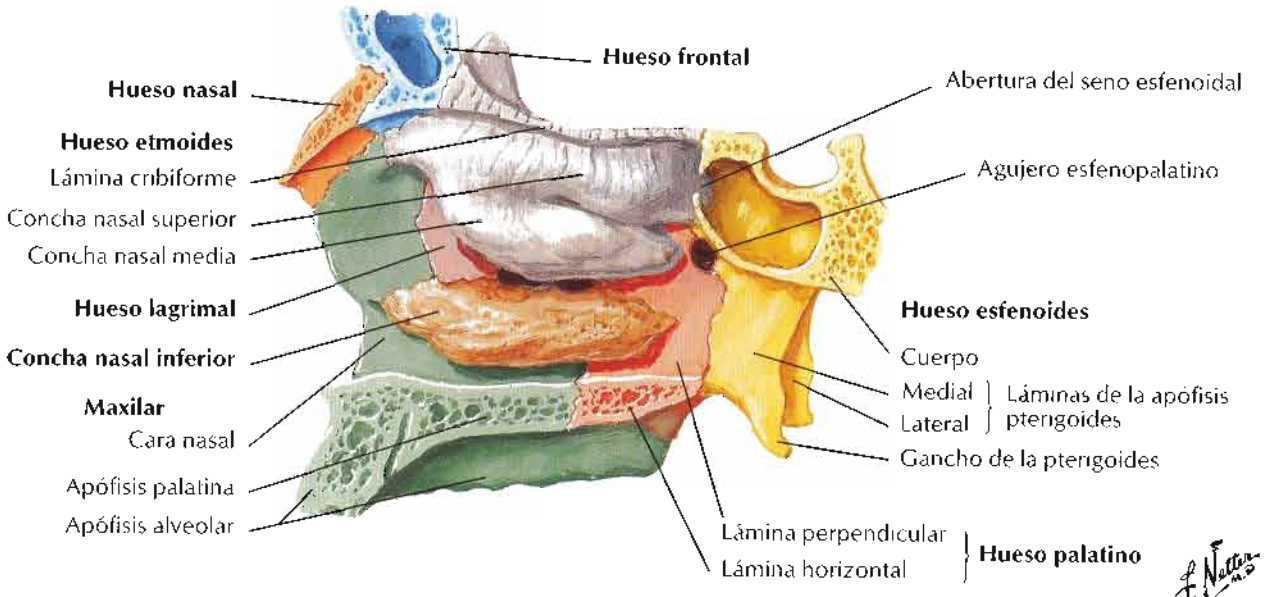
Véase también **lámina 4**



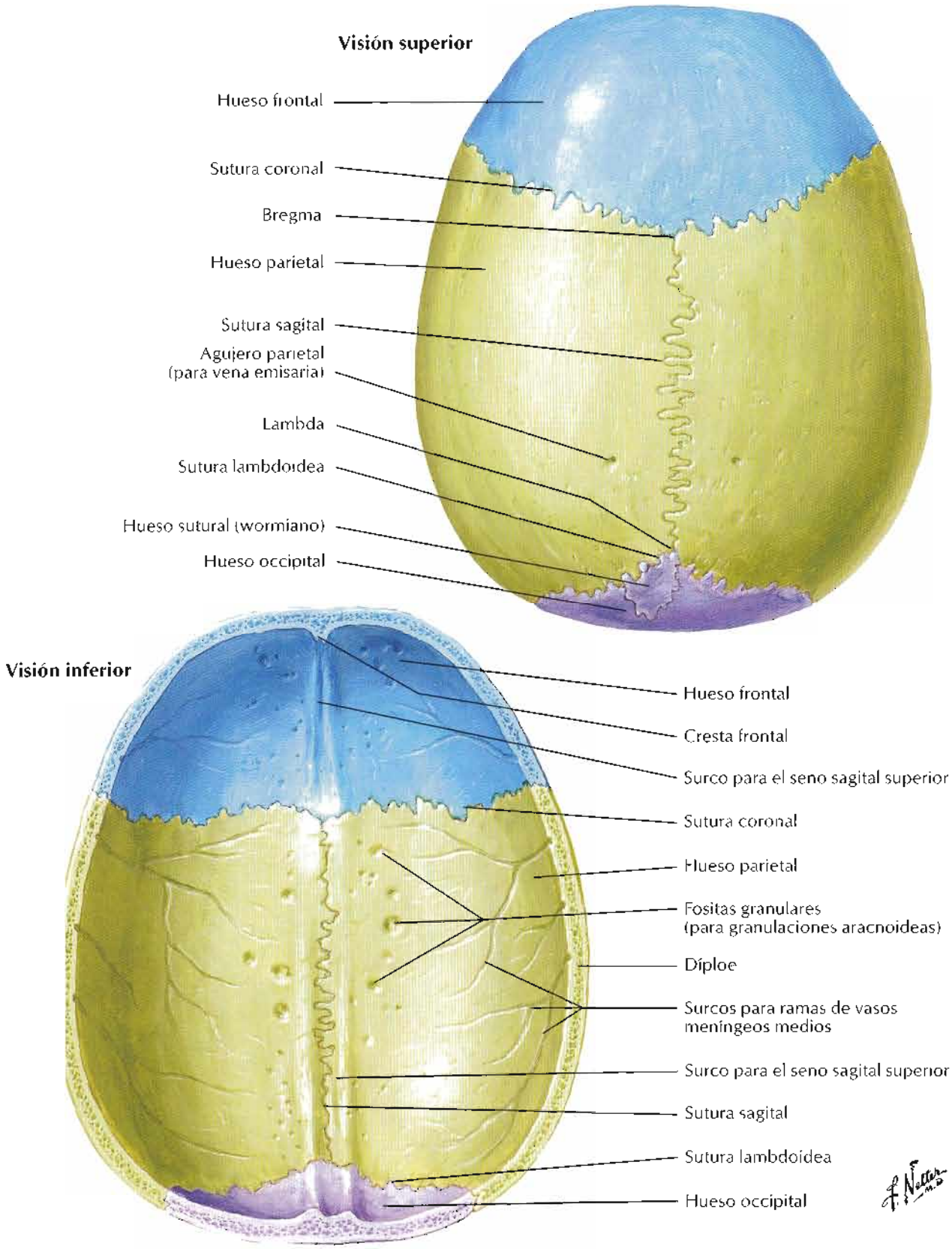
AA	Arco anterior del atlas (vértebra C1)
Acon	Apófisis condilar de la mandíbula
Acor	Apófisis coronoides de la mandíbula
AM	Ala mayor del esfenoides
AP	Apófisis palatina del maxilar
CM	Celdas mastoideas
DA	Diente del axis (vértebra C2)
FH	Fosa hipofisaria (silla turca)
SC	Sutura coronal
SE	Seno esfenoidal
SF	Seno frontal
SL	Sutura lambdoidea
SM	Seno maxilar

1 Cráneo: sección sagital media

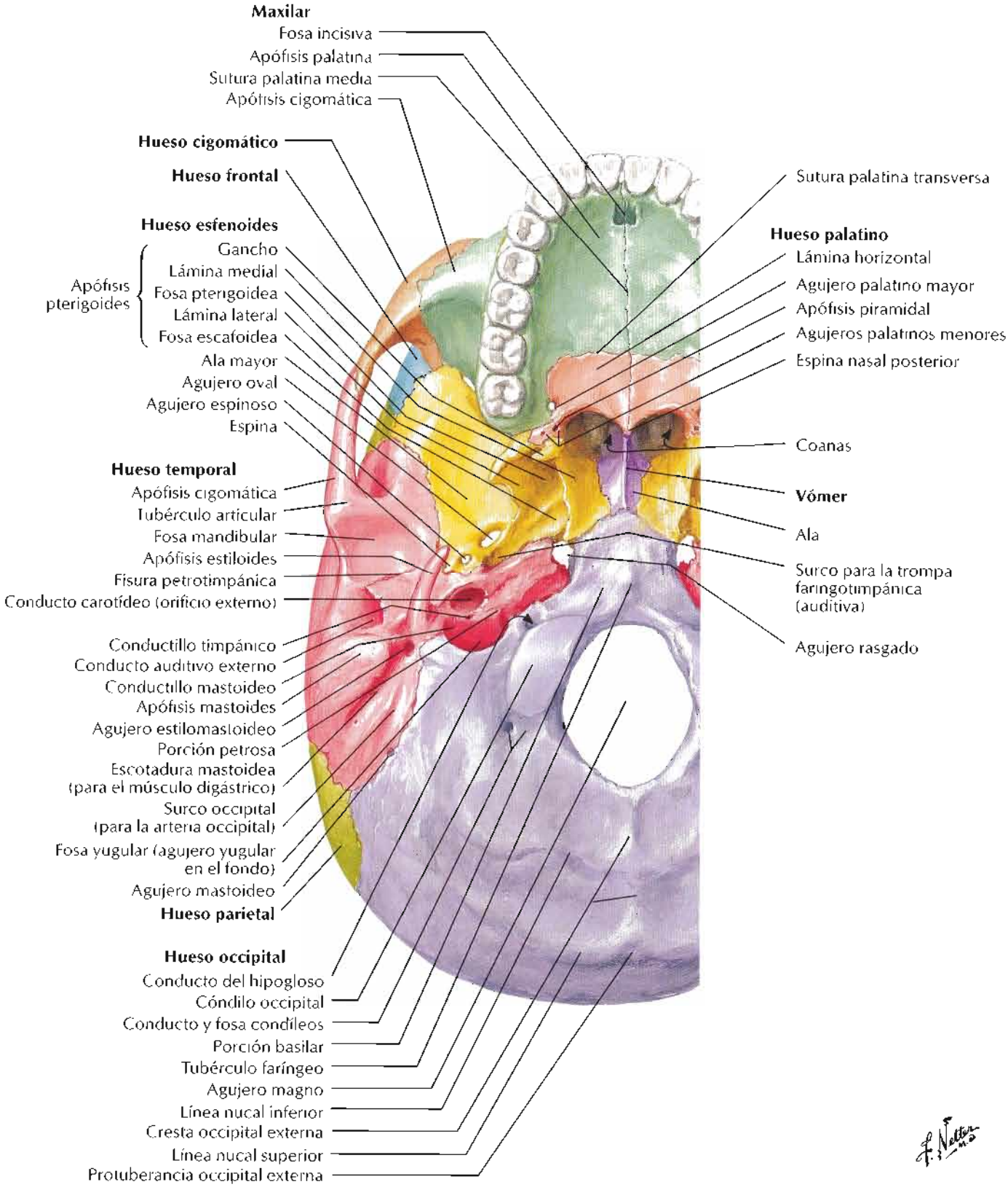




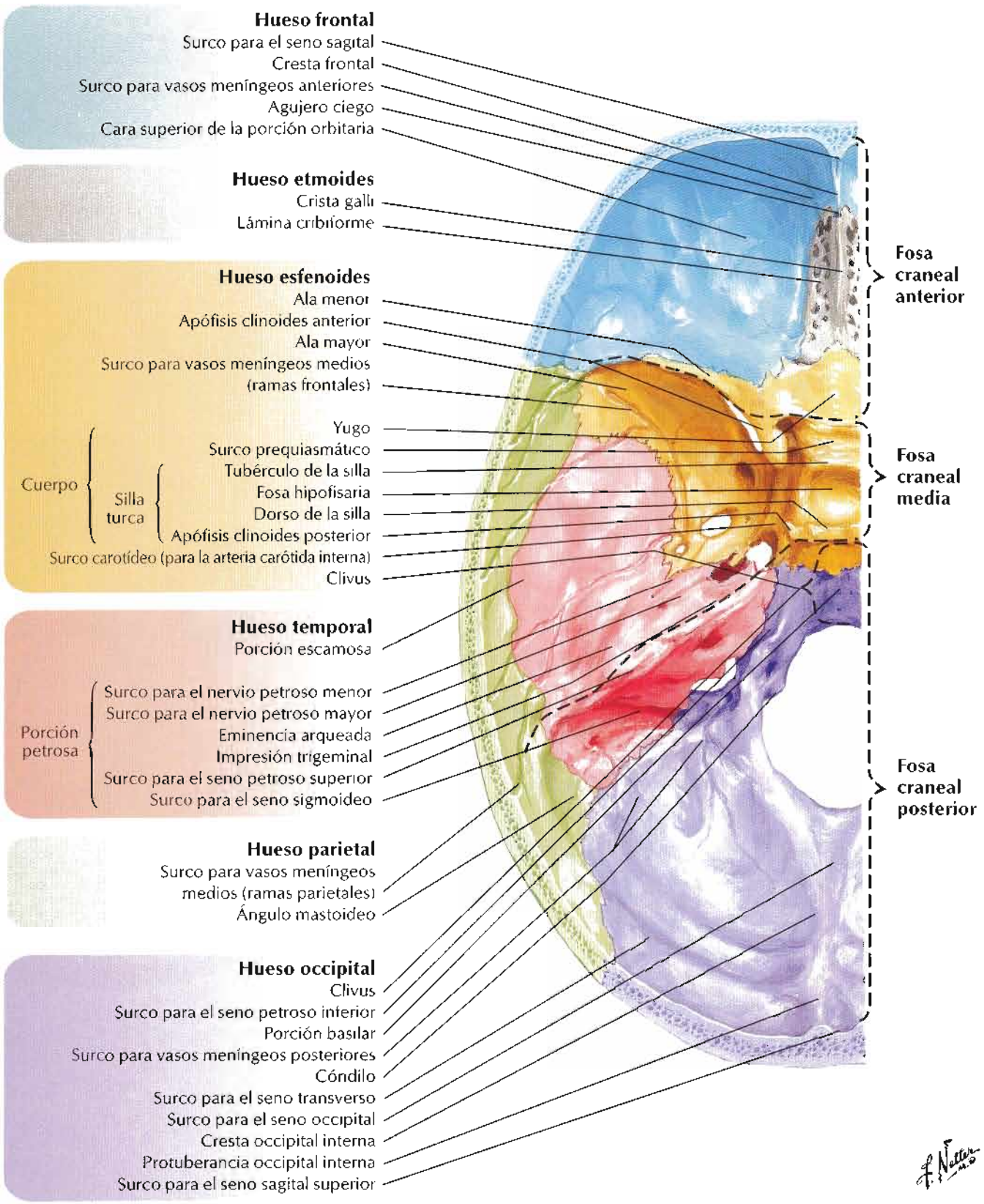
Visión de la pared nasal lateral con el tabique nasal extirpado


Visión superior
Hueso frontal
Sutura coronal
Bregma
Hueso parietal
Sutura sagital
Agujero parietal (para vena emisaria)
Lambda
Sutura lambdoidea
Hueso sutural (wormiano)
Hueso occipital
Visión inferior
Hueso frontal
Cresta frontal
Surco para el seno sagital superior
Sutura coronal
Hueso parietal
Fositas granulares (para granulaciones aracnoideas)
Díploe
Surcos para ramas de vasos meníngeos medios
Surco para el seno sagital superior
Sutura sagital
Sutura lambdoidea
Hueso occipital

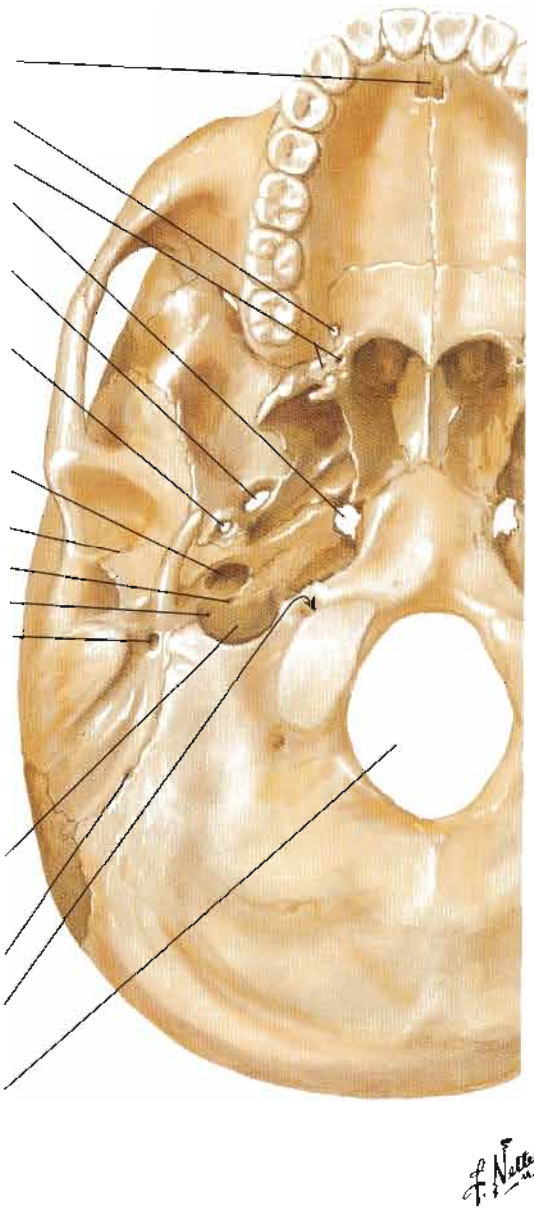
Base del cráneo: visión inferior



Huesos de la base del cráneo: visión superior

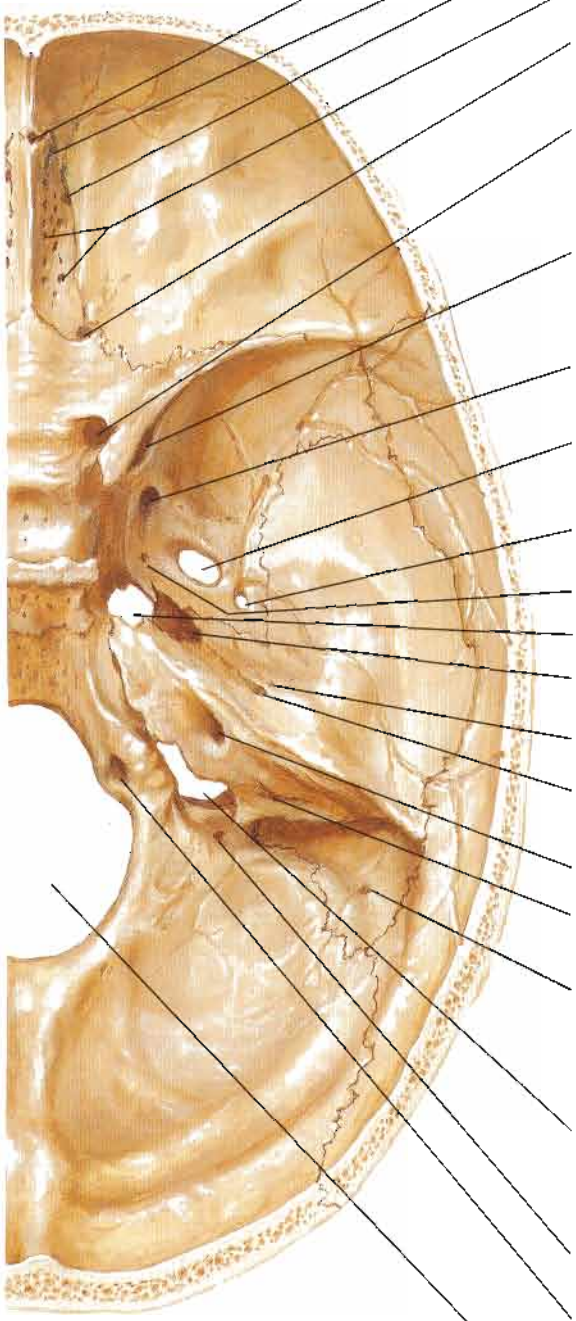


1 Agujeros de la base del cráneo: visión inferior



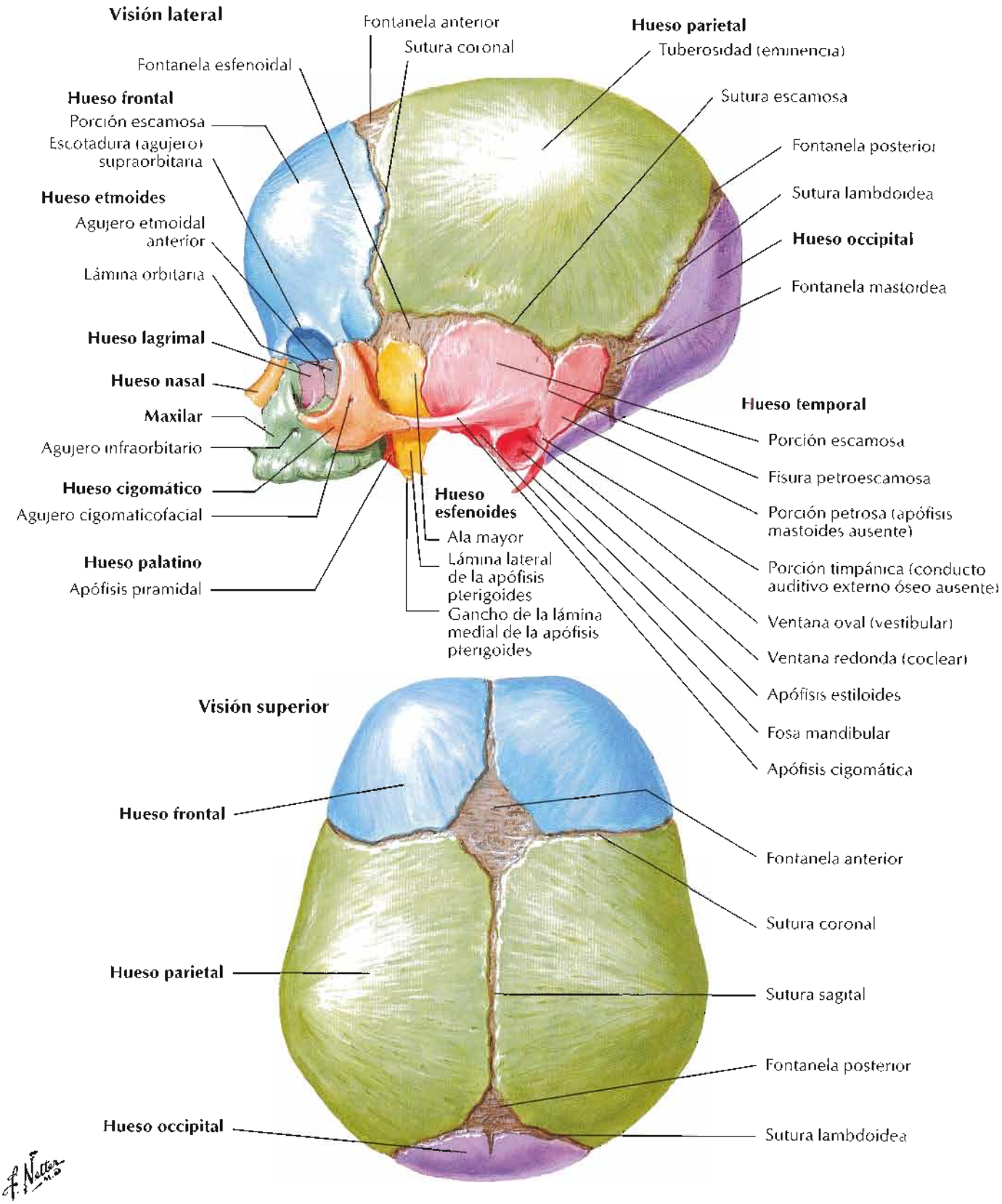
Nervio nasopalatino, Vasos esfenopalatinos ------ Fosa incisiva
Vasos y nervio palatino mayor ------- Agujero palatino mayor
Vasos y nervio palatino menor ------- Agujero palatino menor
Nervio petroso mayor ------- Agujero rasgado
Nervio petroso menor, Nervio mandibular (V_3), Arteria meníngea accesoria ------ Agujero oval
Vasos meníngeos medios, Ramo meníngeo del nervio mandibular (V_3) ------ Agujero espinoso
Arteria carótida interna, Plexo autónomo carotídeo ------ Conducto carotídeo
Cuerda del tímpano del nervio facial (VII) ------- Fisura petrotimpánica
Ramo timpánico del nervio glosofaríngeo (IX) ------- Conductillo timpánico
Ramo auricular del nervio vago (X) ------- Conductillo mastoideo
Nervio facial (VII) ------- Agujero estilomastoideo
Nervio glosofaríngeo (IX), Nervio vago (X), Nervio accesorio (XI), Vena yugular interna, Seno petroso inferior ------ Fosa yugular
Vena emisaria mastoidea, Arteria meníngea posterior ------ Agujero mastoideo
Nervio hipogloso (XII) ------- Conducto del hipogloso
Médula oblongada, Arterias y plexo venoso vertebrales, Raíces espinales de los nervios accesorios (XI) ------ Agujero magno

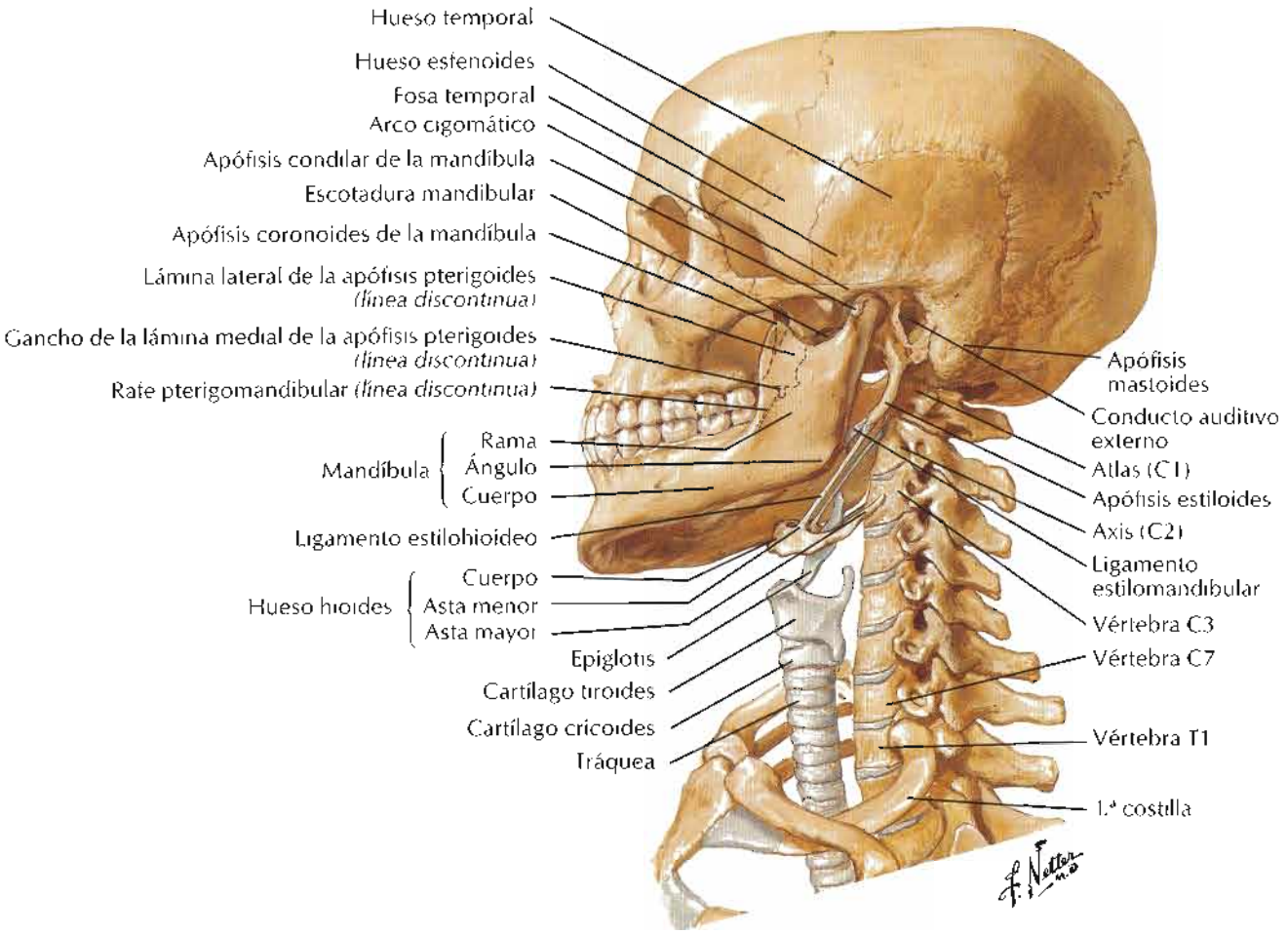
Agujeros de la base del cráneo: visión superior



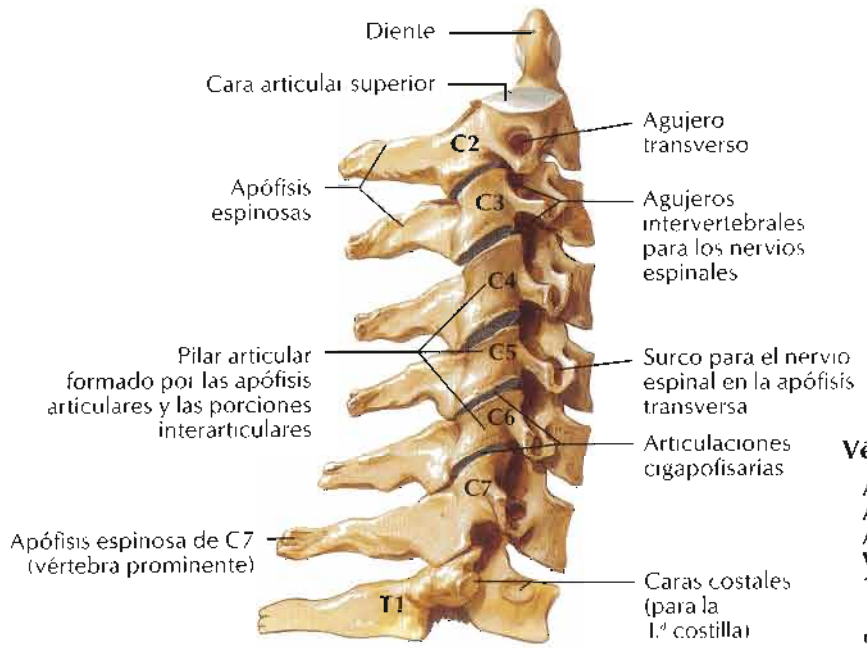
- Agujero ciego — Vena emisaria para el seno sagital superior
- Hendidura nasal / Agujero etmoidal anterior — Arteria, vena y nervio etmoidales anteriores
- Orificios de la lámina cribiforme — Haces del nervio olfatorio
- Agujero etmoidal posterior — Arteria, vena y nervio etmoidales posteriores
- Conducto óptico — Nervio óptico (II); Arteria oftálmica
- Fisura orbitaria superior — Nervio oculomotor (III); Nervio troclear (IV); Ramos lagrimal, frontal y nasociliar del nervio oftálmico (V_1); Nervio abducens (VI); Vena oftálmica superior
- Agujero redondo — Nervio maxilar (V_2)
- Agujero oval — Nervio mandibular (V_3); Arteria meníngea accesoria; Nervio petroso menor (ocasionalmente)
- Agujero espinoso — Arteria y vena meníngeas medias; Ramo meníngeo del nervio mandibular
- Agujero emisario esfenoidal (de Vesalio) (inconstante)
- Agujero rasgado
- Conducto carotídeo para — Arteria carótida interna; Plexo del nervio carotídeo interno
- Hiato para el — Nervio petroso menor
- Hiato para el — Nervio petroso mayor
- Conducto auditivo interno — Nervio facial (VII); Nervio vestibulococlear (VIII); Arteria laberíntica
- Abertura externa del acueducto vestibular — Conducto endolinfático
- Agujero mastoideo (inconstante) — Vena emisaria (y rama ocasional de la arteria occipital)
- Agujero yugular — Seno petroso inferior; Nervio glosofaríngeo (IX); Nervio vago (X); Nervio accesorio (XI); Seno sigmoideo; Arteria meníngea posterior
- Conducto condíleo (inconstante) — Vena emisaria y rama meníngea de la arteria faríngea ascendente
- Conducto del hipogloso — Nervio hipogloso (XII)
- Agujero magno — Médula oblongada; Meninges; Arterias vertebrales; Ramas meníngeas de las arterias vertebrales; Raíces espinales de los nervios accesorios (XI)

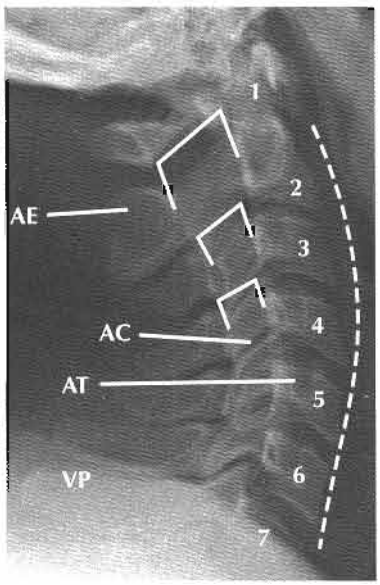
Cráneo de recién nacido





Vértebras 2.ª cervical a 1.ª torácica: visión lateral derecha



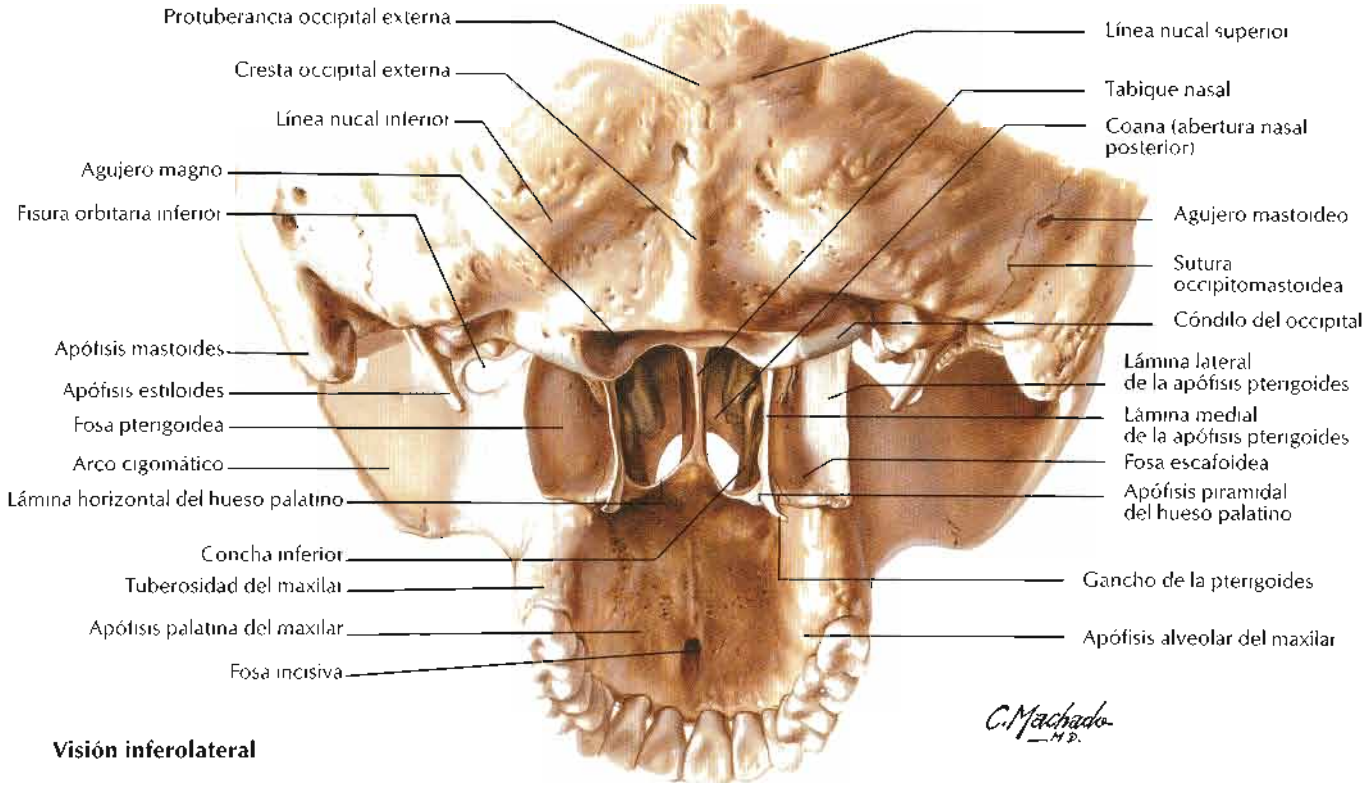


Vértebras cervicales: radiografía lateral

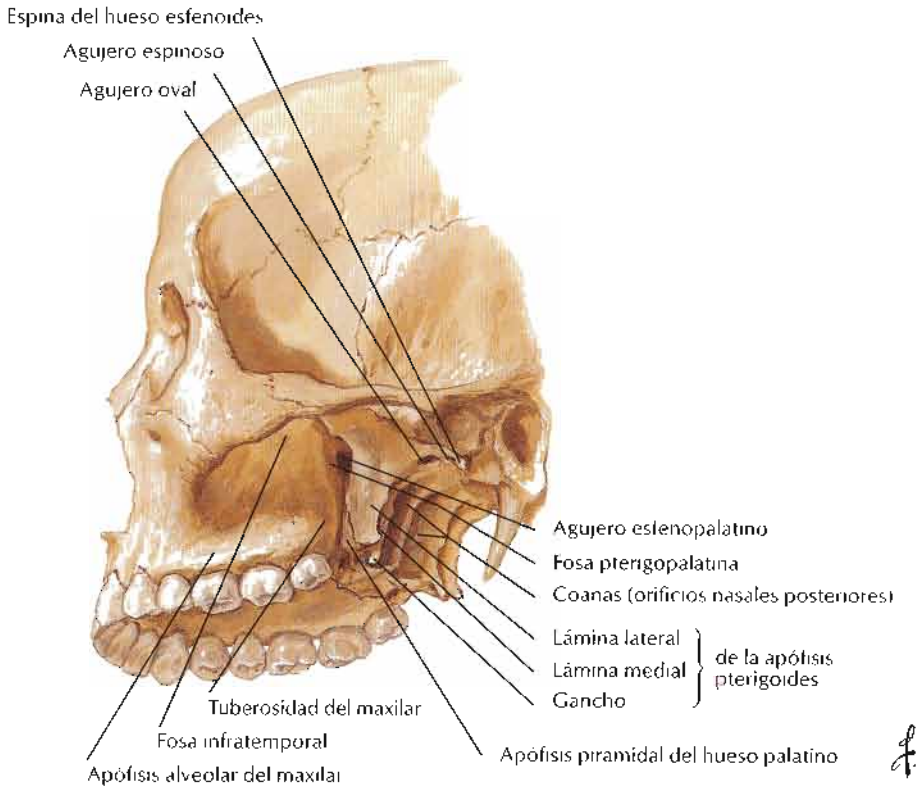
AC Articulación (cara) cigapofisaria
AE Apófisis espinosa (axis)
AT Apófisis transversa
VP Apófisis espinosa de C7 (vértebra prominente)
1-7 Cuerpos de vértebras cervicales
... Curvatura cervical
⌐ Conducto vertebral

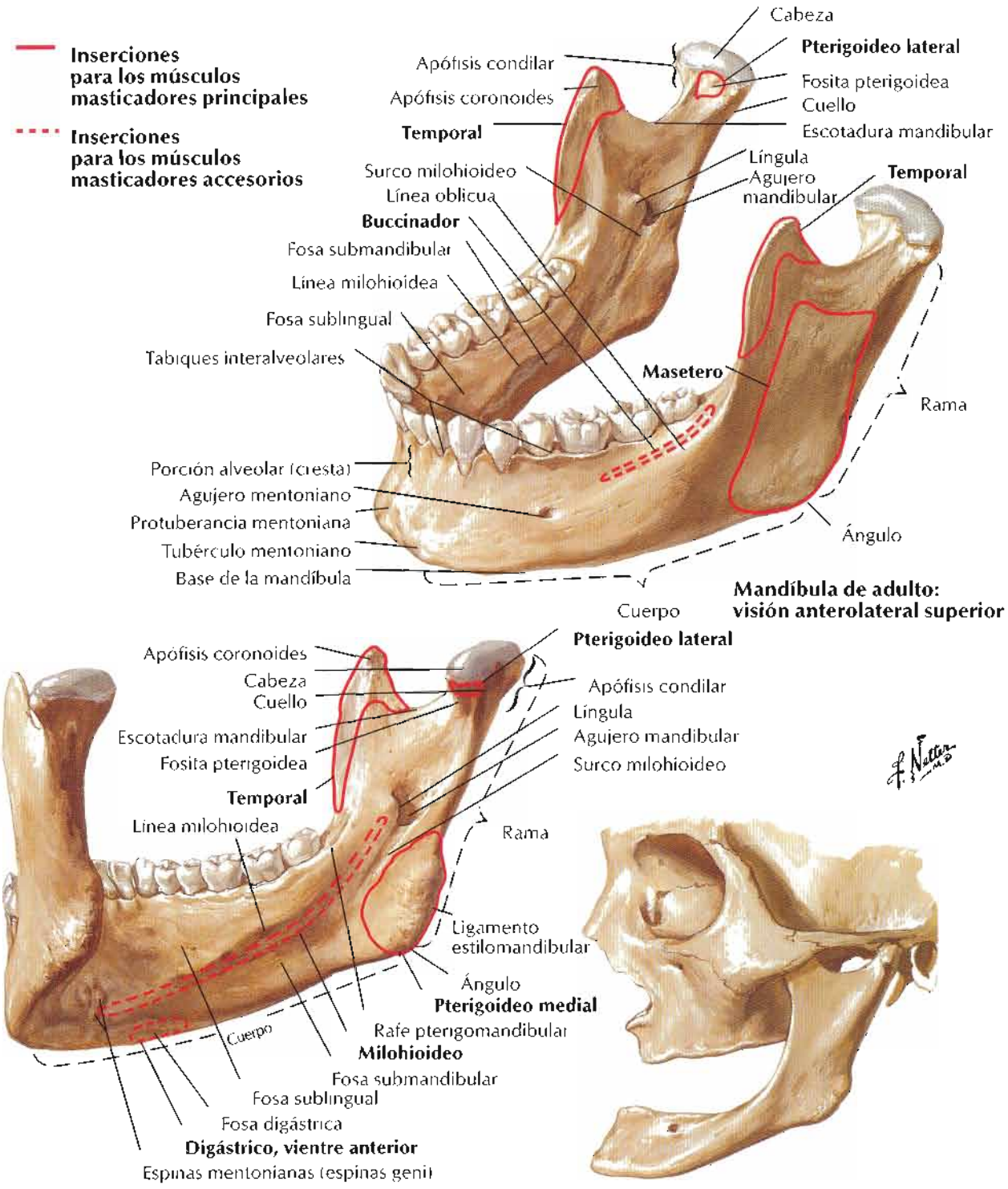
Base del cráneo: fosas pterigoideas

Visión posterior

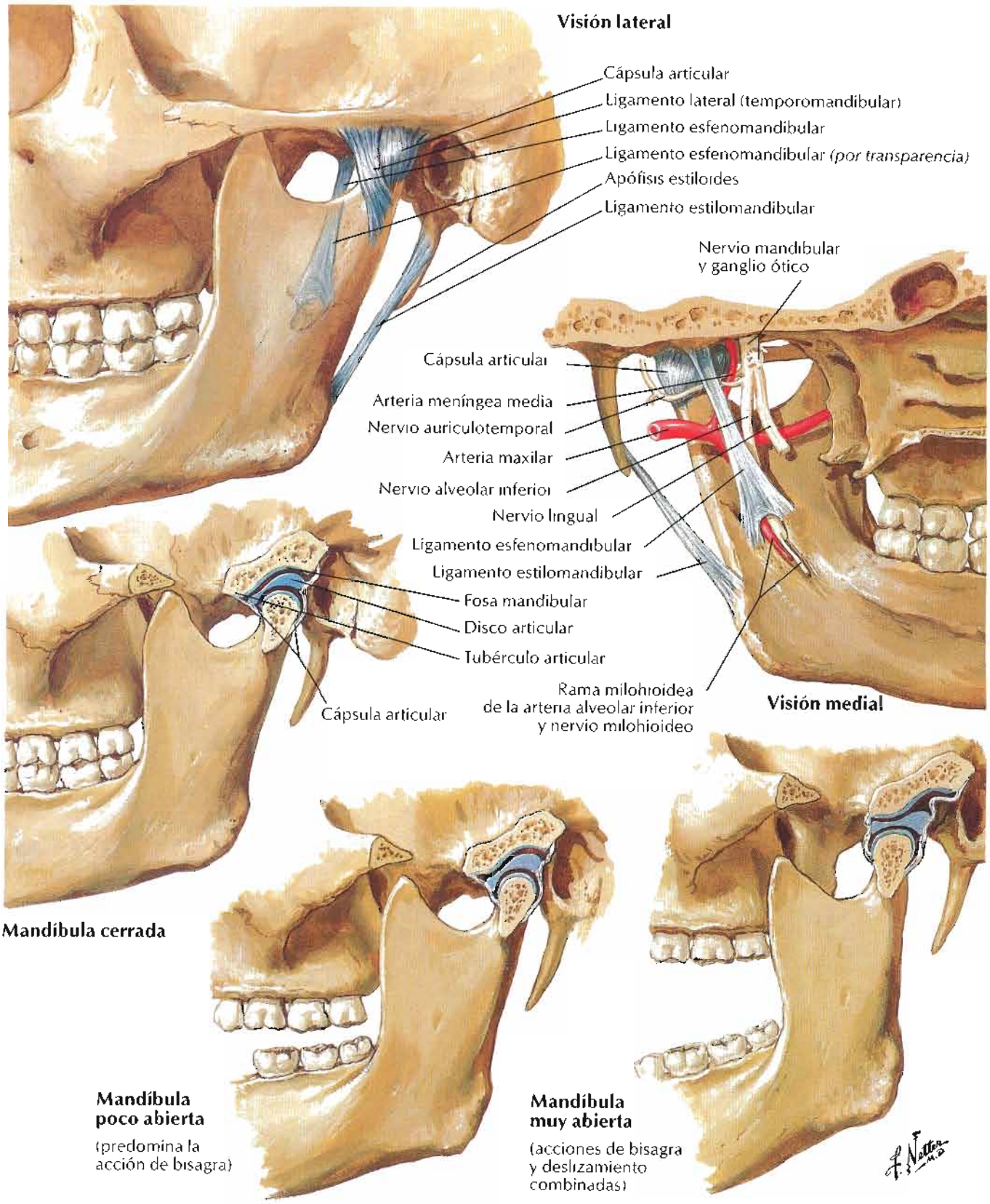


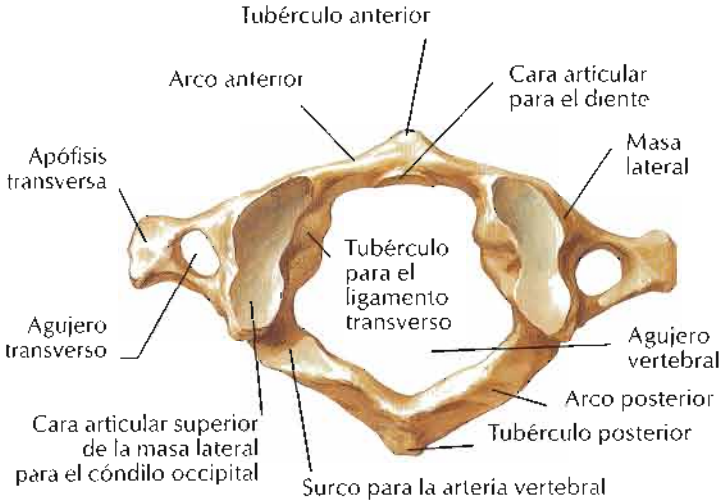
Visión inferolateral



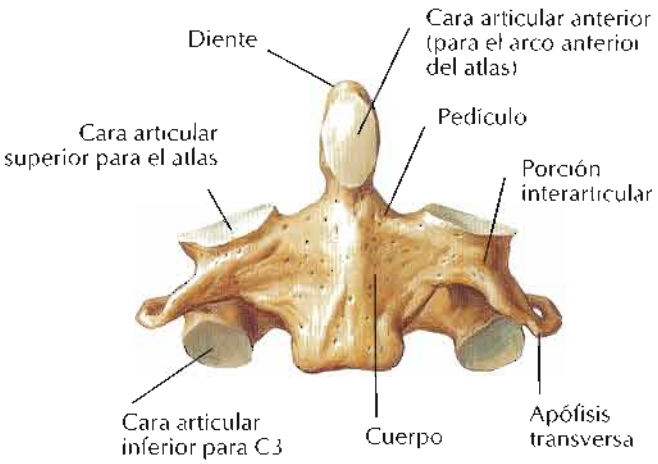

Inserciones para los músculos masticadores principales
Inserciones para los músculos masticadores accesorios
Cabeza
Pterigoideo lateral
Apófisis condilar
Fosita pterigoidea
Apófisis coronoides
Cuello
Temporal
Escotadura mandibular
Língula
Surco milohioideo
Agujero mandibular
Temporal
Línea oblicua
Buccinador
Fosa submandibular
Línea milohioidea
Fosa sublingual
Tabiques interalveolares
Masetero
Rama
Porción alveolar (cresta)
Agujero mentoniano
Protuberancia mentoniana
Tubérculo mentoniano
Ángulo
Base de la mandíbula
Cuerpo
Mandíbula de adulto: visión anterolateral superior
Apófisis coronoides
Pterigoideo lateral
Cabeza
Apófisis condilar
Cuello
Língula
Escotadura mandibular
Agujero mandibular
Fosita pterigoidea
Surco milohioideo
Temporal
Linea milohioidea
Rama
Ligamento estilomandibular
Ángulo
Pterigoideo medial
Cuerpo
Rafe pterigomandibular
Milohioideo
Fosa submandibular
Fosa sublingual
Fosa digástrica
Digástrico, vientre anterior
Espinas mentonianas (espinas geni)
Mandíbula de adulto: visión posterior izquierda
Mandíbula de persona anciana (desdentada)

Articulación temporomandibular

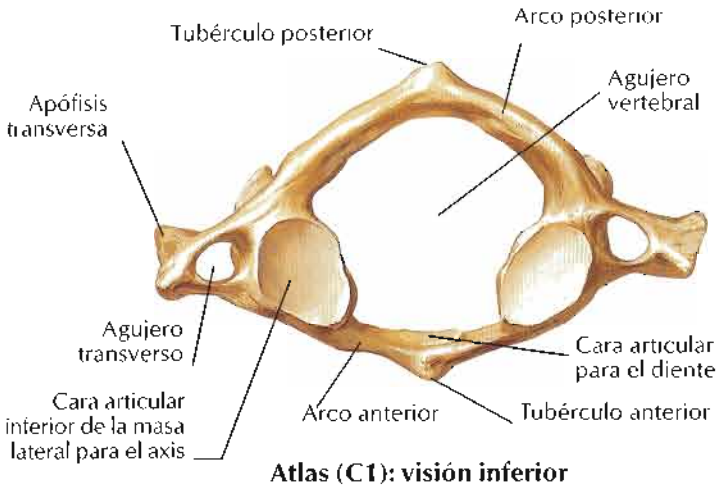




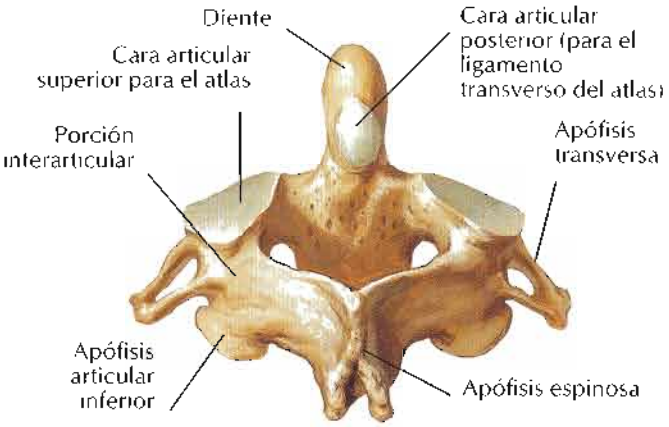
Atlas (C1): visión superior



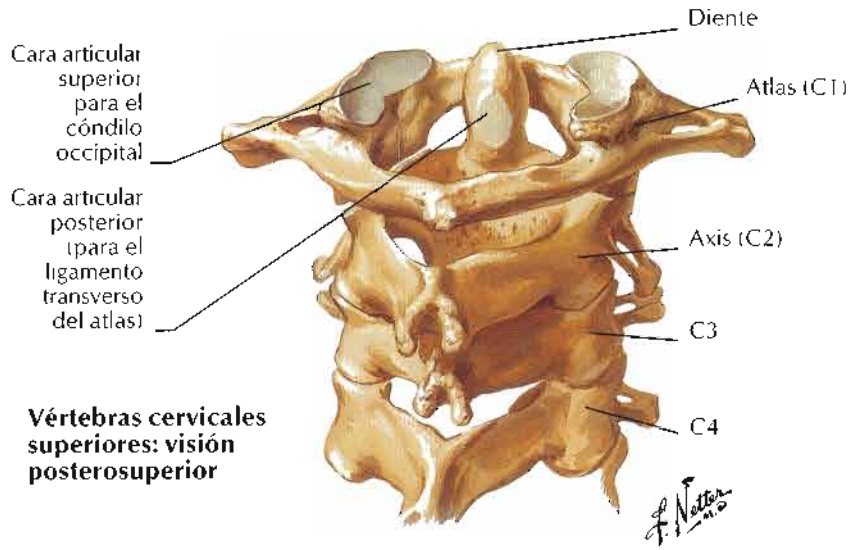
Axis (C2): visión anterior



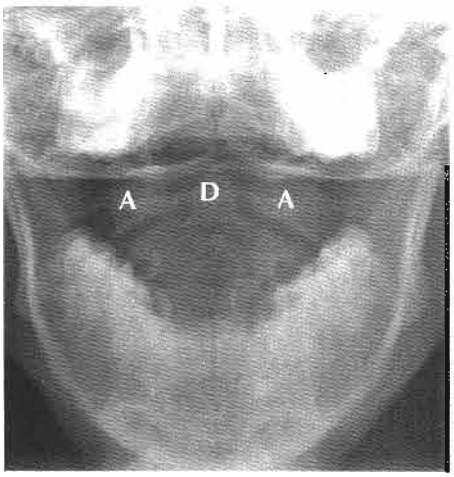
Atlas (C1): visión inferior



Axis (C2): visión posterosuperior



Vértebras cervicales superiores: visión posterosuperior

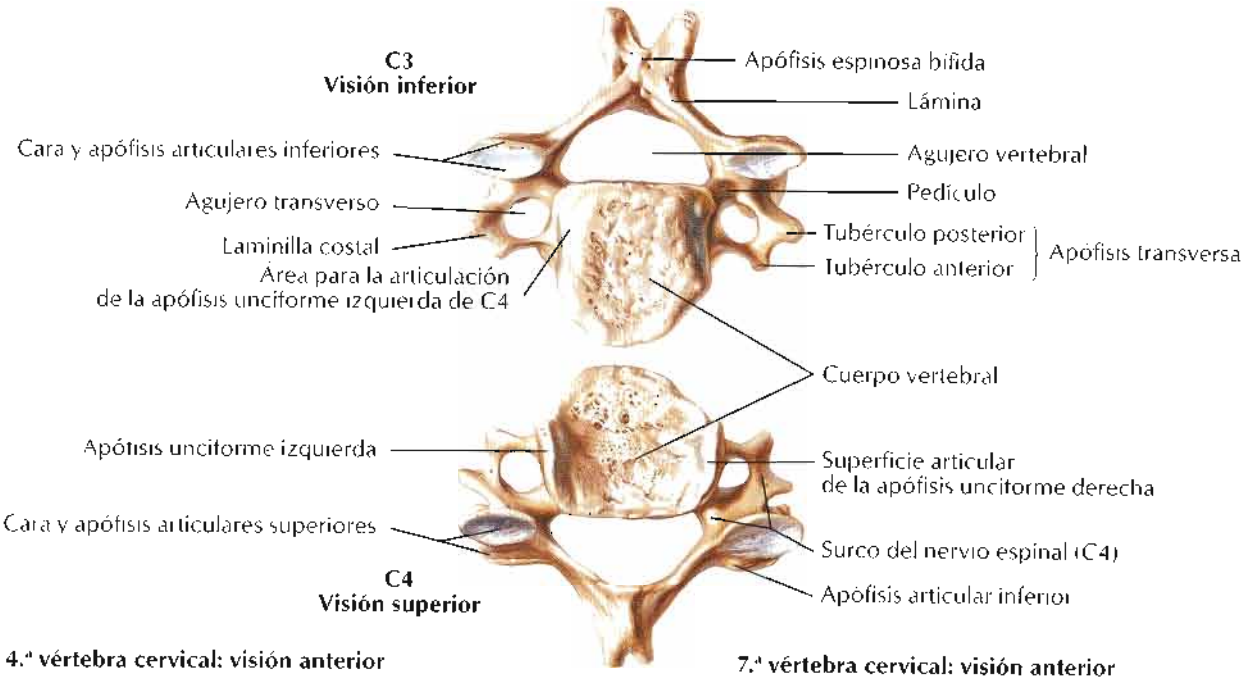


Radiografía de la articulación atlantoaxial (boca abierta, visión del diente del axis)

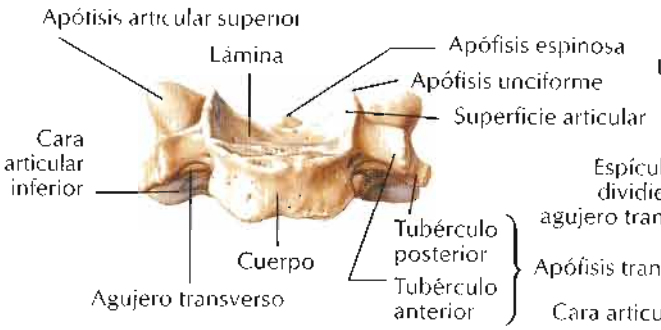
A Masas laterales del atlas (vértebra C1)

D Diente del axis (vértebra C2)

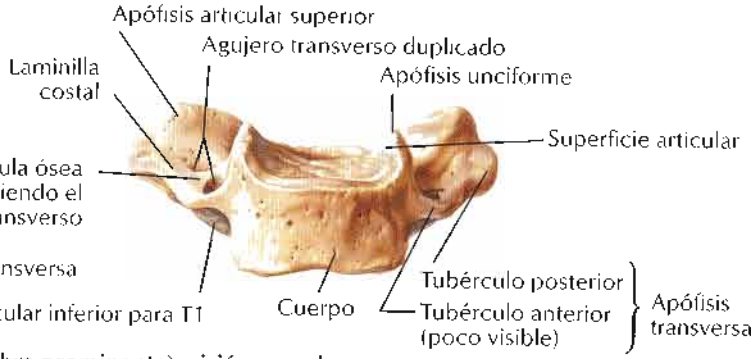
Visiones inferior de C3 y superior de C4 mostrando las localizaciones de las caras articulares y articulaciones uncovertebrales



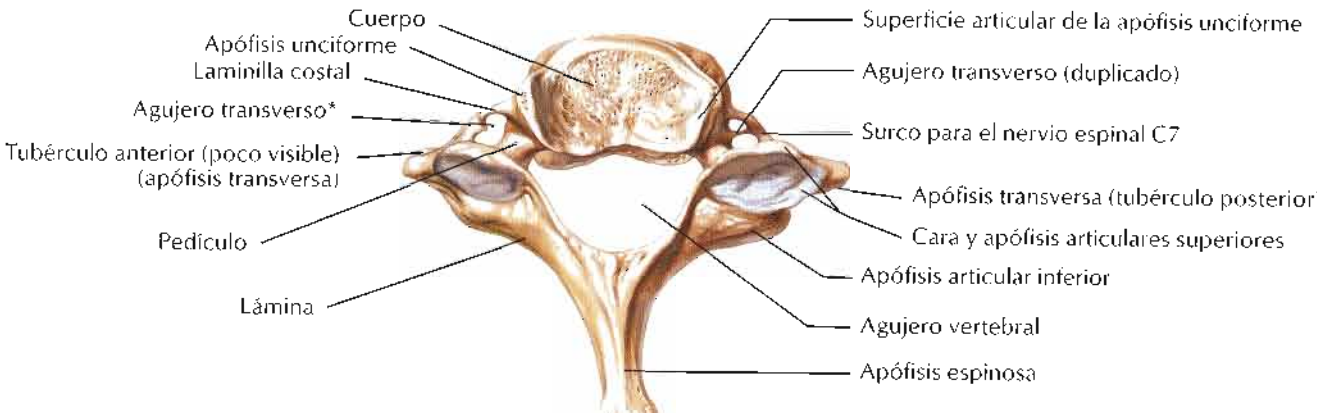
4.ª vértebra cervical: visión anterior



7.ª vértebra cervical: visión anterior



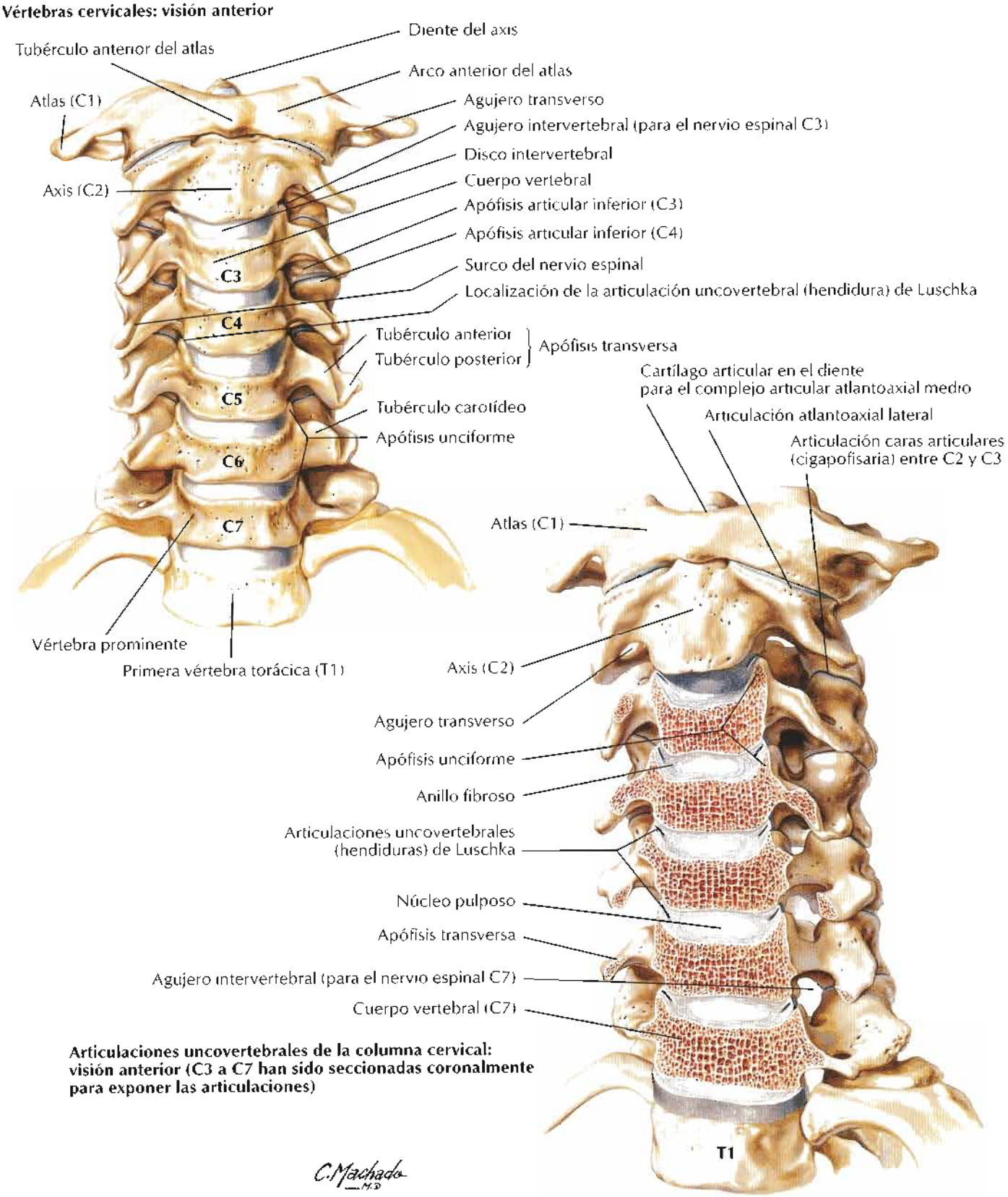
7.ª vértebra cervical (vértebra prominente): visión superior



** Los agujeros transversos de C7 dejan paso a venas vertebrales, pero no a la arteria vertebral; en este espécimen son asimétricos*

C. Machado M.D.

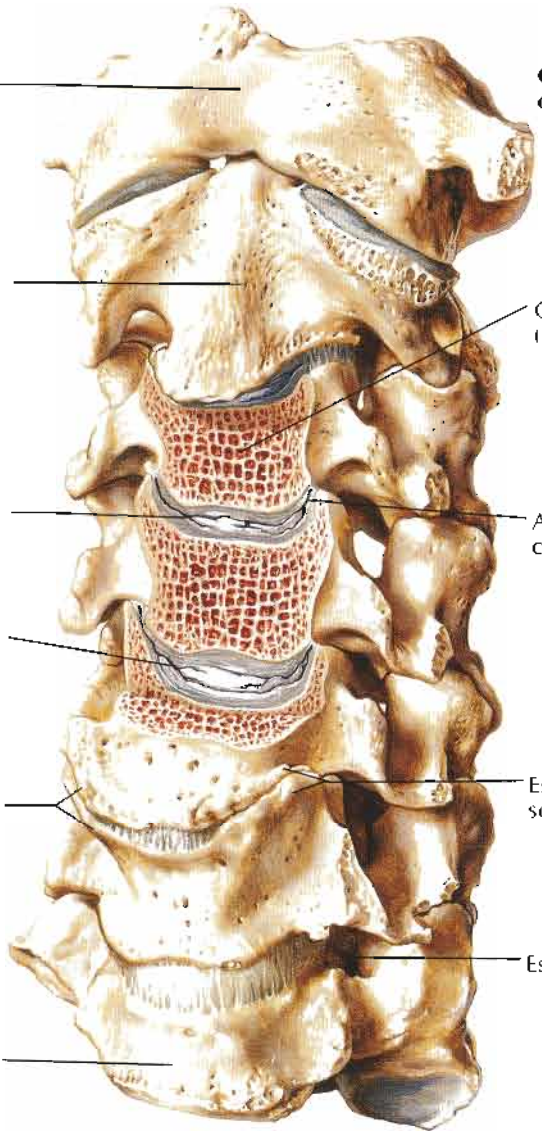
Vértebras cervicales: visión anterior



Articulaciones uncovertebrales de la columna cervical: visión anterior (C3 a C7 han sido seccionadas coronalmente para exponer las articulaciones)

C. Machado M.D.

Cambios degenerativos en vértebras cervicales



Cambios degenerativos en la columna cervical (espondilitis anquilosante)

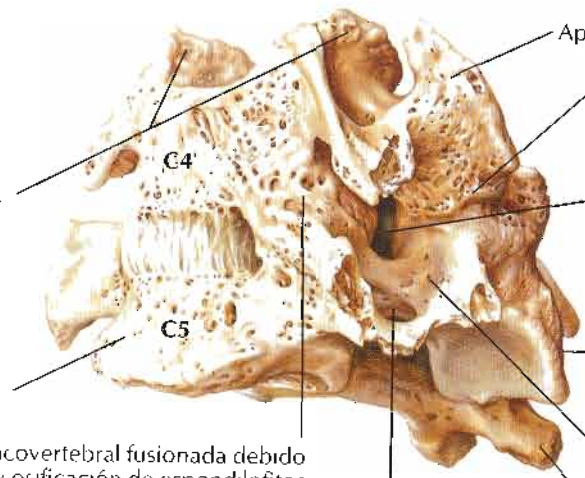
Cuerpo vertebral de C3 (seccionado en el plano coronal)

Articulación uncovertebral con formación de fisuras

Espondilofitos (osteofitos) sobre la apófisis unciforme

Estrechamiento del agujero intervertebral

Espondilitis anquilosante avanzada con artrosis uncovertebral en C4 y C5



Apófisis articular superior

Articulación cigapofisaria osificada debido a cambios osteoartríticos avanzados

Formación de espondilofitos (osteofitos) sobre las apófisis unciformes

El marcado estrechamiento del agujero intervertebral puede conducir a la compresión del nervio espinal

Apófisis articular inferior con cara articular

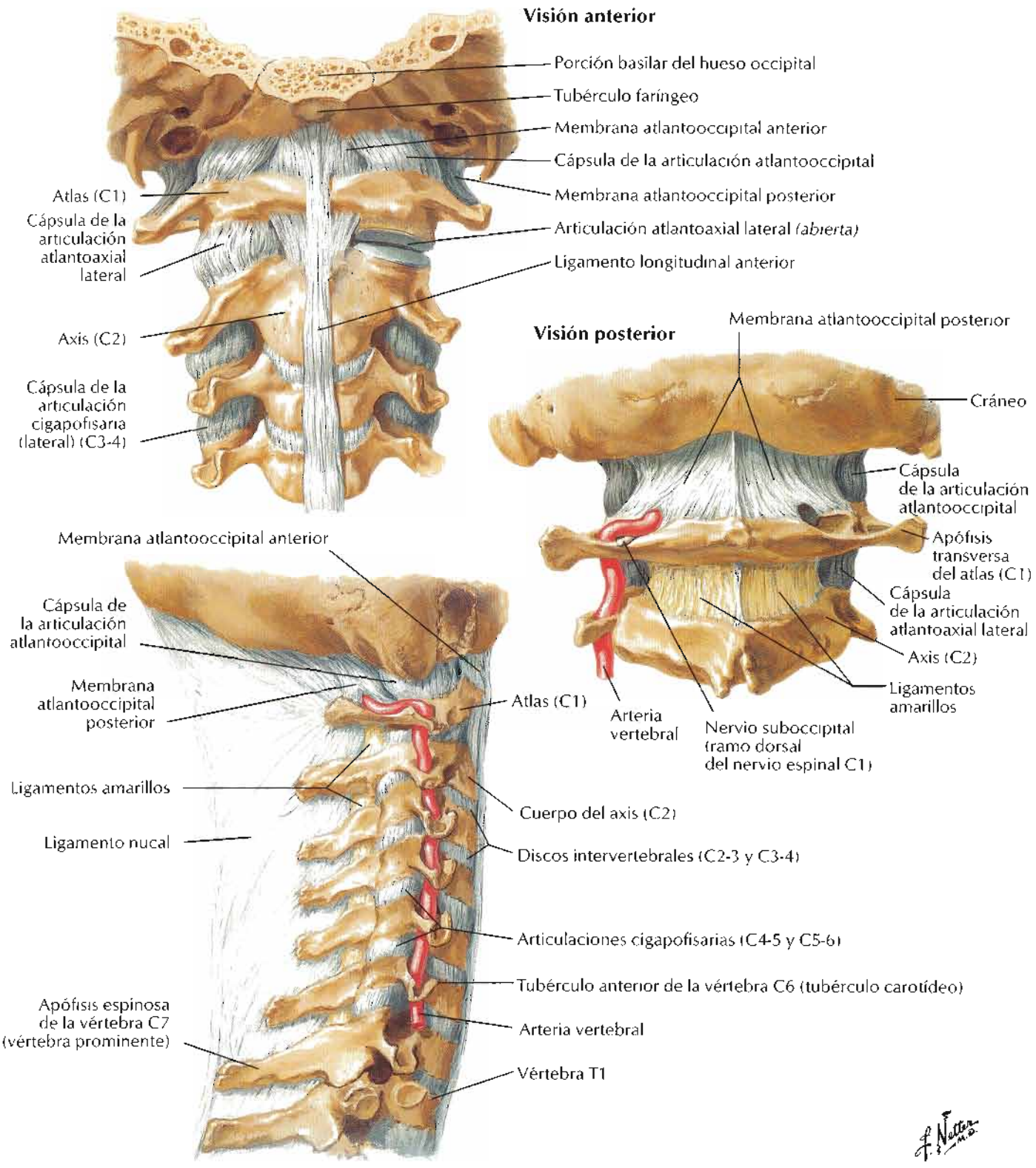
Cuerpo vertebral

Surco del nervio espinal en la apófisis transversa

Articulación uncovertebral fusionada debido a la amplia formación y osificación de espondilofitos

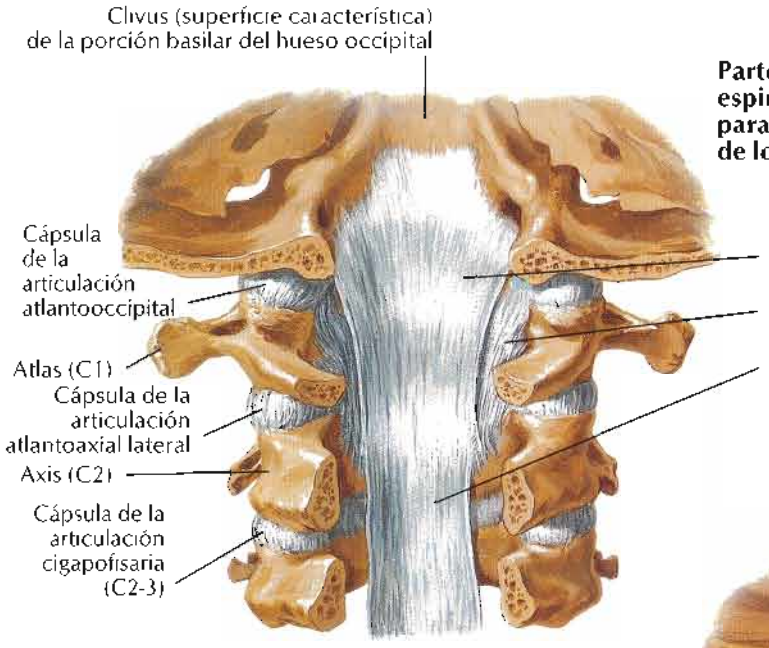
Apófisis espinosa

Compresión potencial de la arteria vertebral dentro del agujero transverso

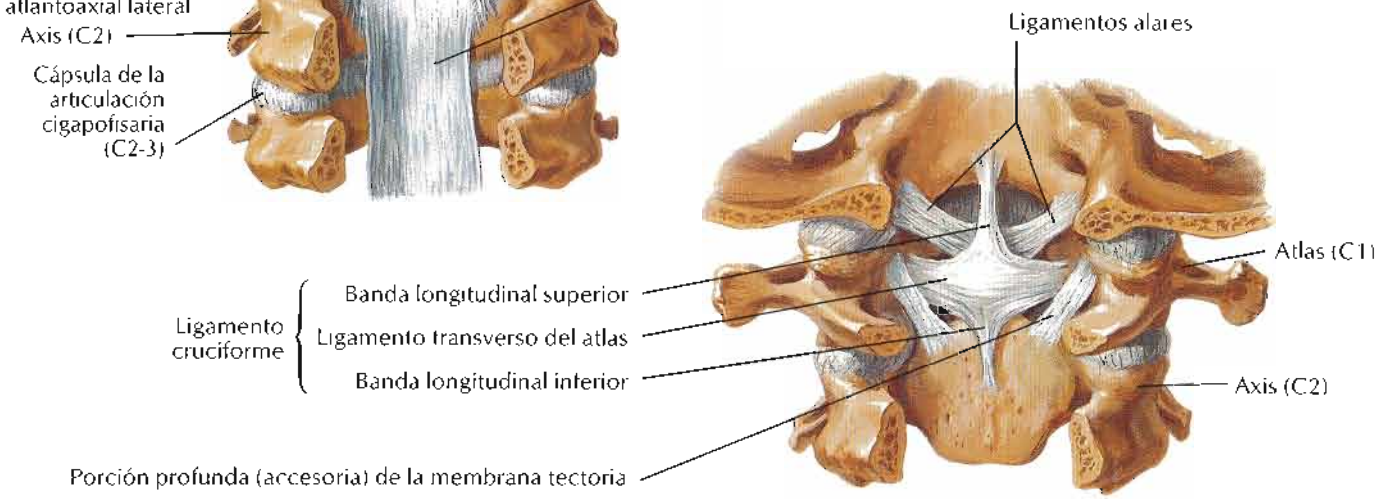


Visión lateral derecha

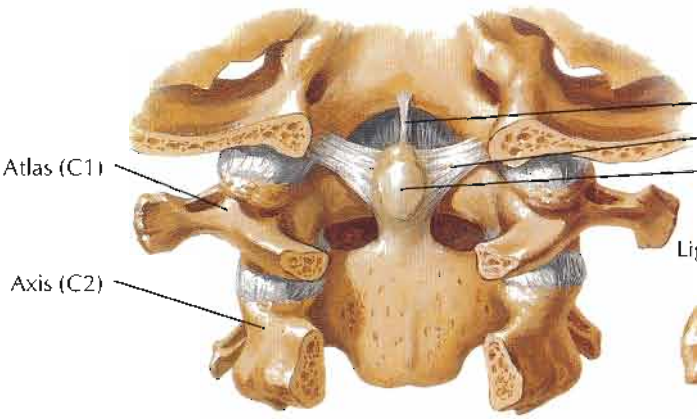
Ligamentos craneocervicales internos



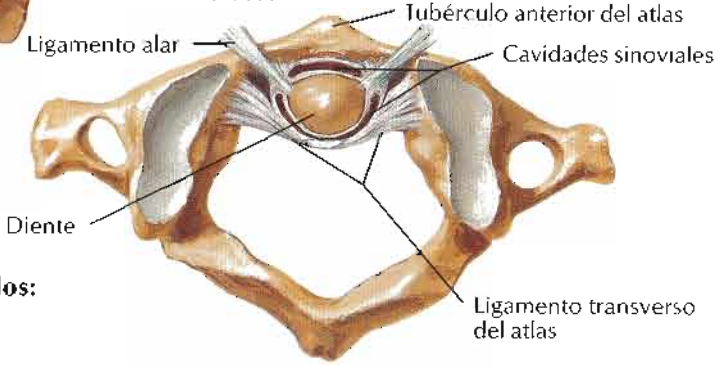
Parte superior del conducto vertebral con apófisis espinosas y parte de los arcos vertebrales extirpados para exponer los ligamentos posteriores de los cuerpos vertebrales: visión posterior



Porción principal de la membrana tectoria extirpada para exponer los ligamentos profundos: visión posterior



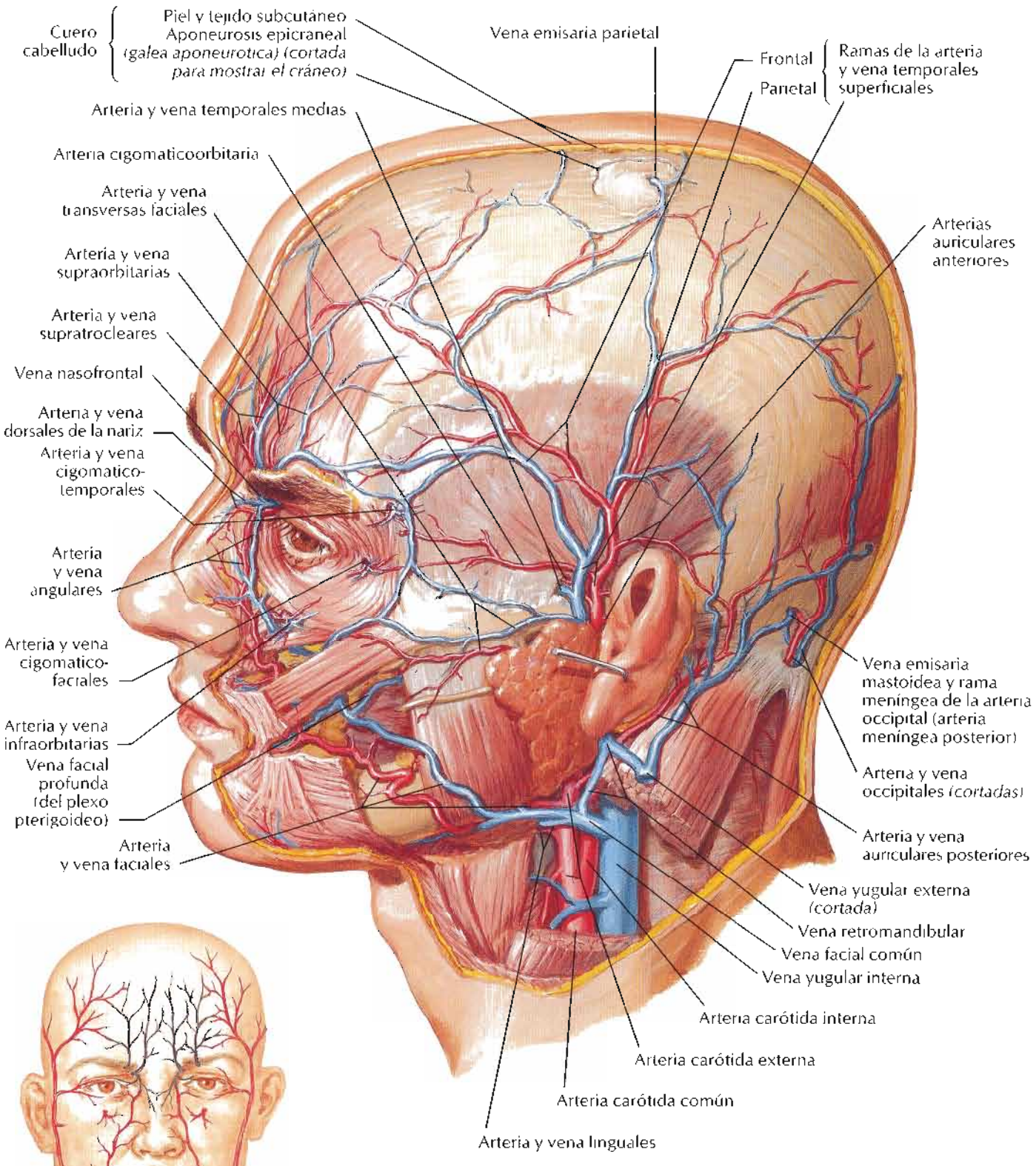
Ligamento cruciforme extirpado para mostrar los ligamentos más profundos: visión posterior



Articulación atlantoaxial media: visión superior

Arterias y venas superficiales de la cara y cuero cabelludo

Véanse también **láminas 34, 40, 69, 70, 85, 104**

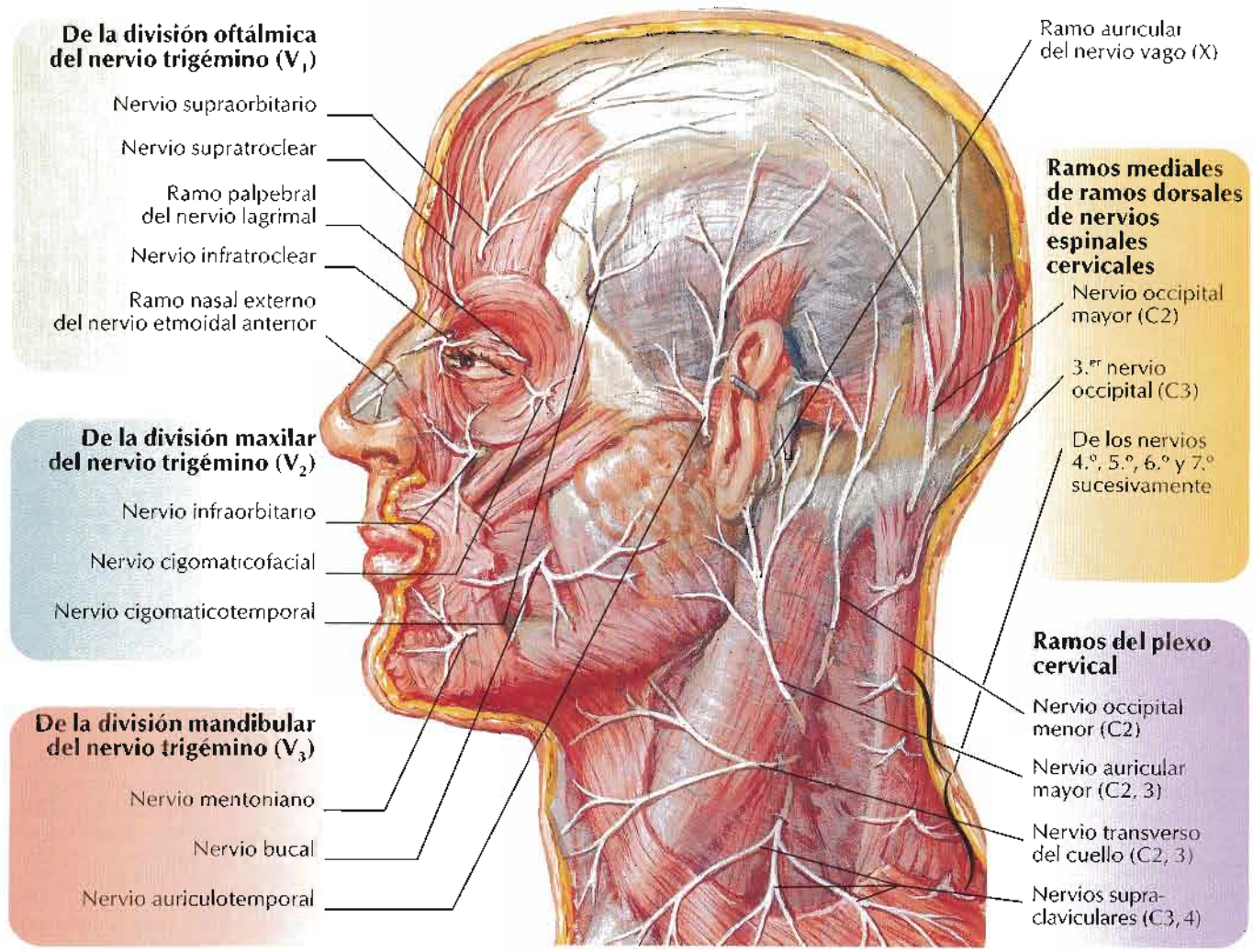


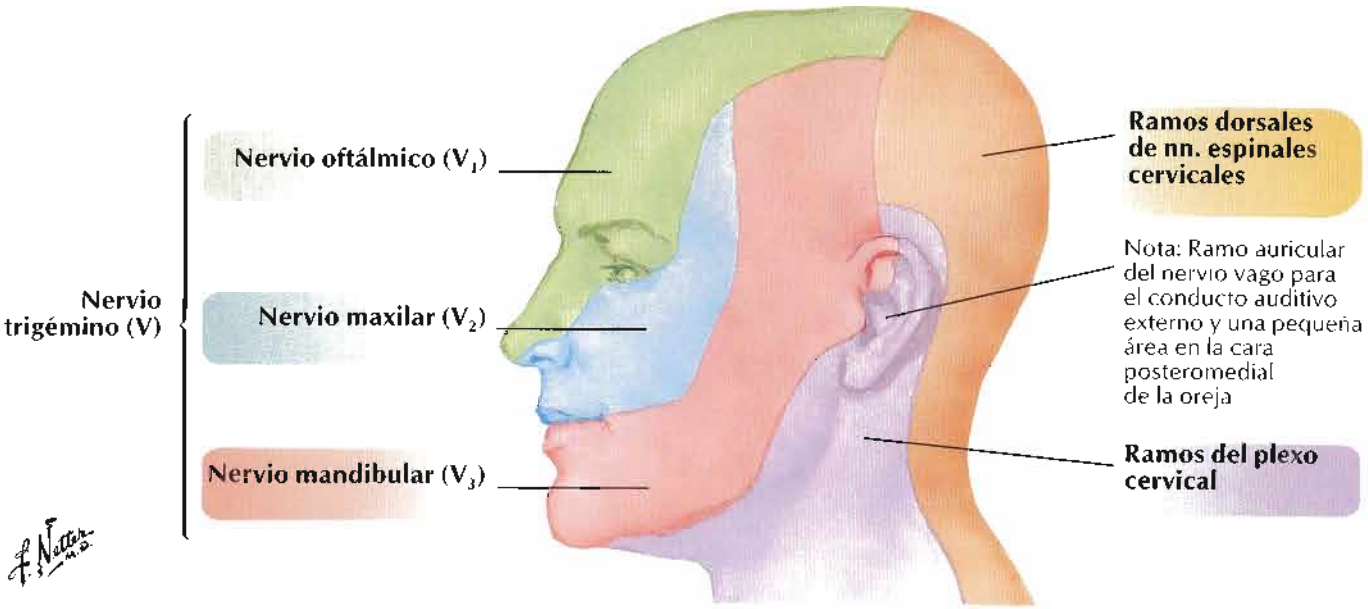
Vascularización arterial de la cara

Negro: de la arteria carótida interna (vía arteria oftálmica)
Rojo: de la arteria carótida externa

1 Nervios cutáneos de la cabeza y cuello

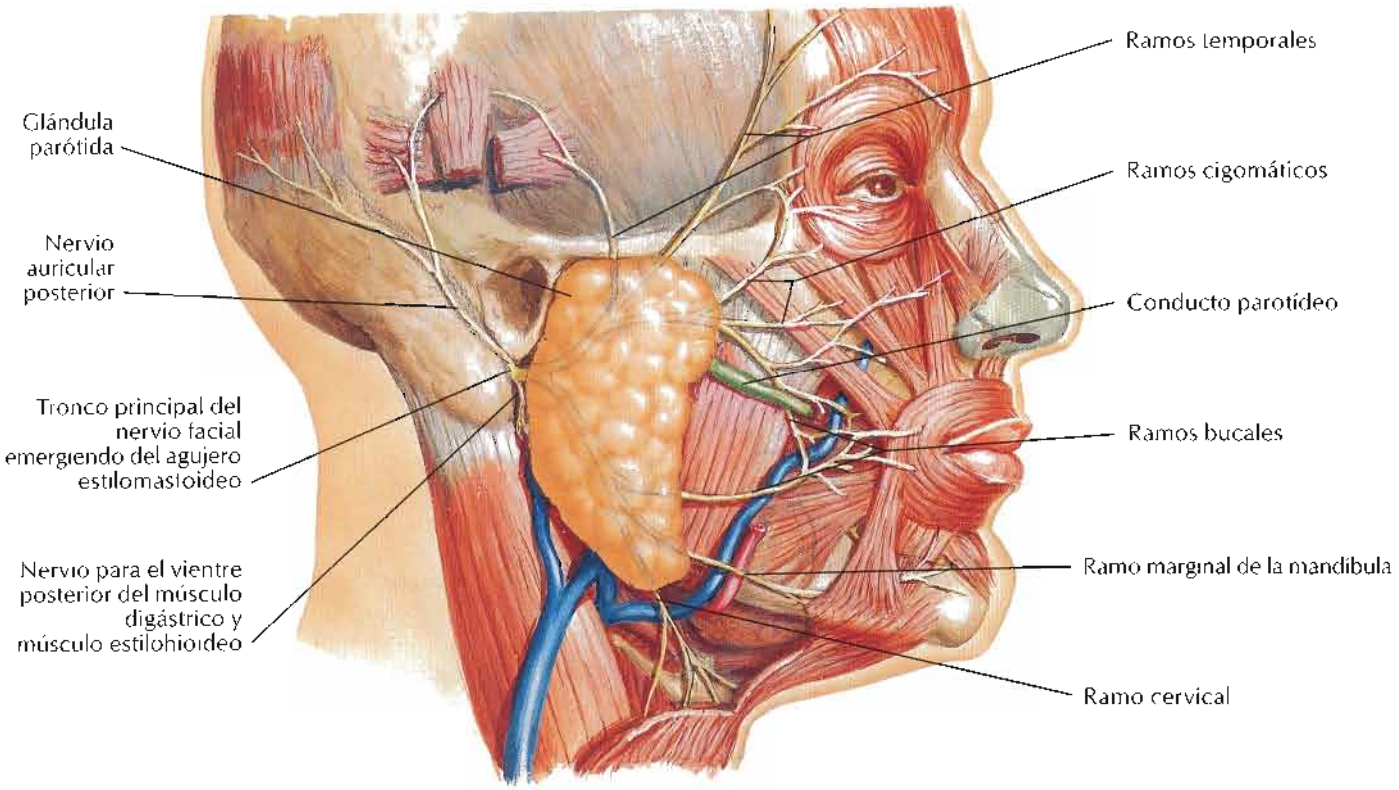
Véanse también **láminas 32, 36, 45, 46, 122**

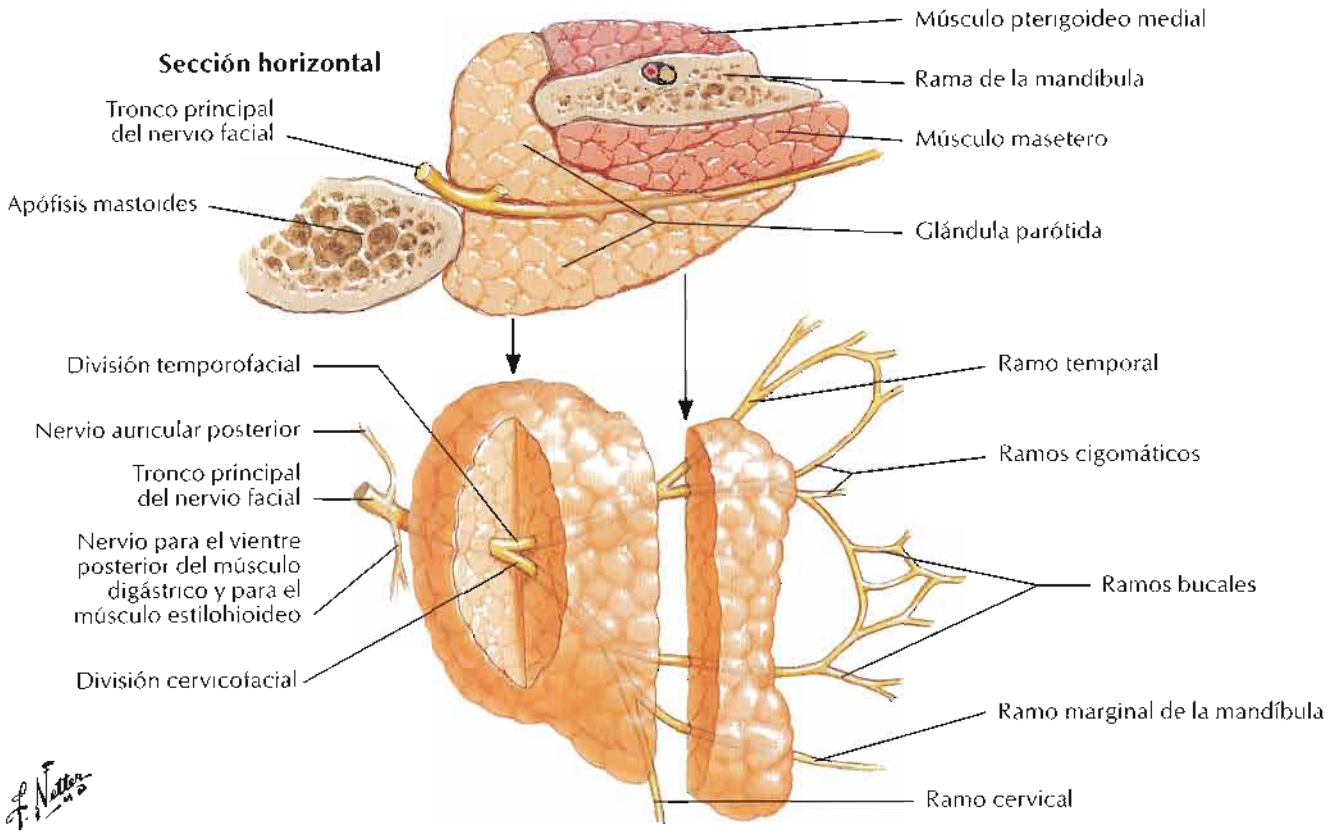




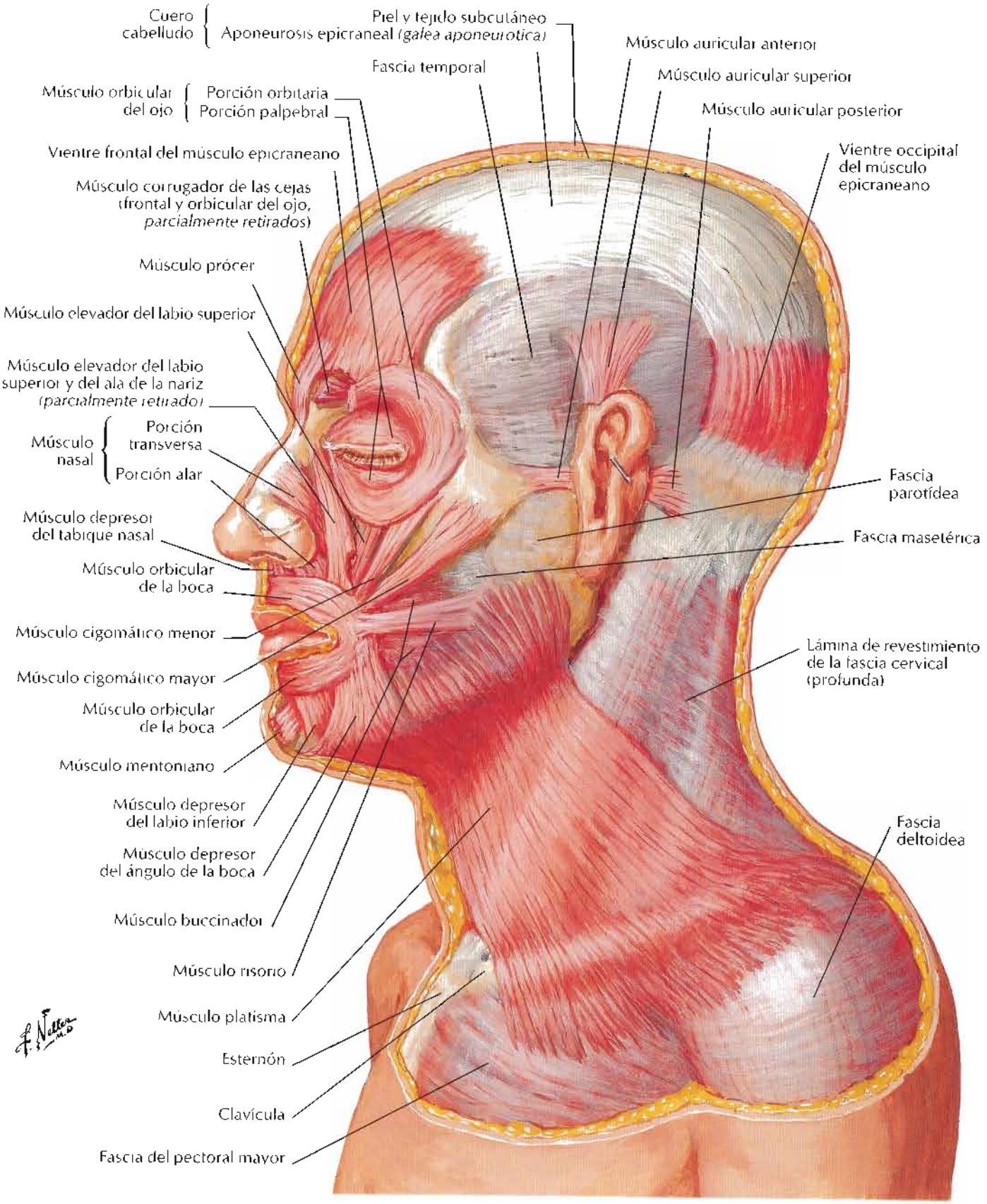
Ramos del nervio facial y glándula parótida

Véase también **lámina 123**

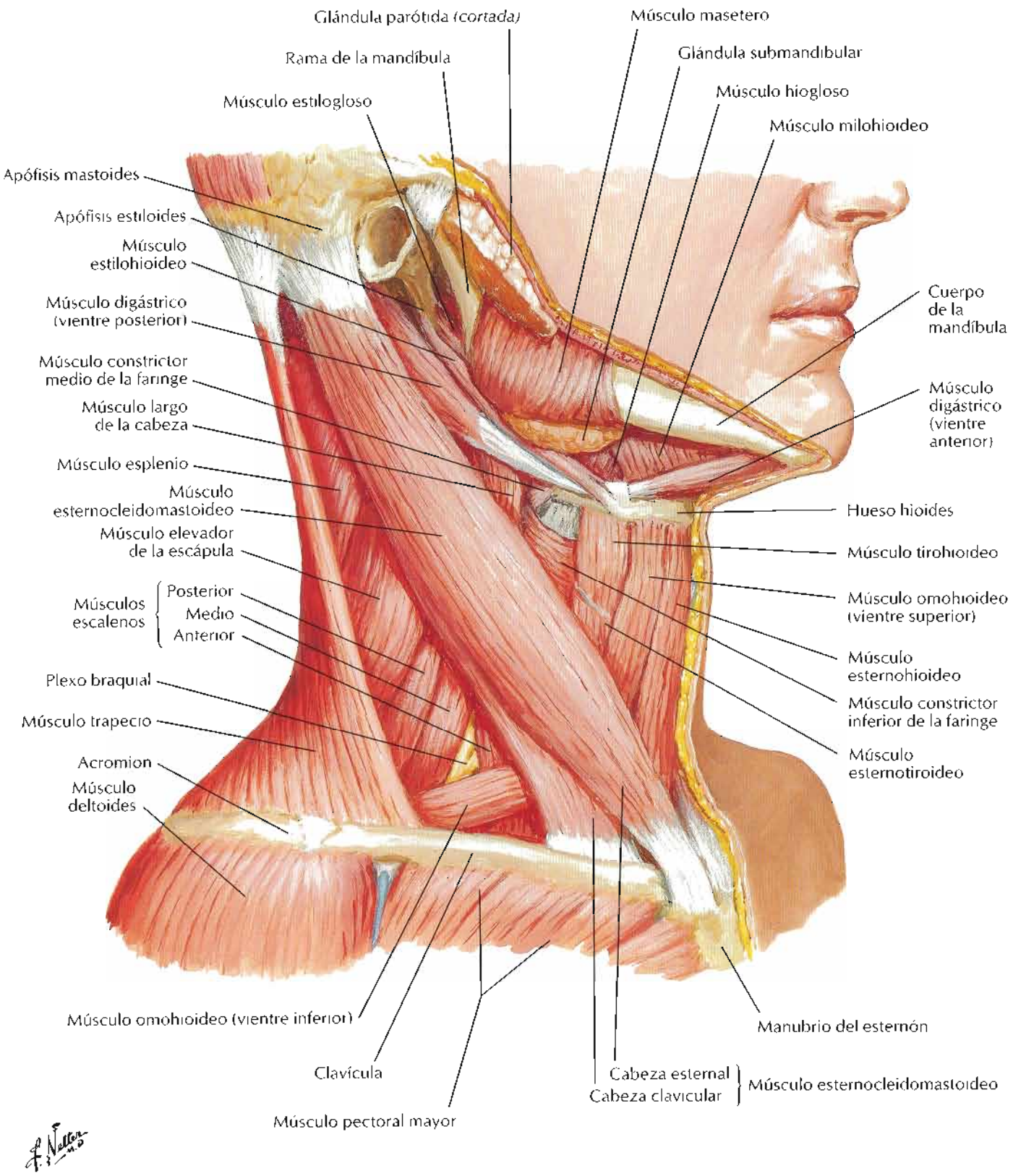




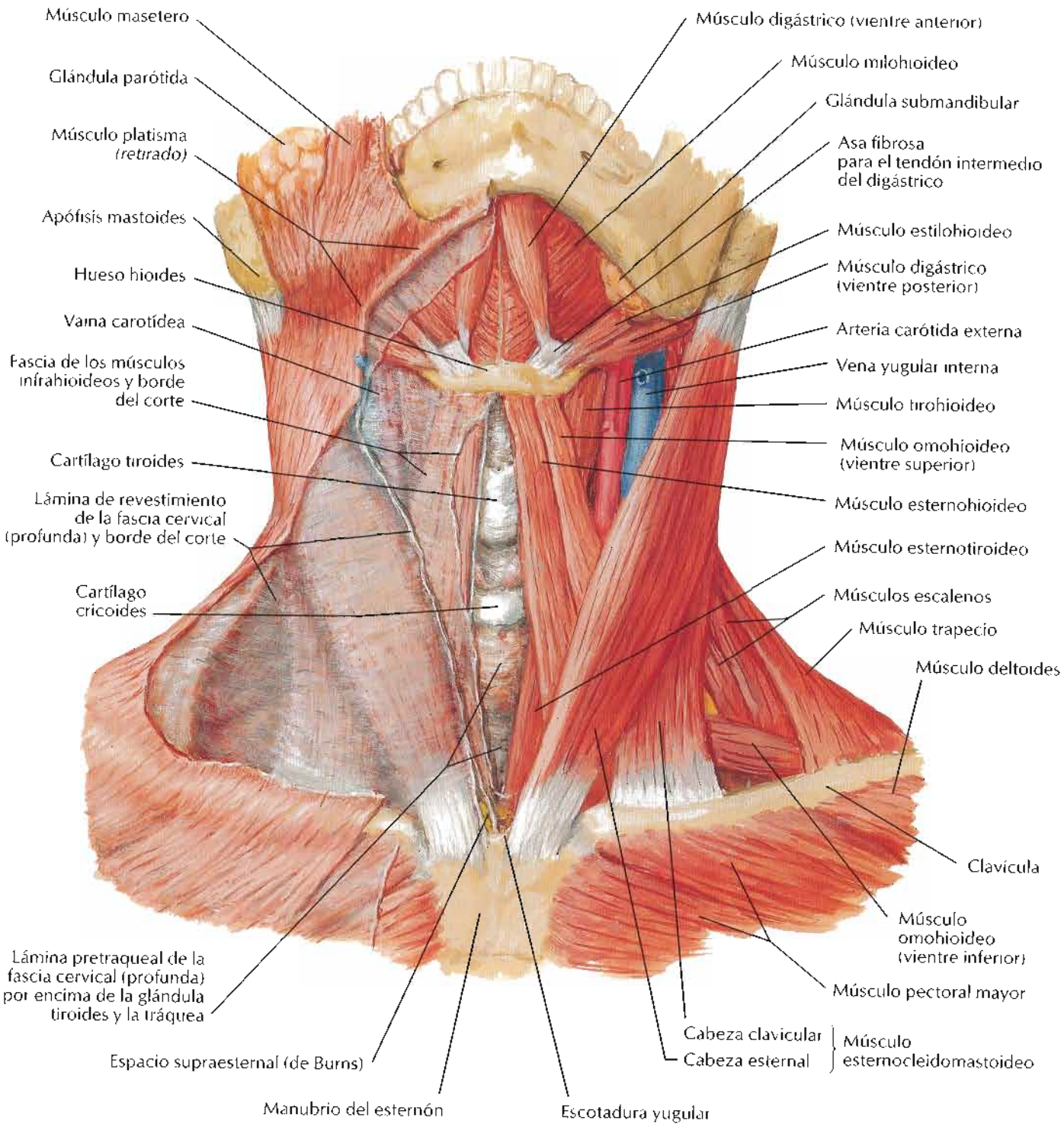
1 Músculos de la expresión facial: visión lateral



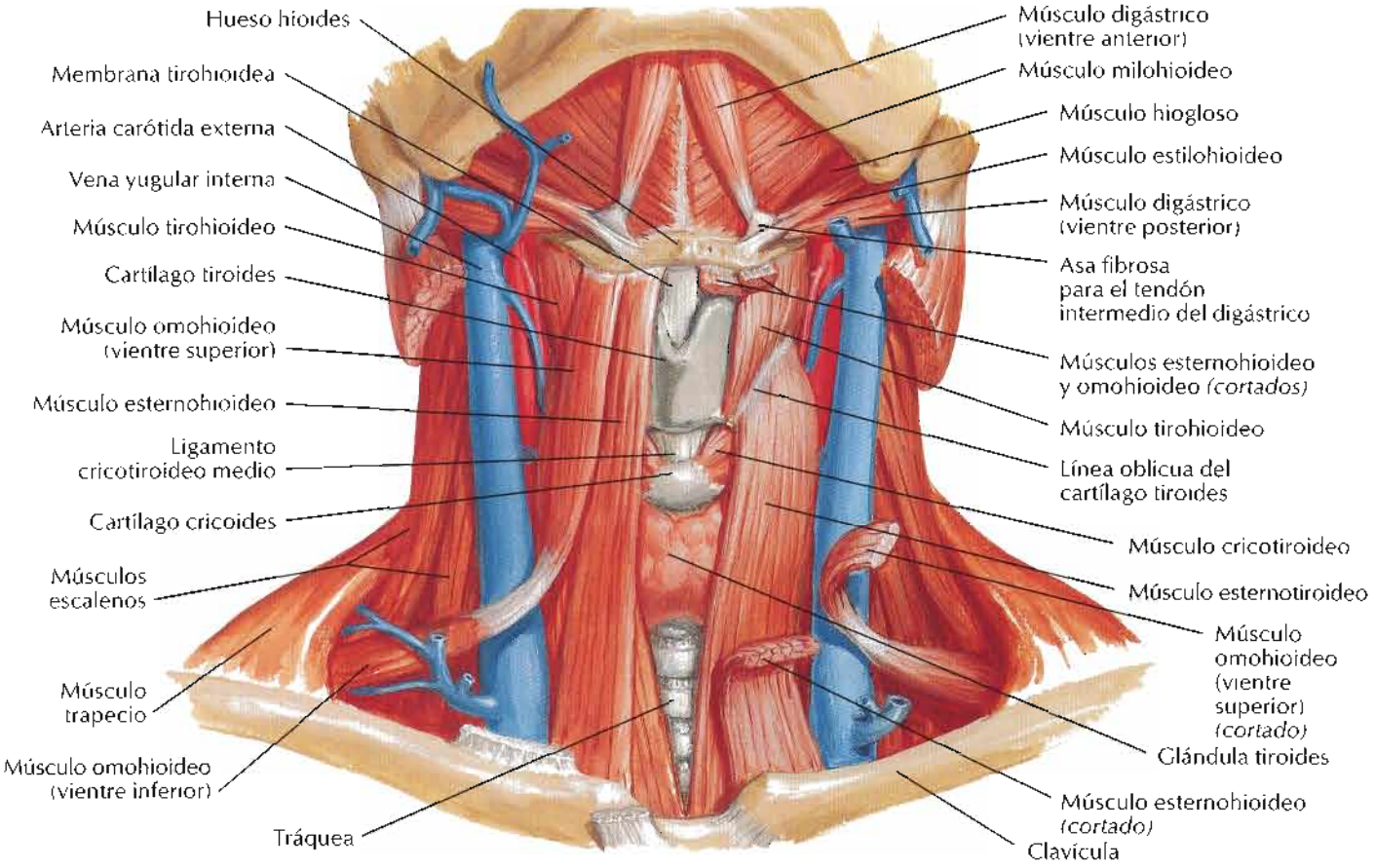
Músculos del cuello: visión lateral

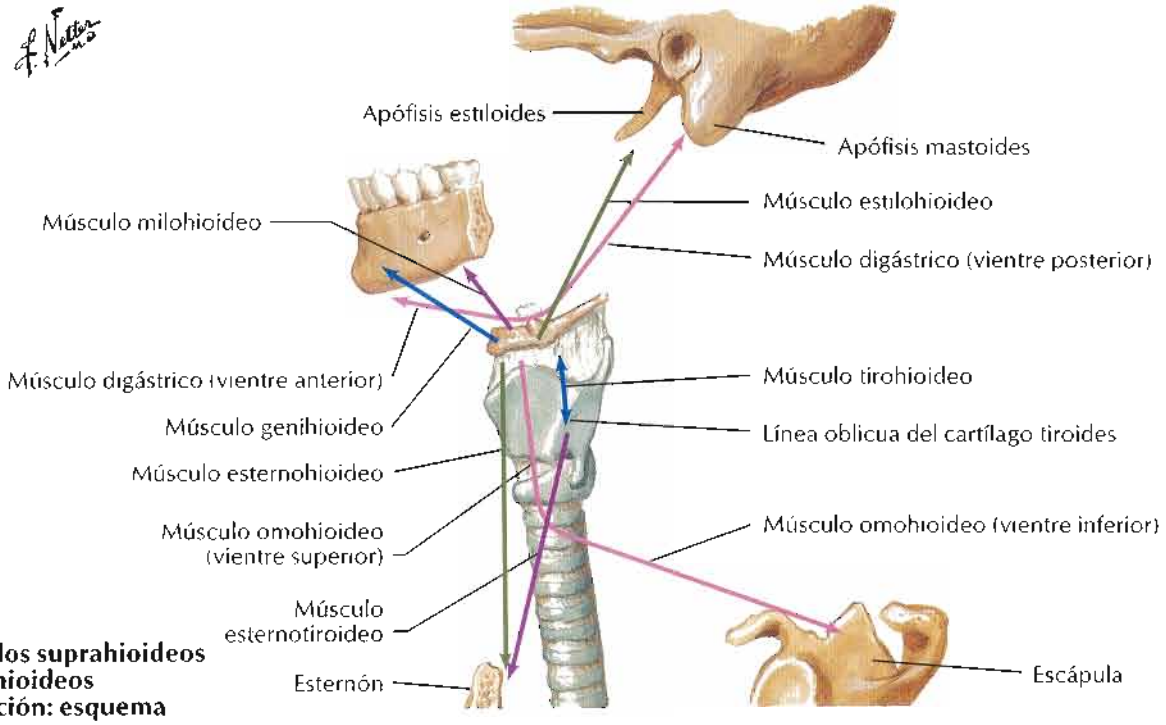


1 Músculos del cuello: visión anterior



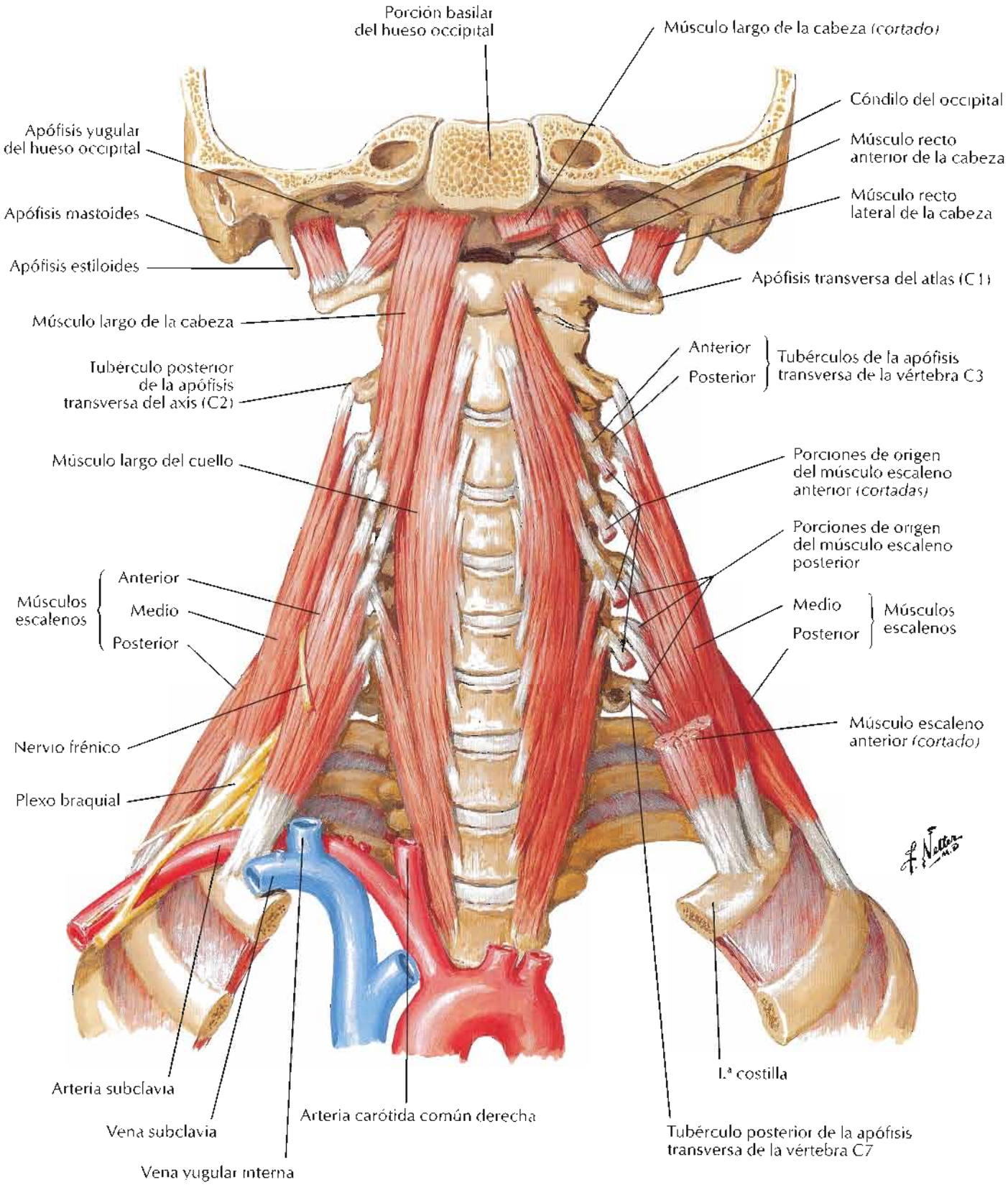
Véase también lámina 53





Músculos suprahioideos e infrahioideos y su acción: esquema

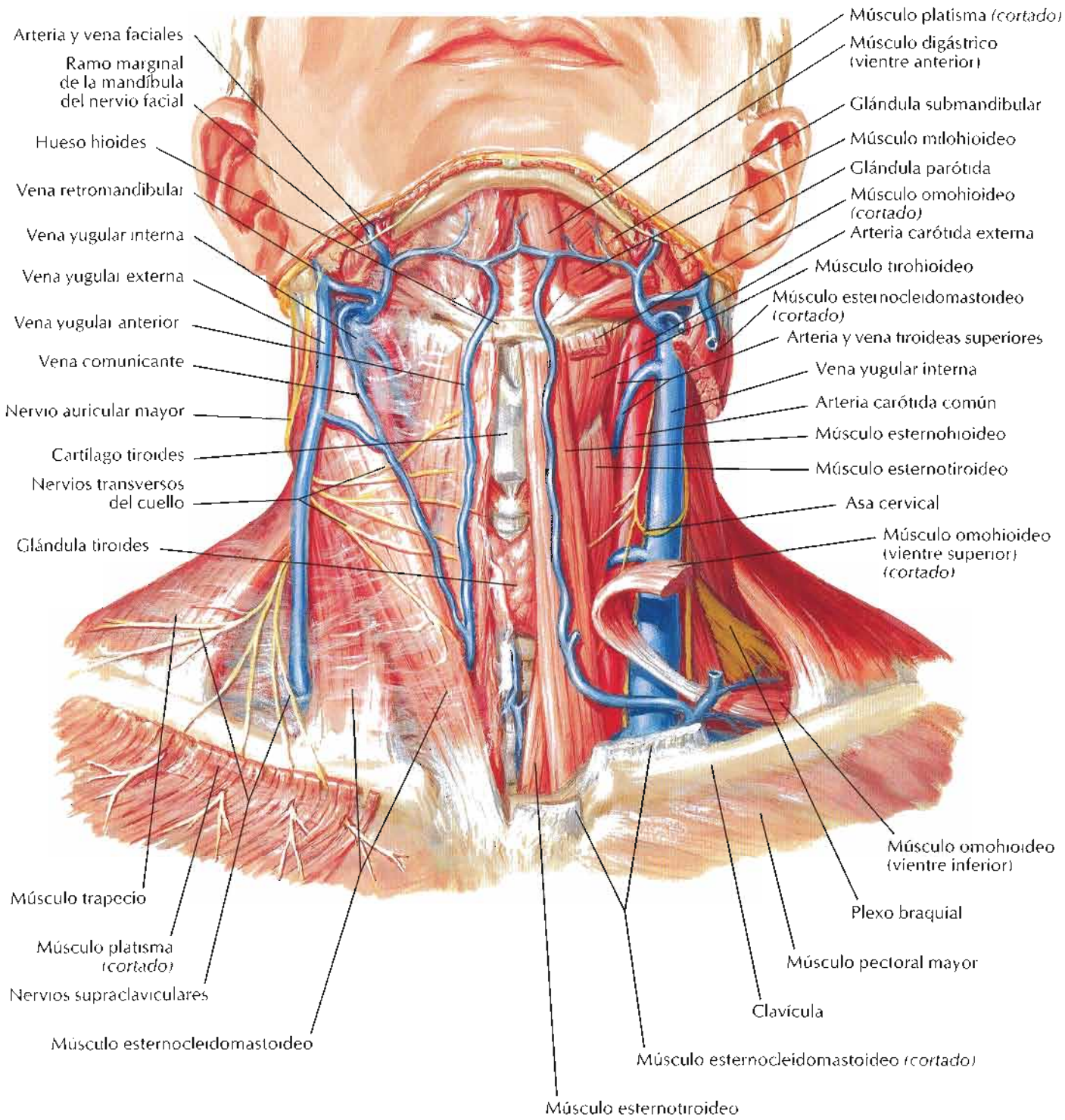
Músculos escalenos y prevertebrales



Venas superficiales y nervios cutáneos del cuello

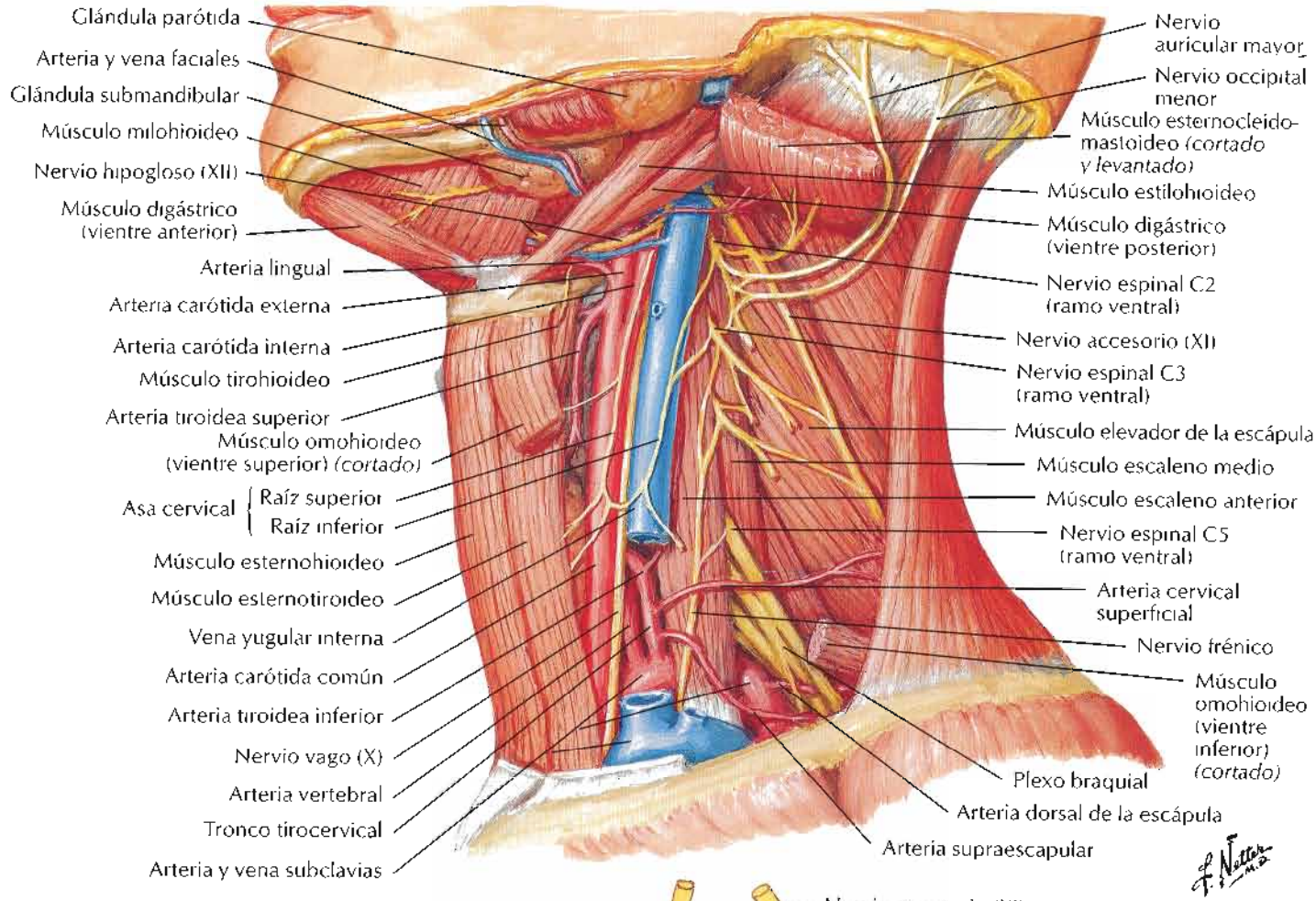
1

Para las venas profundas del cuello véase **lámina 70**



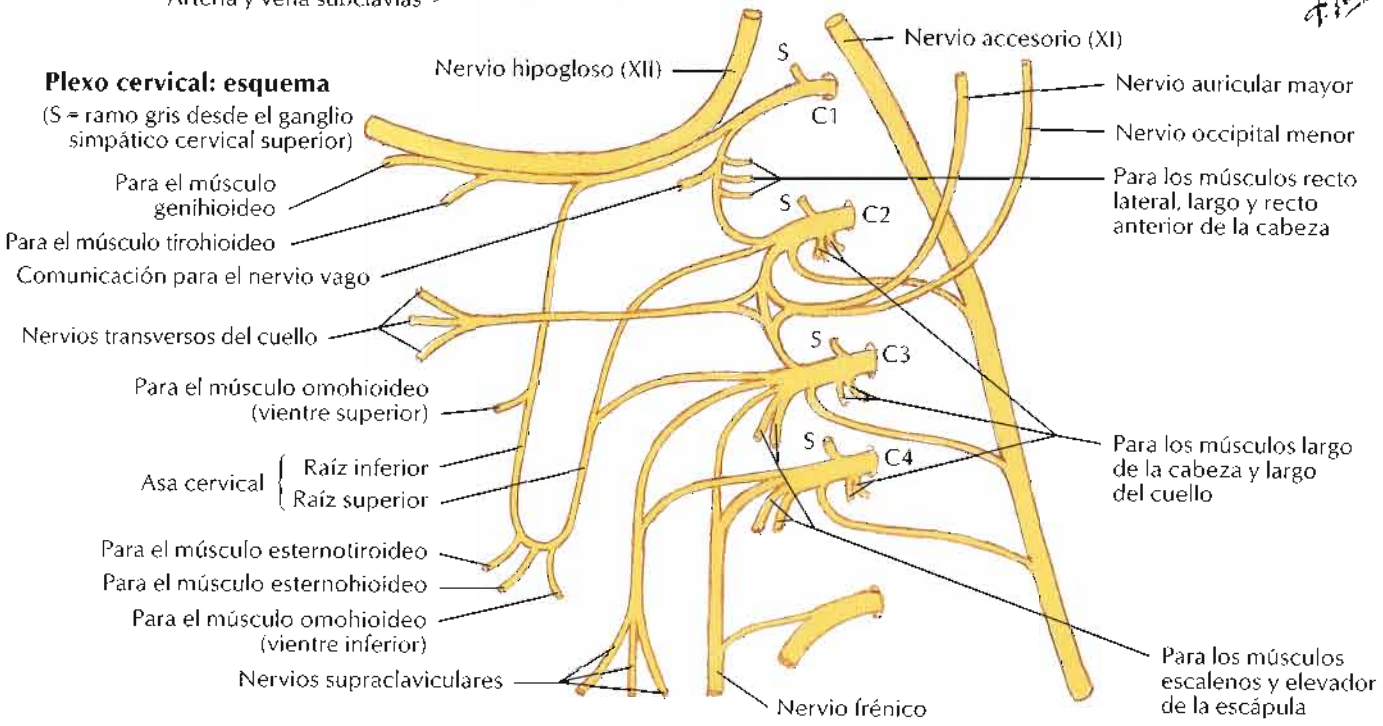
1 Plexo cervical in situ

Véanse también **láminas 127–129, 193**



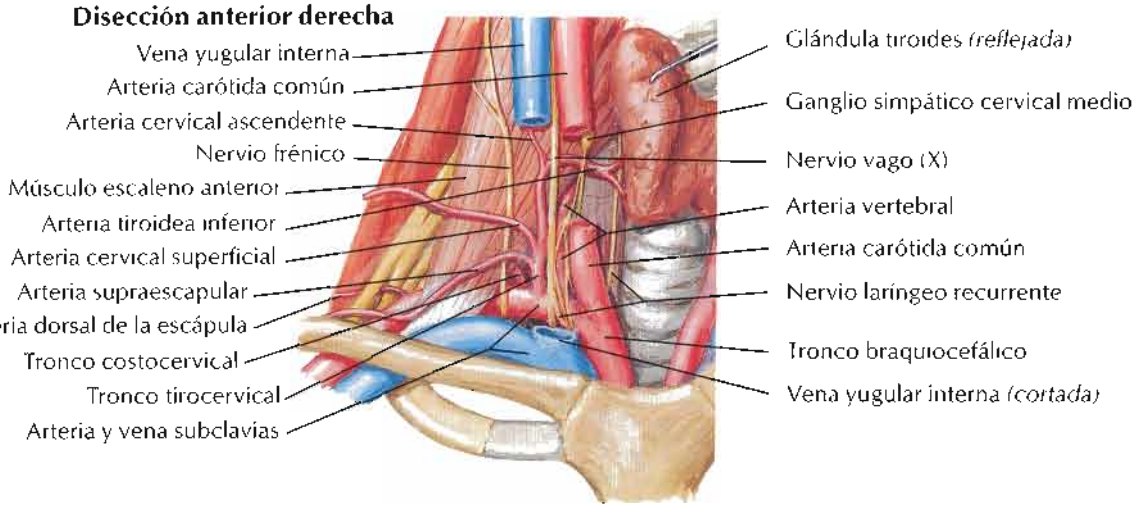
Plexo cervical: esquema

(S = ramo gris desde el ganglio simpático cervical superior)

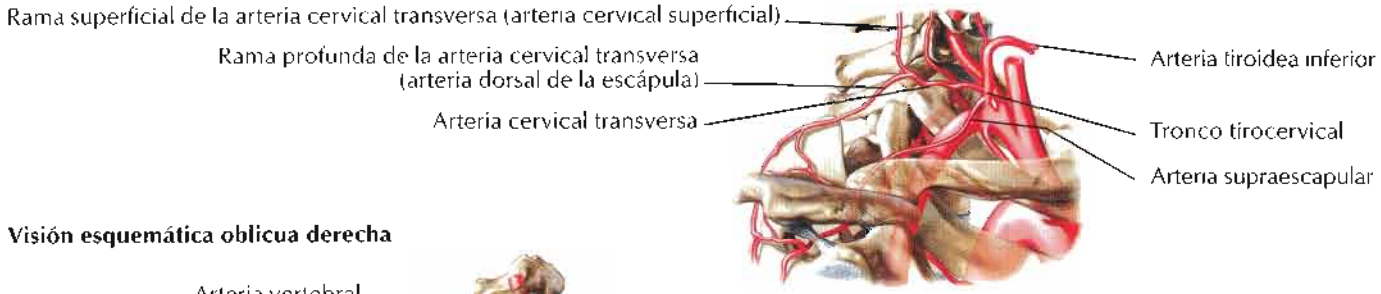


Véase también lámina 427

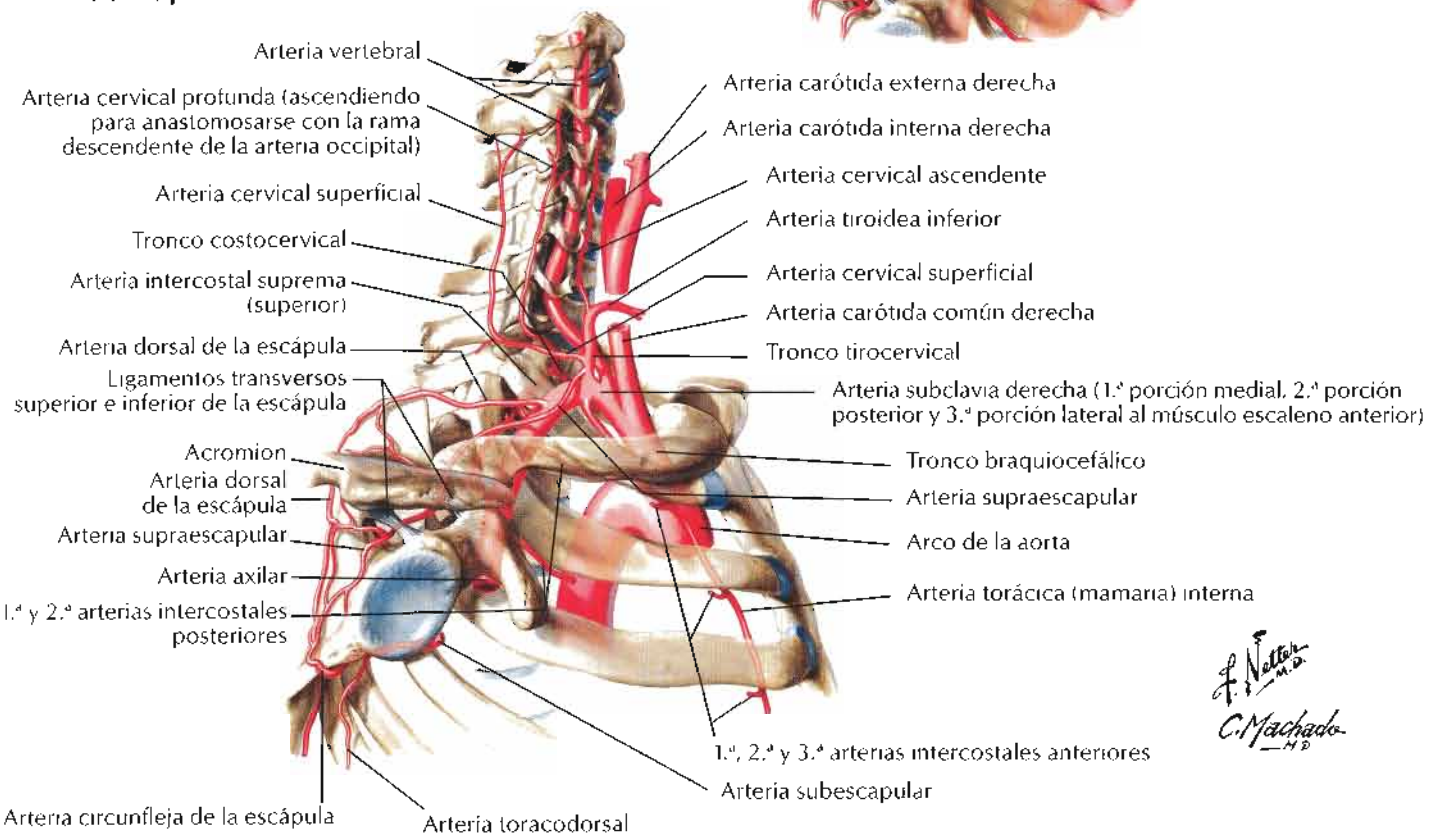
Disección anterior derecha



Origen común de las arterias cervical superficial y dorsal de la escápula de la arteria cervical transversa (~30%)



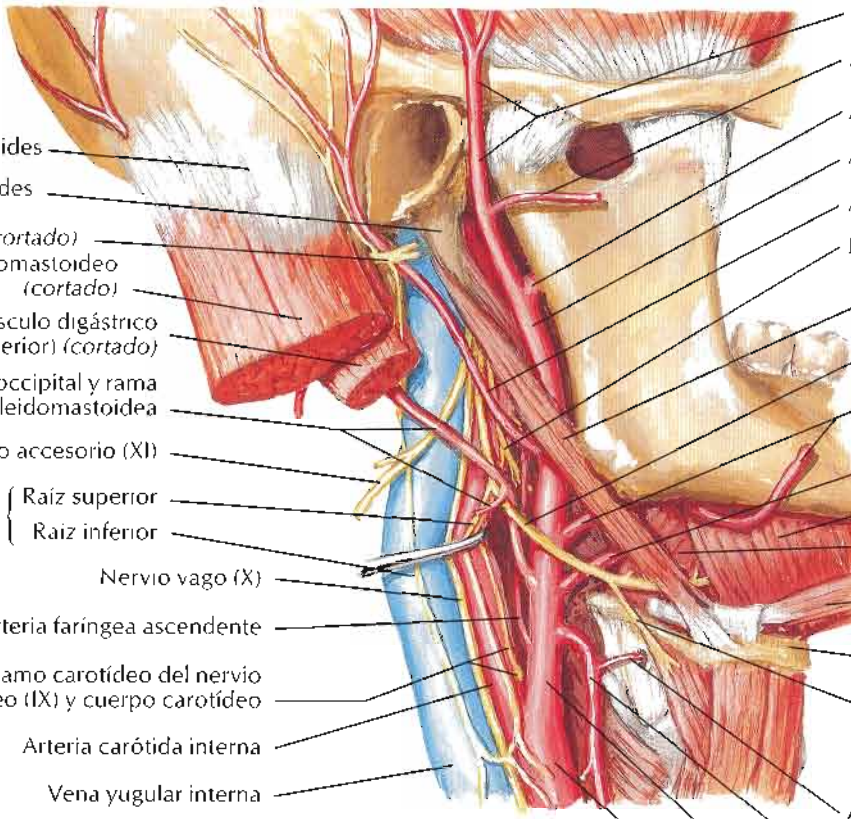
Visión esquemática oblicua derecha

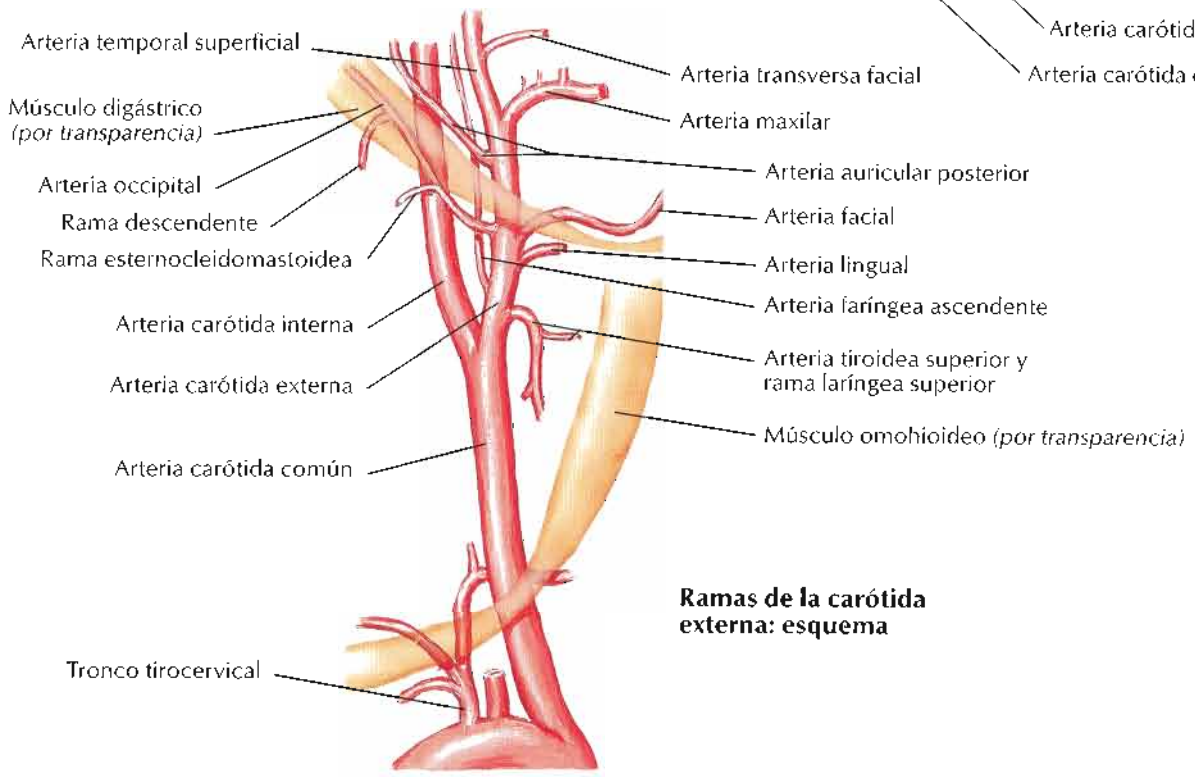


Arterias carótidas

Véanse también **láminas 136, 138**

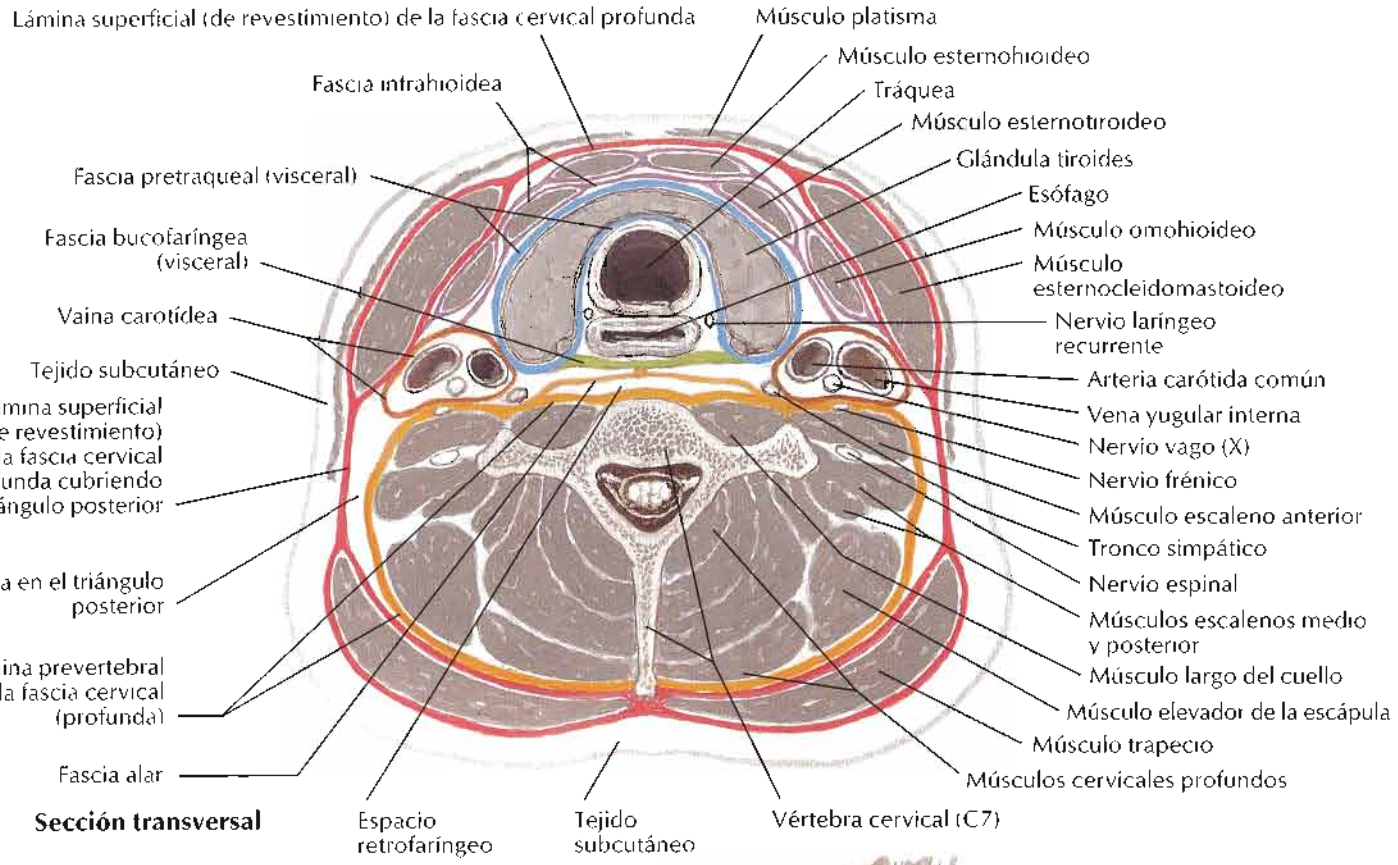
Espacio (lecho) parotídeo: disección lateral derecha

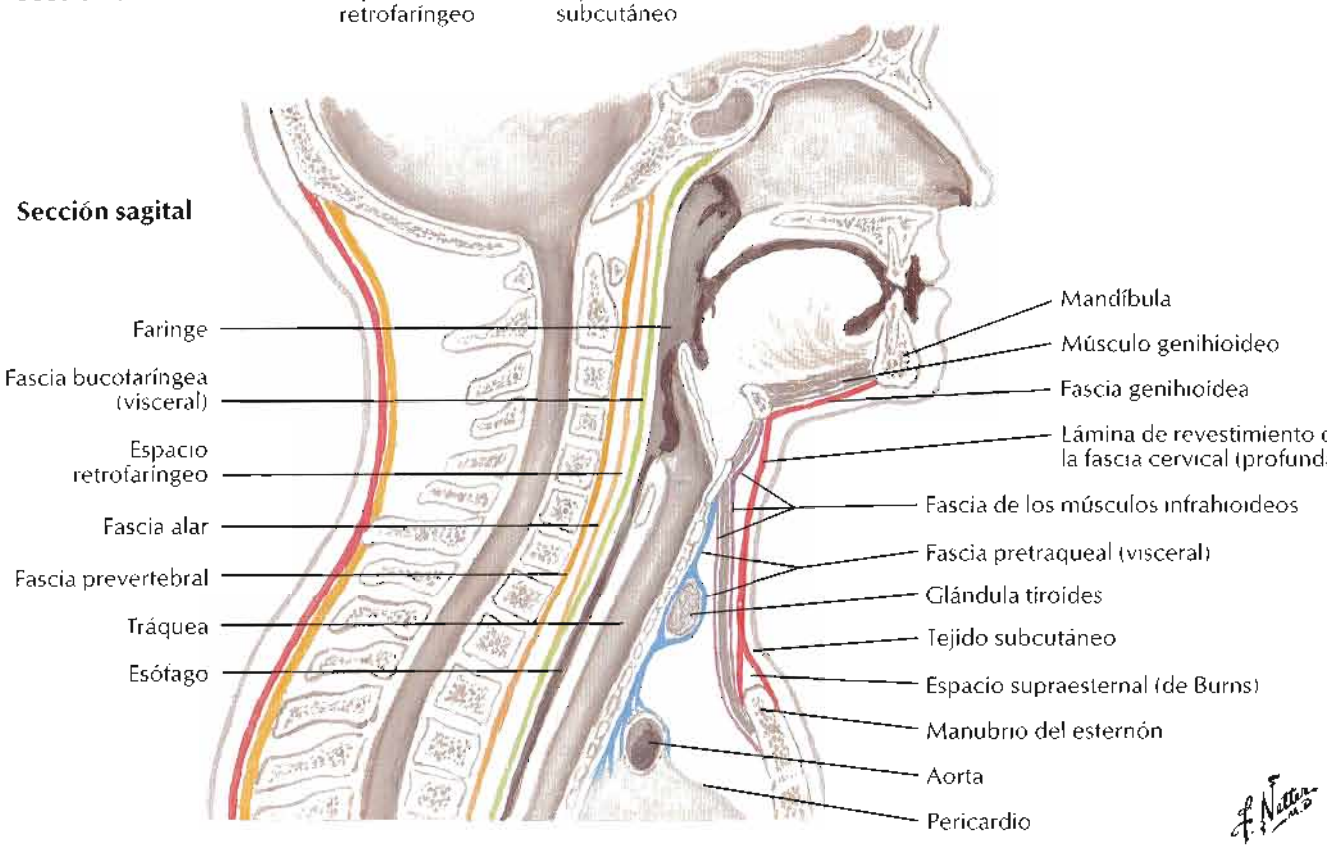




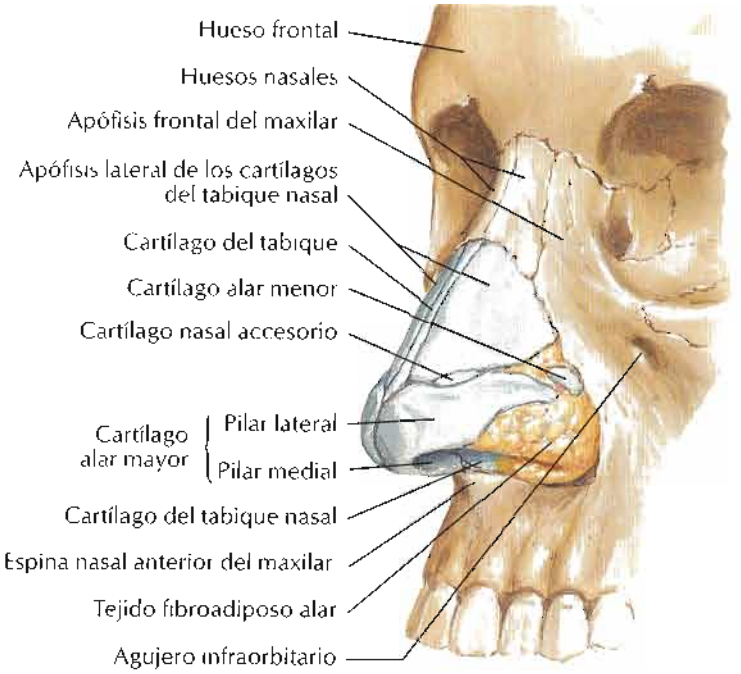
Ramas de la carótida externa: esquema

Para contenidos de la vaina carotídea véanse **láminas 69–71**

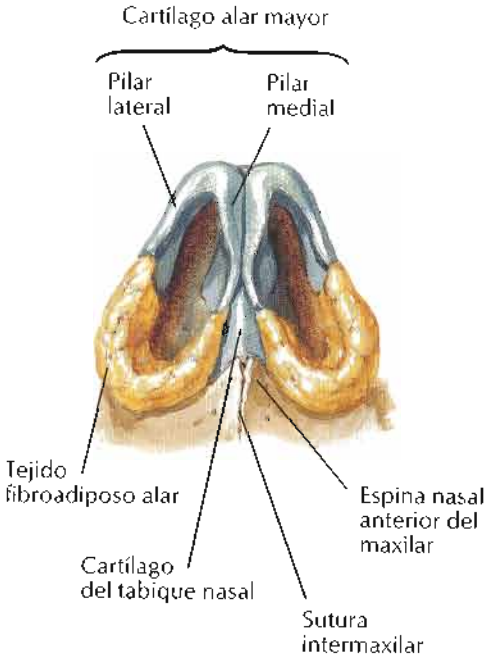


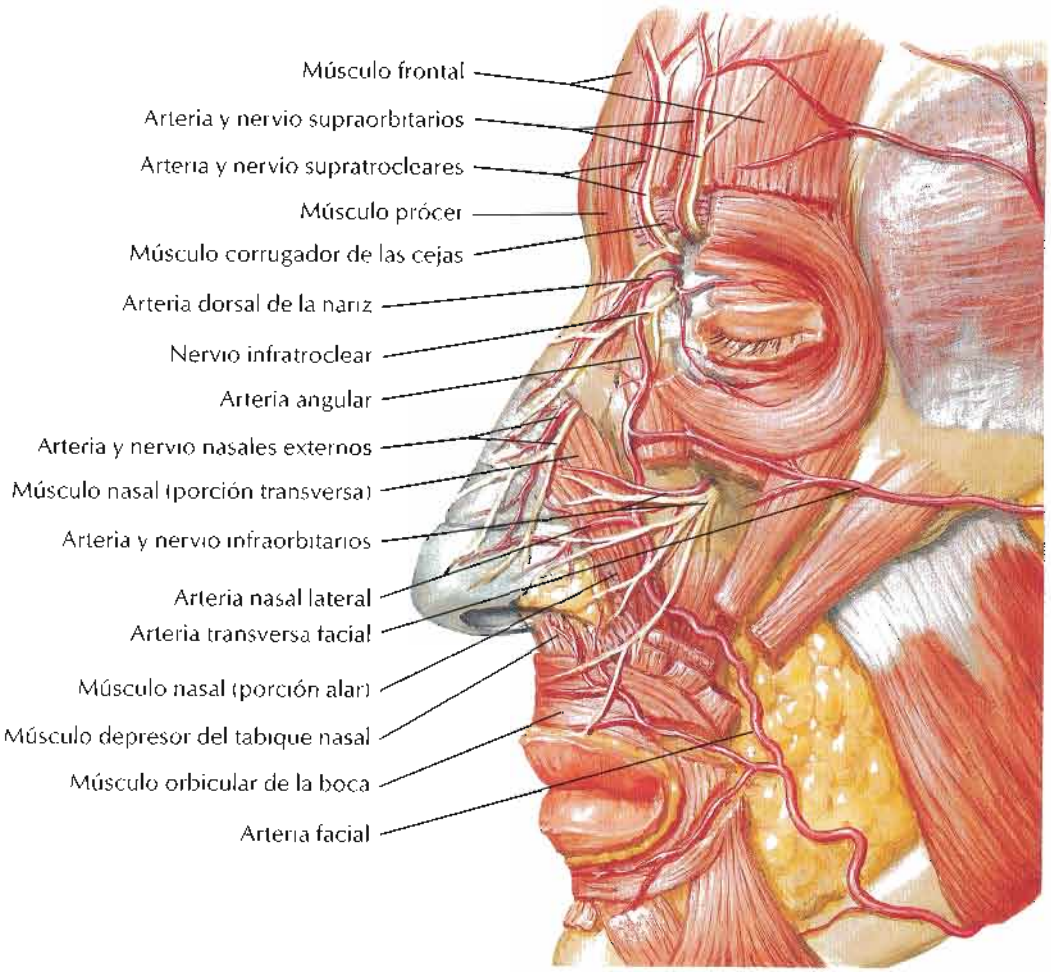


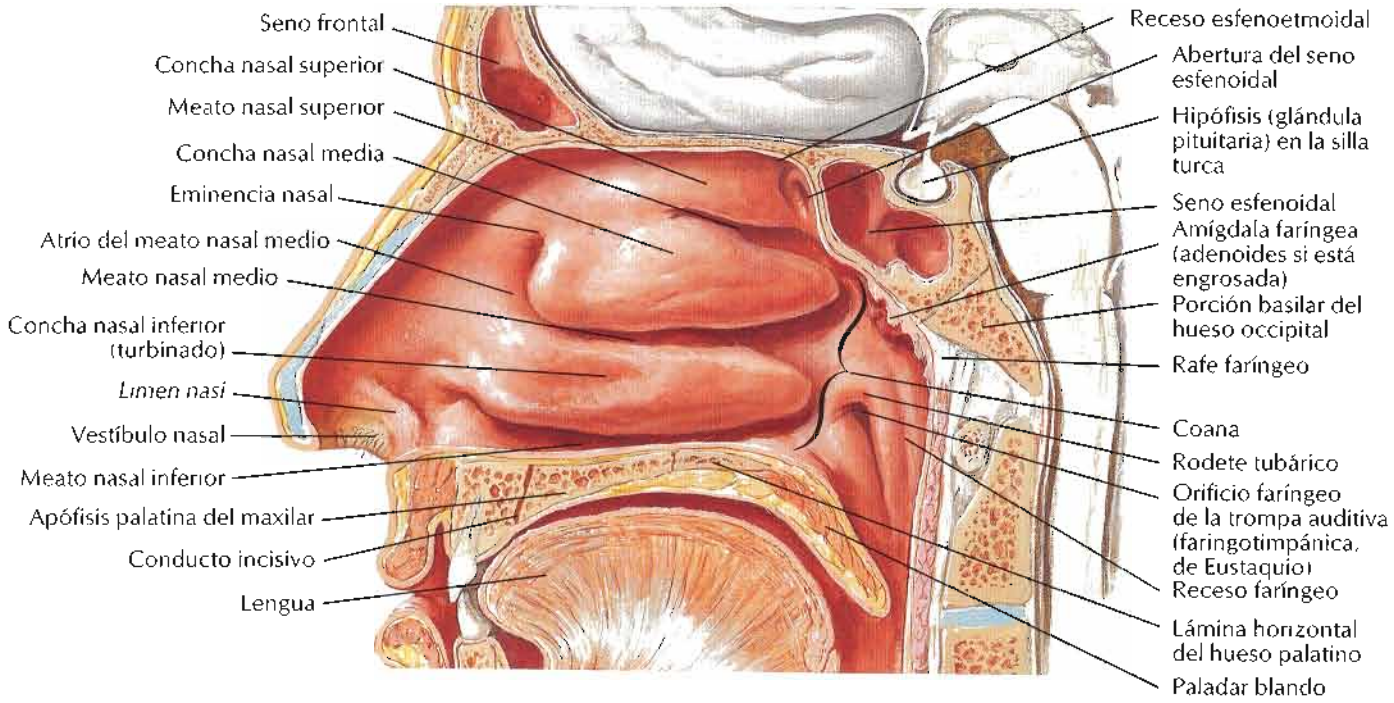
Visión anterolateral

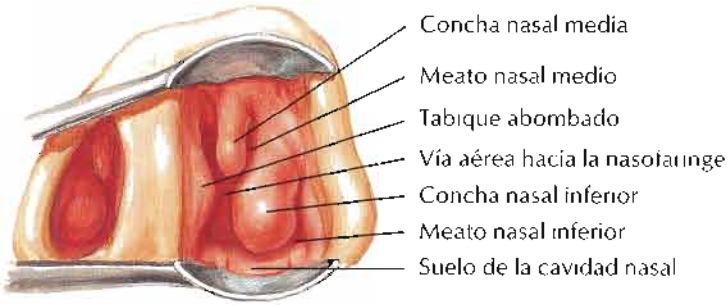


Visión inferior

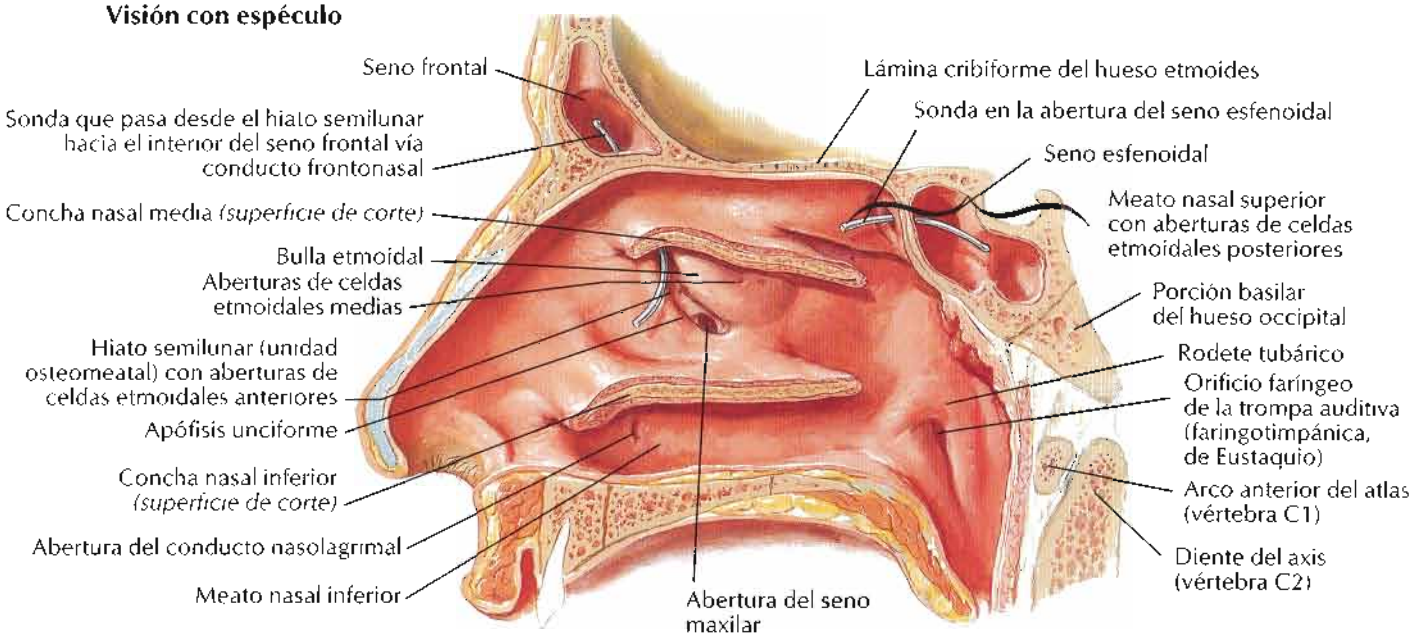






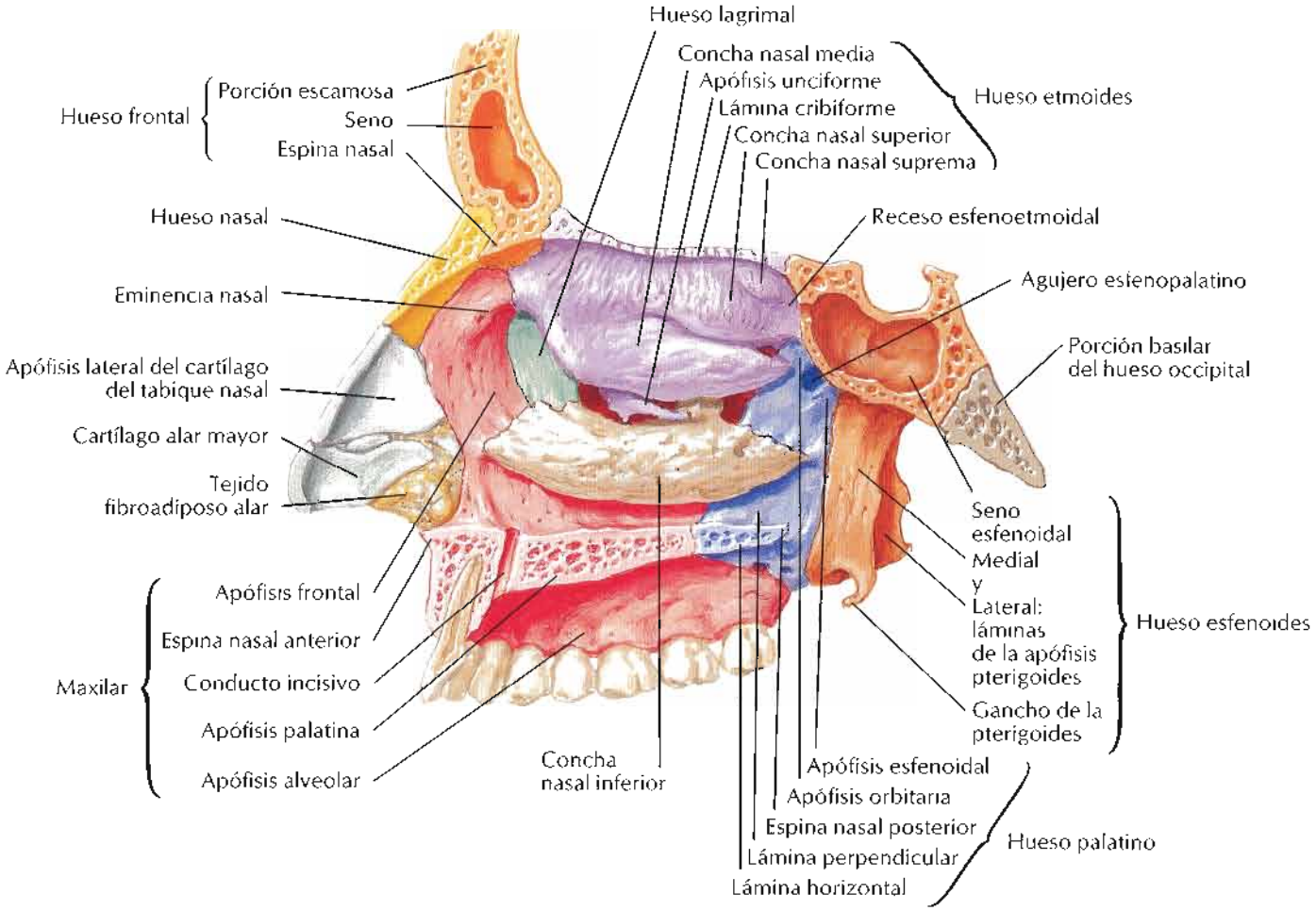


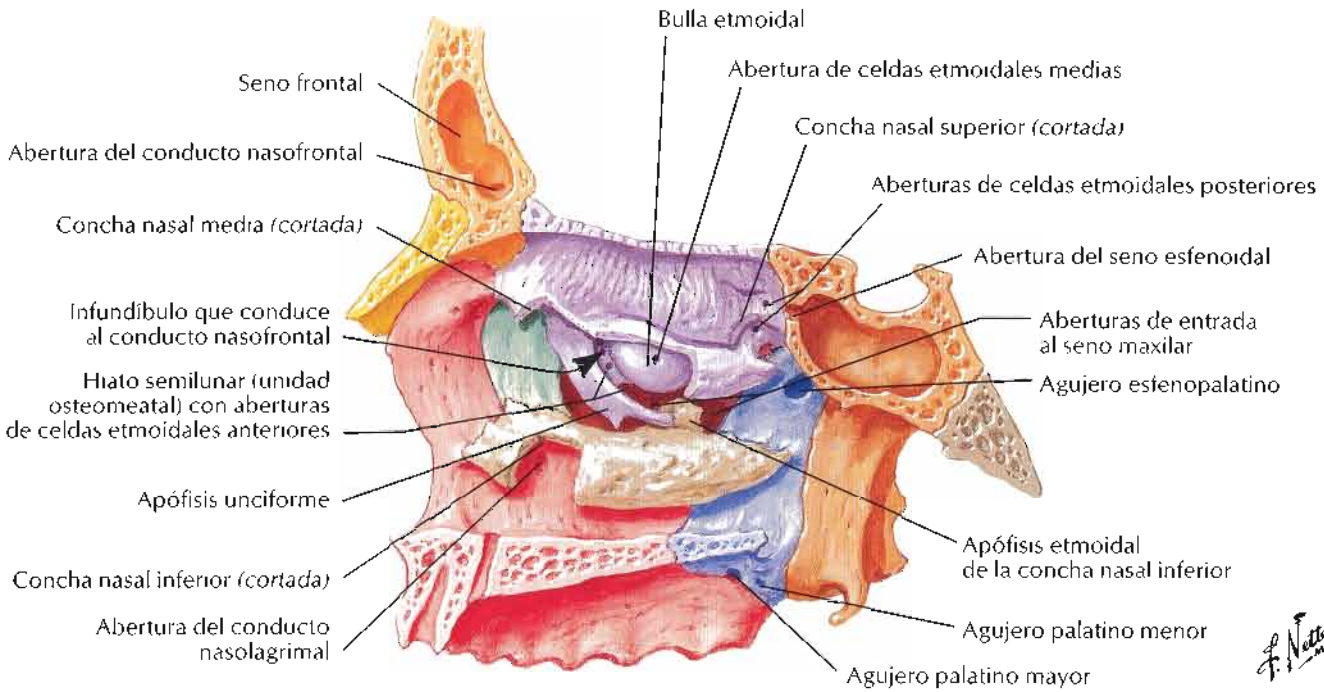
Visión con espéculo



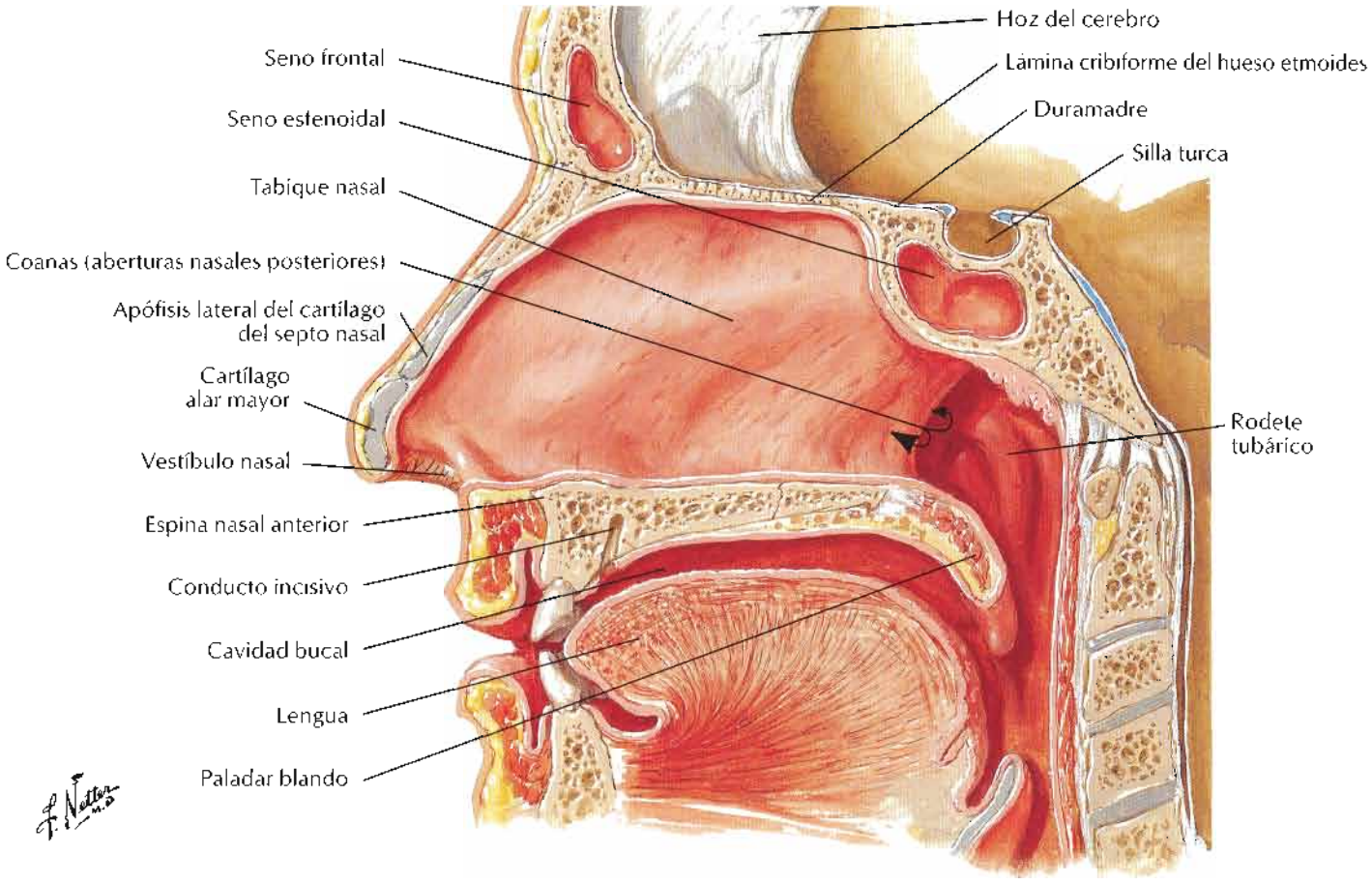
1 Pared lateral de la cavidad nasal *(continuación)*

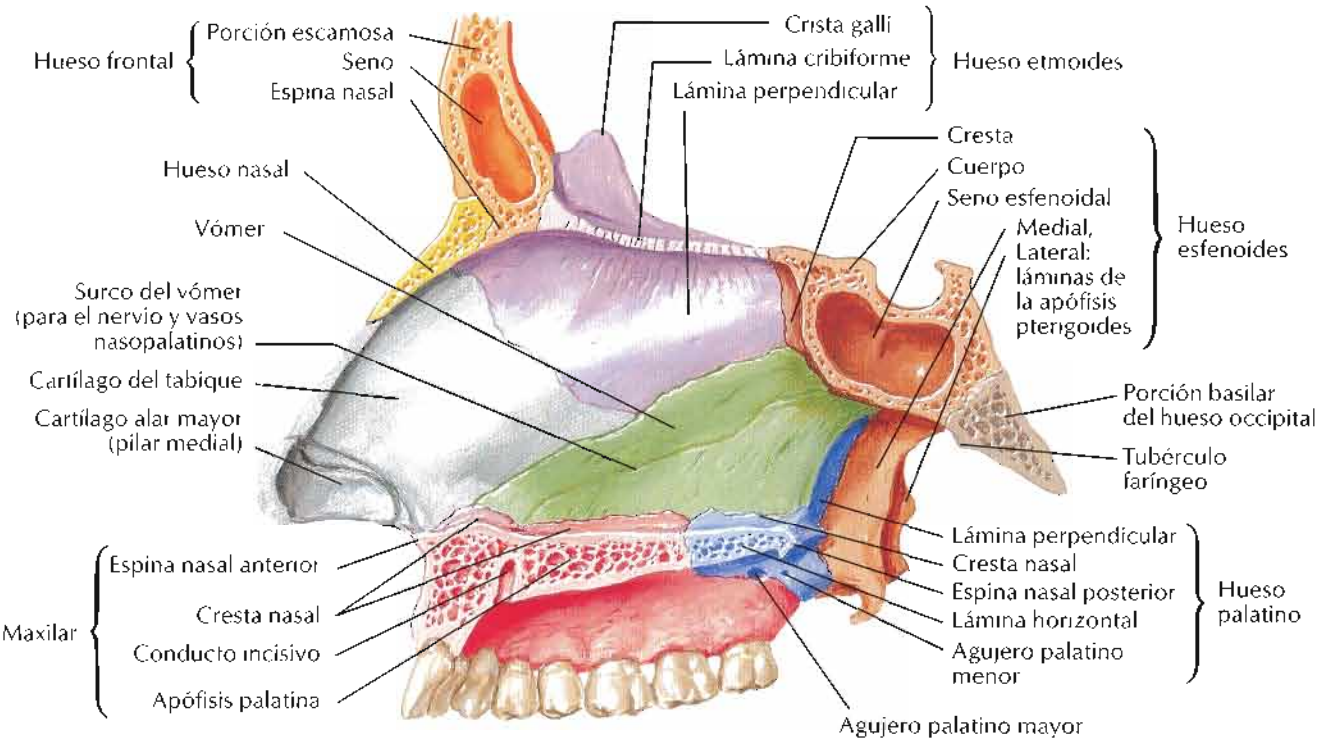
Véase también **lámina 6**





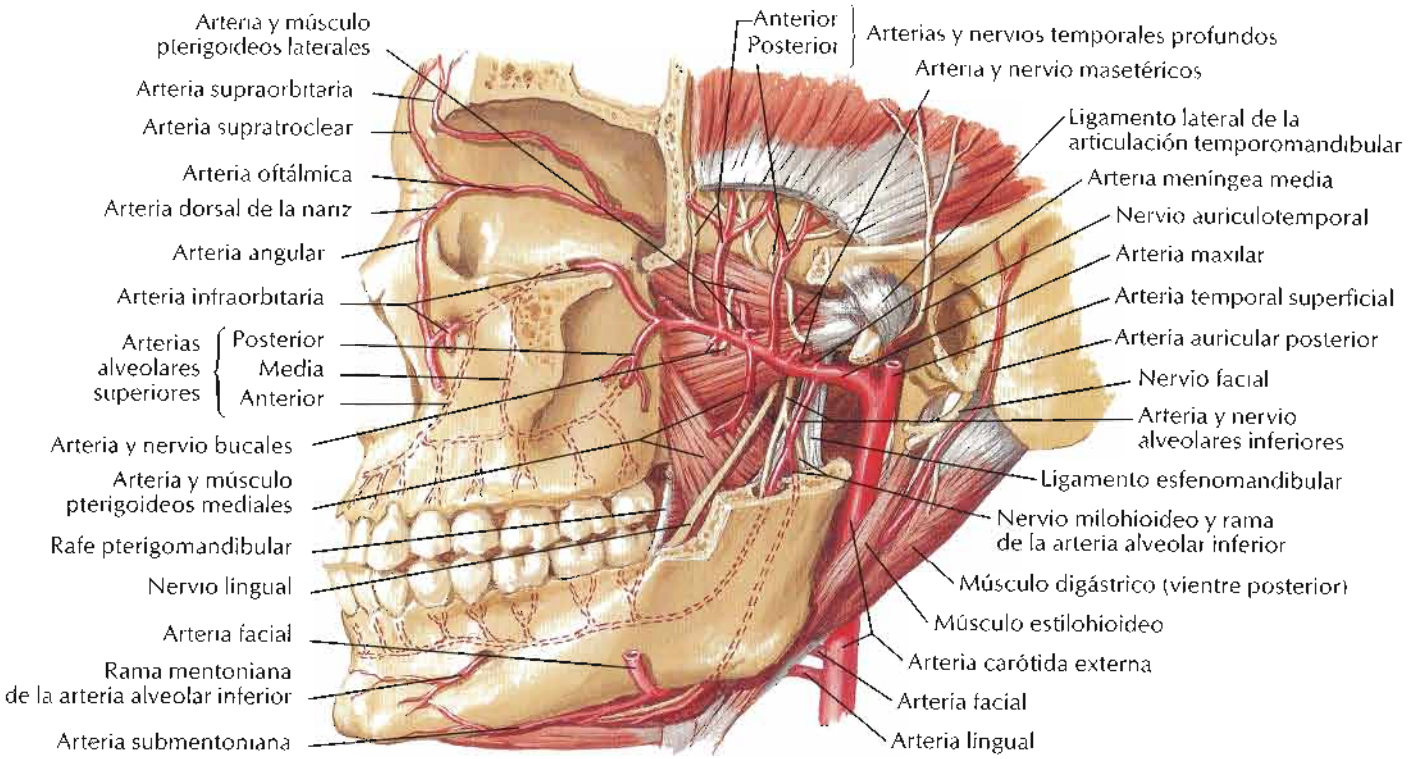
Pared medial de la cavidad nasal (tabique nasal)

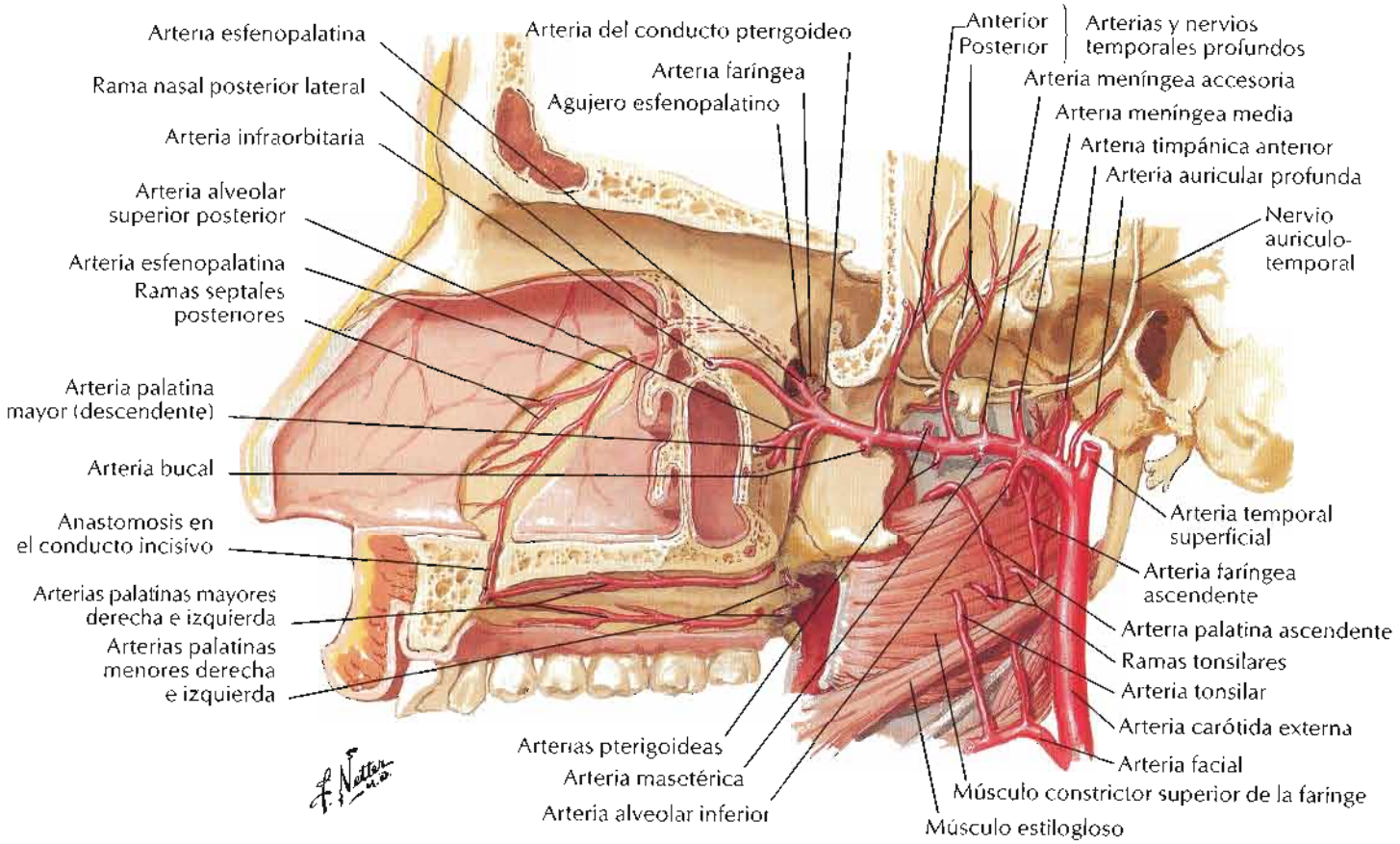




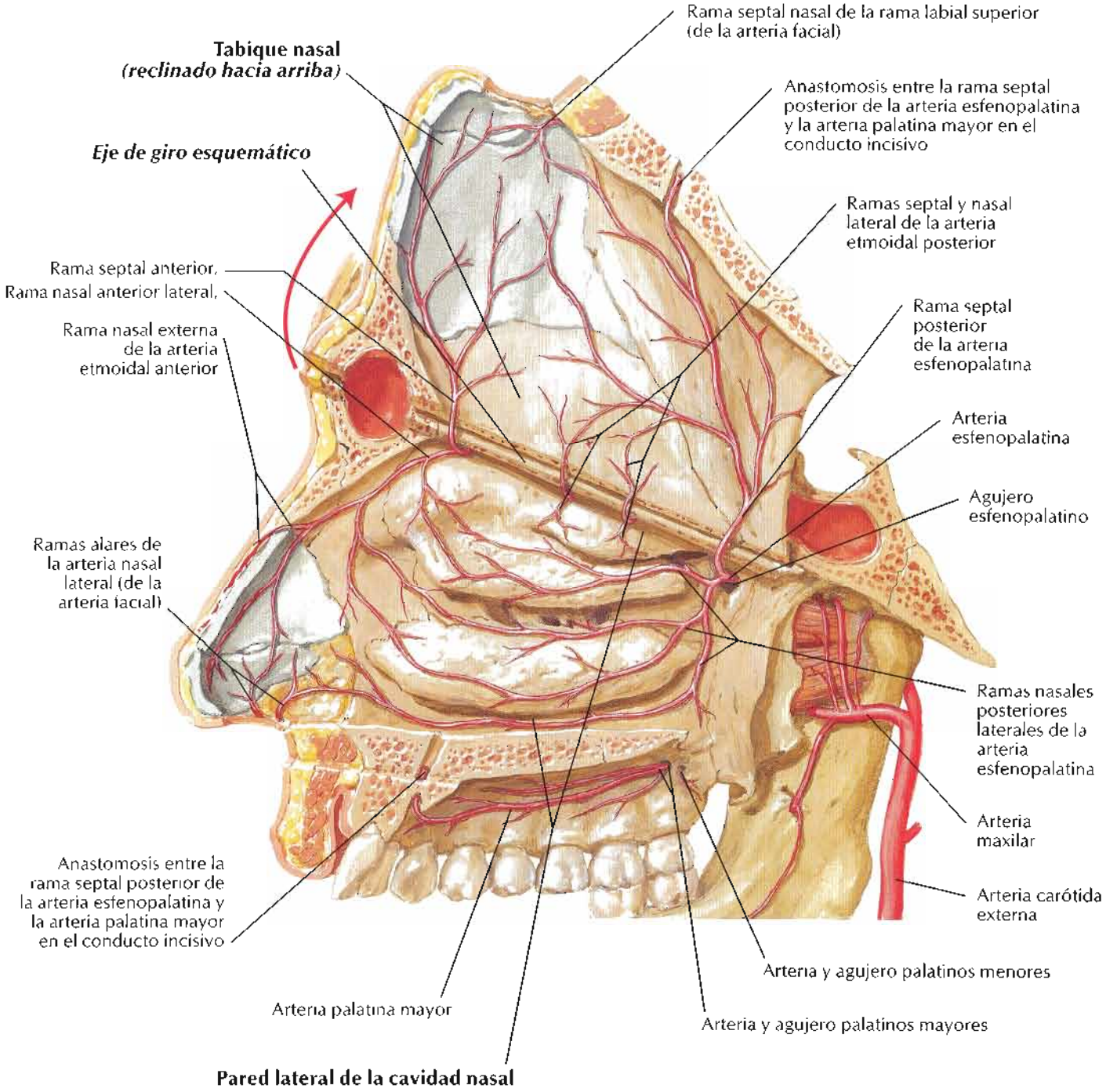
1 Arteria maxilar

Véase también **lámina 34**



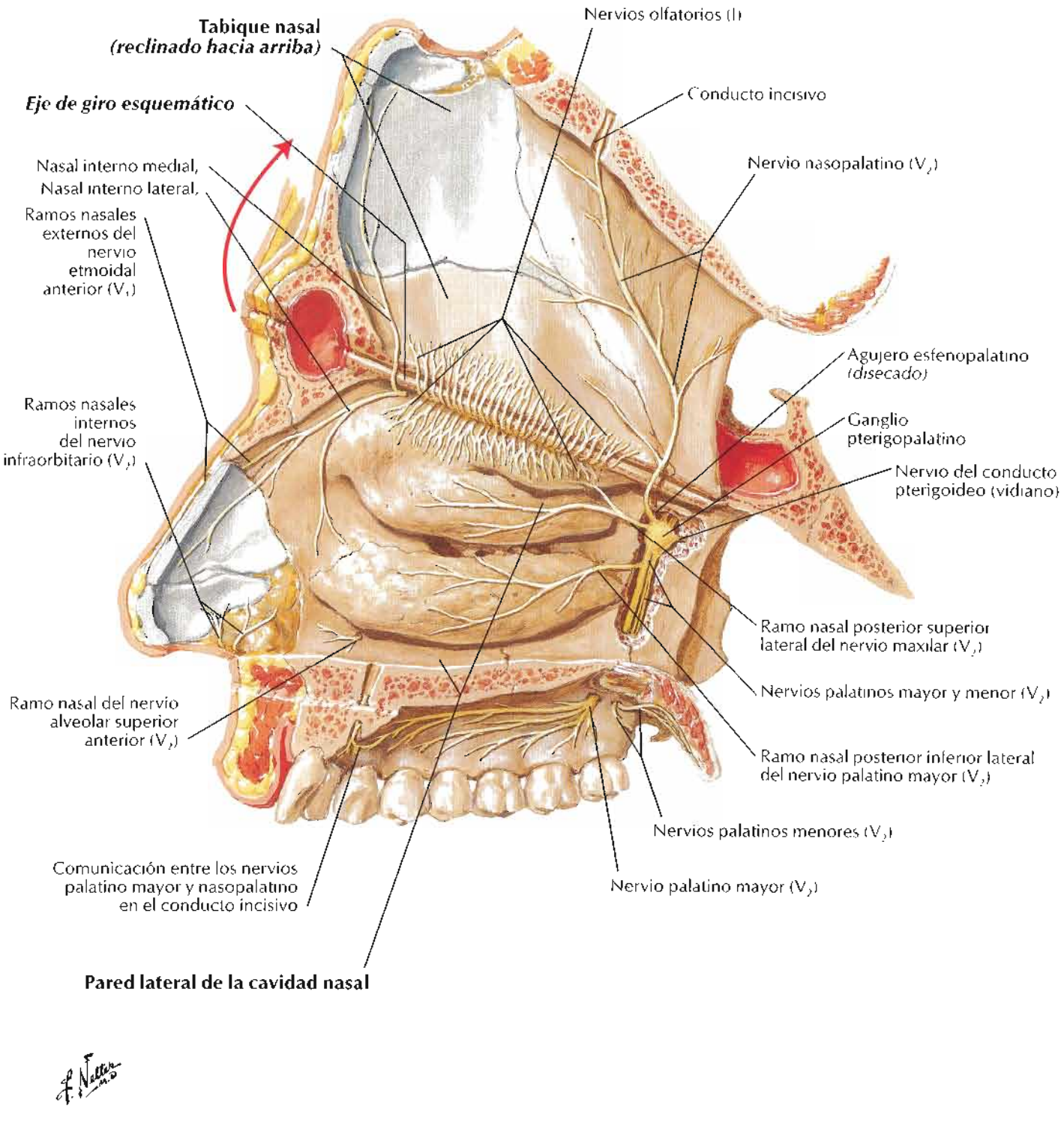


Aa. de la cavidad nasal: tabique nasal reclinado hacia arriba



1 Nn. de la cavidad nasal: tabique nasal reclinado hacia arriba

Véanse también **láminas 44, 45, 119**

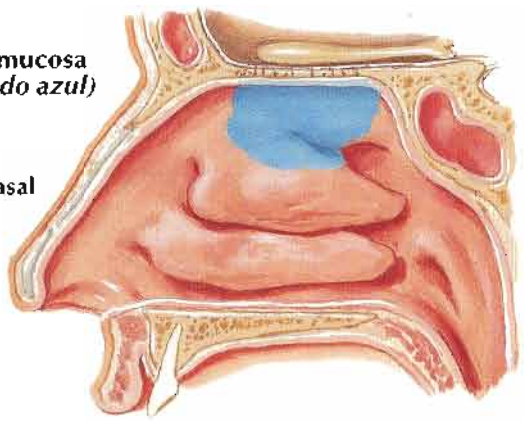


Nervios de la cavidad nasal *(continuación)*

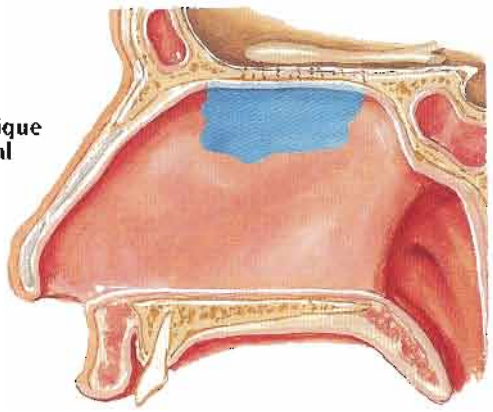
Véase también **lámina 119**

Distribución de la mucosa olfatoria *(sombreado azul)*

Pared lateral de la cavidad nasal



Tabique nasal



Ramo nasal externo del nervio etmoidal anterior (V_1)

Ramo nasal interno lateral del nervio etmoidal anterior (V_1)

Bulbo olfatorio

Lámina cribiforme del hueso etmoides

Tracto olfatorio

Ramos nasales posteriores superiores laterales del nervio maxilar (V_2)

Nervio maxilar (V_2) (agujero esfenopalatino disecado)

Ganglio pterigopalatino

Nervio petroso mayor

Nervio petroso profundo

Nervio del conducto pterigoideo (vidiano)

Ramo faríngeo del nervio maxilar (V_2)

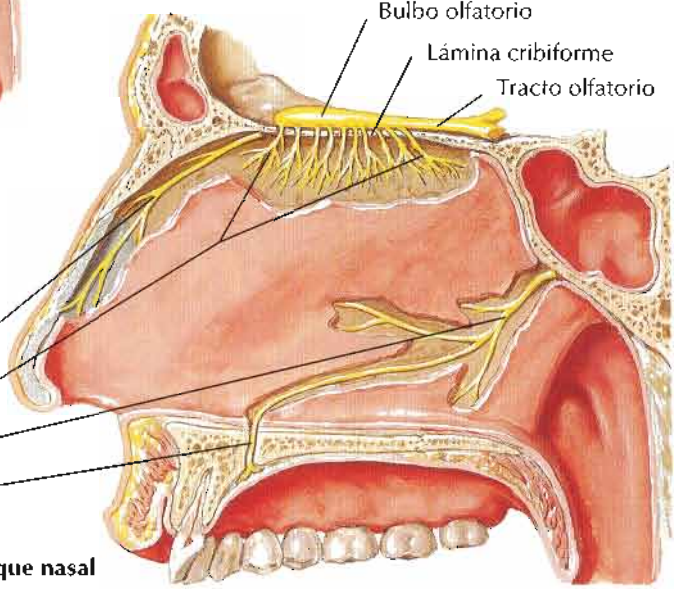
Nervio nasopalatino (V_2) que discurre hacia el tabique *(cortado)*

Ramo nasal posterior inferior lateral del nervio palatino mayor (V_2)

Pared lateral de la cavidad nasal

Nervios olfatorios (I)

Nervios palatinos (V_2) { Mayor / Menor



Bulbo olfatorio

Lámina cribiforme

Tracto olfatorio

Ramo nasal interno medial del nervio etmoidal anterior (V_1)

Nervios olfatorios (I)

Nervio nasopalatino (V_2)

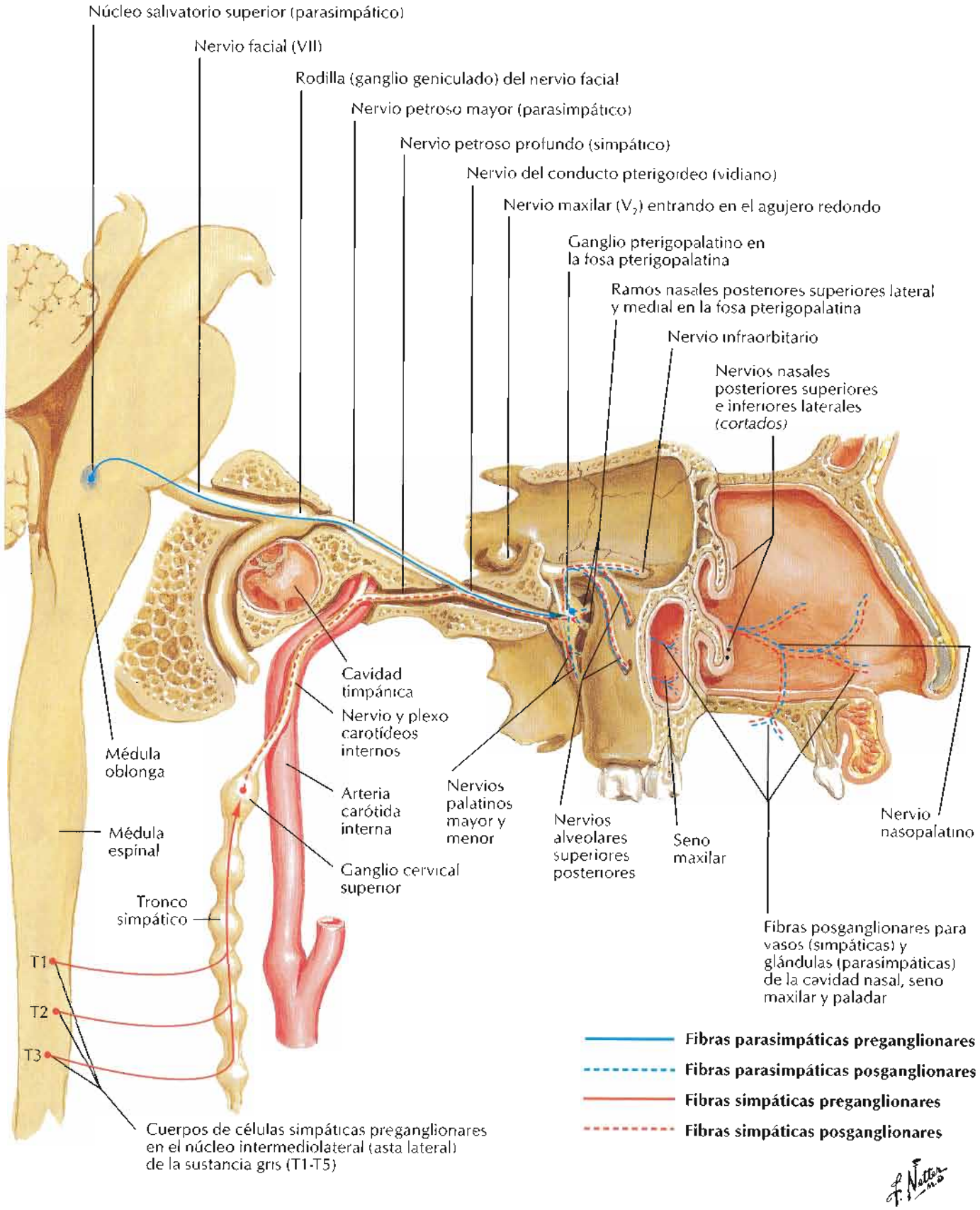
Conducto incisivo

Tabique nasal

F. Netter M.D.

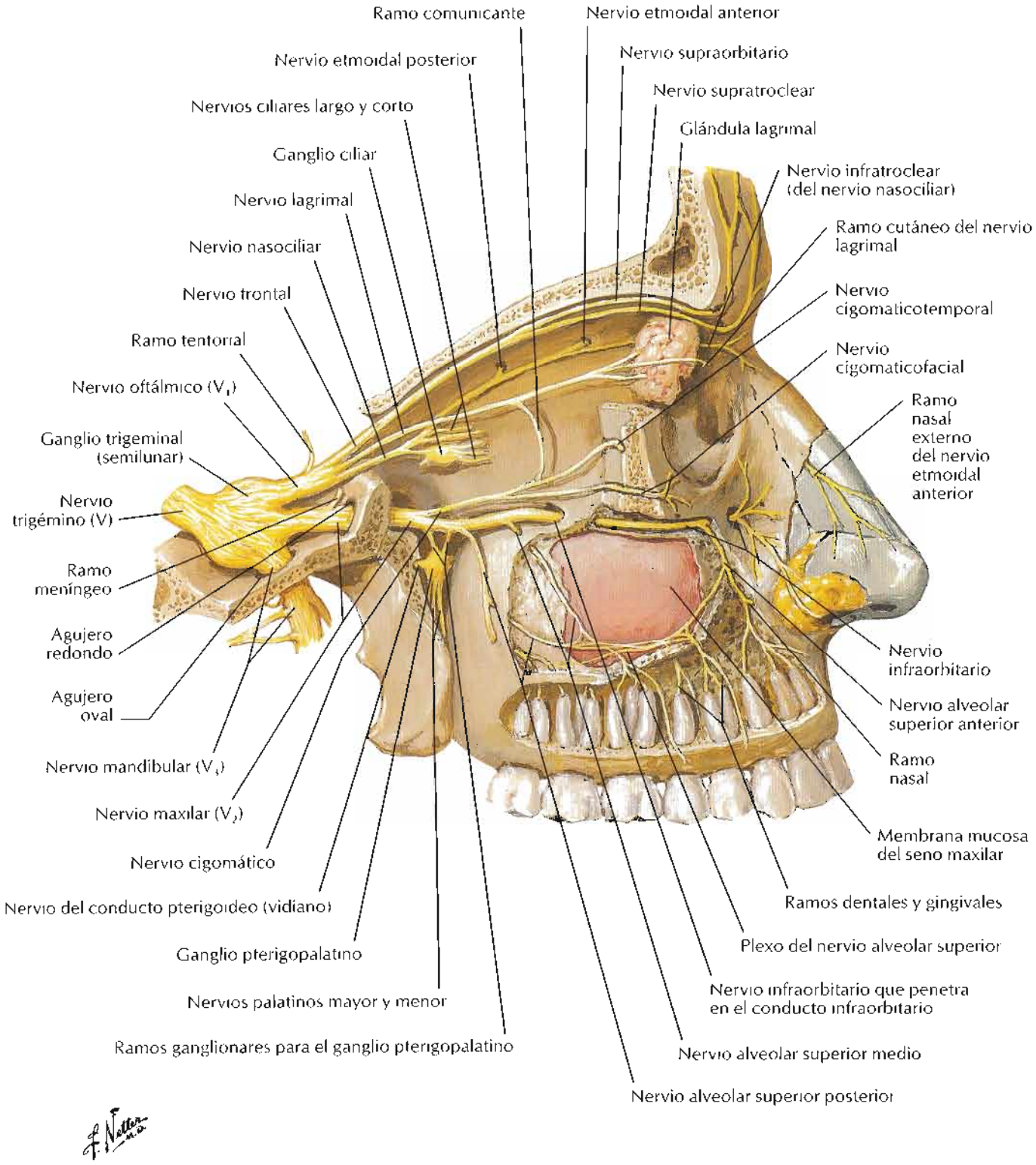
1 Inervación autónoma de la cavidad nasal

Véanse también **láminas 122, 131, 133**



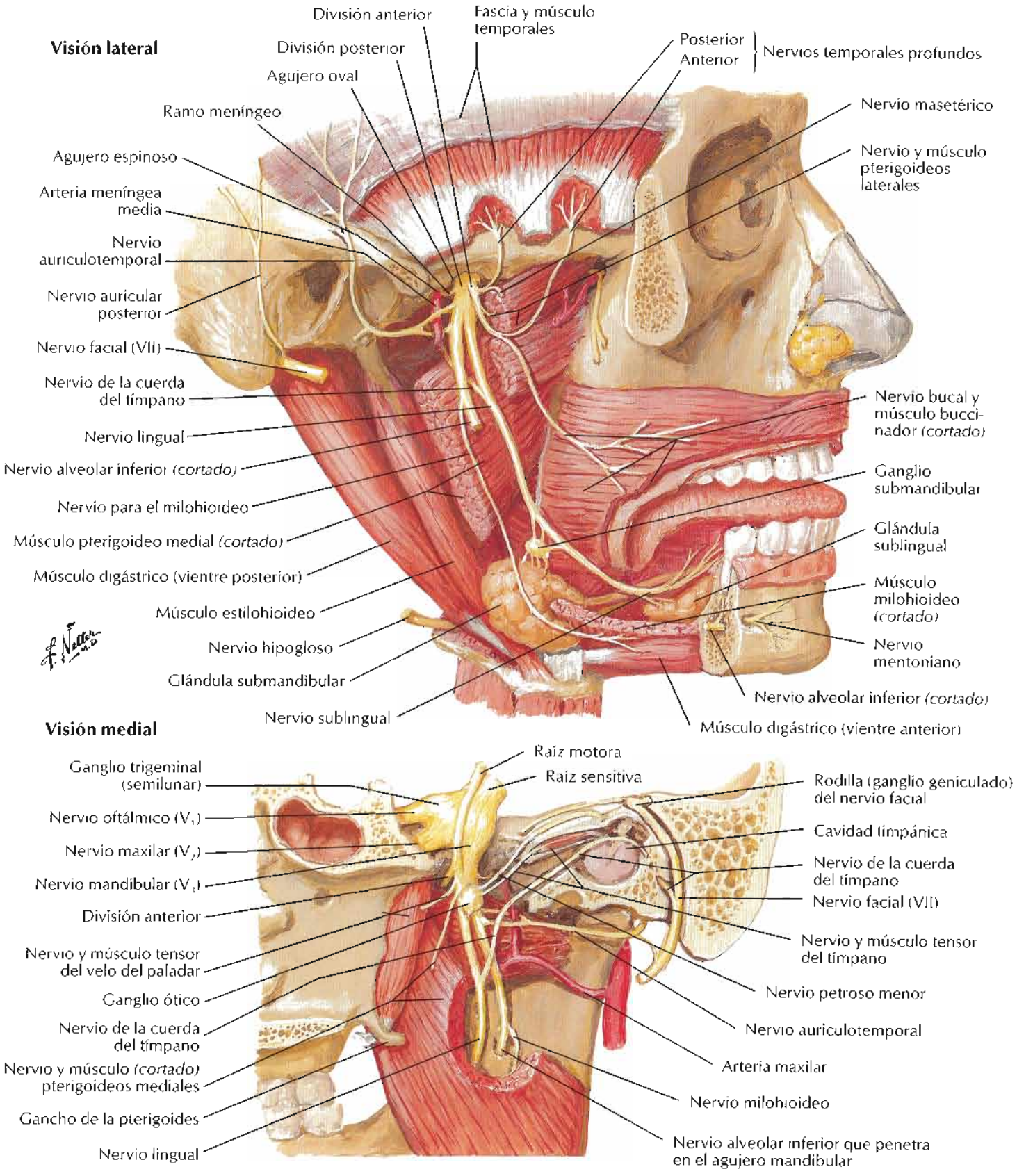
Nervios oftálmico (V_1) y maxilar (V_2)

Véase también **lámina 122**

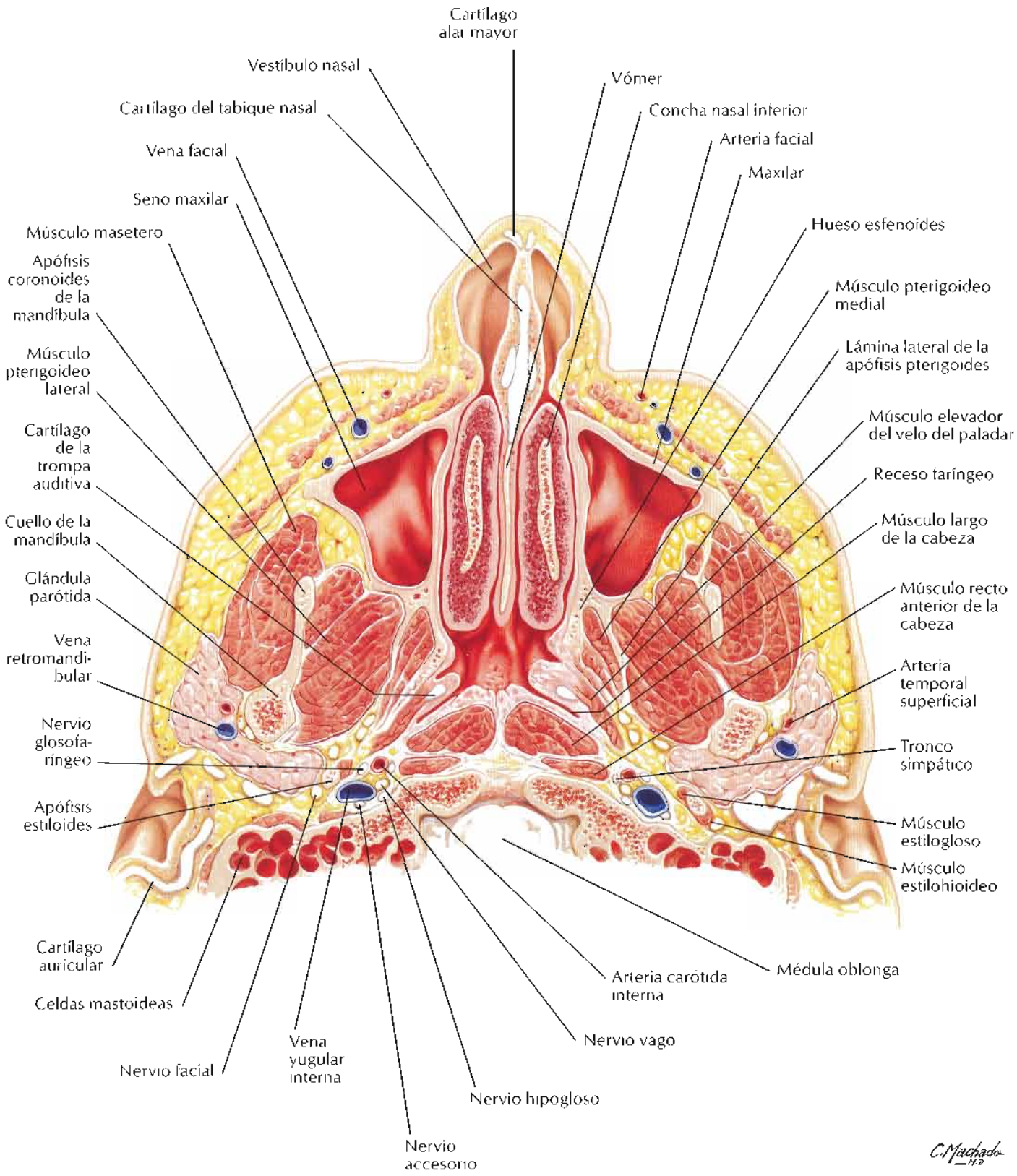


1 Nervio mandibular (V_3)

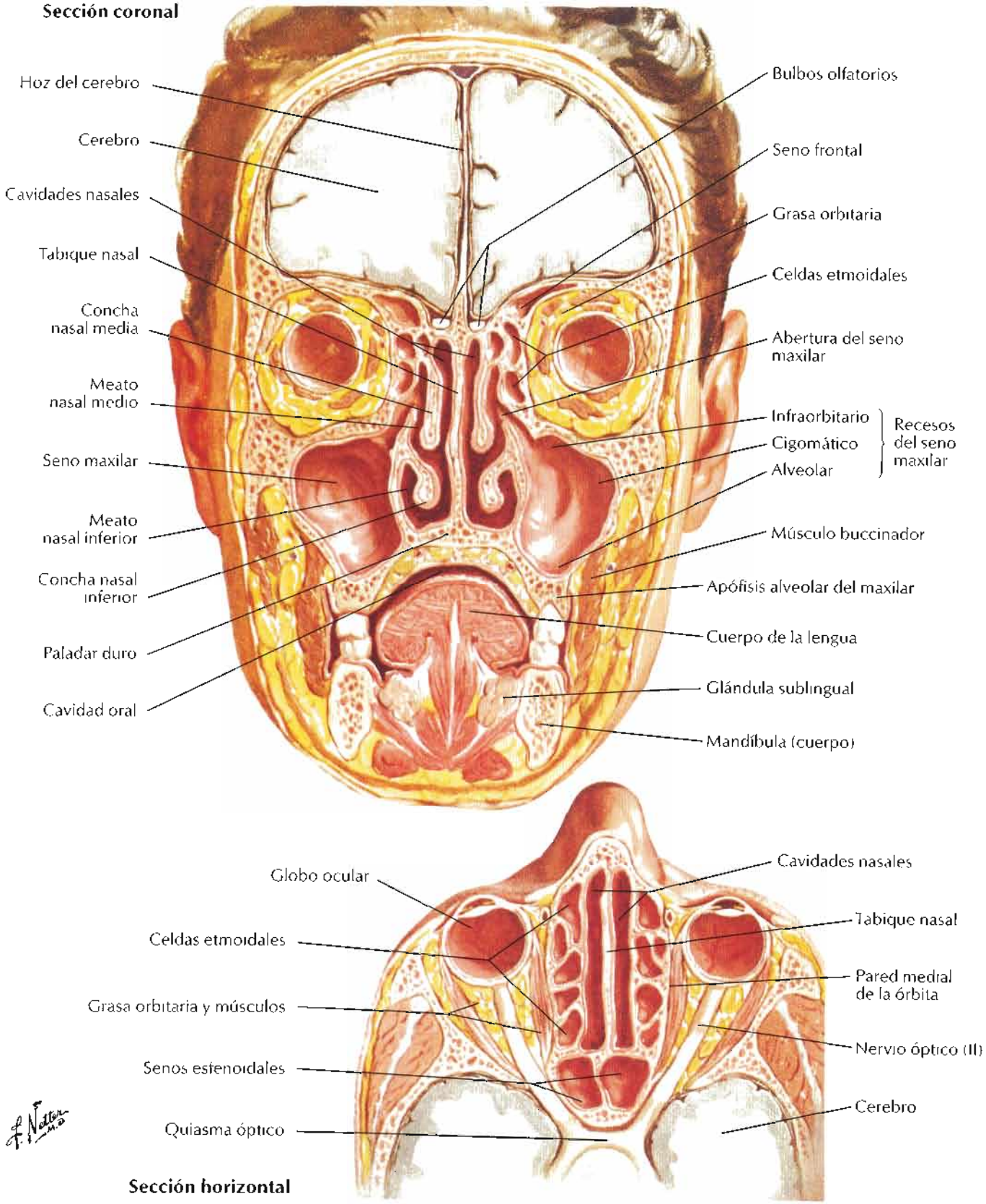
Véanse también **láminas 71, 122**



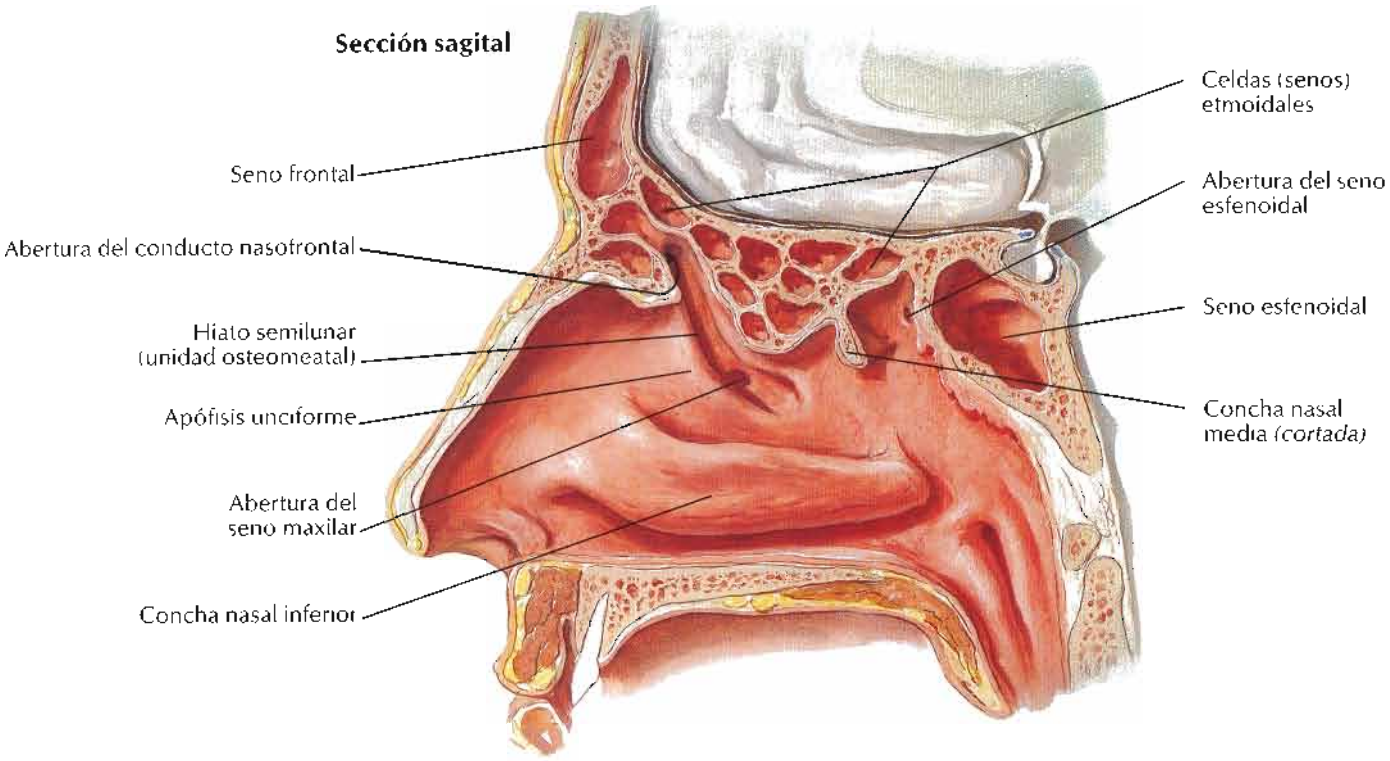
Cavidad nasal y senos paranasales: sección transversal

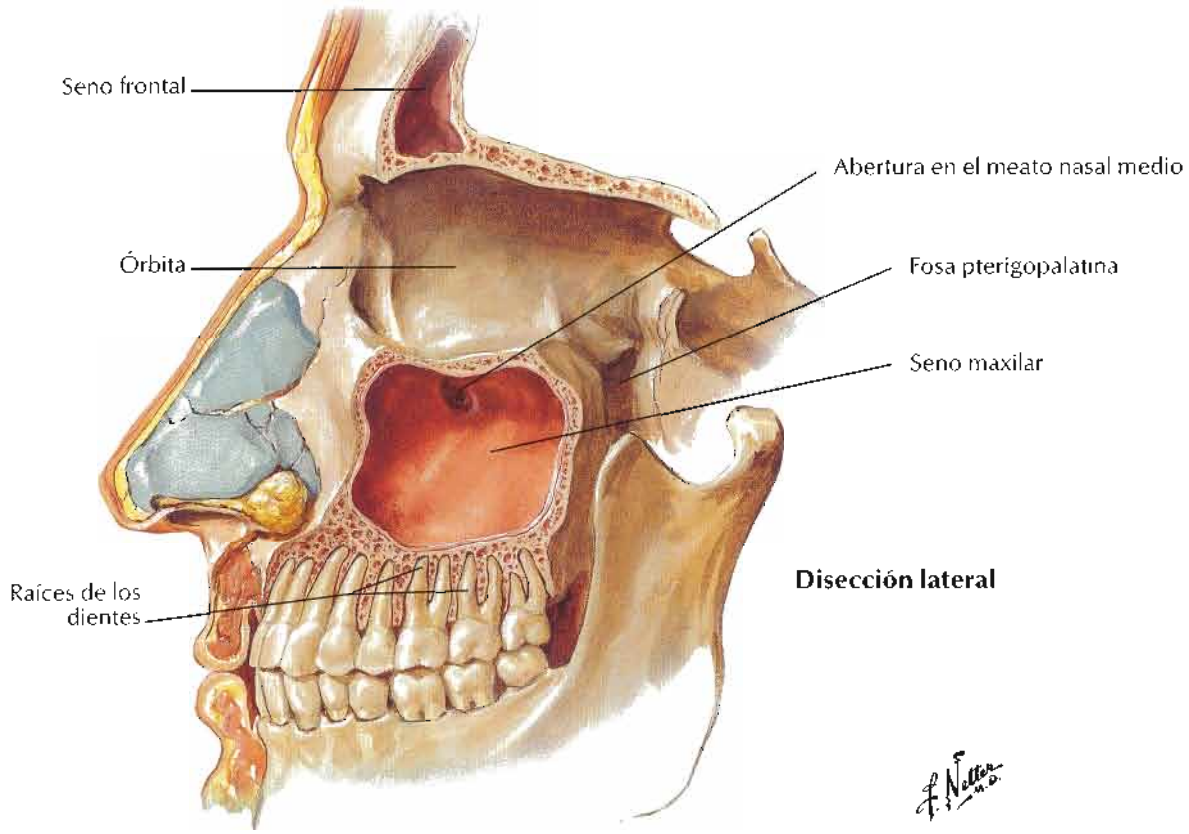


Senos paranasales



Sección sagital

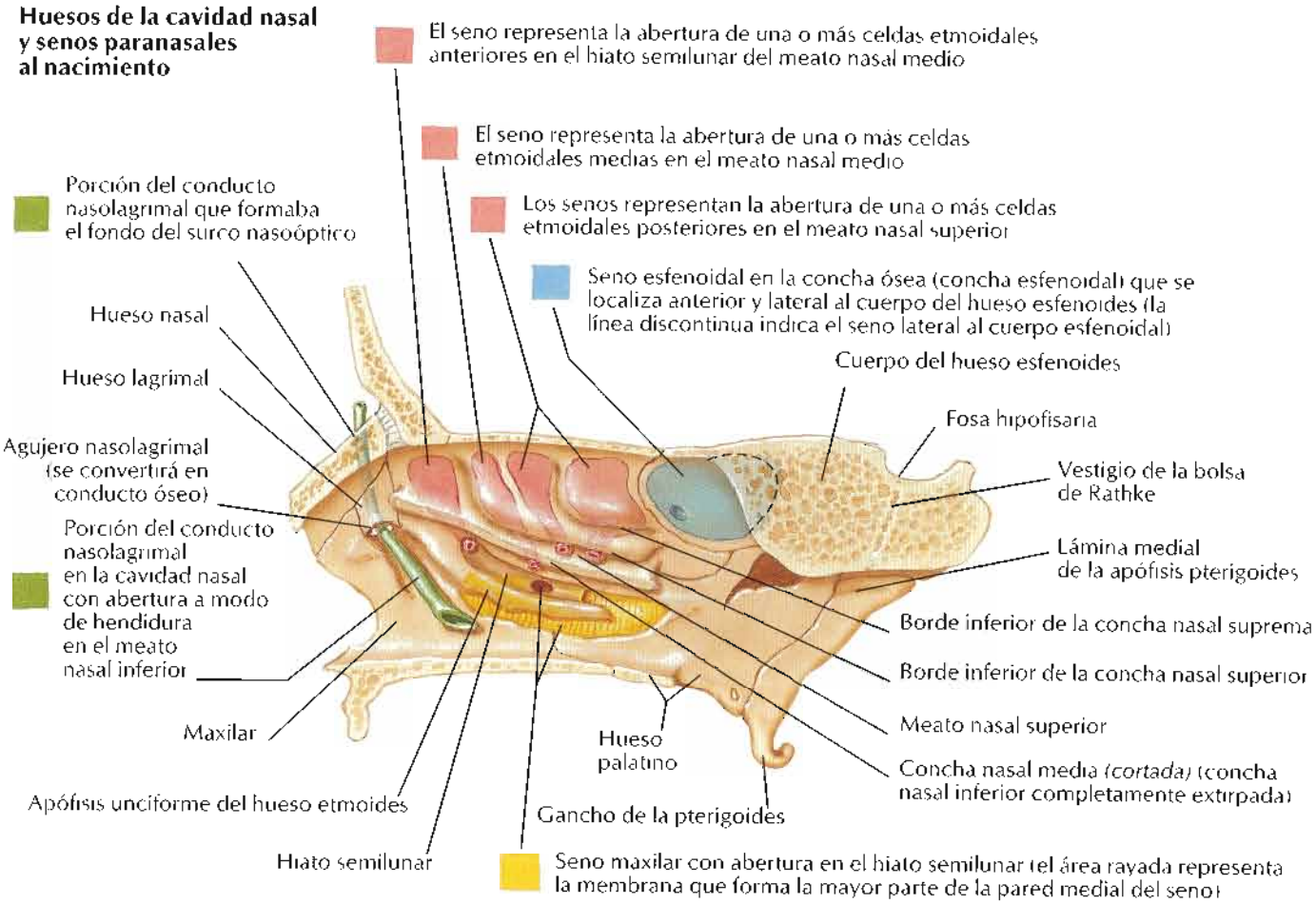




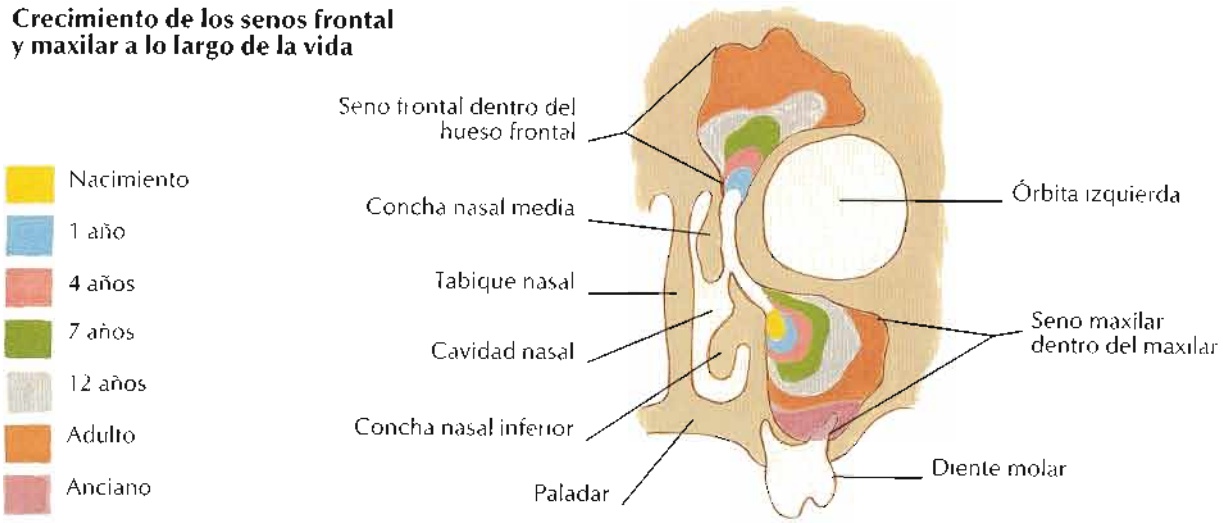
Disección lateral

1 Senos paranasales: cambios con la edad

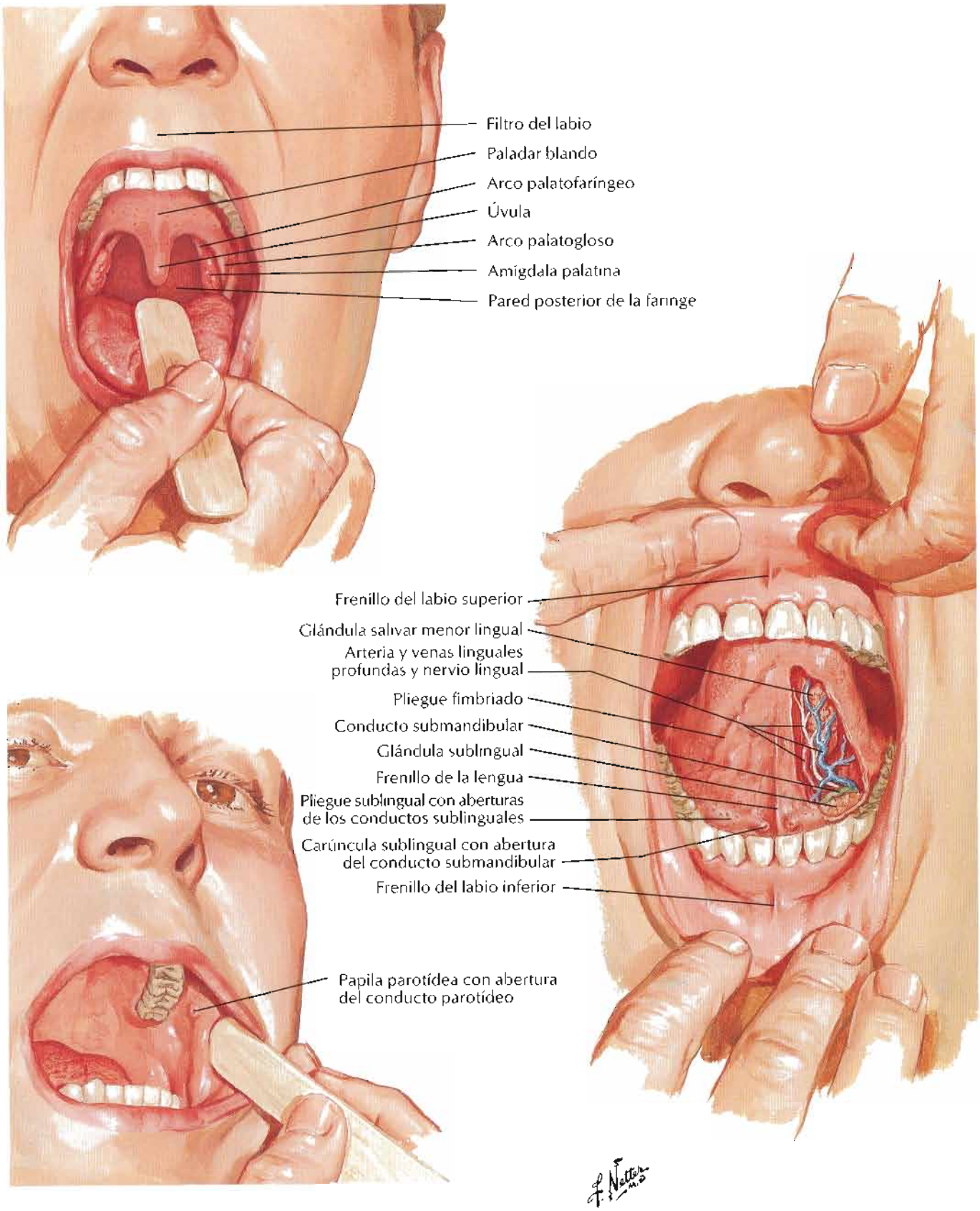
Huesos de la cavidad nasal y senos paranasales al nacimiento



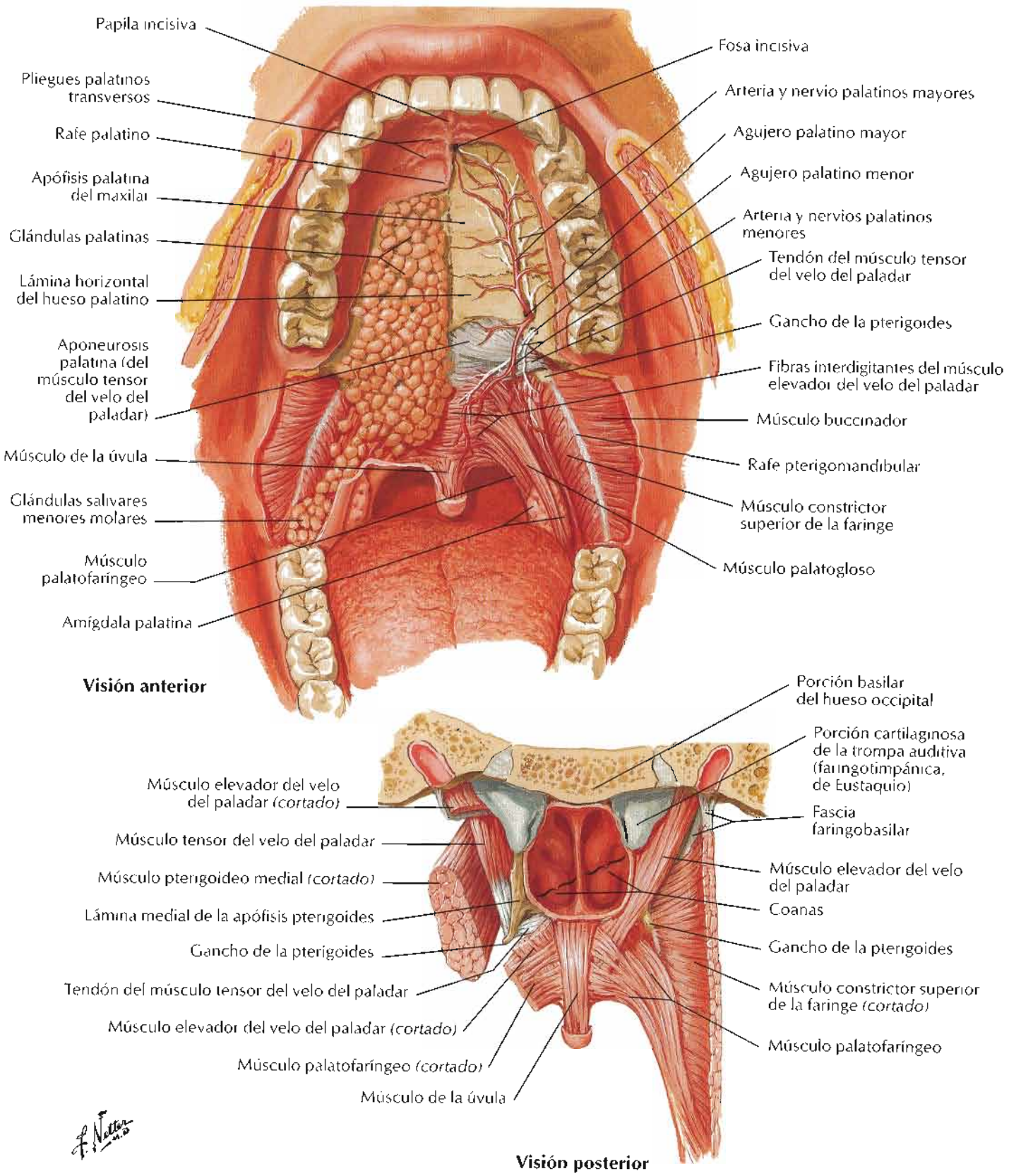
Crecimiento de los senos frontal y maxilar a lo largo de la vida



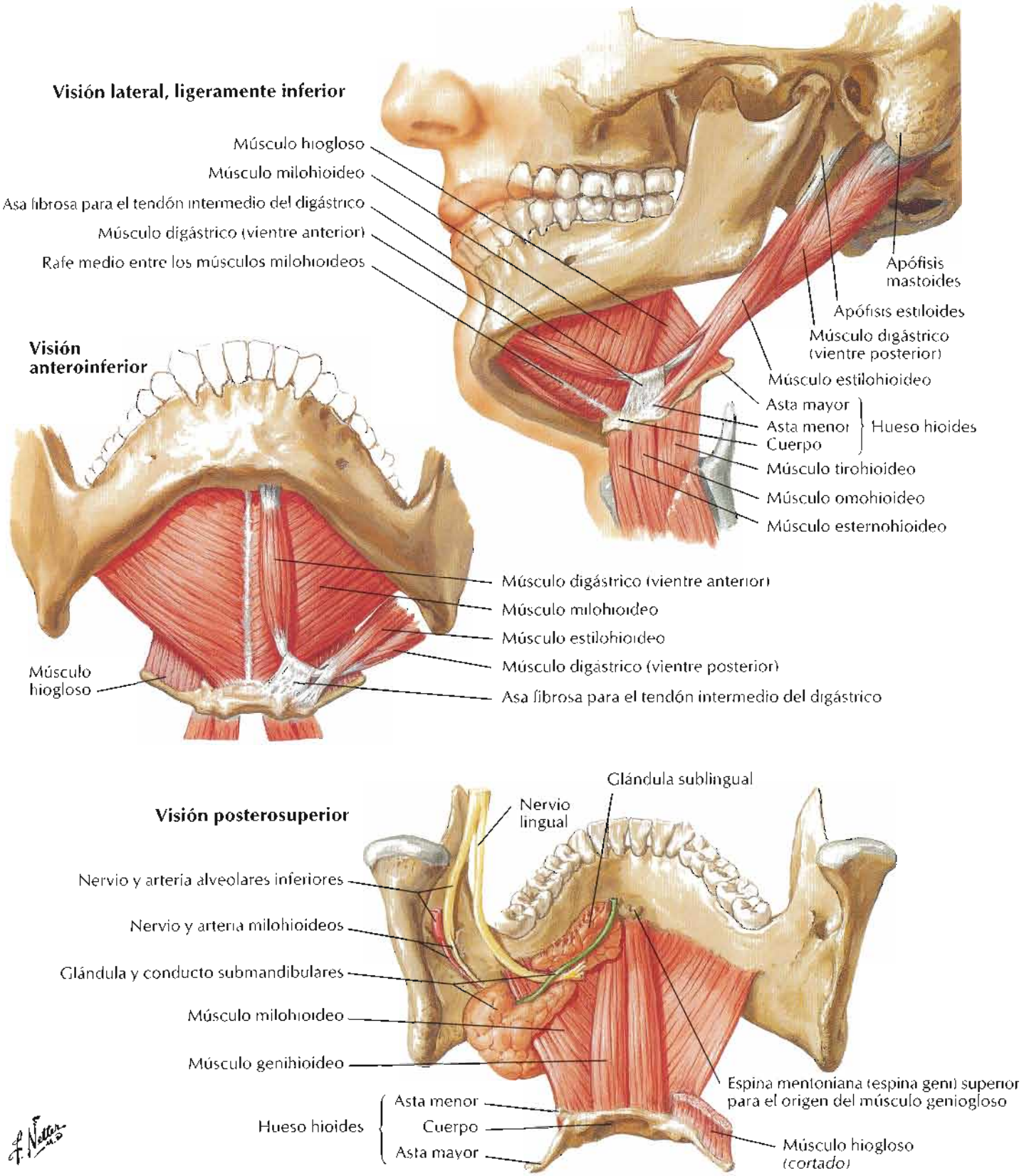
F. Netter M.D.


Filtro del labio
Paladar blando
Arco palatofaríngeo
Úvula
Arco palatogloso
Amígdala palatina
Pared posterior de la faringe
Frenillo del labio superior
Glándula salivar menor lingual
Arteria y venas linguales profundas y nervio lingual
Pliegue fimbriado
Conducto submandibular
Glándula sublingual
Frenillo de la lengua
Pliegue sublingual con aberturas de los conductos sublinguales
Carúncula sublingual con abertura del conducto submandibular
Frenillo del labio inferior
Papila parotídea con abertura del conducto parotídeo

Techo de la boca

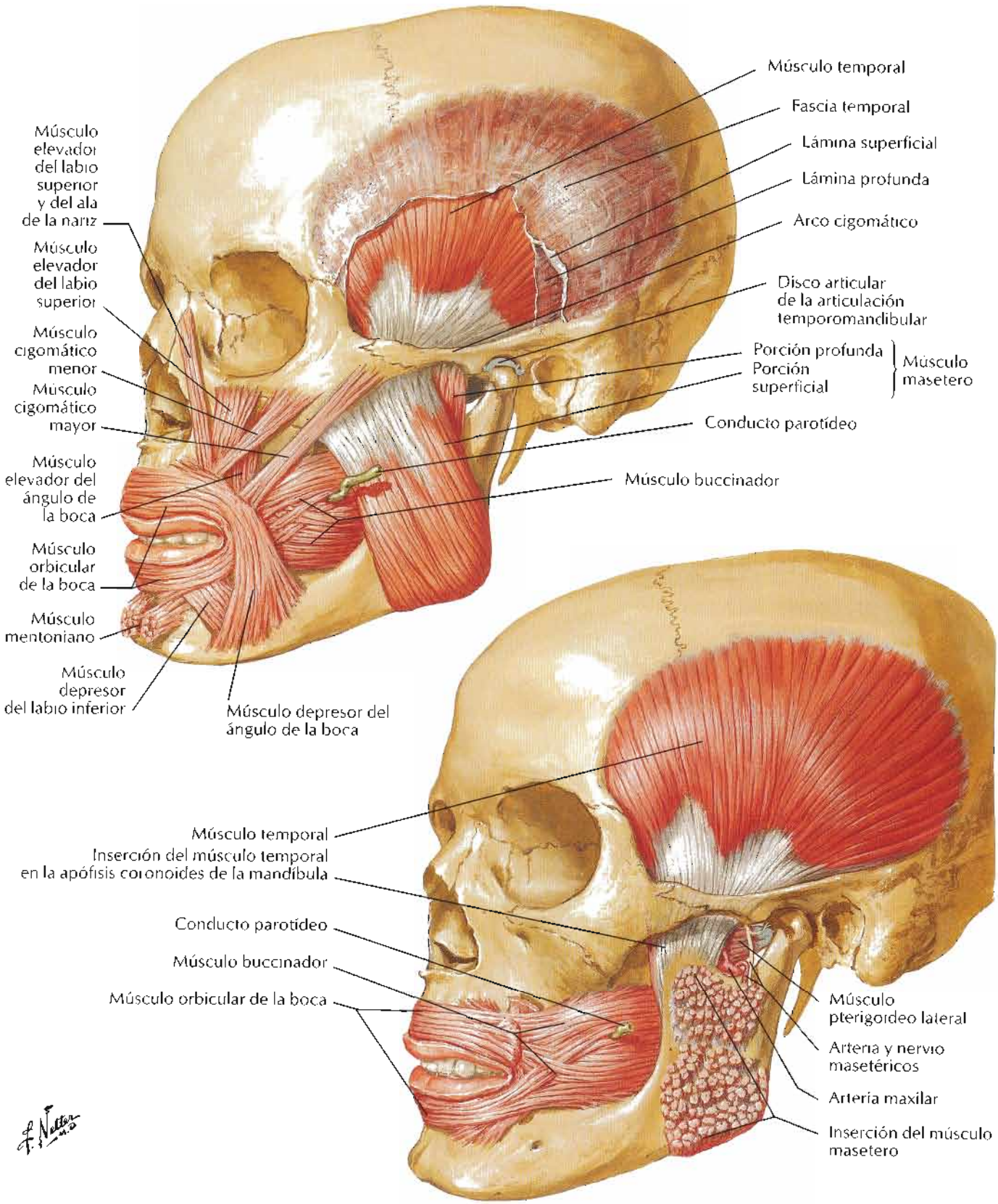


Véase también **lámina 29**

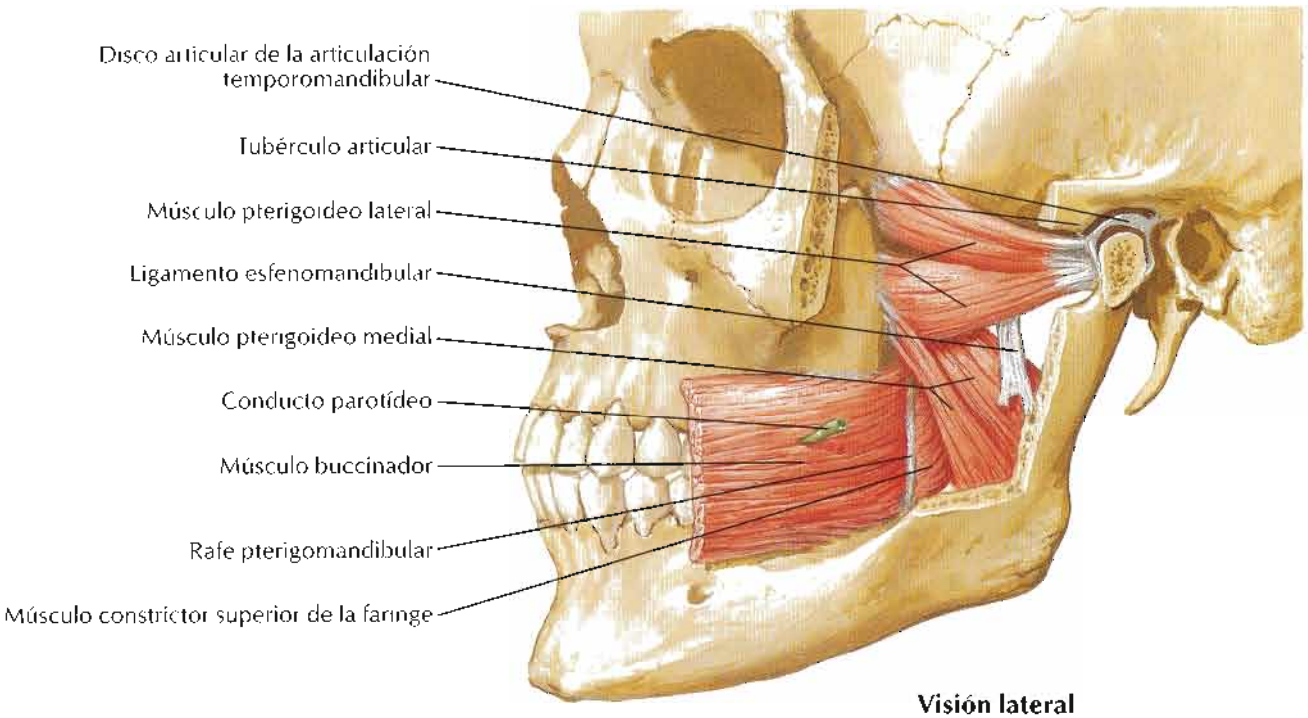


1 Músculos implicados en la masticación

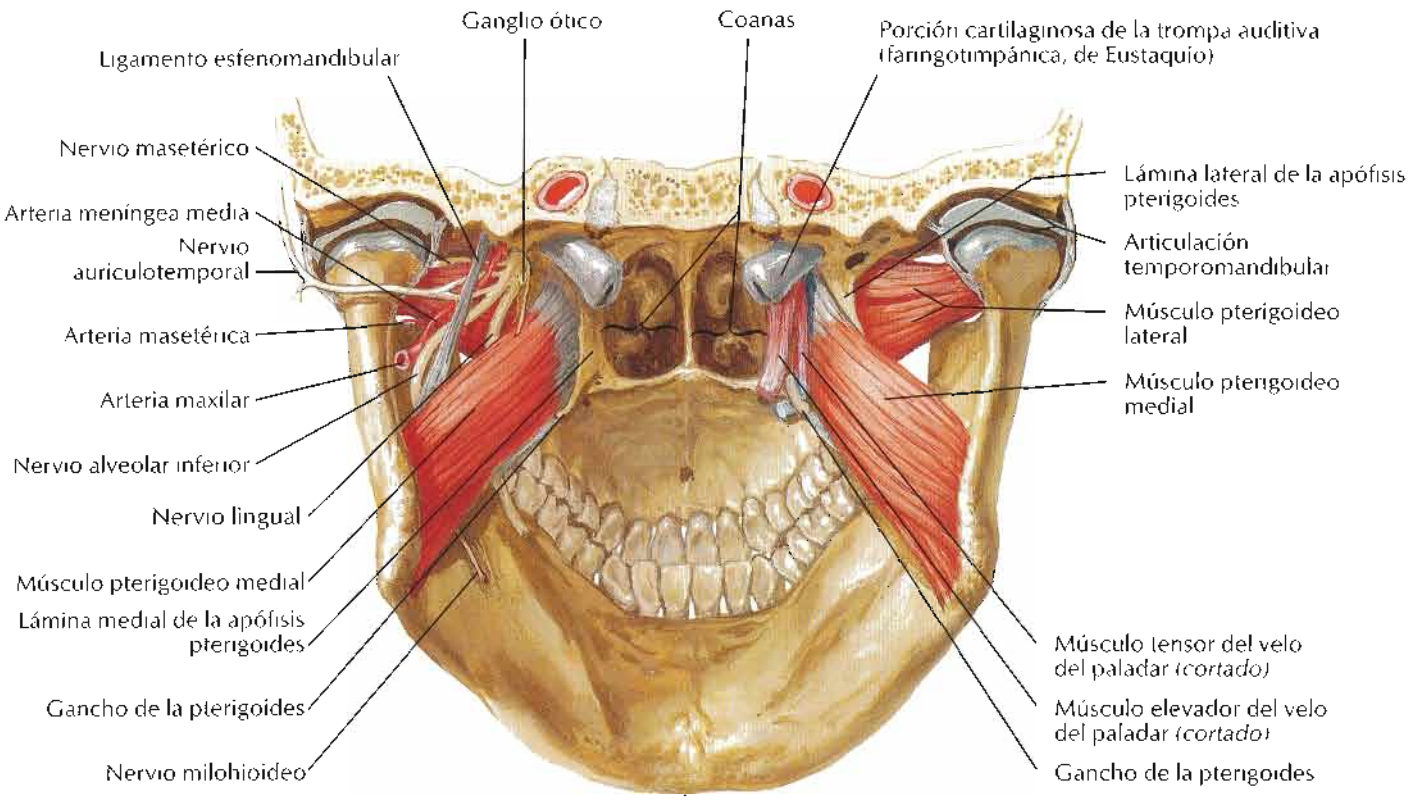
Para los músculos faciales véase **lámina 26**



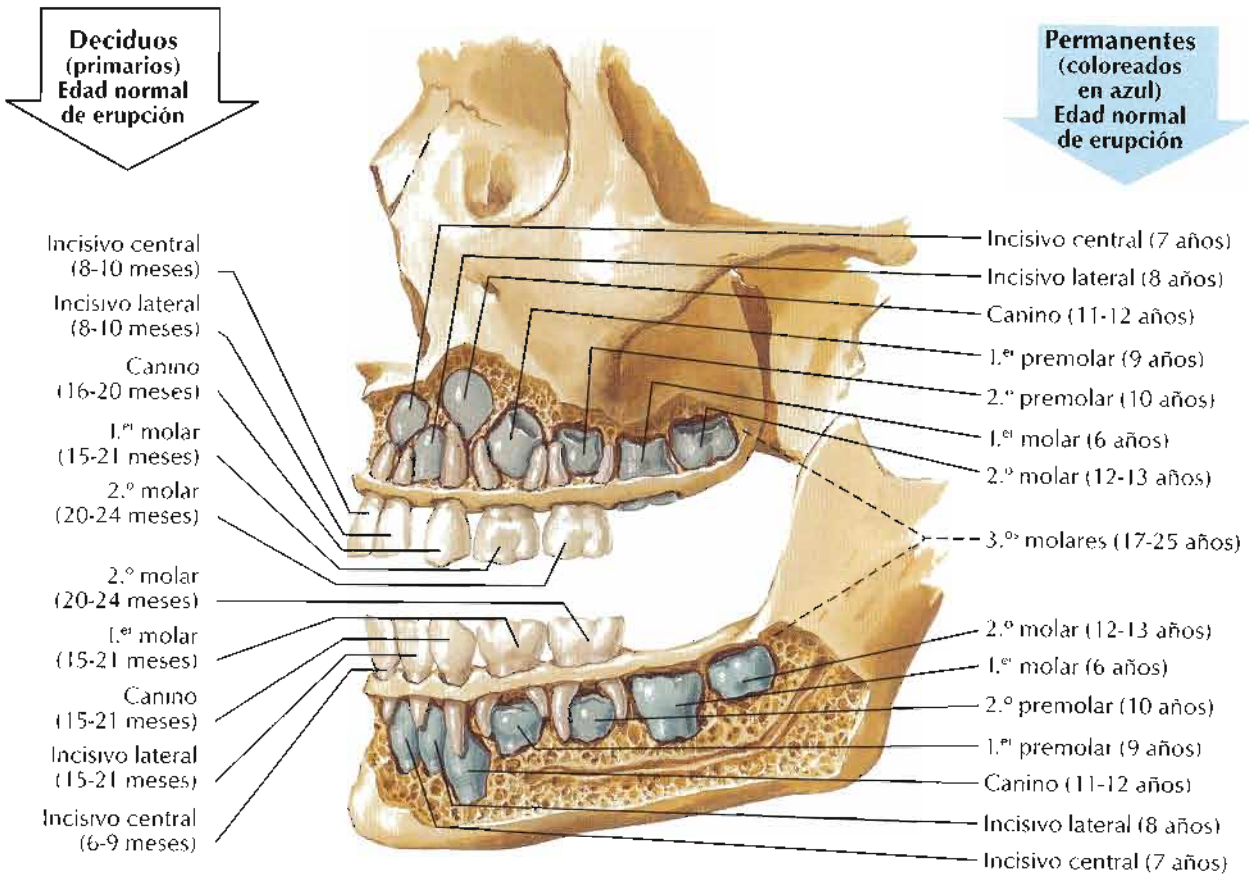
Músculos implicados en la masticación *(continuación)*

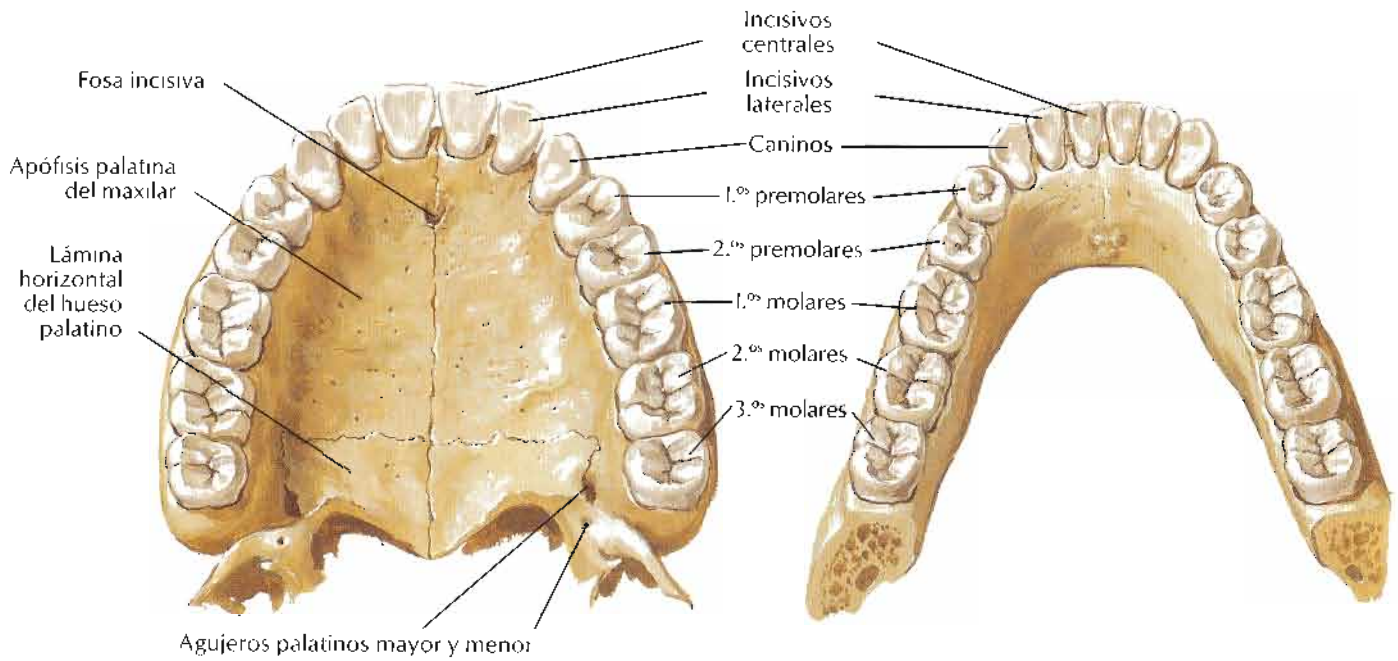


Visión lateral

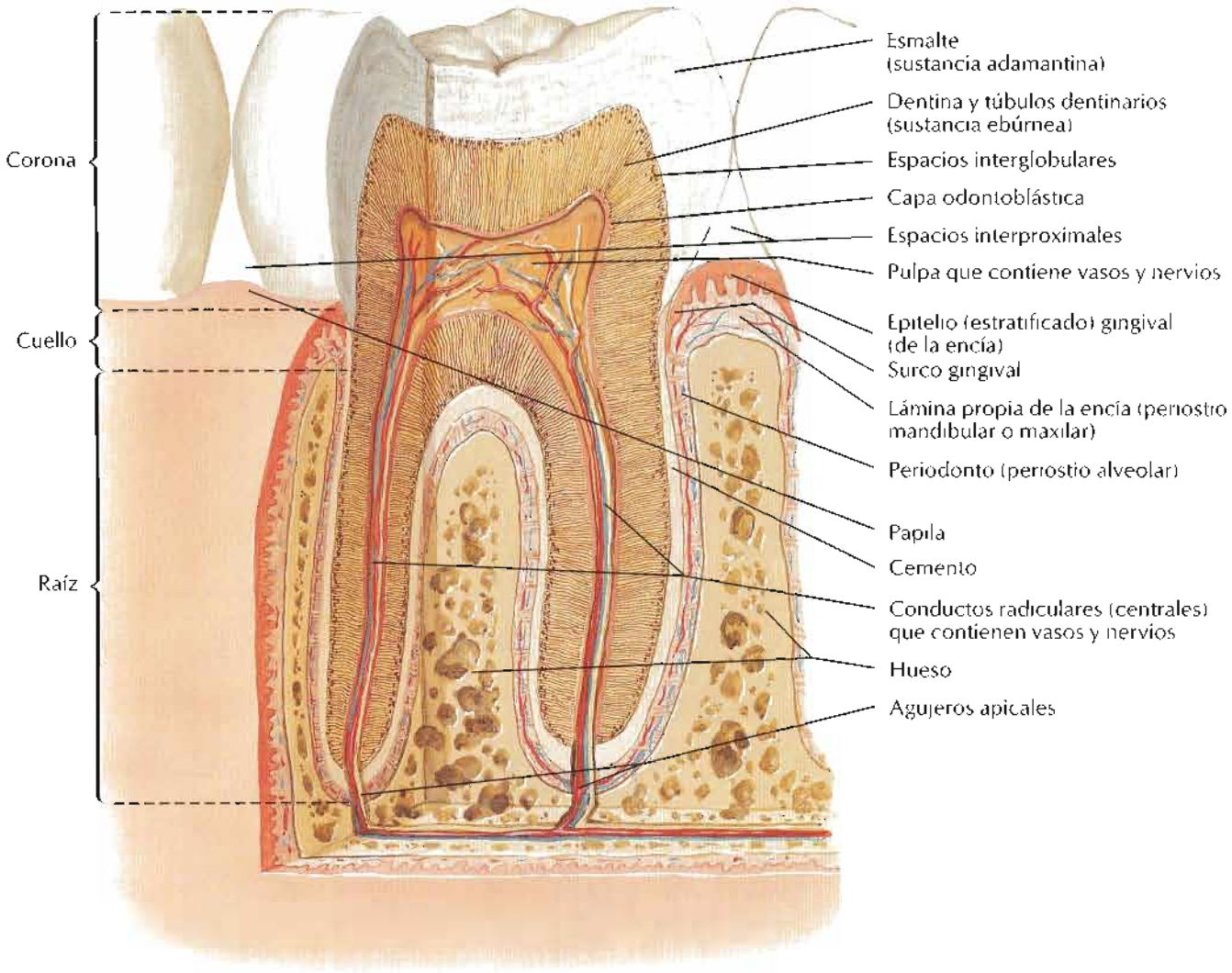


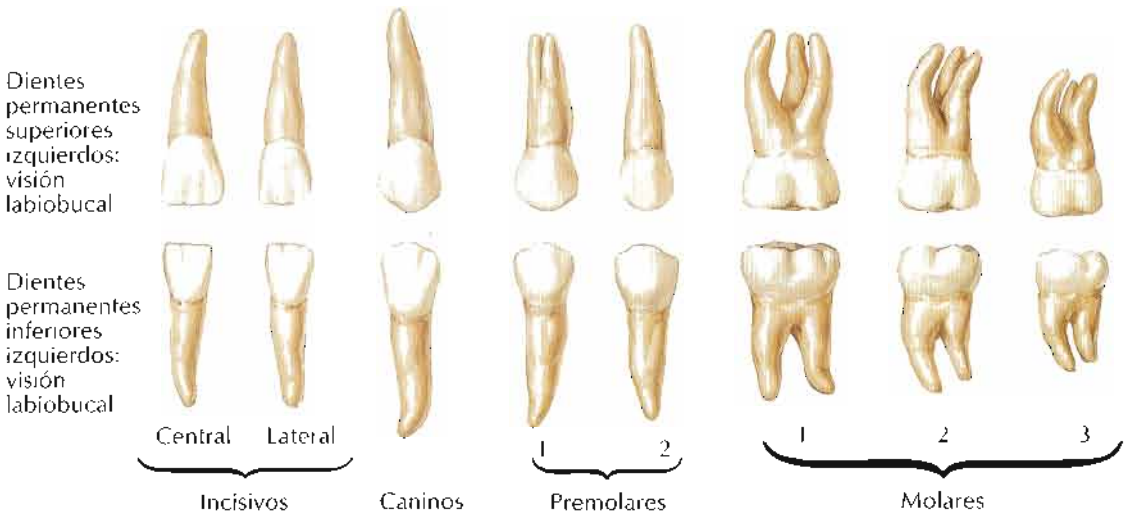
Visión posterior

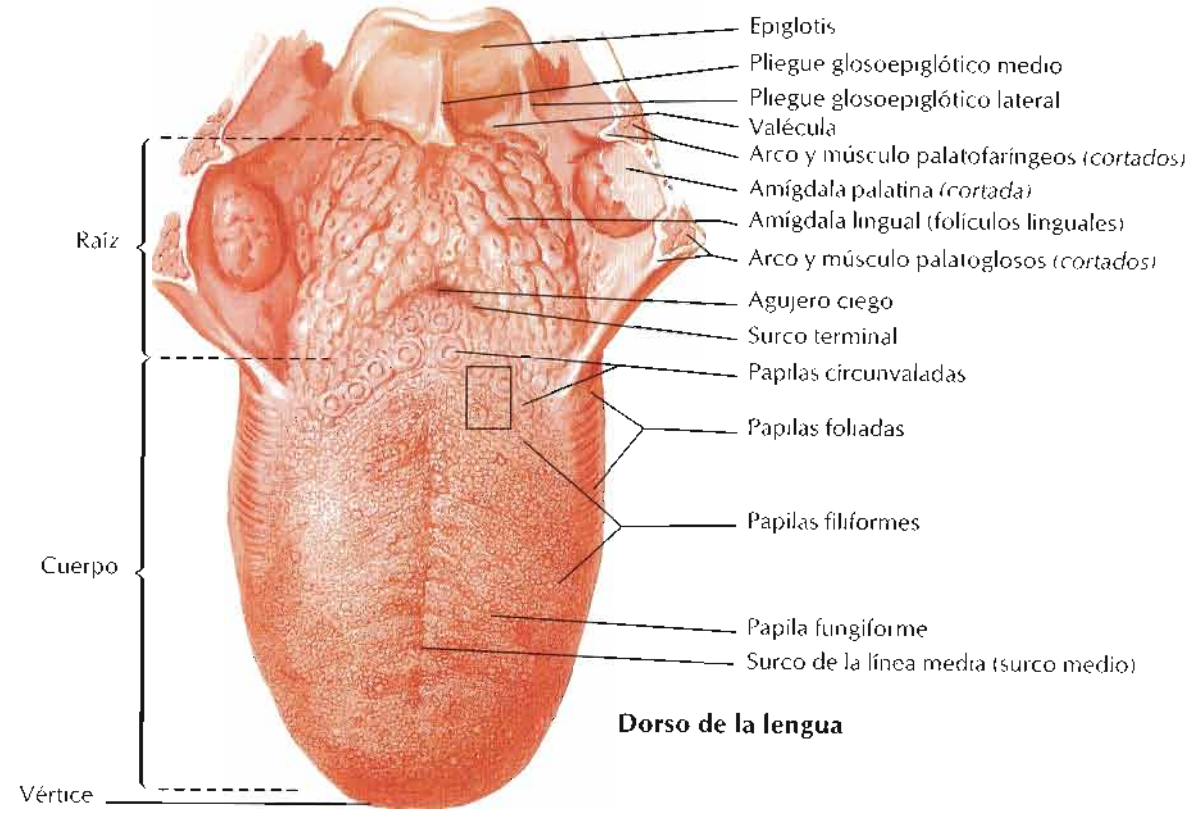




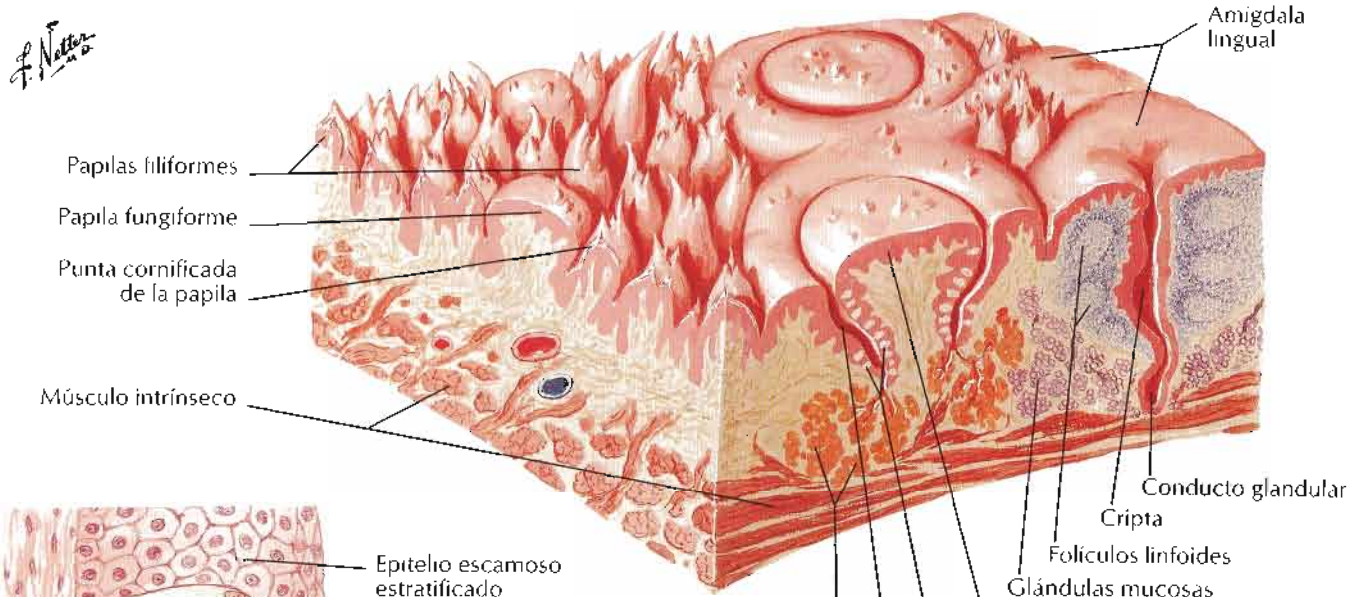
Dientes permanentes superiores **Dientes permanentes inferiores**


Corona
Cuello
Raíz
Esmalte (sustancia adamantina)
Dentina y túbulos dentinarios (sustancia ebúrnea)
Espacios interglobulares
Capa odontoblástica
Espacios interproximales
Pulpa que contiene vasos y nervios
Epitelio (estratificado) gingival (de la encía)
Surco gingival
Lámina propia de la encía (periostio mandibular o maxilar)
Periodonto (perrostio alveolar)
Papila
Cemento
Conductos radiculares (centrales) que contienen vasos y nervios
Hueso
Agujeros apicales

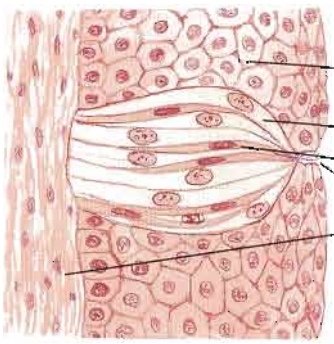

Dientes permanentes superiores izquierdos: visión labiobucal
Dientes permanentes inferiores izquierdos: visión labiobucal
Central
Lateral
Incisivos
Caninos
1
2
Premolares
1
2
3
Molares



Dorso de la lengua

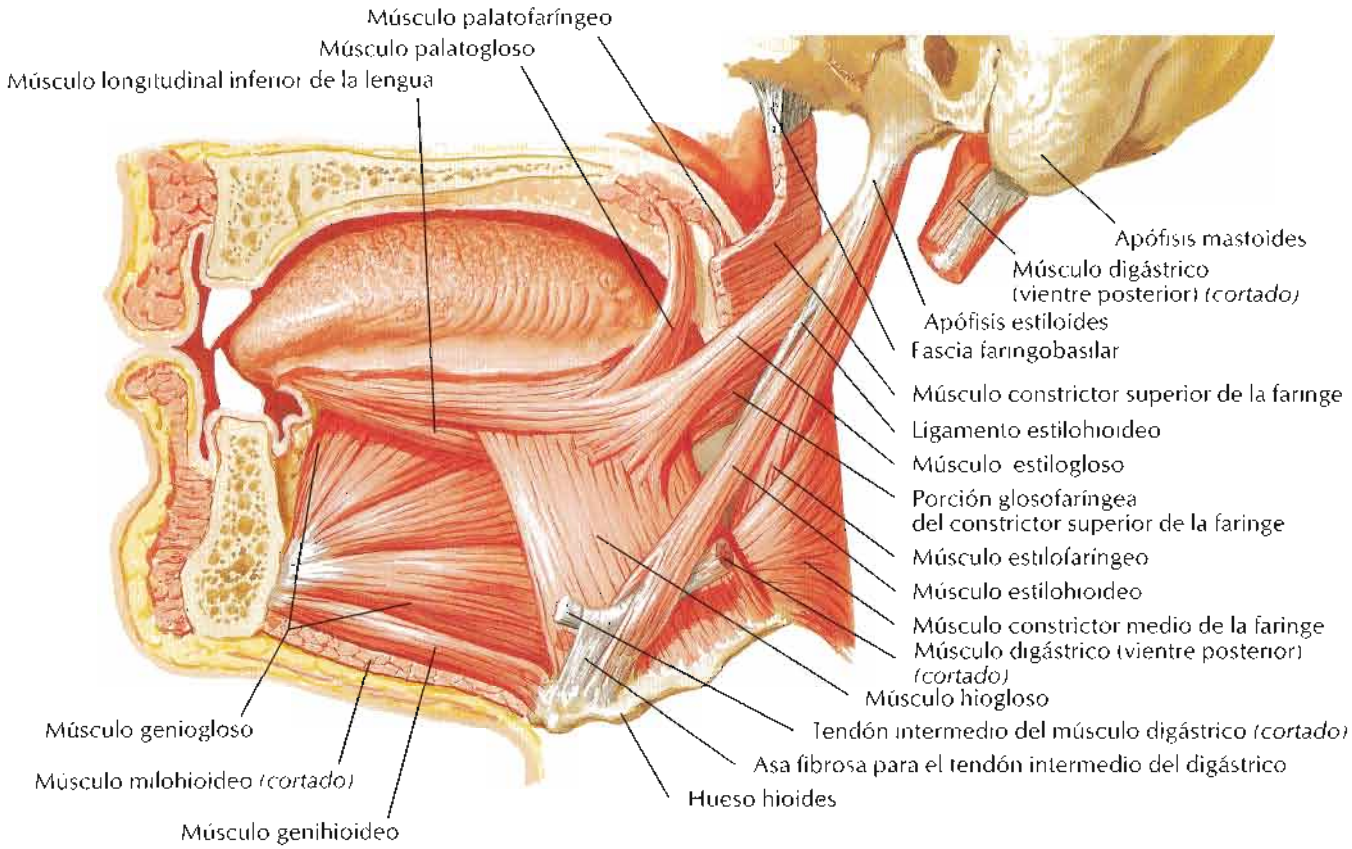


Estereograma esquemático: área indicada arriba

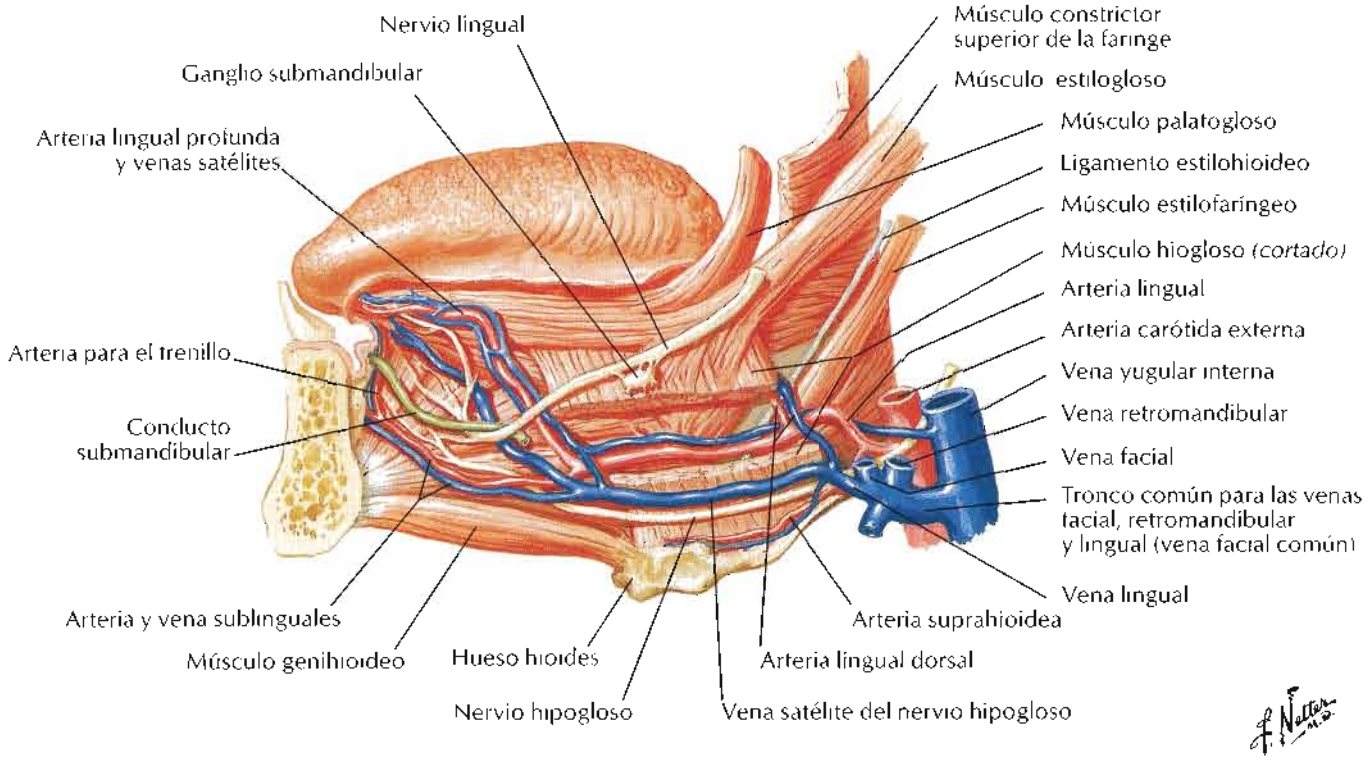


Sección de un botón gustativo

Véanse también **láminas 34, 46, 53, 128**

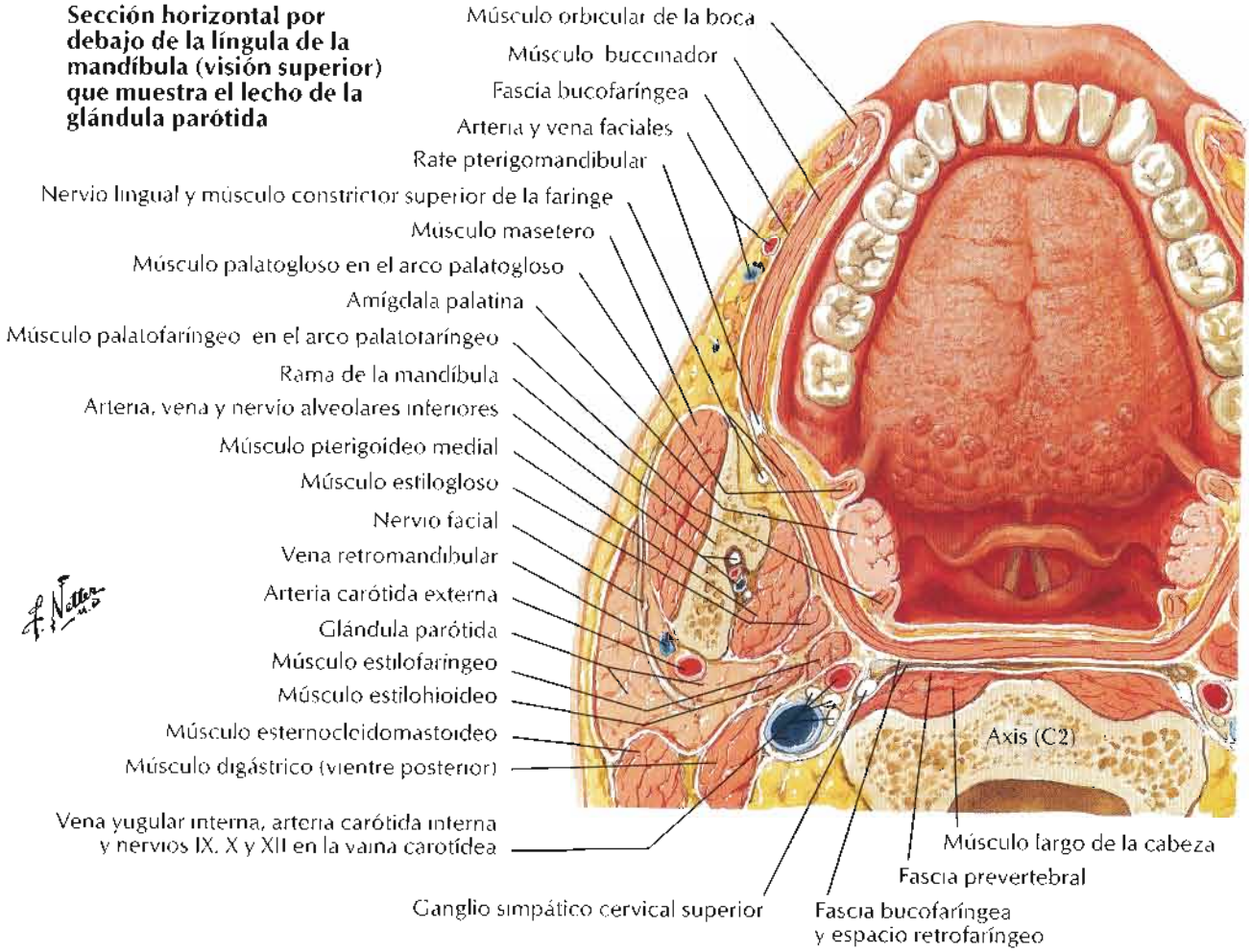


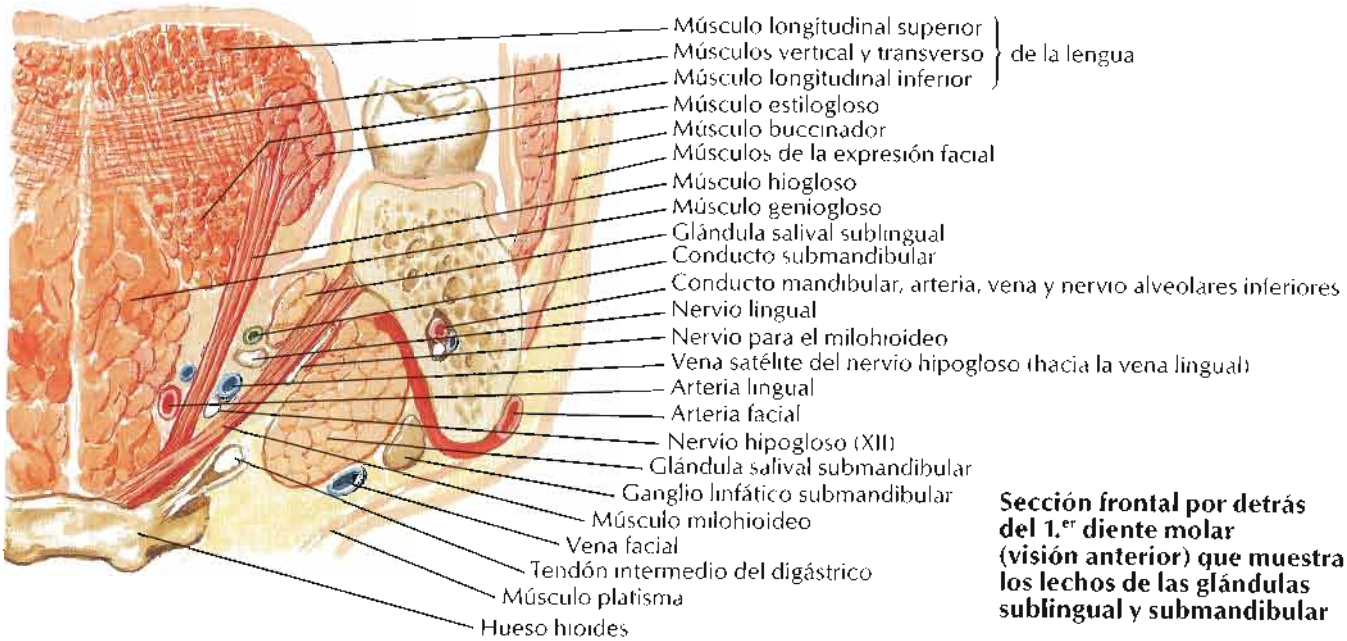
Visión lateral



Lengua y glándulas salivales: secciones

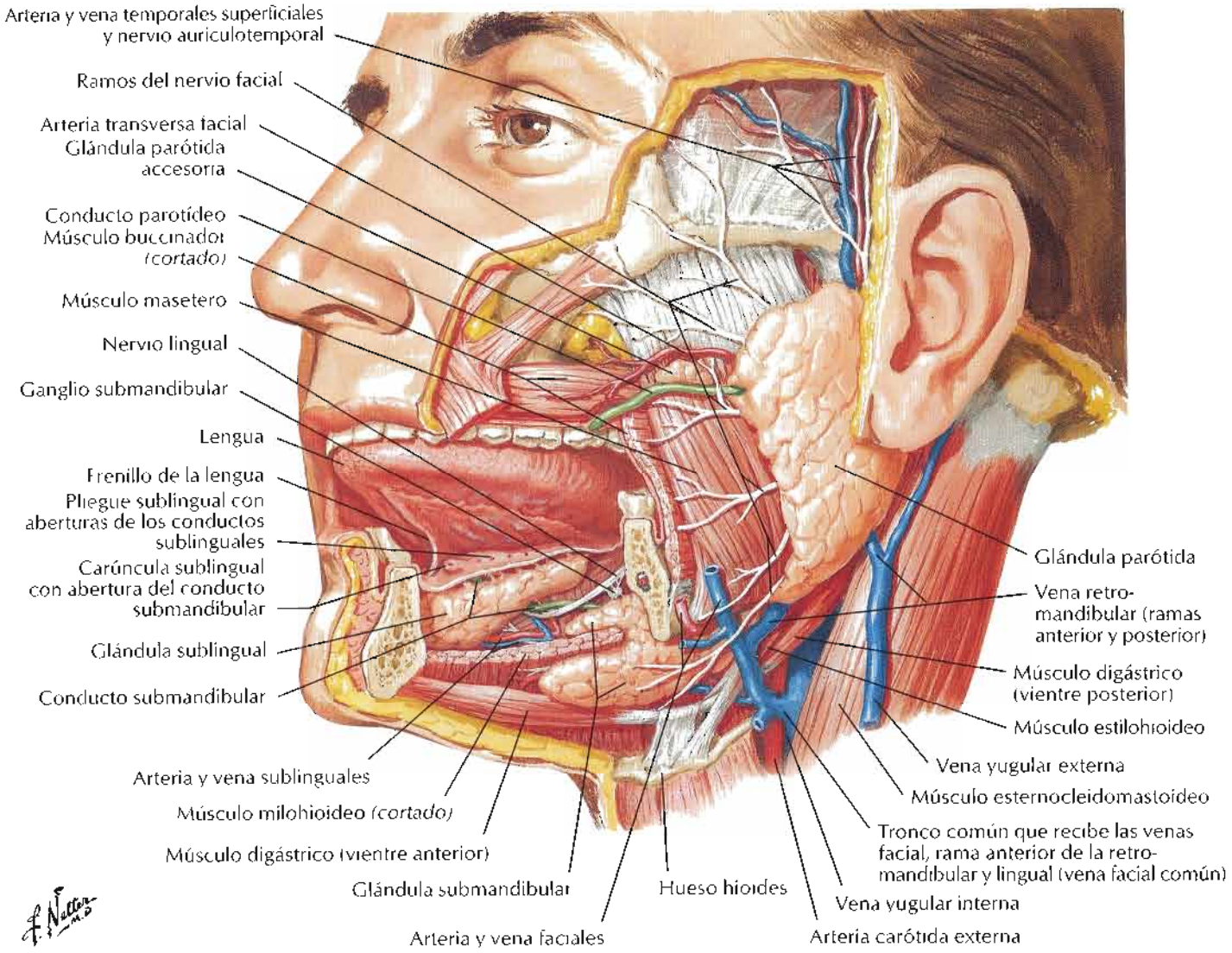
Sección horizontal por debajo de la língula de la mandíbula (visión superior) que muestra el lecho de la glándula parótida

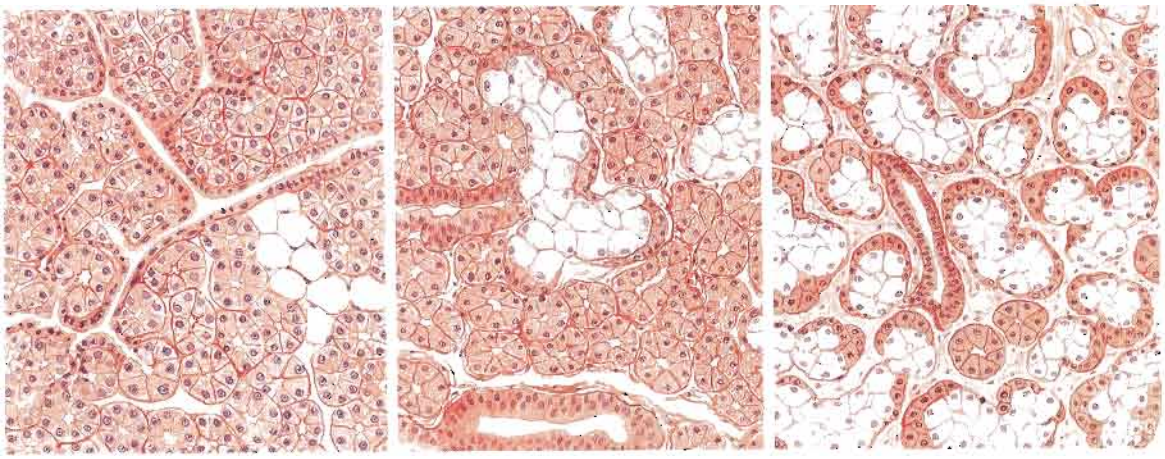




Sección frontal por detrás del 1.er diente molar (visión anterior) que muestra los lechos de las glándulas sublingual y submandibular

Véanse también **láminas 25, 53, 133, 134, 167, 168**





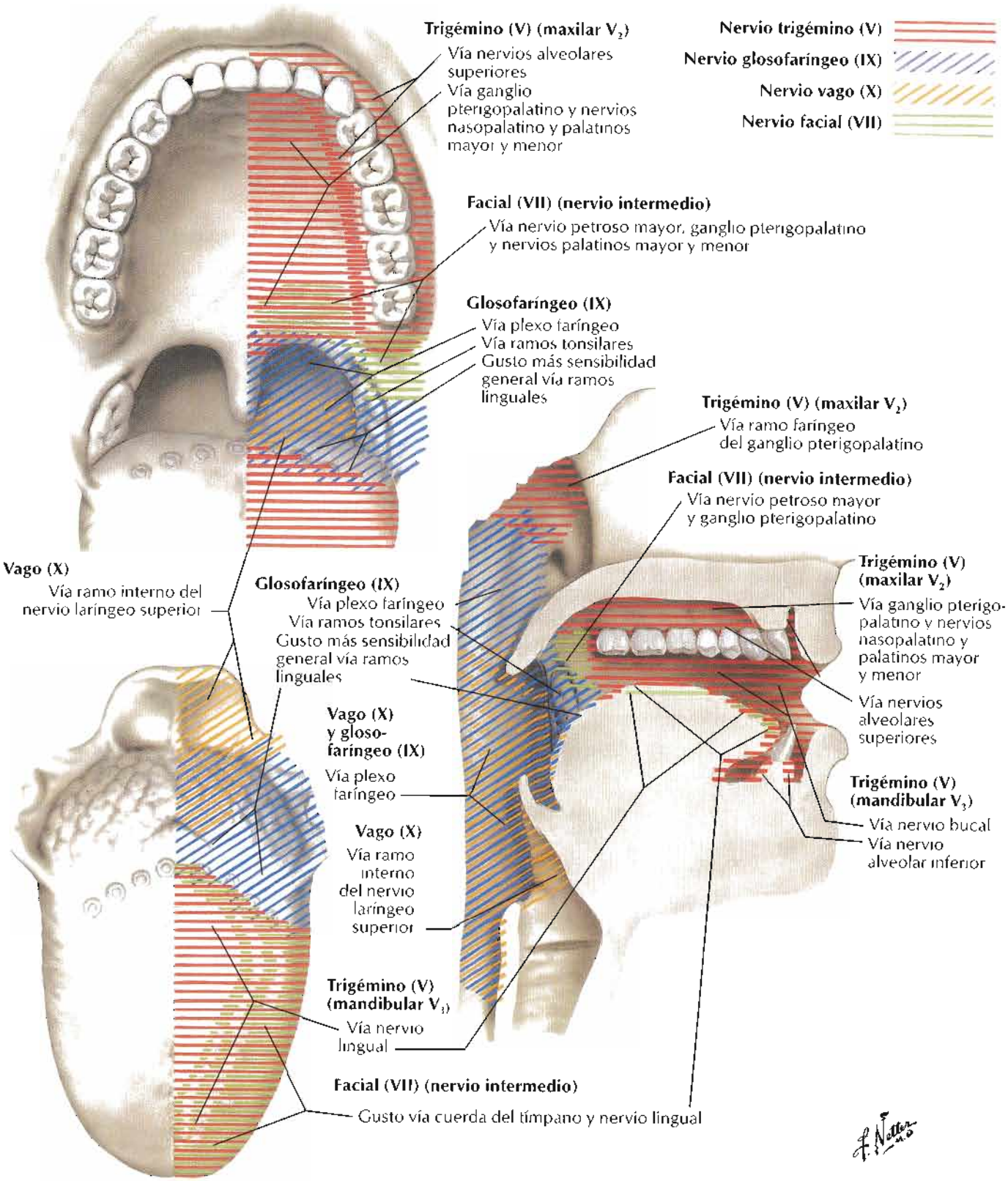
Glándula parótida: totalmente serosa

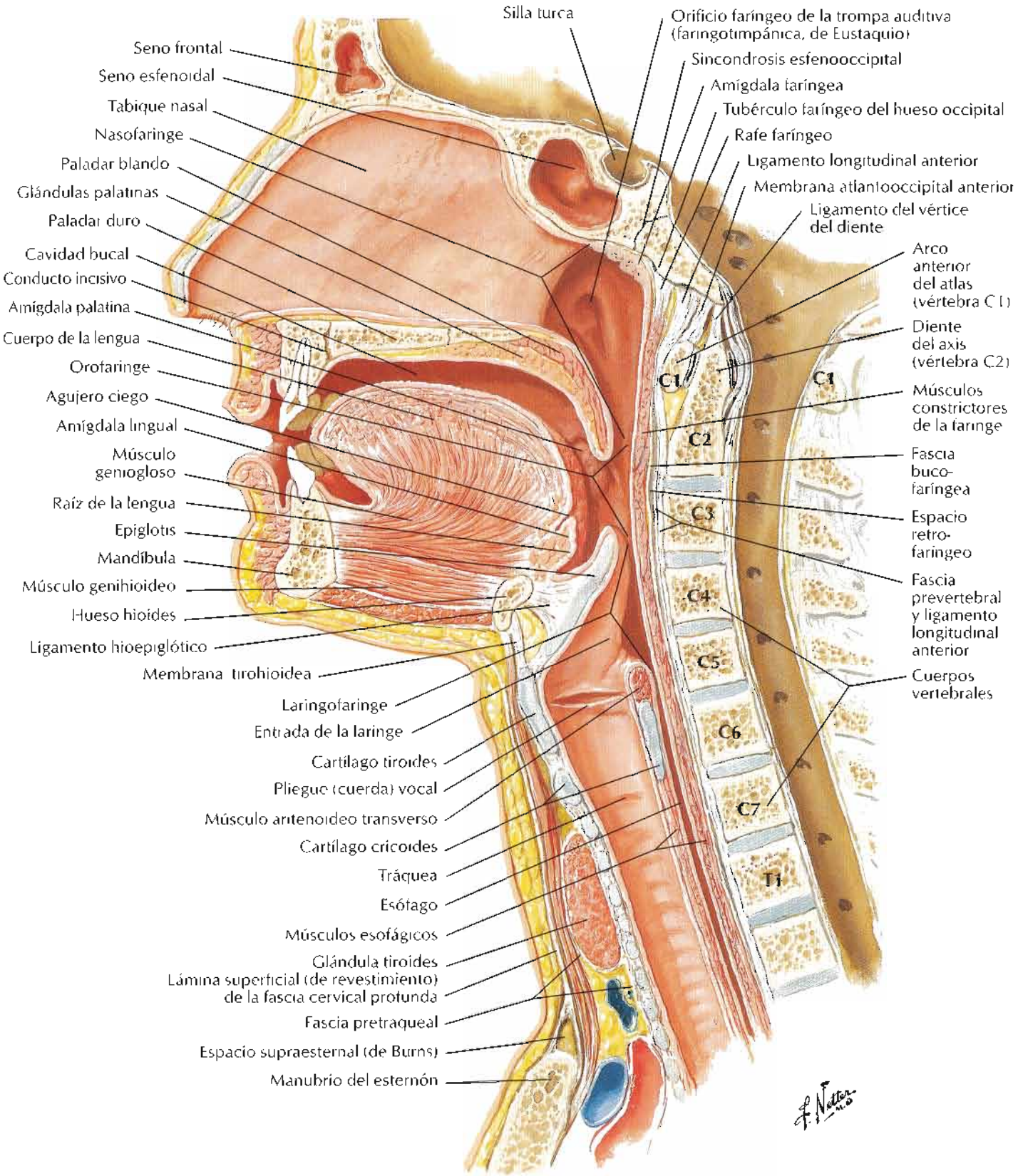
Glándula submandibular: principalmente serosa, parcialmente mucosa

Glándula sublingual: casi completamente mucosa

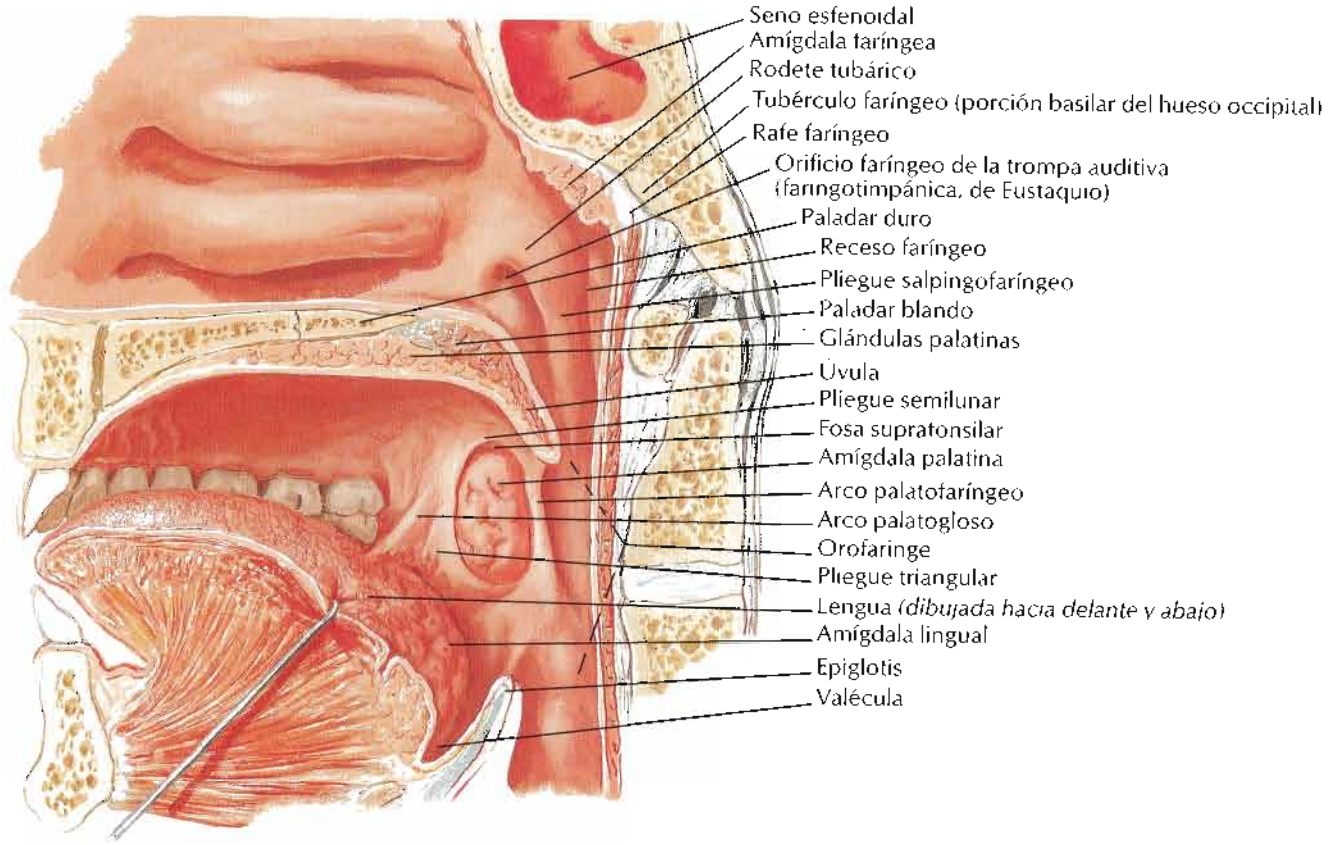
1 Inervación aferente de la boca y faringe

Véanse también **láminas 45, 52, 59, 64, 122, 123, 125, 133, 135**

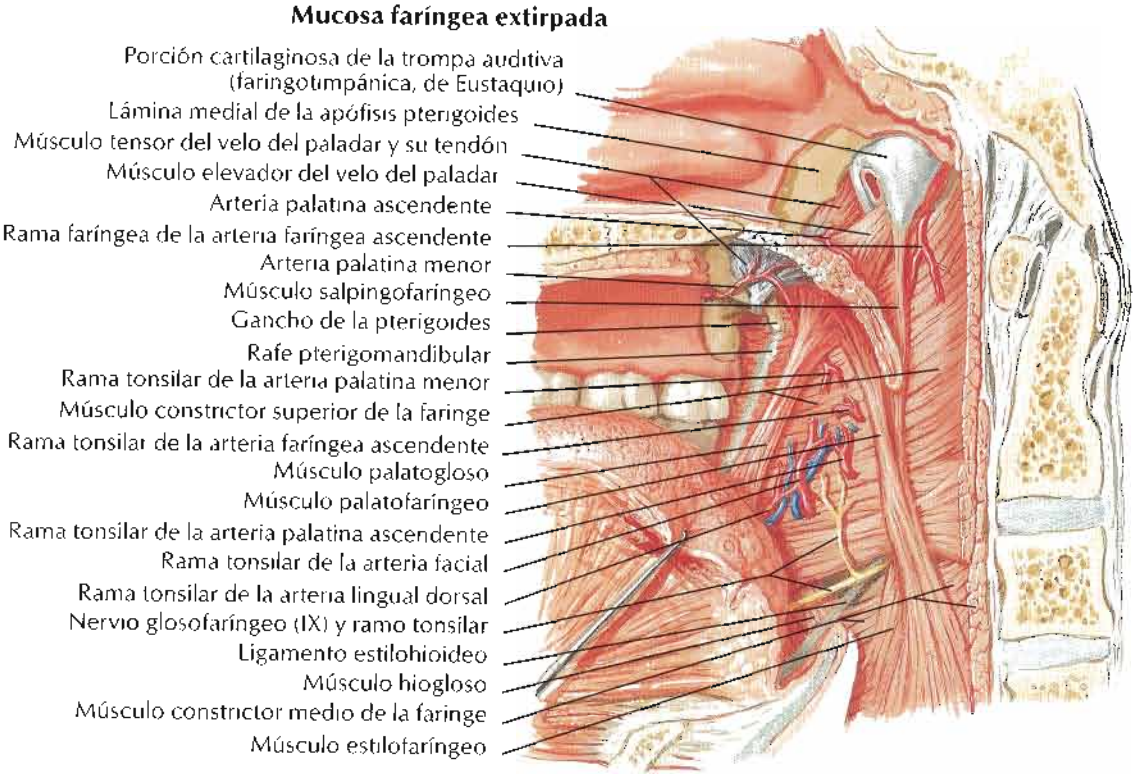



Silla turca
Orificio faríngeo de la trompa auditiva (faringotimpánica, de Eustaquio)
Sincondrosis esfenooccipital
Amígdala faríngea
Tubérculo faríngeo del hueso occipital
Rafe faríngeo
Ligamento longitudinal anterior
Membrana atlantooccipital anterior
Ligamento del vértice del diente
Arco anterior del atlas (vértebra C 1)
Diente del axis (vértebra C2)
Músculos constrictores de la faringe
Fascia buco-faríngea
Espacio retro-faríngeo
Fascia prevertebral y ligamento longitudinal anterior
Cuerpos vertebrales
Seno frontal
Seno esfenoidal
Tabique nasal
Nasofaringe
Paladar blando
Glándulas palatinas
Paladar duro
Cavidad bucal
Conducto incisivo
Amígdala palatina
Cuerpo de la lengua
Orofaringe
Agujero ciego
Amígdala lingual
Músculo geniogloso
Raíz de la lengua
Epiglotis
Mandíbula
Músculo genihioideo
Hueso hioides
Ligamento hioepiglótico
Membrana tirohioidea
Laringofaringe
Entrada de la laringe
Cartílago tiroides
Pliegue (cuerda) vocal
Músculo aritenoideo transverso
Cartílago cricoides
Tráquea
Esófago
Músculos esofágicos
Glándula tiroides
Lámina superficial (de revestimiento) de la fascia cervical profunda
Fascia pretraqueal
Espacio supraesternal (de Burns)
Manubrio del esternón
C1
C2
C3
C4
C5
C6
C7
T1
F. Netter M.D.

Visión medial
Sección media (sagital)

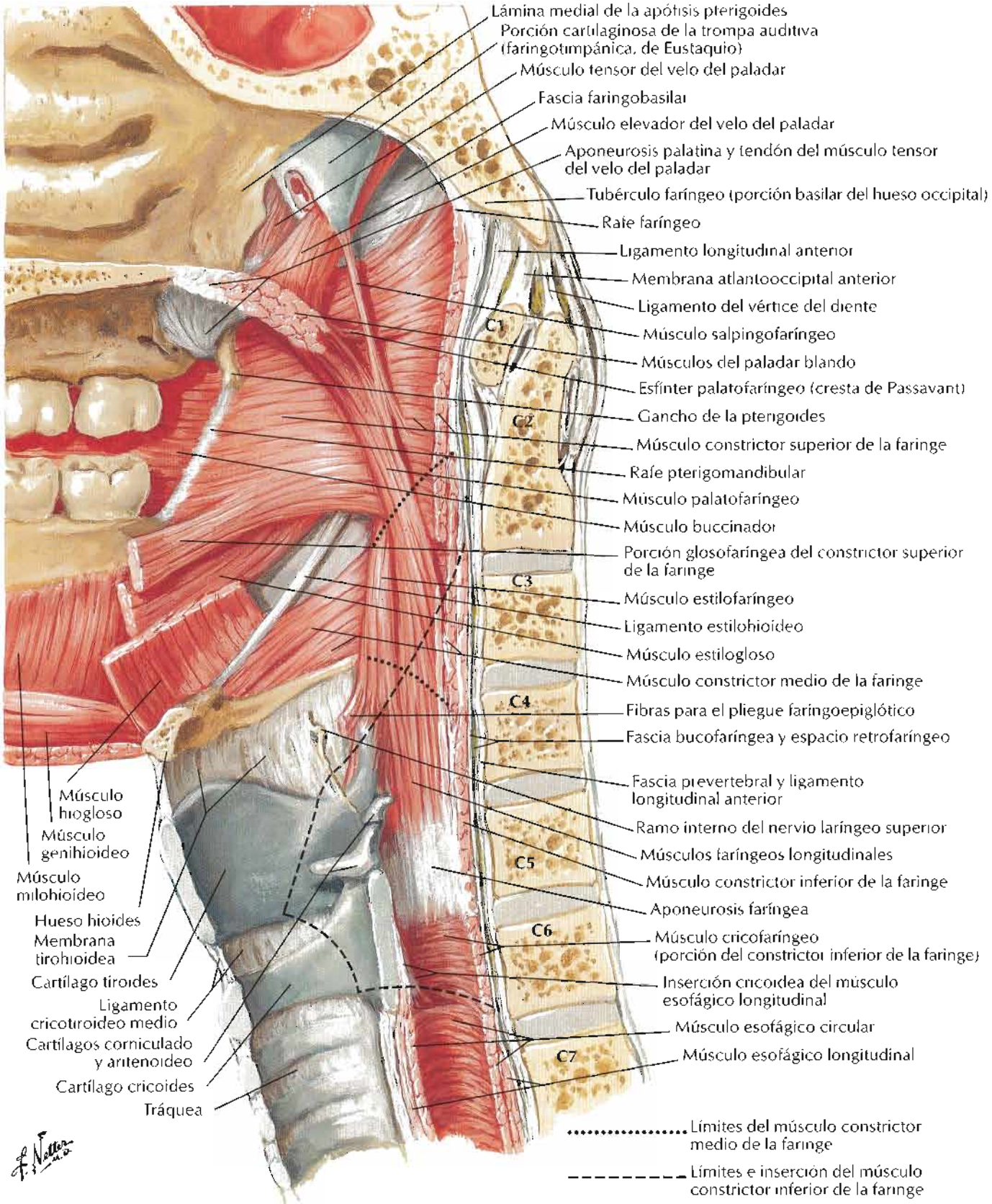


Mucosa faríngea extirpada

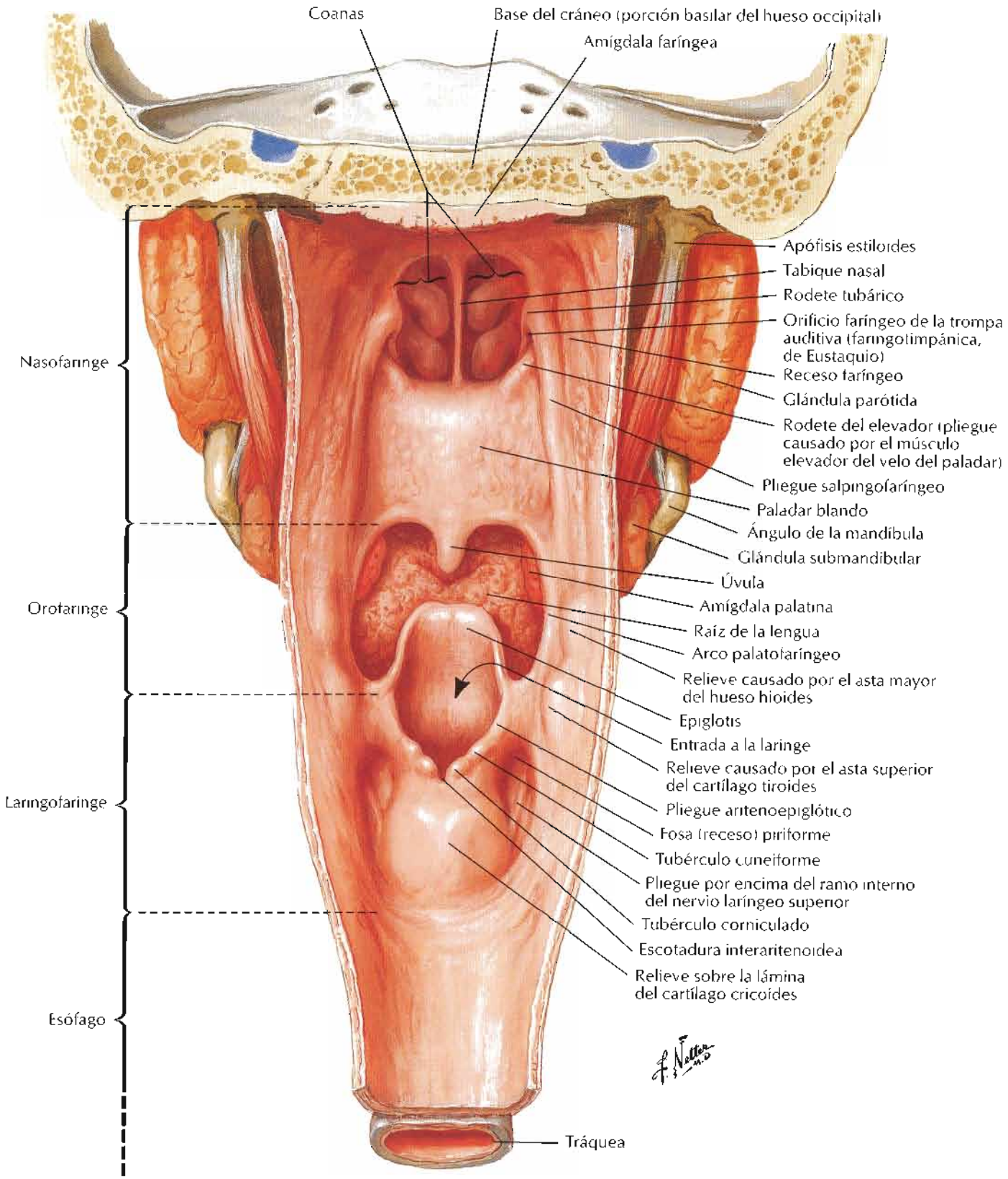


F. Netter M.D.

Músculos de la faringe: sección media (sagital)

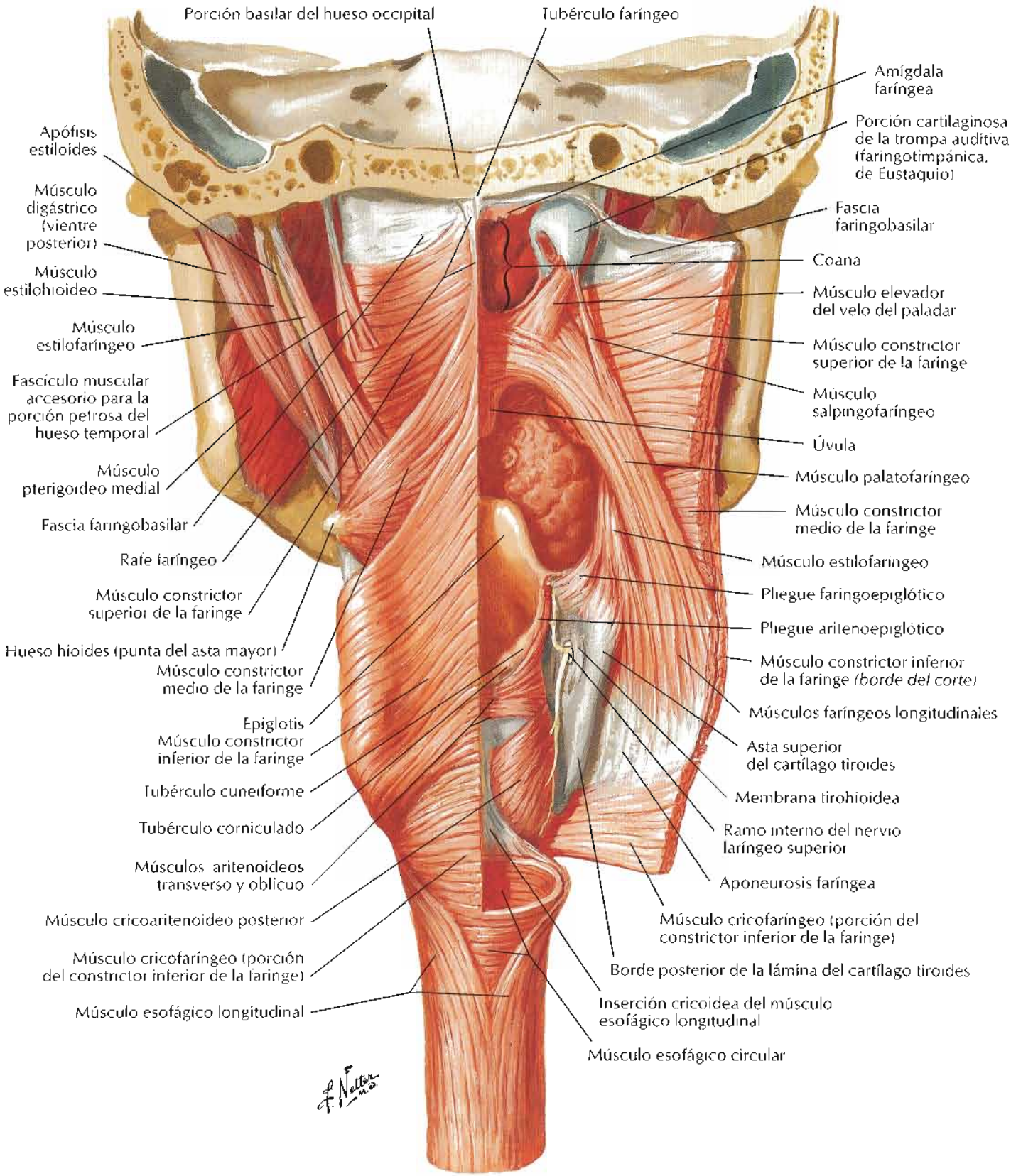


1 Faringe: visión posterior abierta

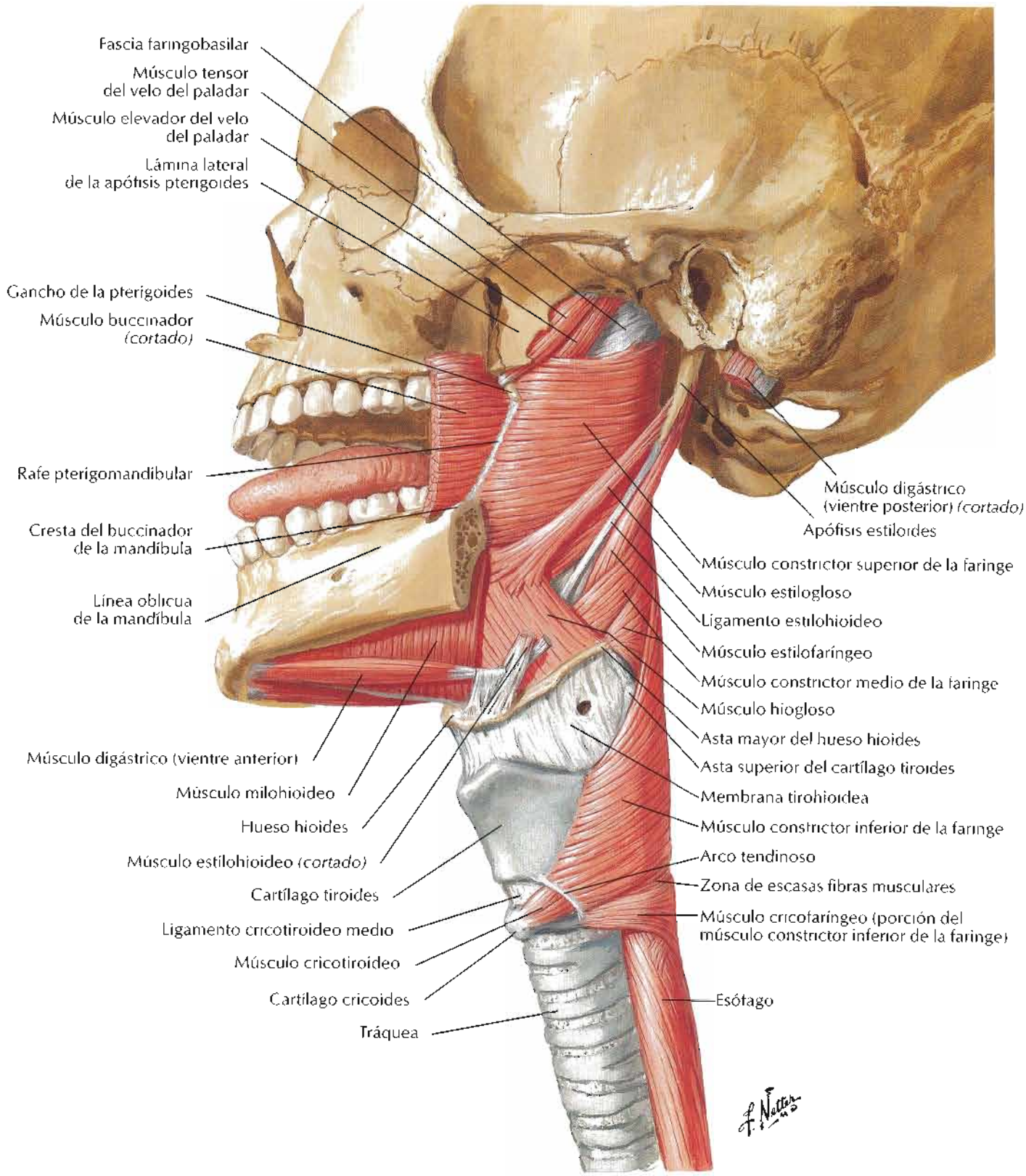


Mm. de la faringe: visión posterior abierta parcialmente

Véase también **lámina 235**

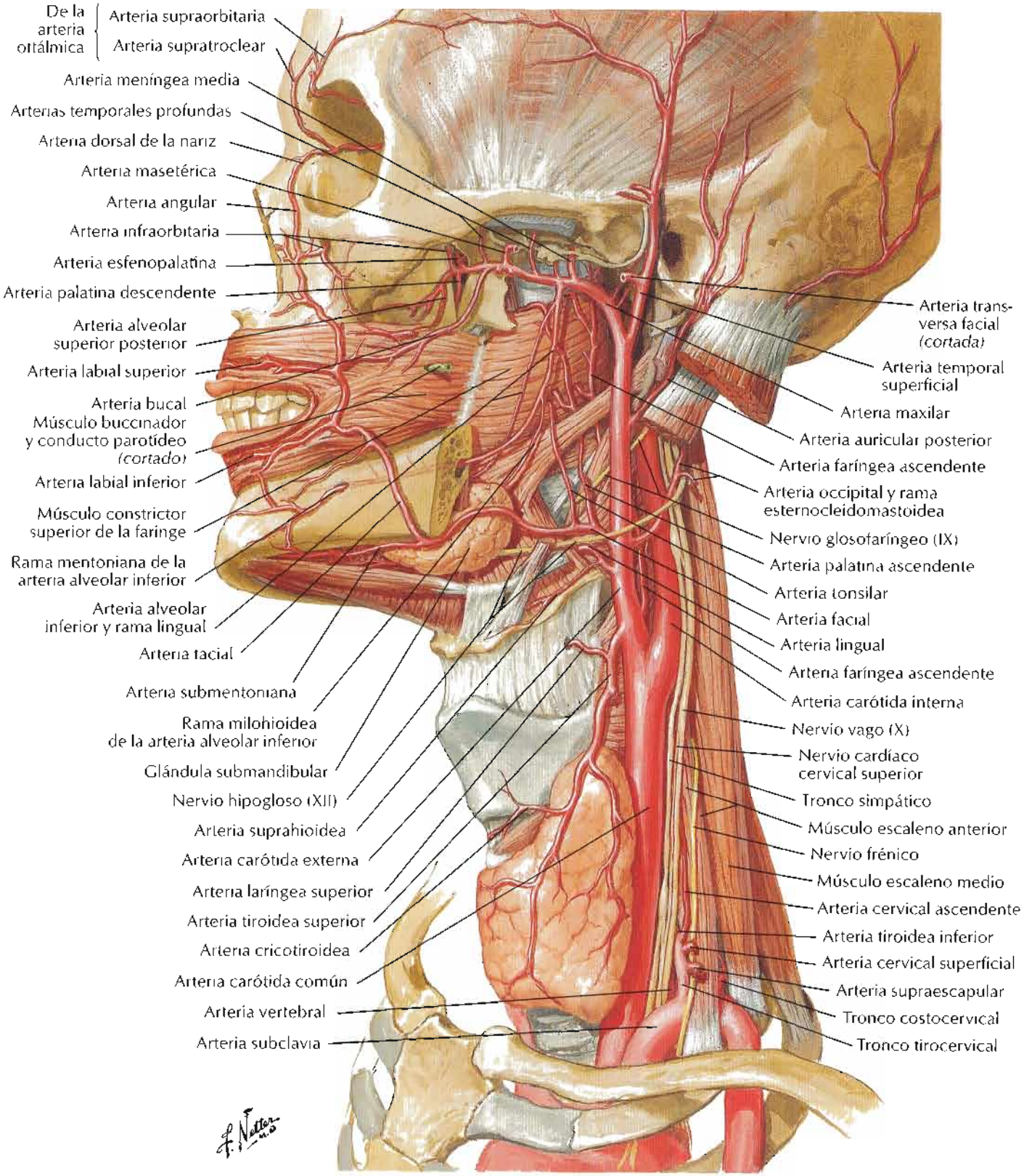


1 Músculos de la faringe: visión lateral



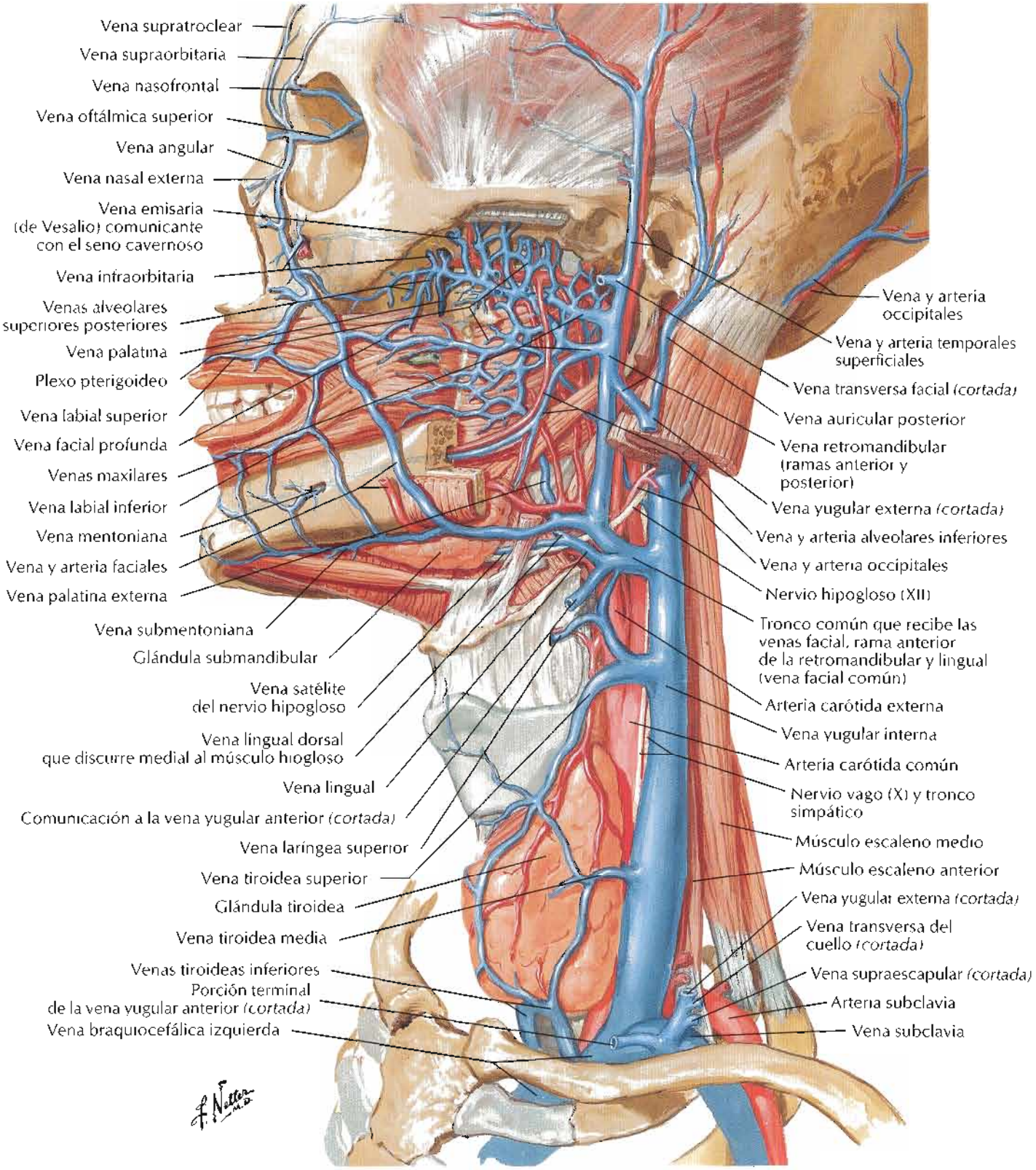
Arterias de las regiones bucal y faríngea

Véanse también **láminas 34, 40**



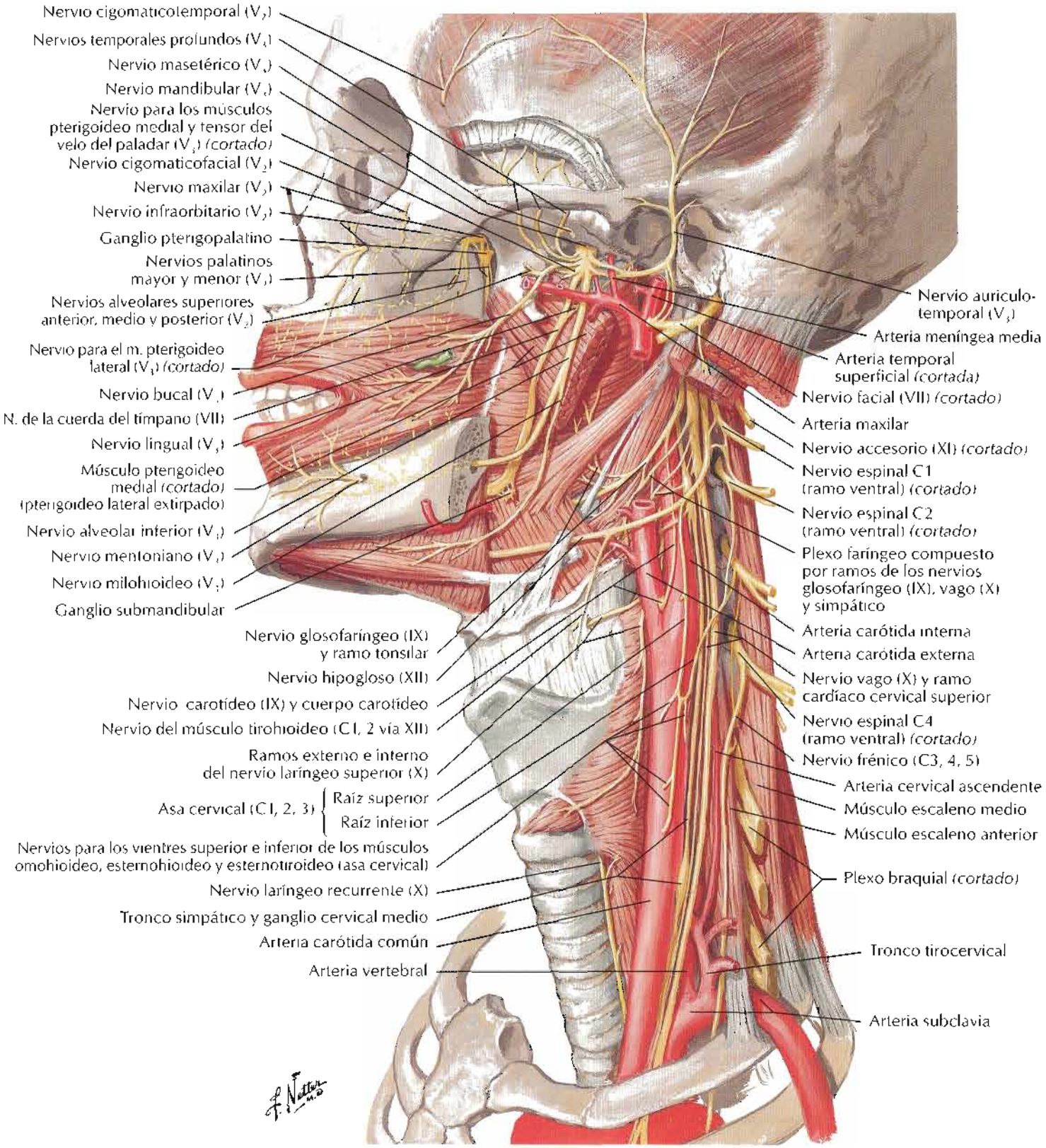
1 Venas de las regiones bucal y faríngea

Véanse también **láminas 23, 31, 104**



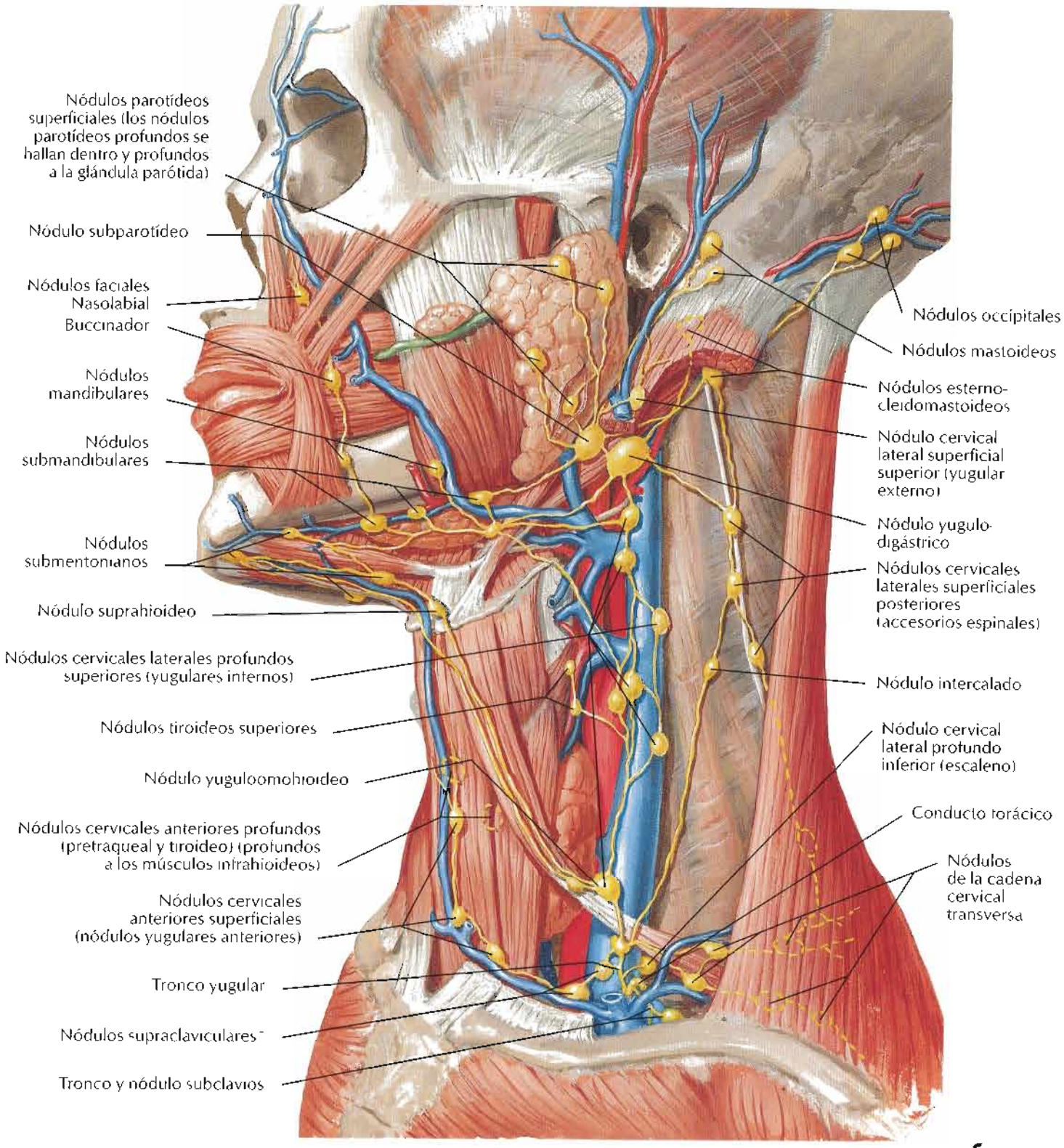
Nervios de las regiones bucal y faríngea

Véanse también **láminas 25, 45, 46, 122, 125, 126**

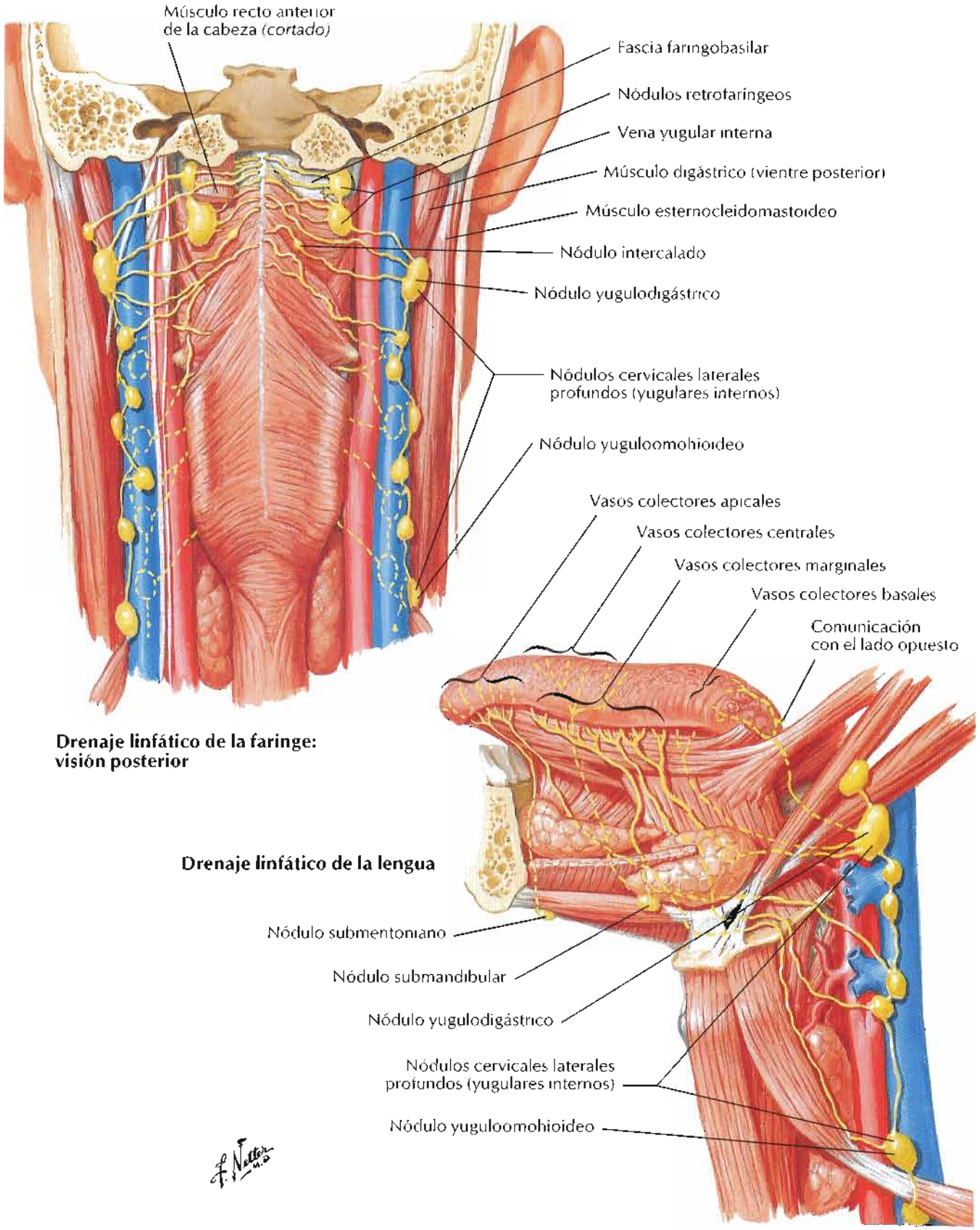


1 Vasos y nódulos linfáticos de la cabeza y cuello

Véase también **lámina 208**



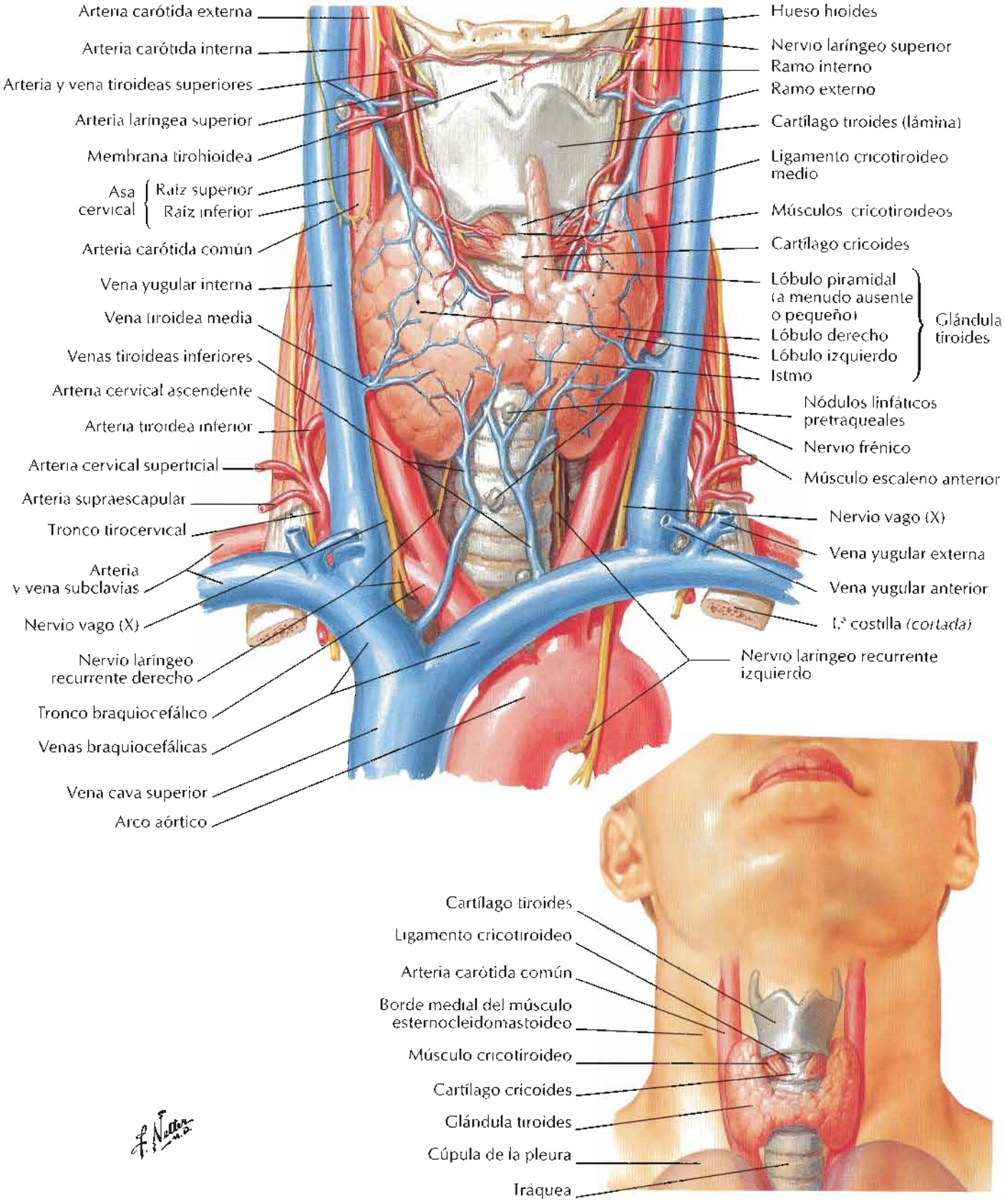
*El grupo de nódulos supraclaviculares (también denominado grupo cervical profundo inferior), especialmente en el lado izquierdo, también suele conocerse como nódulos linfáticos centinelas, de Virchow o de Troisier, especialmente cuando aumentan lo bastante de tamaño y son palpables. Estos nódulos (o un único nódulo) se denominan así porque pueden ser la primera evidencia probable y reconocible de una neoplasia maligna visceral



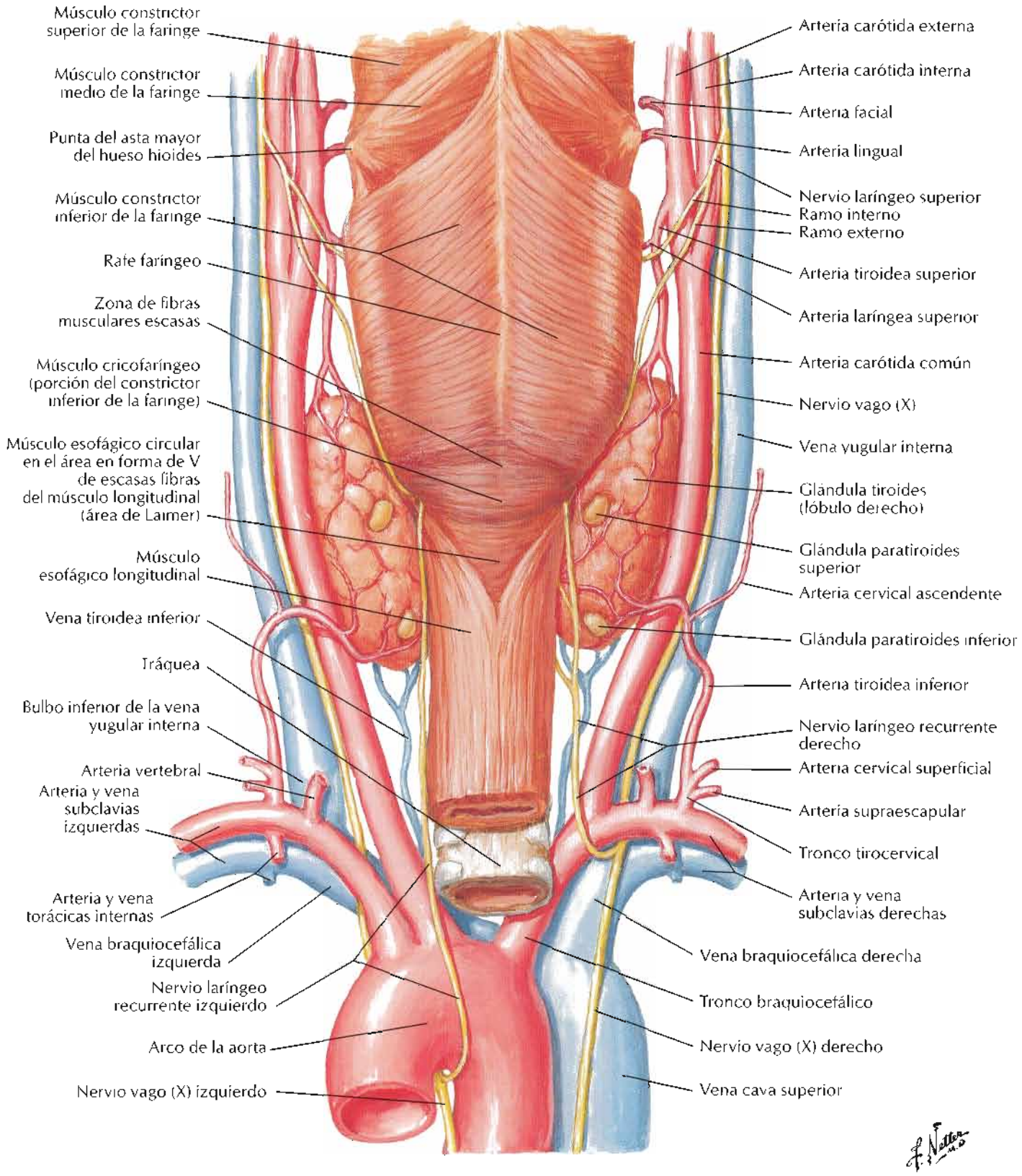
Drenaje linfático de la faringe: visión posterior

Drenaje linfático de la lengua

1 Glándula tiroides: visión anterior

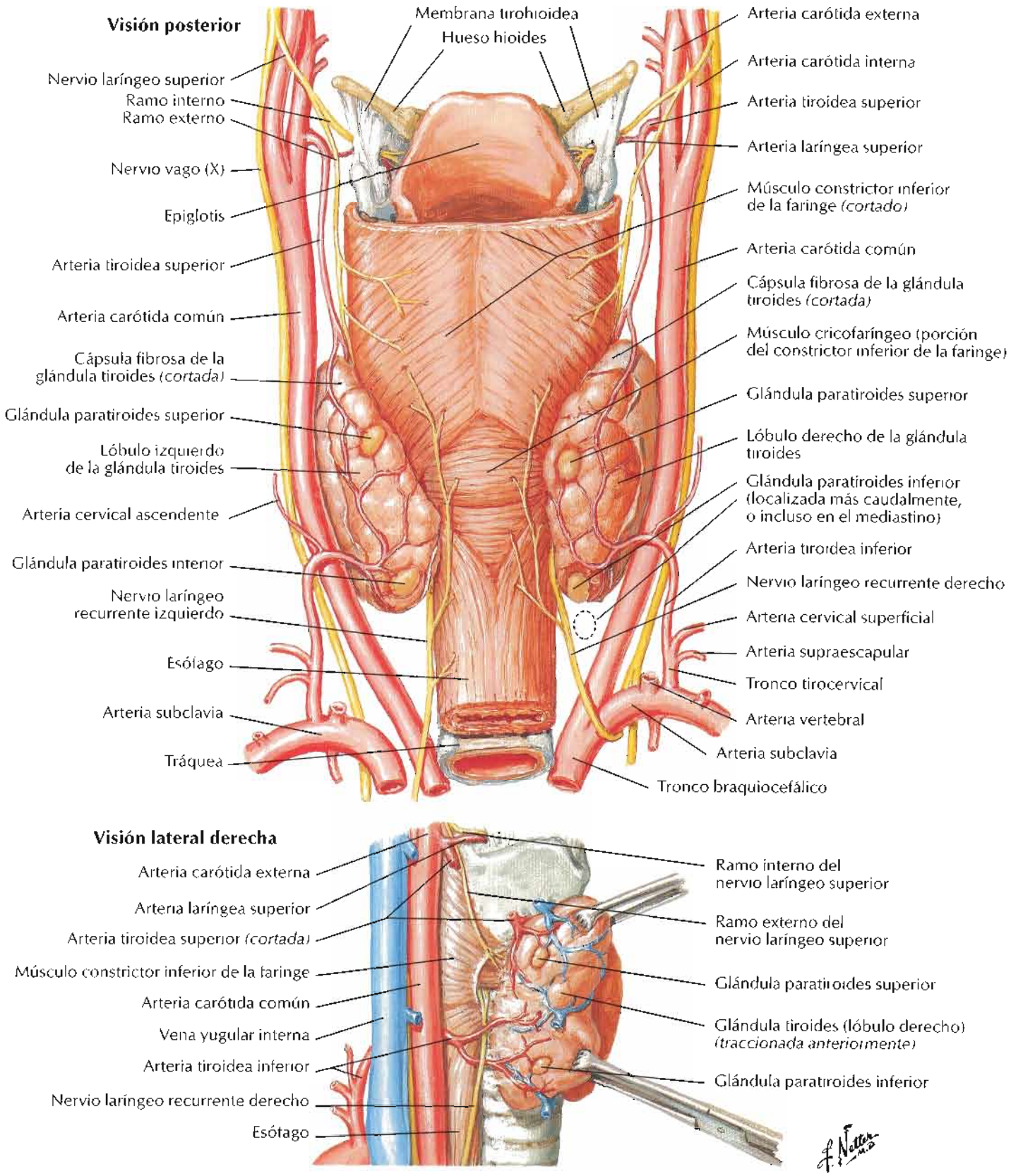


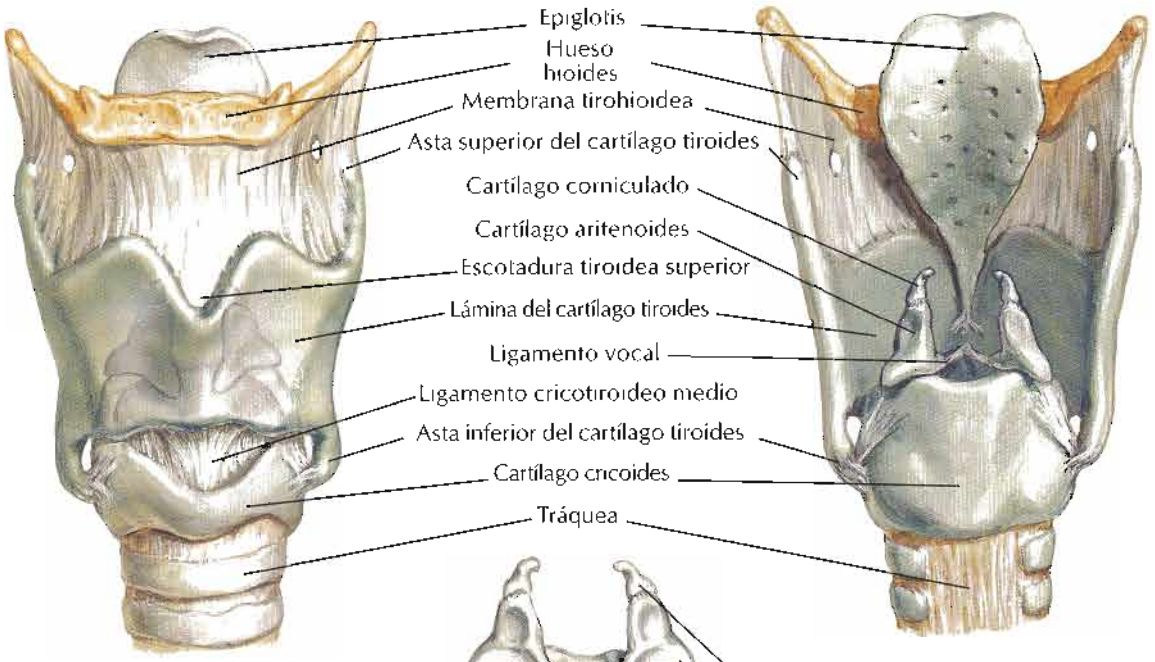
Glándula tiroides y faringe: visión posterior



1 Glándulas paratiroides

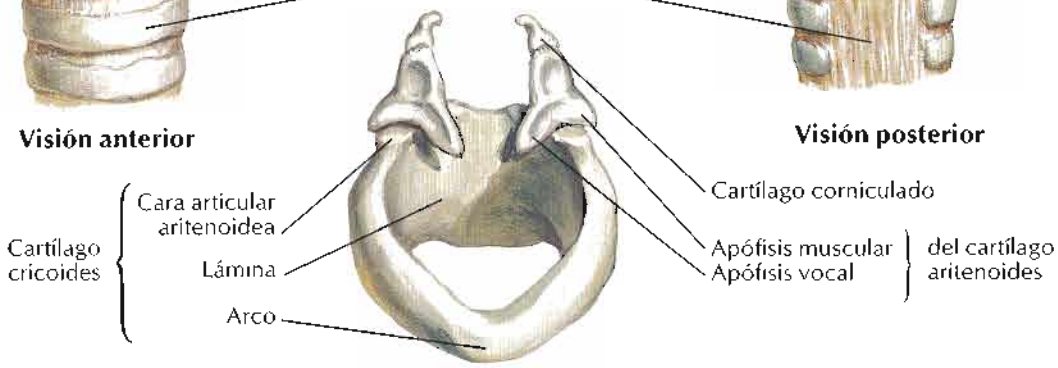
Véase también **lámina 80**



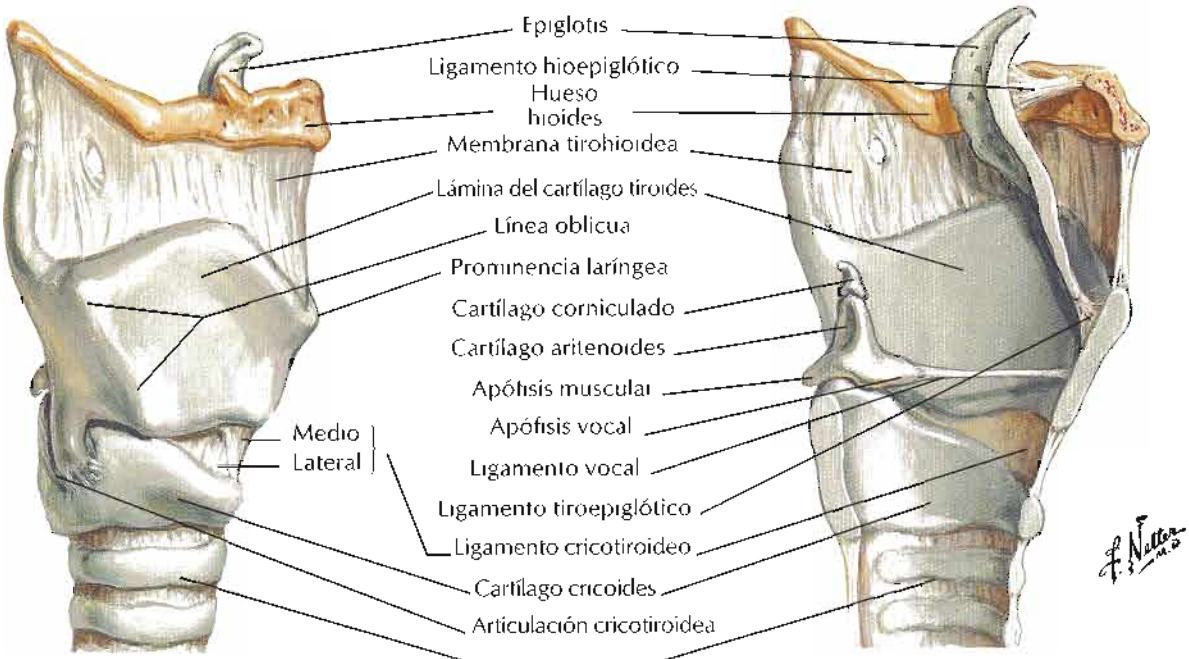


Visión anterior

Visión posterior



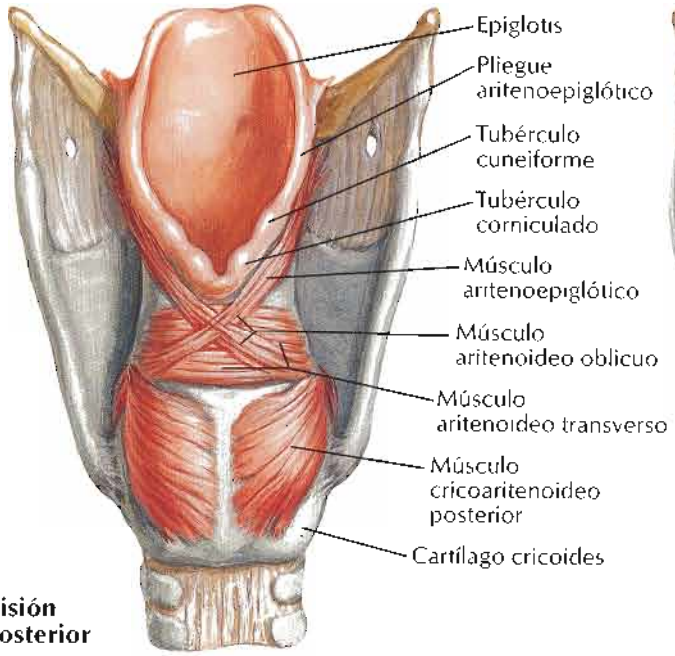
Visión anterosuperior



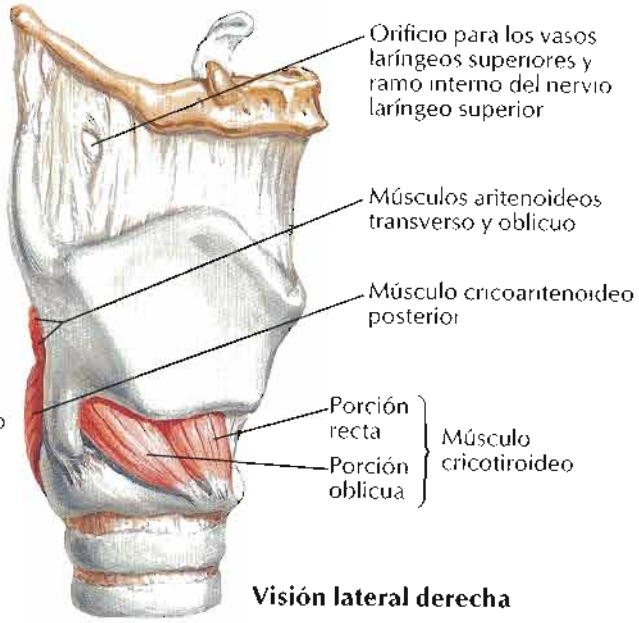
Visión lateral derecha

Visión medial, sección media (sagital)

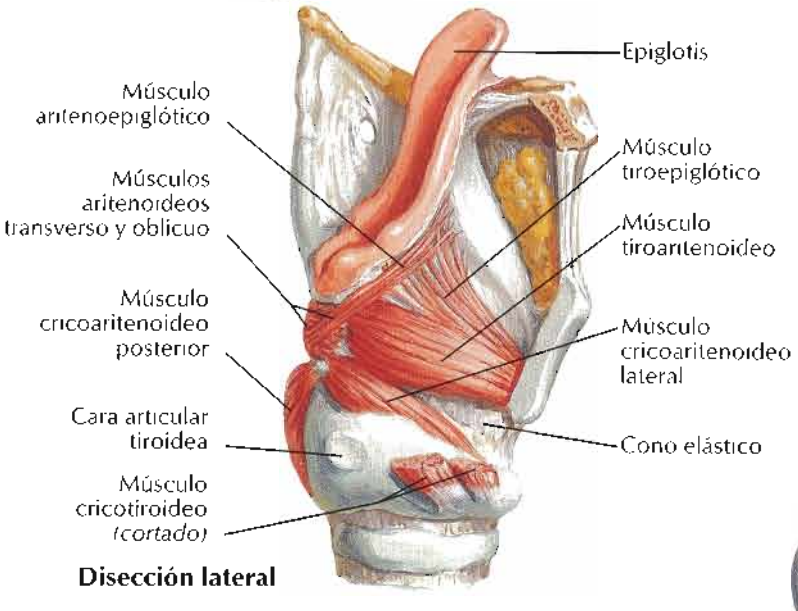
1 Músculos intrínsecos de la laringe



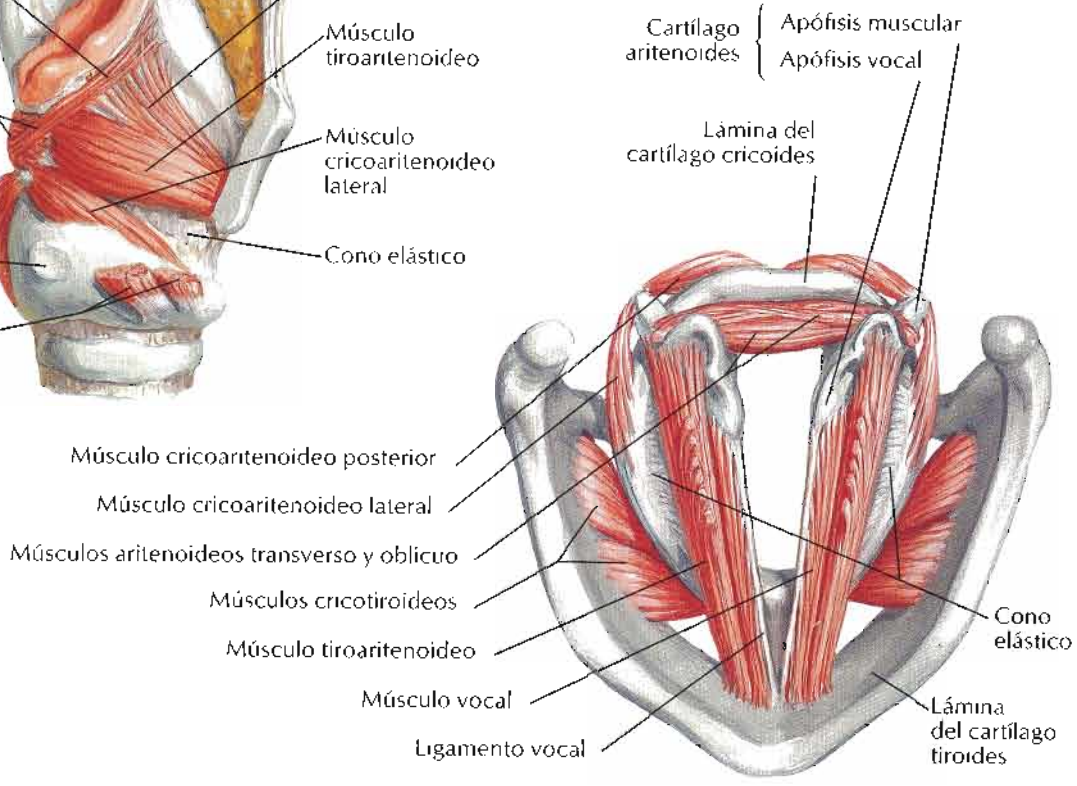
Visión posterior



Visión lateral derecha

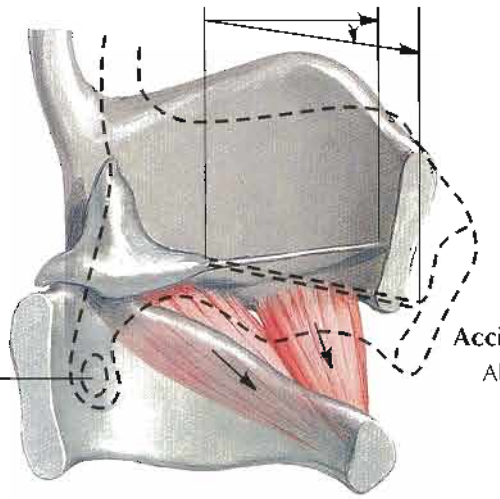


Disección lateral



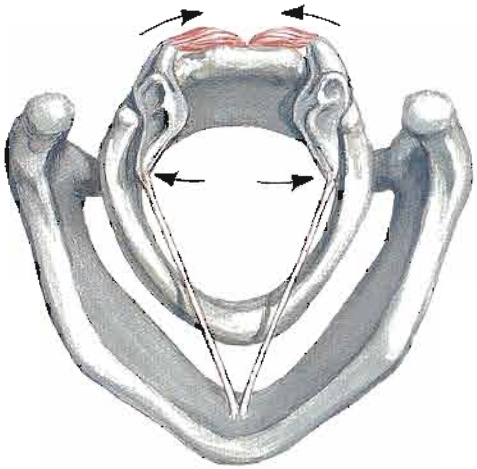
Visión superior

Acciones de los músculos intrínsecos de la laringe

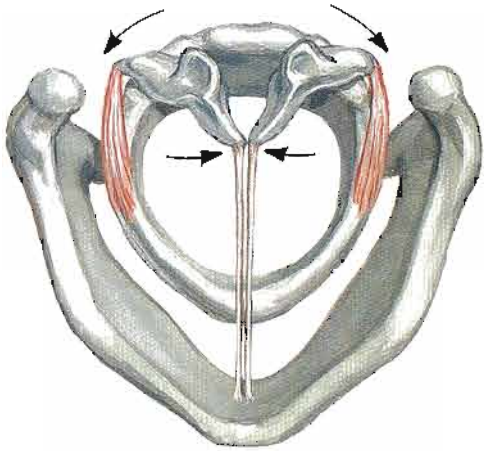


Articulación cricotiroidea (punto de rotación)

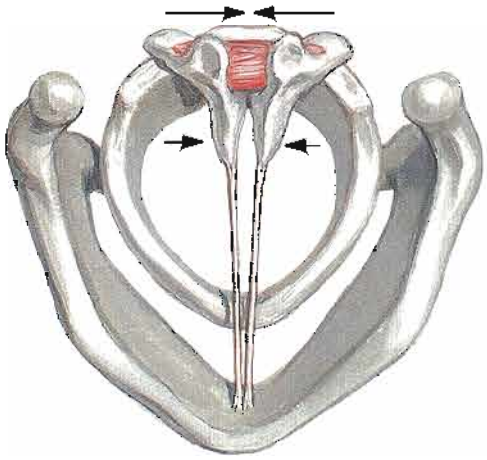
Acción de los músculos cricotiroideos
Alargamiento (aumento de la tensión) de los ligamentos vocales



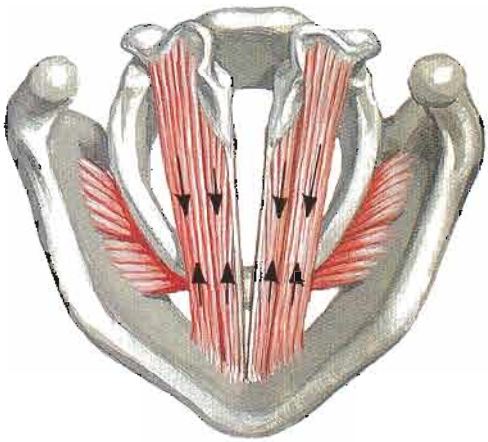
Acción de los músculos cricoaritenoideos posteriores
Abducción de los ligamentos vocales



Acción de los músculos cricoaritenoideos laterales
Aducción de los ligamentos vocales



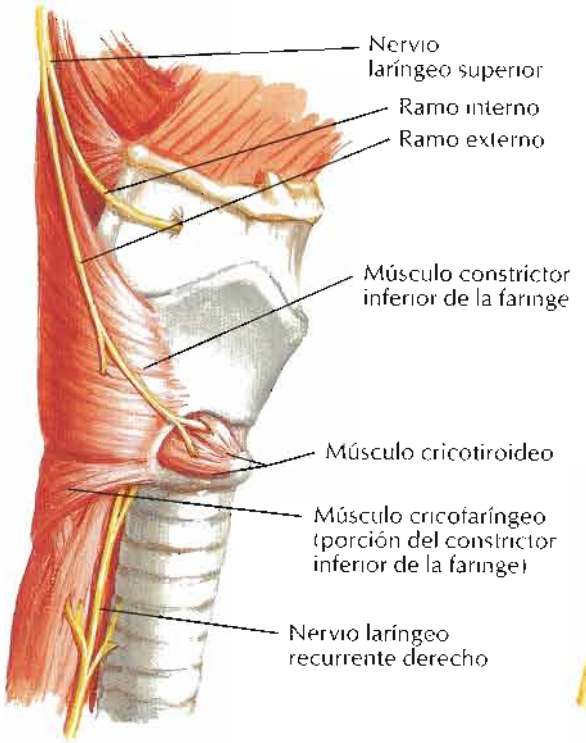
Acción de los músculos aritenoideos oblicuo y transverso
Aducción de los ligamentos vocales



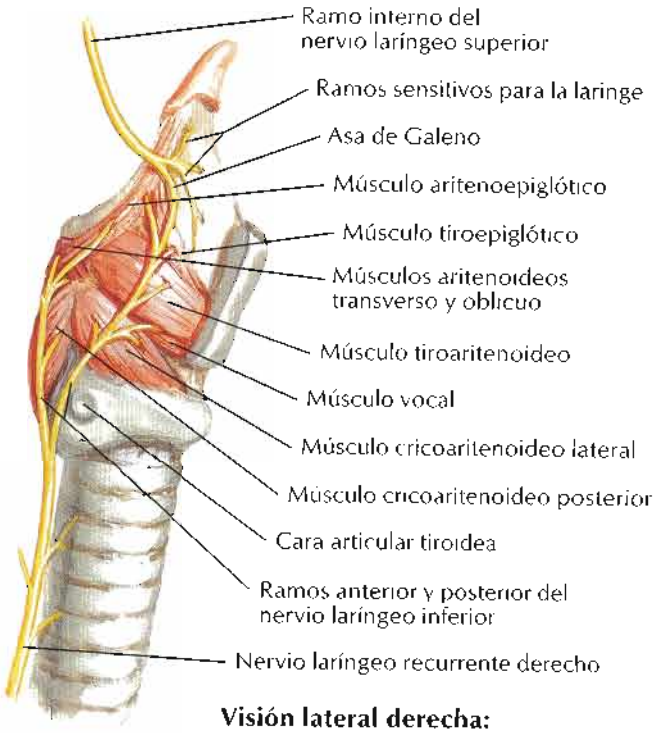
Acción de los músculos vocales y tiroaritenoideos
Acortamiento (relajación) de los ligamentos vocales

1 Nervios de la laringe

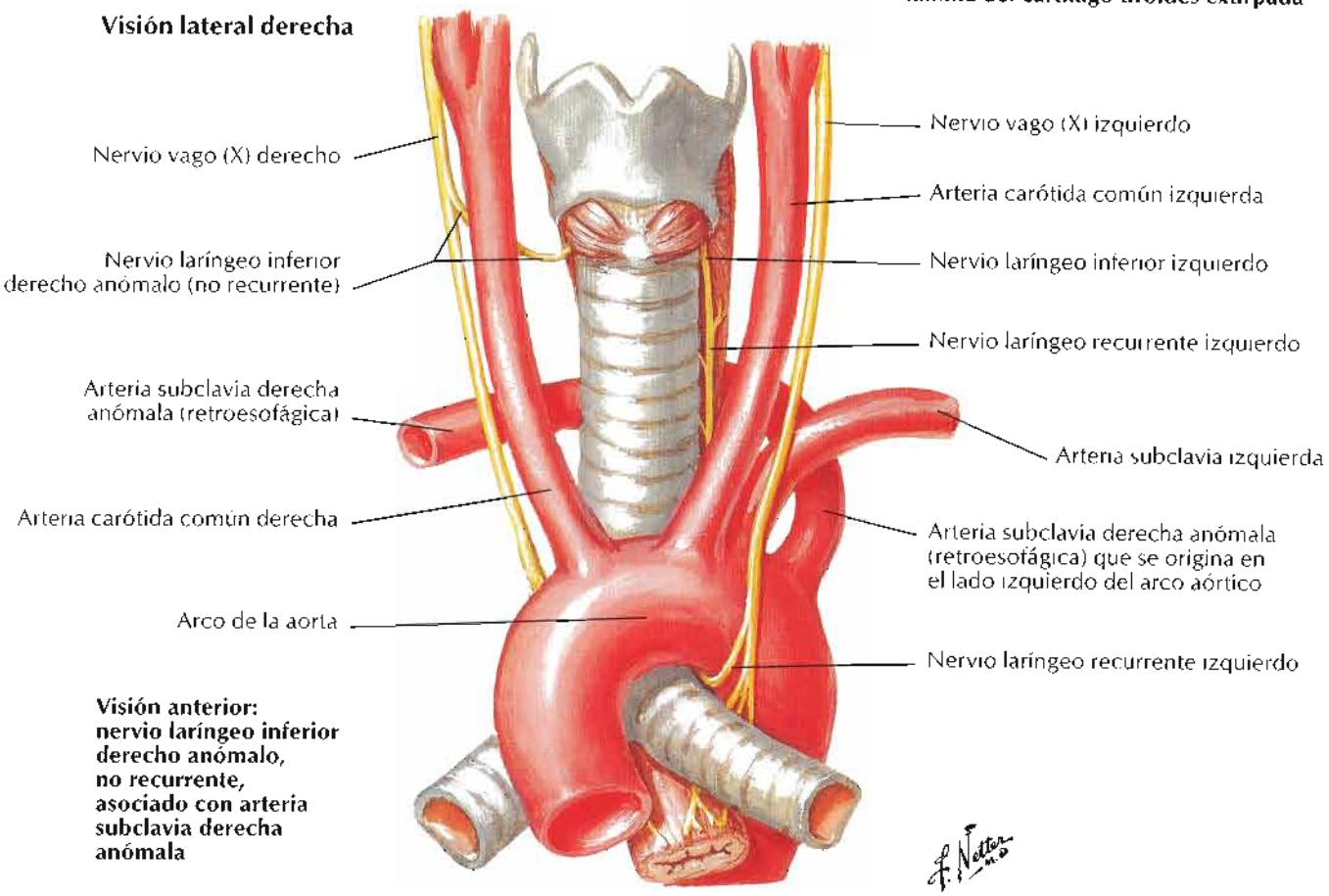
Véanse también **láminas 74-76, 235**



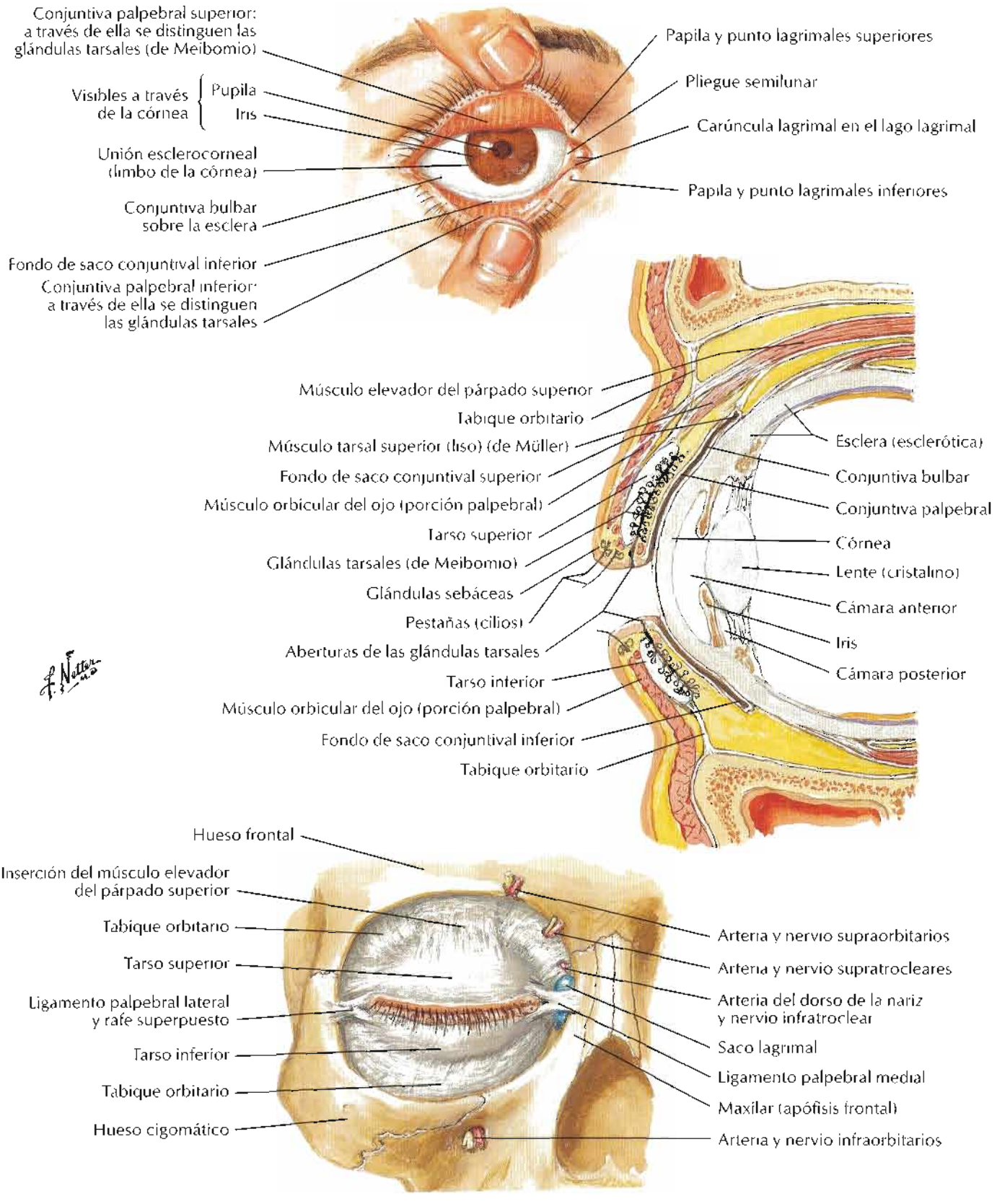
Visión lateral derecha



Visión lateral derecha: lámina del cartílago tiroides extirpada

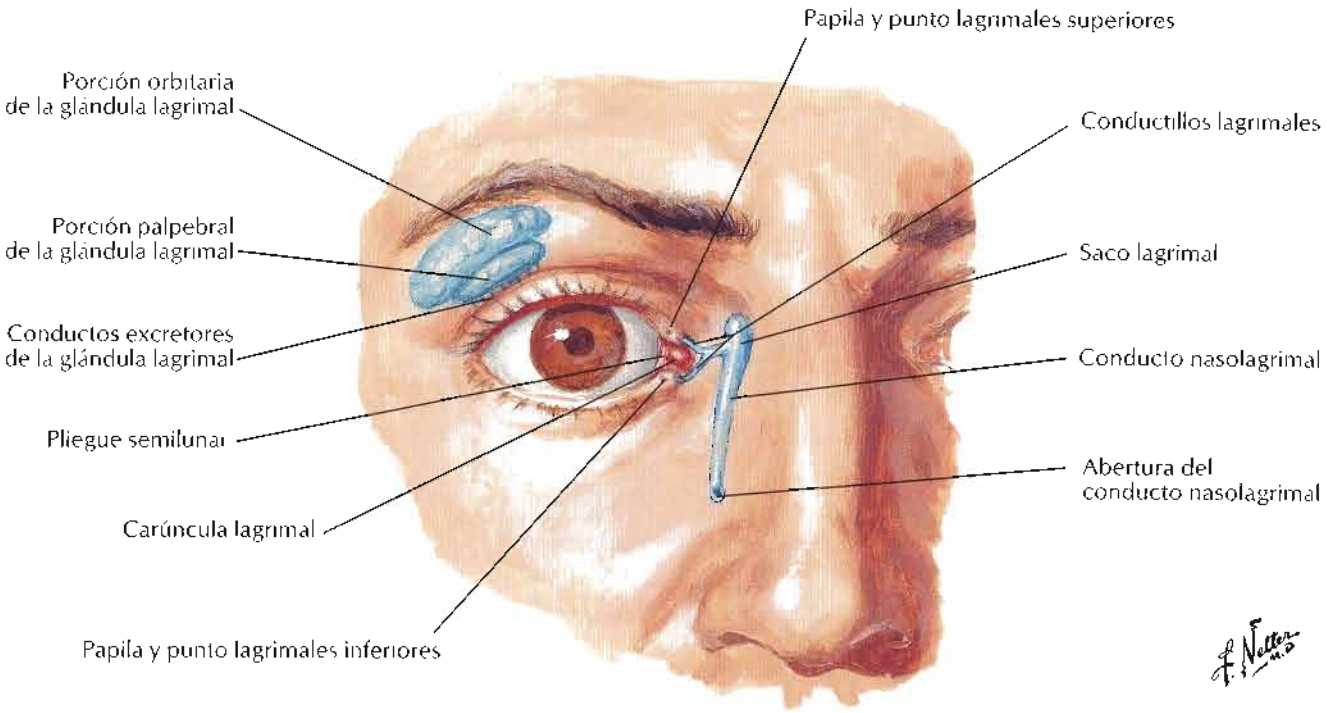


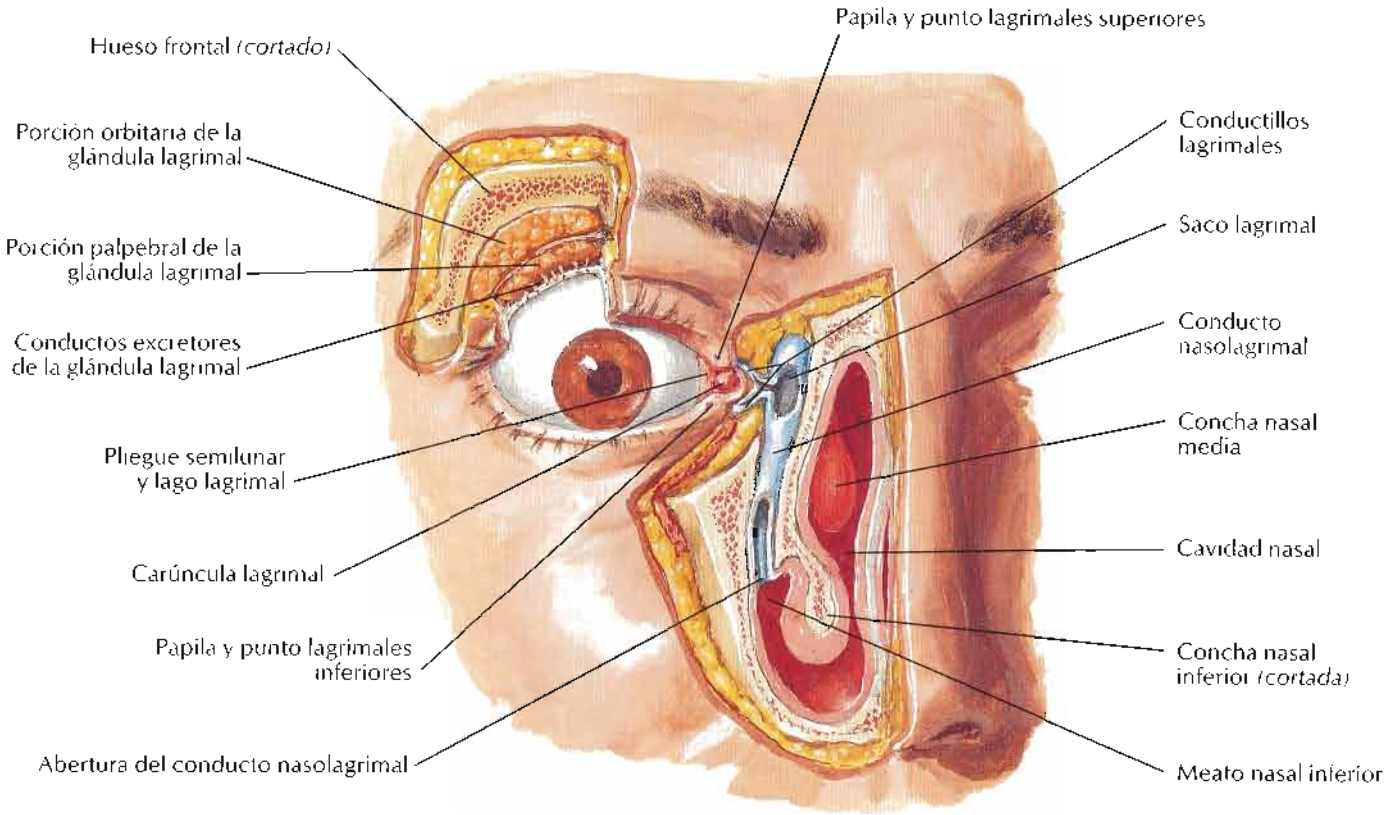
Visión anterior: nervio laríngeo inferior derecho anómalo, no recurrente, asociado con arteria subclavia derecha anómala


Conjuntiva palpebral superior: a través de ella se distinguen las glándulas tarsales (de Meibomio)
Visibles a través de la córnea
Pupila
Iris
Unión esclerocorneal (limbo de la córnea)
Conjuntiva bulbar sobre la esclera
Fondo de saco conjuntival inferior
Conjuntiva palpebral inferior: a través de ella se distinguen las glándulas tarsales
Papila y punto lagrimales superiores
Pliegue semilunar
Carúncula lagrimal en el lago lagrimal
Papila y punto lagrimales inferiores
Músculo elevador del párpado superior
Tabique orbitario
Músculo tarsal superior (liso) (de Müller)
Fondo de saco conjuntival superior
Músculo orbicular del ojo (porción palpebral)
Tarso superior
Glándulas tarsales (de Meibomio)
Glándulas sebáceas
Pestañas (cilios)
Aberturas de las glándulas tarsales
Tarso inferior
Músculo orbicular del ojo (porción palpebral)
Fondo de saco conjuntival inferior
Tabique orbitario
Esclera (esclerótica)
Conjuntiva bulbar
Conjuntiva palpebral
Córnea
Lente (cristalino)
Cámara anterior
Iris
Cámara posterior
Hueso frontal
Inserción del músculo elevador del párpado superior
Tabique orbitario
Tarso superior
Ligamento palpebral lateral y rafe superpuesto
Tarso inferior
Tabique orbitario
Hueso cigomático
Arteria y nervio supraorbitarios
Arteria y nervio supratrocleares
Arteria del dorso de la nariz y nervio infratroclear
Saco lagrimal
Ligamento palpebral medial
Maxilar (apófisis frontal)
Arteria y nervio infraorbitarios

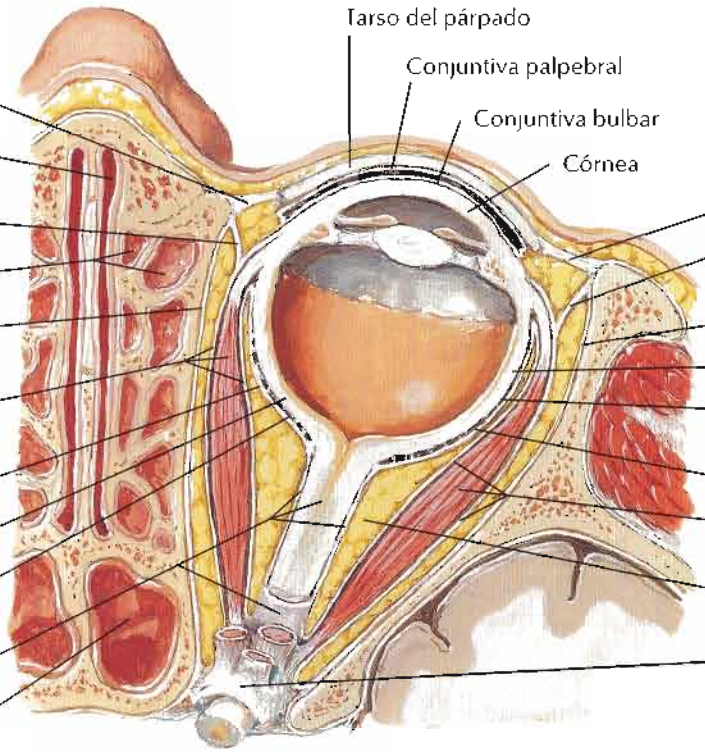
1 Aparato lagrimal

Véanse también **láminas 45, 133**

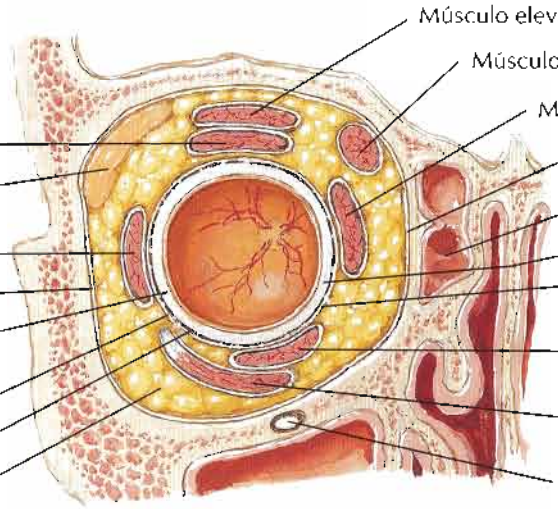




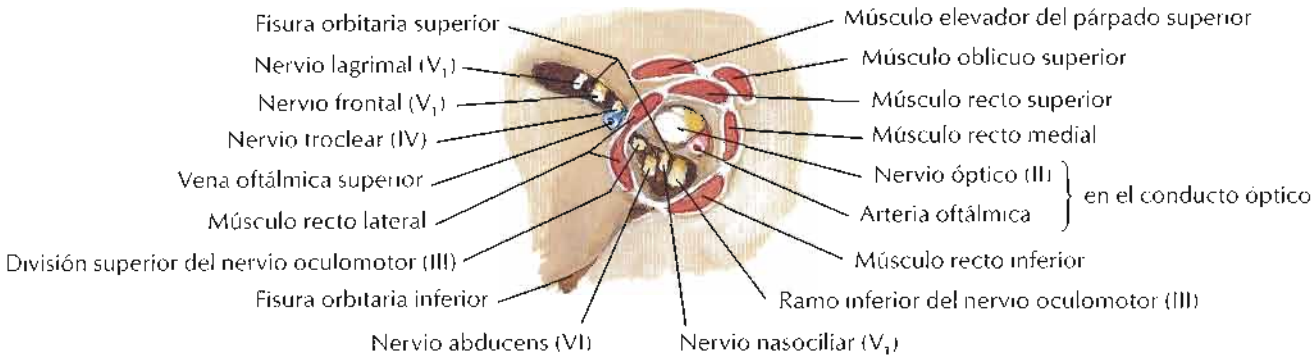
Sección horizontal



Sección frontal

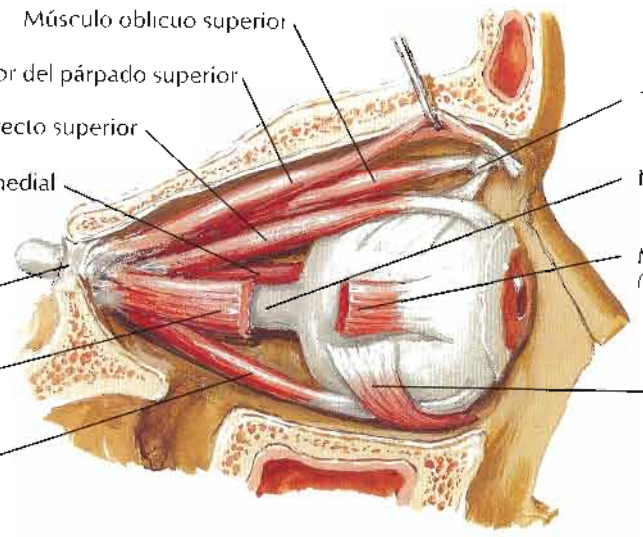


Inserciones musculares y nervios y vasos que penetran en la órbita

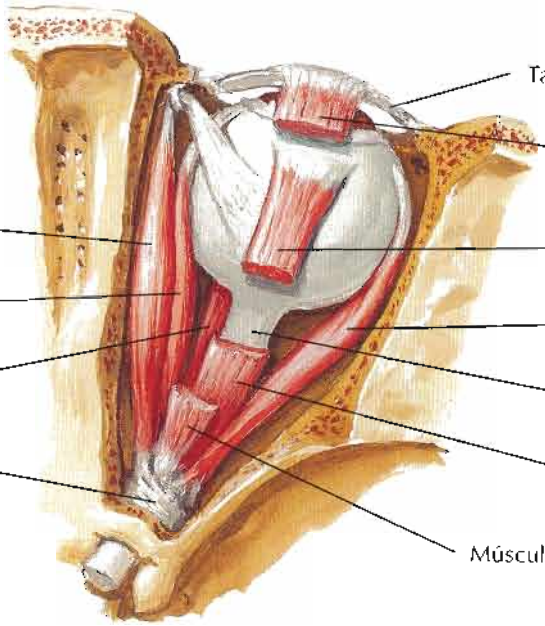


Músculos extrínsecos del ojo

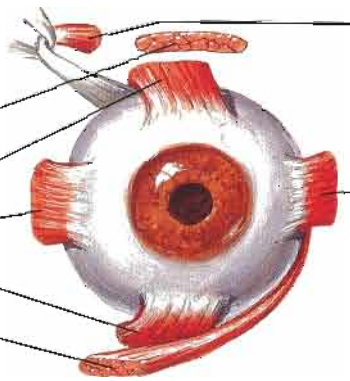
Visión lateral derecha

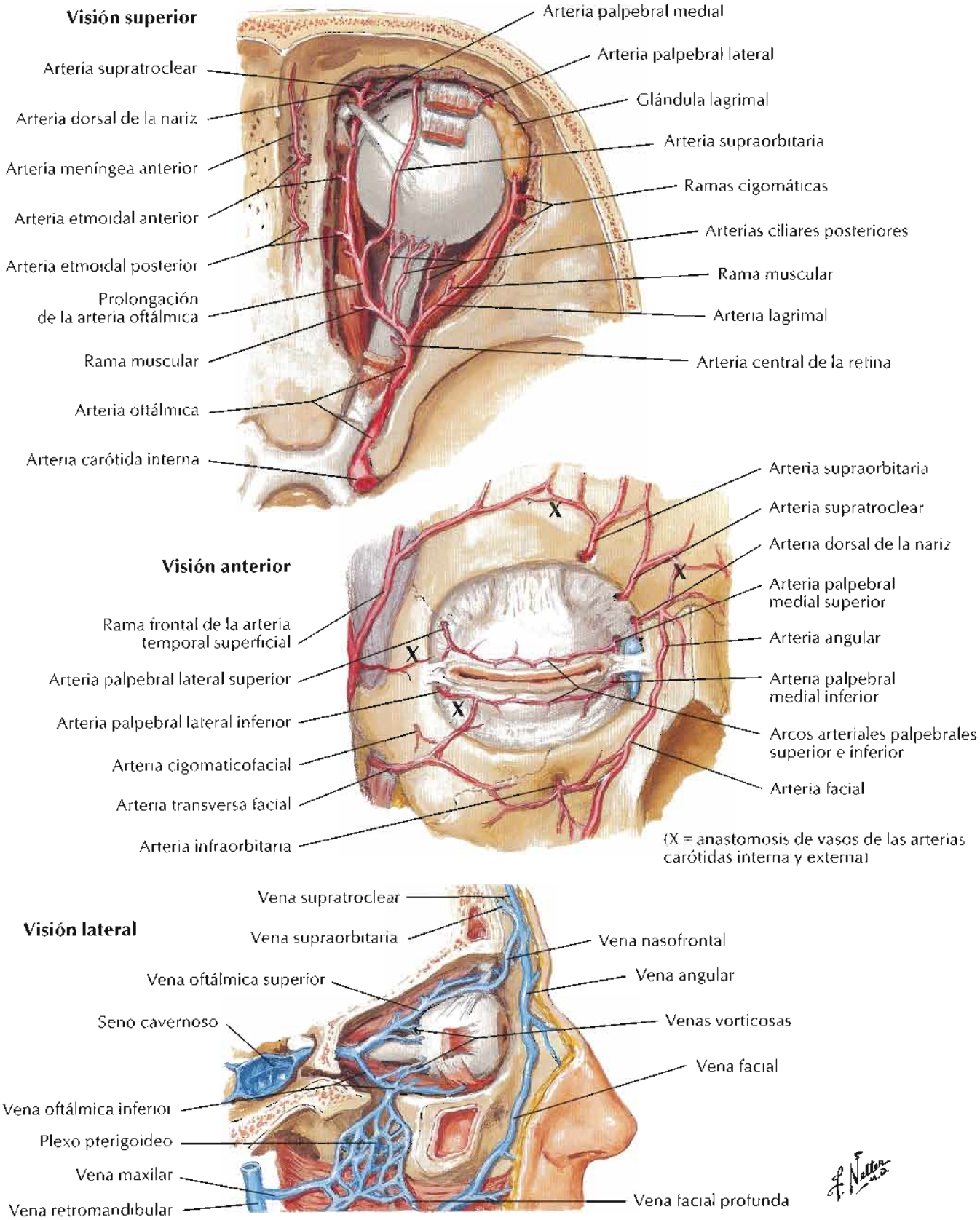


Visión superior



Inervación de los músculos extrínsecos del ojo: visión anterior

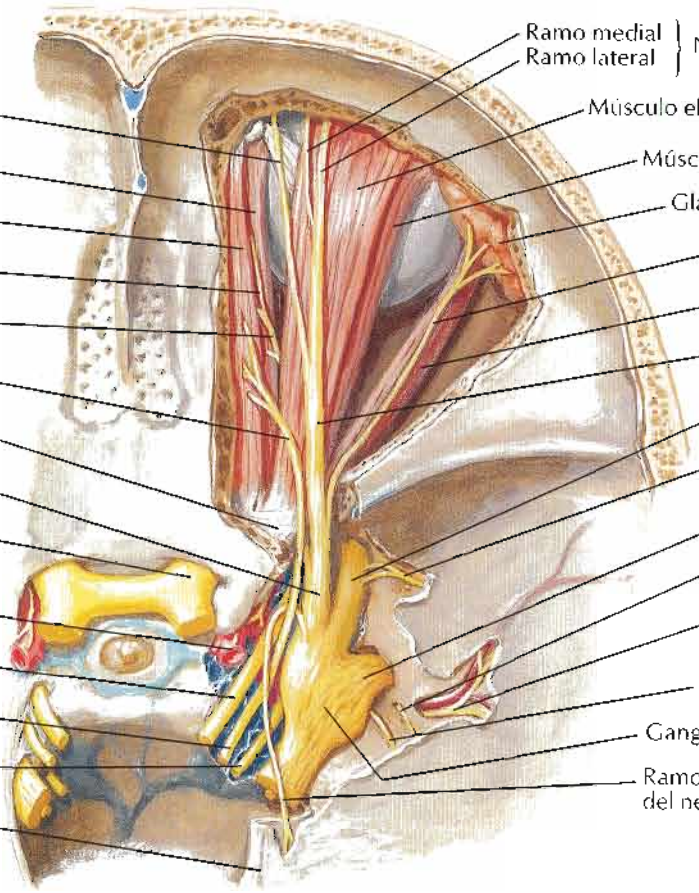



Visión superior
Arteria supratroclear
Arteria dorsal de la nariz
Arteria meníngea anterior
Arteria etmoidal anterior
Arteria etmoidal posterior
Prolongación de la arteria oftálmica
Rama muscular
Arteria oftálmica
Arteria carótida interna
Arteria palpebral medial
Arteria palpebral lateral
Glándula lagrimal
Arteria supraorbitaria
Ramas cigomáticas
Arterias ciliares posteriores
Rama muscular
Arteria lagrimal
Arteria central de la retina
Visión anterior
Rama frontal de la arteria temporal superficial
Arteria palpebral lateral superior
Arteria palpebral lateral inferior
Arteria cigomaticofacial
Arteria transversa facial
Arteria infraorbitaria
X
Arteria supraorbitaria
Arteria supratroclear
Arteria dorsal de la nariz
Arteria palpebral medial superior
Arteria angular
Arteria palpebral medial inferior
Arcos arteriales palpebrales superior e inferior
Arteria facial
(X = anastomosis de vasos de las arterias carótidas interna y externa)
Visión lateral
Vena supratroclear
Vena supraorbitaria
Vena oftálmica superior
Seno cavernoso
Vena oftálmica inferior
Plexo pterigoideo
Vena maxilar
Vena retromandibular
Vena nasofrontal
Vena angular
Venas vorticosas
Vena facial
Vena facial profunda

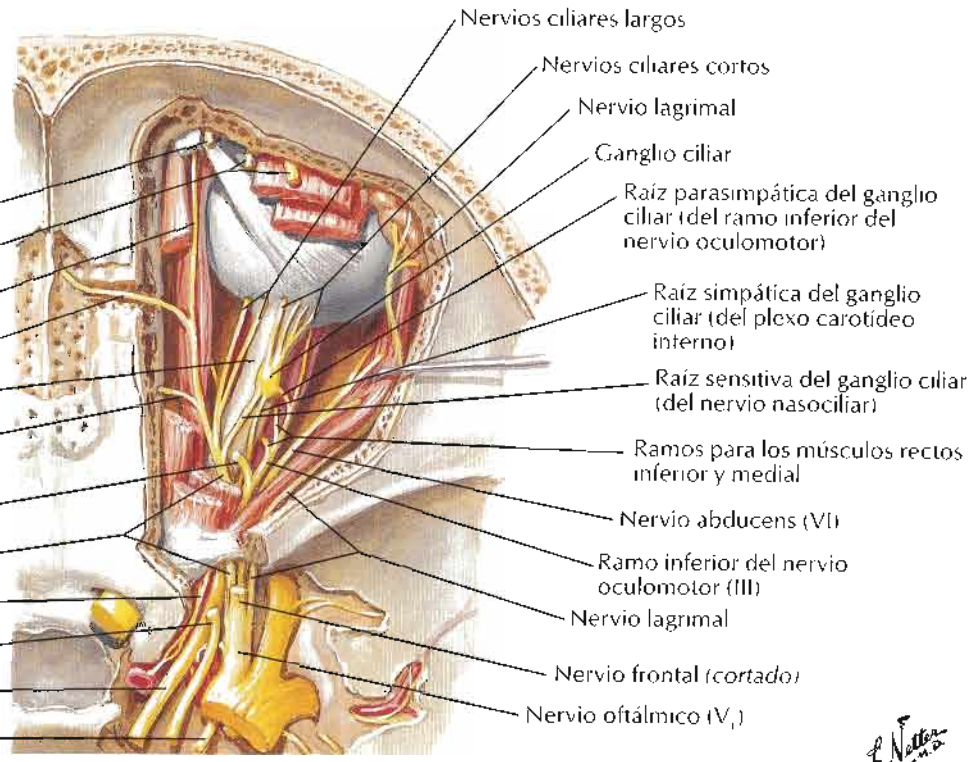
Nervios de la órbita

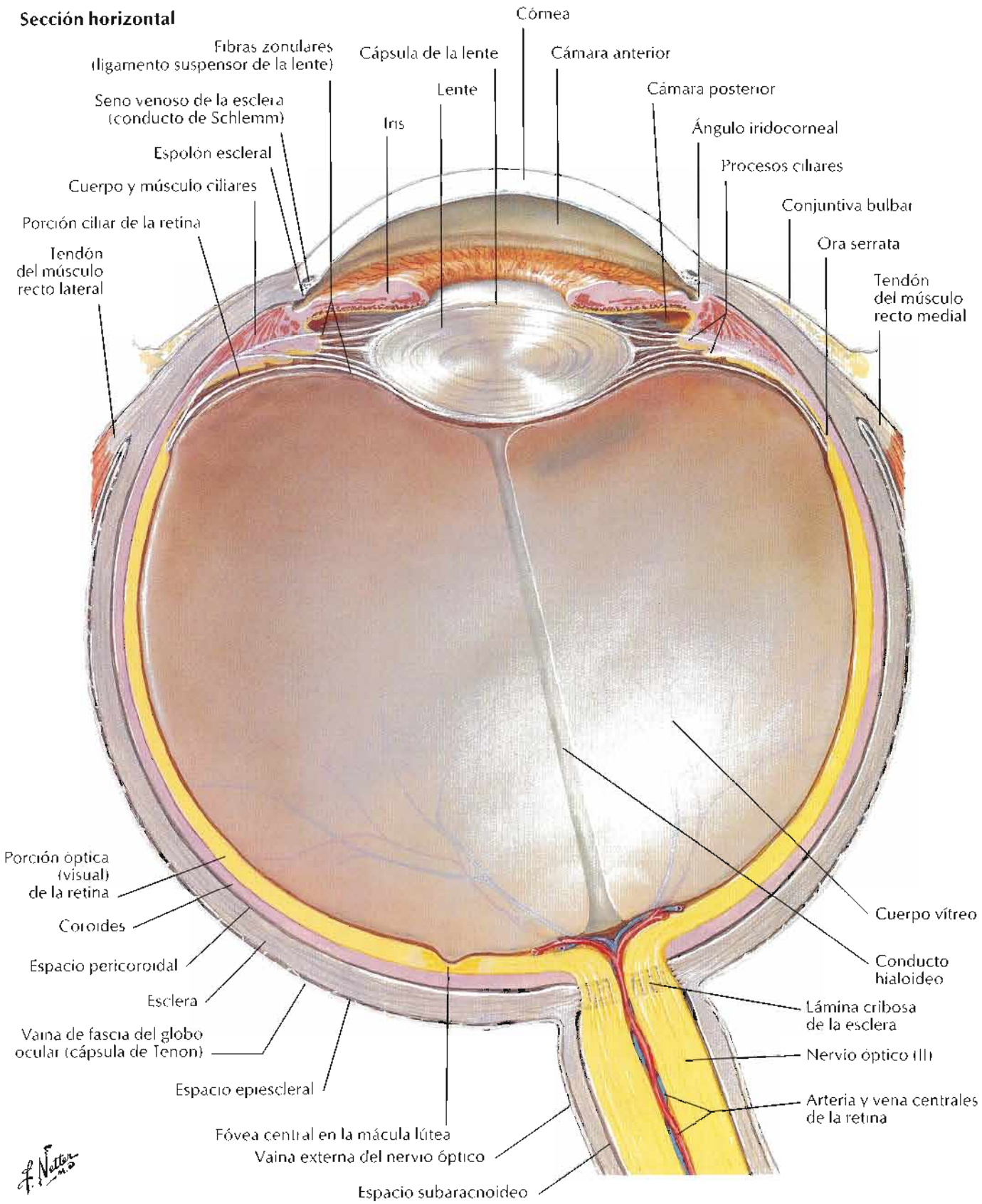
Véanse también **láminas 45, 121, 132**

Visión superior

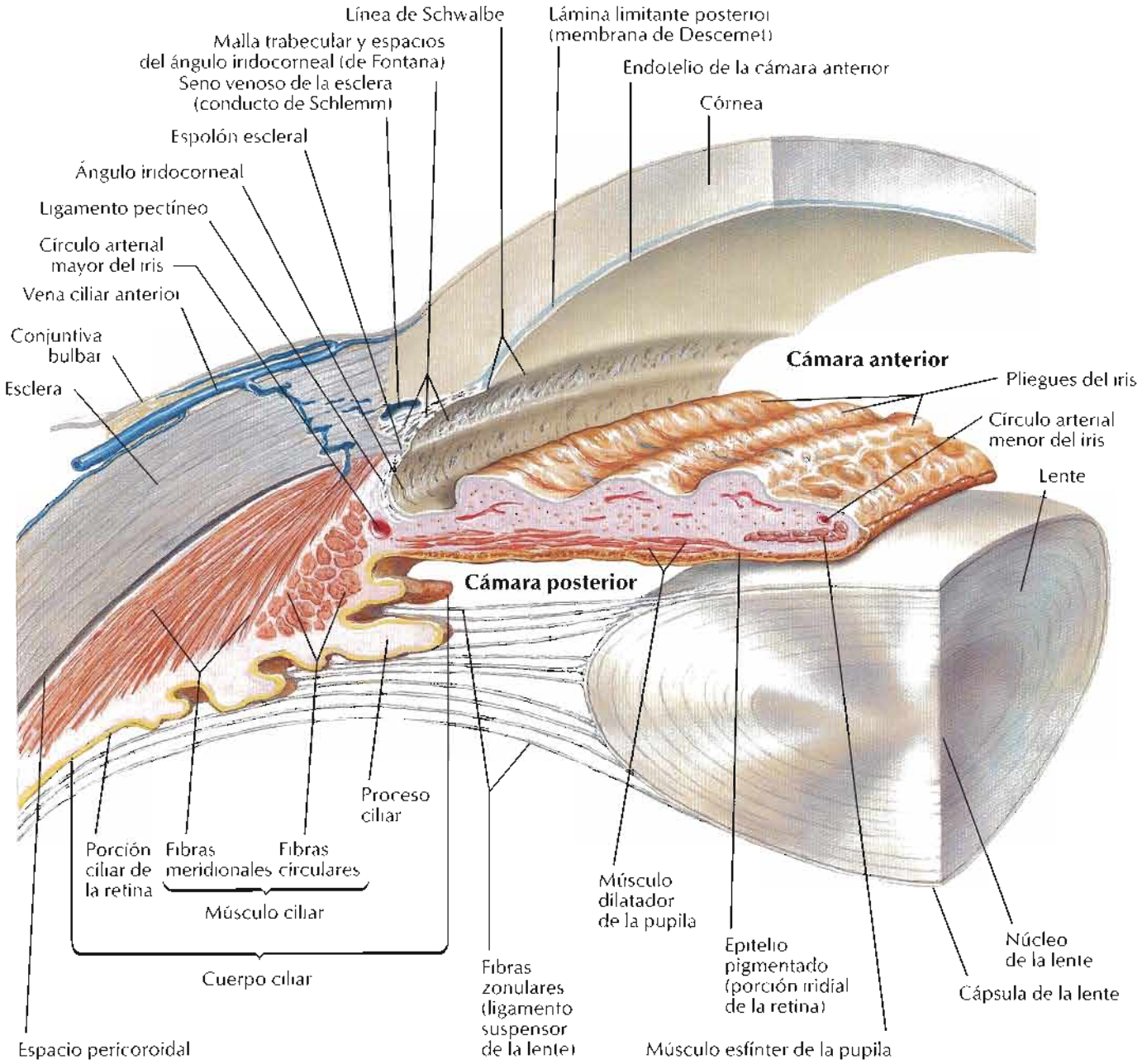


Visión superior: músculos elevador del párpado superior, recto superior y oblicuo superior parcialmente cortados

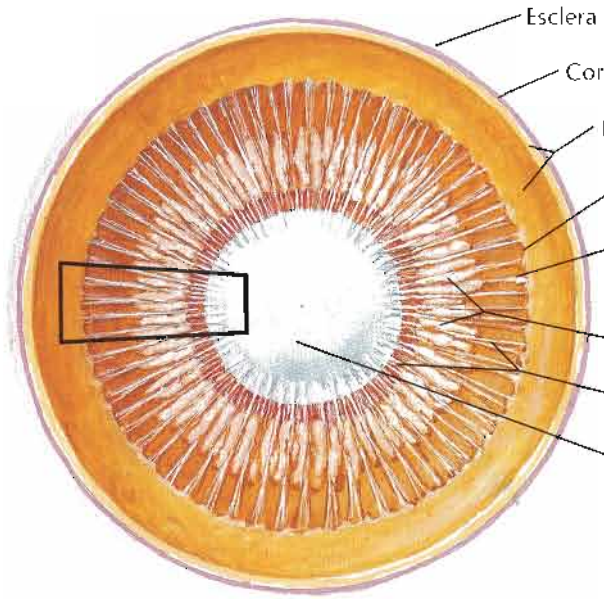



Sección horizontal
Córnea
Fibras zonulares (ligamento suspensor de la lente)
Cápsula de la lente
Cámara anterior
Lente
Cámara posterior
Seno venoso de la esclera (conducto de Schlemm)
Iris
Ángulo iridocorneal
Espolón escleral
Procesos ciliares
Cuerpo y músculo ciliares
Conjuntiva bulbar
Porción ciliar de la retina
Ora serrata
Tendón del músculo recto lateral
Tendón del músculo recto medial
Porción óptica (visual) de la retina
Coroides
Cuerpo vítreo
Espacio pericoroidal
Conducto hialoideo
Esclera
Lámina cribosa de la esclera
Vaina de fascia del globo ocular (cápsula de Tenon)
Nervio óptico (II)
Espacio episcleral
Arteria y vena centrales de la retina
Fóvea central en la mácula lútea
Vaina externa del nervio óptico
Espacio subaracnoideo

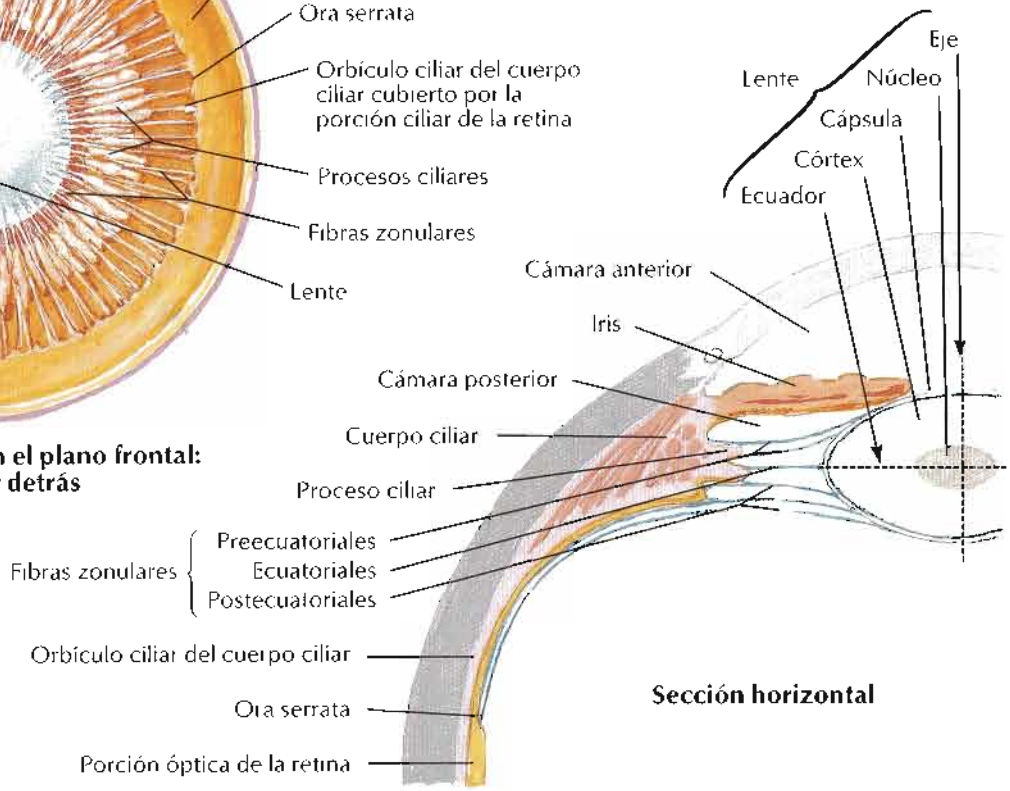
1 Cámaras anterior y posterior del ojo



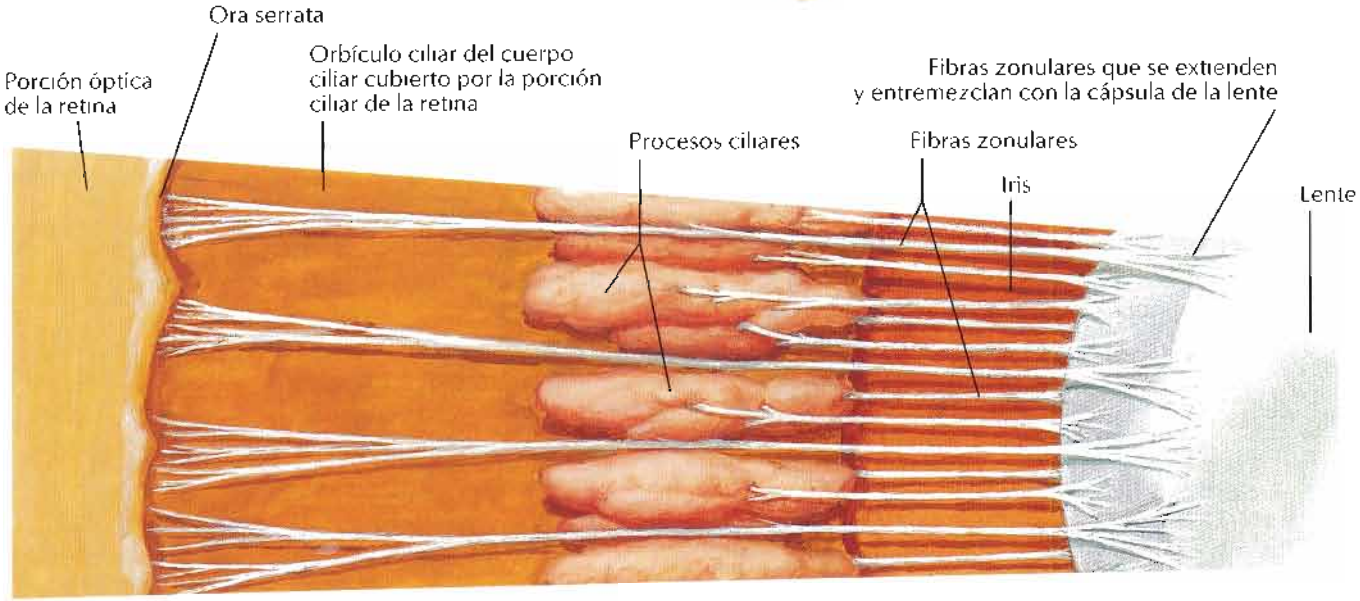
Nota: para mayor claridad sólo se muestra un plano de fibras zonulares; de hecho las fibras rodean por completo la circunferencia de la lente



Globo ocular seccionado en el plano frontal: segmento anterior visto por detrás



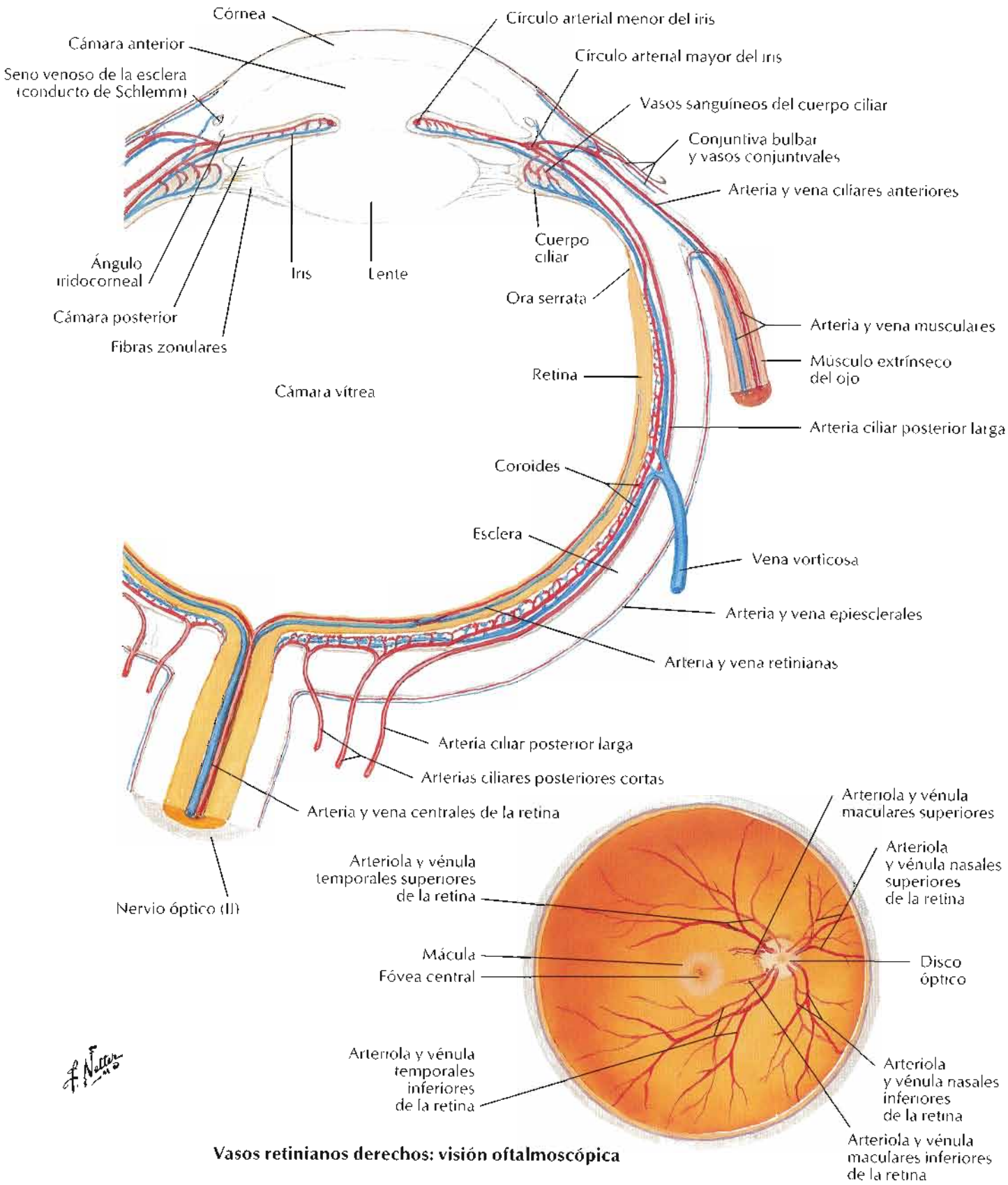
Sección horizontal



Aumento del segmento encuadrado en la ilustración superior (semiesquemático)

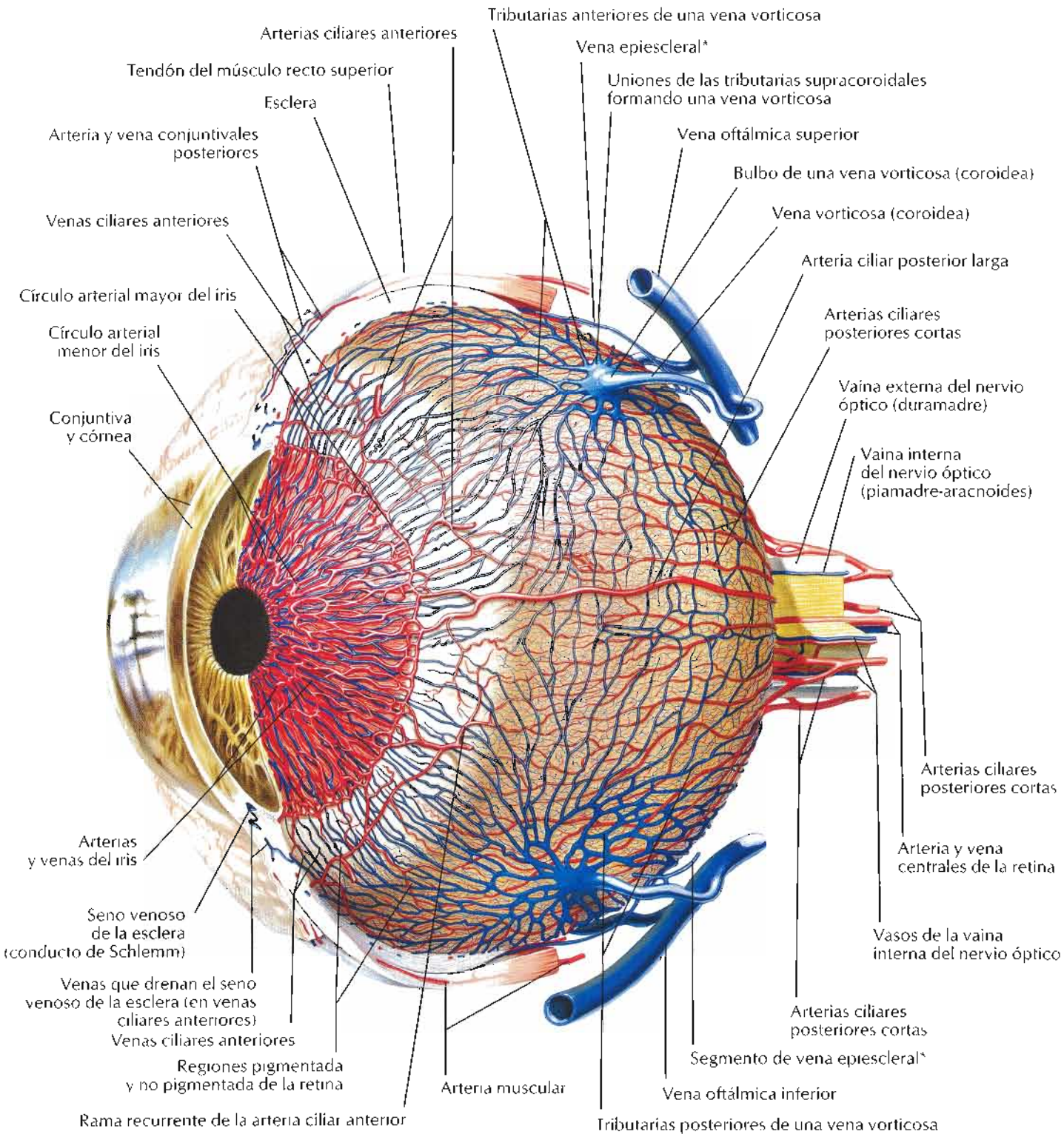
1 Arterias y venas intrínsecas del ojo

Véase también **lámina 85**



Vasos retinianos derechos: visión oftalmoscópica

Disposiciones vasculares dentro de la coroides (túnica vascular) del globo ocular

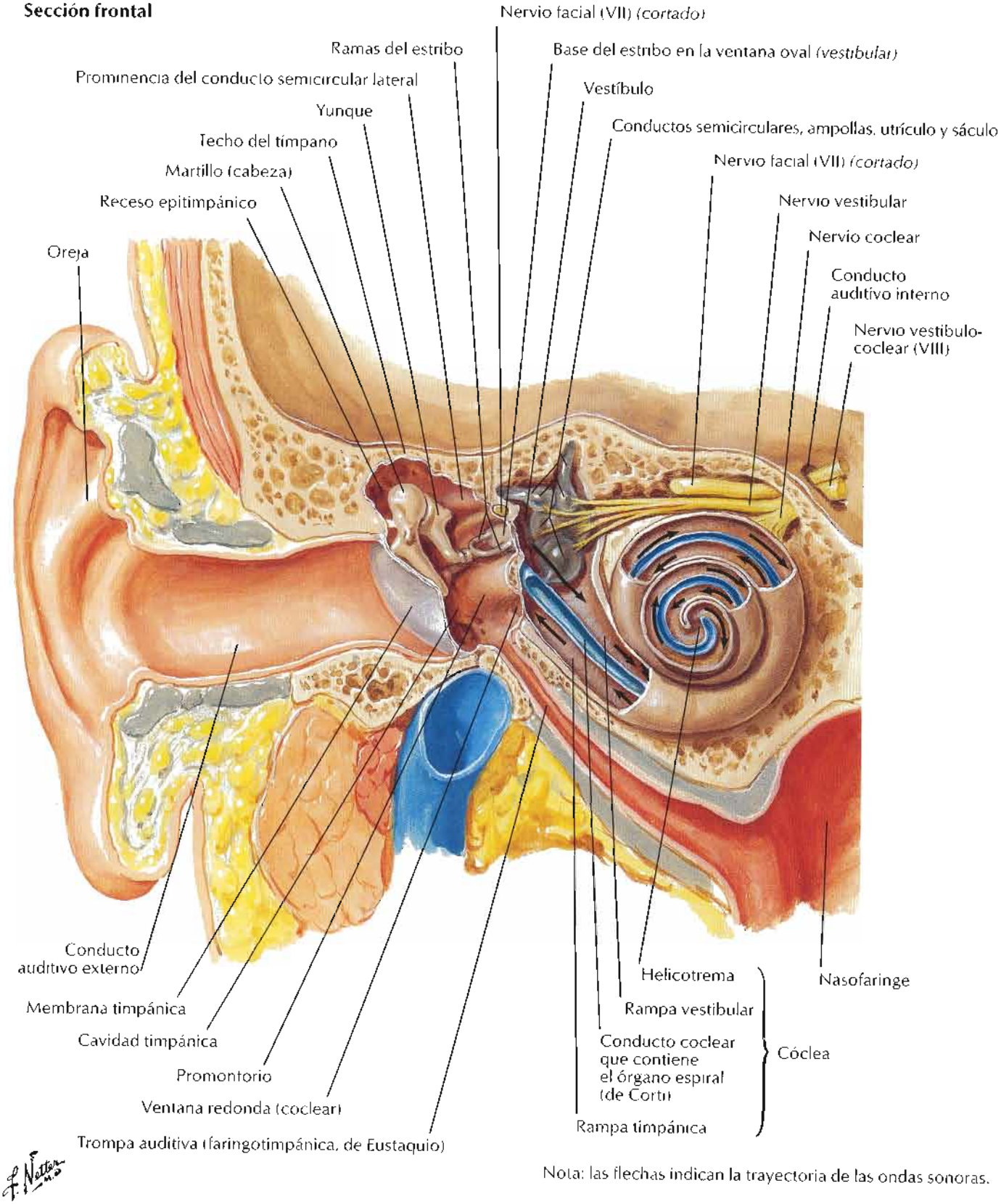


*Las venas epiesclerales se muestran aquí anastomosándose con las venas vorticosas; no obstante, también drenan en las venas ciliares anteriores

C. Machado M.D.

1 Vía de recepción del sonido

Sección frontal

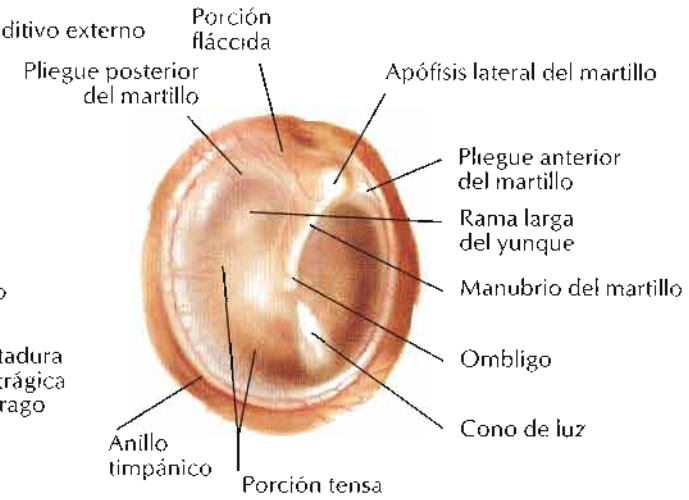


Nota: las flechas indican la trayectoria de las ondas sonoras.

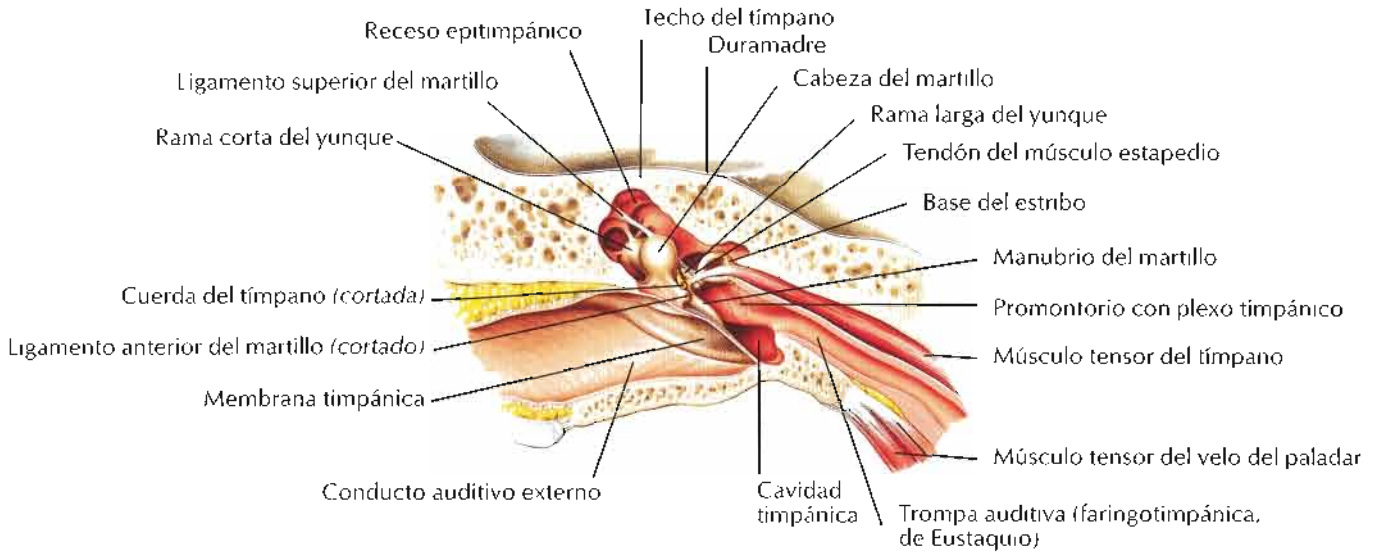
Oreja derecha



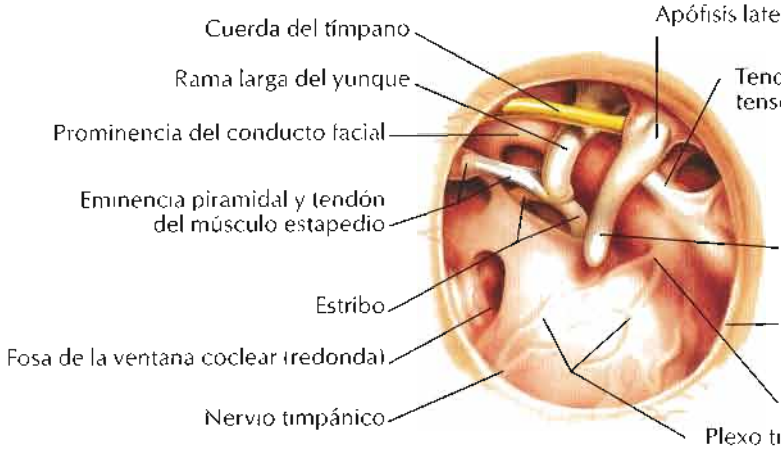
Visión otoscópica de la membrana timpánica derecha



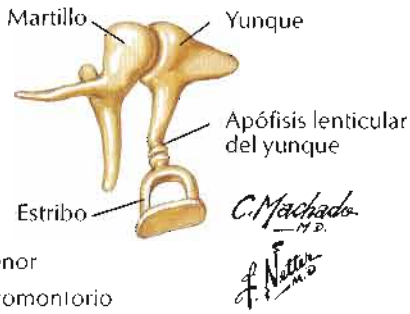
Sección coronal oblicua del conducto auditivo externo y oído medio (cavidad timpánica)



Cavidad timpánica derecha tras extirpar la membrana timpánica (visión lateral)

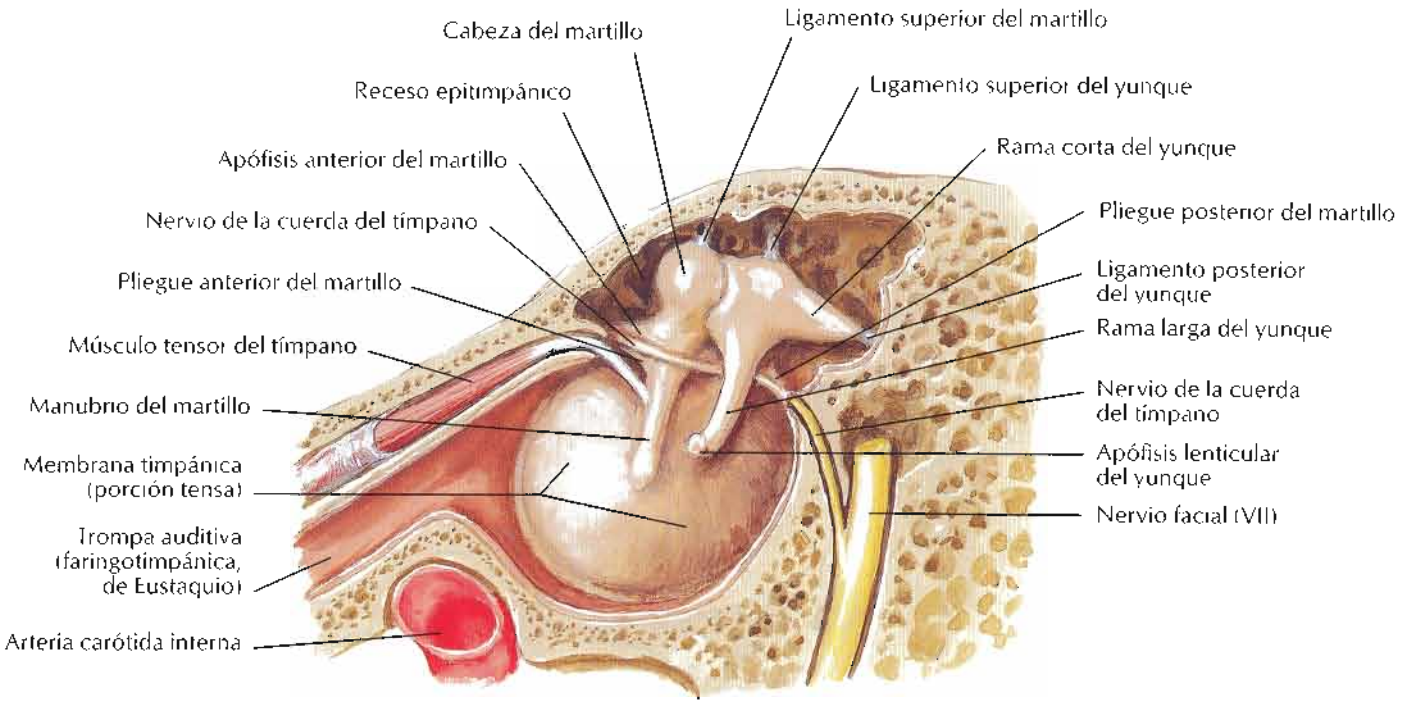


Huesecillos articulados: visión medial

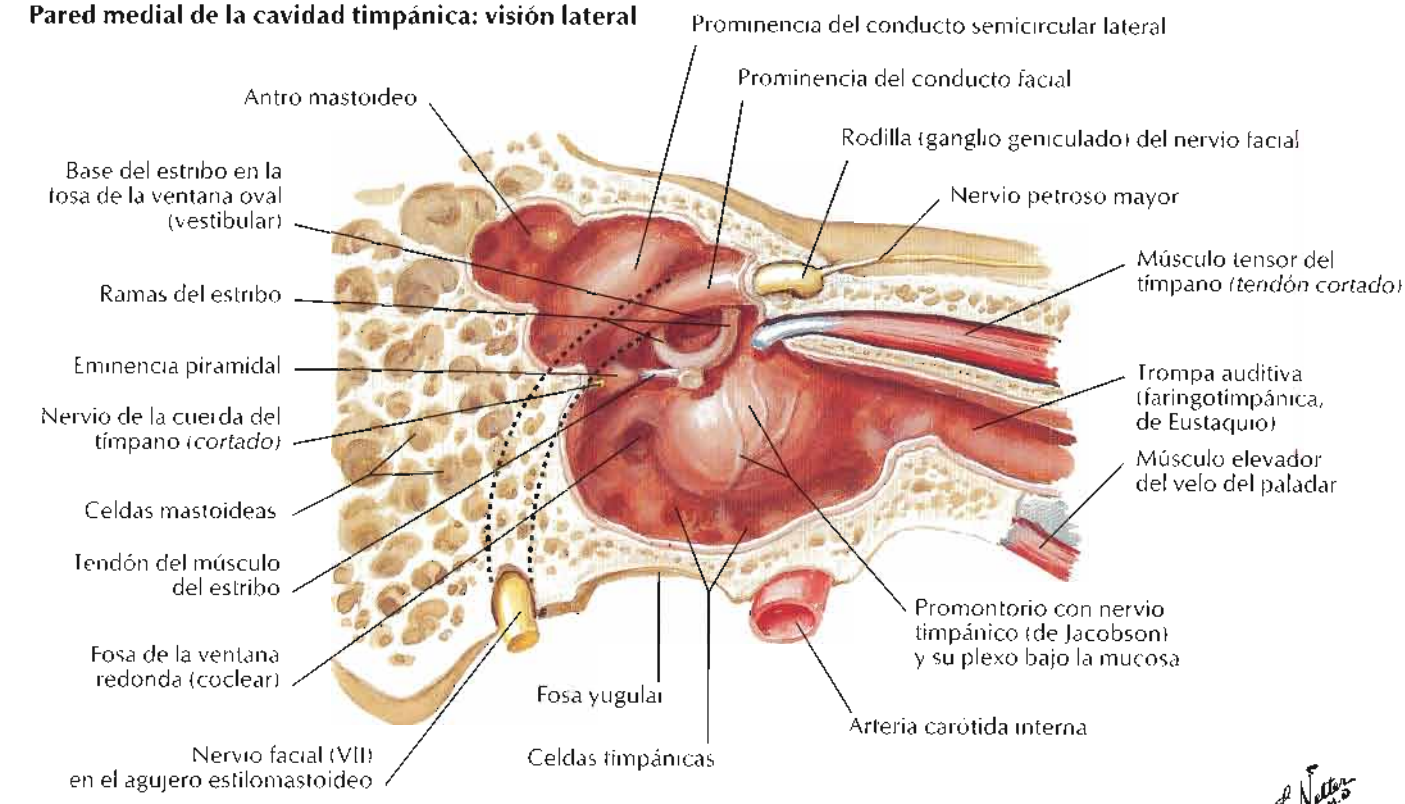


Véanse también **láminas 46, 123, 124, 135**

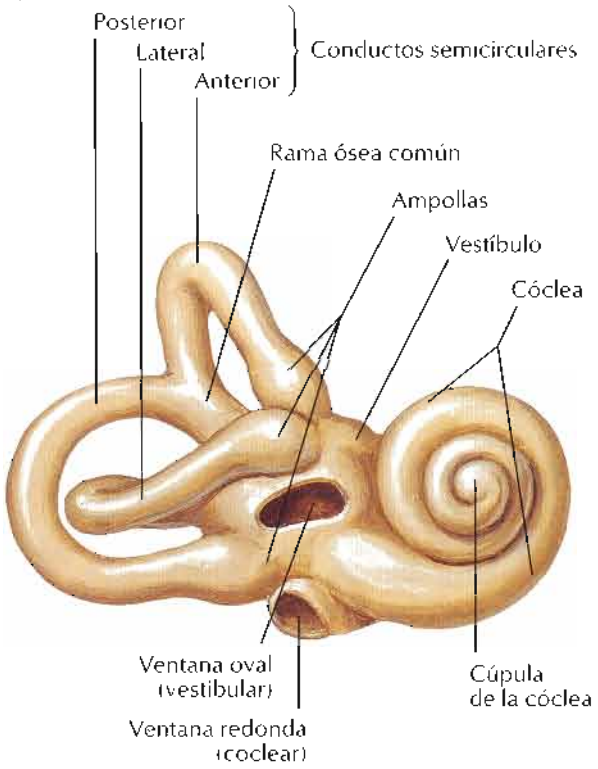
Pared lateral de la cavidad timpánica: visión medial (interna)



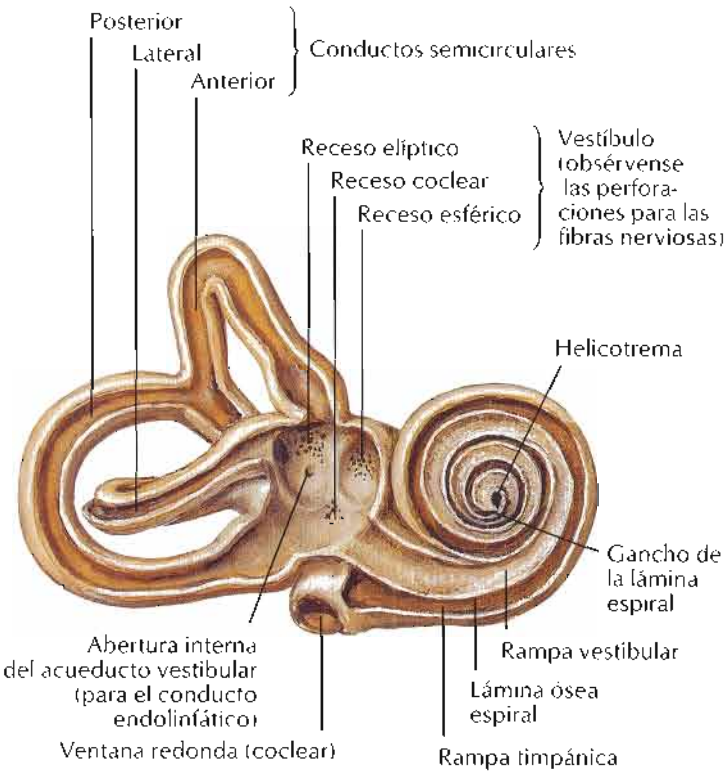
Pared medial de la cavidad timpánica: visión lateral



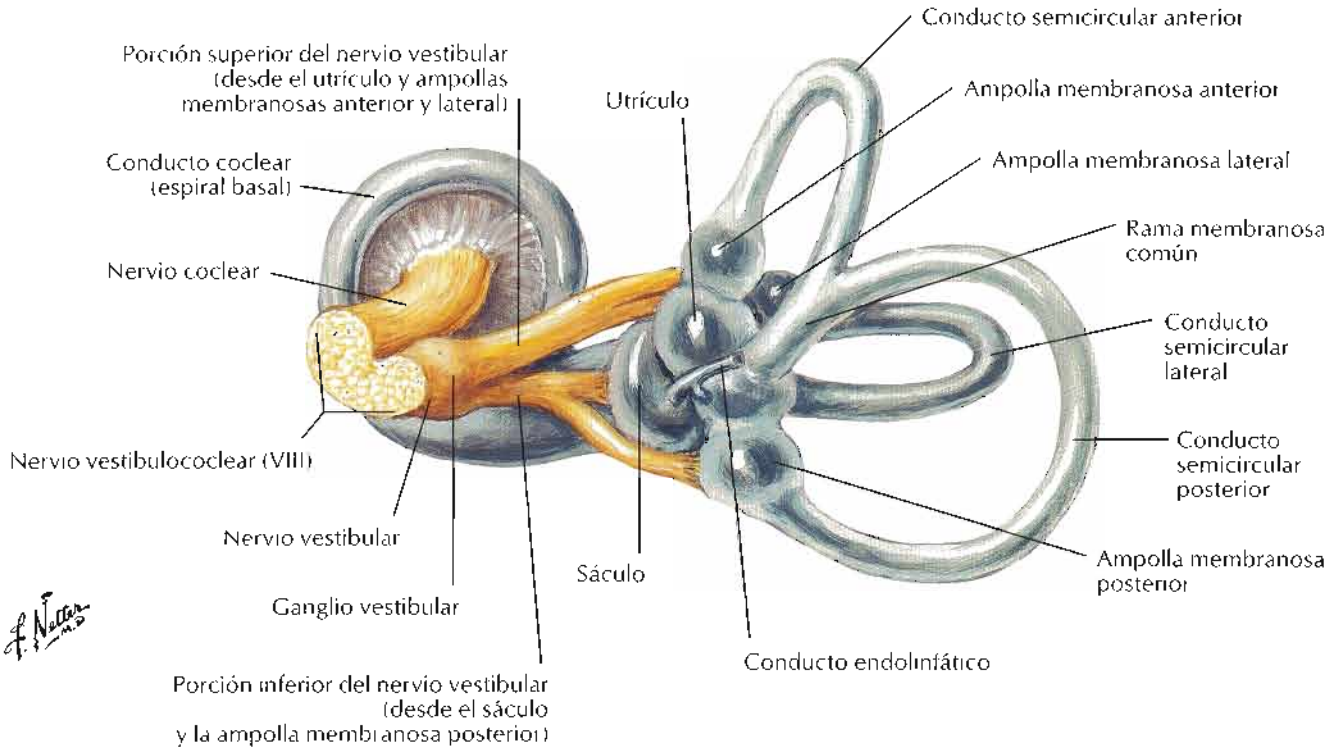
Laberinto óseo derecho (cápsula ótica), visión anterolateral: se ha extirpado el hueso esponjoso que le rodea



Laberinto óseo derecho disecado (cápsula ótica): se ha extirpado el laberinto membranoso

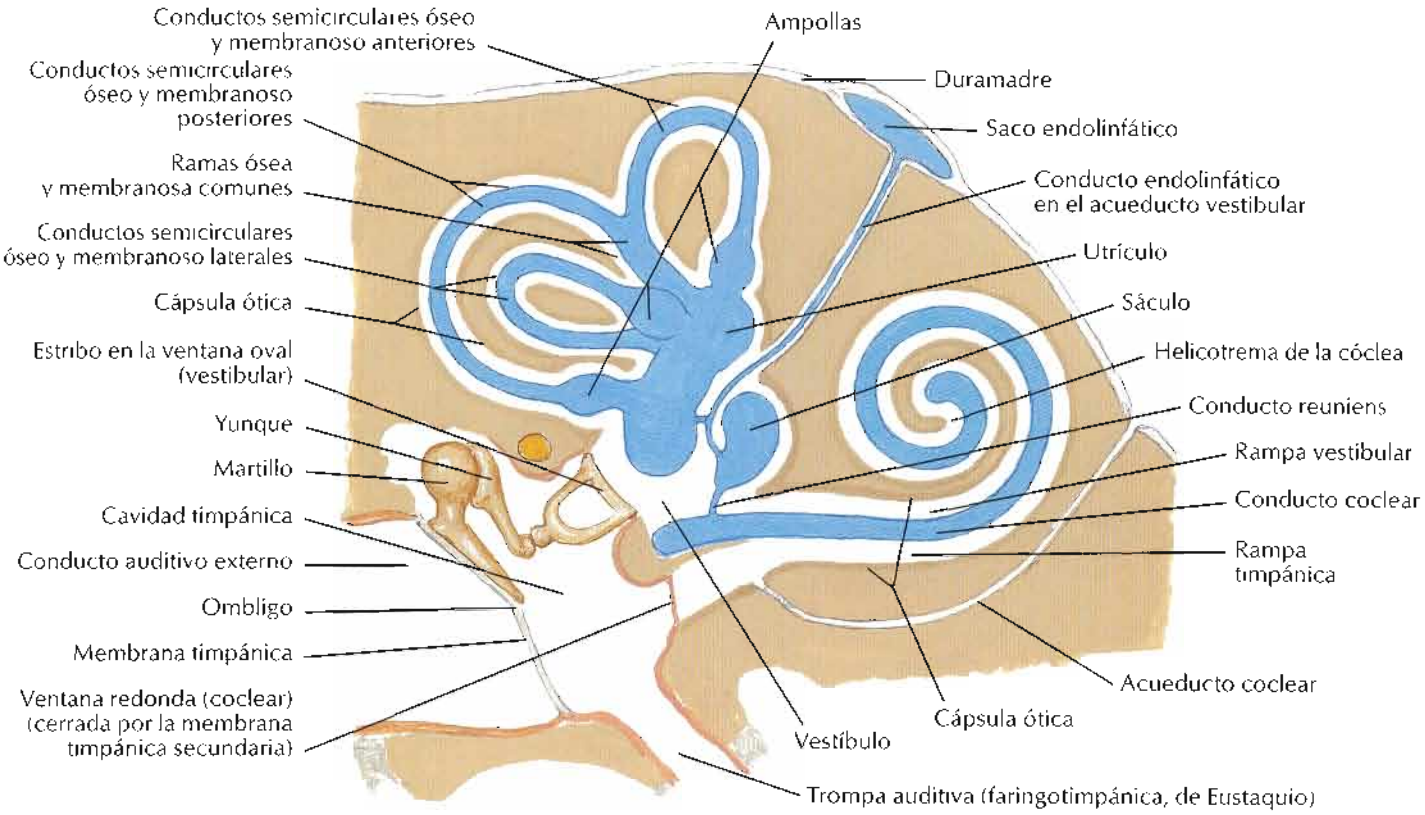


Laberinto membranoso derecho con nervios: visión posteromedial

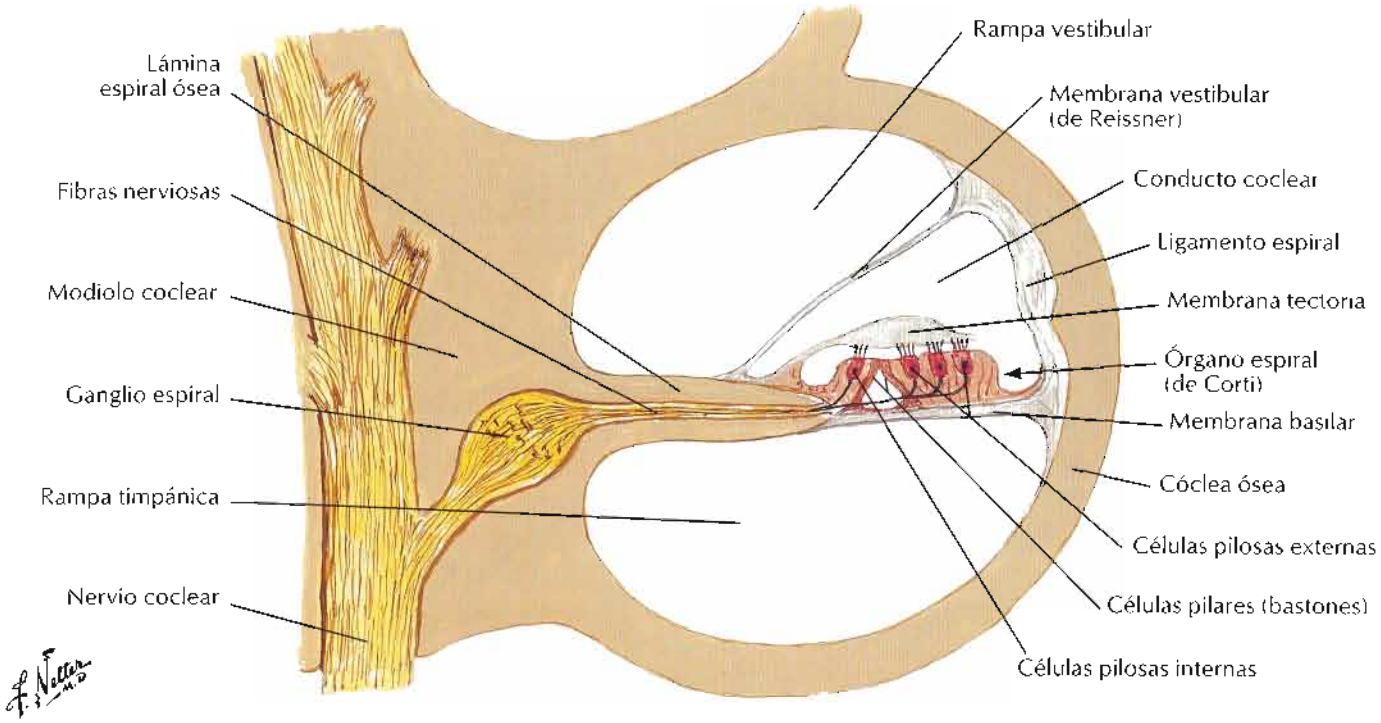


Laberintos óseo y membranoso *(continuación)*

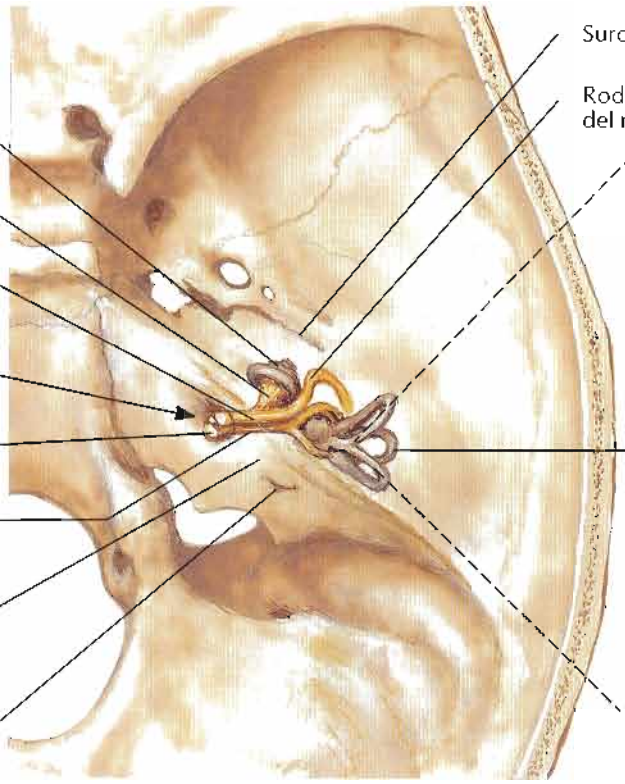
Laberintos óseo y membranoso: esquema



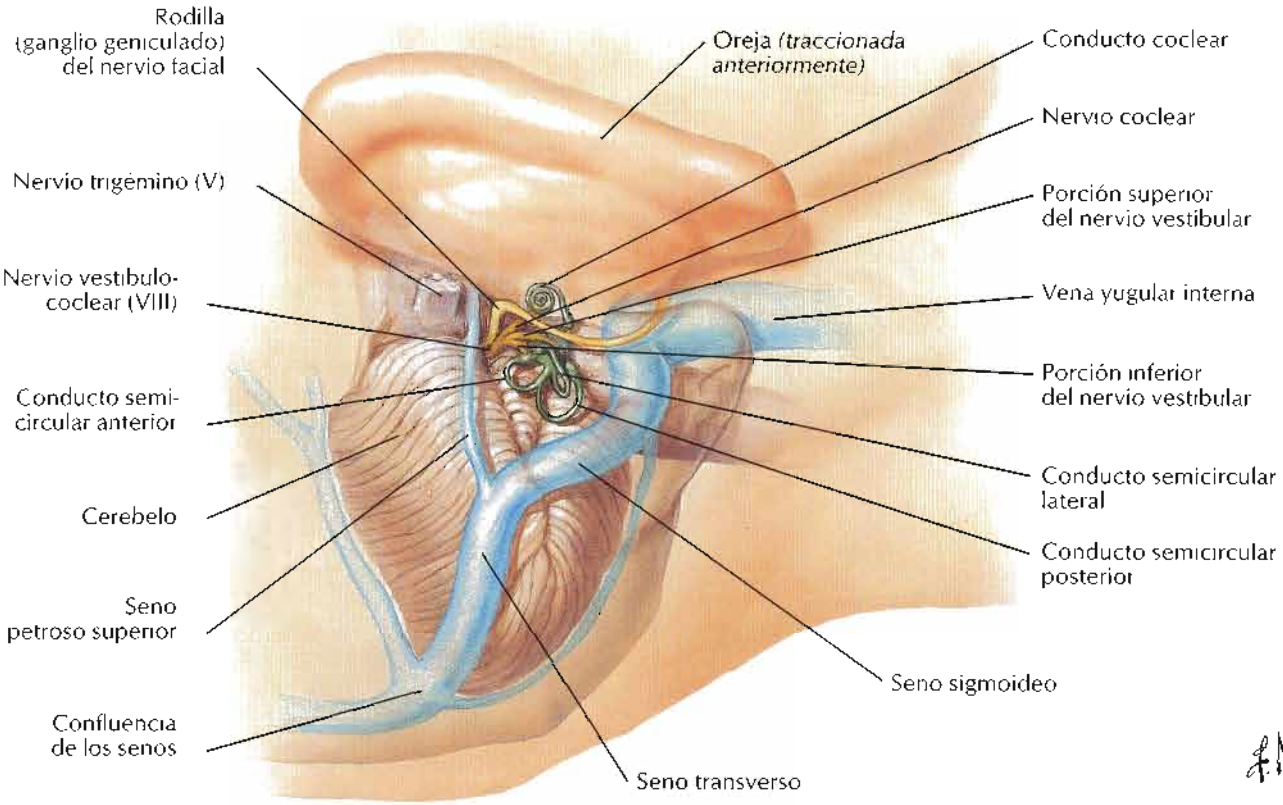
Sección a través de una espiral de la cóclea



Proyección superior del laberinto óseo derecho en el suelo del cráneo



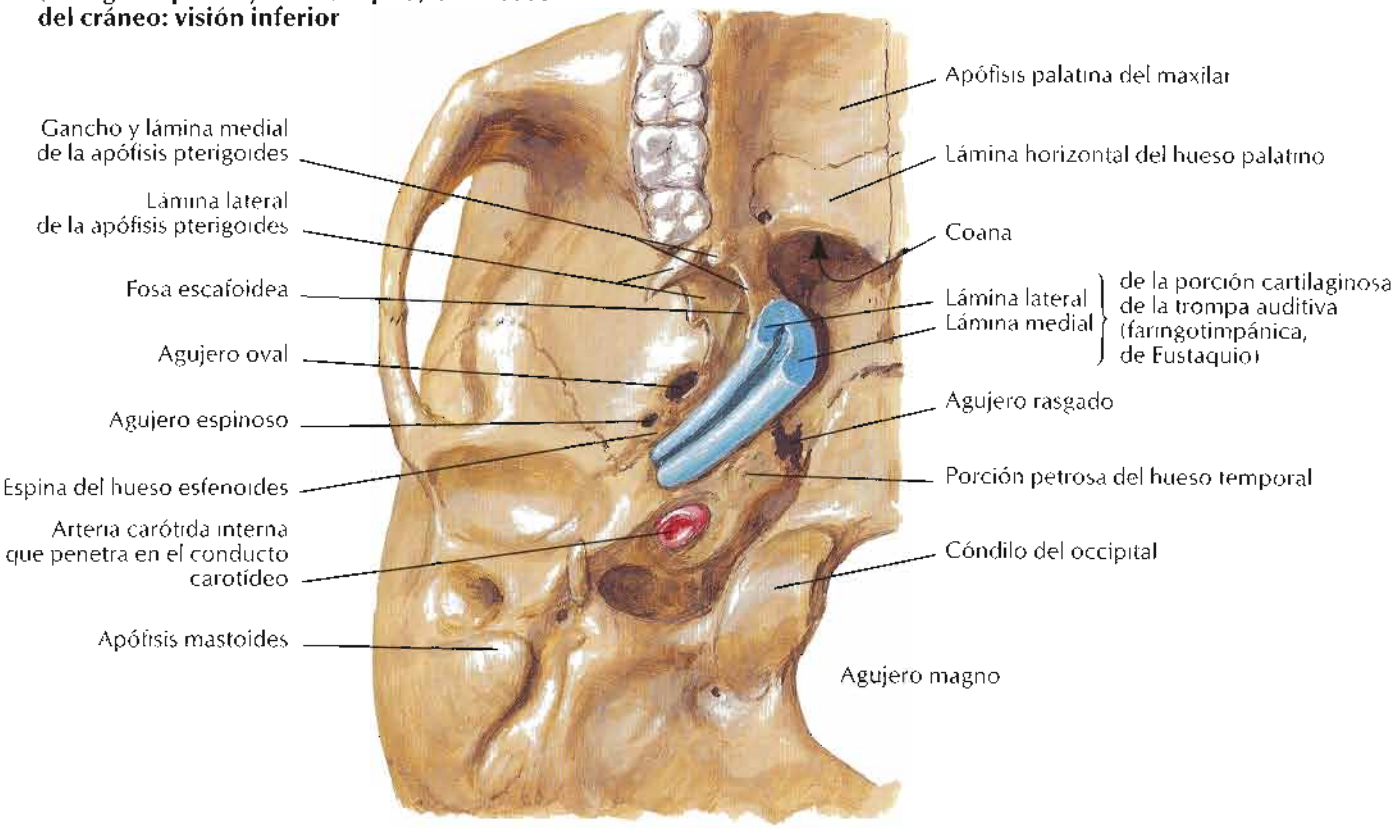
Proyección lateral del laberinto membranoso derecho



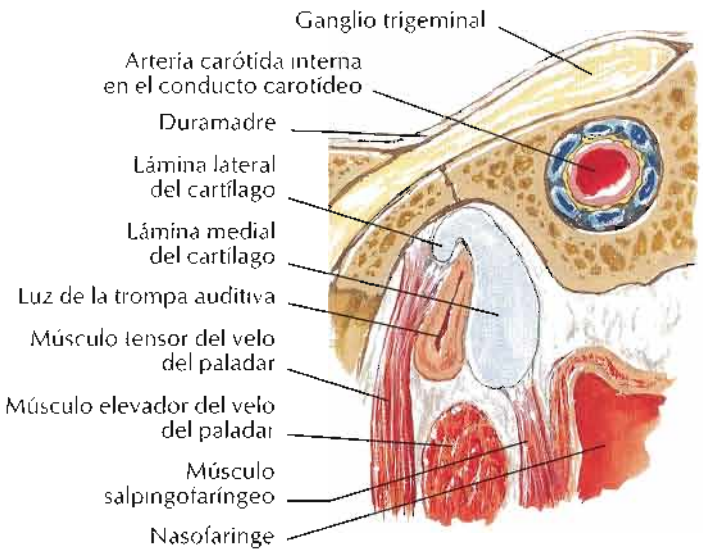
1 Trompa auditiva (faringotimpánica, de Eustaquio)

Véanse también **láminas 52, 55, 65**

Porción cartilaginosa de la trompa auditiva (faringotimpánica, de Eustaquio) en la base del cráneo: visión inferior

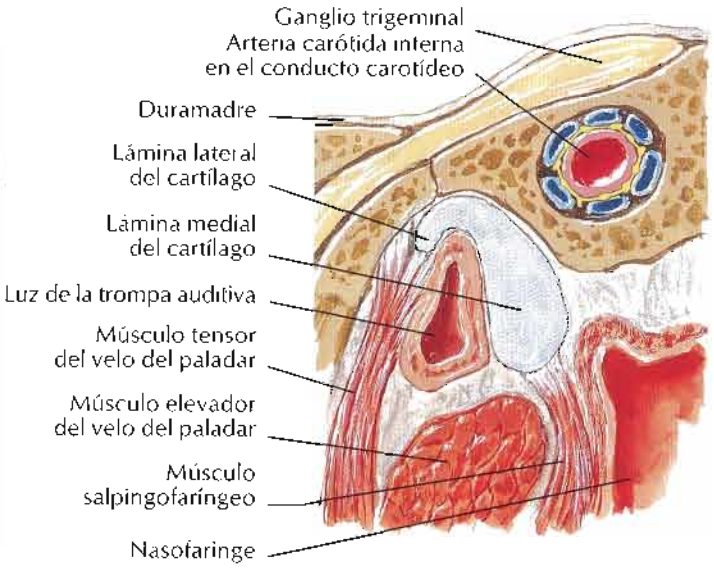


Sección a través de la porción cartilaginosa de la trompa auditiva (faringotimpánica, de Eustaquio) con la trompa cerrada



Trompa auditiva (faringotimpánica, de Eustaquio) cerrada por retroceso elástico del cartílago, turgencia tisular y tensión de los músculos salpingofaríngeos

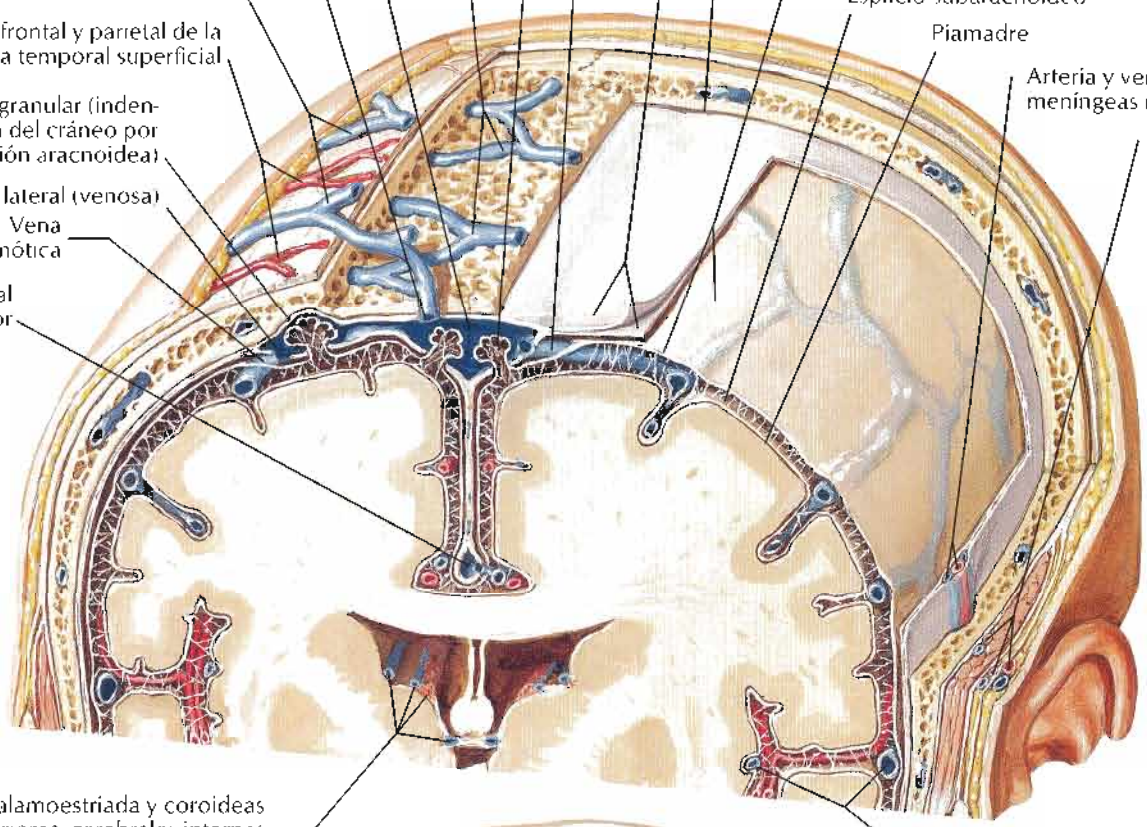
Sección a través de la porción cartilaginosa de la trompa auditiva (faringotimpánica, de Eustaquio) con la trompa abierta



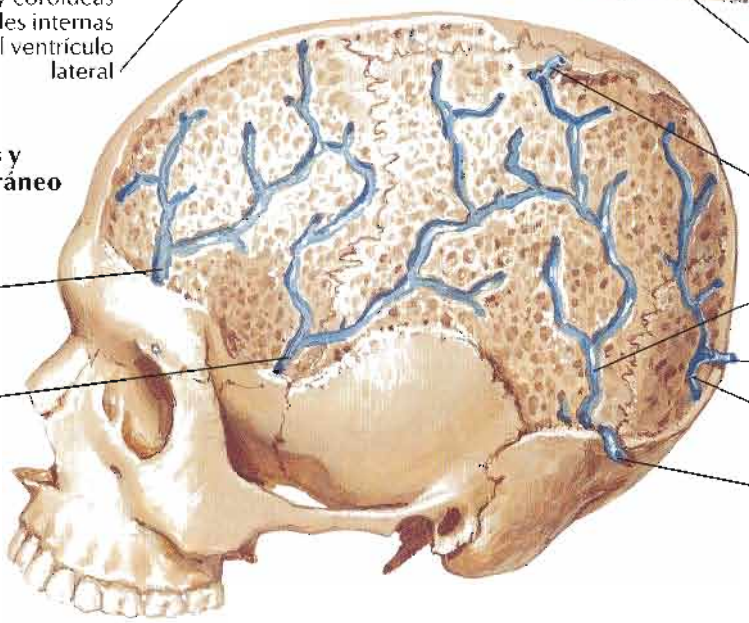
Luz abierta principalmente cuando la inserción del músculo tensor del velo del paladar tira de la pared del tubo lateralmente durante la deglución

Véase también **lámina 23**

Sección coronal

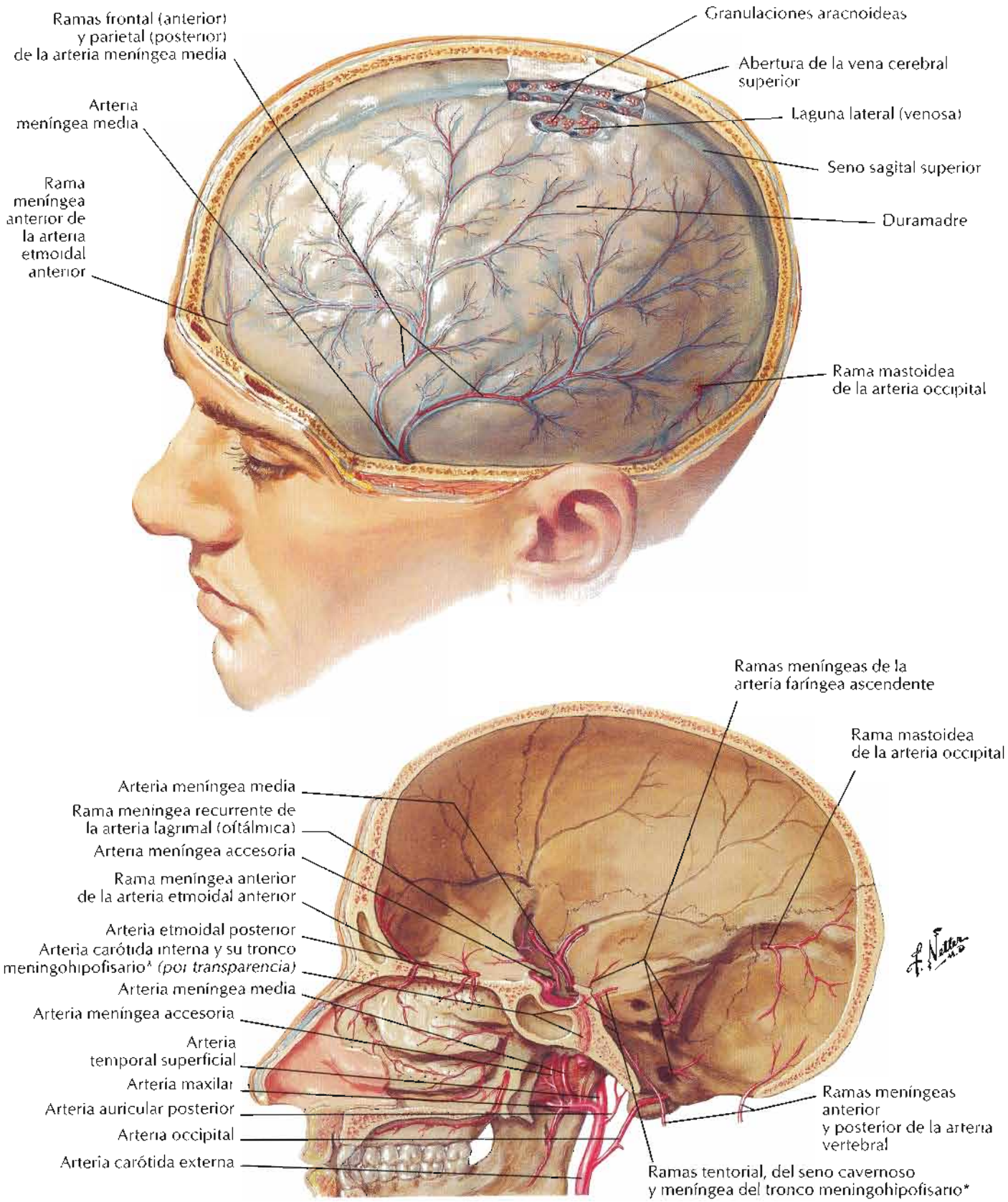


Venas diploicas y emisarias del cráneo

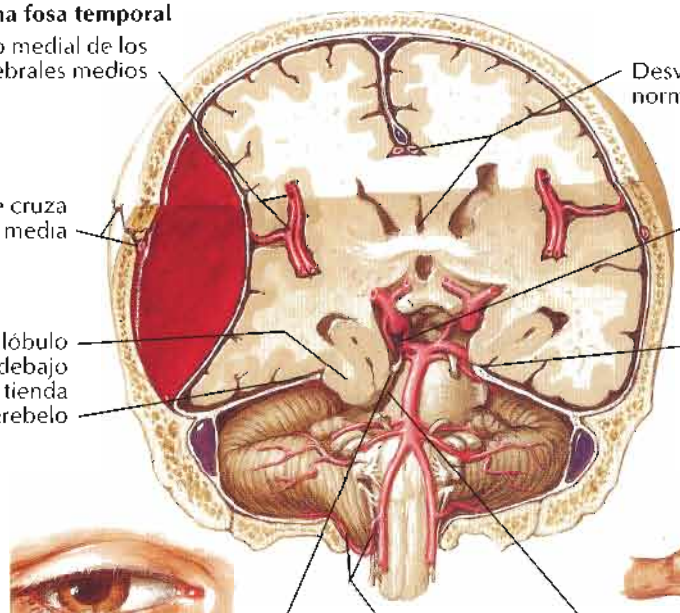


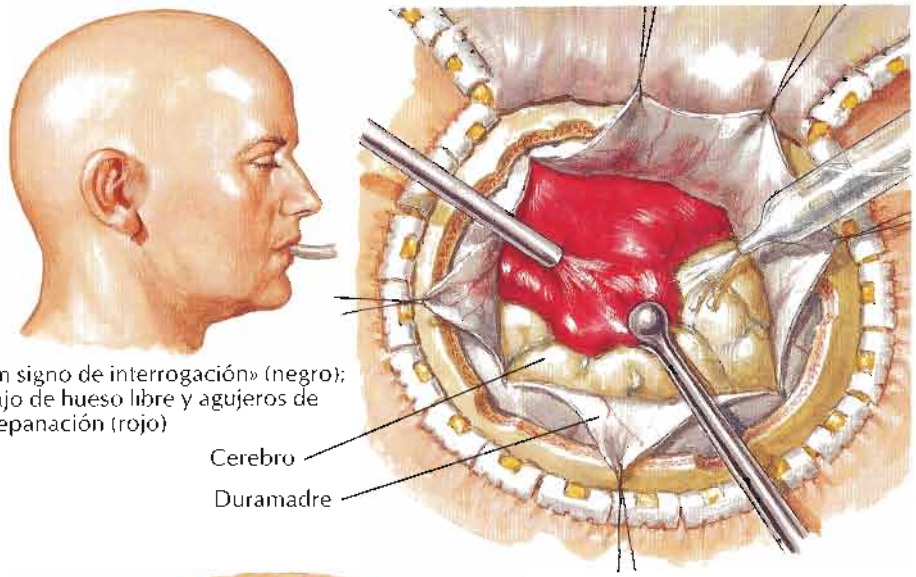
1 Arterias meníngeas

Véanse también **láminas 40, 136**

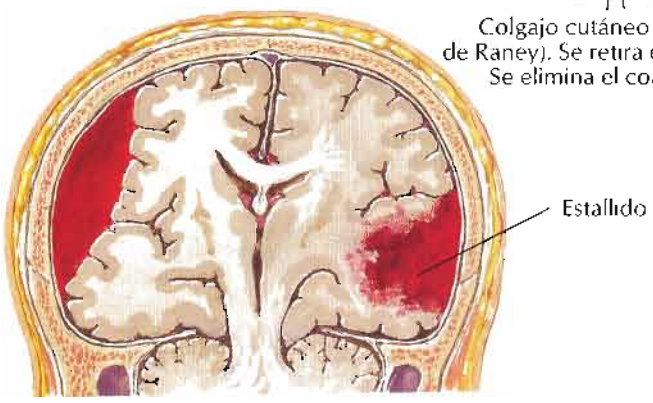


*Variables; frecuentemente estas ramas nacen directamente de la arteria carótida interna





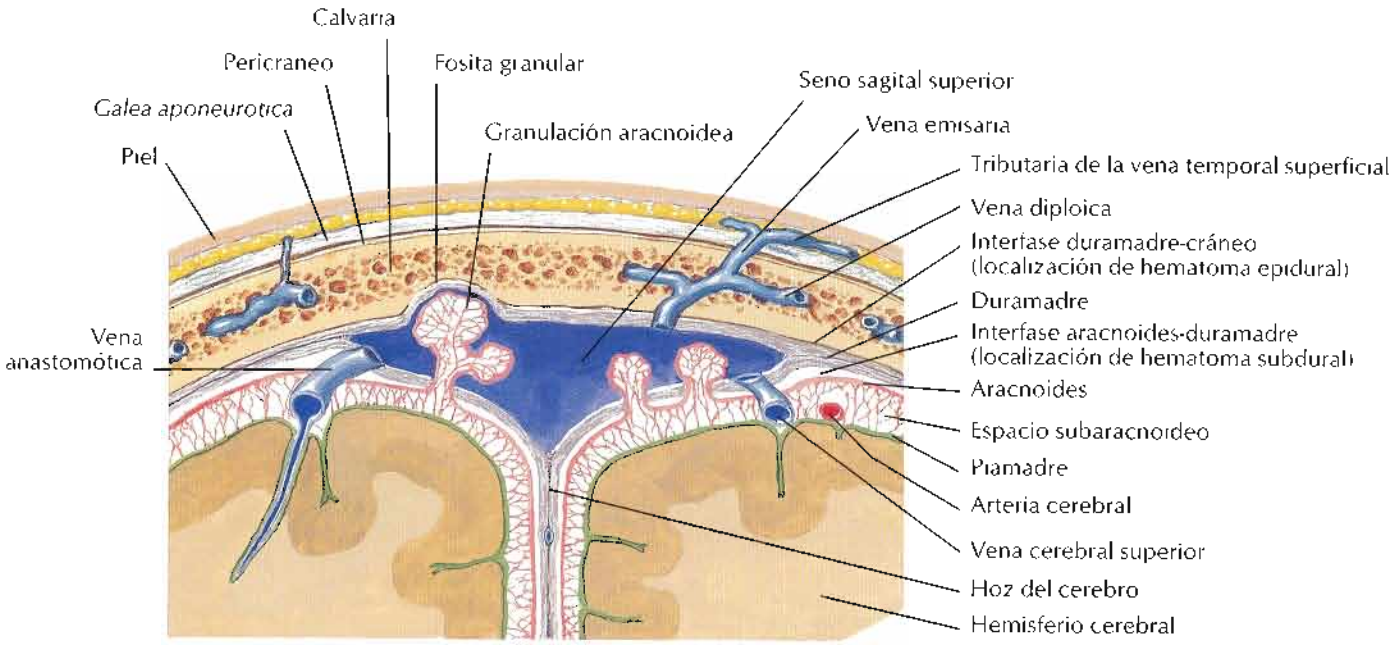
Colgajo cutáneo reflejado (control de la hemorragia con clips de Raney). Se retira el colgajo de hueso libre y se abre la duramadre. Se elimina el coágulo mediante irrigación, succión y pinzas.

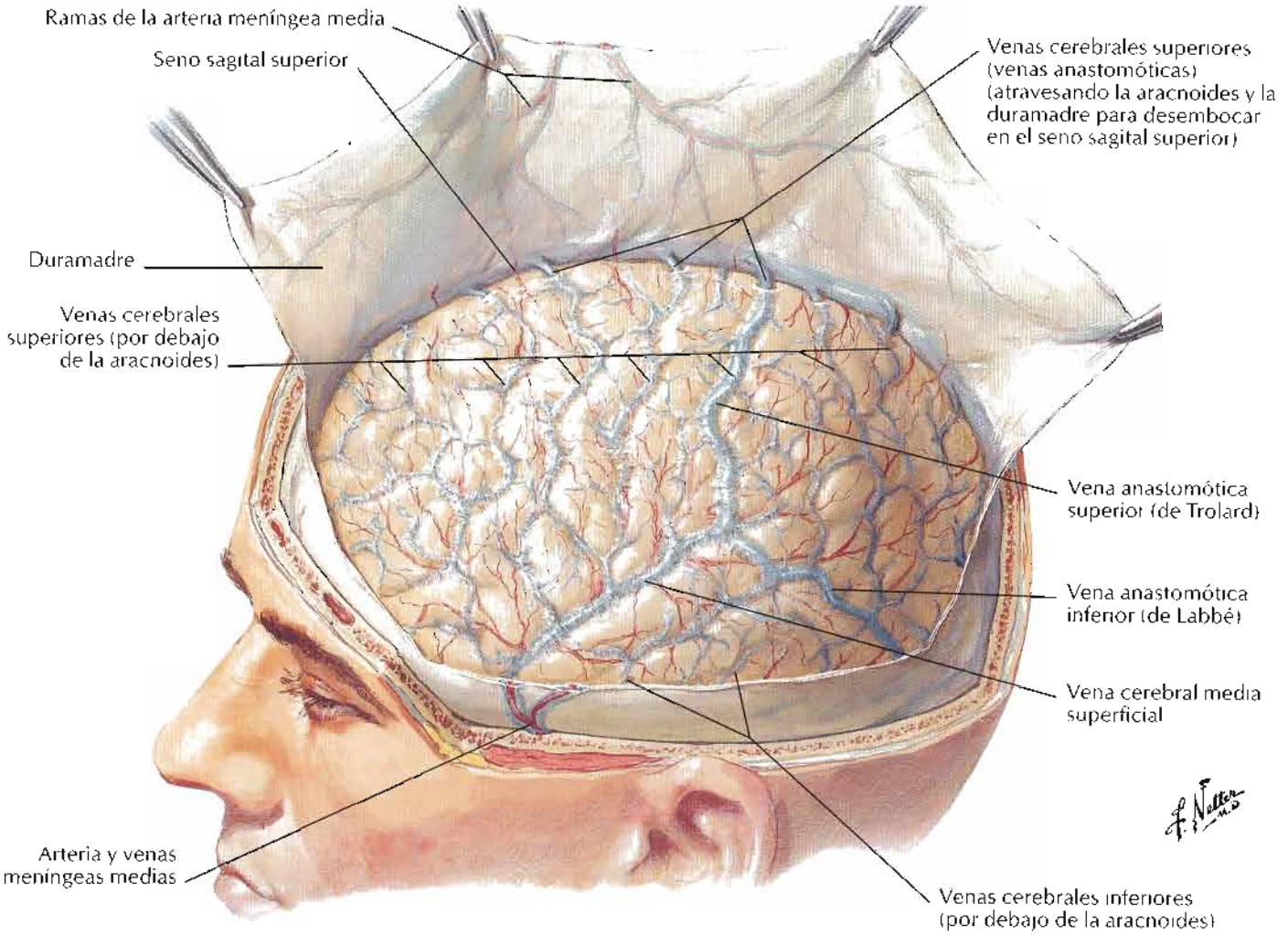


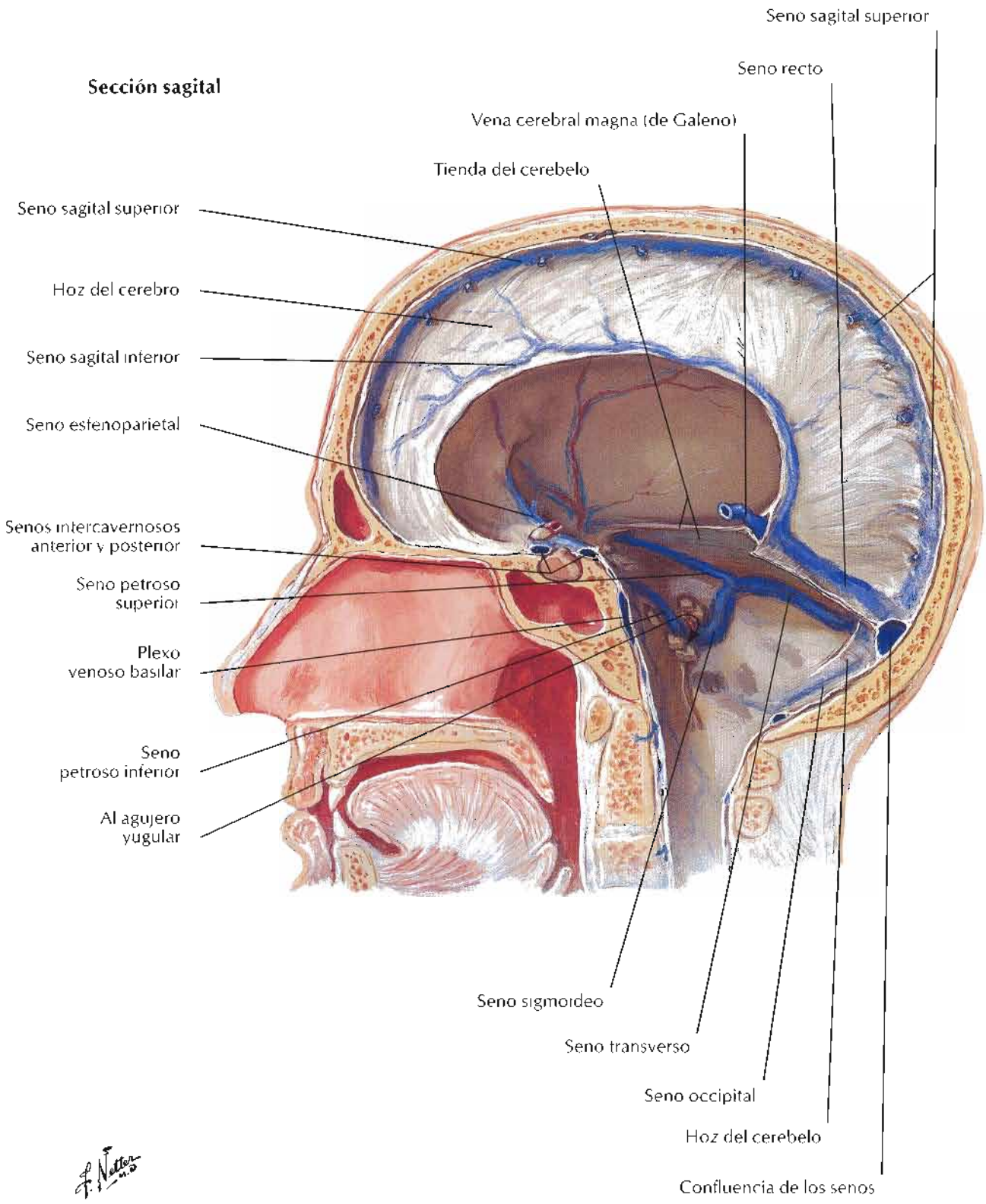
Sección que muestra un hematoma subdural agudo en el lado derecho y un hematoma subdural asociado con hematoma cerebral del lóbulo temporal («estallido» del lóbulo temporal) en el izquierdo.

1 Meninges y venas cerebrales superficiales

Para las venas profundas del cerebro véase **lámina 145**



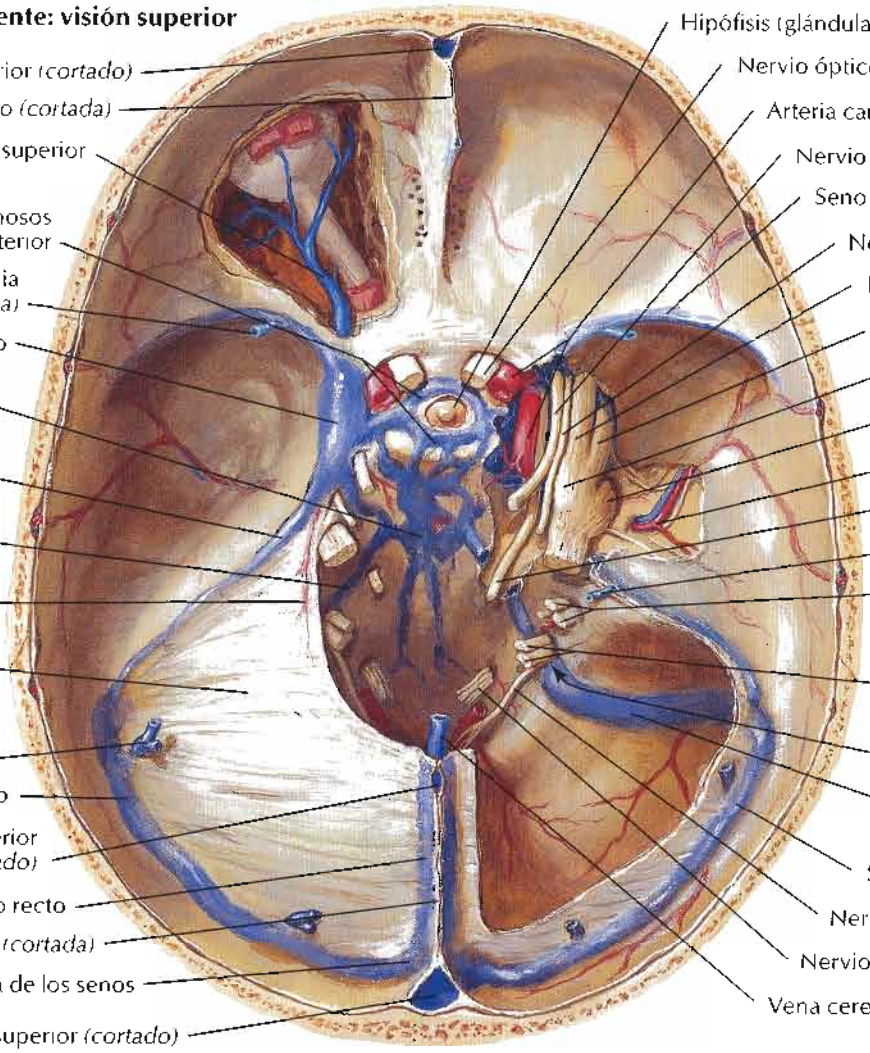



Sección sagital
Seno sagital superior
Seno recto
Vena cerebral magna (de Galeno)
Tienda del cerebelo
Seno sagital superior
Hoz del cerebro
Seno sagital inferior
Seno esfenoparietal
Senos intercavernosos anterior y posterior
Seno petroso superior
Plexo venoso basilar
Seno petroso inferior
Al agujero yugular
Seno sigmoideo
Seno transverso
Seno occipital
Hoz del cerebelo
Confluencia de los senos

Senos venosos de la duramadre *(continuación)*

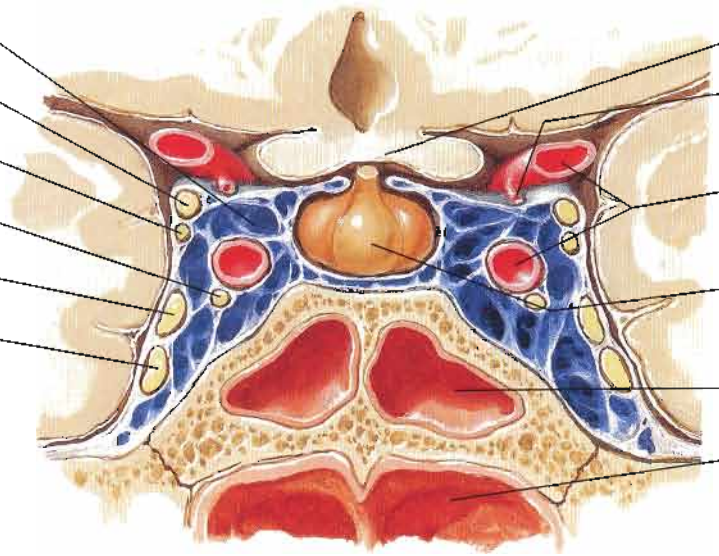
Véase también **lámina 85**

Cráneo seccionado horizontalmente: visión superior



Seno sagital superior *(cortado)*
Hoz del cerebro *(cortada)*
Vena oftálmica superior
Senos intercavernosos anterior y posterior
Vena cerebral media superficial *(cortada)*
Seno cavernoso
Plexo venoso basilar
Seno petroso superior
Seno petroso inferior
Arteria tentorial
Tienda del cerebelo
Vena cerebral inferior *(cortada)*
Seno transverso
Seno sagital inferior *(cortado)*
Seno recto
Hoz del cerebro *(cortada)*
Confluencia de los senos
Seno sagital superior *(cortado)*

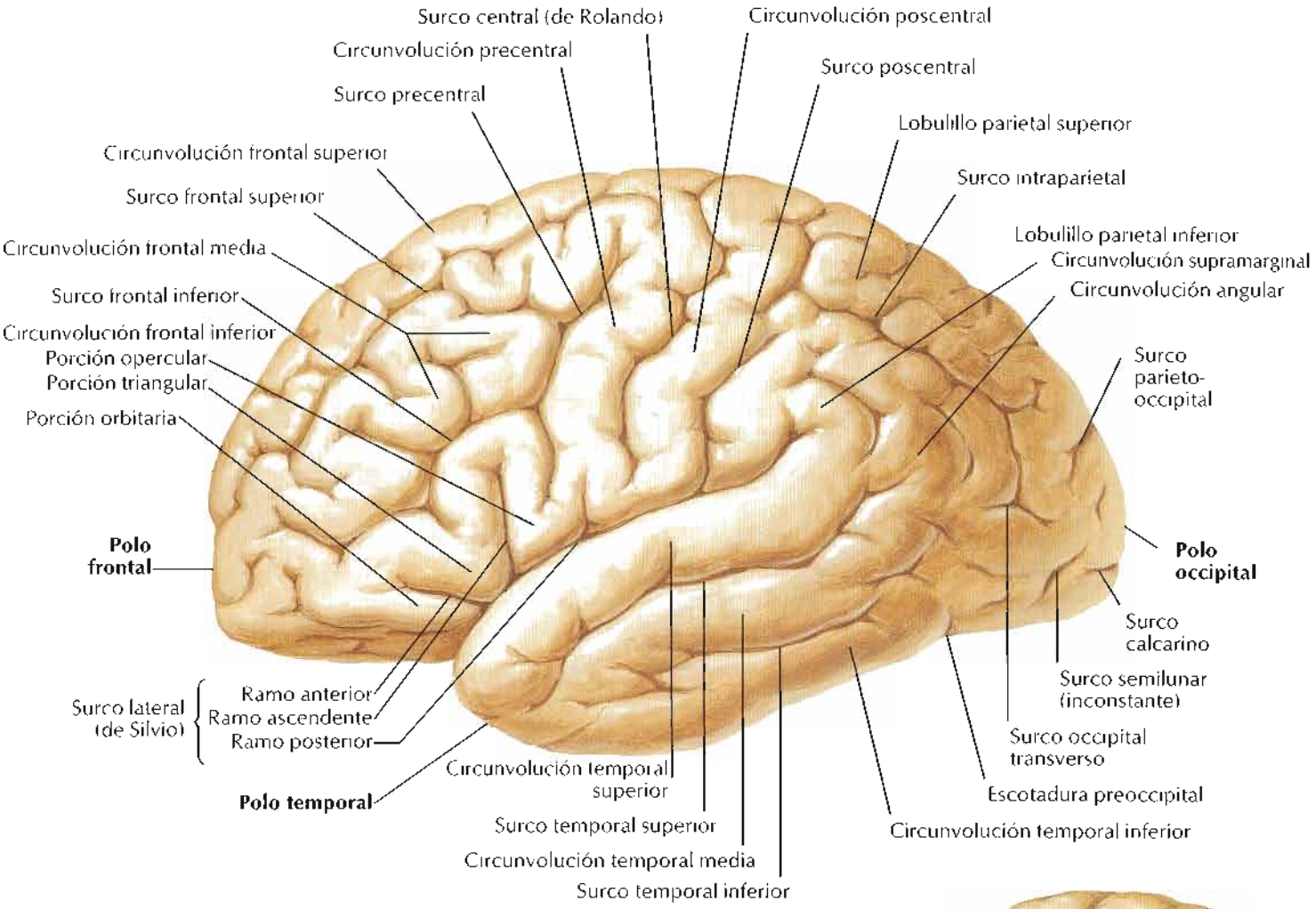
Hipófisis (glándula pituitaria)
Nervio óptico (II)
Arteria carótida interna
Nervio oculomotor (III)
Seno esfenoparietal
Nervio troclear (IV)
Nervio oftálmico (V_1)
Nervio maxilar (V_2)
Ganglio trigeminal
Nervio mandibular (V_3)
Arteria meníngea media
Nervio abducens (VI)
Vena petrosa
Nervios facial (VII), intermedio y vestibulococlear (VIII)
Nervios glosofaríngeo (IX) y vago (X)
Agujero yugular
Seno sigmoideo (continuación del seno transverso)
Seno transverso
Nervio accesorio (XI)
Nervio hipogloso (XII)
Vena cerebral magna (de Galeno)

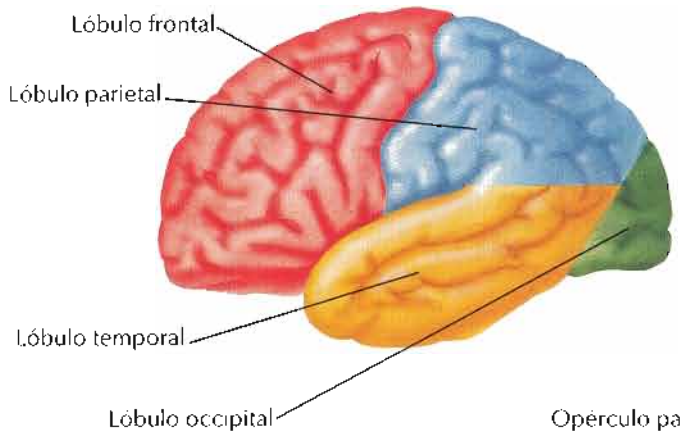


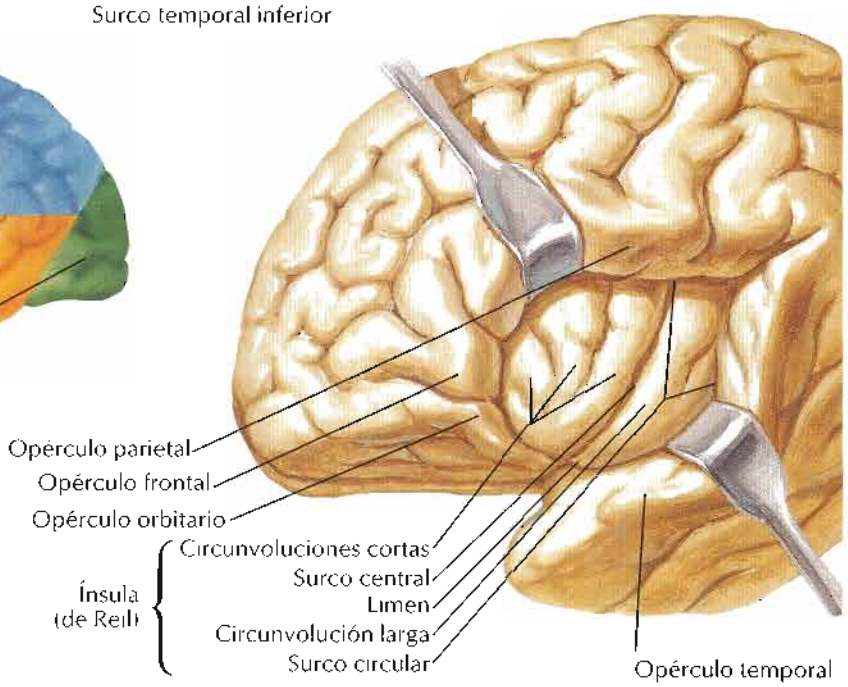
Seno cavernoso
Nervio oculomotor (III)
Nervio troclear (IV)
Nervio abducens (VI)
Nervio oftálmico (V_1)
Nervio maxilar (V_2)

Quiasma óptico
Arteria comunicante posterior
Arteria carótida interna
Hipófisis (glándula pituitaria)
Seno esfenoidal
Nasofaringe

Sección coronal a través del seno cavernoso


Surco central (de Rolando)
Circunvolución poscentral
Circunvolución precentral
Surco poscentral
Surco precentral
Lobulillo parietal superior
Circunvolución frontal superior
Surco intraparietal
Surco frontal superior
Lobulillo parietal inferior
Circunvolución frontal media
Circunvolución supramarginal
Surco frontal inferior
Circunvolución angular
Circunvolución frontal inferior
Porción opercular
Surco parieto-occipital
Porción triangular
Porción orbitaria
Polo frontal
Polo occipital
Surco calcarino
Surco lateral (de Silvio)
Ramo anterior
Ramo ascendente
Ramo posterior
Surco semilunar (inconstante)
Surco occipital transverso
Circunvolución temporal superior
Escotadura preoccipital
Polo temporal
Surco temporal superior
Circunvolución temporal inferior
Circunvolución temporal media
Surco temporal inferior

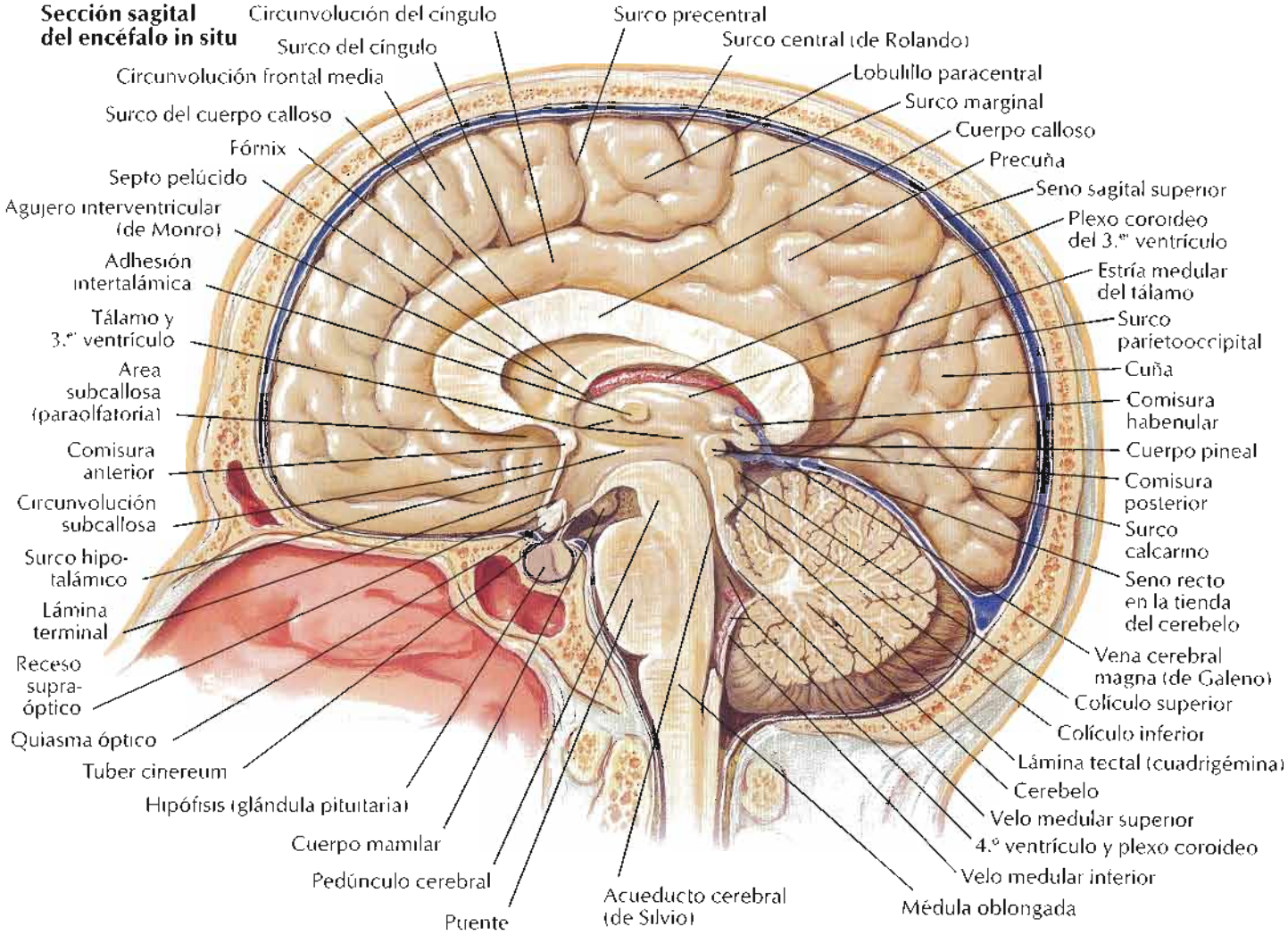

Lóbulo frontal
Lóbulo parietal
Lóbulo temporal
Lóbulo occipital


Opérculo parietal
Opérculo frontal
Opérculo orbitario
Ínsula (de Reil)
Circunvoluciones cortas
Surco central
Limen
Circunvolución larga
Surco circular
Opérculo temporal

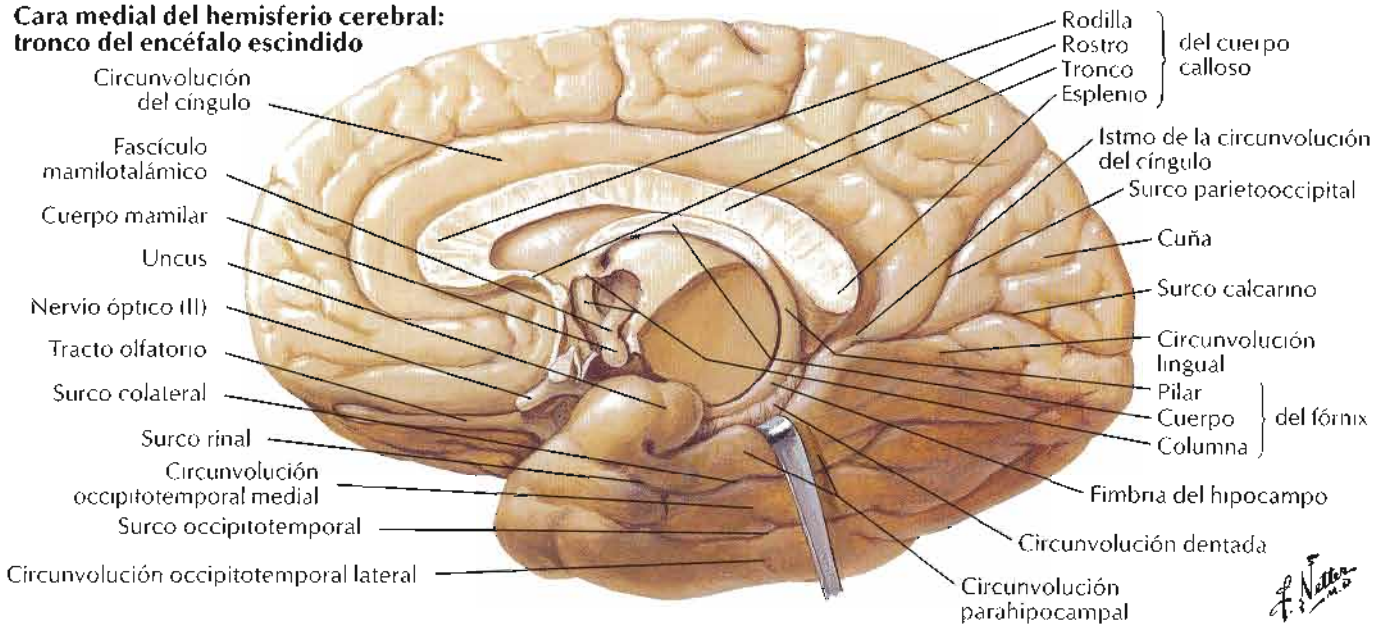
Cerebro: visiones mediales

Para la hipófisis véase **lámina 147**

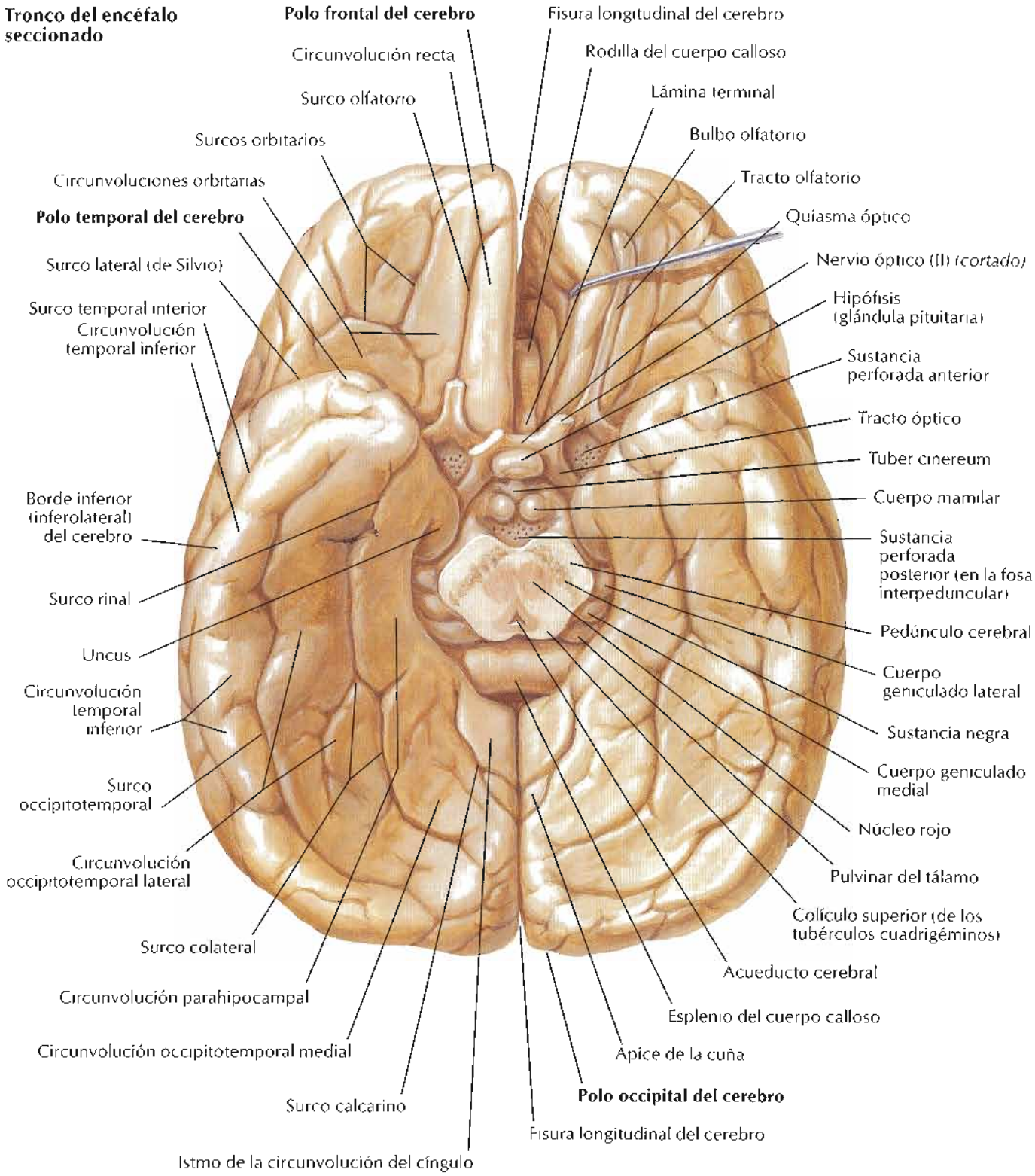
Sección sagital del encéfalo in situ



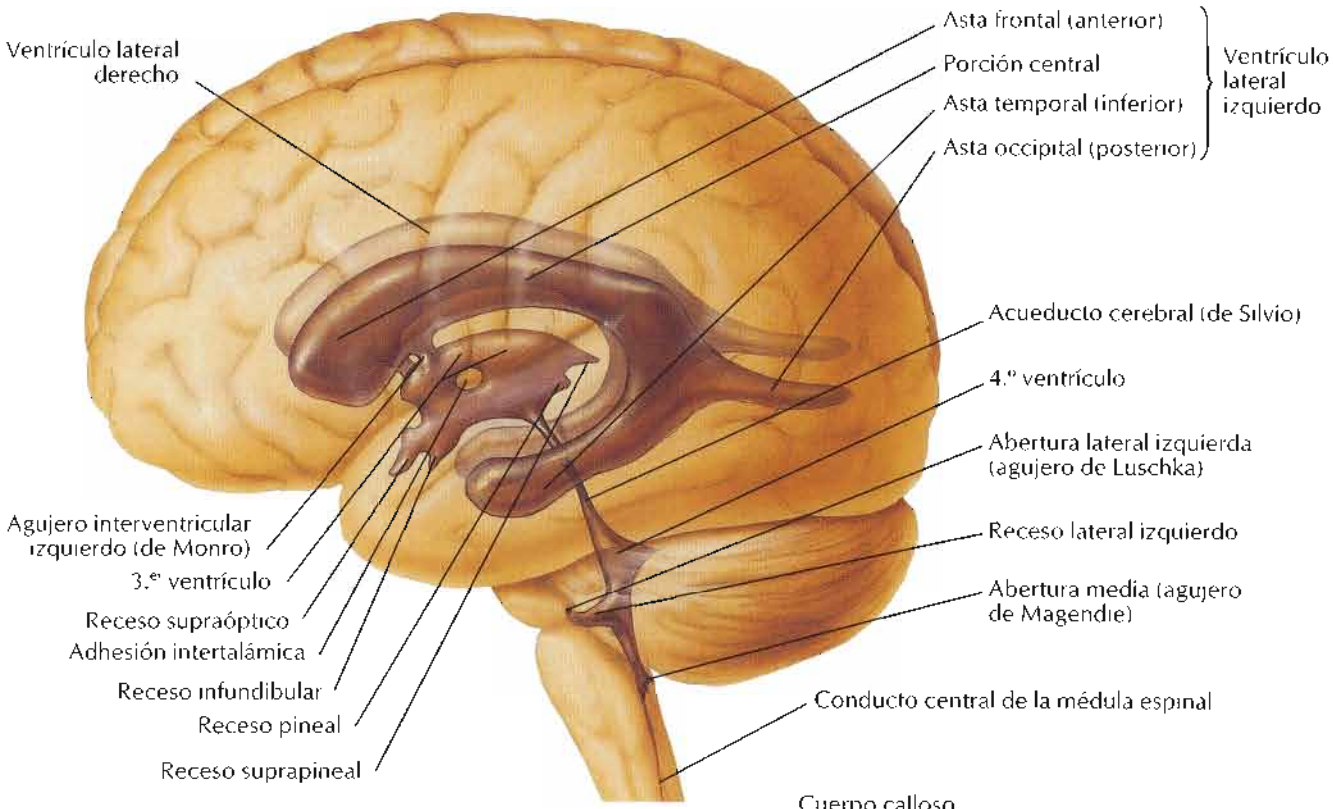
Cara medial del hemisferio cerebral: tronco del encéfalo escindido

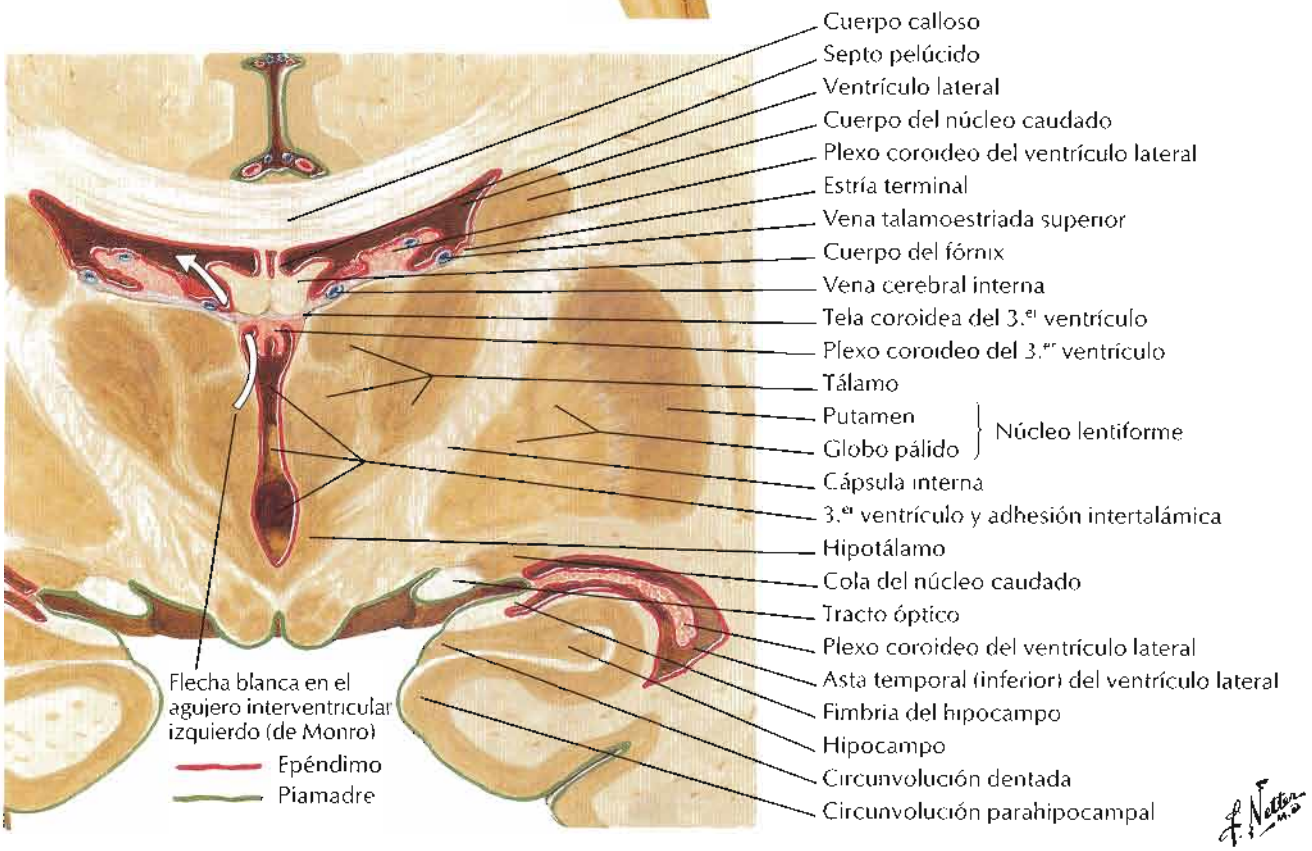


Para la hipófisis véase **lámina 147**



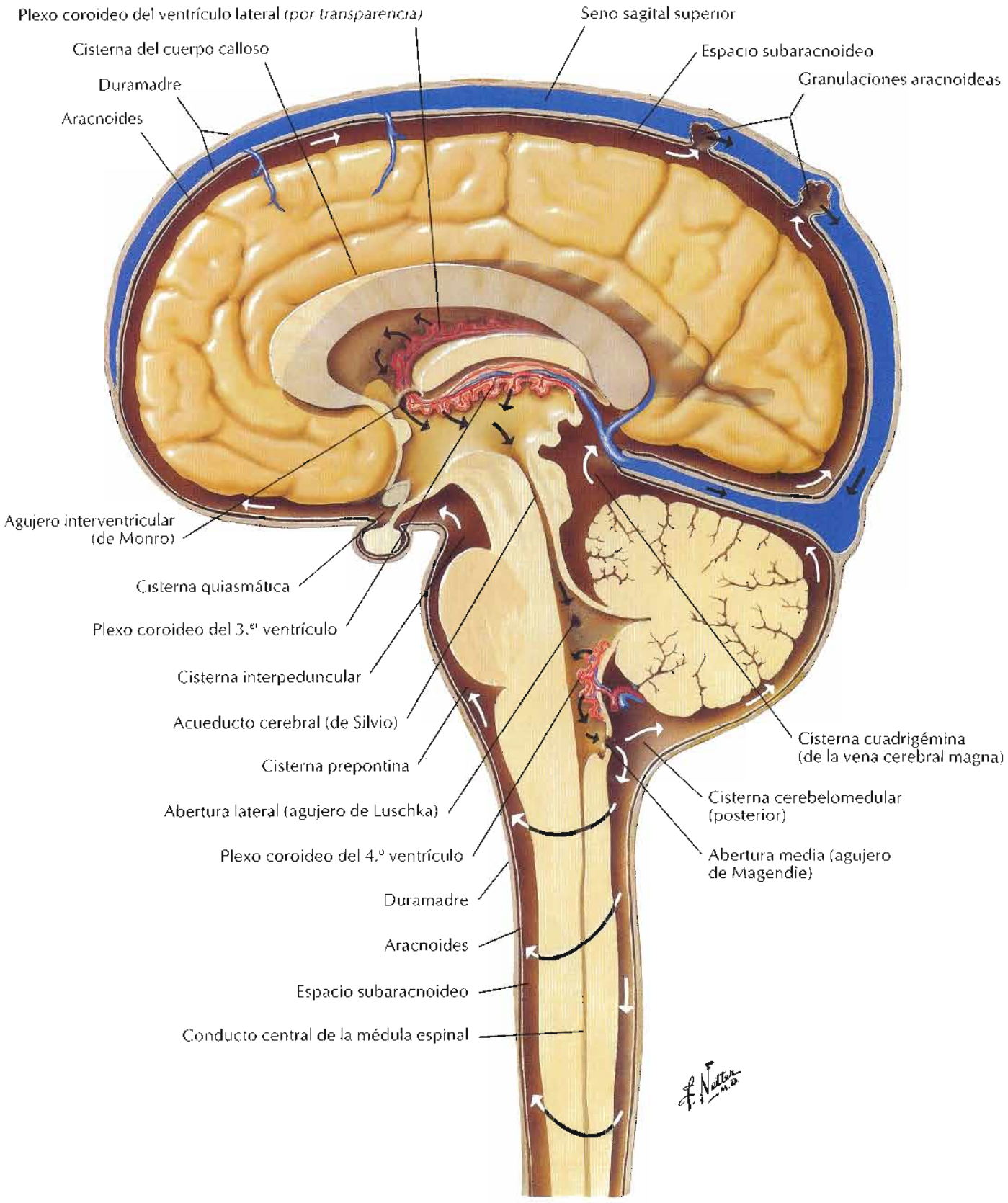
Visión lateral izquierda por transparencia



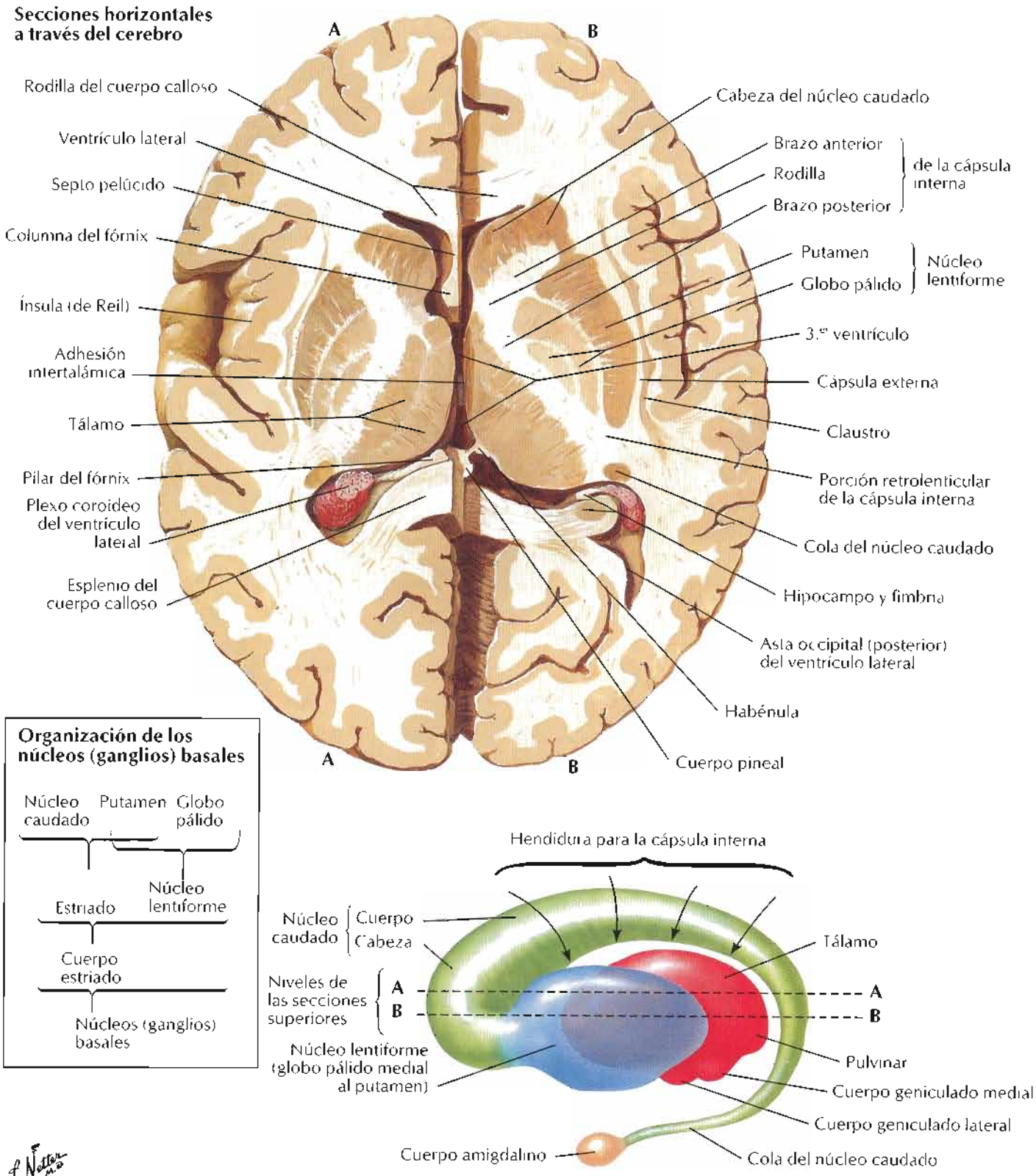


Sección coronal del cerebro: visión posterior

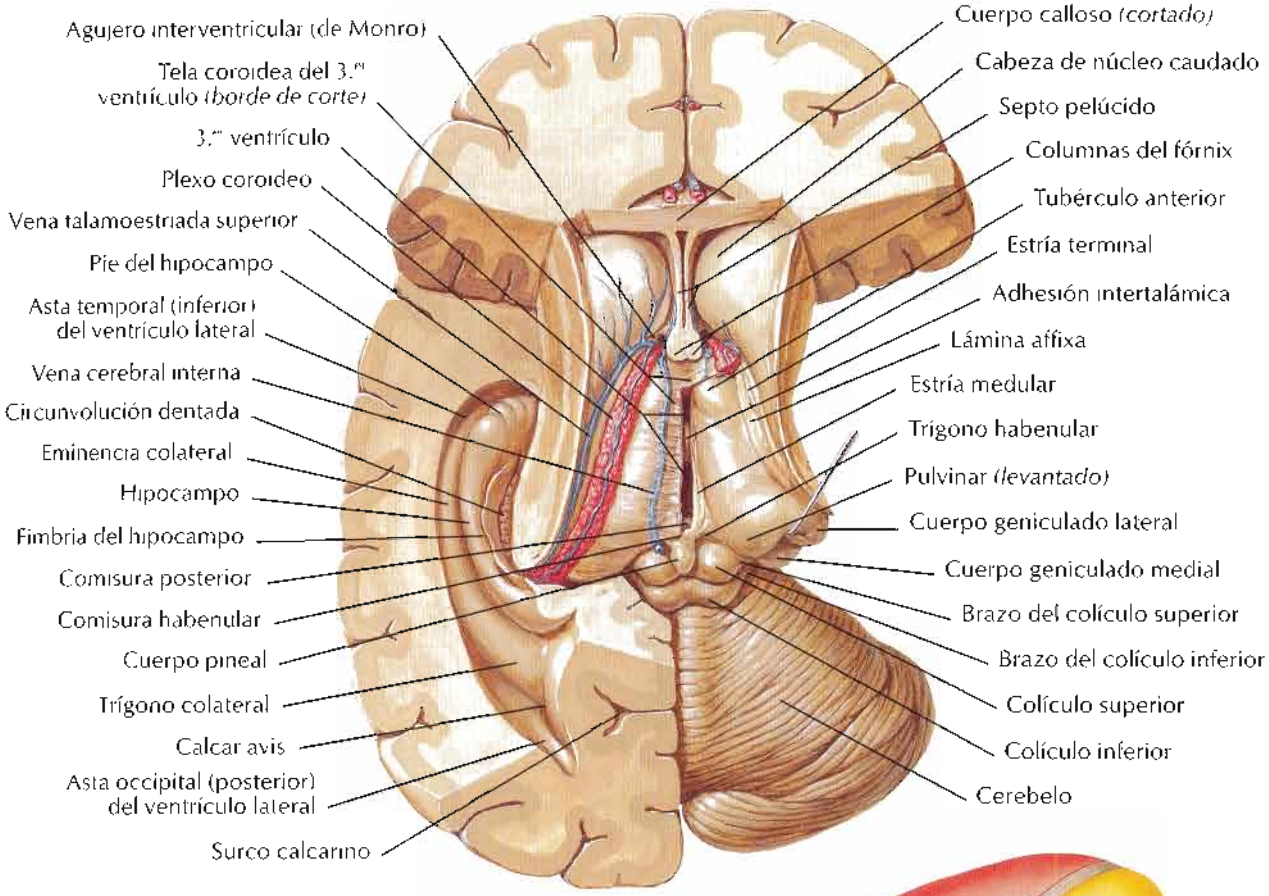
Circulación del líquido cerebroespinal (cefalorraquídeo)

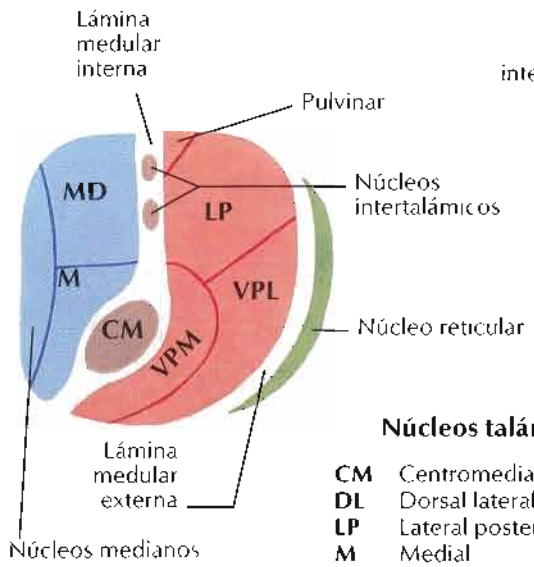


Núcleos (ganglios) basales



Interrelaciones del tálamo, núcleo lentiforme, núcleo caudado y cuerpo amigdalino (esquema): visión lateral izquierda



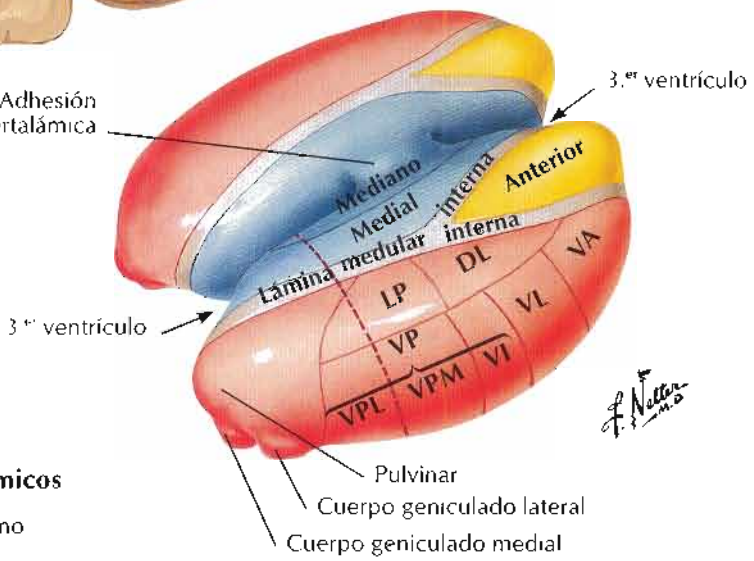


Sección esquemática a través del tálamo

(a nivel de la línea discontinua que se muestra en la figura de la derecha)

Núcleos talámicos

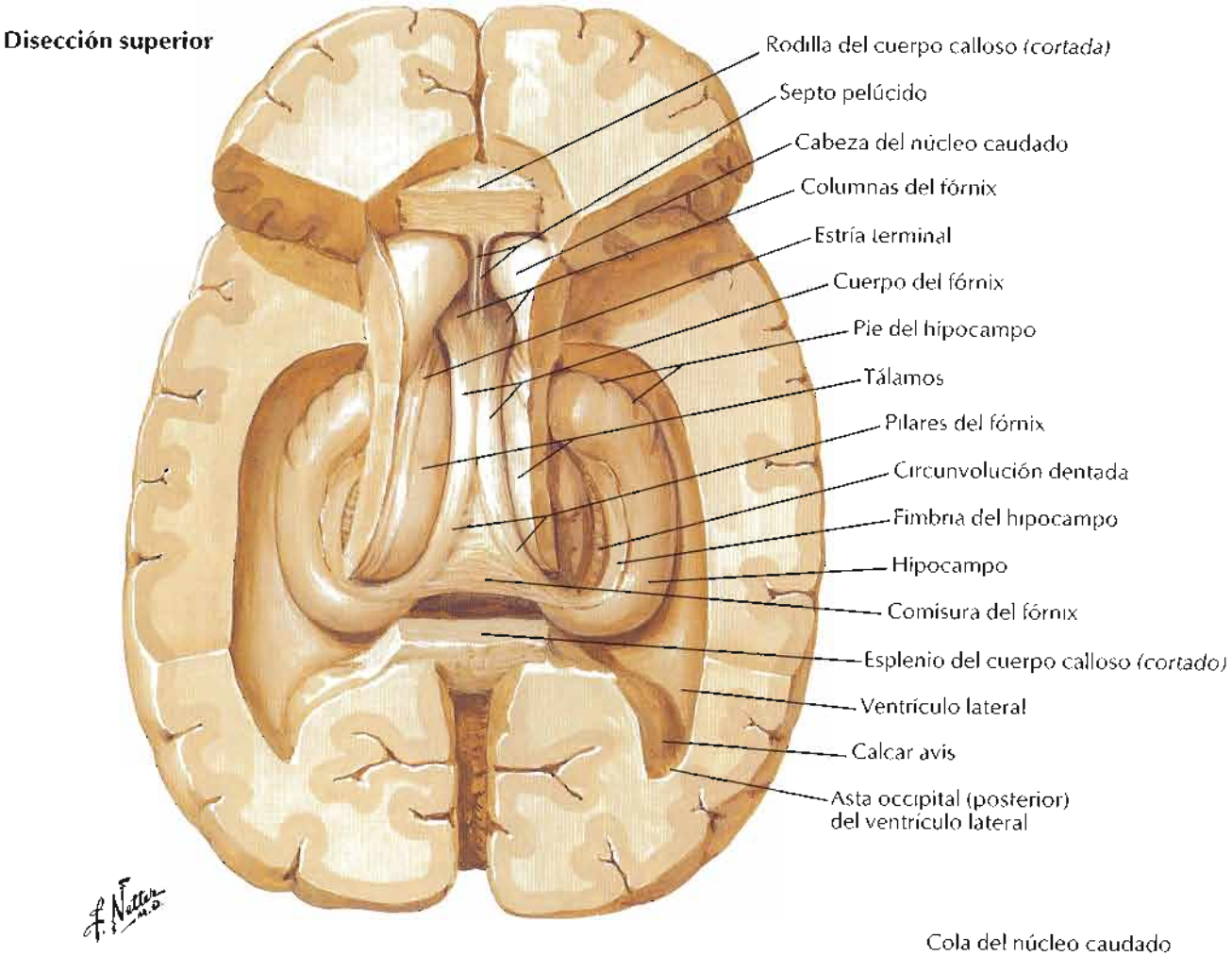
CM	Centromediano
DL	Dorsal lateral
LP	Lateral posterior
M	Medial
MD	Mediodorsal
VA	Ventral anterior
VI	Ventral intermedio
VL	Ventral lateral
VP	Ventral posterior
VPL	Ventral posterolateral
VPM	Ventral posteromedial

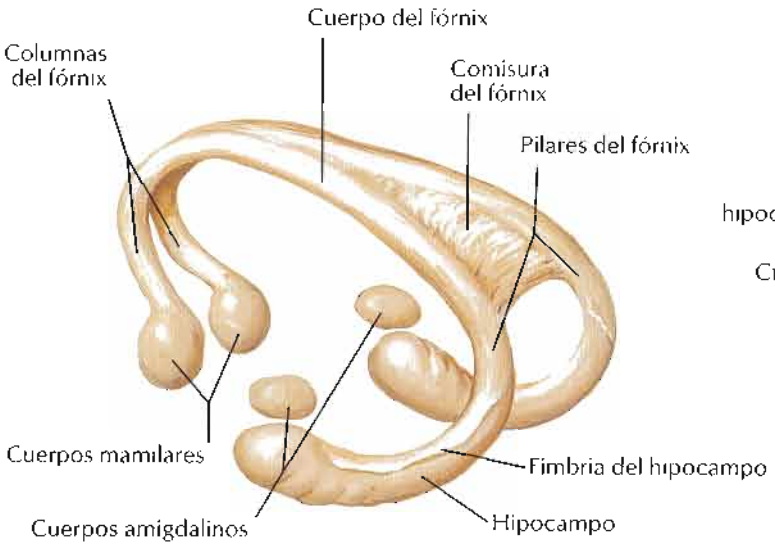


Representación esquemática del tálamo

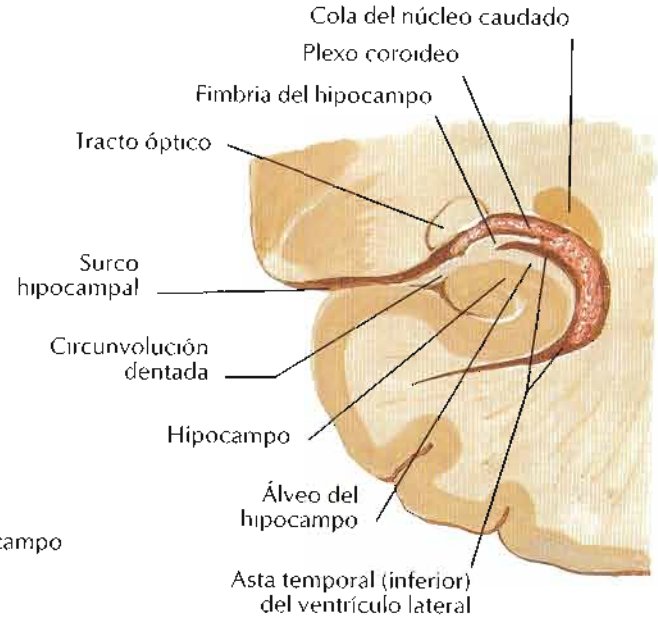
(se han extirpado la lámina medular externa y los núcleos reticulares)

- **Núcleos laterales**
- **Núcleos mediales**
- **Núcleos anteriores**

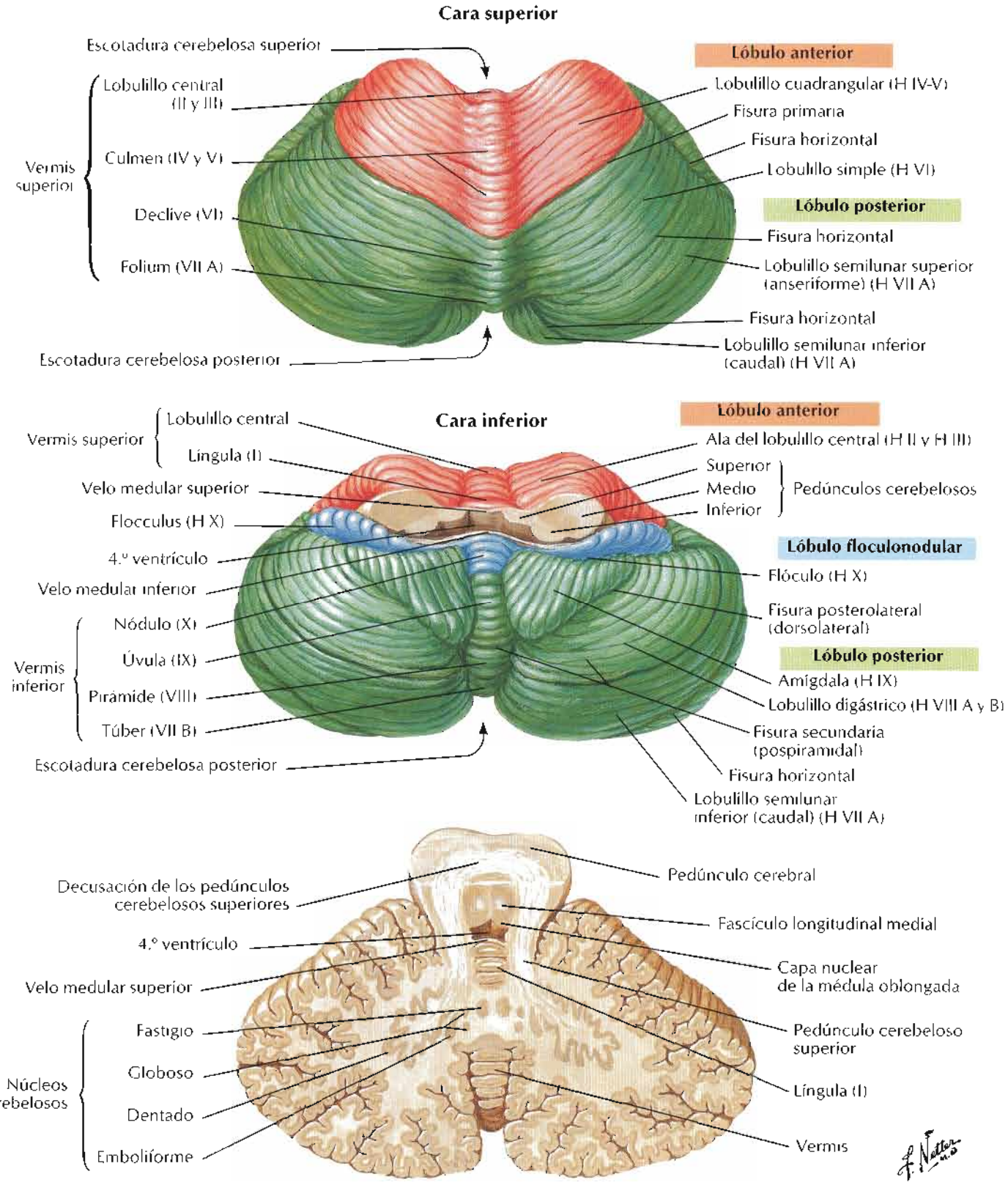




Fórnix: esquema

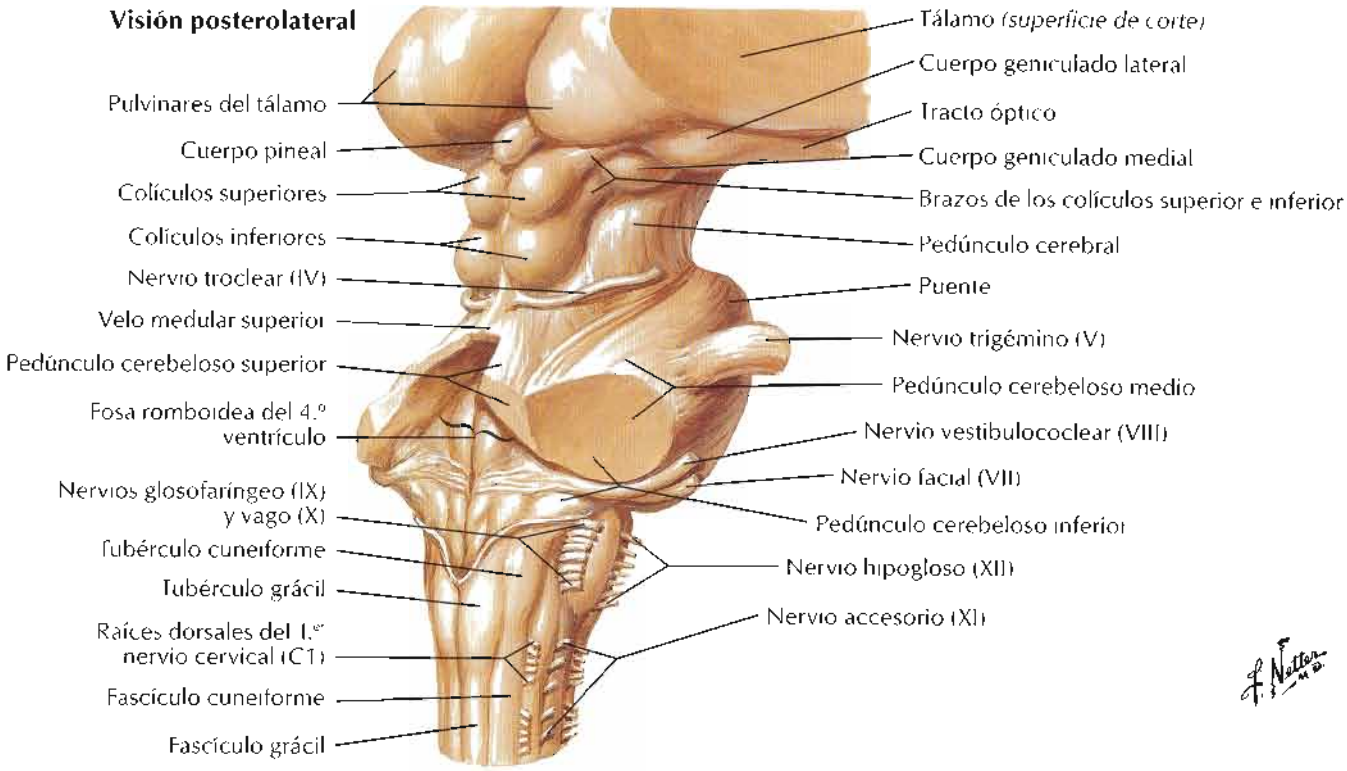


Sección coronal: visión posterior

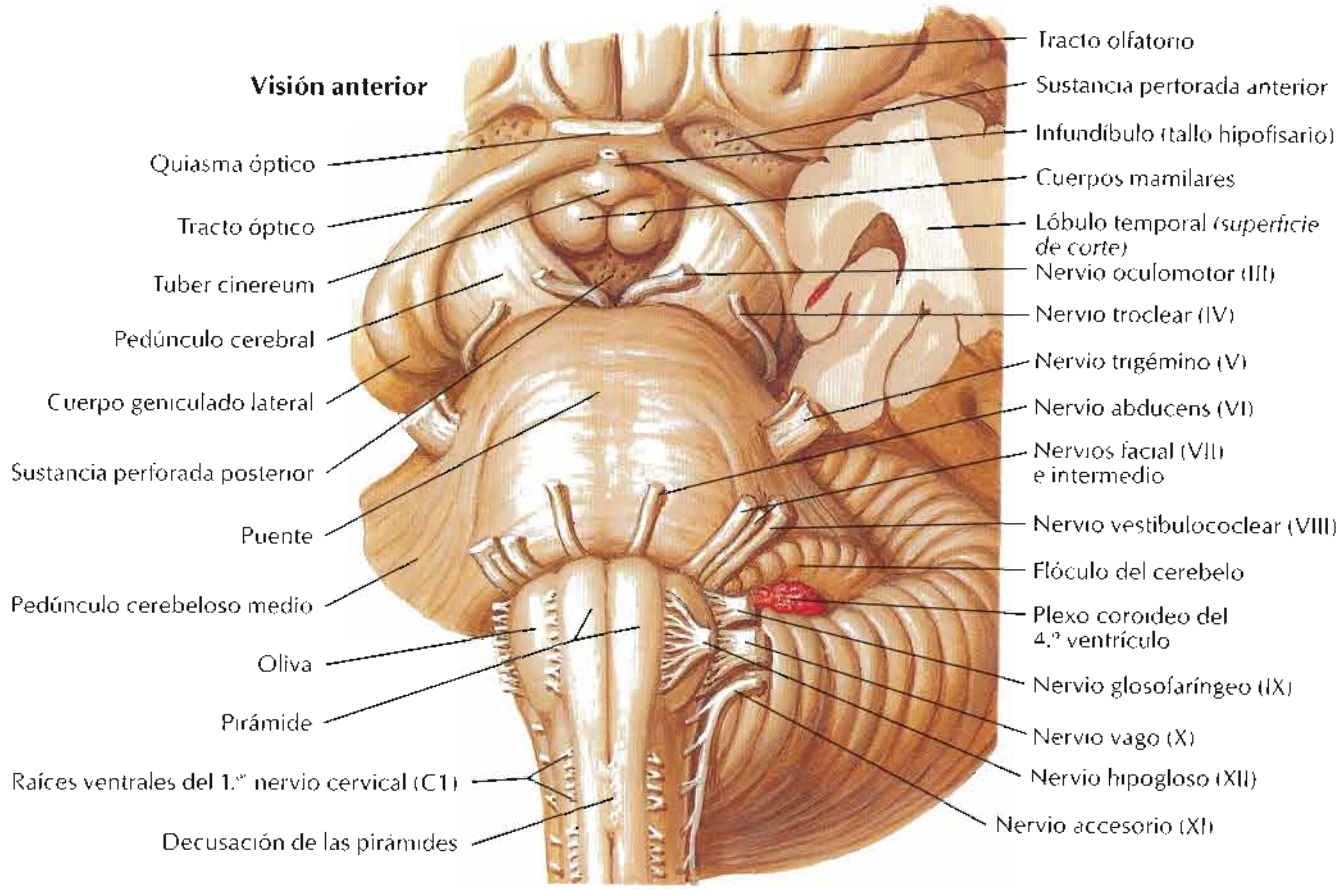


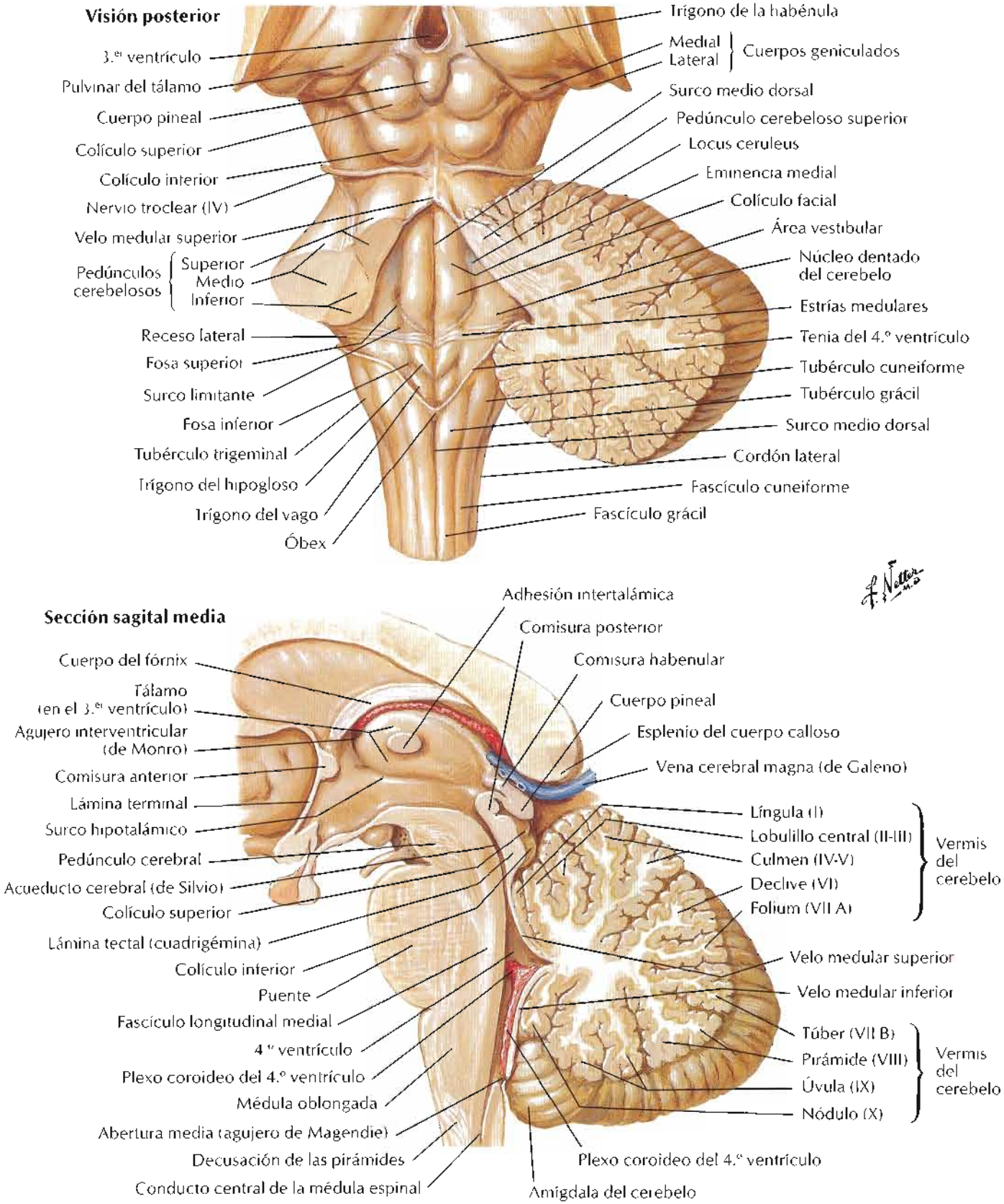
Sección en el plano del pedúnculo cerebeloso superior

Visión posterolateral

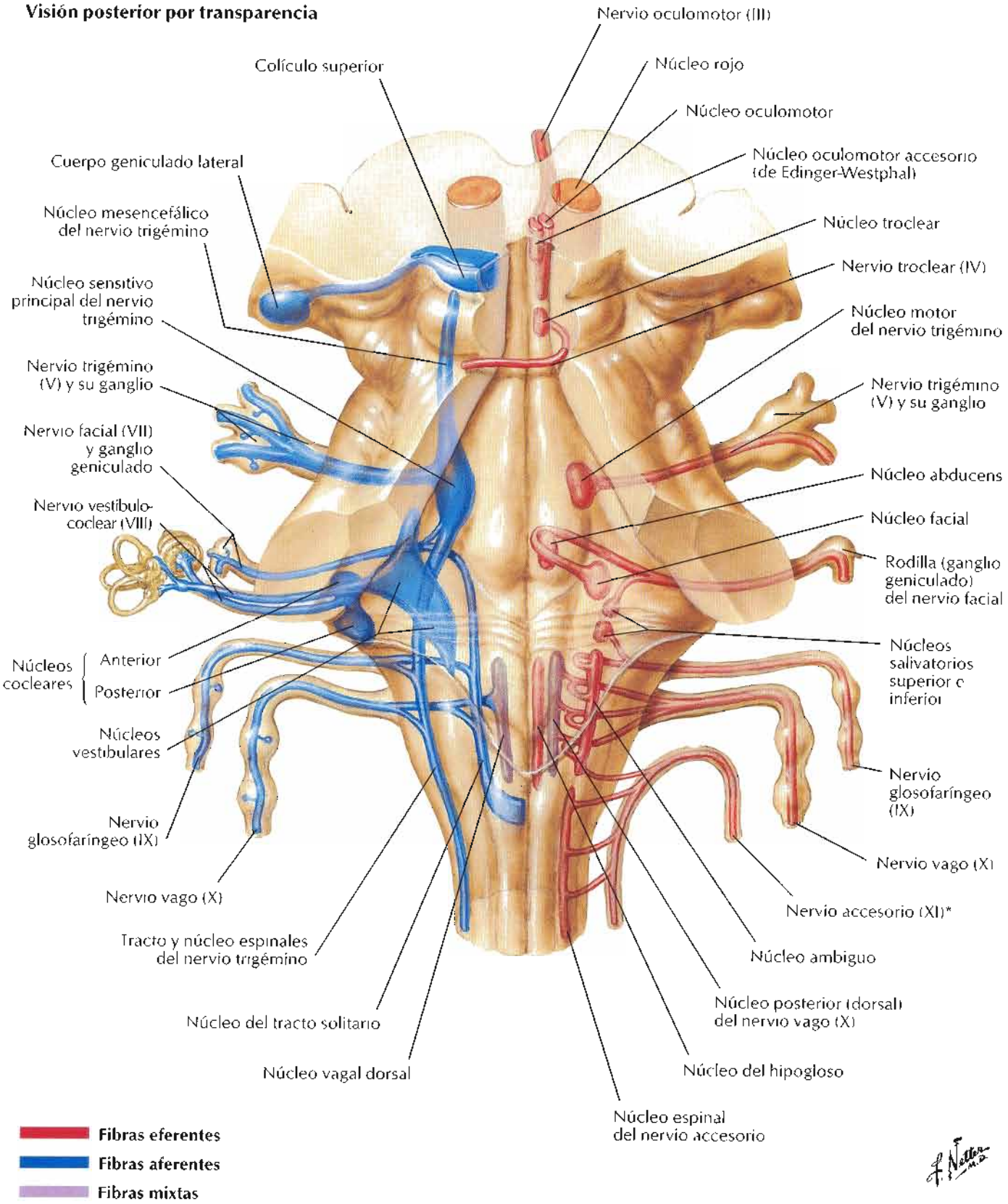


Visión anterior




Visión posterior
3.er ventrículo
Pulvinar del tálamo
Cuerpo pineal
Colículo superior
Colículo inferior
Nervio troclear (IV)
Velo medular superior
Pedúnculos cerebelosos
Superior
Medio
Inferior
Receso lateral
Fosa superior
Surco limitante
Fosa inferior
Tubérculo trigeminal
Trígono del hipogloso
Trígono del vago
Óbex
Trígono de la habénula
Medial
Lateral
Cuerpos geniculados
Surco medio dorsal
Pedúnculo cerebeloso superior
Locus ceruleus
Eminencia medial
Colículo facial
Área vestibular
Núcleo dentado del cerebelo
Estrías medulares
Tenia del 4.º ventrículo
Tubérculo cuneiforme
Tubérculo grácil
Surco medio dorsal
Cordón lateral
Fascículo cuneiforme
Fascículo grácil
Sección sagital media
Cuerpo del fórnix
Tálamo (en el 3.er ventrículo)
Agujero interventricular (de Monro)
Comisura anterior
Lámina terminal
Surco hipotalámico
Pedúnculo cerebral
Acueducto cerebral (de Silvio)
Colículo superior
Lámina tectal (cuadrigémina)
Colículo inferior
Puente
Fascículo longitudinal medial
4.º ventrículo
Plexo coroideo del 4.º ventrículo
Médula oblongada
Abertura media (agujero de Magendie)
Decusación de las pirámides
Conducto central de la médula espinal
Adhesión intertalámica
Comisura posterior
Comisura habenular
Cuerpo pineal
Esplenio del cuerpo calloso
Vena cerebral magna (de Galeno)
Língula (I)
Lobulillo central (II-III)
Culmen (IV-V)
Declive (VI)
Folium (VII A)
Vermis del cerebelo
Velo medular superior
Velo medular inferior
Túber (VII B)
Pirámide (VIII)
Úvula (IX)
Nódulo (X)
Vermis del cerebelo
Plexo coroideo del 4.º ventrículo
Amígdala del cerebelo

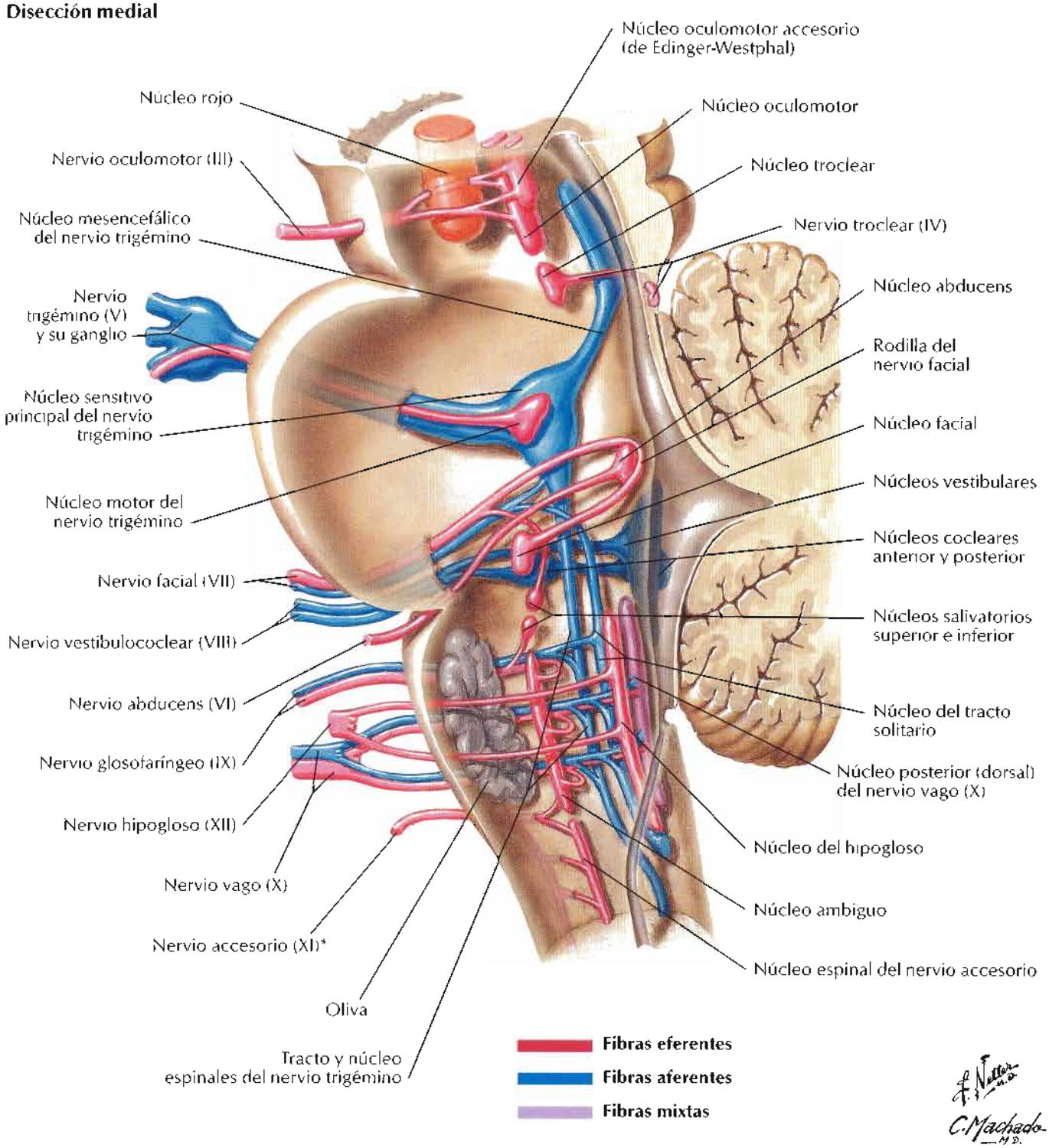
1 Núcleos de los nn. craneales en el tronco del encéfalo: esquema



*Estudios recientes sugieren que el nervio accesorio carece de raíz craneal y que no tiene conexión con el nervio vago. La verificación de este dato depende de futuras investigaciones.

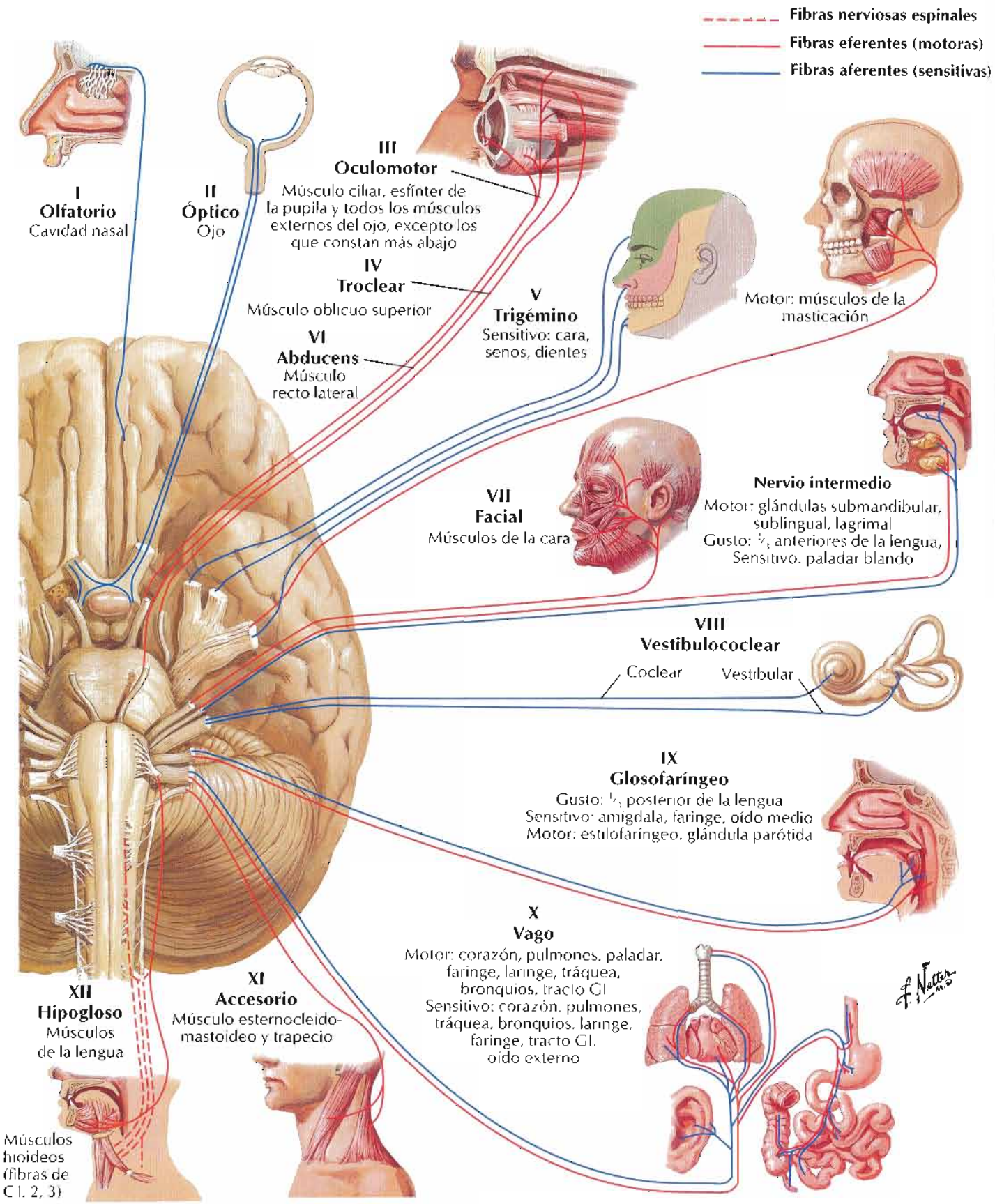
Núcleos de los nn. craneales en el tronco del encéfalo *(cont.)*

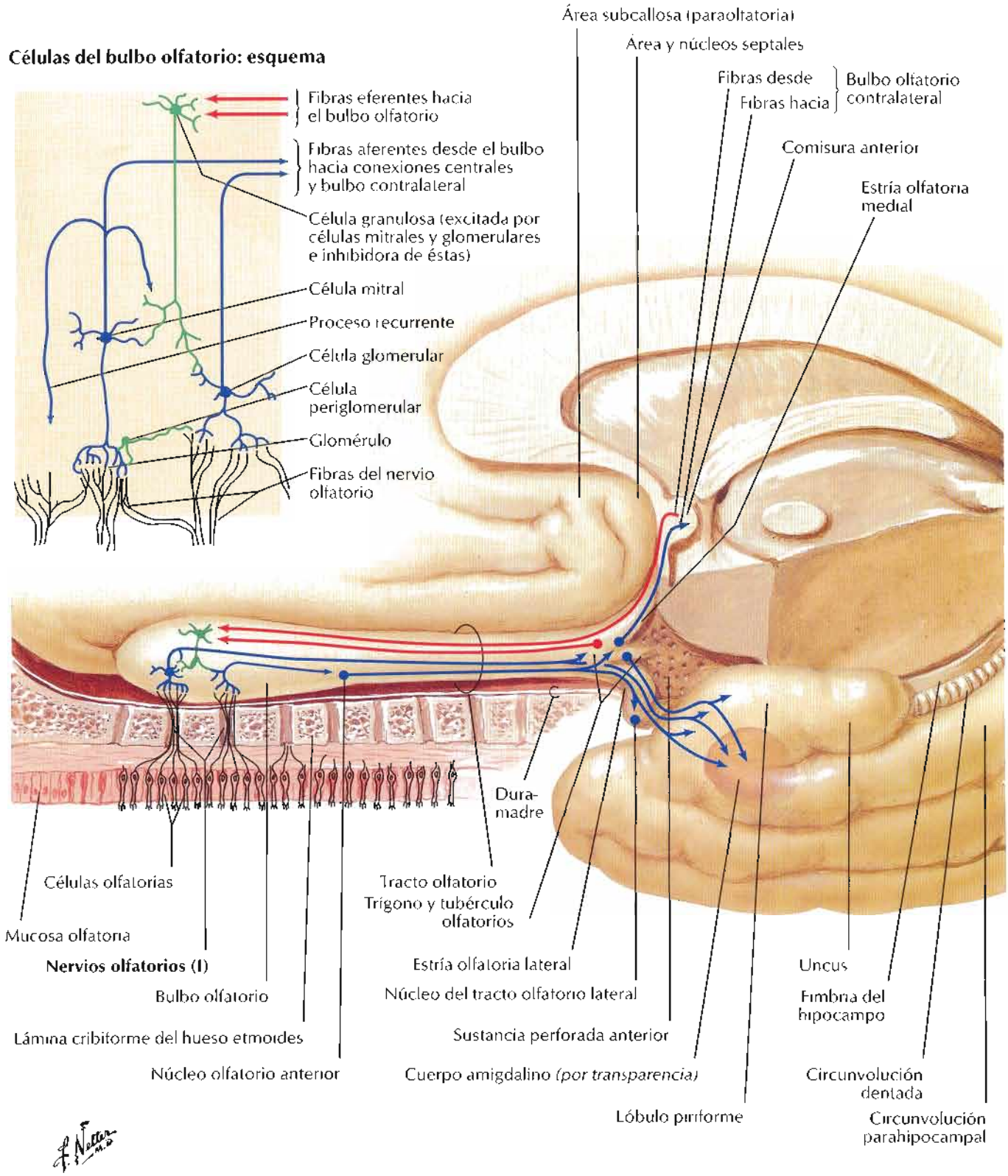
Disección medial



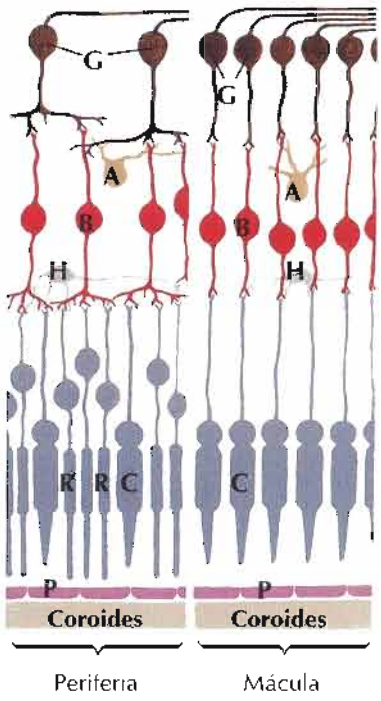
*Estudios recientes sugieren que el nervio accesorio carece de raíz craneal y que no tiene conexión con el nervio vago. La verificación de este dato depende de futuras investigaciones.

1 Nn. craneales (distribución motora y sensitiva): esquema



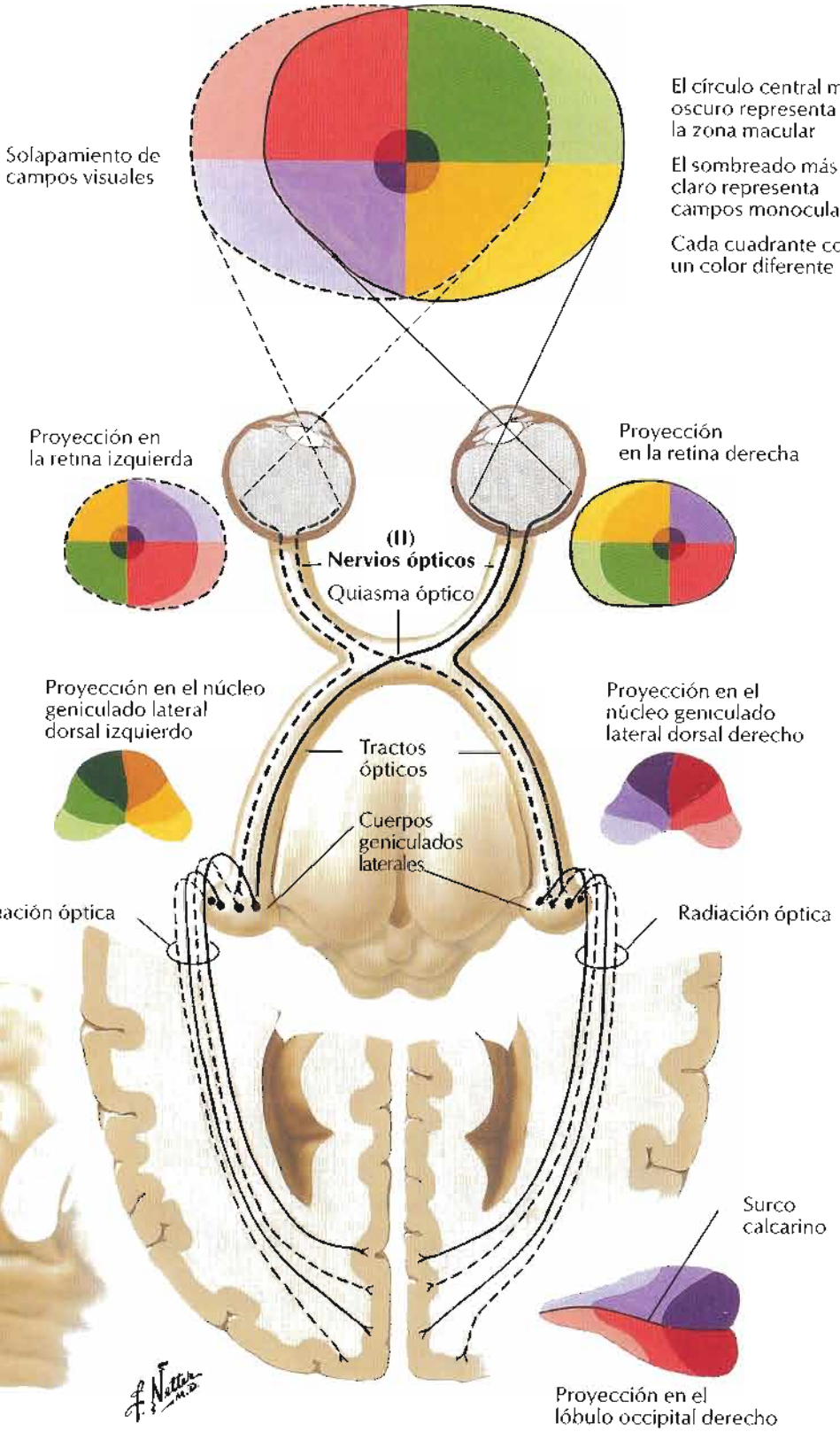

Células del bulbo olfatorio: esquema
Fibras eferentes hacia el bulbo olfatorio
Fibras aferentes desde el bulbo hacia conexiones centrales y bulbo contralateral
Célula granulosa (excitada por células mitrales y glomerulares e inhibidora de éstas)
Célula mitral
Proceso recurrente
Célula glomerular
Célula periglomerular
Glomérulo
Fibras del nervio olfatorio
Área subcallosa (paraolfatoria)
Área y núcleos septales
Fibras desde
Fibras hacia
Bulbo olfatorio contralateral
Comisura anterior
Estría olfatoria medial
Dura-madre
Células olfatorias
Mucosa olfatoria
Nervios olfatorios (I)
Bulbo olfatorio
Lámina cribiforme del hueso etmoides
Núcleo olfatorio anterior
Tracto olfatorio
Trígono y tubérculo olfatorios
Estría olfatoria lateral
Núcleo del tracto olfatorio lateral
Sustancia perforada anterior
Cuerpo amigdalino (por transparencia)
Lóbulo piriforme
Uncus
Fimbria del hipocampo
Circunvolución dentada
Circunvolución parahipocampal

1 Nervio óptico (II) (vía óptica): esquema



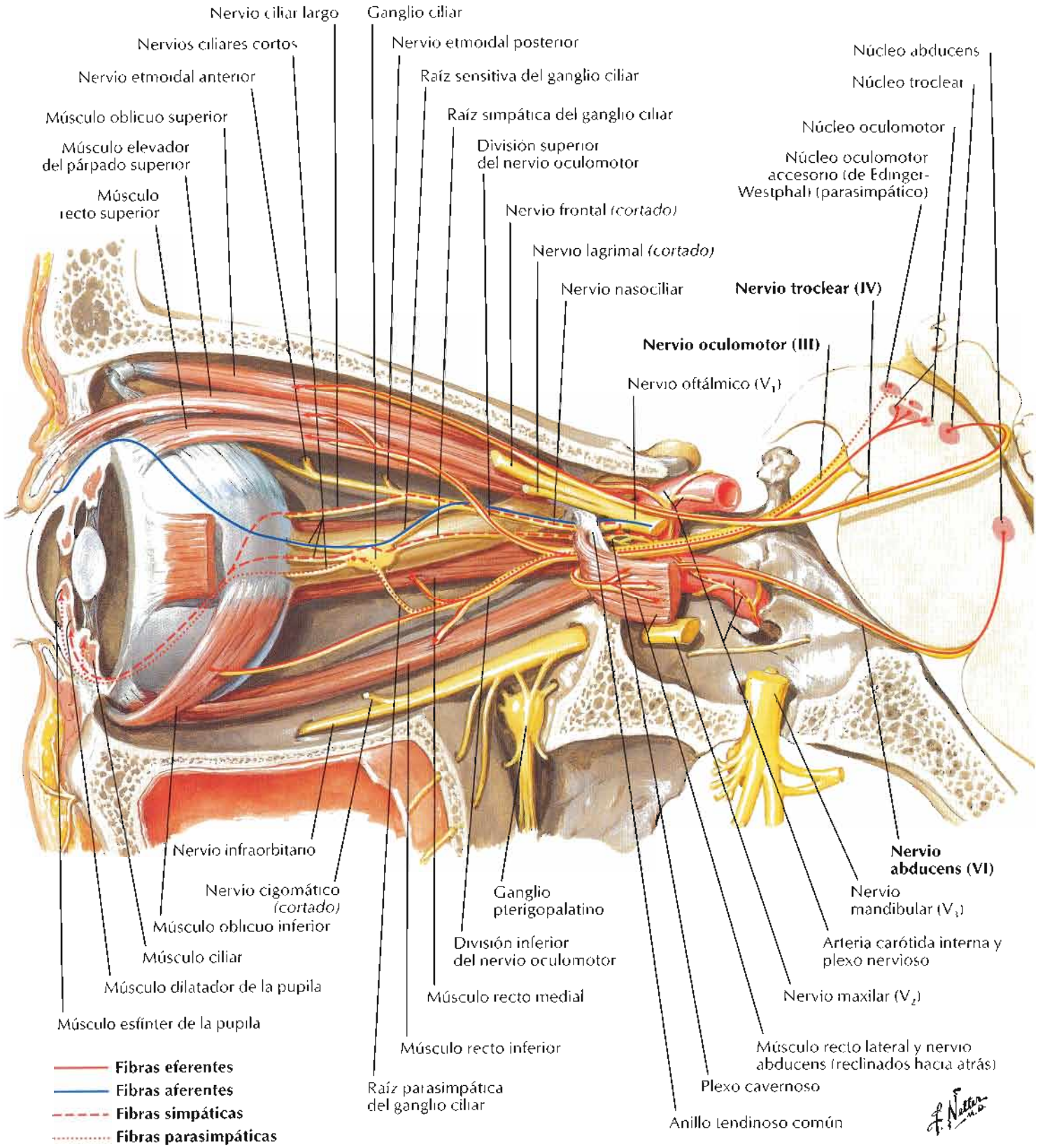
Estructura de la retina: esquema

- **A** Células amacrinas
- **B** Células bipolares
- **C** Conos
- **G** Células ganglionares
- **H** Células horizontales
- **P** Células pigmentarias
- **R** Bastones



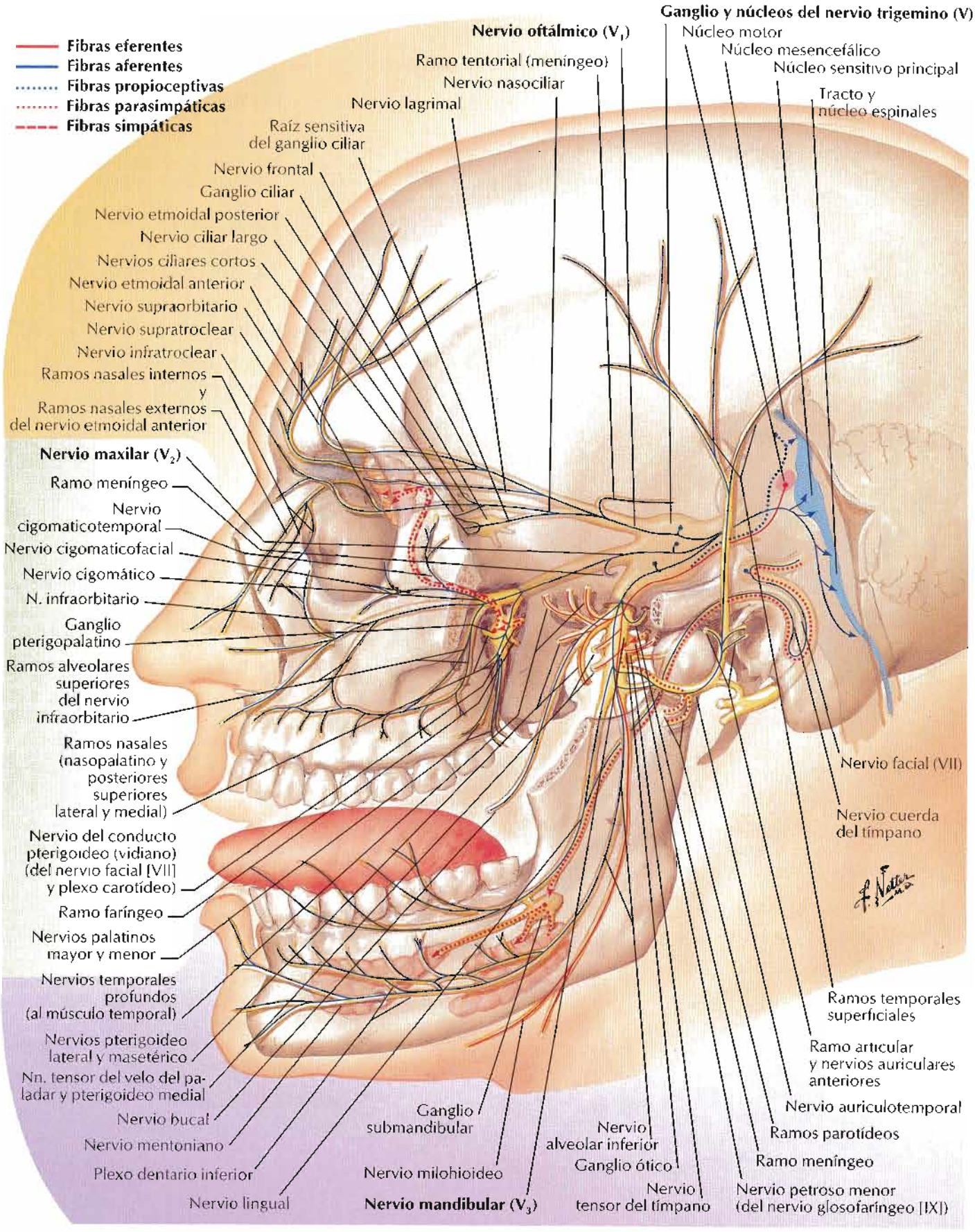
Nervios oculomotor (III), troclear (IV) y abducens (VI): esquema

Véanse también **láminas 86, 132, 167, 168**



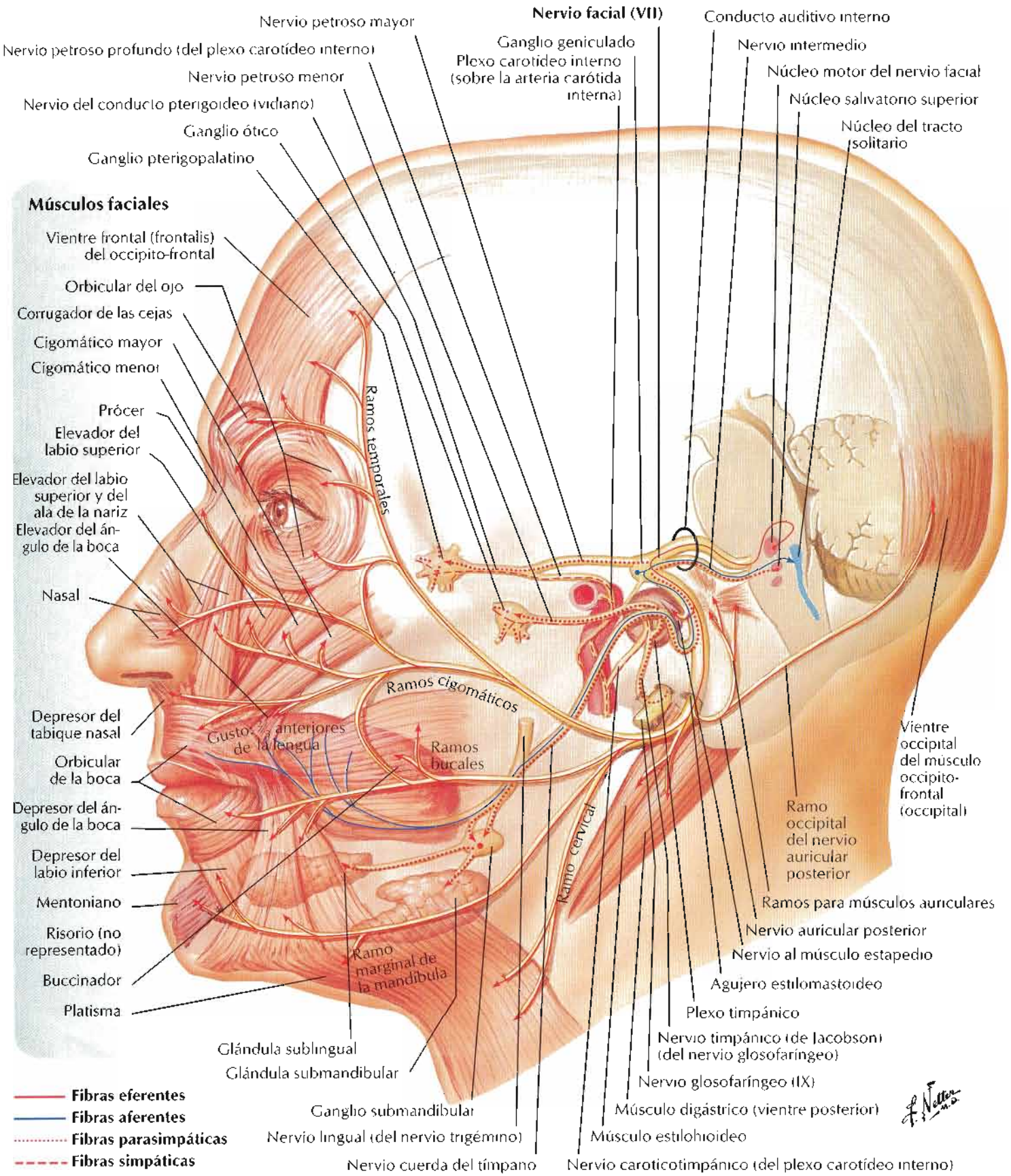
1 Nervio trigémino (V): esquema

Véanse también **láminas 24, 42, 43, 45, 46, 167, 168**

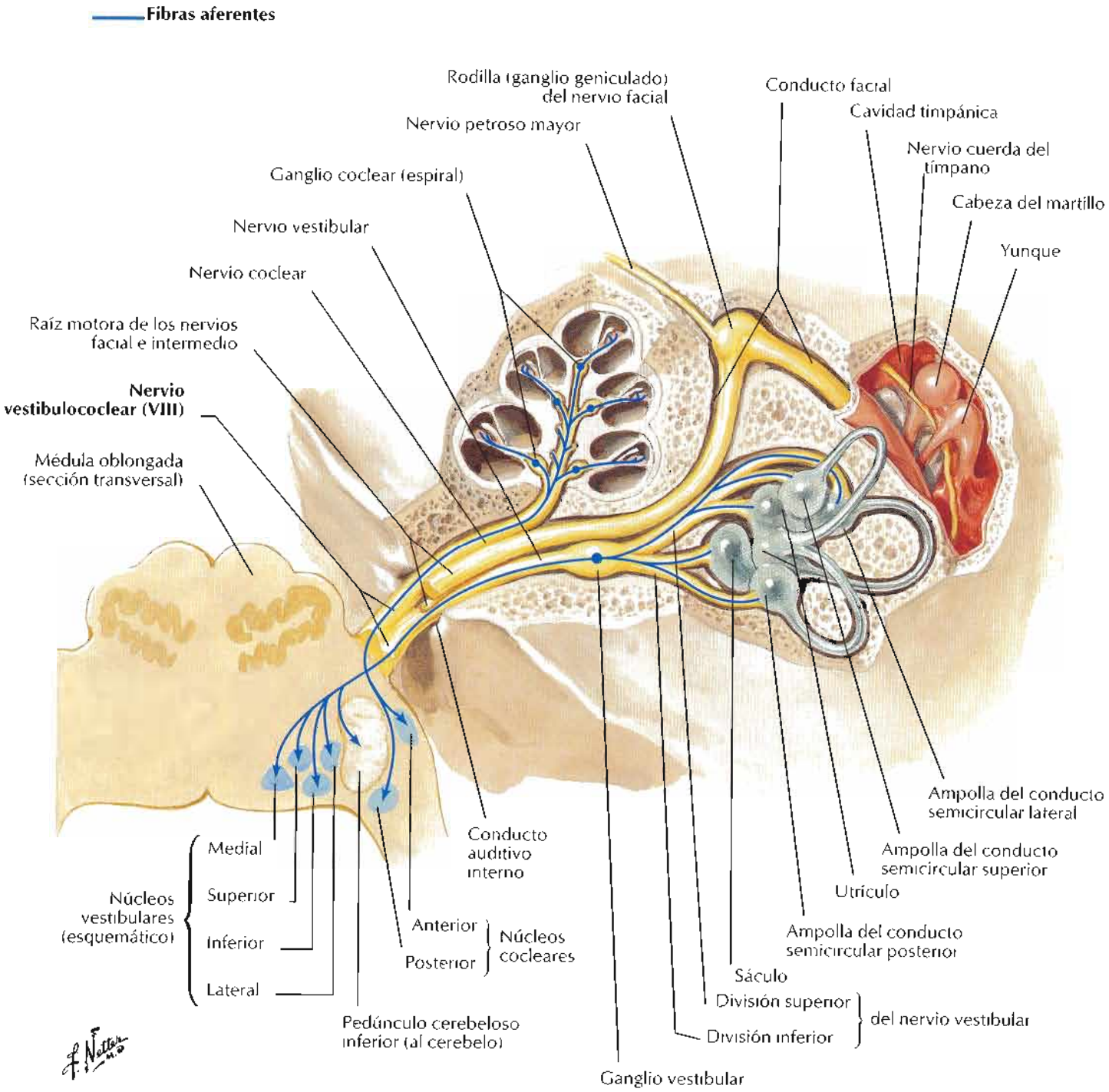


Nervio facial (VII): esquema

Véanse también **láminas 25, 167, 168**

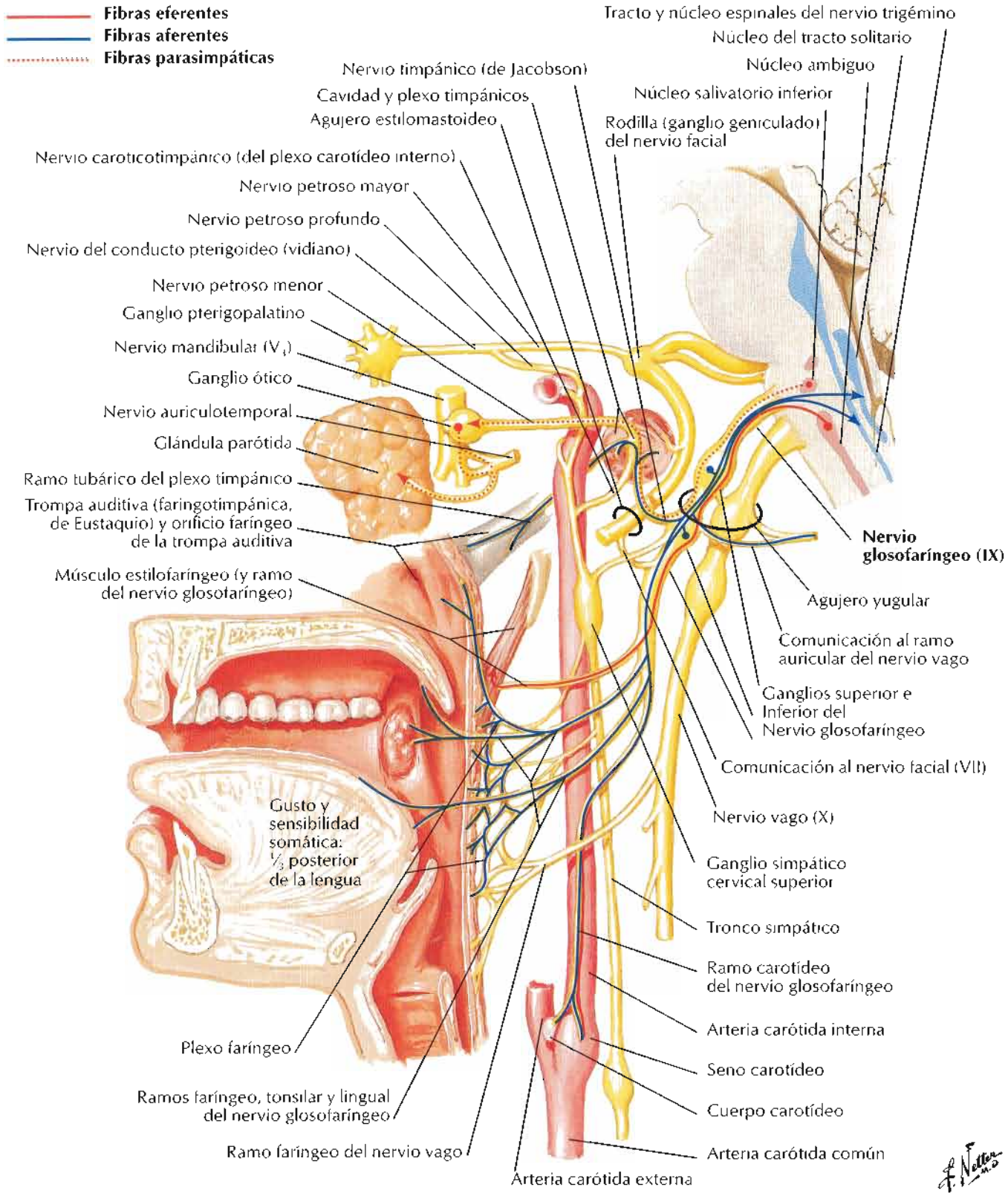


1 Nervio vestibulococlear (VIII): esquema



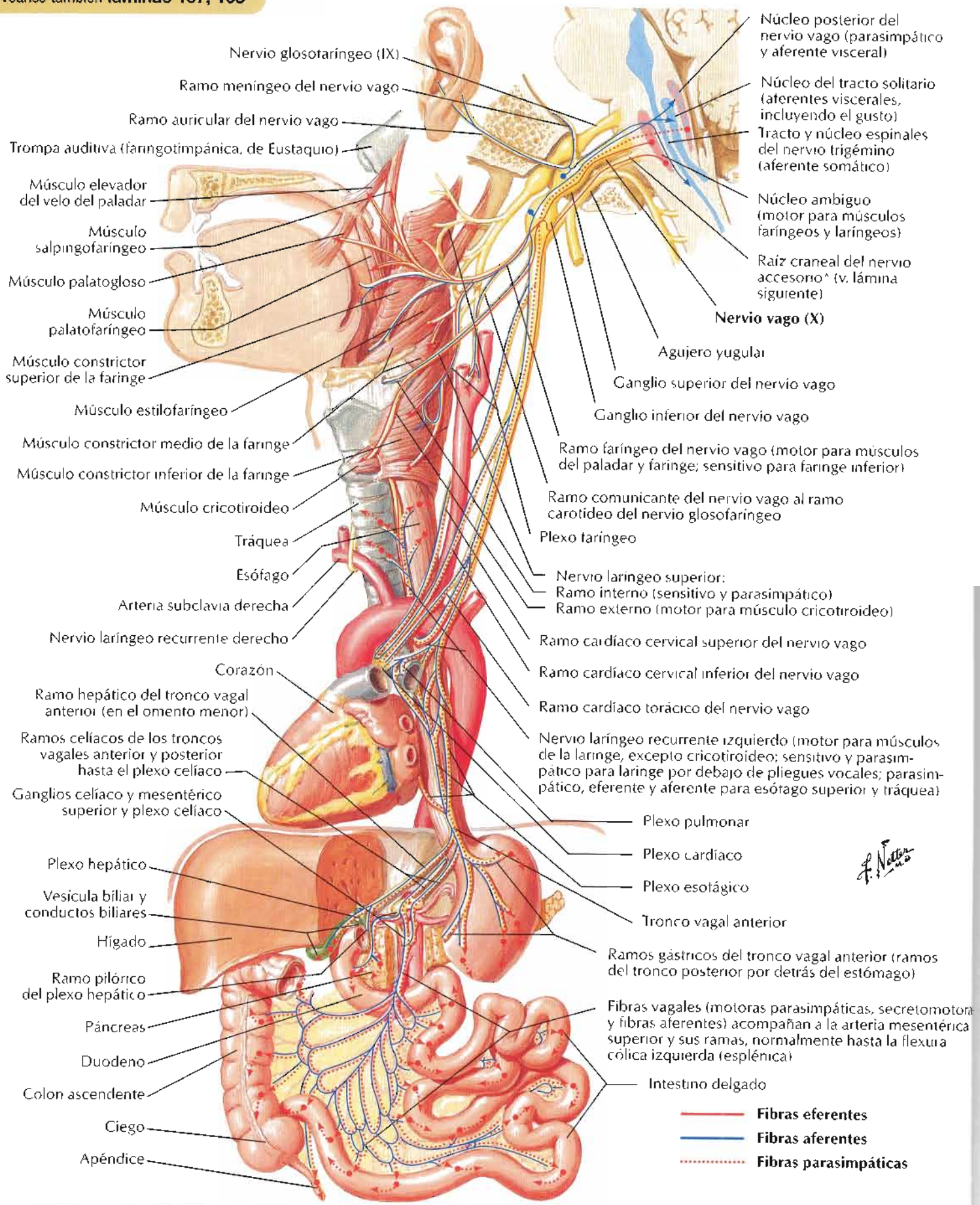
Nervio glosofaríngeo (IX): esquema

Véanse también **láminas 167, 168**



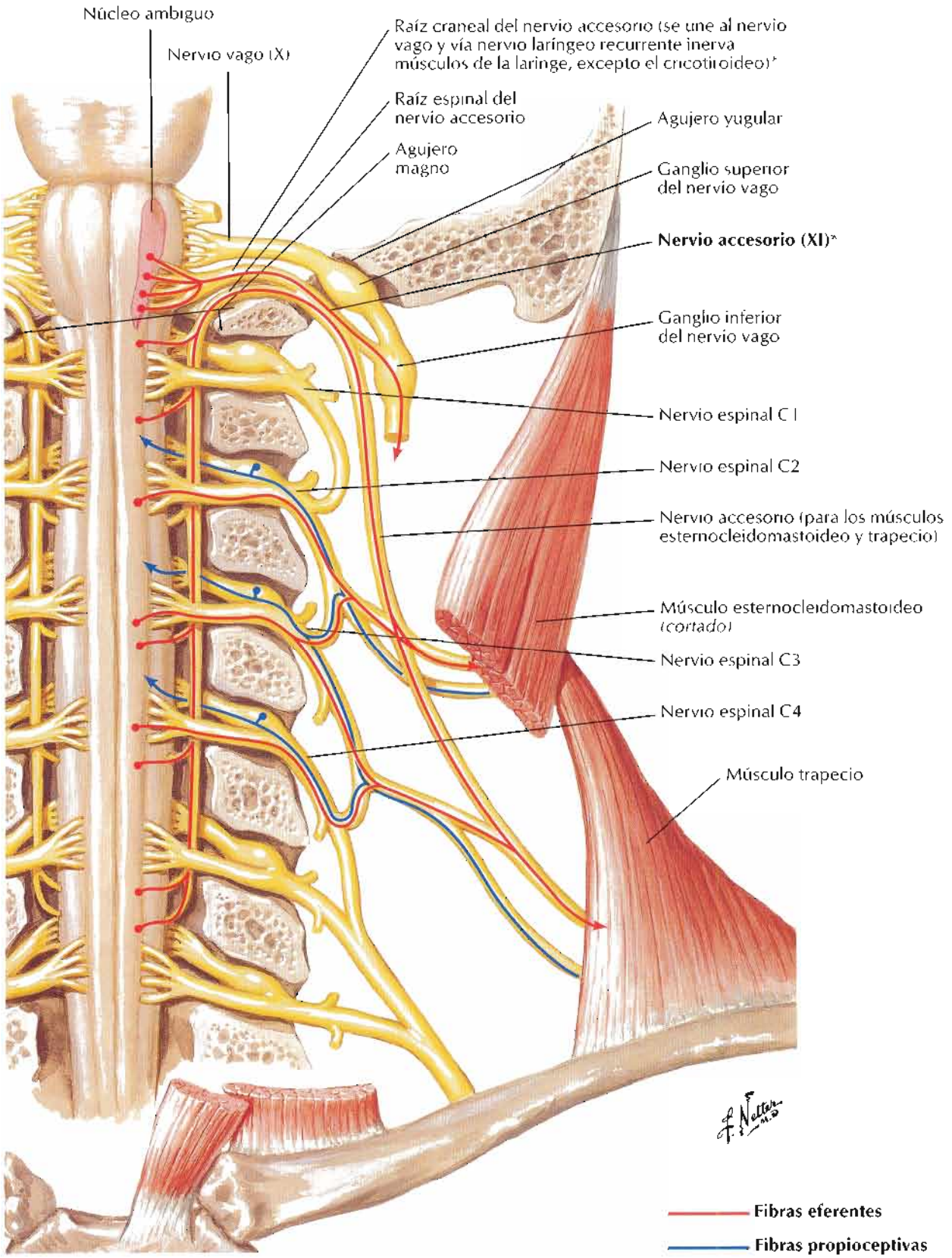
1 Nervio vago (X): esquema

Véanse también **láminas 167, 168**



Nervio accesorio (XI): esquema

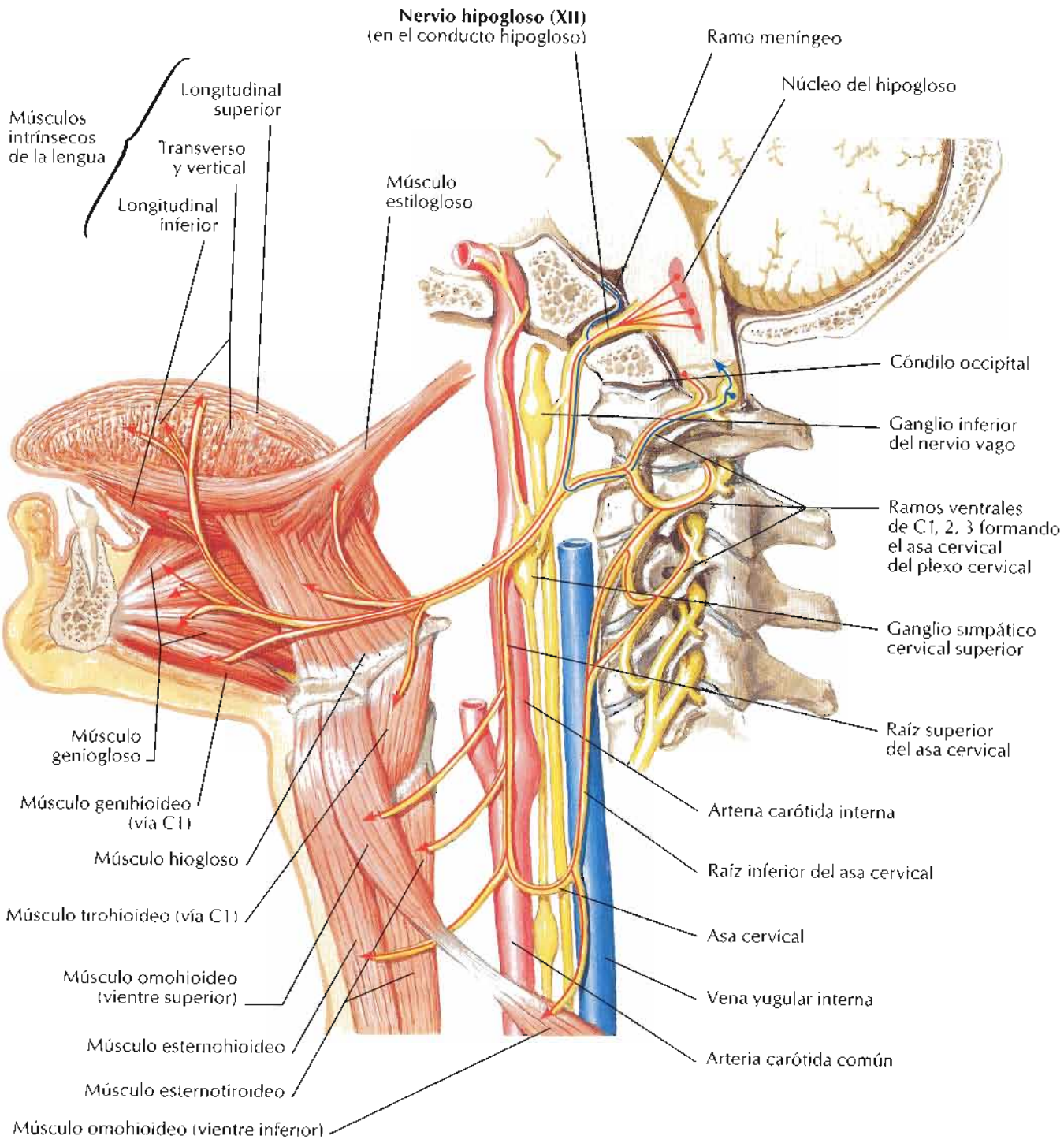
Véase también **lámina 32**



*Estudios recientes sugieren que el nervio accesorio carece de raíz craneal y que no tiene conexión con el nervio vago. La verificación de este dato depende de futuras investigaciones.

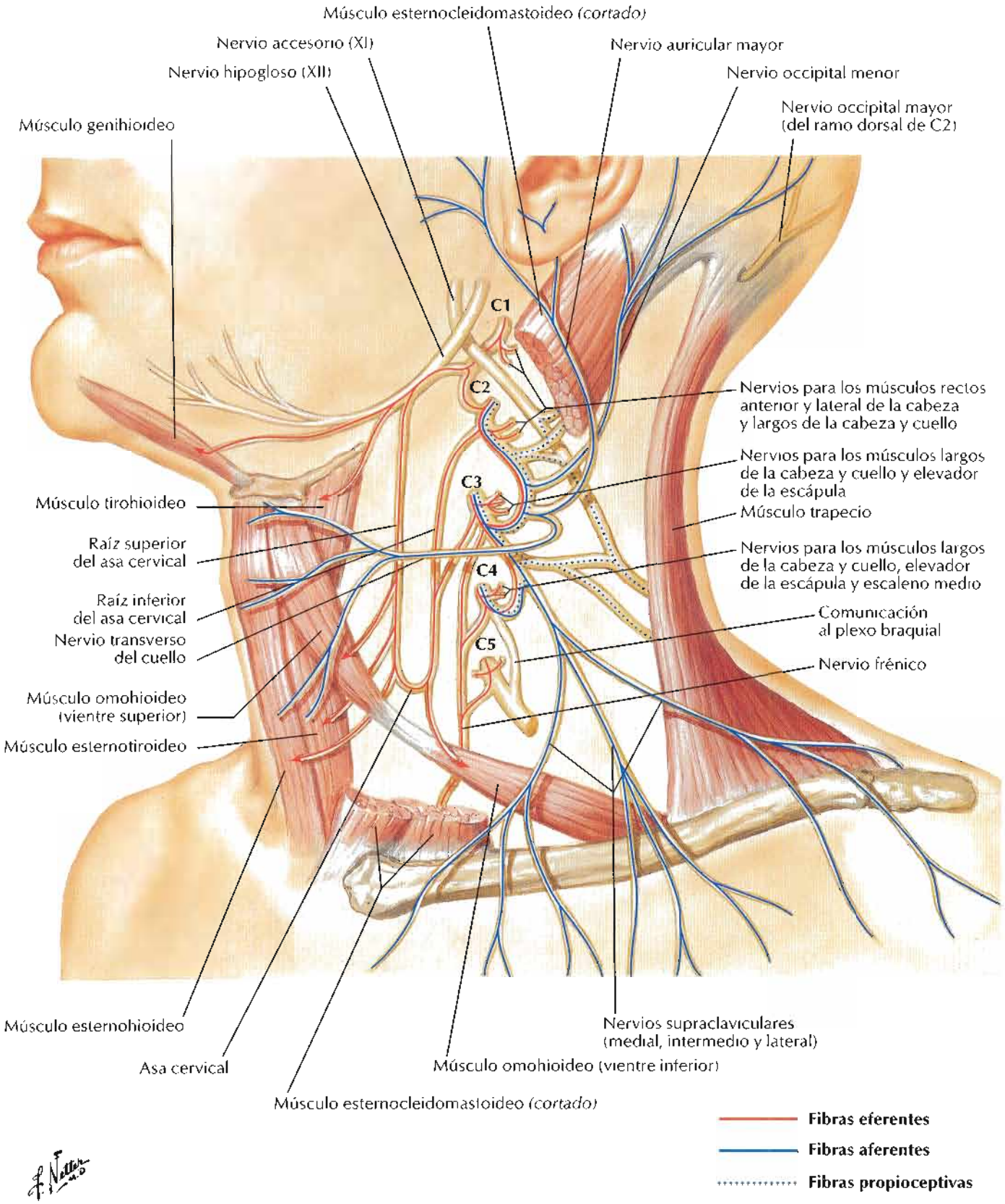
1 Nervio hipogloso (XII): esquema

Véase también **lámina 32**



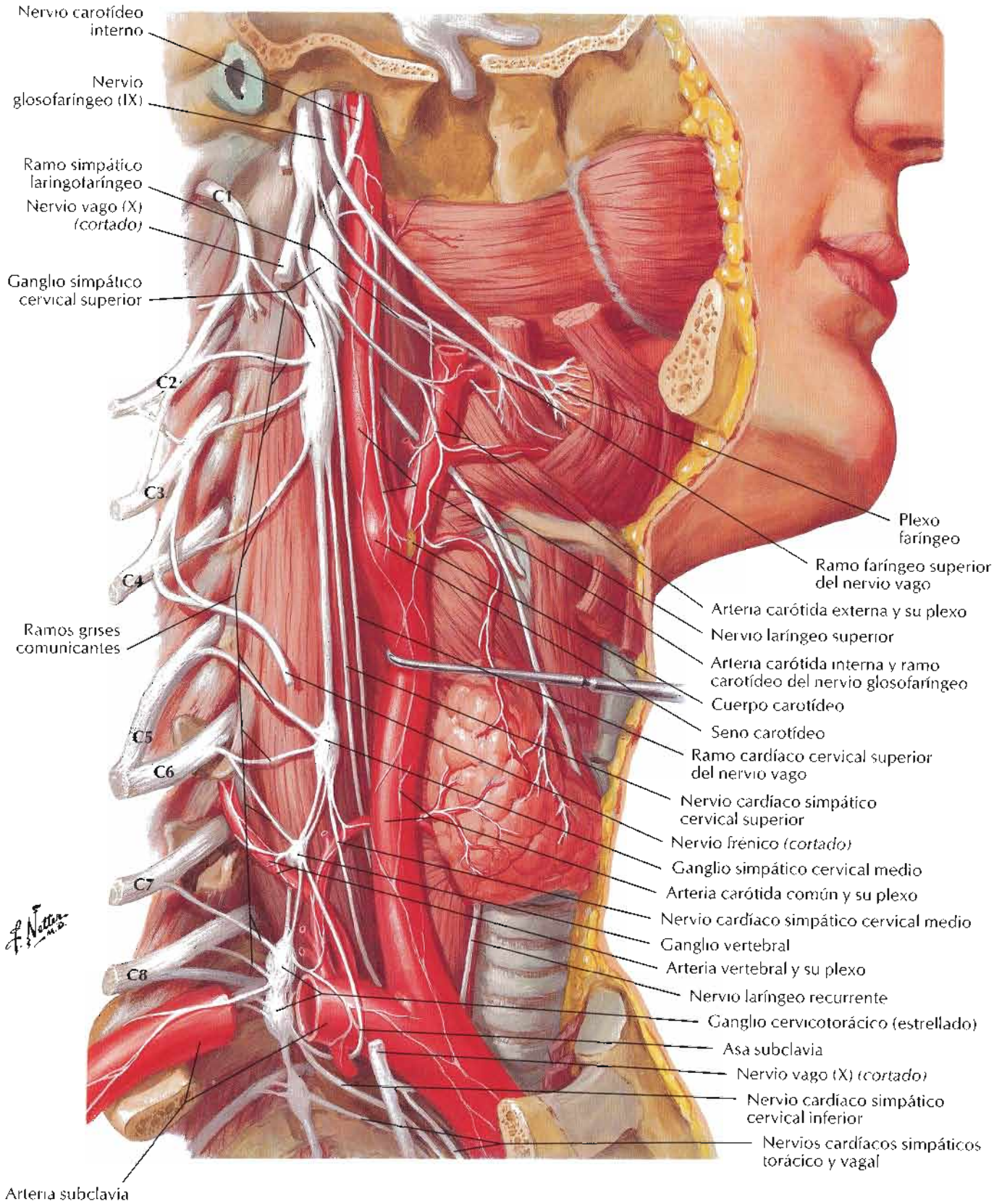
Plexo cervical: esquema

Véase también **lámina 32**

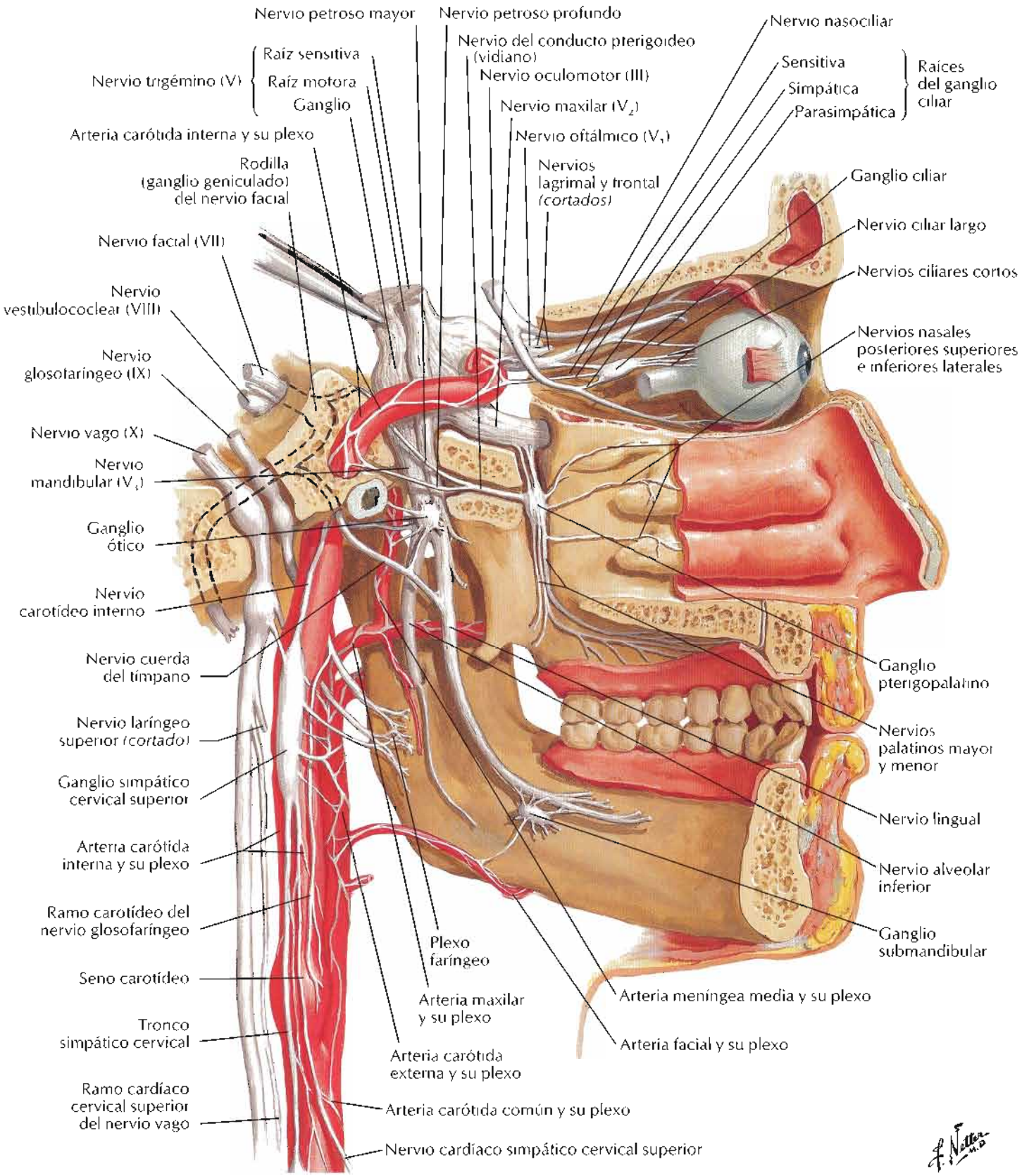


1 Nervios autónomos en el cuello

Véanse también **láminas 71, 125, 126, 165, 166, 209, 226, 240, 318**

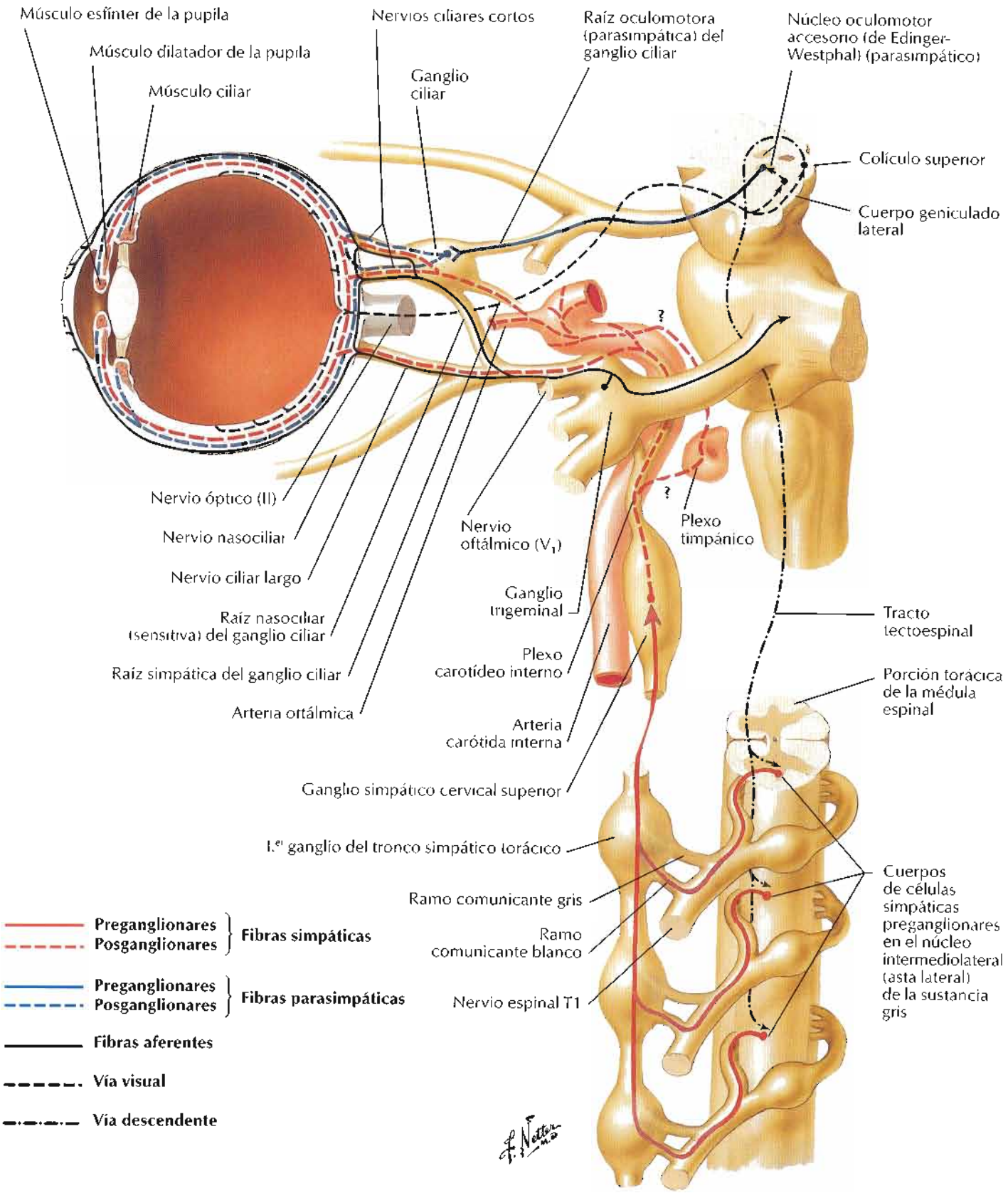


Véanse también **láminas 44-46, 86, 121, 132-134, 165, 166**



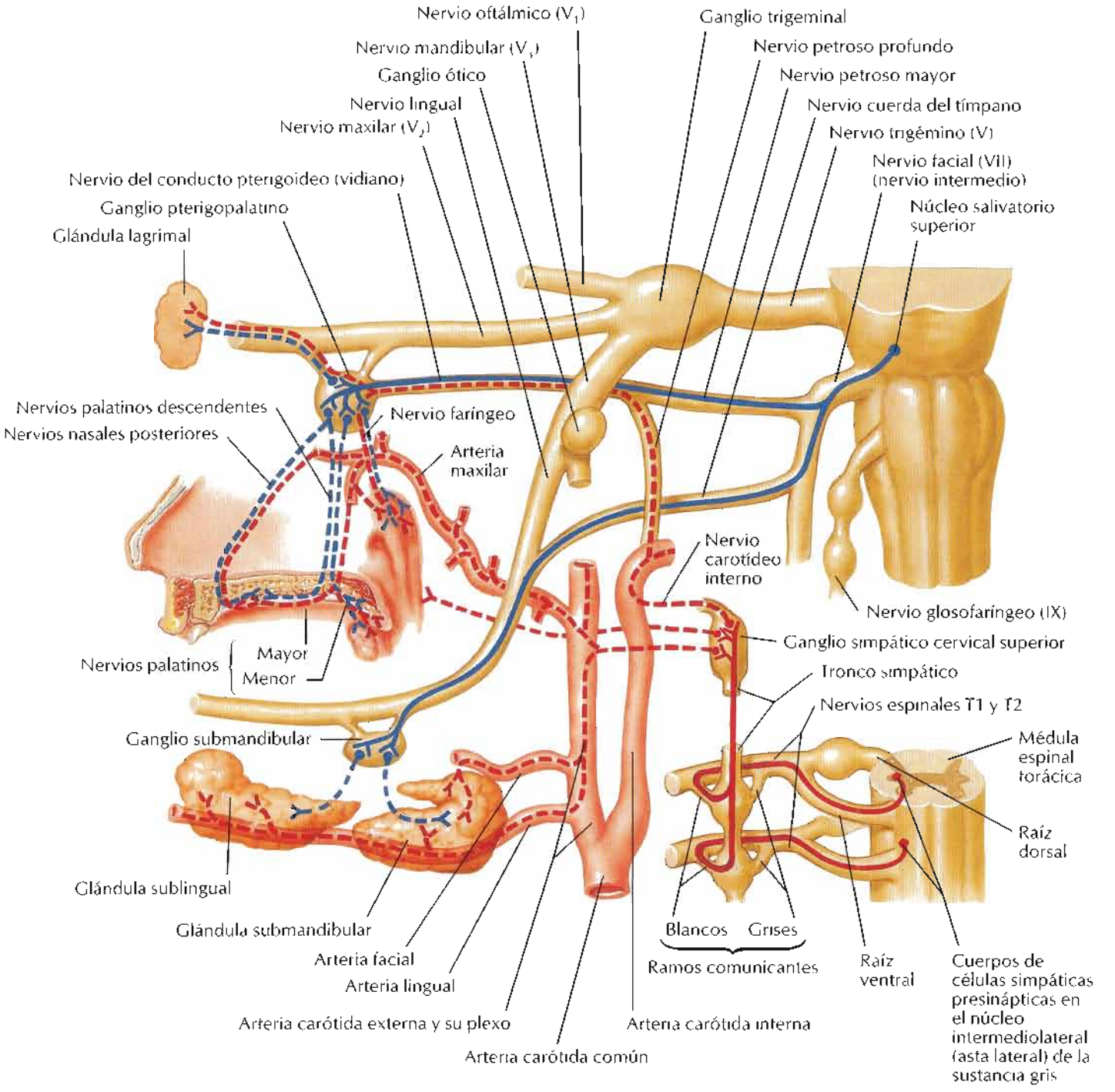
1 Ganglio ciliar: esquema

Véanse también **láminas 167, 168**



Ganglios pterigopalatino y submandibular: esquema

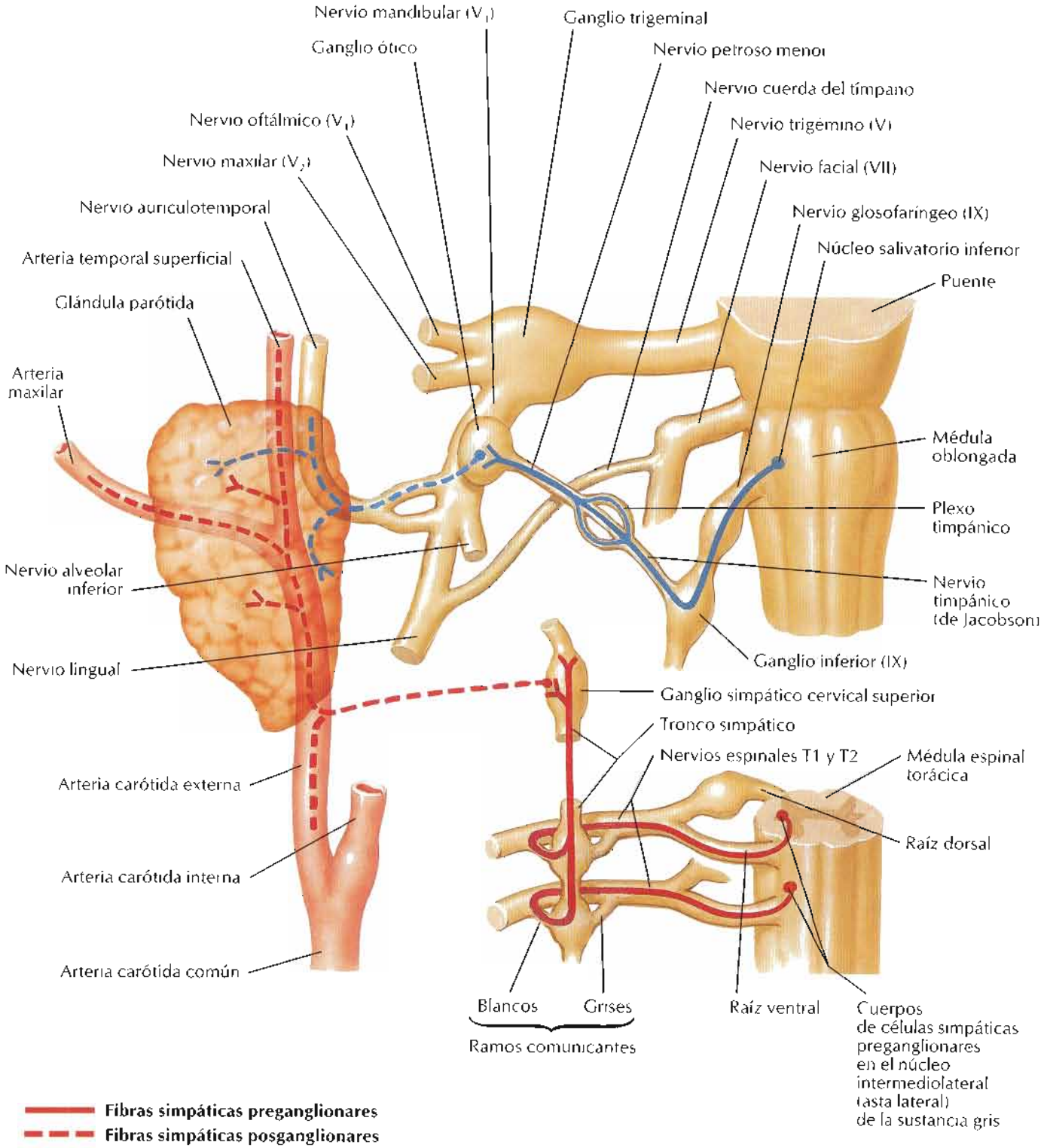
Véanse también **láminas 167, 168**



Fibras simpáticas preganglionares
Fibras simpáticas posganglionares
Fibras parasimpáticas preganglionares
Fibras parasimpáticas posganglionares

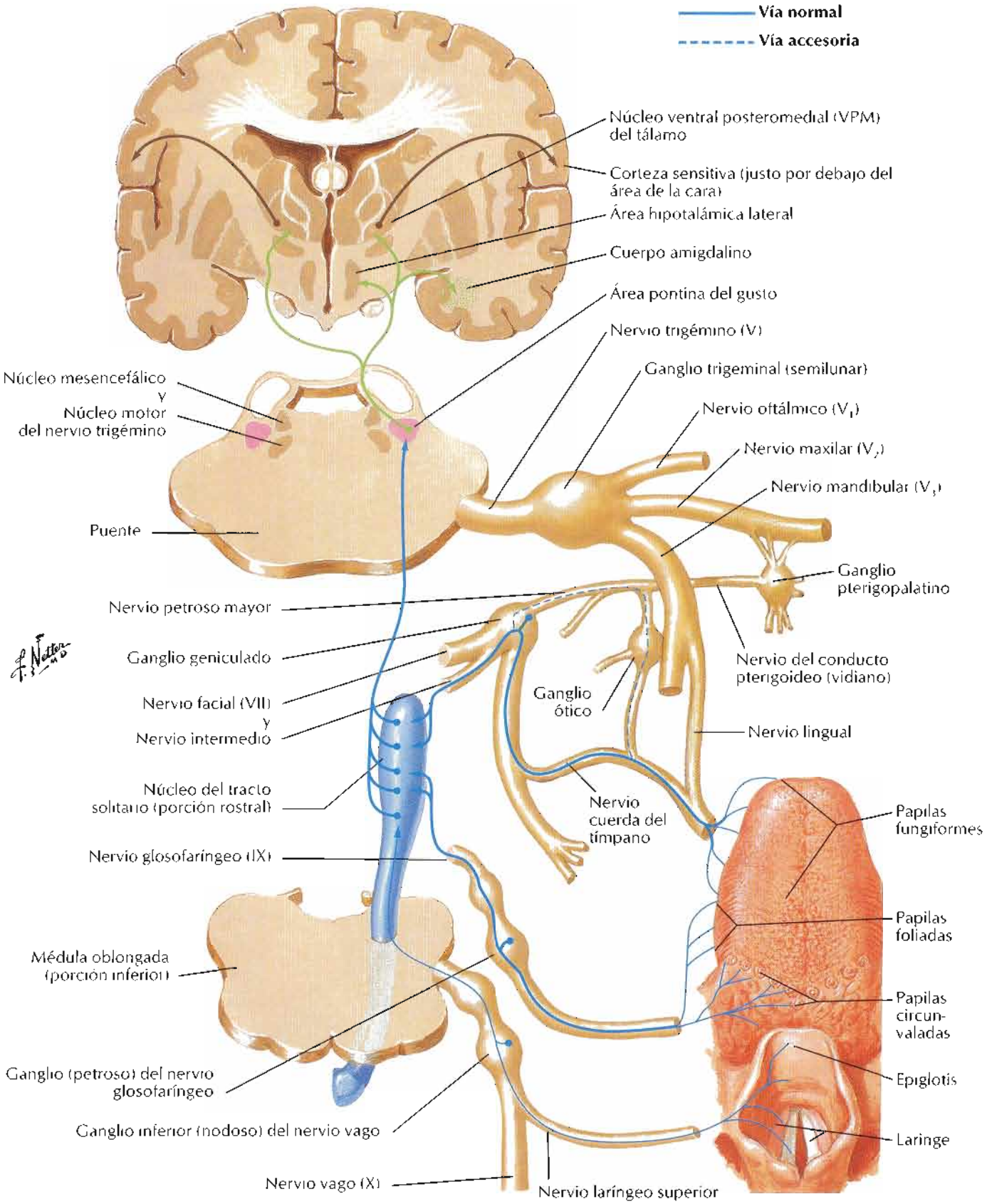
1 Ganglio ótico: esquema

Véanse también **láminas 167, 168**



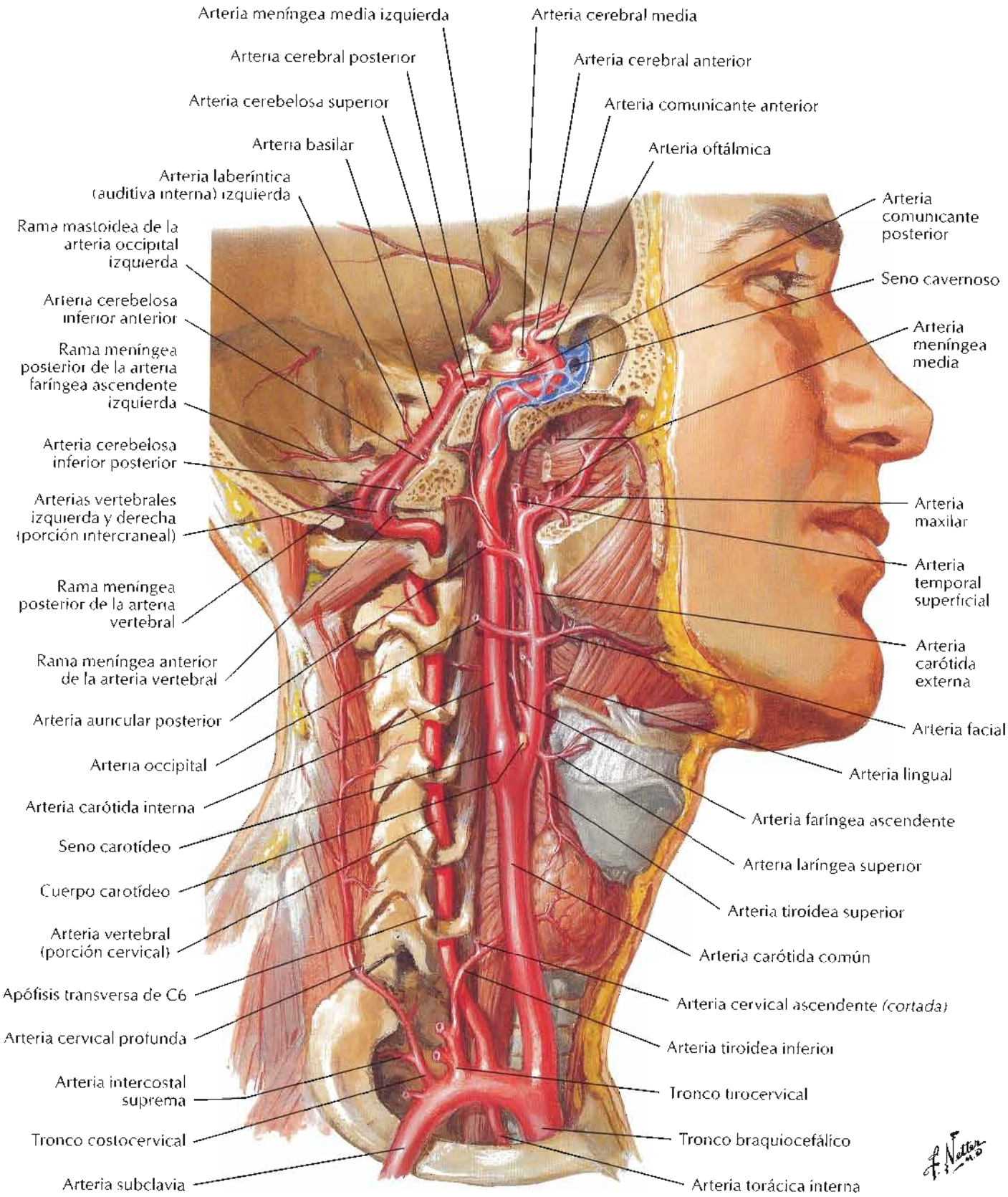
Vías gustativas: esquema

Véanse también **láminas 46, 94, 123, 125, 126**



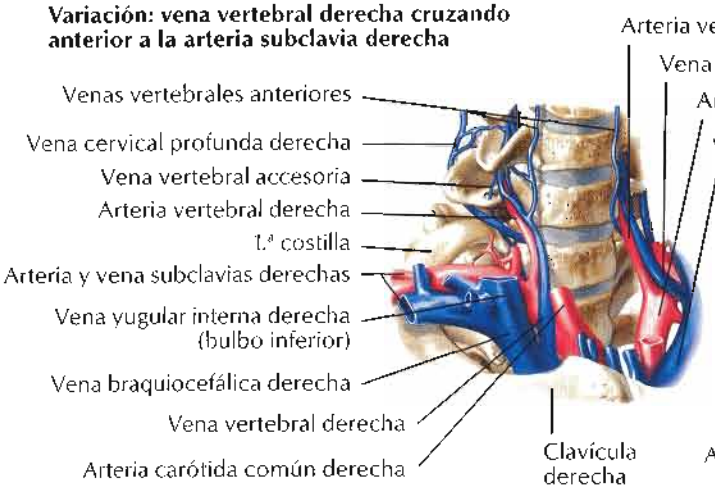
1 Arterias del encéfalo y meninges

Véanse también **láminas 33, 34**

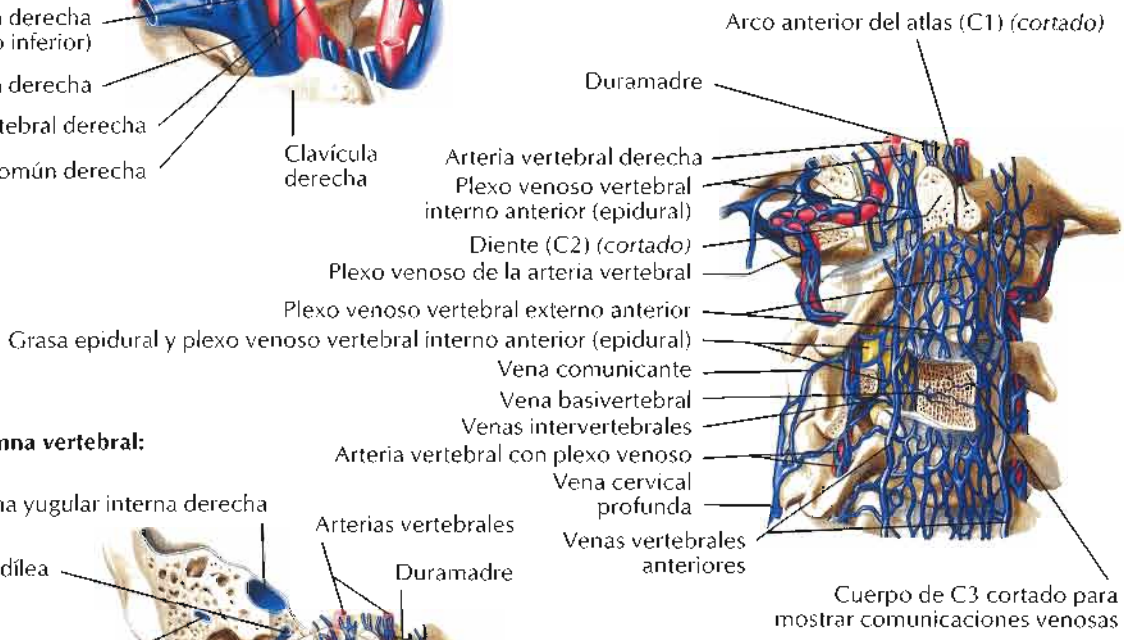


Venas de la columna vertebral: venas vertebrales

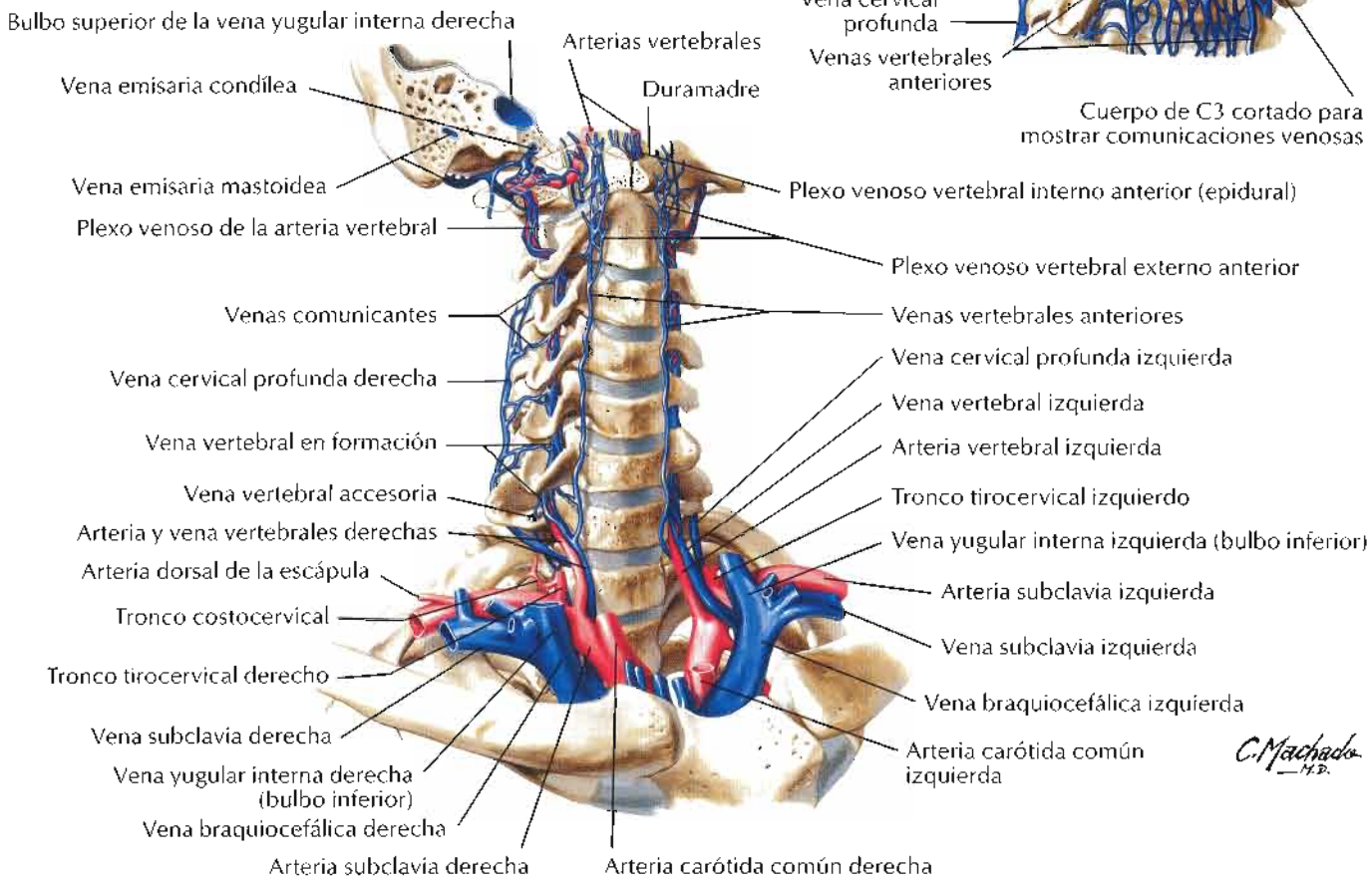
Variación: vena vertebral derecha cruzando anterior a la arteria subclavia derecha



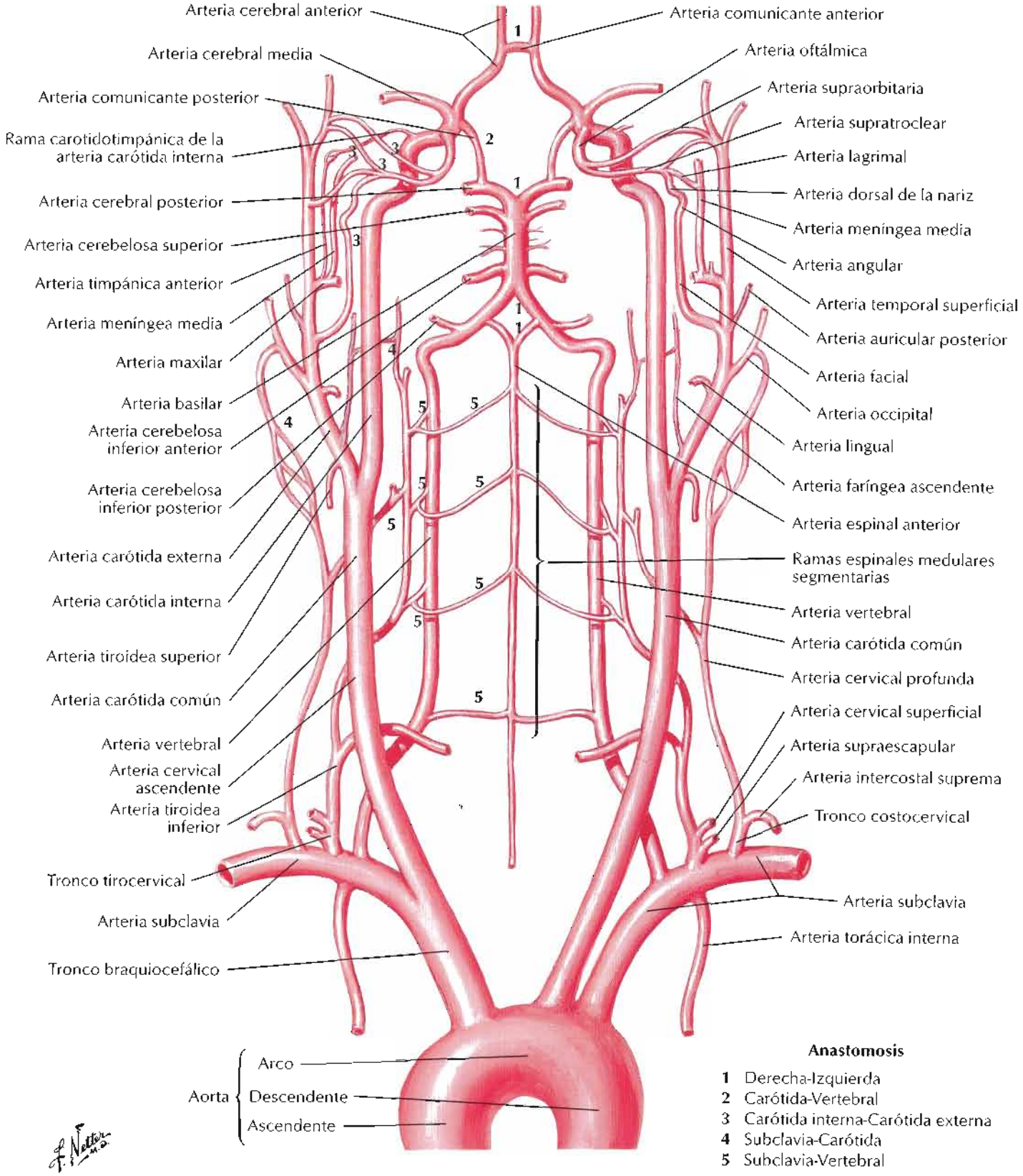
Venas vertebrales: detalle que muestra comunicaciones venosas

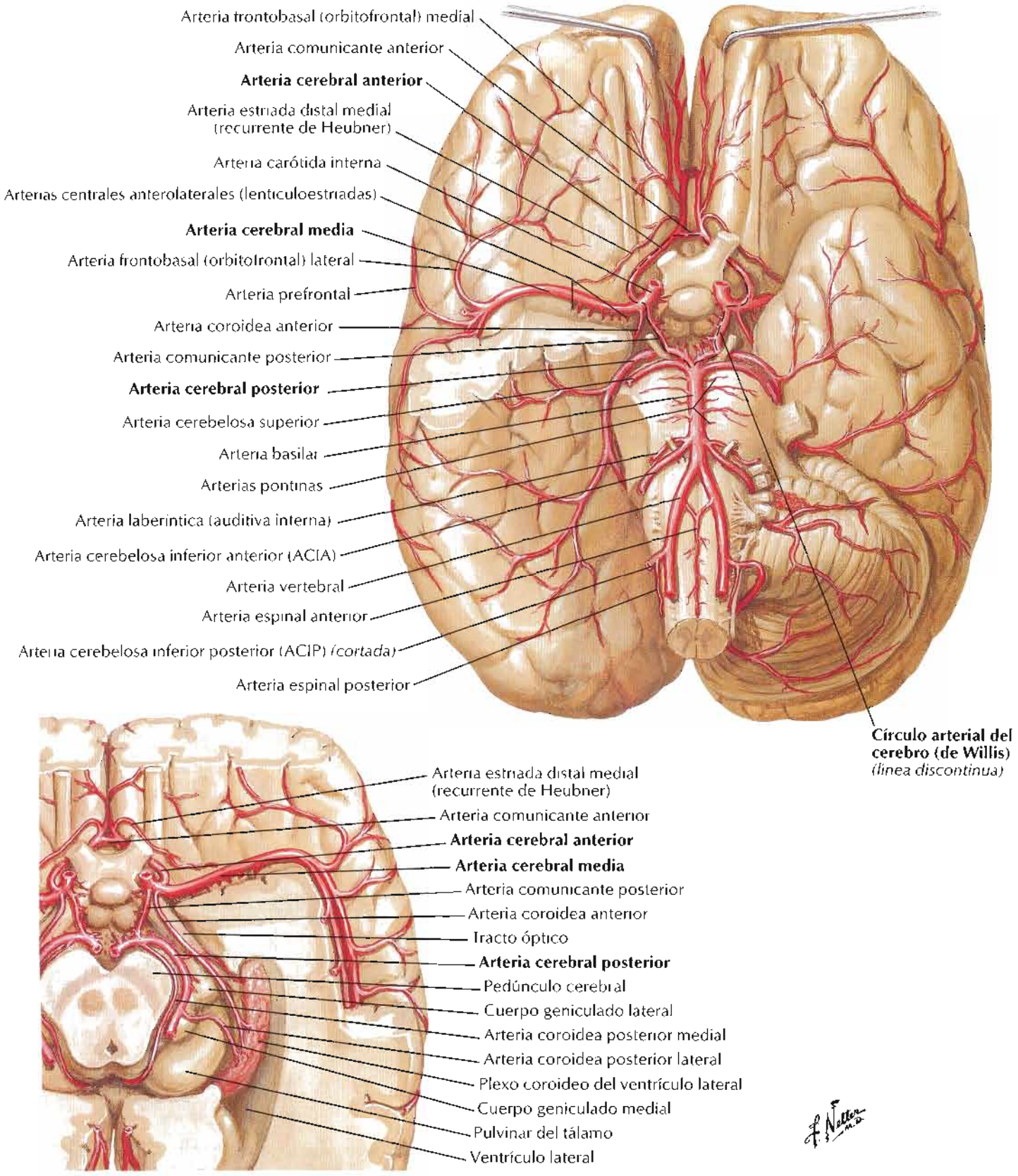


Venas de la columna vertebral: venas vertebrales



1 Arterias del encéfalo: esquema

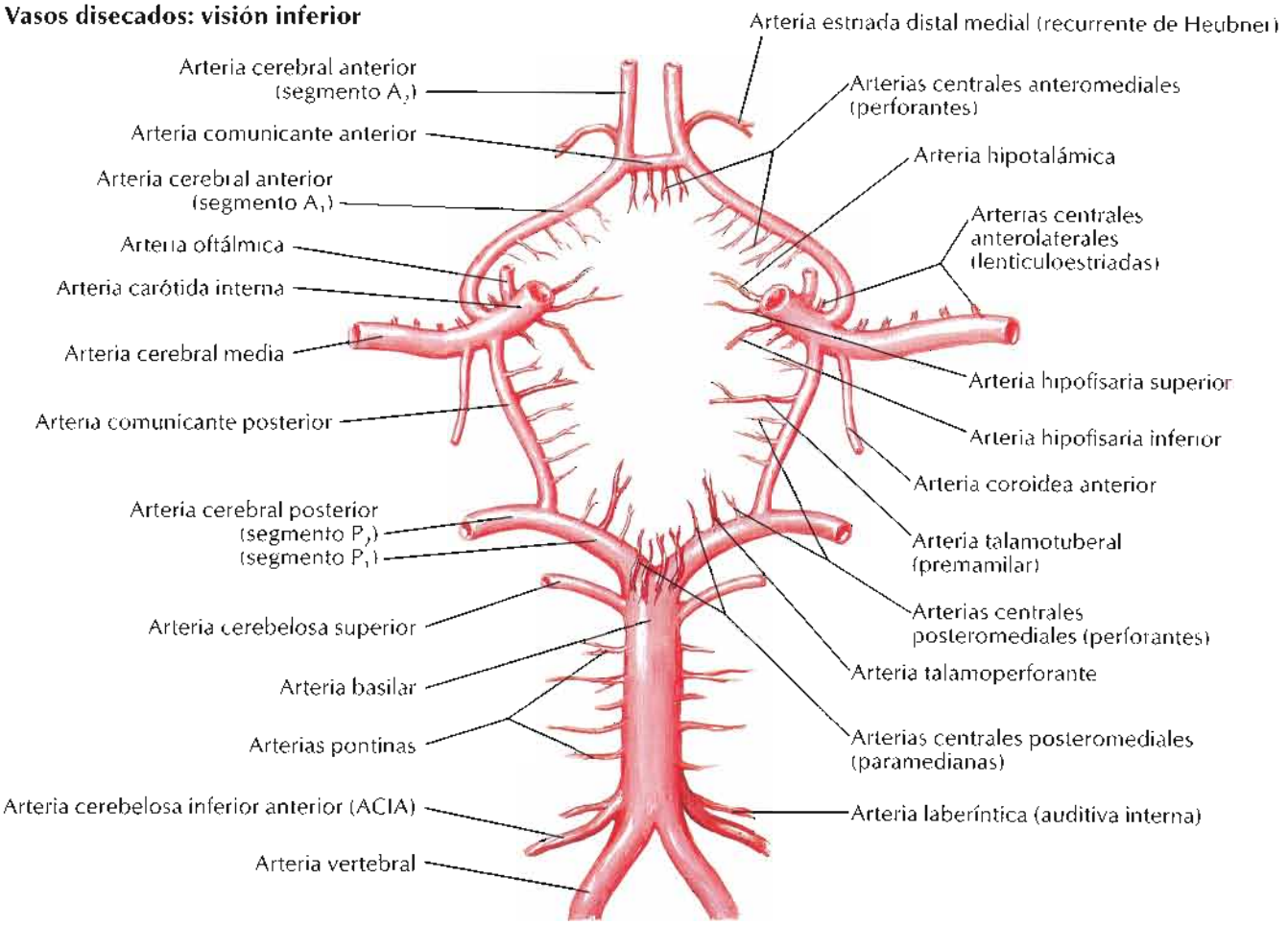



Arteria frontobasal (orbitofrontal) medial
Arteria comunicante anterior
Arteria cerebral anterior
Arteria estriada distal medial (recurrente de Heubner)
Arteria carótida interna
Arterias centrales anterolaterales (lenticuloestriadas)
Arteria cerebral media
Arteria frontobasal (orbitofrontal) lateral
Arteria prefrontal
Arteria coroidea anterior
Arteria comunicante posterior
Arteria cerebral posterior
Arteria cerebelosa superior
Arteria basilar
Arterias pontinas
Arteria laberíntica (auditiva interna)
Arteria cerebelosa inferior anterior (ACIA)
Arteria vertebral
Arteria espinal anterior
Arteria cerebelosa inferior posterior (ACIP) (cortada)
Arteria espinal posterior
Círculo arterial del cerebro (de Willis) (línea discontinua)
Arteria estriada distal medial (recurrente de Heubner)
Arteria comunicante anterior
Arteria cerebral anterior
Arteria cerebral media
Arteria comunicante posterior
Arteria coroidea anterior
Tracto óptico
Arteria cerebral posterior
Pedúnculo cerebral
Cuerpo geniculado lateral
Arteria coroidea posterior medial
Arteria coroidea posterior lateral
Plexo coroideo del ventrículo lateral
Cuerpo geniculado medial
Pulvinar del tálamo
Ventrículo lateral

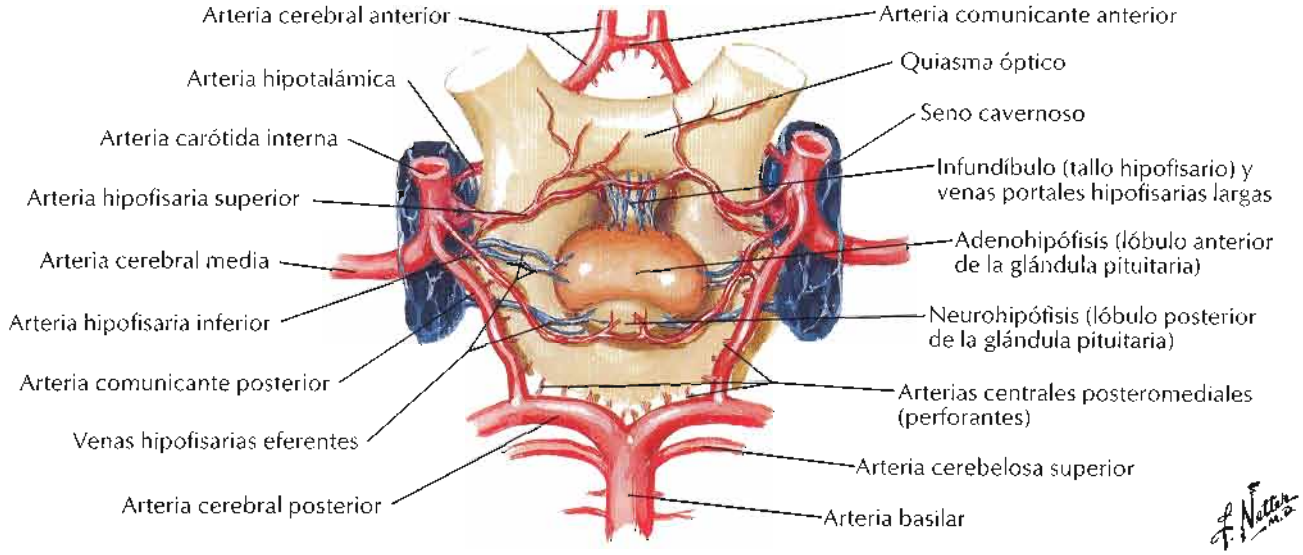
1 Círculo arterial del cerebro (de Willis)

Para las arterias hipofisarias véase **lámina 148**

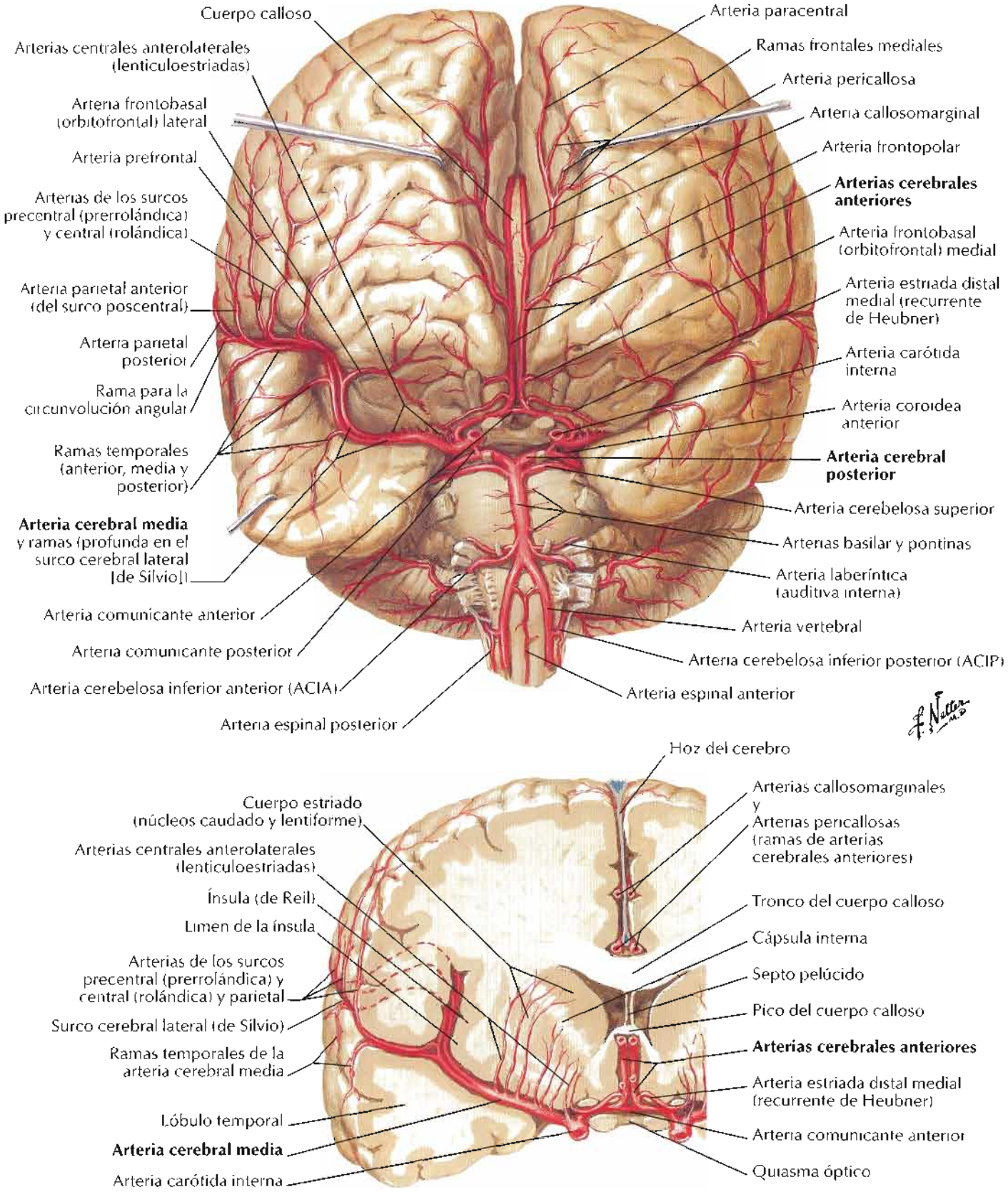
Vasos disecados: visión inferior



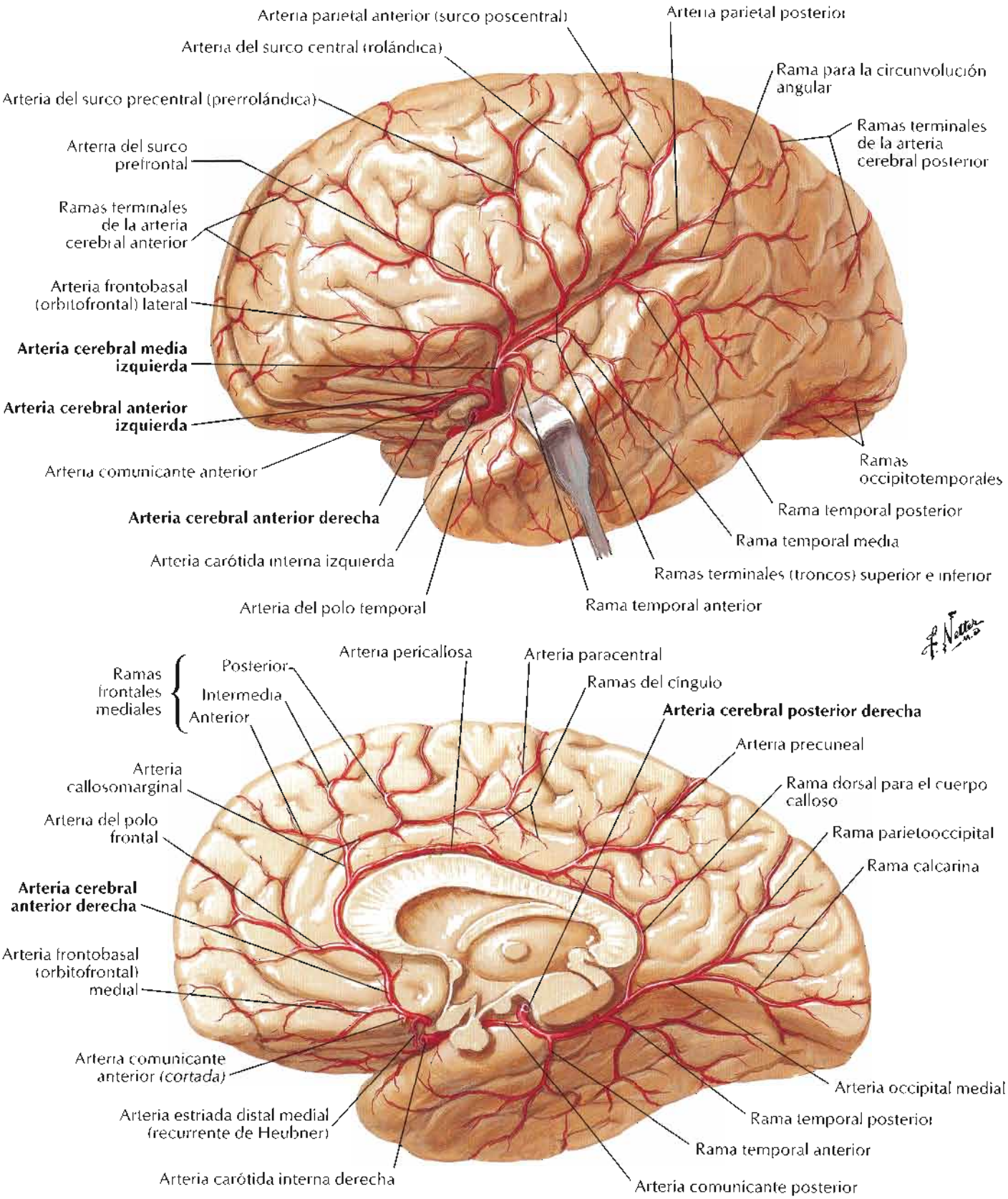
Vasos in situ: visión inferior



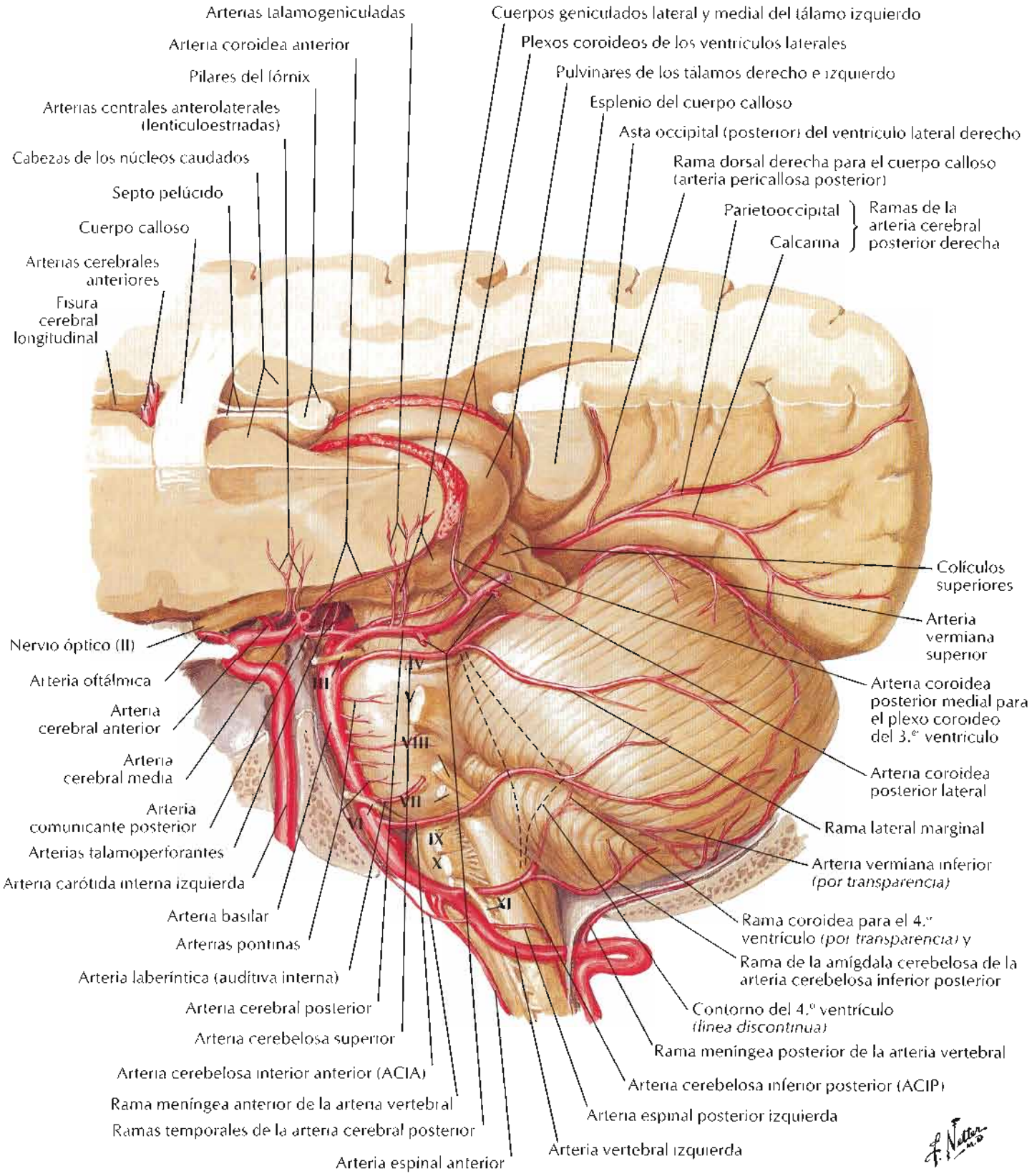
Arterias del encéfalo: visión y sección frontales



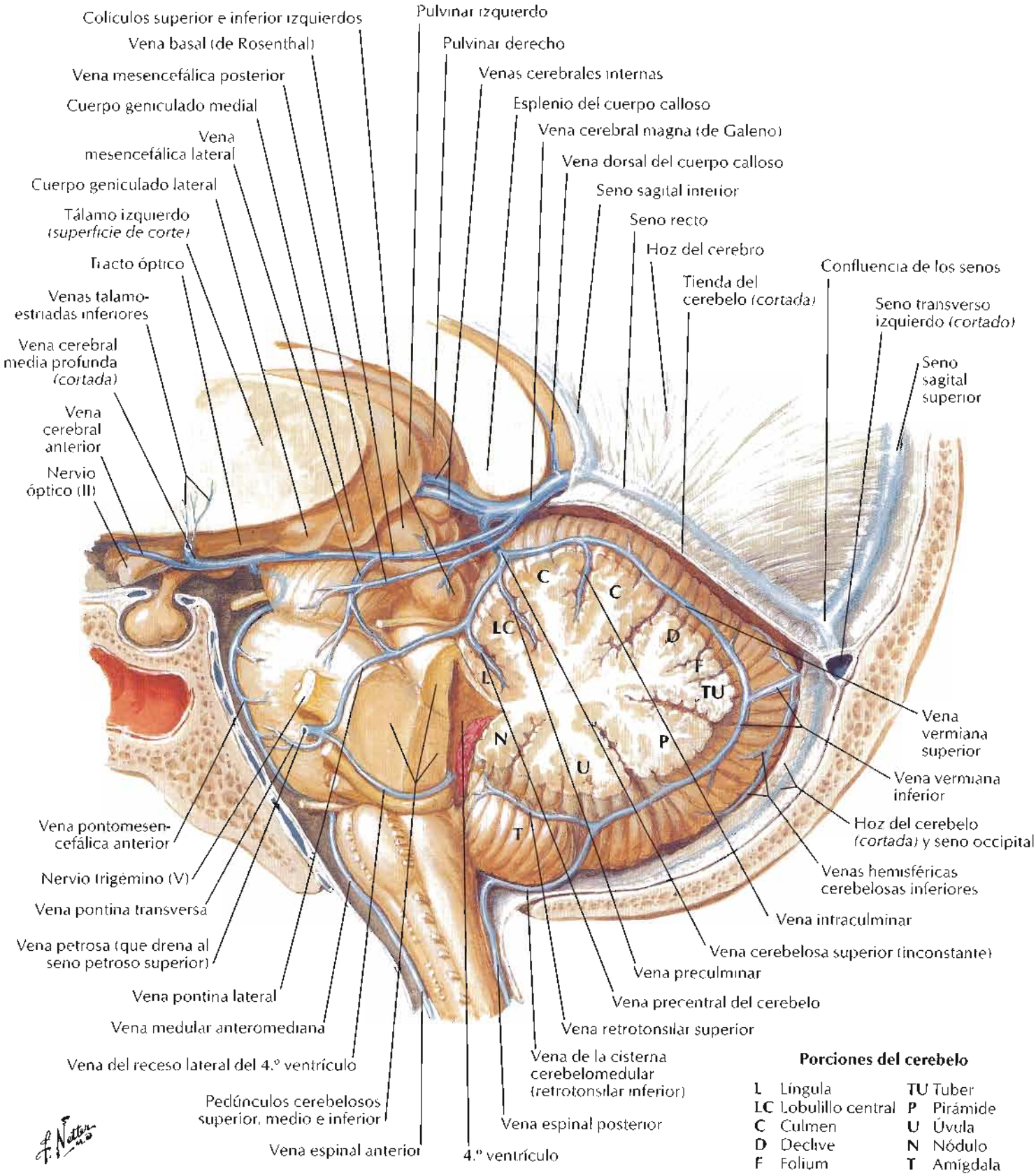
1 Arterias del encéfalo: visiones lateral y medial



Nota: la arteria parietal anterior (o del surco poscentral) también se halla como arteria parietal anterior y arteria del surco poscentral por separado

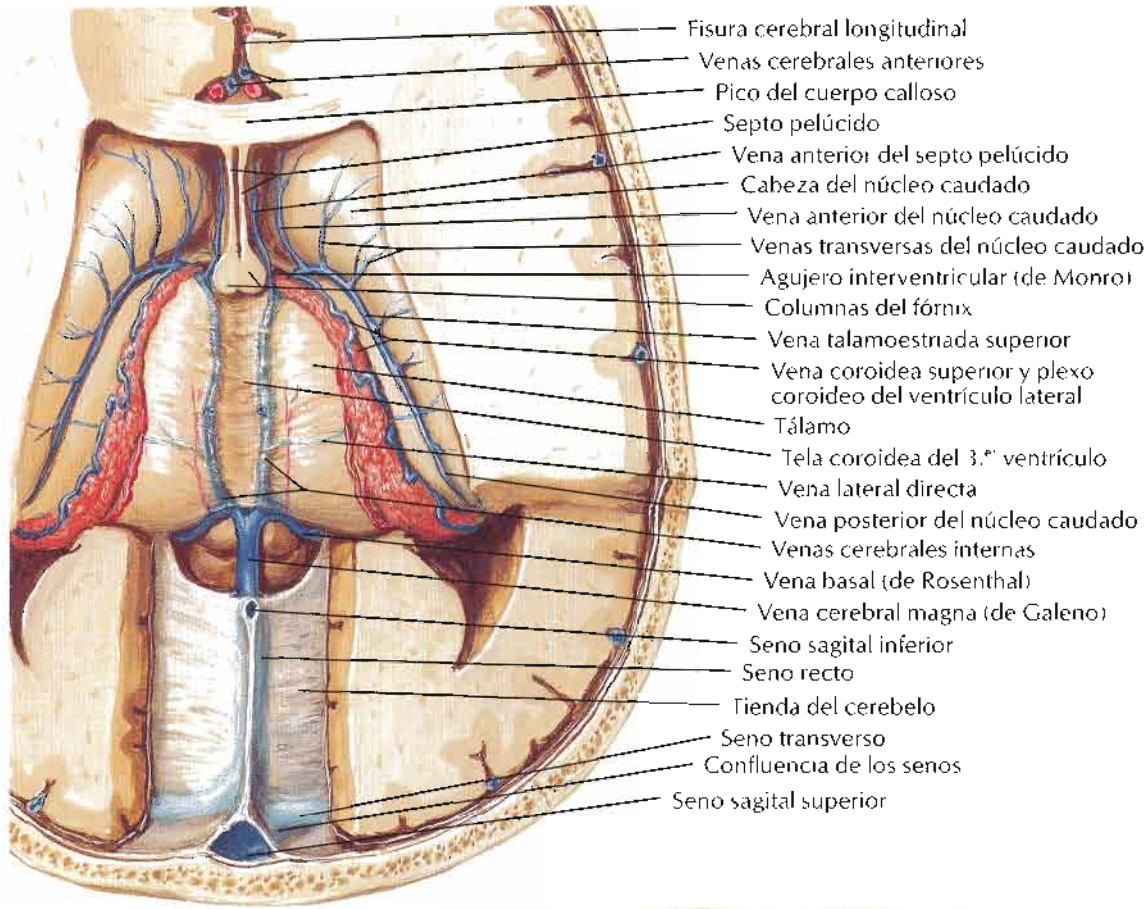

Arterias talamogeniculadas
Arteria coroidea anterior
Pilares del fórnix
Arterias centrales anterolaterales (lenticuloestriadas)
Cabezas de los núcleos caudados
Septo pelúcido
Cuerpo calloso
Arterias cerebrales anteriores
Fisura cerebral longitudinal
Cuerpos geniculados lateral y medial del tálamo izquierdo
Plexos coroideos de los ventrículos laterales
Pulvinares de los tálamos derecho e izquierdo
Esplenio del cuerpo calloso
Asta occipital (posterior) del ventrículo lateral derecho
Rama dorsal derecha para el cuerpo calloso (arteria pericallosa posterior)
Parietooccipital
Calcarina
Ramas de la arteria cerebral posterior derecha
Colículos superiores
Arteria vermiana superior
Arteria coroidea posterior medial para el plexo coroideo del 3.er ventrículo
Arteria coroidea posterior lateral
Rama lateral marginal
Arteria vermiana inferior (por transparencia)
Rama coroidea para el 4.º ventrículo (por transparencia) y
Rama de la amígdala cerebelosa de la arteria cerebelosa inferior posterior
Contorno del 4.º ventrículo (línea discontinua)
Rama meníngea posterior de la arteria vertebral
Arteria cerebelosa inferior posterior (ACIP)
Arteria espinal posterior izquierda
Arteria vertebral izquierda
Nervio óptico (II)
Arteria oftálmica
Arteria cerebral anterior
Arteria cerebral media
Arteria comunicante posterior
Arterias talamoperforantes
Arteria carótida interna izquierda
Arteria basilar
Arterias pontinas
Arteria laberíntica (auditiva interna)
Arteria cerebral posterior
Arteria cerebelosa superior
Arteria cerebelosa inferior anterior (ACIA)
Rama meníngea anterior de la arteria vertebral
Ramas temporales de la arteria cerebral posterior
Arteria espinal anterior
II
III
IV
V
VI
VII
VIII
IX
X
XI

1 Venas de la fosa craneal posterior

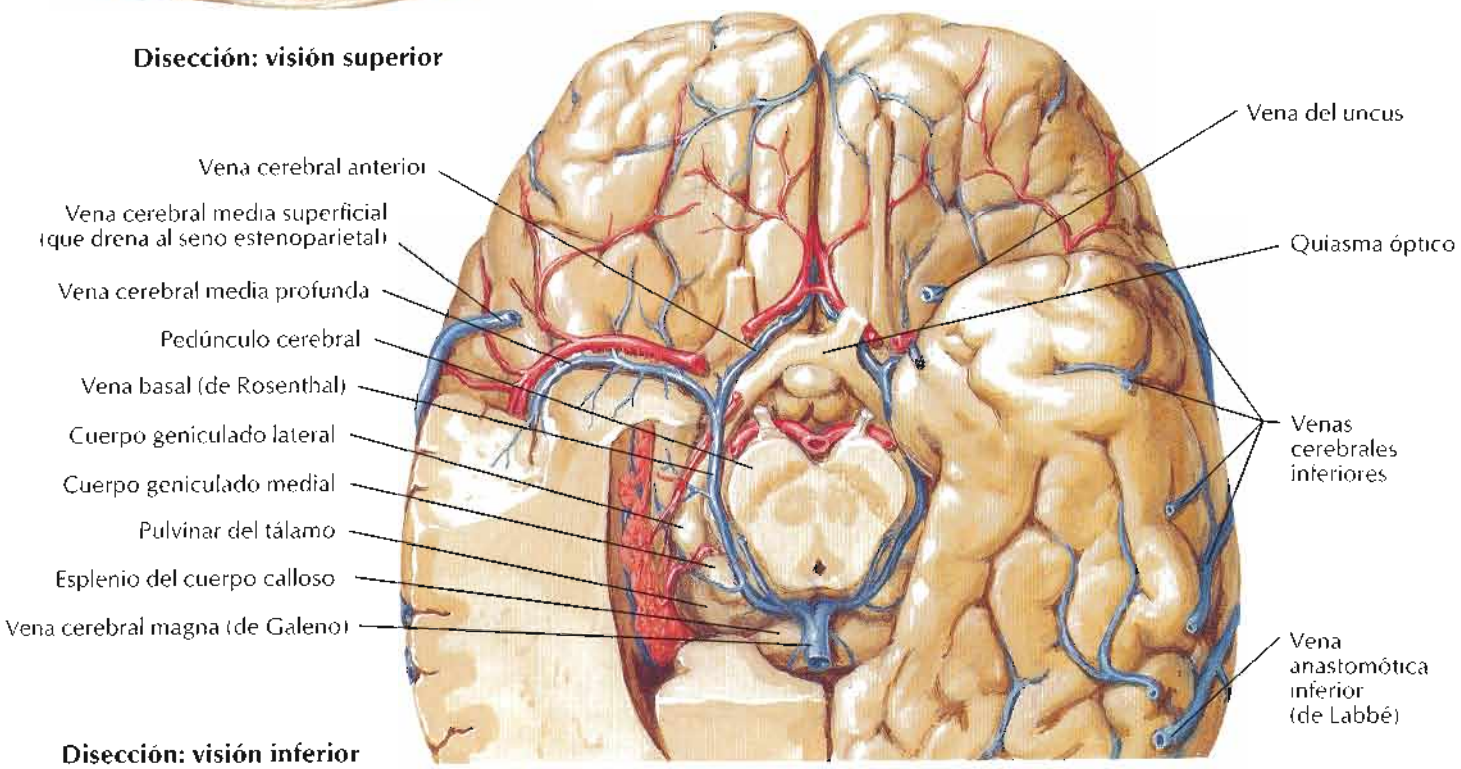


Venas profundas del encéfalo

Para las venas superficiales del encéfalo véase **lámina 102**

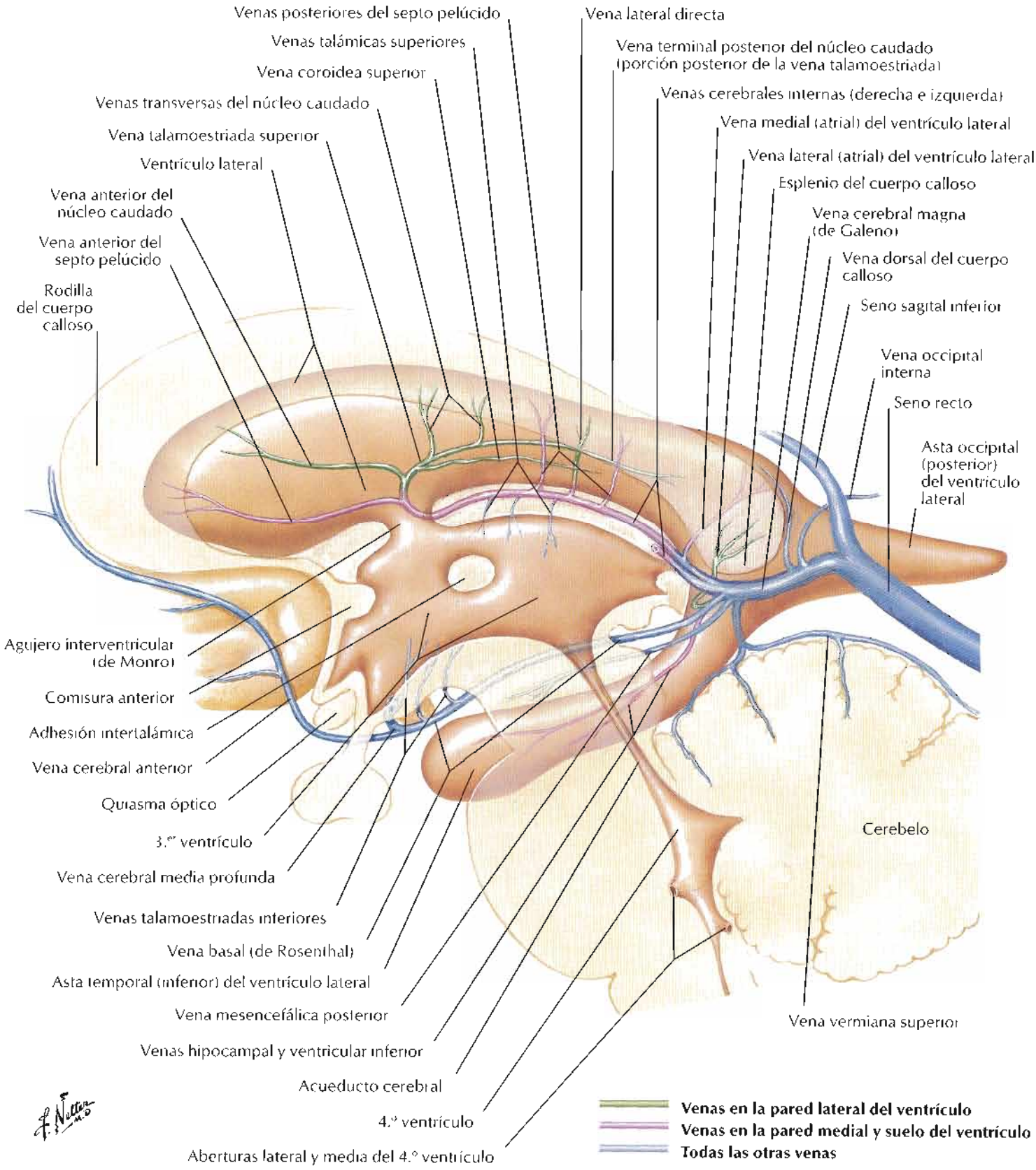


Disección: visión superior

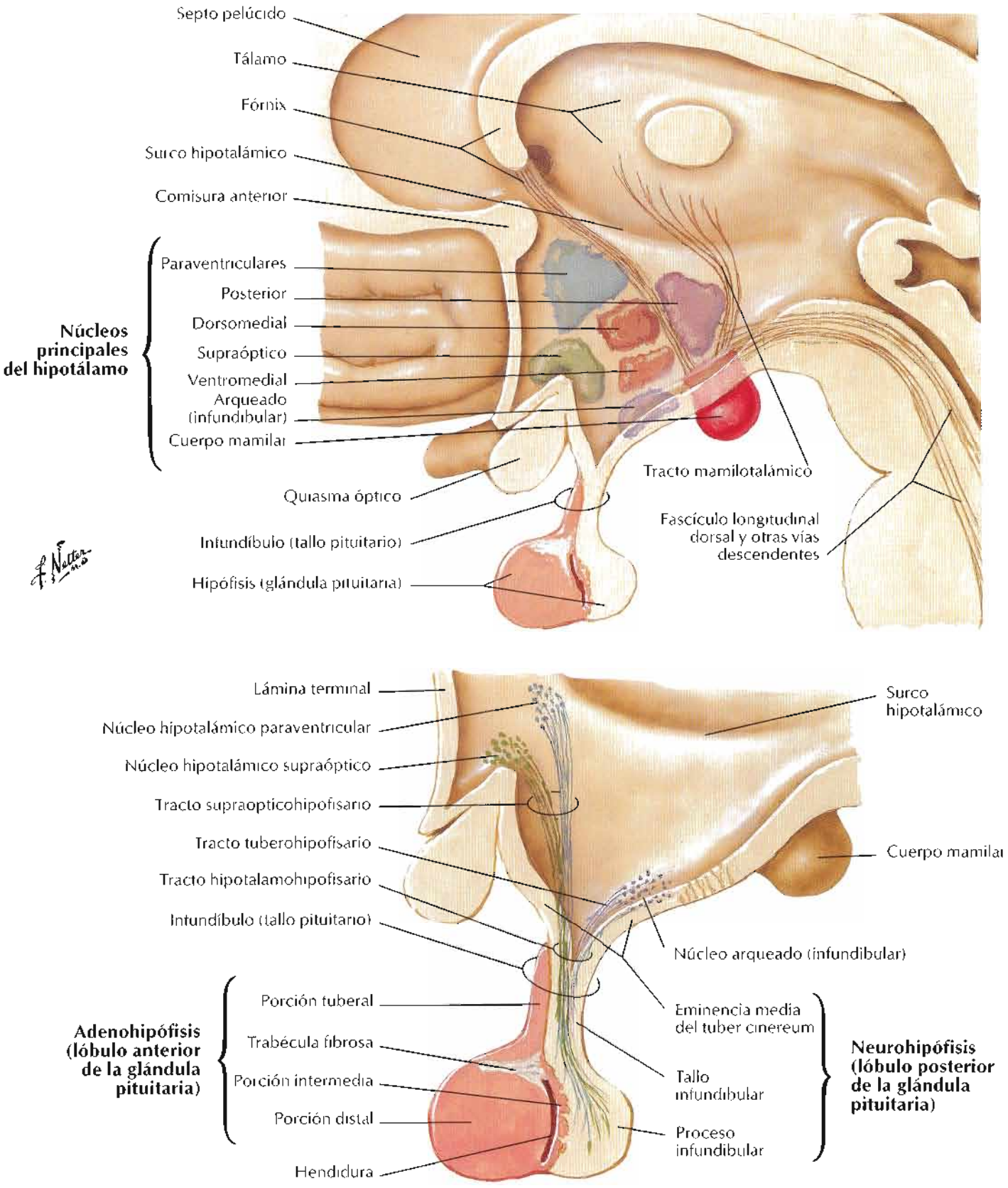


Disección: visión inferior

1 Venas subependimarias del encéfalo

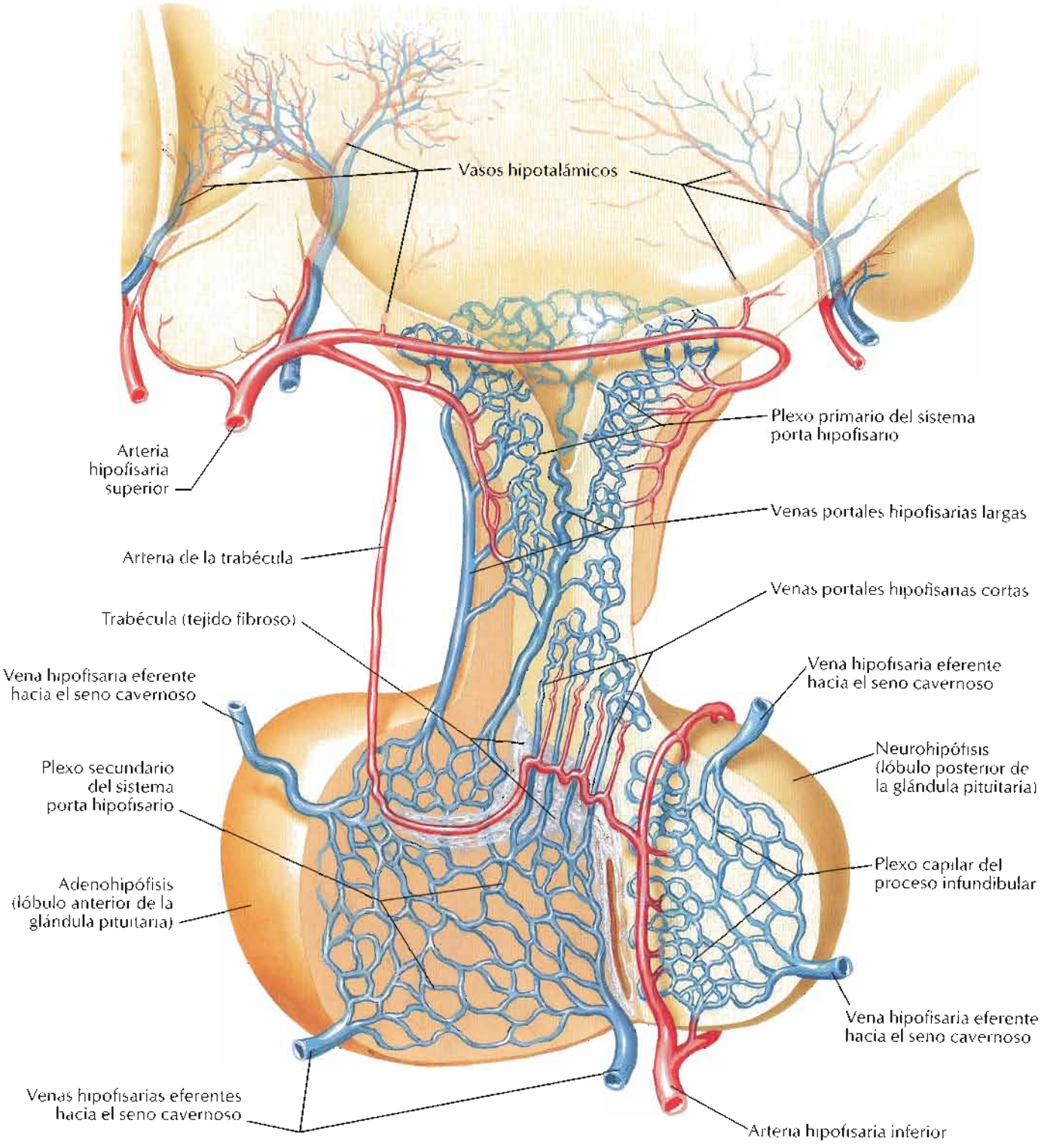


Véanse también **láminas 106, 107**



1 Arterias y venas de hipotálamo e hipófisis

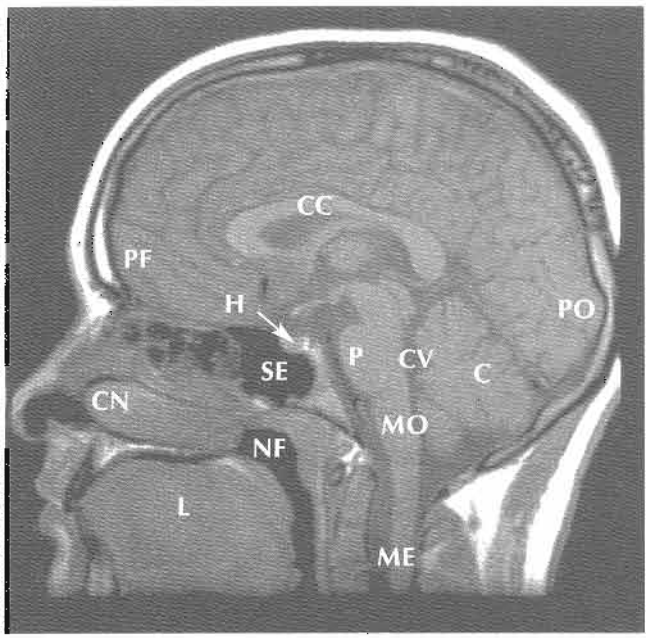
Véase también **lámina 140**



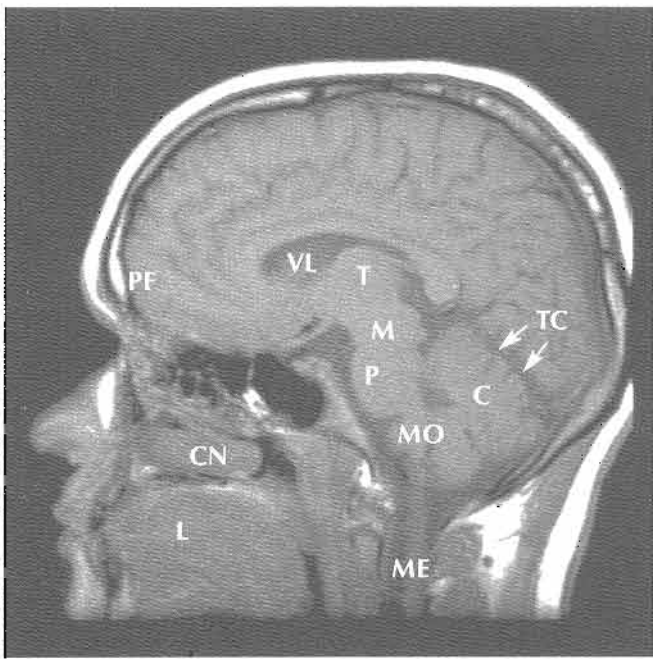
Véase también **lámina 106**

Imágenes sagital media (A) y parasagitales (B,C) de RM

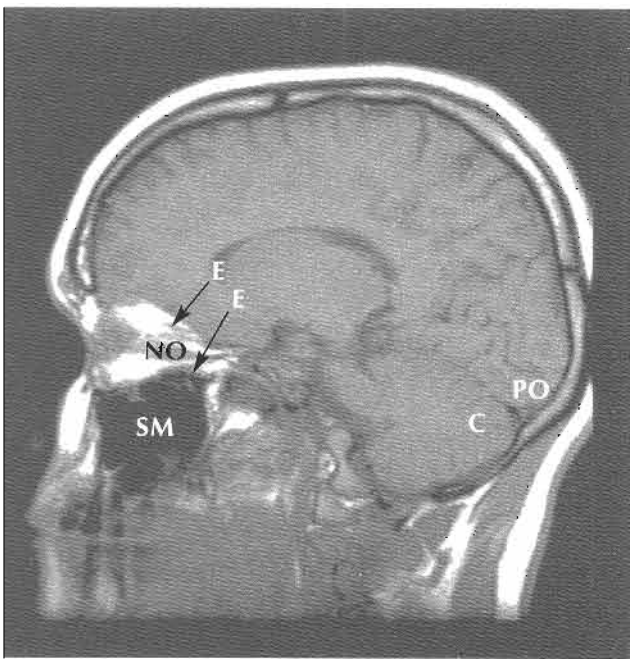
A



C	Cerebelo
CC	Cuerpo calloso
CN	Concha nasal inferior
CV	Cuarto ventrículo
E	Músculos extraoculares
H	Hipófisis
L	Lengua
M	Mesencéfalo
ME	Médula espinal
MO	Médula oblongada
NF	Nasofaringe
NO	Nervio óptico
P	Puente
PF	Polo frontal
PO	Polo occipital
SE	Seno esfenoidal
SM	Seno maxilar
T	Tálamo
TC	Tienda del cerebelo
VL	Ventrículo lateral



B



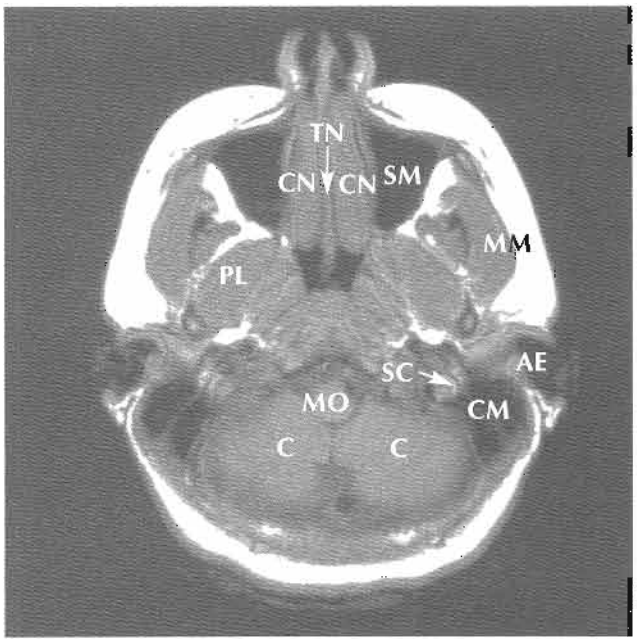
C

Exploración de la cabeza: imágenes axiales de TC

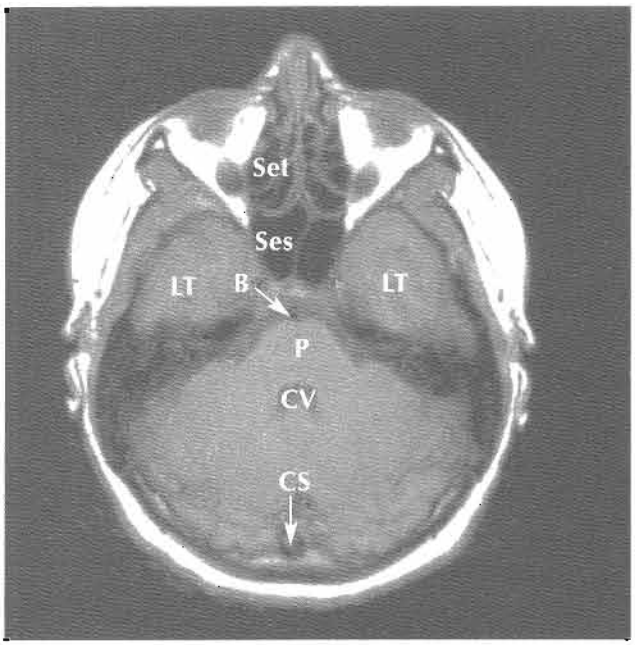
Véase también **lámina 47**

Imágenes axiales de TC de la cabeza de inferior (A) a superior (C)

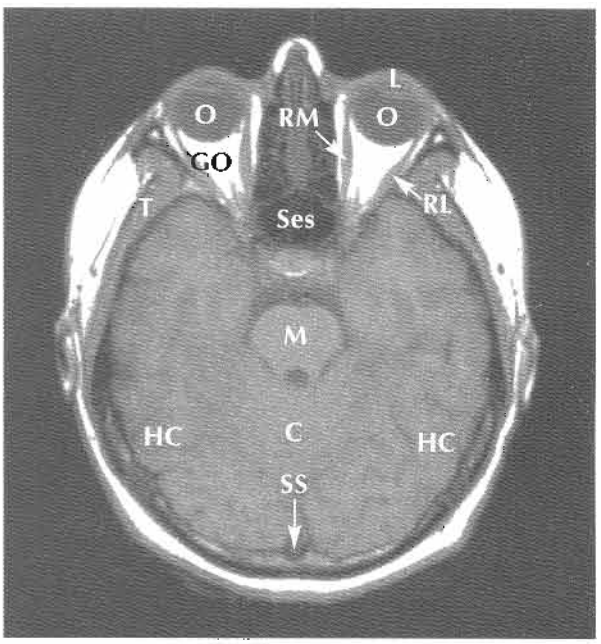
A



AE Conducto auditivo externo
B Arteria basilar
C Cerebelo
CM Celdas mastoideas
CN Concha nasal
CS Confluencia de los senos
CV Cuarto ventrículo
GO Grasa orbitaria
HC Hemisferio cerebral
L Lente
LT Lóbulo temporal
M Mesencéfalo
MM Músculo masetero
MO Médula oblongada
O Ojo
P Puente
PL Músculo pterigoideo lateral
RL Músculo recto lateral
RM Músculo recto medial
SC Conductos semicirculares
Ses Seno esfenoidal
Set Seno etmoidal
SM Seno maxilar
SS Seno sagital superior
T Músculo temporal
TN Tabique nasal



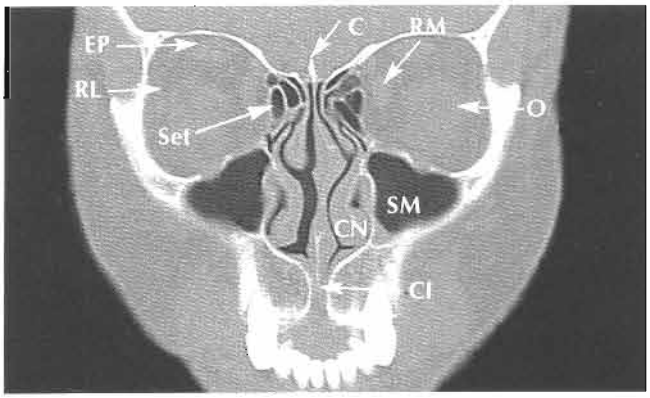
B



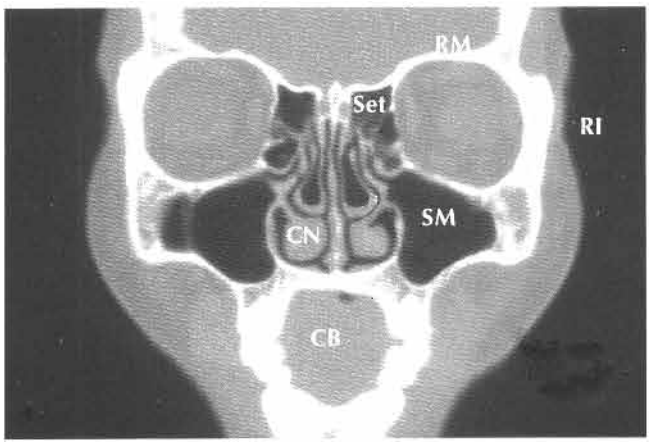
C

Imágenes coronales de TC de la cabeza de anterior (A) a posterior (C)

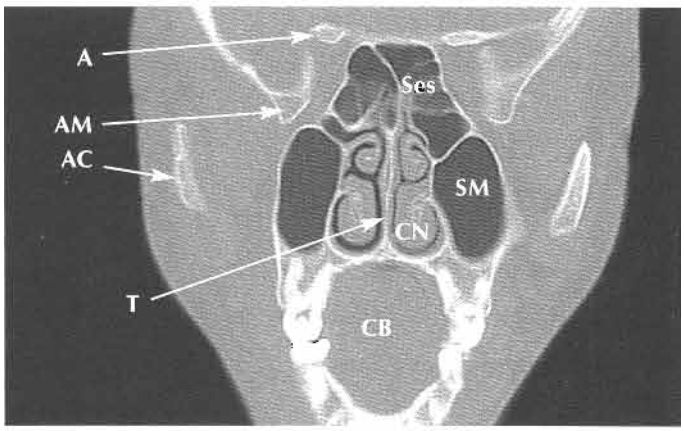
A



A Apófisis clinoides anterior
AC Arco cigomático
AM Ala mayor del esfenoides
C Crista galli
CB Cavidad bucal
CI Conducto incisivo
CN Concha nasal inferior
EP Músculos elevador del párpado superior y recto superior
O Ojo (cámara vítrea)
RI Músculo recto inferior
RL Músculo recto lateral
RM Músculo recto medial
Ses Seno esfenoidal
Set Seno etmoidal
SM Seno maxilar
T Tabique nasal

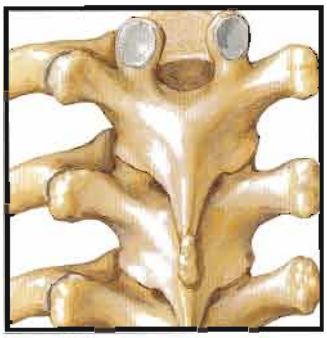
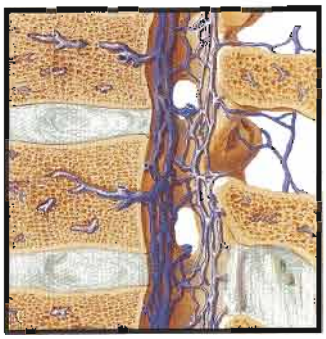
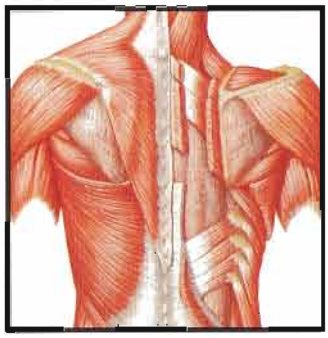


B



C

Sección 2 Dorso y médula espinal

Anatomía de superficie

Lámina 152

152 Dorso

Huesos y ligamentos

Láminas 153-159

153 Columna vertebral
154 Vértebras torácicas
155 Vértebras lumbares
156 Vértebras lumbares: radiografías
157 Sacro y cóccix
158 Ligamentos vertebrales: región lumbar
159 Ligamentos vertebrales: región lumbosacra

Médula espinal

Láminas 160–173

160 Médula espinal y ramos ventrales espinales in situ
161 Relación de las raíces de los nervios espinales con las vértebras
162 Hernia discal lumbar: manifestaciones clínicas
163 Punción lumbar y anestesia epidural
164 Dermatomas
165 Sistema nervioso simpático: topografía general
166 Sistema nervioso parasimpático: topografía general
167 Sistema nervioso simpático: esquema
168 Sistema nervioso parasimpático: esquema
169 Membranas y raíces nerviosas espinales
170 Origen del nervio espinal: secciones transversales
171 Arterias de la médula espinal: esquema

2 Dorso y médula espinal

172 Arterias de la médula espinal: distribución intrínseca

173 Venas de la médula espinal y columna vertebral

Músculos y nervios

Láminas 174–180

174 Músculos del dorso: planos superficiales

175 Músculos del dorso: planos intermedios

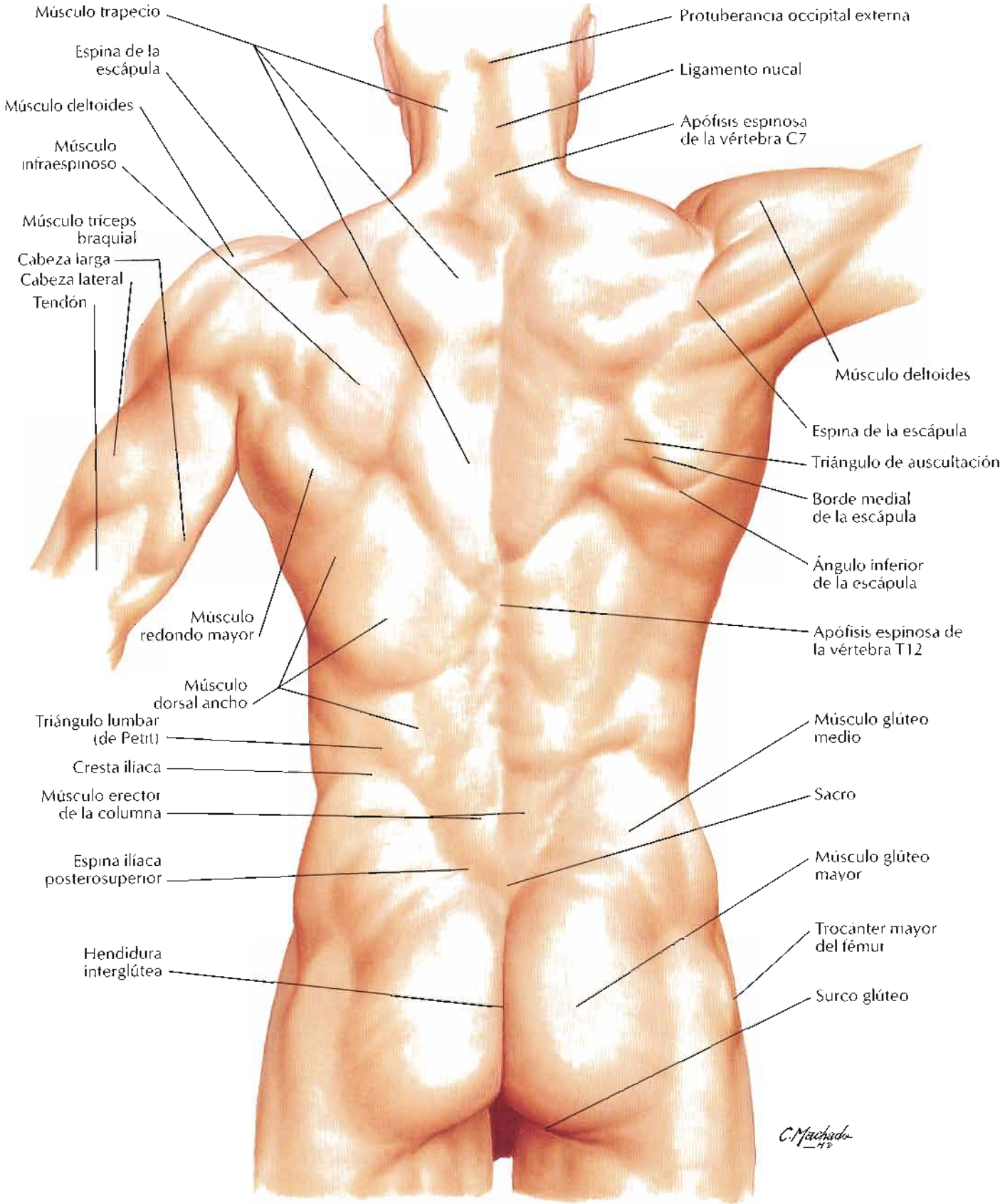
176 Músculos del dorso: planos profundos

177 Nervios del dorso

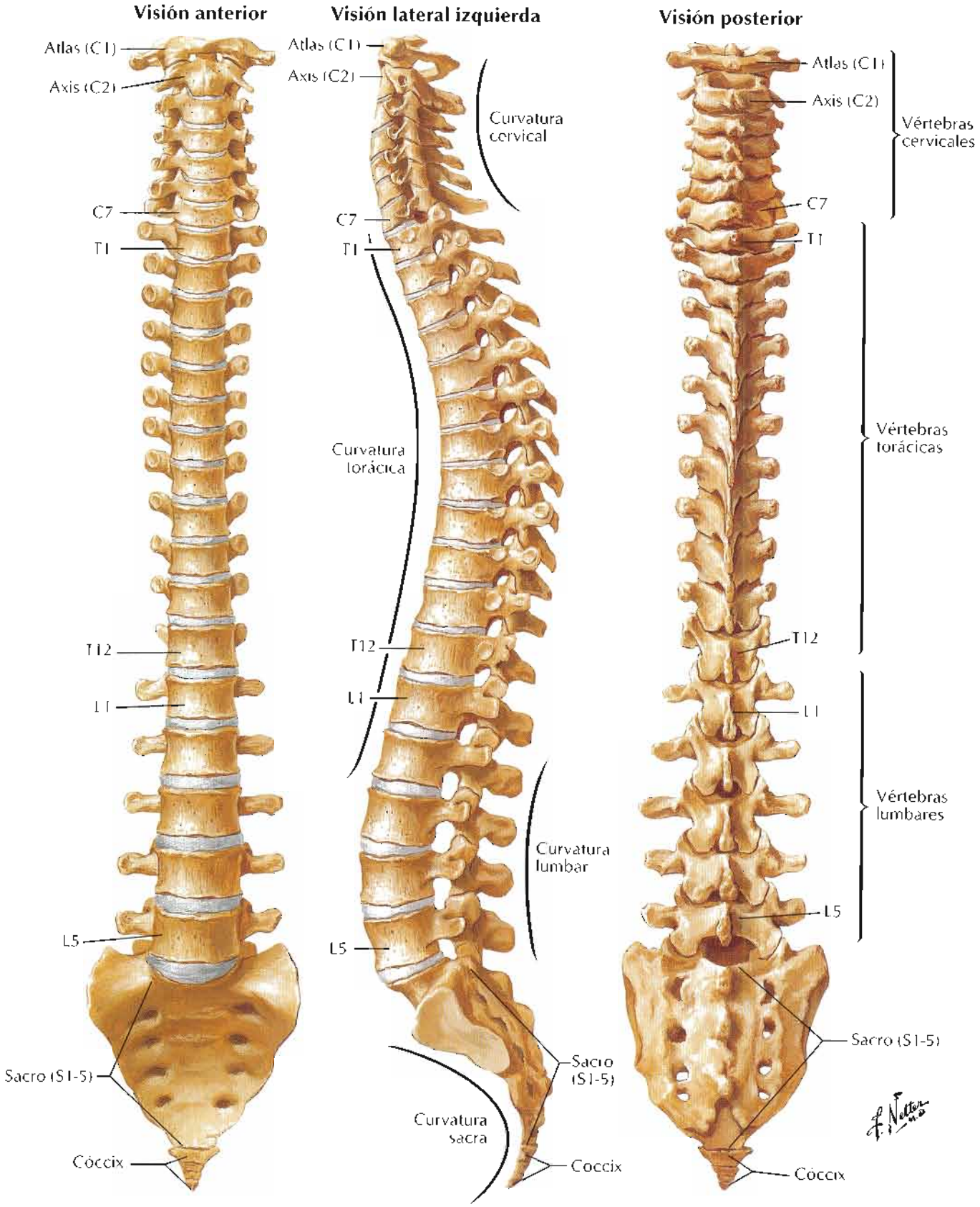
178 Triángulo suboccipital

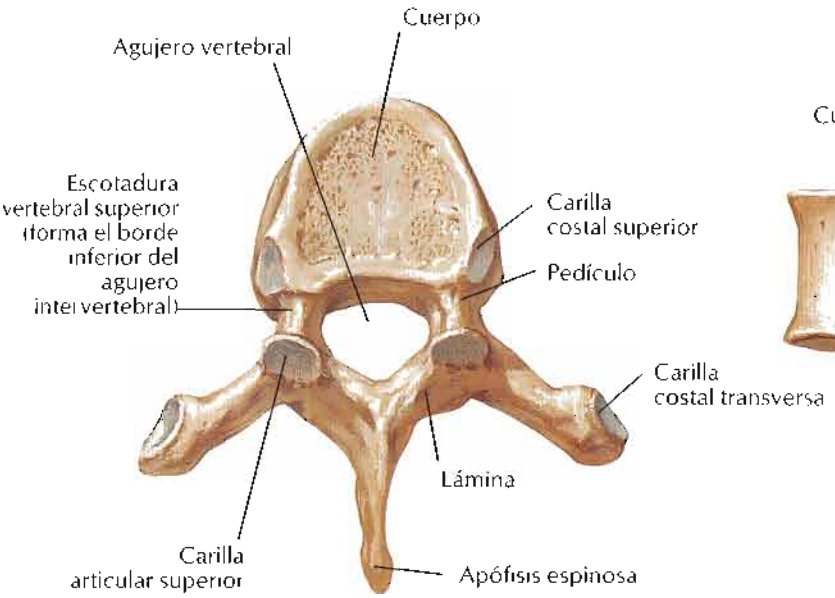
179 Región lumbar del dorso: sección transversal

180 Nervio espinal torácico típico

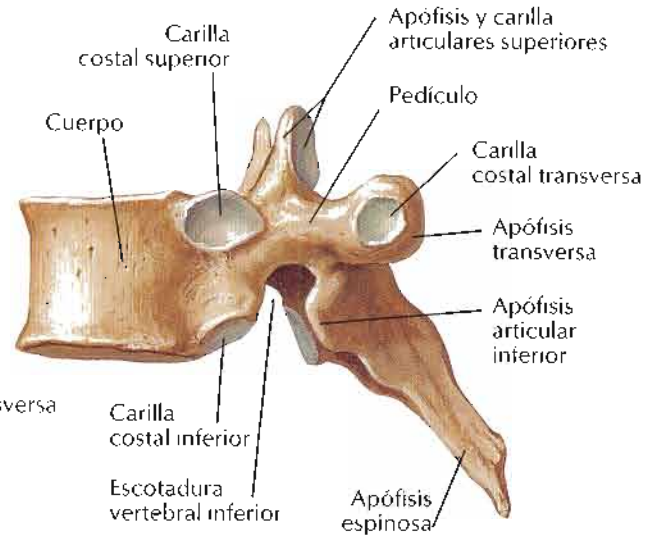

Músculo trapecio
Espina de la escápula
Músculo deltoides
Músculo infraespinoso
Músculo tríceps braquial
Cabeza larga
Cabeza lateral
Tendón
Músculo redondo mayor
Músculo dorsal ancho
Triángulo lumbar (de Petit)
Cresta ilíaca
Músculo erector de la columna
Espina ilíaca posterosuperior
Hendidura interglútea
Protuberancia occipital externa
Ligamento nucal
Apófisis espinosa de la vértebra C7
Músculo deltoides
Espina de la escápula
Triángulo de auscultación
Borde medial de la escápula
Ángulo inferior de la escápula
Apófisis espinosa de la vértebra T12
Músculo glúteo medio
Sacro
Músculo glúteo mayor
Trocánter mayor del fémur
Surco glúteo
C. Machado MD

Véanse también **láminas 13, 17, 18, 154, 155, 157, 185, 248**

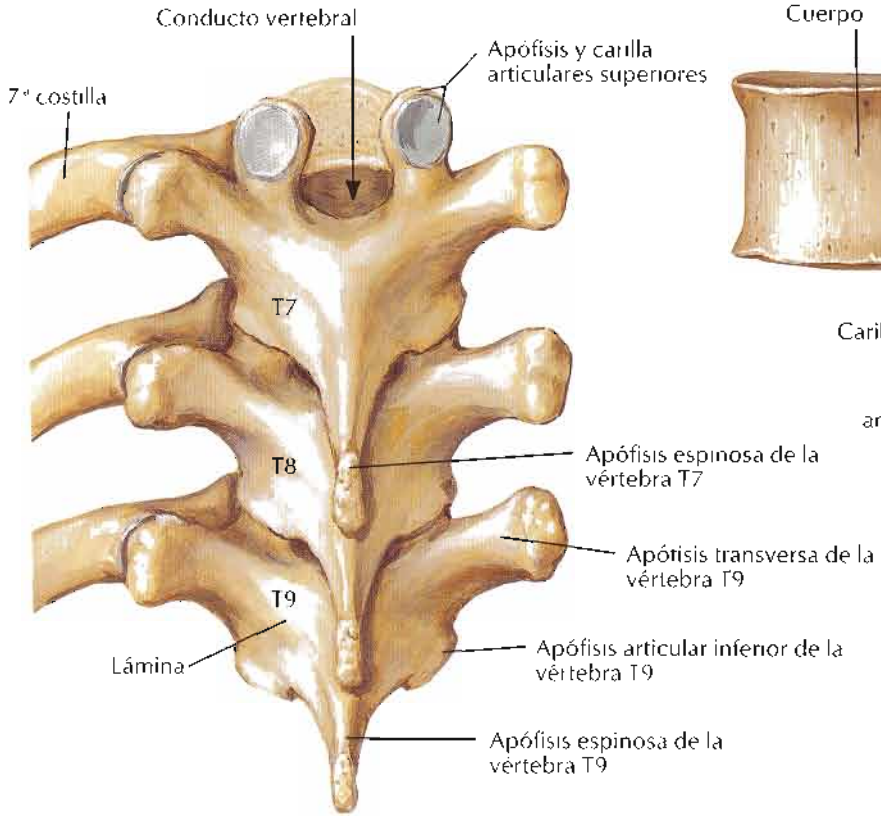




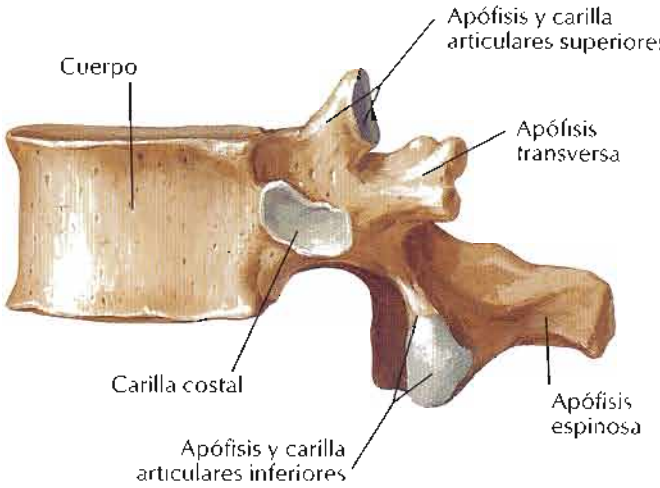
Vértebra T6: visión superior



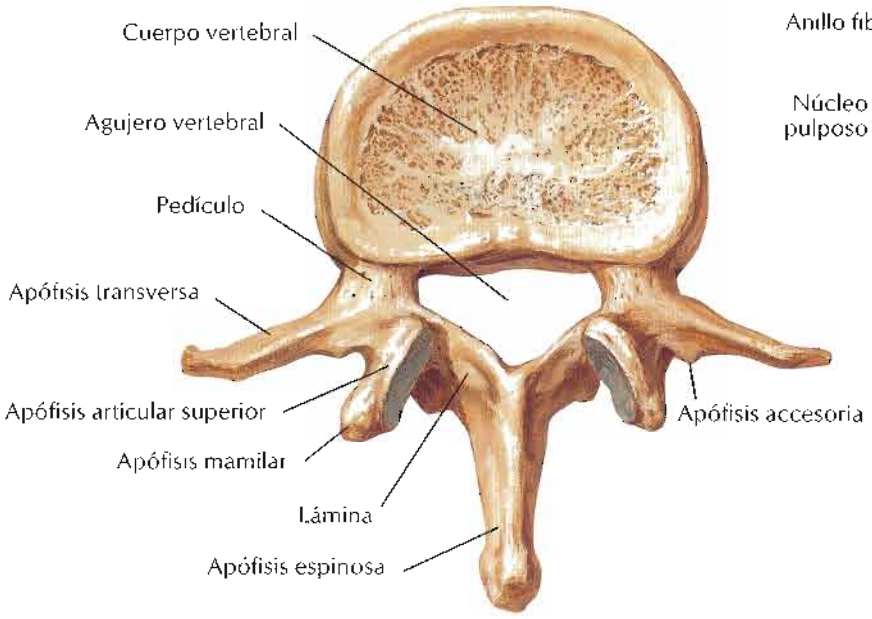
Vértebra T6: visión lateral



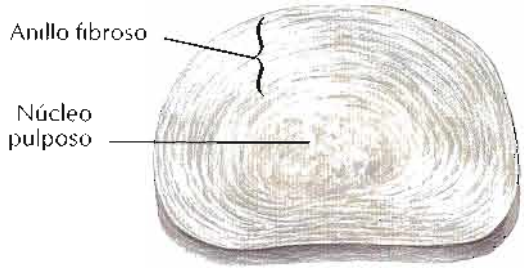
Vértebras T7, T8 y T9: visión posterior



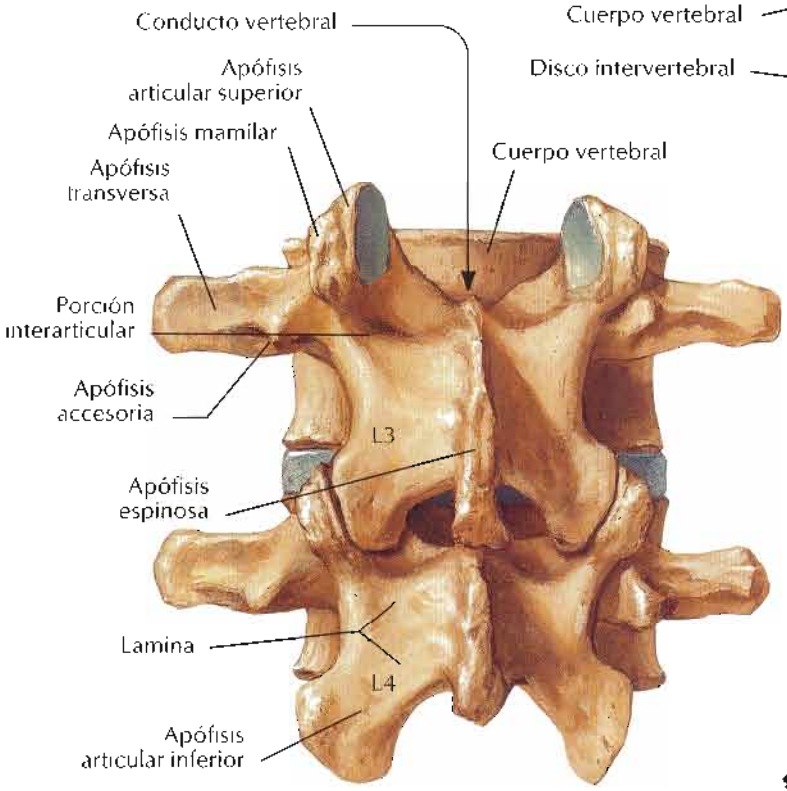
Vértebra T12: visión lateral



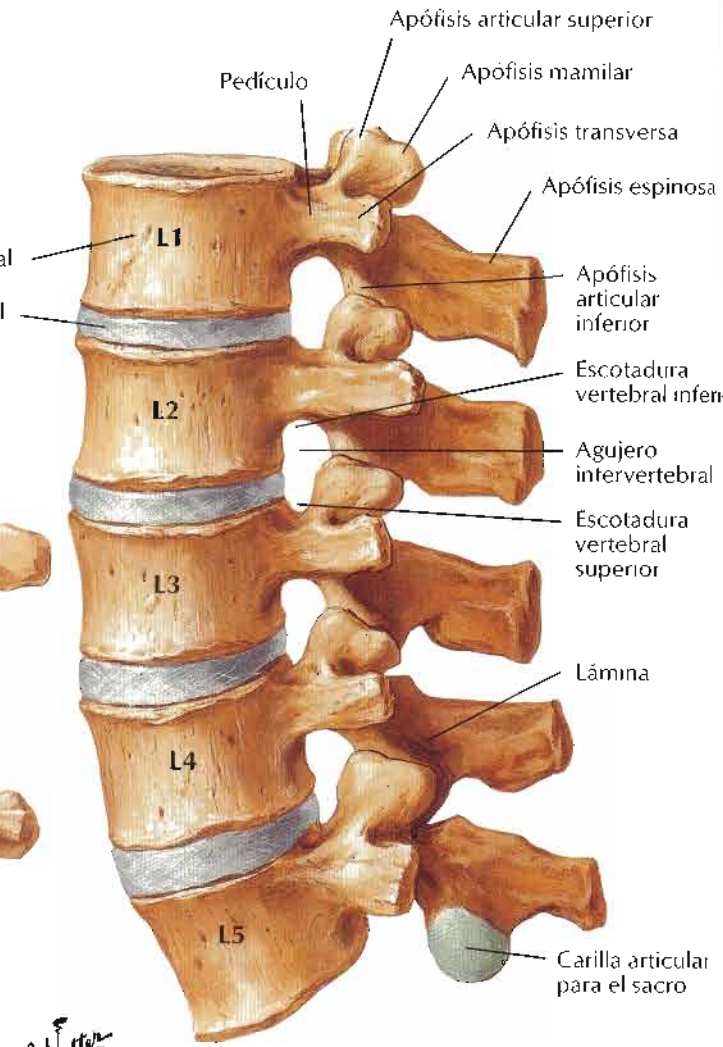
Vértebra L2: visión superior



Disco intervertebral

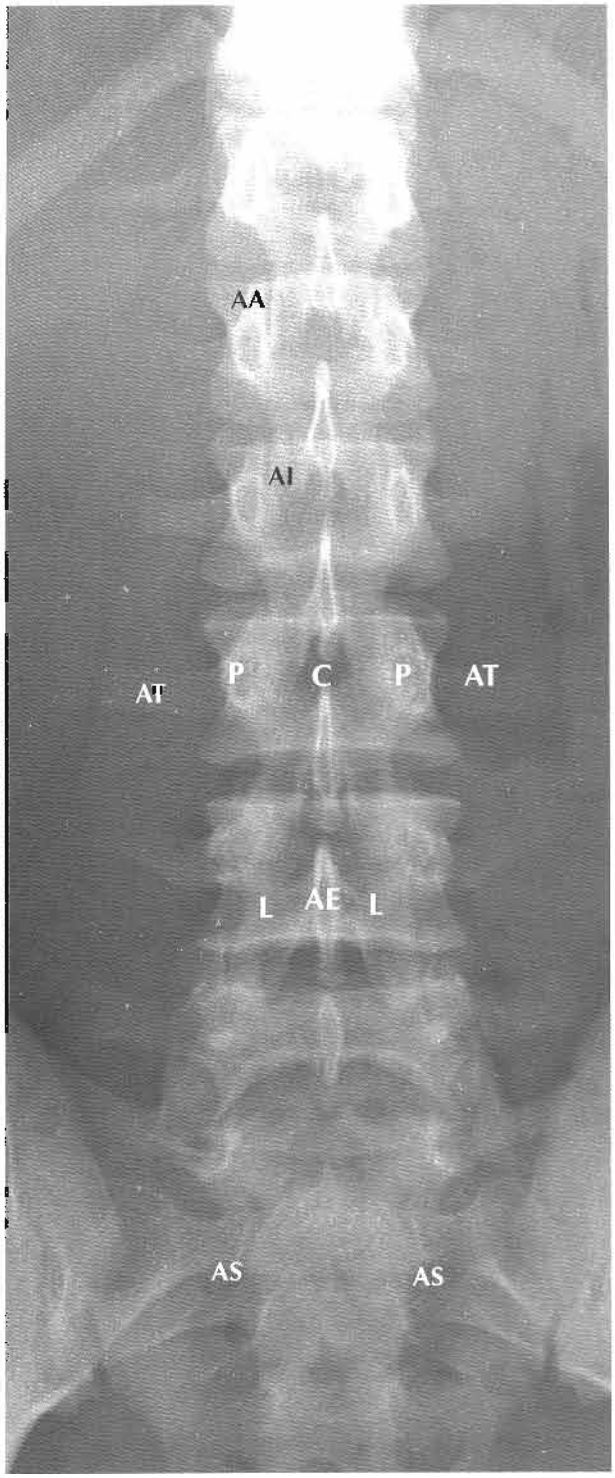


Vértebras L3 y L4: visión posterior



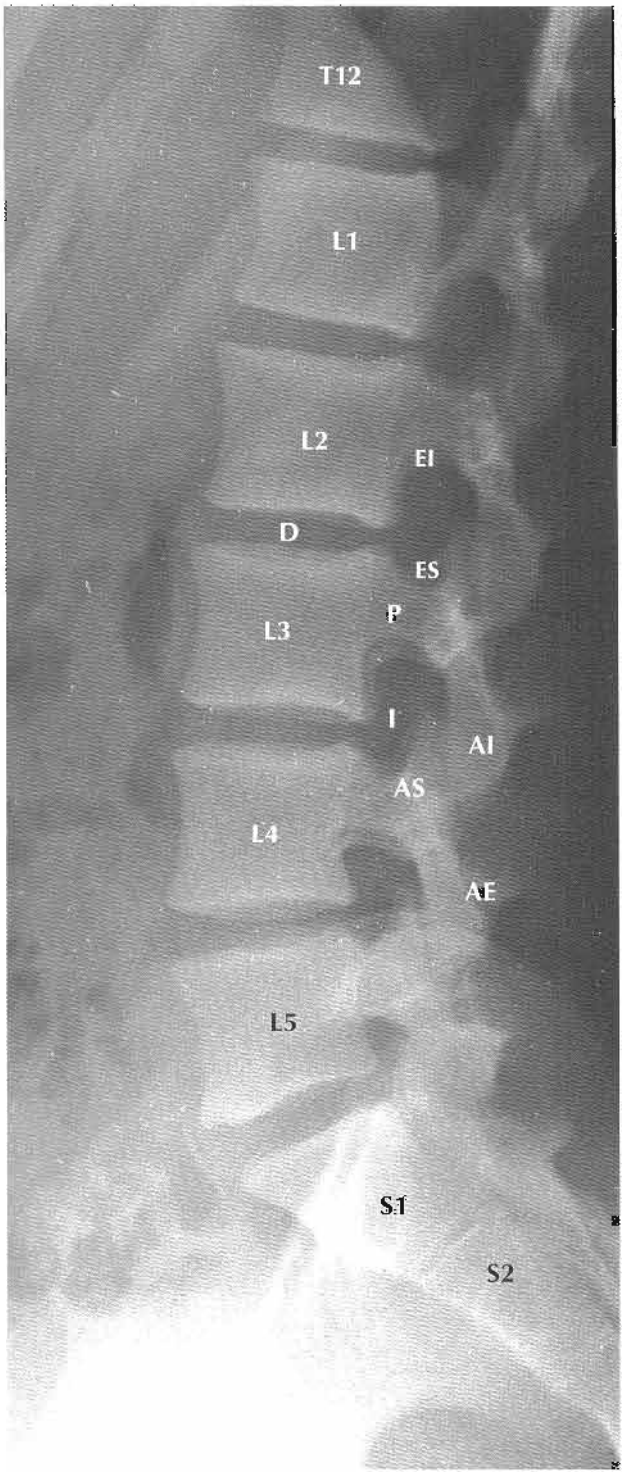
Vértebras lumbares articuladas: visión lateral izquierda

Radiografía anteroposterior



AA Apófisis articular superior de la vértebra L1
AE Apófisis espinosa de la vértebra L4
AI Apófisis articular inferior de la vértebra L1
AS Agujero sacro
AT Apófisis transversa de la vértebra L3
C Cuerpo de la vértebra L3
L Lámina de la vértebra L4
P Pedículo de la vértebra L3

Radiografía lateral

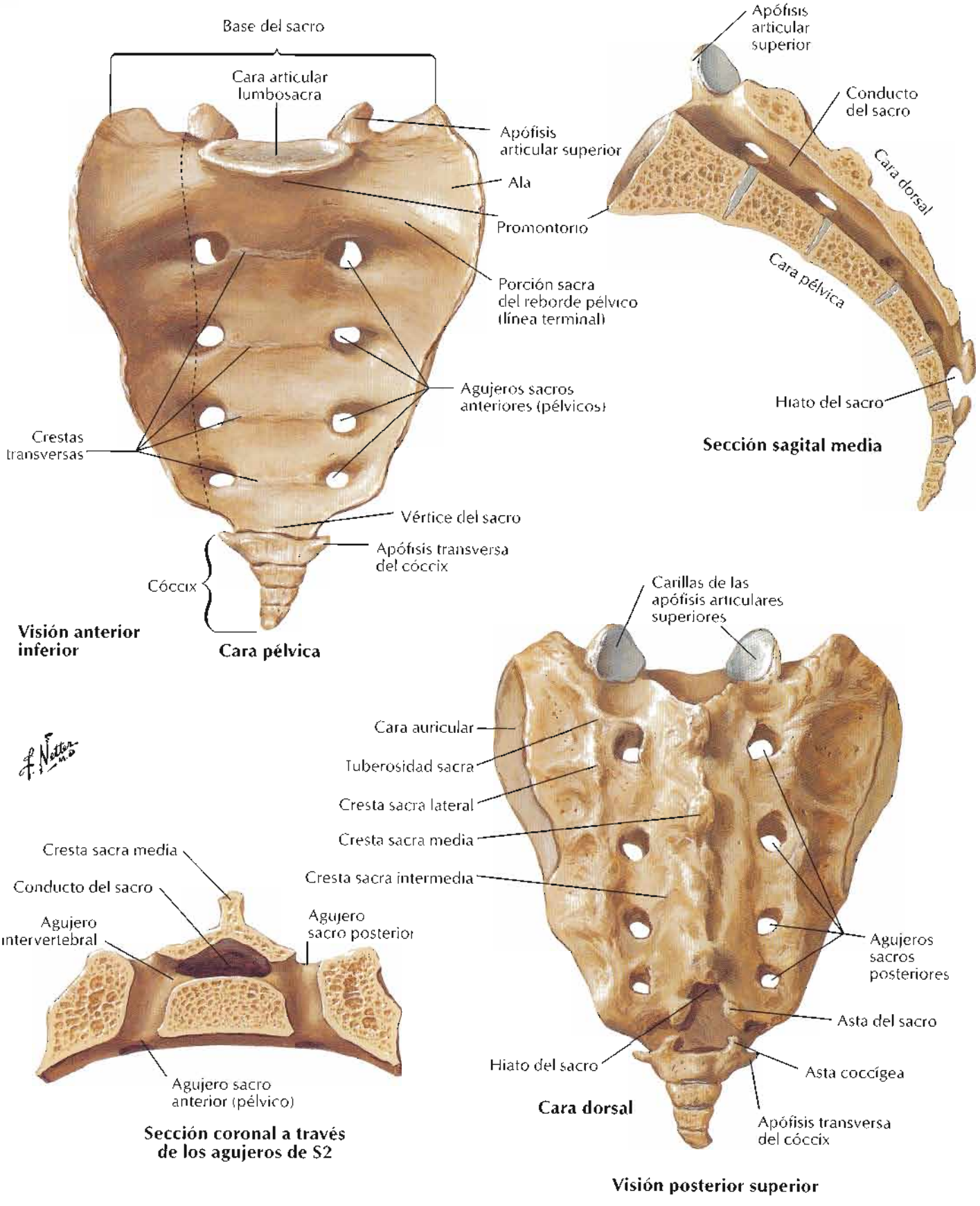


AE Apófisis espinosa de la vértebra L3
AI Apófisis articular inferior de la vértebra L3
AS Apófisis articular superior de la vértebra L4
D Espacio del disco intervertebral
EI Escotadura vertebral inferior de la vértebra L2
ES Escotadura vertebral superior de la vértebra L3
I Agujero intervertebral
P Pedículo de la vértebra L3

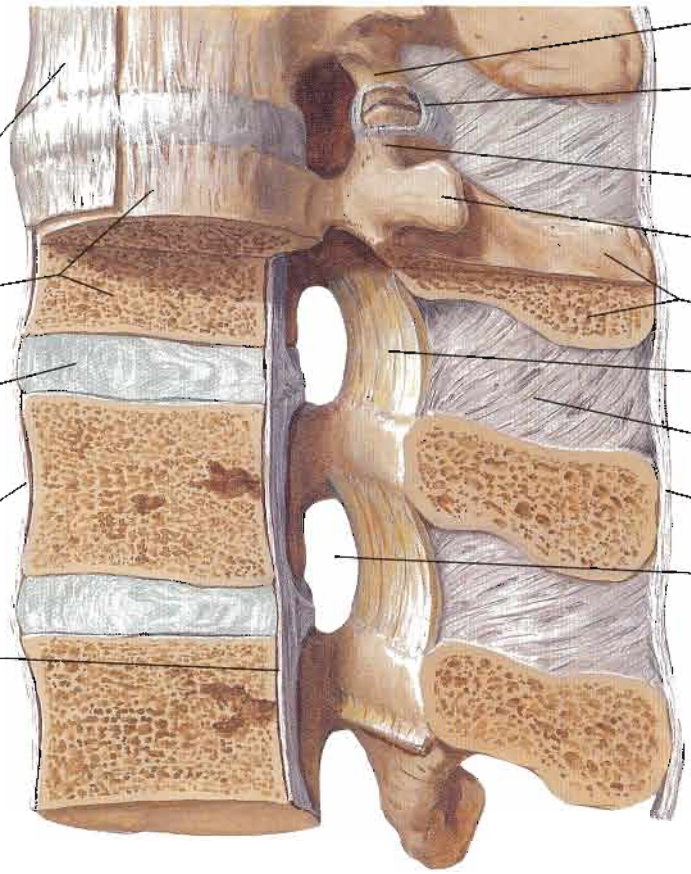
Nota: los cuerpos vertebrales están numerados

2 Sacro y cóccix

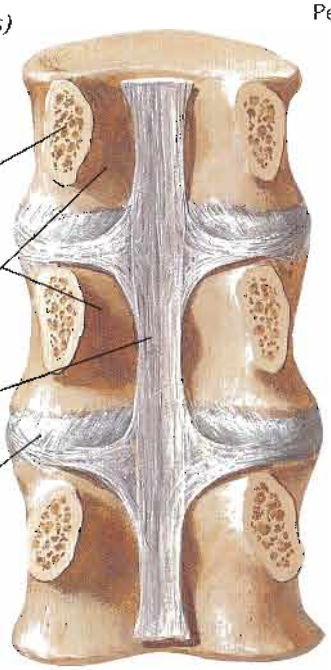
Véanse también **láminas 153, 159, 248, 352–354**



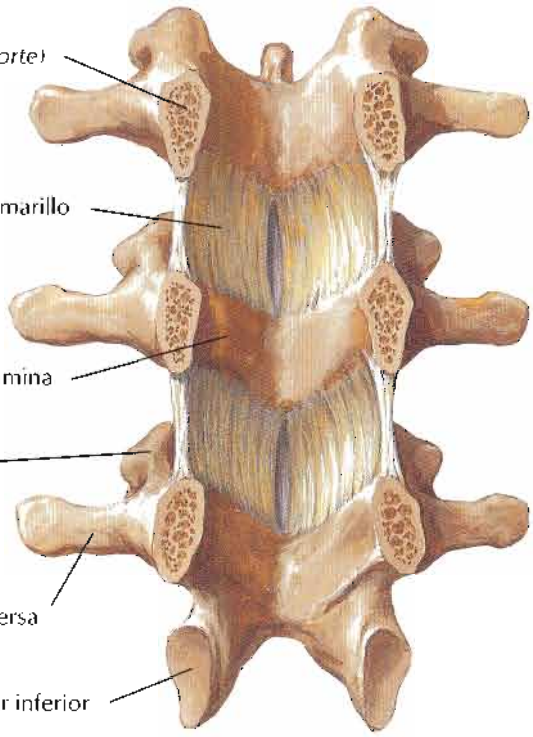
Visión lateral izquierda *(parcialmente seccionada en el plano medio)*



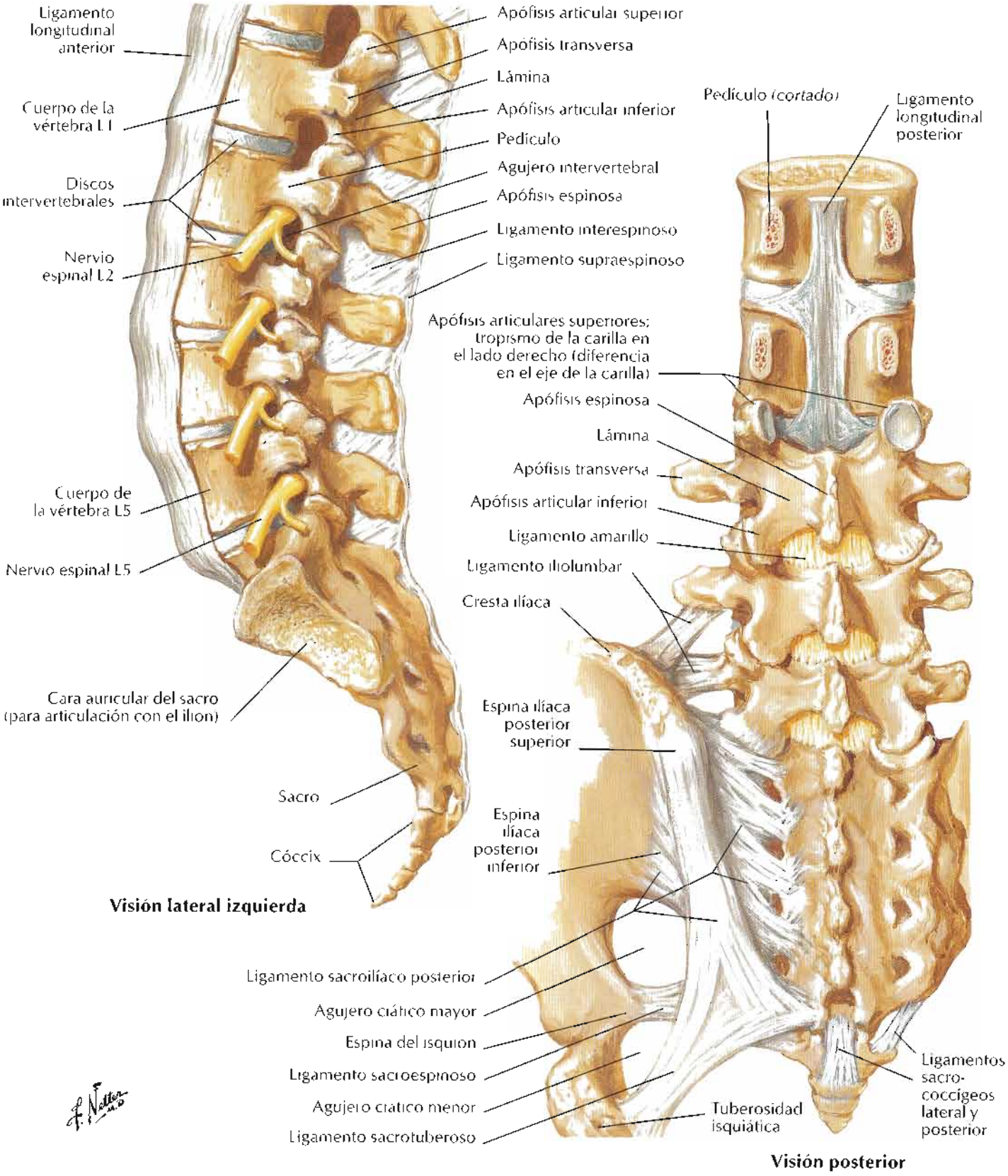
Segmentos vertebrales anteriores: visión posterior *(pedículos seccionados)*



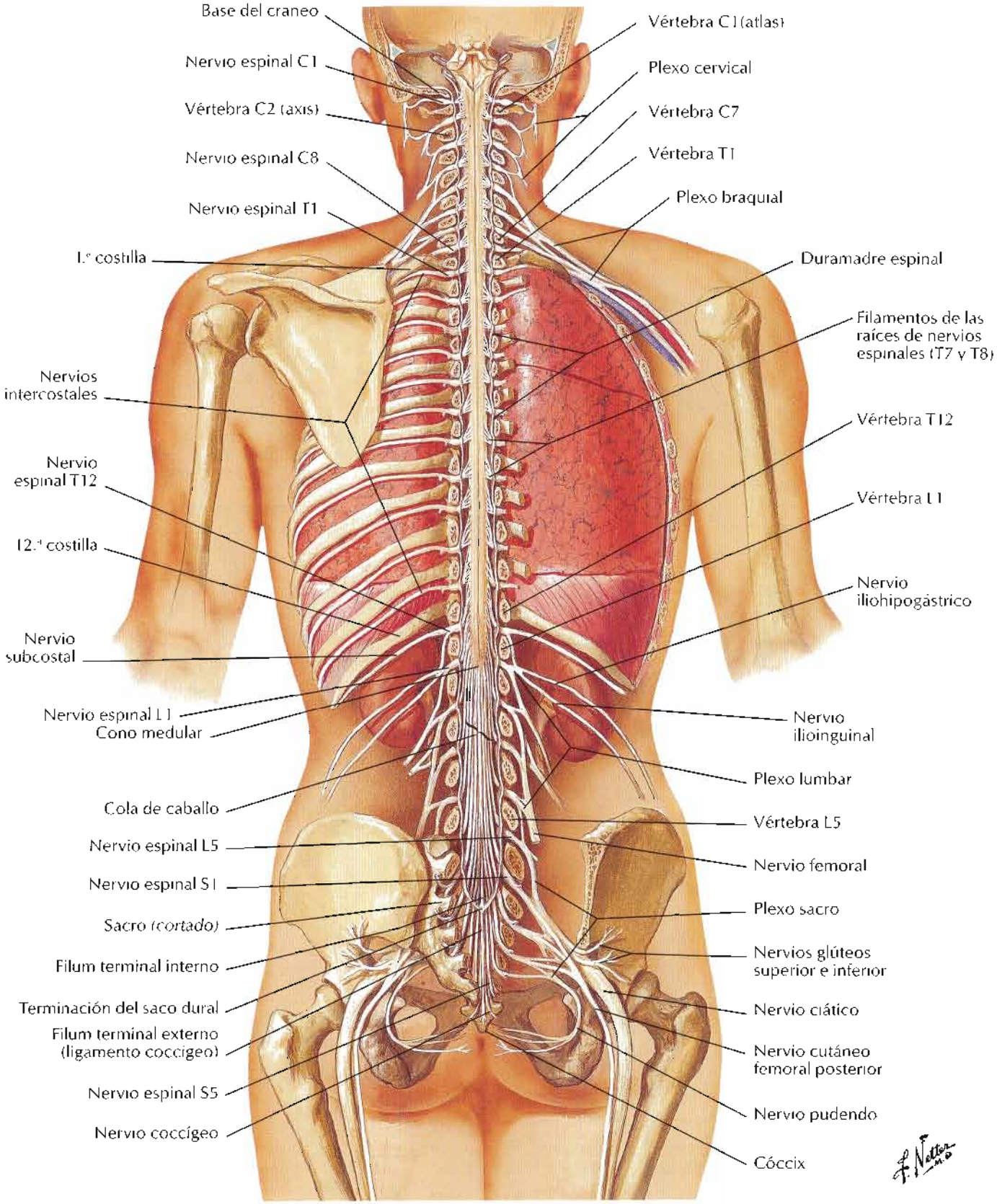
Segmentos vertebrales posteriores: visión anterior



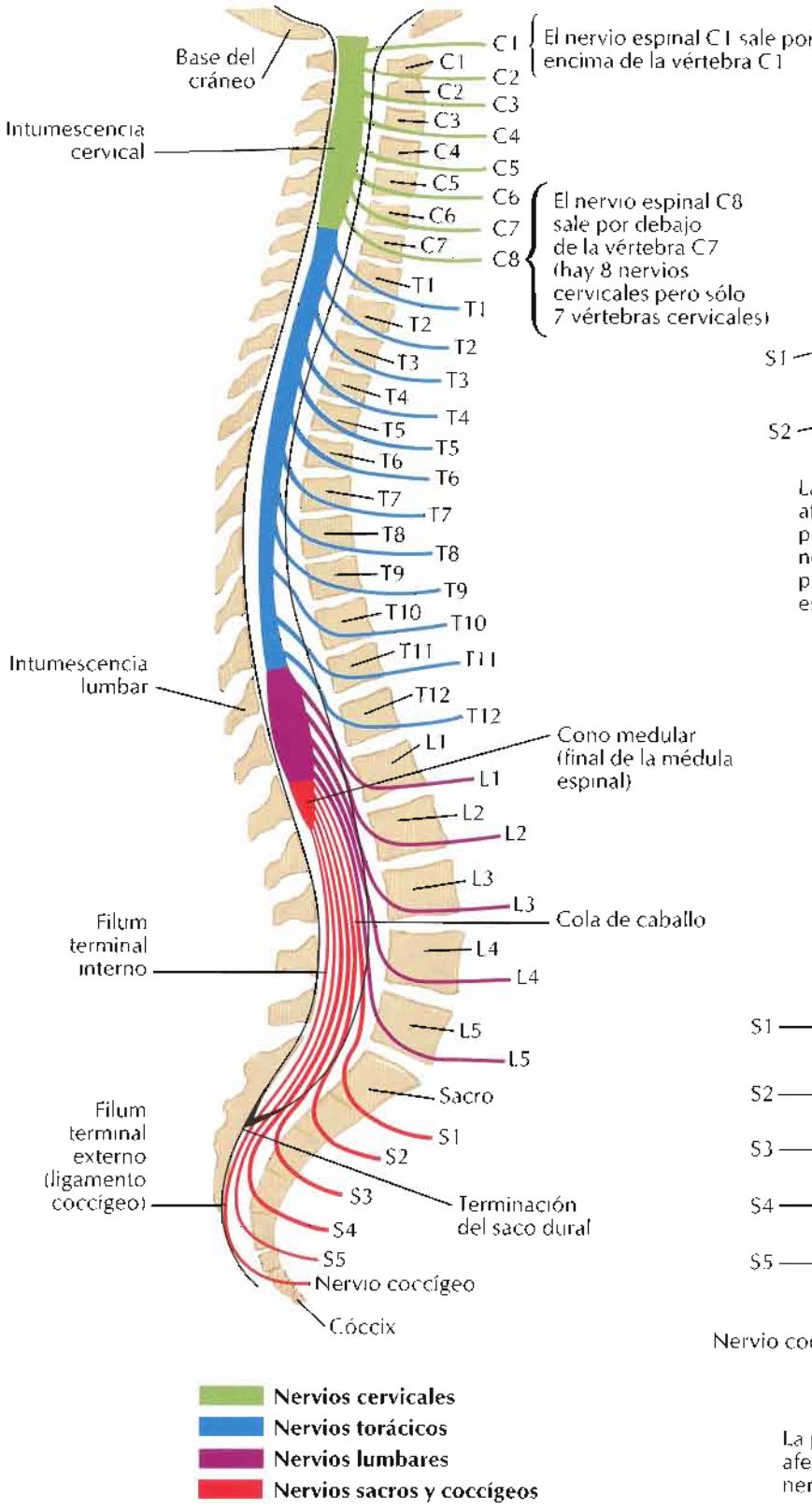
Ligamentos vertebrales: región lumbosacra

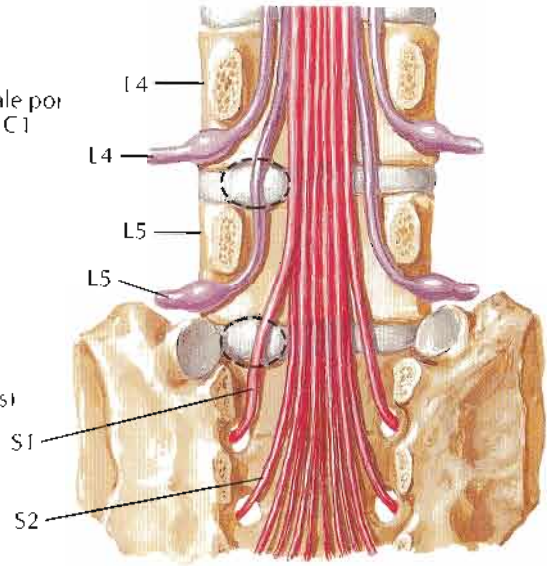


Médula espinal y ramos ventrales espinales in situ

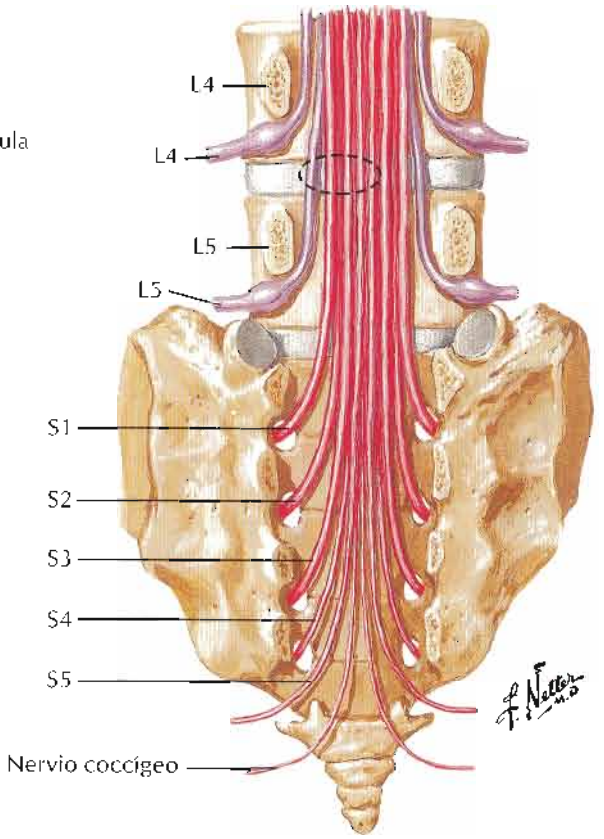


2 Relación de las raíces de los nn. espinales con las vértebras



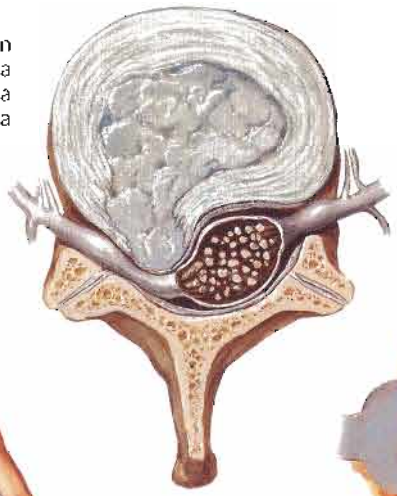


La protrusión de un disco lumbar normalmente no afecta el nervio que sale por encima del disco. La protrusión lateral a nivel del disco L4-5 afecta el nervio espinal L5, no el nervio espinal L4. La protrusión del disco a nivel L5-S1 afecta el nervio espinal S1, no el nervio espinal L5



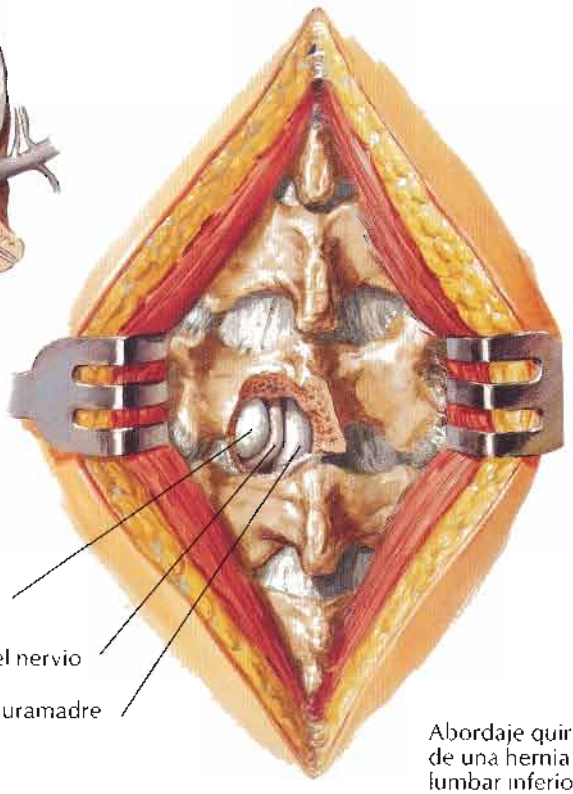
La protrusión medial a nivel del disco L4-5 raramente afecta el nervio espinal L4, pero puede afectar el nervio espinal L5 y a veces los nervios espinales S1-4

Esquema de una sección transversal que muestra la compresión de una raíz nerviosa



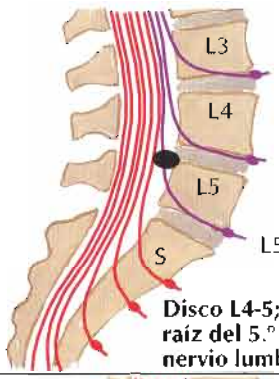
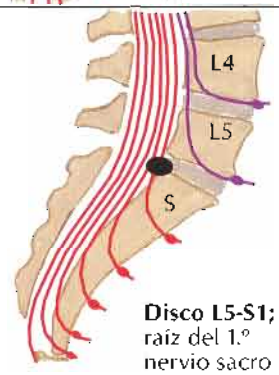


Postura característica ante una hernia discal lumbar inferior izquierda



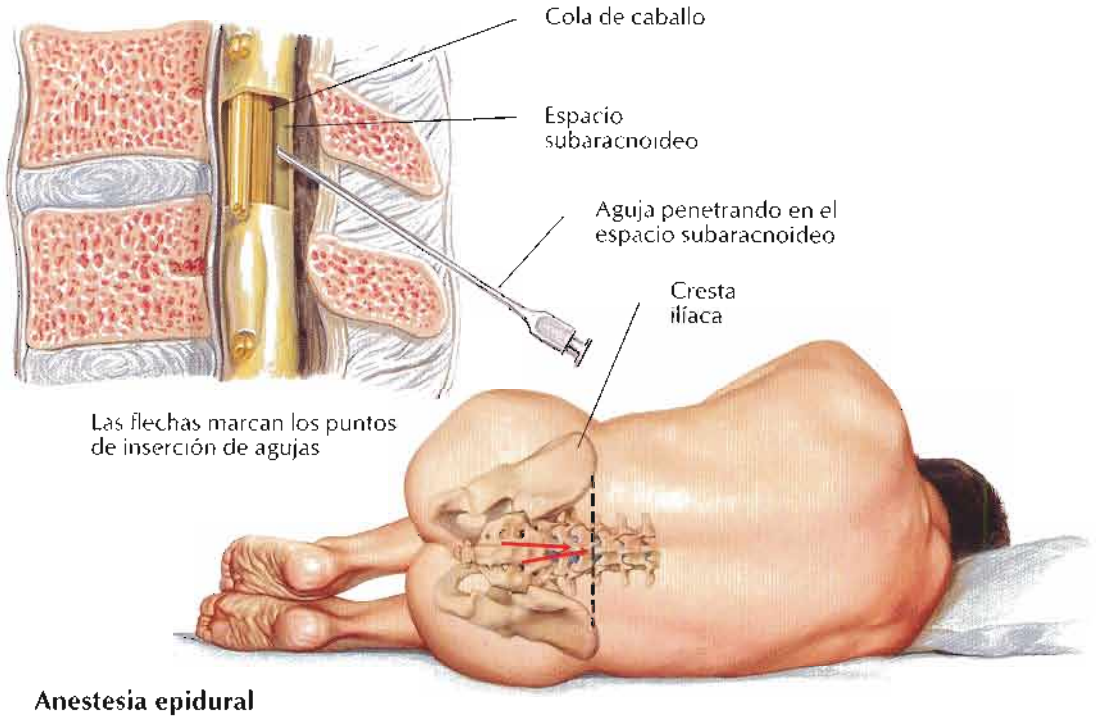
Abordaje quirúrgico de una hernia discal lumbar inferior

Características clínicas de la hernia de un núcleo pulposo lumbar

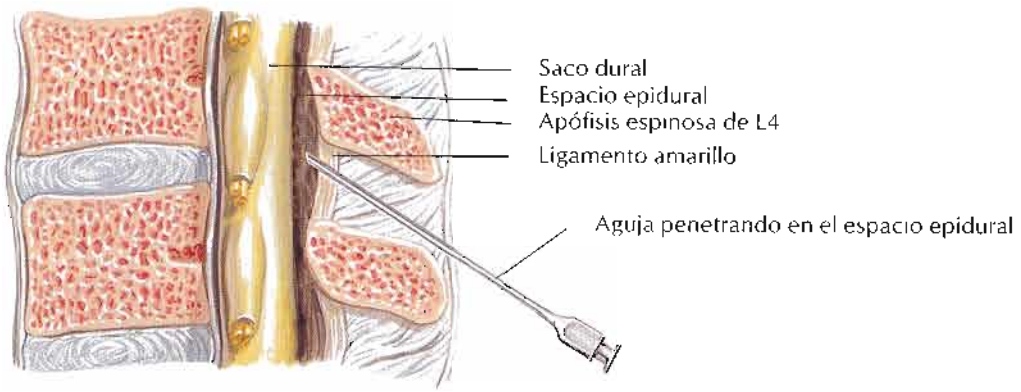
Nivel de la hernia	Dolor	Parestesia	Hipotonía	Atrofia	Reflejos
 **Disco L4-5; raíz del 5.º nervio lumbar**	En articulación sacroilíaca, cadera, cara lateral de muslo y pierna 	 Cara lat. de la pierna, 3 primeros dedos	 Dorsiflexión del dedo gordo y pie; dificultad para marchar sobre los talones; puede existir pie péndulo	Mínima	Cambios poco frecuentes en los reflejos rotuliano y aquíleo, aunque el reflejo isquiotibial interno se encuentra disminuido o ausente
 **Disco L5-S1;** raíz del 1.º nervio sacro	En articulación sacroilíaca, cadera, cara posterolateral de muslo y pierna hasta el talón 	 Dorso pantorrilla, cara lat. talón y pie hasta dedo pequeño	La flexión plantar del pie y del dedo gordo pueden estar afectadas; dificultad para andar de puntillas	 Gastrocnemio y sóleo	 Reflejo aquíleo disminuido o ausente

Punción lumbar y anestesia epidural

Punción lumbar



Anestesia epidural

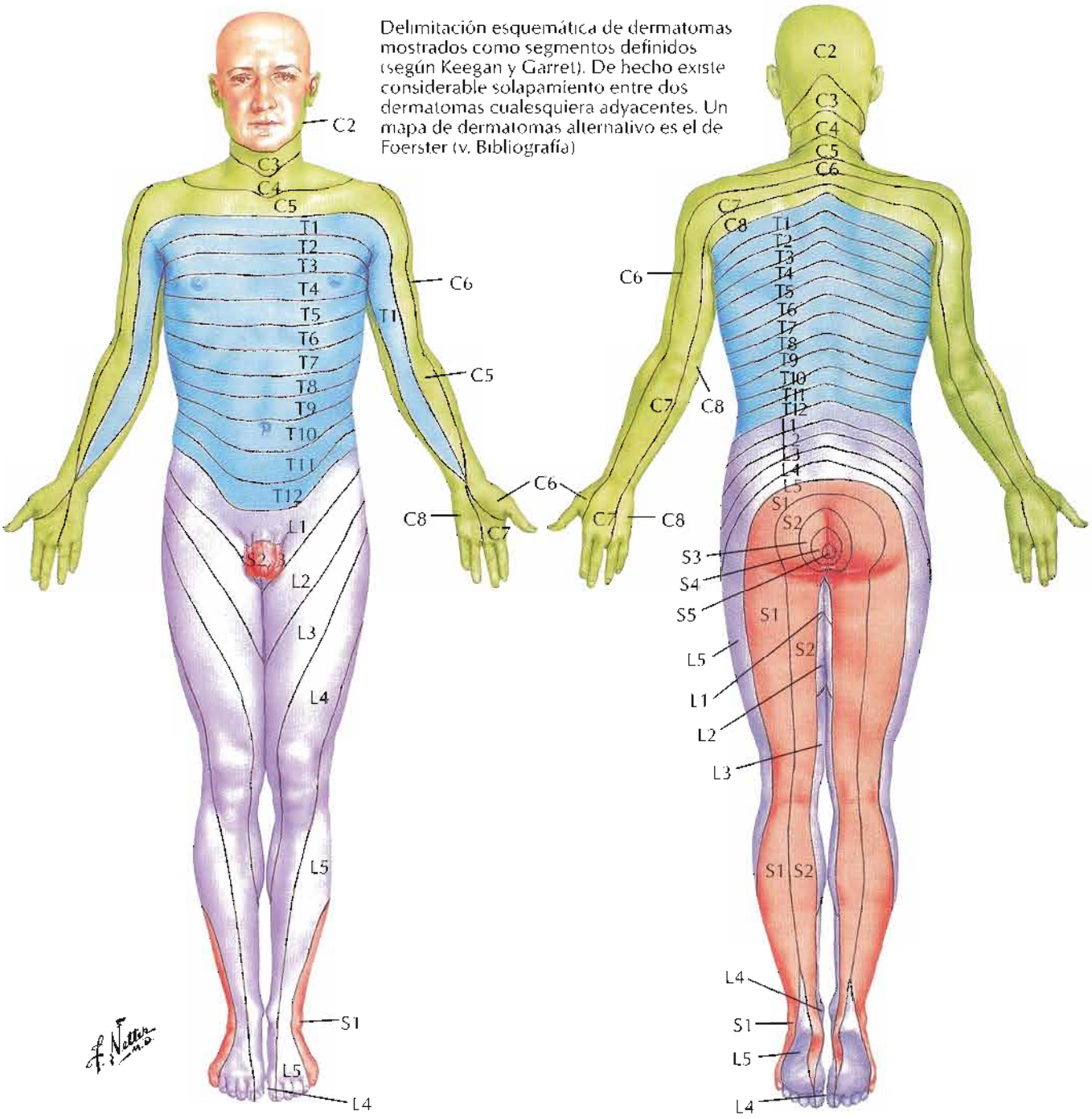


La anestesia epidural y la punción lumbar se realizan insertando una aguja por encima o por debajo de la apófisis espinosa de L4, que se sitúa al nivel del plano de las crestas ilíacas. En la anestesia epidural, la aguja pasa hacia el interior del espacio epidural, infiltrándose el agente anestésico próximo a las raíces nerviosas. La punción lumbar se realiza para obtener una muestra de líquido cefalorraquídeo (LCR) o para introducir un agente anestésico en el interior del LCR (anestesia espinal), por tanto la aguja perfora el saco dural para penetrar en el espacio subaracnoideo.

C. Machado MD

Véanse también **láminas 483, 543;** para mapas de nervios cutáneos véanse **láminas 24, 472, 474–476, 478, 481, 538–542**

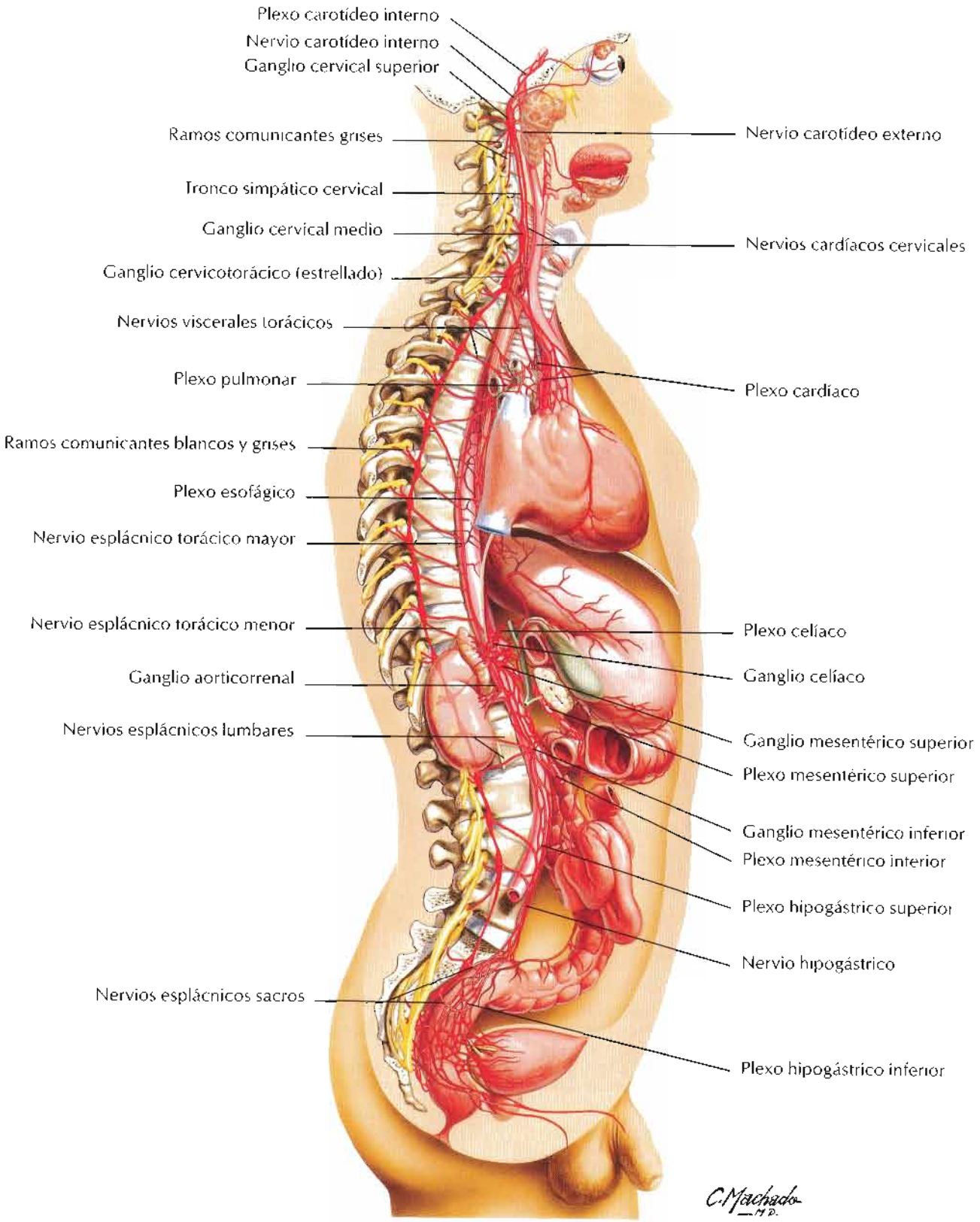
Delimitación esquemática de dermatomas mostrados como segmentos definidos (según Keegan y Garret). De hecho existe considerable solapamiento entre dos dermatomas cualesquiera adyacentes. Un mapa de dermatomas alternativo es el de Foerster (v. Bibliografía)

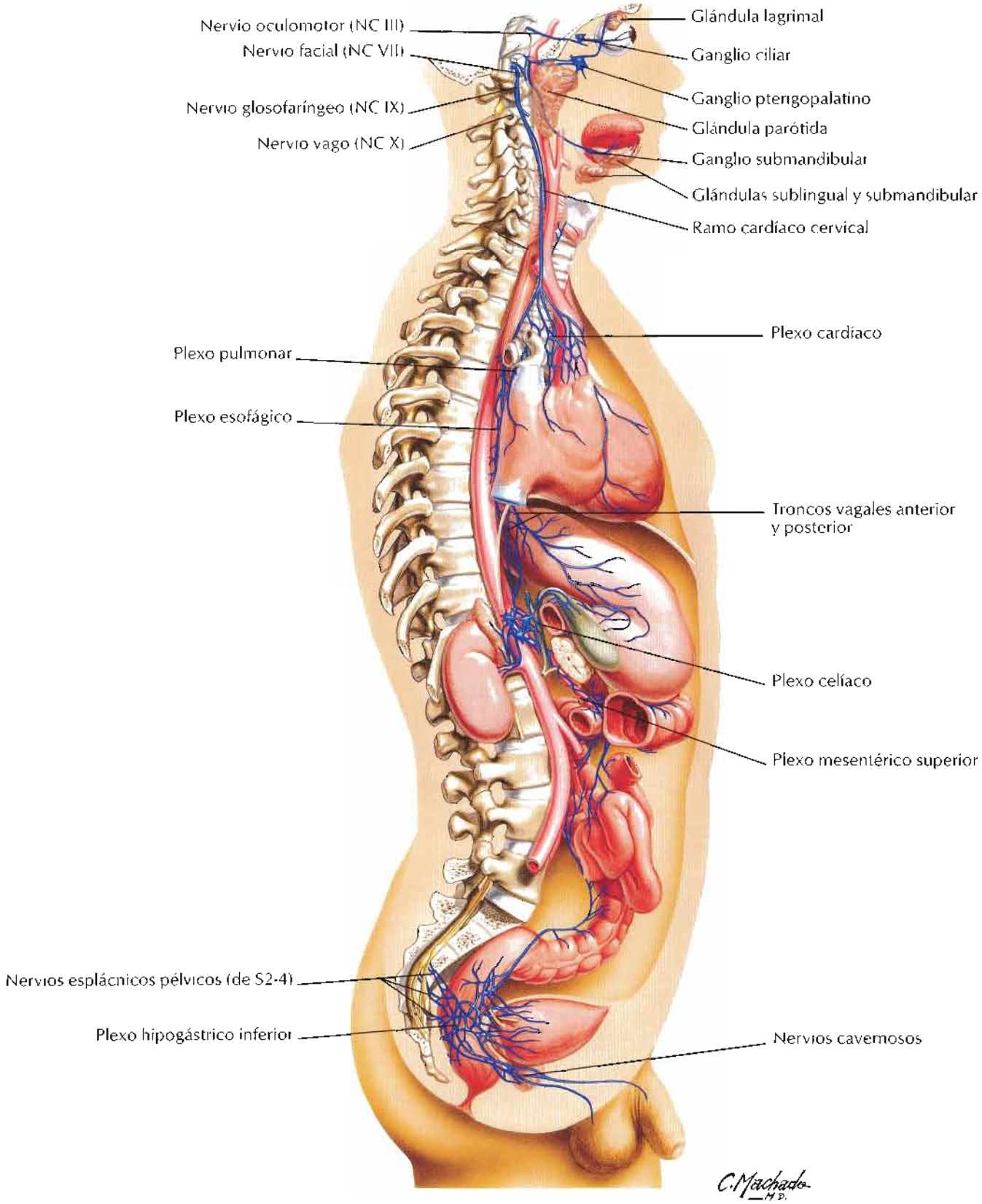


Niveles de los principales dermatomas

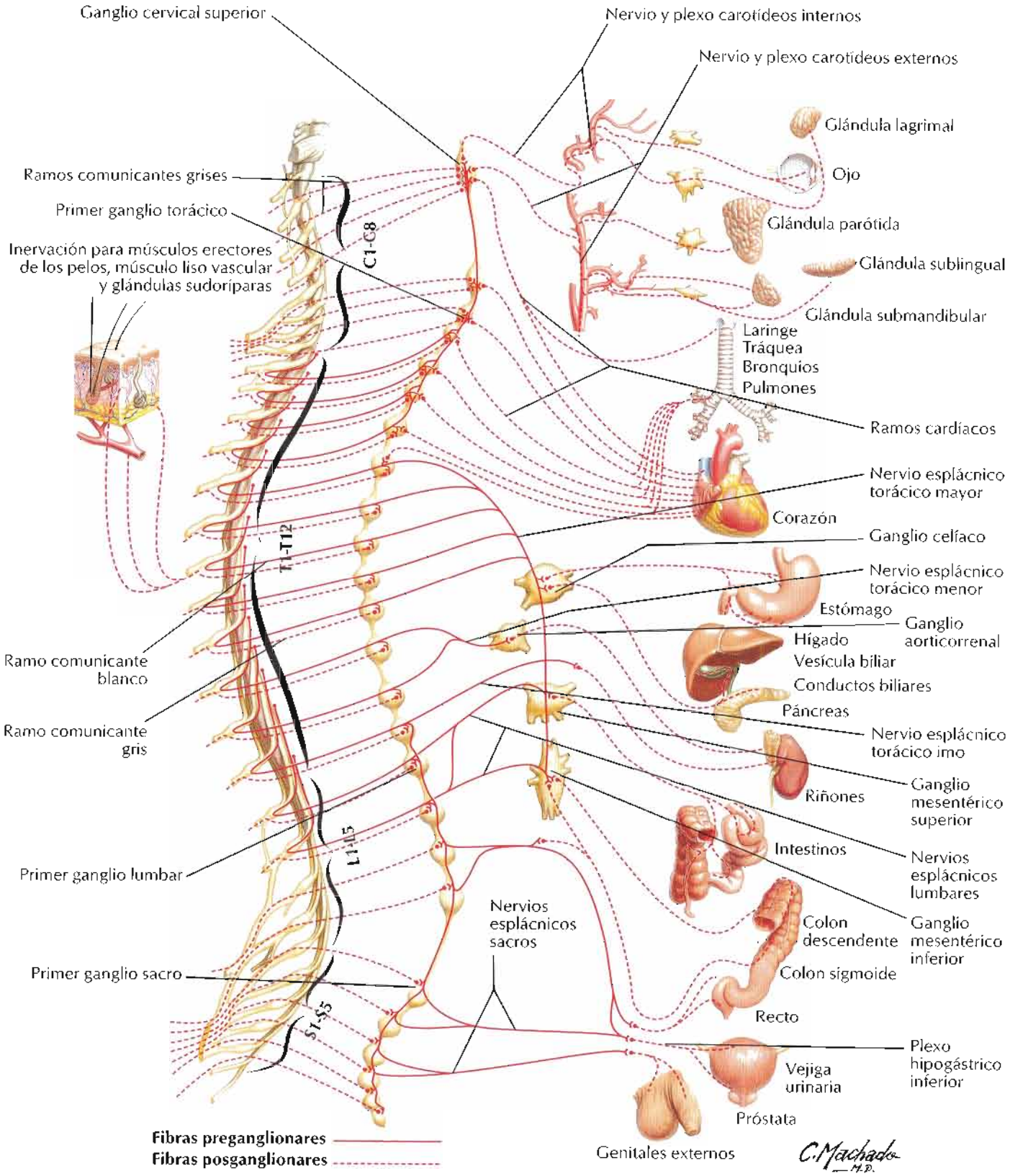
C5	Clavículas
C5, 6, 7	Partes laterales de los miembros superiores
C8, T1	Partes mediales de los miembros superiores
C6	Pulgar
C6, 7, 8	Mano
C8	Dedos anular y meñique
T4	Nivel de los pezones
T10	Nivel del ombligo
L1	Región inguinal
L1, 2, 3, 4	Caras anterior e interna de los miembros inferiores
L4, 5, S1	Pie
L4	Cara medial del dedo gordo del pie
S1, 2, L5	Caras posterior y externa de los miembros inferiores
S1	Borde lateral del pie y dedo pequeño del pie
S2, 3, 4	Periné

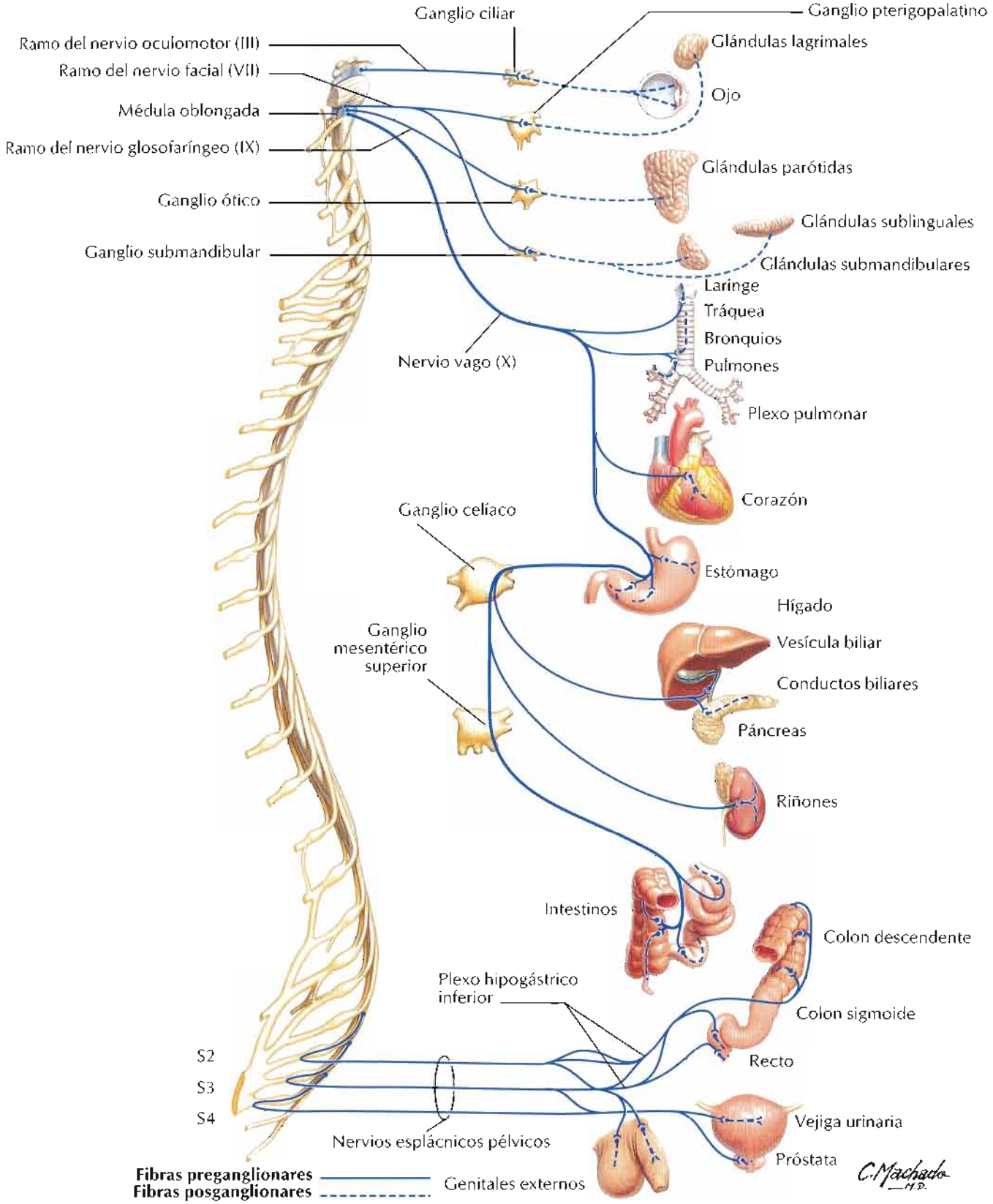
Sistema nervioso simpático: topografía general



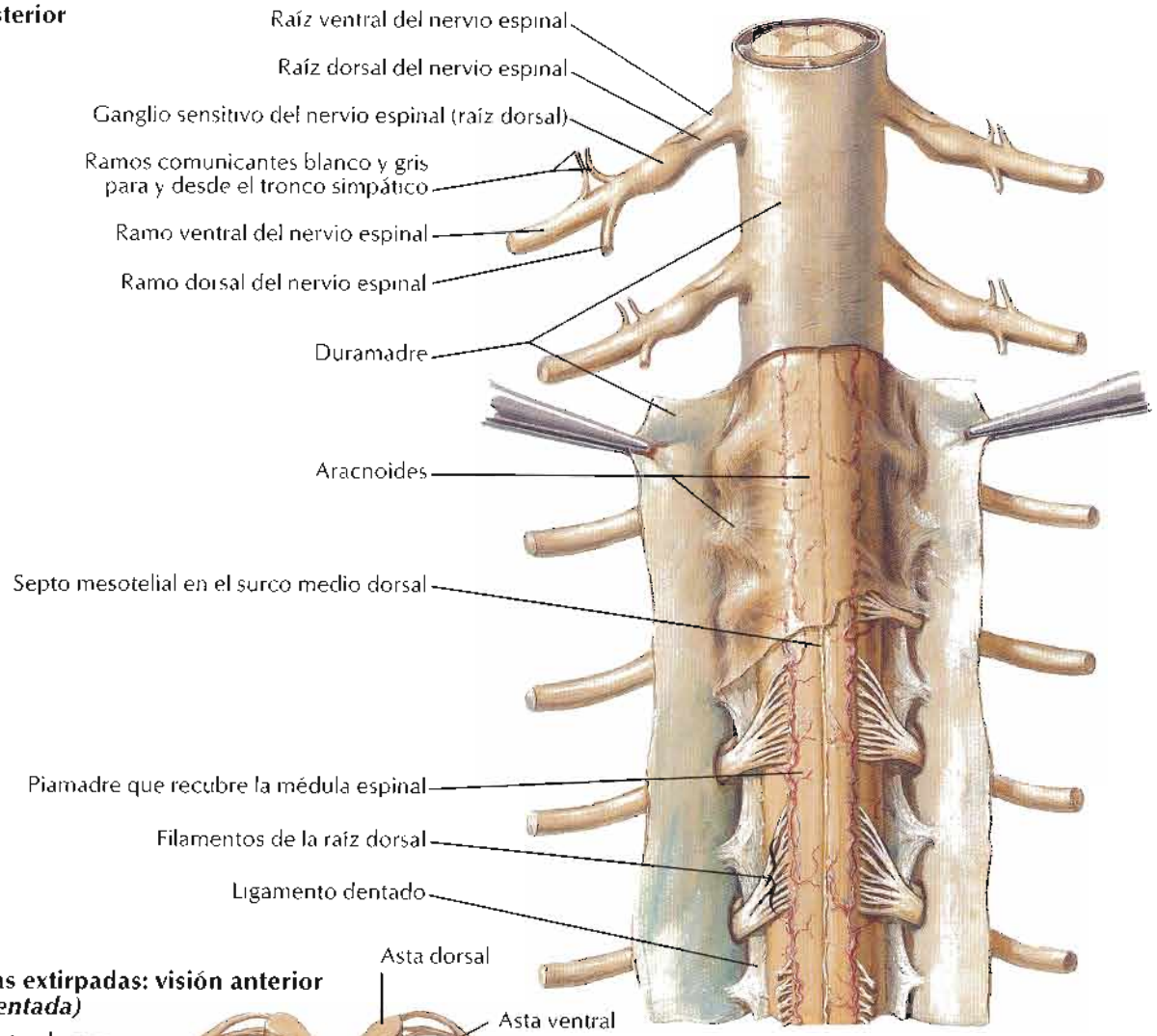

Nervio oculomotor (NC III)
Nervio facial (NC VII)
Nervio glosofaríngeo (NC IX)
Nervio vago (NC X)
Glándula lagrimal
Ganglio ciliar
Ganglio pterigopalatino
Glándula parótida
Ganglio submandibular
Glándulas sublingual y submandibular
Ramo cardíaco cervical
Plexo cardíaco
Plexo pulmonar
Plexo esofágico
Troncos vagales anterior y posterior
Plexo celíaco
Plexo mesentérico superior
Nervios esplácnicos pélvicos (de S2-4)
Plexo hipogástrico inferior
Nervios cavernosos
C. Machado M.D.

Sistema nervioso simpático: esquema

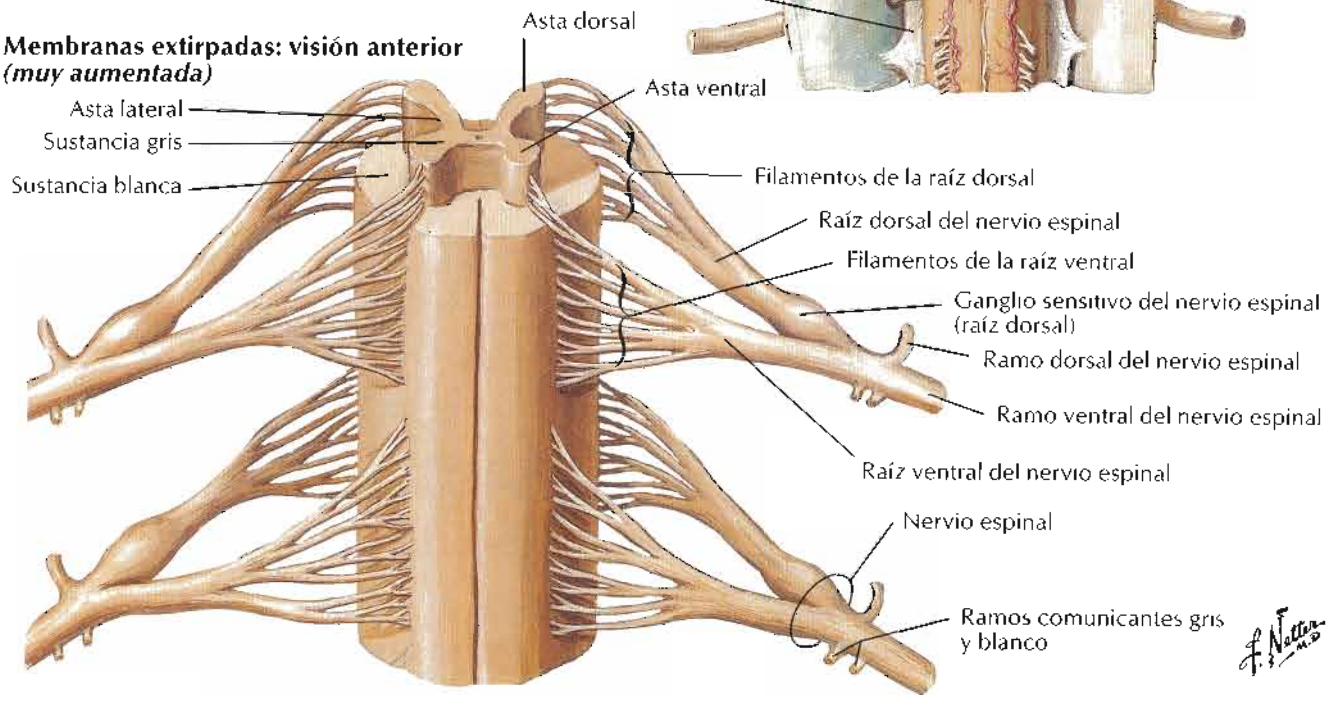



Ganglio ciliar
Ganglio pterigopalatino
Ramo del nervio oculomotor (III)
Ramo del nervio facial (VII)
Glándulas lagrimales
Ojo
Médula oblongada
Ramo del nervio glosofaríngeo (IX)
Glándulas parótidas
Ganglio ótico
Glándulas sublinguales
Ganglio submandibular
Glándulas submandibulares
Laringe
Tráquea
Bronquios
Nervio vago (X)
Pulmones
Plexo pulmonar
Corazón
Ganglio celíaco
Estómago
Hígado
Ganglio mesentérico superior
Vesícula biliar
Conductos biliares
Páncreas
Riñones
Intestinos
Colon descendente
Plexo hipogástrico inferior
Colon sigmoide
S2
S3
S4
Recto
Vejiga urinaria
Nervios esplácnicos pélvicos
Próstata
Fibras preganglionares
Fibras posganglionares
Genitales externos
C. Machado M.D.

Visión posterior



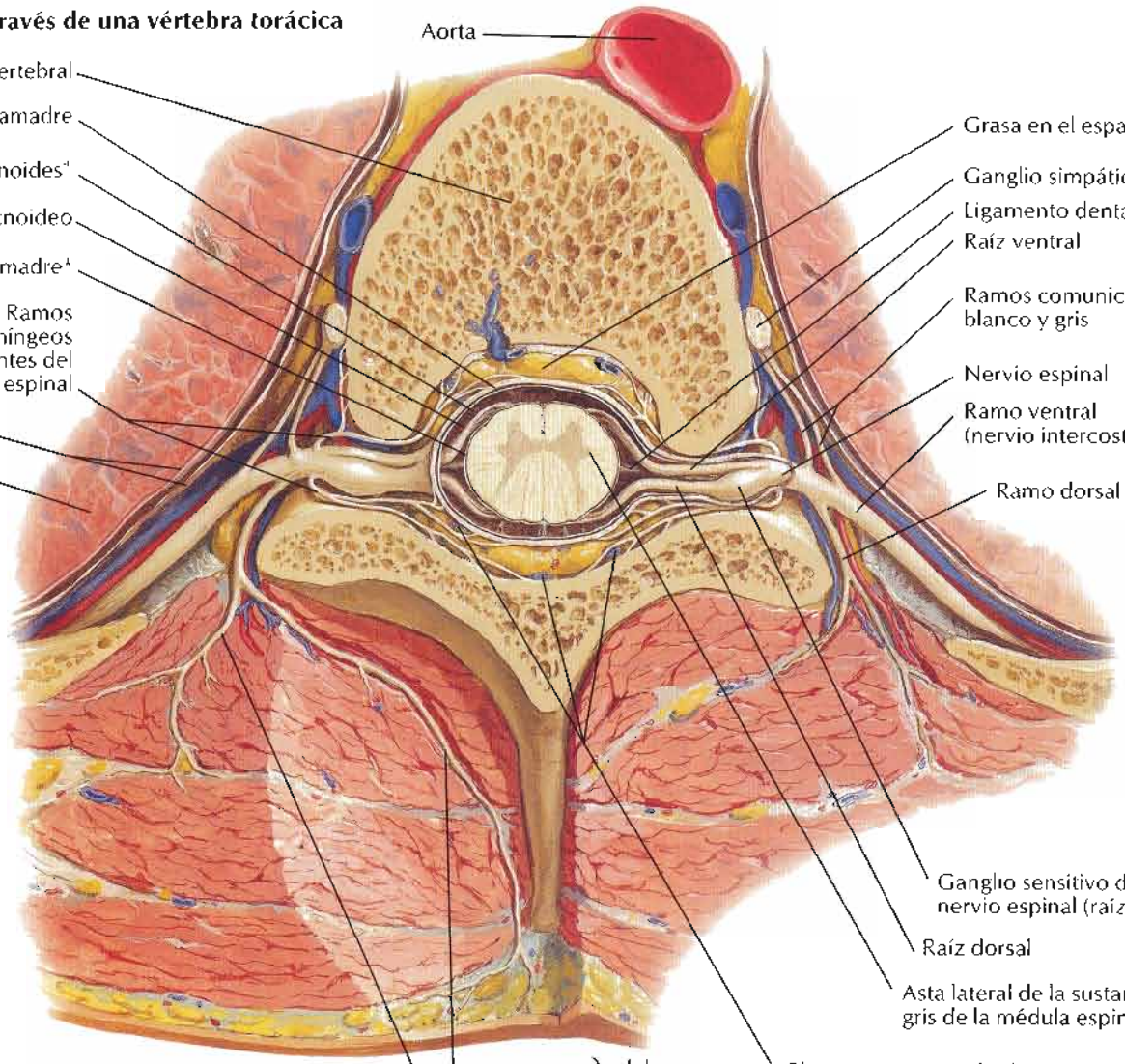
Membranas extirpadas: visión anterior
(muy aumentada)



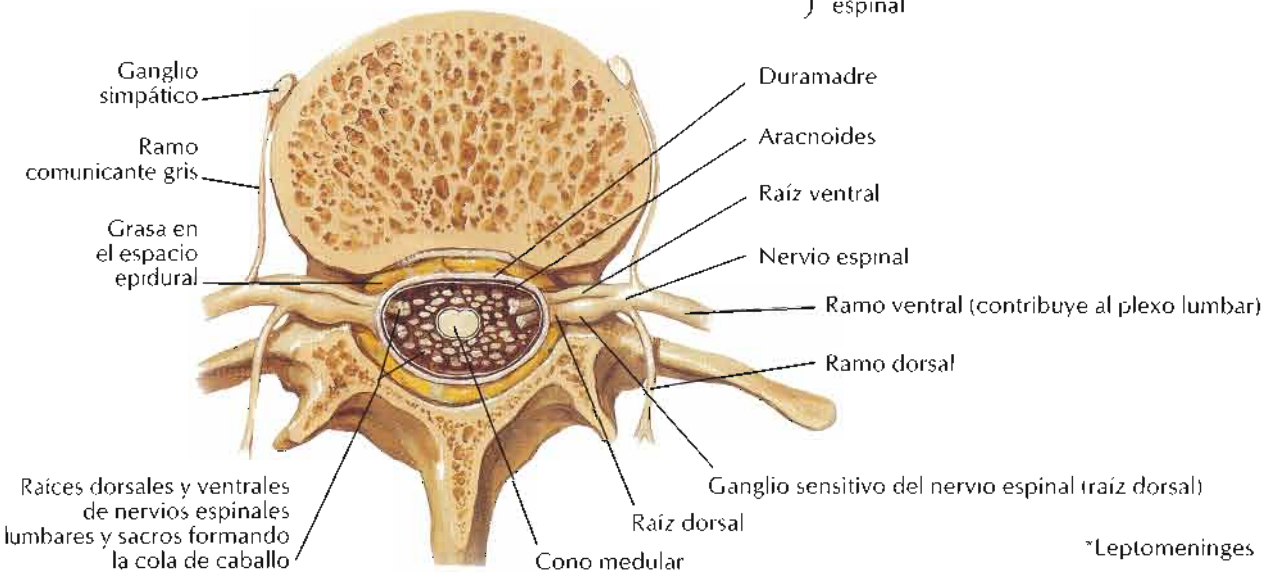
Origen del nervio espinal: secciones transversales

Véanse también **láminas 169, 172, 173**

Sección a través de una vértebra torácica



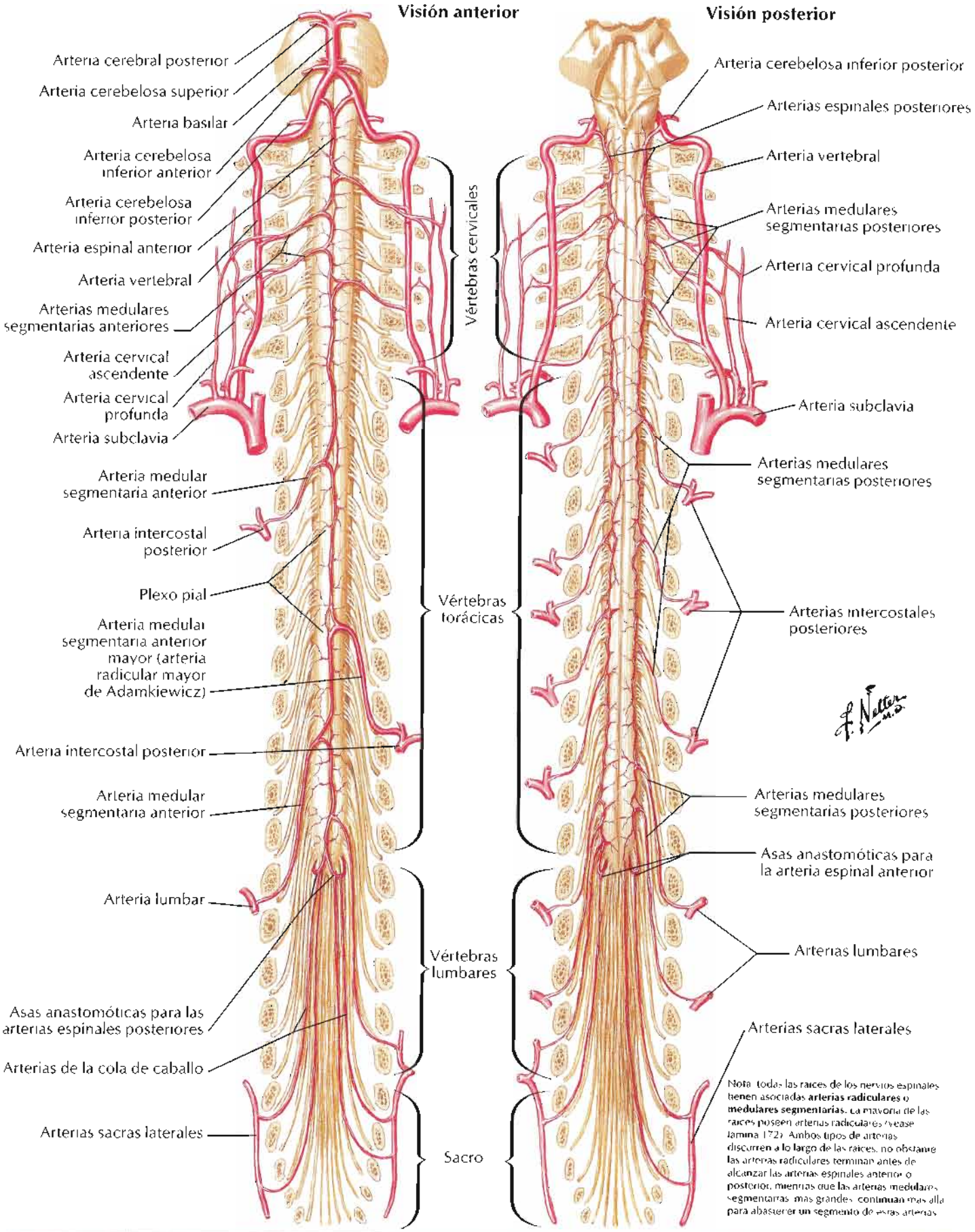
Sección a través de una vértebra lumbar



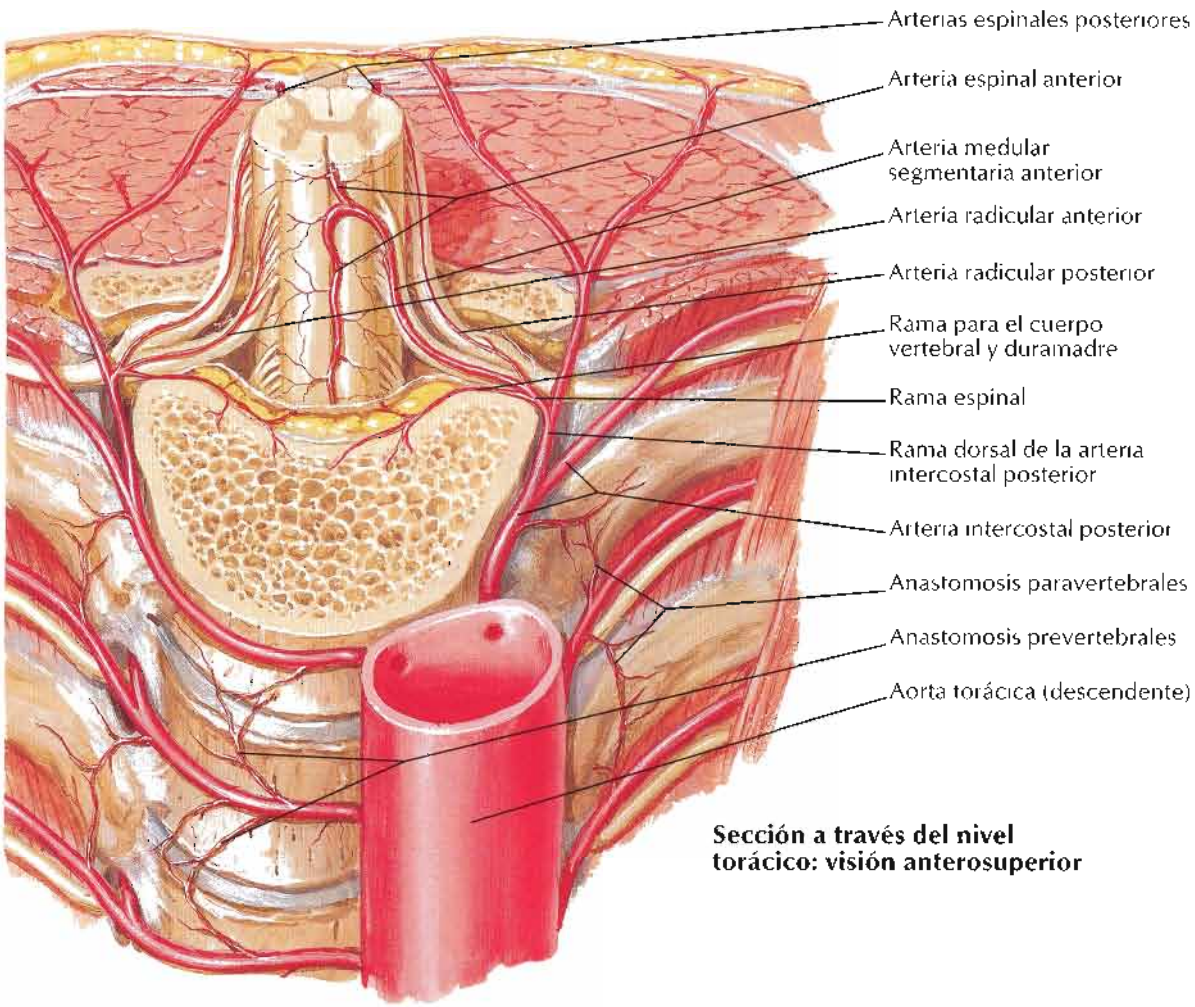
*Leptomeninges

2 Arterias de la médula espinal: esquema

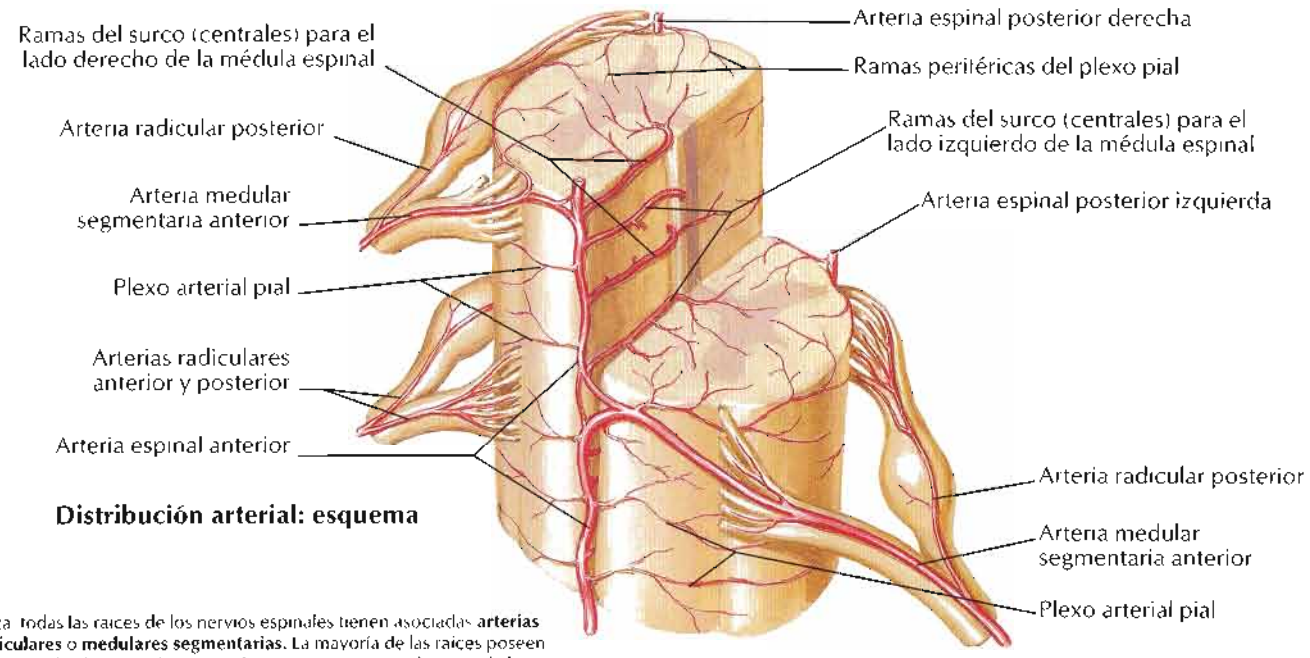
Véase también **lámina 138**



Nota: todas las raíces de los nervios espinales tienen asociadas **arterias radiculares** o **medulares segmentarias**. La mayoría de las raíces poseen arterias radiculares (véase lámina 172). Ambos tipos de arterias discurren a lo largo de las raíces, no obstante las arterias radiculares terminan antes de alcanzar las arterias espinales anterior o posterior, mientras que las arterias medulares segmentarias más grandes continúan más allá para abastecer un segmento de estas arterias.



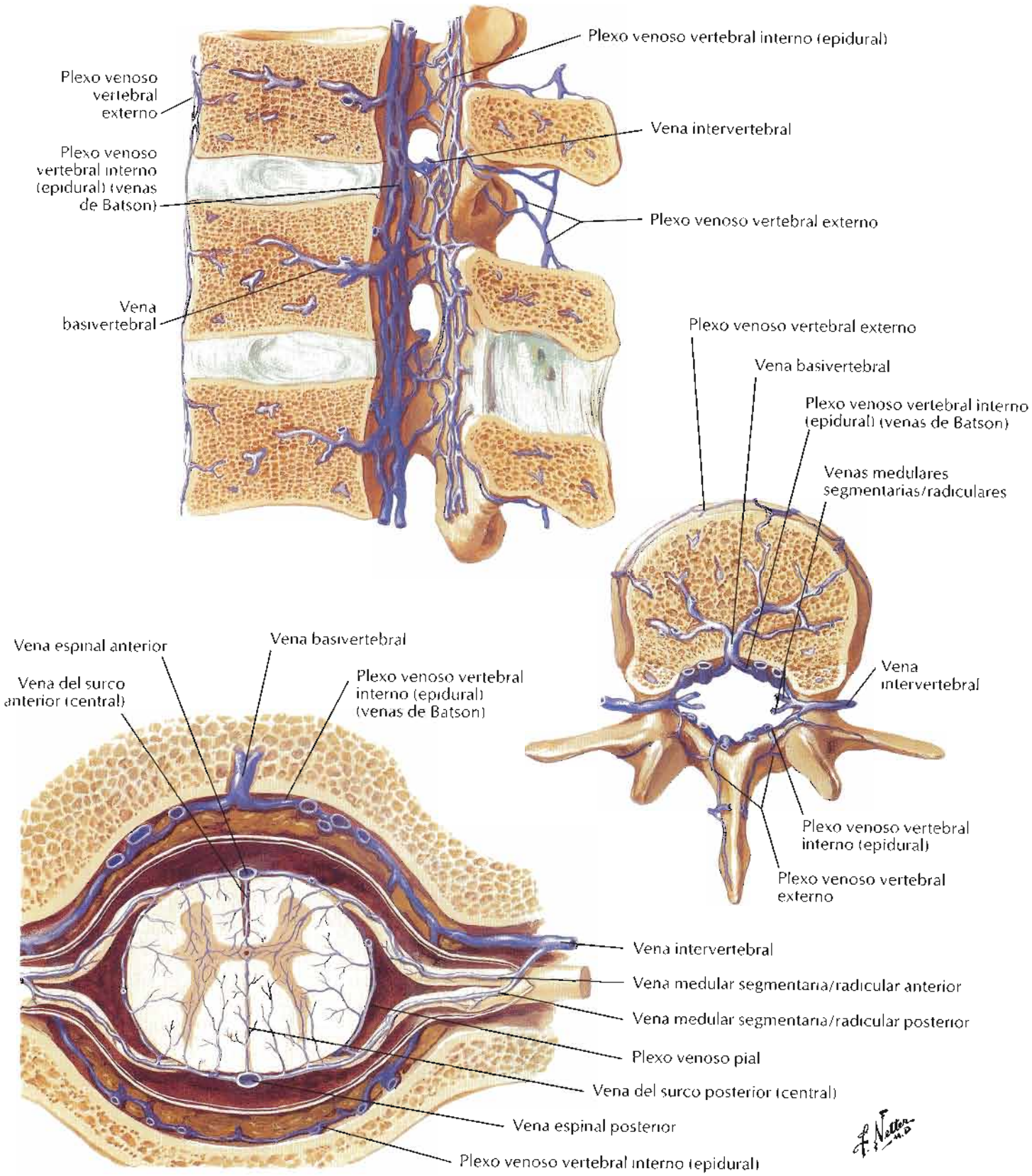
Sección a través del nivel torácico: visión anterosuperior

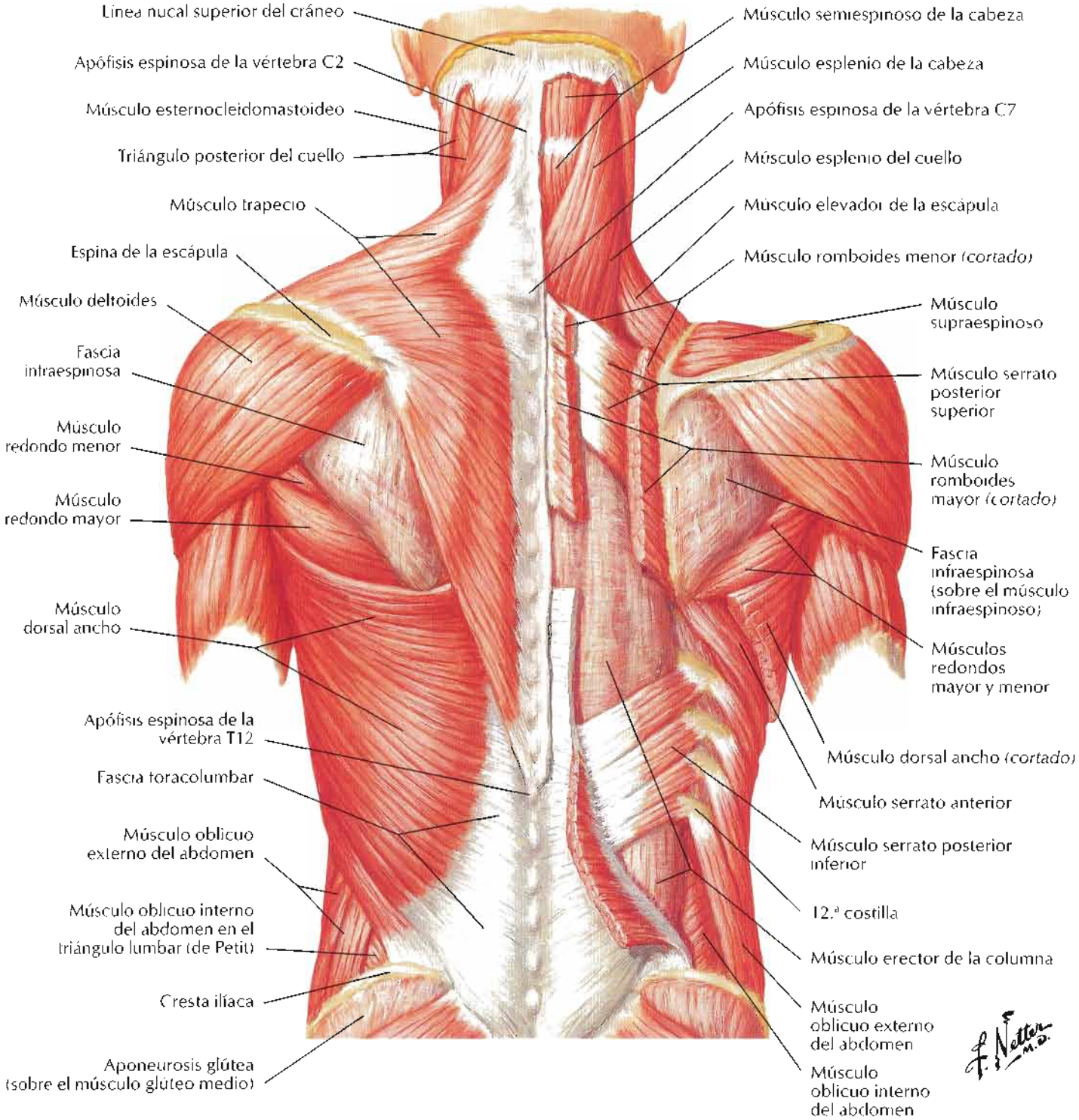


Distribución arterial: esquema

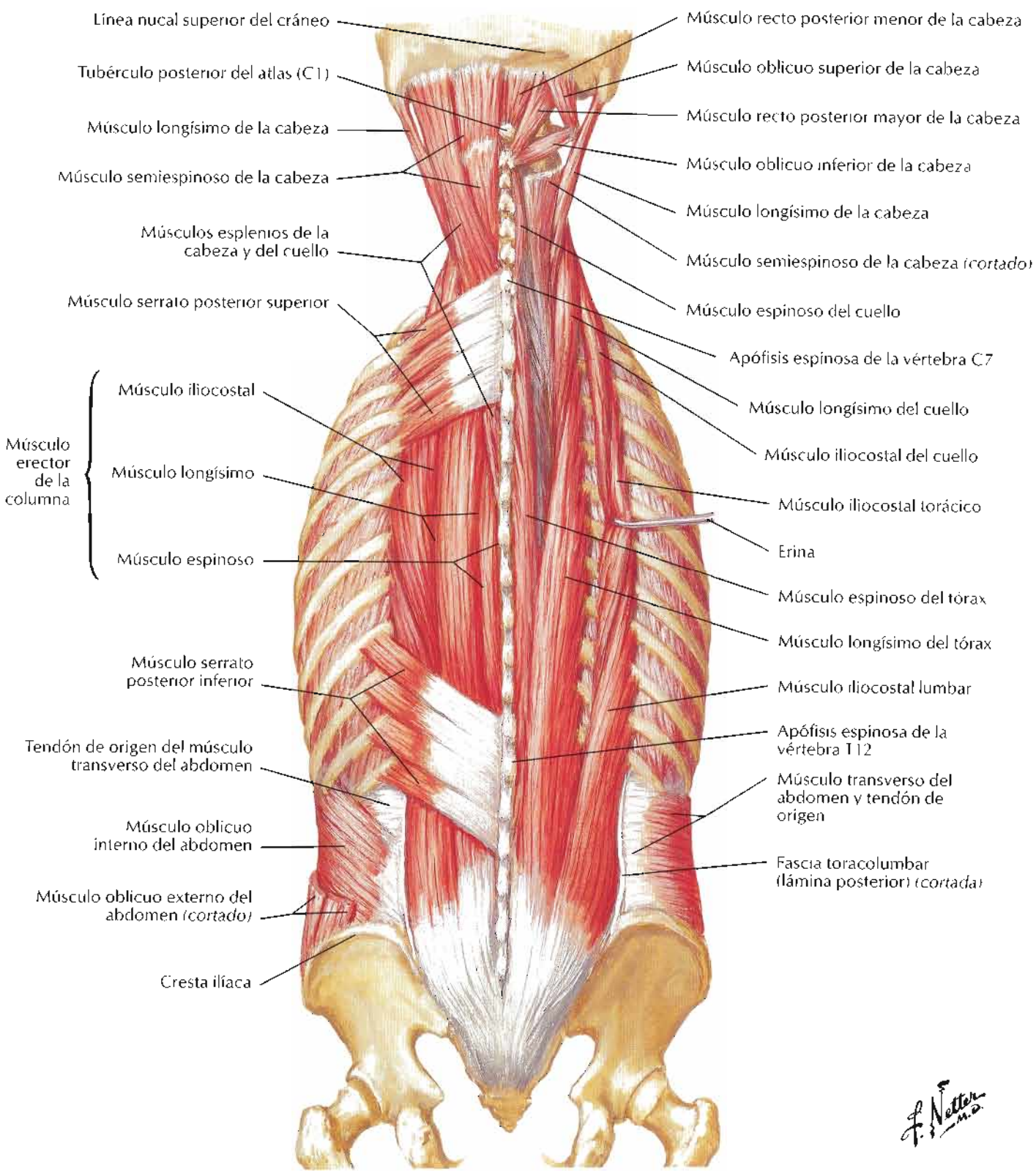
Nota: todas las raíces de los nervios espinales tienen asociadas **arterias radiculares** o **medulares segmentarias.** La mayoría de las raíces poseen arterias radiculares. Ambos tipos de arterias discurren a lo largo de las raíces; no obstante, las arterias radiculares terminan antes de alcanzar las arterias espinales anterior o posterior, mientras que las arterias medulares segmentarias, más grandes, continúan más allá para abastecer un segmento de estas arterias.

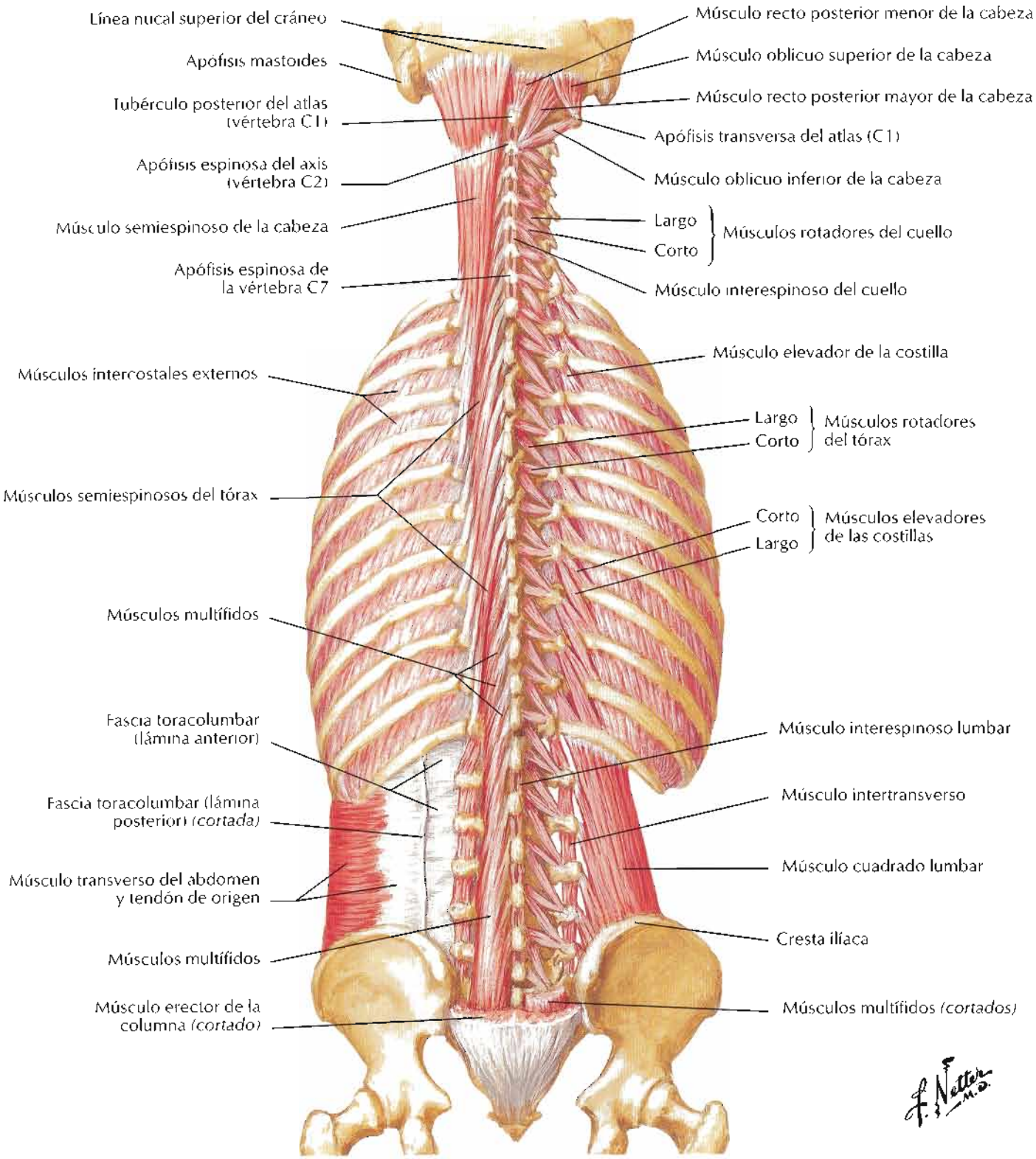
Venas de la médula espinal y columna vertebral




Línea nucal superior del cráneo
Apófisis espinosa de la vértebra C2
Músculo esternocleidomastoideo
Triángulo posterior del cuello
Músculo trapecio
Espina de la escápula
Músculo deltoides
Fascia infraespinosa
Músculo redondo menor
Músculo redondo mayor
Músculo dorsal ancho
Apófisis espinosa de la vértebra T12
Fascia toracolumbar
Músculo oblicuo externo del abdomen
Músculo oblicuo interno del abdomen en el triángulo lumbar (de Petit)
Cresta ilíaca
Aponeurosis glútea (sobre el músculo glúteo medio)
Músculo semiespinoso de la cabeza
Músculo esplenio de la cabeza
Apófisis espinosa de la vértebra C7
Músculo esplenio del cuello
Músculo elevador de la escápula
Músculo romboides menor (cortado)
Músculo supraespinoso
Músculo serrato posterior superior
Músculo romboides mayor (cortado)
Fascia infraespinosa (sobre el músculo infraespinoso)
Músculos redondos mayor y menor
Músculo dorsal ancho (cortado)
Músculo serrato anterior
Músculo serrato posterior inferior
12.ª costilla
Músculo erector de la columna
Músculo oblicuo externo del abdomen
Músculo oblicuo interno del abdomen
F. Netter M.D.

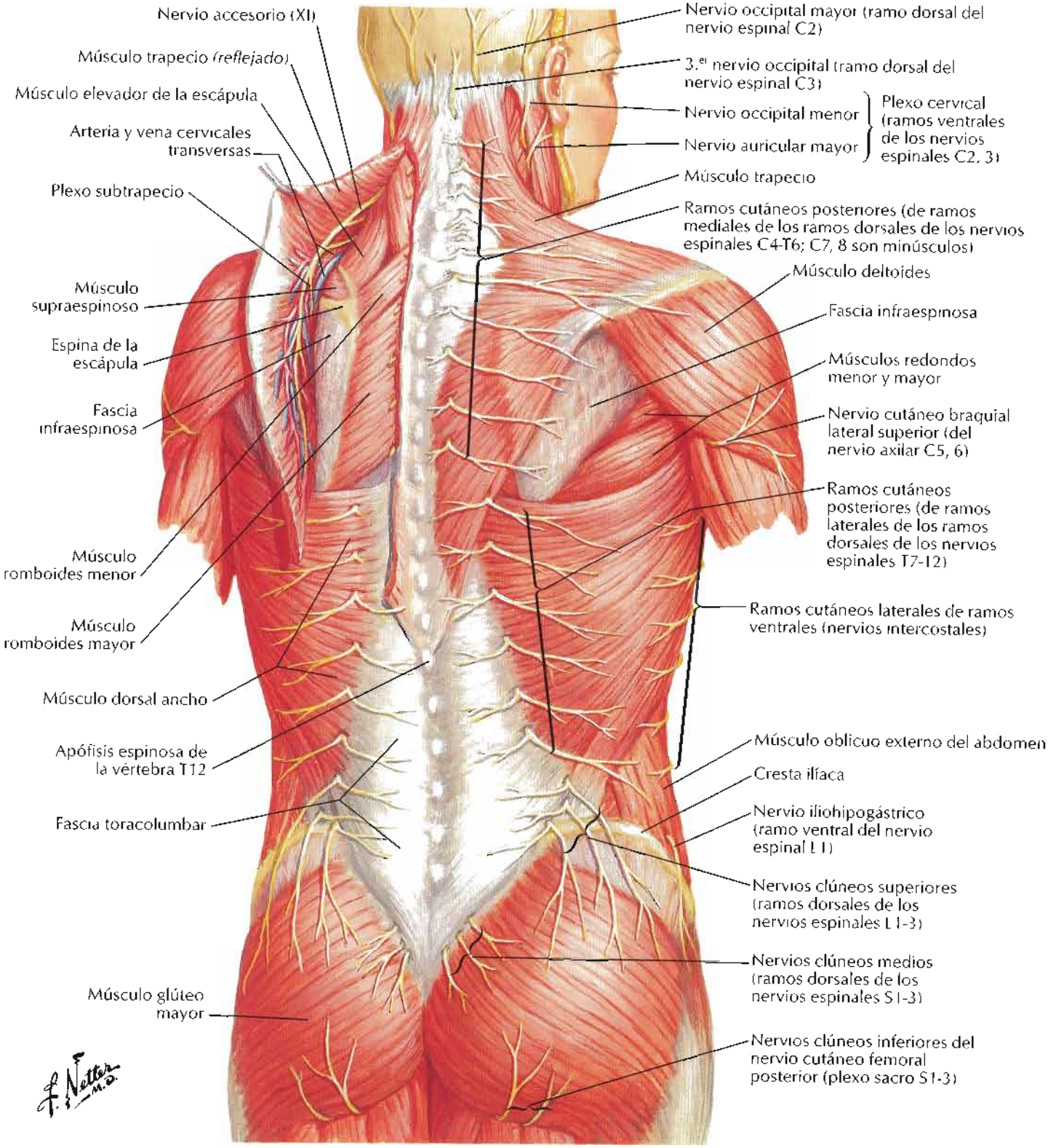
Músculos del dorso: planos intermedios

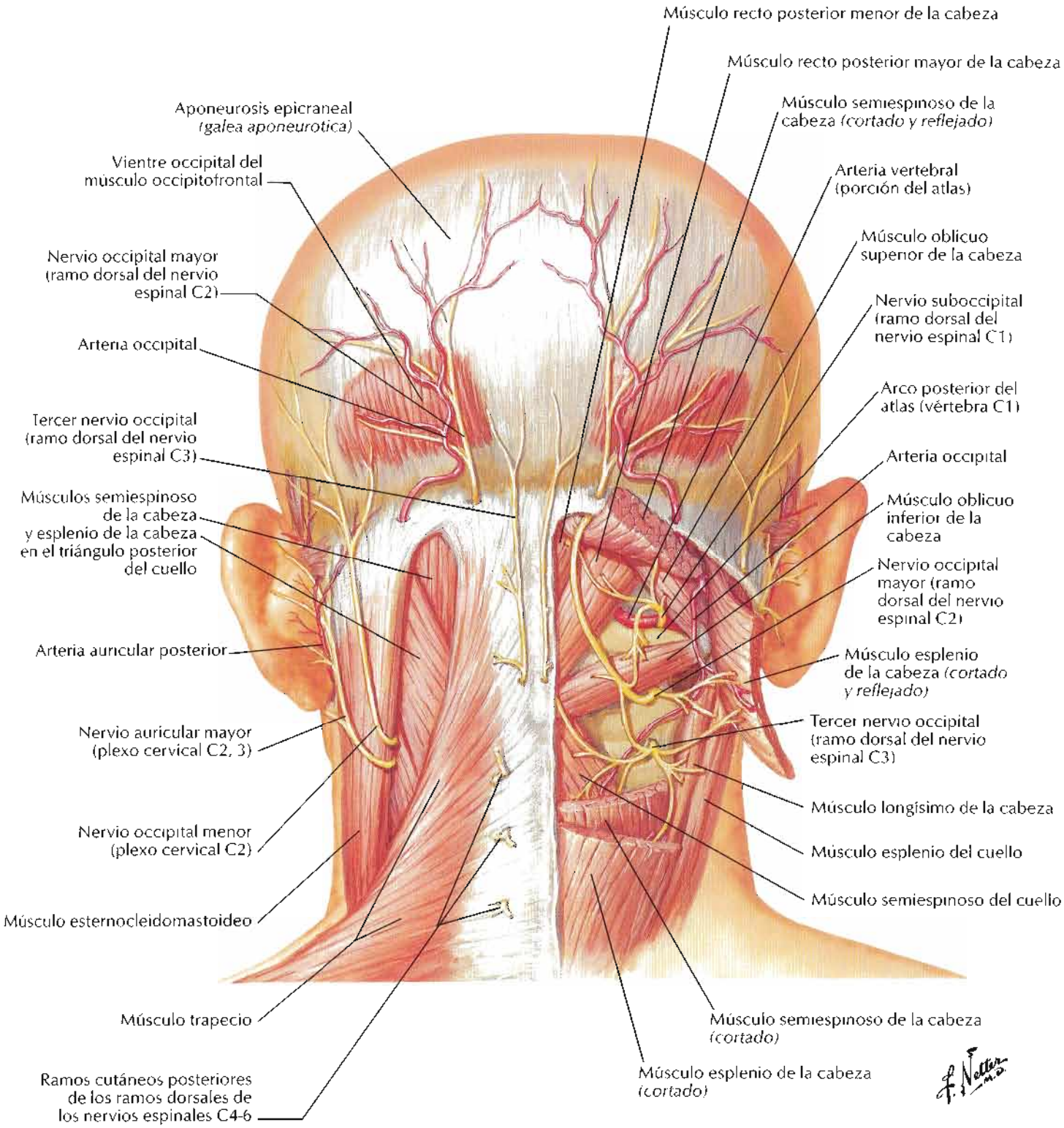



Línea nucal superior del cráneo
Apófisis mastoides
Tubérculo posterior del atlas (vértebra C1)
Apófisis espinosa del axis (vértebra C2)
Músculo semiespinoso de la cabeza
Apófisis espinosa de la vértebra C7
Músculos intercostales externos
Músculos semiespinosos del tórax
Músculos multífidos
Fascia toracolumbar (lámina anterior)
Fascia toracolumbar (lámina posterior) (cortada)
Músculo transverso del abdomen y tendón de origen
Músculos multífidos
Músculo erector de la columna (cortado)
Músculo recto posterior menor de la cabeza
Músculo oblicuo superior de la cabeza
Músculo recto posterior mayor de la cabeza
Apófisis transversa del atlas (C1)
Músculo oblicuo inferior de la cabeza
Largo
Corto
Músculos rotadores del cuello
Músculo interespinoso del cuello
Músculo elevador de la costilla
Largo
Corto
Músculos rotadores del tórax
Corto
Largo
Músculos elevadores de las costillas
Músculo interespinoso lumbar
Músculo intertransverso
Músculo cuadrado lumbar
Cresta ilíaca
Músculos multífidos (cortados)

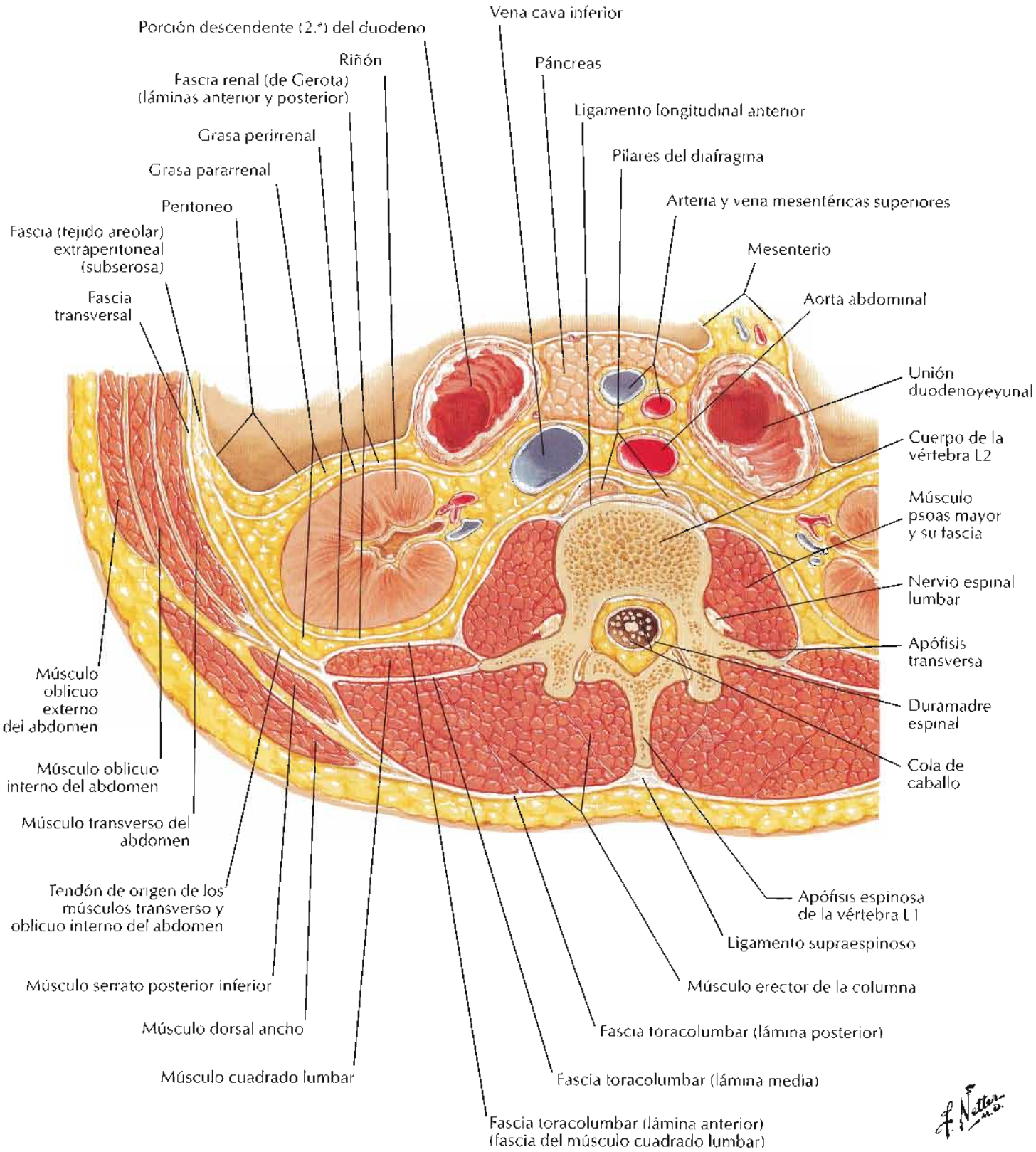
2 Nervios del dorso

Véanse también **láminas 180, 192, 254, 258**



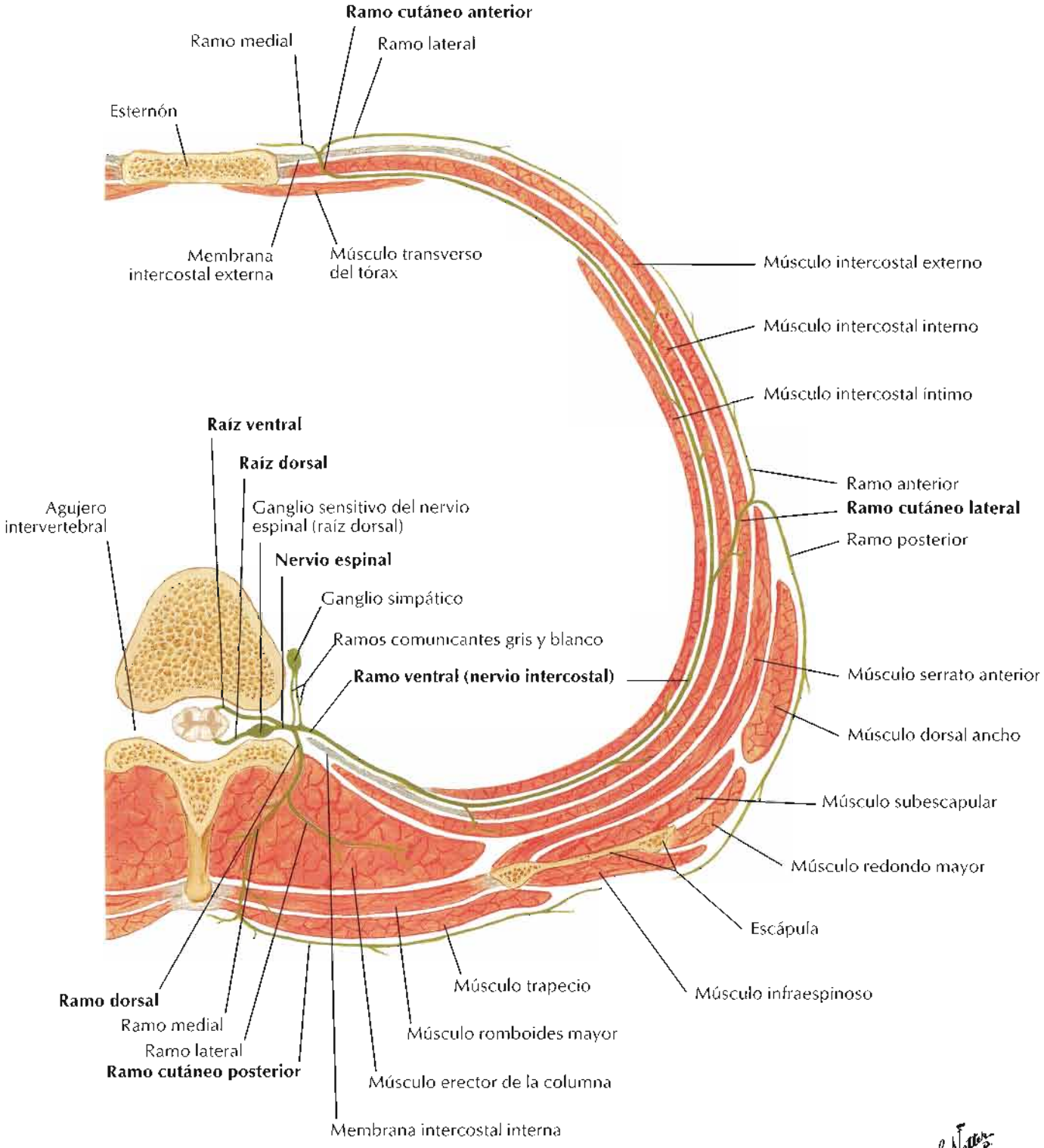

Músculo recto posterior menor de la cabeza
Músculo recto posterior mayor de la cabeza
Aponeurosis epicraneal (*galea aponeurotica*)
Músculo semiespinoso de la cabeza (*cortado y reflejado*)
Vientre occipital del músculo occipitofrontal
Arteria vertebral (porción del atlas)
Músculo oblicuo superior de la cabeza
Nervio occipital mayor (ramo dorsal del nervio espinal C2)
Nervio suboccipital (ramo dorsal del nervio espinal C1)
Arteria occipital
Arco posterior del atlas (vértebra C1)
Tercer nervio occipital (ramo dorsal del nervio espinal C3)
Arteria occipital
Músculos semiespinoso de la cabeza y esplenio de la cabeza en el triángulo posterior del cuello
Músculo oblicuo inferior de la cabeza
Nervio occipital mayor (ramo dorsal del nervio espinal C2)
Arteria auricular posterior
Músculo esplenio de la cabeza (*cortado y reflejado*)
Nervio auricular mayor (plexo cervical C2, 3)
Tercer nervio occipital (ramo dorsal del nervio espinal C3)
Nervio occipital menor (plexo cervical C2)
Músculo longísimo de la cabeza
Músculo esplenio del cuello
Músculo esternocleidomastoideo
Músculo semiespinoso del cuello
Músculo trapecio
Músculo semiespinoso de la cabeza (*cortado*)
Ramos cutáneos posteriores de los ramos dorsales de los nervios espinales C4-6
Músculo esplenio de la cabeza (*cortado*)

2 Región lumbar del dorso: sección transversal



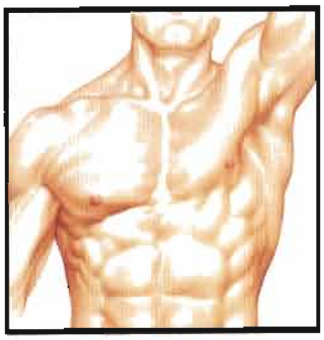
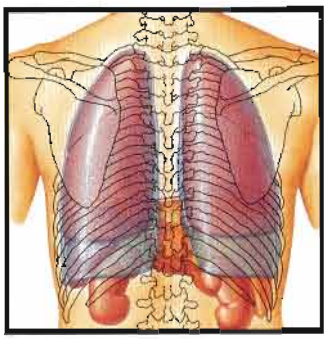
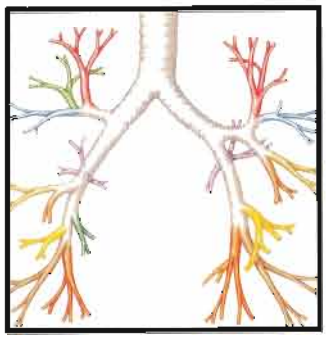
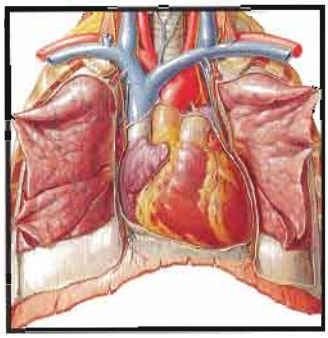
Nervio espinal torácico típico

Véanse también **láminas 192, 258**



Nota: en la región torácica inferior, el ramo lateral del ramo dorsal es más largo, motor y cutáneo; el ramo medial es más corto y sólo motor

Sección 3 Tórax

Anatomía de superficie

Lámina 181

181 Tórax

Glándula mamaria

Láminas 182–184

182 Glándula mamaria

183 Arterias de la glándula mamaria

184 Vasos y nódulos linfáticos de la glándula mamaria

Pared corporal

Láminas 185–195

185 Esqueleto óseo del tórax

186 Costillas y articulaciones esternocostales

187 Articulaciones costovertebrales

188 Pared torácica anterior

189 Pared torácica anterior *(continuación)*

190 Colocación de un tubo de drenaje torácico

191 Pared torácica anterior: visión interna

192 Nervios y arterias intercostales

193 Nervio frénico

194 Diafragma: cara torácica

195 Diafragma: cara abdominal

Pulmones

Láminas 196–210

196 Topografía de los pulmones: visión anterior

197 Topografía de los pulmones: visión posterior

198 Pulmones in situ: visión anterior

3 Tórax

199 Pulmones: visiones mediales
200 Segmentos broncopulmonares
201 Segmentos broncopulmonares *(continuación)*
202 Tráquea y bronquios mayores
203 Nomenclatura de los bronquios: esquema
204 Vías intrapulmonares: esquema
205 Circulación sanguínea intrapulmonar: esquema
206 Grandes vasos del mediastino superior
207 Arterias y venas bronquiales
208 Vasos y nódulos linfáticos del pulmón
209 Nervios autónomos en el tórax
210 Inervación del árbol traqueobronquial: esquema

Corazón

Láminas 211–229

211 Corazón in situ
212 Corazón: exposición anterior
213 Radiografía del tórax
214 Corazón: caras basal y diafragmática
215 Saco pericárdico
216 Arterias coronarias y venas cardíacas
217 Arterias coronarias y venas cardíacas: variaciones
218 Arterias coronarias: visiones arteriográficas
219 Arterias coronarias: visiones arteriográficas *(continuación)*
220 Atrio (aurícula) y ventrículo derechos
221 Atrio (aurícula) y ventrículo izquierdos
222 Válvulas y esqueleto fibroso del corazón
223 Válvulas y esqueleto fibroso del corazón *(continuación)*
224 Atrios (aurículas), ventrículos y septo interventricular
225 Sistema de conducción del corazón
226 Nervios del corazón
227 Inervación del corazón: esquema
228 Inervación de los vasos sanguíneos: esquema
229 Circulación prenatal y posnatal

Mediastino

Láminas 230–241

230 Mediastino: visión lateral derecha
231 Mediastino: visión lateral izquierda
232 Esófago in situ
233 Topografía y constricciones del esófago
234 Musculatura del esófago
235 Unión faringoesofágica
236 Unión esofagogástrica
237 Arterias del esófago
238 Venas del esófago
239 Vasos y nódulos linfáticos del esófago
240 Nervios del esófago
241 Mediastino: sección transversal

Exploraciones regionales

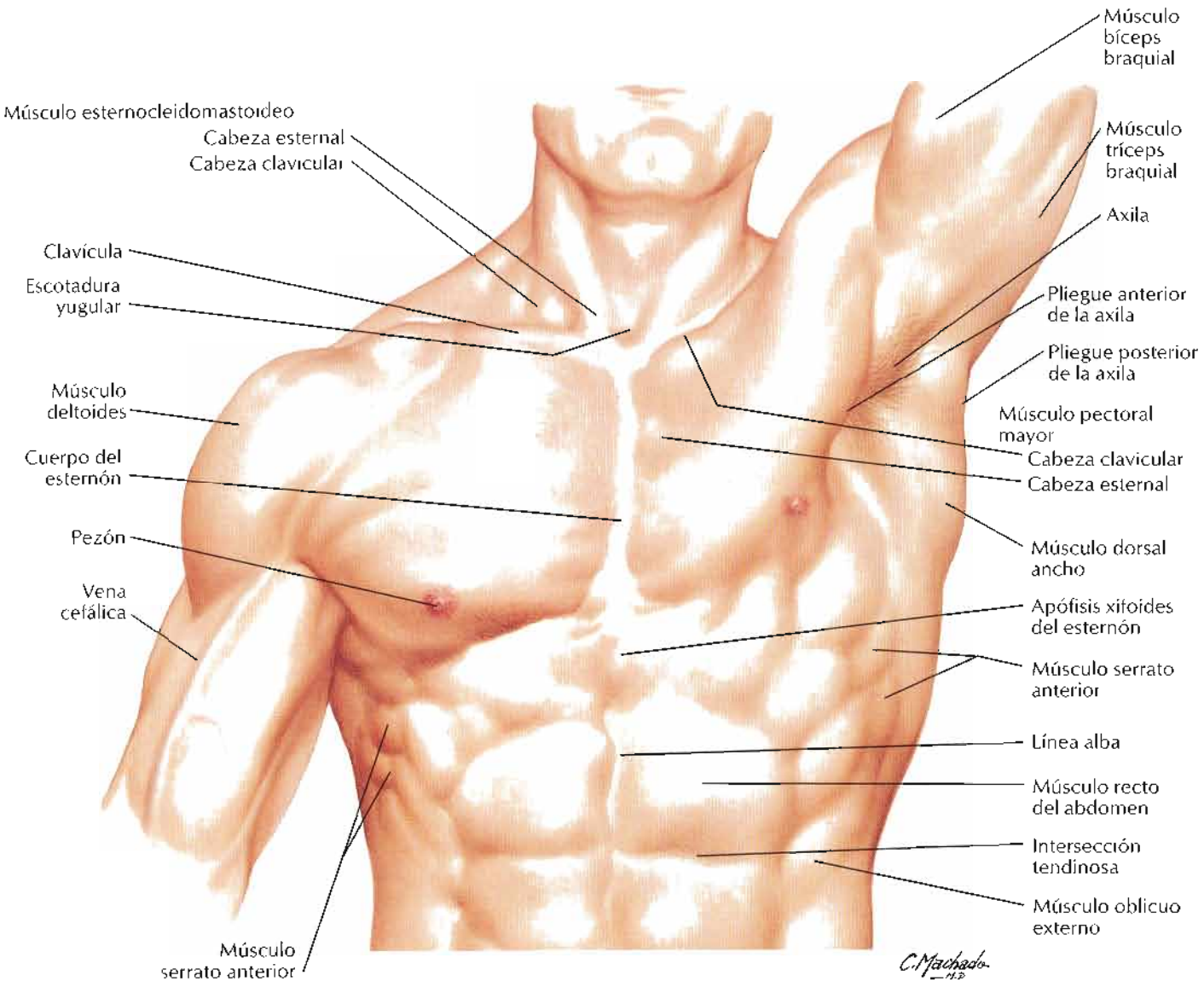
Lámina 242

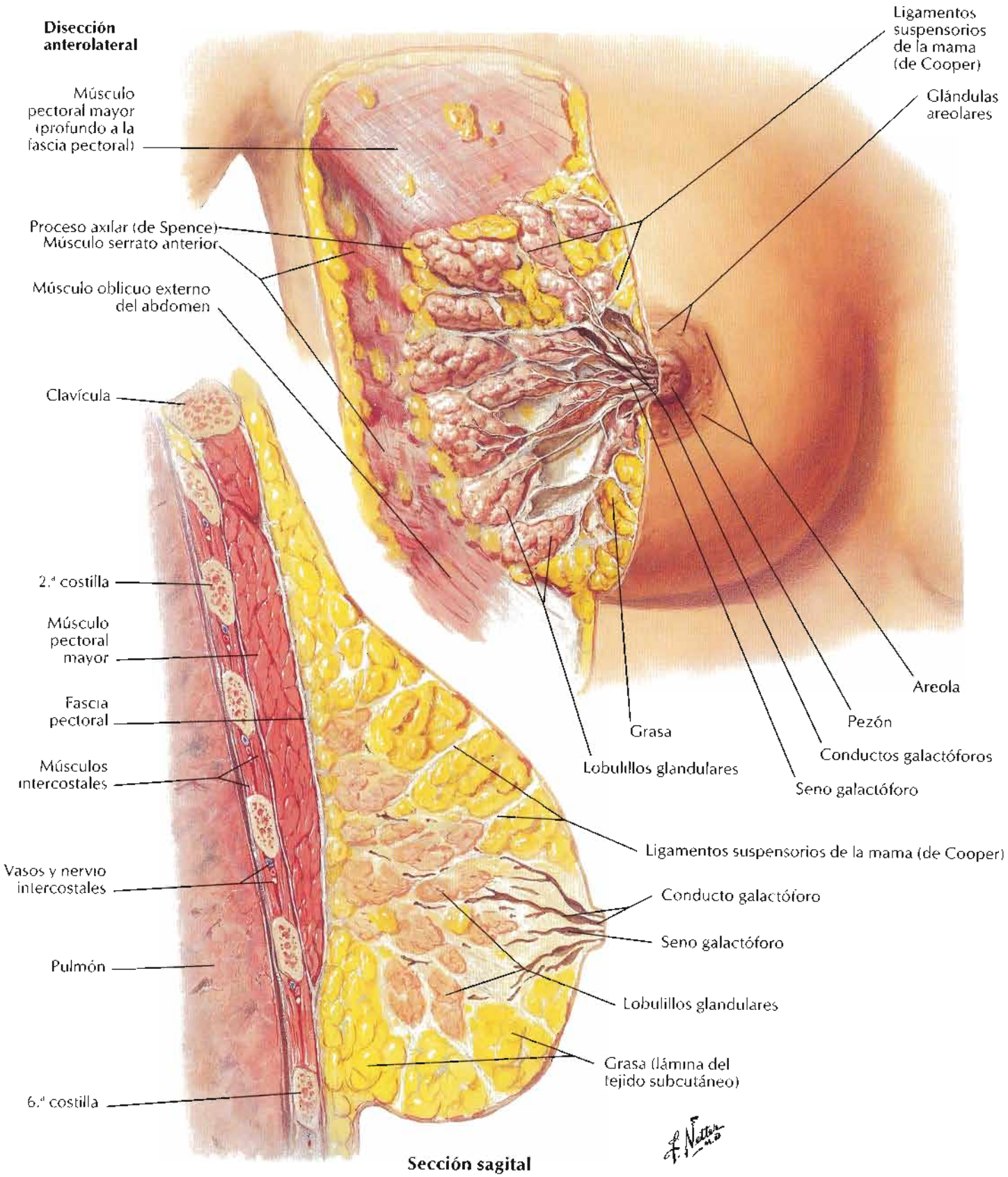
242 Exploraciones de tórax: imágenes axiales de TC

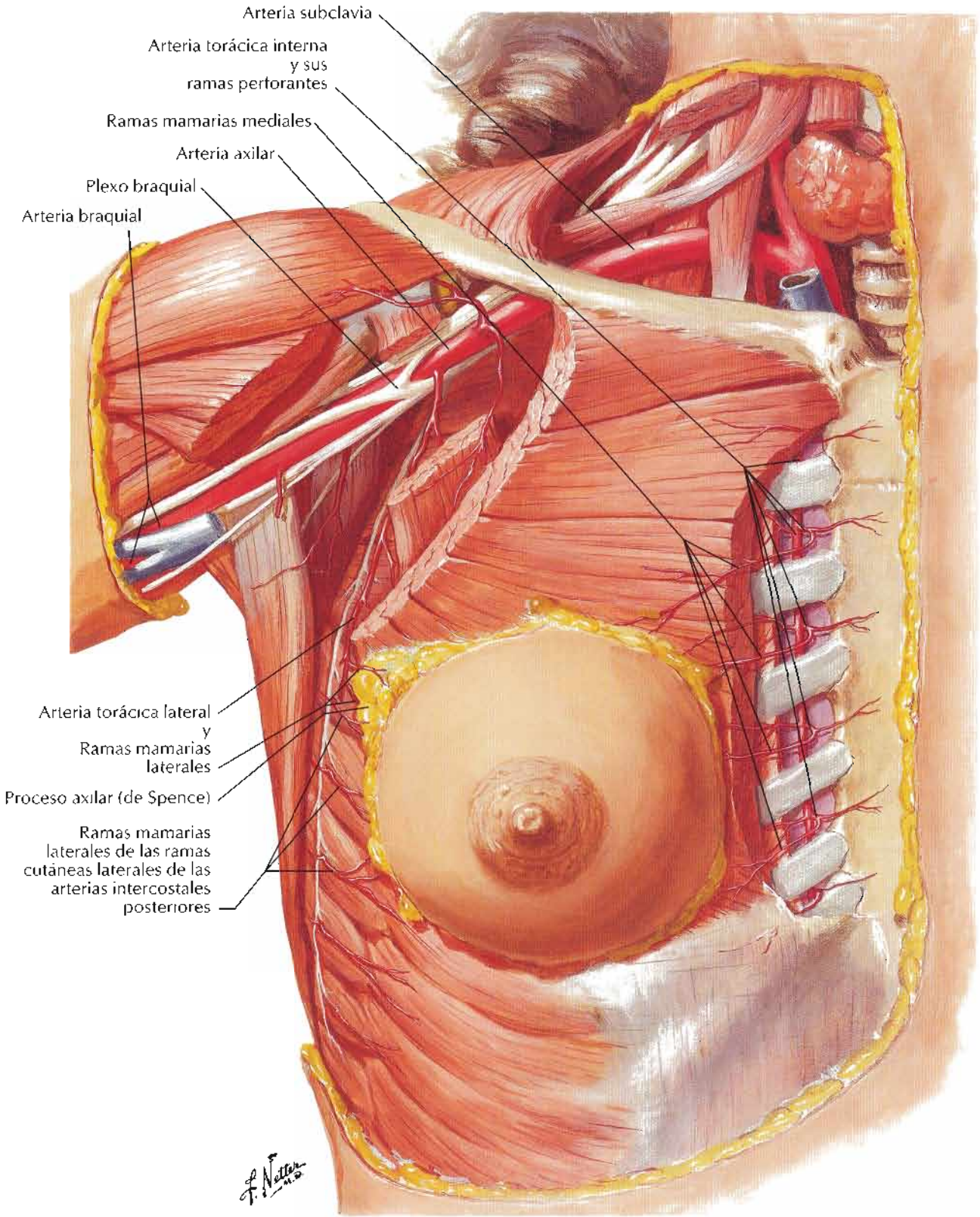
Anatomía seccional

Láminas 243–246

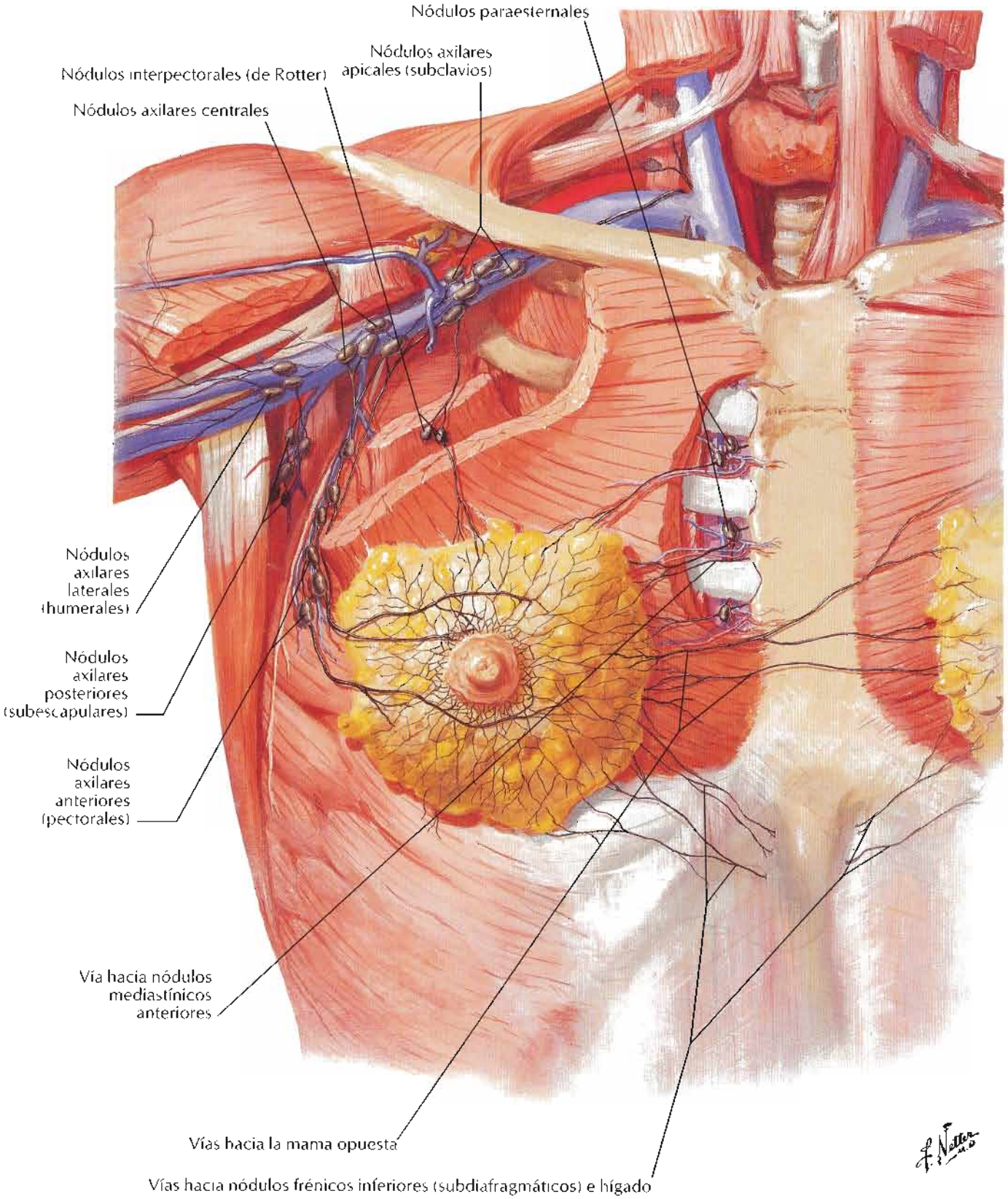
243 Sección transversal del tórax a nivel de T3
244 Sección transversal del tórax a nivel del disco T3-4
245 Sección transversal del tórax a nivel del disco T4-5
246 Sección transversal del tórax a nivel de T7


Músculo bíceps braquial
Músculo esternocleidomastoideo
Cabeza esternal
Cabeza clavicular
Músculo tríceps braquial
Axila
Clavícula
Escotadura yugular
Pliegue anterior de la axila
Pliegue posterior de la axila
Músculo deltoides
Músculo pectoral mayor
Cabeza clavicular
Cabeza esternal
Cuerpo del esternón
Pezón
Músculo dorsal ancho
Vena cefálica
Apófisis xifoides del esternón
Músculo serrato anterior
Línea alba
Músculo recto del abdomen
Intersección tendinosa
Músculo oblicuo externo
Músculo serrato anterior
C. Machado

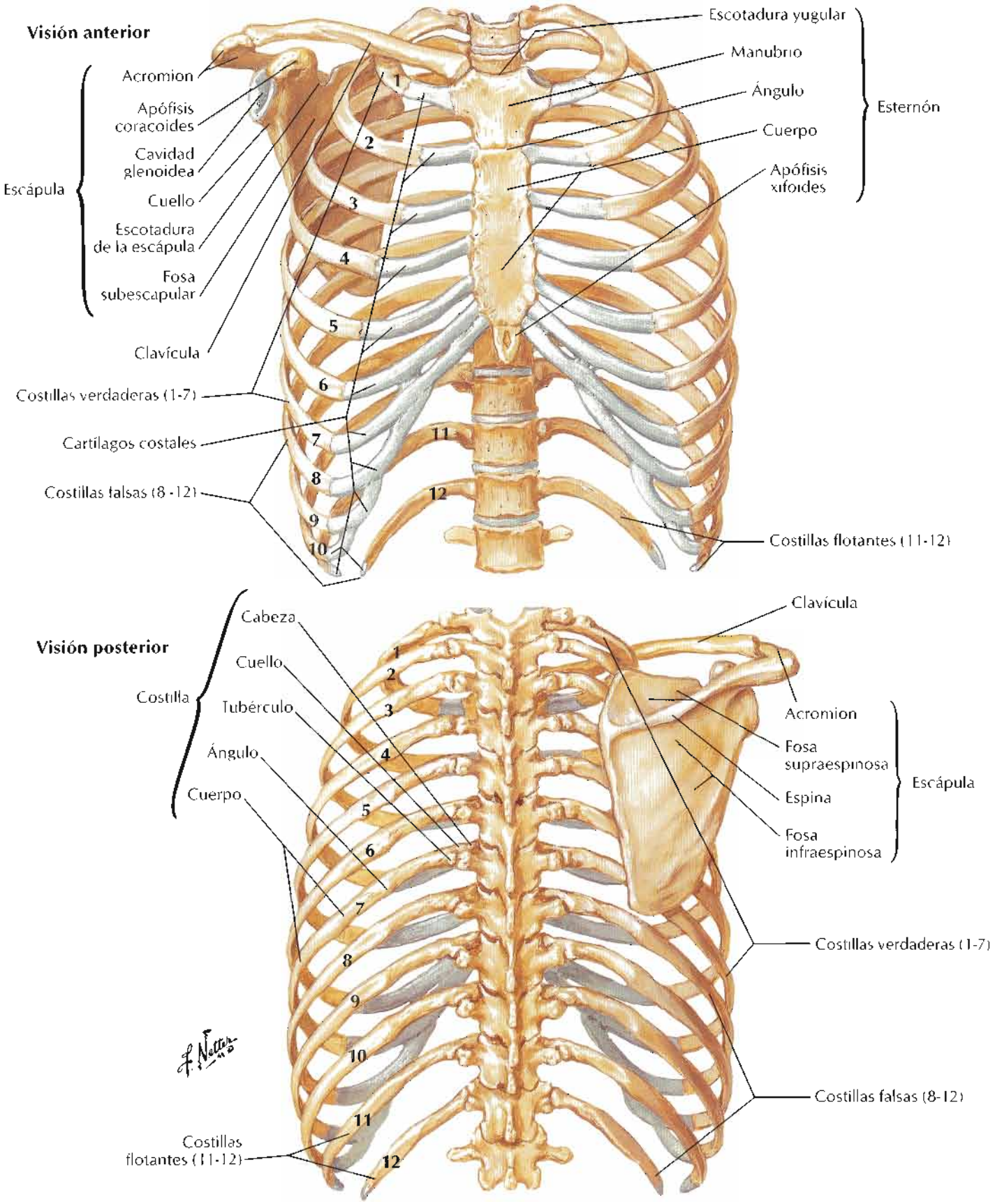

Disección anterolateral
Músculo pectoral mayor (profundo a la fascia pectoral)
Proceso axilar (de Spence)
Músculo serrato anterior
Músculo oblicuo externo del abdomen
Clavícula
2.ª costilla
Músculo pectoral mayor
Fascia pectoral
Músculos intercostales
Vasos y nervio intercostales
Pulmón
6.ª costilla
Ligamentos suspensorios de la mama (de Cooper)
Glándulas areolares
Areola
Pezón
Conductos galactóforos
Seno galactóforo
Grasa
Lobulillos glandulares
Ligamentos suspensorios de la mama (de Cooper)
Conducto galactóforo
Seno galactóforo
Lobulillos glandulares
Grasa (lámina del tejido subcutáneo)
Sección sagital


Arteria subclavia
Arteria torácica interna y sus ramas perforantes
Ramas mamarias mediales
Arteria axilar
Plexo braquial
Arteria braquial
Arteria torácica lateral y Ramas mamarias laterales
Proceso axilar (de Spence)
Ramas mamarias laterales de las ramas cutáneas laterales de las arterias intercostales posteriores

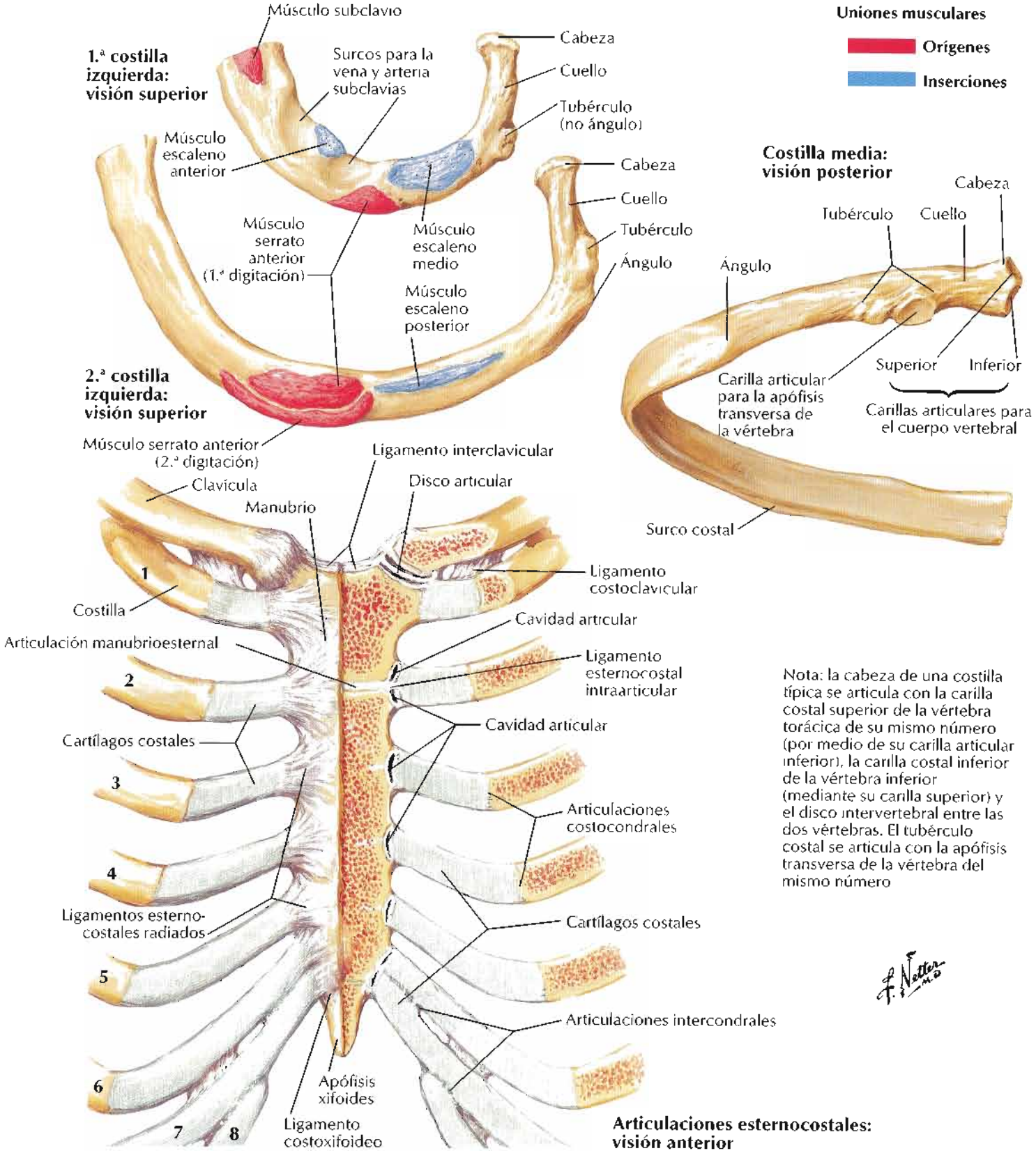
3 Vasos y nódulos linfáticos de la glándula mamaria



Véase también **lámina 248**

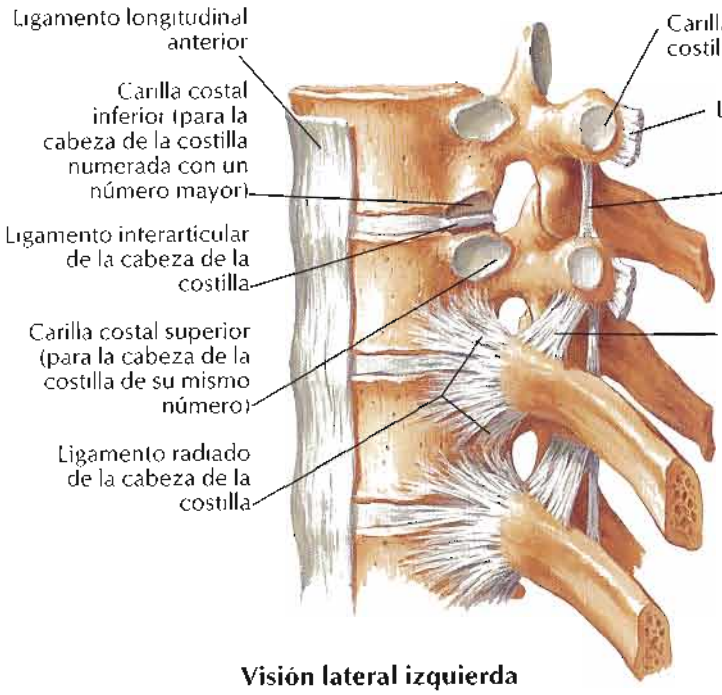


3 Costillas y articulaciones esternocostales

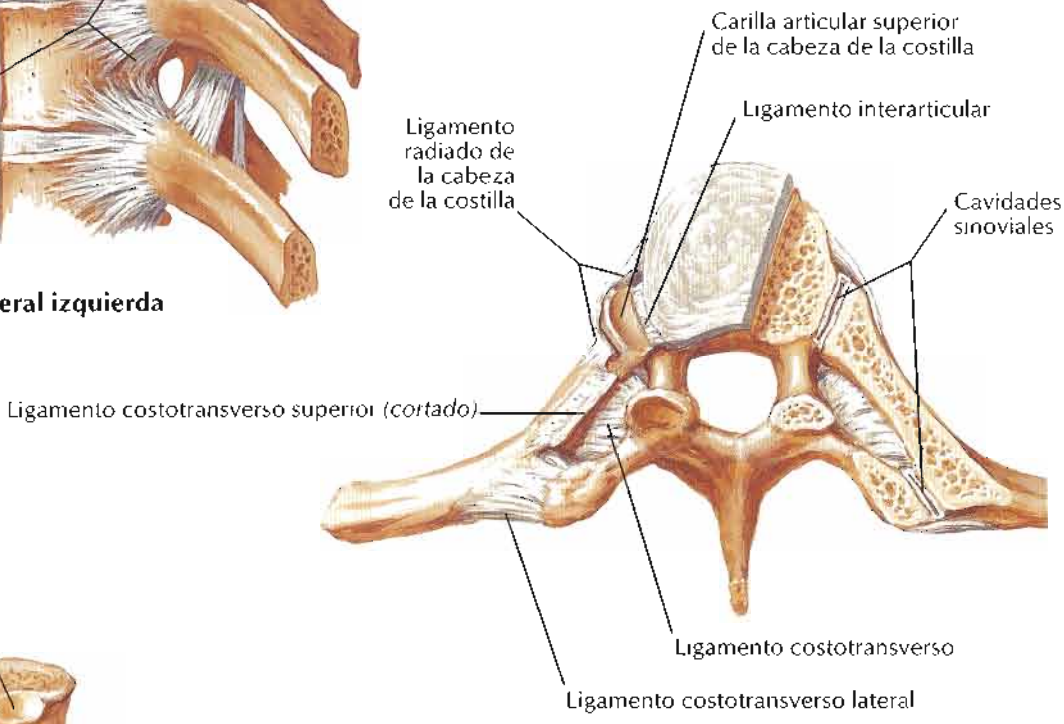


Nota: la cabeza de una costilla típica se articula con la carilla costal superior de la vértebra torácica de su mismo número (por medio de su carilla articular inferior), la carilla costal inferior de la vértebra inferior (mediante su carilla superior) y el disco intervertebral entre las dos vértebras. El tubérculo costal se articula con la apófisis transversa de la vértebra del mismo número

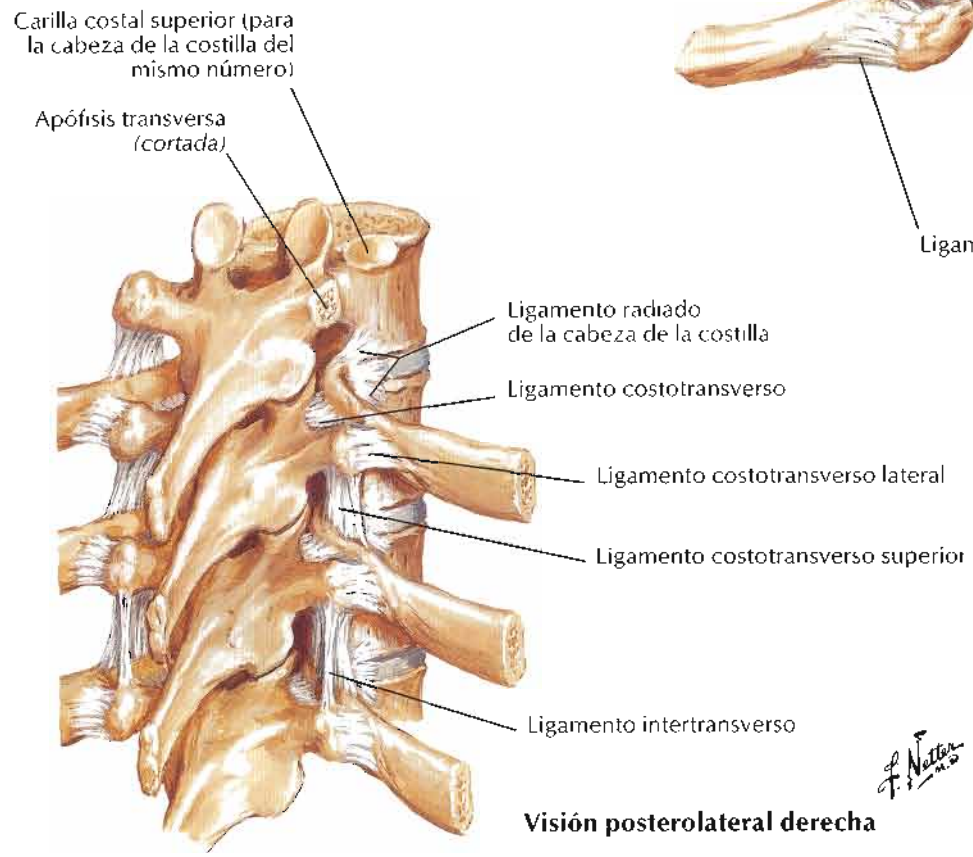
Véase también **lámina 154**



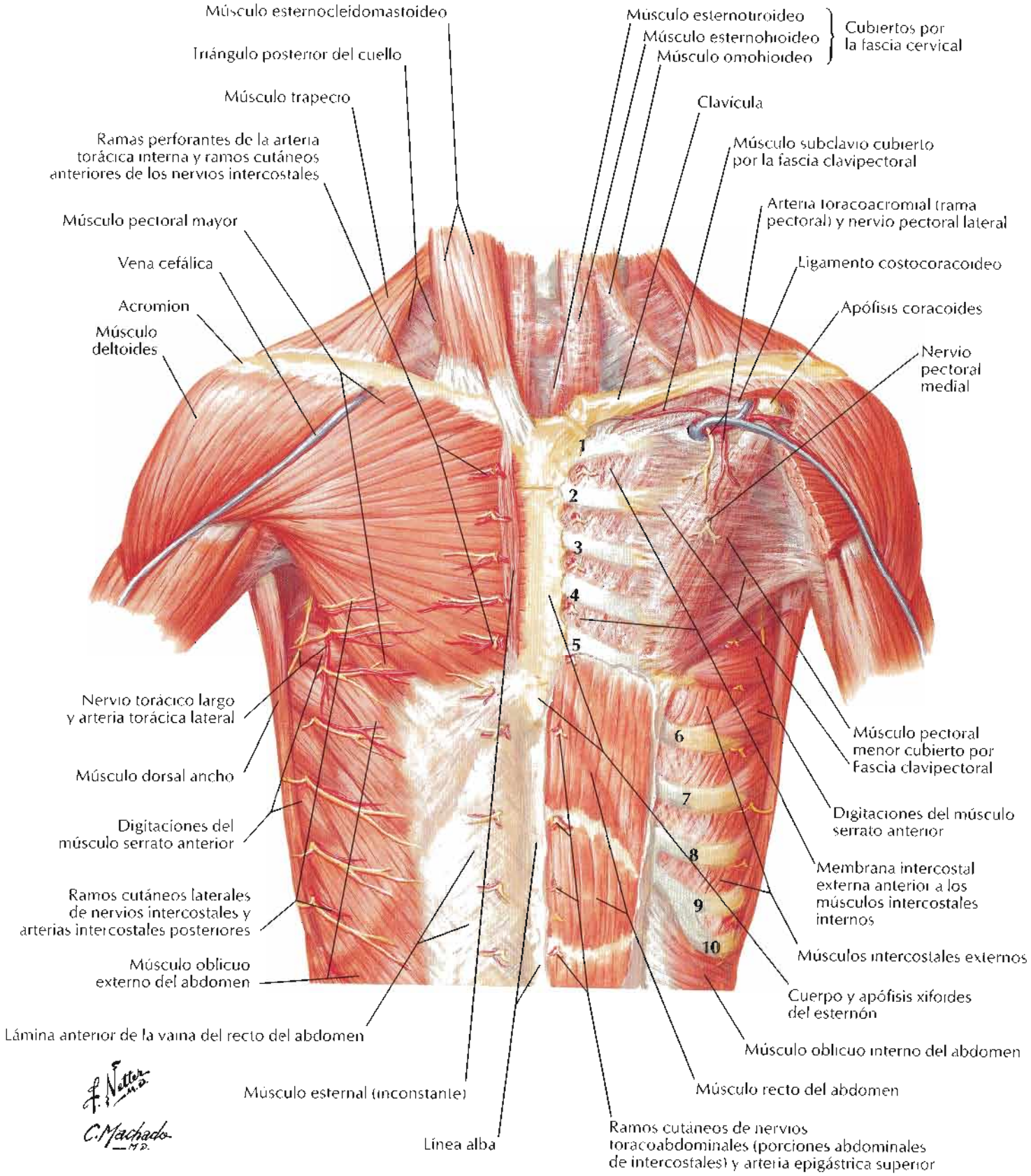
Visión lateral izquierda

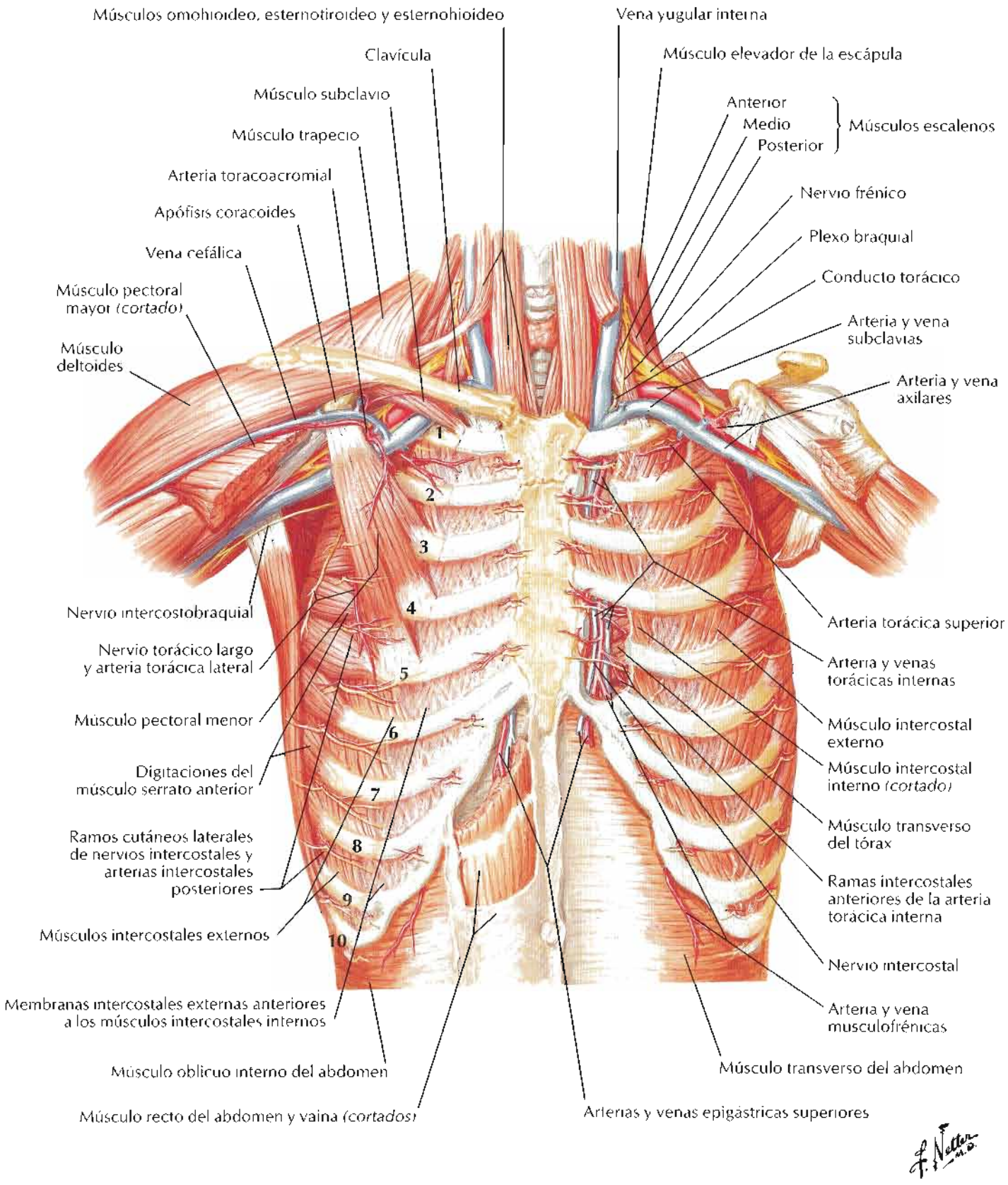


Sección transversa: visión superior



Visión posterolateral derecha

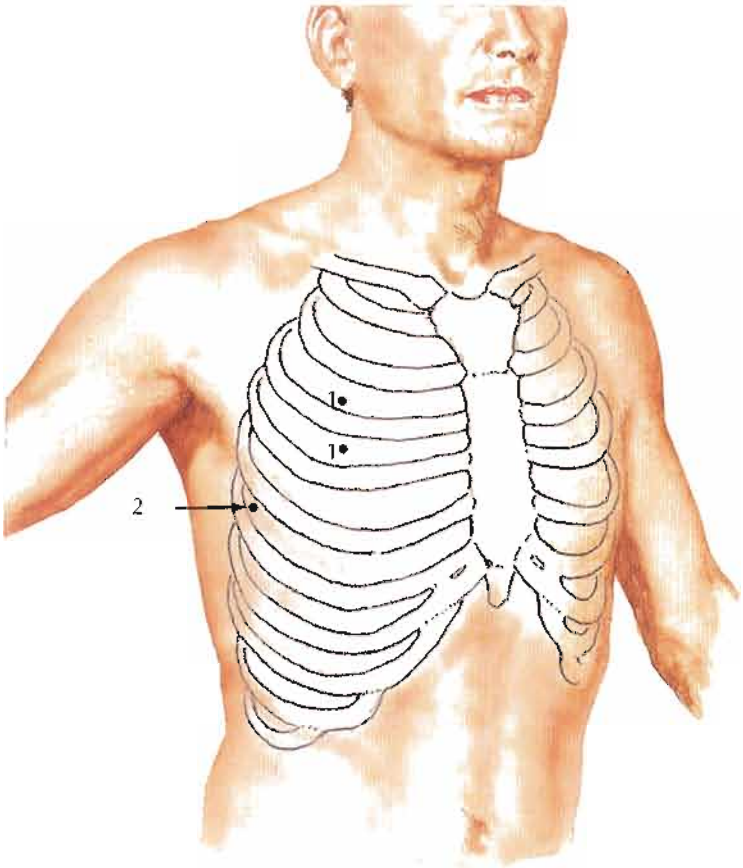

Músculo esternocleidomastoideo
Triángulo posterior del cuello
Músculo trapecio
Ramas perforantes de la arteria torácica interna y ramos cutáneos anteriores de los nervios intercostales
Músculo pectoral mayor
Vena cefálica
Acromion
Músculo deltoides
Nervio torácico largo y arteria torácica lateral
Músculo dorsal ancho
Digitaciones del músculo serrato anterior
Ramos cutáneos laterales de nervios intercostales y arterias intercostales posteriores
Músculo oblicuo externo del abdomen
Lámina anterior de la vaina del recto del abdomen
Músculo esternotiroideo
Músculo esternohioideo
Músculo omohioideo
Cubiertos por la fascia cervical
Clavícula
Músculo subclavio cubierto por la fascia clavipectoral
Arteria toracoacromial (rama pectoral) y nervio pectoral lateral
Ligamento costocoracoideo
Apófisis coracoides
Nervio pectoral medial
1
2
3
4
5
6
7
8
9
10
Músculo pectoral menor cubierto por Fascia clavipectoral
Digitaciones del músculo serrato anterior
Membrana intercostal externa anterior a los músculos intercostales internos
Músculos intercostales externos
Cuerpo y apófisis xifoides del esternón
Músculo oblicuo interno del abdomen
Músculo recto del abdomen
Ramos cutáneos de nervios toracoabdominales (porciones abdominales de intercostales) y arteria epigástrica superior
Línea alba
Músculo esternal (inconstante)


Músculos omohioideo, esternotiroideo y esternohioideo
Clavícula
Músculo subclavio
Músculo trapecio
Arteria toracoacromial
Apófisis coracoides
Vena cefálica
Músculo pectoral mayor *(cortado)*
Músculo deltoides
Nervio intercostobraquial
Nervio torácico largo y arteria torácica lateral
Músculo pectoral menor
Digitaciones del músculo serrato anterior
Ramos cutáneos laterales de nervios intercostales y arterias intercostales posteriores
Músculos intercostales externos
Membranas intercostales externas anteriores a los músculos intercostales internos
Músculo oblicuo interno del abdomen
Músculo recto del abdomen y vaina *(cortados)*
1
2
3
4
5
6
7
8
9
10
Vena yugular interna
Músculo elevador de la escápula
Anterior
Medio
Posterior
Músculos escalenos
Nervio frénico
Plexo braquial
Conducto torácico
Arteria y vena subclavias
Arteria y vena axilares
Arteria torácica superior
Arteria y venas torácicas internas
Músculo intercostal externo
Músculo intercostal interno *(cortado)*
Músculo transverso del tórax
Ramas intercostales anteriores de la arteria torácica interna
Nervio intercostal
Arteria y vena musculofrénicas
Músculo transverso del abdomen
Arterias y venas epigástricas superiores

3 Colocación de un tubo de drenaje torácico

Localizaciones preferentes

1. Para el neumotórax (2.º o 3.er espacio intercostal en la línea medioclavicular)
2. Para el hemotórax (5.º espacio intercostal en la línea media axilar)



A. Se empuja el trocar y cánula a través del espacio intercostal

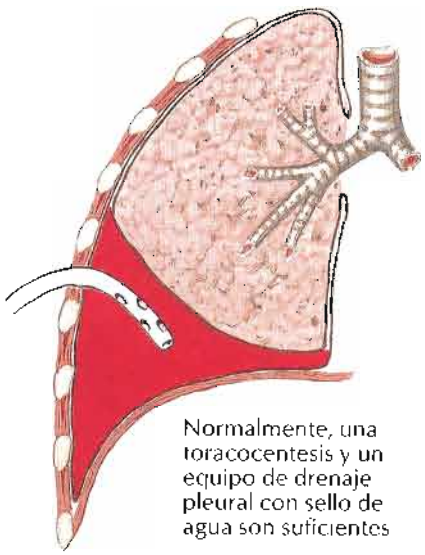


B. Se retira el trocar; se pasa el tubo hacia el interior del tórax a través de la cánula



C. Se retira la cánula; se conecta el tubo a un equipo de drenaje pleural con sello de agua (si es necesario con aspiración)

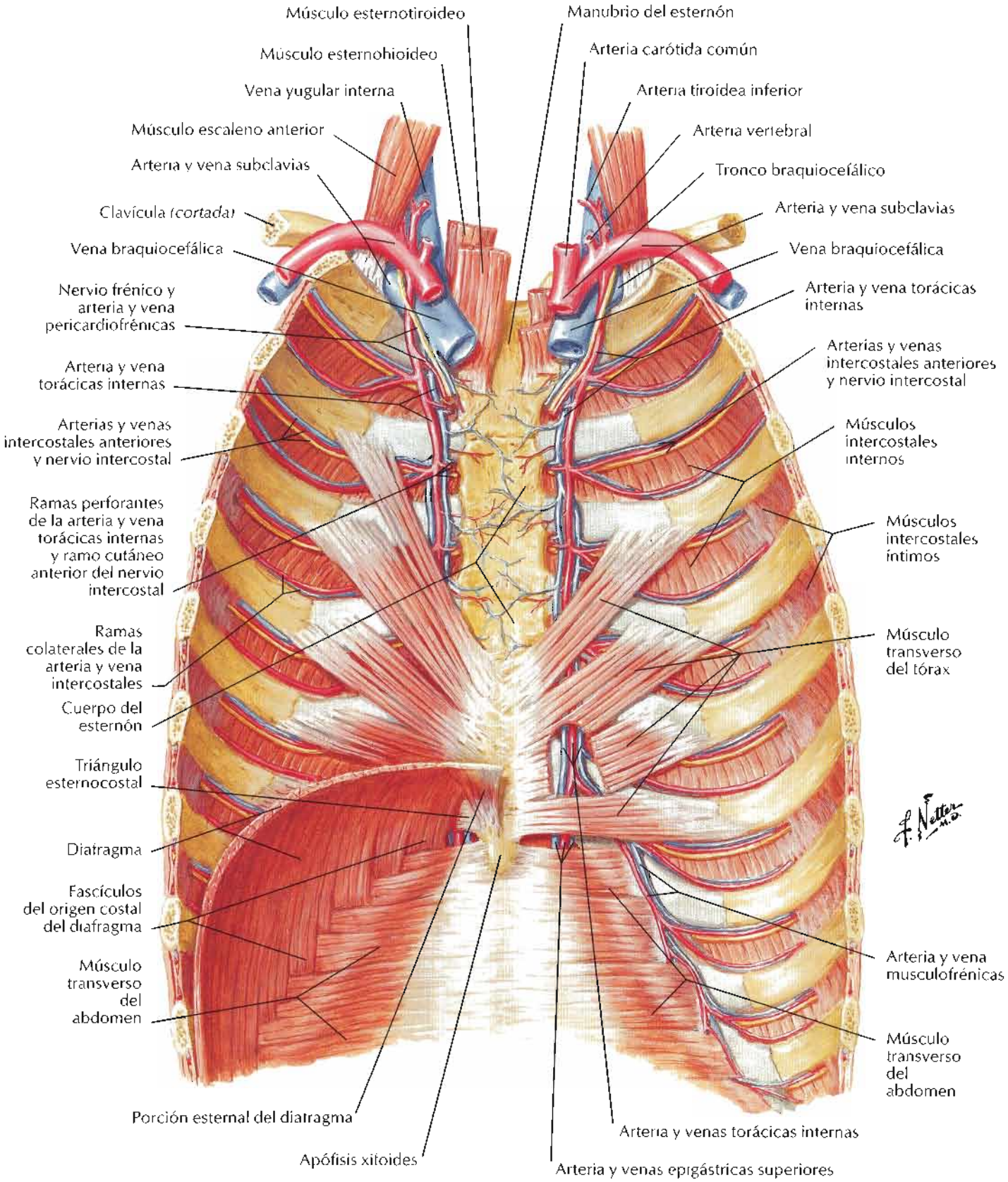




Normalmente, una toracocentesis y un equipo de drenaje pleural con sello de agua son suficientes

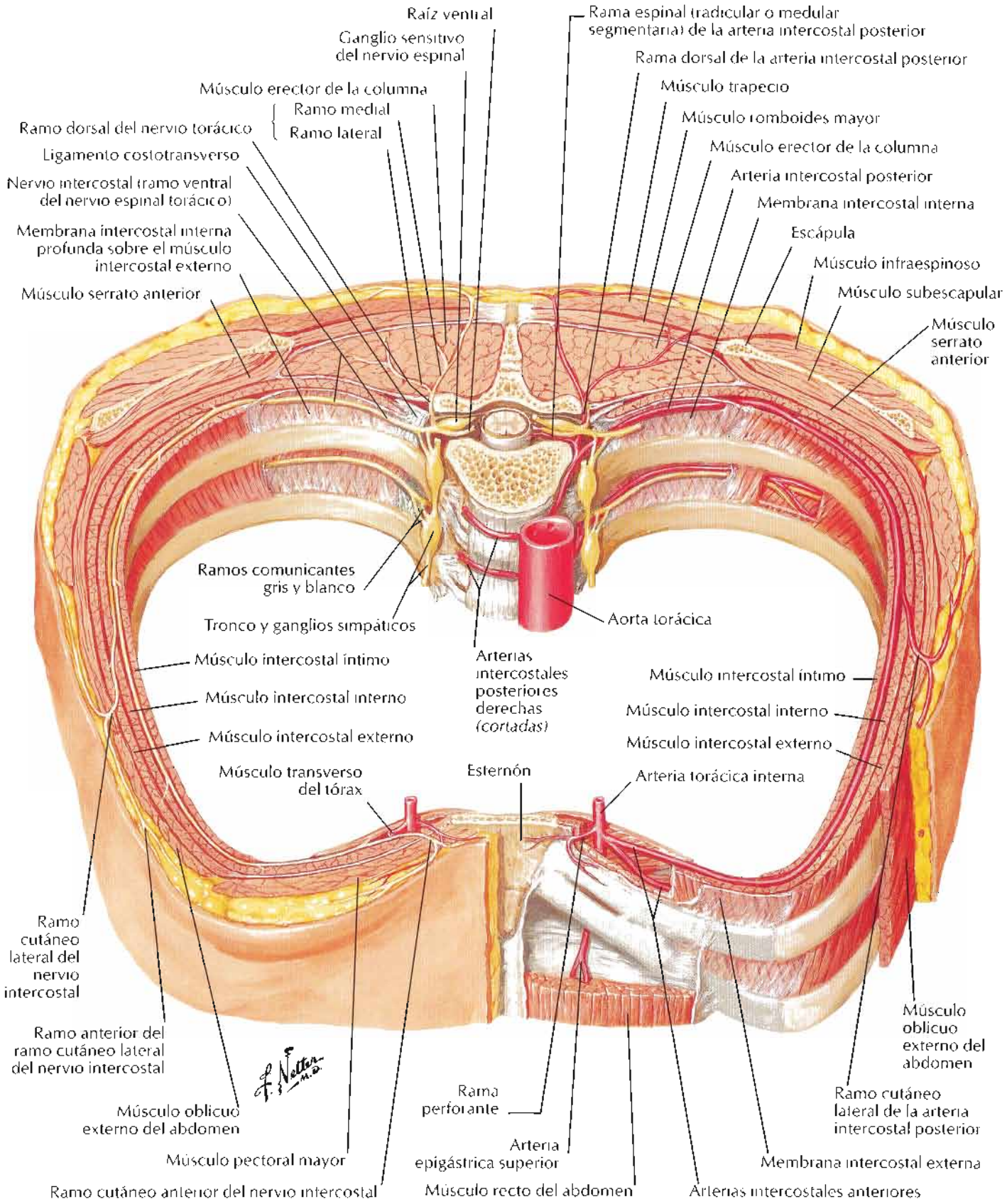
D. Se punciona el espacio intercostal por encima de la costilla para evitar lesionar el paquete vasculonervioso situado en el surco costal



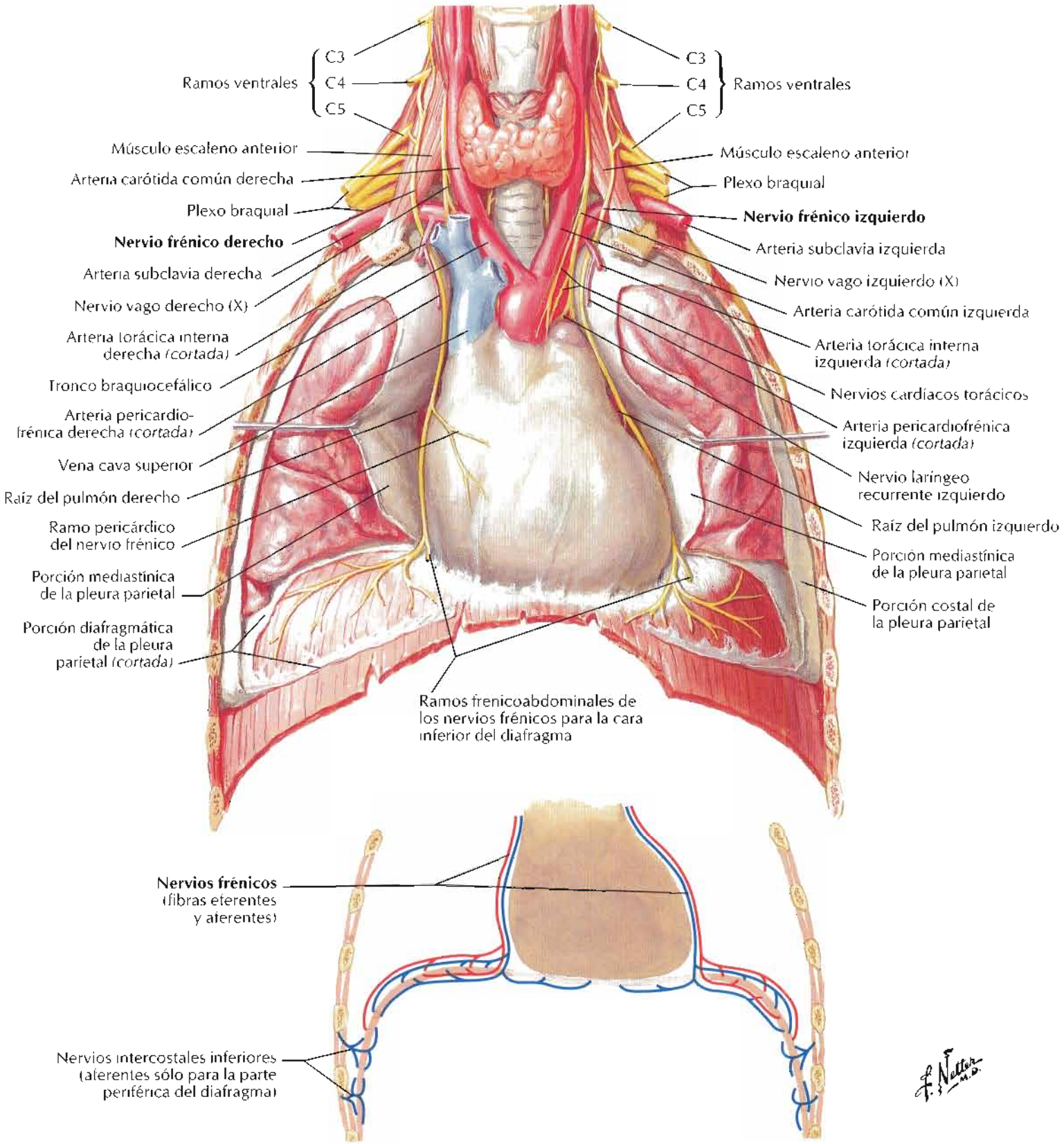

Músculo esternotiroideo
Músculo esternohioideo
Vena yugular interna
Músculo escaleno anterior
Arteria y vena subclavias
Clavícula (cortada)
Vena braquiocefálica
Nervio frénico y arteria y vena pericardiofrénicas
Arteria y vena torácicas internas
Arterias y venas intercostales anteriores y nervio intercostal
Ramas perforantes de la arteria y vena torácicas internas y ramo cutáneo anterior del nervio intercostal
Ramas colaterales de la arteria y vena intercostales
Cuerpo del esternón
Triángulo esternocostal
Diafragma
Fascículos del origen costal del diafragma
Músculo transverso del abdomen
Porción esternal del diafragma
Apófisis xifoides
Manubrio del esternón
Arteria carótida común
Arteria tiroidea inferior
Arteria vertebral
Tronco braquiocefálico
Arteria y vena subclavias
Vena braquiocefálica
Arteria y vena torácicas internas
Arterias y venas intercostales anteriores y nervio intercostal
Músculos intercostales internos
Músculos intercostales íntimos
Músculo transverso del tórax
Arteria y vena musculofrénicas
Músculo transverso del abdomen
Arteria y venas torácicas internas
Arteria y venas epigástricas superiores

Nervios y arterias intercostales

Véanse también **láminas 180, 258**

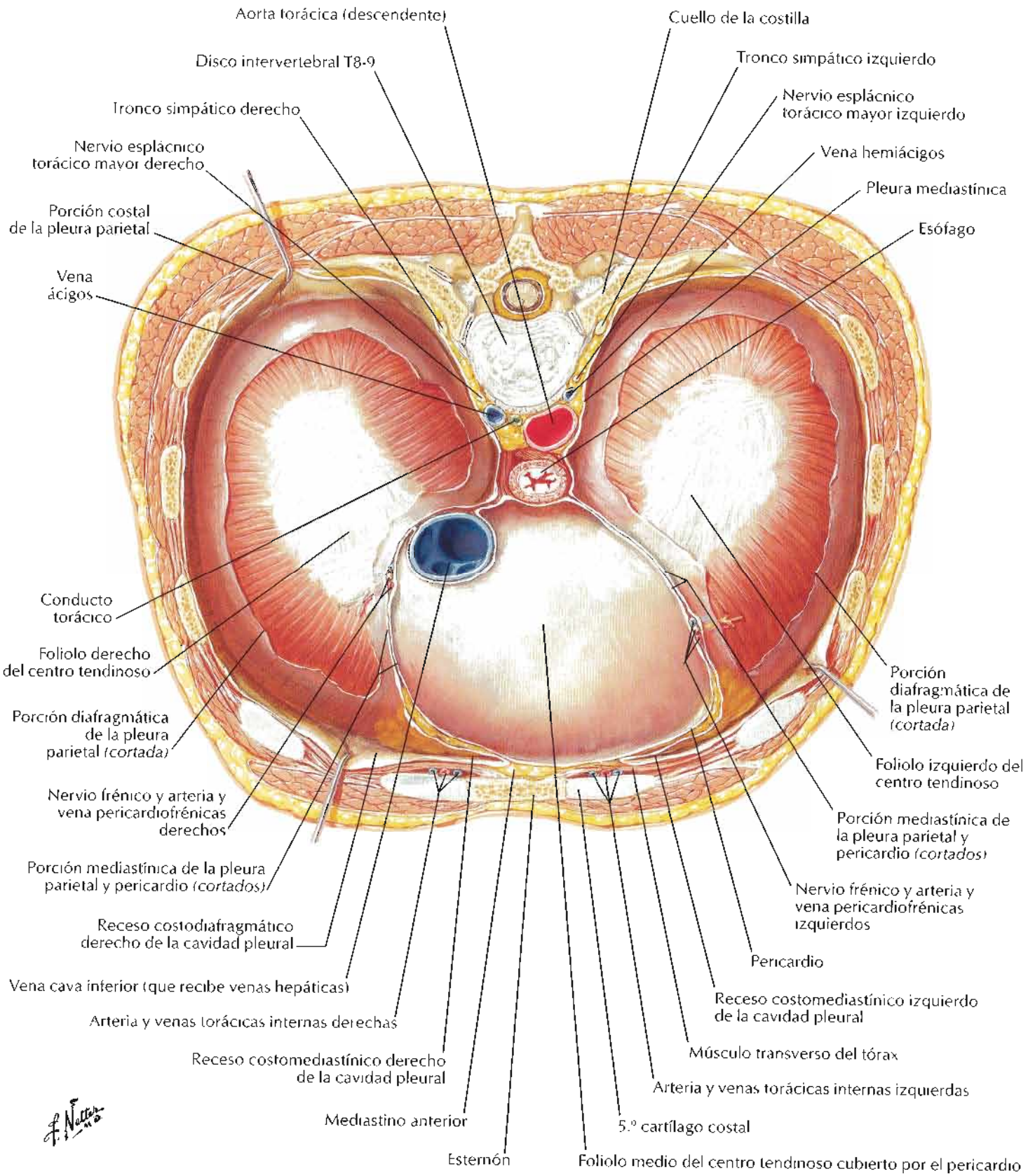


Véanse también **láminas 32, 129**

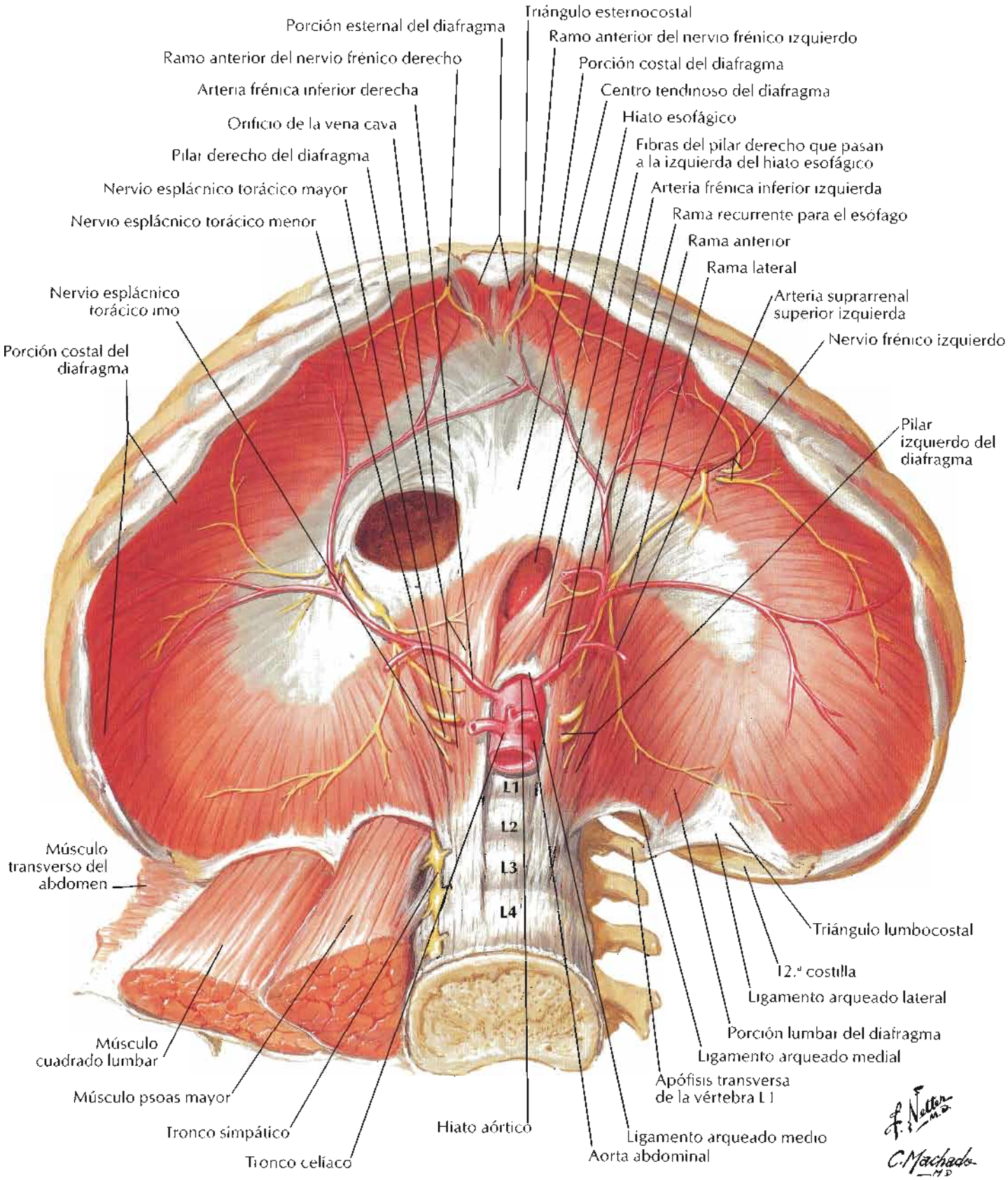


3 Diafragma: cara torácica

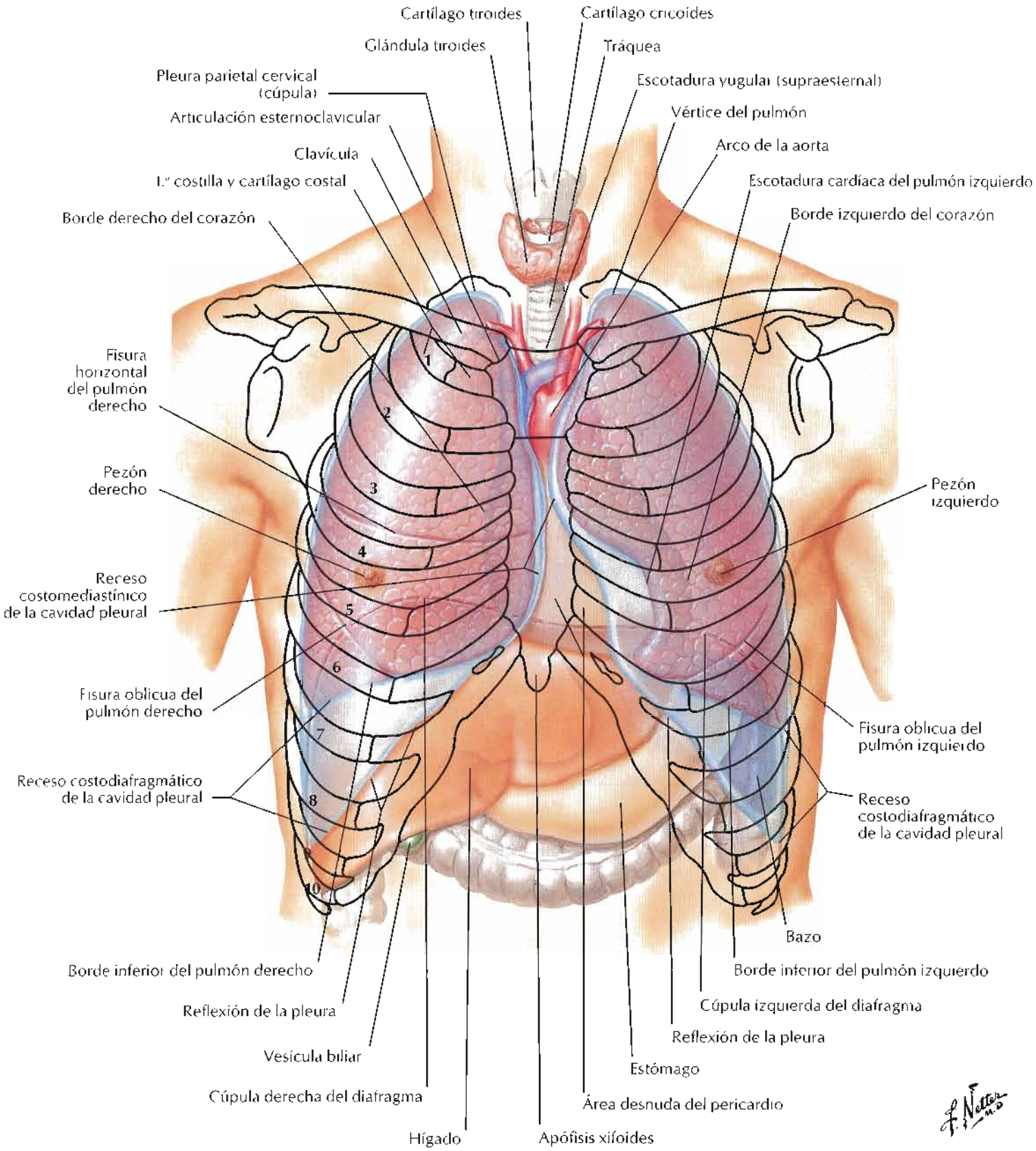
Véanse también **láminas 230, 231**



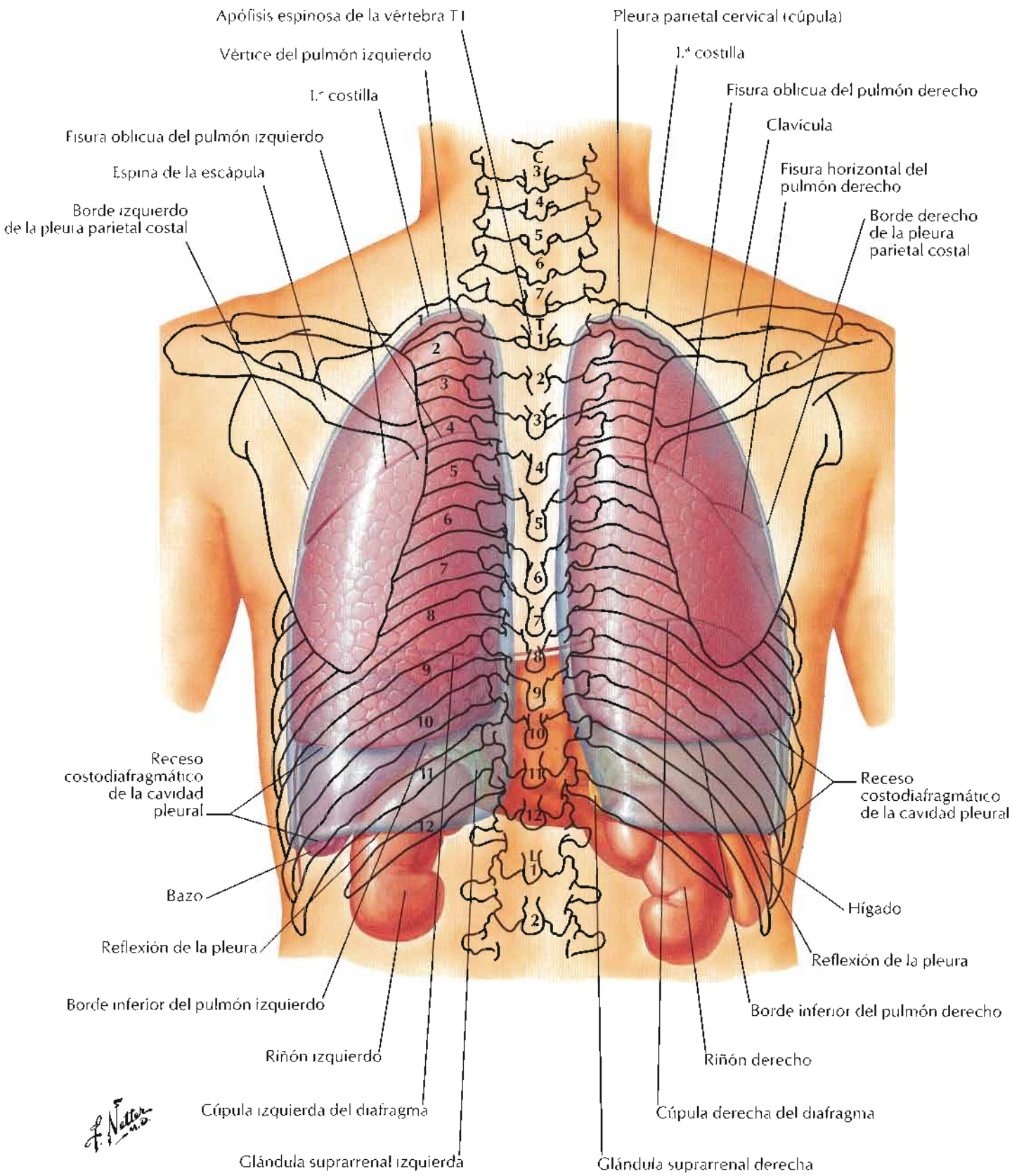
Véanse también **láminas 253, 263, 270**



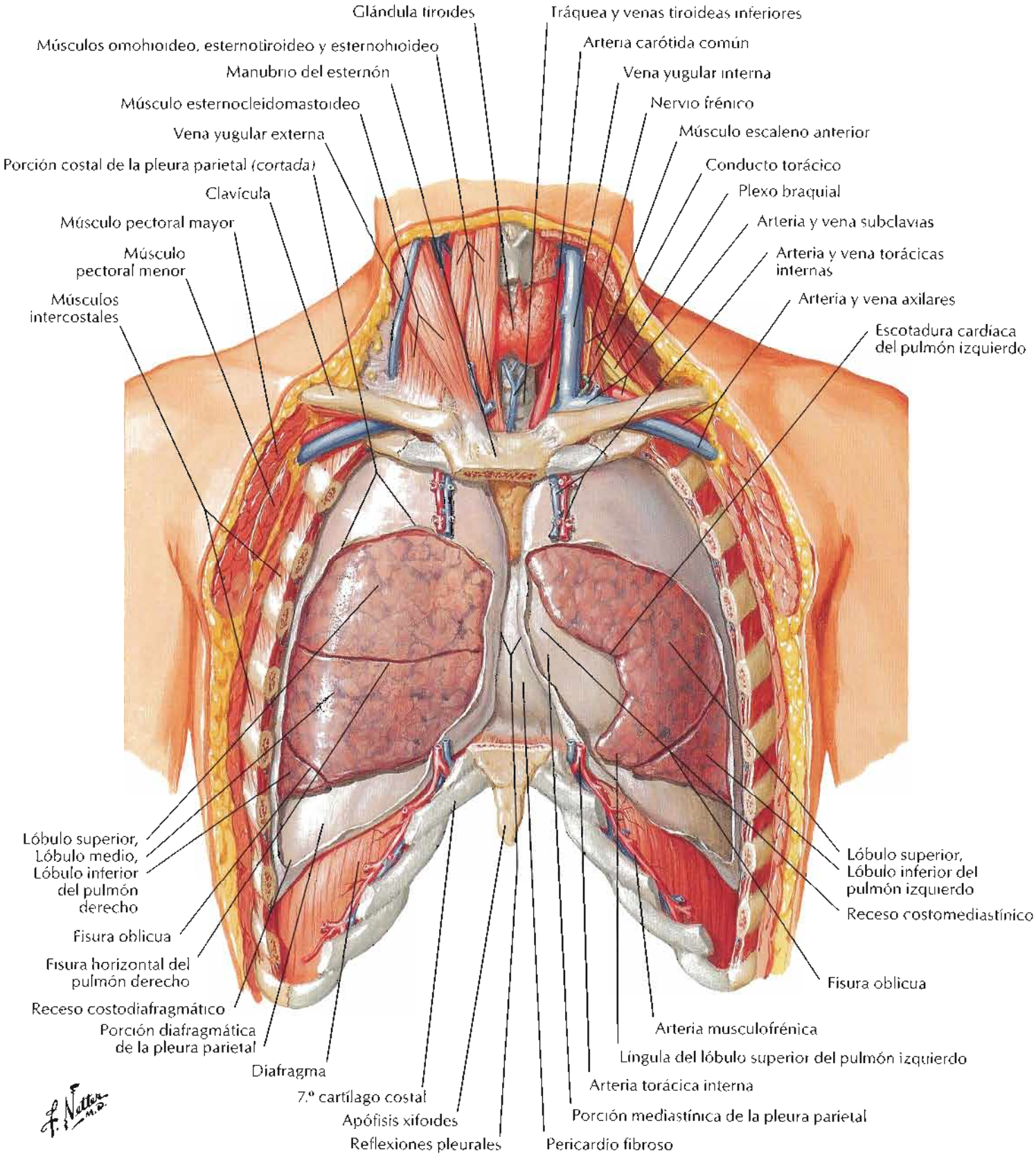
3 Topografía de los pulmones: visión anterior

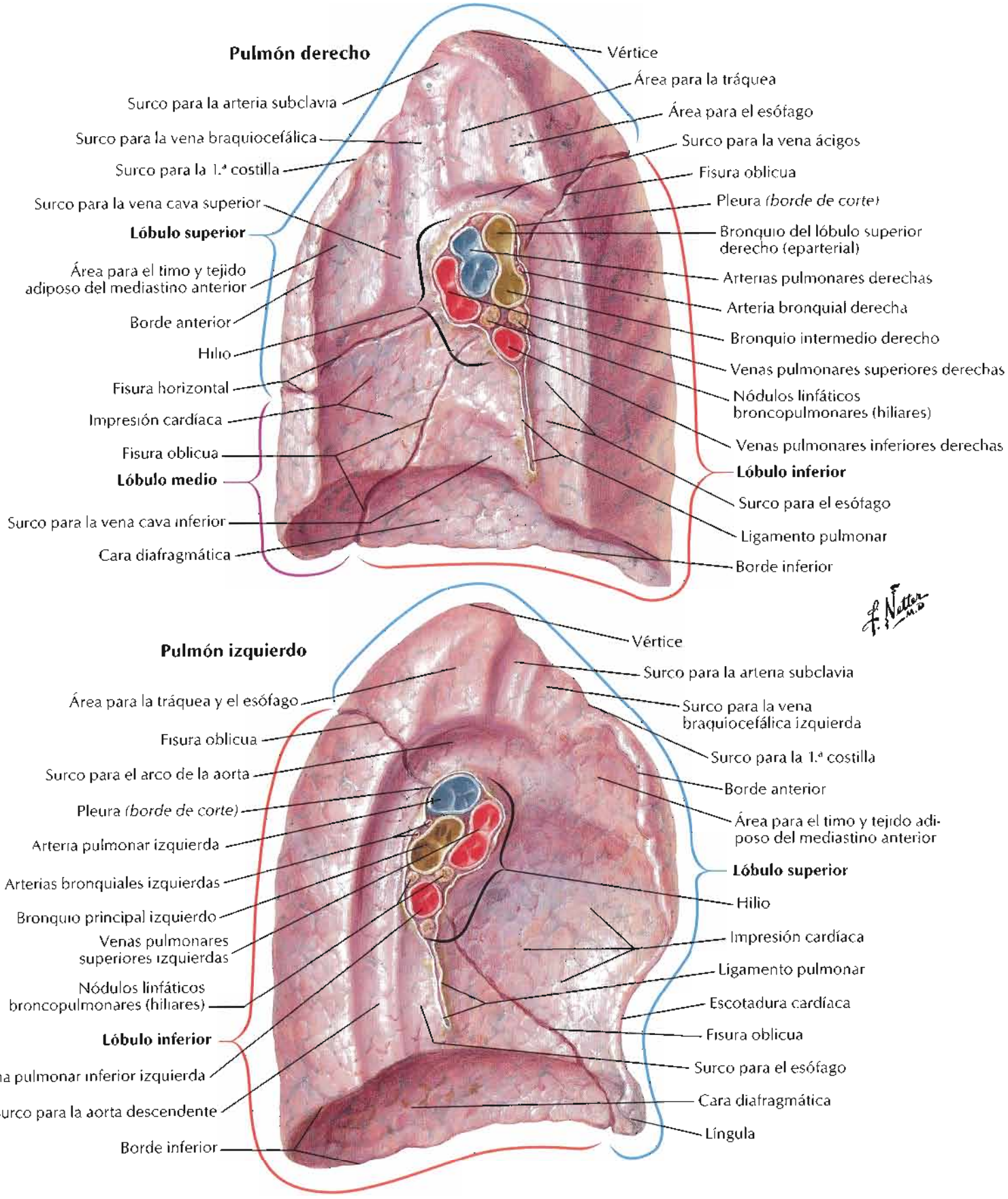


Topografía de los pulmones: visión posterior

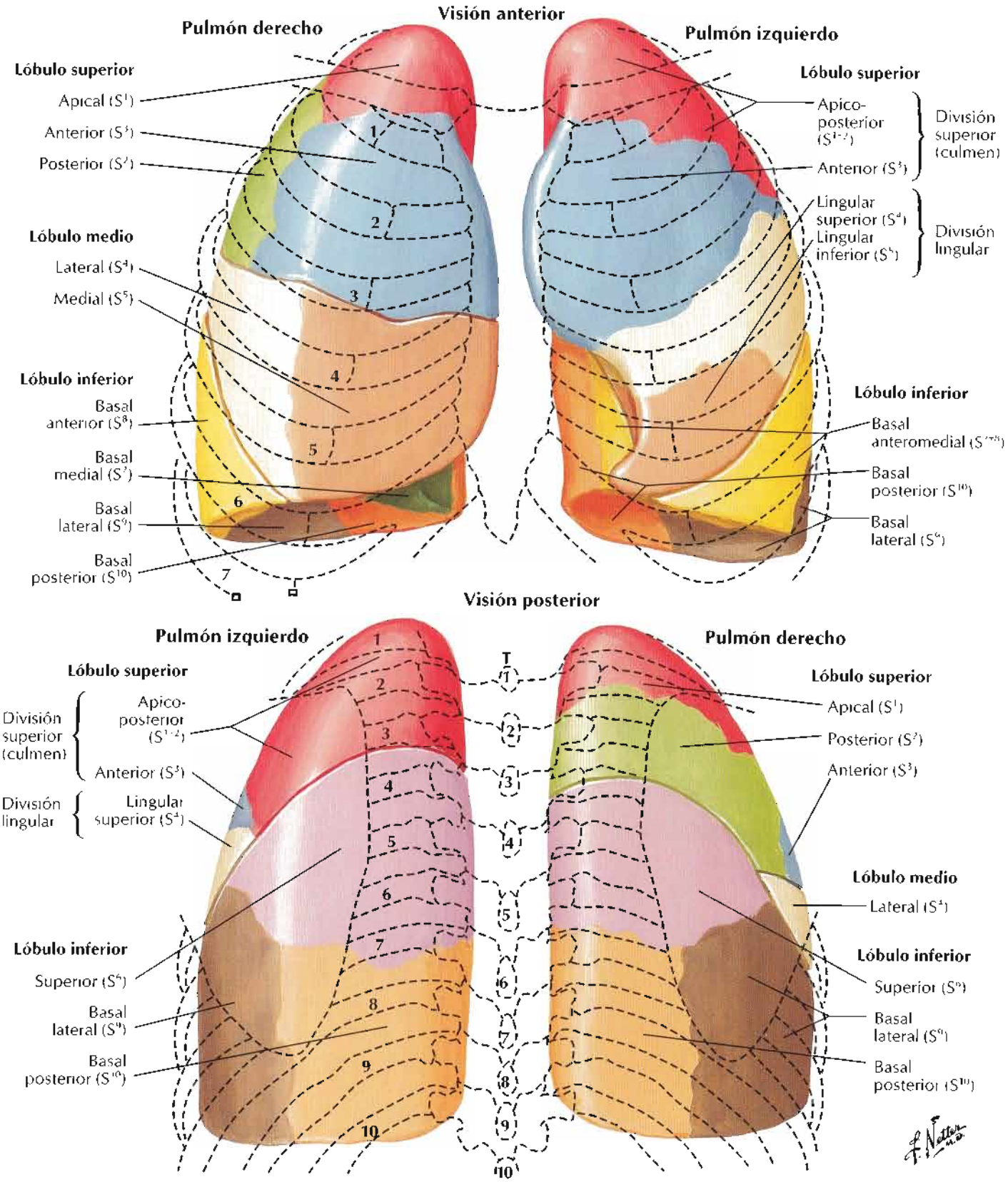


3 Pulmones in situ: visión anterior



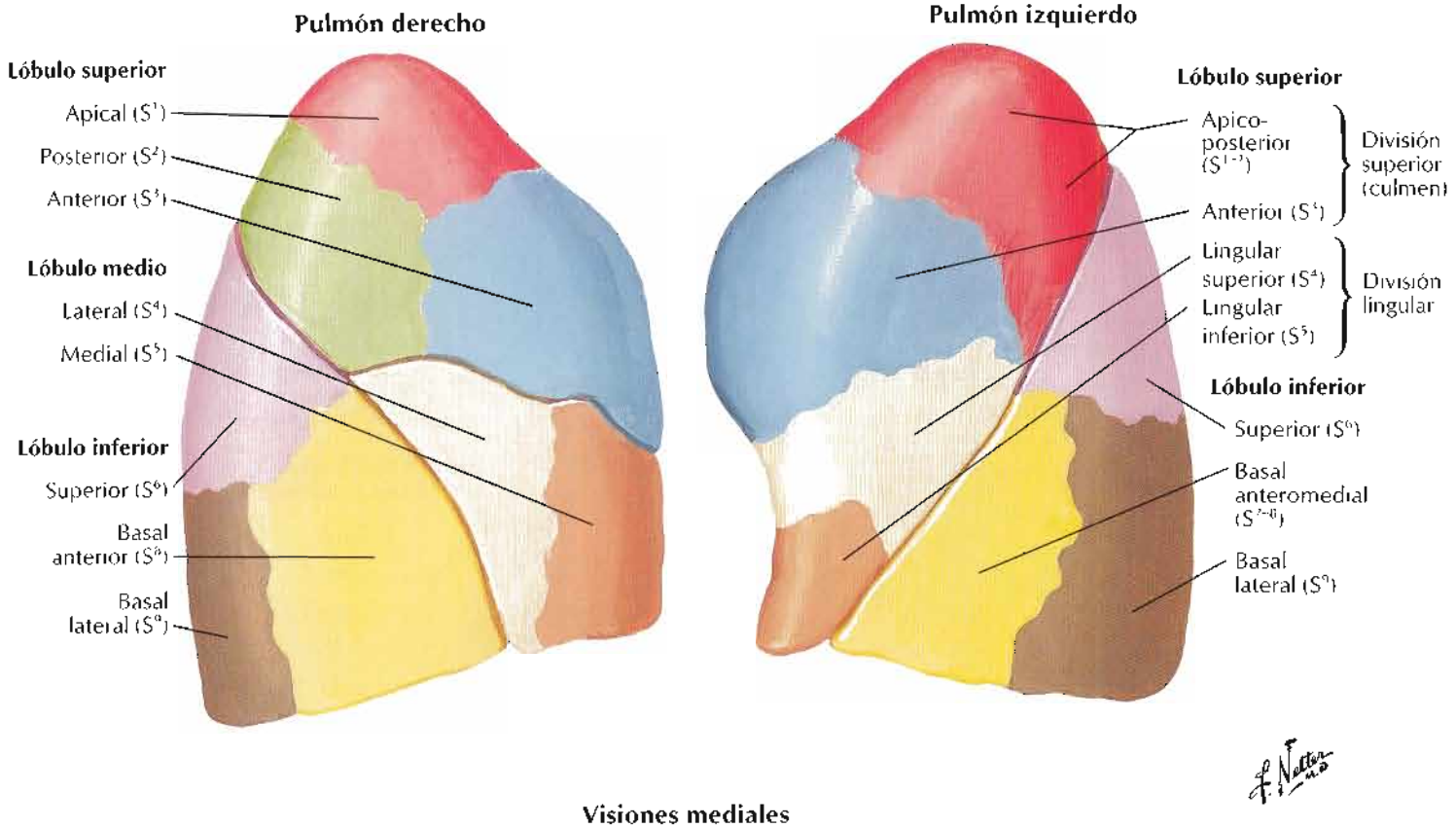

Pulmón derecho
Vértice
Surco para la arteria subclavia
Área para la tráquea
Surco para la vena braquiocefálica
Área para el esófago
Surco para la 1.ª costilla
Surco para la vena ácigos
Surco para la vena cava superior
Fisura oblicua
Lóbulo superior
Pleura (borde de corte)
Área para el timo y tejido adiposo del mediastino anterior
Bronquio del lóbulo superior derecho (eparterial)
Arterias pulmonares derechas
Borde anterior
Arteria bronquial derecha
Hilio
Bronquio intermedio derecho
Fisura horizontal
Venas pulmonares superiores derechas
Impresión cardíaca
Nódulos linfáticos broncopulmonares (hiliares)
Fisura oblicua
Venas pulmonares inferiores derechas
Lóbulo medio
Lóbulo inferior
Surco para la vena cava inferior
Surco para el esófago
Cara diafragmática
Ligamento pulmonar
Borde inferior
Pulmón izquierdo
Vértice
Surco para la arteria subclavia
Área para la tráquea y el esófago
Surco para la vena braquiocefálica izquierda
Fisura oblicua
Surco para la 1.ª costilla
Surco para el arco de la aorta
Borde anterior
Pleura (borde de corte)
Área para el timo y tejido adiposo del mediastino anterior
Arteria pulmonar izquierda
Lóbulo superior
Arterias bronquiales izquierdas
Hilio
Bronquio principal izquierdo
Impresión cardíaca
Venas pulmonares superiores izquierdas
Ligamento pulmonar
Nódulos linfáticos broncopulmonares (hiliares)
Escotadura cardíaca
Lóbulo inferior
Fisura oblicua
Vena pulmonar inferior izquierda
Surco para el esófago
Surco para la aorta descendente
Cara diafragmática
Borde inferior
Língula

Segmentos broncopulmonares

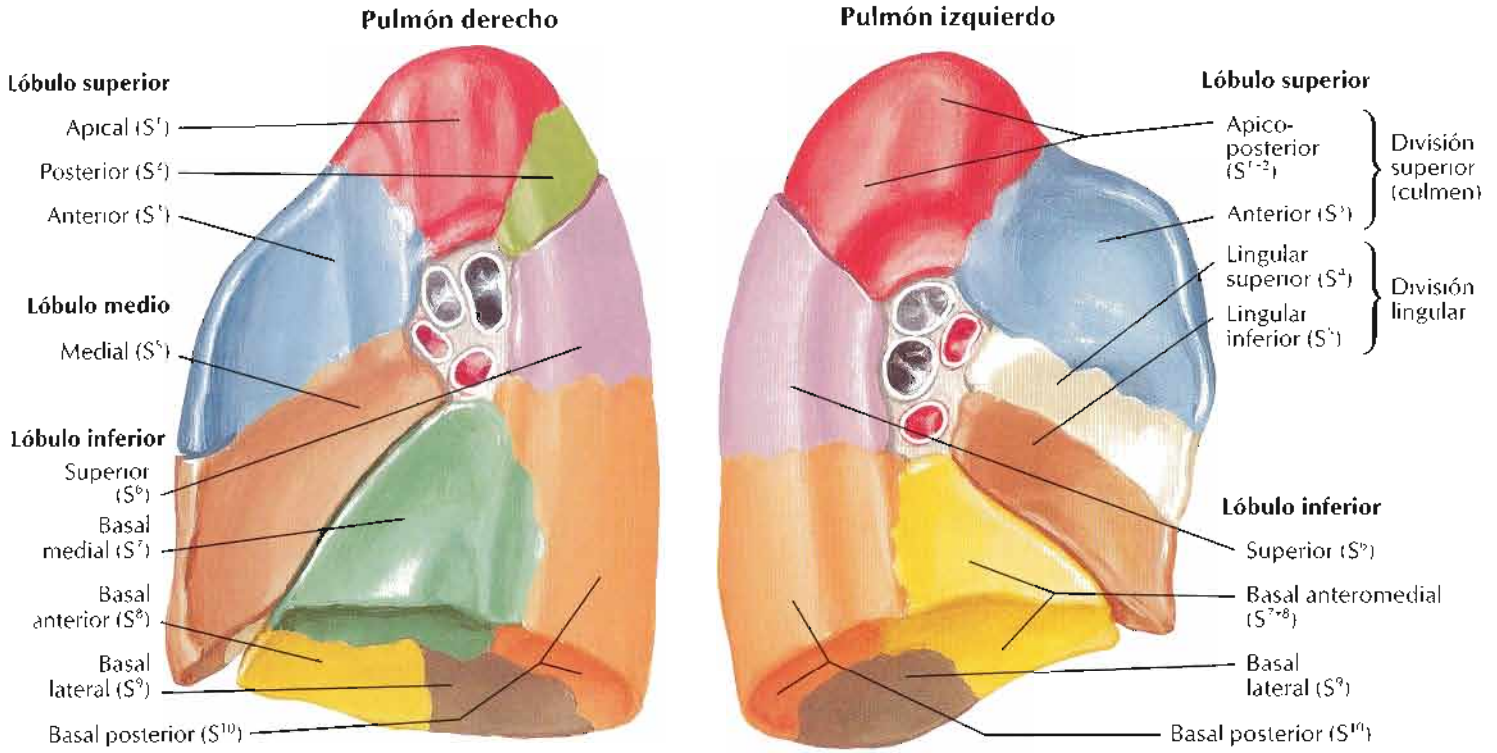


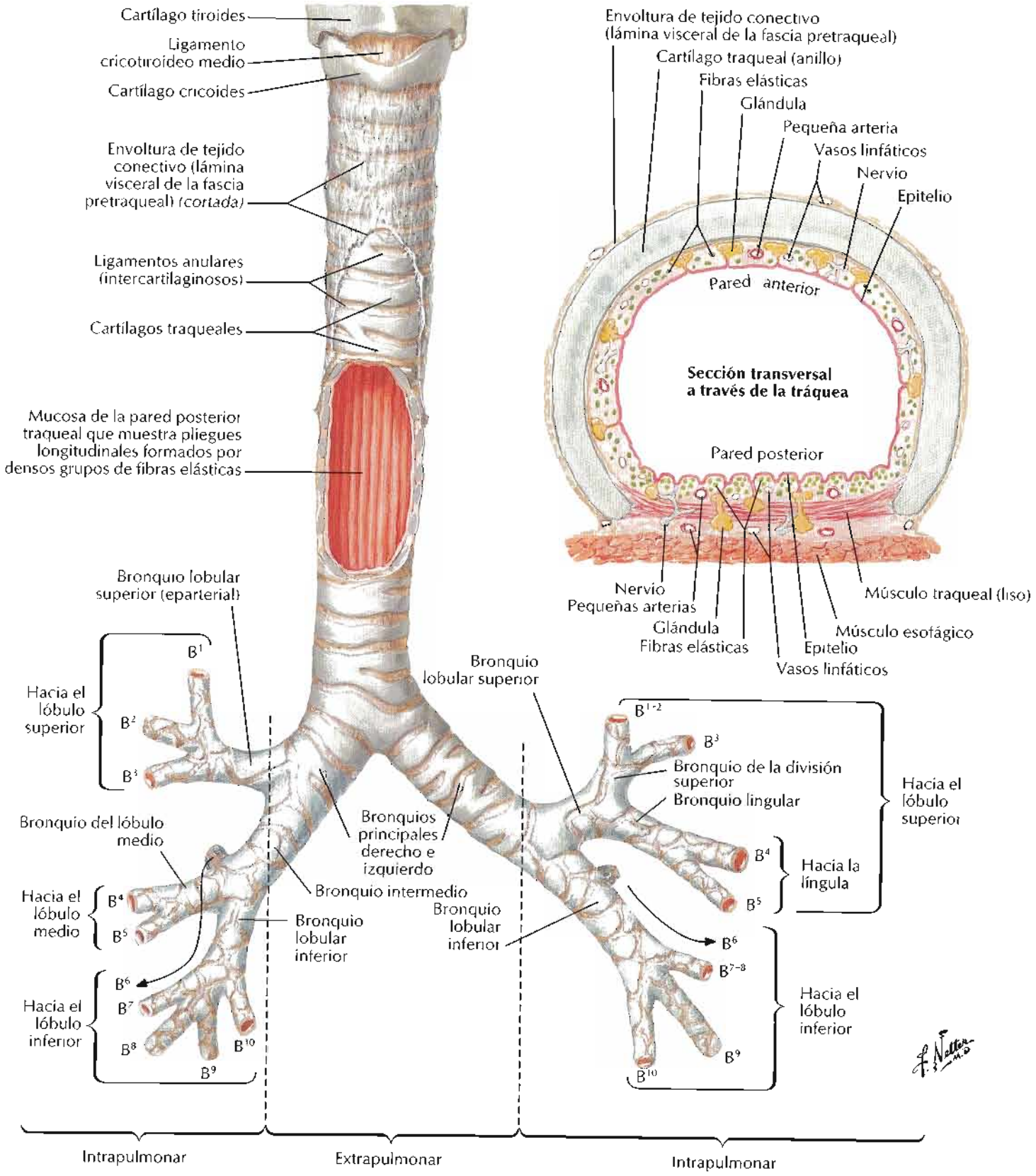
Segmentos broncopulmonares *(continuación)*

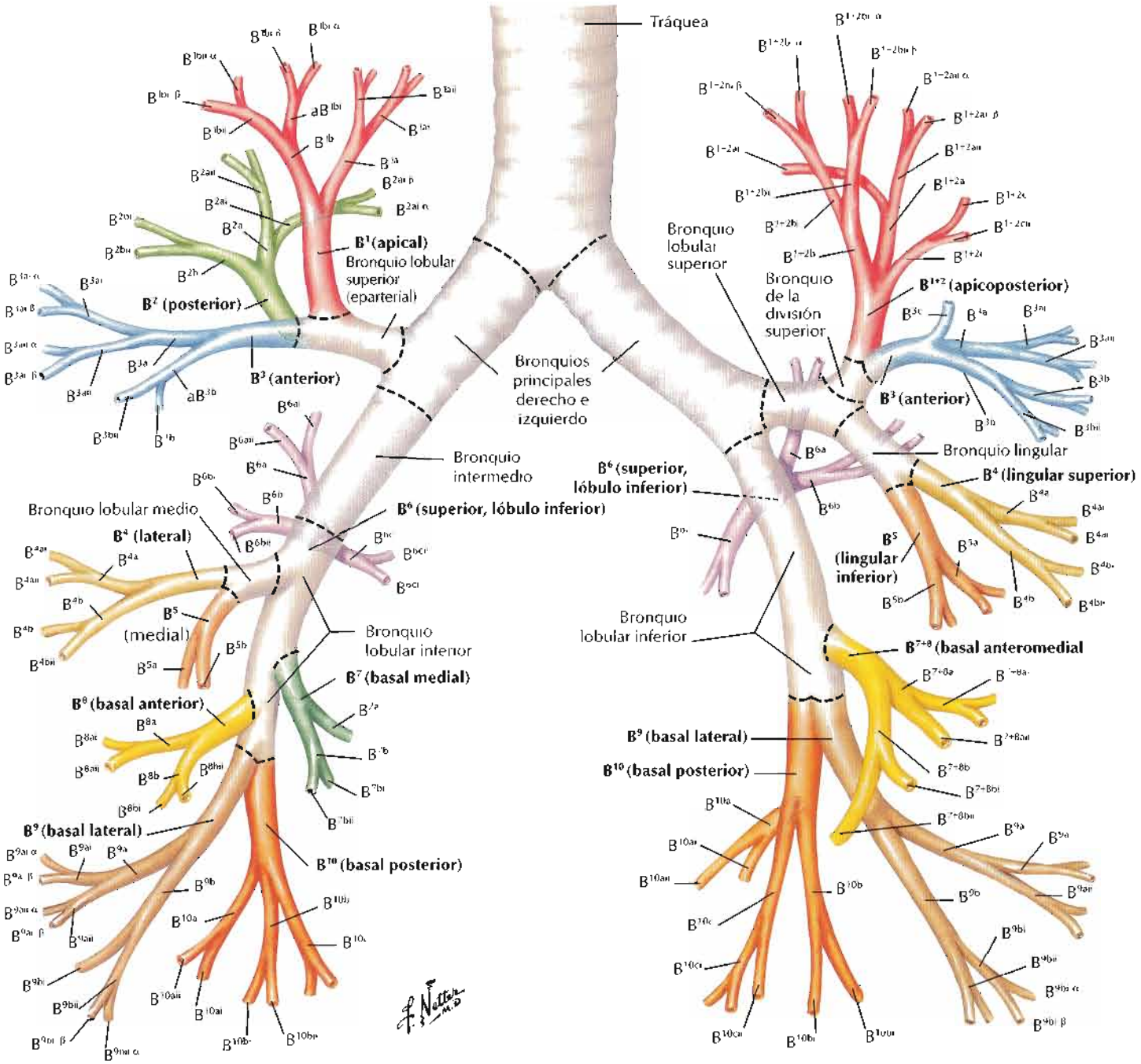
Visiones laterales



Visiones mediales



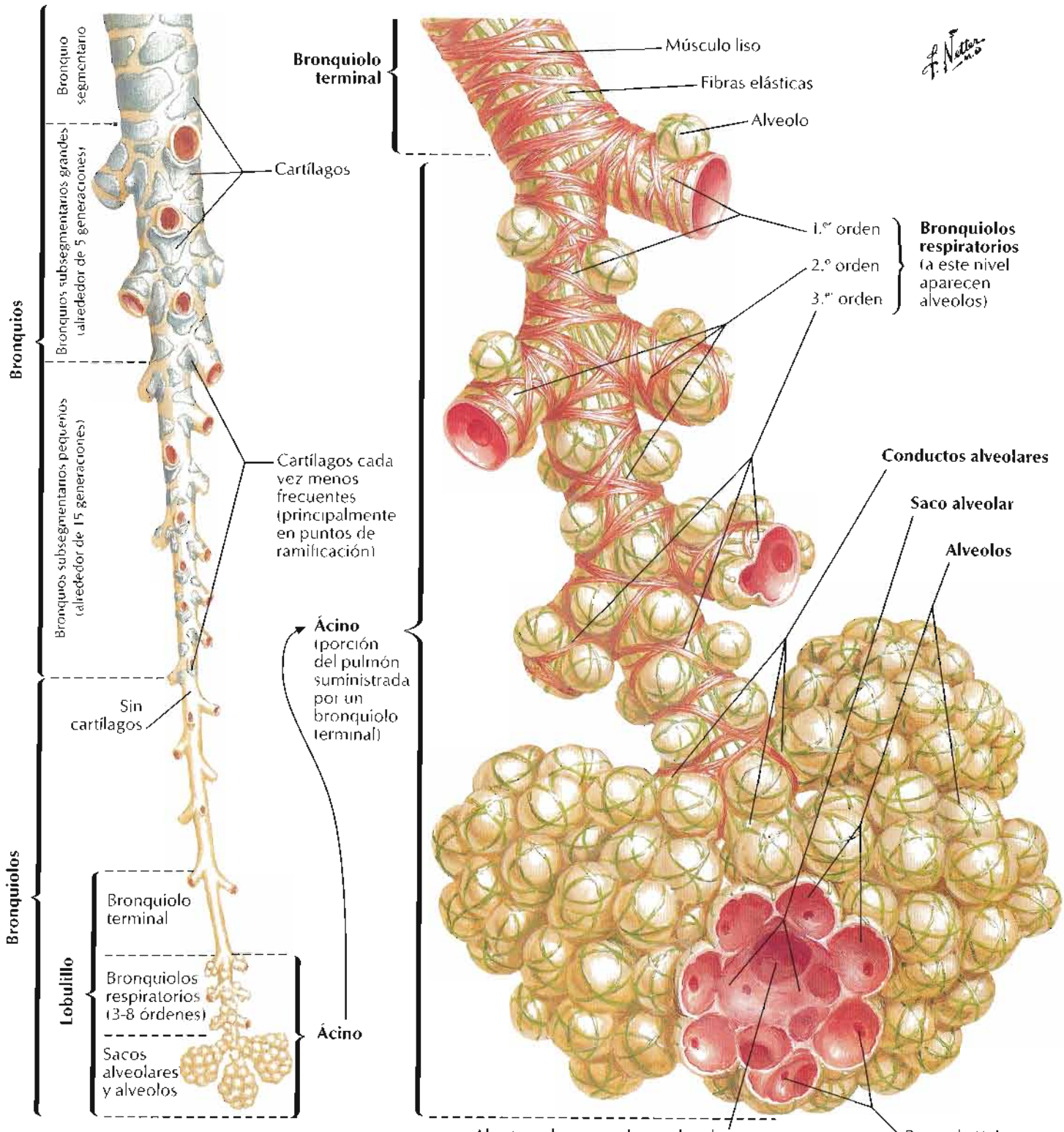

Cartílago tiroides
Ligamento cricotiroideo medio
Cartílago cricoides
Envoltura de tejido conectivo (lámina visceral de la fascia pretraqueal) (cortada)
Ligamentos anulares (intercartilaginosos)
Cartílagos traqueales
Mucosa de la pared posterior traqueal que muestra pliegues longitudinales formados por densos grupos de fibras elásticas
Bronquio lobular superior (eparterial)
Hacia el lóbulo superior
B1
B2
B3
Bronquio del lóbulo medio
Hacia el lóbulo medio
B4
B5
Hacia el lóbulo inferior
B6
B7
B8
B9
B10
Bronquios principales derecho e izquierdo
Bronquio intermedio
Bronquio lobular inferior
Bronquio lobular superior
B1-2
B3
Bronquio de la división superior
Bronquio lingular
B4
B5
Hacia la língula
Hacia el lóbulo superior
Bronquio lobular inferior
B6
B7-8
B9
B10
Hacia el lóbulo inferior
Intrapulmonar
Extrapulmonar
Intrapulmonar
Envoltura de tejido conectivo (lámina visceral de la fascia pretraqueal)
Cartílago traqueal (anillo)
Fibras elásticas
Glándula
Pequeña arteria
Vasos linfáticos
Nervio
Epitelio
Pared anterior
Sección transversal a través de la tráquea
Pared posterior
Nervio
Pequeñas arterias
Glándula
Fibras elásticas
Epitelio
Vasos linfáticos
Músculo esofágico
Músculo traqueal (liso)



La nomenclatura de uso común para los segmentos broncopulmonares (láminas 200 y 201) es la de Jackson y Huber, nombrándose los segmentos bronquiales de acuerdo con ella. Ikeda propuso una nomenclatura (como se muestra aquí) para las subdivisiones bronquiales hasta la 6.ª generación. Para simplificar la ilustración, sólo se han numerado algunas subdivisiones bronquiales hasta la 5.ª o 6.ª generación. Los bronquios segmentarios (B) se han numerado del 1 al 10 en cada pulmón, correspondiéndose con los segmentos pulmonares. En el pulmón izquierdo, B^1 y B^2 se combinan como lo hacen B^7 y B^8. Los bronquios subsegmentarios, o de 4.° orden, se indican añadiendo una letra subíndice a, b o c cuando se presenta una rama adicional. Los bronquios de 5.° orden se designan por los números romanos i (anterior) o ii (posterior), y los bronquios de 6.° orden, por las letras griegas α o β. Diversos textos usan números alternados (como propone Boyden) para los bronquios segmentarios.

Las variaciones del patrón bronquial estándar mostrado aquí son corrientes, especialmente en las vías aéreas periféricas.

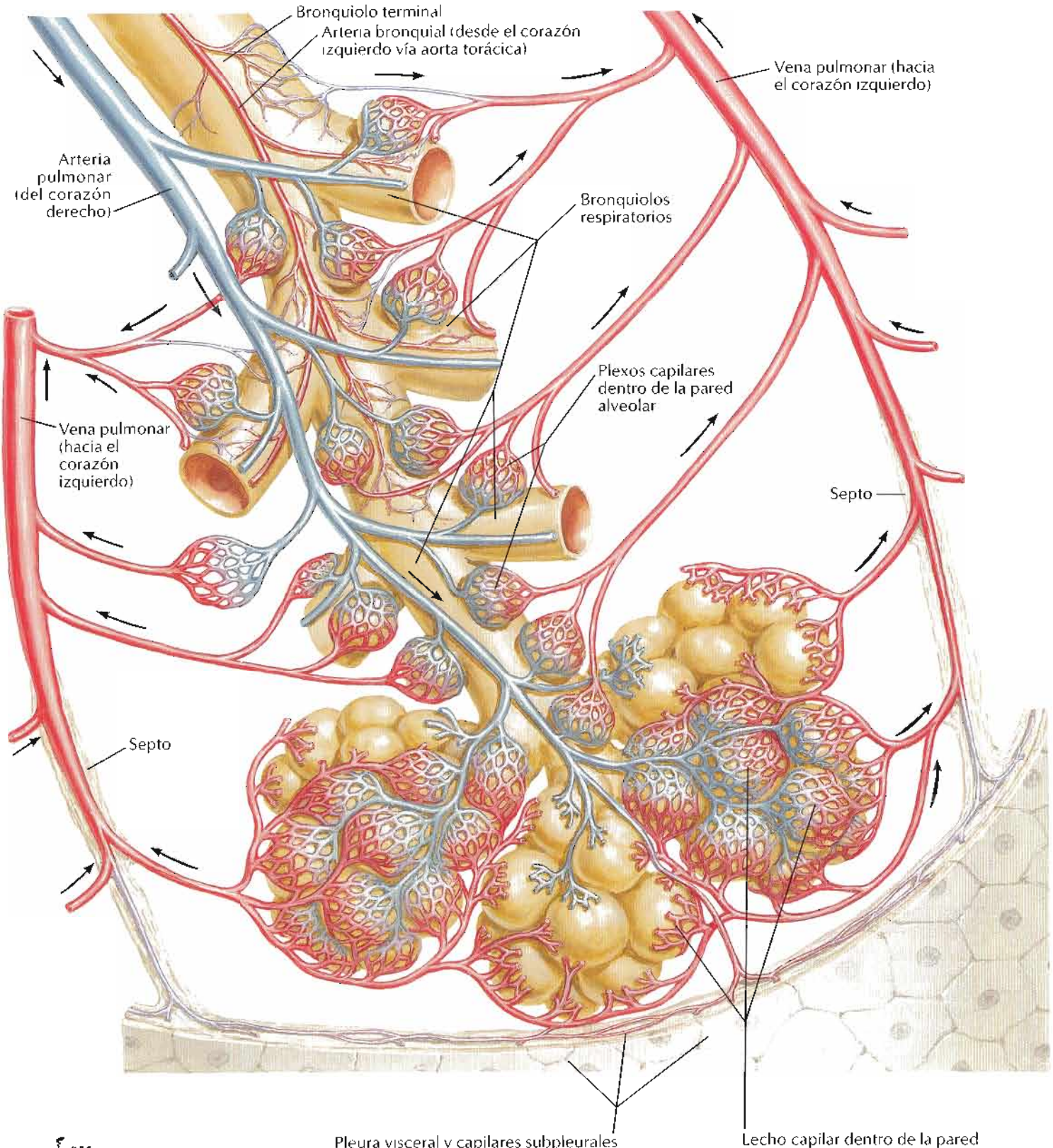
3 Vías intrapulmonares: esquema



Subdivisiones de las vías intrapulmonares

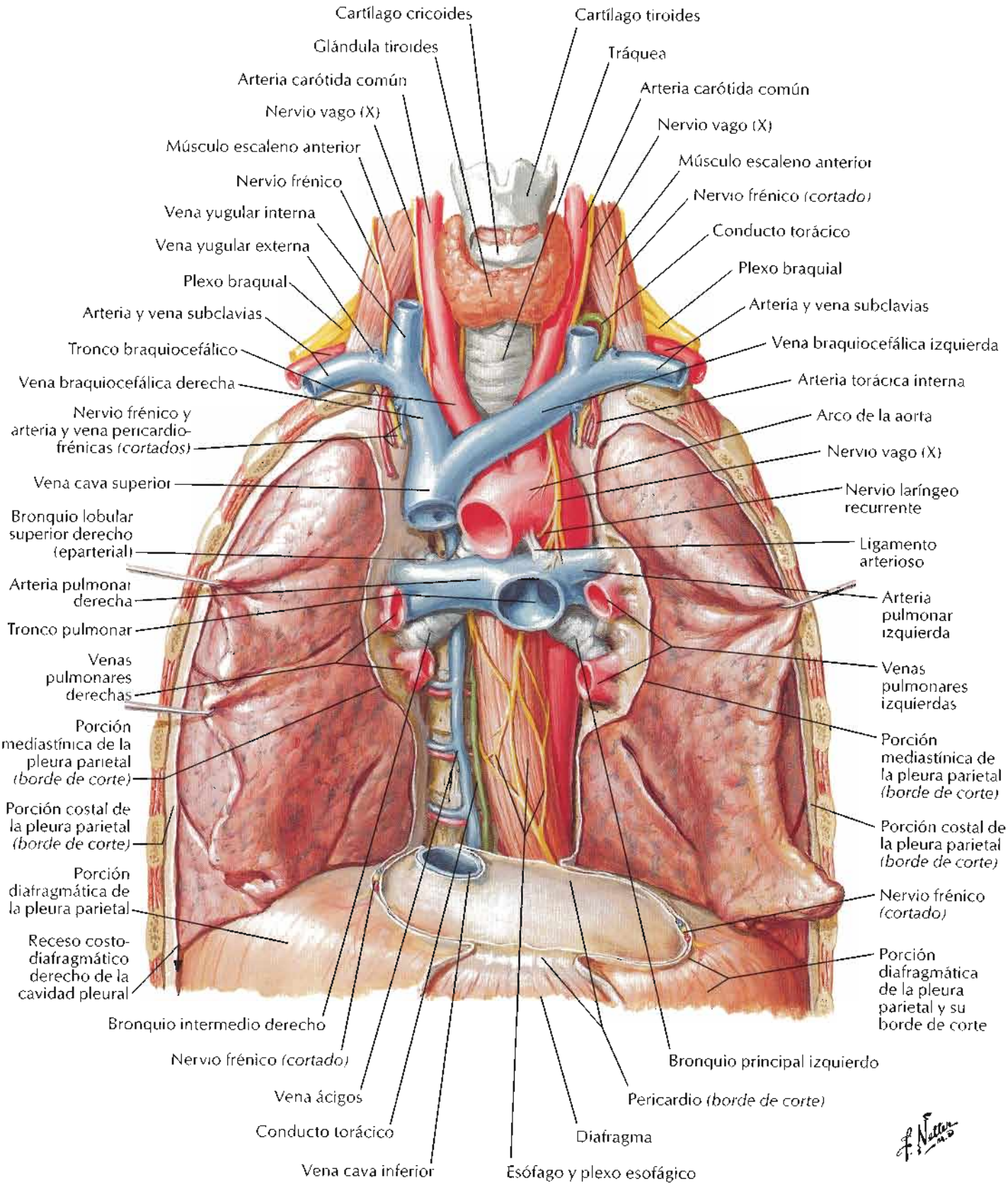
Estructura de las vías intrapulmonares

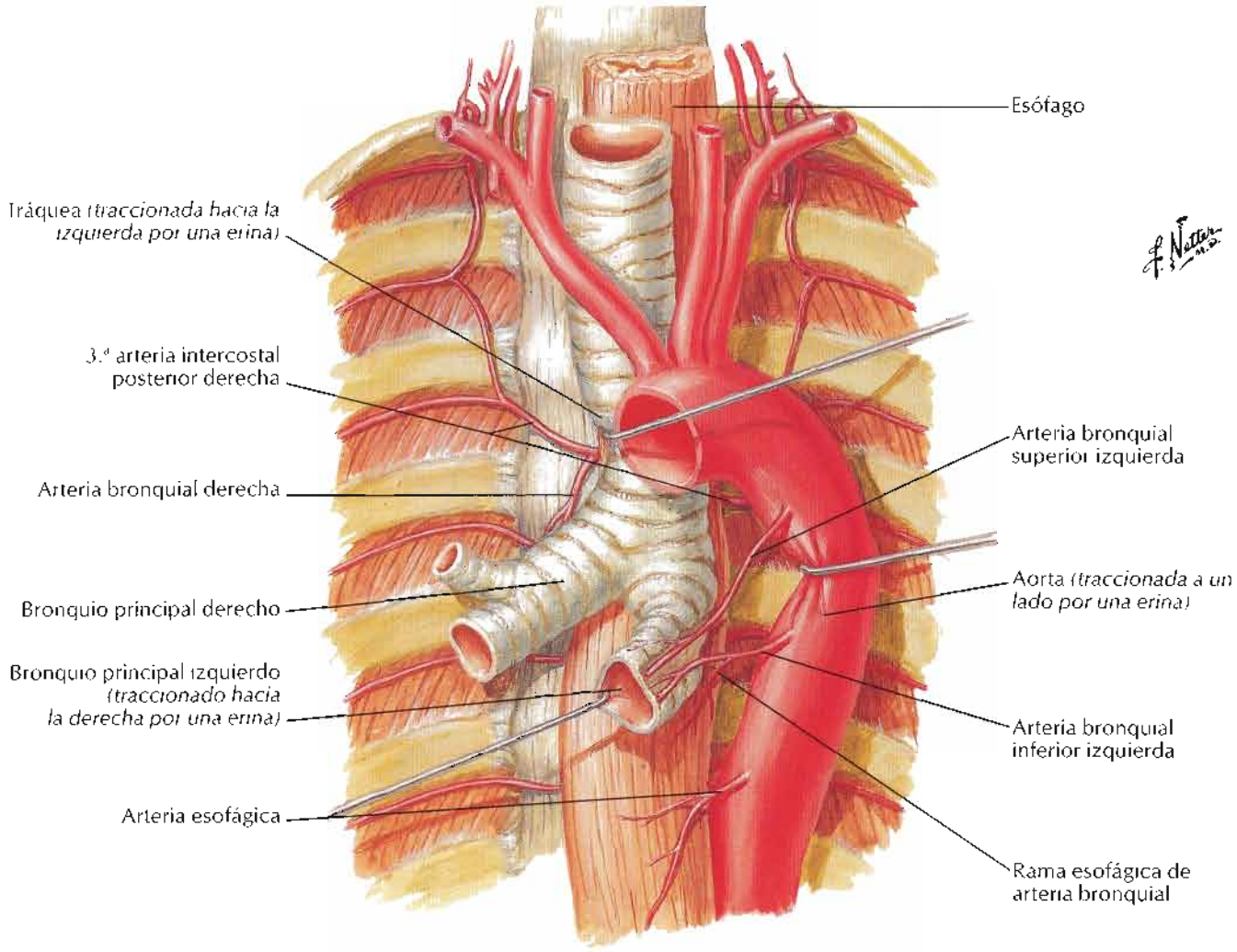
Circulación sanguínea intrapulmonar: esquema



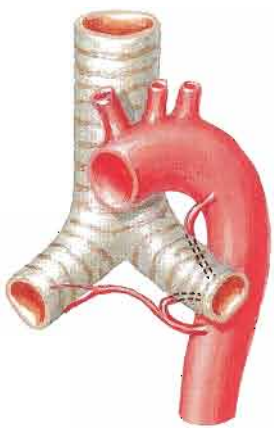
Las arterias pulmonares y sus ramas se distribuyen segmentariamente junto con los bronquios. Las venas pulmonares y sus tributarias drenan intersegmentariamente.

Grandes vasos del mediastino superior

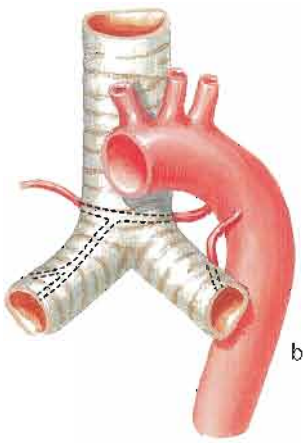




Variaciones en las arterias bronquiales

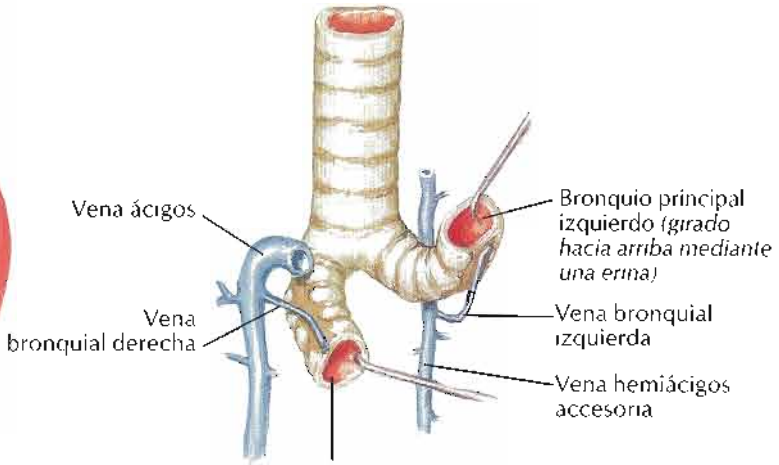


Arterias bronquiales derecha e izquierda que se originan en la aorta por un tronco único



Una única arteria bronquial para cada bronquio (normalmente, dos para el bronquio izquierdo)

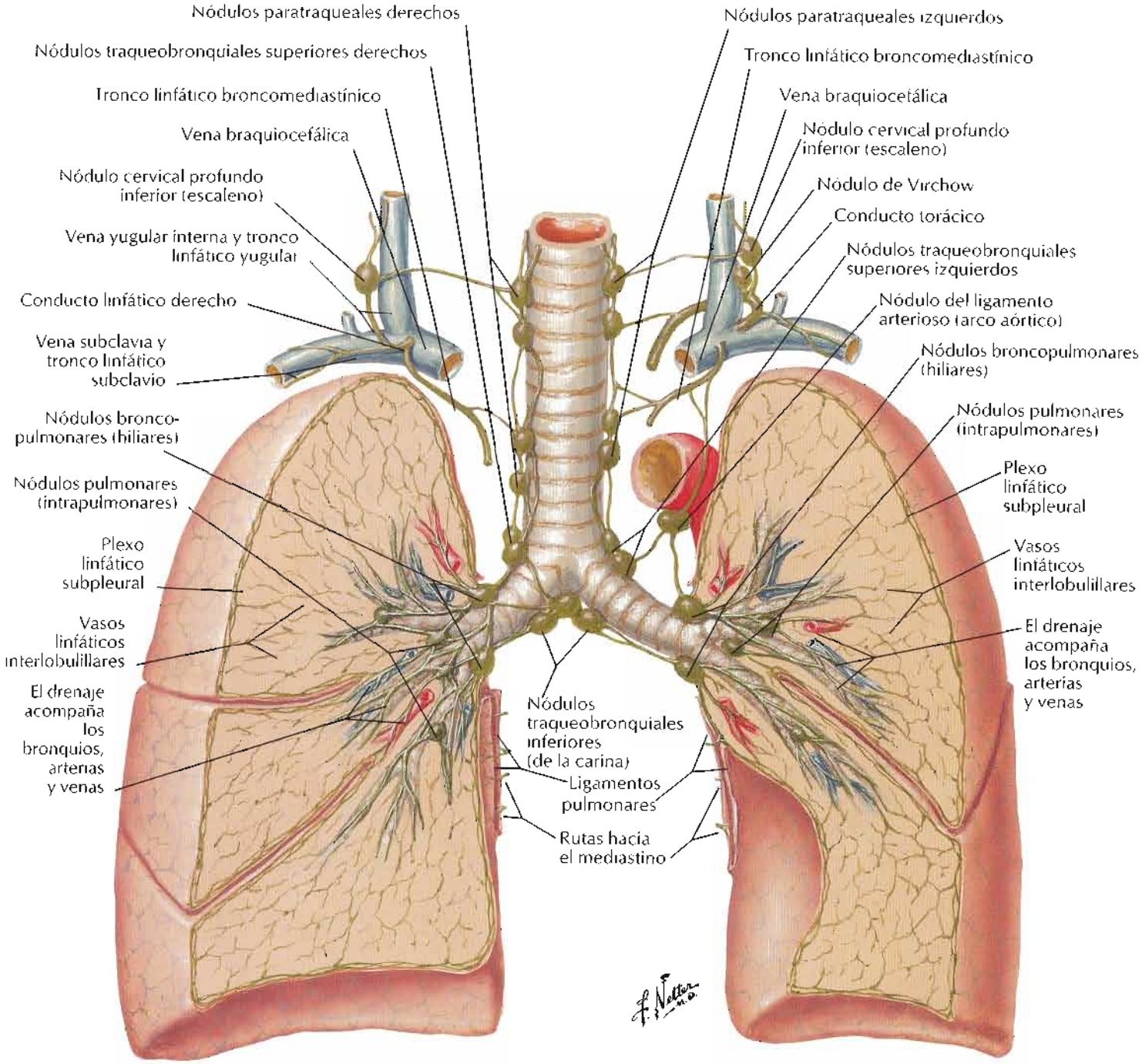
Venas bronquiales



Bronquio principal derecho (traccionado hacia la izquierda y rotado mediante una erina)

3 Vasos y nódulos linfáticos del pulmón

Véanse también **láminas 72, 184, 239**

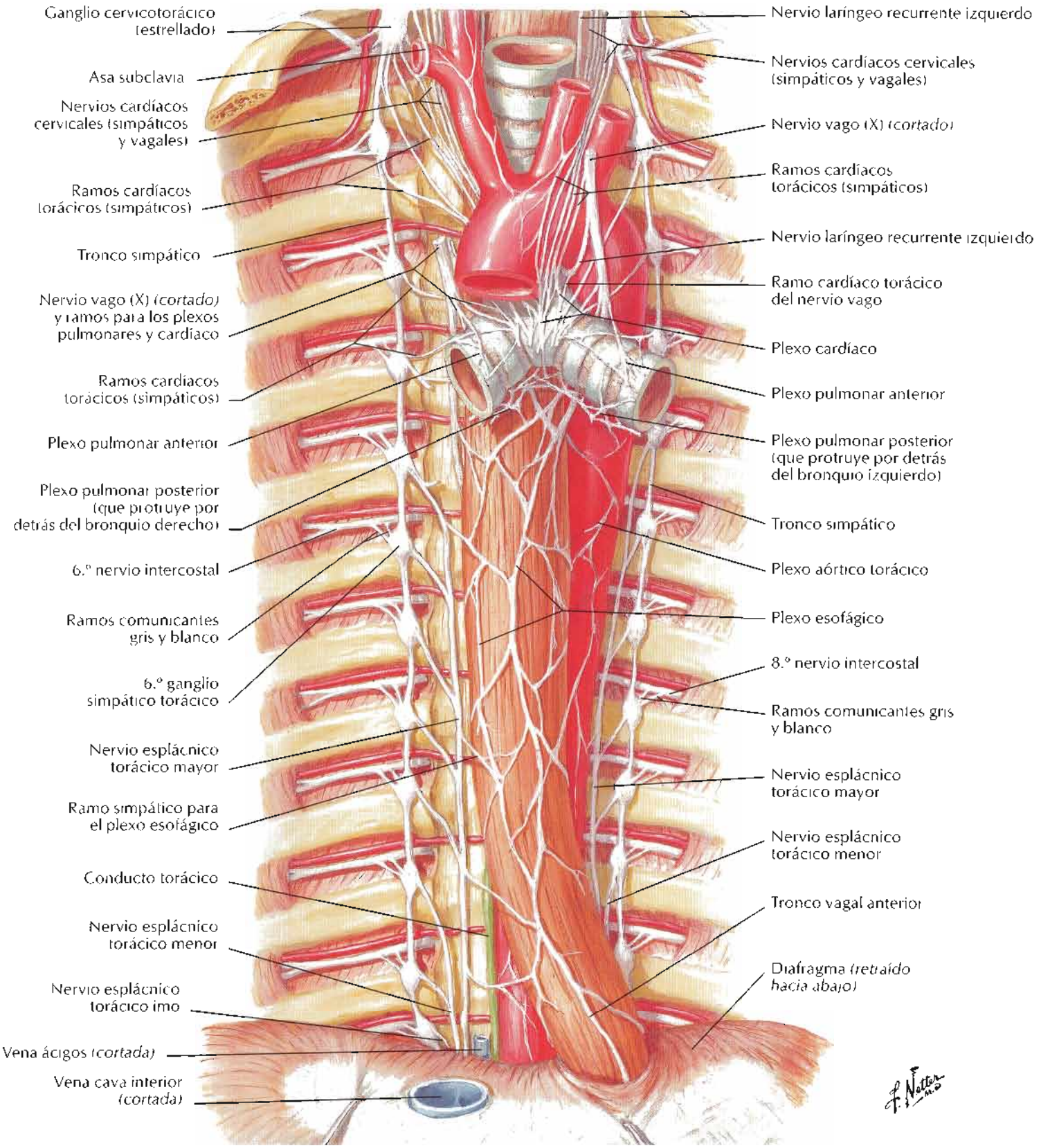


Rutas de drenaje

Pulmón derecho: todos los lóbulos drenan en nódulos pulmonares y broncopulmonares (hiliares) y luego en nódulos traqueobronquiales inferiores (de la carina), nódulos traqueobronquiales superiores derechos y nódulos paratraqueales derechos en dirección a la vena braquiocefálica vía tronco linfático broncomediastínico y/o nódulo cervical profundo inferior (escaleno).

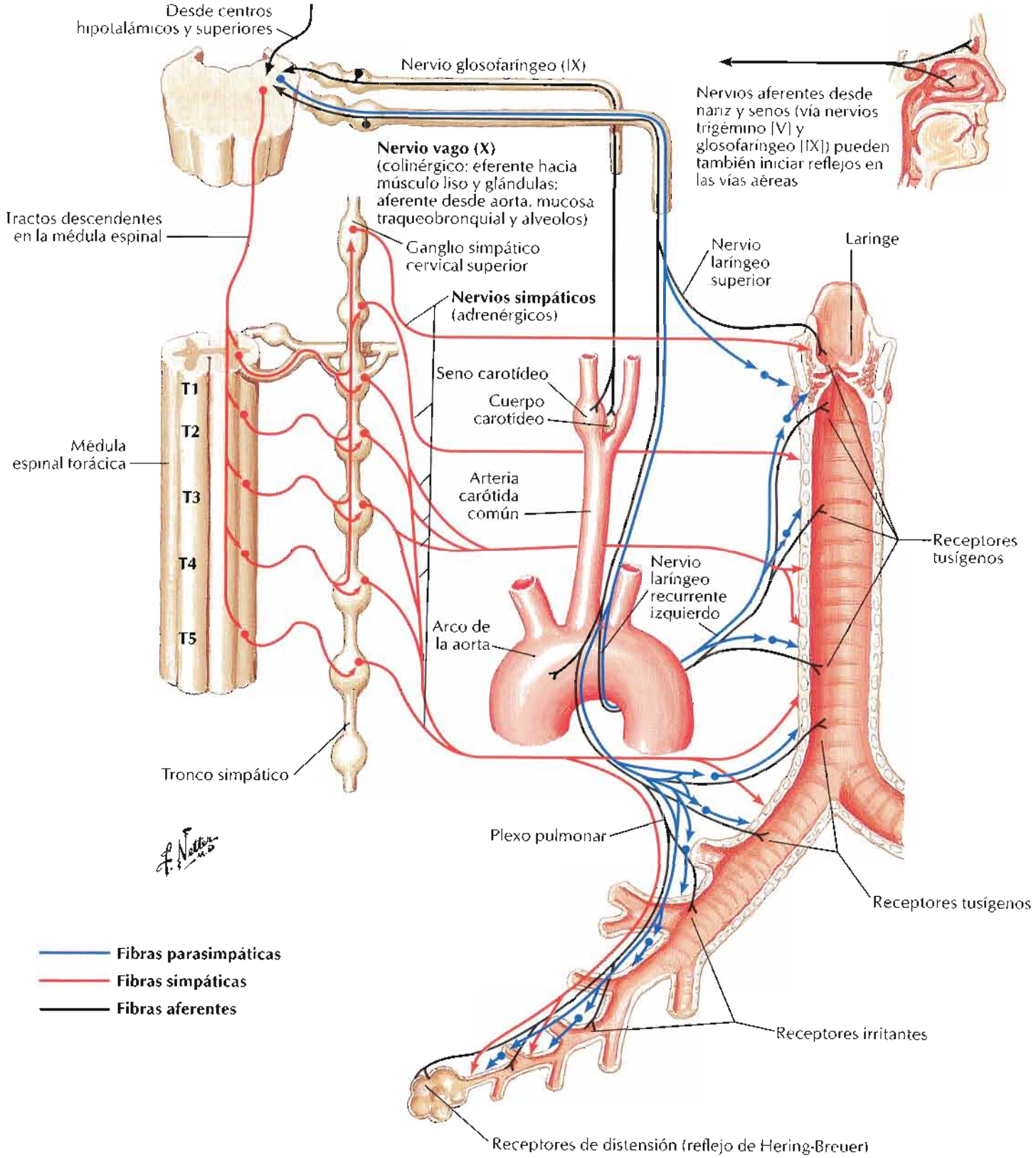
Pulmón izquierdo: el lóbulo superior drena en nódulos pulmonares y broncopulmonares (hiliares), nódulos traqueobronquiales inferiores (de la carina), nódulos traqueobronquiales superiores izquierdos, nódulos paratraqueales izquierdos y/o nódulo del ligamento arterioso (del arco aórtico) y luego en la vena braquiocefálica vía tronco broncomediastínico izquierdo y conducto torácico. El lóbulo inferior izquierdo también drena en nódulos pulmonares y broncopulmonares (hiliares) y en nódulos traqueobronquiales inferiores (de la carina), pero después lo hace mayoritariamente en nódulos traqueobronquiales superiores derechos, donde sigue el mismo camino que la linfa del pulmón derecho.

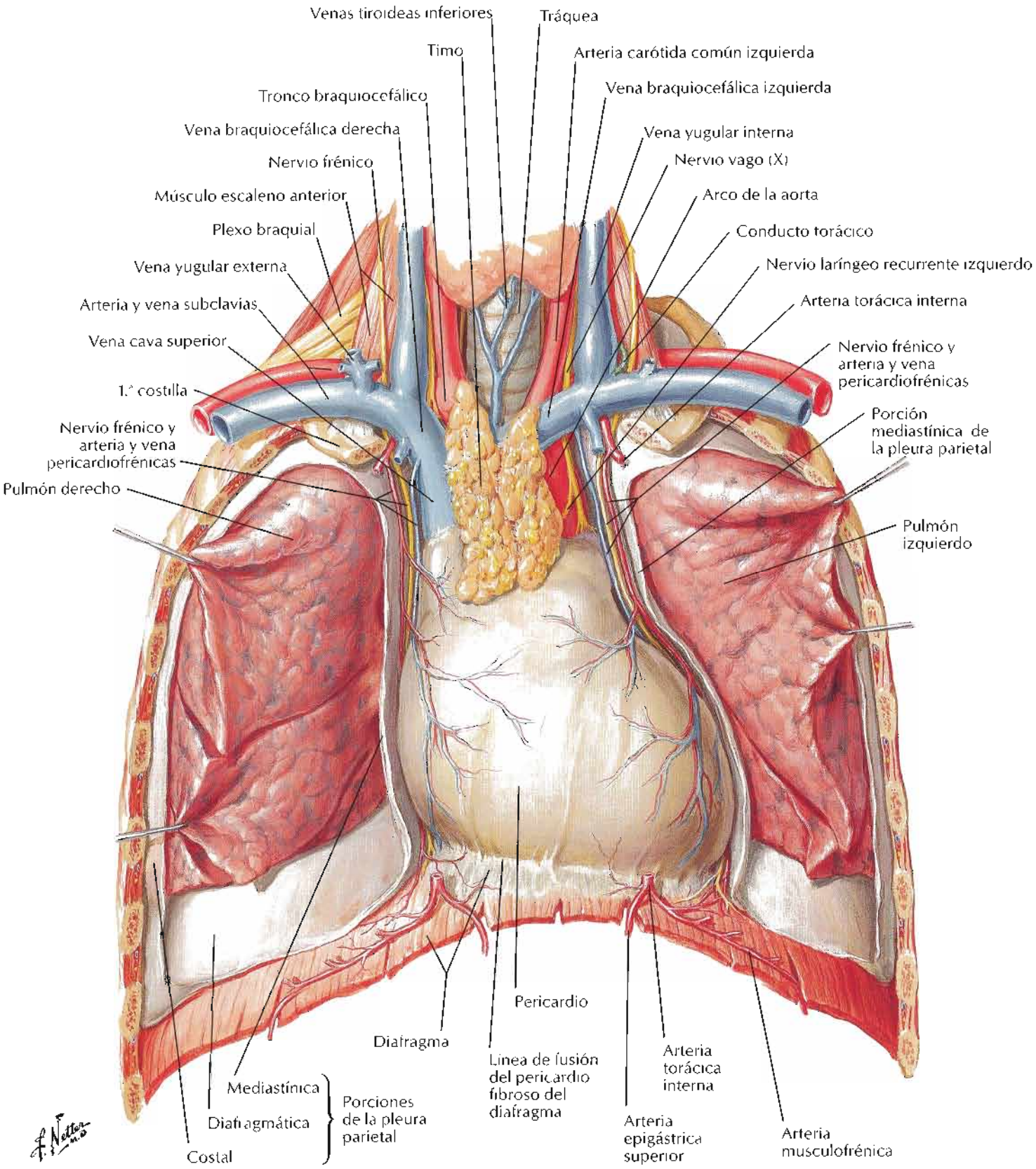
Véanse también **láminas 130, 131, 165, 166, 318**



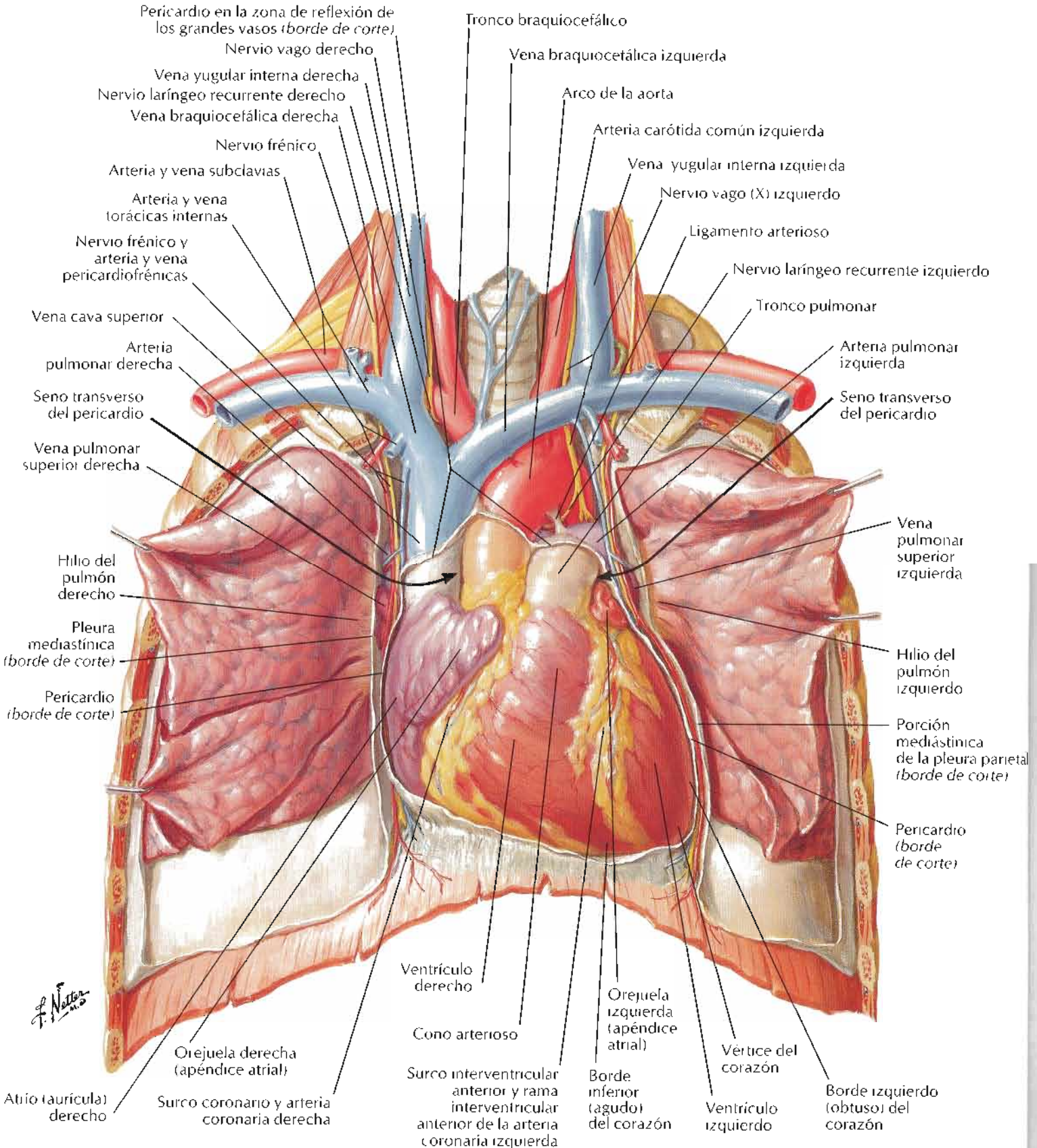
3 Inervación del árbol traqueobronquial: esquema

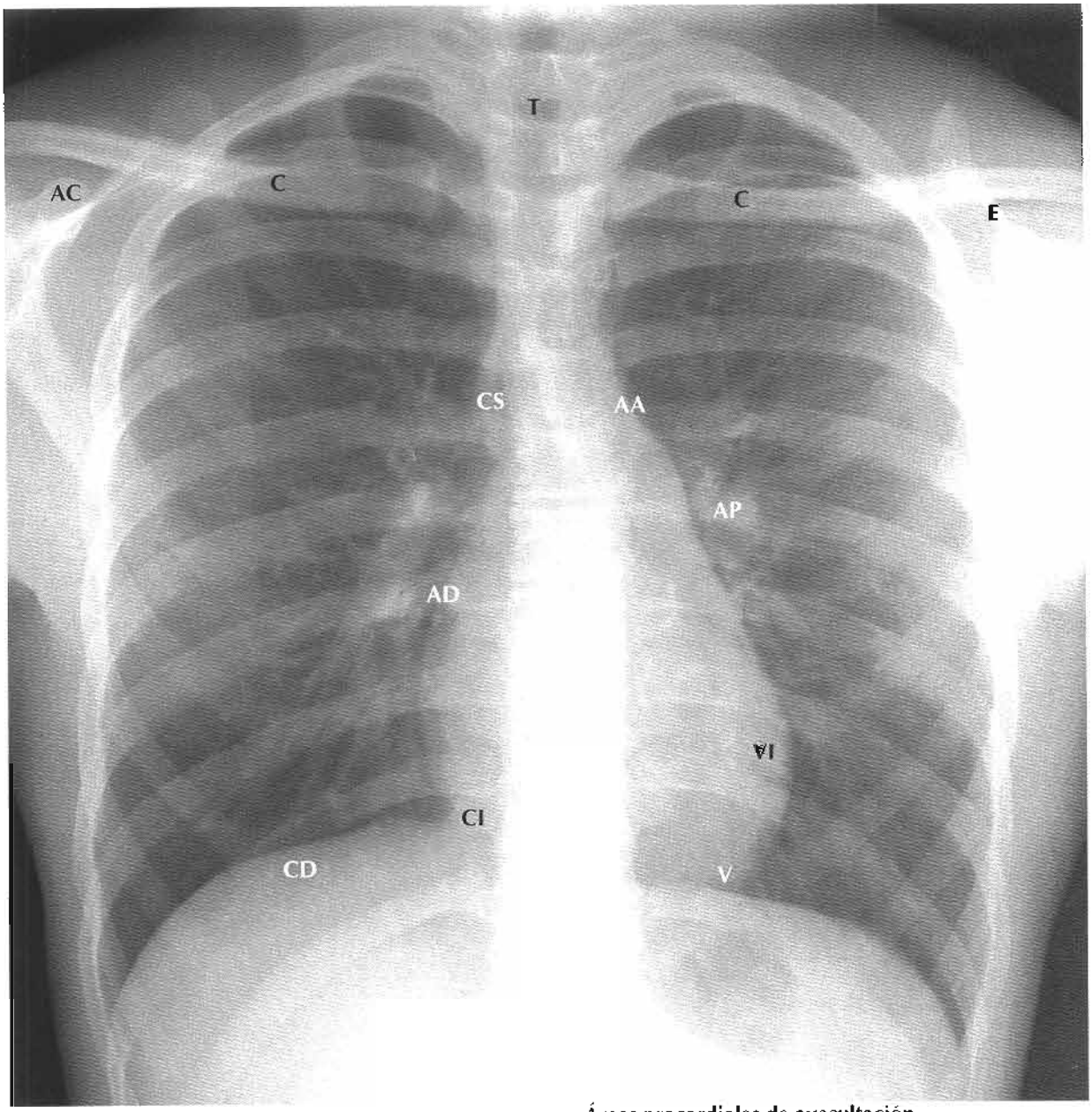
Véanse también **láminas 167, 168**




Venas tiroideas inferiores
Tráquea
Timo
Arteria carótida común izquierda
Vena braquiocefálica izquierda
Tronco braquiocefálico
Vena braquiocefálica derecha
Vena yugular interna
Nervio frénico
Nervio vago (X)
Músculo escaleno anterior
Arco de la aorta
Plexo braquial
Conducto torácico
Vena yugular externa
Nervio laríngeo recurrente izquierdo
Arteria y vena subclavias
Arteria torácica interna
Vena cava superior
Nervio frénico y arteria y vena pericardiofrénicas
1.ª costilla
Porción mediastínica de la pleura parietal
Nervio frénico y arteria y vena pericardiofrénicas
Pulmón derecho
Pulmón izquierdo
Pericardio
Diafragma
Línea de fusión del pericardio fibroso del diafragma
Arteria torácica interna
Arteria epigástrica superior
Arteria musculofrénica
Mediastínica
Diafragmática
Costal
Porciones de la pleura parietal

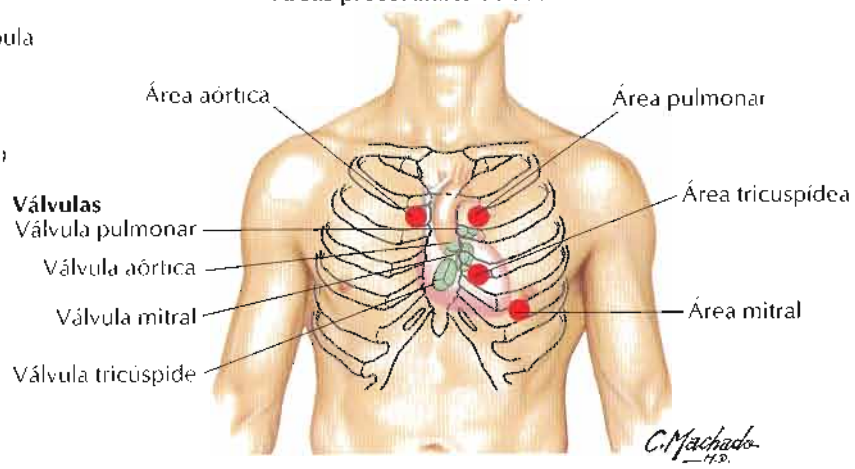
Corazón: exposición anterior



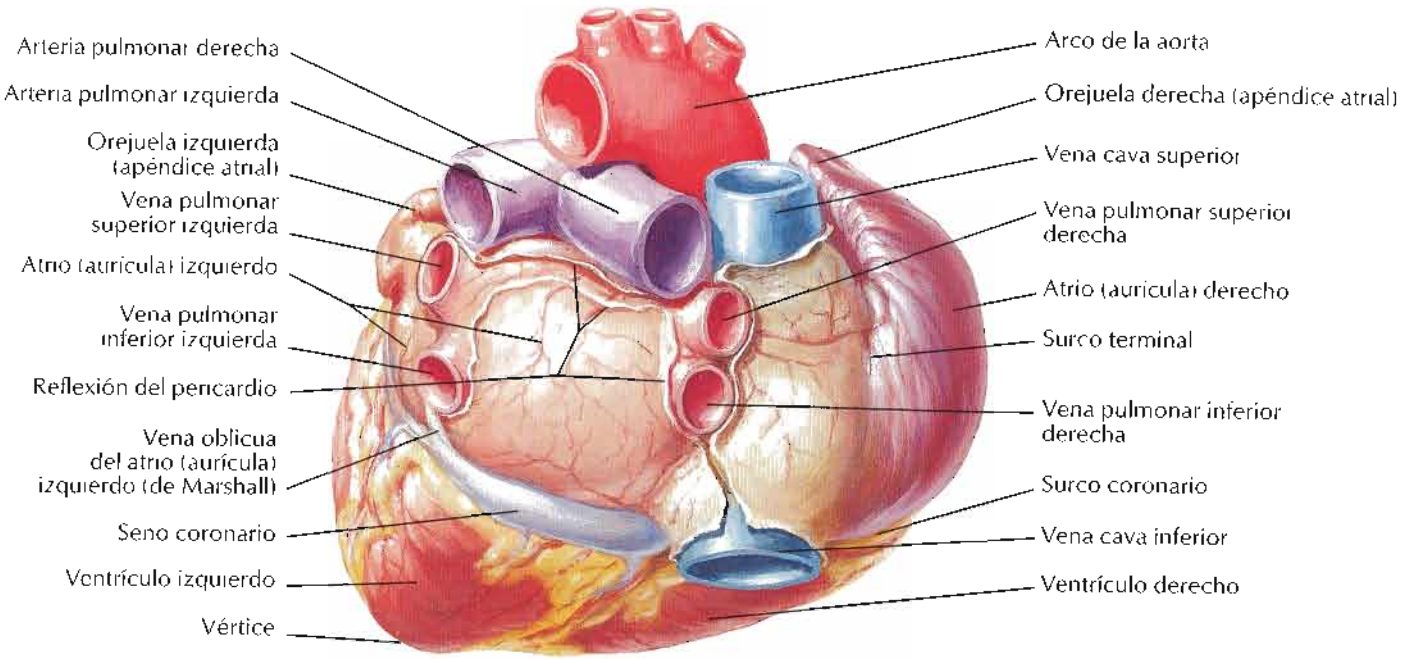


AA Arco de la aorta
AC Apófisis coracoides de la escápula
AD Atrio (aurícula) derecho
AP Arteria pulmonar (izquierda)
C Clavícula
CD Cúpula del diafragma (derecha)
CI Vena cava inferior
CS Vena cava superior
E Espina de la escápula
T Tráquea
V Vértice del corazón
VI Ventrículo izquierdo

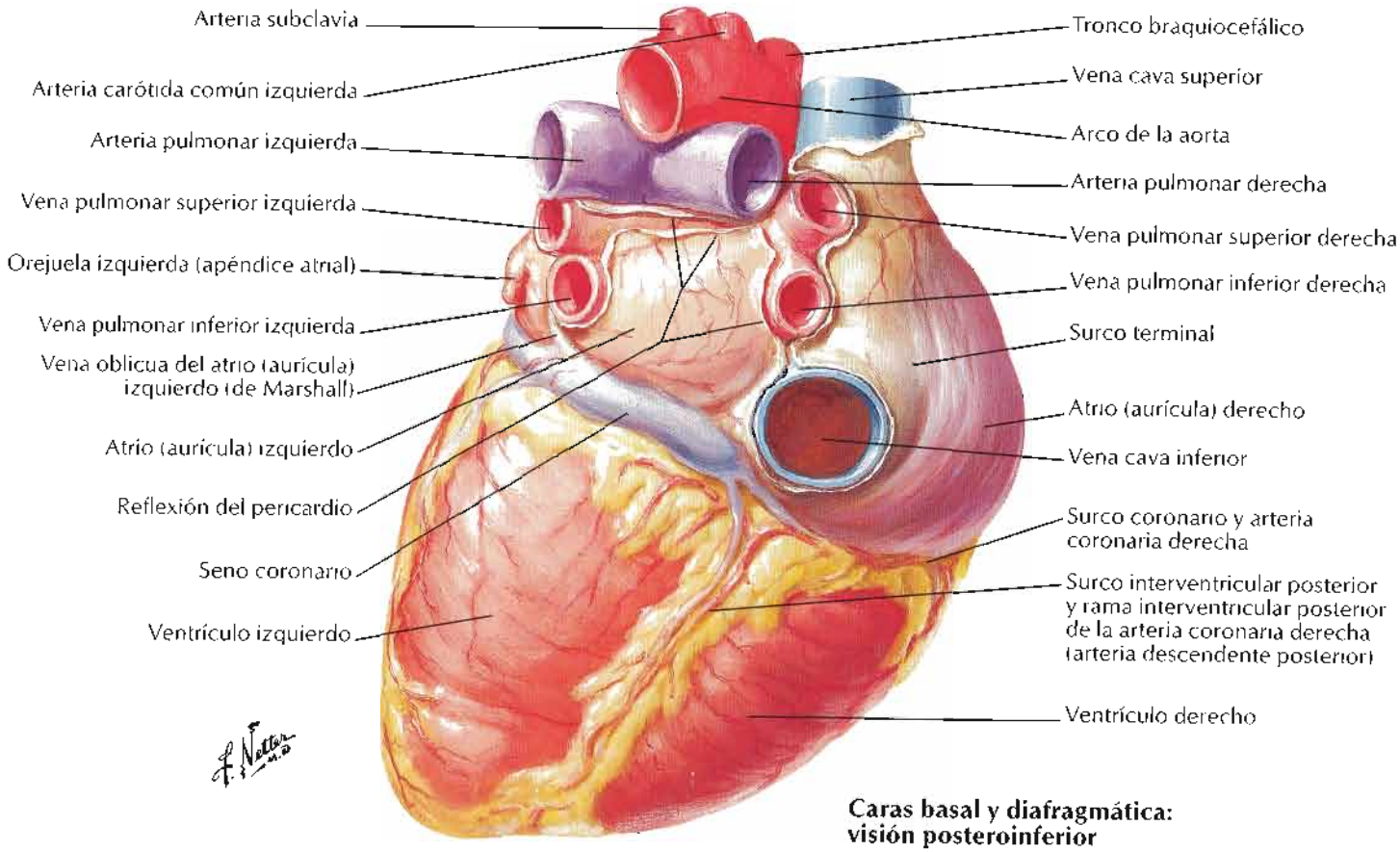
Áreas precordiales de auscultación



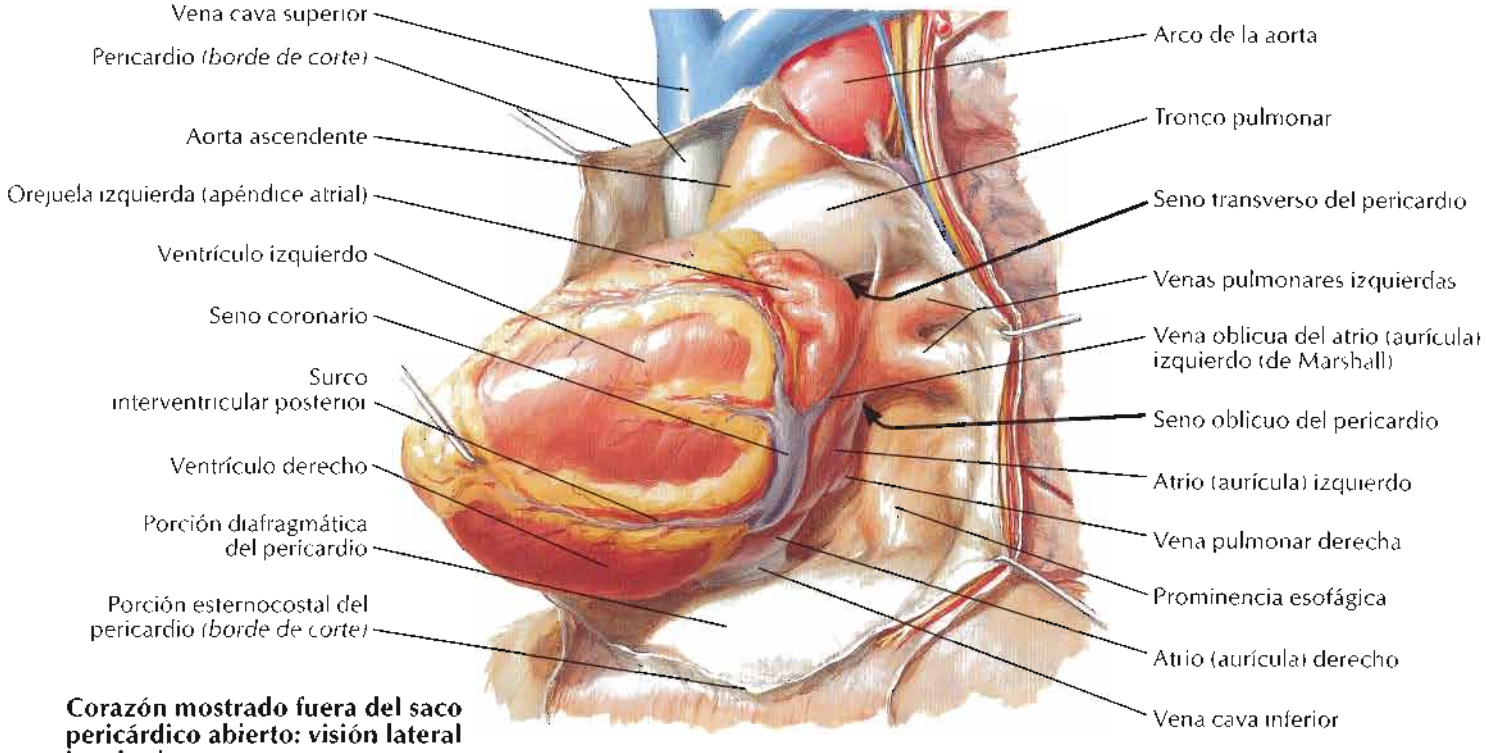
Corazón: caras basal y diafragmática



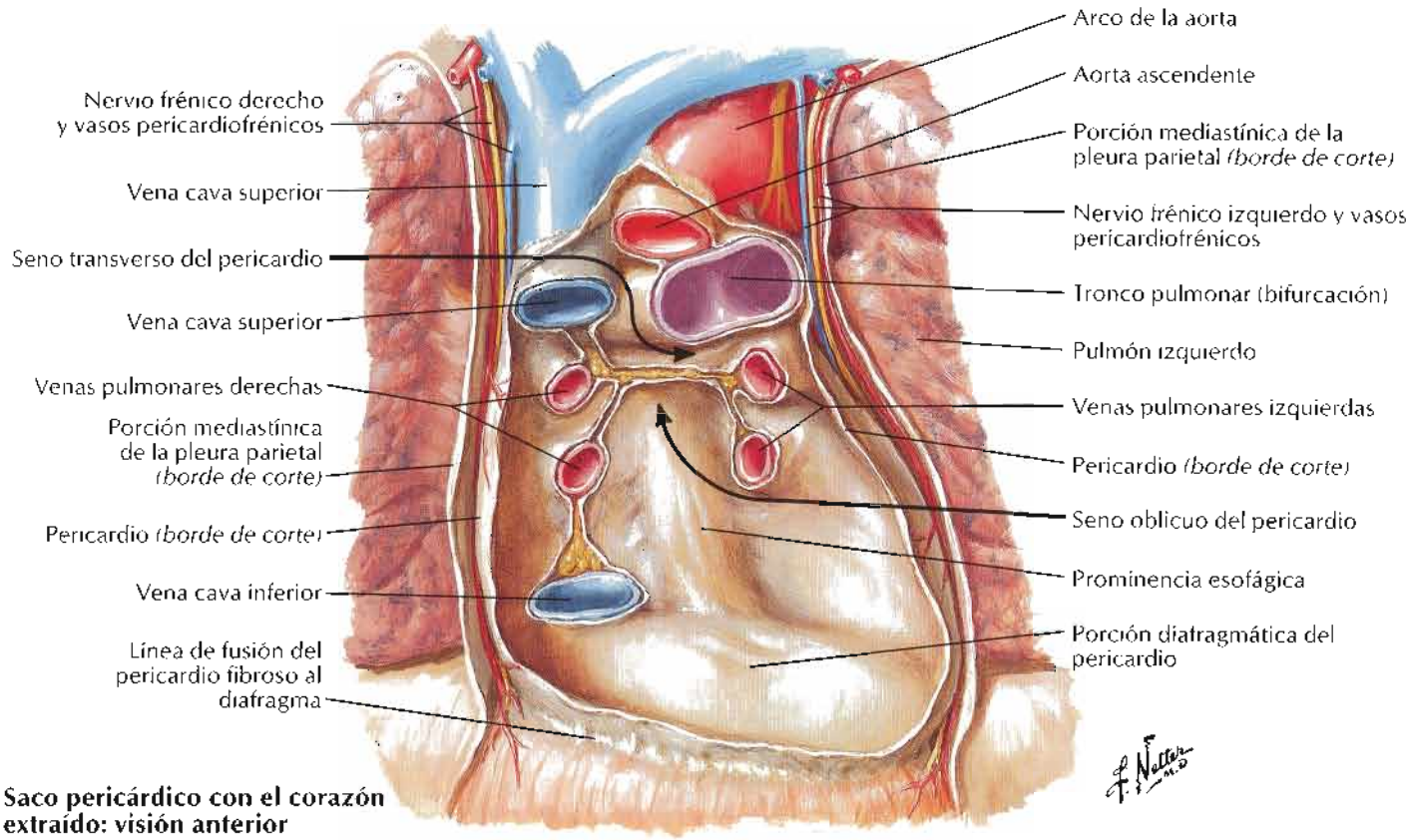
Base del corazón: visión posterior



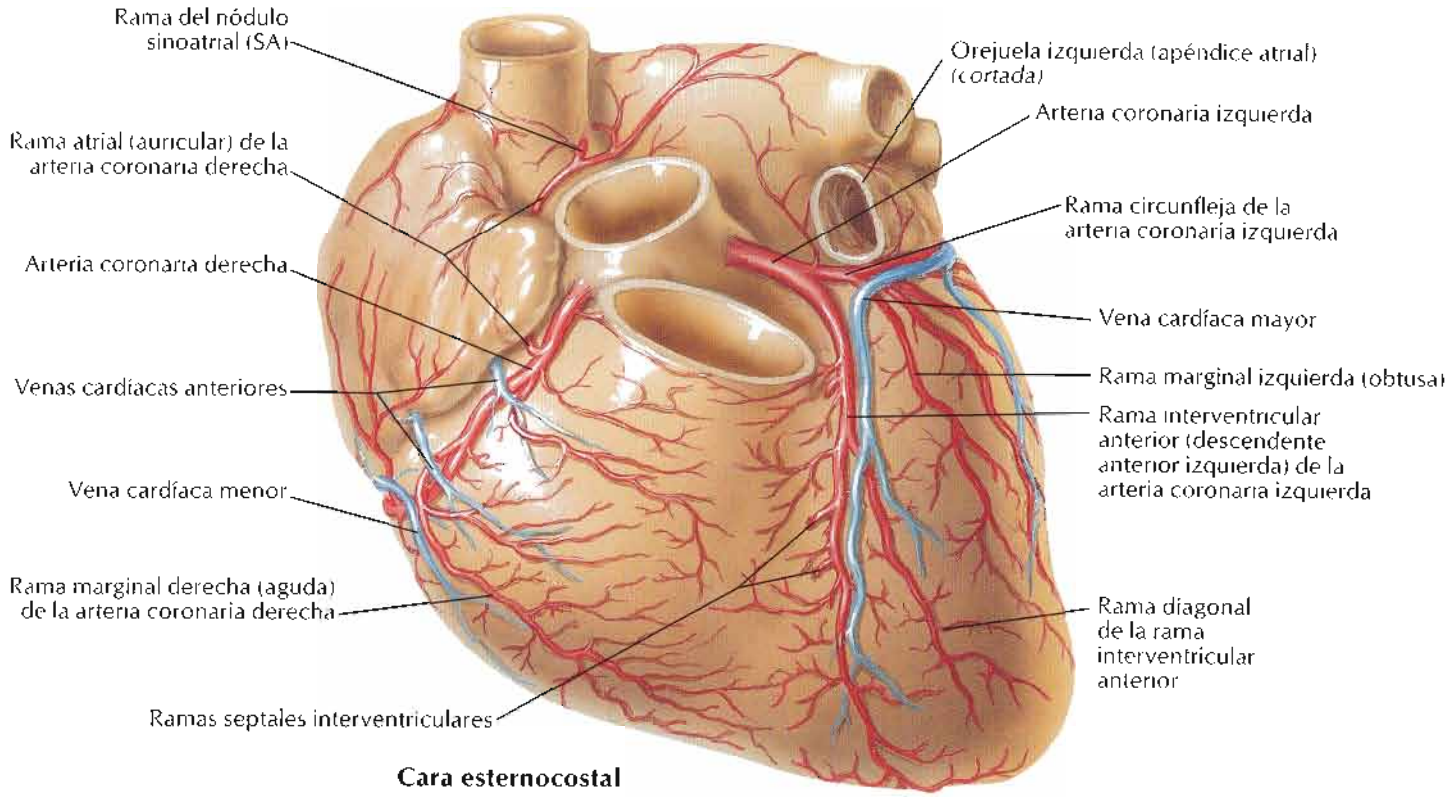
Caras basal y diafragmática: visión posteroinferior



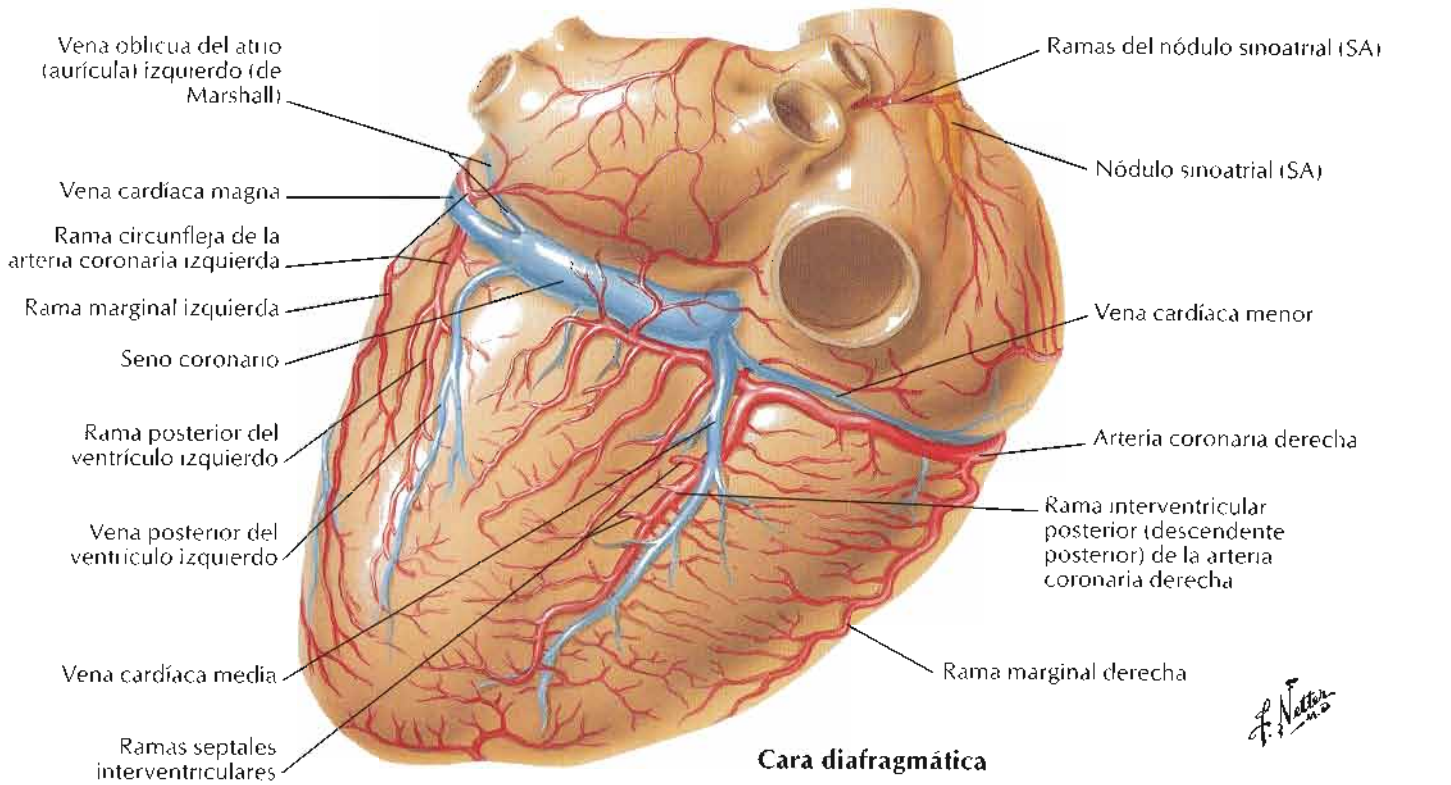
Corazón mostrado fuera del saco pericárdico abierto: visión lateral izquierda



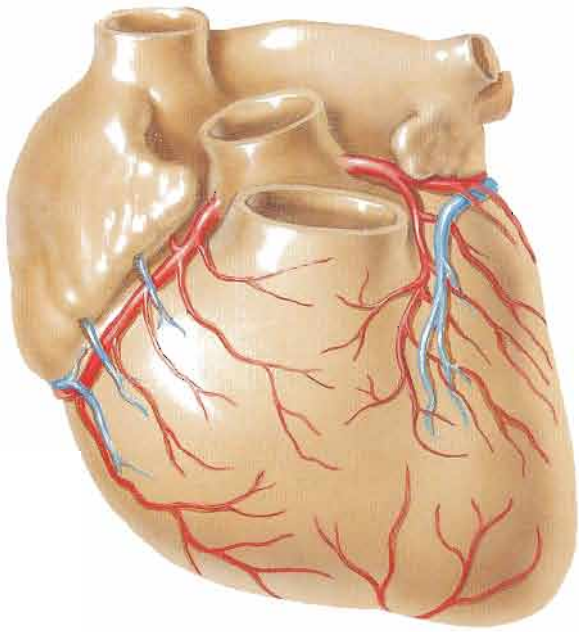
Saco pericárdico con el corazón extraído: visión anterior



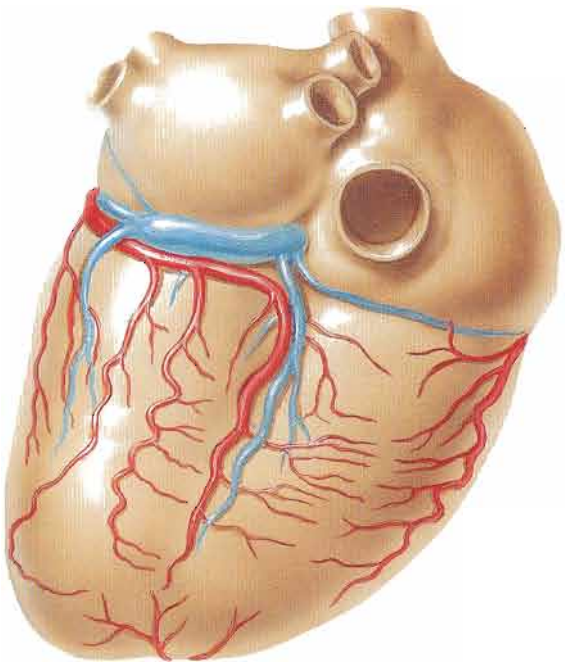
Cara esternocostal



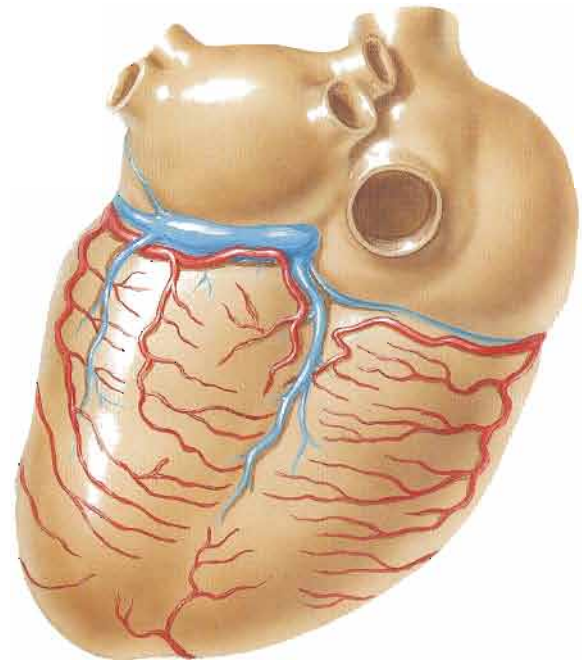
Cara diafragmática



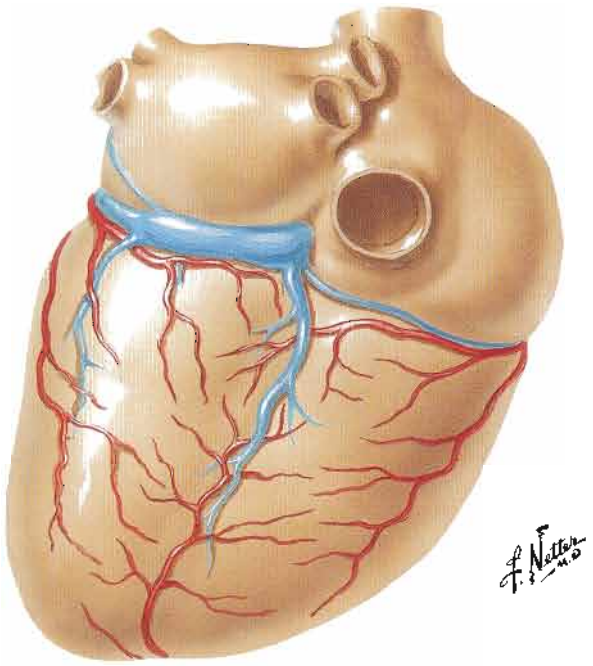
Rama interventricular anterior (descendente anterior izquierda) de la arteria coronaria izquierda muy corta. La porción apical de la cara anterior (esternocostal) es irrigada por ramas de la rama interventricular posterior (descendente posterior) de la arteria coronaria derecha que se incurvan alrededor del vértice



Rama interventricular posterior (descendente posterior) derivada de la rama circunfleja de la arteria coronaria izquierda, en lugar de serlo de la arteria coronaria derecha

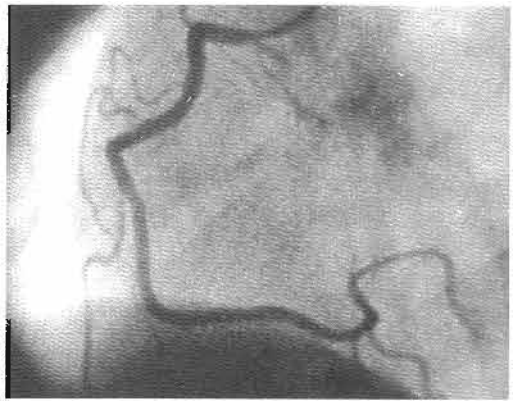


Rama interventricular posterior (descendente posterior) ausente. Área irrigada principalmente por pequeñas ramas de la rama circunfleja de la arteria coronaria izquierda y de la arteria coronaria derecha

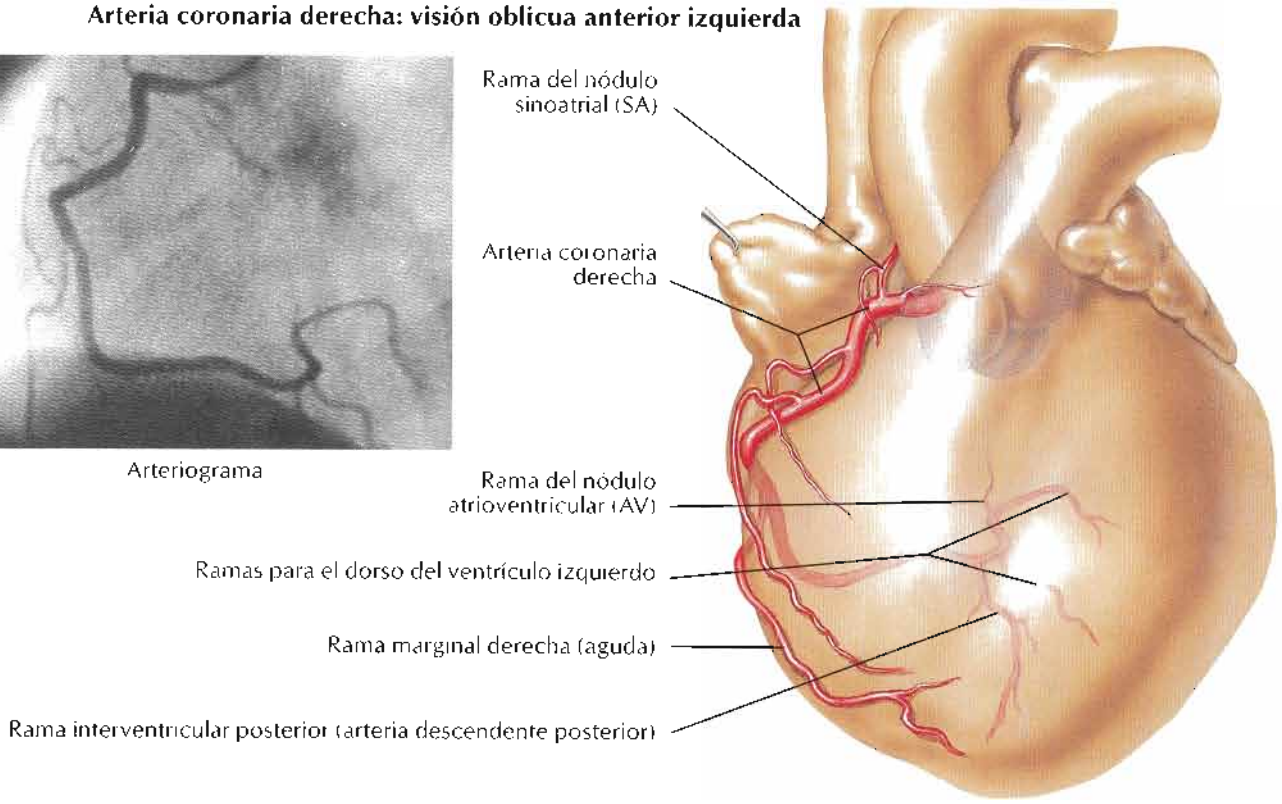


Rama interventricular posterior (descendente posterior) ausente. Área irrigada principalmente por la elongación de la rama interventricular anterior (descendente anterior izquierda) que se incurva alrededor del vértice

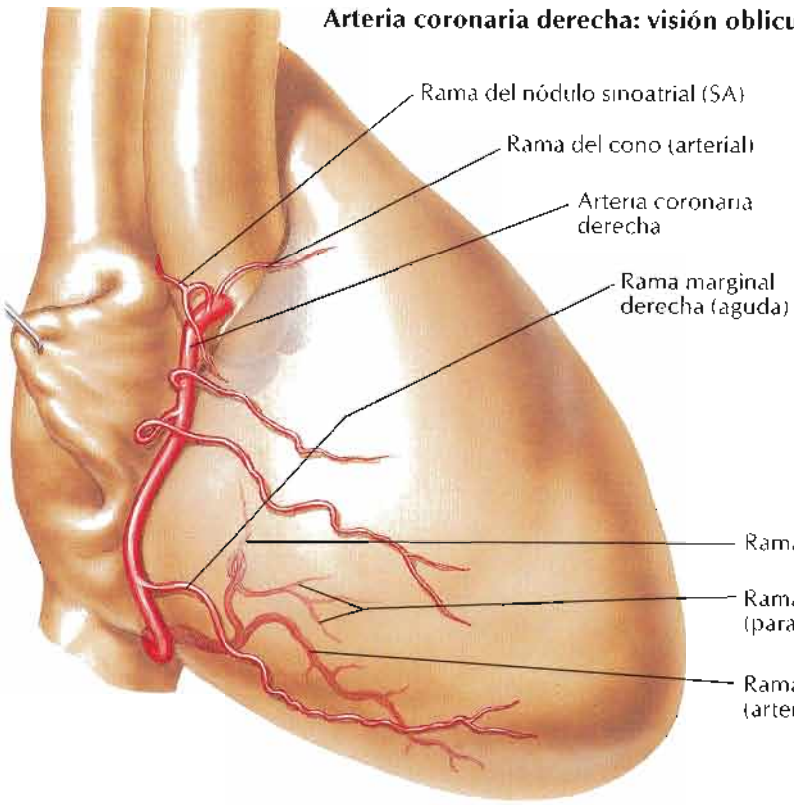
Arteria coronaria derecha: visión oblicua anterior izquierda

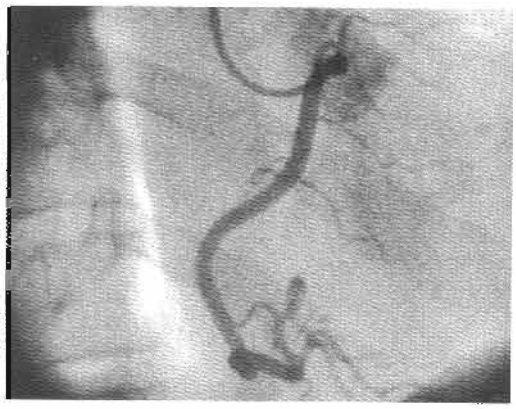


Arteriograma



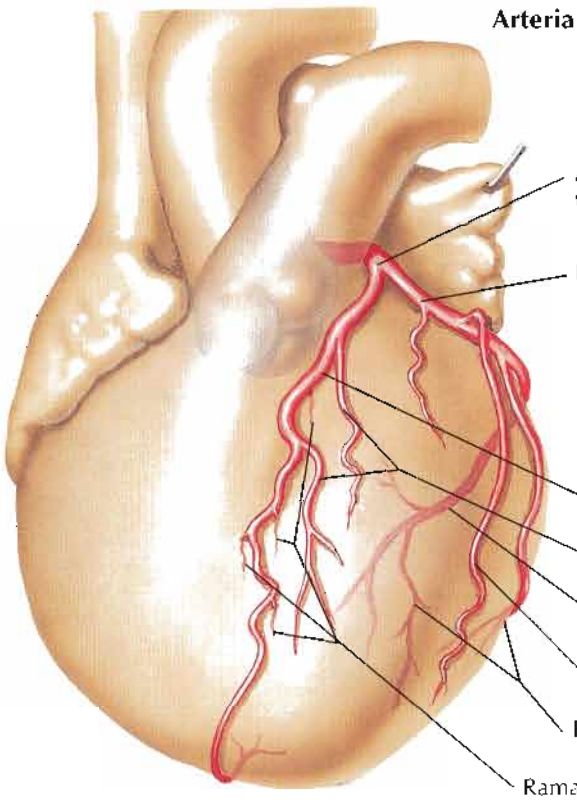
Arteria coronaria derecha: visión oblicua anterior derecha





Arteriograma

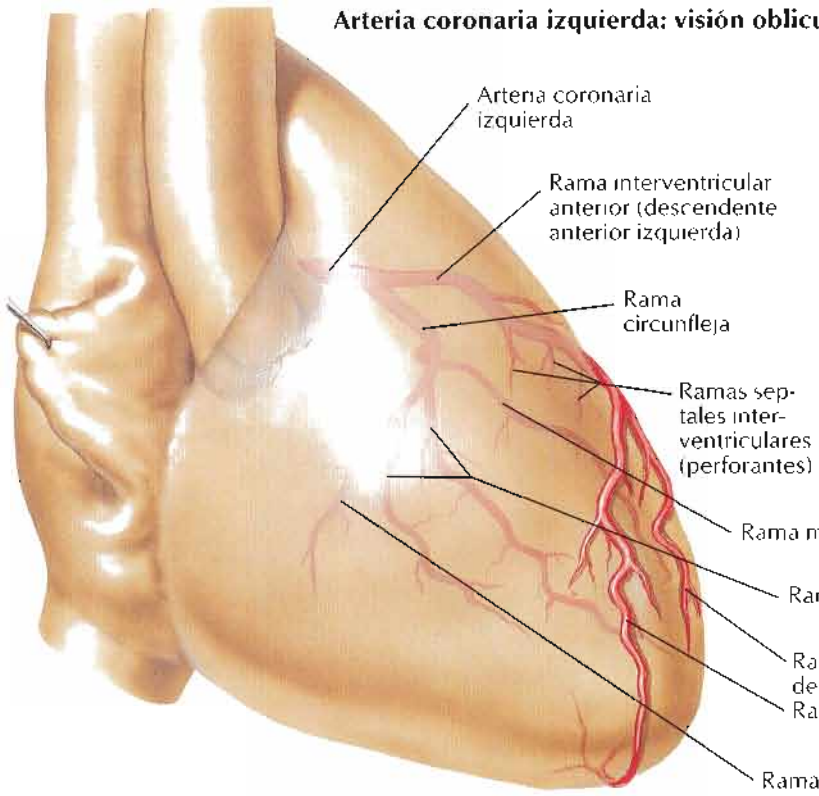
Arteria coronaria izquierda: visión oblicua anterior izquierda

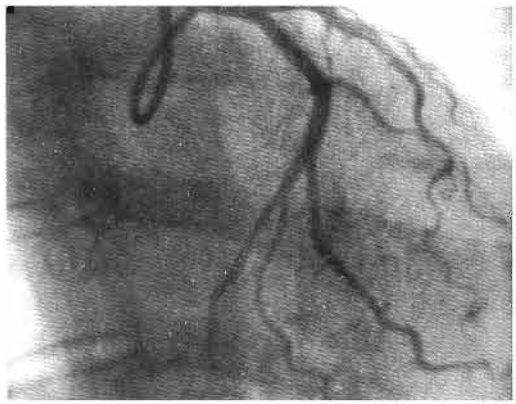




Arteriograma

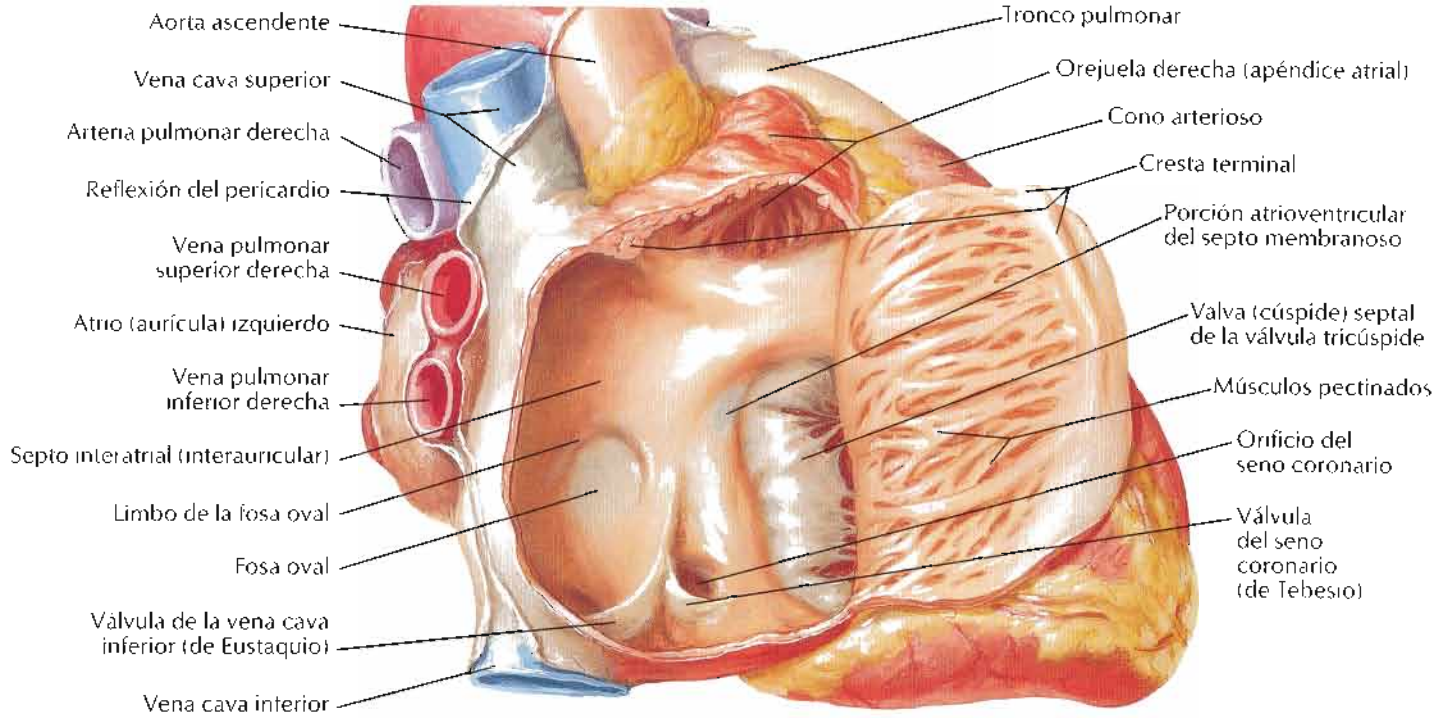
Arteria coronaria izquierda: visión oblicua anterior derecha



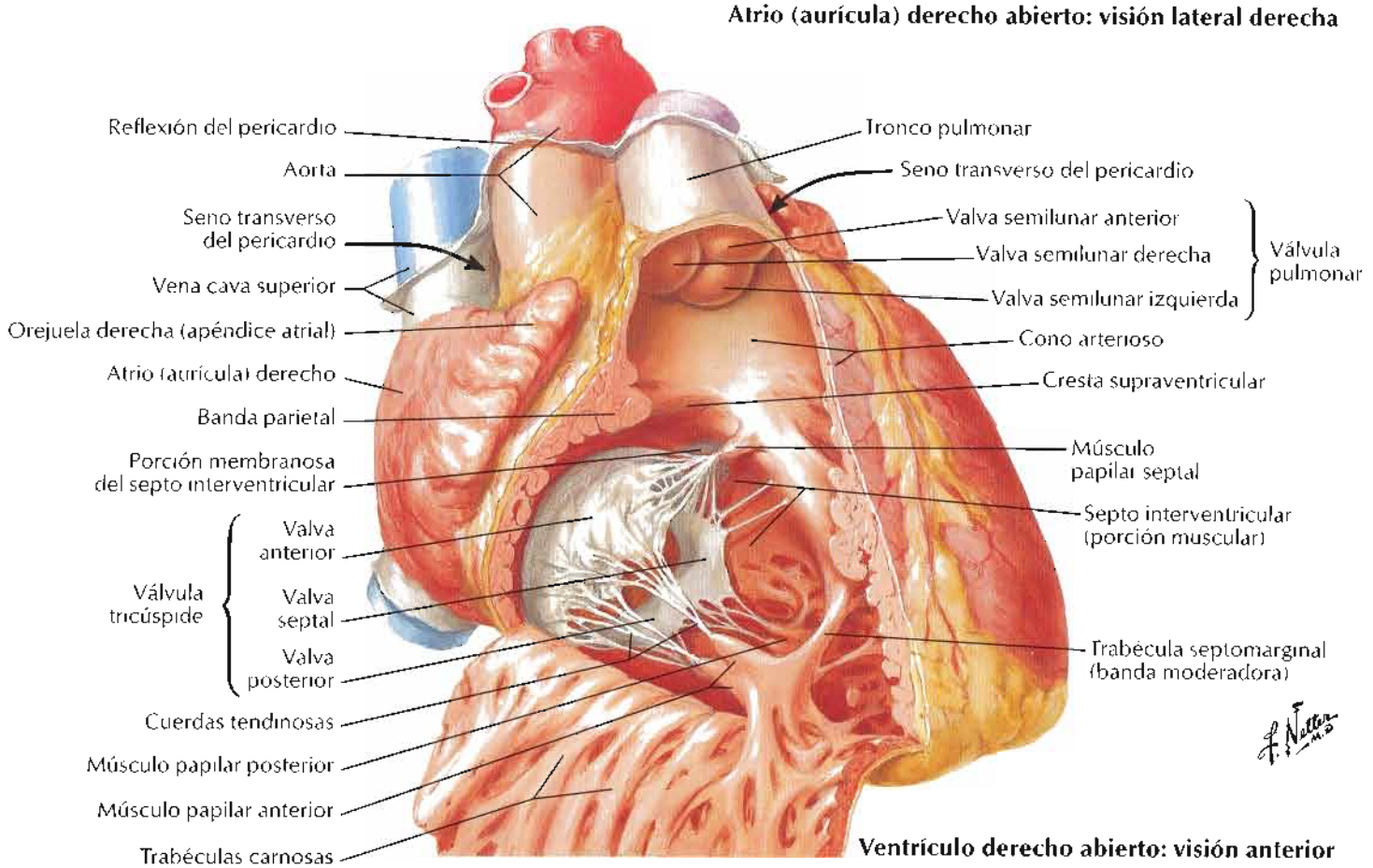


Arteriograma

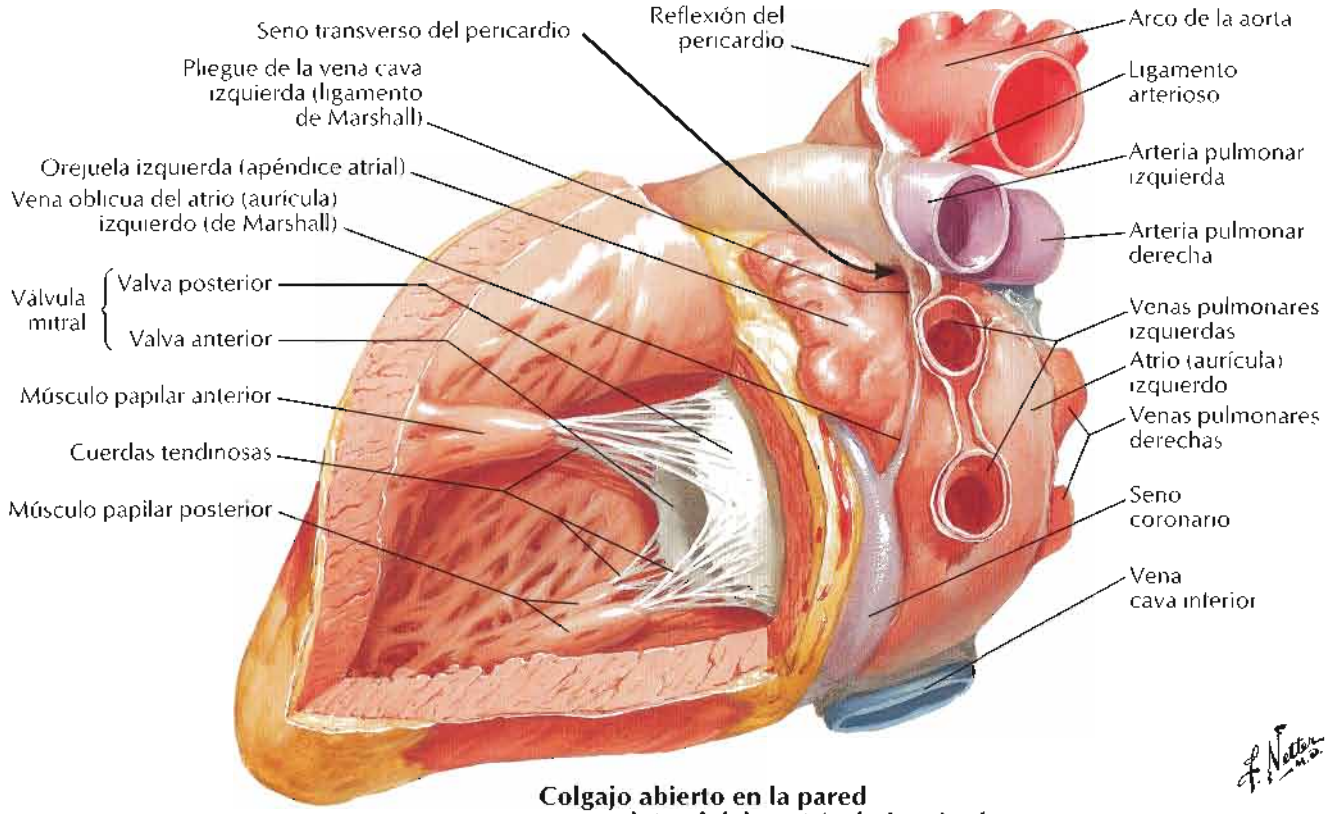
3 Atrio (aurícula) y ventrículo derechos



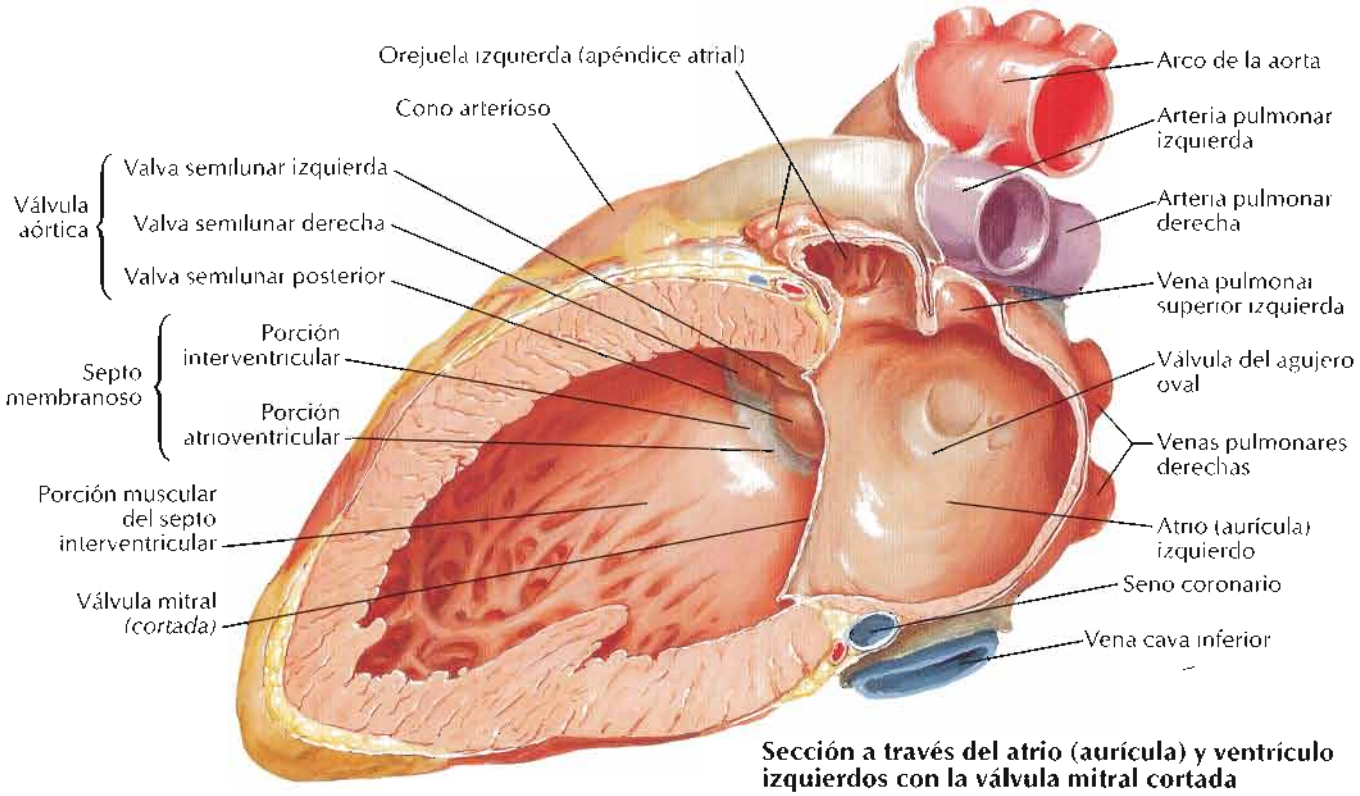
Atrio (aurícula) derecho abierto: visión lateral derecha



Ventrículo derecho abierto: visión anterior

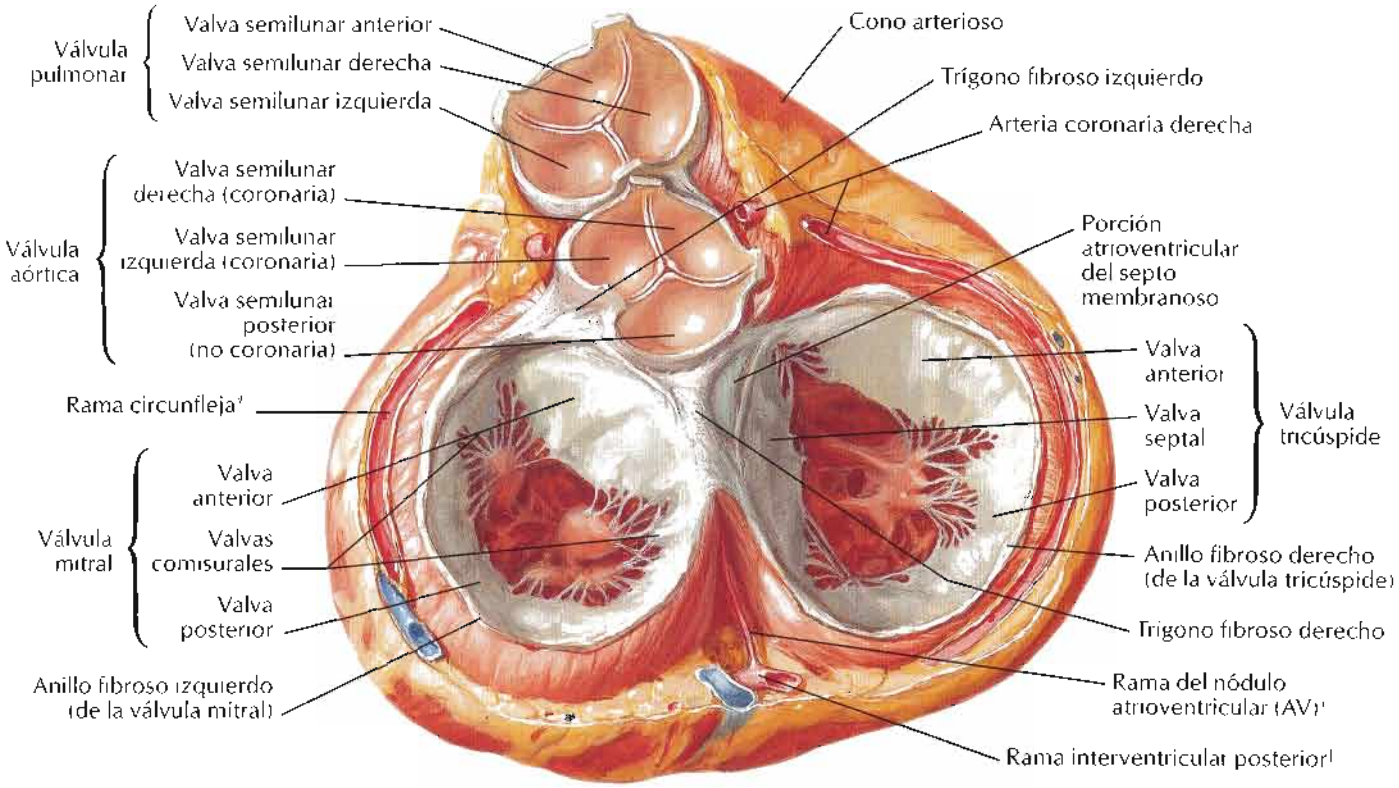


Colgajo abierto en la pared posterolateral del ventrículo izquierdo

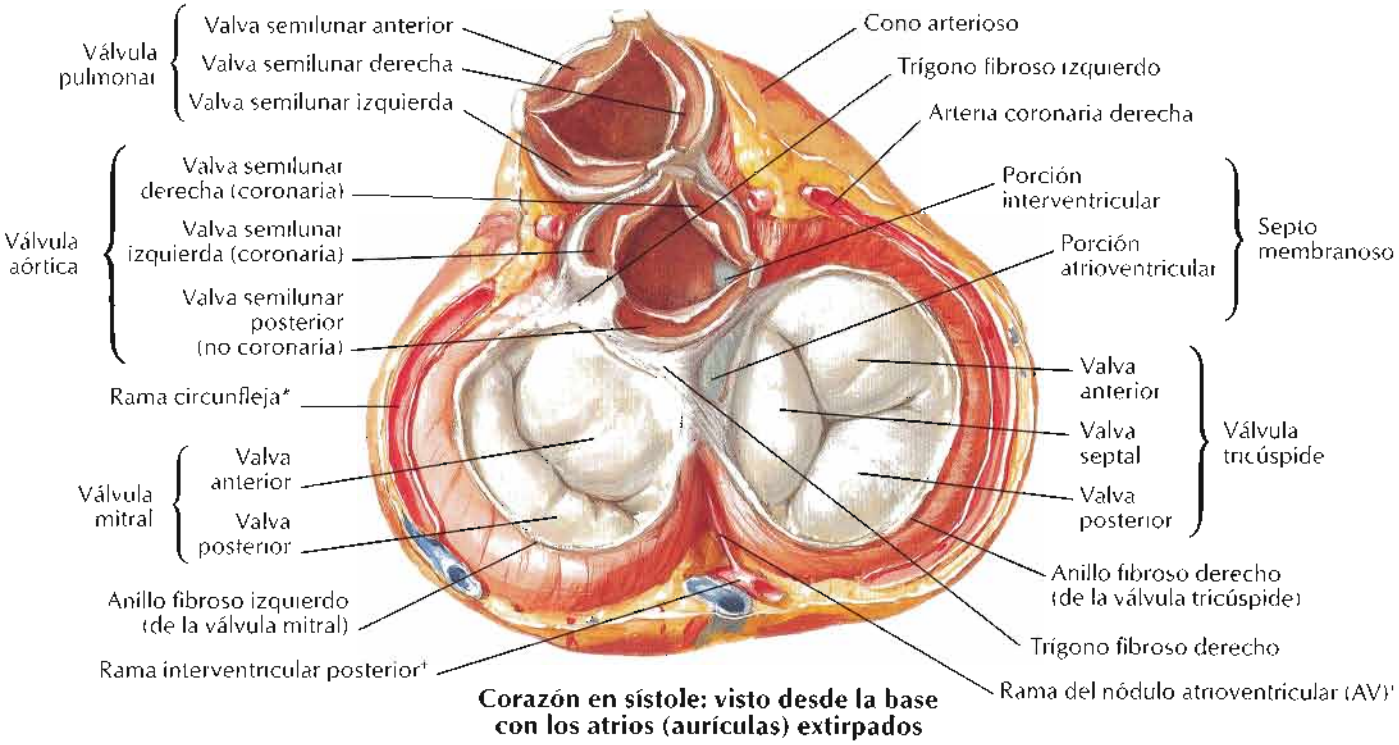


Sección a través del atrio (aurícula) y ventrículo izquierdos con la válvula mitral cortada

Válvulas y esqueleto fibroso del corazón



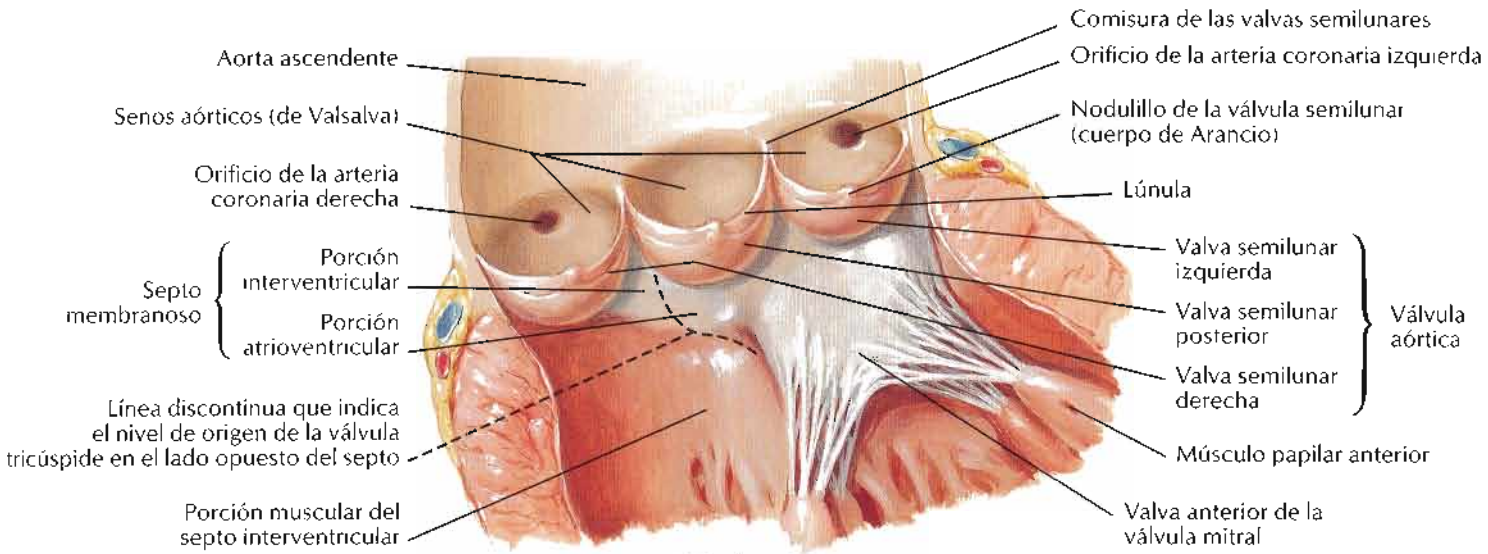
Corazón en diástole: visto desde la base con los atrios (aurículas) extirpados



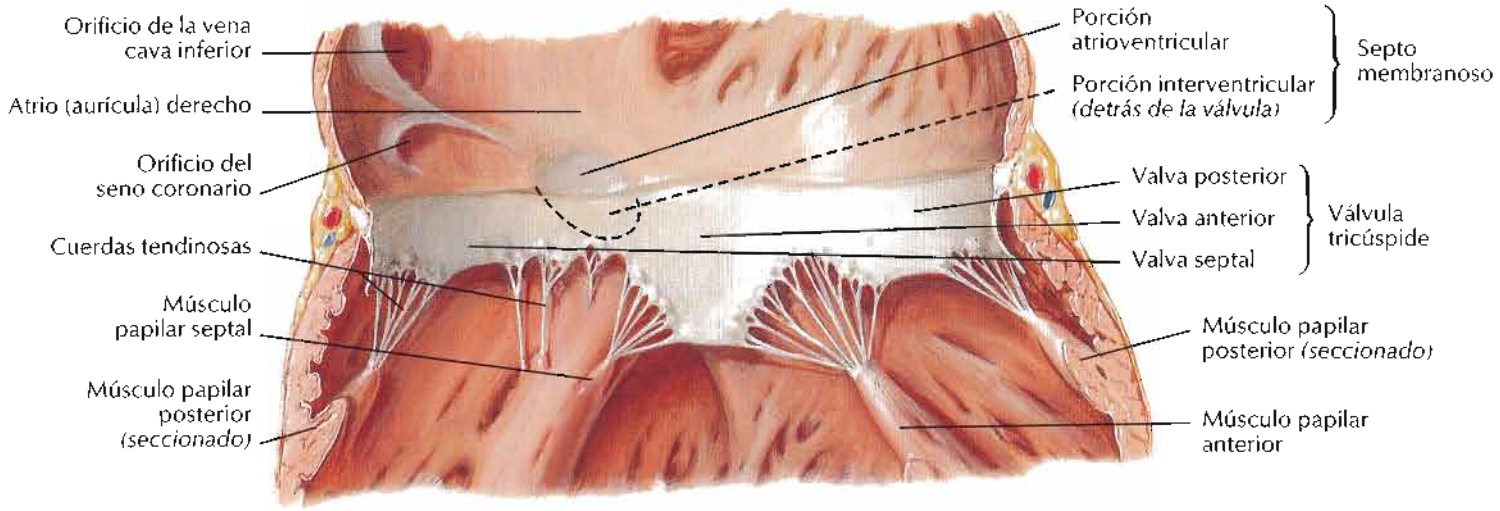
Corazón en sístole: visto desde la base con los atrios (aurículas) extirpados

*De la arteria coronaria izquierda
†De la arteria coronaria derecha

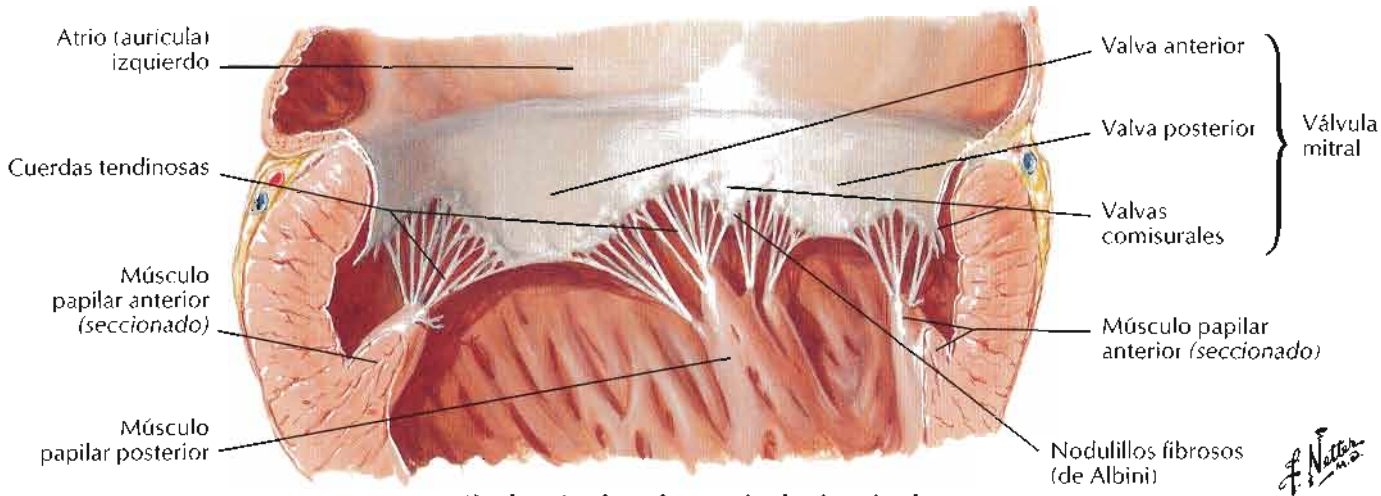
Válvulas y esqueleto fibroso del corazón *(continuación)*



Válvula aórtica

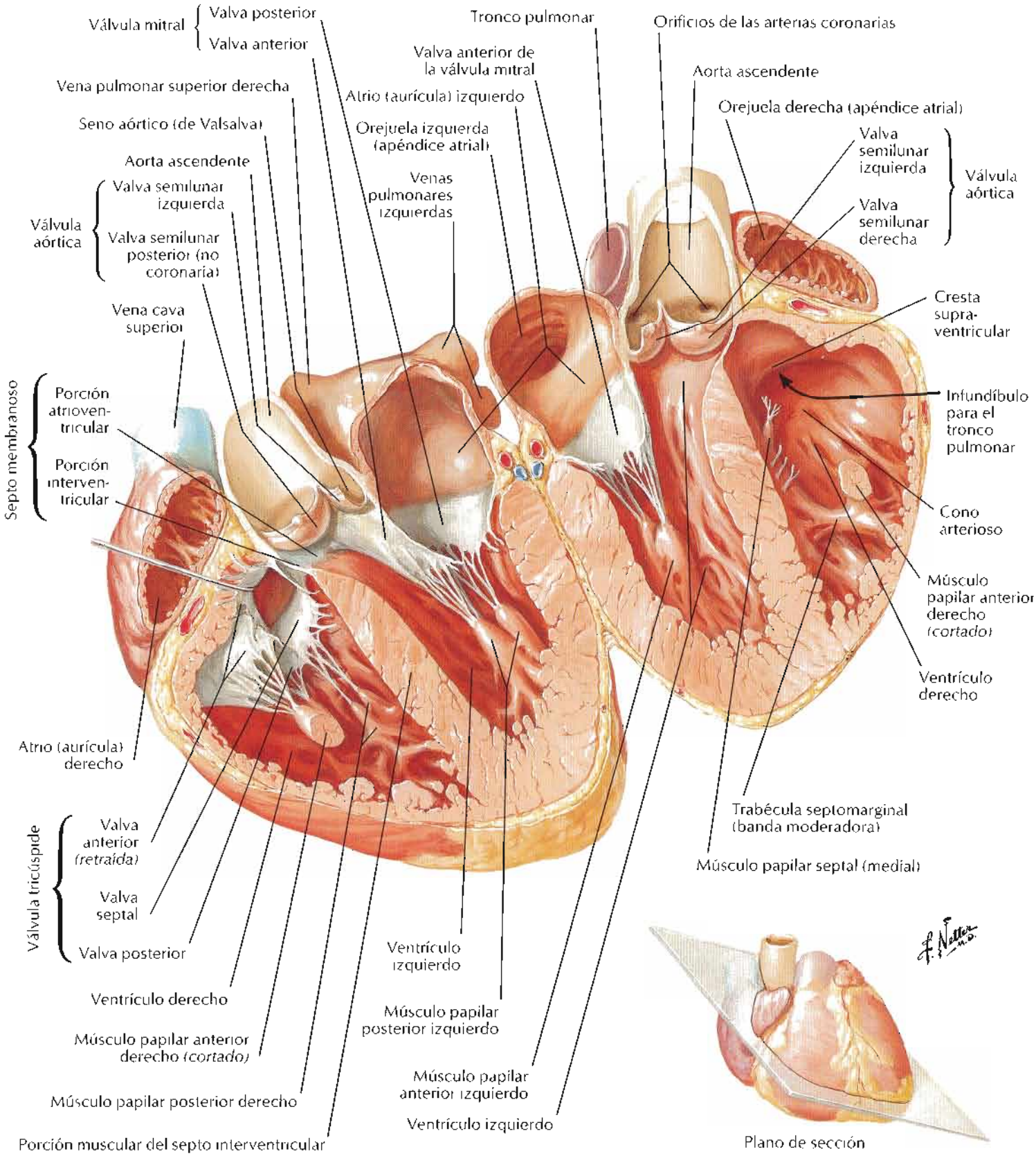


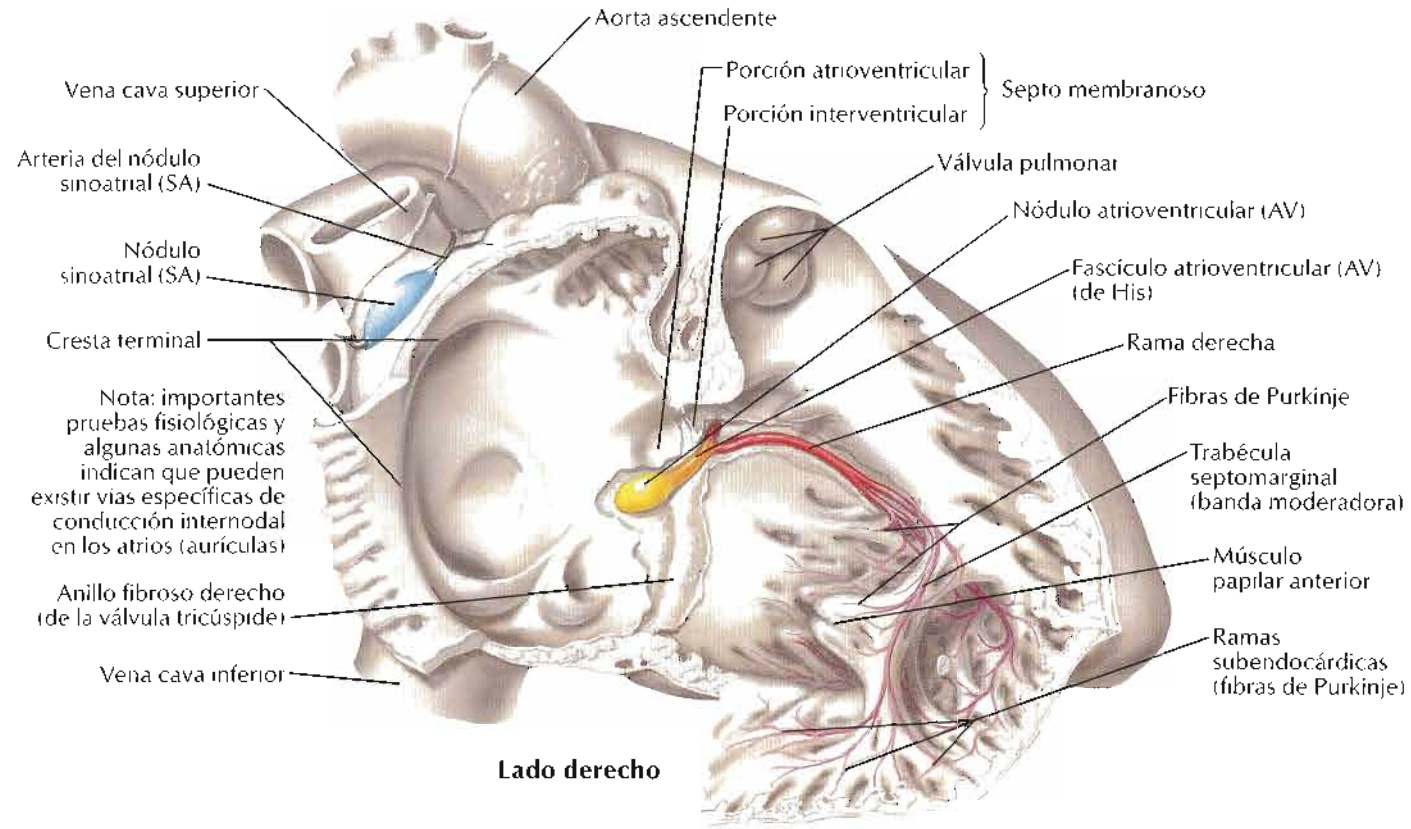
Válvula tricúspide (atrioventricular derecha)



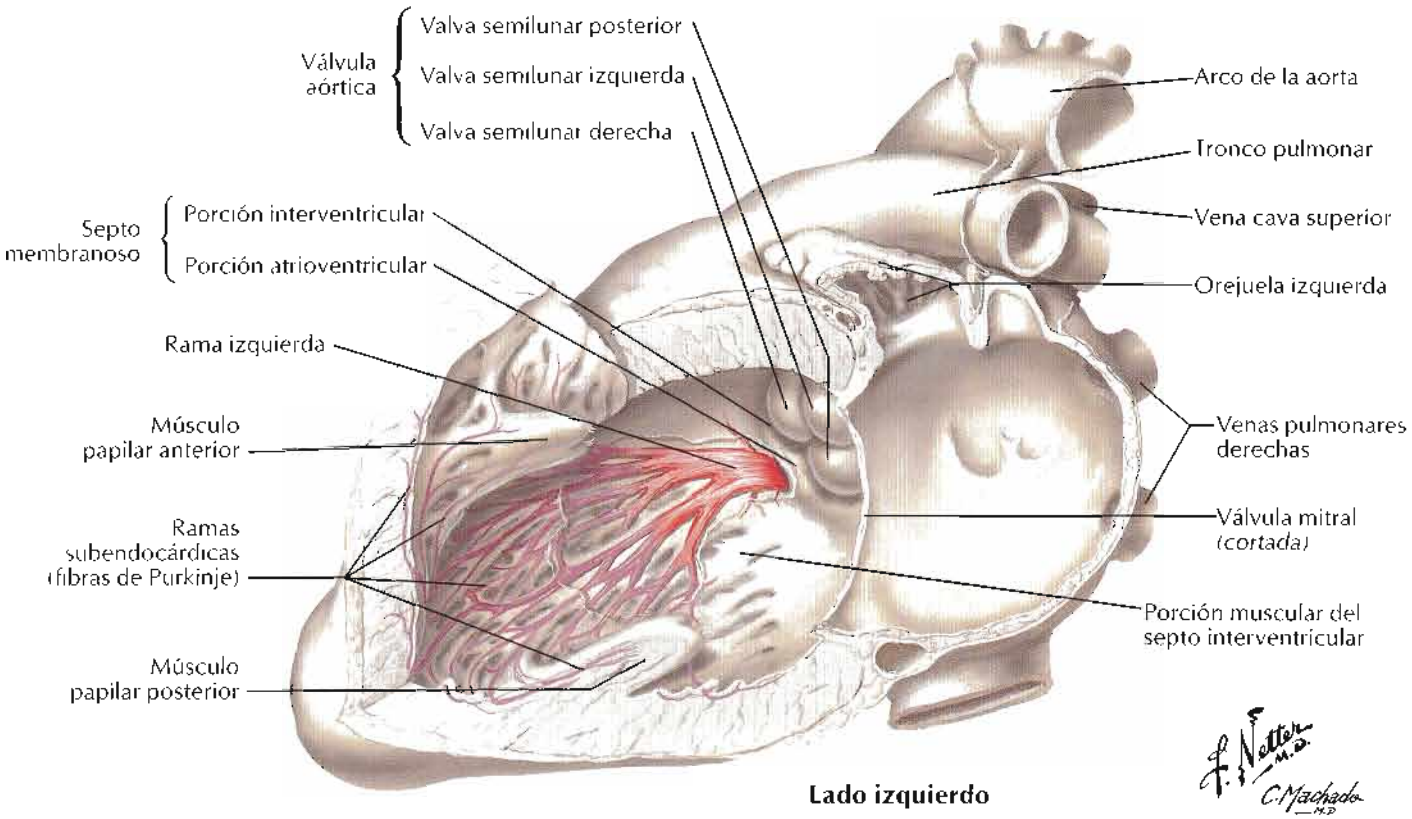
Válvula mitral (atrioventricular izquierda)

3 Atrios (aurículas), ventrículos y septo interventricular





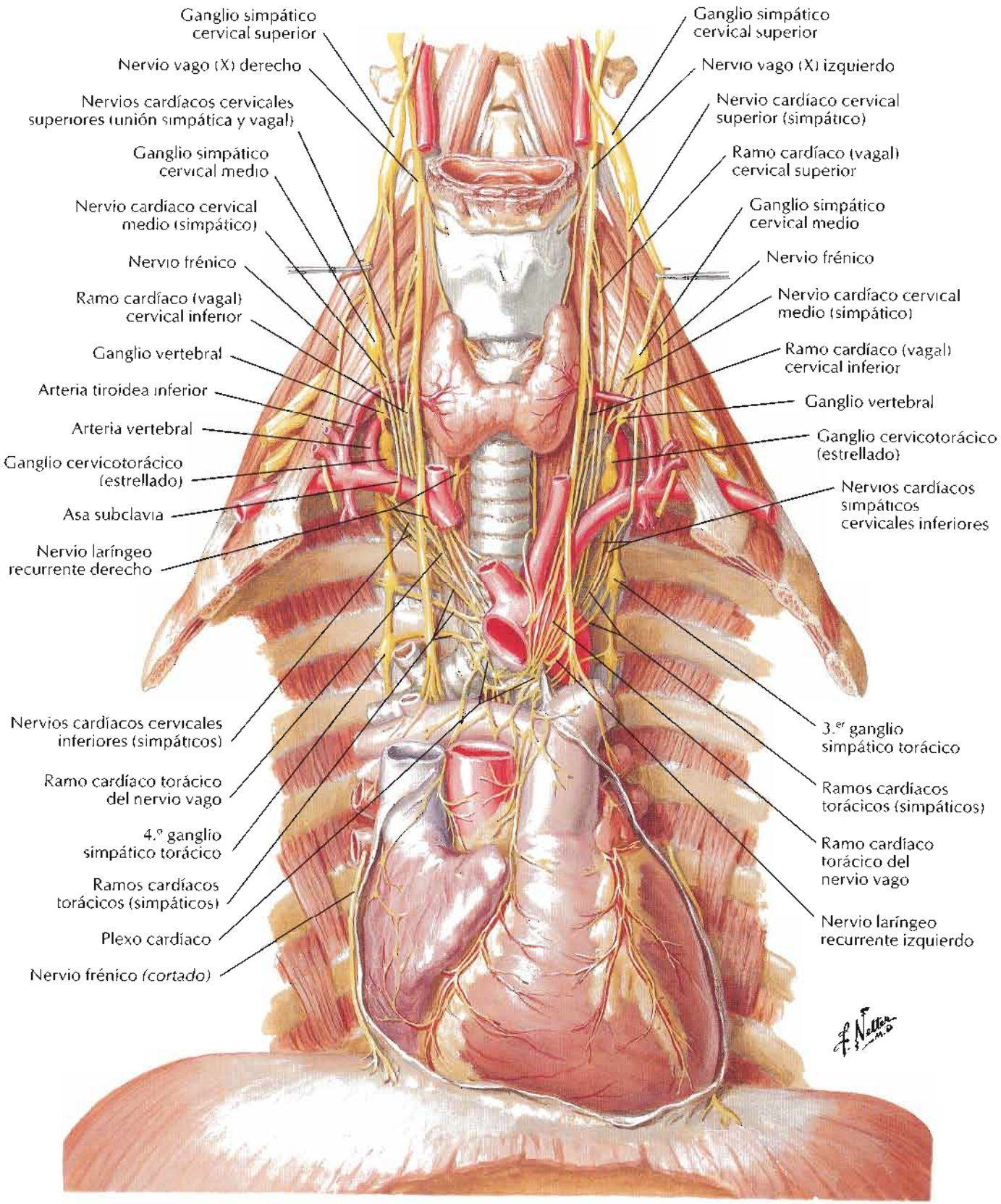
Lado derecho



Lado izquierdo

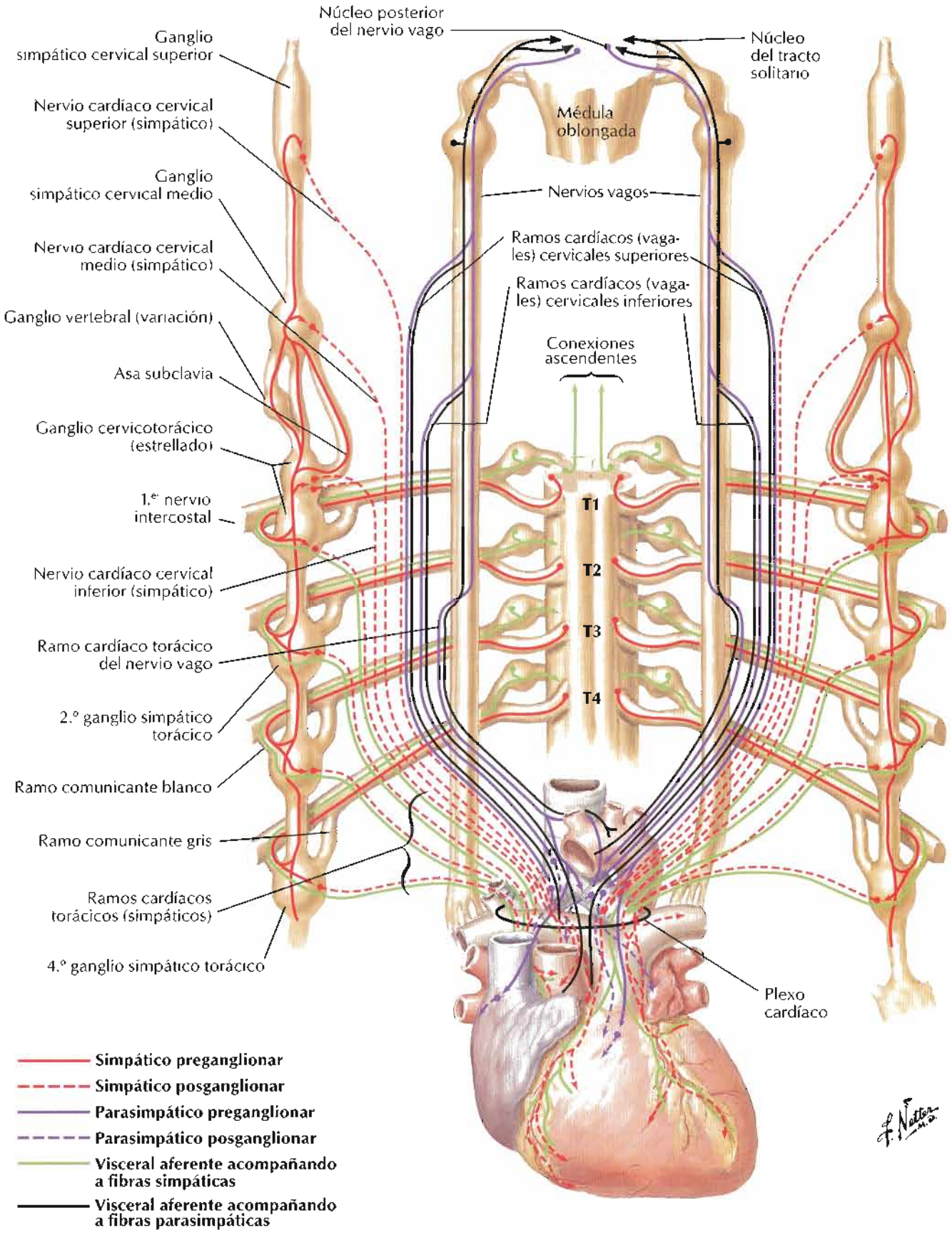
3 Nervios del corazón

Véanse también **láminas 130, 165, 166, 209**



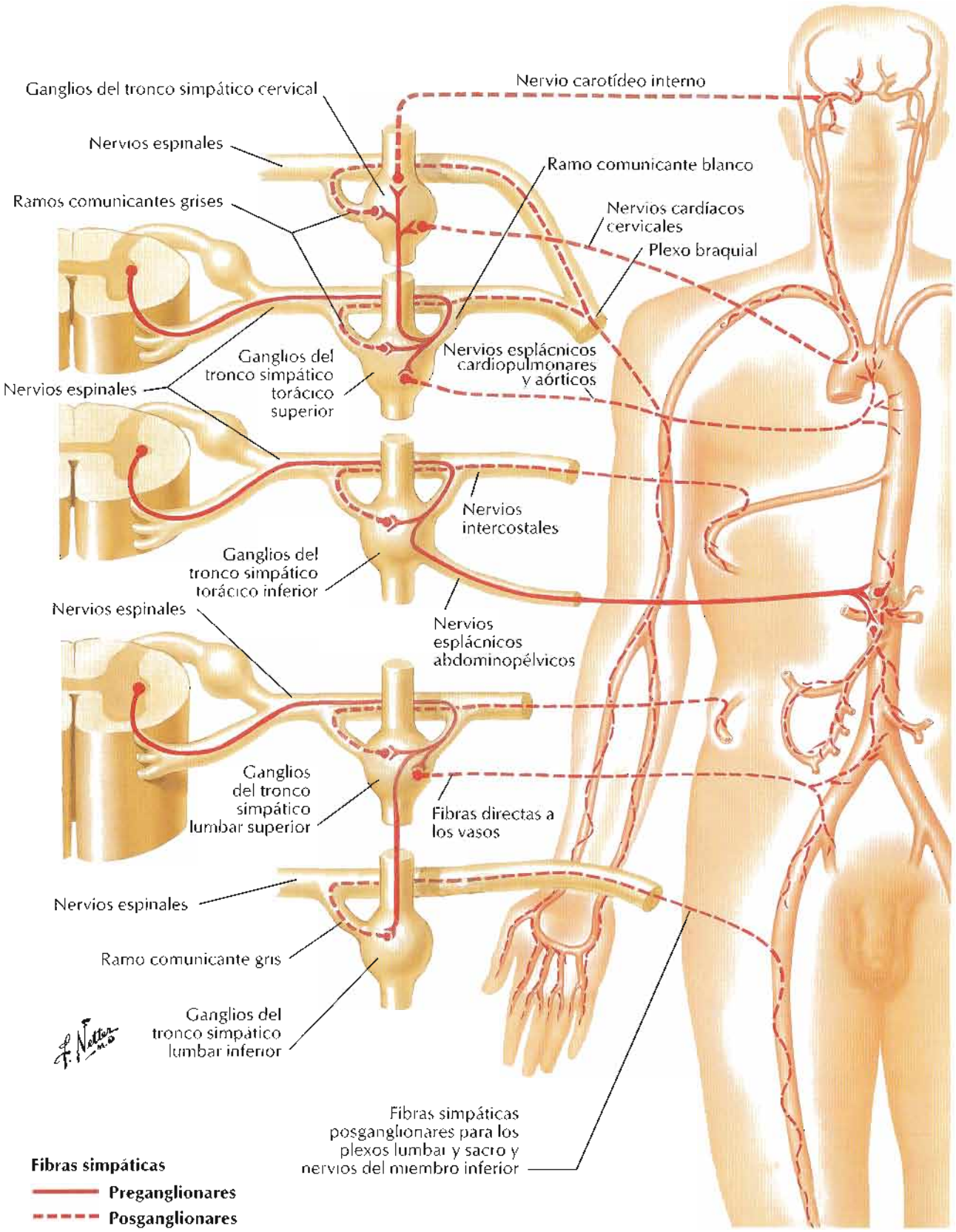
Inervación del corazón: esquema

Véanse también **láminas 126, 167, 168**

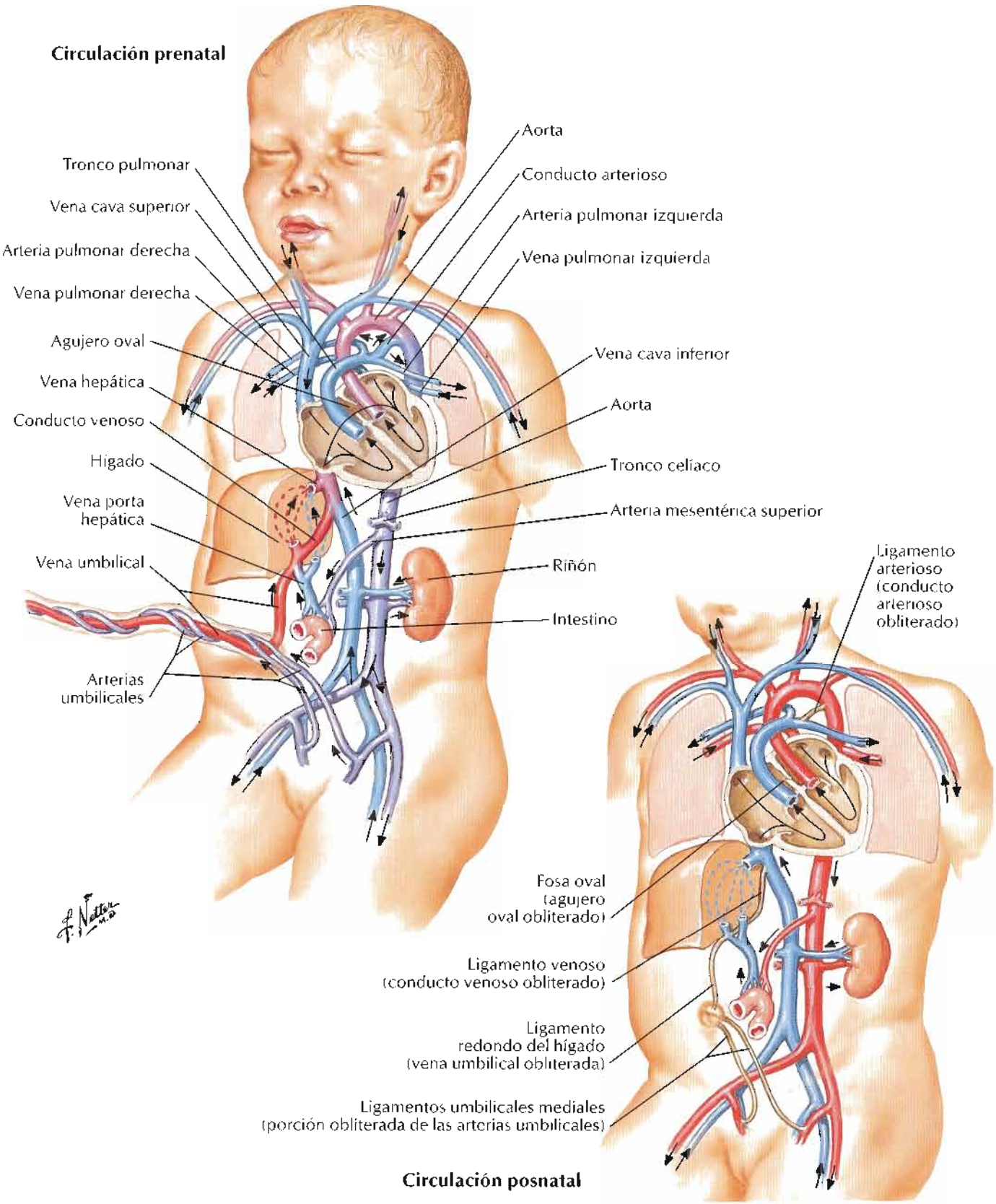


3 Inervación de los vasos sanguíneos: esquema

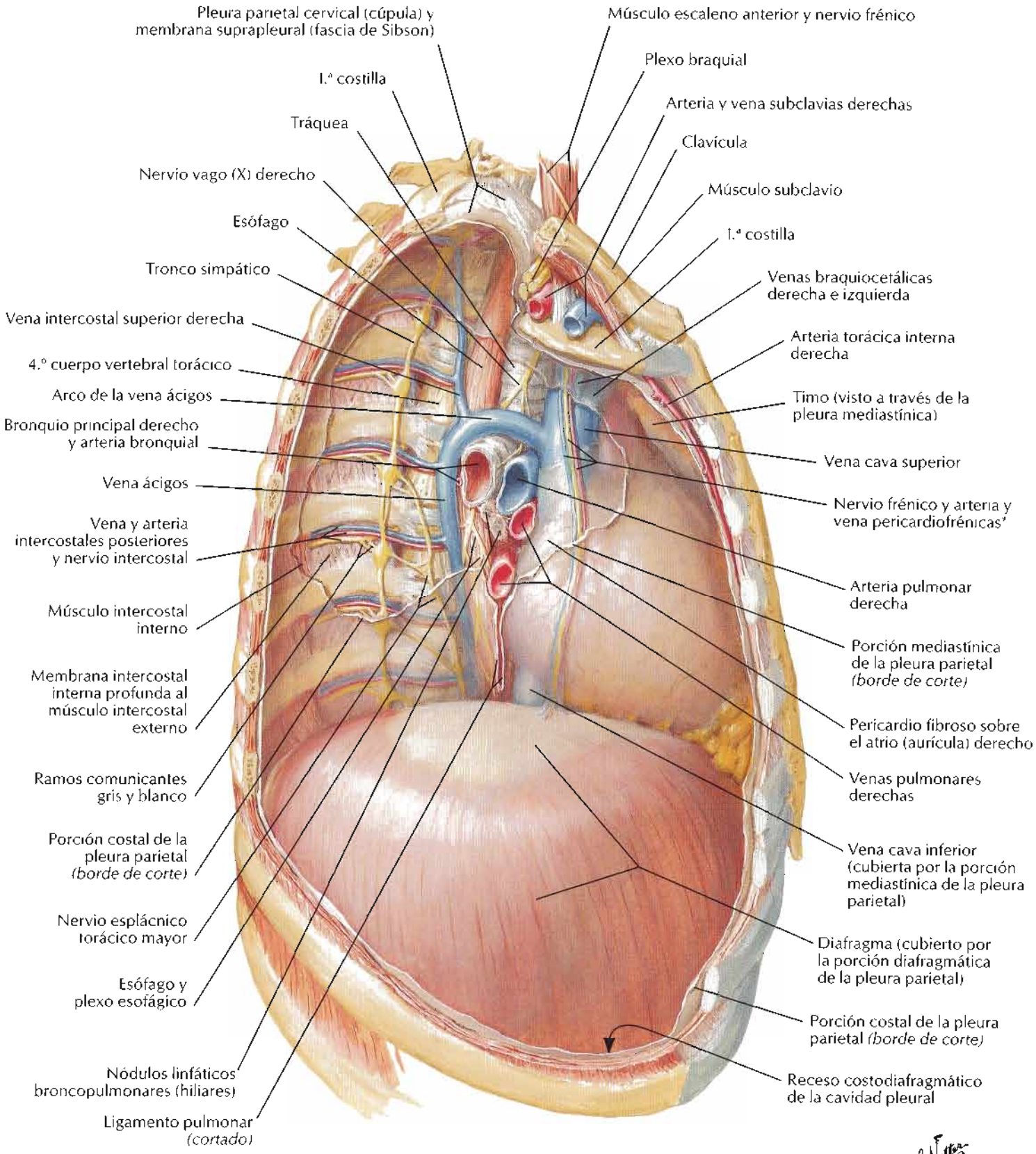
Véanse también **láminas 167, 168**



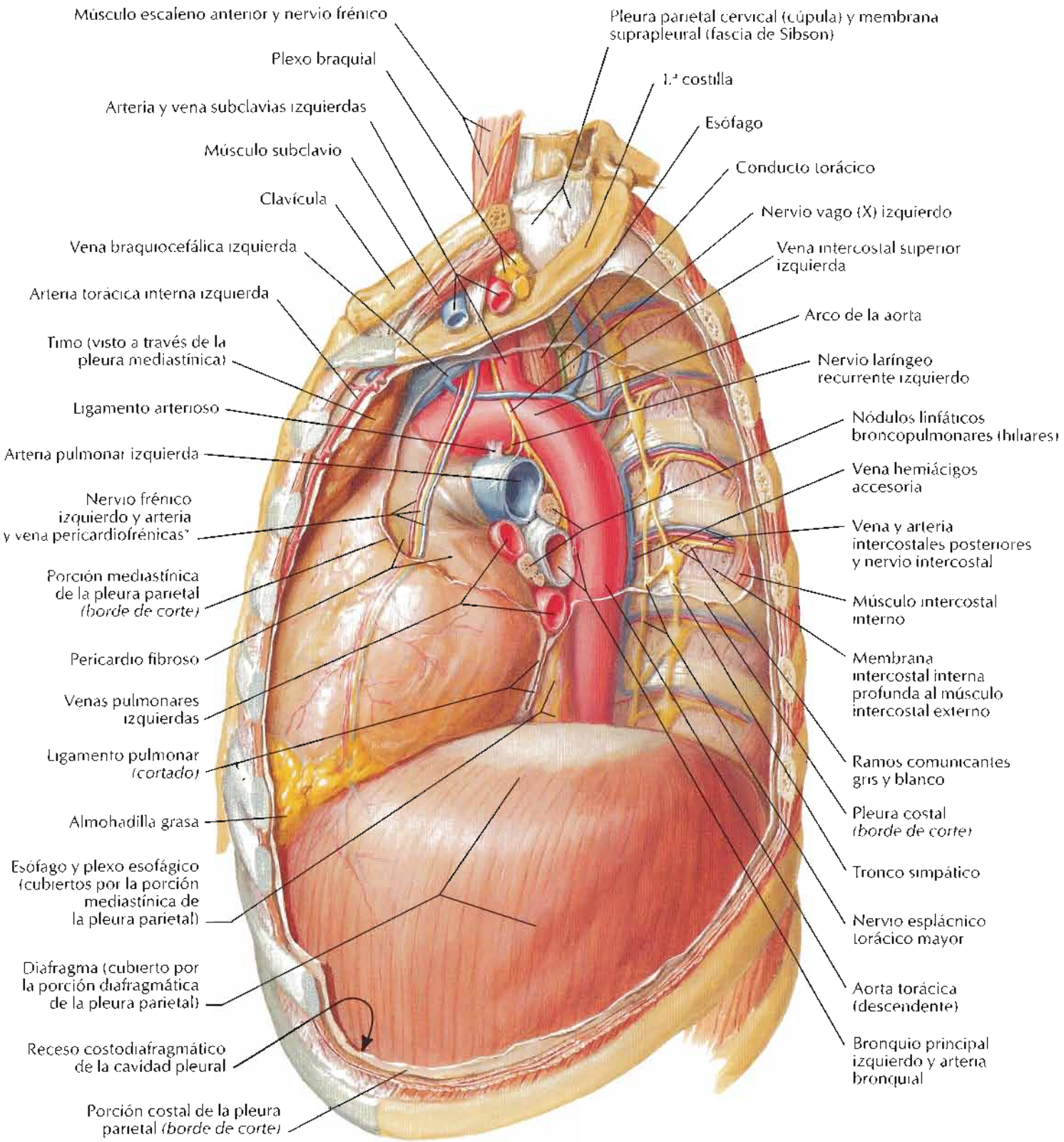
Para la porción obliterada de los vasos umbilicales, véase **lámina 253**



3 Mediastino: visión lateral derecha

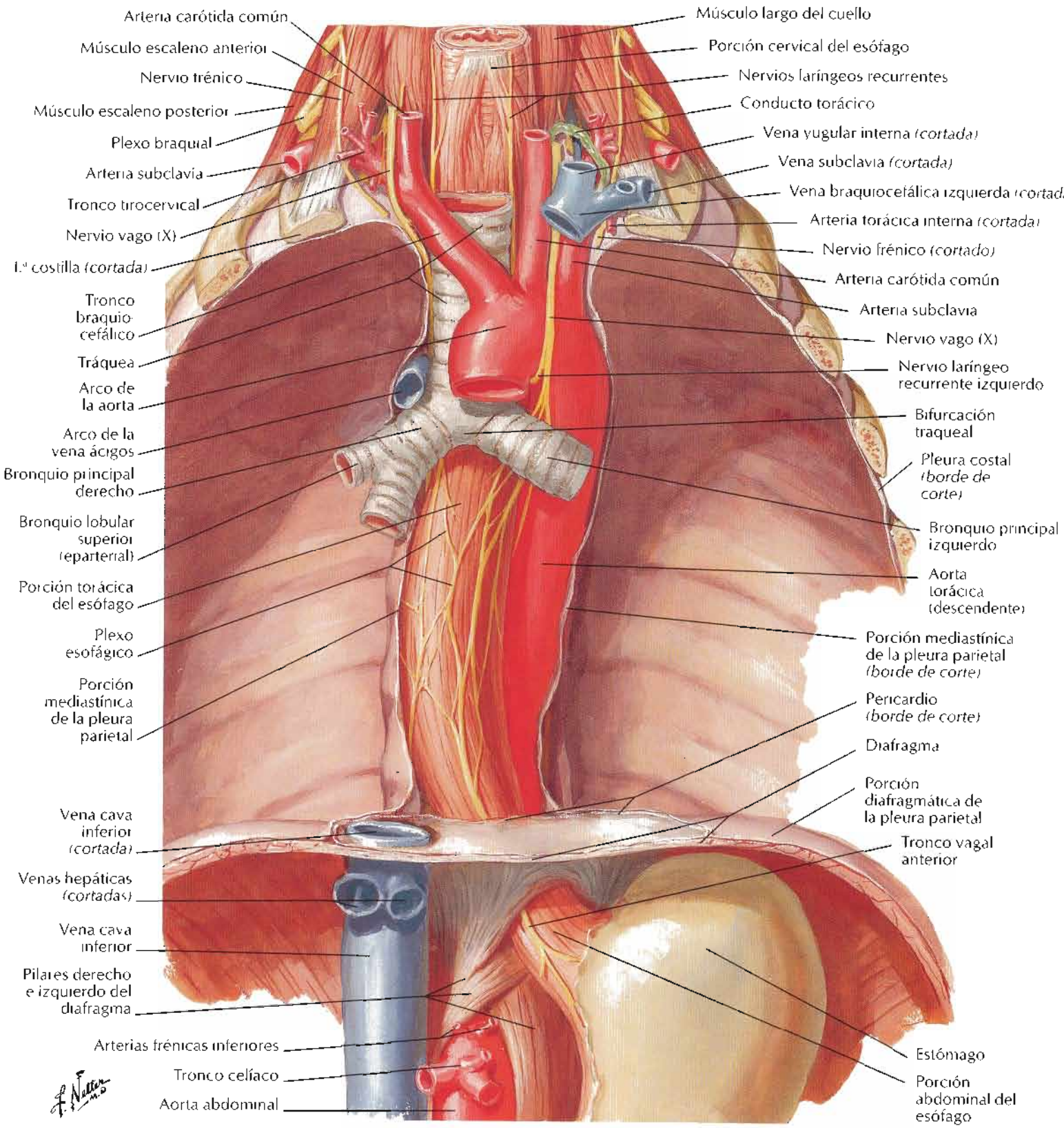


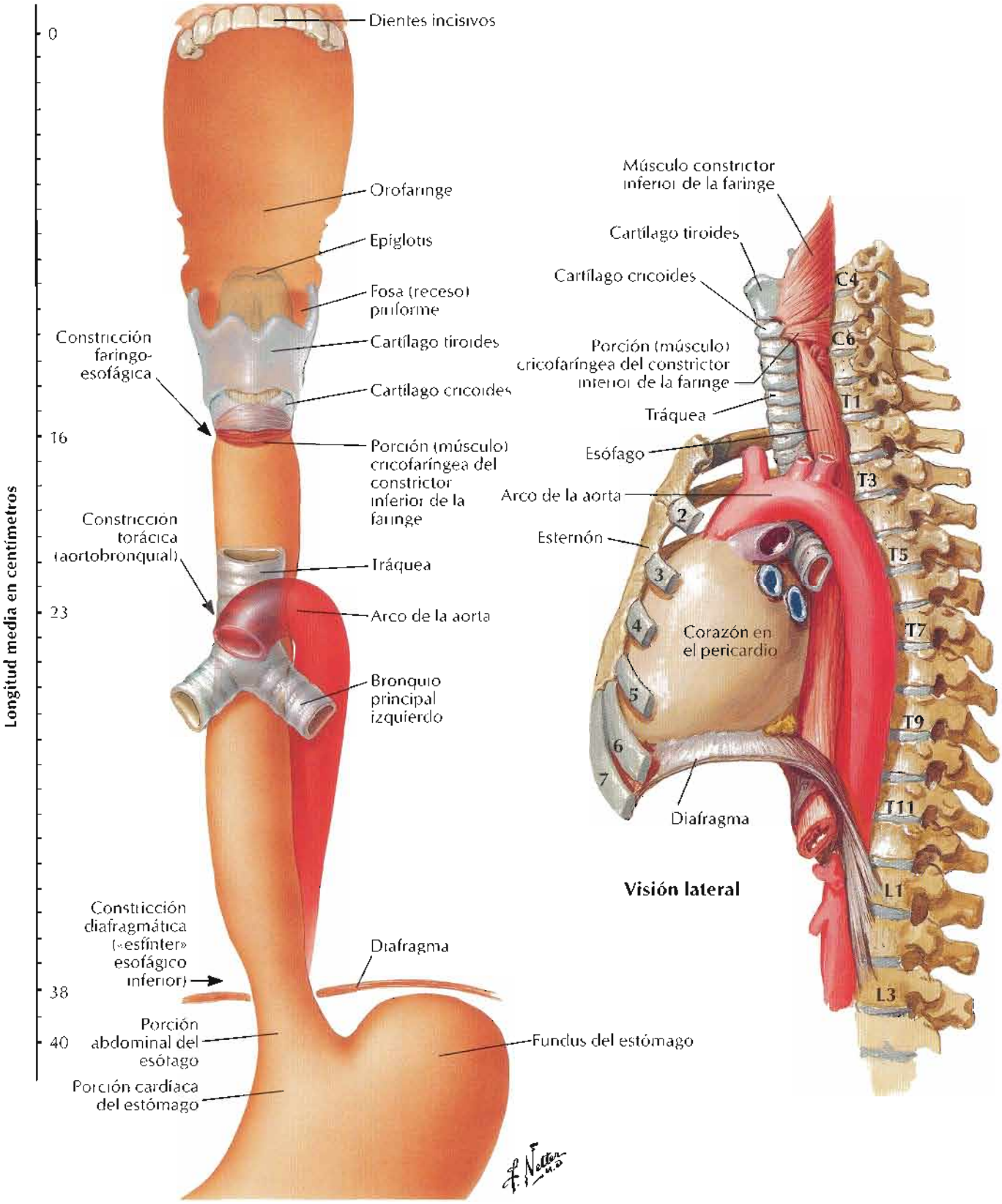
*El nervio y los vasos discurren normalmente por separado



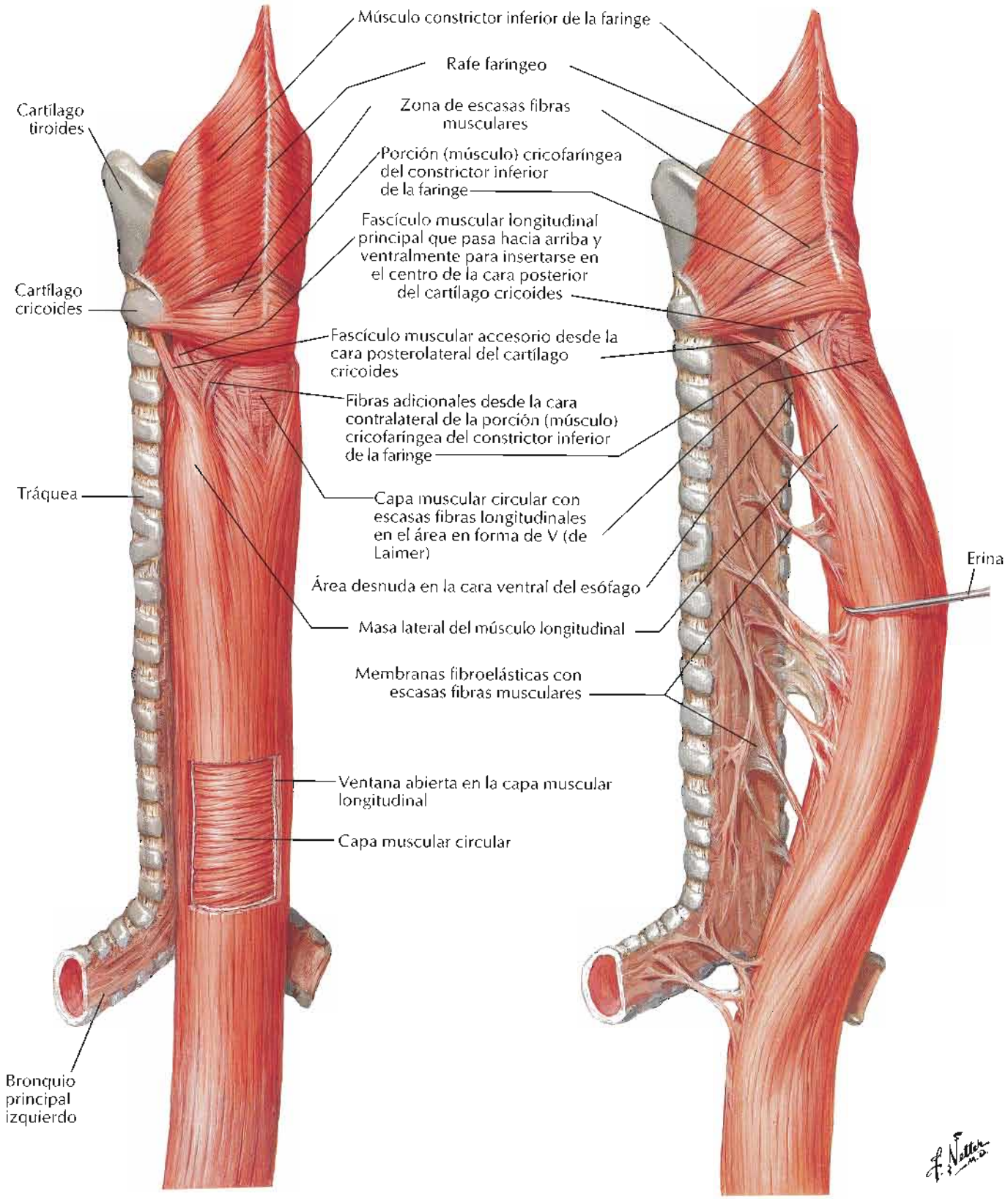
*El nervio y los vasos discurren normalmente por separado

3 Esófago in situ

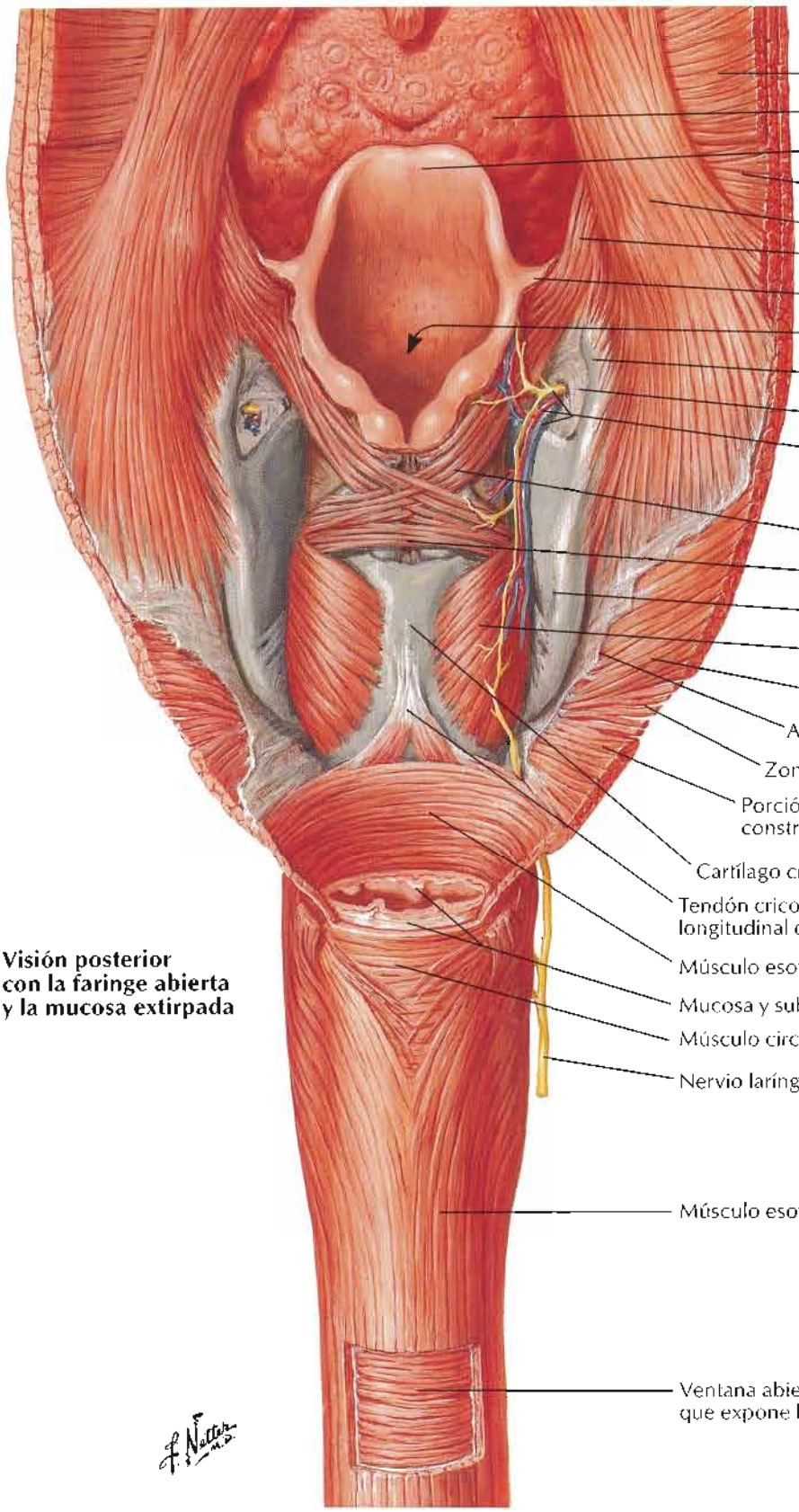



Longitud media en centímetros
0
16
23
38
40
Dientes incisivos
Orofaringe
Epiglotis
Fosa (receso) piriforme
Constricción faringo-esofágica
Cartílago tiroides
Cartílago cricoides
Porción (músculo) cricofaríngea del constrictor inferior de la faringe
Constricción torácica (aortobronquial)
Tráquea
Arco de la aorta
Bronquio principal izquierdo
Constricción diafragmática («esfínter» esofágico inferior)
Diafragma
Porción abdominal del esófago
Fundus del estómago
Porción cardíaca del estómago
Músculo constrictor inferior de la faringe
Cartílago tiroides
Cartílago cricoides
Porción (músculo) cricofaríngea del constrictor inferior de la faringe
Tráquea
Esófago
Arco de la aorta
Esternón
Corazón en el pericardio
Diafragma
C4
C6
T1
T3
T5
T7
T9
T11
L1
L3
2
3
4
5
6
7
Visión lateral

Musculatura del esófago



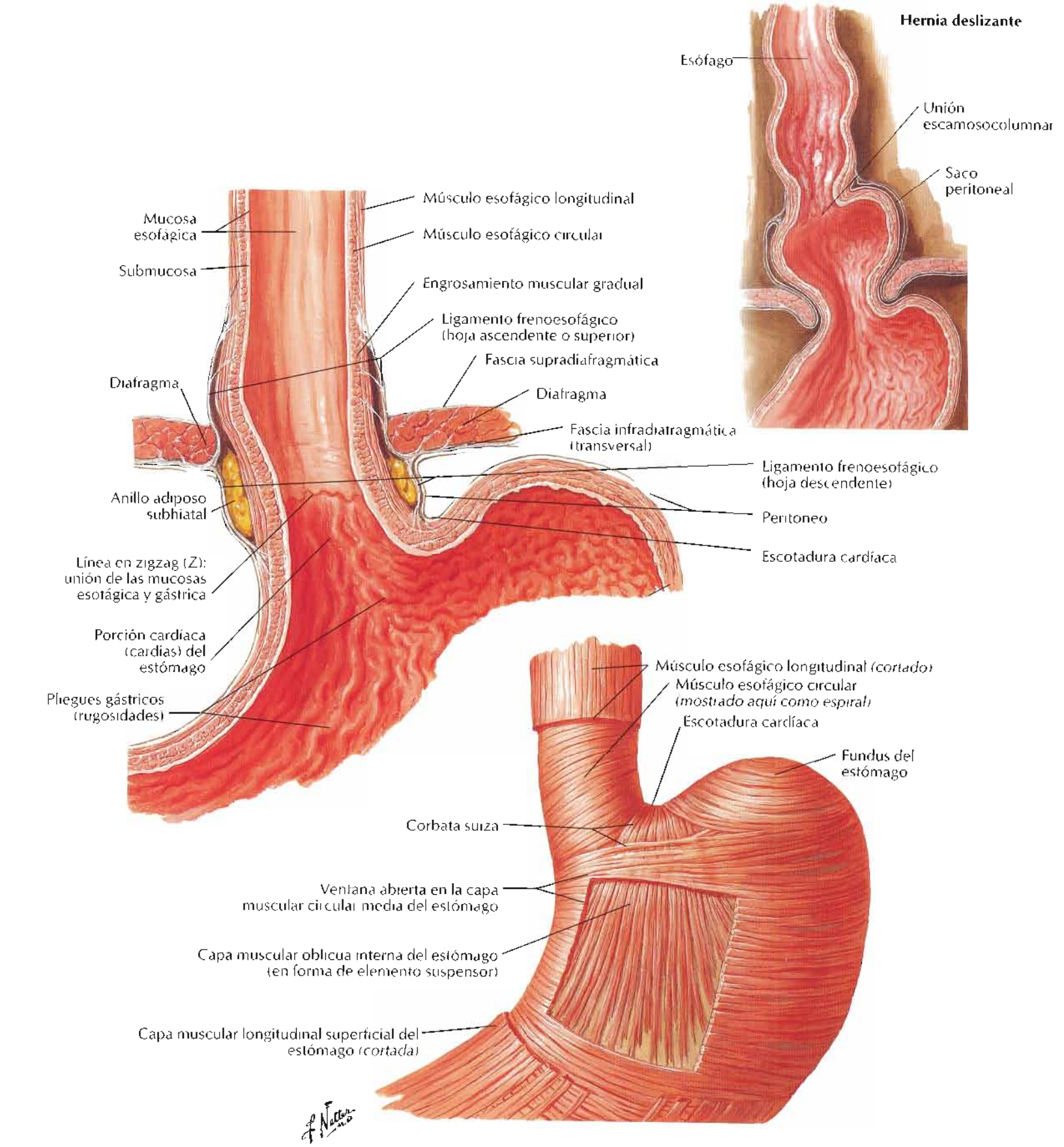
Véase también **lámina 67**

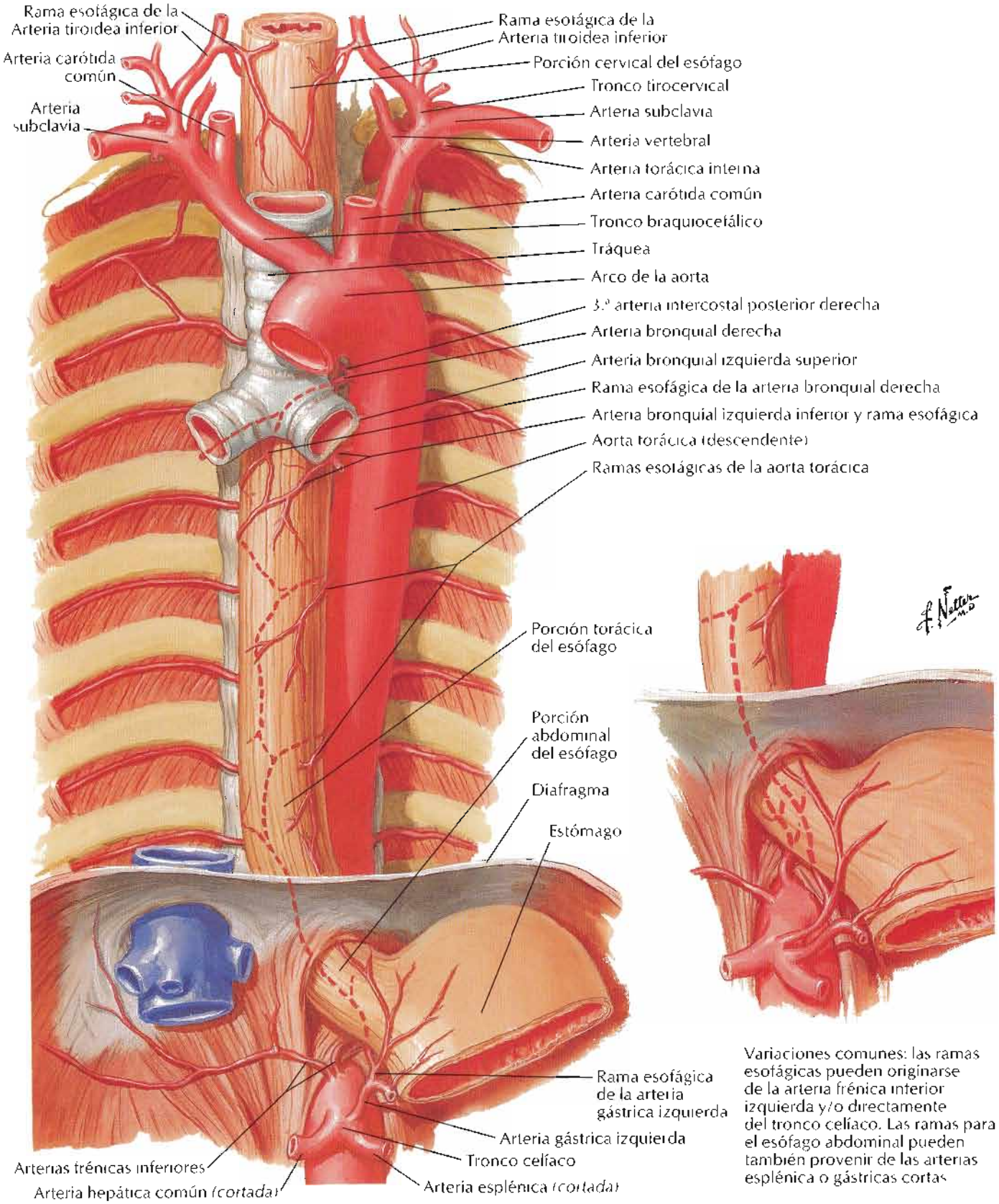


Músculo constrictor superior de la faringe
Raíz de la lengua
Epiglotis
Músculo constrictor medio de la faringe
Músculo palatofaríngeo
Músculo estilofaríngeo
} Músculos faríngeos longitudinales
Pliegue faringoepiglótico
Entrada de la laringe (aditus)
Cartílago tiroides (asta superior)
Membrana tirohioidea
Ramo interno del nervio laríngeo superior y arteria y vena laríngeas superiores
Músculo aritenoideo oblicuo
Músculo aritenoideo transverso
Cartílago tiroides
Músculo cricoaritenoideo posterior
Músculo constrictor inferior de la faringe
Aponeurosis faríngea *(cortada)*
Zona de escasas fibras musculares
Porción (músculo) cricofaríngea del constrictor inferior de la faringe
Cartílago cricoides (lámina)
Tendón cricoesofágico (inserción del músculo longitudinal del esófago)
Músculo esofágico circular
Mucosa y submucosa esofágicas
Músculo circular en el área en forma de V (de Laimer)
Nervio laríngeo recurrente derecho
Músculo esofágico longitudinal
Ventana abierta en el músculo longitudinal que expone la capa muscular circular

Visión posterior con la faringe abierta y la mucosa extirpada

3 Unión esofagogástrica

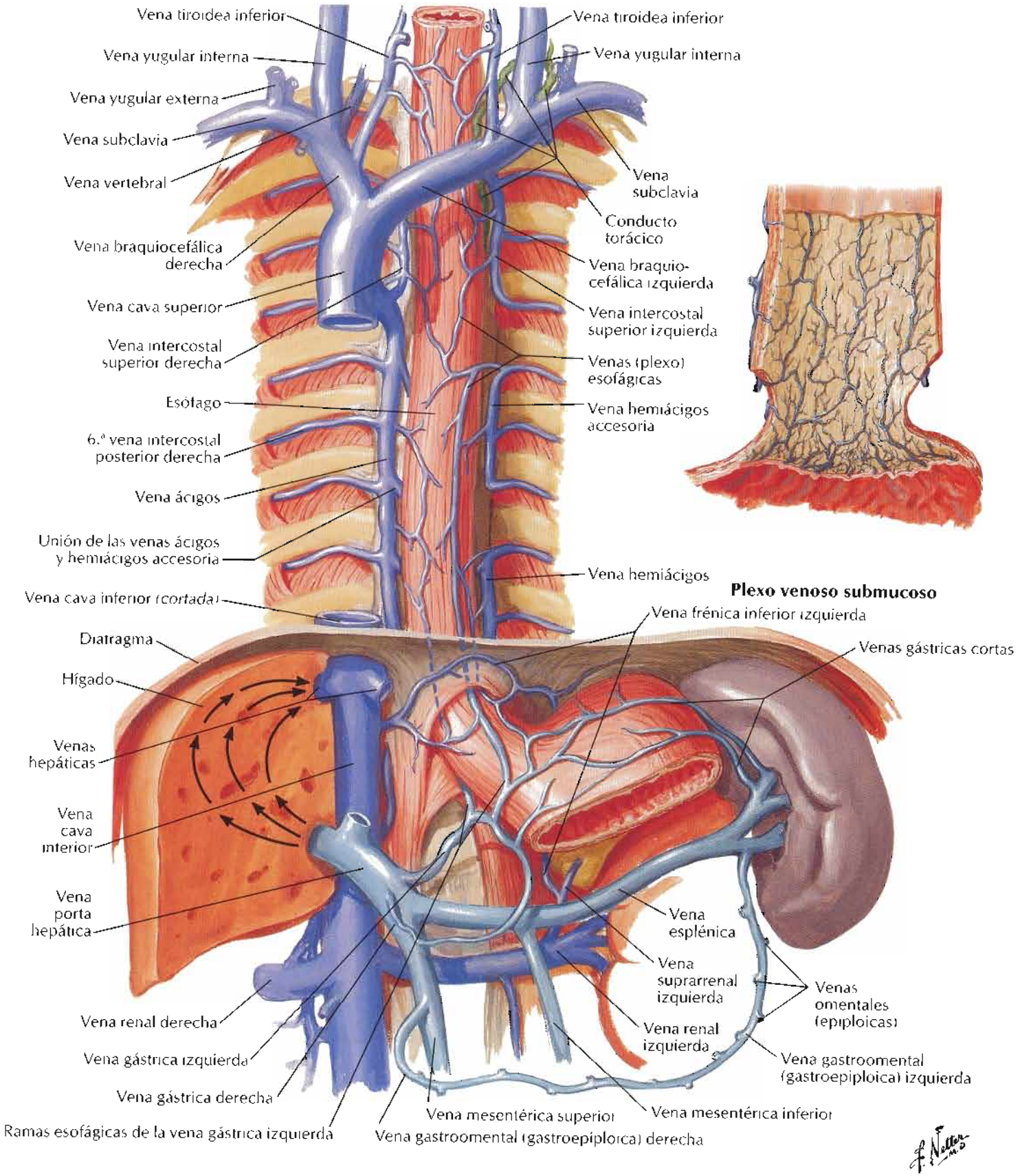




Variaciones comunes: las ramas esofágicas pueden originarse de la arteria frénica inferior izquierda y/o directamente del tronco celíaco. Las ramas para el esófago abdominal pueden también provenir de las arterias esplénica o gástricas cortas

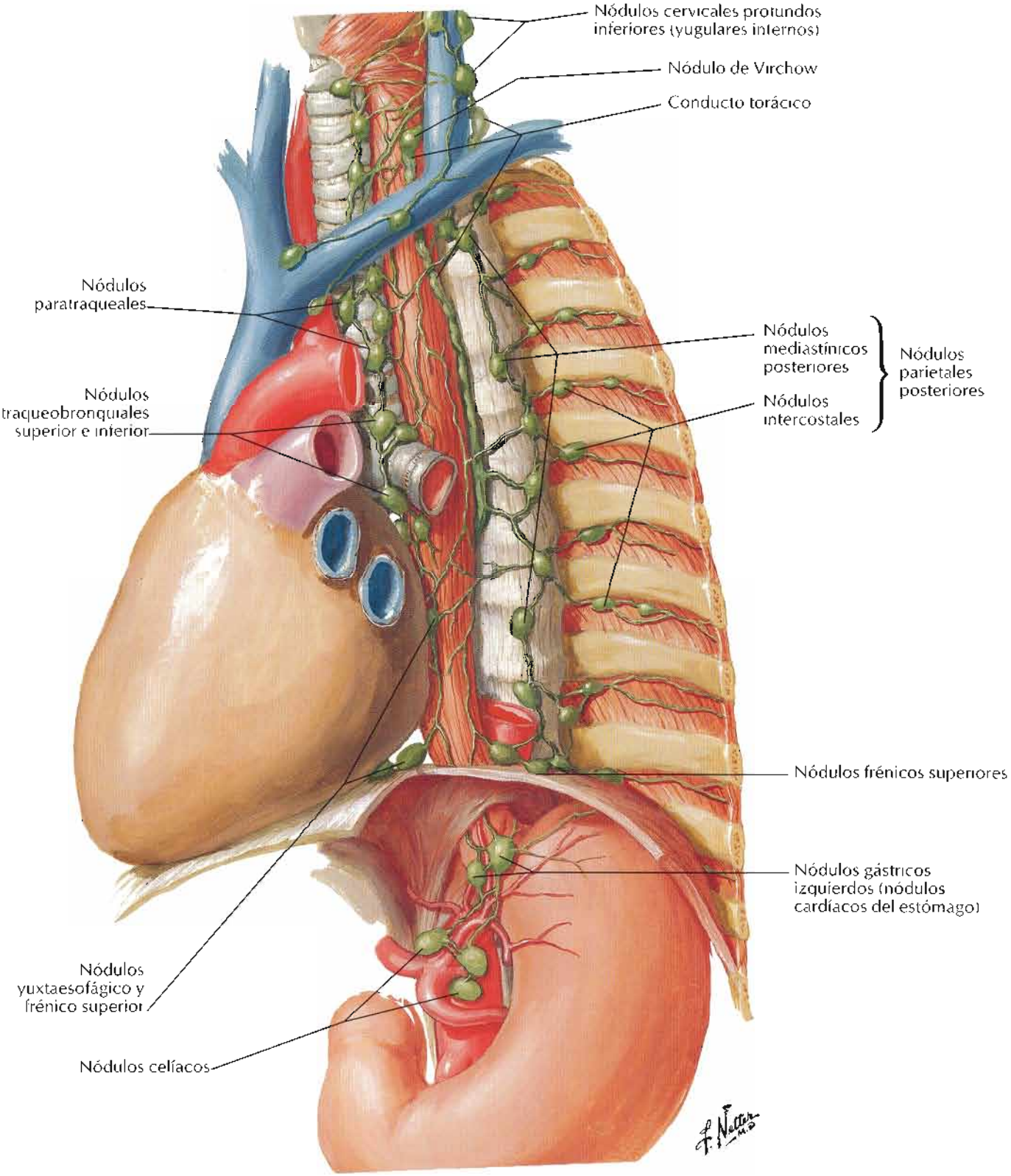
3 Venas del esófago

Véase también **lámina 312**



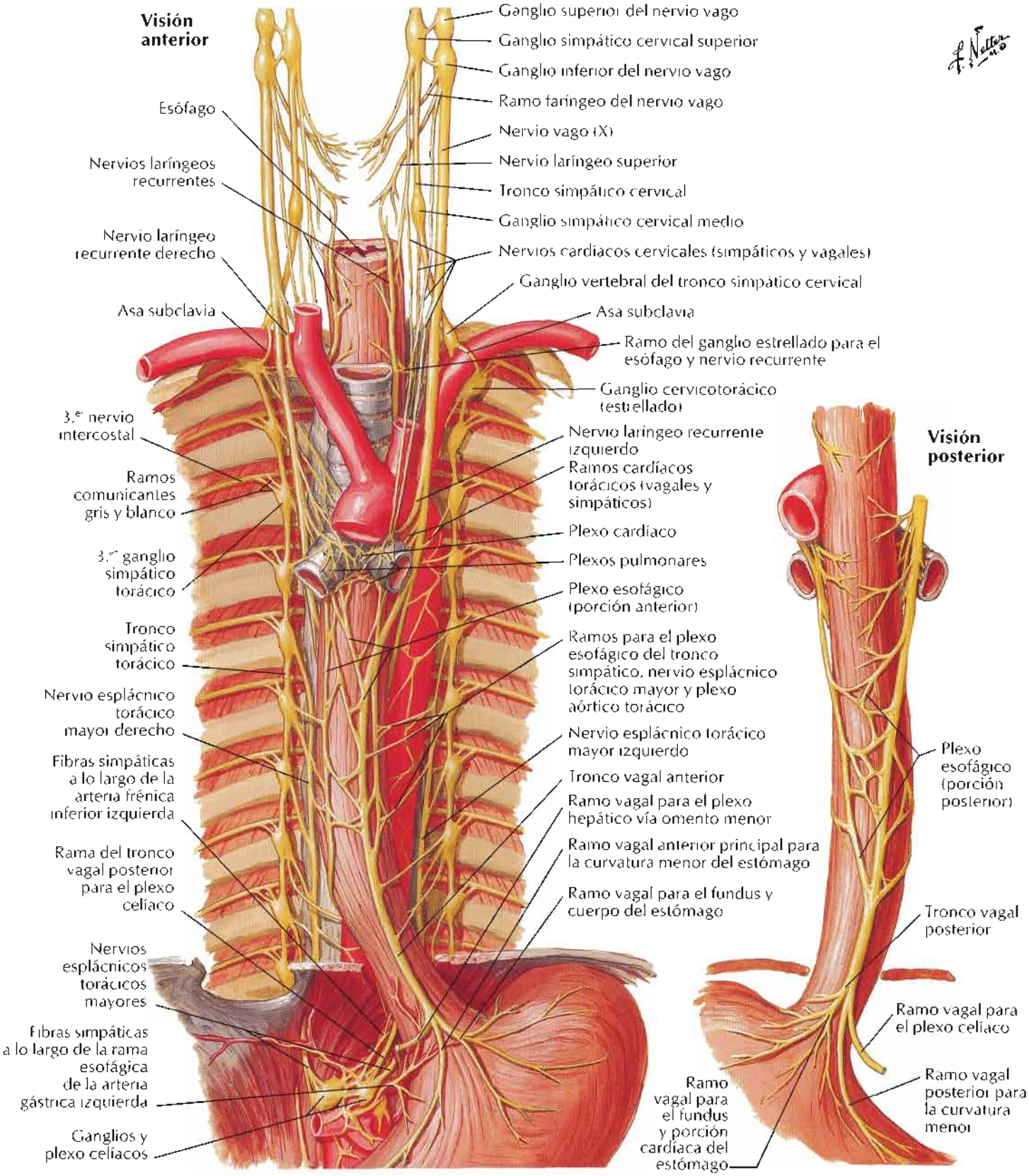
Vasos y nódulos linfáticos del esófago

Véanse también **láminas 208, 266**

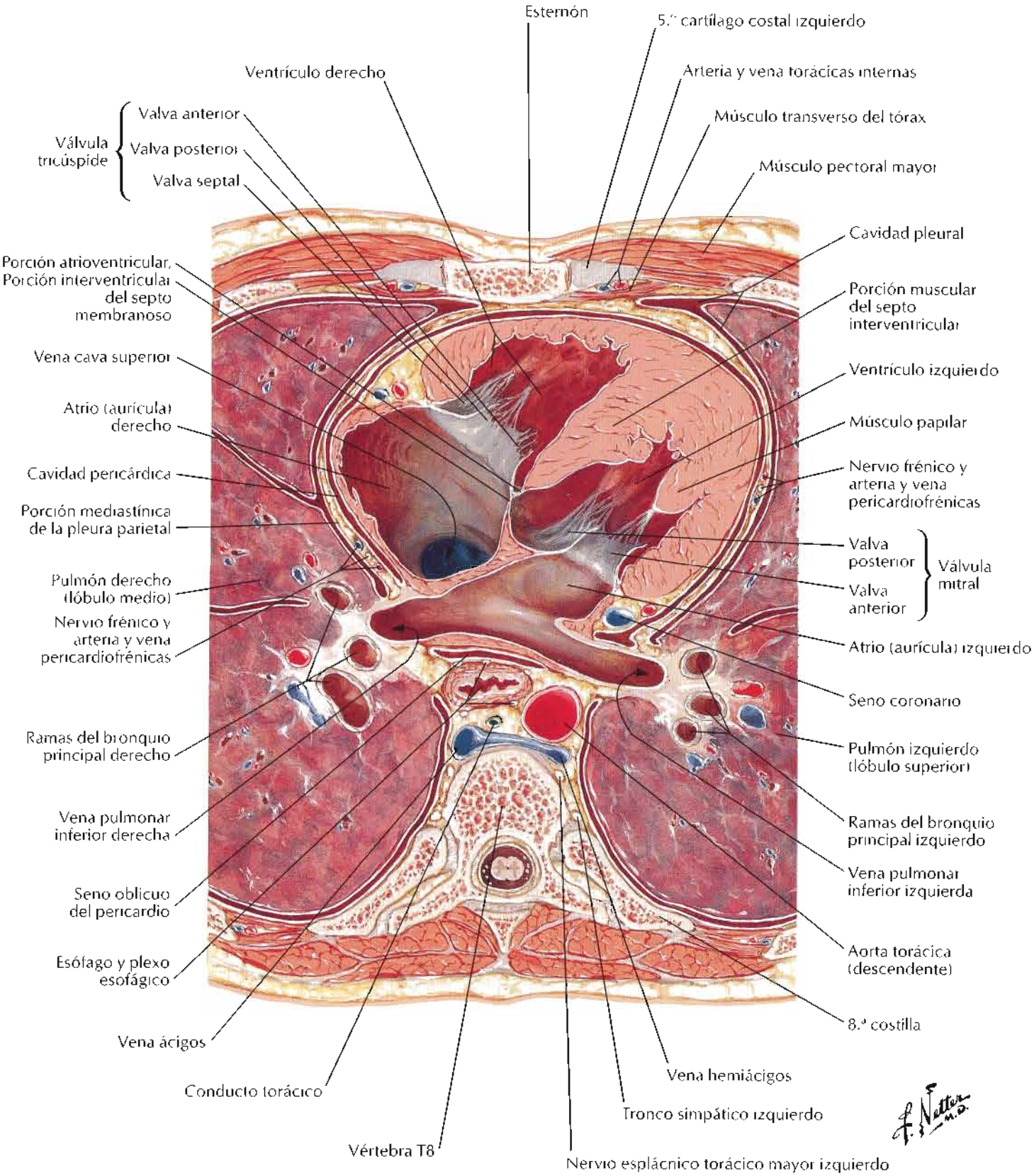


3 Nervios del esófago

Véanse también **láminas 165, 166, 209**



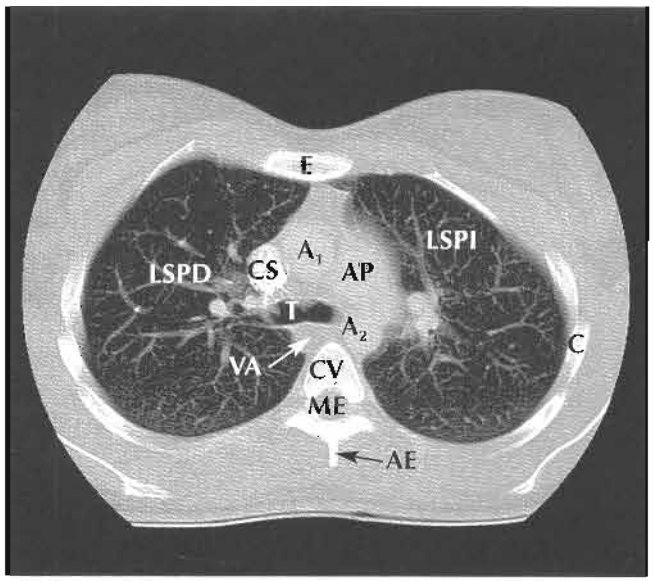
Véase también lámina 246



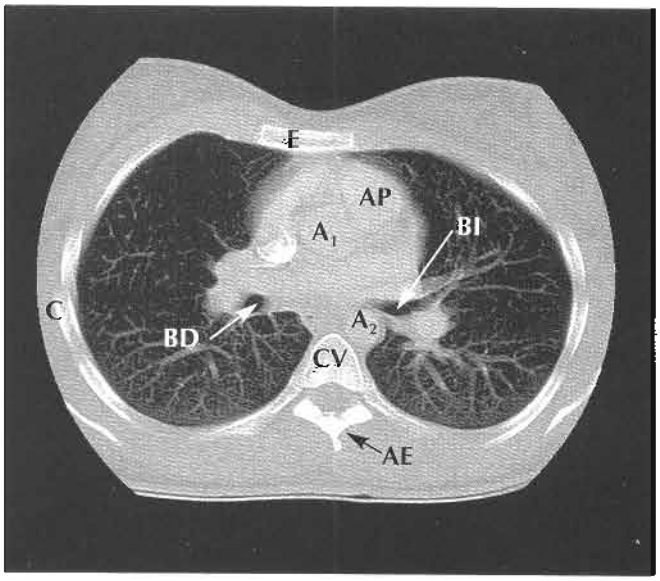
Exploraciones de tórax: imágenes axiales de TC

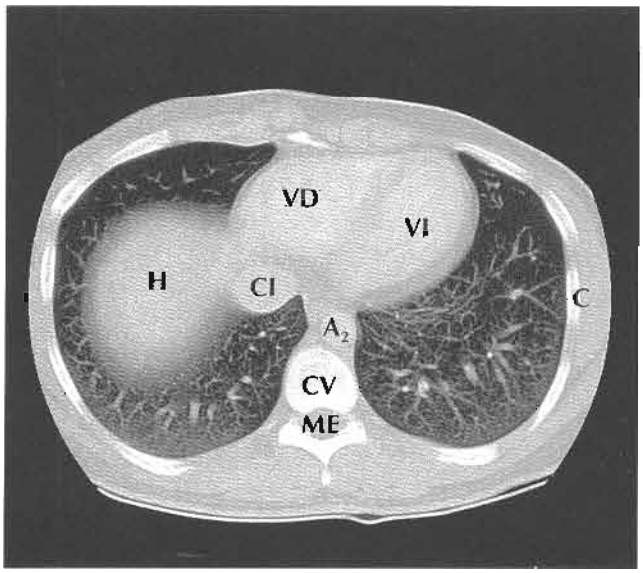
Imágenes axiales seriadas de TC del tórax, de superior (A) a inferior (C)

A

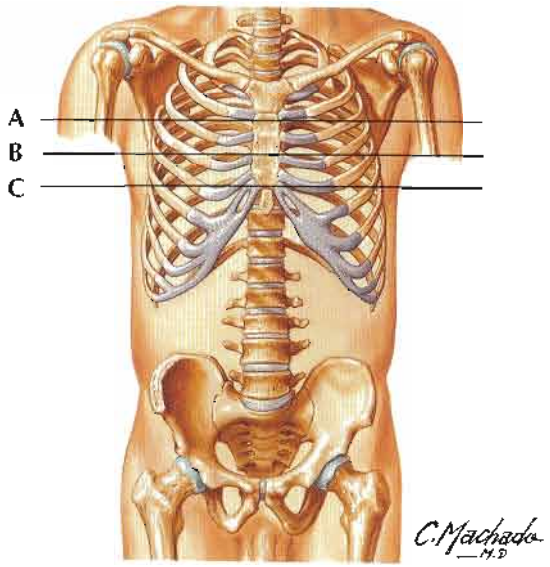


B

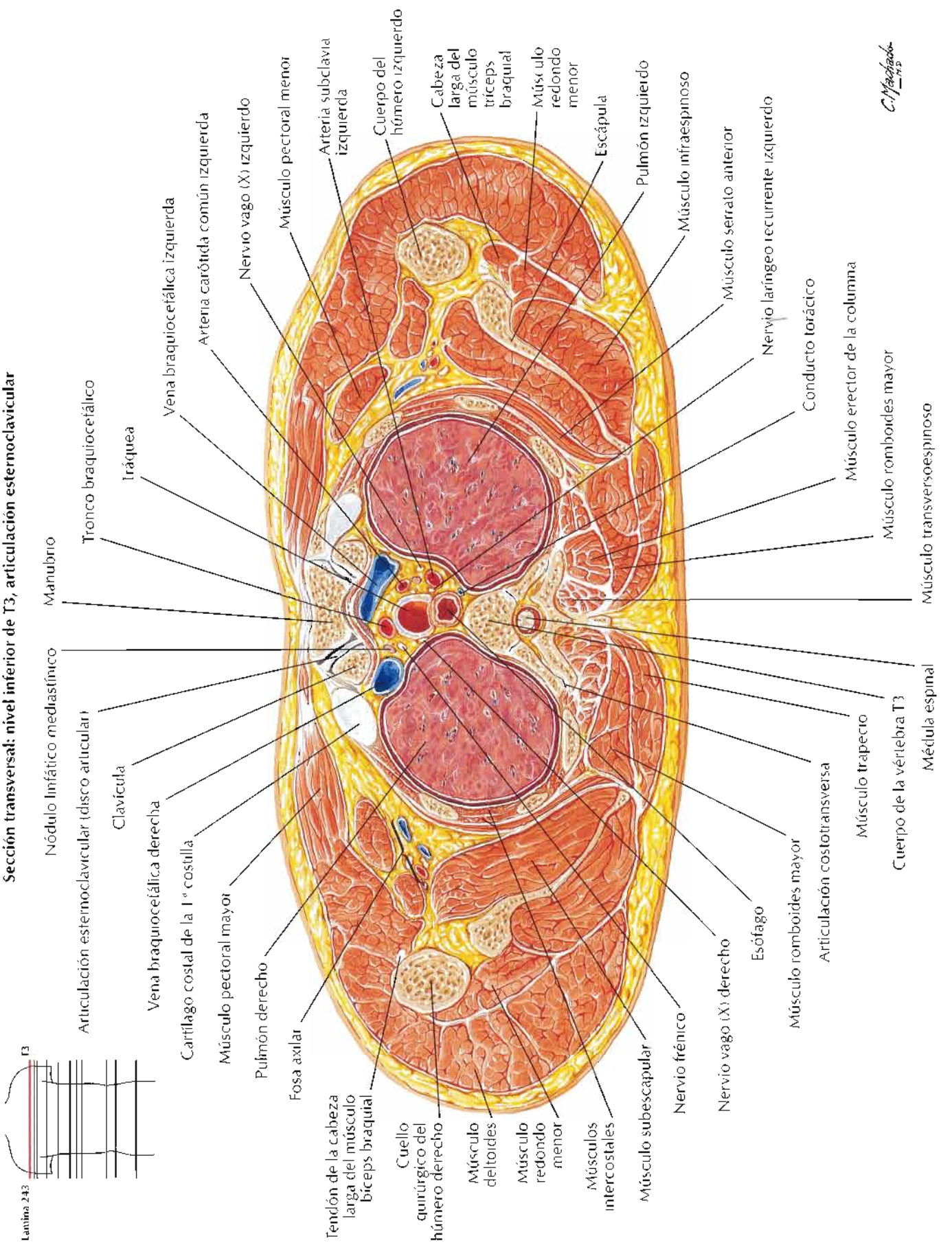




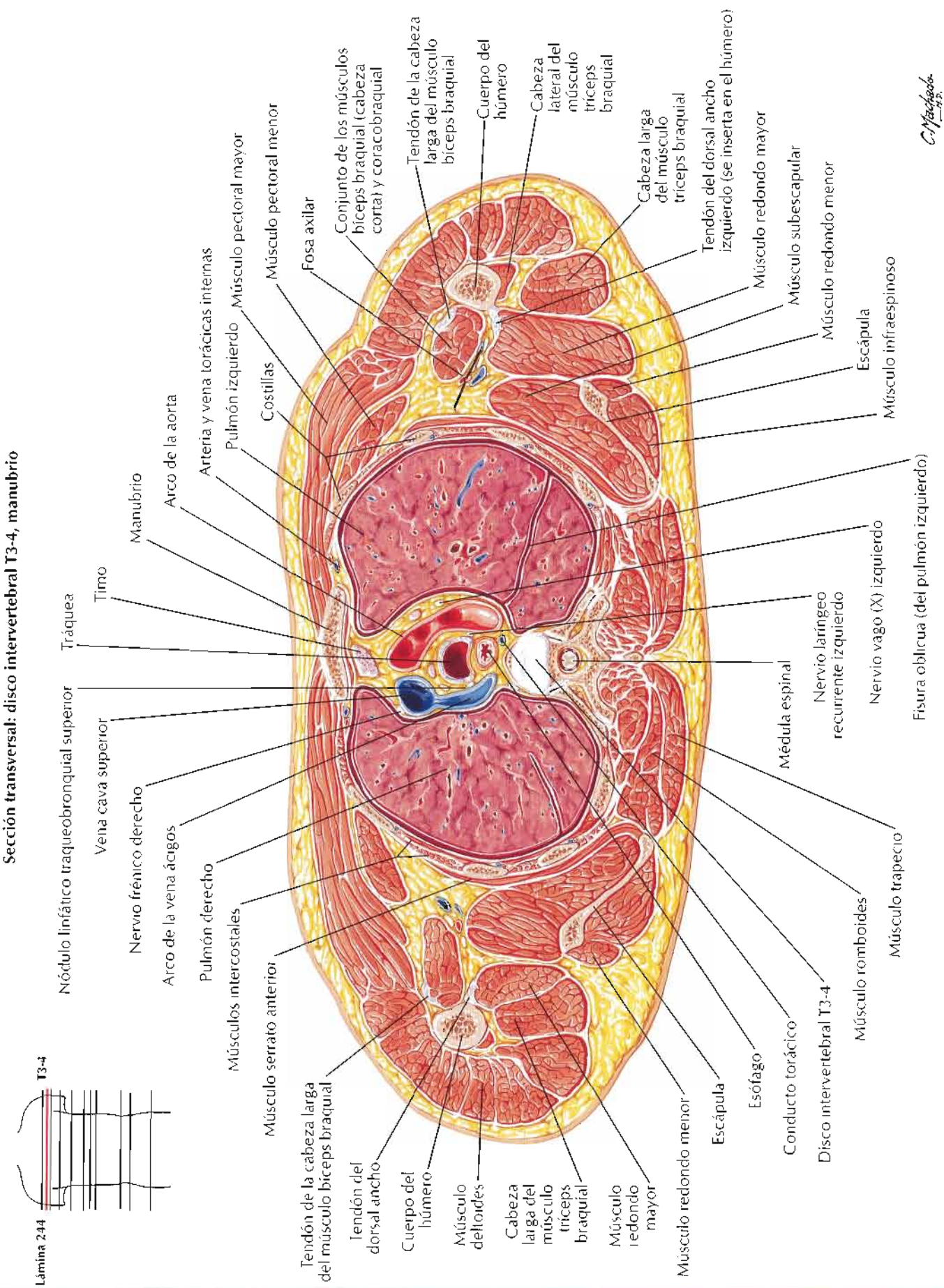
C

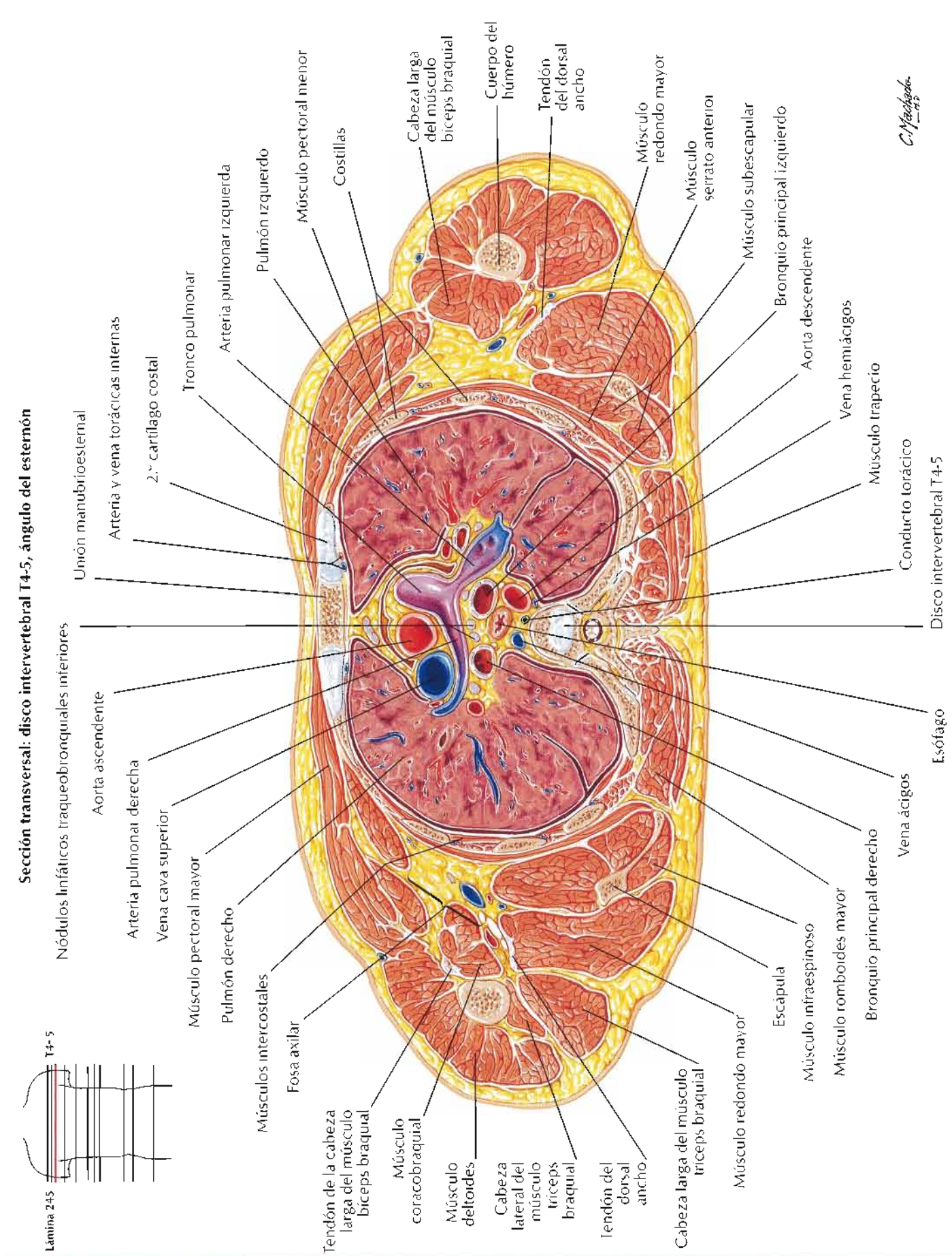


A_1	Aorta ascendente	E	Esternón
A_2	Aorta descendente	H	Hígado
AE	Apófisis espinosa de una vértebra	LSPD	Lóbulo superior del pulmón derecho
AP	Arteria pulmonar	LSPI	Lóbulo superior del pulmón izquierdo
BD	Bronquio (principal) derecho	ME	Médula espinal
BI	Bronquio (principal) izquierdo	T	Tráquea (bifurcación)
C	Costilla	VA	Vena ácigos
CI	Vena cava inferior	VD	Ventrículo derecho
CS	Vena cava superior	VI	Ventrículo izquierdo
CV	Cuerpo vertebral		

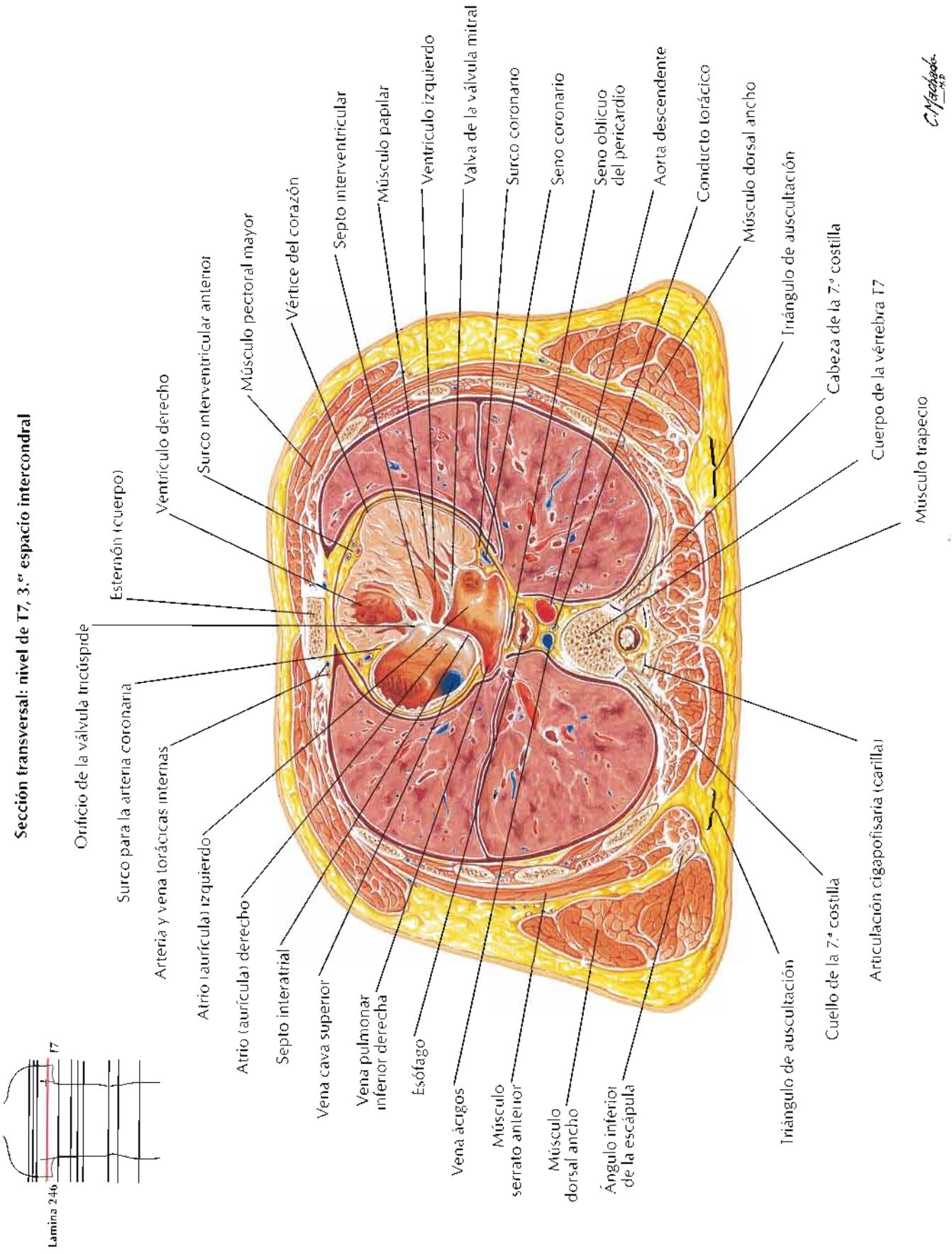

Sección transversal: nivel inferior de T3, articulación esternoclavicular
Nódulo linfático mediastínico
Articulación esternoclavicular (disco articular)
Clavícula
Vena braquiocefálica derecha
Cartílago costal de la 1ª costilla
Músculo pectoral mayor
Pulmón derecho
Fosa axilar
Tendón de la cabeza larga del músculo bíceps braquial
Cuello quirúrgico del húmero derecho
Músculo deltoides
Músculo redondo menor
Músculos intercostales
Músculo subescapular
Nervio frénico
Nervio vago (X) derecho
Esófago
Músculo romboides mayor
Articulación costotransversa
Músculo trapecio
Cuerpo de la vértebra T3
Médula espinal
Músculo transversoespinoso
Manubrio
Tronco braquiocefálico
Tráquea
Vena braquiocefálica izquierda
Arteria carótida común izquierda
Nervio vago (X) izquierdo
Músculo pectoral menor
Arteria subclavia izquierda
Cuerpo del húmero izquierdo
Cabeza larga del músculo tríceps braquial
Músculo redondo menor
Escápula
Pulmón izquierdo
Músculo infraespinoso
Músculo serrato anterior
Nervio laríngeo recurrente izquierdo
Conducto torácico
Músculo erector de la columna
Músculo romboides mayor
T3
Lámina 243

Sección transversal del tórax a nivel del disco T3-4

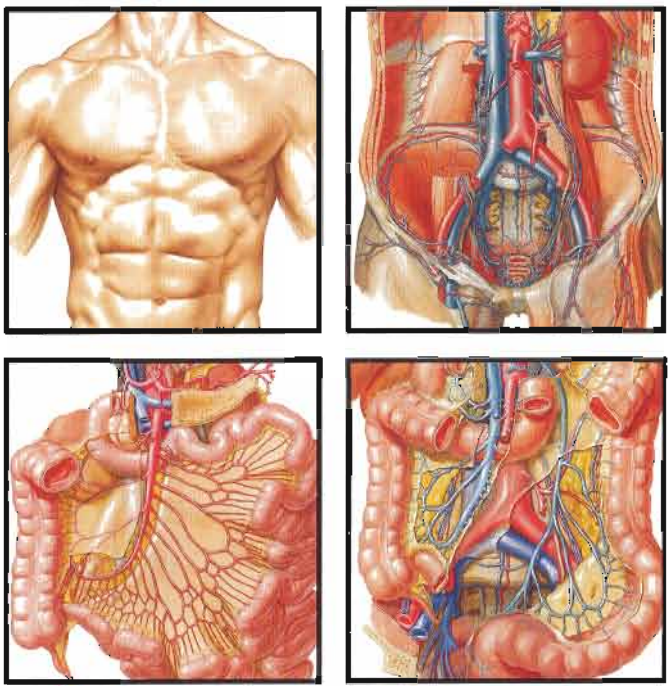



Sección transversal: disco intervertebral T4-5, ángulo del esternón
Nódulos linfáticos traqueobronquiales inferiores
Unión manubrioesternal
Arteria y vena torácicas internas
2.ª cartílago costal
Tronco pulmonar
Arteria pulmonar izquierda
Pulmón izquierdo
Músculo pectoral menor
Costillas
Cabeza larga del músculo bíceps braquial
Cuerpo del húmero
Tendón del dorsal ancho
Músculo redondo mayor
Músculo serrato anterior
Músculo subescapular
Bronquio principal izquierdo
Aorta descendente
Vena hemiácigos
Músculo trapecio
Conducto torácico
Disco intervertebral T4-5
Esófago
Vena ácigos
Bronquio principal derecho
Músculo romboides mayor
Músculo infraespinoso
Escápula
Músculo redondo mayor
Cabeza larga del músculo tríceps braquial
Tendón del dorsal ancho
Cabeza lateral del músculo tríceps braquial
Músculo deltoides
Músculo coracobraquial
Tendón de la cabeza larga del músculo bíceps braquial
Fosa axilar
Músculos intercostales
Pulmón derecho
Músculo pectoral mayor
Vena cava superior
Arteria pulmonar derecha
Aorta ascendente
T4-5
Lámina 245

Sección transversal del tórax a nivel de T7



Sección 4 Abdomen



Anatomía de superficie

Lámina 247

247 Abdomen

Pared corporal

Láminas 248–267

248 Esqueleto óseo del abdomen
249 Pared abdominal anterior: disección superficial
250 Pared abdominal anterior: disección intermedia
251 Pared abdominal anterior: disección profunda
252 Vaina del recto: secciones transversales
253 Pared abdominal anterior: visión interna
254 Pared abdominal posterolateral
255 Arterias de la pared abdominal anterior
256 Venas de la pared abdominal anterior
257 Nervios de la pared abdominal anterior
258 Nervios toracoabdominales
259 Región inguinal: disecciones
260 Conducto inguinal y cordón espermático
261 Hernia inguinal indirecta
262 Vaina femoral y conducto inguinal
263 Pared abdominal posterior: visión interna
264 Arterias de la pared abdominal posterior
265 Venas de la pared abdominal posterior
266 Vasos y nódulos linfáticos de la pared abdominal posterior
267 Nervios de la pared abdominal posterior

4 Abdomen

Cavidad peritoneal

Láminas 268–274

268 Regiones y planos del abdomen

269 Omento (epiplón) mayor y vísceras abdominales

270 Relaciones mesentéricas de los intestinos

271 Relaciones mesentéricas de los intestinos *(continuación)*

272 Bolsa omental: estómago reflejado

273 Bolsa omental: sección transversal

274 Peritoneo de la pared abdominal posterior

Vísceras (intestino)

Láminas 275–285

275 Estómago in situ

276 Mucosa del estómago

277 Musculatura del estómago

278 Duodeno in situ

279 Mucosa y musculatura del duodeno

280 Mucosa y musculatura del intestino delgado

281 Región ileocecal

282 Región ileocecal *(continuación)*

283 Apéndice vermiforme

284 Mucosa y musculatura del intestino grueso

285 Colon sigmoide: variaciones en su posición

Vísceras (órganos accesorios)

Láminas 286–299

286 Topografía del hígado

287 Caras y lecho del hígado

288 Hígado in situ y variaciones en su forma

289 Segmentos y lobulillos hepáticos: distribución de vasos y conductos

290 Sistemas vascular y de conductos intrahepáticos

291 Estructura del hígado: esquema

292 Sistema biliar intrahepático: esquema

293 Sección transversal del abdomen a nivel de T10

294 Vesícula biliar y conductos biliares extrahepáticos

295 Unión del colédoco y el duodeno

296 Variaciones en los conductos cístico y hepáticos

297 Sección transversal del abdomen a nivel de T12

298 Páncreas in situ

299 Bazo

Vasculatura visceral

Láminas 300–317

300 Arterias del estómago, hígado y bazo

301 Arterias del hígado, páncreas, duodeno y bazo

302 Variaciones en el tronco celíaco

303 Arteriografía celíaca

304 Arterias del duodeno y cabeza del páncreas

305 Variaciones arteriales y vascularización colateral del hígado y vesícula biliar

306 Arterias del intestino delgado

307 Arterias del intestino grueso

308 Variaciones en las arterias cólicas

309 Venas del estómago, duodeno, páncreas y bazo

310 Venas del intestino delgado

311 Venas del intestino grueso

312 Tributarias de la vena porta hepática: anastomosis portocava

313 Variaciones de la vena porta hepática

314 Vasos y nódulos linfáticos del estómago

315 Vasos y nódulos linfáticos del páncreas

316 Vasos y nódulos linfáticos del intestino delgado

317 Vasos y nódulos linfáticos del intestino grueso

Inervación

Láminas 318–328

318 Nervios y ganglios autónomos del abdomen

319 Nervios del estómago y duodeno

320 Nervios del estómago y duodeno *(continuación)*

321 Inervación del estómago y duodeno: esquema

322 Nervios del intestino delgado

323 Nervios del intestino grueso

324 Inervación de los intestinos delgado y grueso: esquema

325 Vías reflejas autónomas: esquema

326 Plexos autónomos intrínsecos del intestino: esquema

327 Inervación del hígado y tracto biliar: esquema

328 Inervación del páncreas: esquema

Riñones y glándulas suprarrenales

Láminas 329–347

329 Riñones in situ: visiones anteriores

330 Riñones in situ: visiones posteriores

331 Sección transversal del abdomen a nivel de T12
332 Arteria y vena renales in situ
333 Variaciones en la arteria y vena renales
334 Estructura macroscópica del riñón
335 Arterias intrarrenales y segmentos del riñon
336 Nefrona y túbulo colector: esquema
337 Vasos sanguíneos en el parénquima renal: esquema
338 Sección transversal del abdomen a nivel de T12-L1
339 Sección transversal del abdomen a nivel de L1-2
340 Uréteres
341 Arterias de los uréteres y vejiga urinaria
342 Fascia renal
343 Vasos y nódulos linfáticos de los riñones y vejiga urinaria
344 Nervios de riñones, uréteres y vejiga urinaria
345 Inervación de los riñones y uréteres superiores: esquema
346 Nervios de las glándulas suprarrenales: disección y esquema
347 Arterias y venas de las glándulas suprarrenales in situ

Secciones abdominales

Láminas 348–349

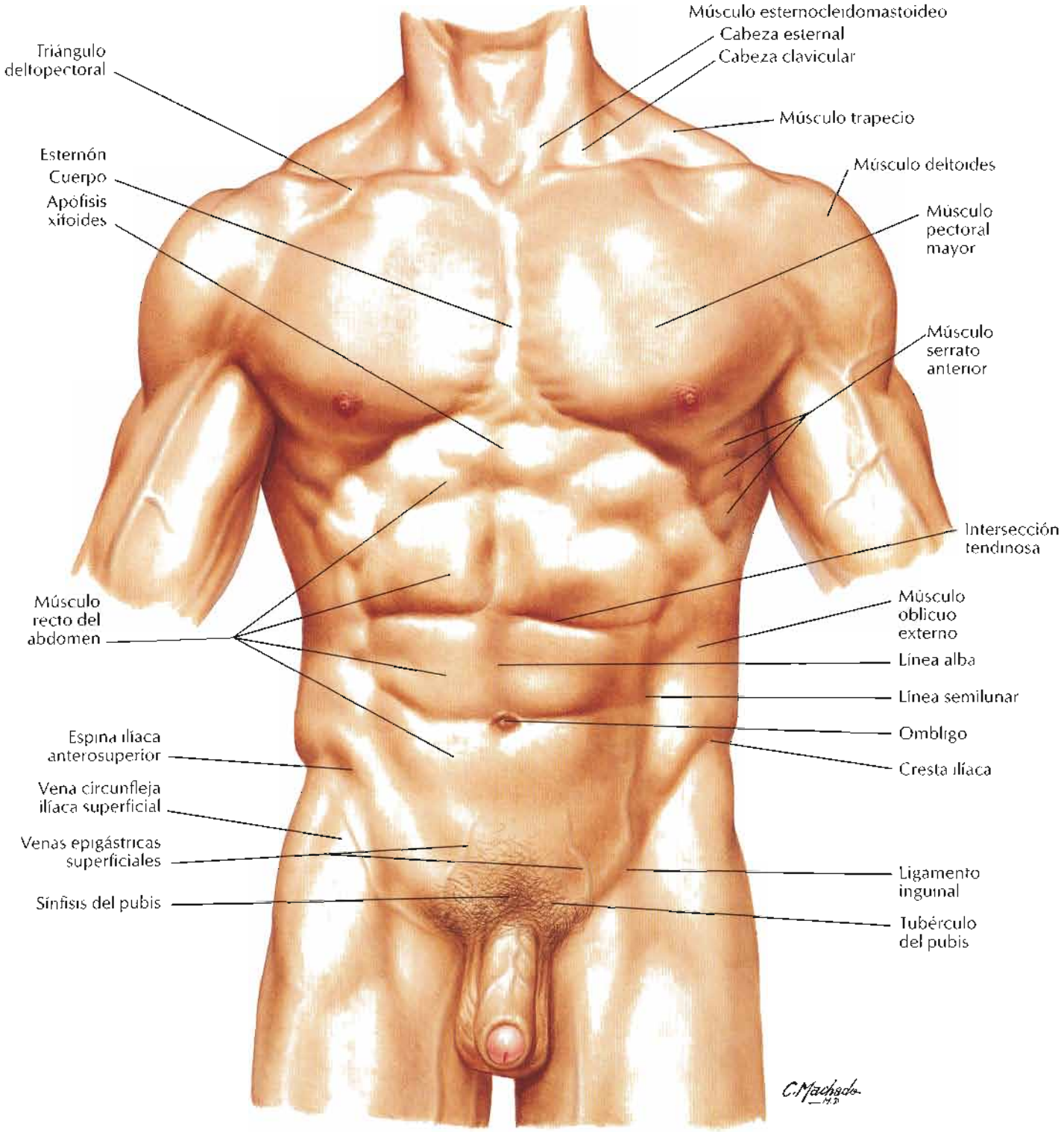
348 Pared y visceras abdominales: sección paramediana (sagital)
349 Sección transversal del abdomen a nivel de L3, 4

Exploraciones regionales

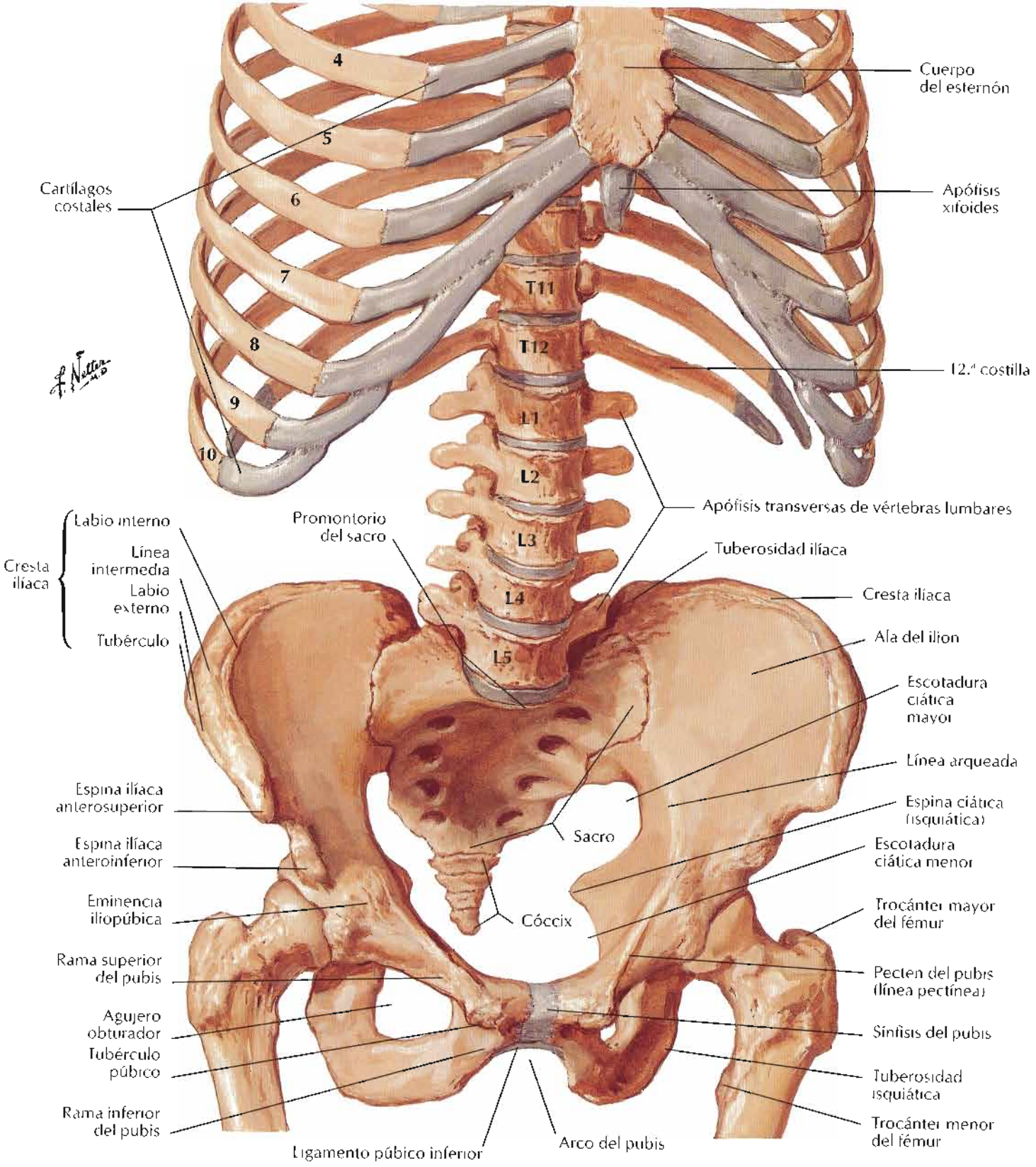
Lámina 350

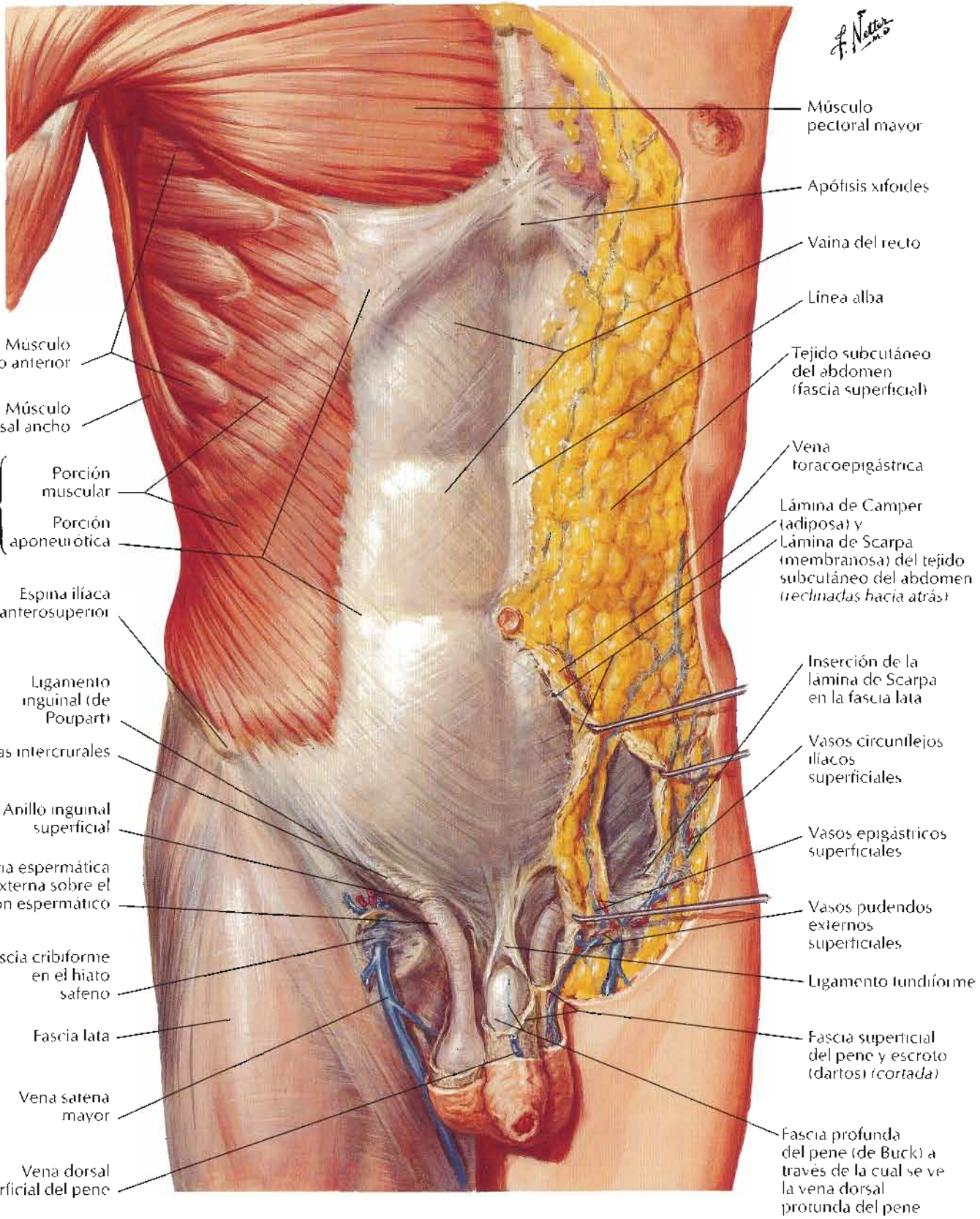
350 Exploraciones abdominales: imágenes axiales de TC

Para las regiones véase **lámina 268**

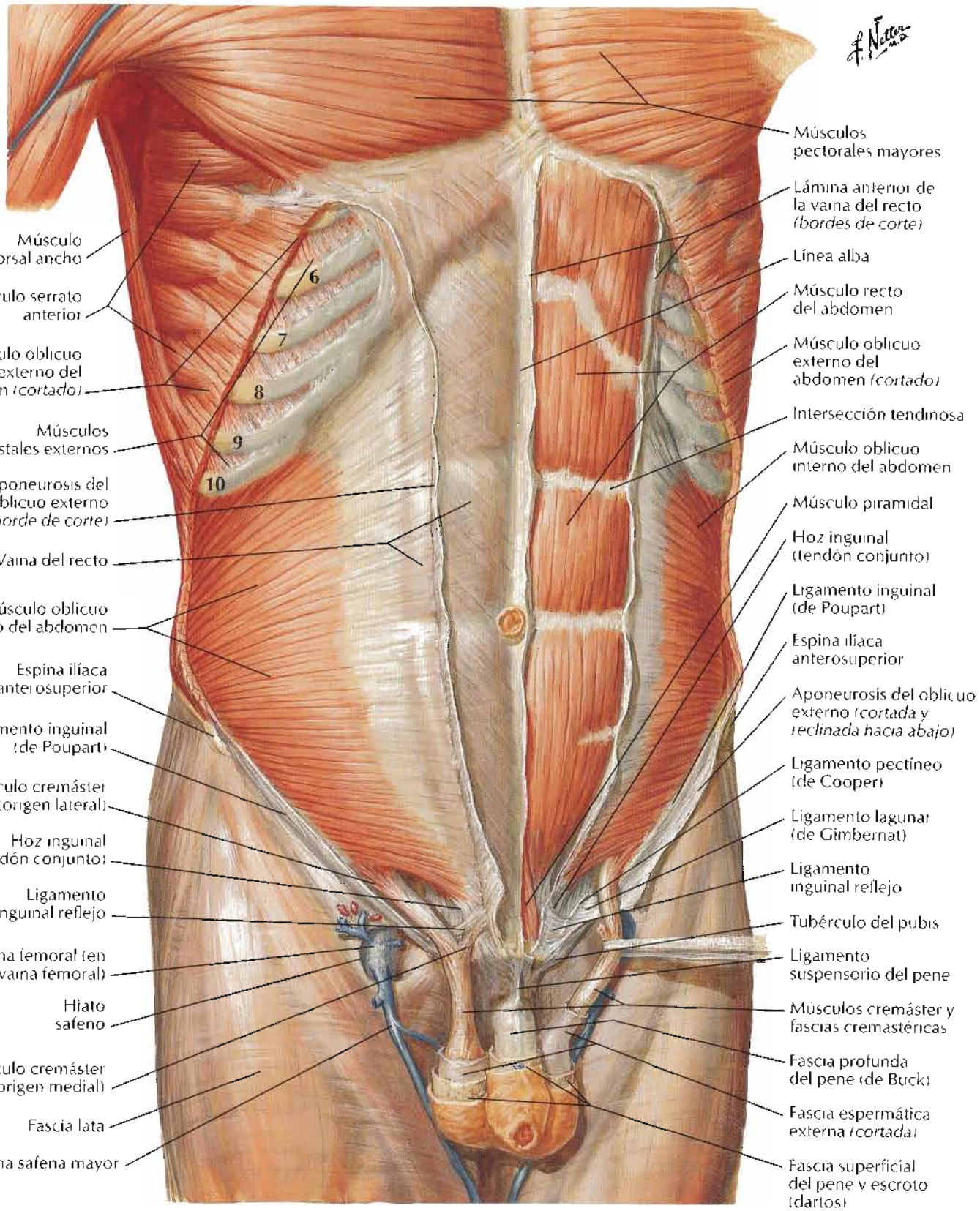


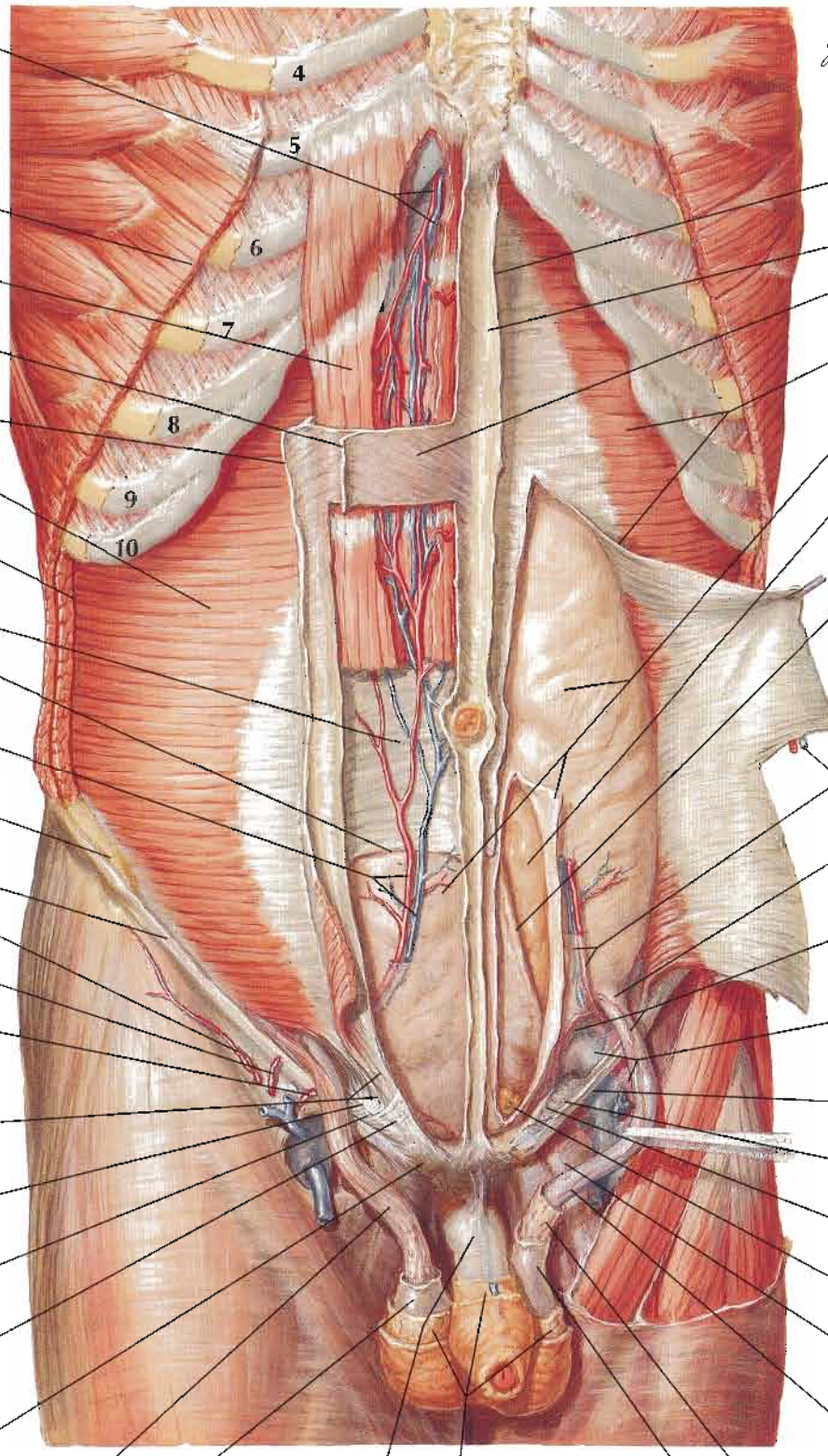
Esqueleto óseo del abdomen




Músculo pectoral mayor
Apófisis xifoides
Vaina del recto
Línea alba
Tejido subcutáneo del abdomen (fascia superficial)
Vena toracoepigástrica
Lámina de Camper (adiposa) y Lámina de Scarpa (membranosa) del tejido subcutáneo del abdomen (reclinadas hacia atrás)
Inserción de la lámina de Scarpa en la fascia lata
Vasos circunflejos ilíacos superficiales
Vasos epigástricos superficiales
Vasos pudendos externos superficiales
Ligamento fundiforme
Fascia superficial del pene y escroto (dartos) (cortada)
Fascia profunda del pene (de Buck) a través de la cual se ve la vena dorsal profunda del pene
Músculo serrato anterior
Músculo dorsal ancho
Músculo oblicuo externo del abdomen
Porción muscular
Porción aponeurótica
Espina ilíaca anterosuperior
Ligamento inguinal (de Poupart)
Fibras intercrurales
Anillo inguinal superficial
Fascia espermática externa sobre el cordón espermático
Fascia cribiforme en el hiato safeno
Fascia lata
Vena safena mayor
Vena dorsal superficial del pene

Pared abdominal anterior: disección intermedia



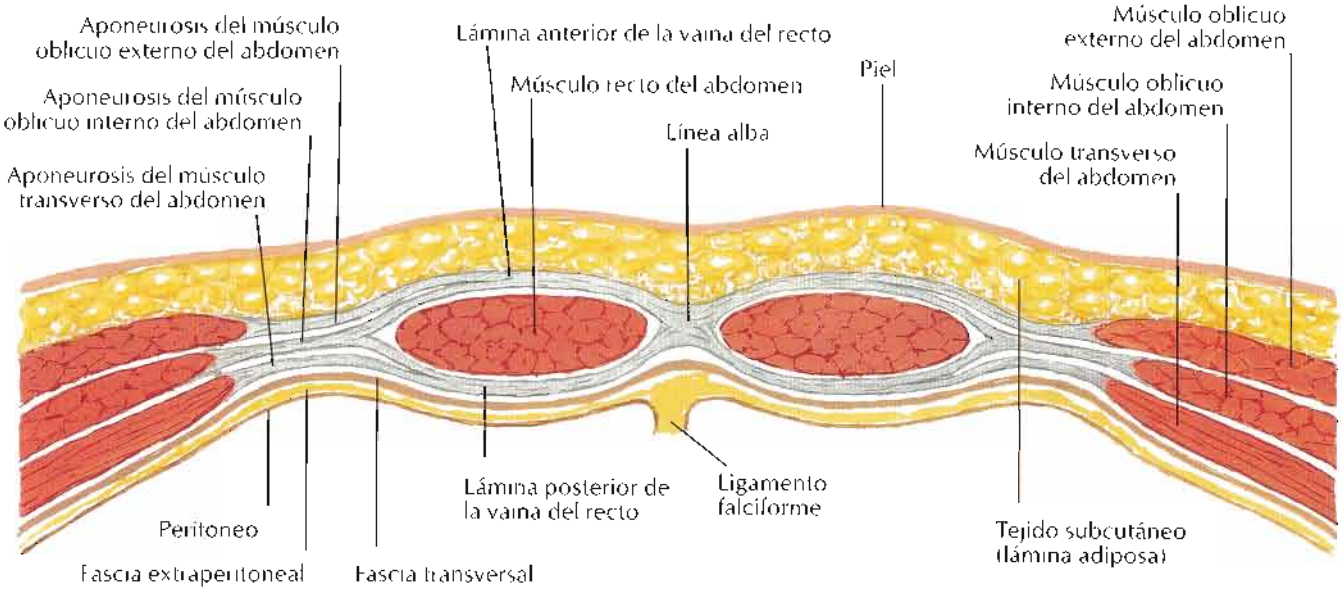


Vasos epigástricos superiores
Músculo oblicuo externo del abdomen *(cortado)*
Músculo recto del abdomen
Aponeurosis del oblicuo externo *(cortada)*
Aponeurosis del oblicuo interno *(cortada)*
Músculo transverso del abdomen
Músculo oblicuo interno del abdomen *(cortado)*
Lámina posterior de la vaina del recto
Línea arqueada
Vasos epigástricos inferiores
Espina ilíaca anterosuperior
Ligamento inguinal (de Poupart)
Arterias circunfleja ilíaca superficial, Epigástrica superficial, Pudenda externa superficial *(cortadas)*
Hoz inguinal (tendón conjunto)
Ligamento pectíneo (de Cooper)
Ligamento lagunar (de Gimbernat)
Ligamento inguinal reflejo
Tubérculo del pubis
Músculo y fascia cremastéricos
Fascia espermática externa *(cortada)*
Fascia profunda del pene (de Buck)
Fascia superficial del pene y escroto (dartos)

Lámina anterior de la vaina del recto *(cortada)*
Línea alba
Lámina anterior de la vaina del recto
Músculo transverso del abdomen *(cortado)*
Fascia transversal *(abierta en el lado izquierdo)*
Fascia extraperitoneal (tejido areolar)
Ligamento umbilical medial (porción obliterada de la arteria umbilical)
Arteria y vena epigástricas inferiores *(cortadas)*
Zona del anillo inguinal profundo (origen de la fascia espermática interna)
Ramas cremastérica y púbica de la arteria epigástrica inferior
Vaina femoral (contiene la arteria y vena femorales)
Ligamento inguinal (de Poupart)
Ligamento lagunar (de Gimbernat)
Ligamento pectíneo (de Cooper)
Grasa en el espacio retropúbico (de Retzius)
Fascia pectínea
Fascia espermática interna
Músculo y fascia cremastéricos *(cortados)*
Fascia espermática externa *(cortada)*

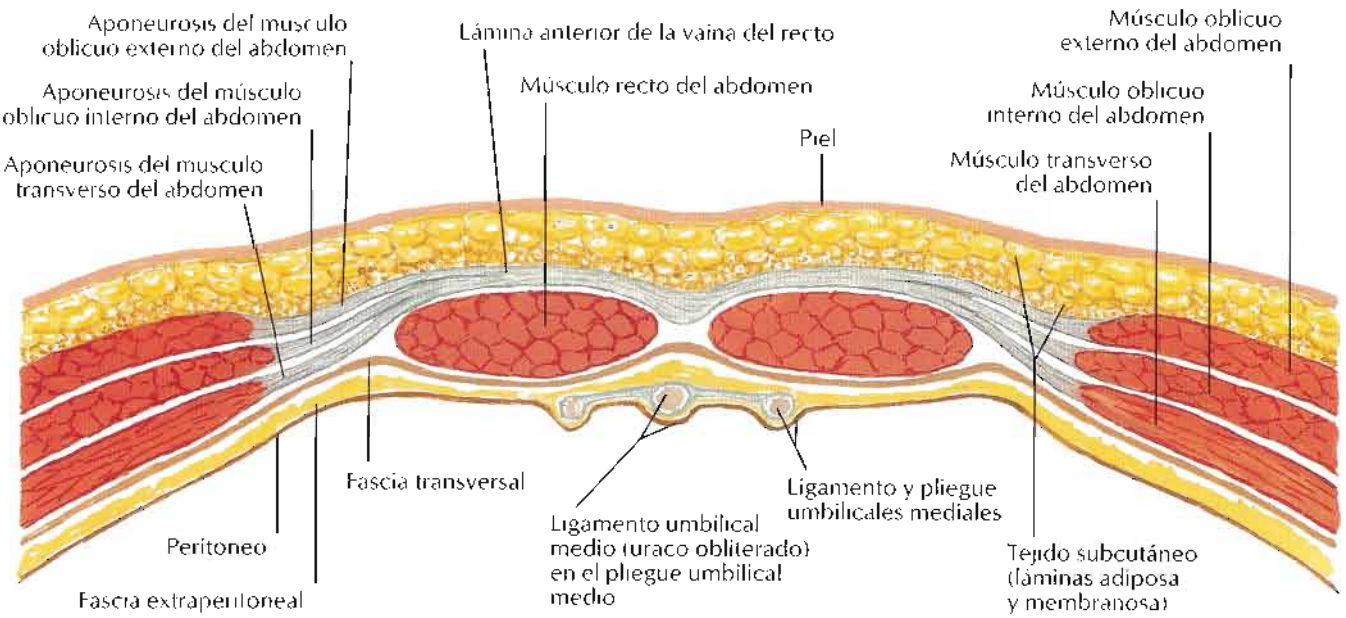
4 Vaina del recto: secciones transversales

Sección por encima de la línea arqueada



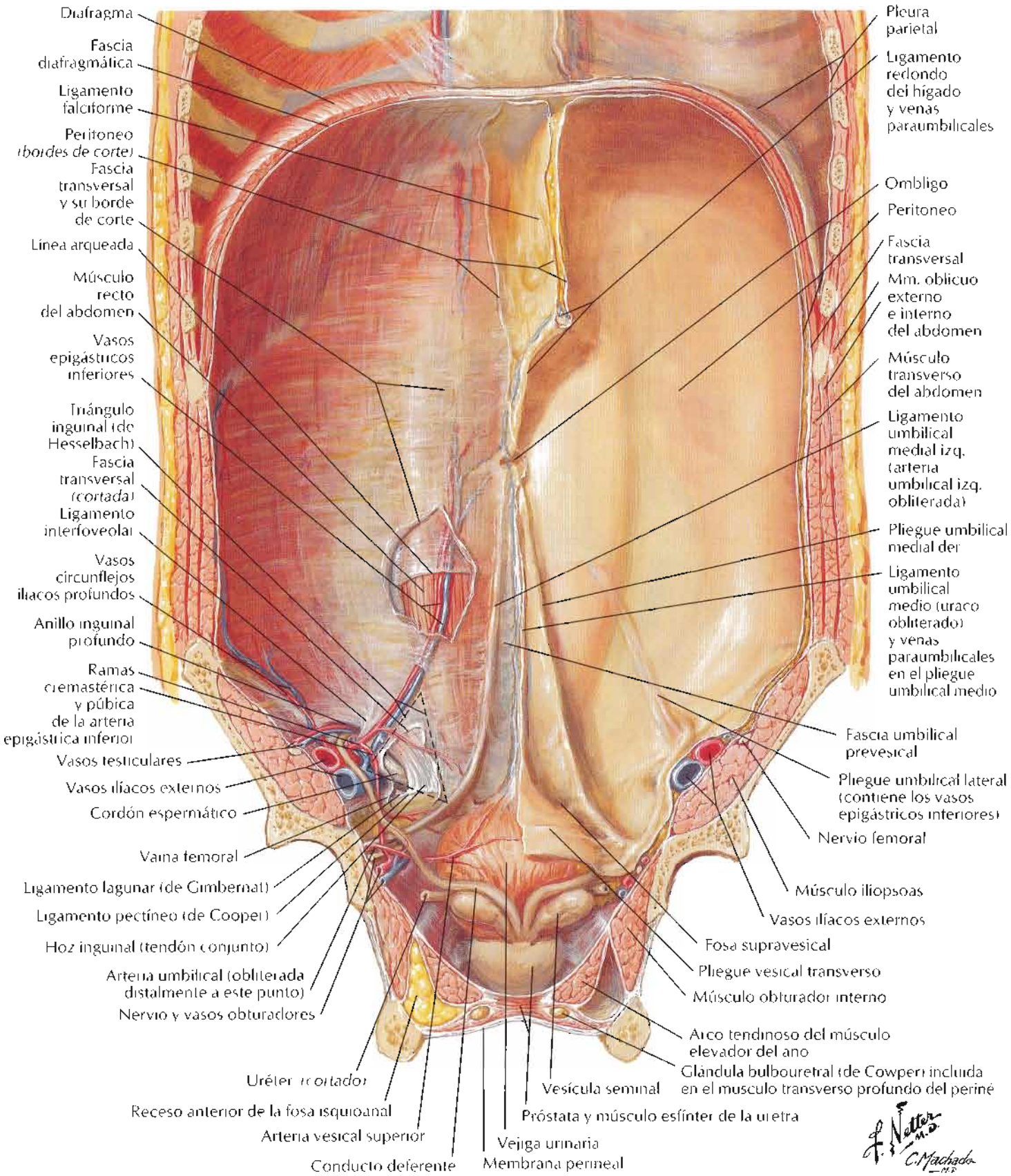
La aponeurosis del músculo oblicuo interno del abdomen se divide para formar las láminas anterior y posterior de la vaina del recto. La aponeurosis del músculo oblicuo externo del abdomen se une a la lámina anterior de la vaina; la aponeurosis del músculo transverso del abdomen se une a la lámina posterior. Las láminas anterior y posterior de la vaina del recto se unen medialmente para formar la línea alba.

Sección por debajo de la línea arqueada



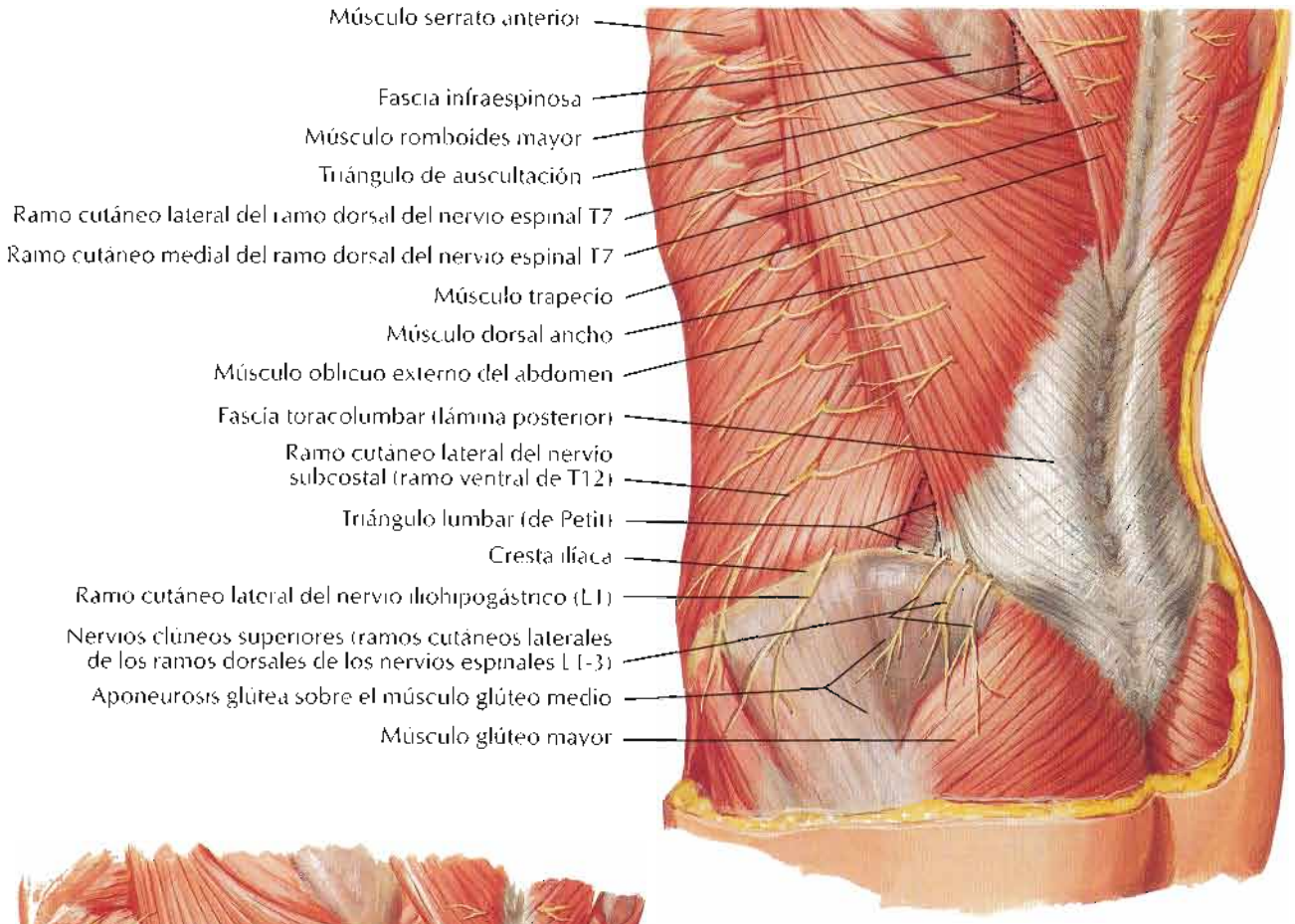
La aponeurosis del músculo oblicuo interno del abdomen no se divide a este nivel, sino que pasa totalmente anterior al músculo recto del abdomen fusionándose con las aponeurosis de los músculos oblicuo externo y transverso del abdomen. De este modo, la pared posterior de la vaina del recto está ausente por debajo de la línea arqueada, descansando el músculo recto del abdomen sobre la fascia transversal.

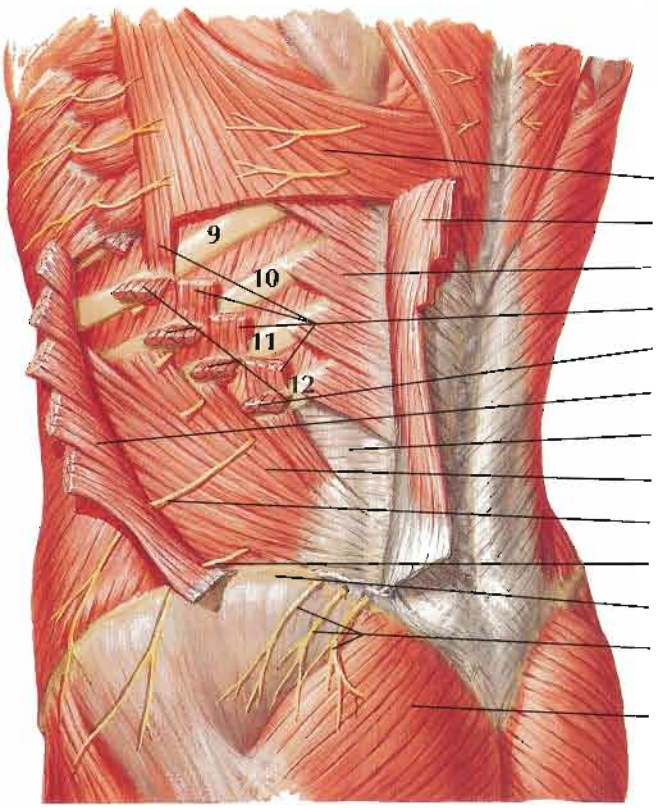
Para los vasos umbilicales véase lámina 229



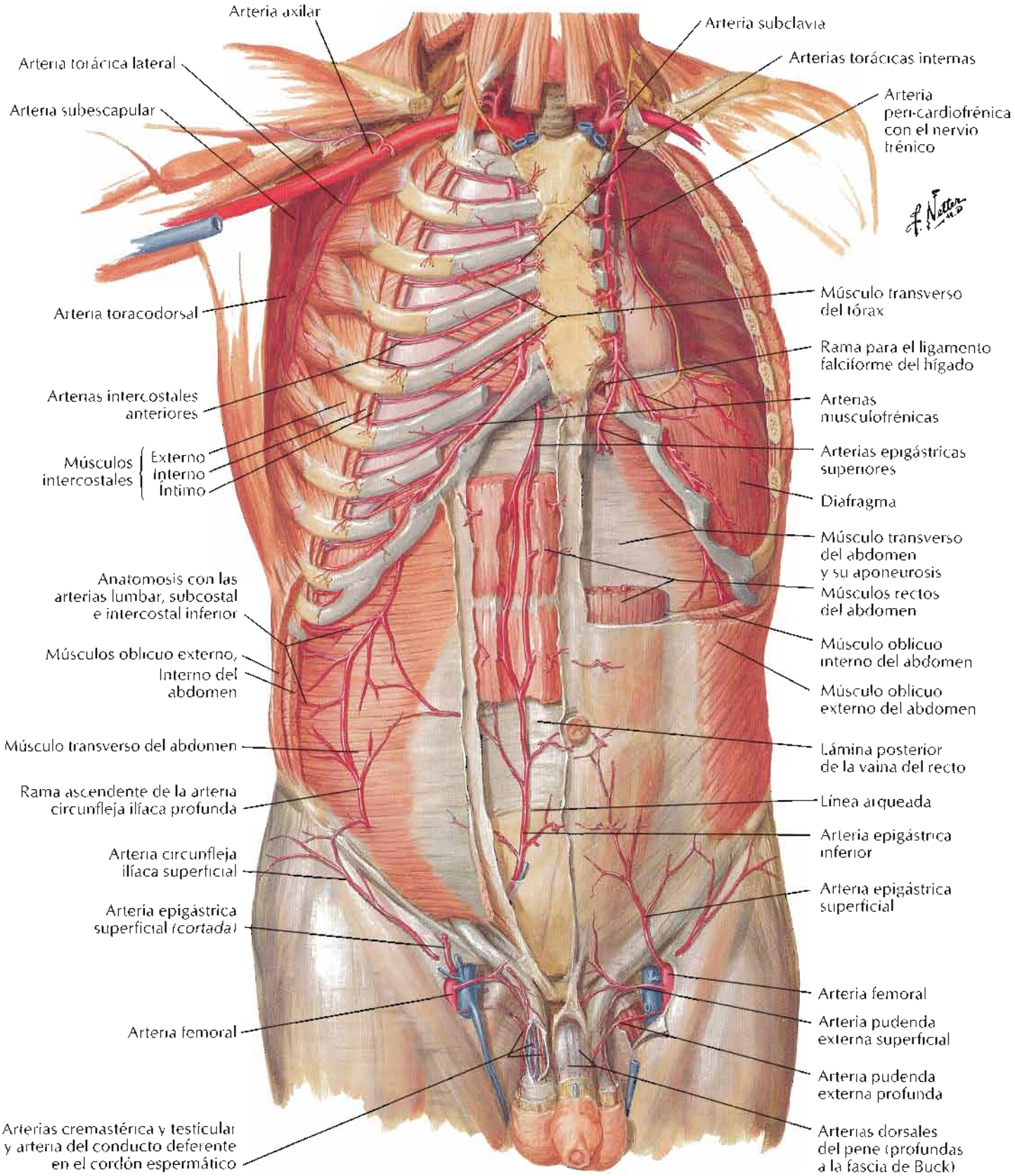
Pared abdominal posterolateral

Véanse también **láminas 174, 177, 179, 180, 258**

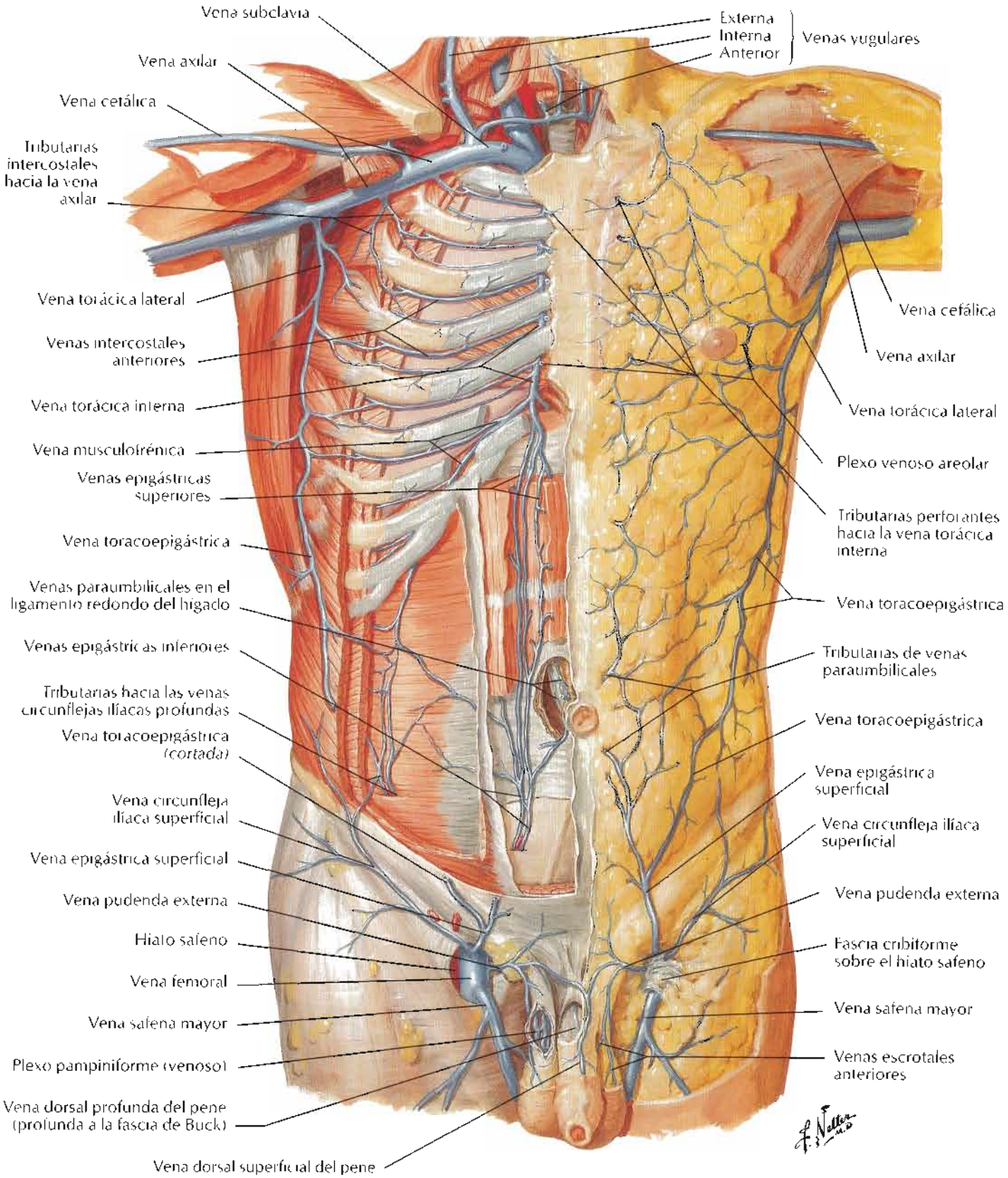




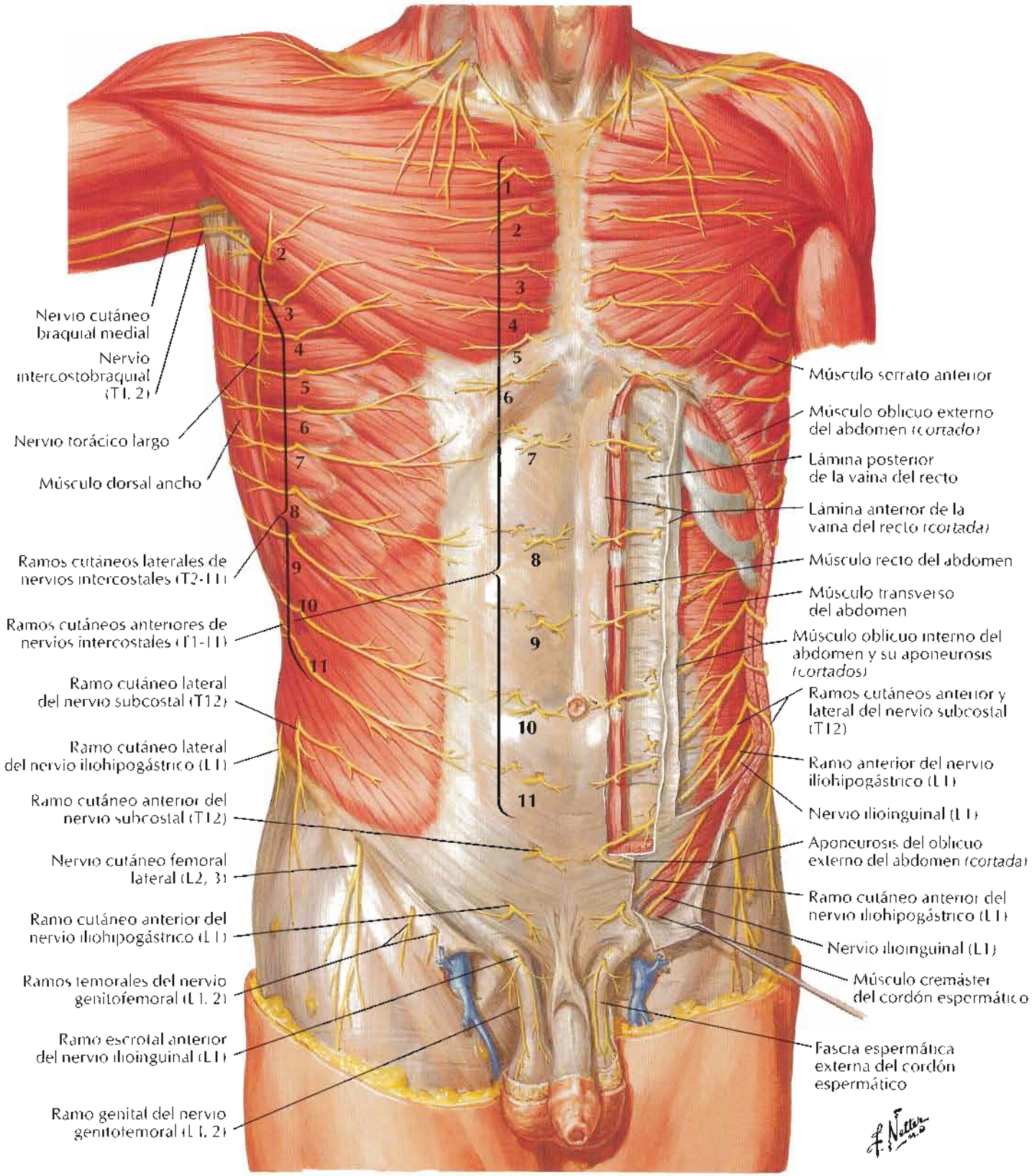
Músculo dorsal ancho
Músculo dorsal ancho *(cortado y reclinado hacia atrás)*
Músculo serrato posterior inferior
Digitaciones del origen costal del músculo dorsal ancho
Digitaciones del origen costal del músculo oblicuo externo del abdomen
Músculo oblicuo externo del abdomen *(cortado y reclinado hacia atrás)*
Tendón de origen del músculo transverso del abdomen
Músculo oblicuo interno del abdomen
Ramo cutáneo lateral del nervio subcostal (ramo ventral de T12)
Ramo cutáneo lateral del nervio iliohipogástrico (L1)
Cresta ilíaca
Nervios clúneos superiores (ramos cutáneos laterales de los ramos dorsales de los nervios espinales L 1-3)
Músculo glúteo mayor


Arteria axilar
Arteria subclavia
Arteria torácica lateral
Arterias torácicas internas
Arteria subescapular
Arteria peri-cardiofrénica con el nervio frénico
Arteria toracodorsal
Músculo transverso del tórax
Rama para el ligamento falciforme del hígado
Arterias intercostales anteriores
Arterias musculofrénicas
Músculos intercostales
Externo
Interno
Íntimo
Arterias epigástricas superiores
Diafragma
Músculo transverso del abdomen y su aponeurosis
Anatomosis con las arterias lumbar, subcostal e intercostal inferior
Músculos rectos del abdomen
Músculo oblicuo interno del abdomen
Músculos oblicuo externo, interno del abdomen
Músculo oblicuo externo del abdomen
Músculo transverso del abdomen
Lámina posterior de la vaina del recto
Rama ascendente de la arteria circunfleja ilíaca profunda
Línea arqueada
Arteria epigástrica inferior
Arteria circunfleja ilíaca superficial
Arteria epigástrica superficial
Arteria epigástrica superficial (cortada)
Arteria femoral
Arteria pudenda externa superficial
Arteria femoral
Arteria pudenda externa profunda
Arterias cremastérica y testicular y arteria del conducto deferente en el cordón espermático
Arterias dorsales del pene (profundas a la fascia de Buck)

4 Venas de la pared abdominal anterior

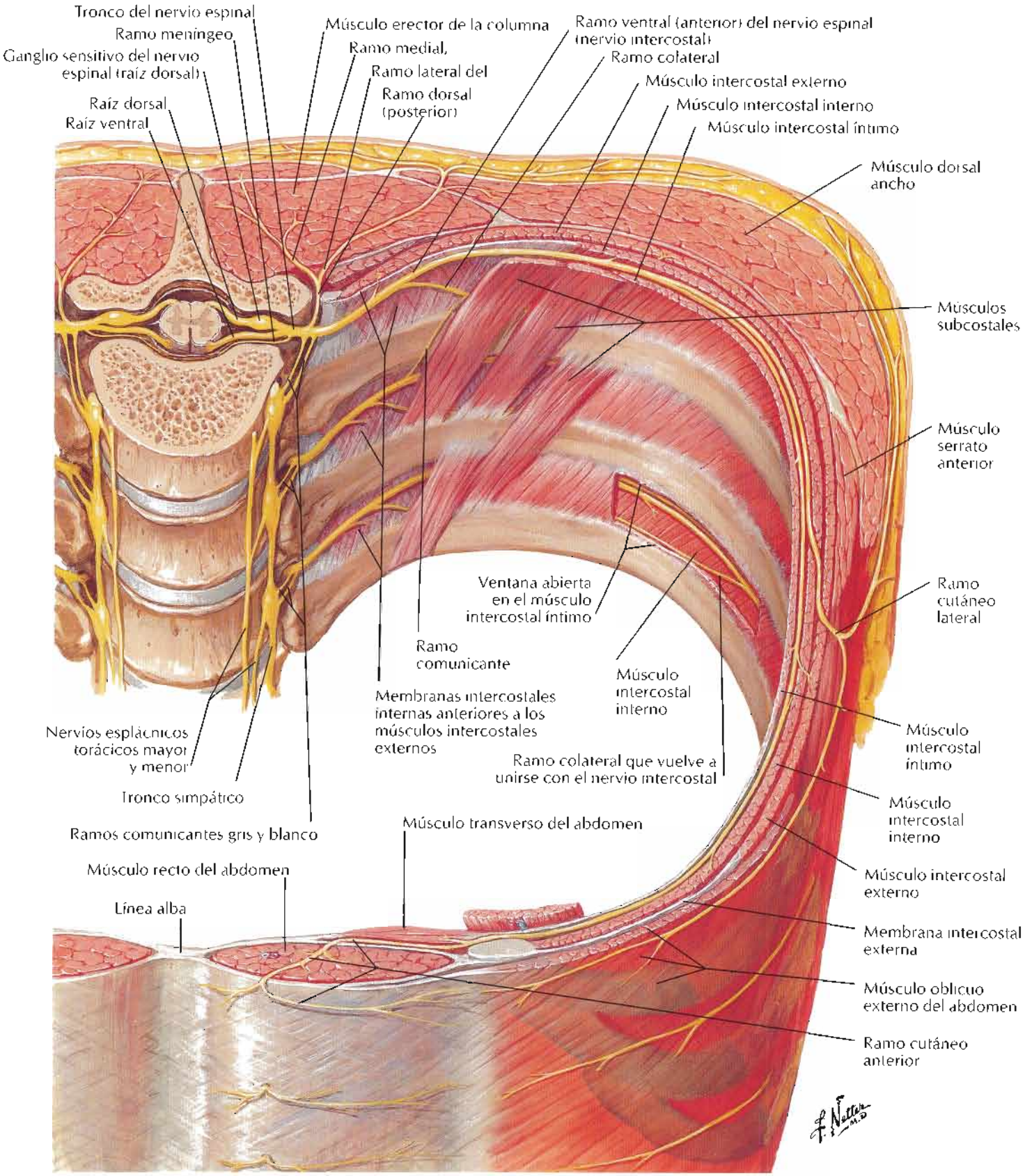


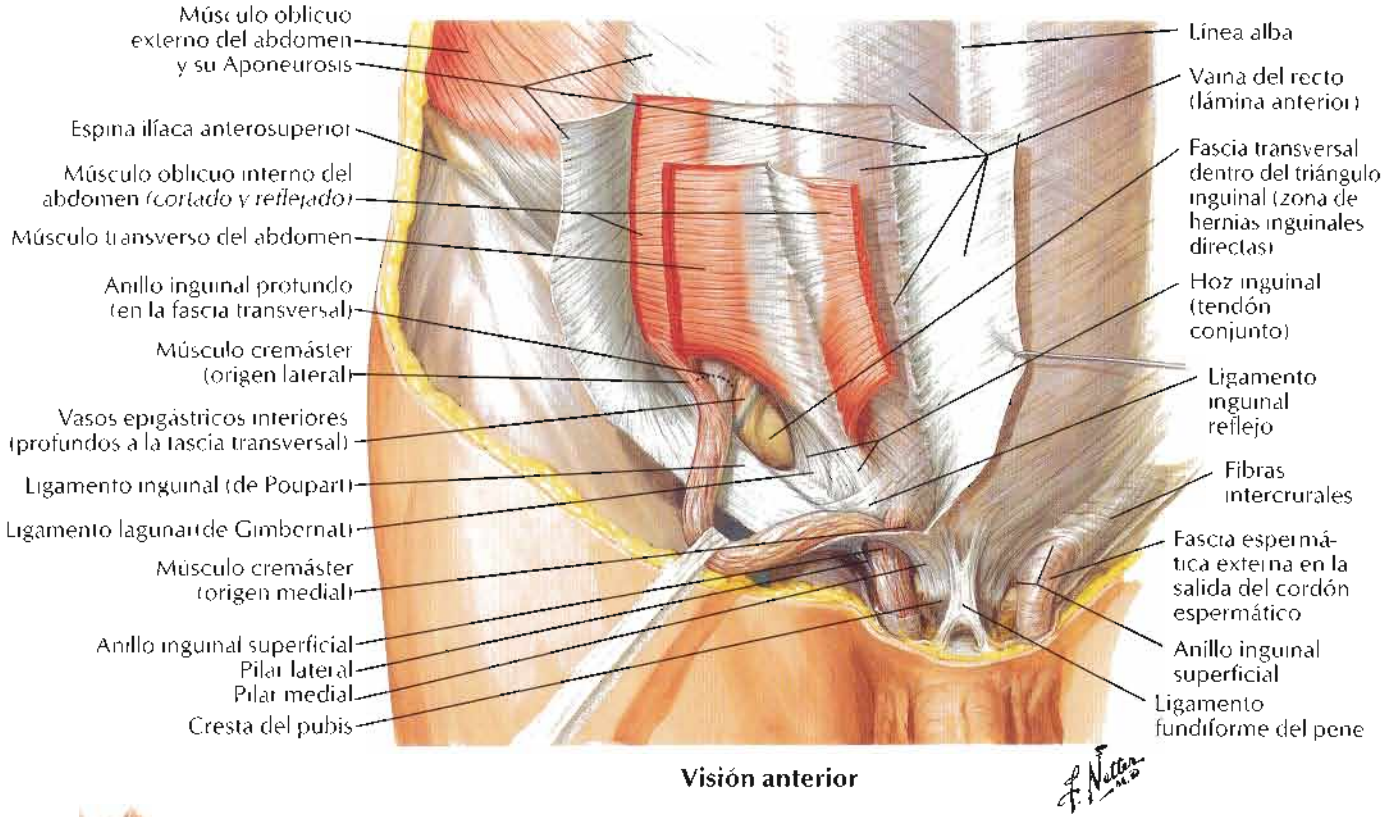
Véanse también **láminas 177, 254, 267, 498**



4 Nervios toracoabdominales

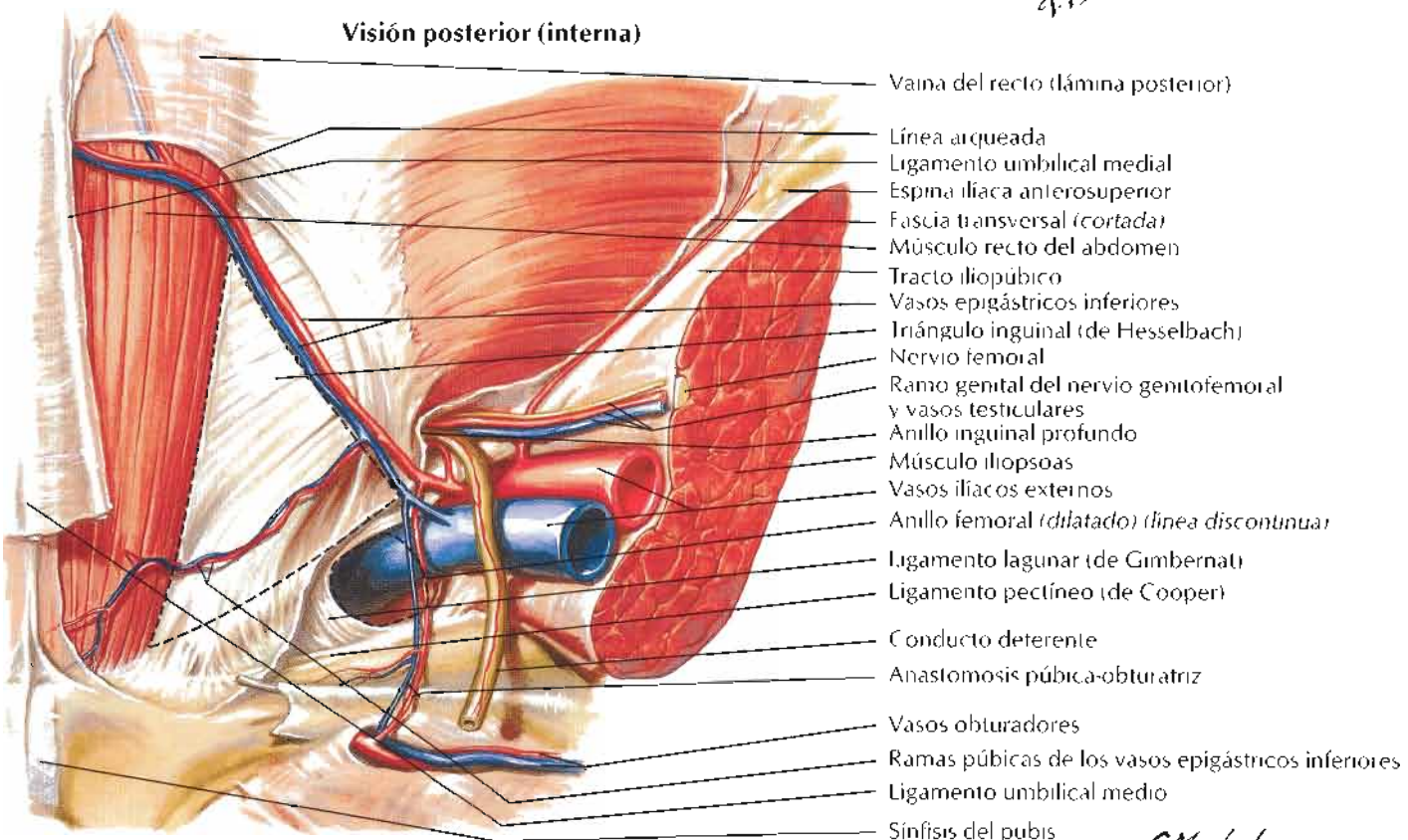
Véanse también **láminas 180, 192**





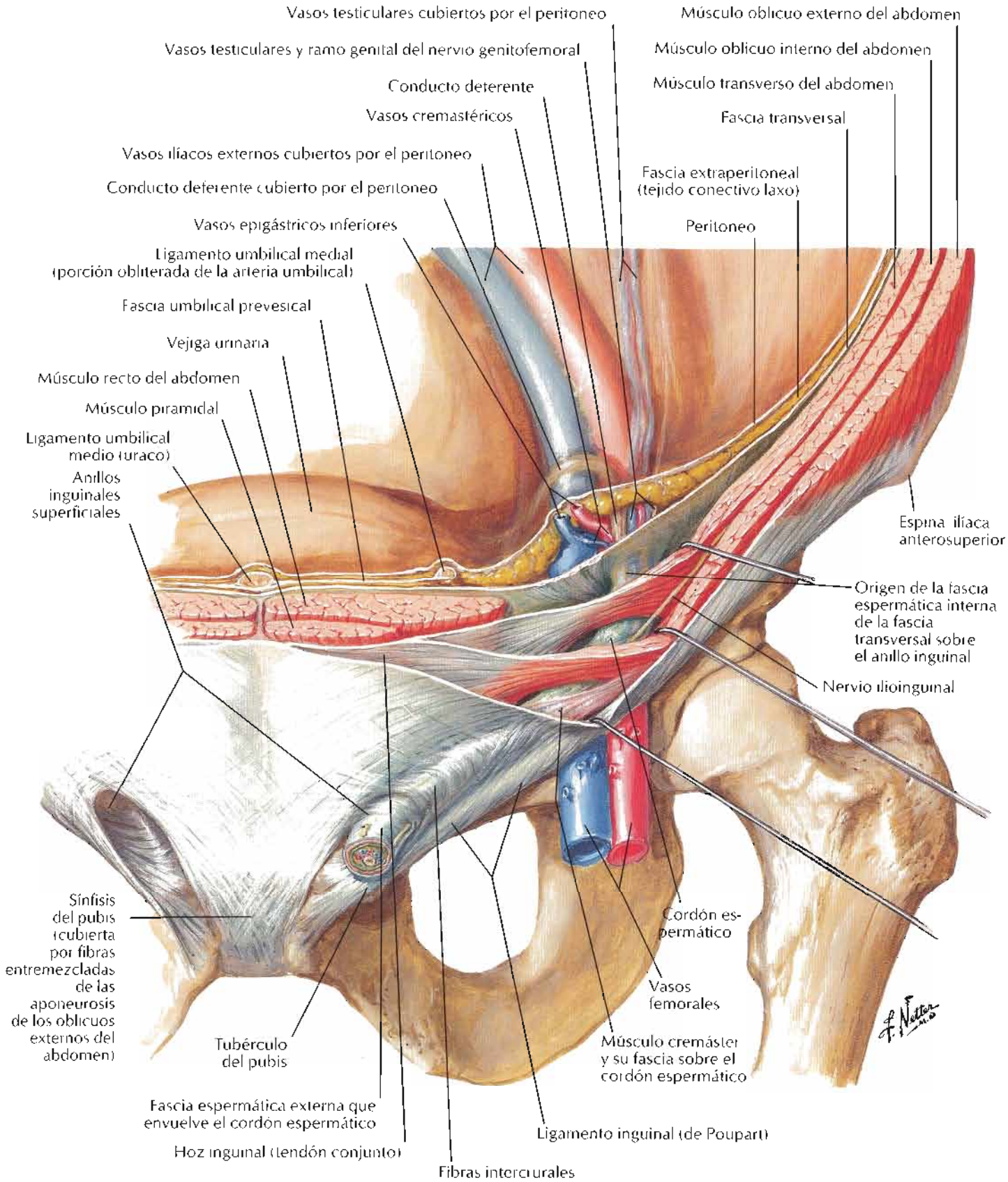
Visión anterior

Visión posterior (interna)

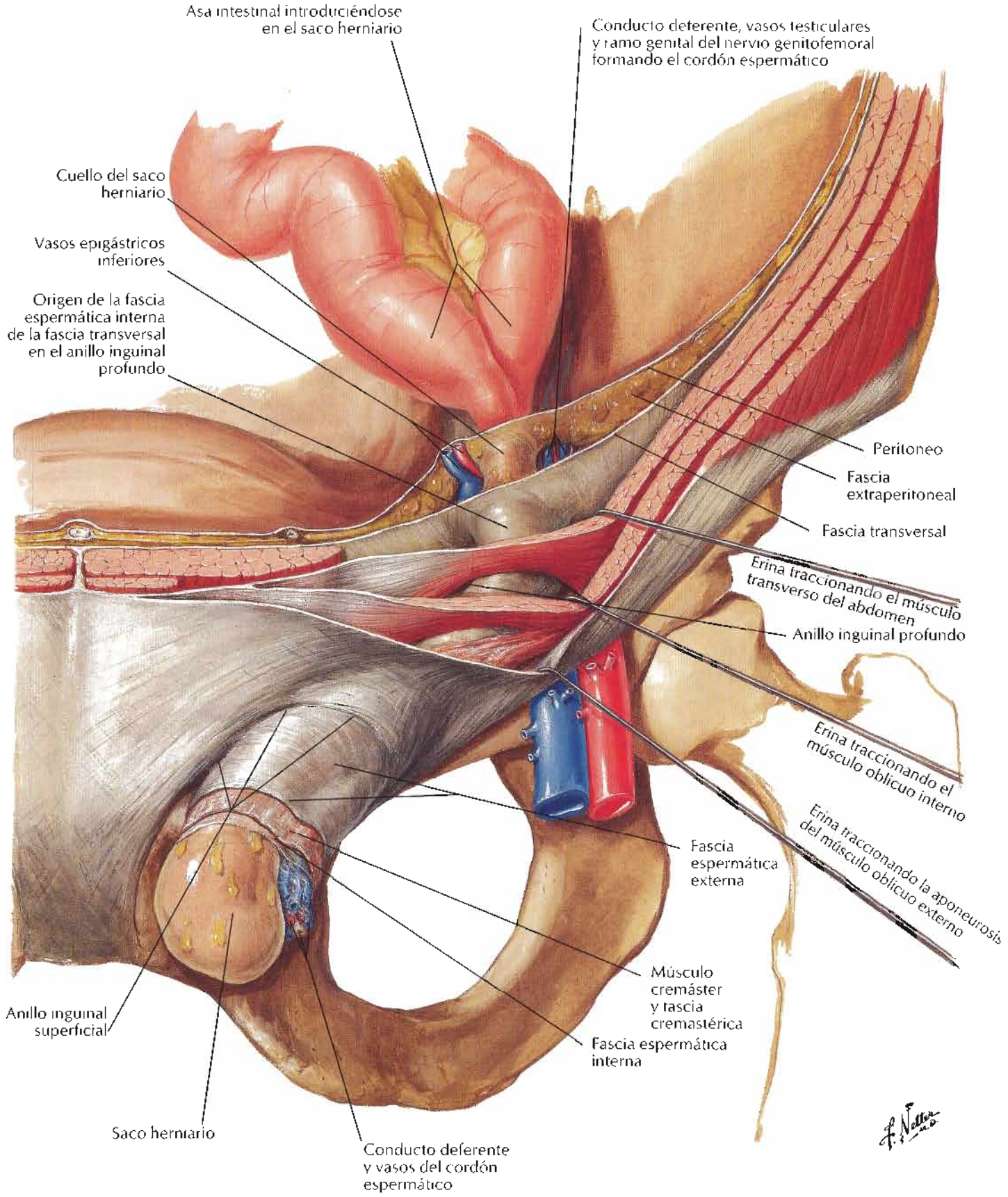


Triángulo de Hesselbach por Carlos Machado modificado de Frank Netter

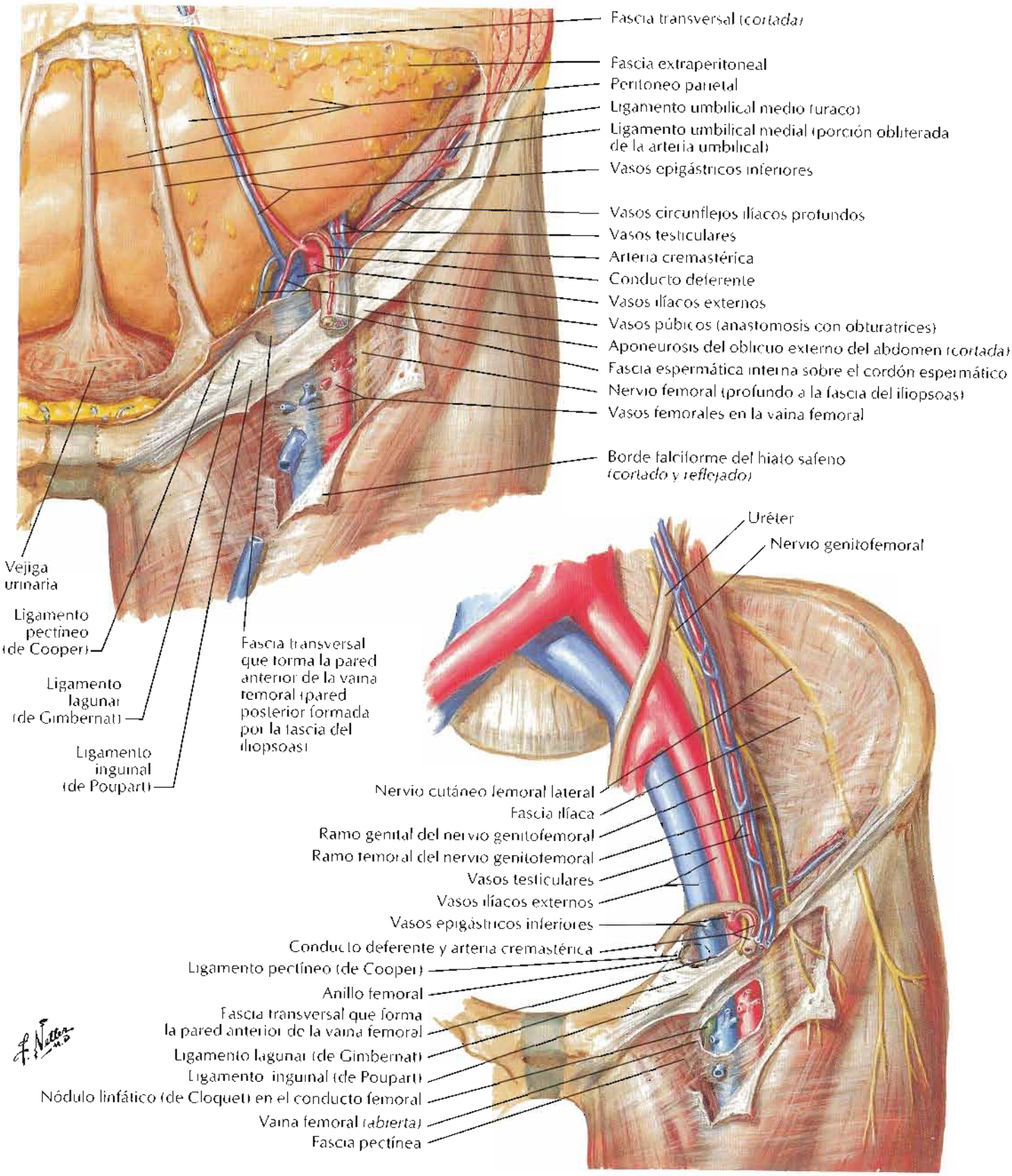
Conducto inguinal y cordón espermático



Compárese con la **lámina 260**

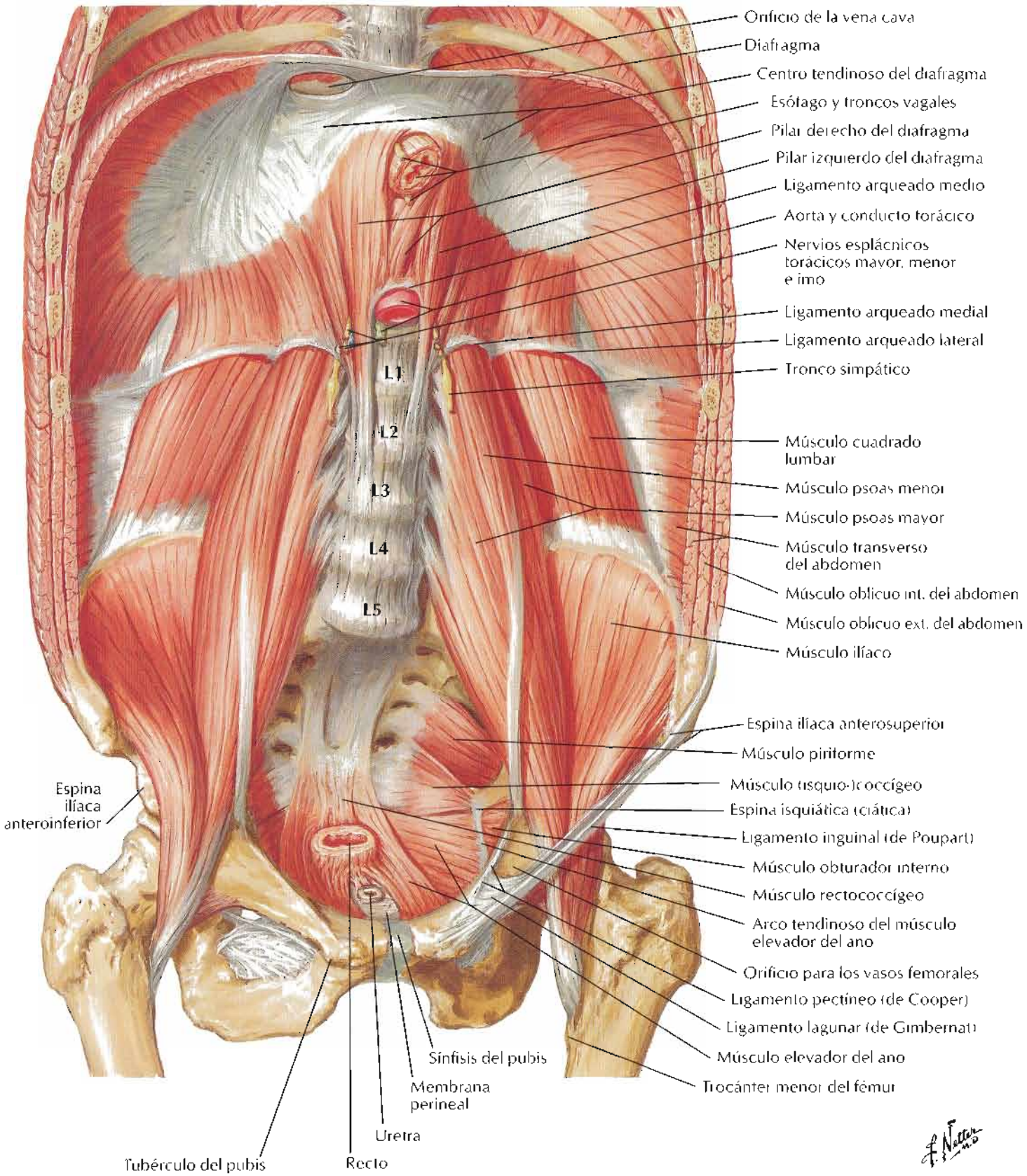


Vaina femoral y conducto inguinal

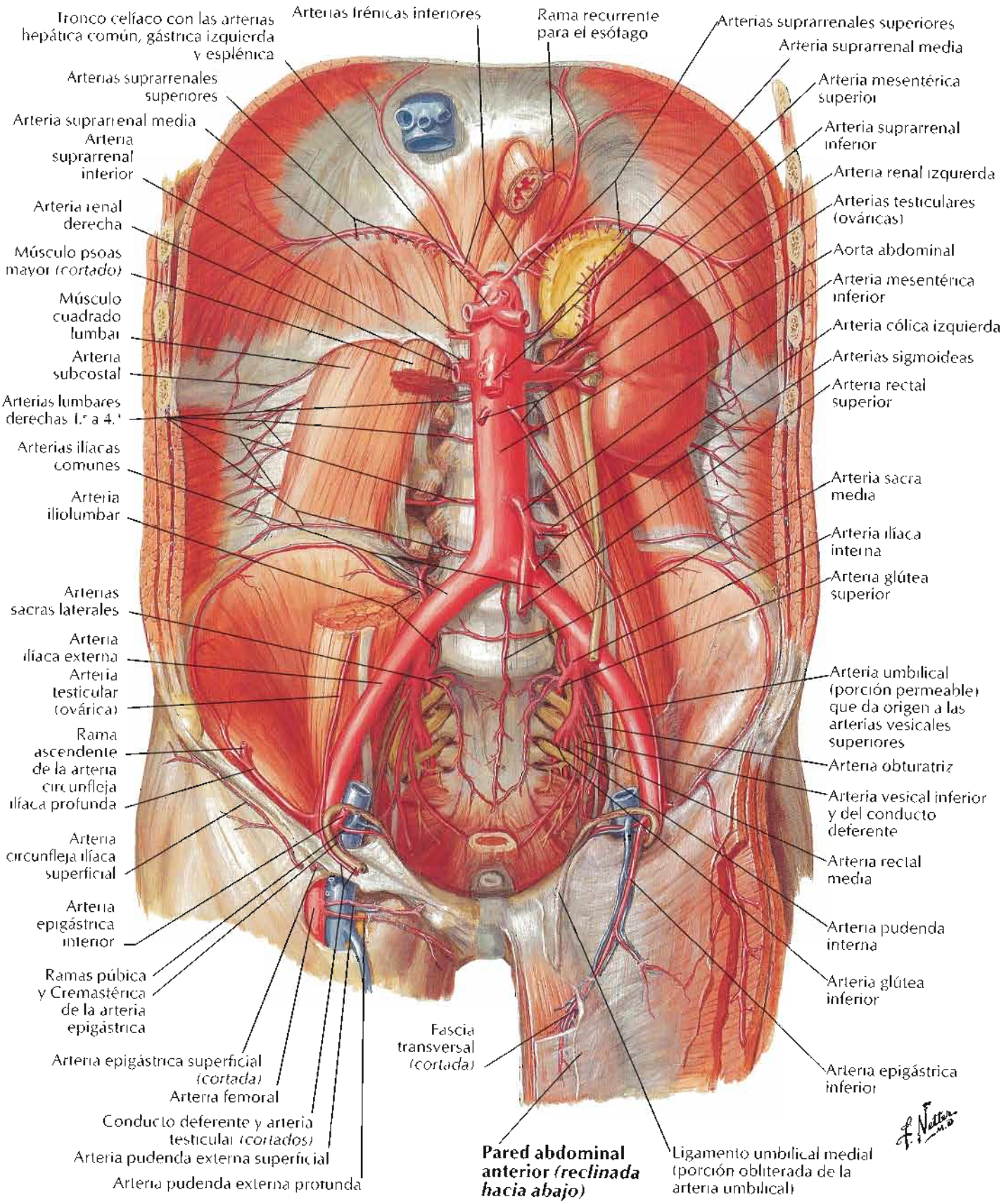


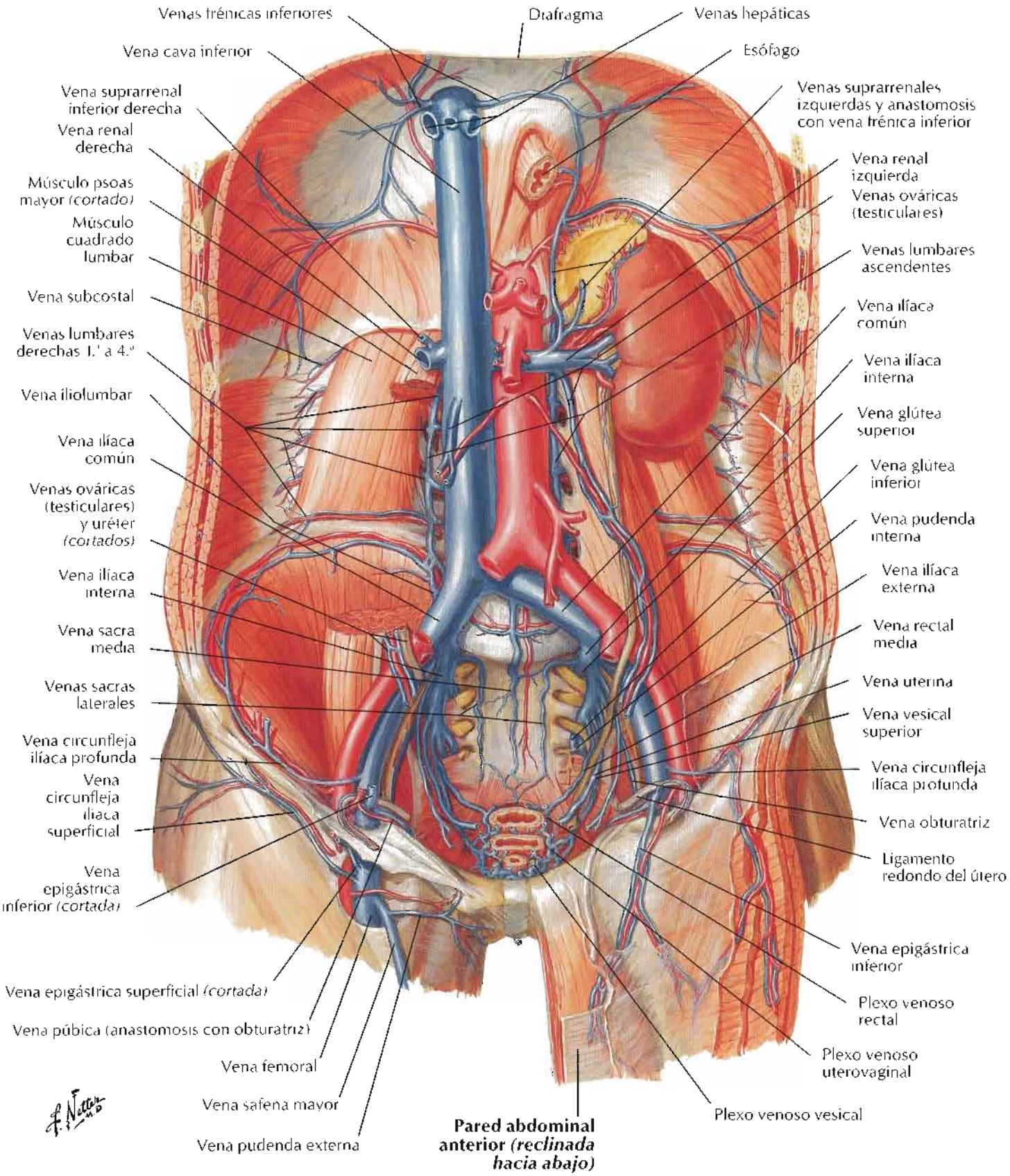
Pared abdominal posterior: visión interna

Para el diafragma véase también **lámina 195**



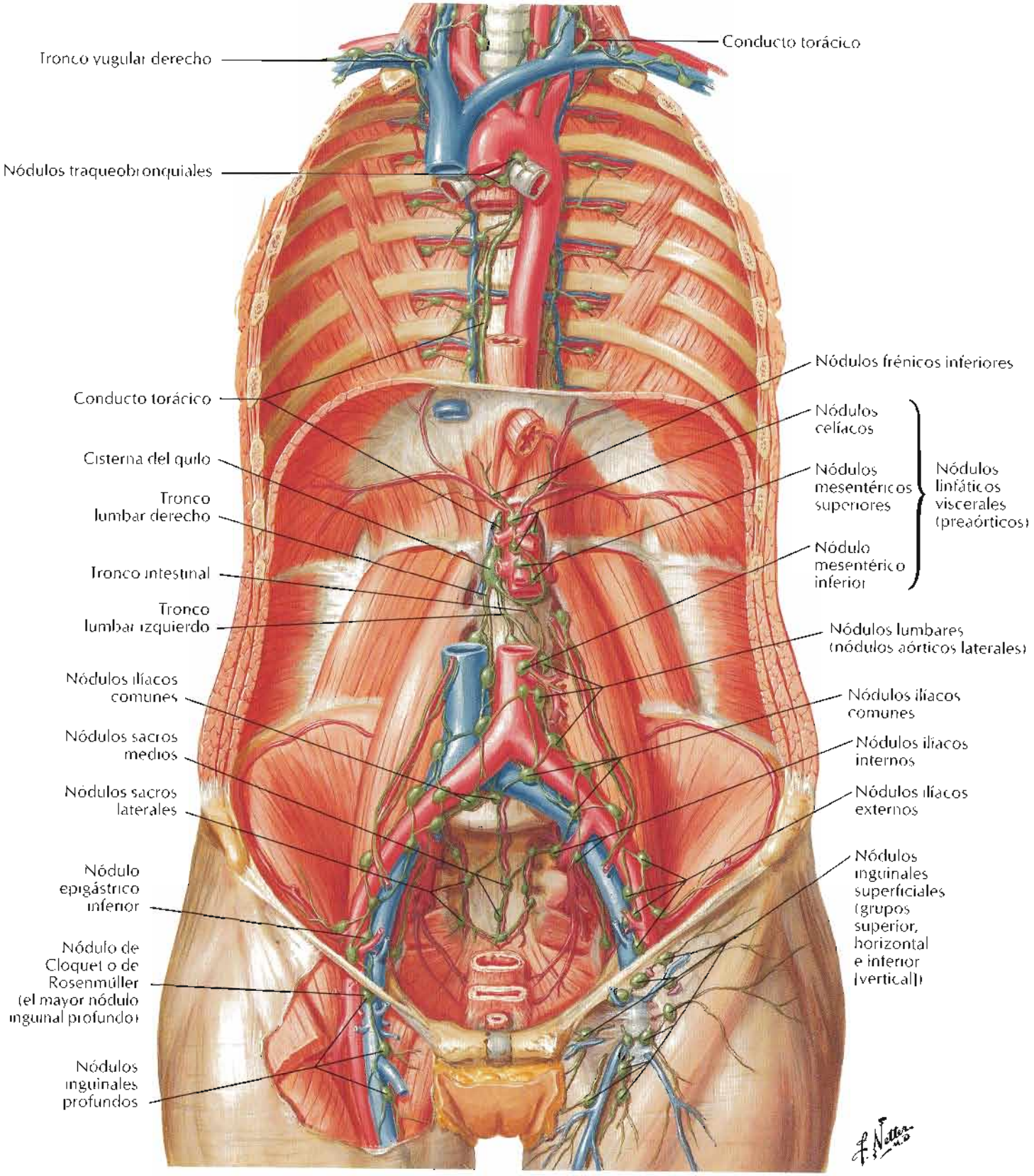
Arterias de la pared abdominal posterior

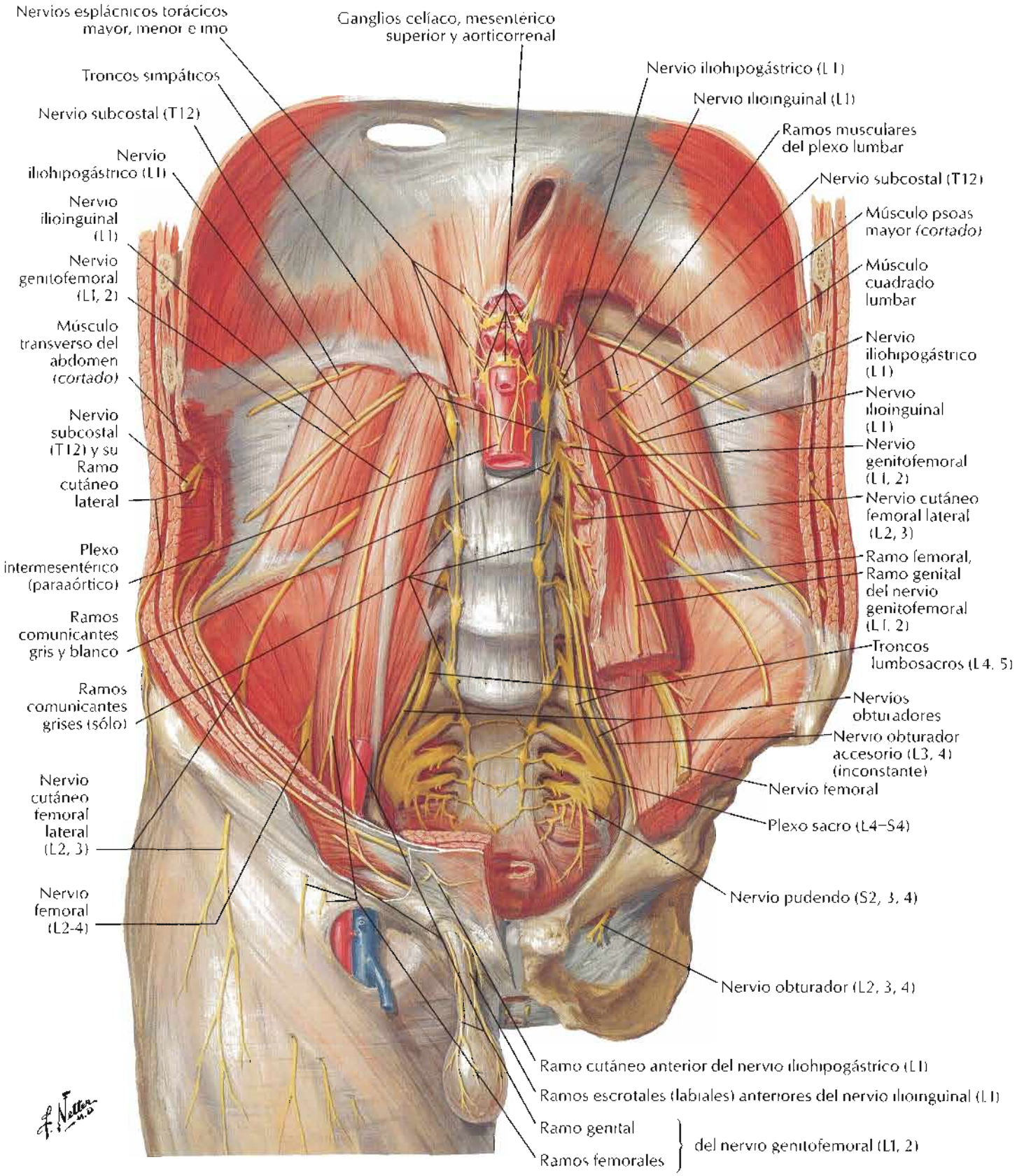


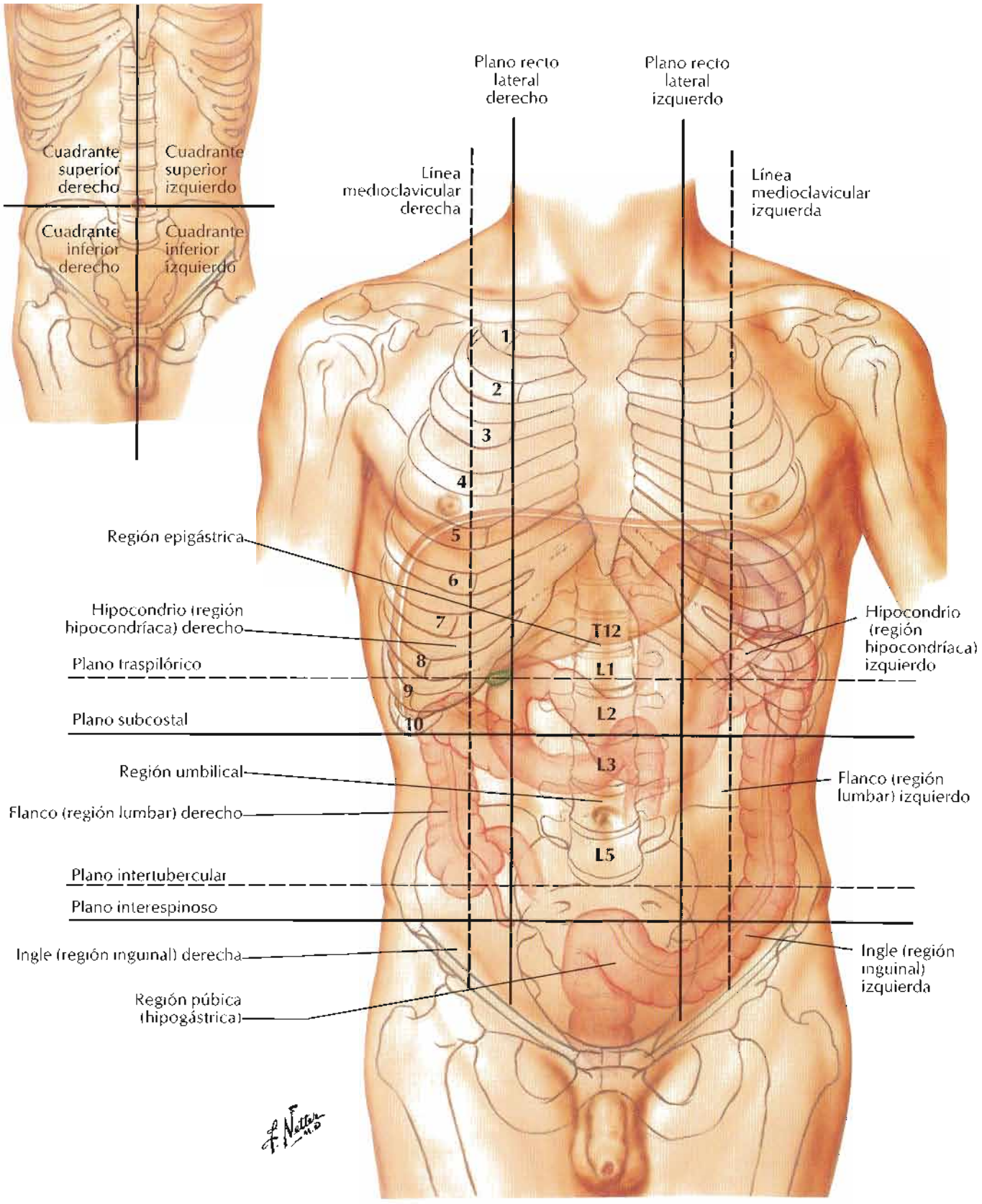

Venas frénicas inferiores
Diafragma
Venas hepáticas
Vena cava inferior
Esófago
Vena suprarrenal inferior derecha
Venas suprarrenales izquierdas y anastomosis con vena frénica inferior
Vena renal derecha
Vena renal izquierda
Músculo psoas mayor (cortado)
Venas ováricas (testiculares)
Músculo cuadrado lumbar
Venas lumbares ascendentes
Vena subcostal
Vena ilíaca común
Venas lumbares derechas 1.ª a 4.ª
Vena ilíaca interna
Vena iliolumbar
Vena glútea superior
Vena ilíaca común
Vena glútea inferior
Venas ováricas (testiculares) y uréter (cortados)
Vena pudenda interna
Vena ilíaca interna
Vena ilíaca externa
Vena sacra media
Vena rectal media
Venas sacras laterales
Vena uterina
Vena circunfleja ilíaca profunda
Vena vesical superior
Vena circunfleja ilíaca superficial
Vena circunfleja ilíaca profunda
Vena obturatriz
Vena epigástrica inferior (cortada)
Ligamento redondo del útero
Vena epigástrica inferior
Vena epigástrica superficial (cortada)
Plexo venoso rectal
Vena púbica (anastomosis con obturatriz)
Plexo venoso uterovaginal
Vena femoral
Vena safena mayor
Plexo venoso vesical
Vena pudenda externa
Pared abdominal anterior (reclinada hacia abajo)

4 Vasos y nódulos linfáticos de la pared abdominal posterior

Véase también **lámina 407**

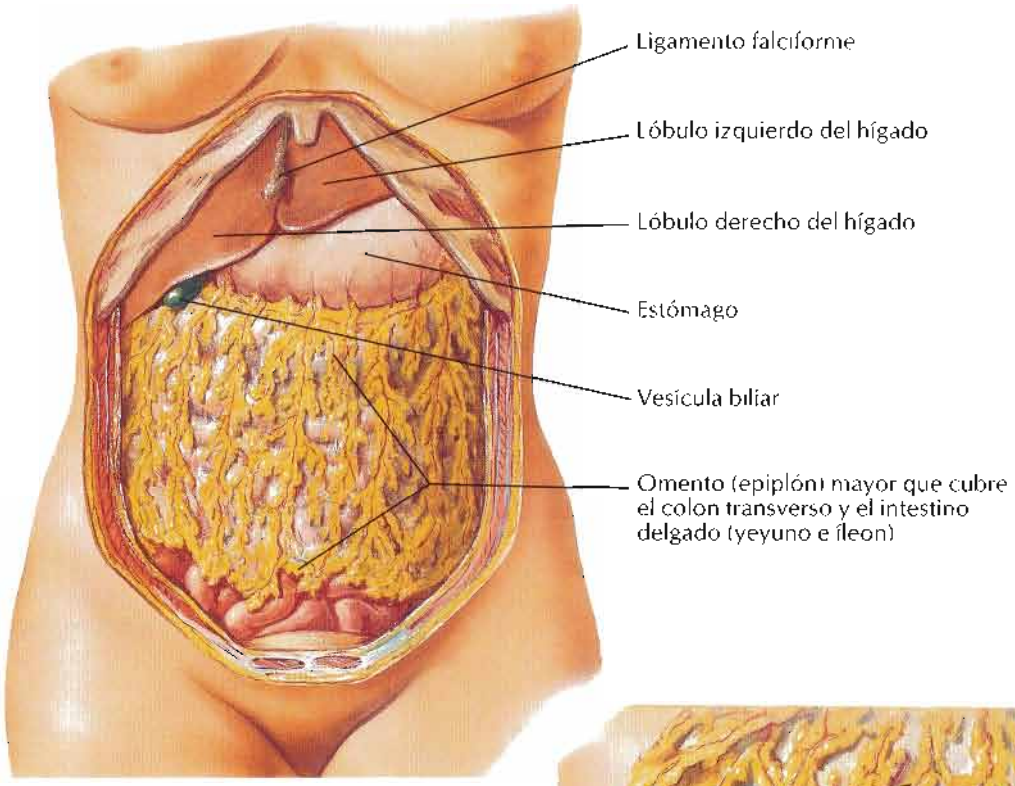


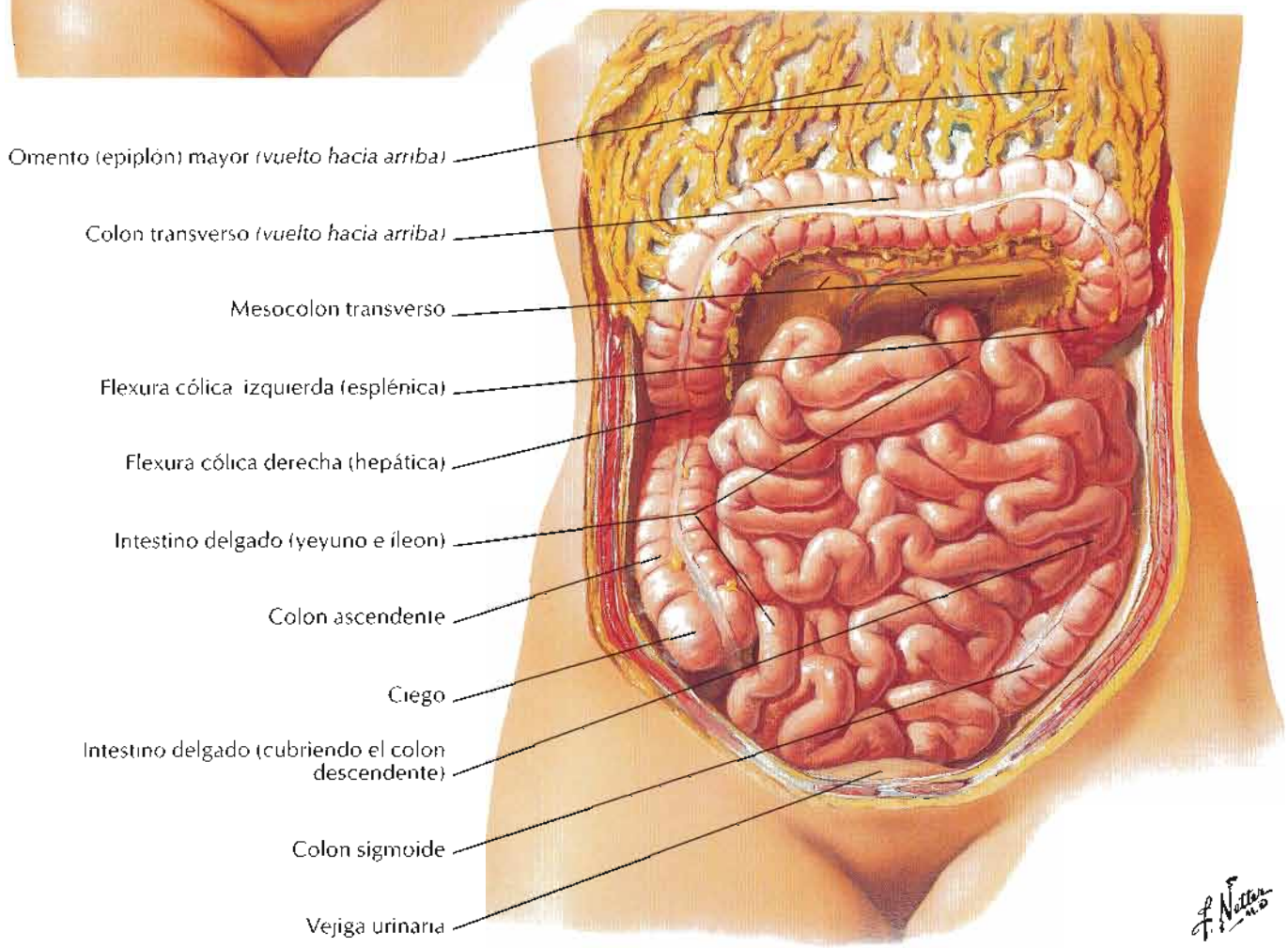

Nervios esplácnicos torácicos mayor, menor e imo
Ganglios celíaco, mesentérico superior y aorticorrenal
Troncos simpáticos
Nervio iliohipogástrico (L1)
Nervio ilioinguinal (L1)
Nervio subcostal (T12)
Ramos musculares del plexo lumbar
Nervio iliohipogástrico (L1)
Nervio subcostal (T12)
Nervio ilioinguinal (L1)
Músculo psoas mayor (cortado)
Nervio genitofemoral (L1, 2)
Músculo cuadrado lumbar
Músculo transverso del abdomen (cortado)
Nervio iliohipogástrico (L1)
Nervio ilioinguinal (L1)
Nervio subcostal (T12) y su Ramo cutáneo lateral
Nervio genitofemoral (L1, 2)
Nervio cutáneo femoral lateral (L2, 3)
Plexo intermesentérico (paraaórtico)
Ramo femoral, Ramo genital del nervio genitofemoral (L1, 2)
Ramos comunicantes gris y blanco
Troncos lumbosacros (L4, 5)
Ramos comunicantes grises (sólo)
Nervios obturadores
Nervio obturador accesorio (L3, 4) (inconstante)
Nervio femoral
Nervio cutáneo femoral lateral (L2, 3)
Plexo sacro (L4–S4)
Nervio femoral (L2-4)
Nervio pudendo (S2, 3, 4)
Nervio obturador (L2, 3, 4)
Ramo cutáneo anterior del nervio iliohipogástrico (L1)
Ramos escrotales (labiales) anteriores del nervio ilioinguinal (L1)
Ramo genital
Ramos femorales
del nervio genitofemoral (L1, 2)


Cuadrante superior derecho
Cuadrante superior izquierdo
Cuadrante inferior derecho
Cuadrante inferior izquierdo
Plano recto lateral derecho
Plano recto lateral izquierdo
Línea medioclavicular derecha
Línea medioclavicular izquierda
1
2
3
4
5
6
7
8
9
10
T12
L1
L2
L3
L5
Región epigástrica
Hipocondrio (región hipocondríaca) derecho
Plano traspilórico
Plano subcostal
Región umbilical
Flanco (región lumbar) derecho
Plano intertubercular
Plano interespinoso
Ingle (región inguinal) derecha
Región púbica (hipogástrica)
Hipocondrio (región hipocondríaca) izquierdo
Flanco (región lumbar) izquierdo
Ingle (región inguinal) izquierda

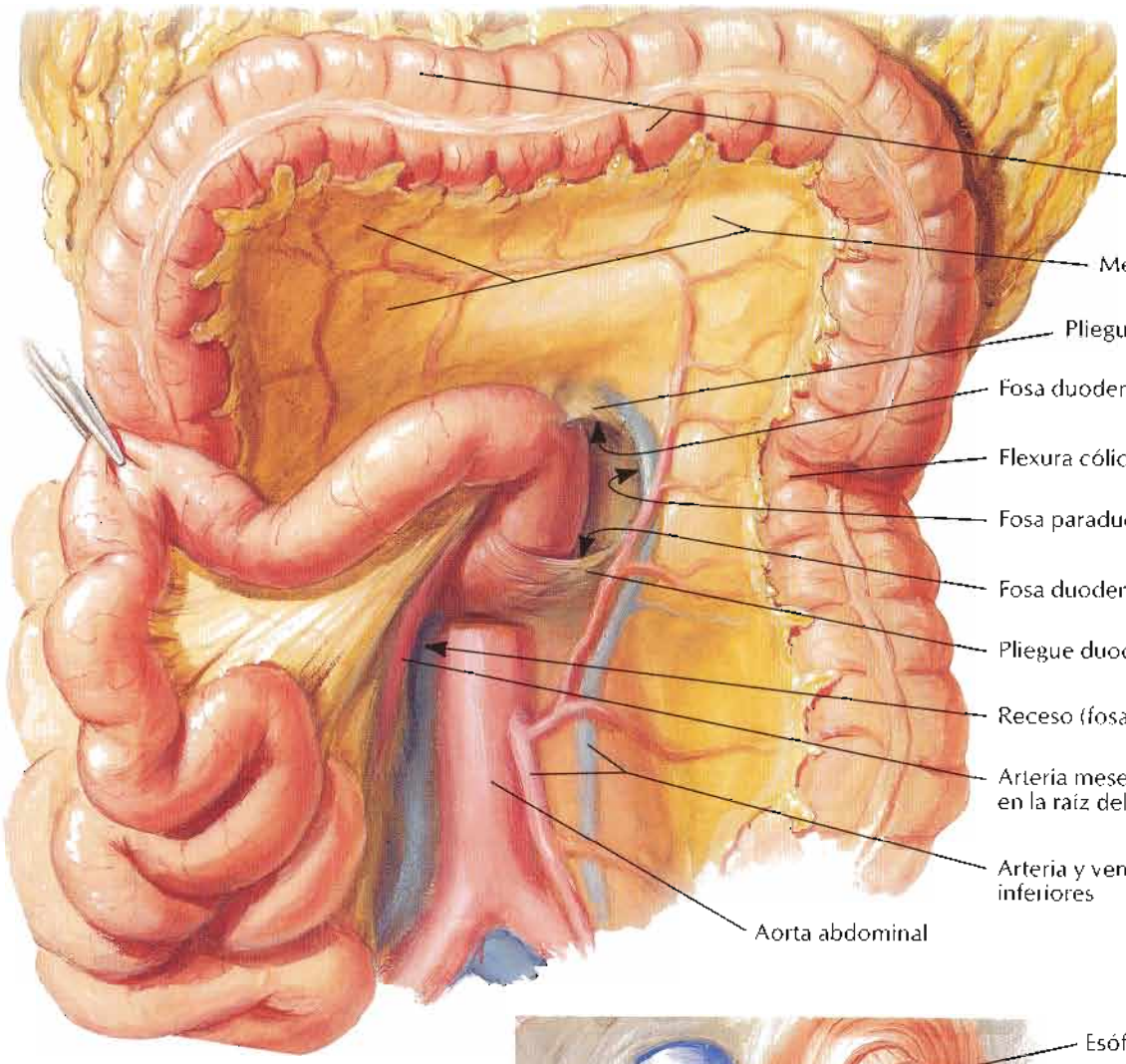
Omento (epiplón) mayor y vísceras abdominales

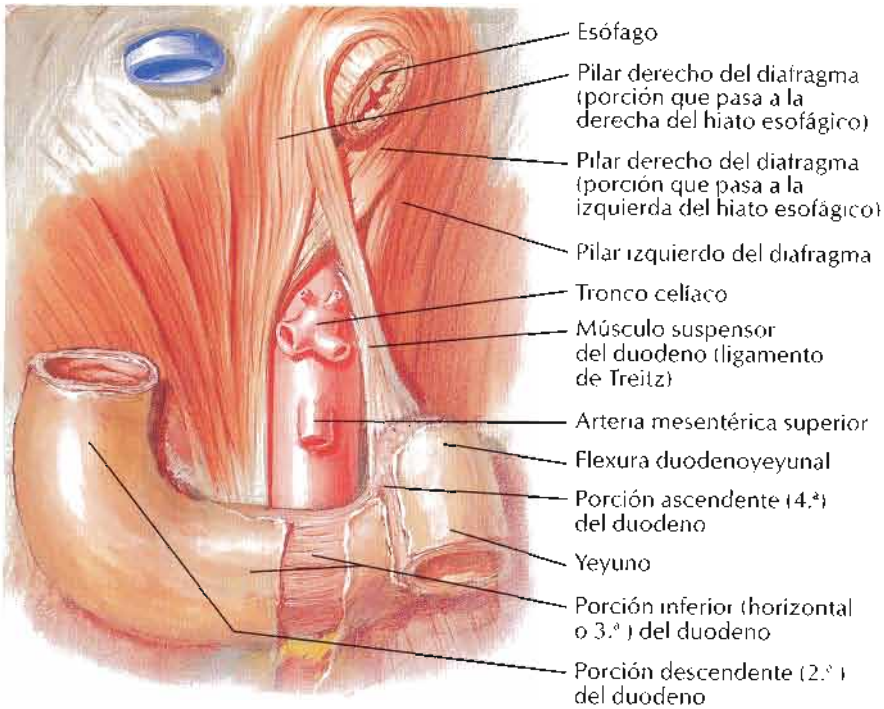
Véanse también **láminas 275, 348, 349**





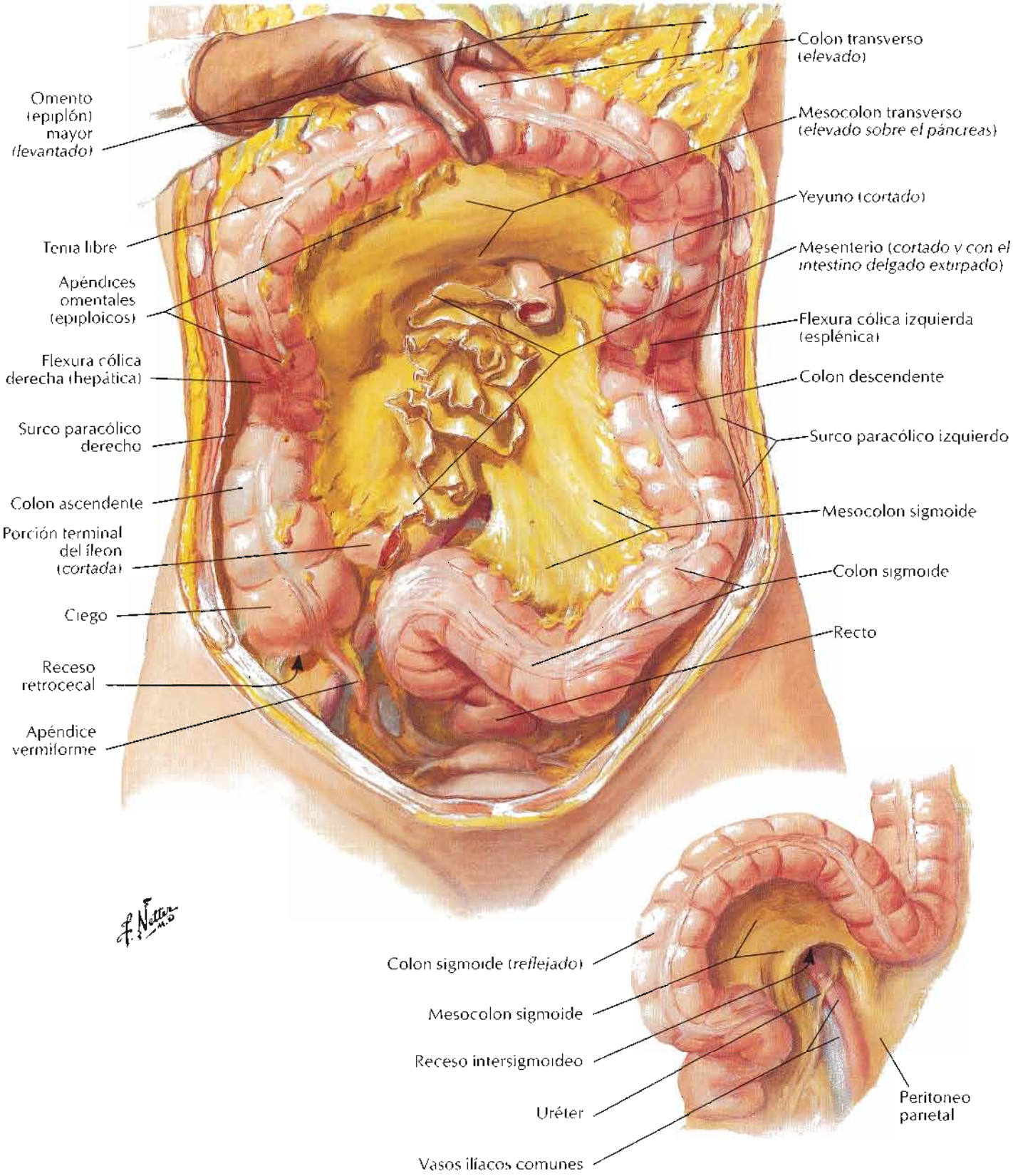
Relaciones mesentéricas de los intestinos



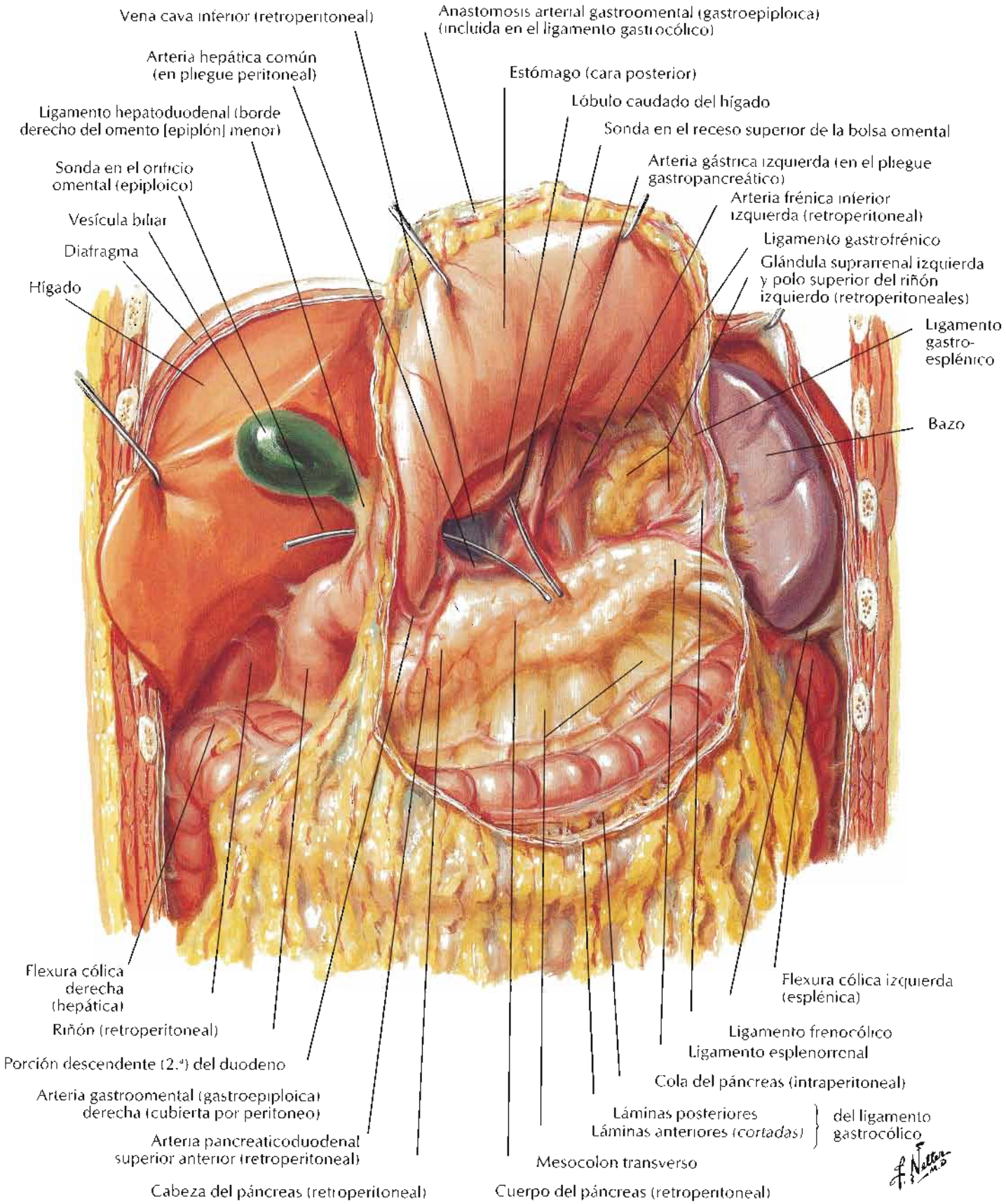


Exposición del músculo suspensor del duodeno (ligamento de Treitz)

Relaciones mesentéricas de los intestinos *(continuación)*

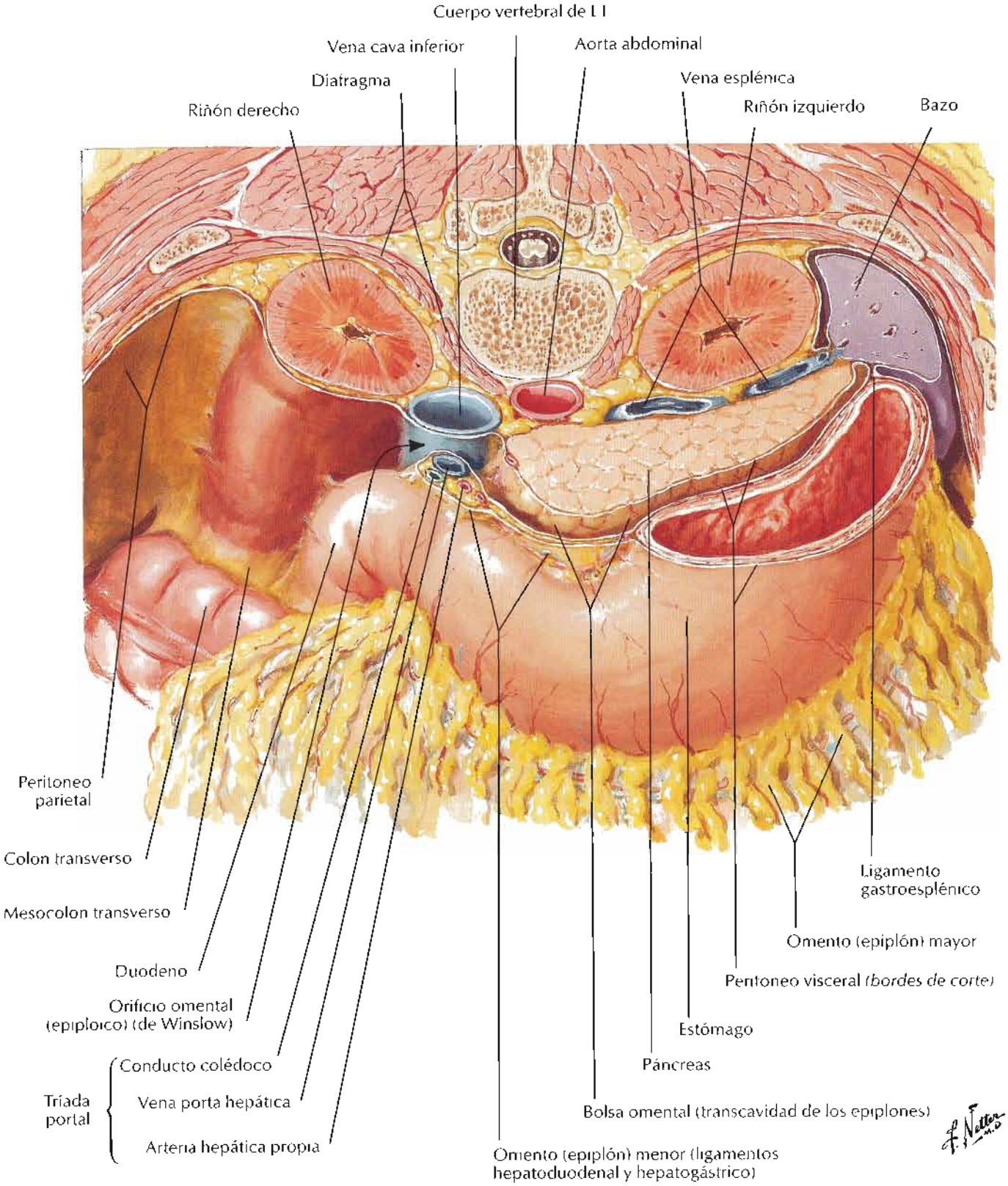


4 Bolsa omental: estómago reflejado

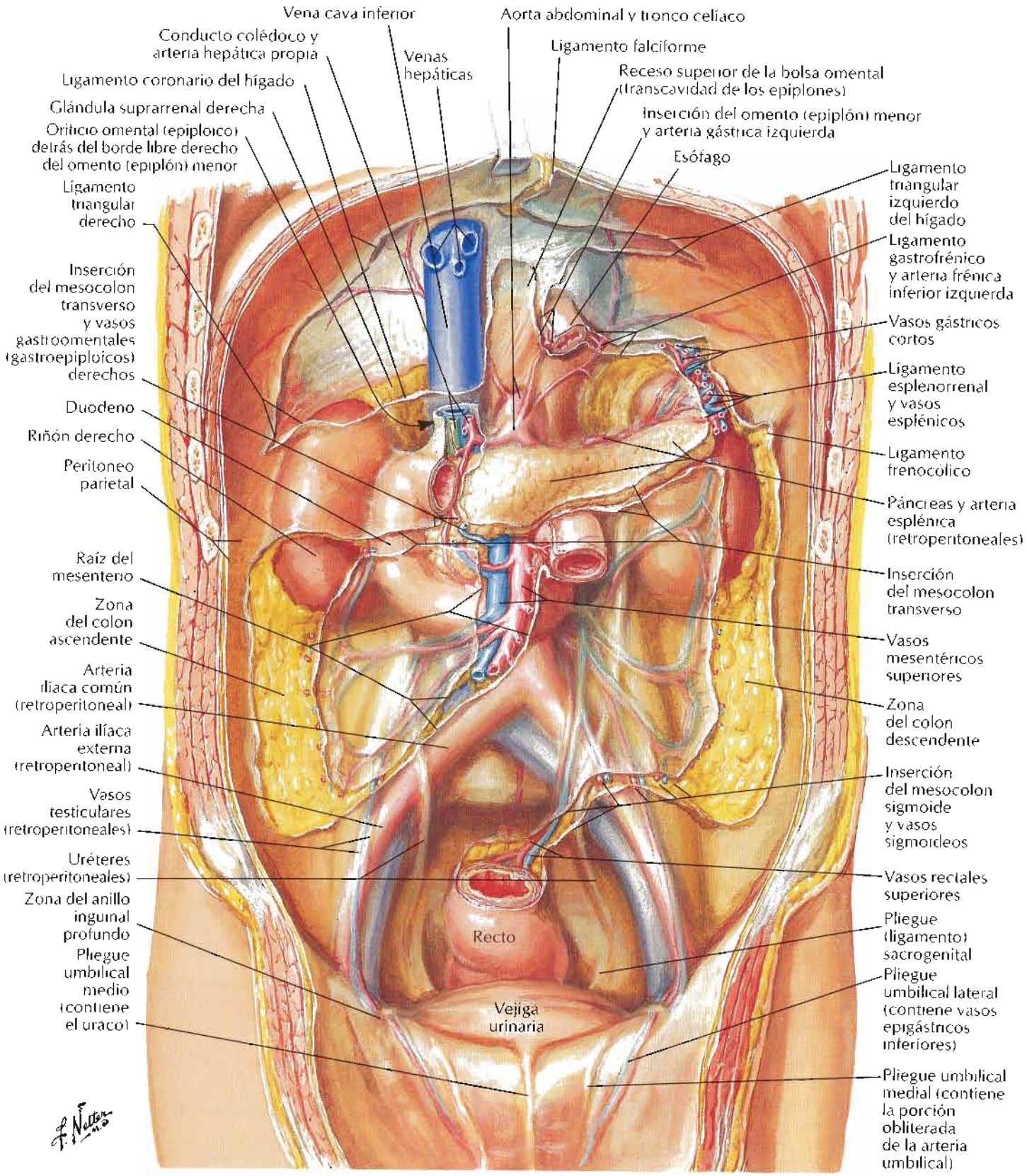


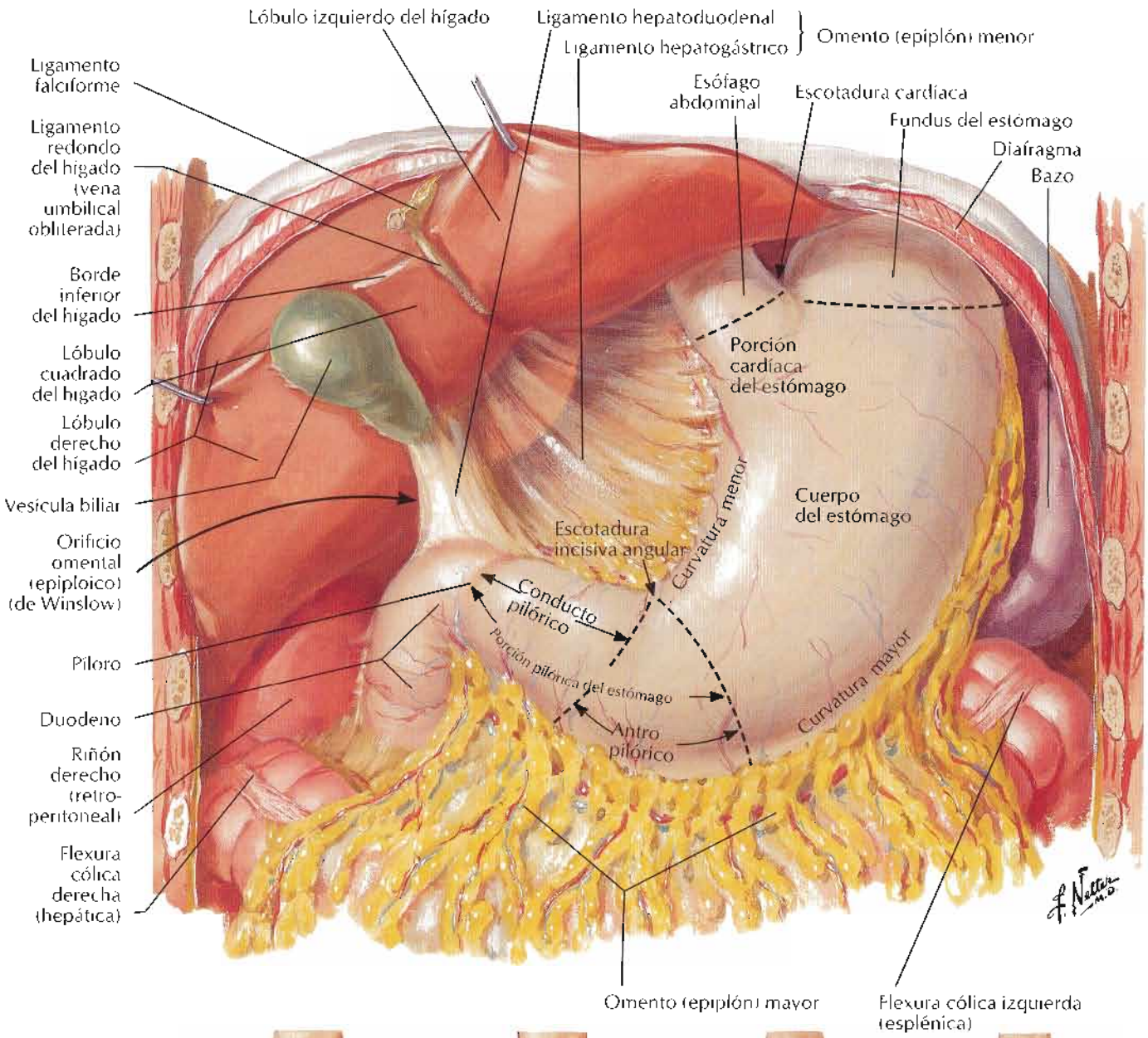
Bolsa omental: sección transversal

Véase también **lámina 331**

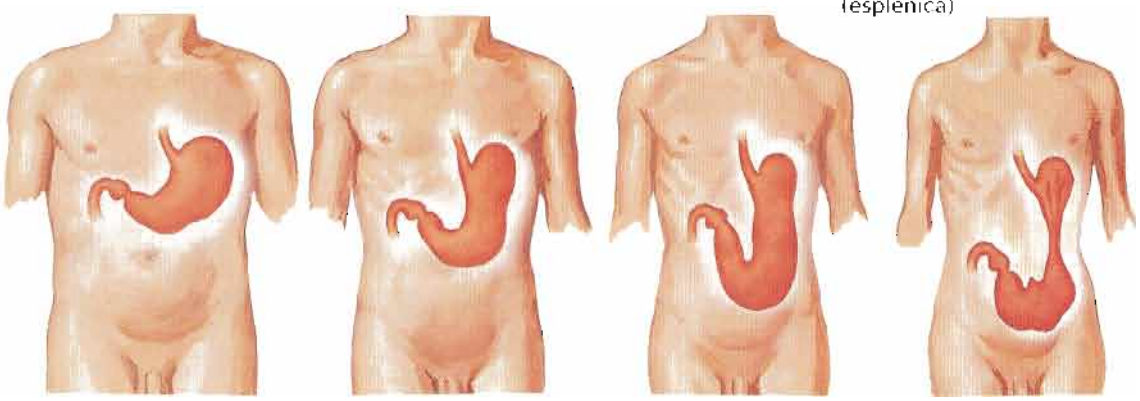


Peritoneo de la pared abdominal posterior





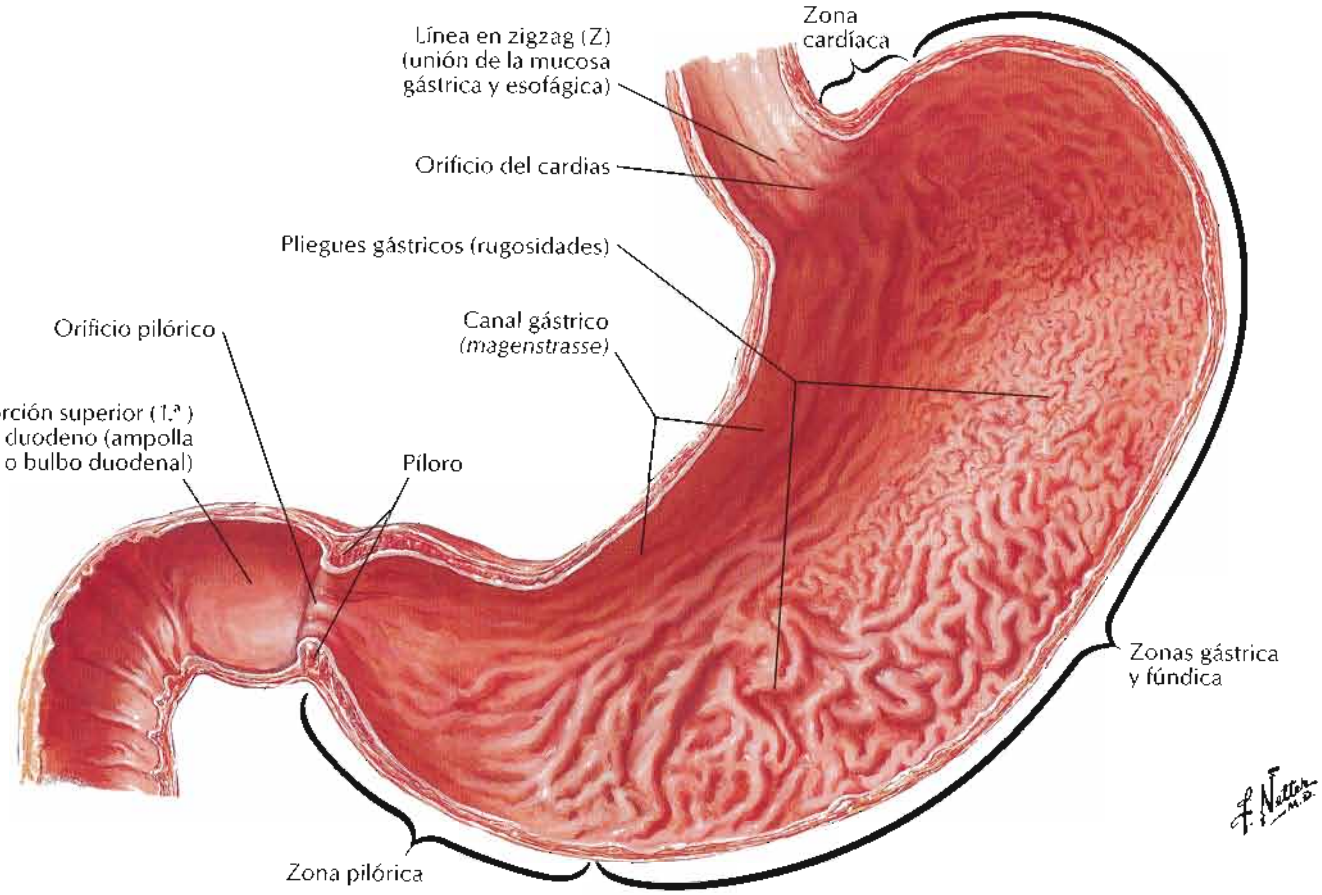
Variaciones en la posición y contorno del estómago en relación con el hábito corporal

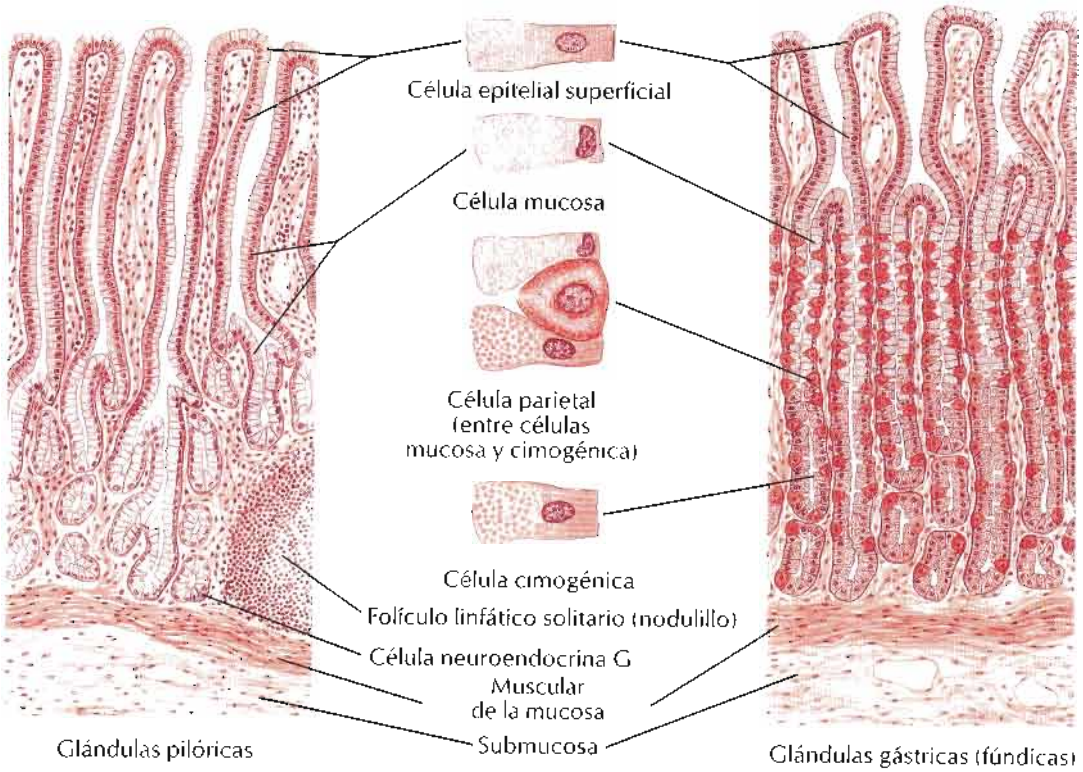


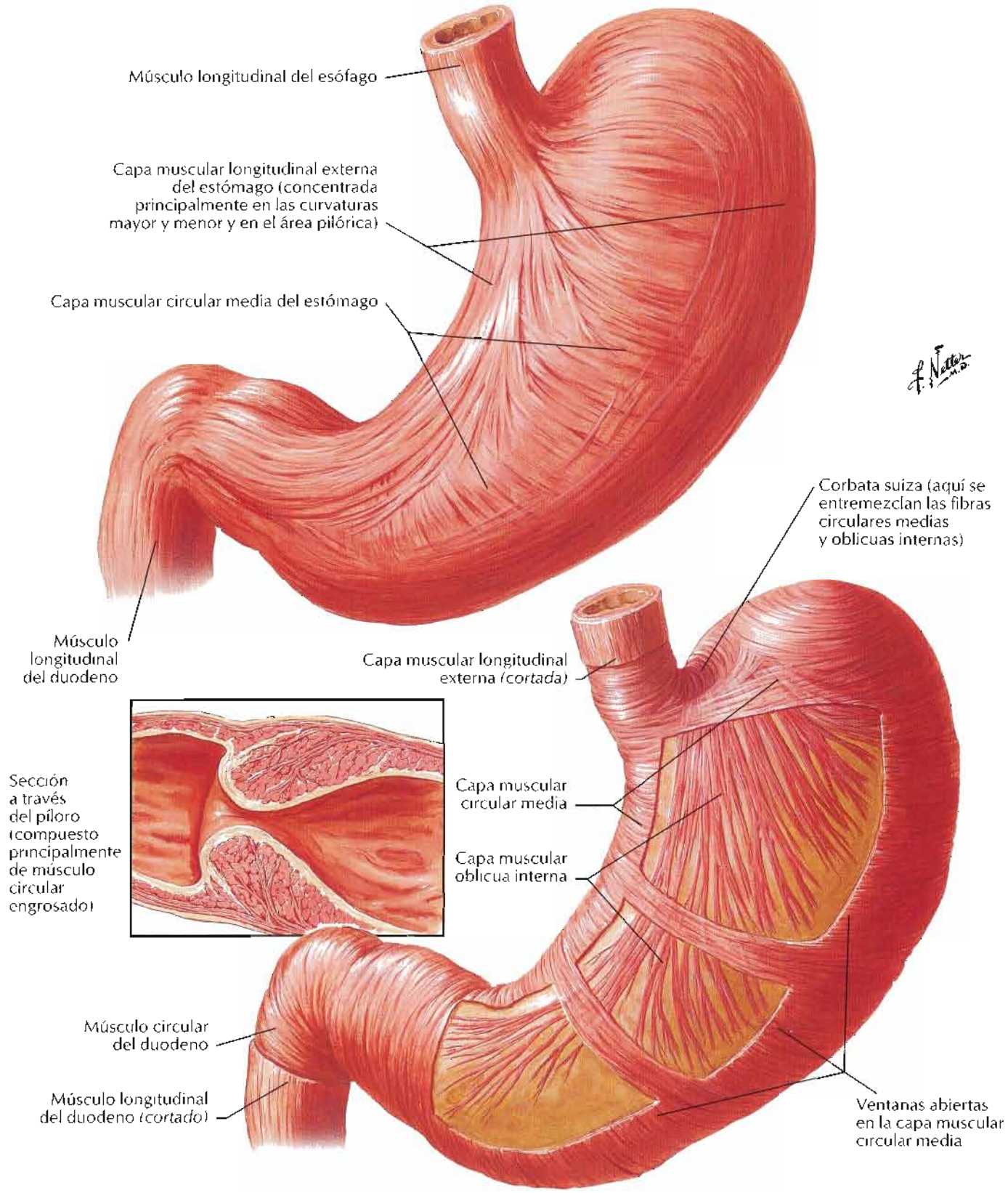
Estómago hipertónico | Estómago ortotónico | Estómago hipotónico | Estómago atónico

4 Mucosa del estómago

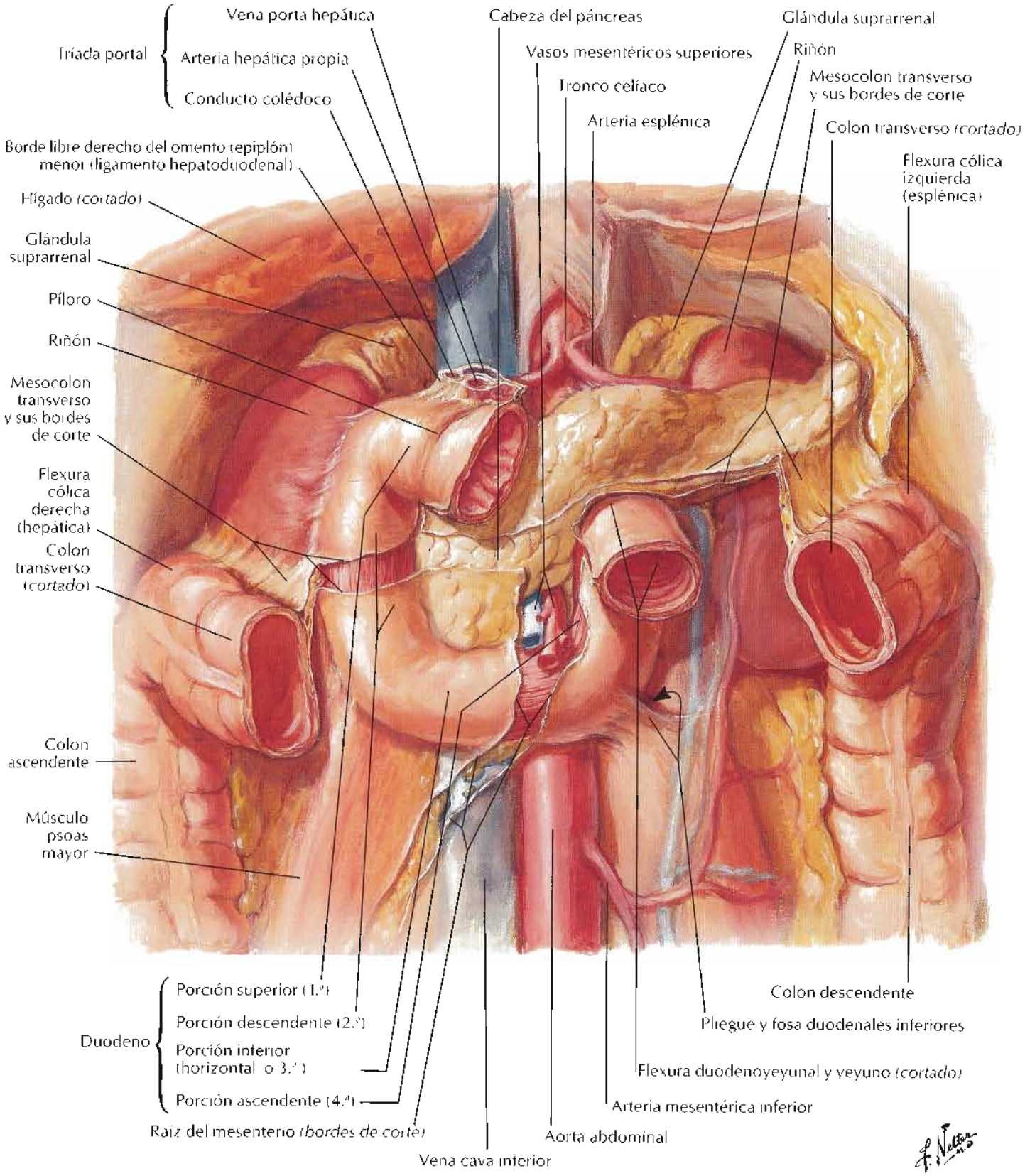
Véase también **lámina 236**

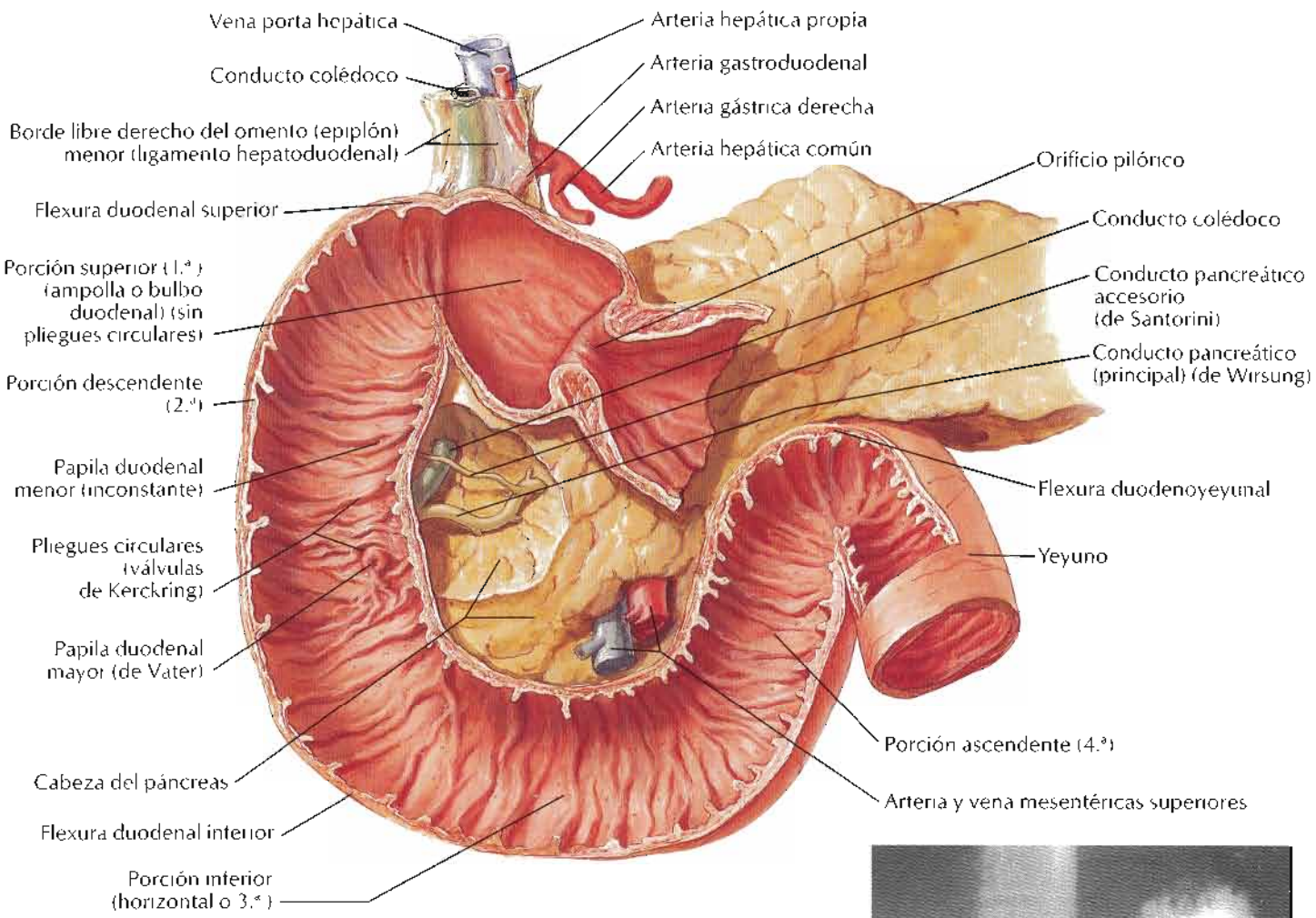


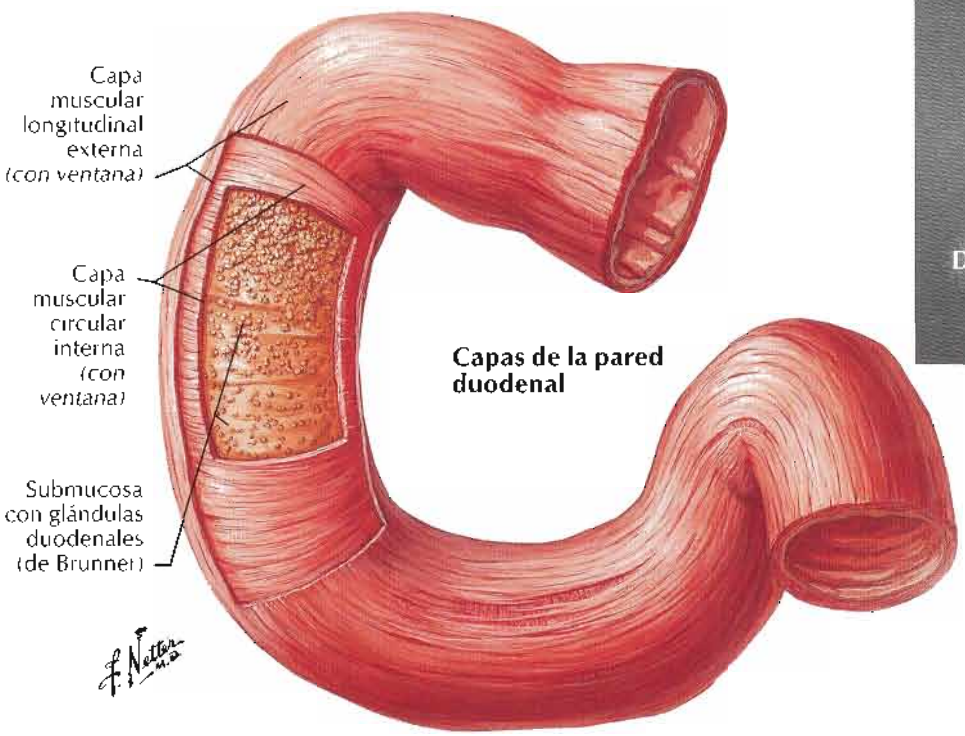



Músculo longitudinal del esófago
Capa muscular longitudinal externa del estómago (concentrada principalmente en las curvaturas mayor y menor y en el área pilórica)
Capa muscular circular media del estómago
Corbata suiza (aquí se entremezclan las fibras circulares medias y oblicuas internas)
Músculo longitudinal del duodeno
Capa muscular longitudinal externa (cortada)
Sección a través del píloro (compuesto principalmente de músculo circular engrosado)
Capa muscular circular media
Capa muscular oblicua interna
Músculo circular del duodeno
Músculo longitudinal del duodeno (cortado)
Ventanas abiertas en la capa muscular circular media

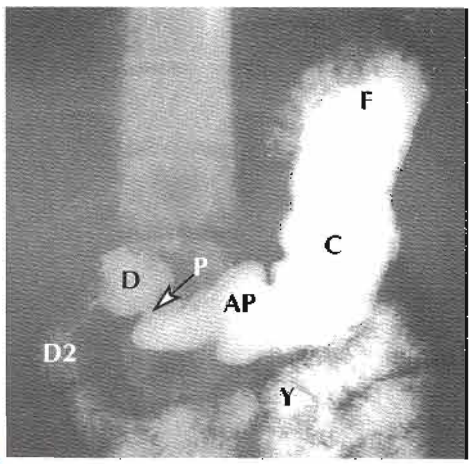
Duodeno in situ







Capas de la pared duodenal

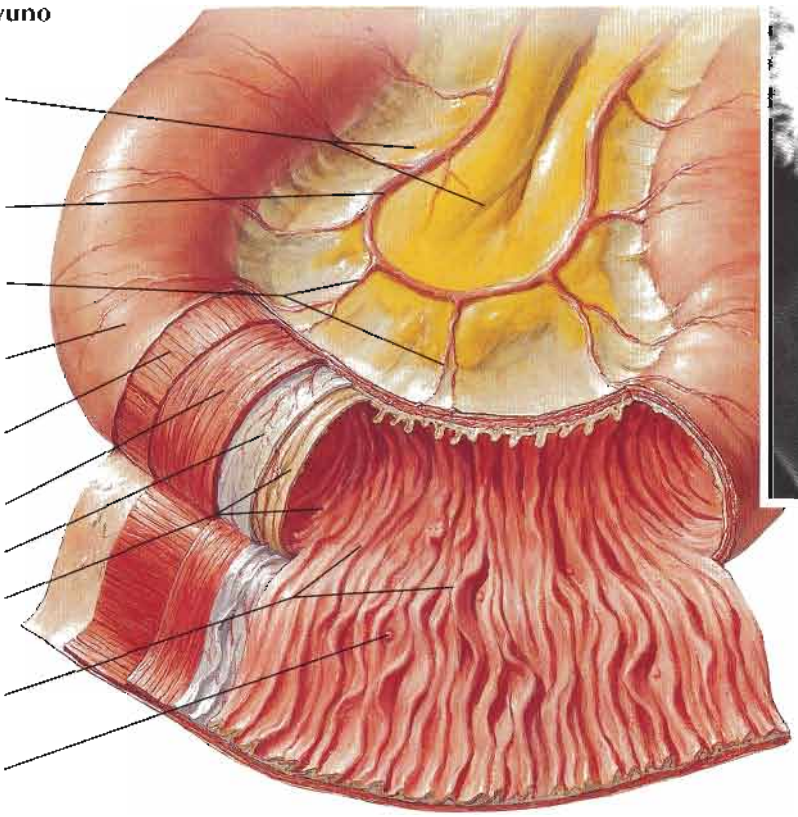


Radiografía con contraste baritado del estómago, duodeno y yeyuno proximal

- **AP** Antro pilórico
- **C** Cuerpo del estómago
- **D** Ampolla duodenal (1.ª porción)
- **D2** Porción descendente (2.ª) del duodeno
- **F** Fundus del estómago
- **P** Píloro
- **Y** Yeyuno proximal

Mucosa y musculatura del intestino delgado

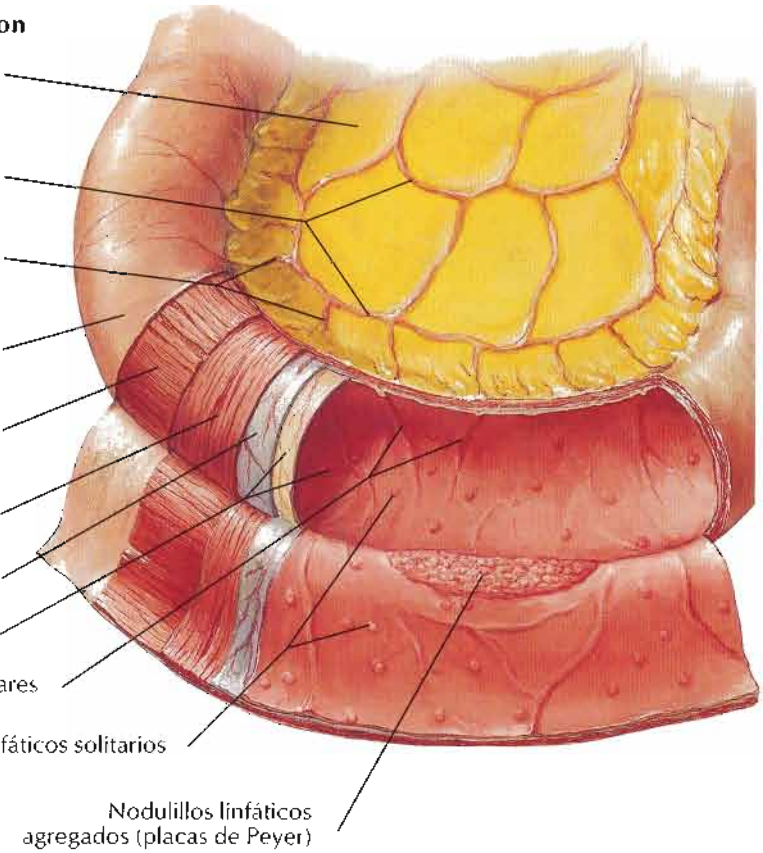
Yeyuno





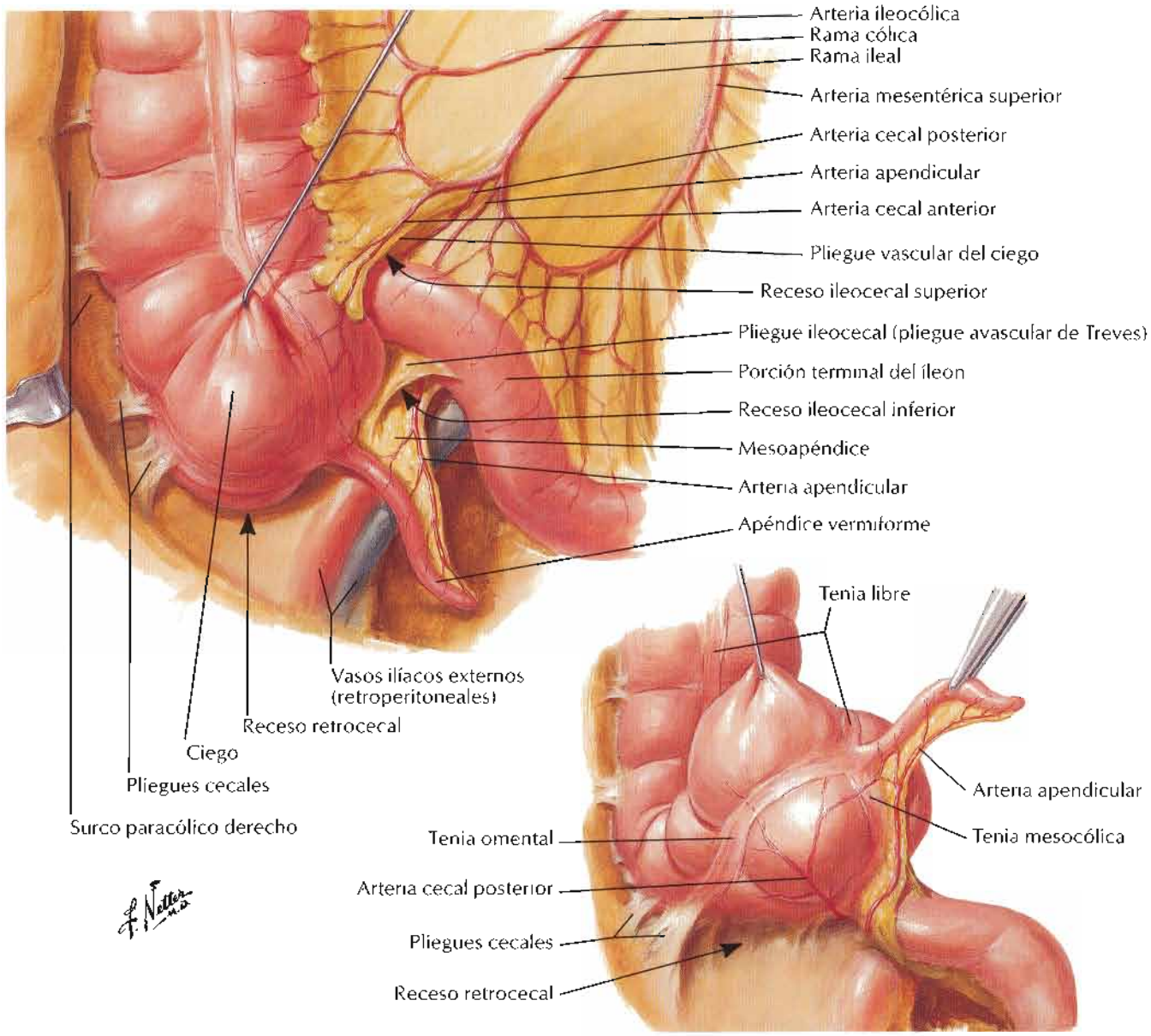
Radiografía con contraste de bario del yeyuno

Íleon

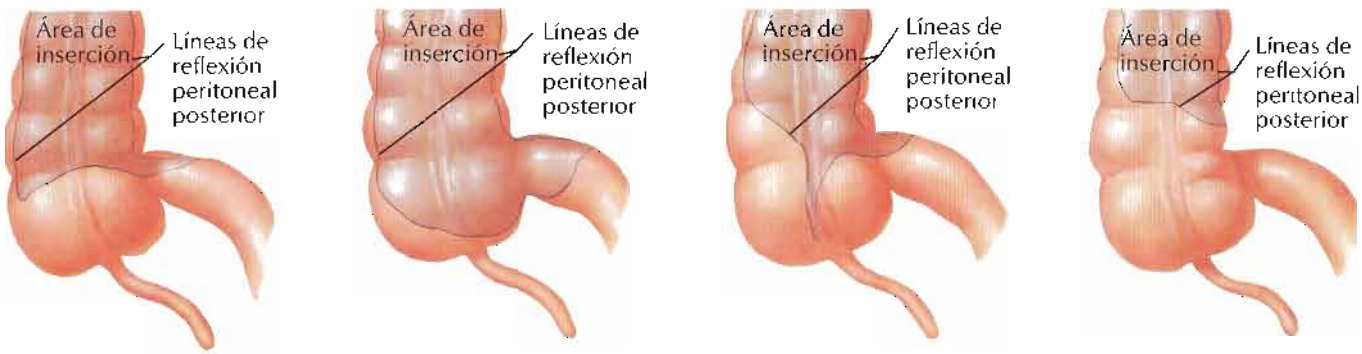


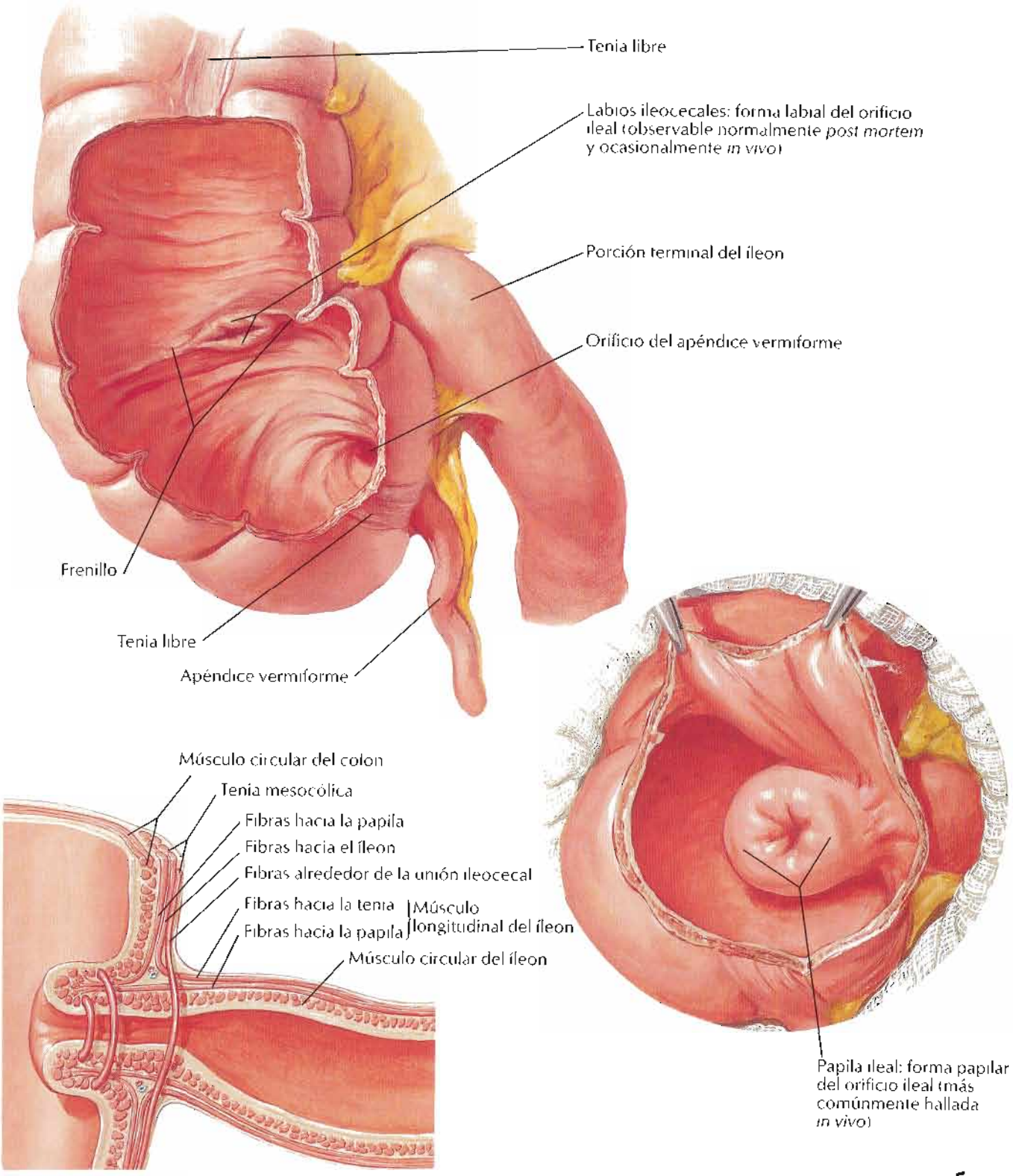


Radiografía con contraste de bario del íleon

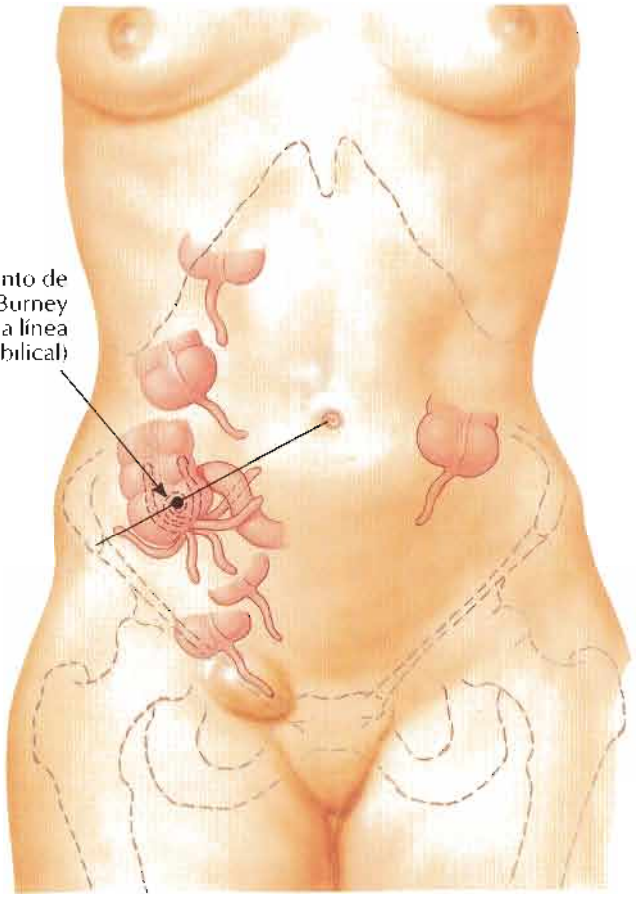


Algunas variaciones en la inserción peritoneal posterior al ciego

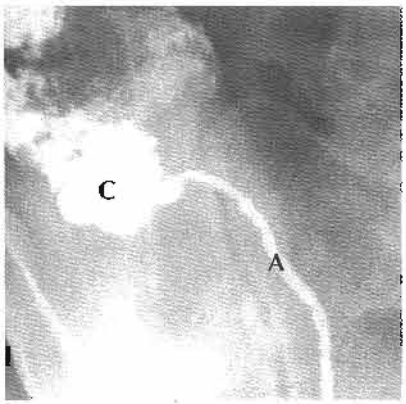




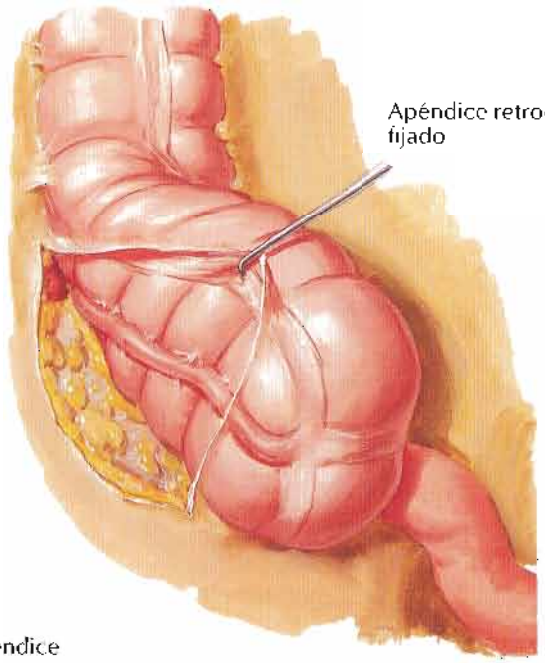
Esquema de las fibras musculares en el orificio ileal

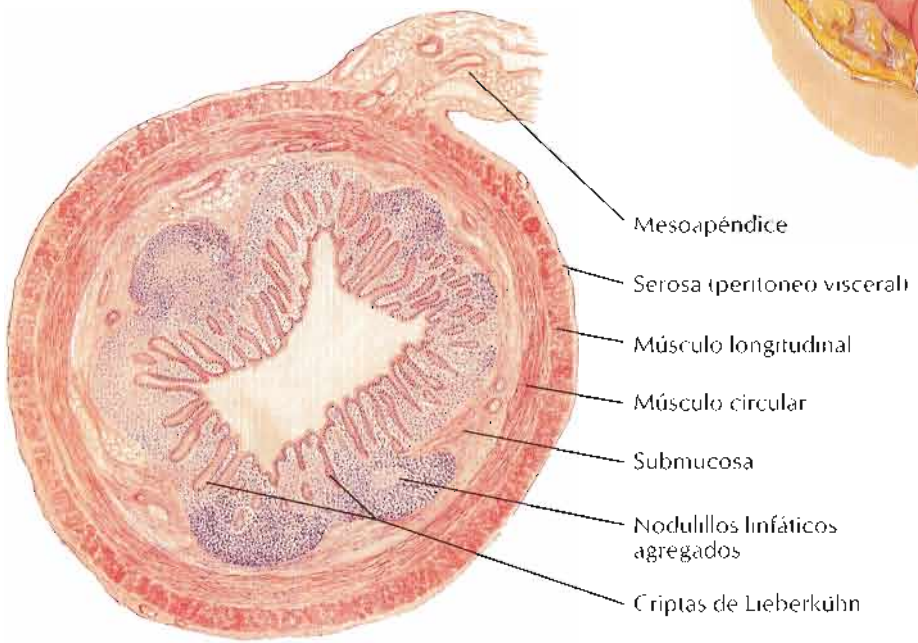


Variaciones en la posición del apéndice vermiforme



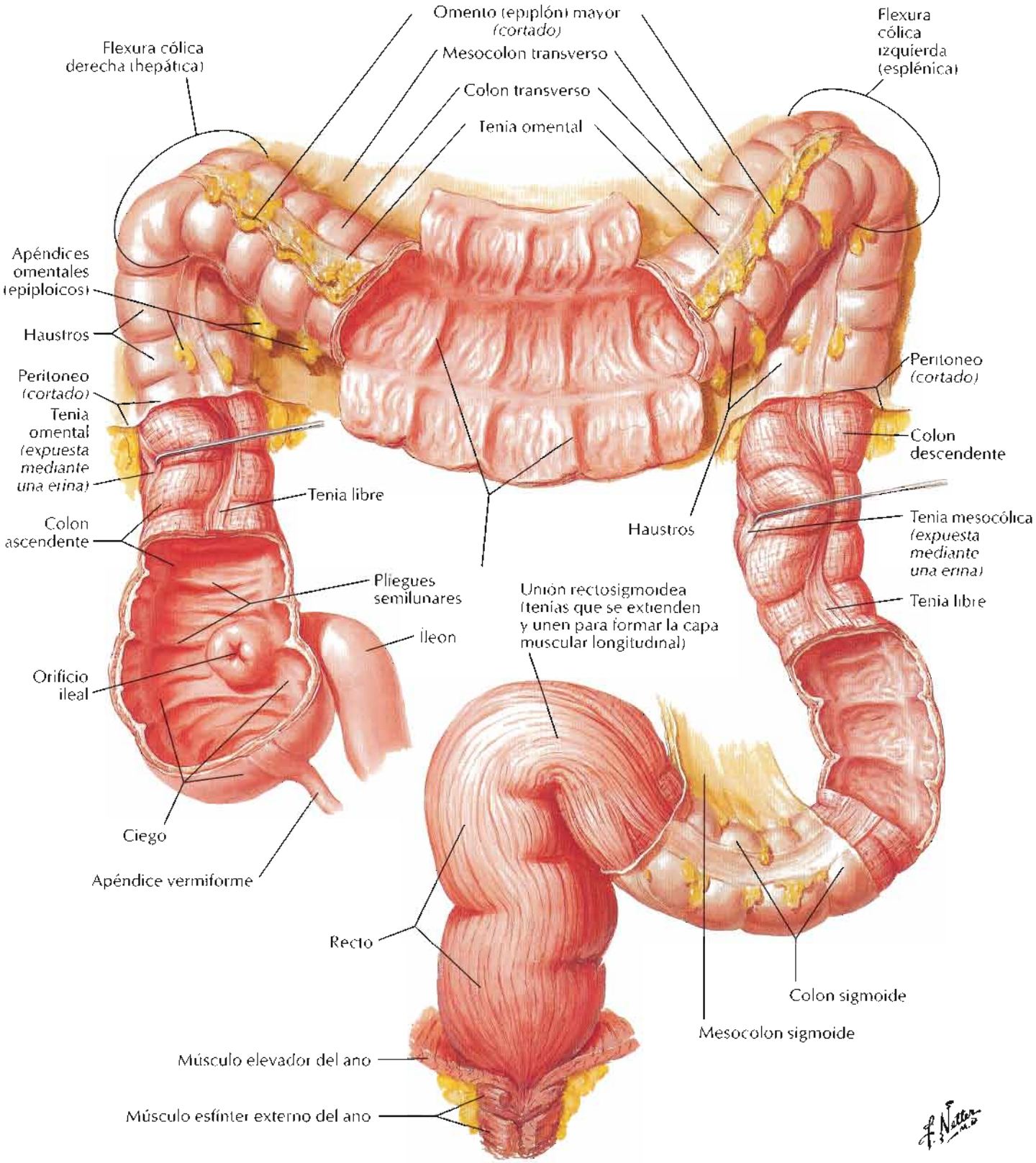
Apéndice anormalmente largo que se extiende por el interior de la pelvis (radiografía con contraste de bario) (**A**, apéndice; **C**, ciego)





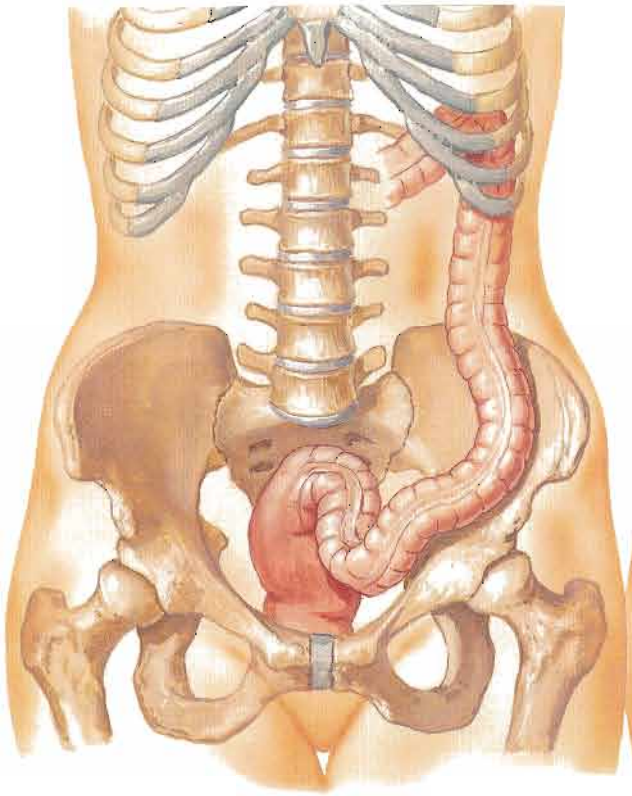
4 Mucosa y musculatura del intestino grueso

Para el recto y el conducto anal véanse **láminas 391-396**

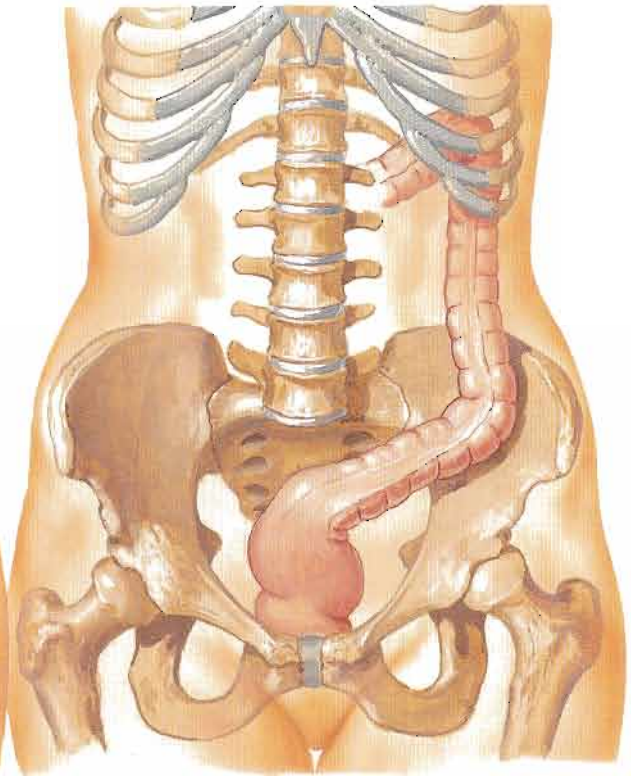


Colon sigmoide: variaciones en su posición

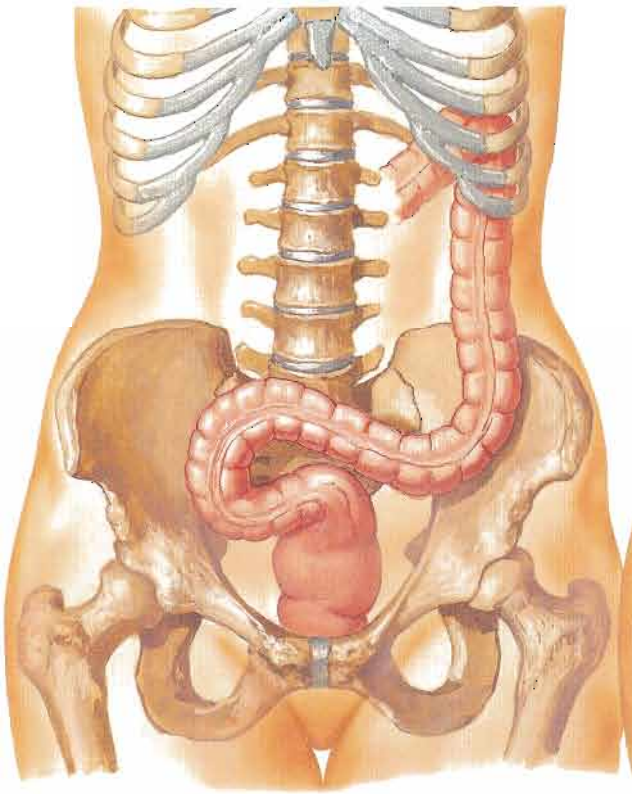
Para el recto véanse **láminas 360, 361, 391-394**



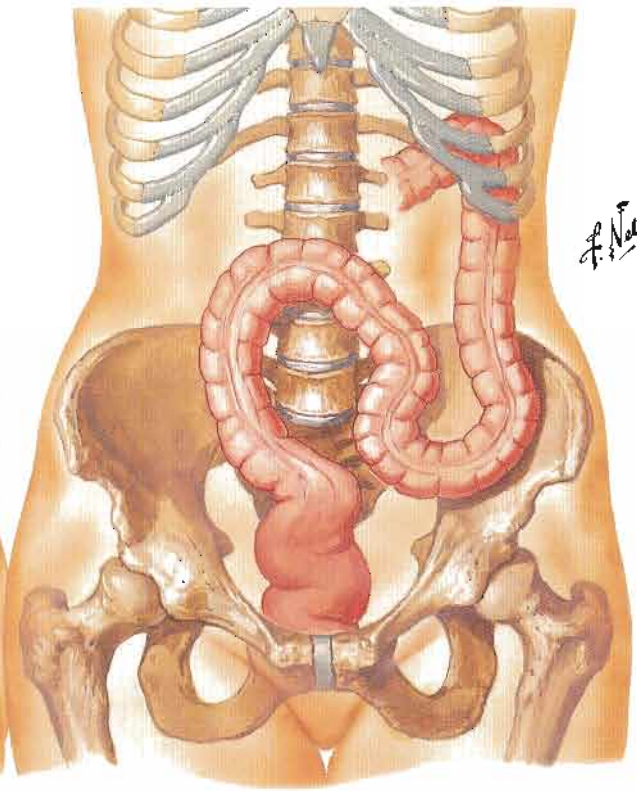
Típico



Corto, recto, oblicuo en el interior de la pelvis

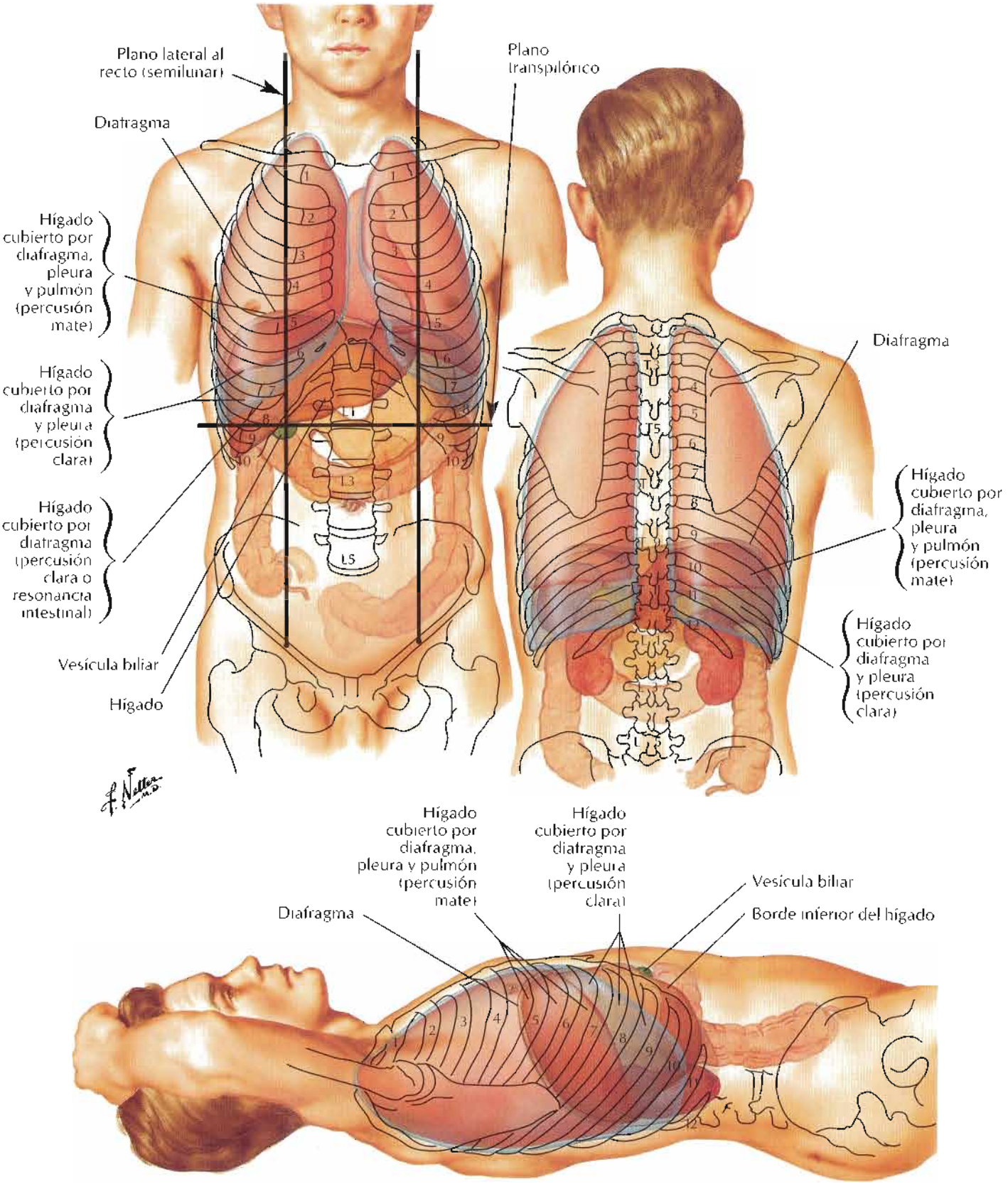


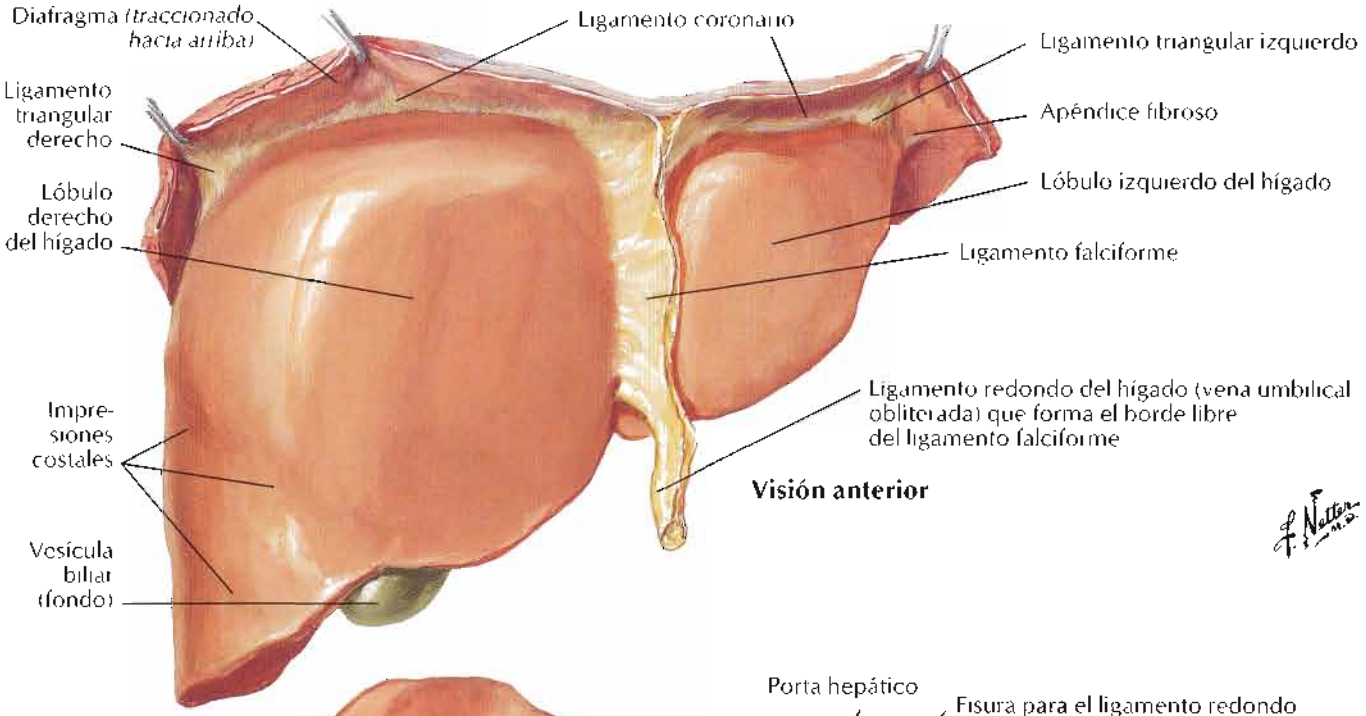
Incurvado hacia el lado derecho



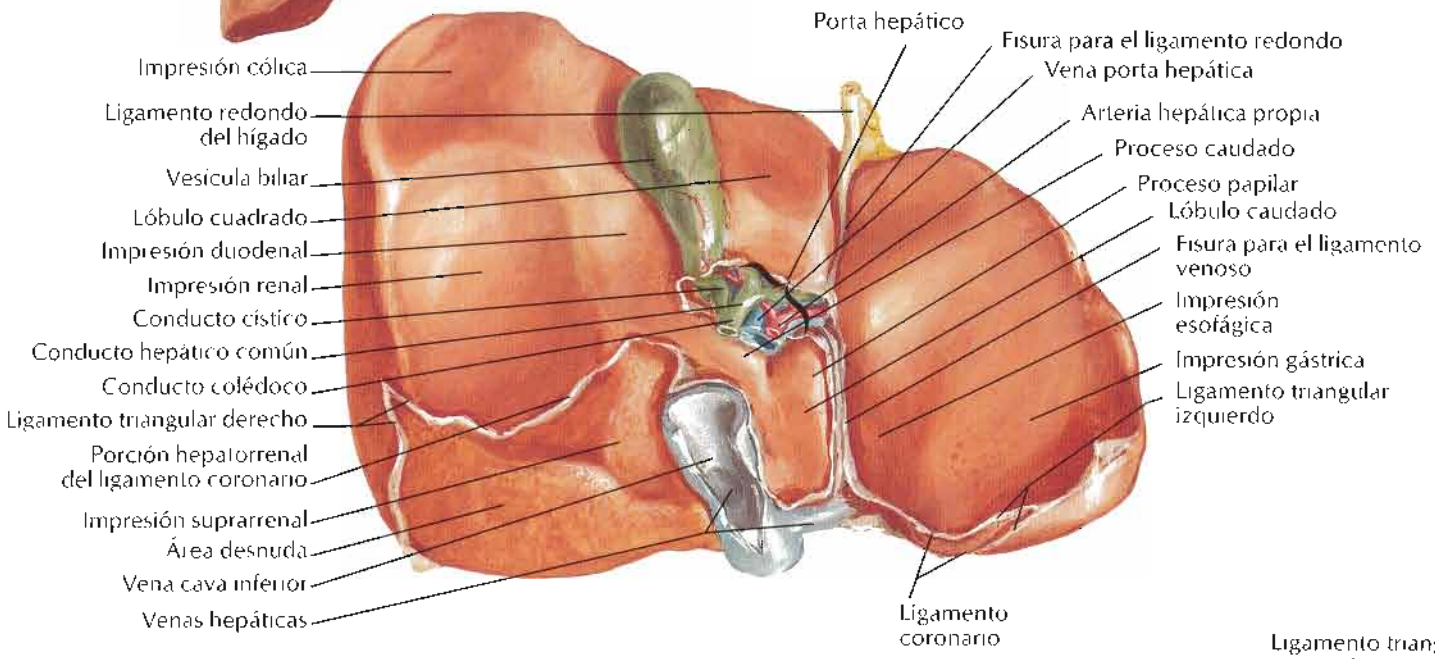
Ascendente hacia el interior del abdomen

Topografía del hígado

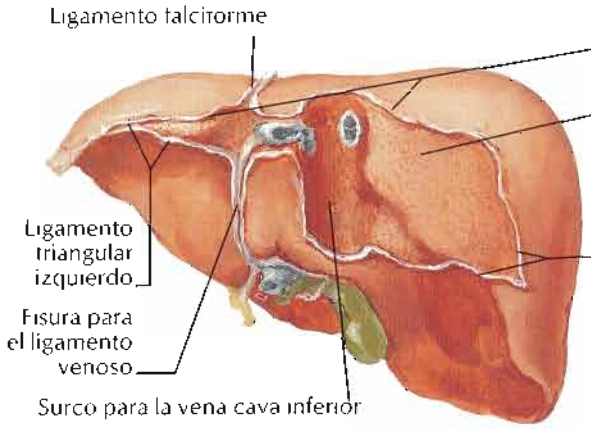




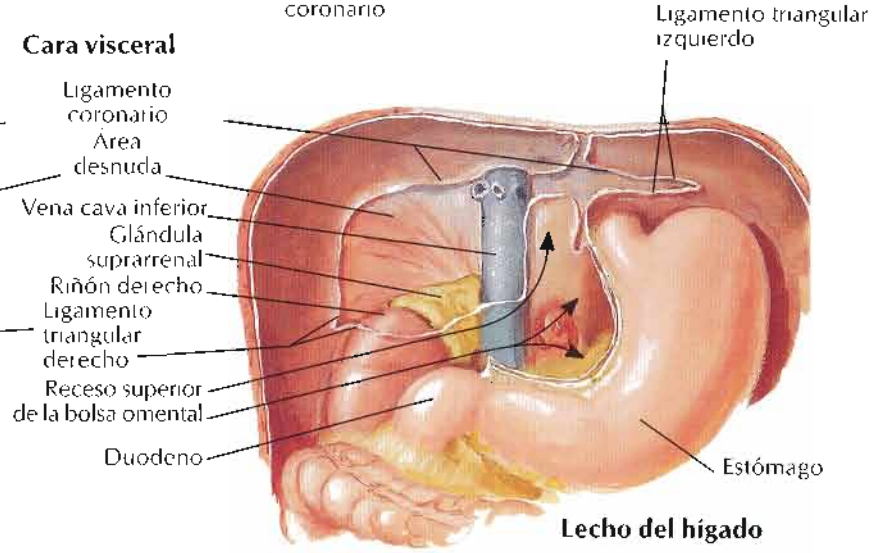
Visión anterior



Cara visceral

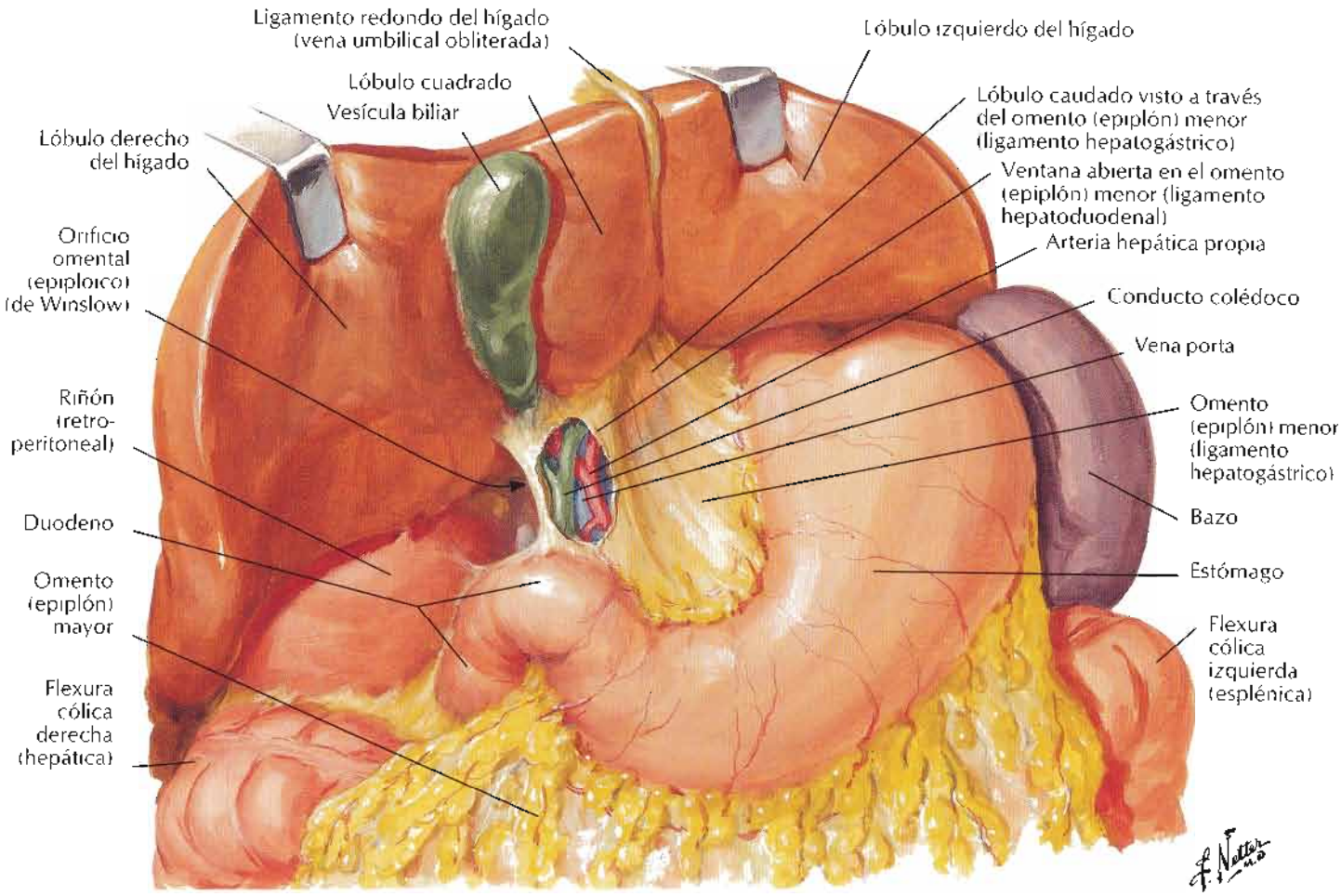


Visión posterior

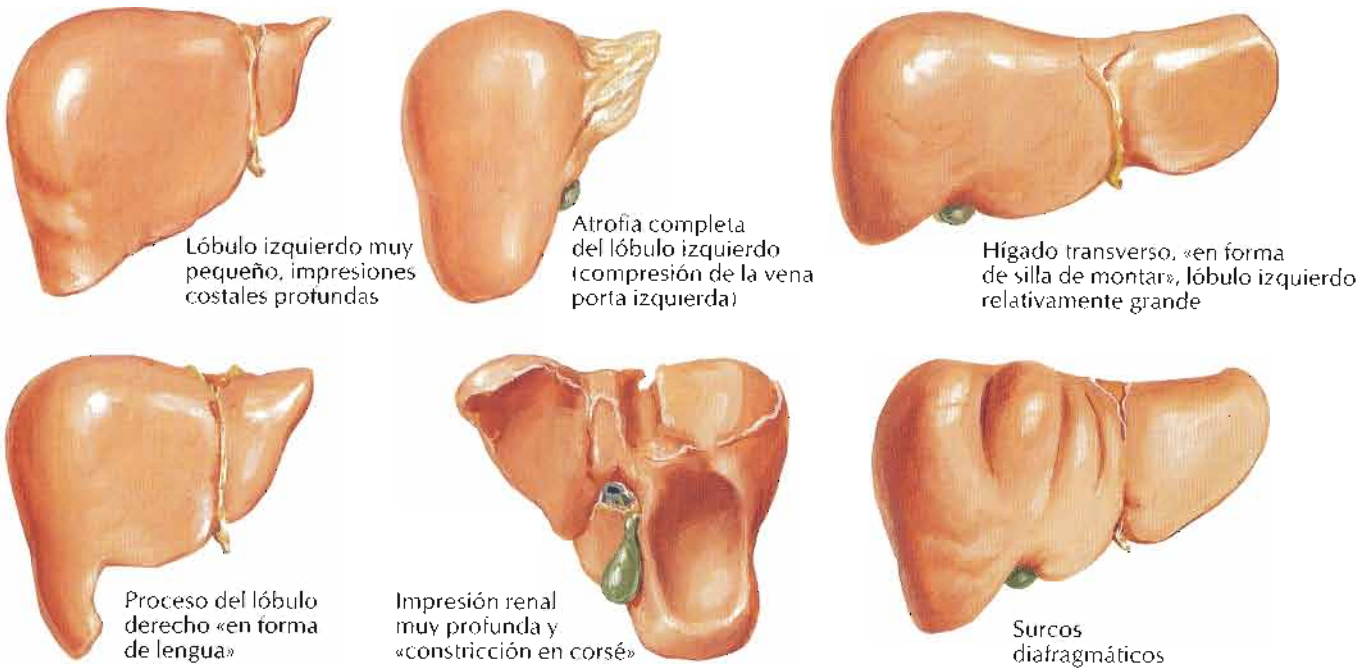


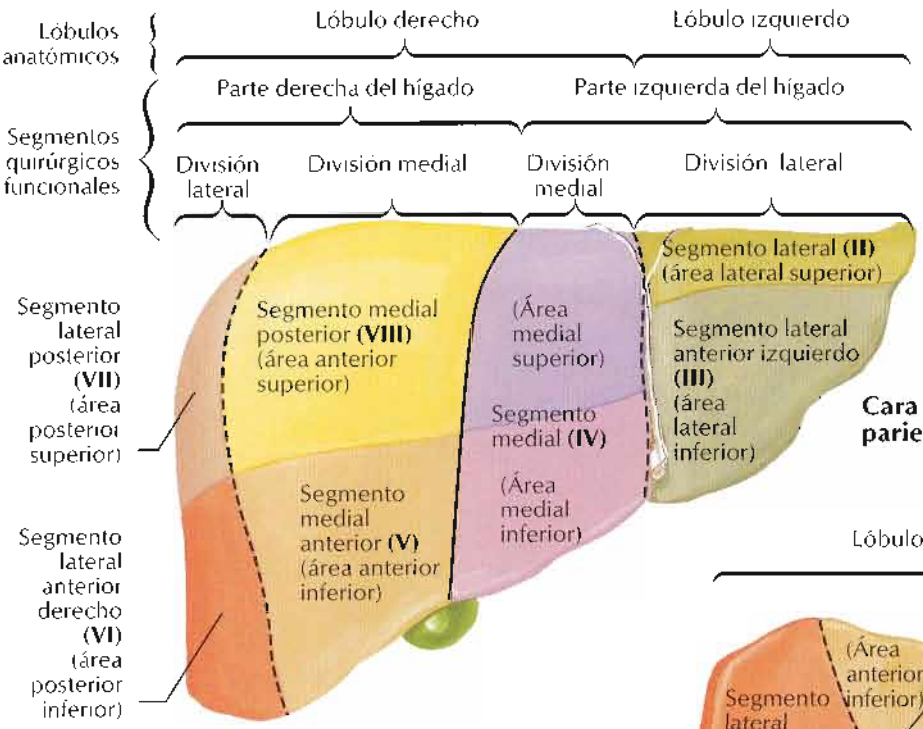
Lecho del hígado

4 Hígado in situ y variaciones en su forma



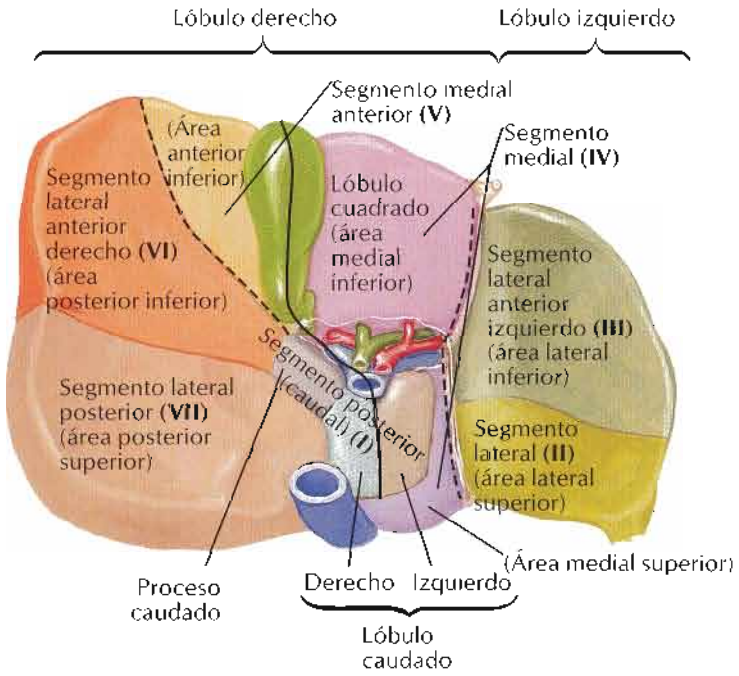
Variaciones en la forma del hígado



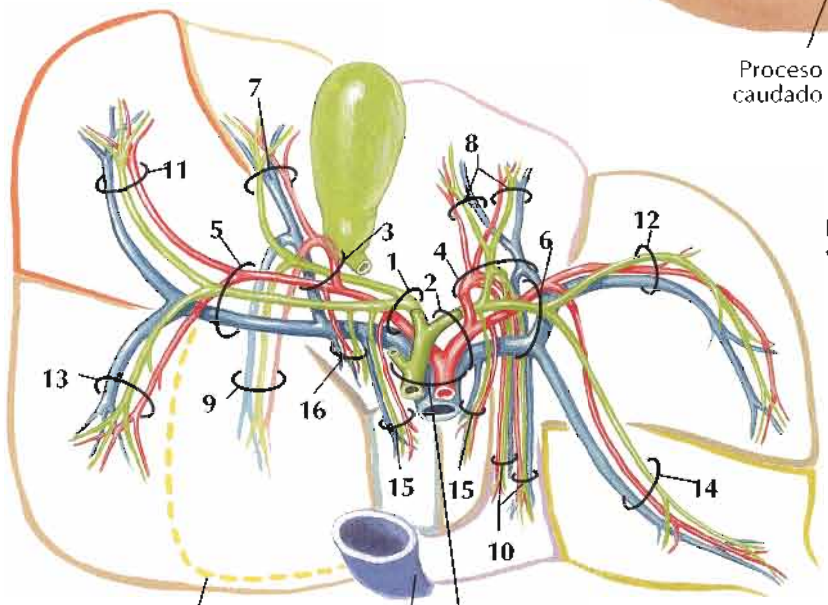


La división en segmentos se basa en las ramificaciones de los conductos biliares y vasos hepáticos. No se corresponde en su totalidad con la división en lóbulos anatómicos

Cara parietal

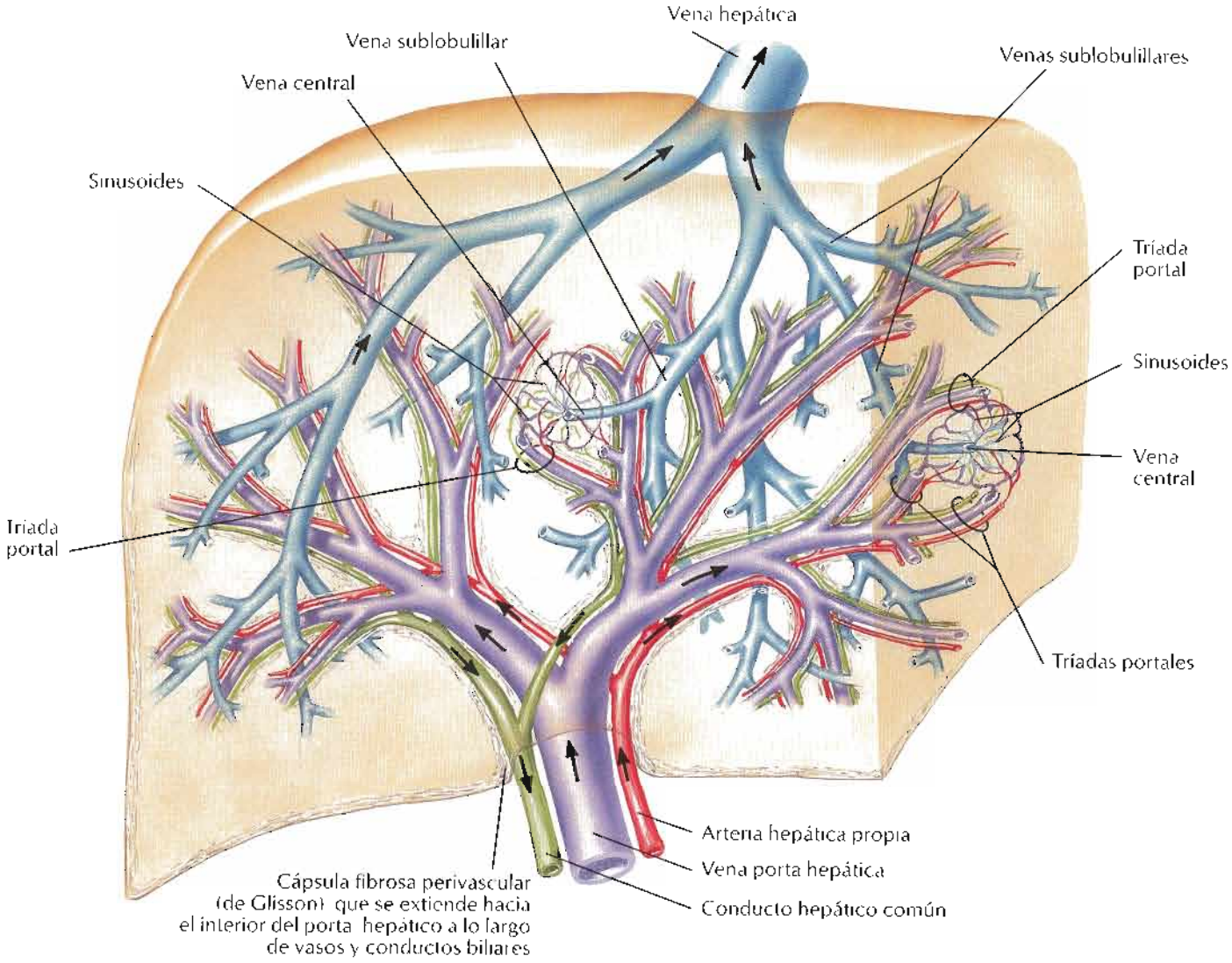


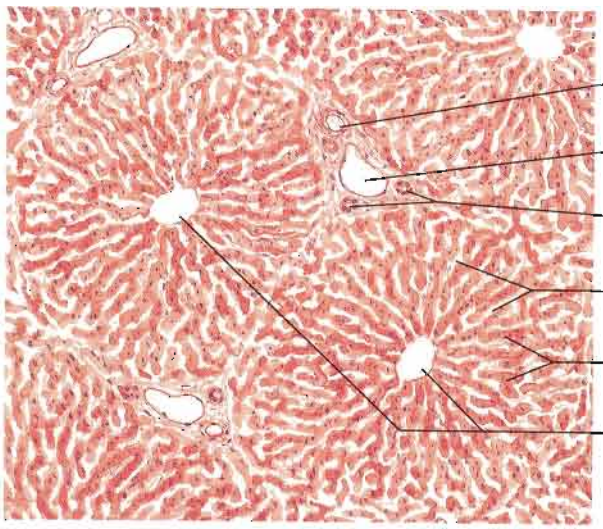
Cara visceral



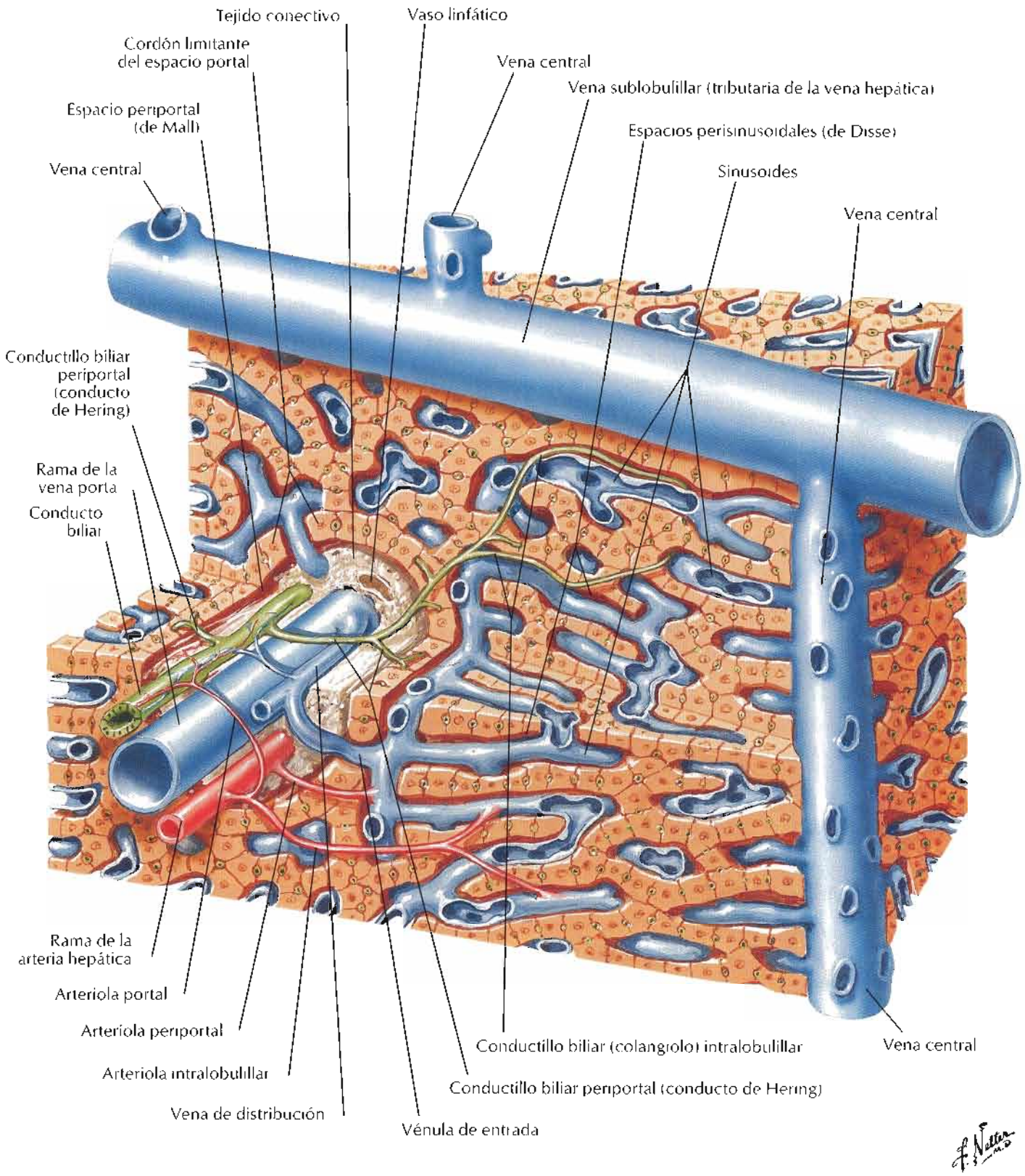
Distribución de vasos y conductos

1 Rama derecha
2 Rama izquierda
3 Del segmento anterior
4 Del segmento medial
5 Del segmento posterior
6 Del segmento lateral
7 Del área anterior inferior
8 Del área medial inferior
9 Del área anterior superior
10 Del área medial superior
11 Del área posterior inferior
12 Del área lateral inferior
13 Del área posterior superior
14 Del área lateral superior
15 Del lóbulo caudado (derecho e izquierdo)
16 Del proceso caudado

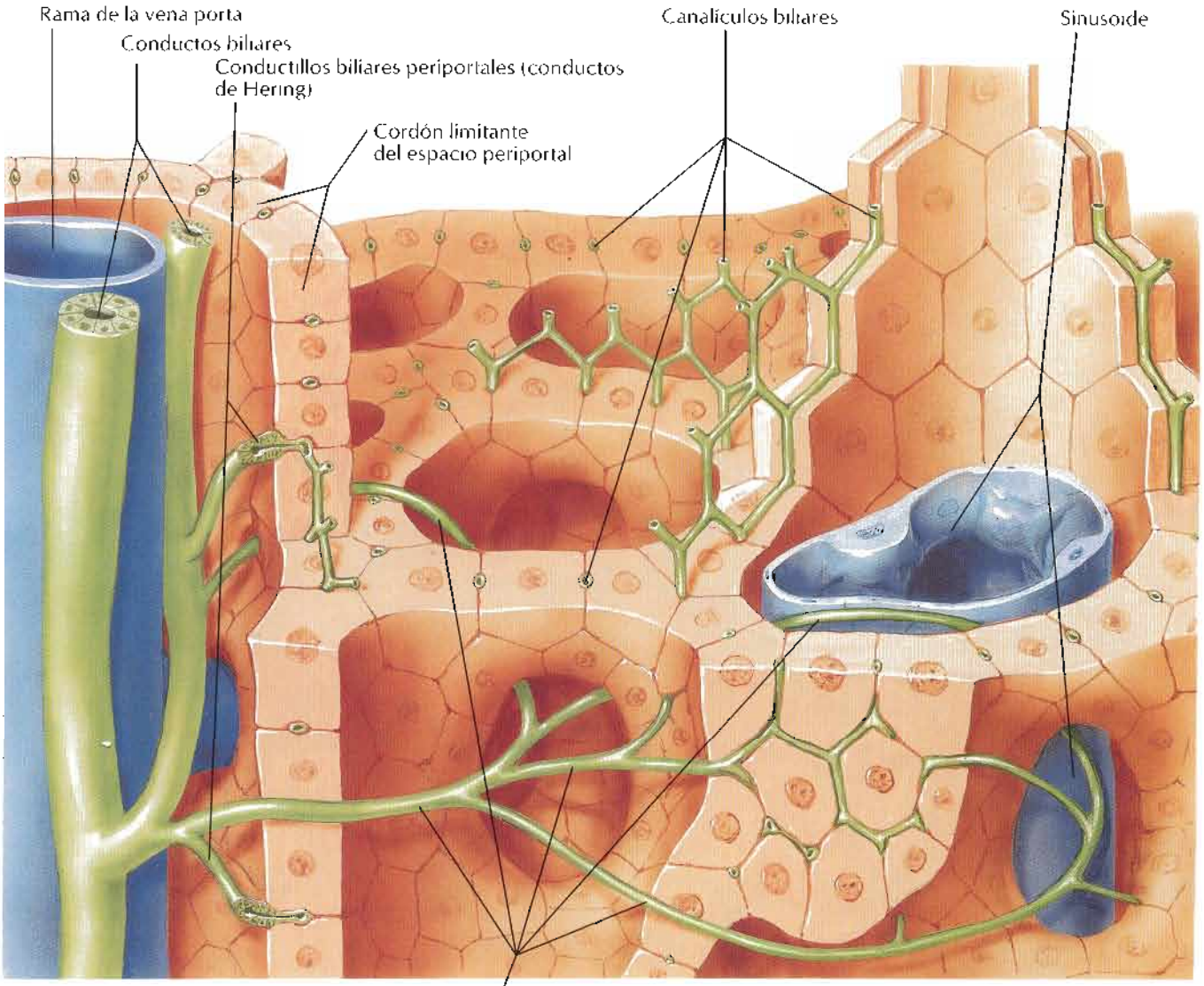




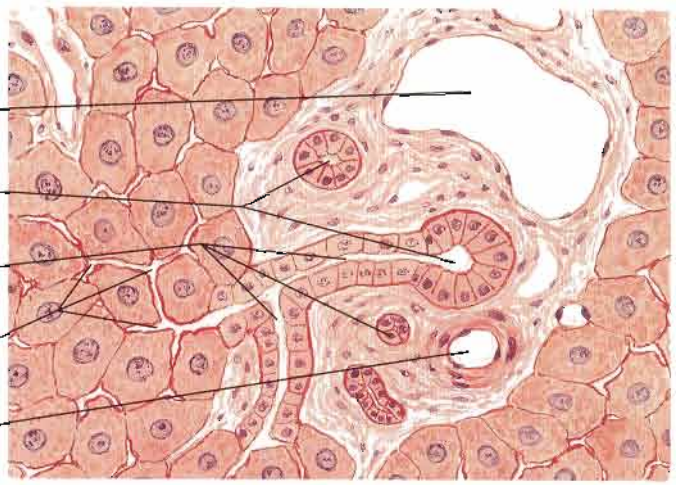
Patrón lobulillar normal del hígado


Tejido conectivo
Vaso linfático
Cordón limitante del espacio portal
Vena central
Vena sublobulillar (tributaria de la vena hepática)
Espacio periportal (de Mall)
Espacios perisinusoidales (de Disse)
Vena central
Sinusoides
Vena central
Conductillo biliar periportal (conducto de Hering)
Rama de la vena porta
Conducto biliar
Rama de la arteria hepática
Arteriola portal
Arteriola periportal
Arteriola intralobulillar
Vena de distribución
Vénula de entrada
Conductillo biliar (colangiolo) intralobulillar
Conductillo biliar periportal (conducto de Hering)
Vena central

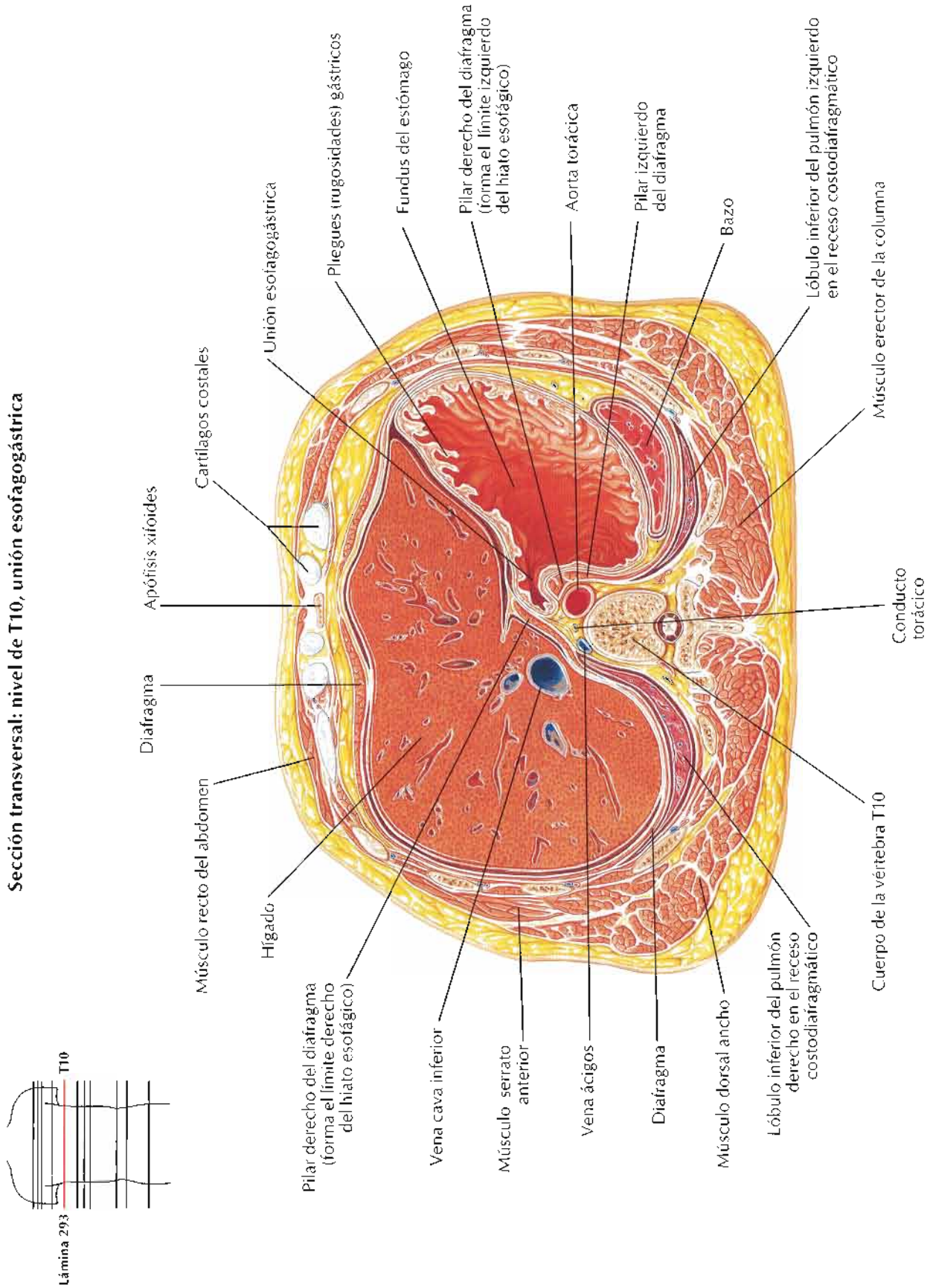
Sistema biliar intrahepático: esquema



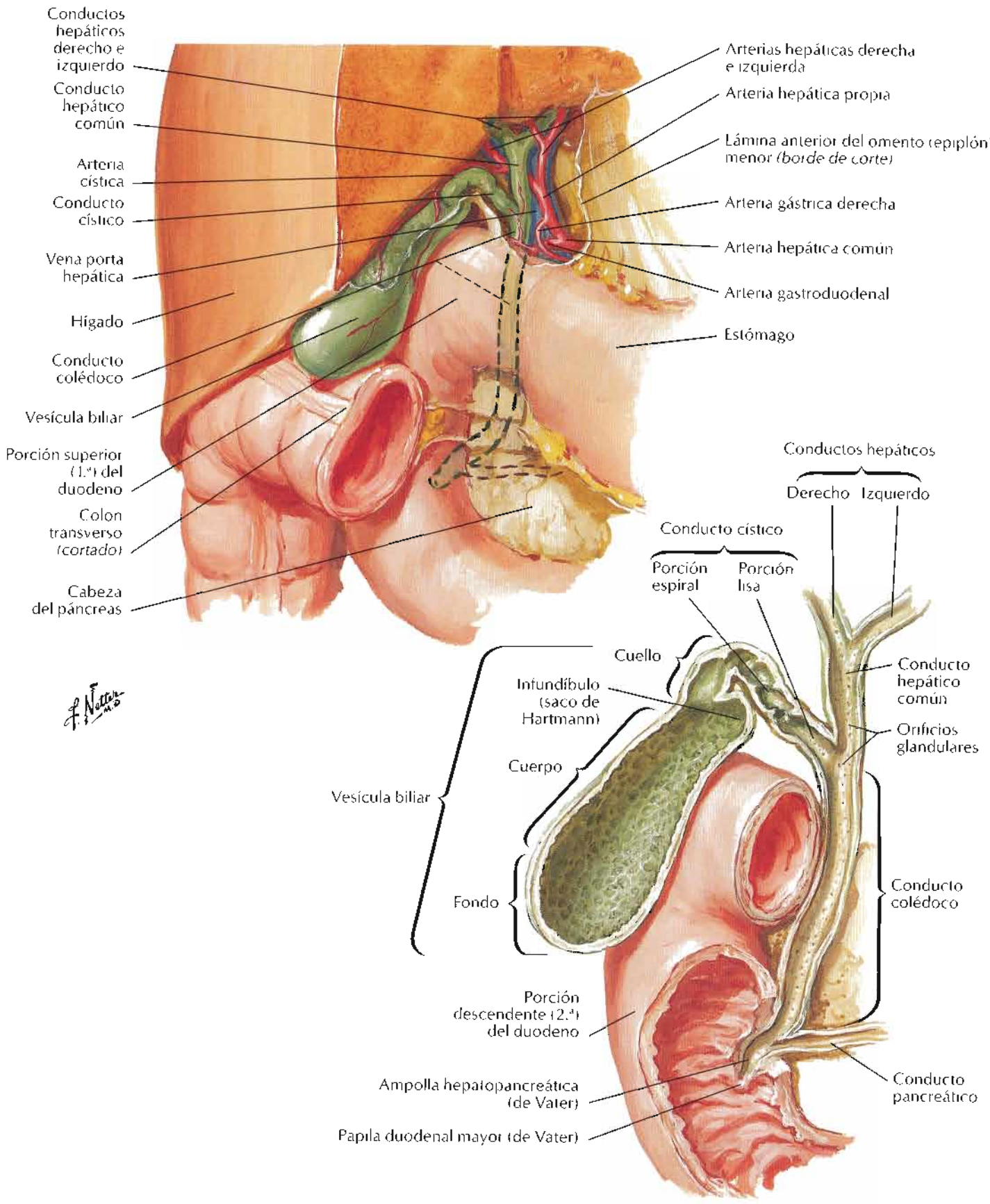
Nota: en la ilustración superior, los canalículos biliares aparecen como estructuras con paredes propias. No obstante, como se muestra en la sección histológica a la derecha, los límites de los canalículos son de hecho una especialización de la superficie de las membranas de las células parenquimatosas hepáticas contiguas

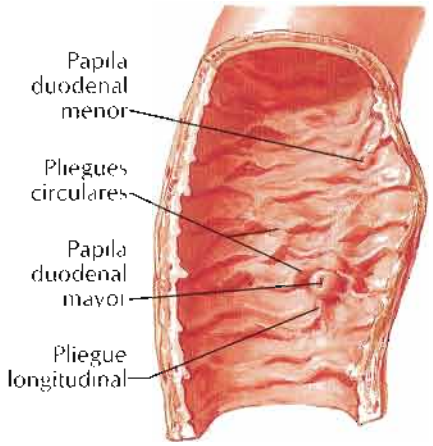


Sección a bajo aumento del hígado

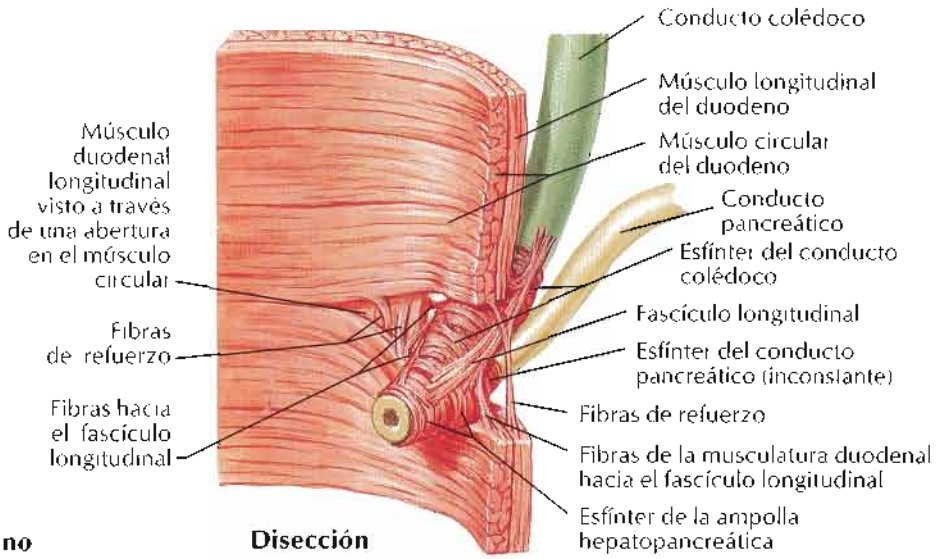

Sección transversal: nivel de T10, unión esofagogástrica
Lámina 293
T10
Cartílagos costales
Unión esofagogástrica
Pliegues (rugosidades) gástricos
Fundus del estómago
Pilar derecho del diafragma (forma el límite izquierdo del hiato esofágico)
Aorta torácica
Pilar izquierdo del diafragma
Bazo
Lóbulo inferior del pulmón izquierdo en el receso costodiafragmático
Apófisis xifoides
Diafragma
Músculo recto del abdomen
Hígado
Pilar derecho del diafragma (forma el límite derecho del hiato esofágico)
Vena cava inferior
Músculo serrato anterior
Vena ácigos
Diafragma
Músculo dorsal ancho
Lóbulo inferior del pulmón derecho en el receso costodiafragmático
Cuerpo de la vértebra T10
Conducto torácico
Músculo erector de la columna

4 Vesícula biliar y conductos biliares extrahepáticos

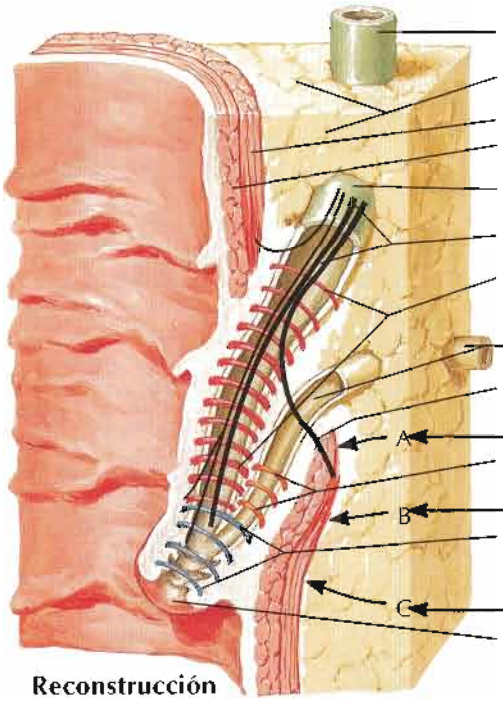




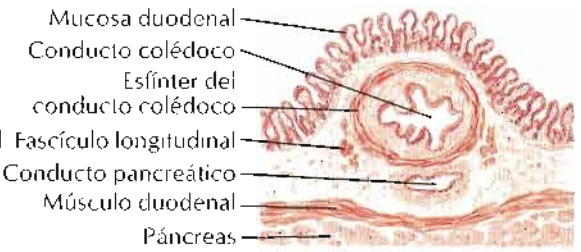
Interior de la porción descendente (2.ª) del duodeno



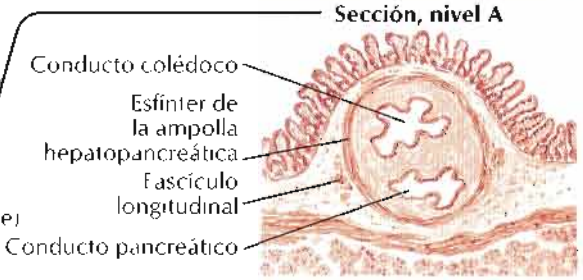
Disección



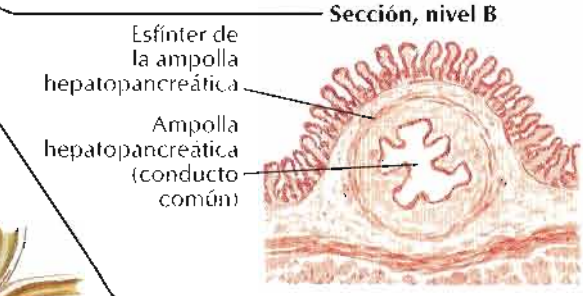
Reconstrucción



Sección, nivel A

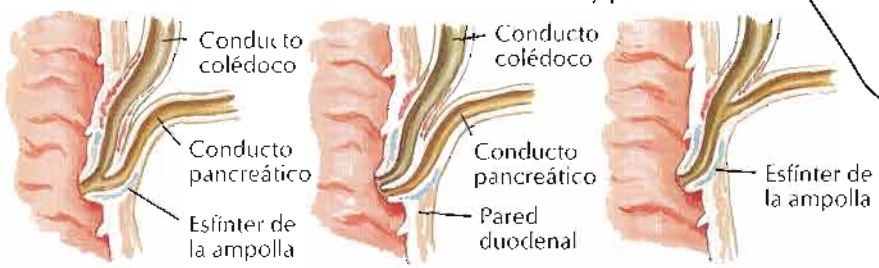


Sección, nivel B



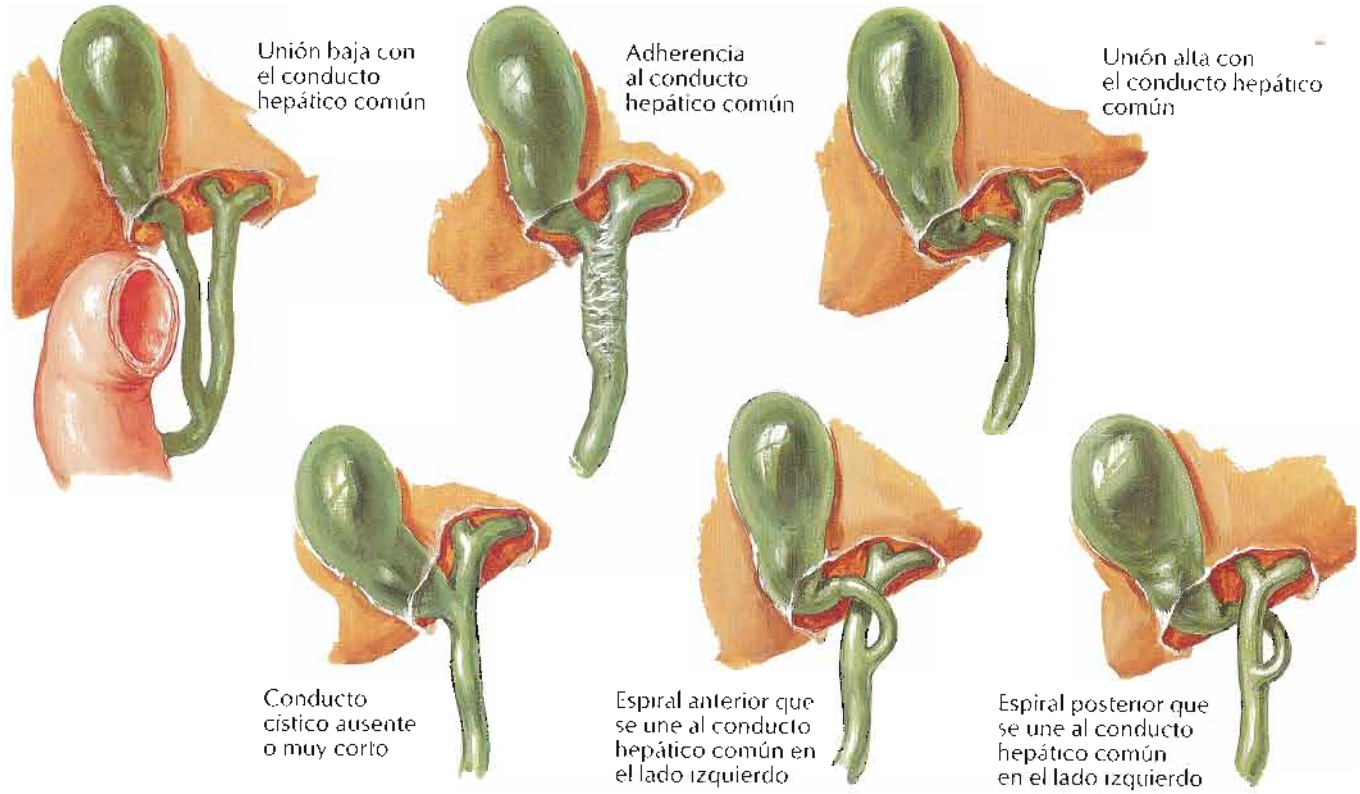
Sección, nivel C

Variaciones en la unión de los conductos colédoco y pancreático

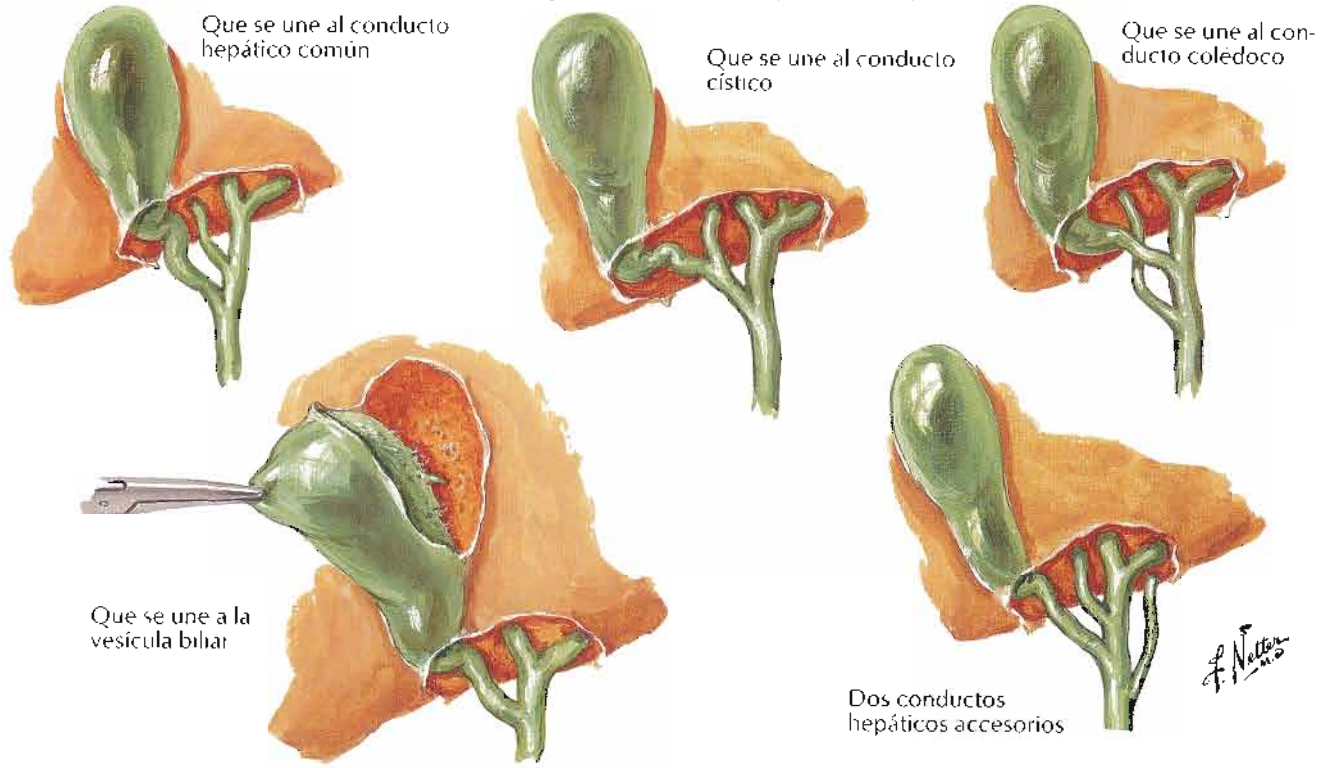


Variaciones en los conductos cístico y hepáticos

Variaciones en el conducto cístico



Conductos hepáticos accesorios (aberrantes)



Sección transversal: nivel de T12, inferior a la apófisis xifoides

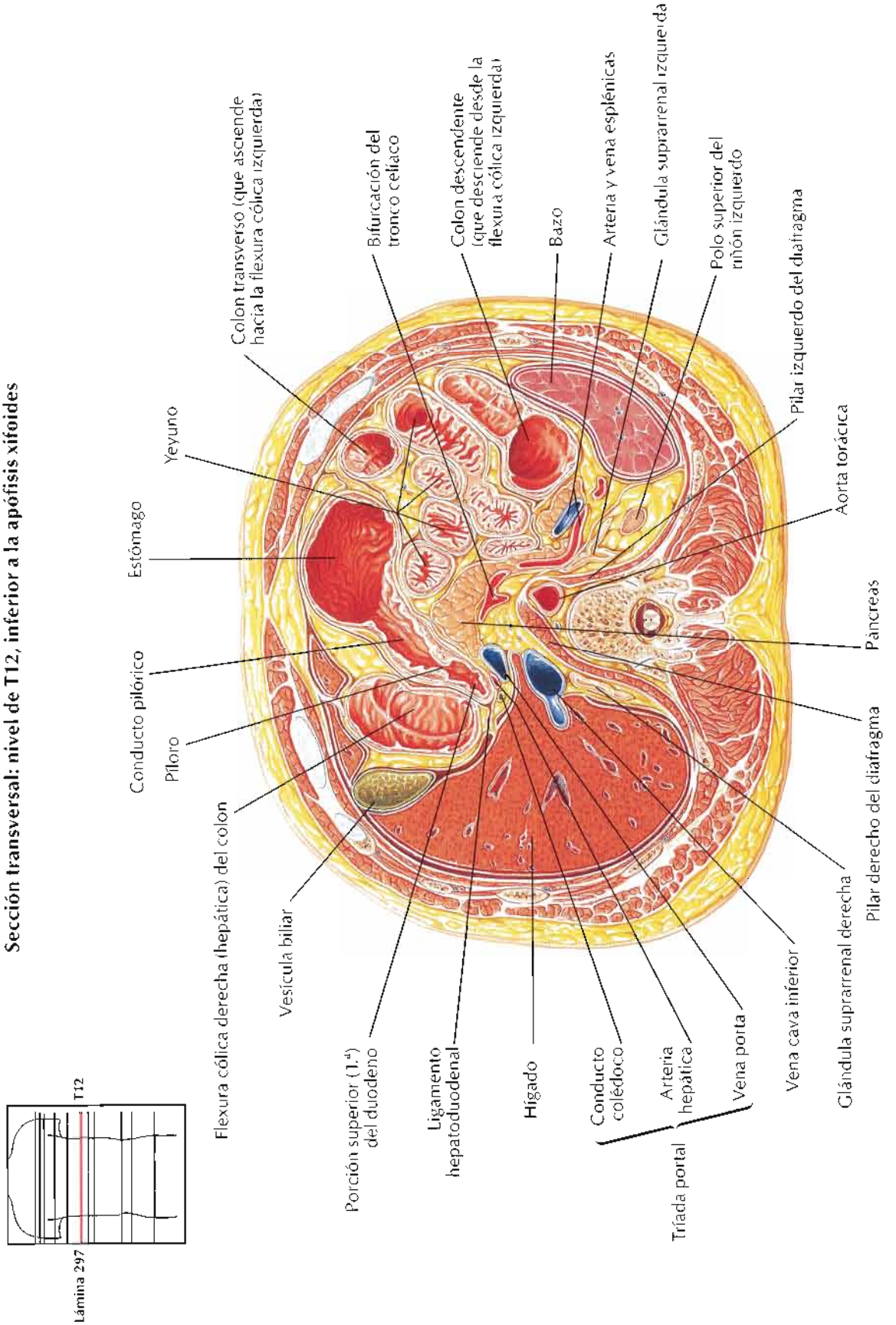
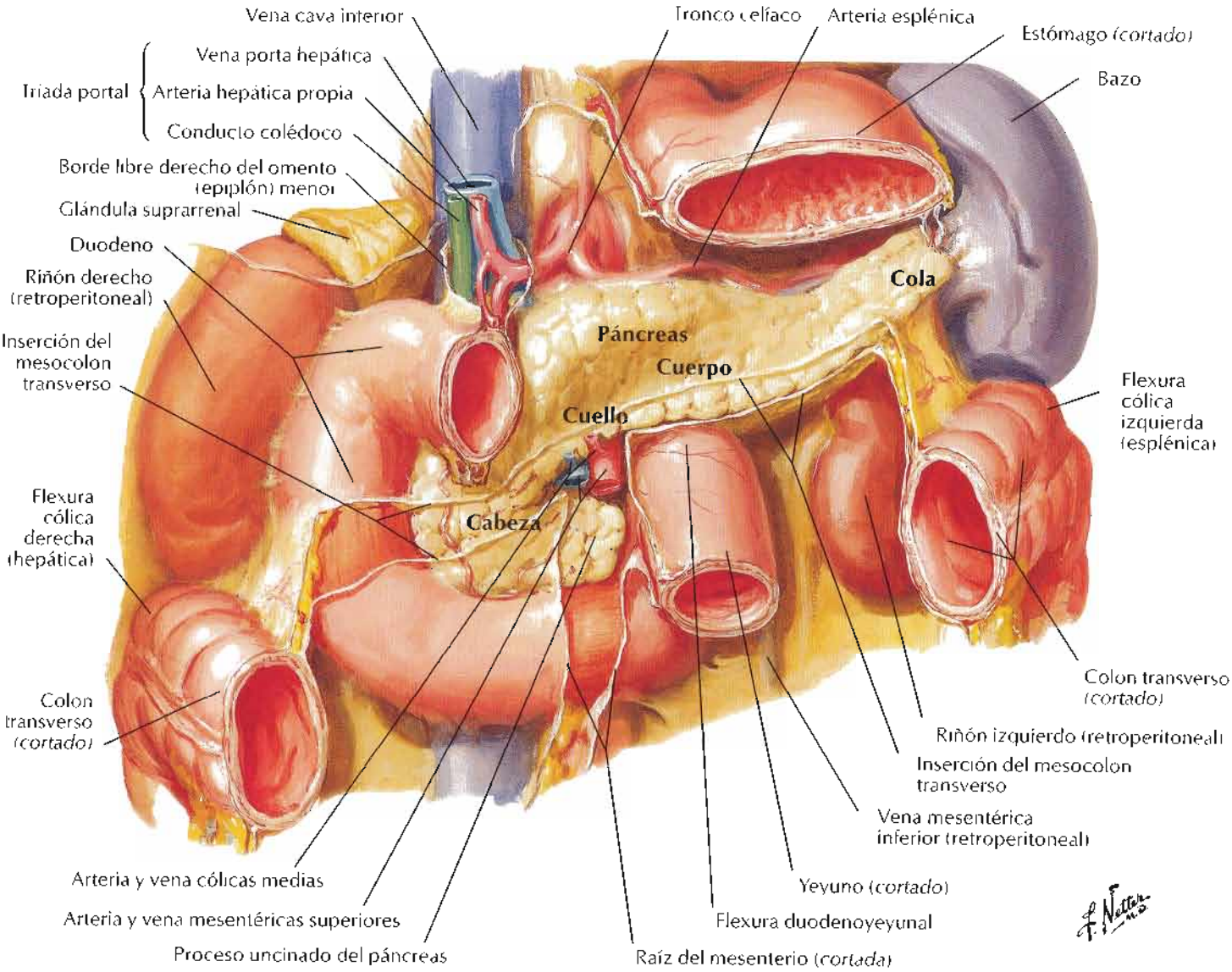
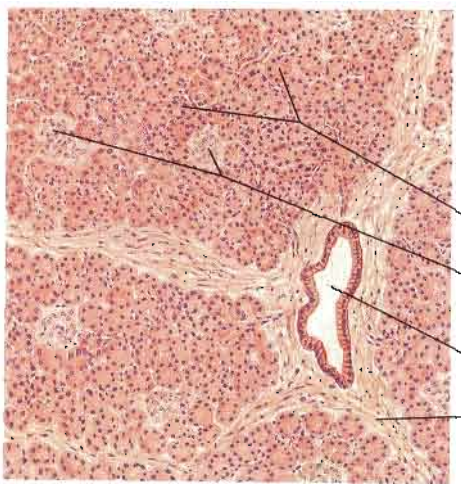


Lámina 297

Páncreas in situ





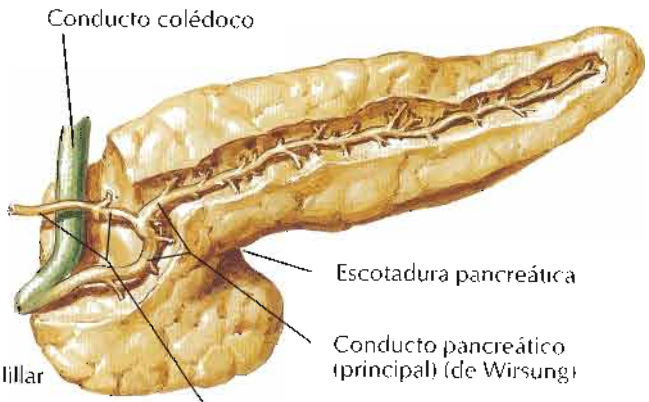
Sección a bajo aumento del páncreas

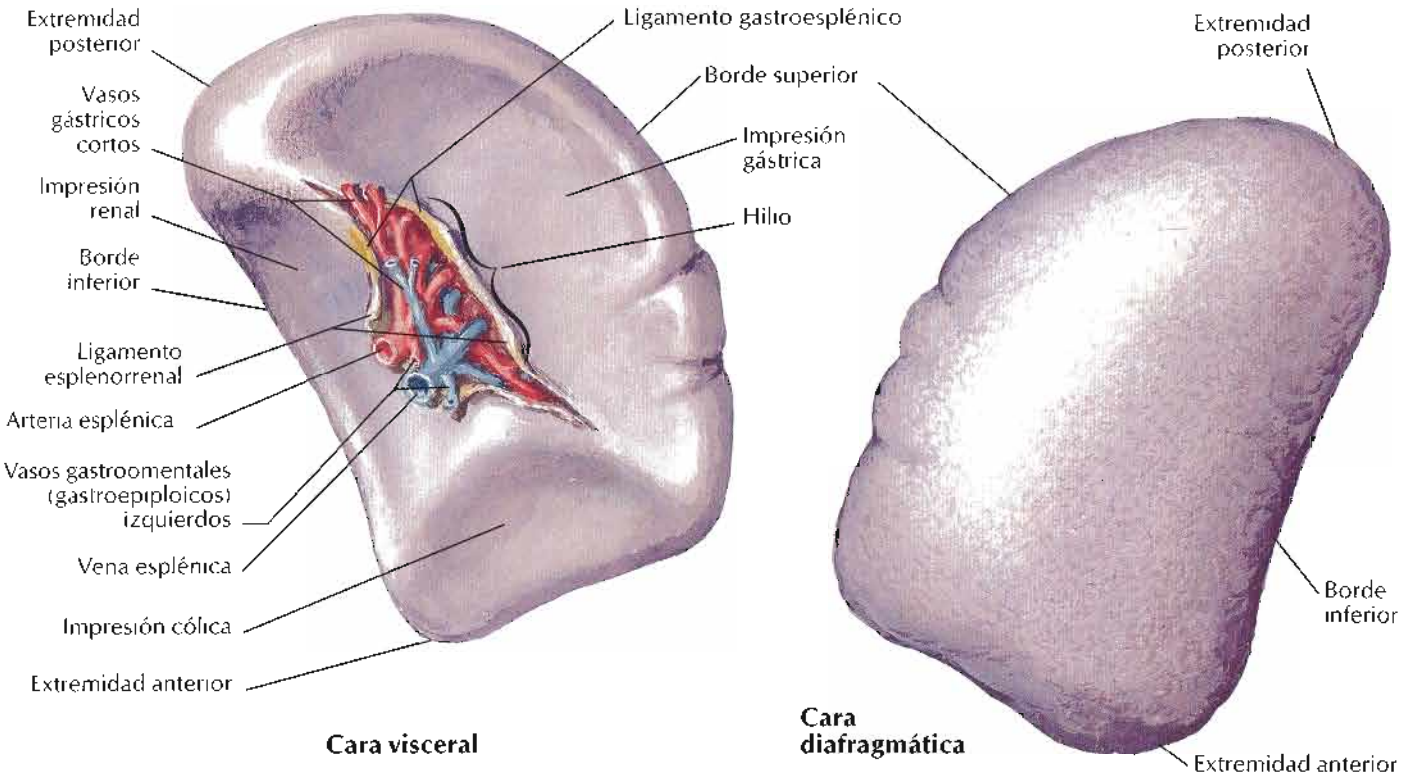
Acinos

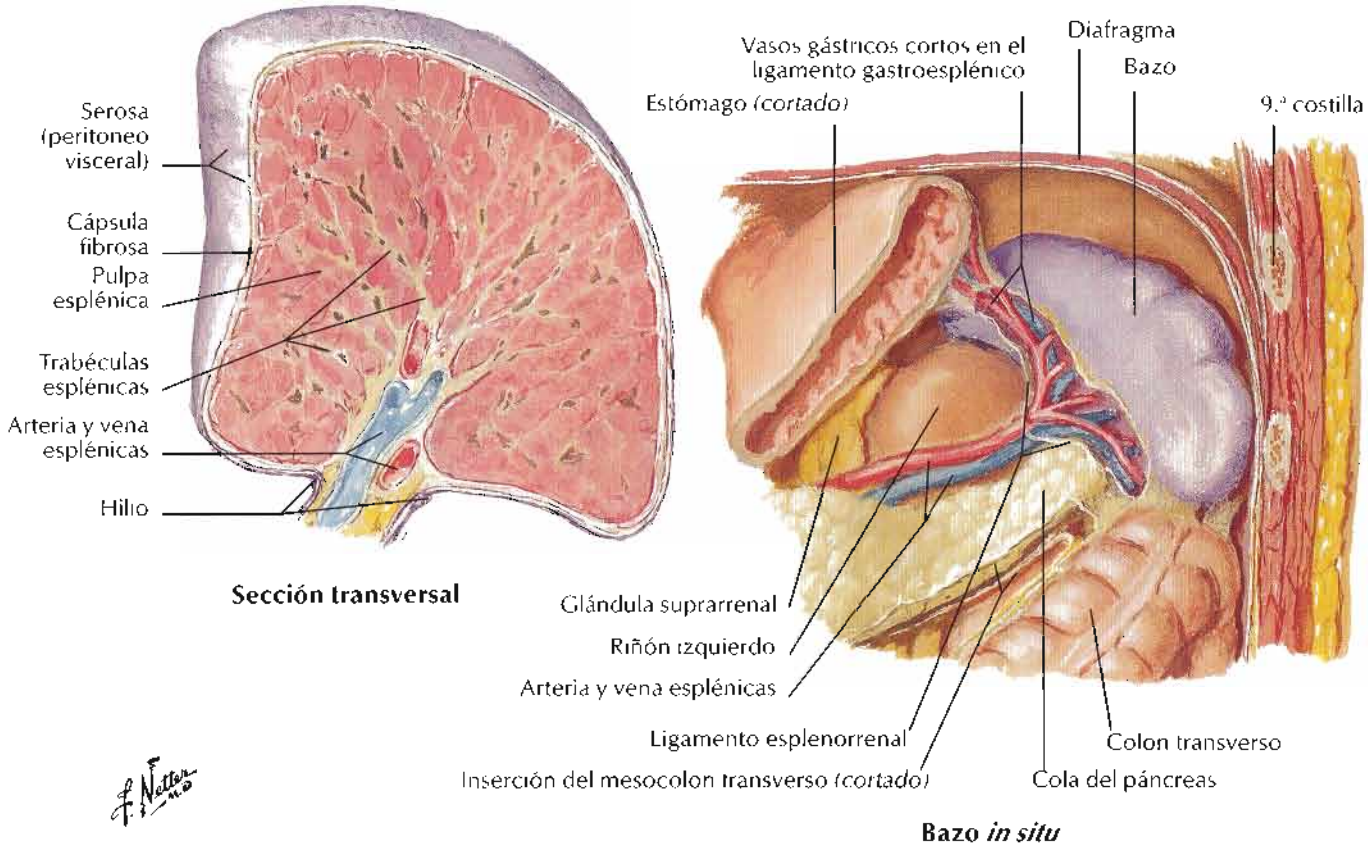
Islotes (de Langerhans)

Conducto interlobulillar

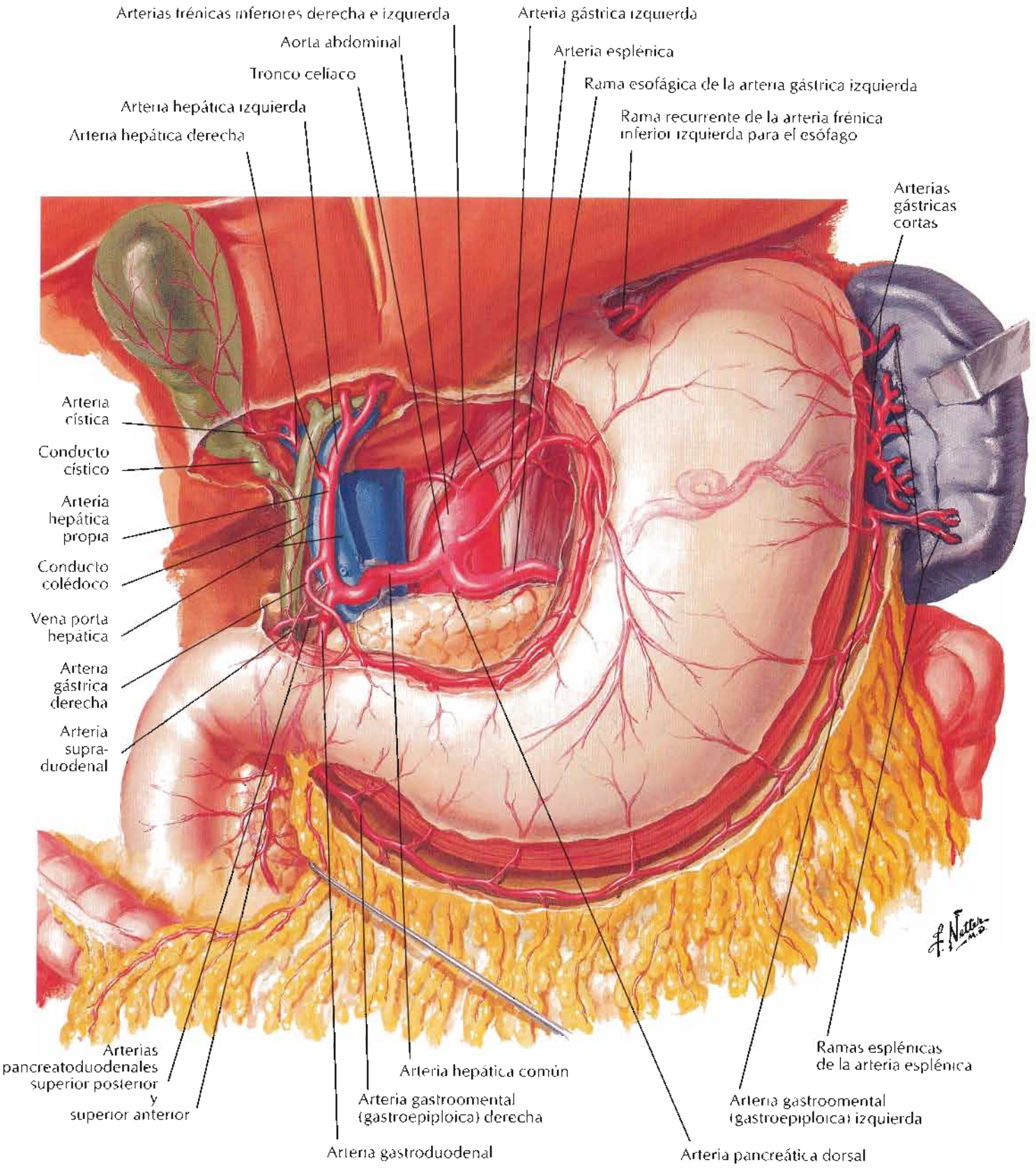
Tabique interlobulillar

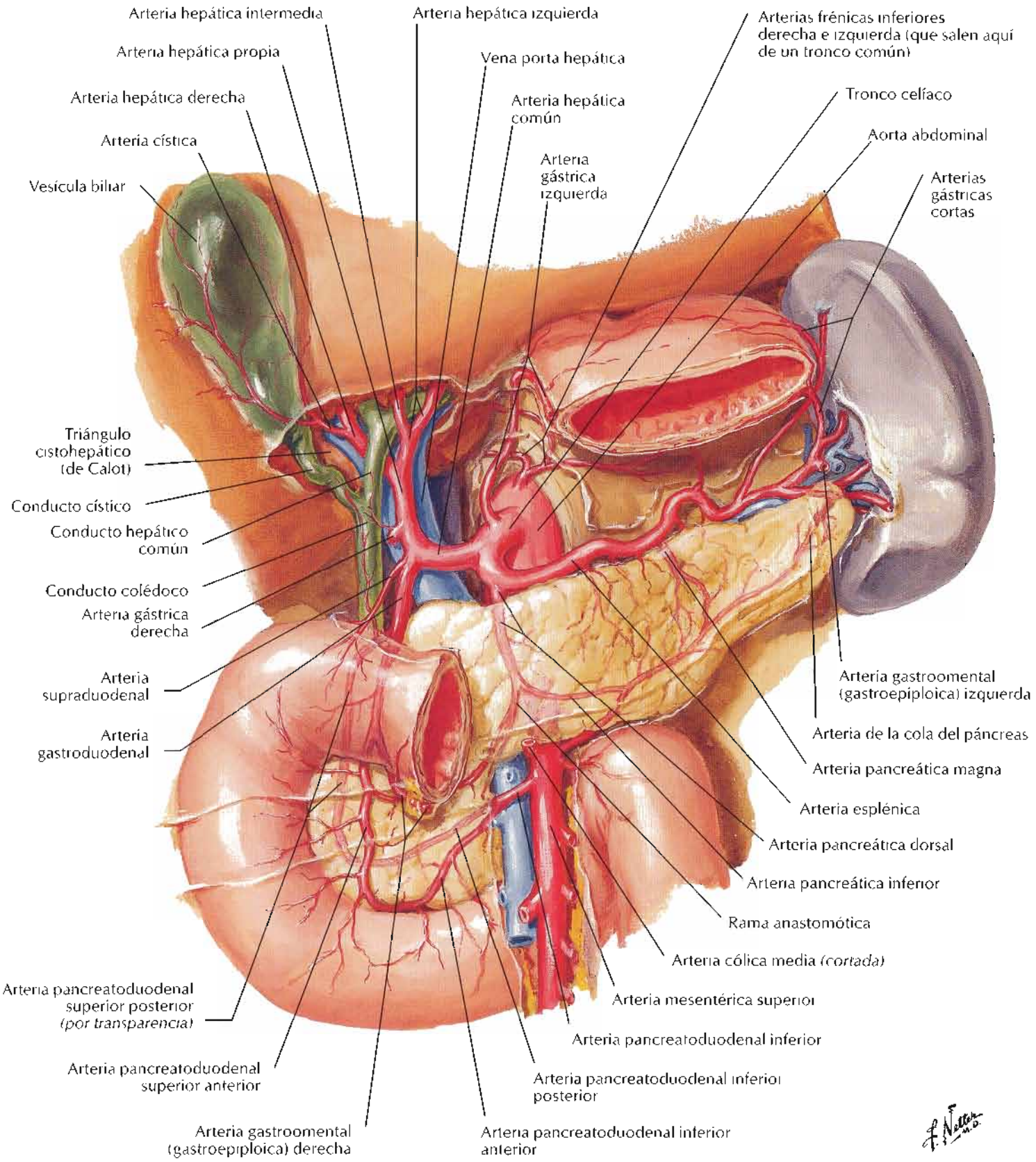



Extremidad posterior
Vasos gástricos cortos
Impresión renal
Borde inferior
Ligamento esplenorrenal
Arteria esplénica
Vasos gastroomentales (gastroepiploicos) izquierdos
Vena esplénica
Impresión cólica
Extremidad anterior
Ligamento gastroesplénico
Borde superior
Impresión gástrica
Hilio
Cara visceral
Extremidad posterior
Borde inferior
Extremidad anterior
Cara diafragmática

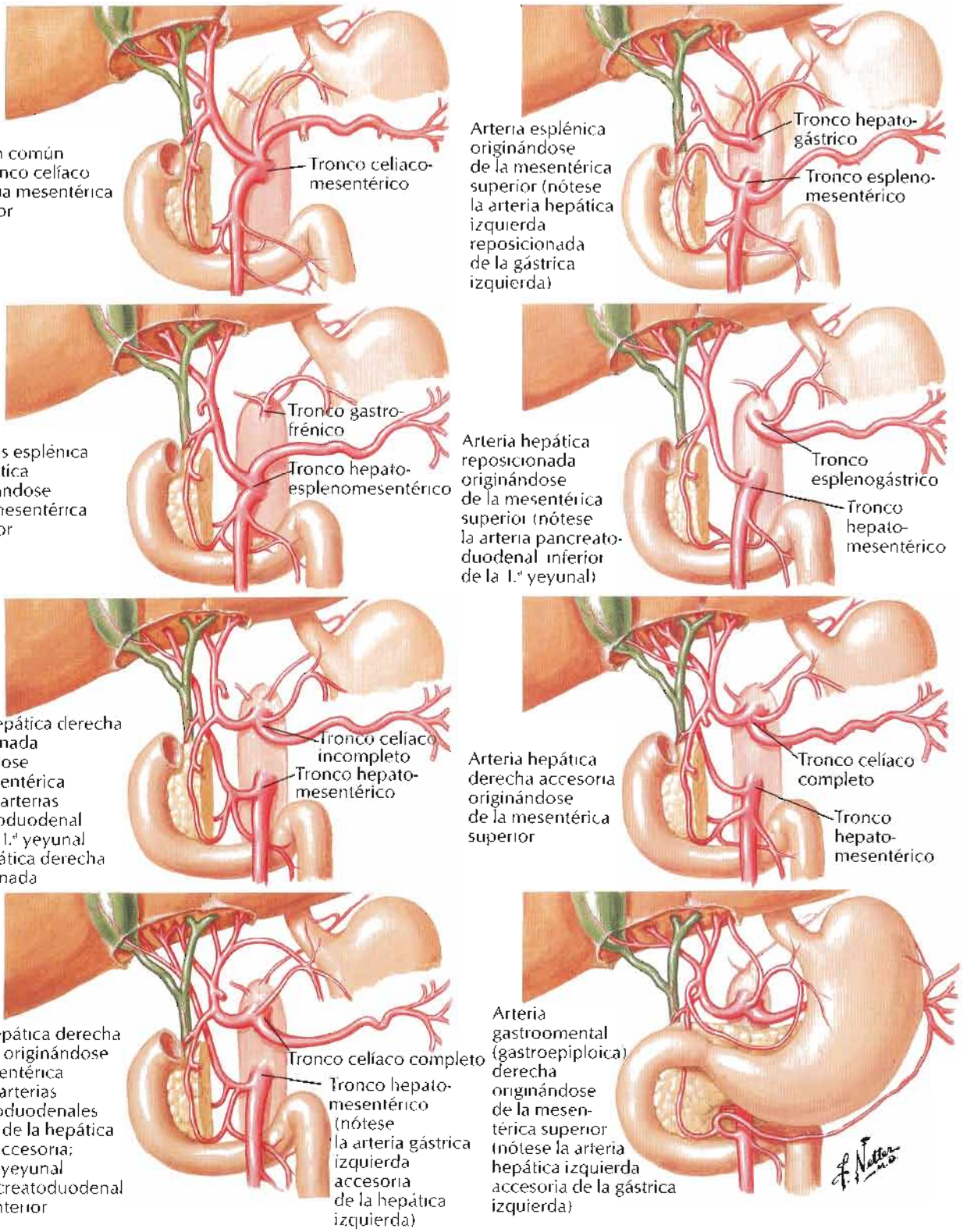

Serosa (peritoneo visceral)
Cápsula fibrosa
Pulpa esplénica
Trabéculas esplénicas
Arteria y vena esplénicas
Hilio
Sección transversal
Vasos gástricos cortos en el ligamento gastroesplénico
Estómago (cortado)
Diafragma
Bazo
9.ª costilla
Glándula suprarrenal
Riñón izquierdo
Arteria y vena esplénicas
Ligamento esplenorrenal
Inserción del mesocolon transverso (cortado)
Colon transverso
Cola del páncreas
Bazo in situ

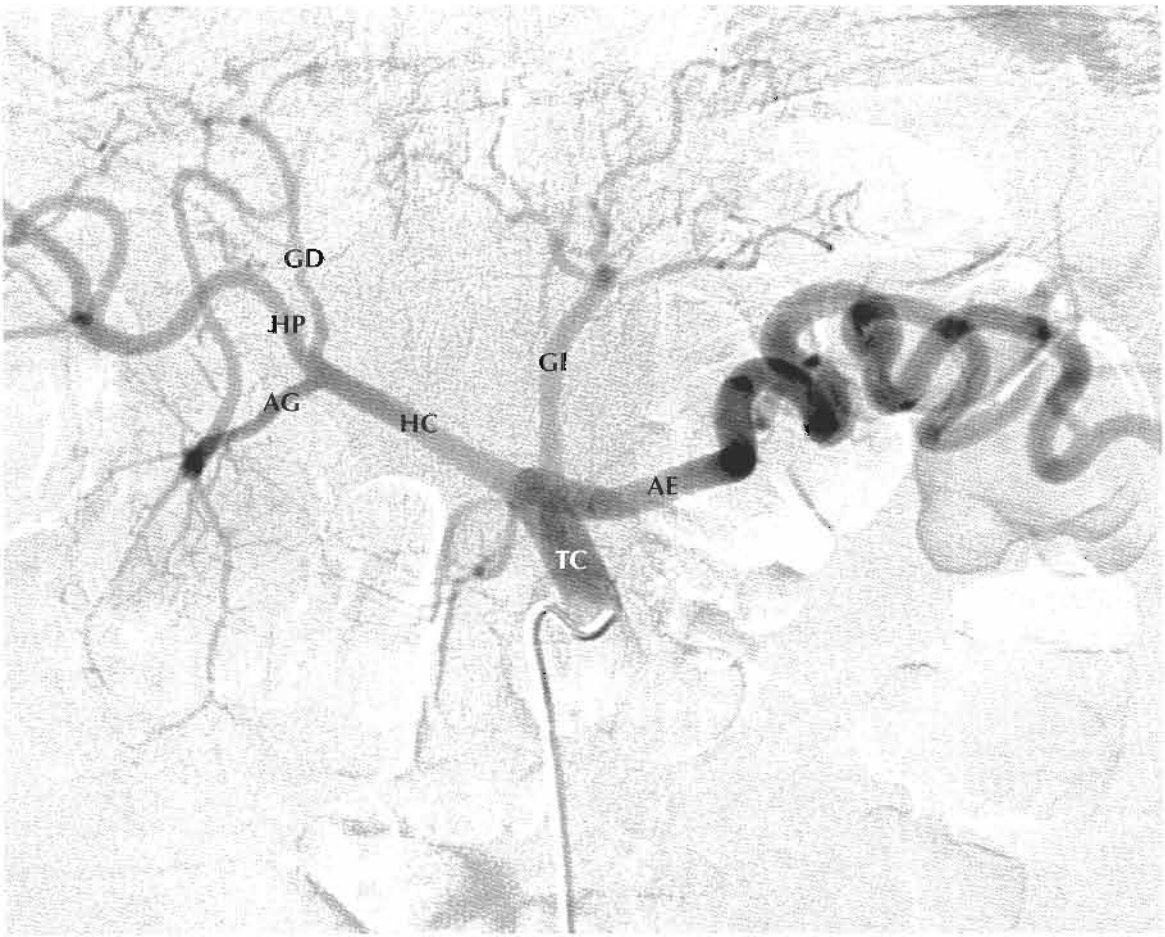
Arterias del estómago, hígado y bazo




Arteria hepática intermedia
Arteria hepática izquierda
Arterias frénicas inferiores derecha e izquierda (que salen aquí de un tronco común)
Arteria hepática propia
Vena porta hepática
Arteria hepática derecha
Arteria hepática común
Tronco celíaco
Arteria cística
Aorta abdominal
Arteria gástrica izquierda
Vesícula biliar
Arterias gástricas cortas
Triángulo cistohepático (de Calot)
Conducto cístico
Conducto hepático común
Conducto colédoco
Arteria gástrica derecha
Arteria supraduodenal
Arteria gastroduodenal
Arteria gastroomental (gastroepiploica) izquierda
Arteria de la cola del páncreas
Arteria pancreática magna
Arteria esplénica
Arteria pancreática dorsal
Arteria pancreática inferior
Rama anastomótica
Arteria cólica media (cortada)
Arteria pancreatoduodenal superior posterior (por transparencia)
Arteria mesentérica superior
Arteria pancreatoduodenal inferior
Arteria pancreatoduodenal superior anterior
Arteria pancreatoduodenal inferior posterior
Arteria gastroomental (gastroepiploica) derecha
Arteria pancreatoduodenal inferior anterior

Variaciones en el tronco celíaco

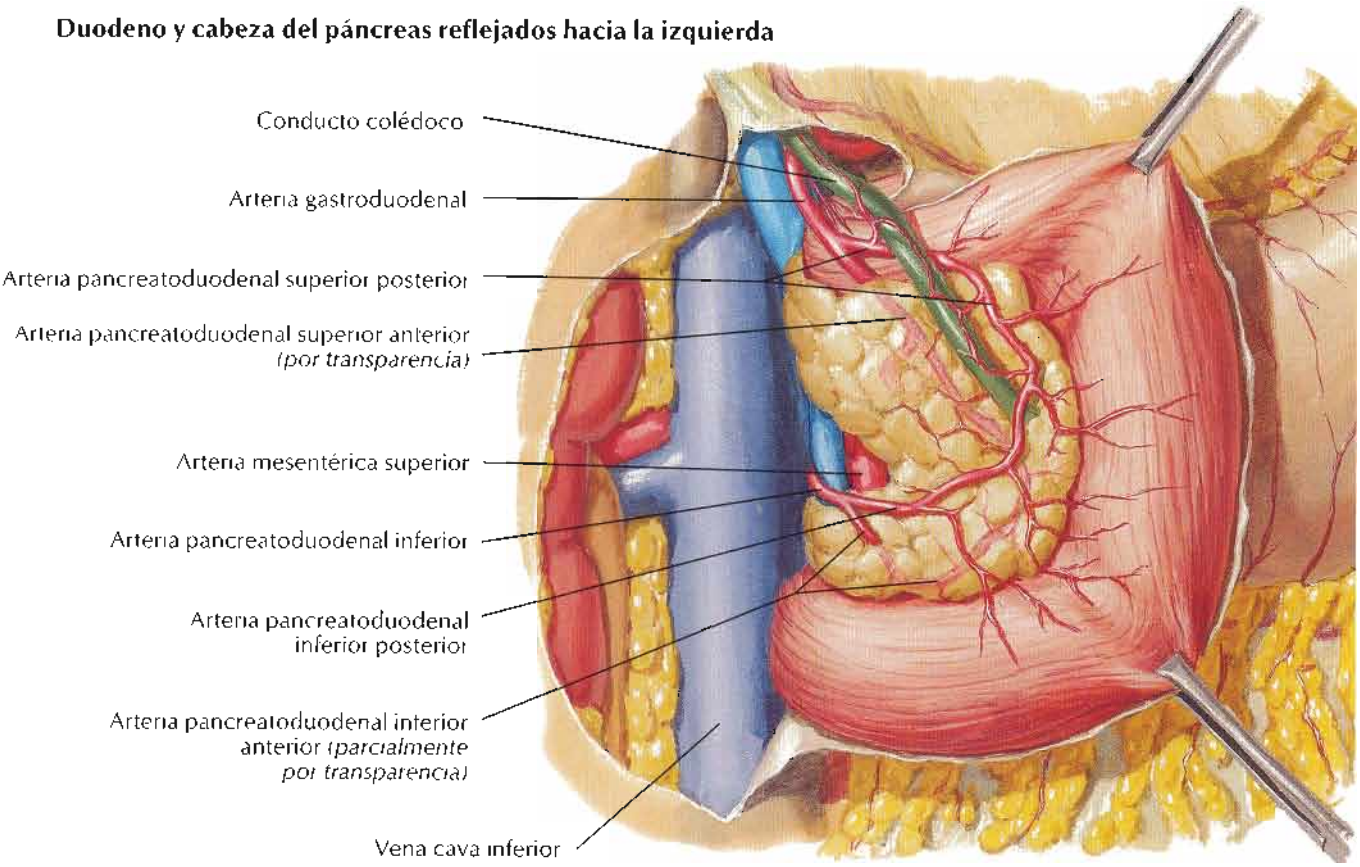


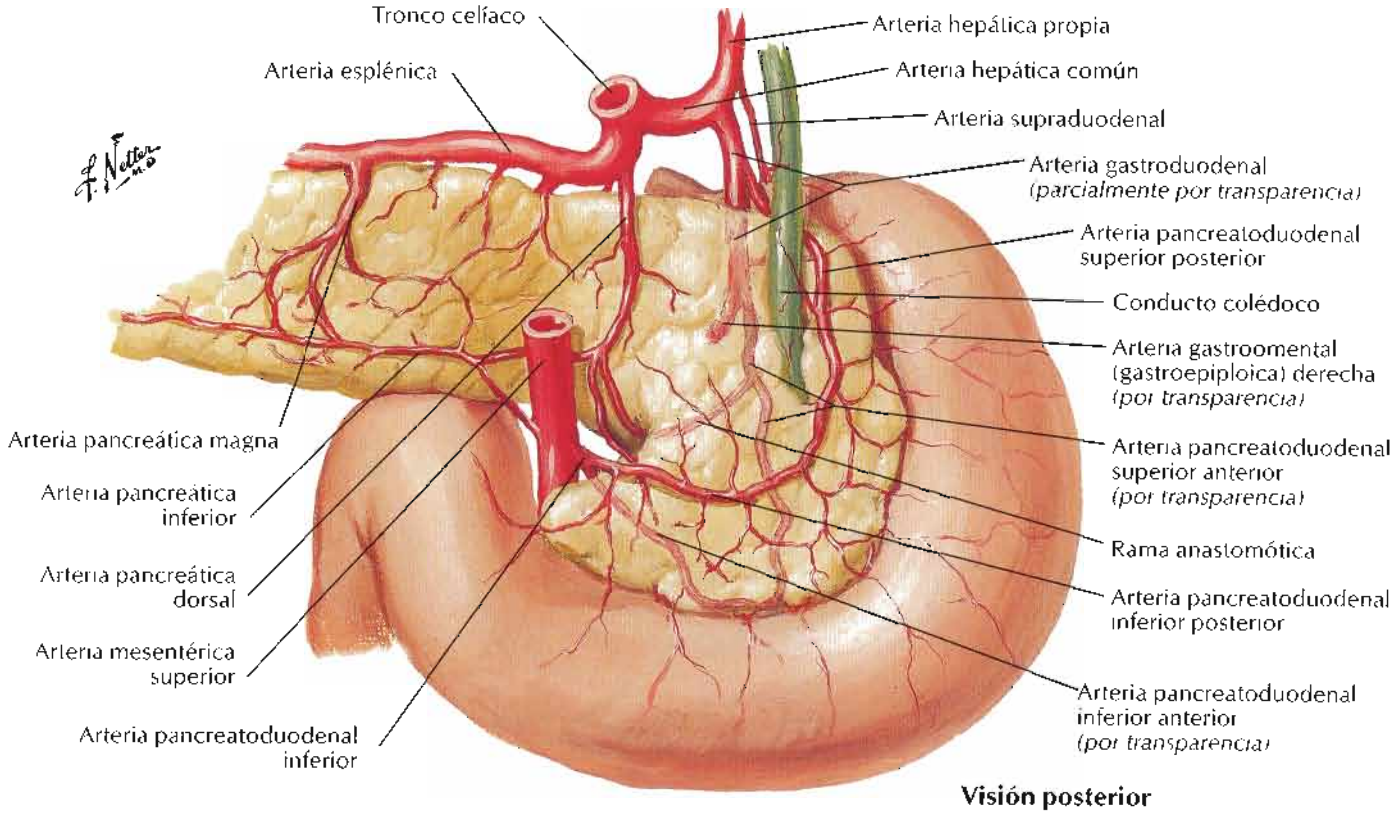


AG Arteria gastroduodenal
AE Arteria esplénica
GD Arteria gástrica derecha
GI Arteria gástrica izquierda
HC Arteria hepática común
HP Arteria hepática propia
TC Tronco celíaco

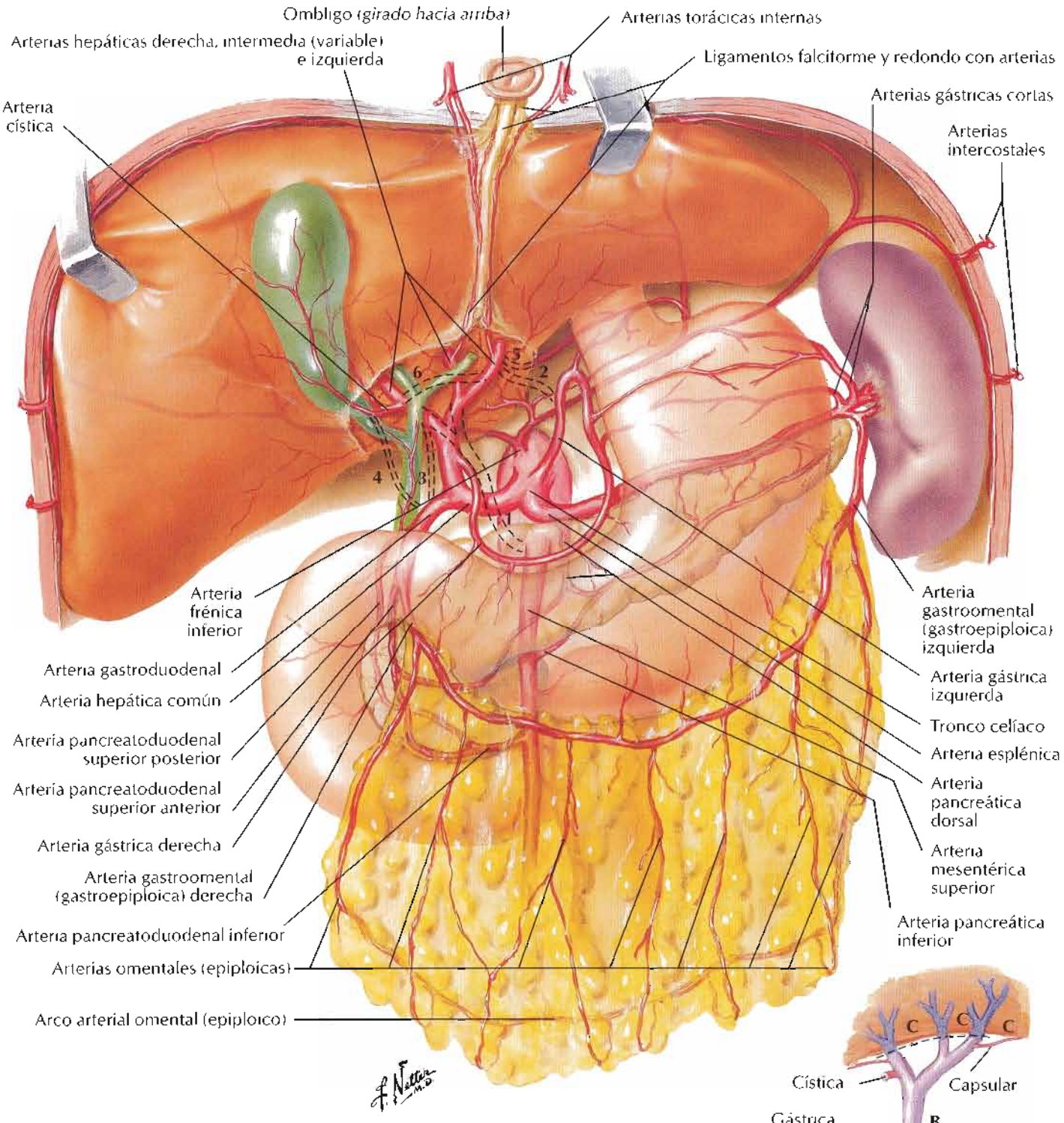
Arterias del duodeno y cabeza del páncreas

Duodeno y cabeza del páncreas reflejados hacia la izquierda





Visión posterior

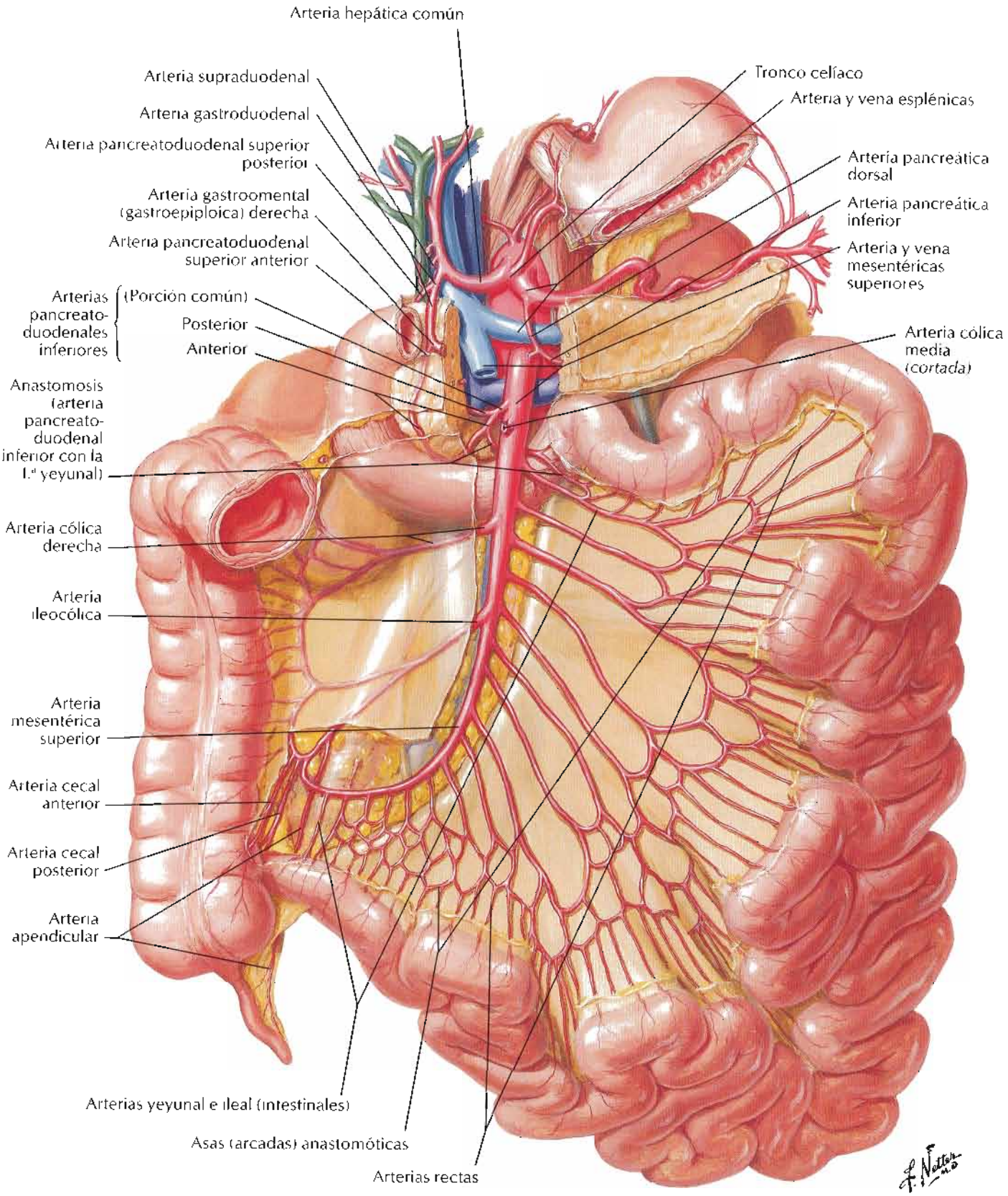


Arterias accesorias o reposicionadas
1. Hepática derecha o común
2. Hepática izquierda
3. Hepática derecha
4. Cística

Anastomosis de las arterias correspondientes
5. Frénica inferior/gástrica izquierda ⟷ hepática izquierda
6. Hepáticas derecha ⟷ izquierda

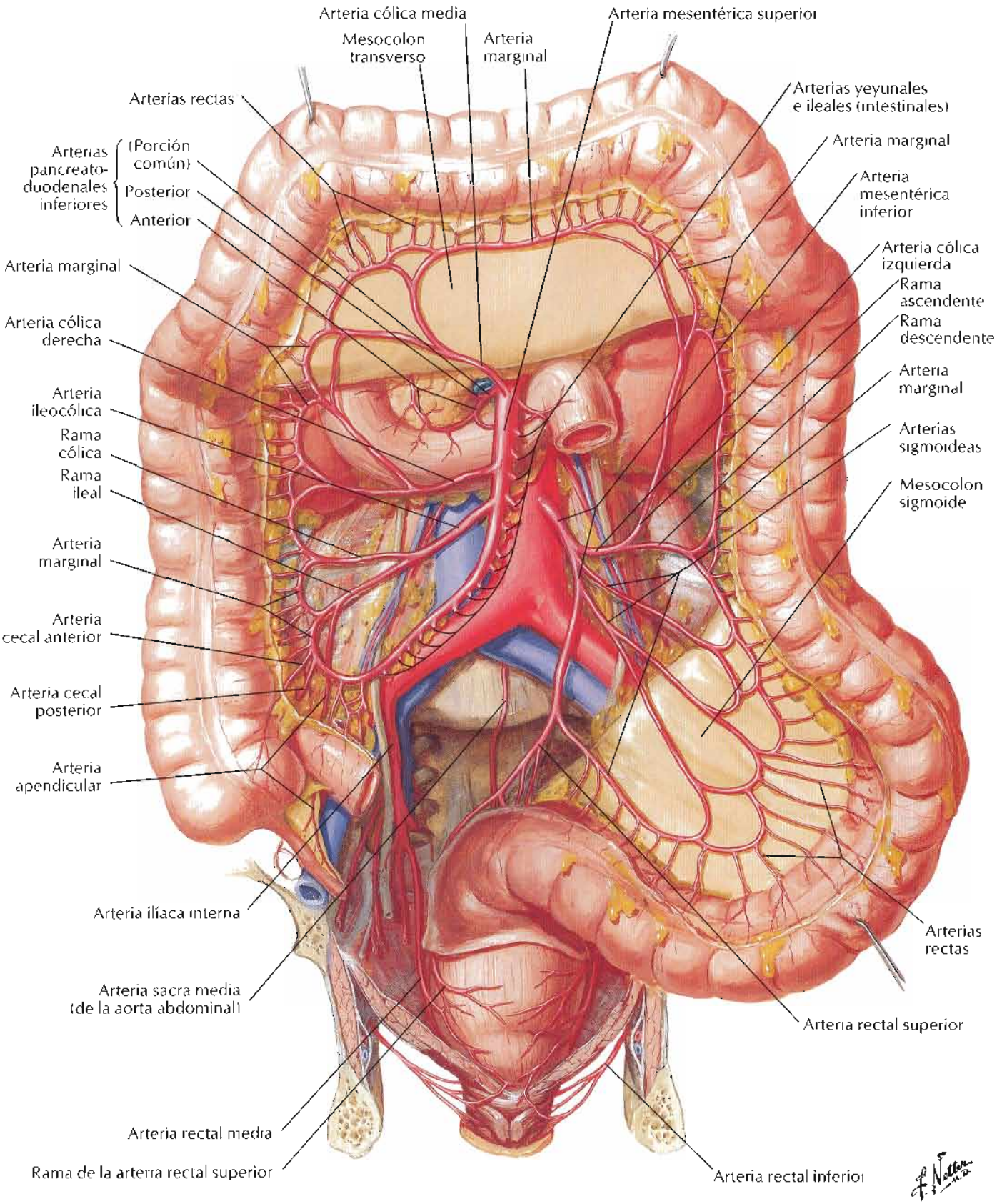
Efectos de la obstrucción de la arteria hepática
- A. Zona de protección relativa
- B. Zona de efectos dudosos
- C. Zona de infarto inevitable

Arterias del intestino delgado

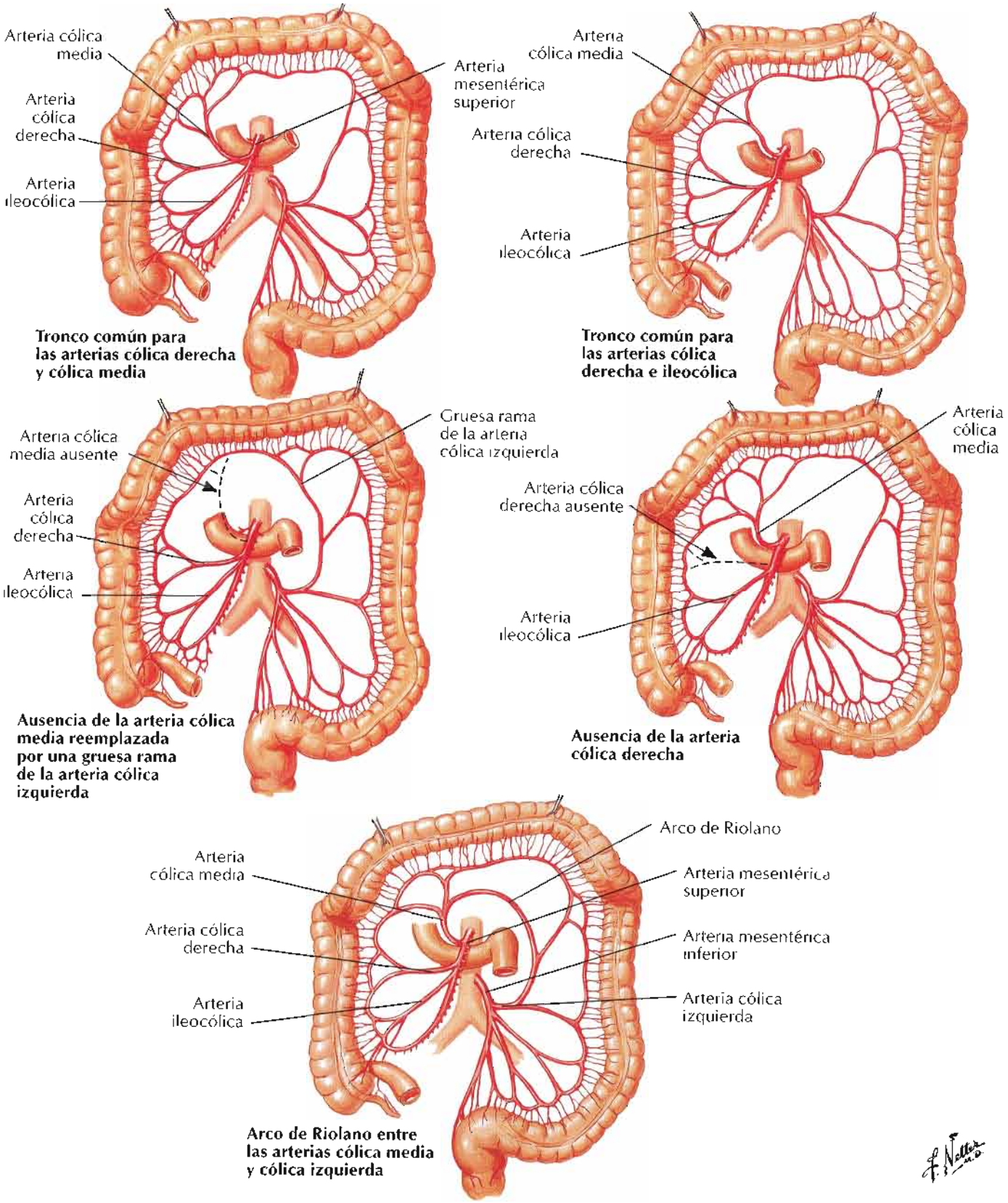


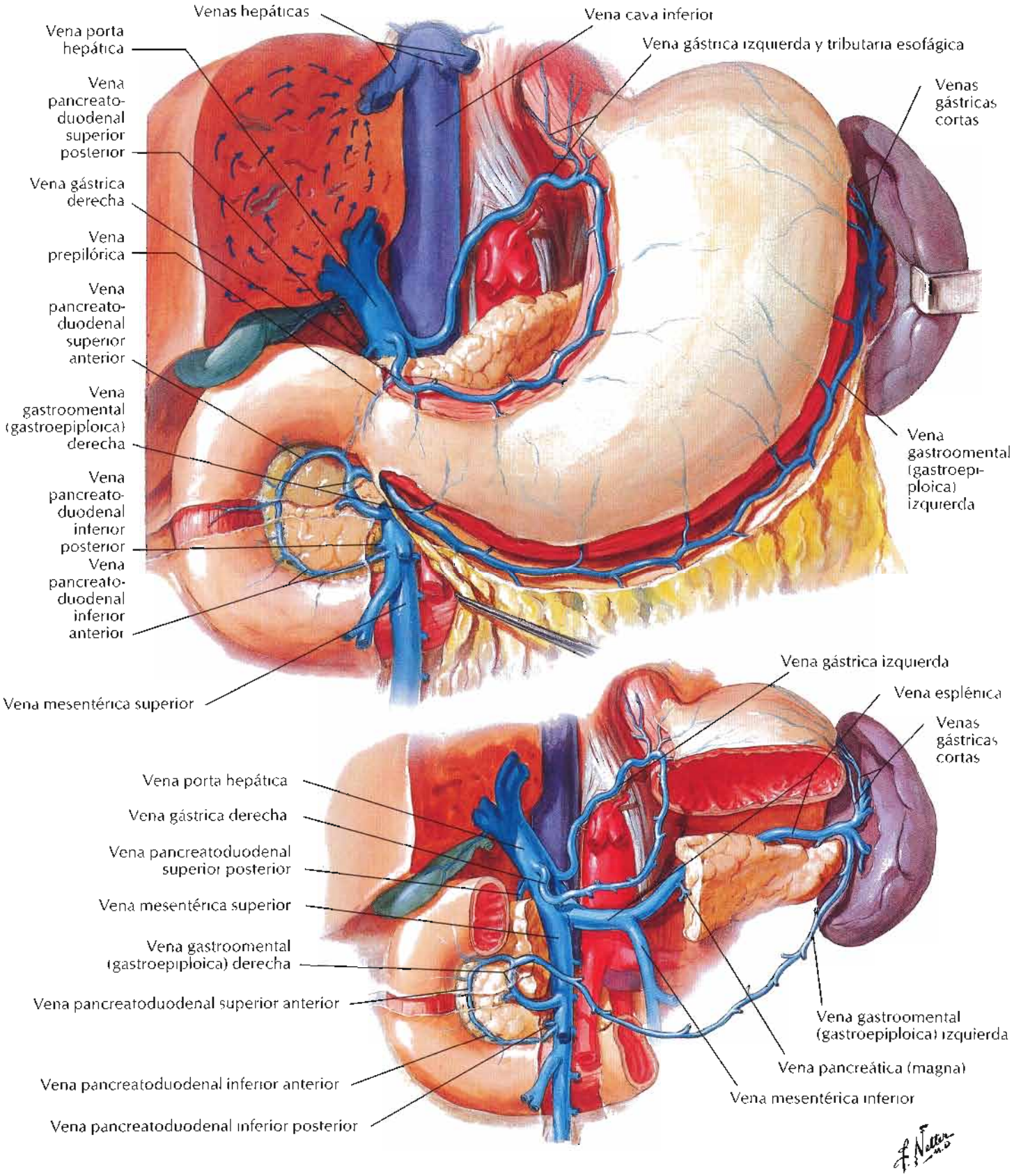
Arterias del intestino grueso

Para las arterias del recto véase también **lámina 398**

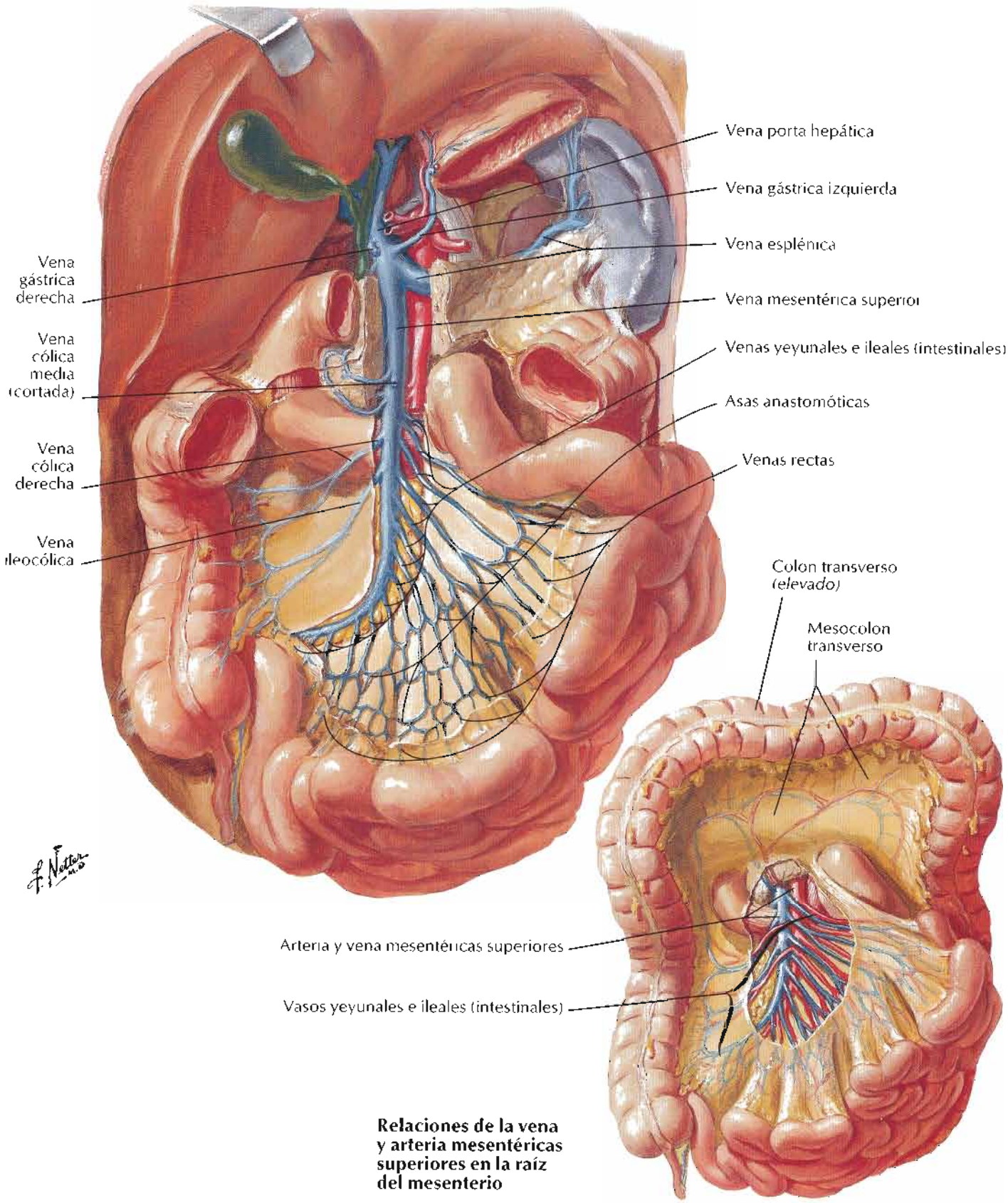


4 Variaciones en las arterias cólicas




Venas hepáticas
Vena cava inferior
Vena porta hepática
Vena gástrica izquierda y tributaria esofágica
Venas gástricas cortas
Vena pancreatoduodenal superior posterior
Vena gástrica derecha
Vena prepilórica
Vena pancreatoduodenal superior anterior
Vena gastroomental (gastroepiploica) derecha
Vena gastroomental (gastroepiploica) izquierda
Vena pancreatoduodenal inferior posterior
Vena pancreatoduodenal inferior anterior
Vena mesentérica superior
Vena gástrica izquierda
Vena esplénica
Venas gástricas cortas
Vena porta hepática
Vena gástrica derecha
Vena pancreatoduodenal superior posterior
Vena mesentérica superior
Vena gastroomental (gastroepiploica) derecha
Vena pancreatoduodenal superior anterior
Vena gastroomental (gastroepiploica) izquierda
Vena pancreática (magna)
Vena pancreatoduodenal inferior anterior
Vena mesentérica inferior
Vena pancreatoduodenal inferior posterior

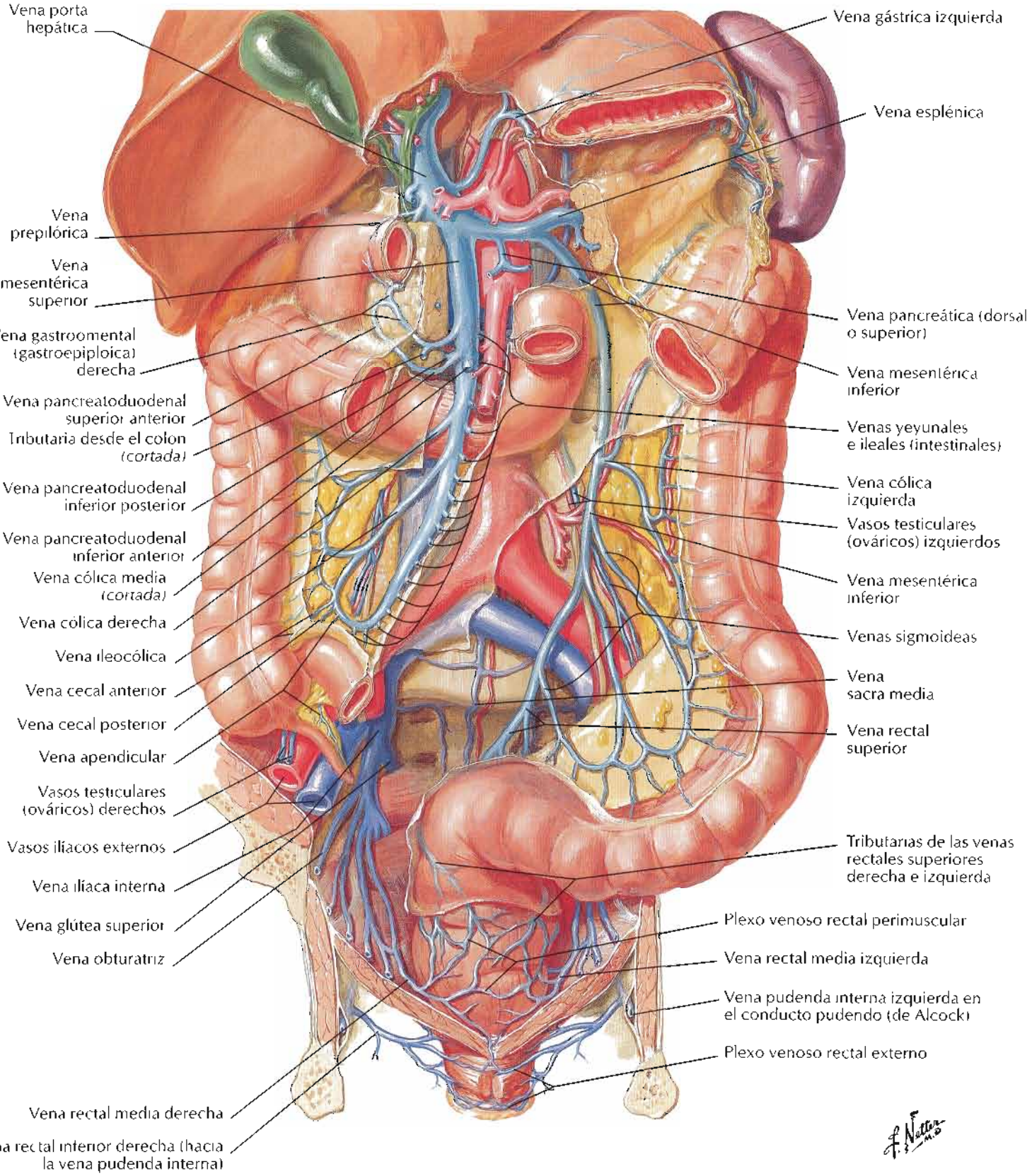
4 Venas del intestino delgado



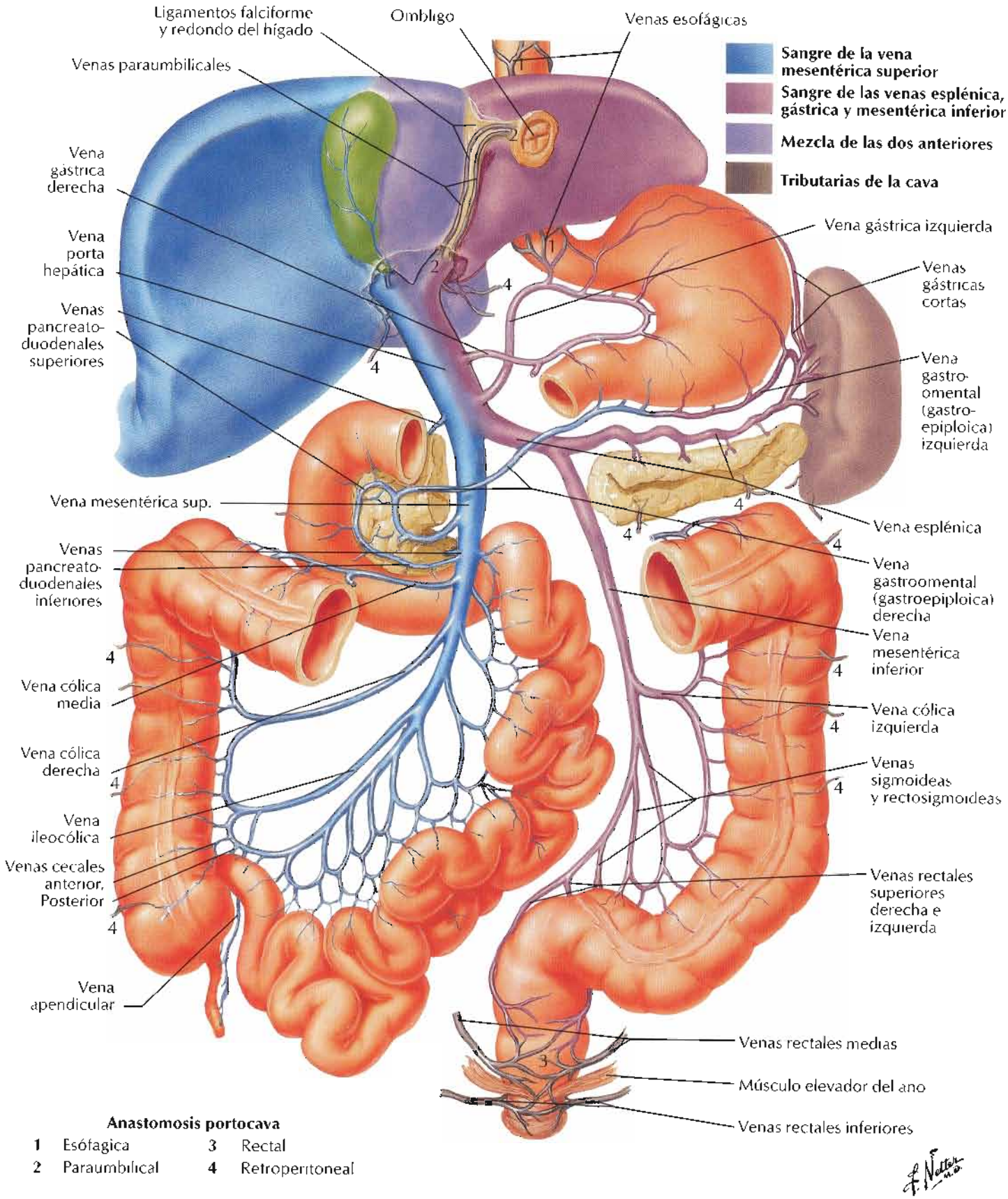
Relaciones de la vena y arteria mesentéricas superiores en la raíz del mesenterio

Venas del intestino grueso

Para las venas del recto véase también **lámina 399**



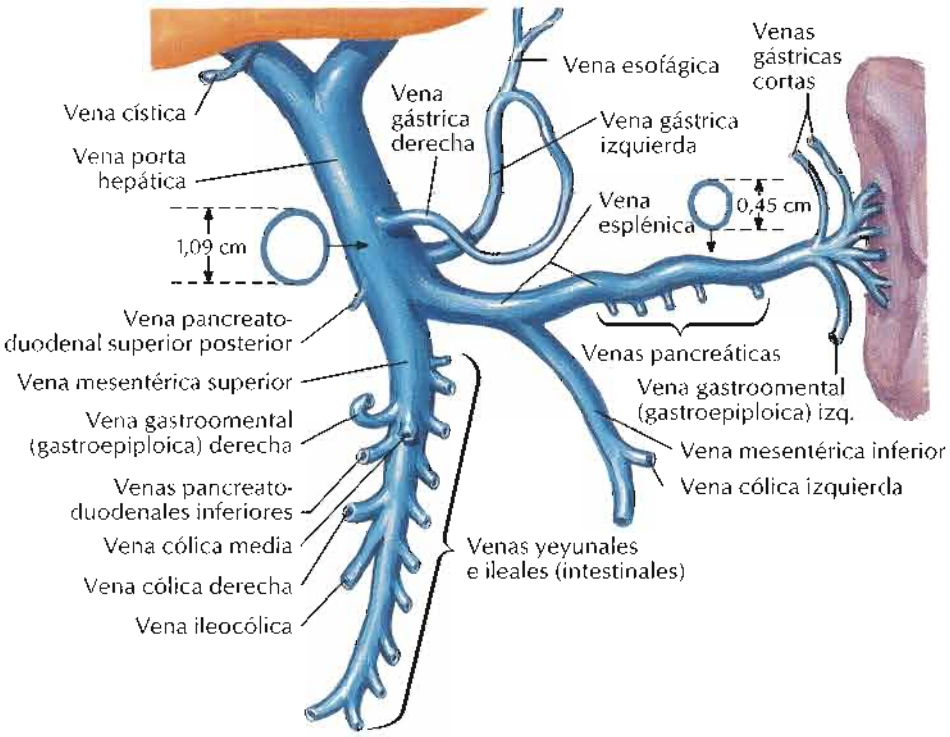
4 Tributarias de la vena porta hepática: anastomosis portocava



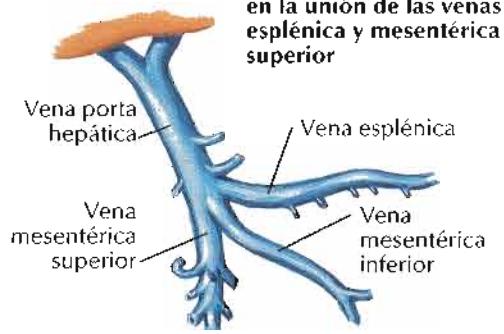
Anastomosis portocava

1	Esófagica	3	Rectal
2	Paraumbilical	4	Retroperitoneal

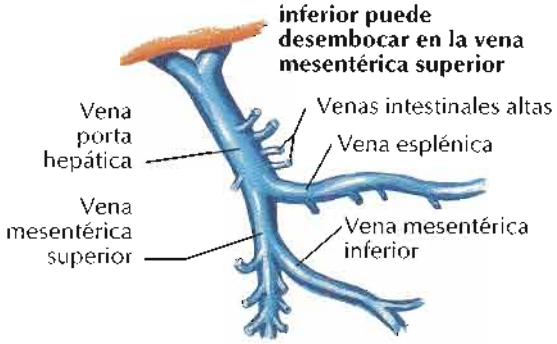
Disposición típica



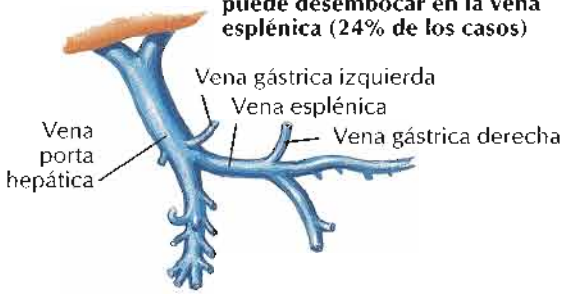
La vena mesentérica inferior puede desembocar en la unión de las venas esplénica y mesentérica superior



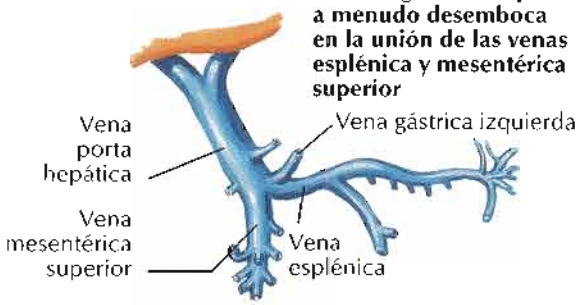
La vena mesentérica inferior puede desembocar en la vena mesentérica superior



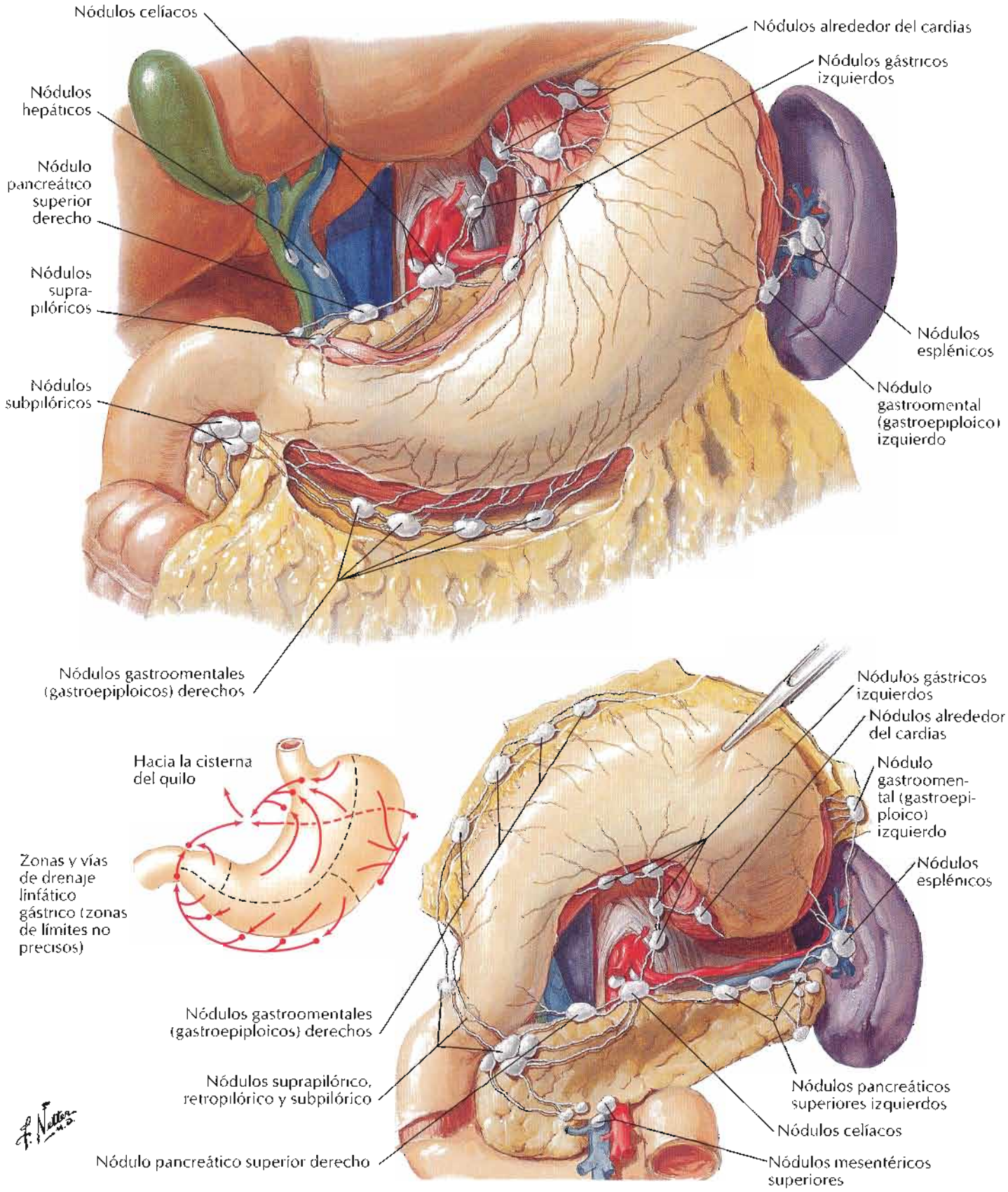
La vena gástrica izquierda puede desembocar en la vena esplénica (24% de los casos)

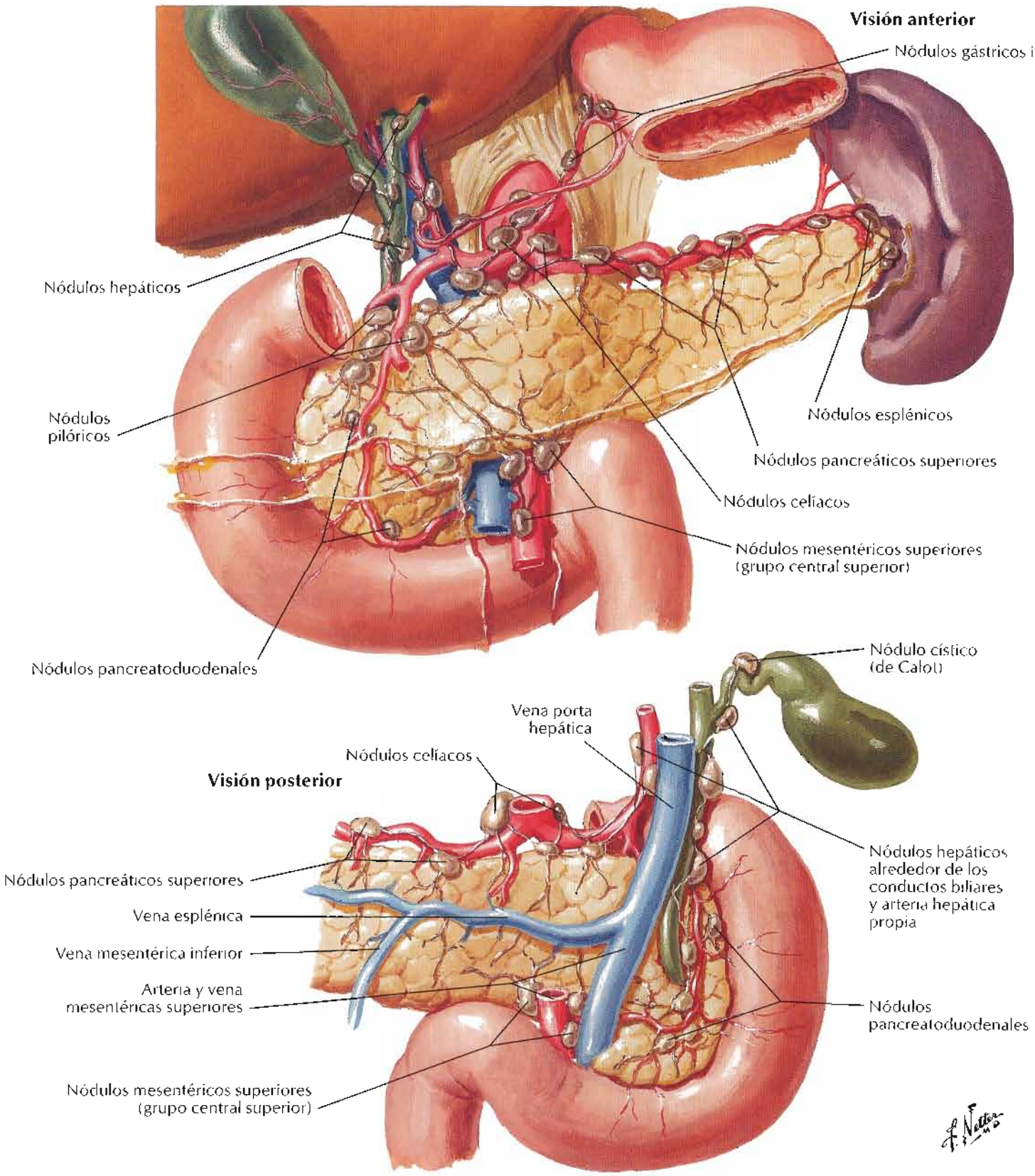


La vena gástrica izquierda a menudo desemboca en la unión de las venas esplénica y mesentérica superior

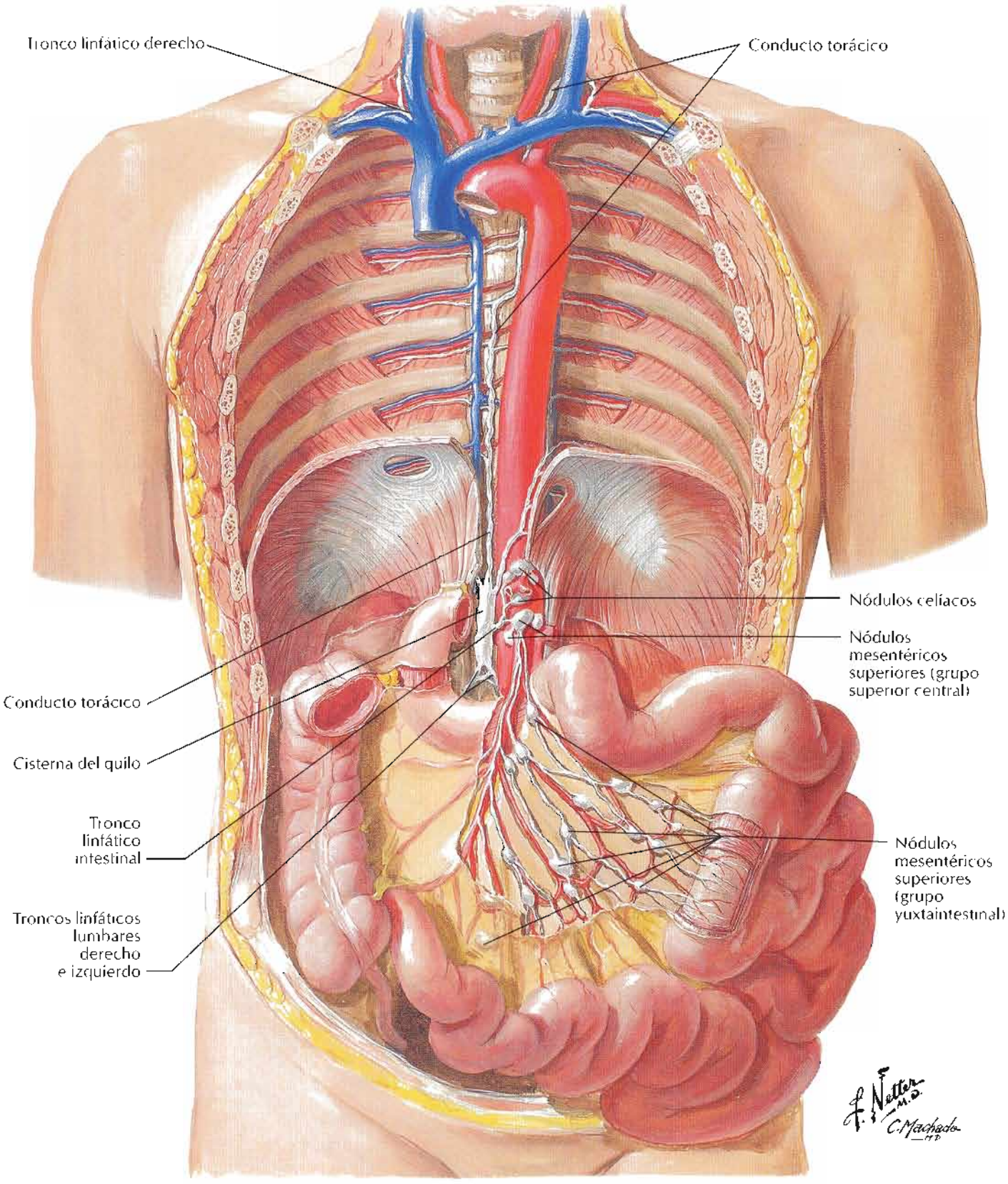


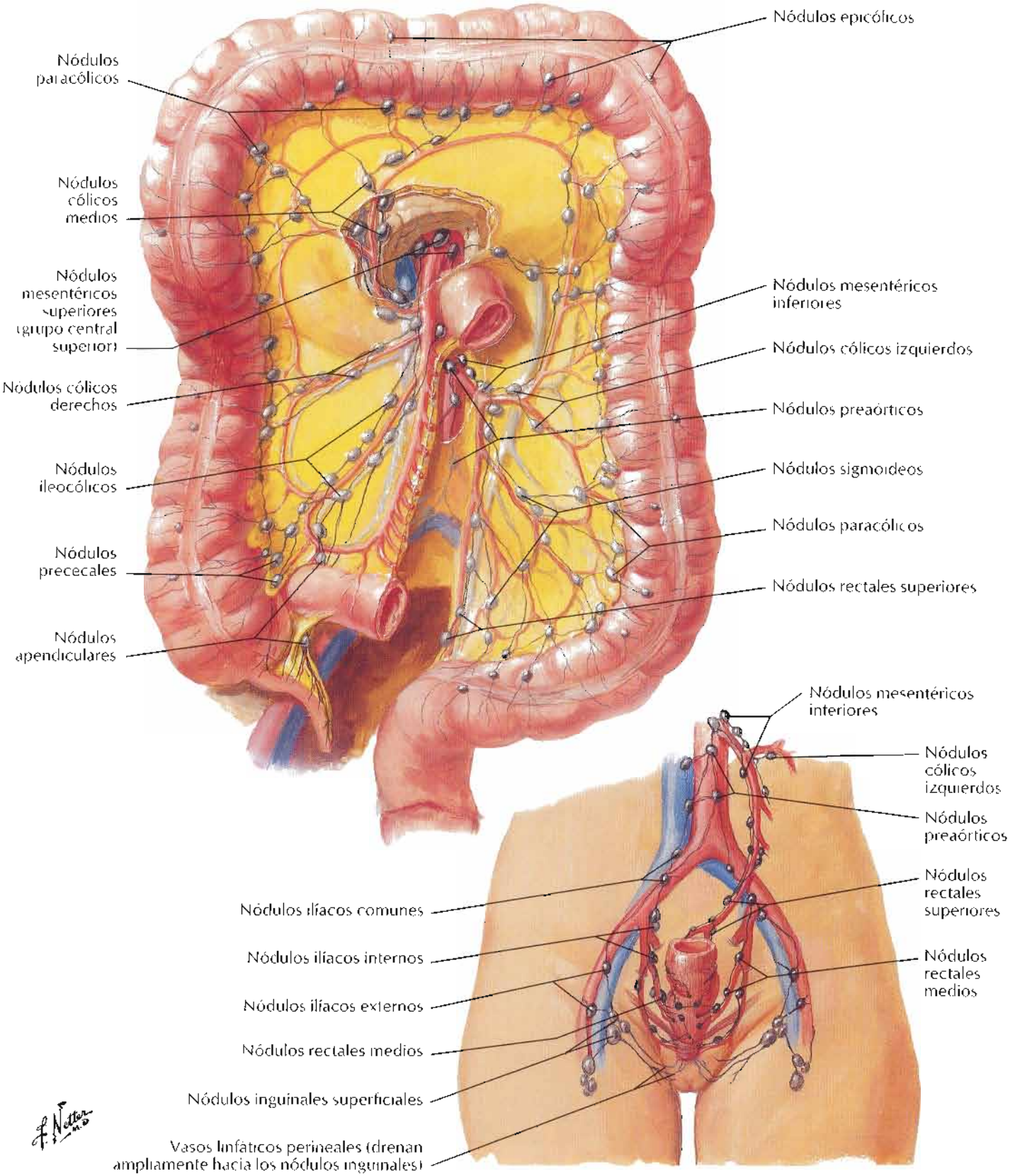
4 Vasos y nódulos linfáticos del estómago




Visión anterior
Nódulos gástricos izquierdos
Nódulos hepáticos
Nódulos pilóricos
Nódulos esplénicos
Nódulos pancreáticos superiores
Nódulos celíacos
Nódulos mesentéricos superiores (grupo central superior)
Nódulos pancreatoduodenales
Nódulo cístico (de Calot)
Vena porta hepática
Nódulos celíacos
Visión posterior
Nódulos hepáticos alrededor de los conductos biliares y arteria hepática propia
Nódulos pancreáticos superiores
Vena esplénica
Vena mesentérica inferior
Arteria y vena mesentéricas superiores
Nódulos pancreatoduodenales
Nódulos mesentéricos superiores (grupo central superior)

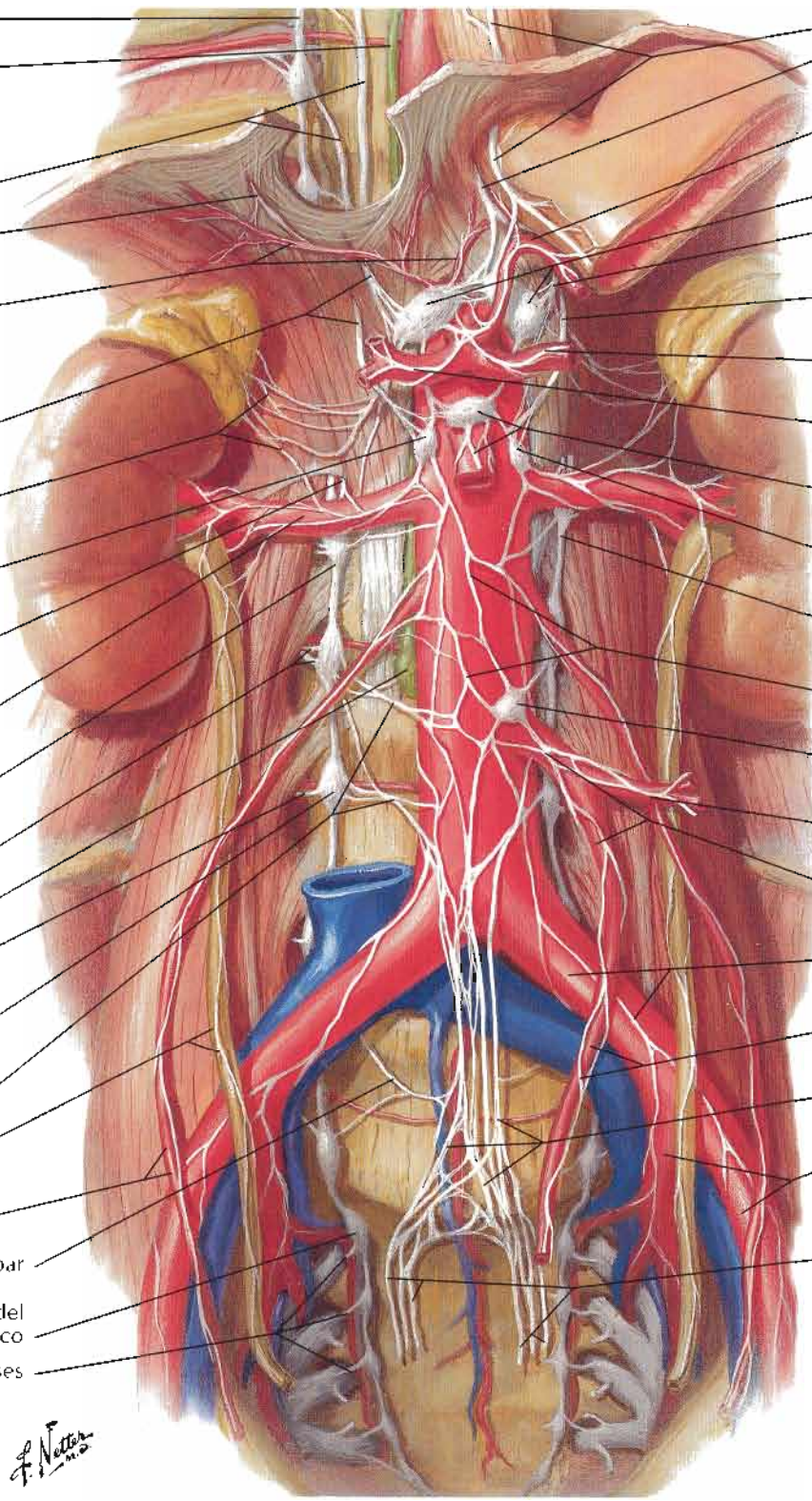
4 Vasos y nódulos linfáticos del intestino delgado




Nódulos epicólicos
Nódulos paracólicos
Nódulos cólicos medios
Nódulos mesentéricos superiores (grupo central superior)
Nódulos cólicos derechos
Nódulos ileocólicos
Nódulos prececales
Nódulos apendiculares
Nódulos mesentéricos inferiores
Nódulos cólicos izquierdos
Nódulos preaórticos
Nódulos sigmoideos
Nódulos paracólicos
Nódulos rectales superiores
Nódulos mesentéricos inferiores
Nódulos cólicos izquierdos
Nódulos preaórticos
Nódulos rectales superiores
Nódulos rectales medios
Nódulos ilíacos comunes
Nódulos ilíacos internos
Nódulos ilíacos externos
Nódulos rectales medios
Nódulos inguinales superficiales
Vasos linfáticos perineales (drenan ampliamente hacia los nódulos inguinales)

Nervios y ganglios autónomos del abdomen

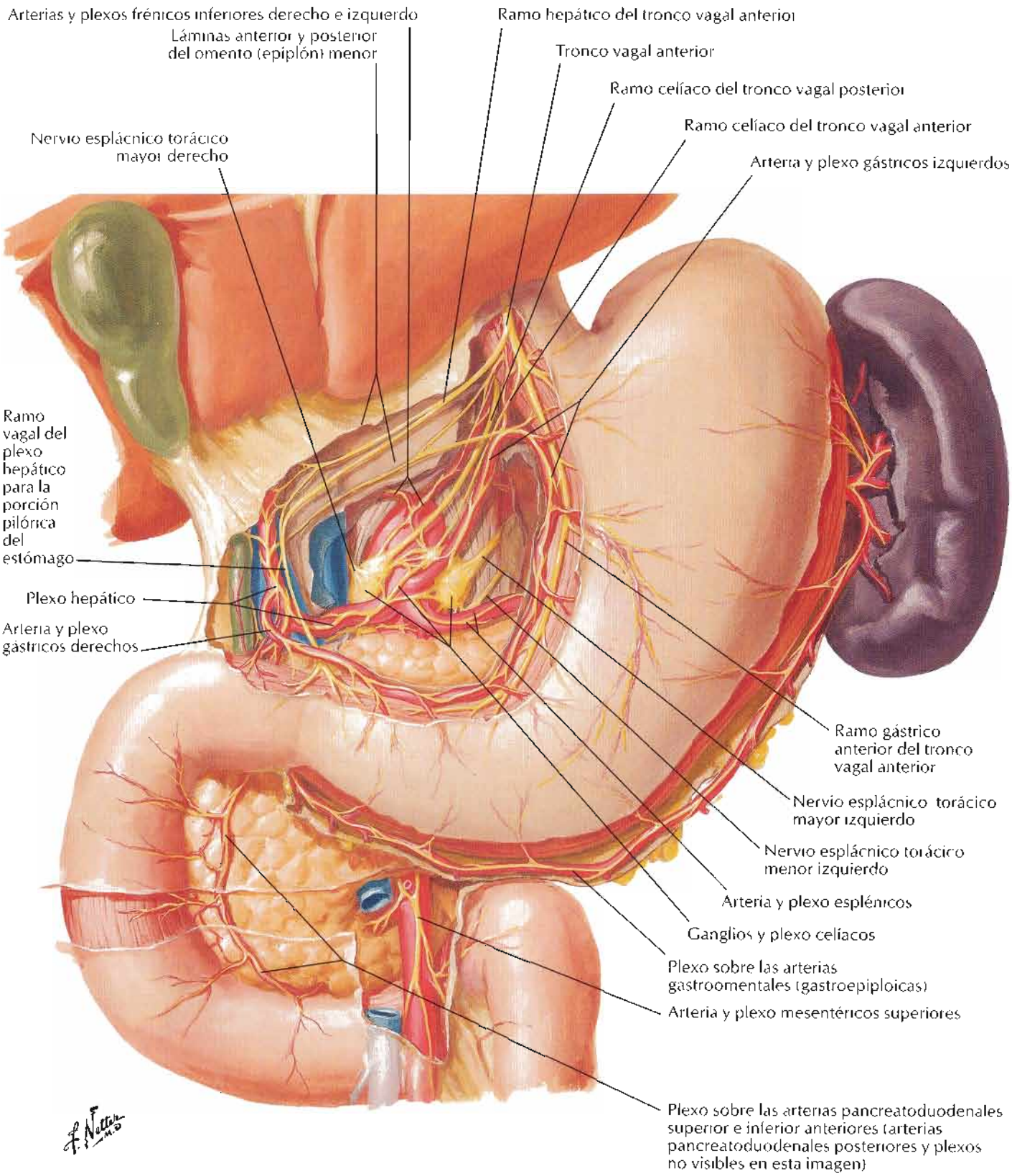
Véanse también **láminas 165, 166**



Tronco simpático derecho
Conducto torácico
Nervios esplácnicos torácicos mayor y menor derechos
Nervio frénico derecho
Arterias y plexos frénicos inferiores
Nervios esplácnicos torácicos mayor y menor derechos
Plexo suprarrenal derecho
Ganglio aorticorrenal derecho
Nervio esplácnico torácico imo derecho
Arteria y plexo renales derechos
Tronco simpático derecho
Ramos comunicantes gris y blanco
Cisterna del quilo
Ramo comunicante gris
3.er ganglio lumbar del tronco simpático
2.° y 3.er nervios esplácnicos lumbares
Uréter derecho y su plexo
Arteria y plexo testiculares (ováricos) derechos
4.° nervio esplácnico lumbar
1.er ganglio sacro del tronco simpático
Ramos comunicantes grises

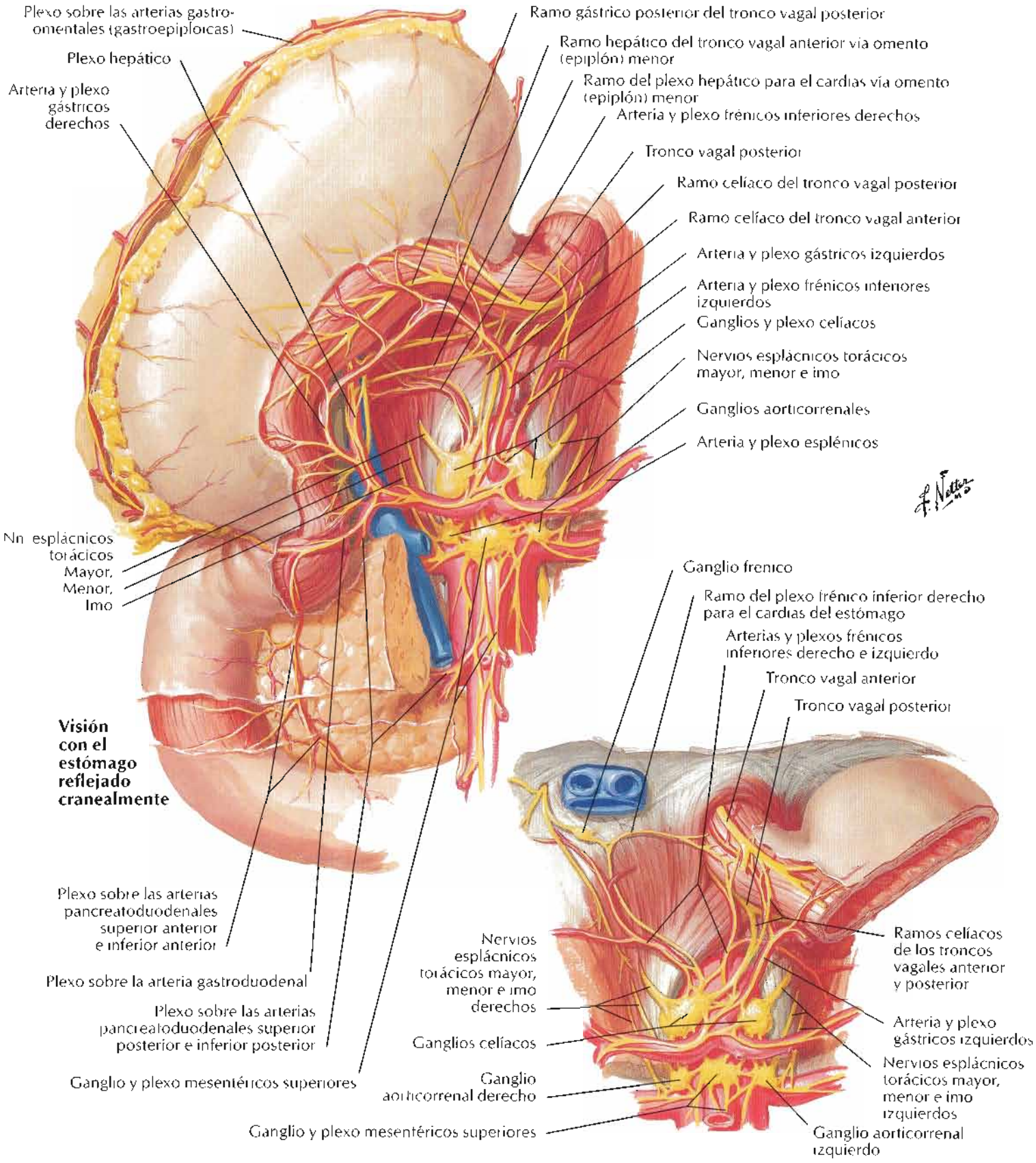
Troncos vagales anterior, Posterior
Arteria y plexo gástricos izquierdos
Ganglios celíacos
Nervio esplácnico torácico mayor izquierdo
Nervio esplácnico torácico menor izquierdo
Arteria y plexo esplénicos
Arteria y plexo hepáticos comunes
Ganglio y plexo mesentéricos superiores
Ganglio aorticorrenal izquierdo
Tronco simpático izquierdo
Plexo intermesentérico (aórtico)
Ganglio mesentérico inferior
Arteria y plexo cólicos izquierdos
Arteria y plexo mesentéricos inferiores
Arteria y plexo ilíacos comunes izquierdos
Arteria y plexo rectales superiores
Plexo hipogástrico superior
Arterias y plexos ilíacos interno y externo
Nervios hipogástricos derecho e izquierdo hacia el plexo hipogástrico inferior (pélvico)

Véanse también **láminas 165, 166**



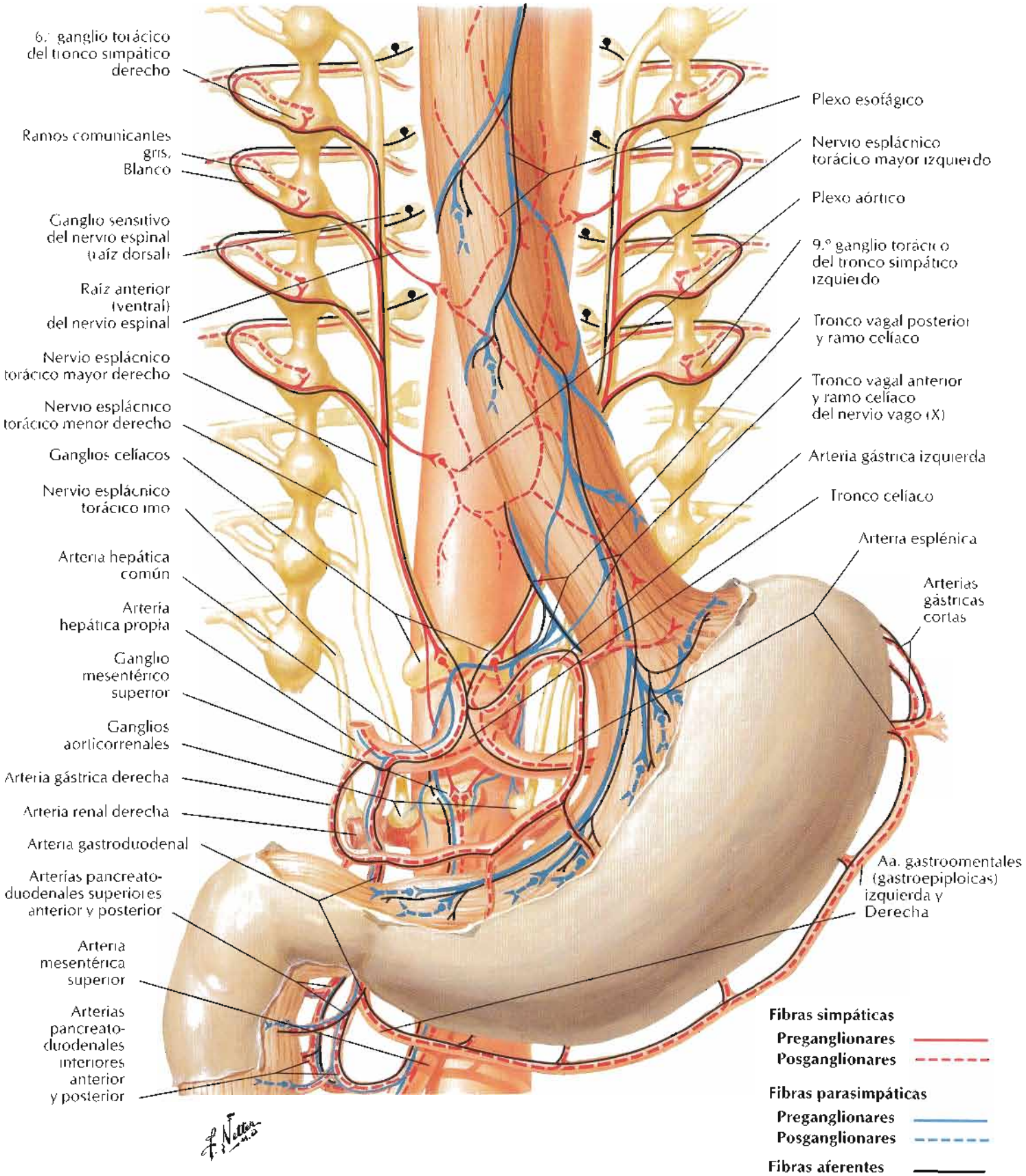
Nervios del estómago y duodeno *(continuación)*

Véanse también **láminas 165, 166**



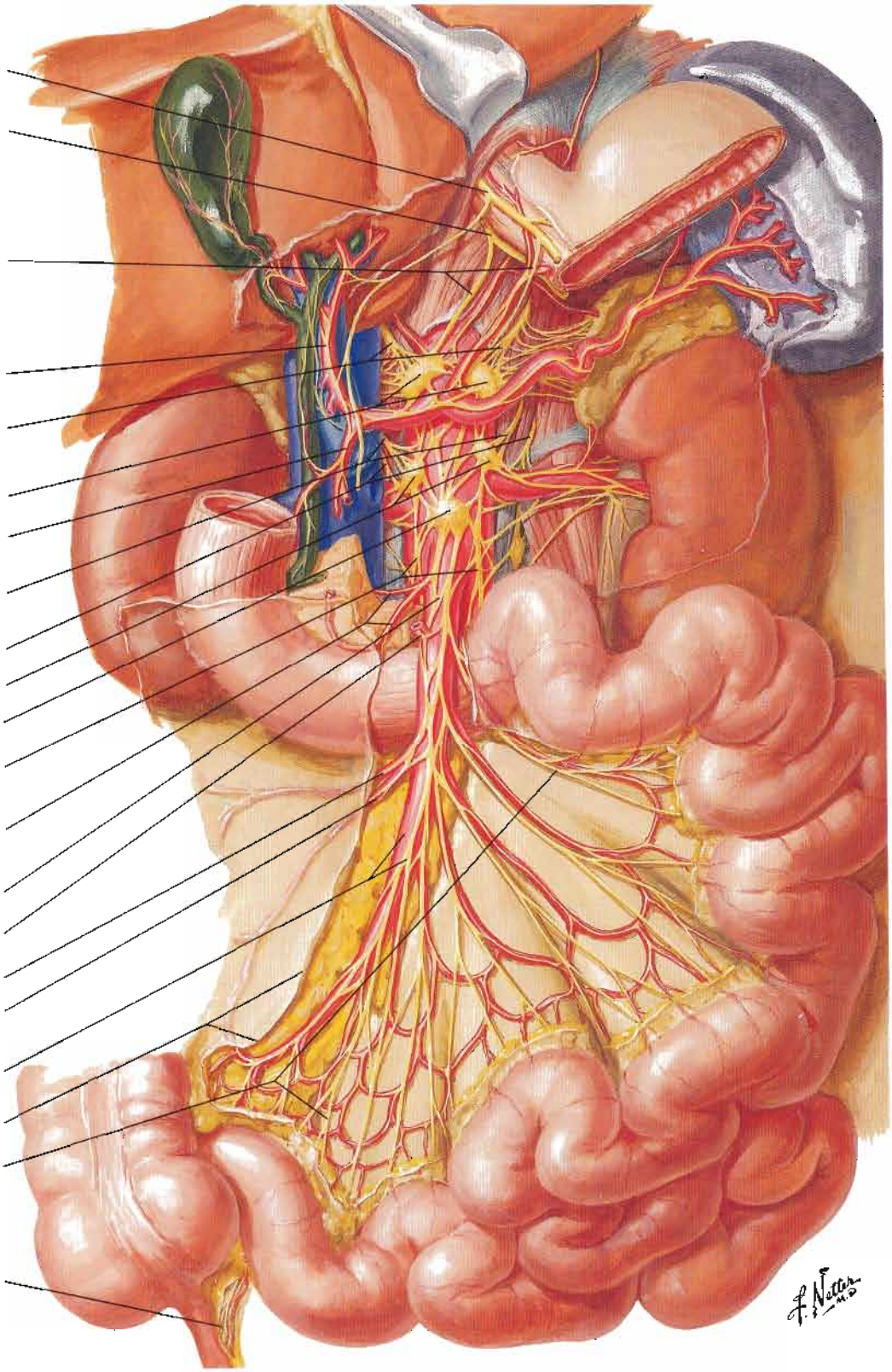
Inervación del estómago y duodeno: esquema

Véanse también **láminas 167, 168**

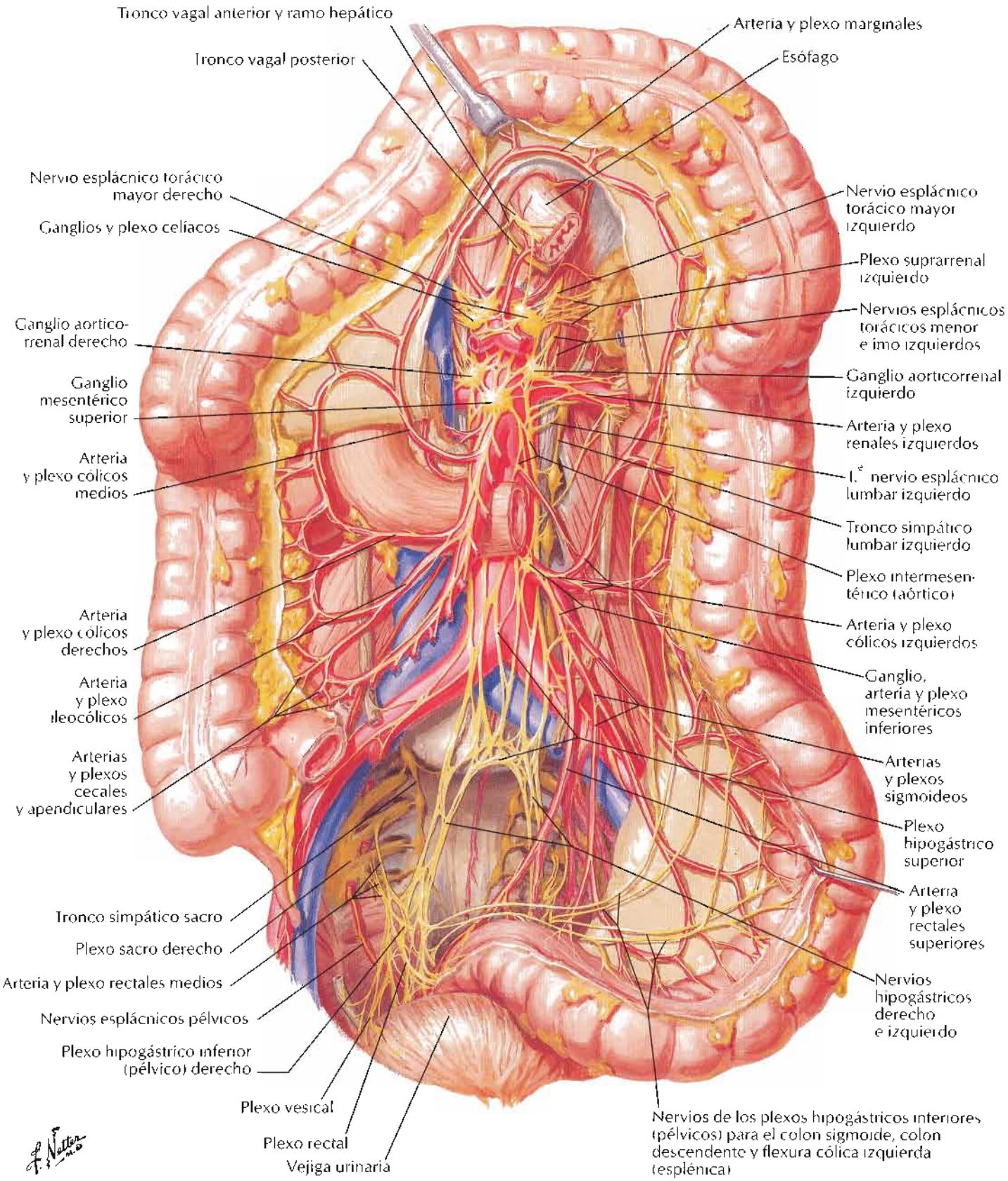


4 Nervios del intestino delgado

Véanse también **láminas 165, 166**

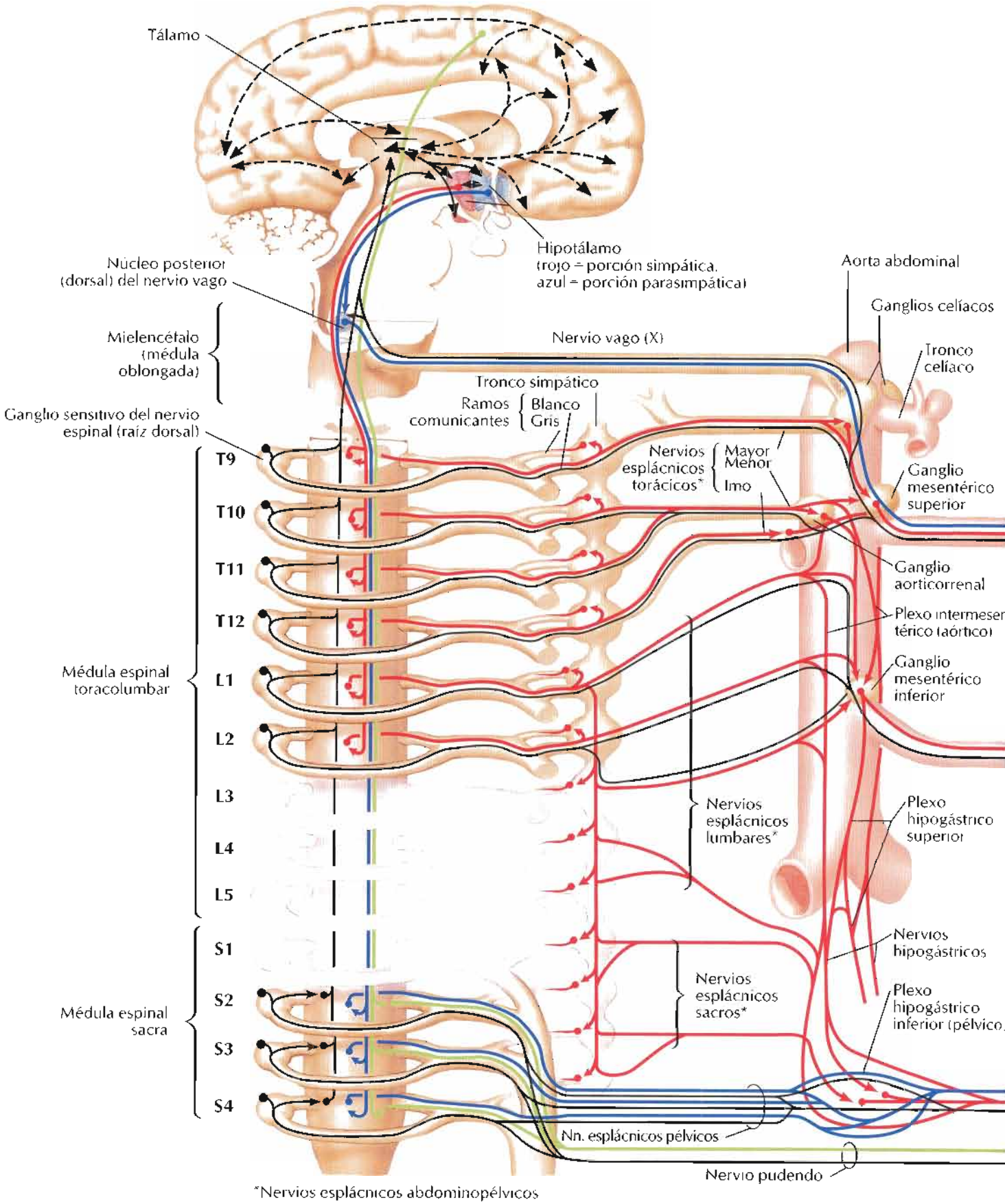


Para los nervios del recto véanse **láminas 165, 166, 410-413**



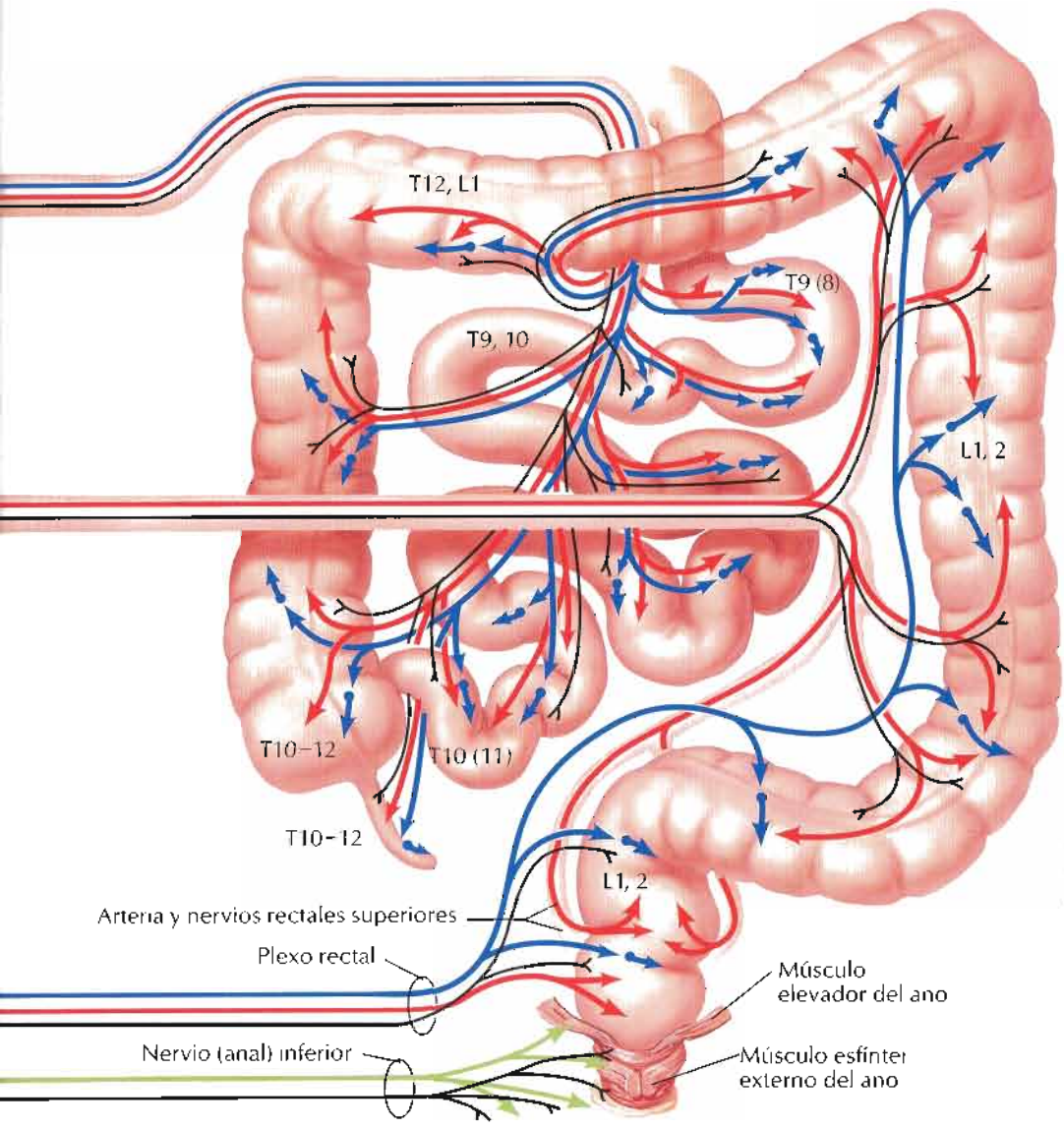
4 Inervación de los intestinos delgado y grueso: esquema

Véanse también **láminas 167, 168**



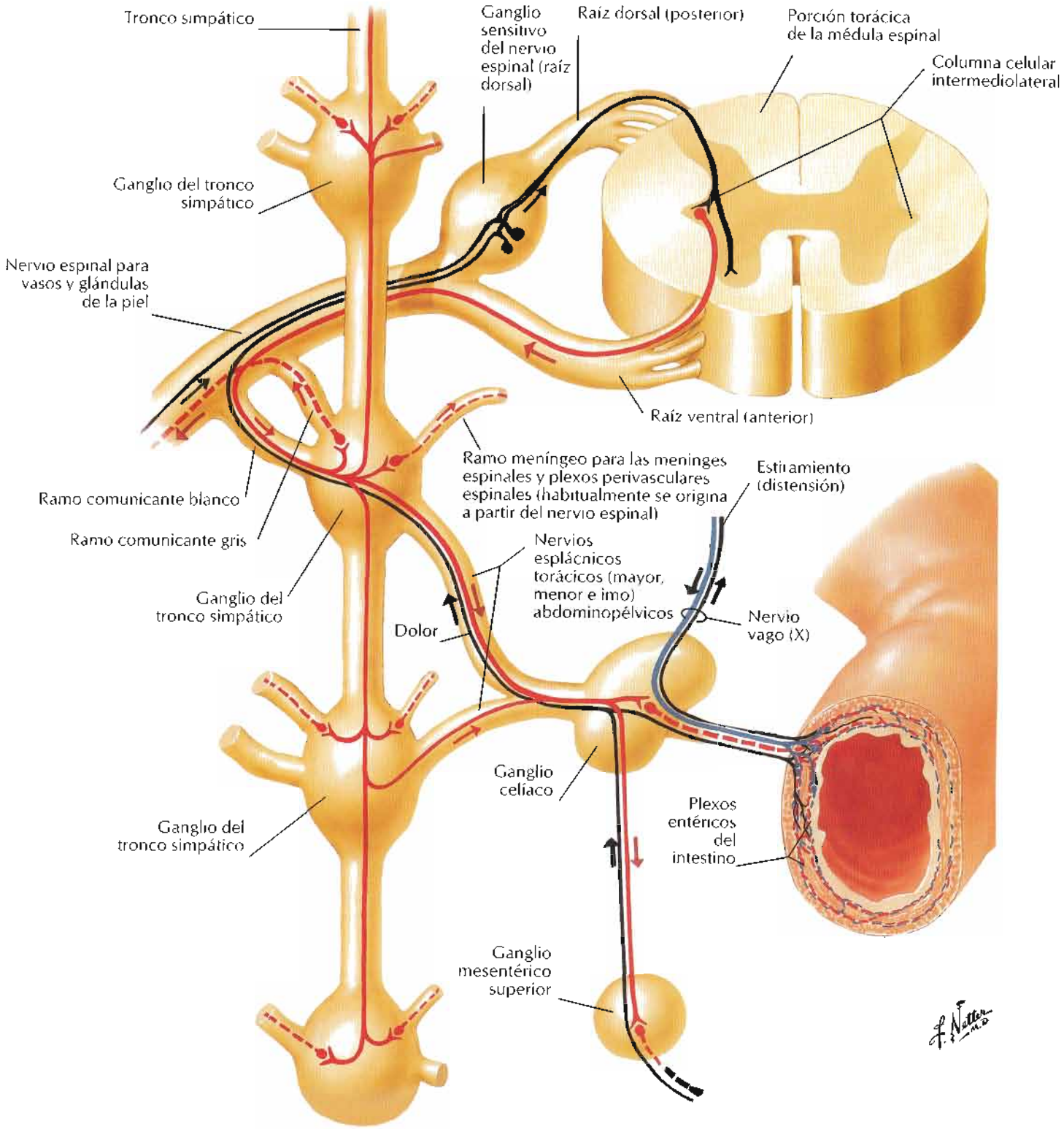
*Nervios esplácnicos abdominopélvicos

Inervación de los intestinos delgado y grueso: esquema

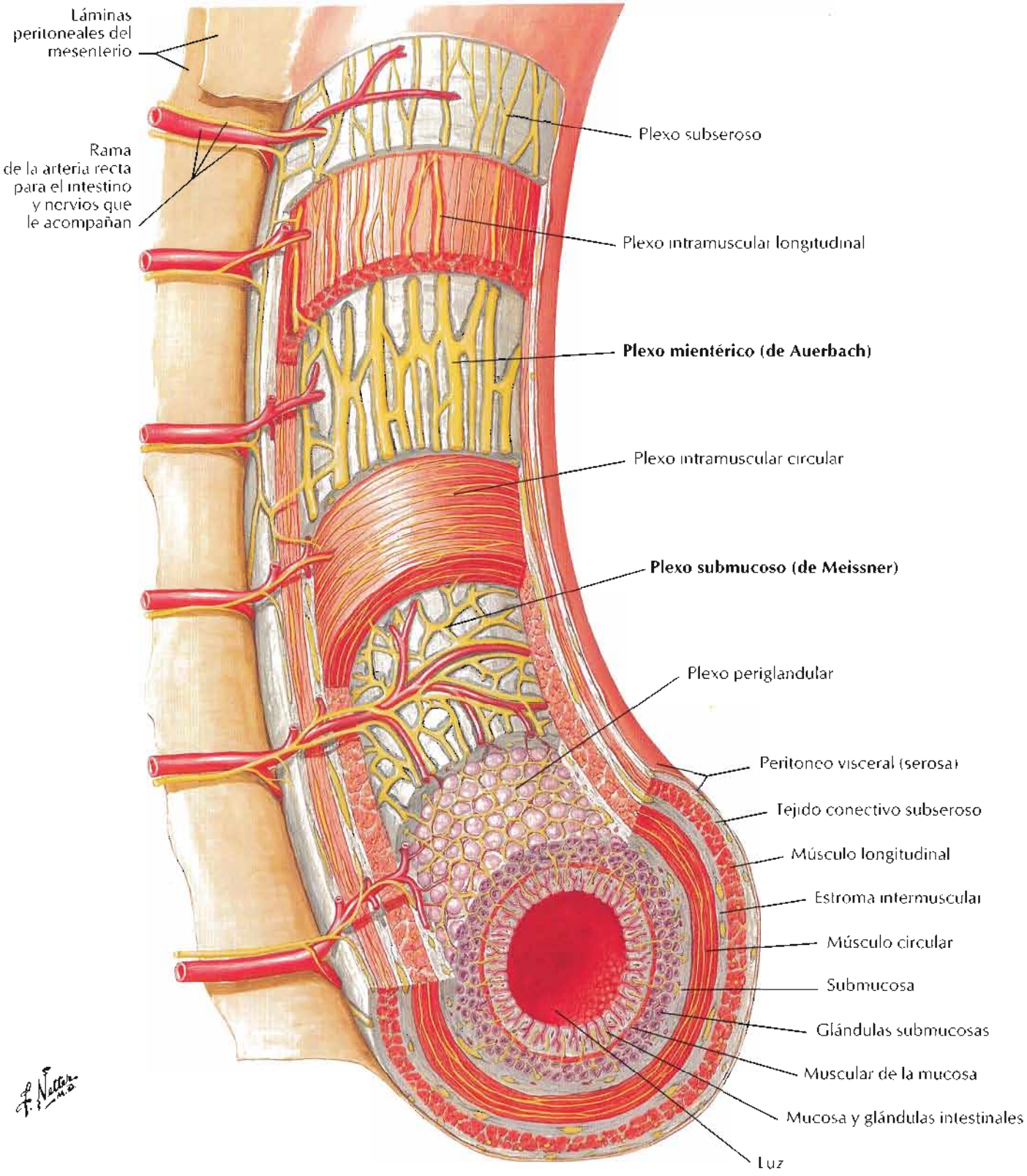


Se indican las principales fuentes segmentarias de fibras simpáticas que inervan diferentes regiones del tracto intestinal. Numerosas fibras aferentes son transportadas centrípetamente a través de casi los mismos nervios esplácnicos simpáticos que transmiten las fibras preganglionares

4 Vías reflejas autónomas: esquema



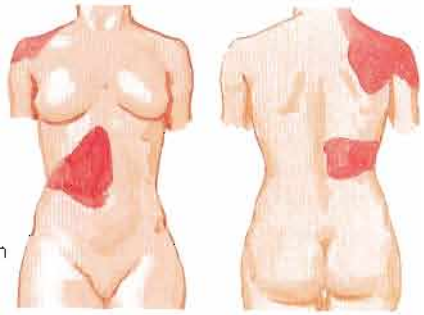
Plexos autónomos intrínsecos del intestino: esquema



Nota: la pared intestinal se muestra mucho más gruesa que en la realidad

4 Inervación del hígado y tracto biliar: esquema

Véanse también **láminas 167, 168**



Áreas habituales de dolor referido en patología biliar

Nervio esplácnico torácico mayor derecho

Tronco vagal posterior

Nervio frénico derecho para la porción diafragmática del peritoneo parietal (¿y visceral?)

Tronco simpático

Ganglio sensitivo del nervio espinal (raíz dorsal)

Porción torácica de la médula espinal

Nervio esplácnico torácico mayor izquierdo

Tronco vagal anterior

T7 T8 T9 T10

Ramo hepático del tronco vagal anterior

Diafragma

Ganglio frénico

Ganglios celíacos

Arteria hepática común

Arteria esplénica

Plexo hepático anterior

Plexo hepático posterior

Aorta

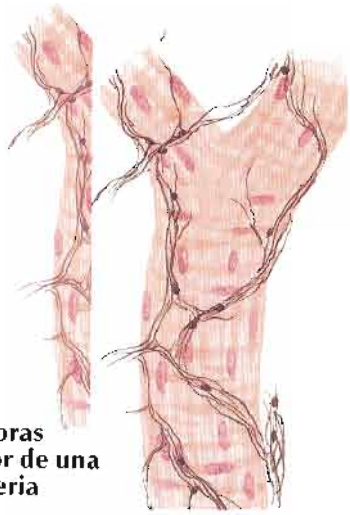
Arteria y plexo gastroduodenales

Esfínter de la ampolla hepatopancreática

Fibras simpáticas
- **Preganglionares**
- **Posganglionares**

Fibras parasimpáticas
- **Preganglionares**
- **Posganglionares**

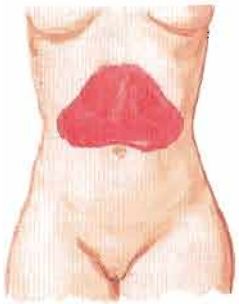
Fibras aferentes



Ramificación de fibras nerviosas alrededor de una fina rama de la arteria hepática

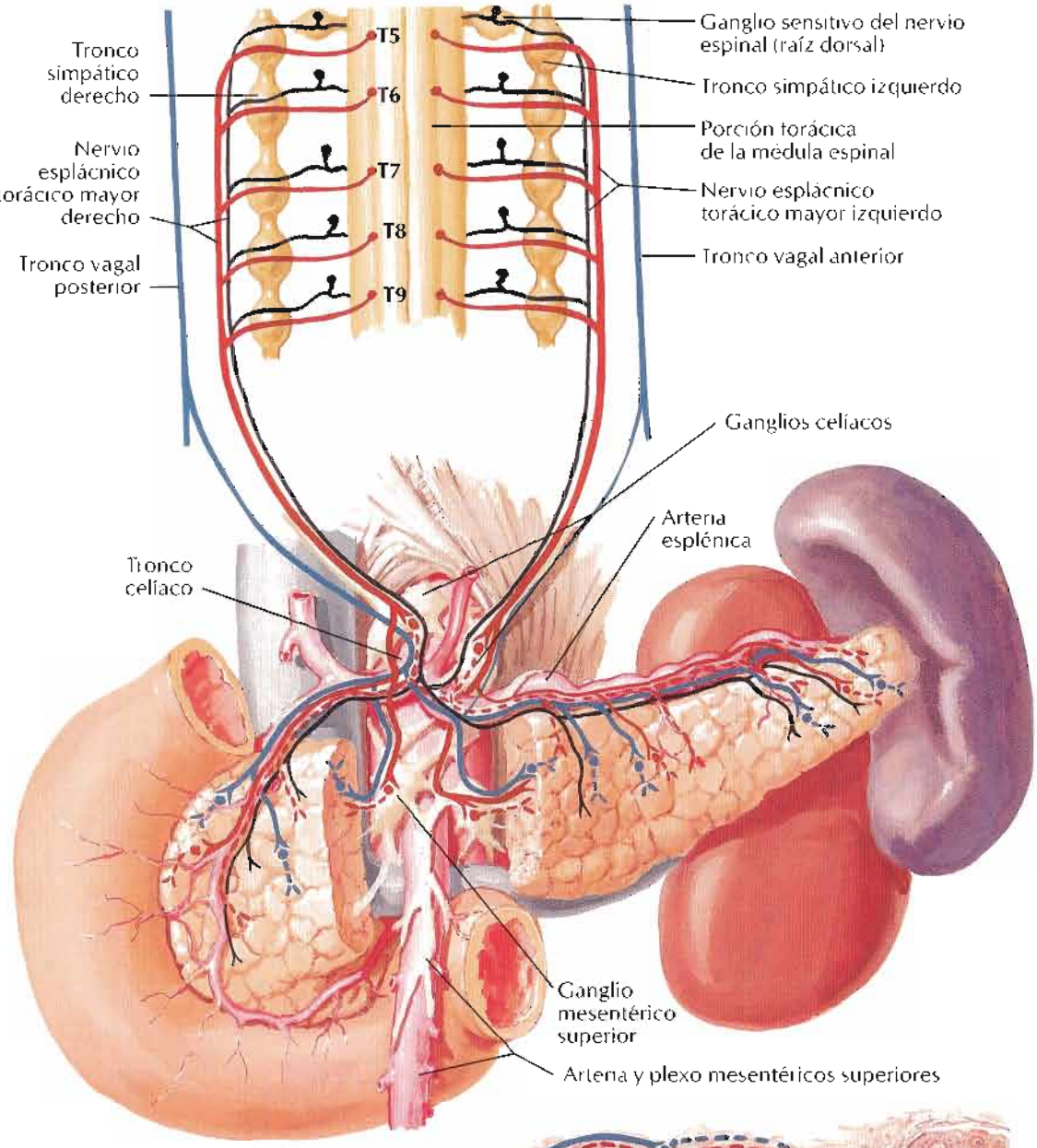
Inervación del páncreas: esquema

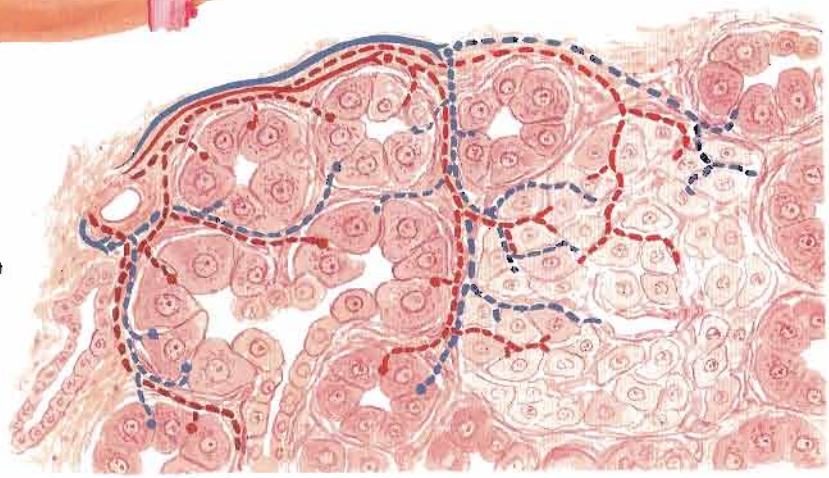
Véanse también **láminas 167, 168**



Áreas habituales de dolor pancreático







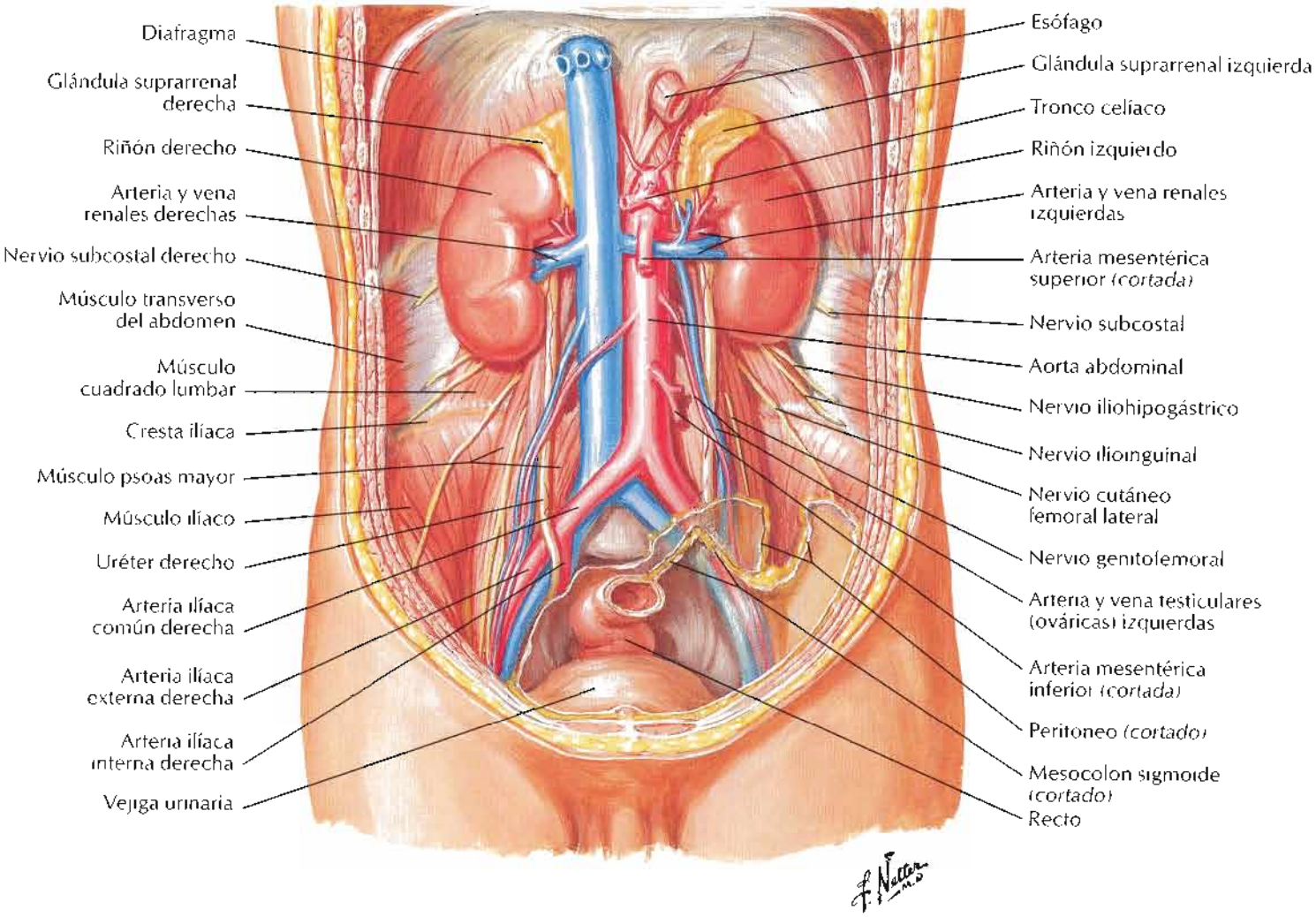
Esquema de la inervación intrínseca

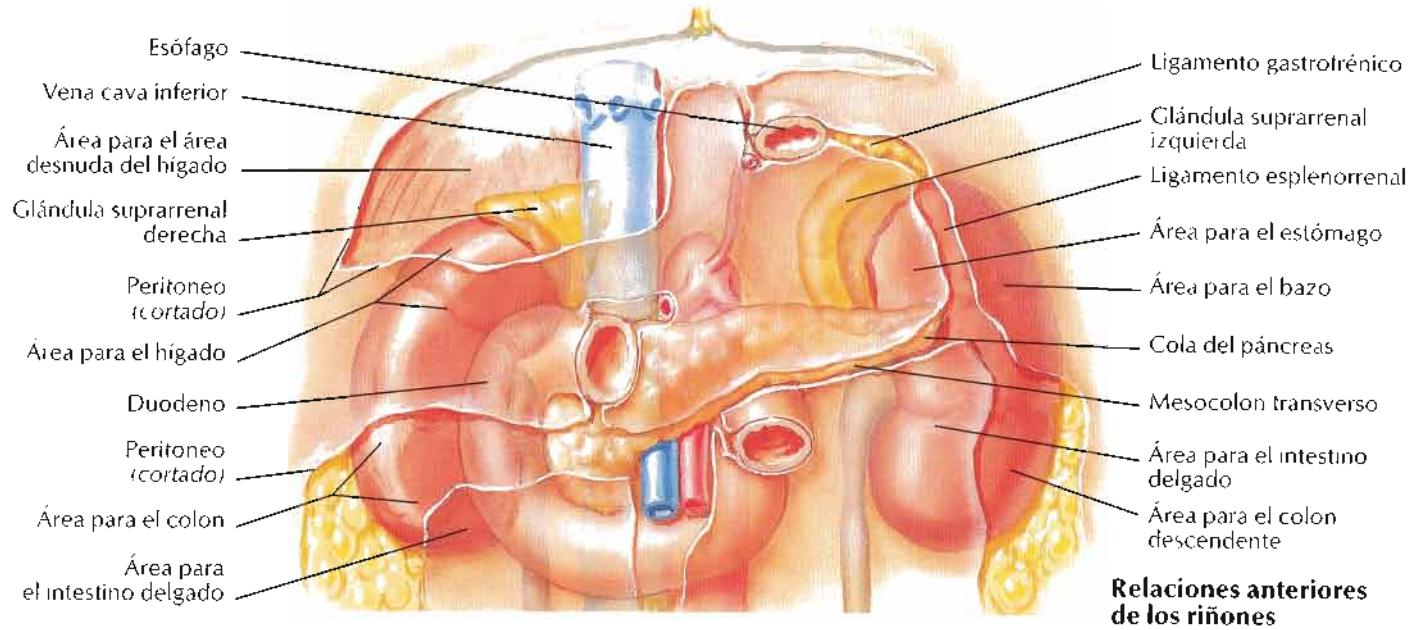
Fibras simpáticas
- **Preganglionares** ——
- **Posganglionares** - - - - -

Fibras parasimpáticas
- **Preganglionares** ——
- **Posganglionares** - - - - -

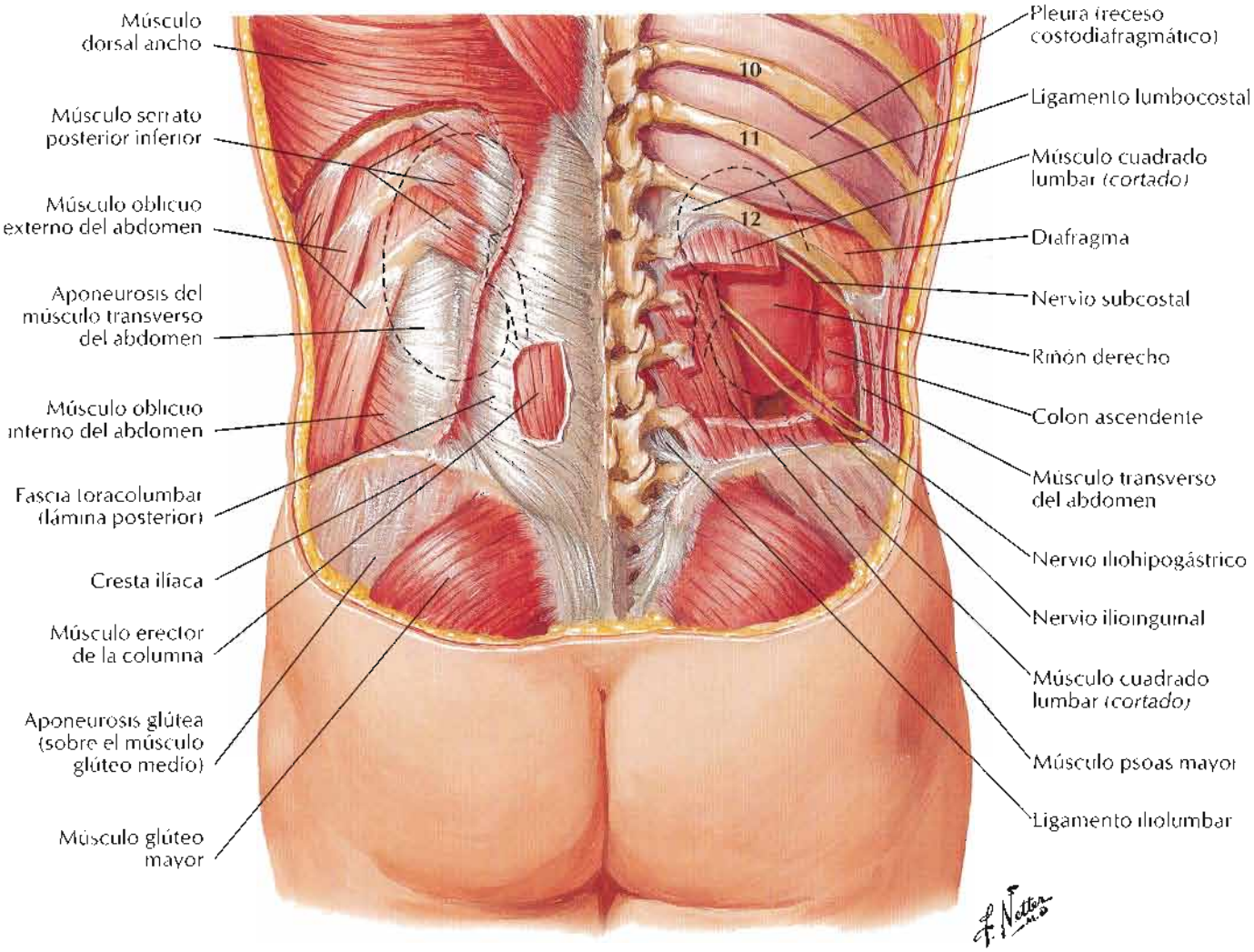
Fibras aferentes ——

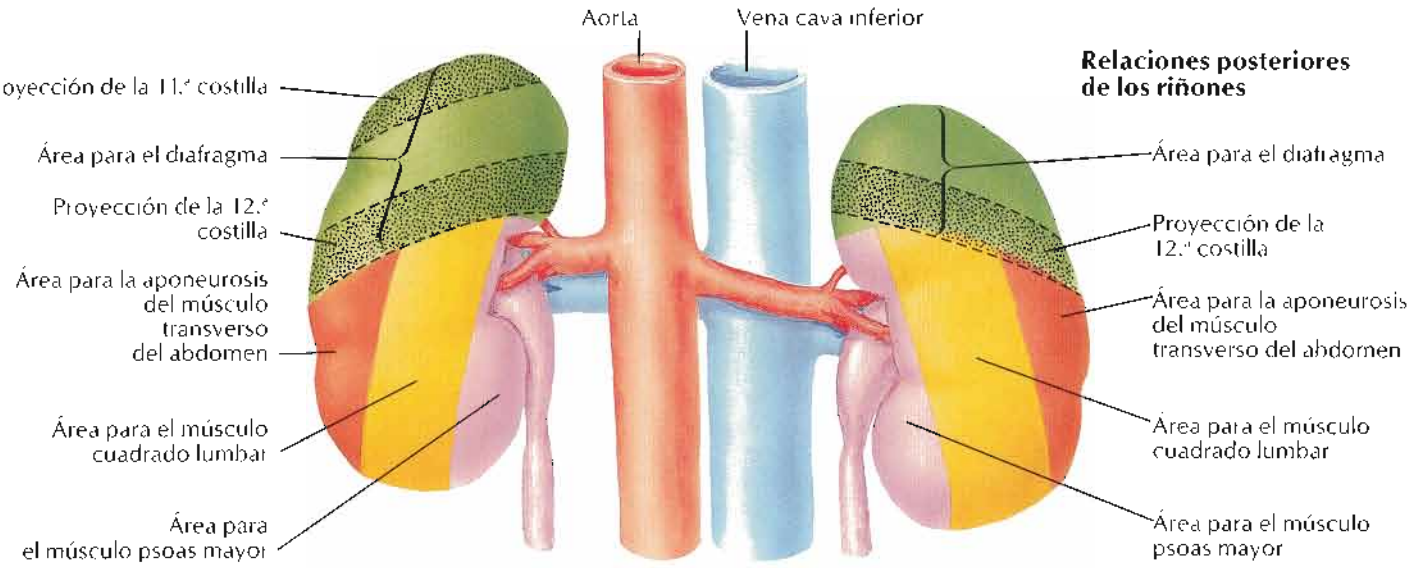
4 Riñones in situ: visiones anteriores





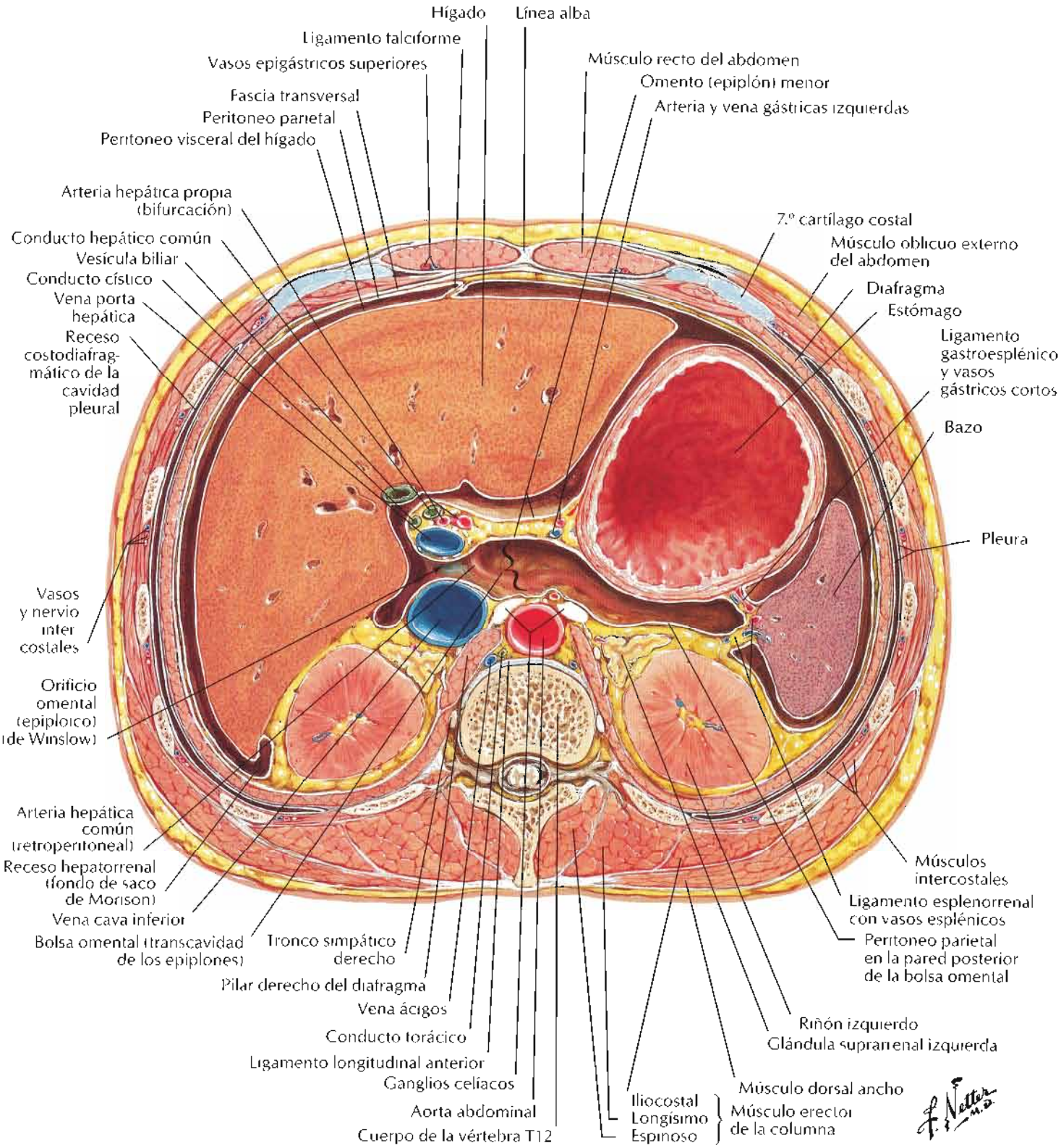
Relaciones anteriores de los riñones

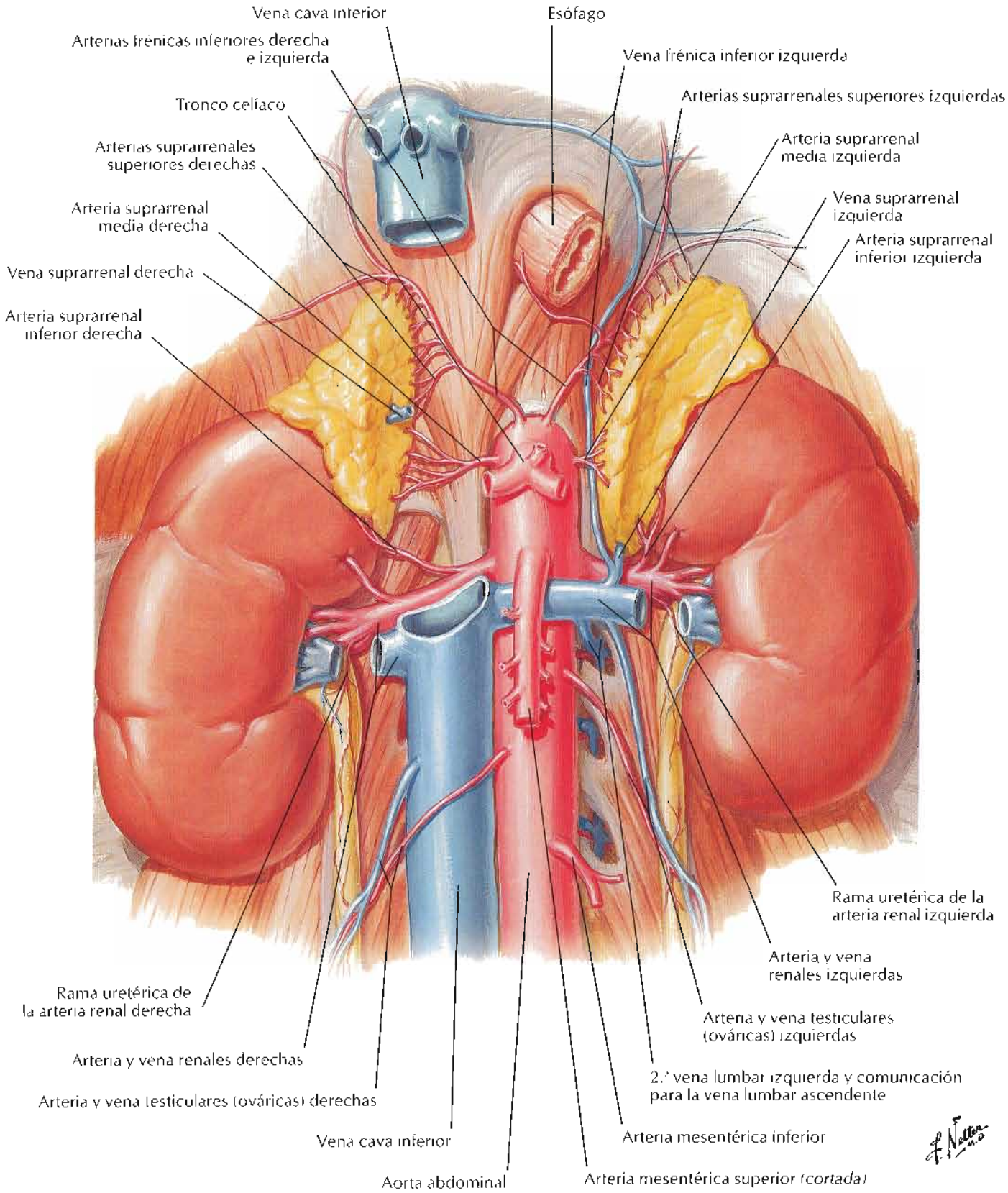

Músculo dorsal ancho
Músculo serrato posterior inferior
Músculo oblicuo externo del abdomen
Aponeurosis del músculo transverso del abdomen
Músculo oblicuo interno del abdomen
Fascia toracolumbar (lámina posterior)
Cresta ilíaca
Músculo erector de la columna
Aponeurosis glútea (sobre el músculo glúteo medio)
Músculo glúteo mayor
10
11
12
Pleura (receso costodiafragmático)
Ligamento lumbocostal
Músculo cuadrado lumbar (cortado)
Diafragma
Nervio subcostal
Riñón derecho
Colon ascendente
Músculo transverso del abdomen
Nervio iliohipogástrico
Nervio ilioinguinal
Músculo cuadrado lumbar (cortado)
Músculo psoas mayor
Ligamento iliolumbar


Aorta
Vena cava inferior
Proyección de la 11.ª costilla
Área para el diafragma
Proyección de la 12.ª costilla
Área para la aponeurosis del músculo transverso del abdomen
Área para el músculo cuadrado lumbar
Área para el músculo psoas mayor
Relaciones posteriores de los riñones
Área para el diafragma
Proyección de la 12.ª costilla
Área para la aponeurosis del músculo transverso del abdomen
Área para el músculo cuadrado lumbar
Área para el músculo psoas mayor

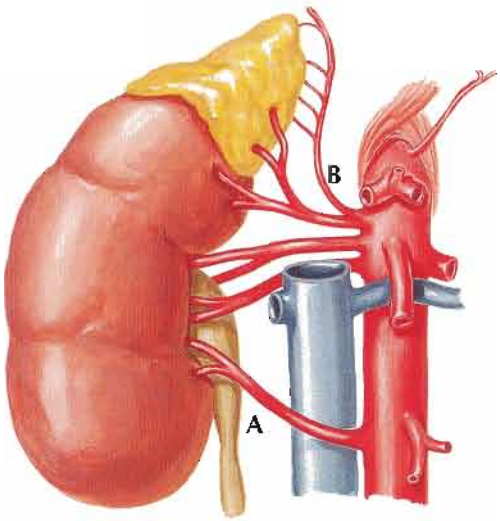
4 Sección transversal del abdomen a nivel de T12

Véanse también **láminas 293, 297, 338, 339**



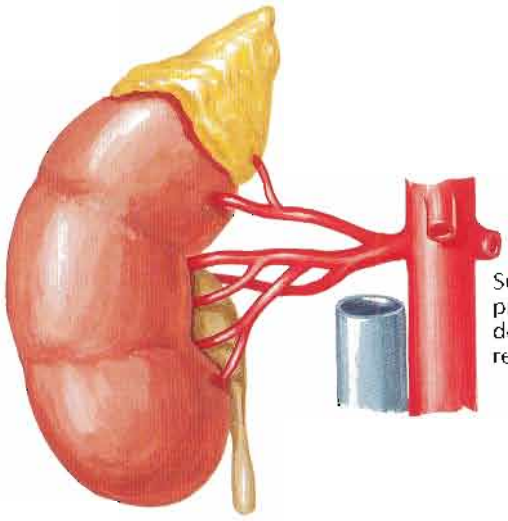

Vena cava inferior
Esófago
Arterias frénicas inferiores derecha e izquierda
Vena frénica inferior izquierda
Arterias suprarrenales superiores izquierdas
Tronco celíaco
Arteria suprarrenal media izquierda
Arterias suprarrenales superiores derechas
Vena suprarrenal izquierda
Arteria suprarrenal media derecha
Arteria suprarrenal inferior izquierda
Vena suprarrenal derecha
Arteria suprarrenal inferior derecha
Rama uretérica de la arteria renal izquierda
Arteria y vena renales izquierdas
Rama uretérica de la arteria renal derecha
Arteria y vena testiculares (ováricas) izquierdas
Arteria y vena renales derechas
2.ª vena lumbar izquierda y comunicación para la vena lumbar ascendente
Arteria y vena testiculares (ováricas) derechas
Vena cava inferior
Arteria mesentérica inferior
Aorta abdominal
Arteria mesentérica superior (cortada)

4 Variaciones en la arteria y vena renales

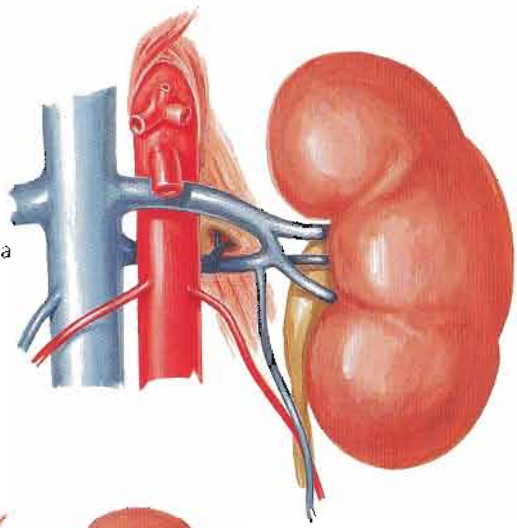


A La arteria renal derecha accesoria baja puede pasar anterior a la vena cava inferior, en lugar de posterior a ésta

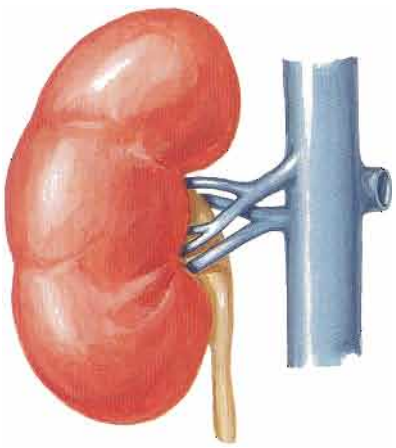
B La arteria frénica inferior con arterias suprarrenales superiores puede originarse a partir de la arteria renal (arteria suprarrenal media ausente)



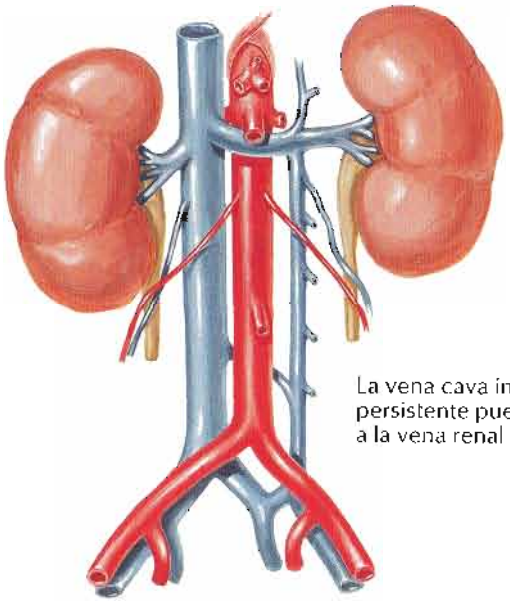
Subdivisión proximal de la arteria renal



La vena renal izquierda doble puede formar un anillo alrededor de la aorta abdominal

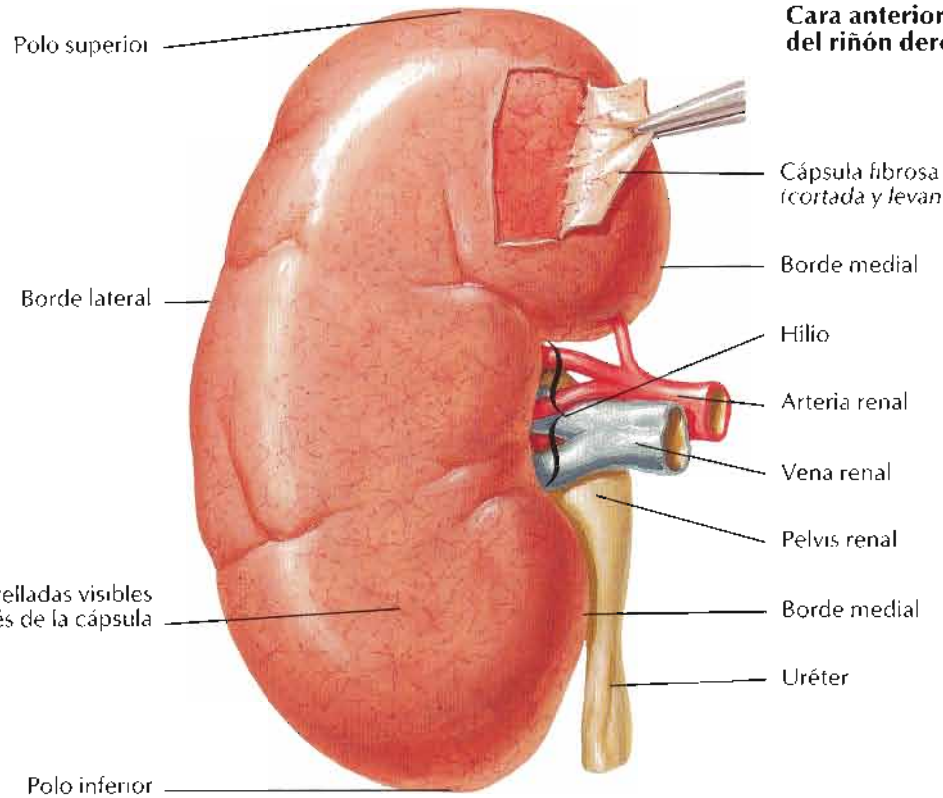


Venas renales múltiples

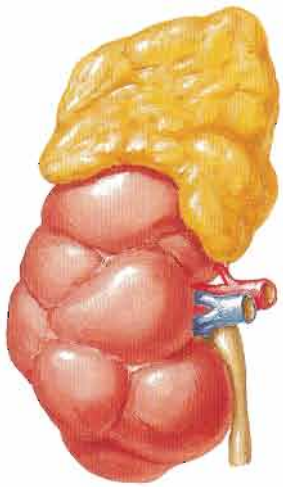


La vena cava inferior izquierda persistente puede unirse a la vena renal izquierda

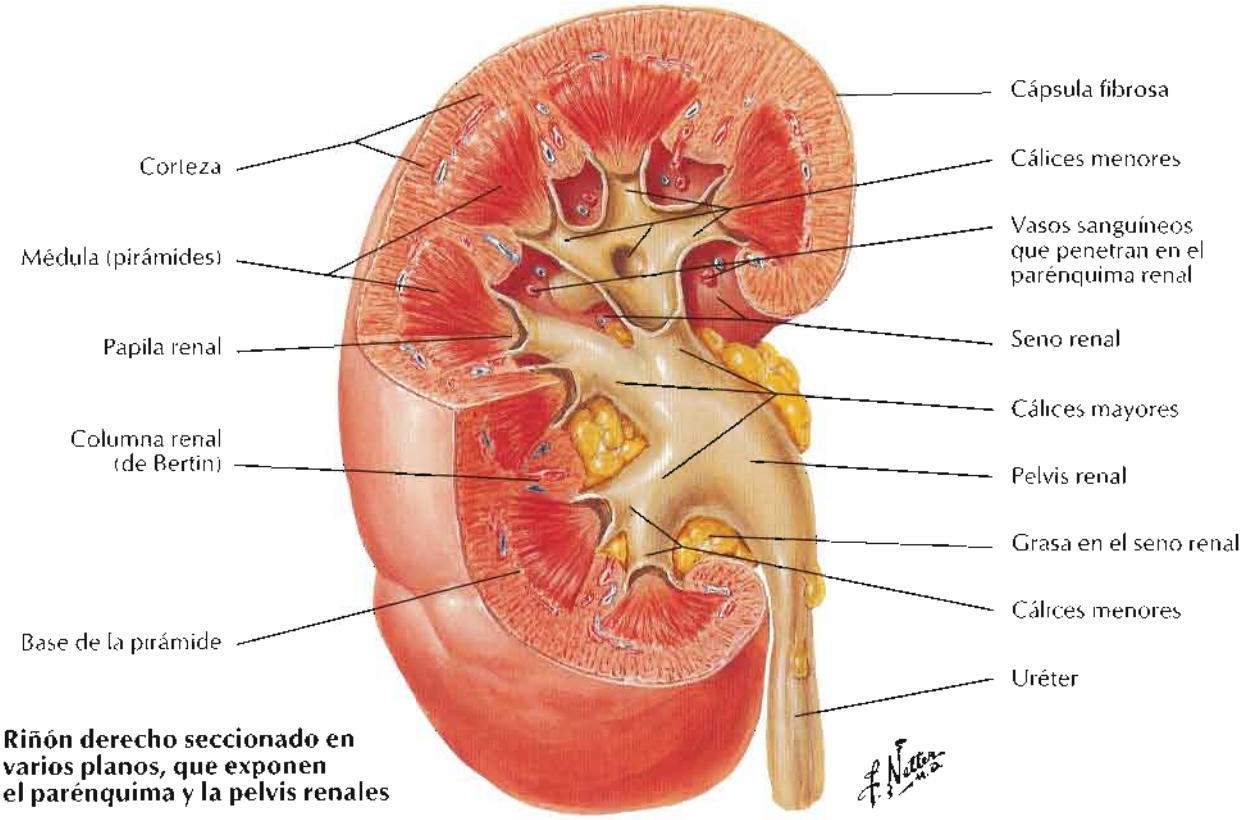
F. Netter M.D.



Cara anterior del riñón derecho

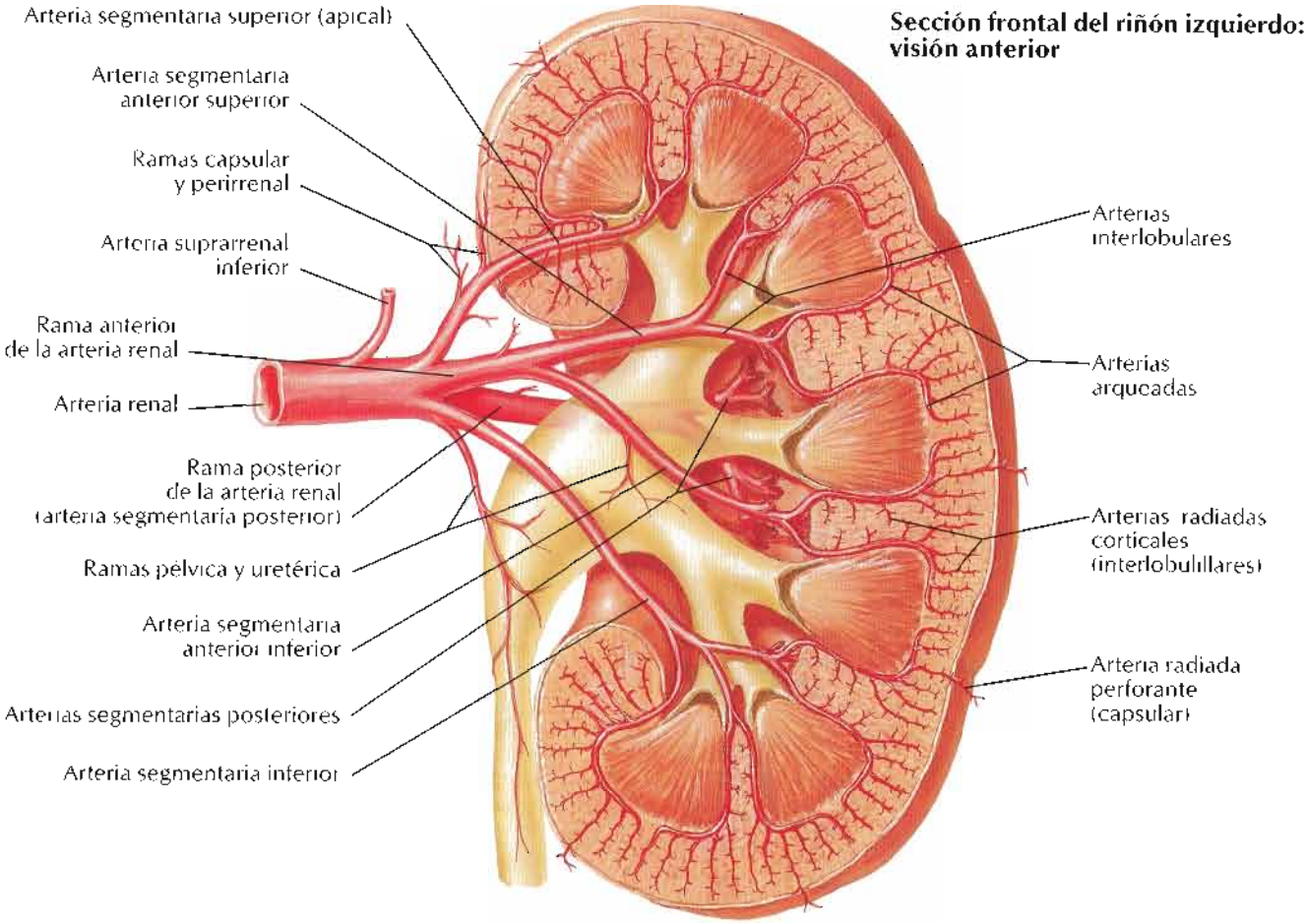


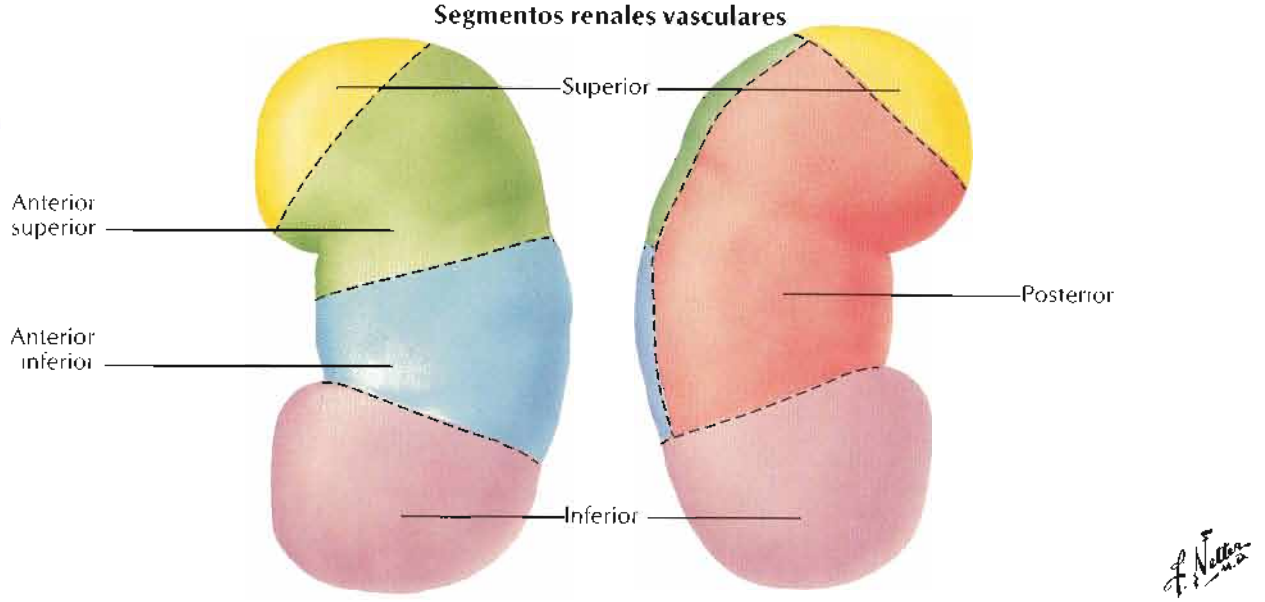
Glándula suprarrenal y riñón lobulado de un lactante

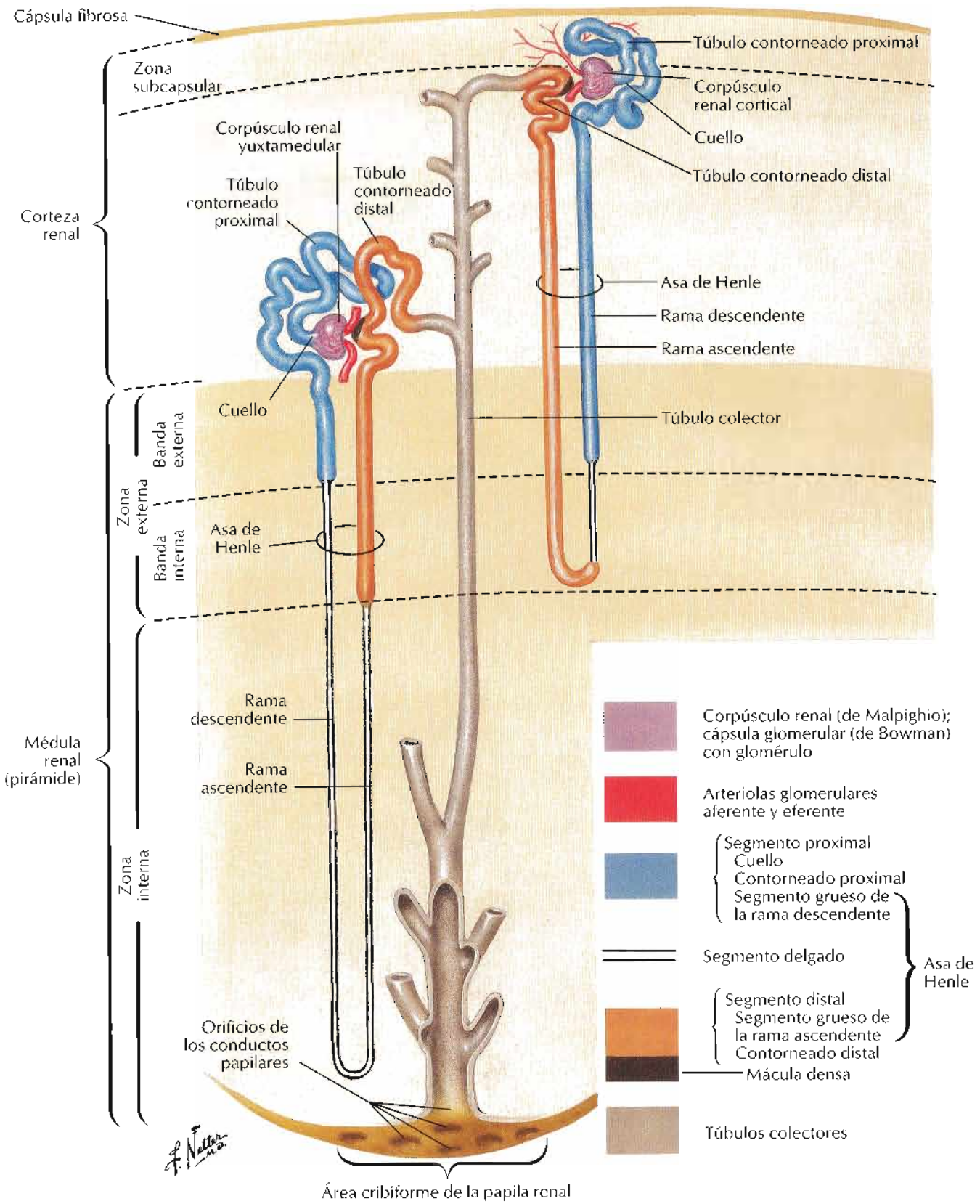


Riñón derecho seccionado en varios planos, que exponen el parénquima y la pelvis renales

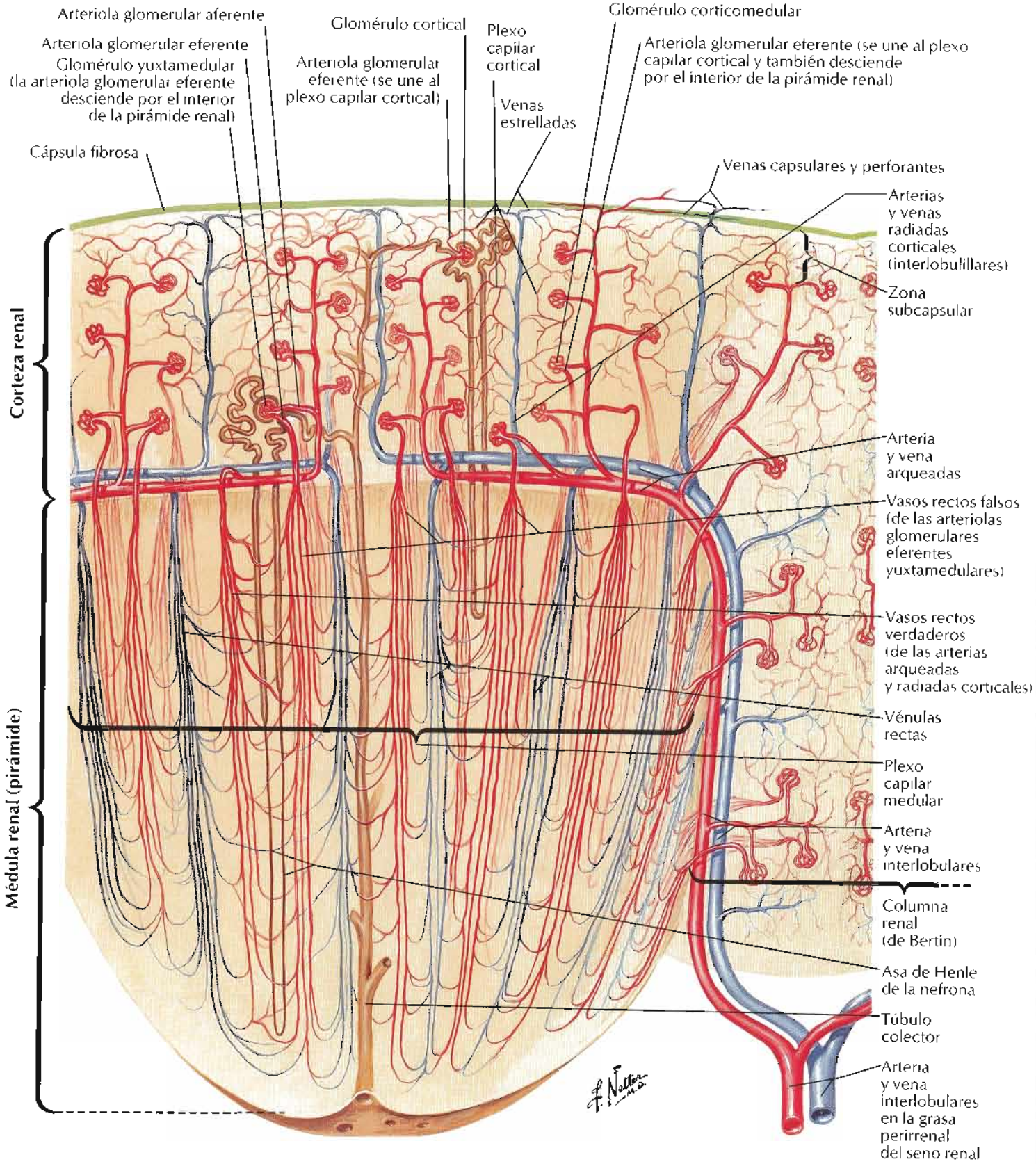
Arterias intrarrenales y segmentos del riñón

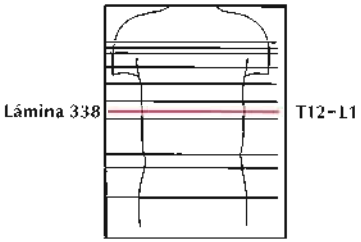




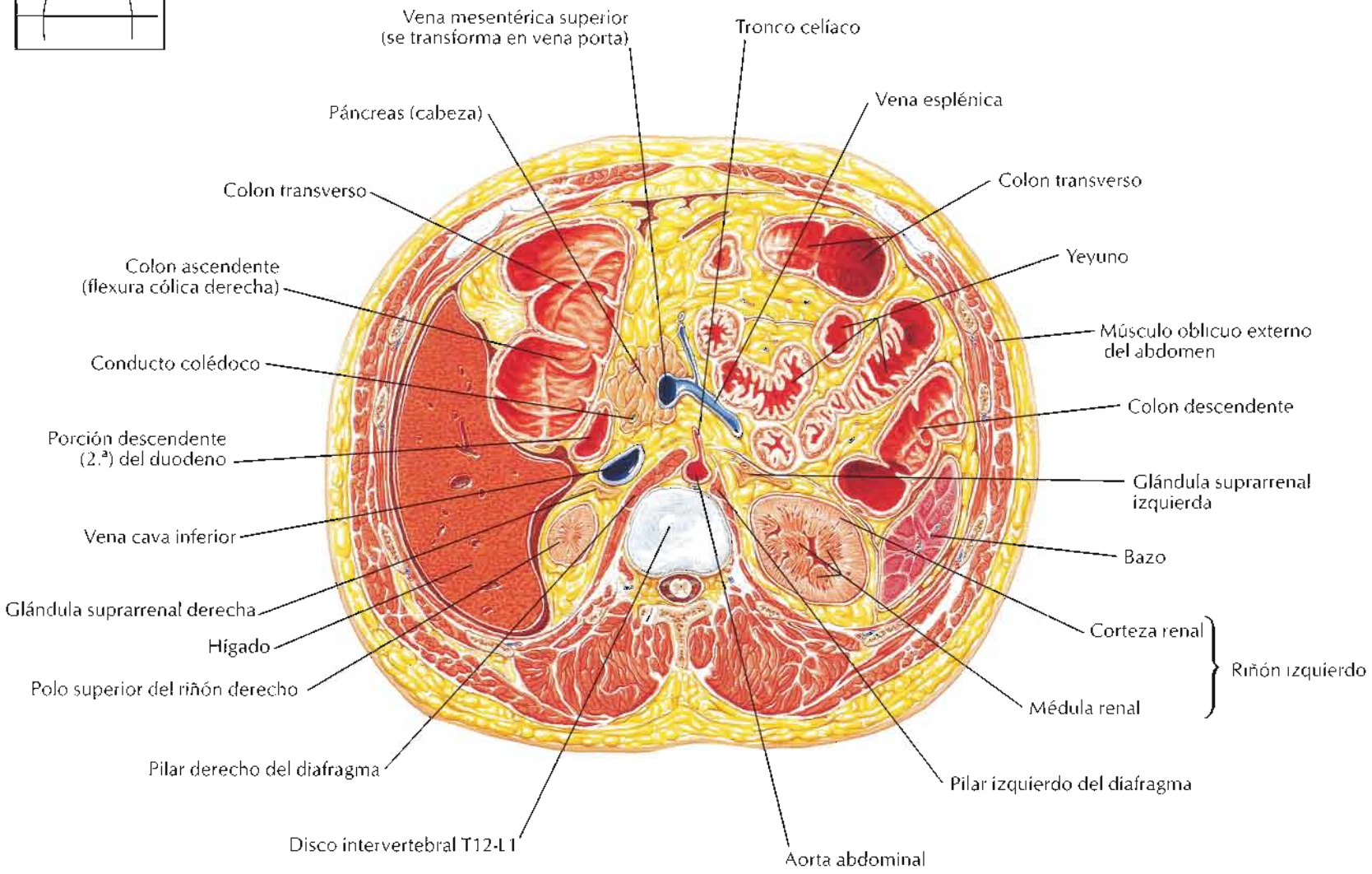

Cápsula fibrosa
Zona subcapsular
Corteza renal
Médula renal (pirámide)
Zona externa
Banda externa
Banda interna
Zona interna
Corpúsculo renal yuxtamedular
Túbulo contorneado proximal
Túbulo contorneado distal
Cuello
Asa de Henle
Rama descendente
Rama ascendente
Orificios de los conductos papilares
Área cribiforme de la papila renal
Túbulo contorneado proximal
Corpúsculo renal cortical
Cuello
Túbulo contorneado distal
Asa de Henle
Rama descendente
Rama ascendente
Túbulo colector
Corpúsculo renal (de Malpighio); cápsula glomerular (de Bowman) con glomérulo
Arteriolas glomerulares aferente y eferente
Segmento proximal
Cuello
Contorneado proximal
Segmento grueso de la rama descendente
Segmento delgado
Segmento distal
Segmento grueso de la rama ascendente
Contorneado distal
Asa de Henle
Mácula densa
Túbulos colectores

Vasos sanguíneos en el parénquima renal: esquema

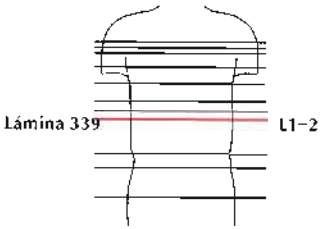




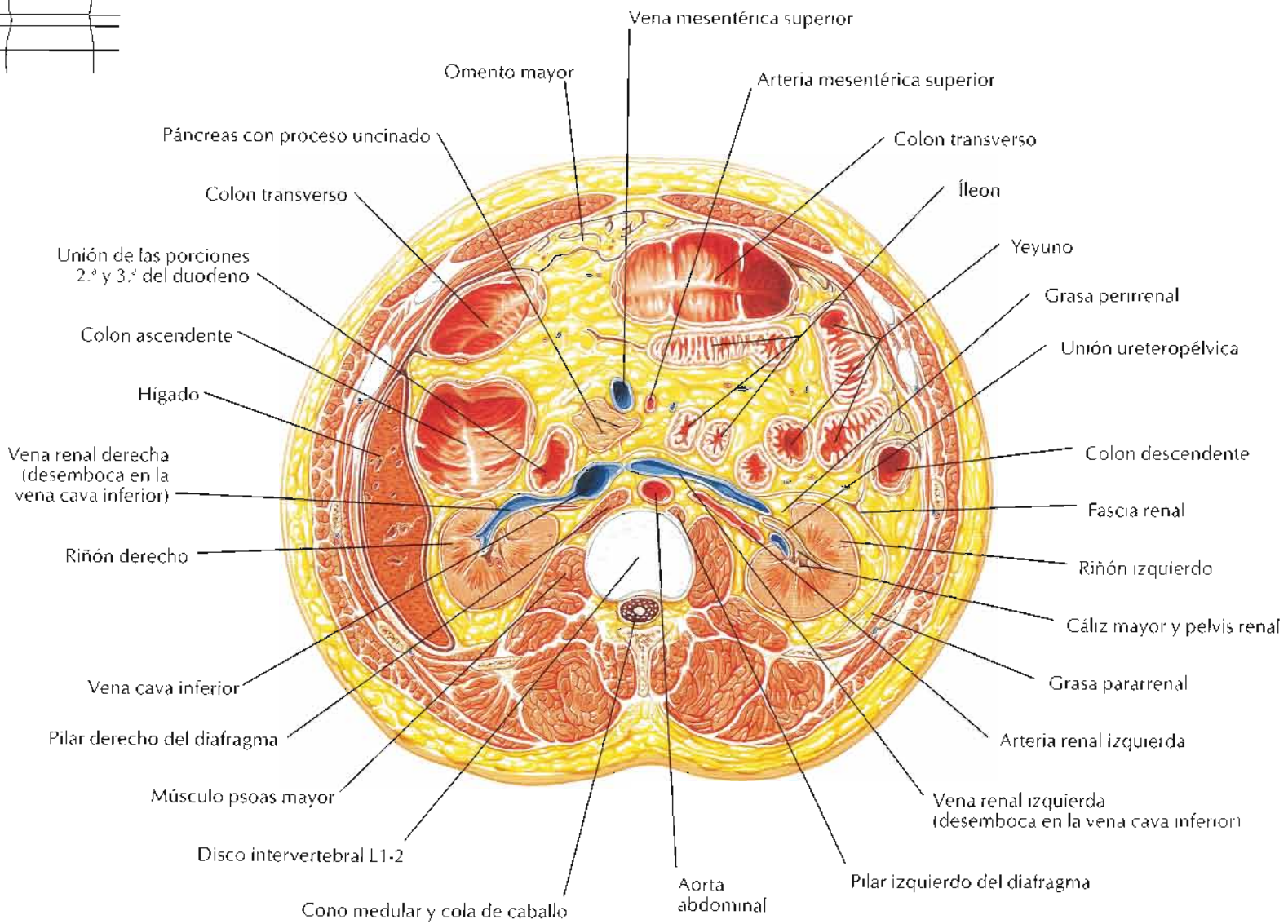
Sección transversal: nivel del disco intervertebral T12-L1



C. Machado M.D.

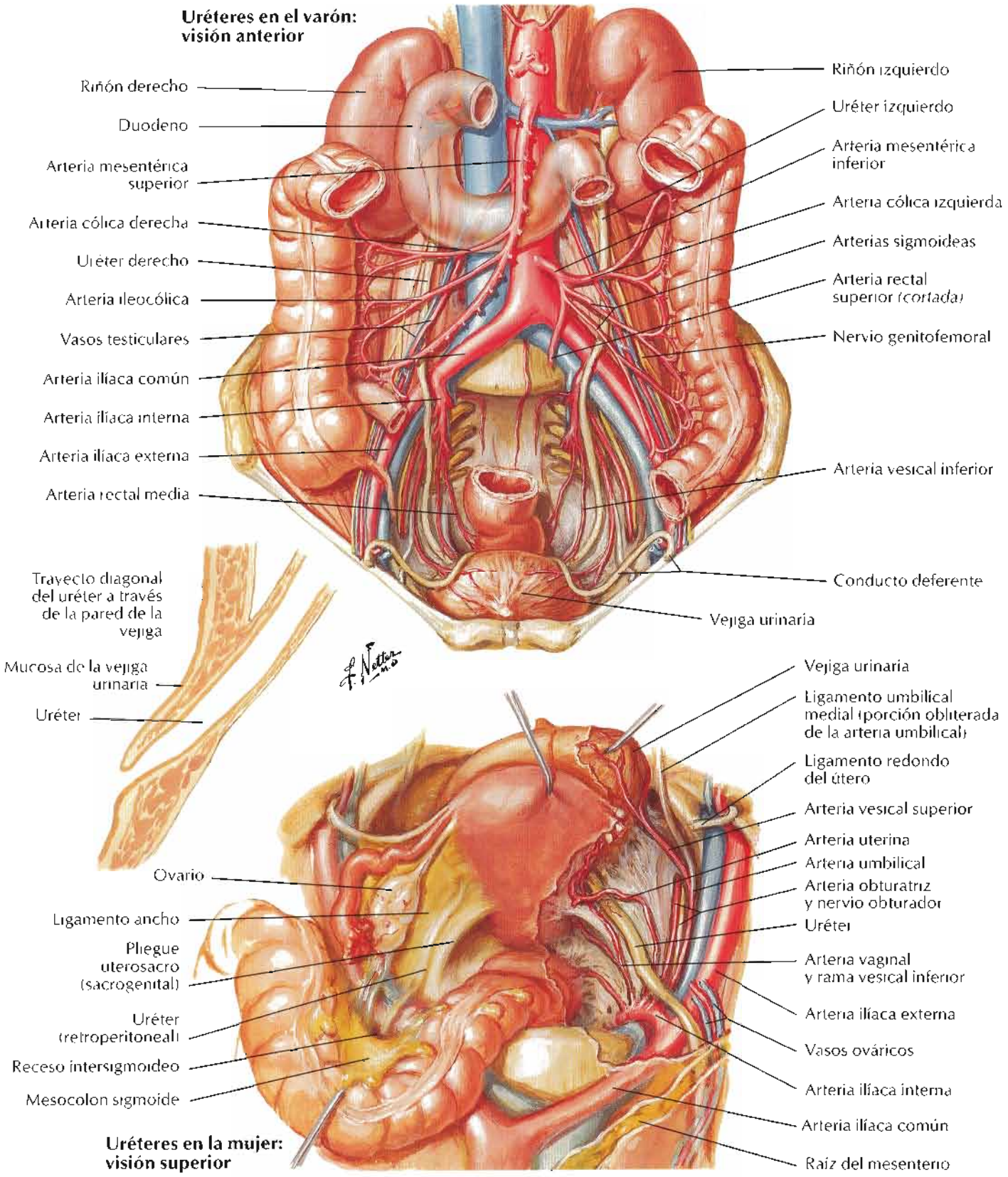


Sección transversal: nivel del disco intervertebral L1-2

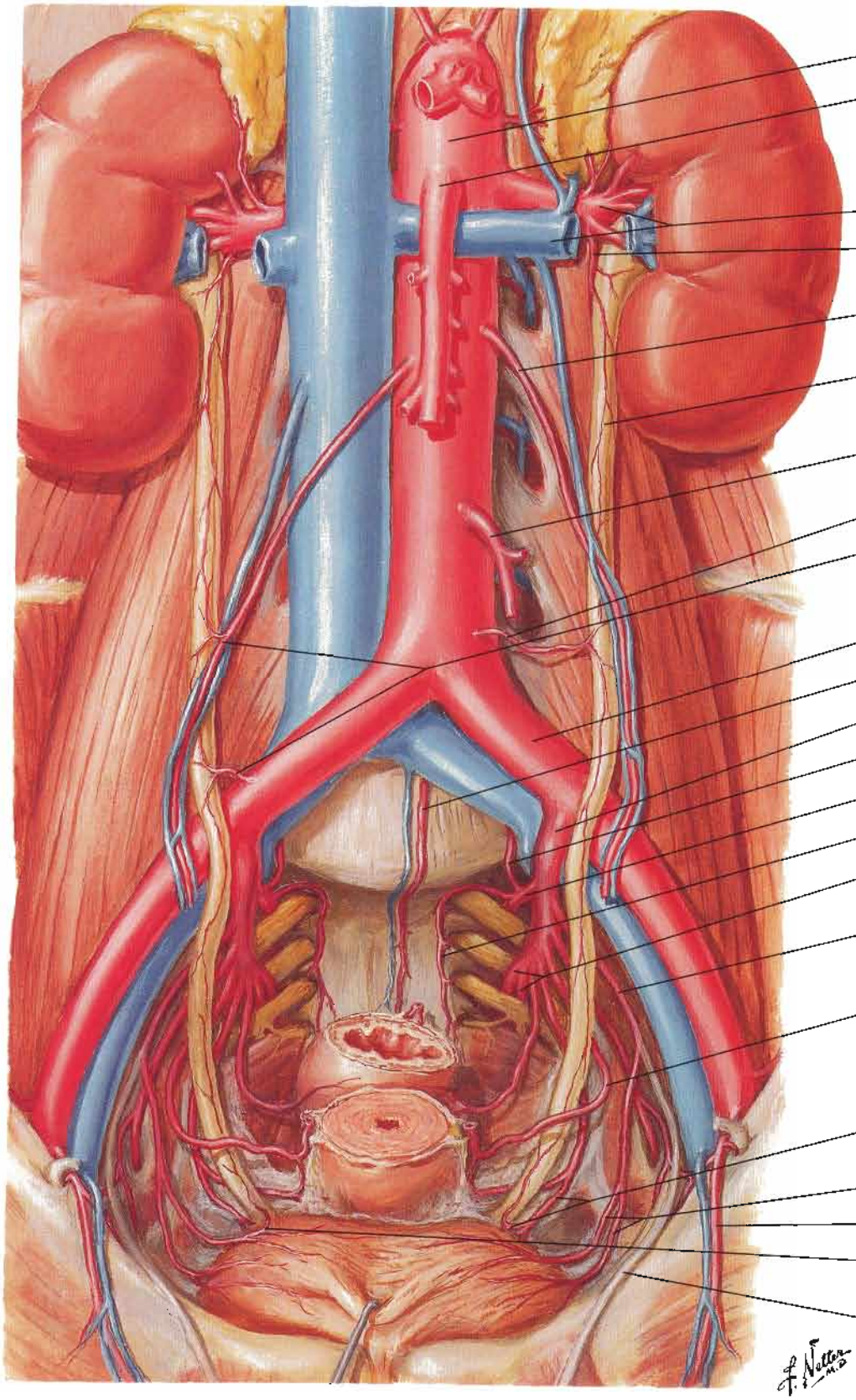


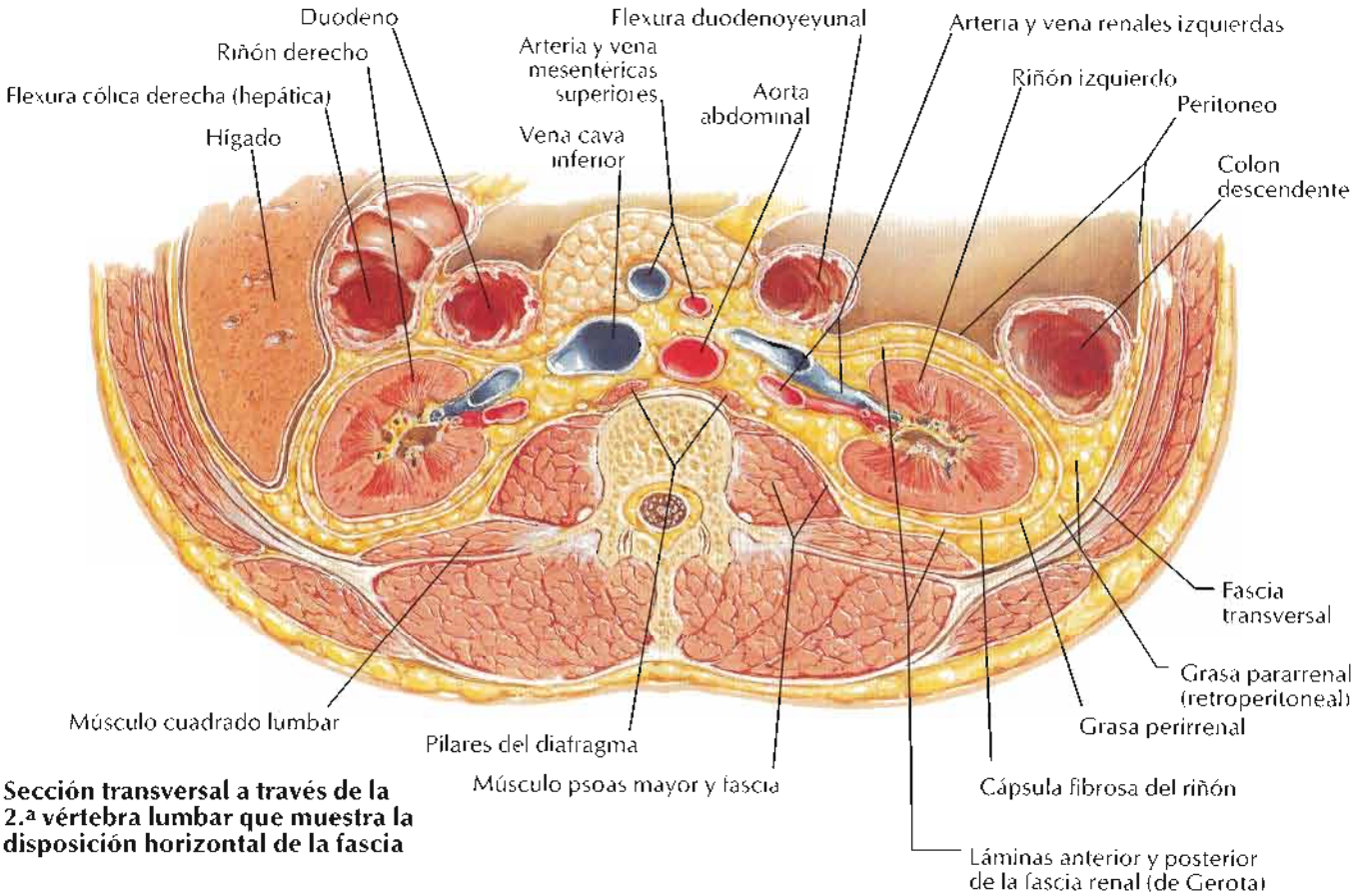
C. Machado

Véanse también **láminas 362, 363, 369**

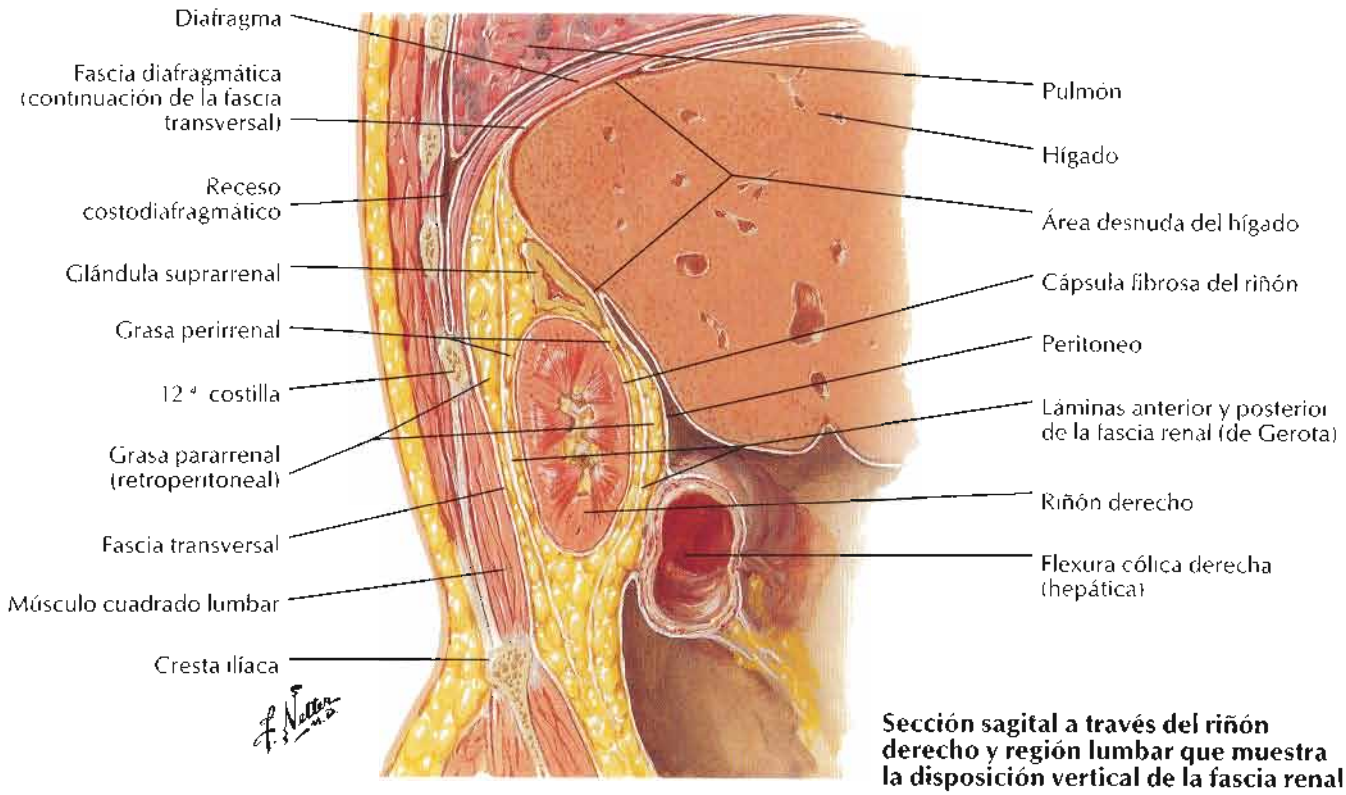


Arterias de los uréteres y vejiga urinaria





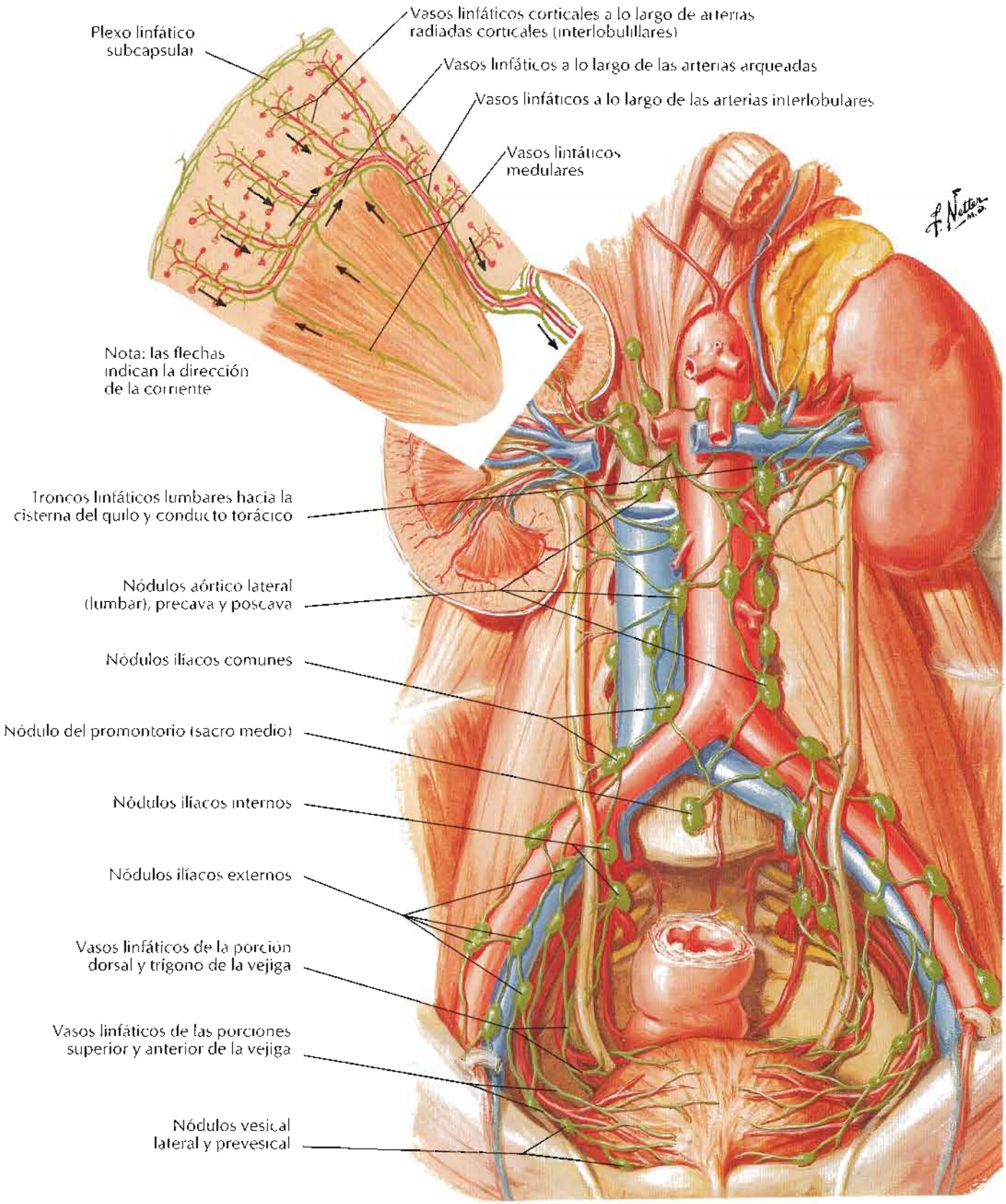
Sección transversal a través de la 2.ª vértebra lumbar que muestra la disposición horizontal de la fascia



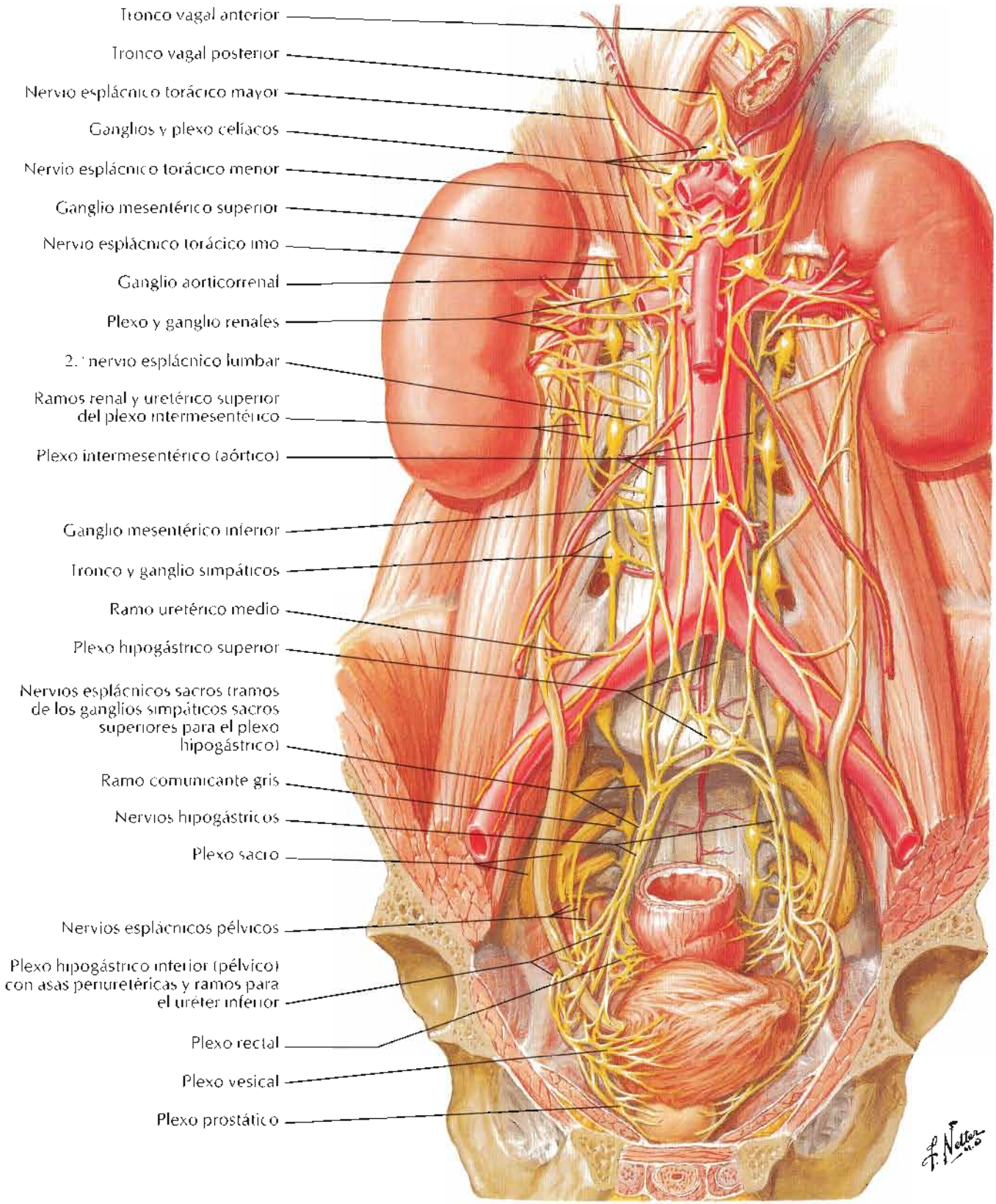
Sección sagital a través del riñón derecho y región lumbar que muestra la disposición vertical de la fascia renal

4 Vasos y nódulos linfáticos de los riñones y vejiga urinaria

Véanse también **láminas 406, 408**

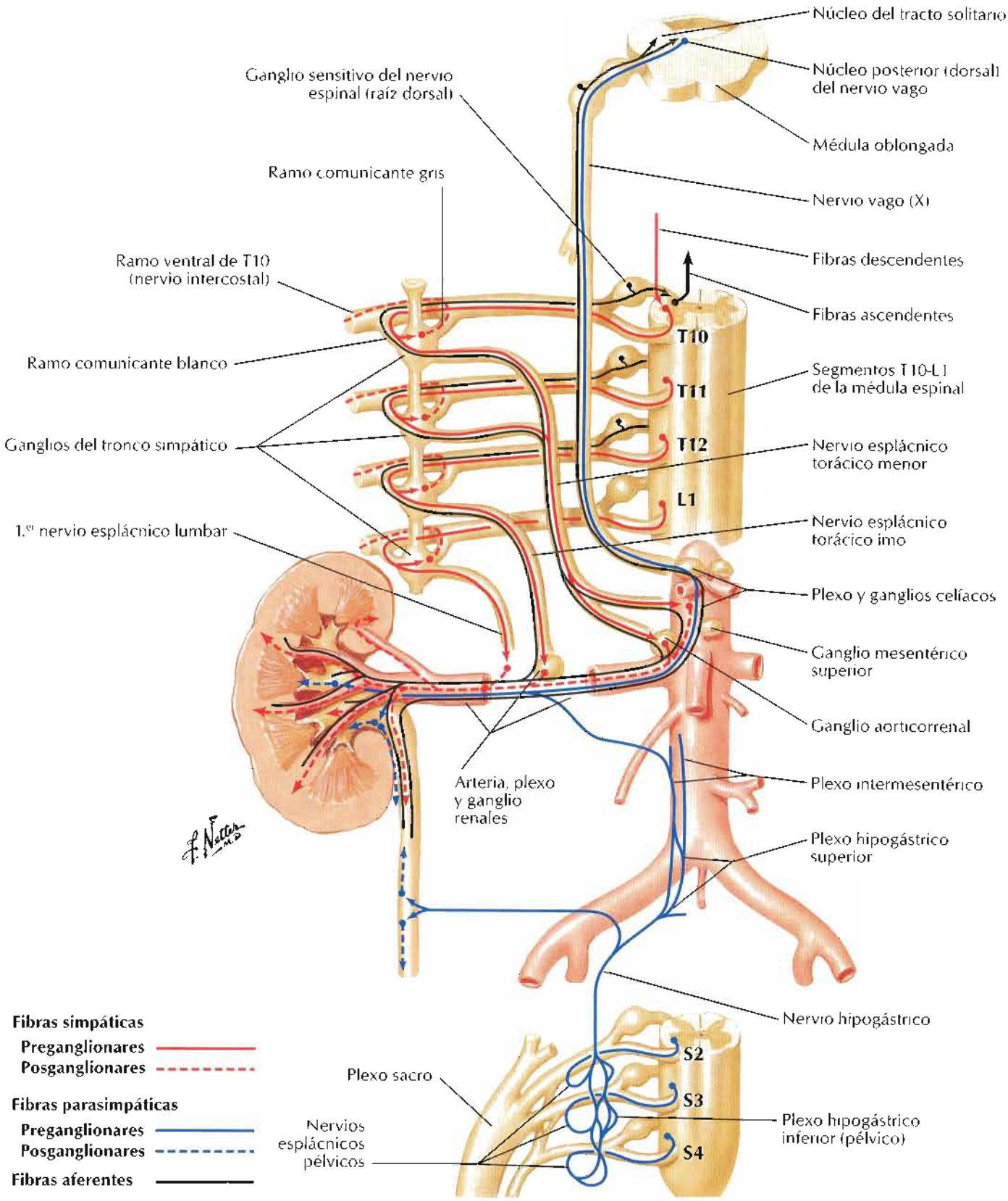


Véanse también **láminas 165, 166**



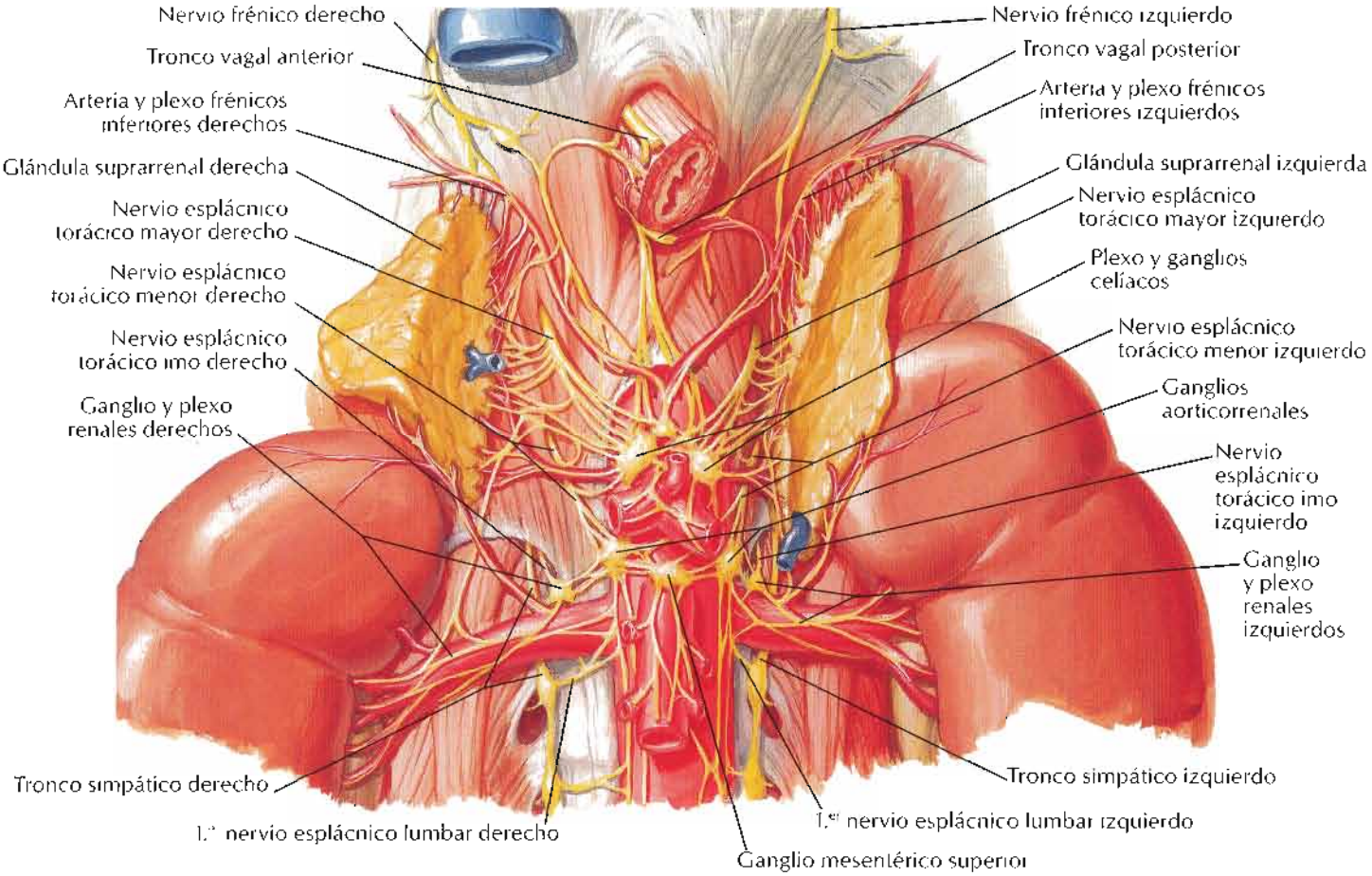
4 Inervación de los riñones y uréteres superiores: esquema

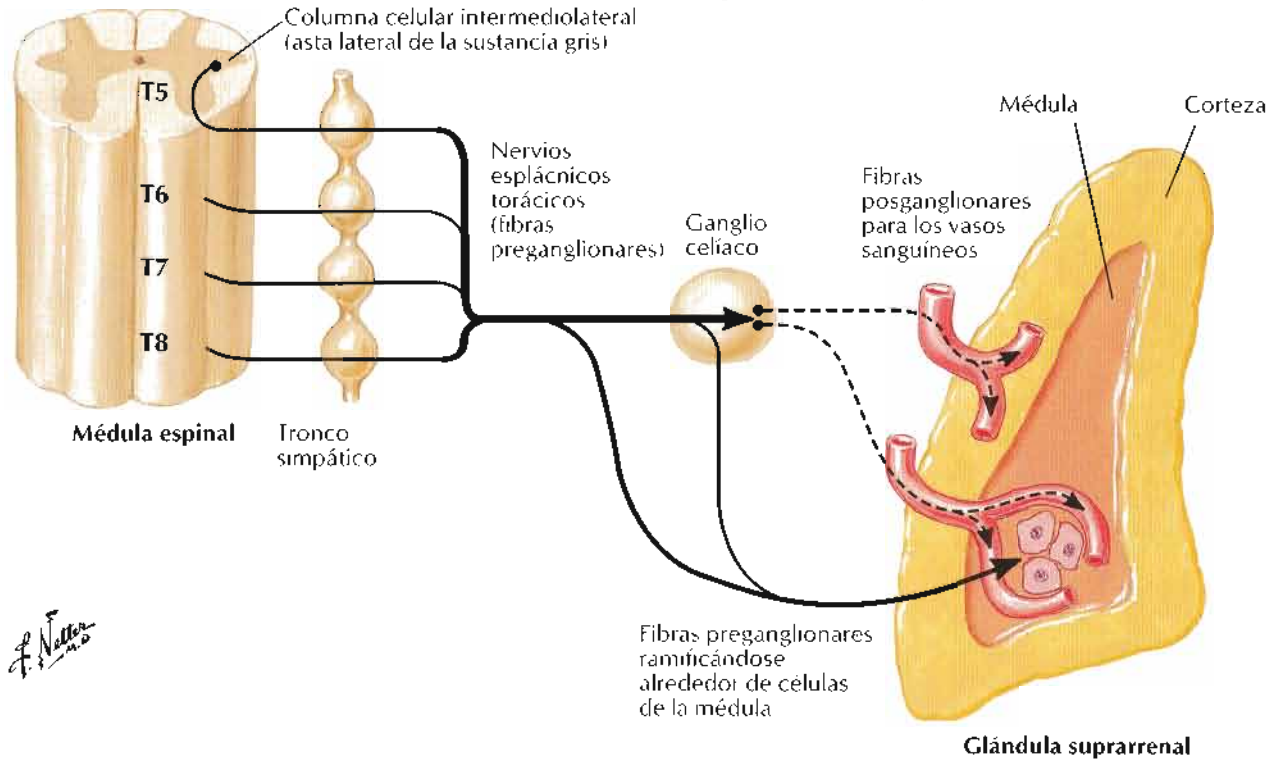
Véanse también **láminas 167, 168, 417**



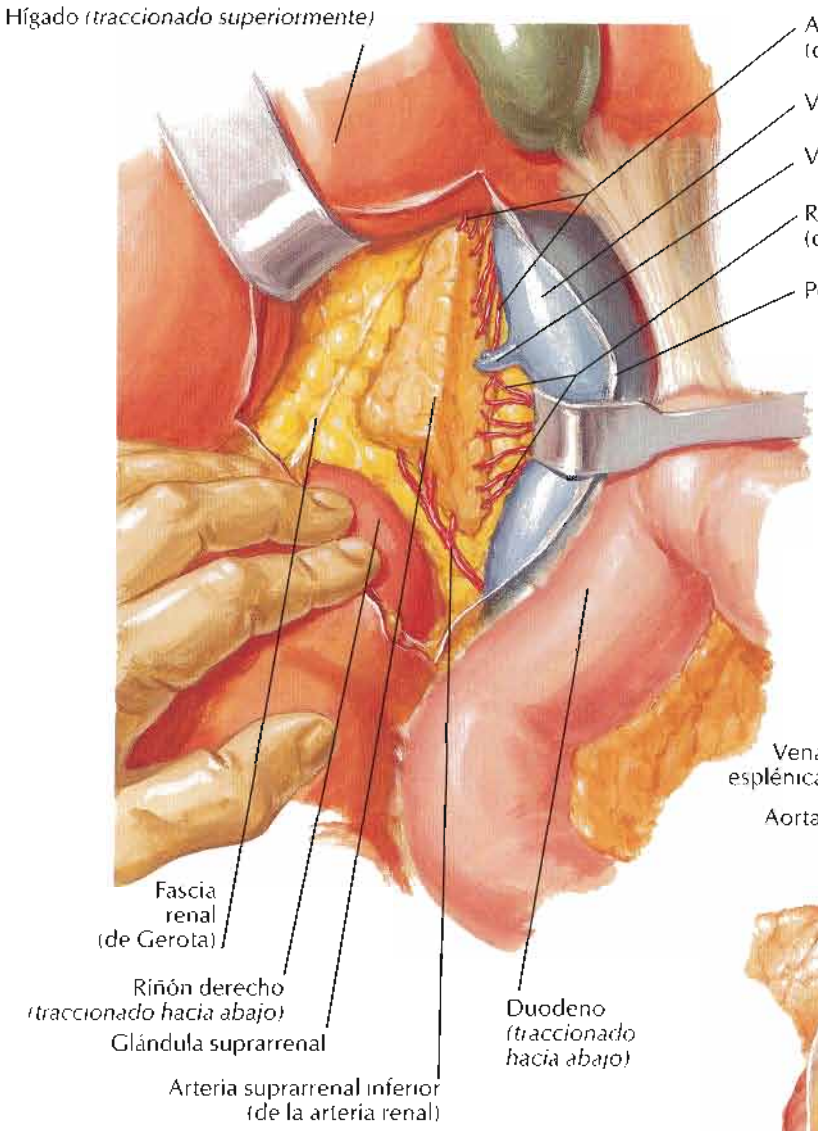
Nervios de las glándulas suprarrenales: disección y esquema

Véanse también **láminas 165-168**

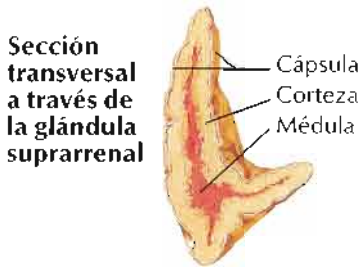




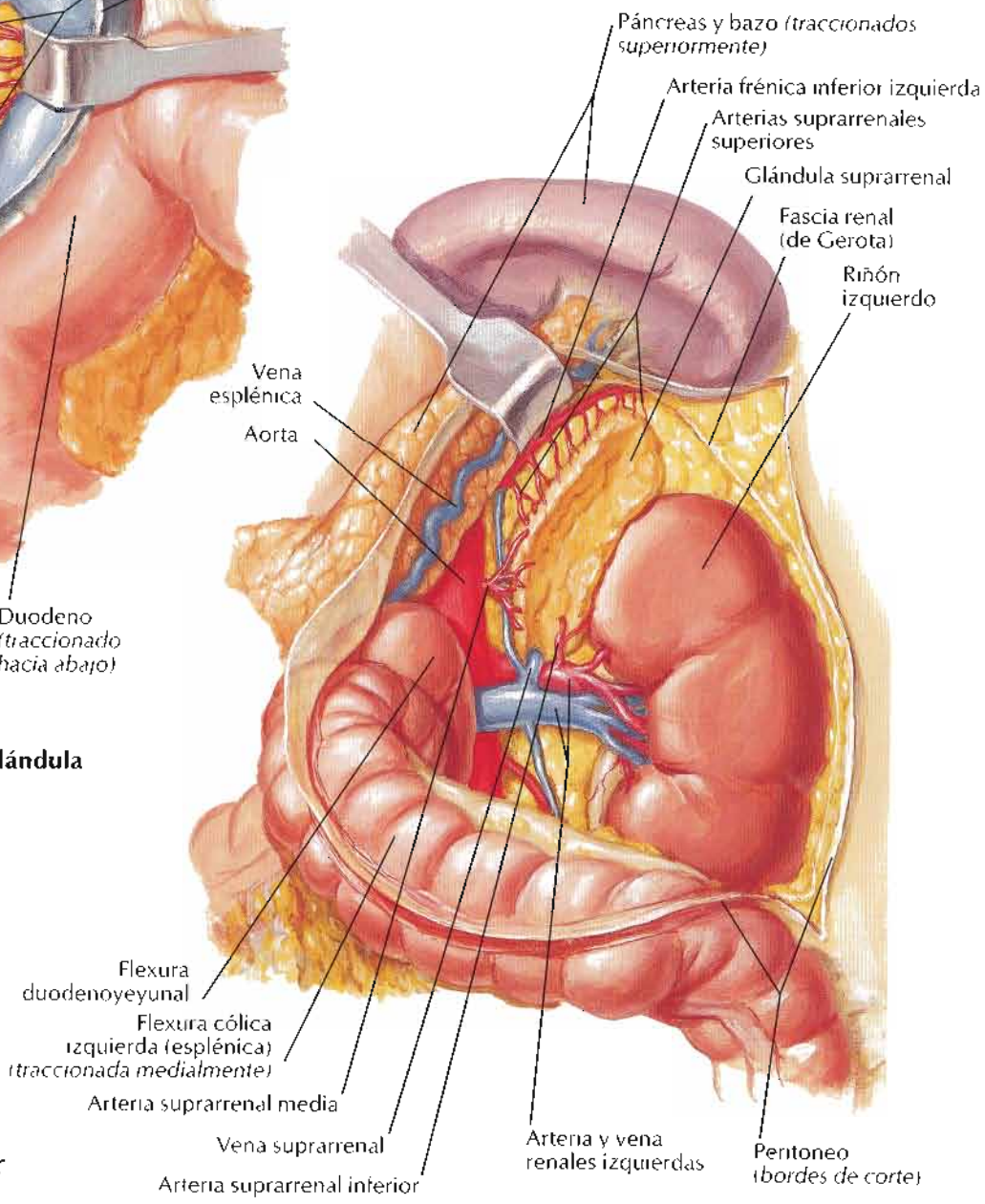
4 Arterias y venas de las glándulas suprarrenales in situ



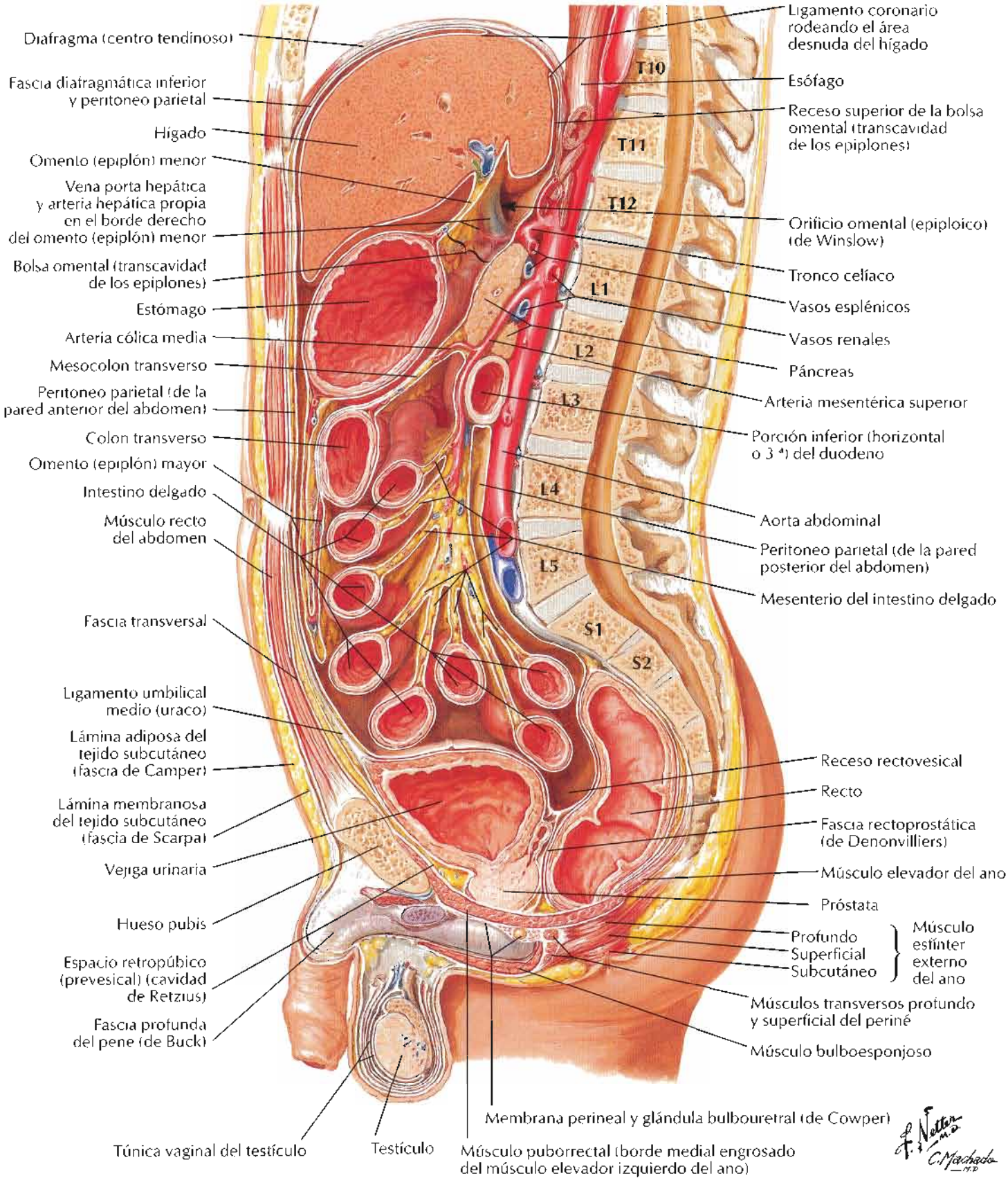
Exposición abdominal de la glándula suprarrenal derecha



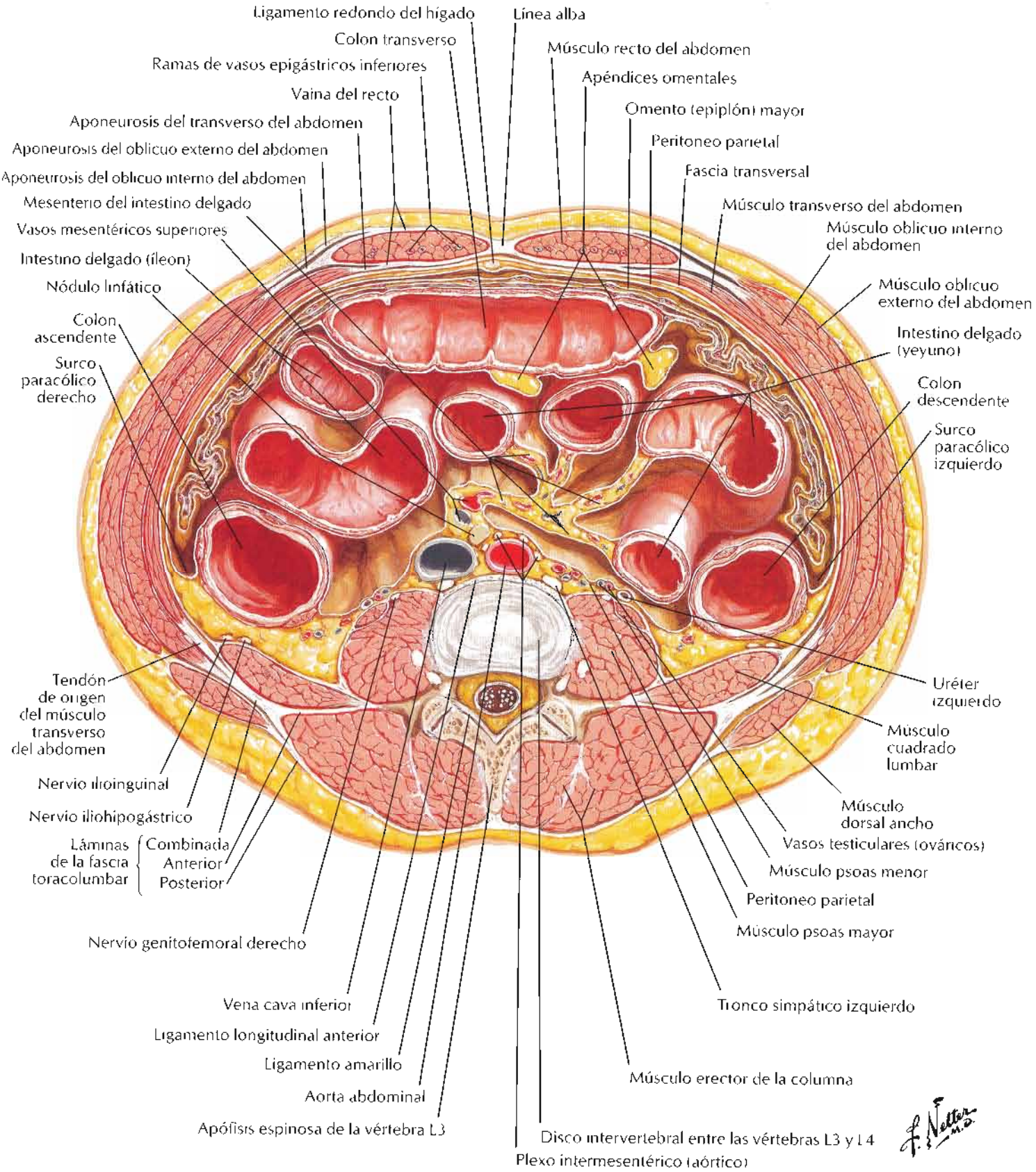
Sección transversal a través de la glándula suprarrenal



Exposición abdominal de la glándula suprarrenal izquierda

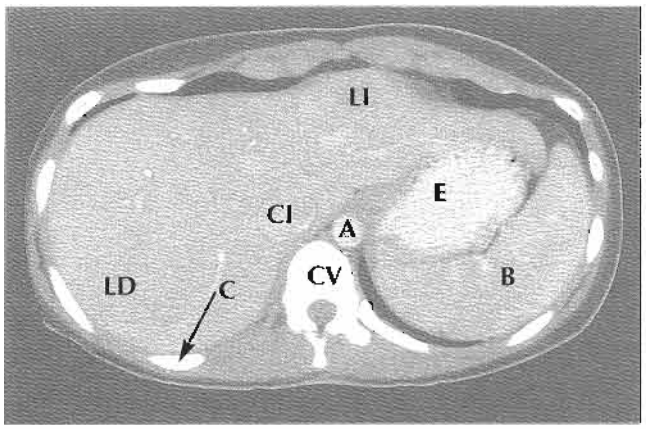

Diafragma (centro tendinoso)
Fascia diafragmática inferior y peritoneo parietal
Hígado
Omento (epiplón) menor
Vena porta hepática y arteria hepática propia en el borde derecho del omento (epiplón) menor
Bolsa omental (transcavidad de los epiplones)
Estómago
Arteria cólica media
Mesocolon transverso
Peritoneo parietal (de la pared anterior del abdomen)
Colon transverso
Omento (epiplón) mayor
Intestino delgado
Músculo recto del abdomen
Fascia transversal
Ligamento umbilical medio (uraco)
Lámina adiposa del tejido subcutáneo (fascia de Camper)
Lámina membranosa del tejido subcutáneo (fascia de Scarpa)
Vejiga urinaria
Hueso pubis
Espacio retropúbico (prevesical) (cavidad de Retzius)
Fascia profunda del pene (de Buck)
Túnica vaginal del testículo
Testículo
Membrana perineal y glándula bulbouretral (de Cowper)
Músculo puborrectal (borde medial engrosado del músculo elevador izquierdo del ano)
Ligamento coronario rodeando el área desnuda del hígado
T10
Esófago
Receso superior de la bolsa omental (transcavidad de los epiplones)
T11
T12
Orificio omental (epiploico) (de Winslow)
Tronco celíaco
L1
Vasos esplénicos
Vasos renales
L2
Páncreas
L3
Arteria mesentérica superior
Porción inferior (horizontal o 3ª) del duodeno
L4
Aorta abdominal
Peritoneo parietal (de la pared posterior del abdomen)
L5
Mesenterio del intestino delgado
S1
S2
Receso rectovesical
Recto
Fascia rectoprostática (de Denonvilliers)
Músculo elevador del ano
Próstata
Profundo
Superficial
Subcutáneo
Músculo esfínter externo del ano
Músculos transversos profundo y superficial del periné
Músculo bulboesponjoso

4 Sección transversal del abdomen a nivel de L3, 4

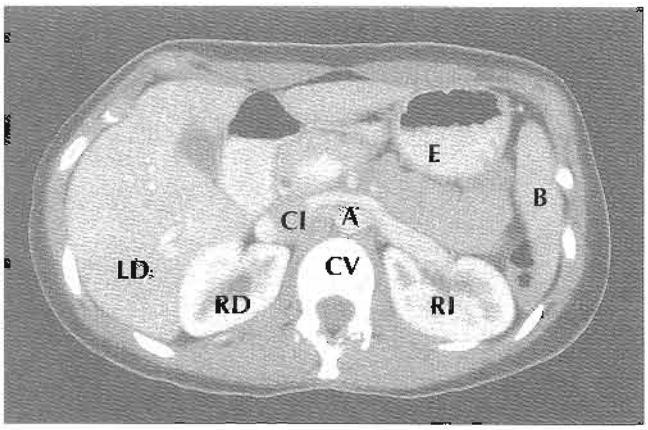


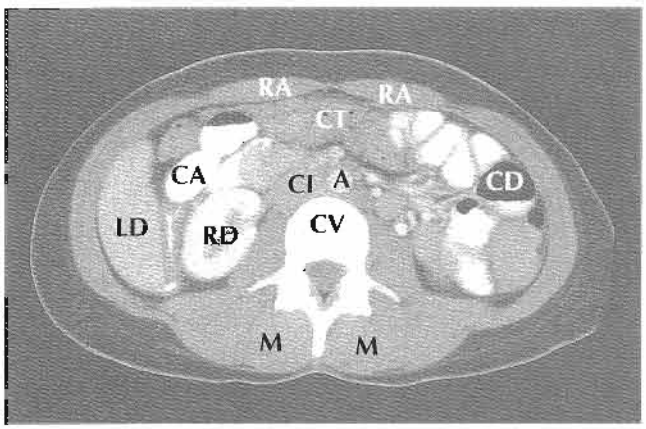
Imágenes axiales seriadas de TC del abdomen de superior (A) a inferior (D)

A

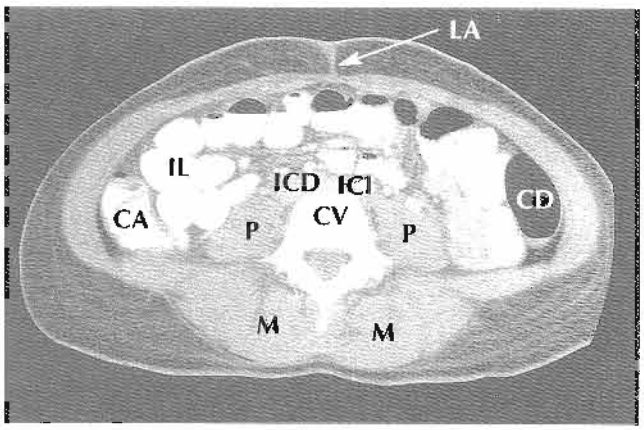


B





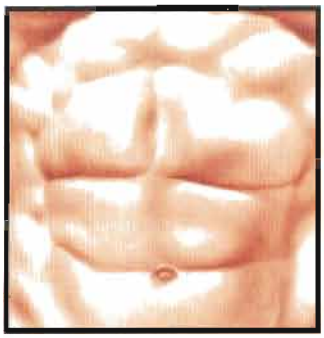
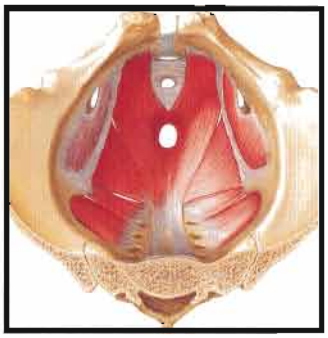
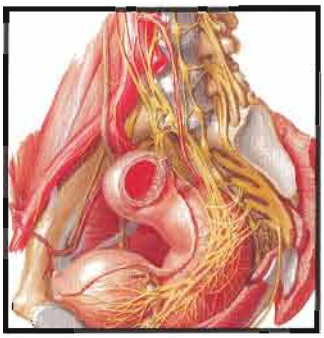
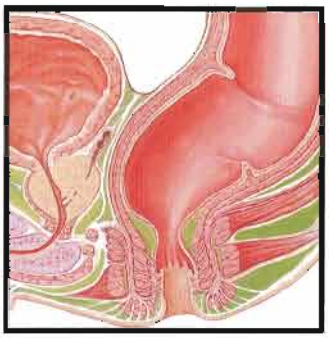
C



D

A	Aorta
B	Bazo
C	Costilla
CA	Colon ascendente
CD	Colon descendente
CI	Vena cava inferior
CT	Colon transverso
CV	Cuerpo vertebral
E	Estómago
ICD	Arteria ilíaca común derecha
ICI	Arteria ilíaca común izquierda
IL	Íleon
LA	Línea alba
LD	Lóbulo derecho del hígado
LI	Lóbulo izquierdo del hígado
M	Músculos profundos del dorso
P	Músculo psoas
RA	Músculo recto del abdomen
RD	Riñón derecho
RI	Riñón izquierdo

Sección 5 Pelvis y periné

Anatomía de superficie

Lámina 351

351 Pelvis y periné

Huesos y ligamentos

Láminas 352-355

352 Huesos y ligamentos de la pelvis

353 Huesos y ligamentos de la pelvis *(continuación)*

354 Diferencias de sexo de la pelvis: medidas

355 Radiografías de la pelvis: mujer y varón

Suelo de la pelvis y contenido

Láminas 356-364

356 Diafragma pélvico: mujer

357 Diafragma pélvico: mujer *(continuación)*

358 Diafragma pélvico: varón

359 Diafragma pélvico: varón *(continuación)*

360 Vísceras pélvicas y periné: mujer

361 Vísceras pélvicas y periné: varón

362 Contenido de la pelvis: mujer

363 Contenido de la pelvis: varón

364 Fascia y espacios potenciales endopélvicos

Vejiga urinaria

Láminas 365-368

365 Vejiga urinaria: orientación y soportes

366 Vejiga urinaria: mujer y varón

367 Esfínteres

368 Cistouretrografías: mujer y varón

5 Pelvis y periné

Útero, vagina y estructuras de soporte

Láminas 369-375

369 Vísceras pélvicas: mujer

370 Útero, vagina y estructuras de soporte

371 Útero y anexos

372 Ligamentos pélvicos

373 Útero: cambios con la edad y patrón muscular

374 Útero: posición y prolapso

375 Embarazo ectópico

Anatomía seccional

Lámina 376

376 Pelvis masculina: unión vesicoprostática

Periné y genitales externos: mujer

Láminas 377-379

377 Periné y genitales externos femeninos (vulva)

378 Periné femenino (disección superficial)

379 Periné y periné profundo femenino

Periné y genitales externos: varón

Láminas 380-387

380 Periné y genitales externos (disección superficial)

381 Periné y genitales externos (disección profunda)

382 Pene

383 Espacios perineales

384 Próstata y vesículas seminales

385 Uretra

386 Descenso del testículo

387 Escroto y contenido

Estructuras homólogas de los genitales

Láminas 388-389

388 Estructuras homólogas de los genitales externos

389 Estructuras homólogas de los genitales internos

Testículo, epidídimo y conducto deferente

Lámina 390

390 Testículo, epidídimo y conducto deferente

Recto

Láminas 391-396

391 Recto in situ: mujer y varón

392 Fosas isquioanales

393 Recto y conducto anal

394 Musculatura anorrectal

395 Músculo esfínter externo del ano: visiones perineales

396 Espacios reales y potenciales perineopélvicos

Exploraciones regionales

Lámina 397

397 Exploraciones pélvicas: imágenes sagitales de RM

Vasculatura

Láminas 398-408

398 Arterias del recto y conducto anal: varón

399 Venas del recto y conducto anal: mujer

400 Arterias y venas de los órganos pélvicos: mujer

401 Arterias y venas del testículo

402 Arterias y venas de la pelvis: mujer

403 Arterias y venas de la pelvis: varón

404 Arterias y venas del periné y útero

405 Arterias y venas del periné: varón

406 Vasos y nódulos linfáticos de la pelvis y genitales: mujer

407 Vasos y nódulos linfáticos del periné: mujer

408 Vasos y nódulos linfáticos de la pelvis y genitales: varón

Inervación

Láminas 409-417

409 Nervios de los genitales externos: varón

410 Nervios de las vísceras pélvicas: varón

411 Nervios del periné: varón

412 Nervios de las vísceras pélvicas: mujer

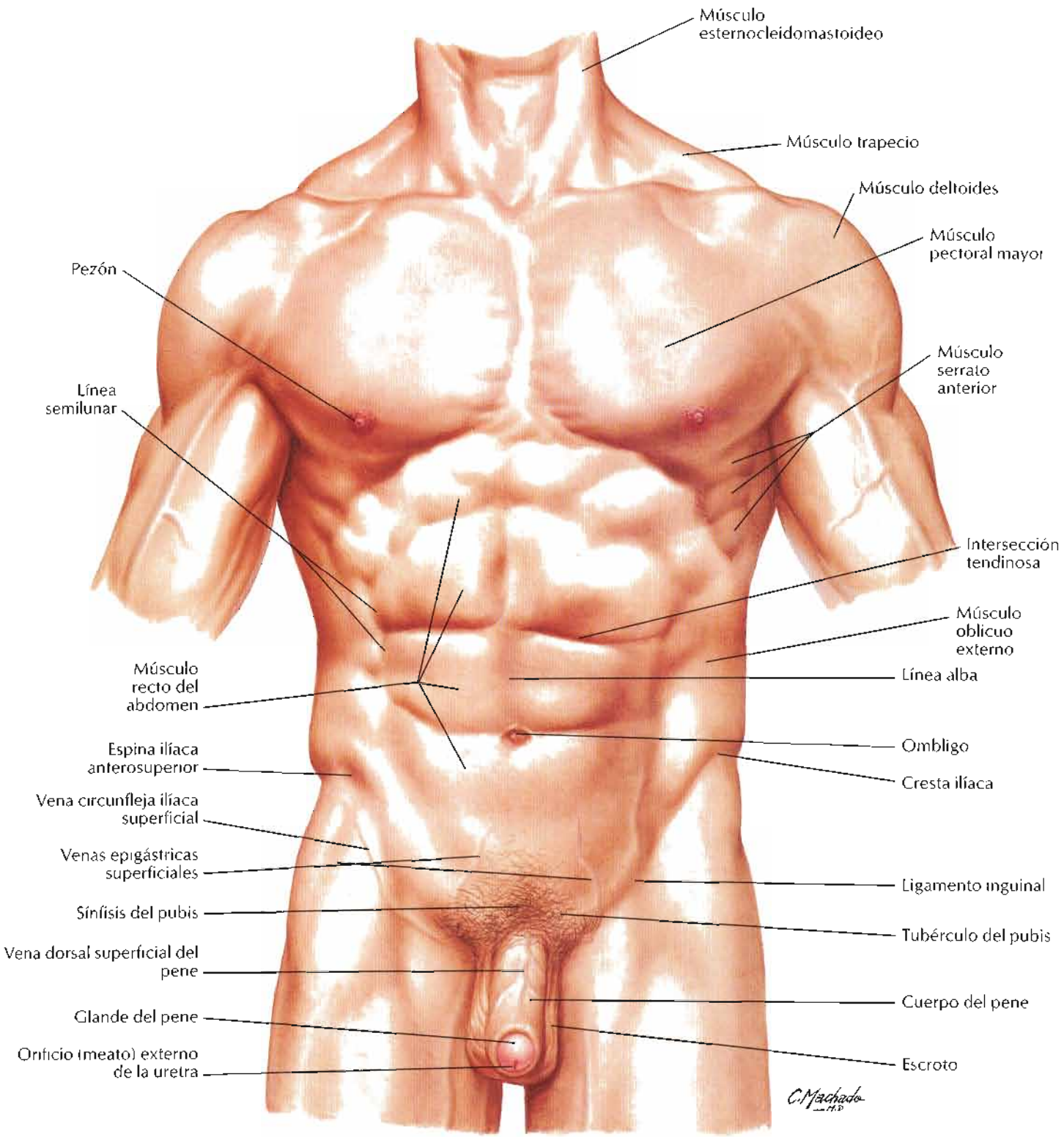
413 Nervios del periné y genitales externos: mujer

414 Vías nerviosas en el parto

415 Inervación de los órganos reproductores femeninos: esquema

416 Inervación de los órganos reproductores masculinos: esquema

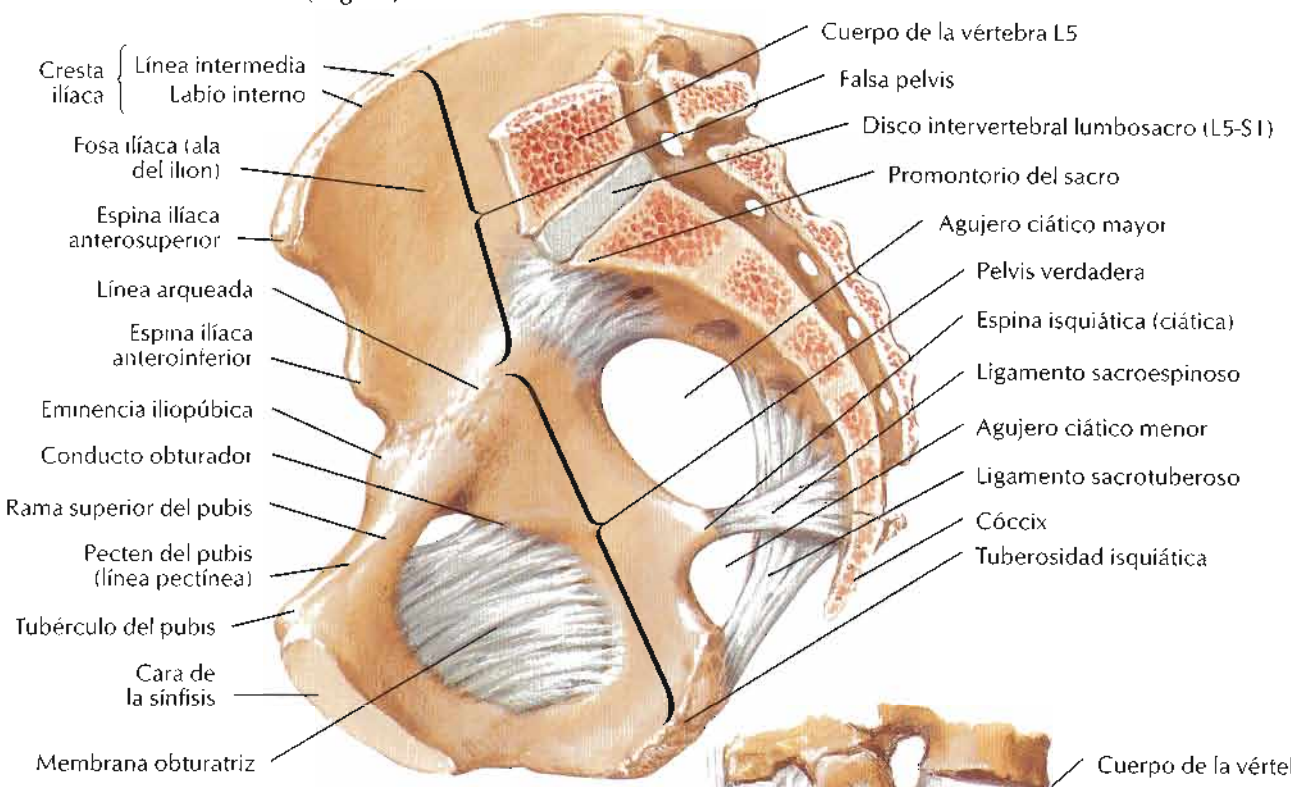
417 Inervación de la vejiga urinaria y uréter inferior: esquema


Músculo esternocleidomastoideo
Músculo trapecio
Músculo deltoides
Músculo pectoral mayor
Pezón
Músculo serrato anterior
Línea semilunar
Intersección tendinosa
Músculo oblicuo externo
Línea alba
Músculo recto del abdomen
Ombligo
Espina ilíaca anterosuperior
Cresta ilíaca
Vena circunfleja ilíaca superficial
Venas epigástricas superficiales
Ligamento inguinal
Sínfisis del pubis
Tubérculo del pubis
Vena dorsal superficial del pene
Cuerpo del pene
Glande del pene
Escroto
Orificio (meato) externo de la uretra
C. Machado M.D.

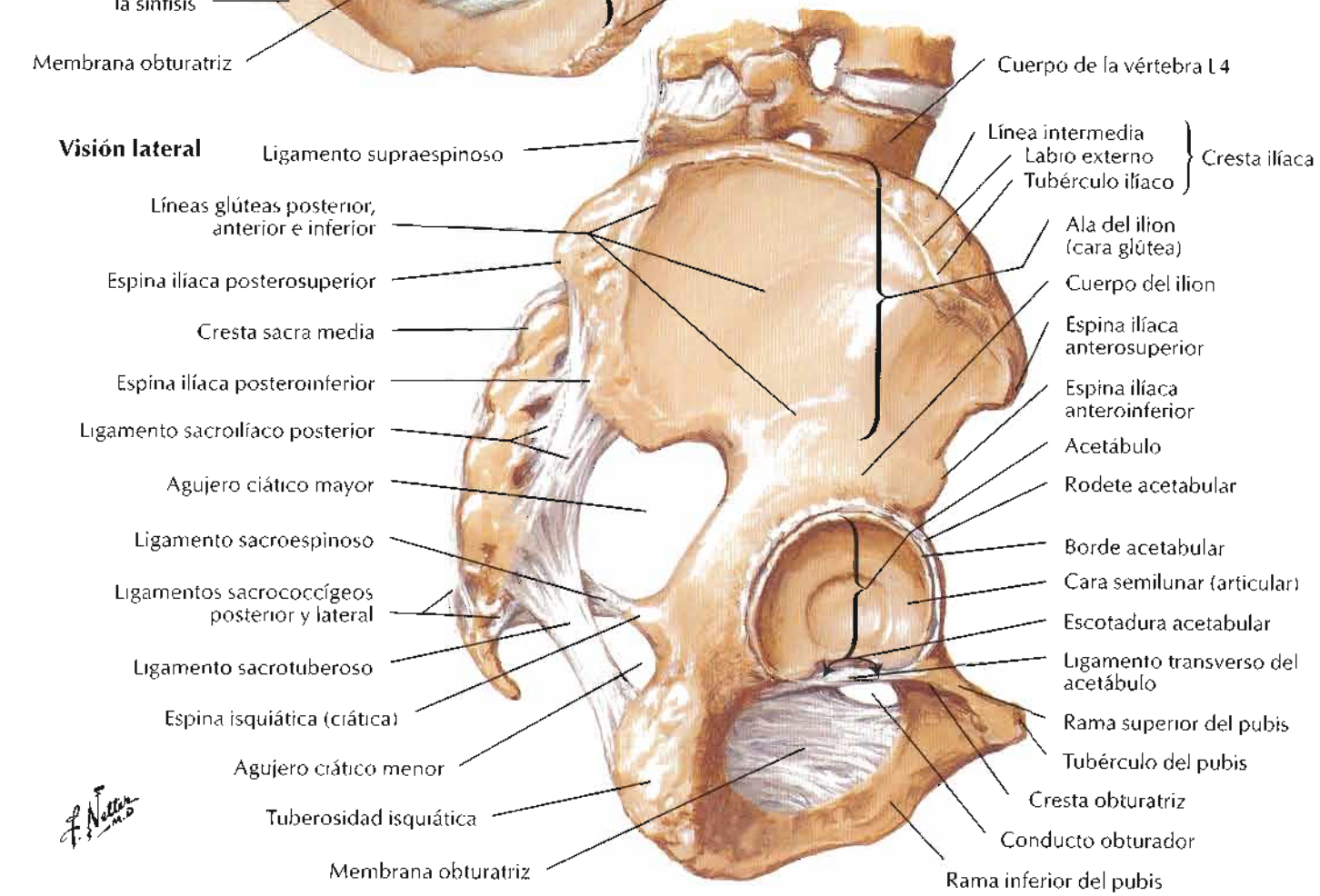
Huesos y ligamentos de la pelvis

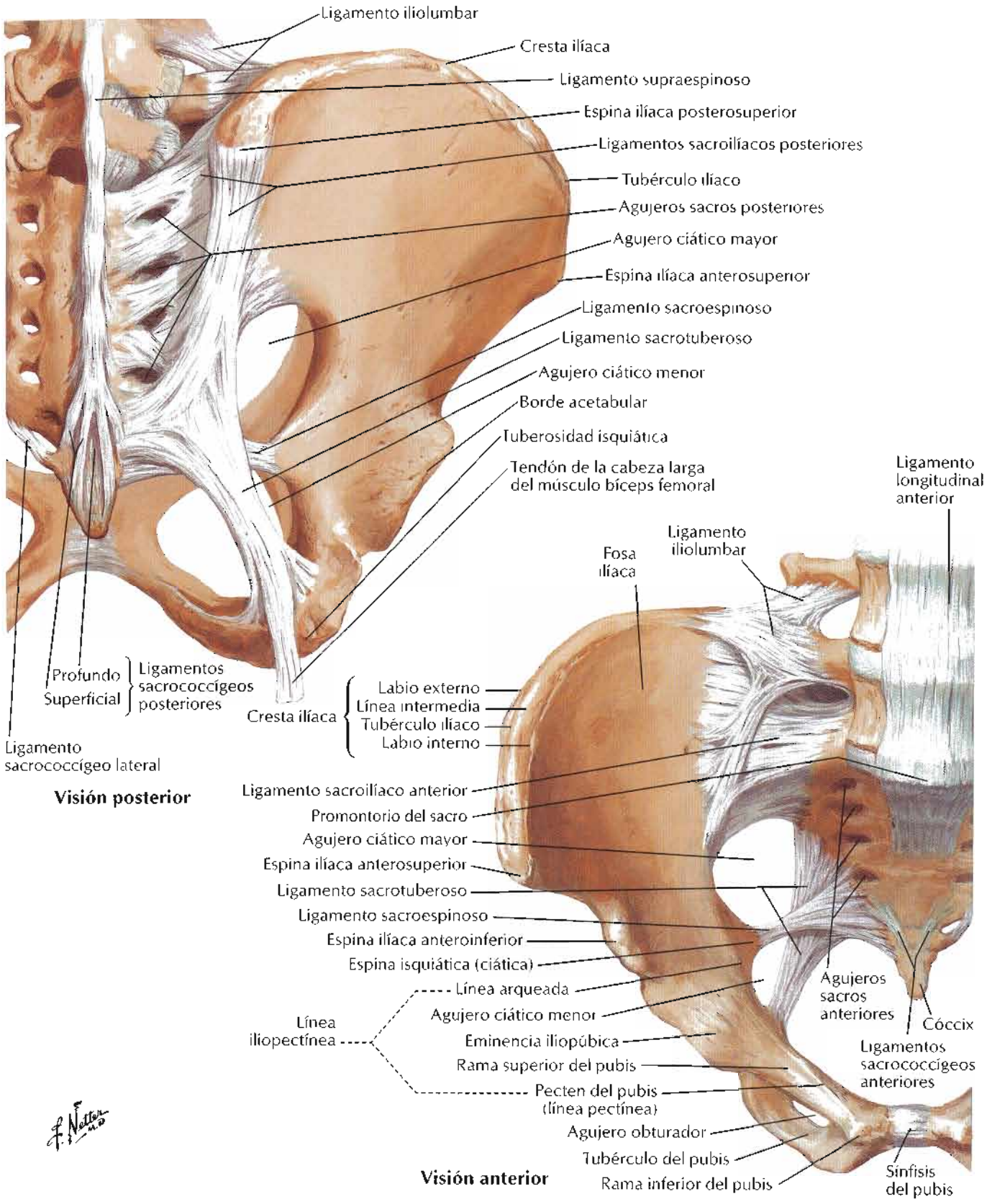
Véase también **lámina 486**

Sección media (sagital)



Visión lateral

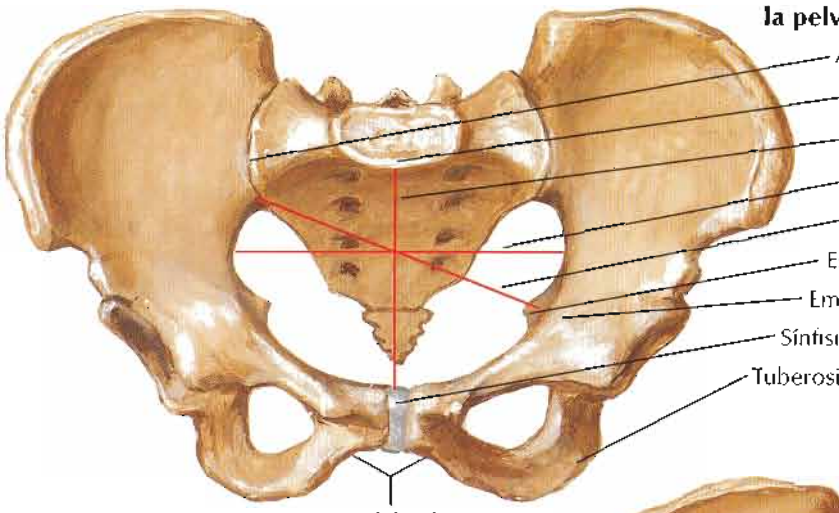



Ligamento iliolumbar
Cresta ilíaca
Ligamento supraespinoso
Espina ilíaca posterosuperior
Ligamentos sacroilíacos posteriores
Tubérculo ilíaco
Agujeros sacros posteriores
Agujero ciático mayor
Espina ilíaca anterosuperior
Ligamento sacroespinoso
Ligamento sacrotuberoso
Agujero ciático menor
Borde acetabular
Tuberosidad isquiática
Tendón de la cabeza larga del músculo bíceps femoral
Profundo
Superficial
Ligamentos sacrococcígeos posteriores
Ligamento sacrococcígeo lateral
Cresta ilíaca
Labio externo
Línea intermedia
Tubérculo ilíaco
Labio interno
Visión posterior
Ligamento longitudinal anterior
Ligamento iliolumbar
Fosa ilíaca
Ligamento sacroilíaco anterior
Promontorio del sacro
Agujero ciático mayor
Espina ilíaca anterosuperior
Ligamento sacrotuberoso
Ligamento sacroespinoso
Espina ilíaca anteroinferior
Espina isquiática (ciática)
Línea arqueada
Línea iliopectínea
Agujero ciático menor
Eminencia iliopúbica
Rama superior del pubis
Pecten del pubis (línea pectínea)
Agujero obturador
Tubérculo del pubis
Rama inferior del pubis
Agujeros sacros anteriores
Cóccix
Ligamentos sacrococcígeos anteriores
Sínfisis del pubis
Visión anterior

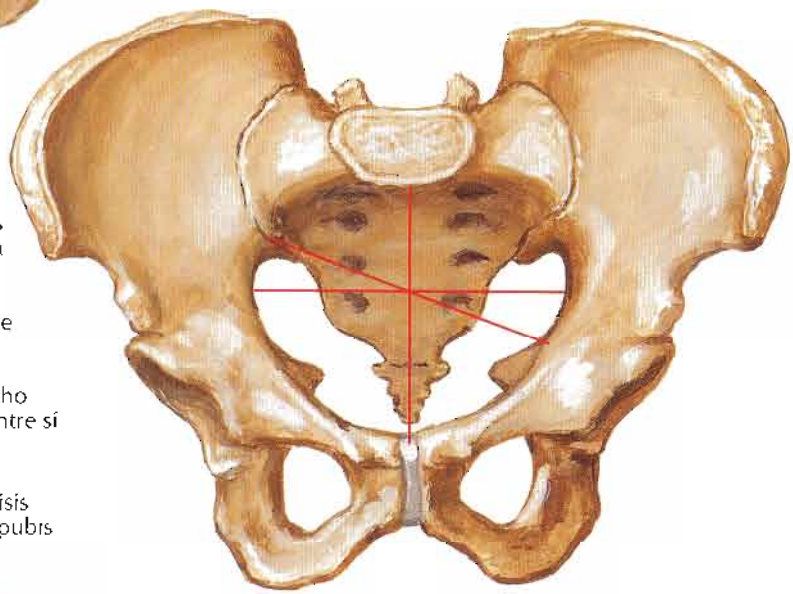
5 Diferencias de sexo de la pelvis: medidas

Véase también **lámina 248**

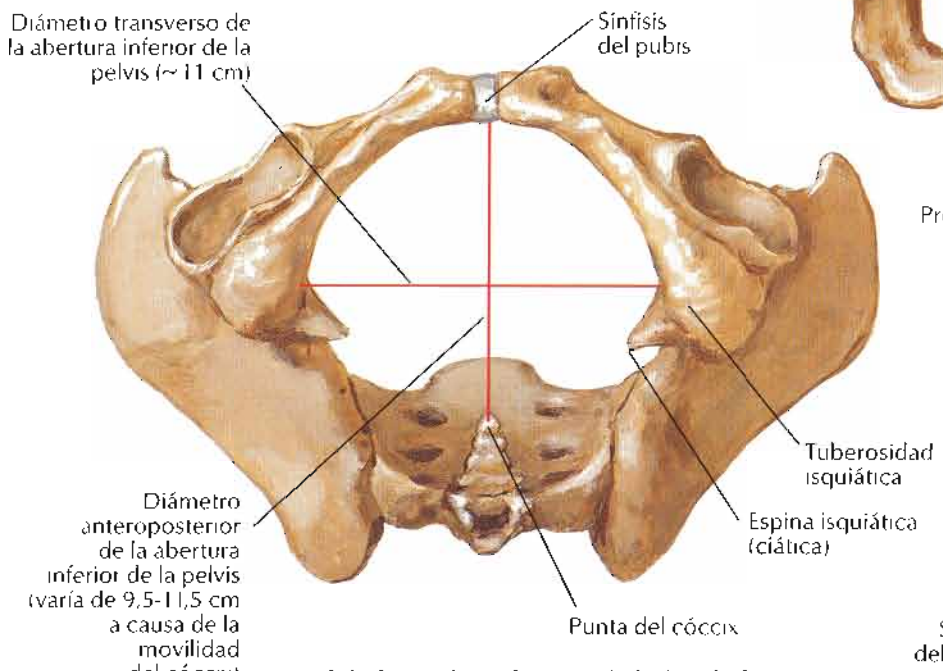
Pelvis femenina/abertura superior de la pelvis femenina: visión anterior



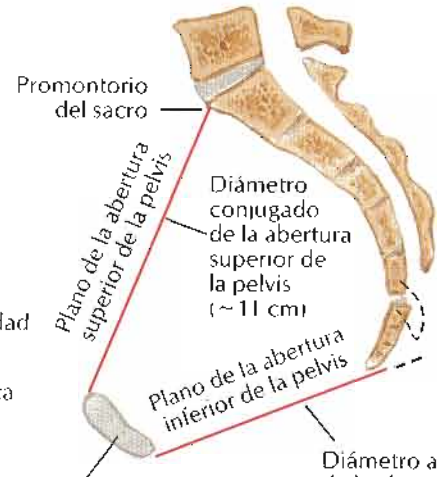
Pelvis masculina/abertura superior de la pelvis masculina: visión anterior



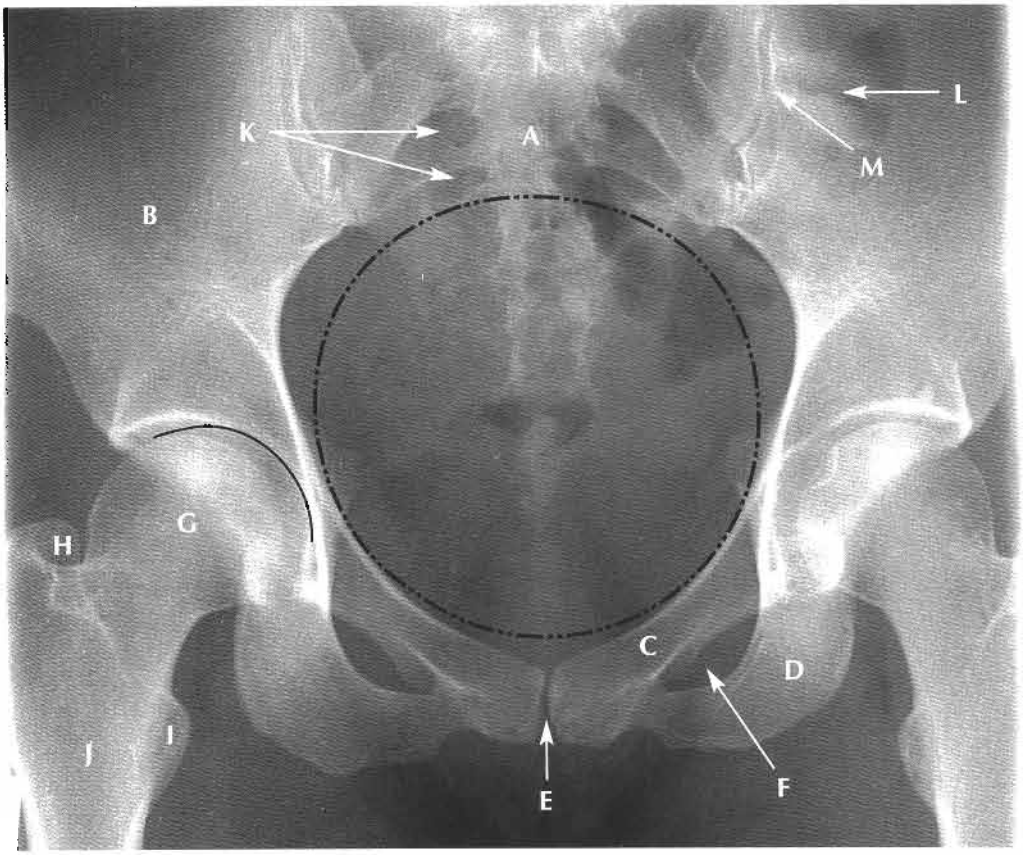
Todas las medidas son ligeramente más cortas en relación con el tamaño corporal que en la mujer
Abertura superior de la pelvis orientada más anteroposteriormente que en la mujer, donde tiende a ser oval transversalmente
Sínfisis púbica más profunda (más alta)
Arco del pubis (ángulo subpúbico) más estrecho
Tuberosidades isquiáticas menos separadas entre sí
Alas del ílion menos anchas



Pelvis femenina/abertura inferior de la pelvis femenina: visión inferior

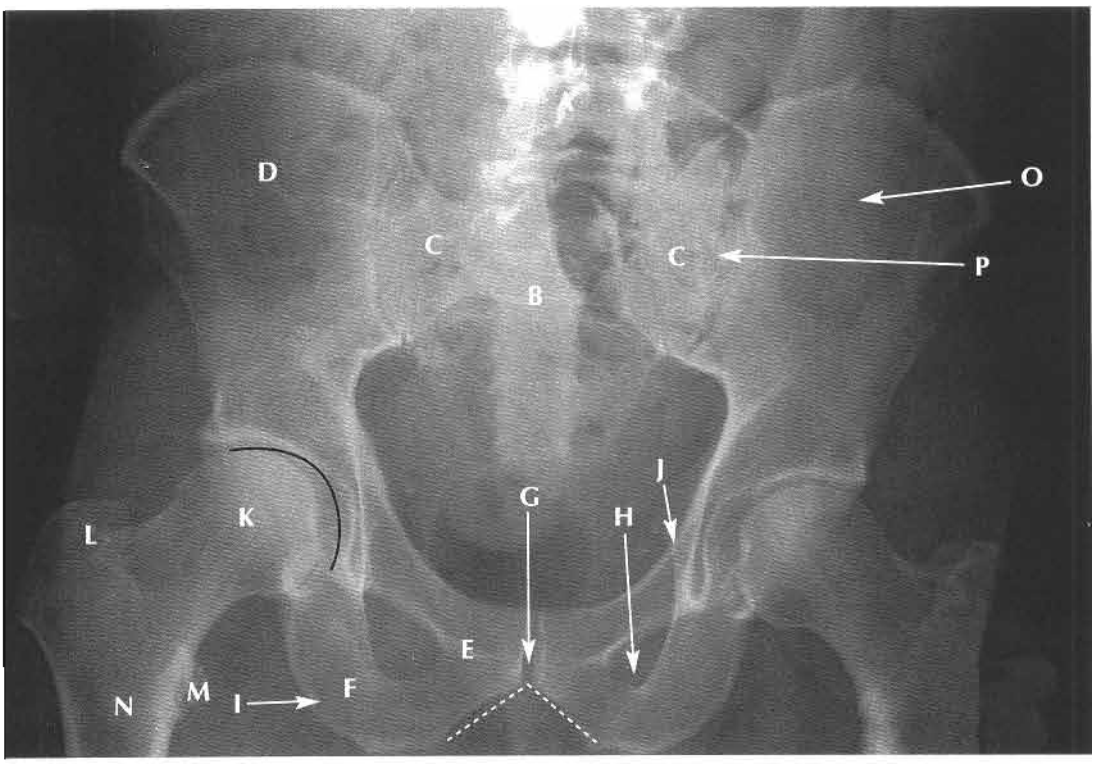


Mujer: sección sagital



Pelvis femenina

- **A** Sacro
- **B** Ilion
- **C** Pubis
- **D** Isquion
- **E** Sínfisis del pubis
- **F** Agujero obturado
- **G** Cabeza del fémur
- **H** Trocánter mayor
- **I** Trocánter menor
- **J** Trocánter menor
- **K** Agujeros sacros anteriores
- **L** Aire en el colon
- **M** Articulación sacroilíaca
- ——— Acetábulo
- —·—·— Abertura superior de la pelvis

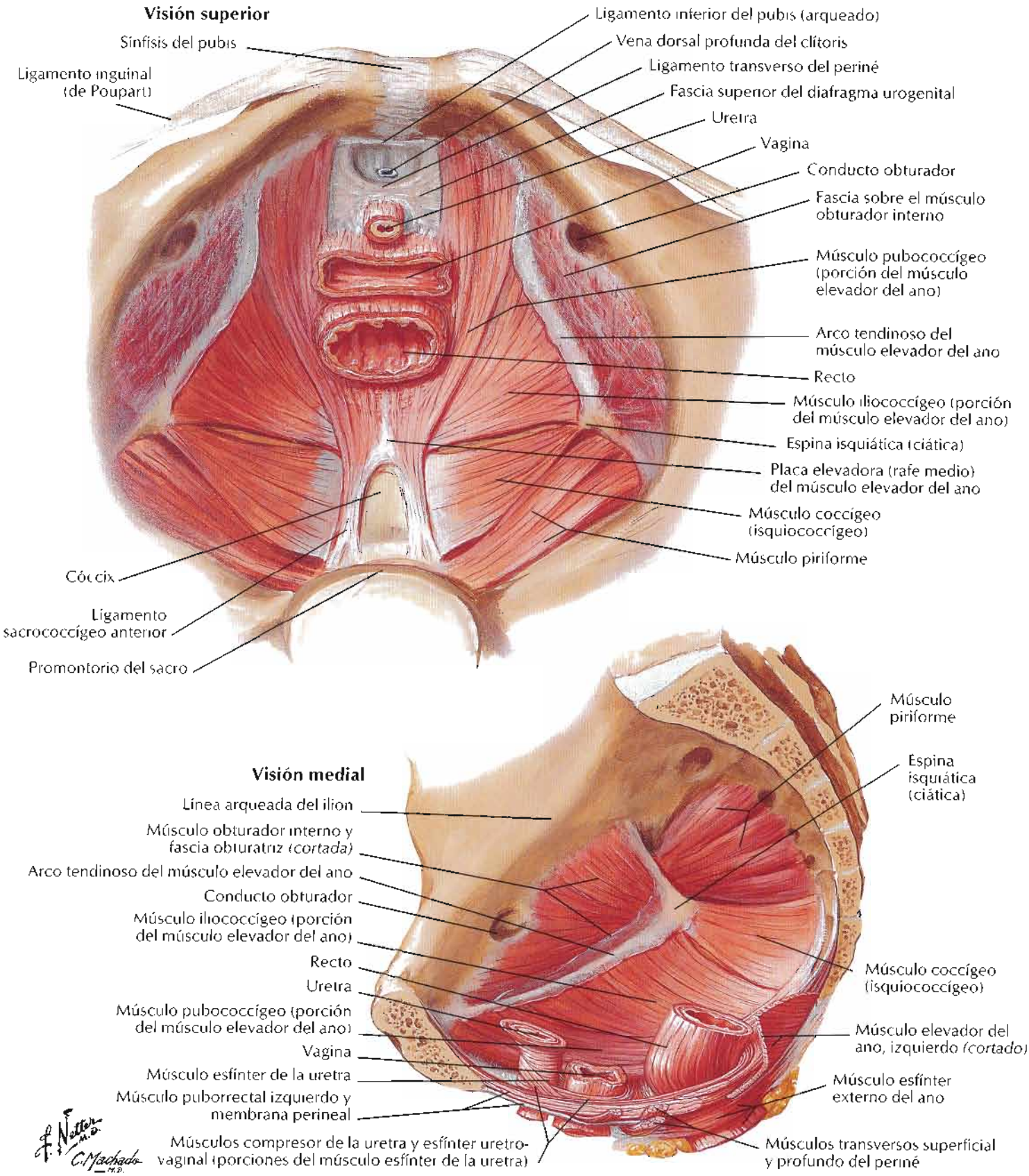


Pelvis masculina

- **A** L5
- **B** Sacro
- **C** Ala del sacro
- **D** Ilion
- **E** Pubis
- **F** Isquion
- **G** Sínfisis del pubis
- **H** Agujero obturado
- **I** Tuberosidad isquiática
- **J** Espina ciática
- **K** Cabeza del fémur
- **L** Trocánter mayor
- **M** Trocánter menor
- **N** Fémur
- **O** Aire en el colon
- **P** Articulación sacroilíaca
- ——— Acetábulo
- - - - - - - Ángulo subpubiano

Diafragma pélvico: mujer

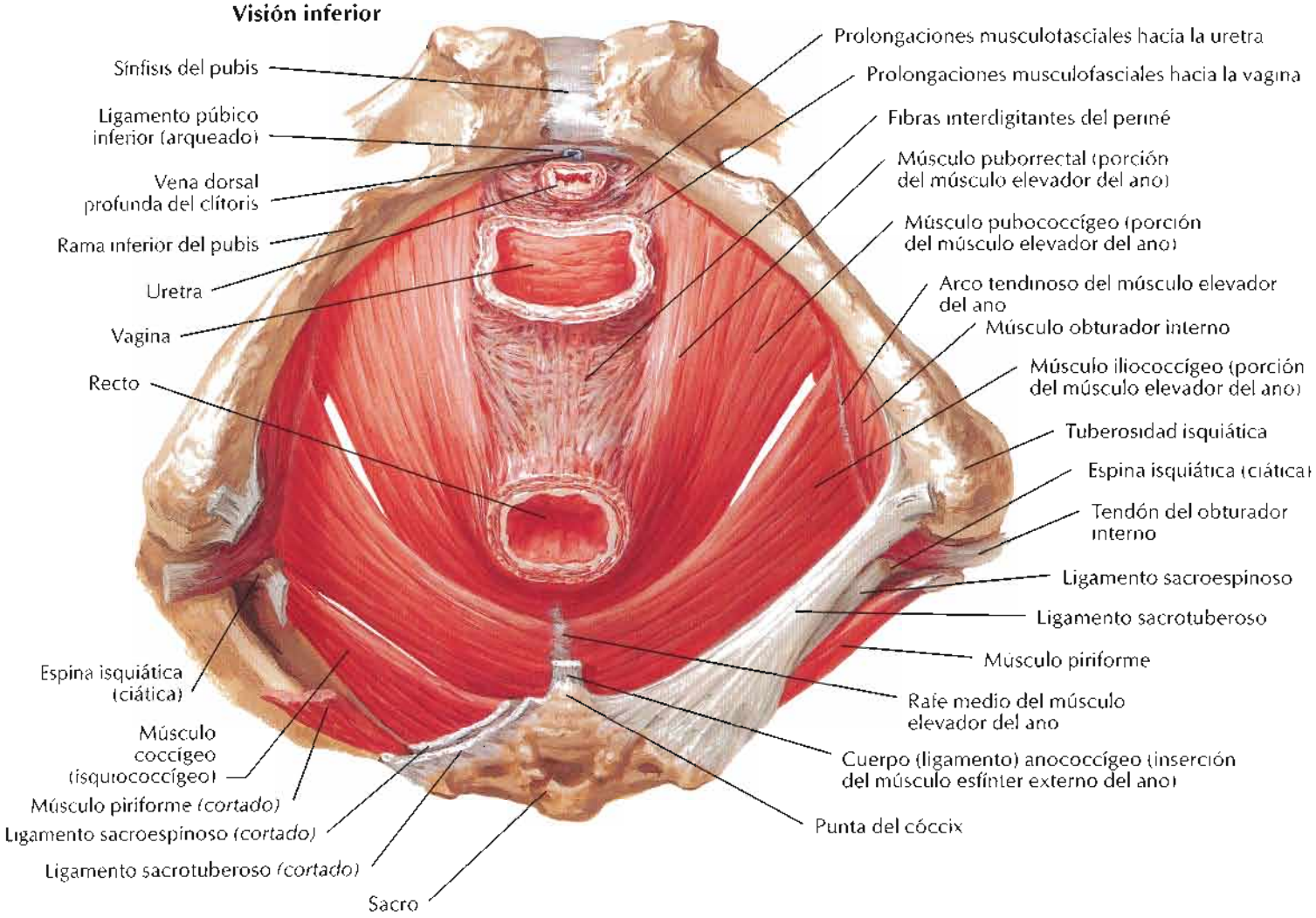
Véanse también **láminas 263, 366, 370, 392**



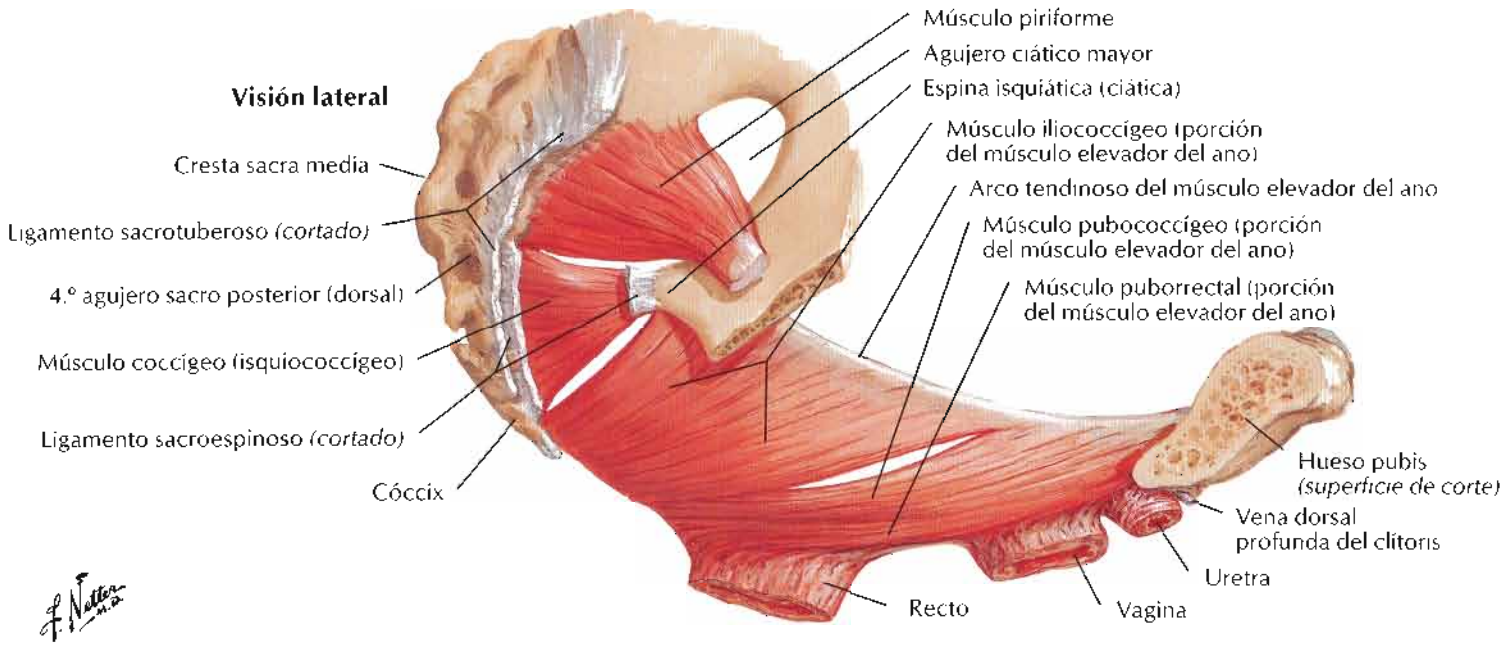
Diafragma pélvico: mujer *(continuación)*

Para el diafragma urogenital véase **lámina 379**

Visión inferior

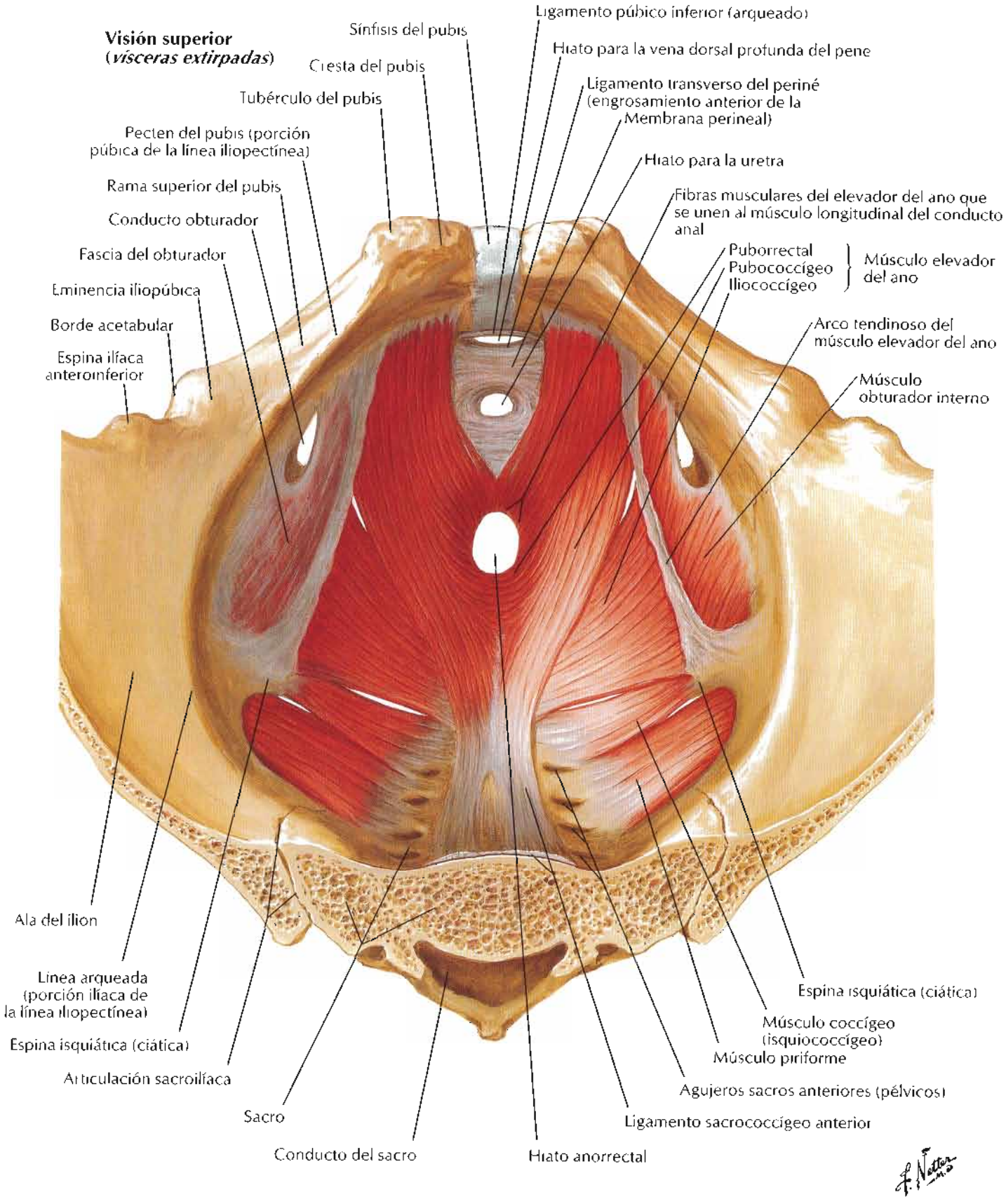


Visión lateral



Diafragma pélvico: varón

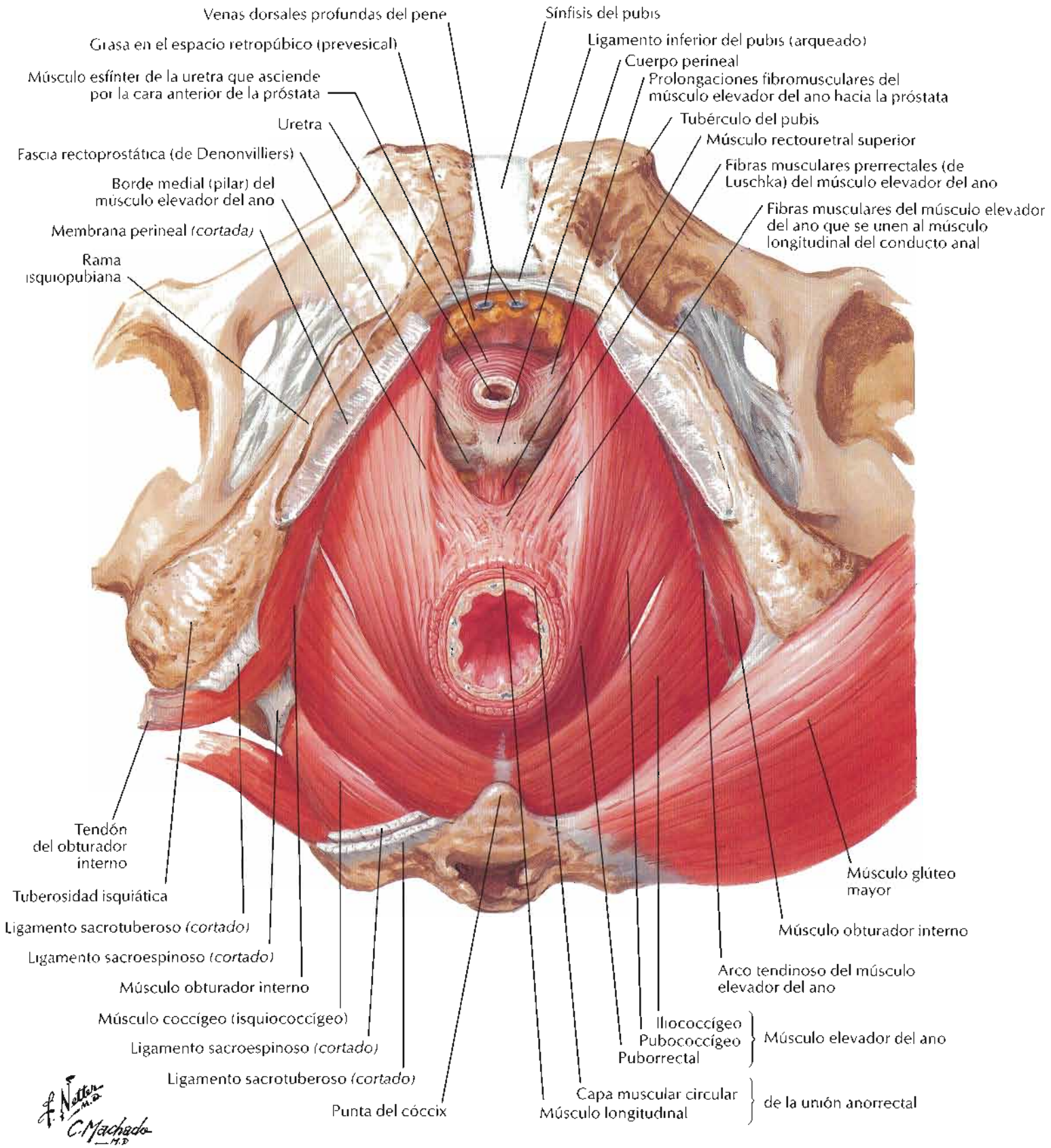
Véanse también **láminas 263, 266, 392**



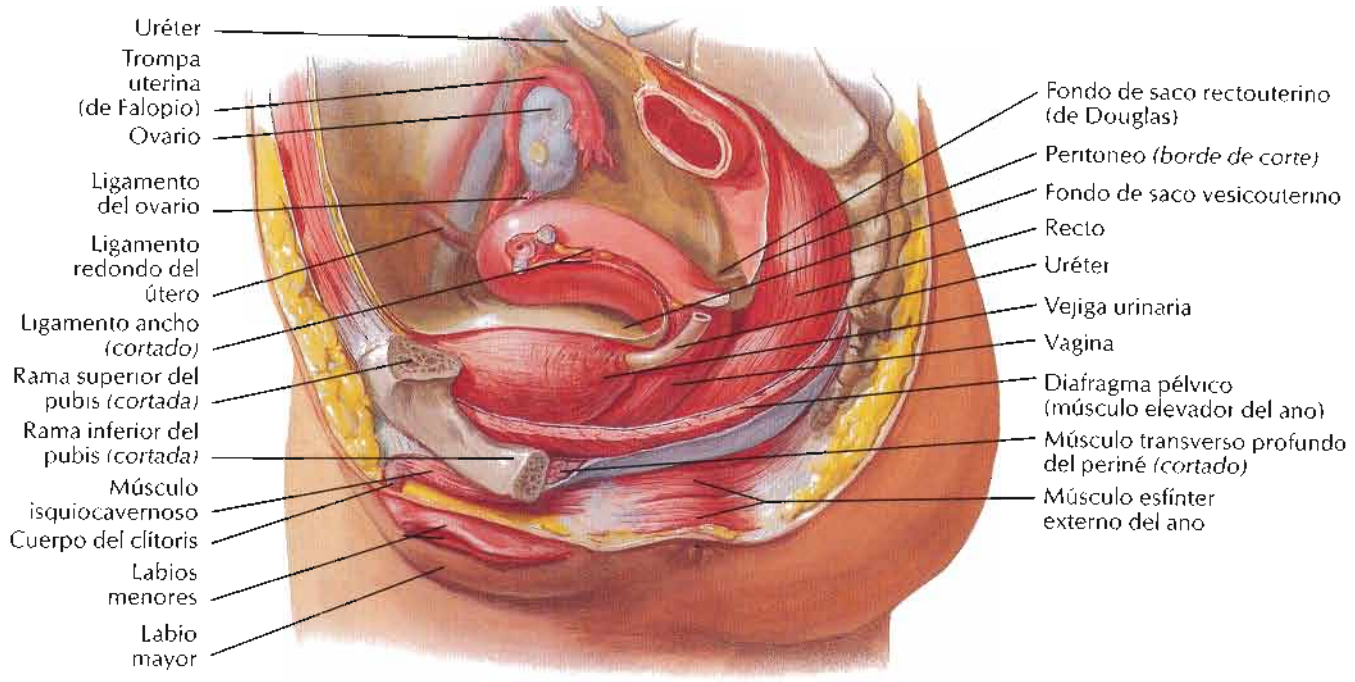
Diafragma pélvico: varón *(continuación)*

Para el diafragma urogenital véase **lámina 383**

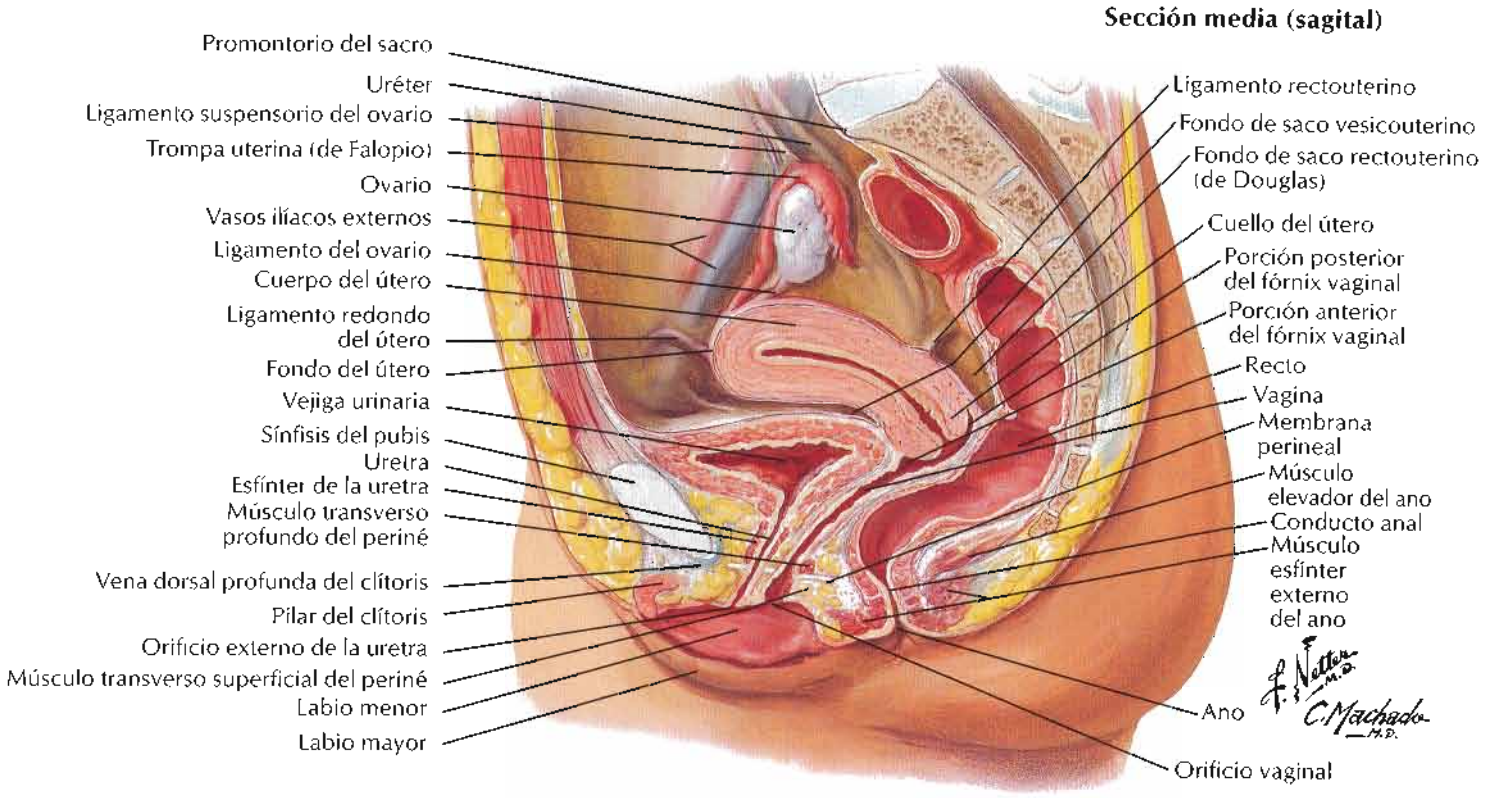
Visión inferior



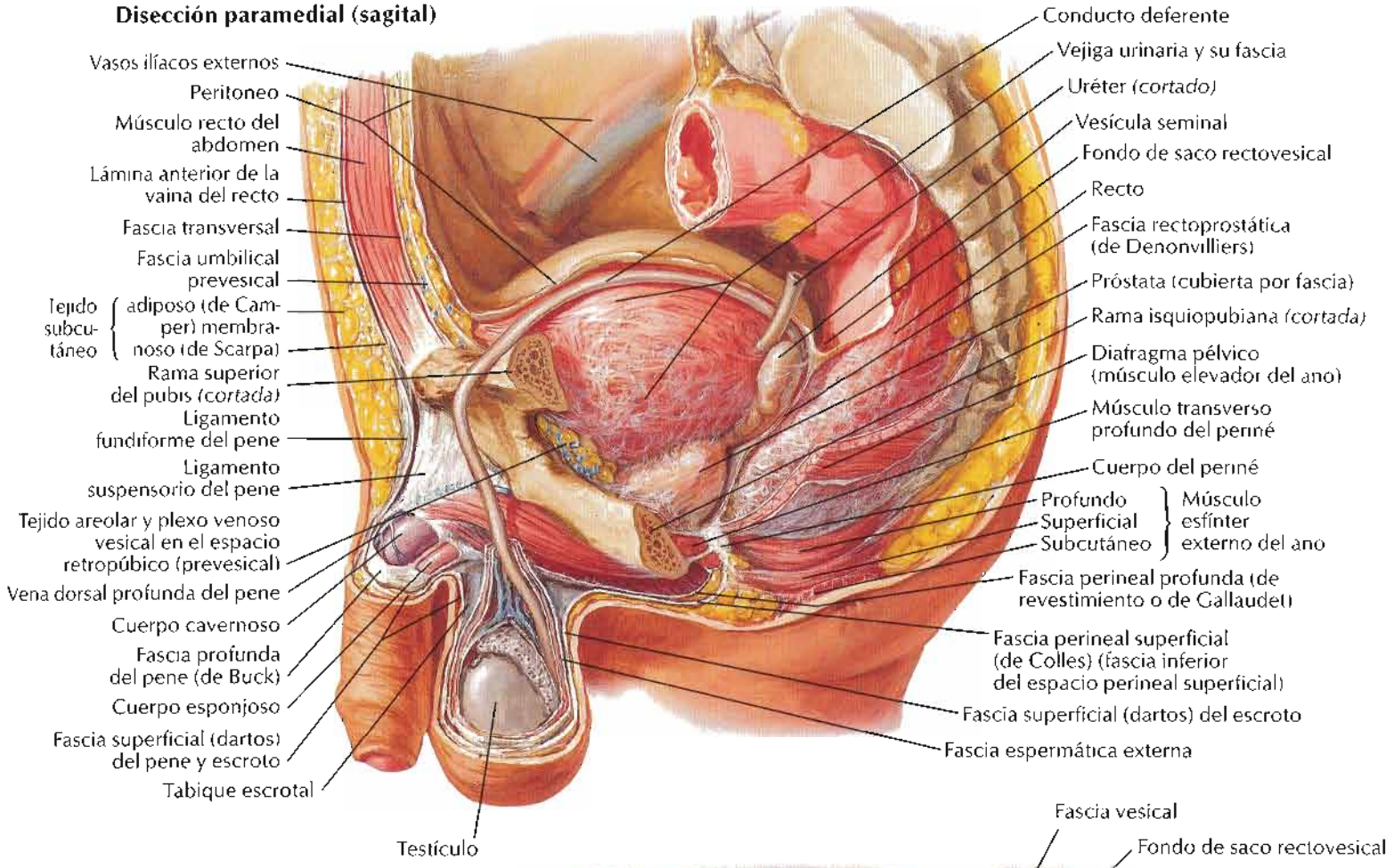
Disección paramedial (sagital)



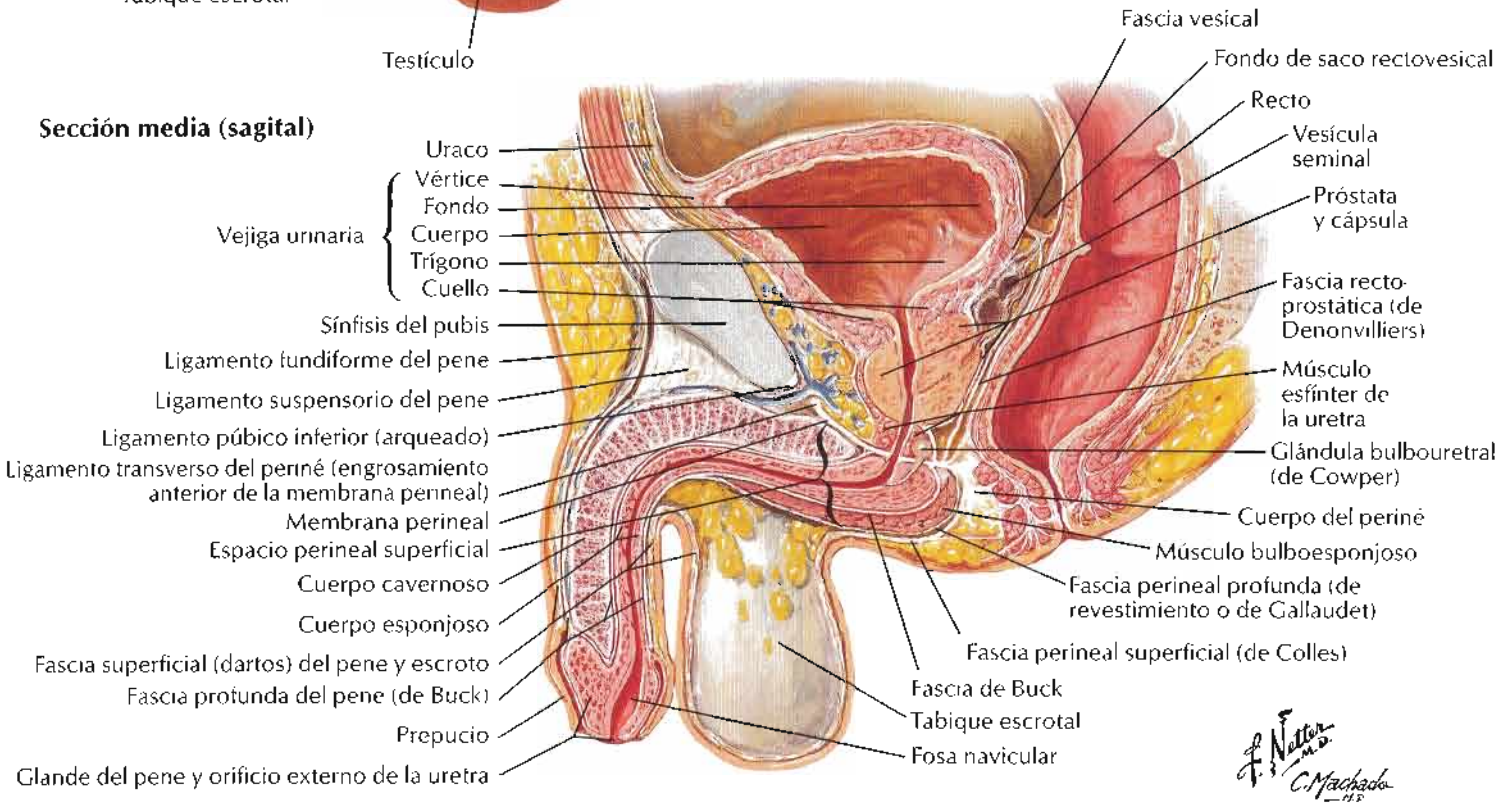
Sección media (sagital)

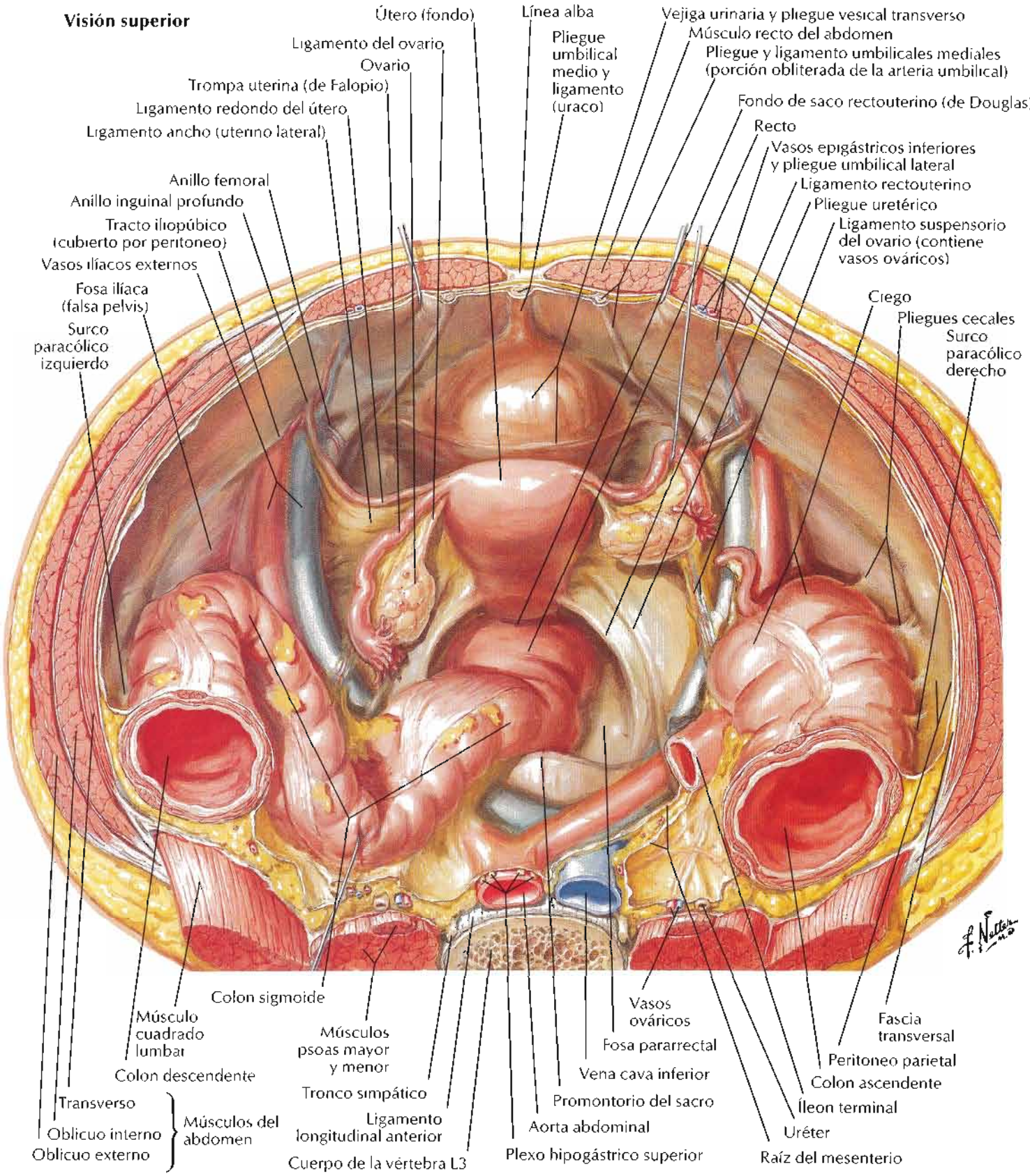


Disección paramedial (sagital)

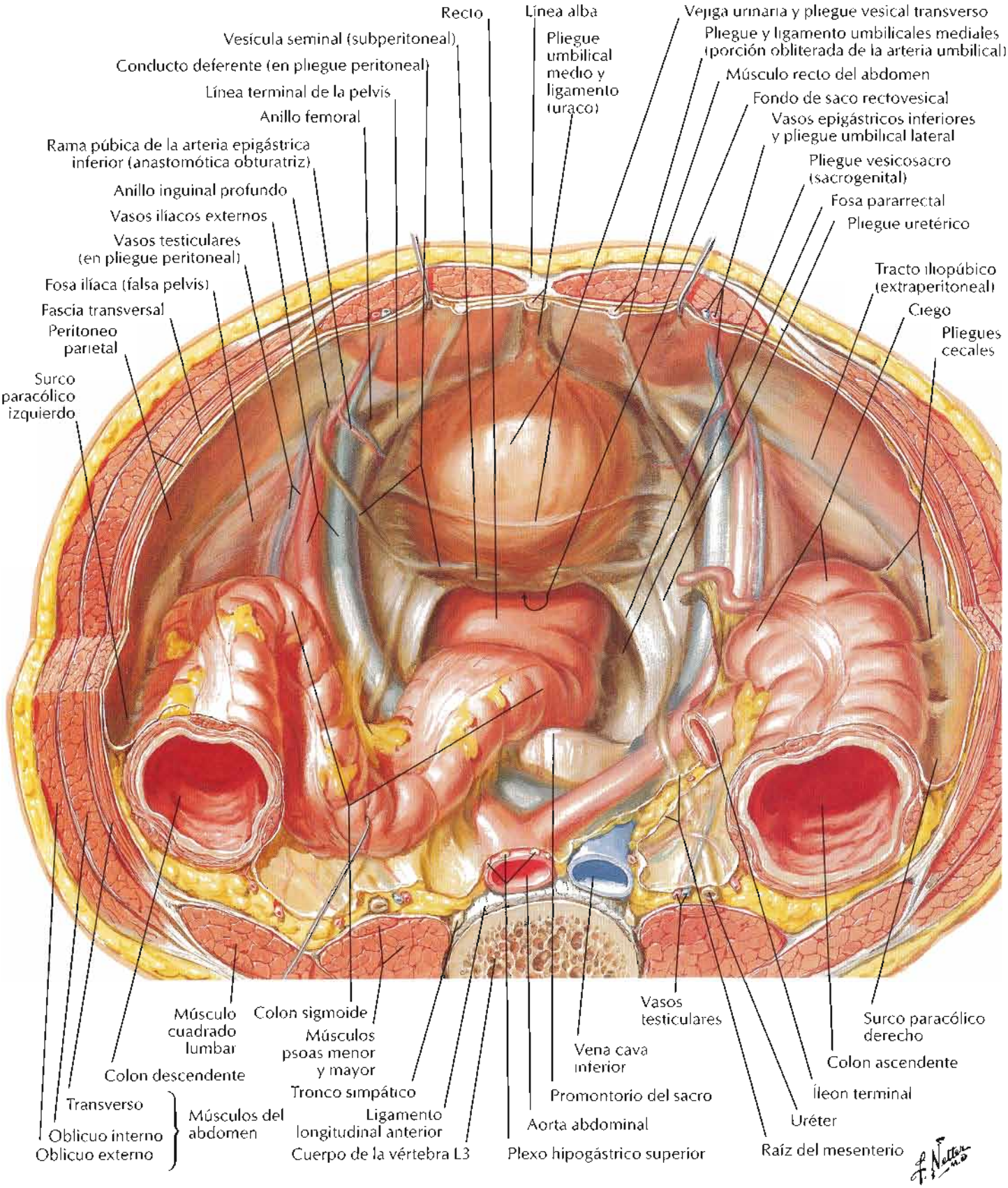


Sección media (sagital)

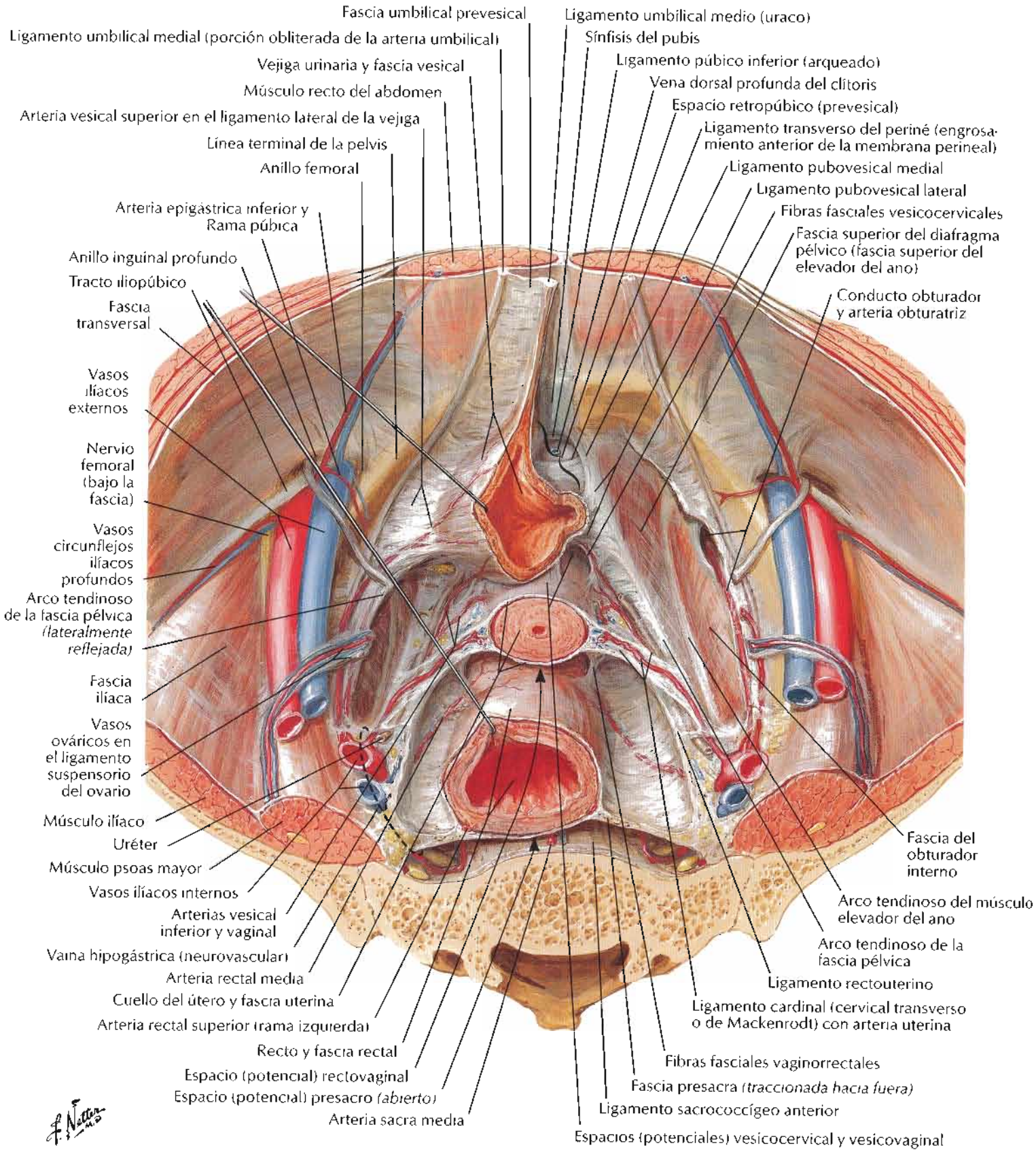



Visión superior
Útero (fondo)
Línea alba
Vejiga urinaria y pliegue vesical transverso
Ligamento del ovario
Pliegue umbilical medio y ligamento (uraco)
Músculo recto del abdomen
Ovario
Pliegue y ligamento umbilicales mediales (porción obliterada de la arteria umbilical)
Trompa uterina (de Falopio)
Fondo de saco rectouterino (de Douglas)
Ligamento redondo del útero
Recto
Ligamento ancho (uterino lateral)
Vasos epigástricos inferiores y pliegue umbilical lateral
Anillo femoral
Ligamento rectouterino
Anillo inguinal profundo
Pliegue uretérico
Tracto iliopúbico (cubierto por peritoneo)
Ligamento suspensorio del ovario (contiene vasos ováricos)
Vasos ilíacos externos
Ciego
Fosa ilíaca (falsa pelvis)
Pliegues cecales
Surco paracólico izquierdo
Surco paracólico derecho
Colon sigmoide
Vasos ováricos
Fascia transversal
Músculo cuadrado lumbar
Fosa pararrectal
Peritoneo parietal
Músculos psoas mayor y menor
Vena cava inferior
Colon ascendente
Colon descendente
Tronco simpático
Promontorio del sacro
Íleon terminal
Transverso
Ligamento longitudinal anterior
Aorta abdominal
Uréter
Oblicuo interno
Músculos del abdomen
Plexo hipogástrico superior
Raíz del mesenterio
Oblicuo externo
Cuerpo de la vértebra L3

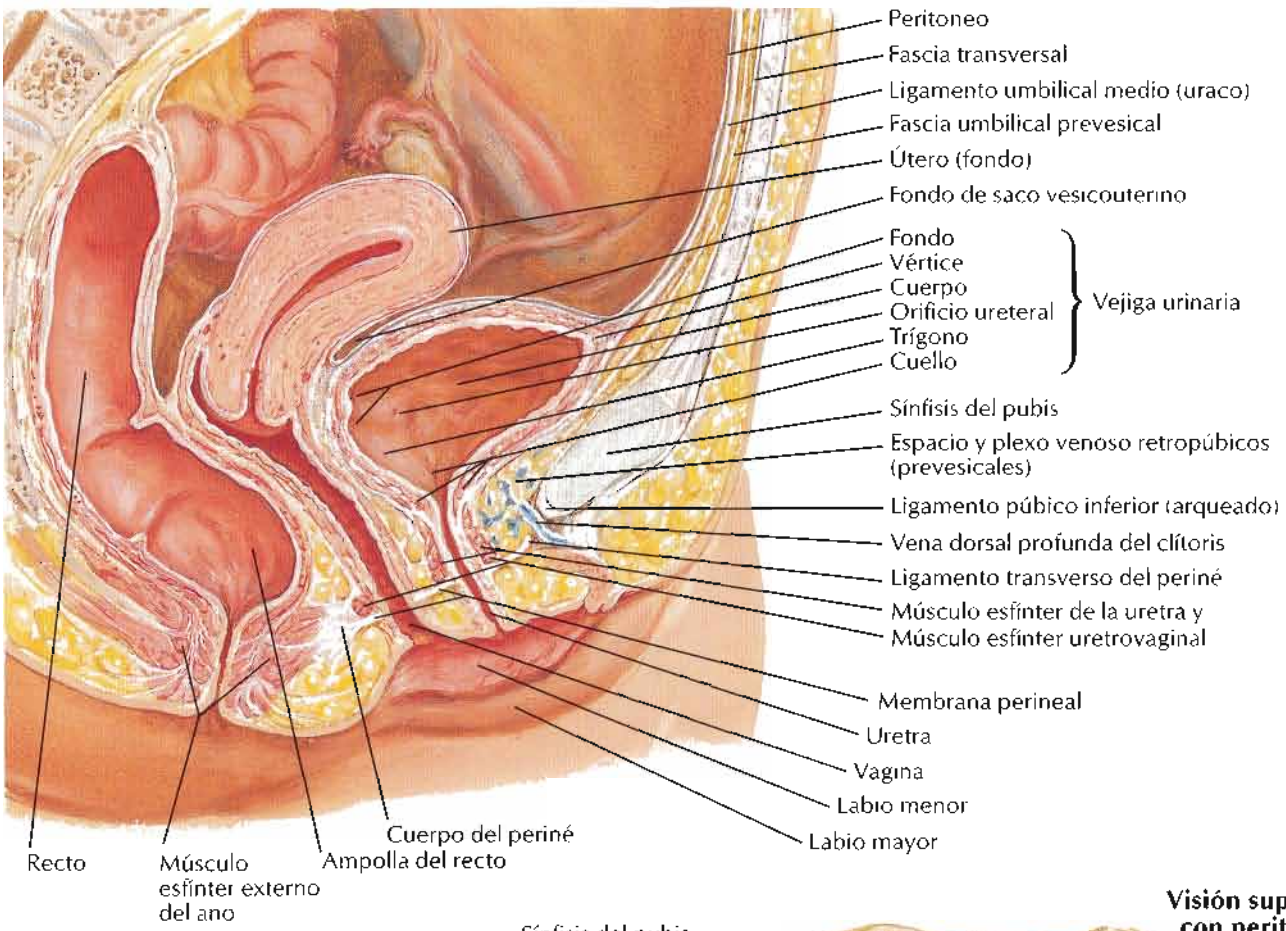
Visión superior



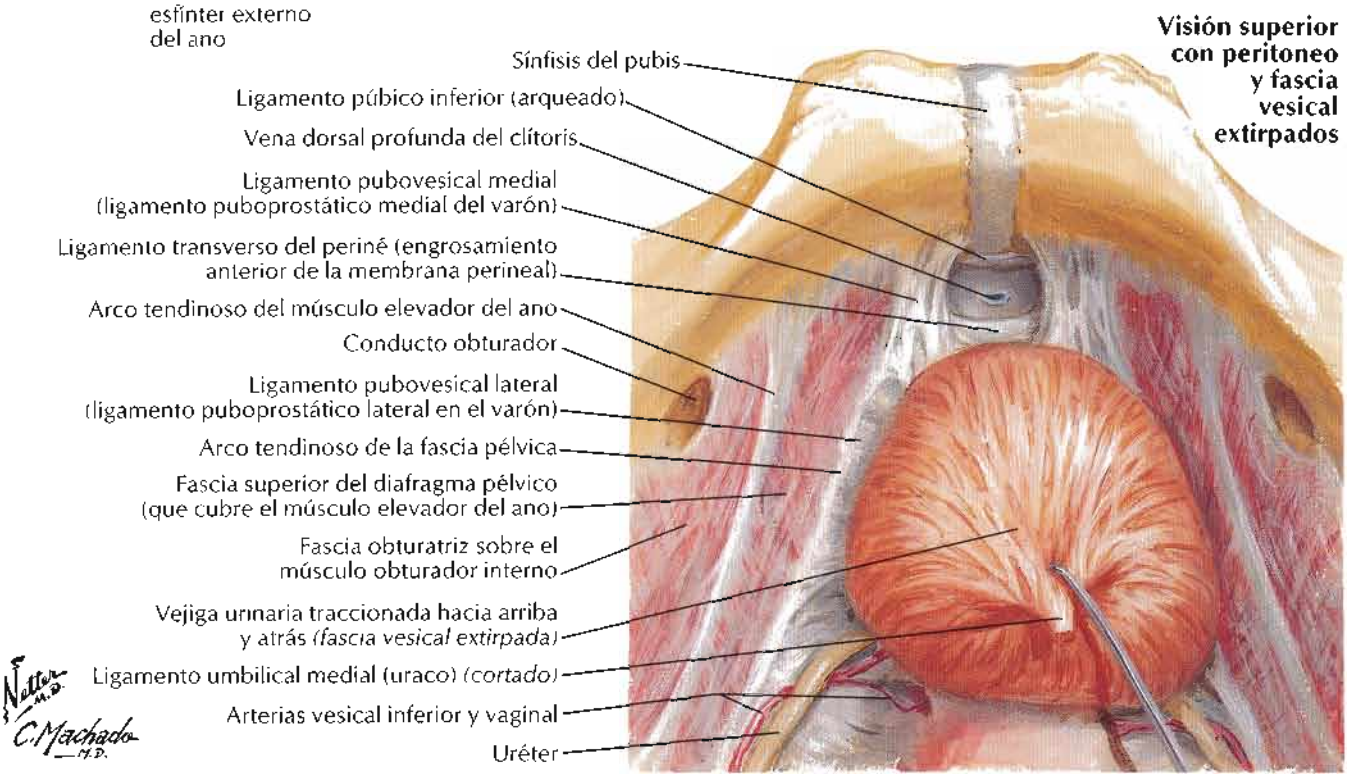
Mujer: visión superior (se han extirpado el peritoneo y el tejido areolar laxo)



Mujer: sección sagital media



Visión superior con peritoneo y fascia vesical extirpados

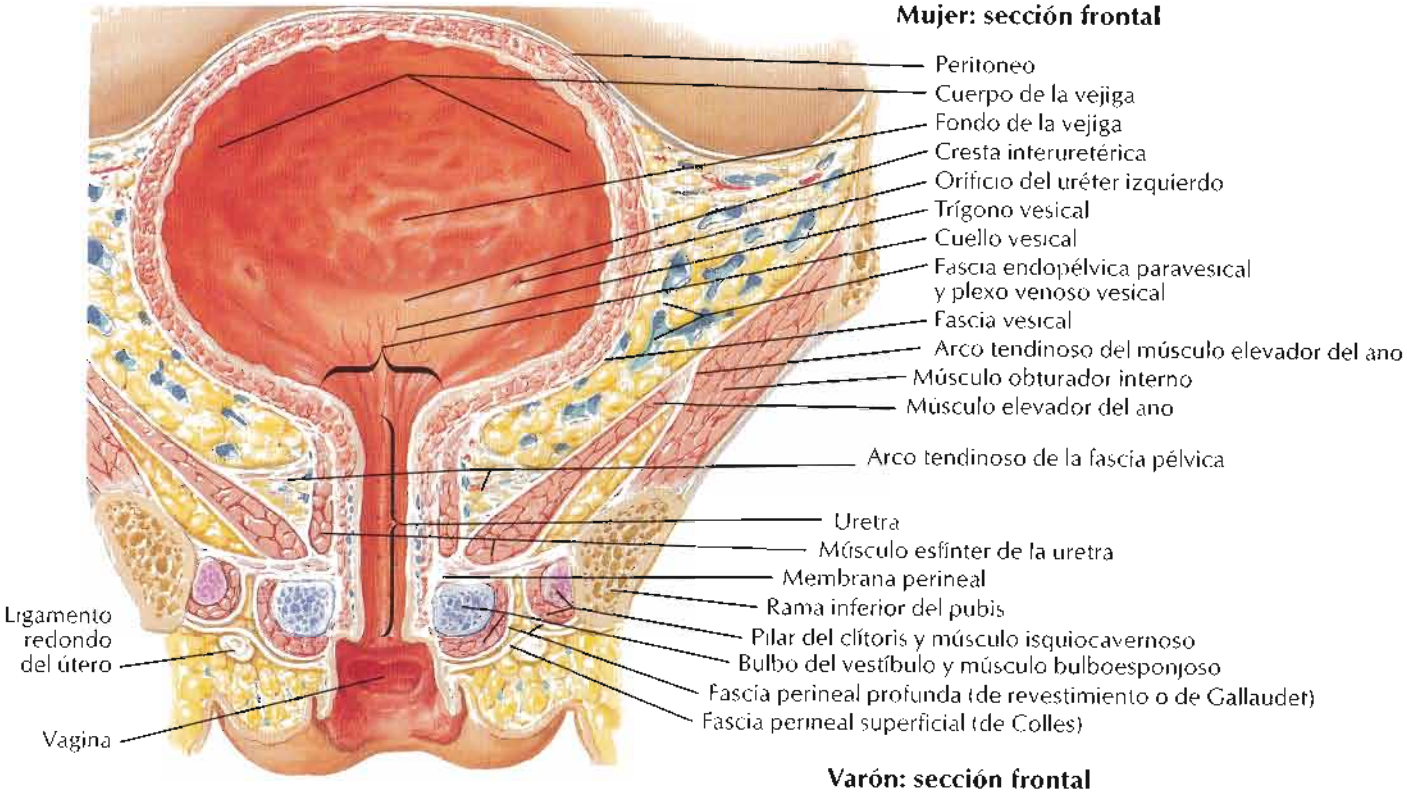


F. Netter, M.D.
C. Machado, M.D.

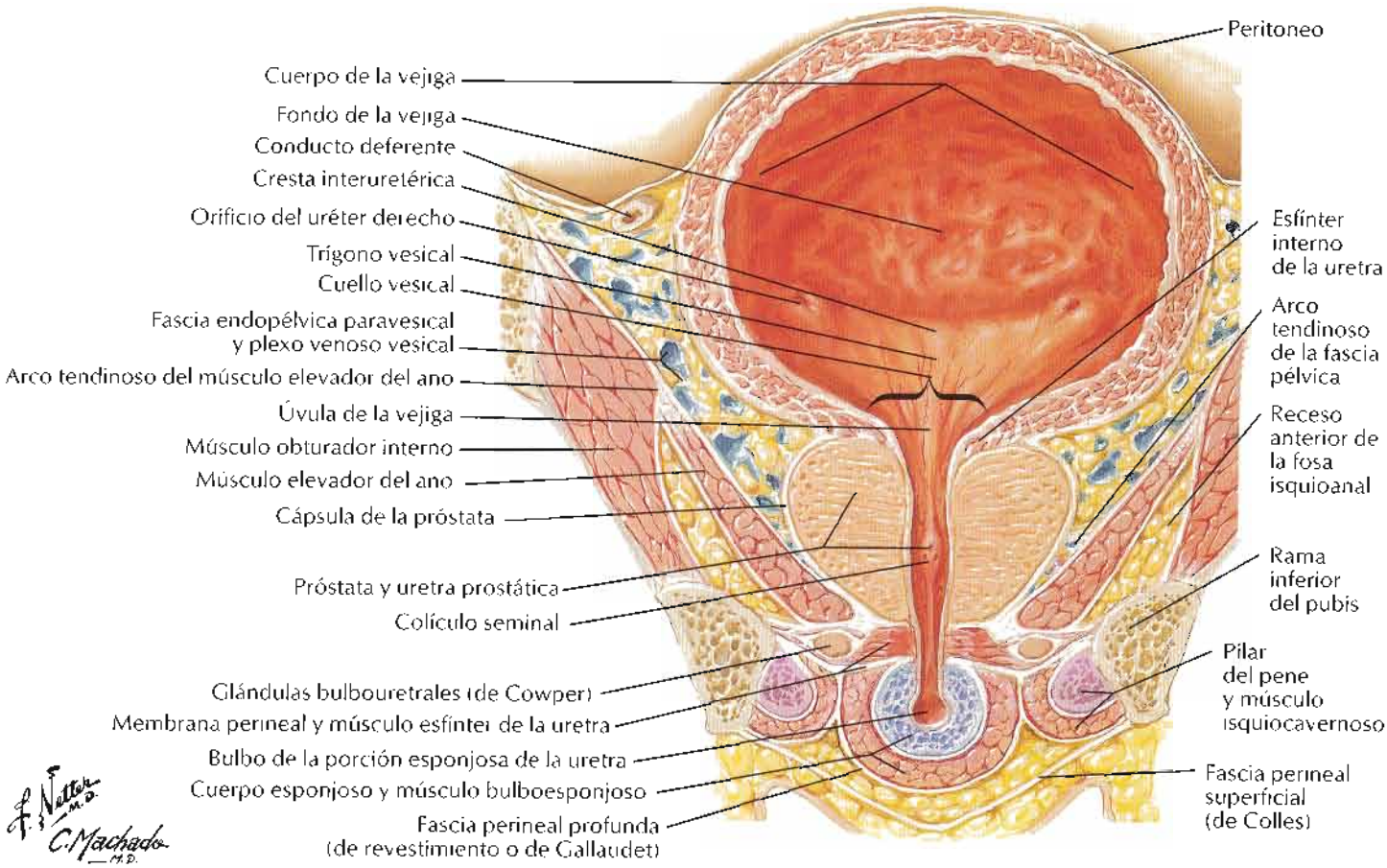
Vejiga urinaria: mujer y varón

Véanse también **láminas 343, 360, 361, 365, 400, 402, 403, 417**

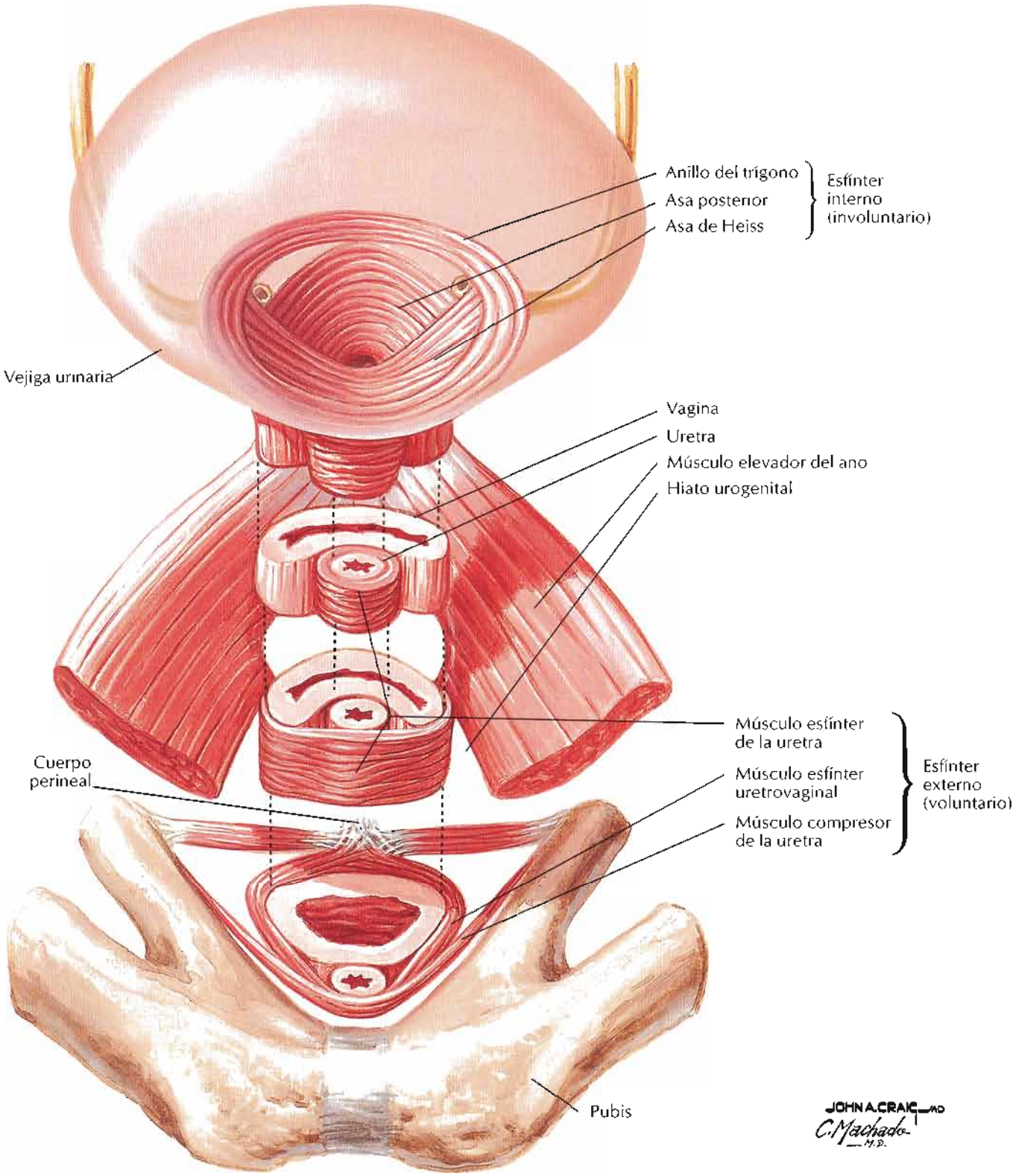
Mujer: sección frontal

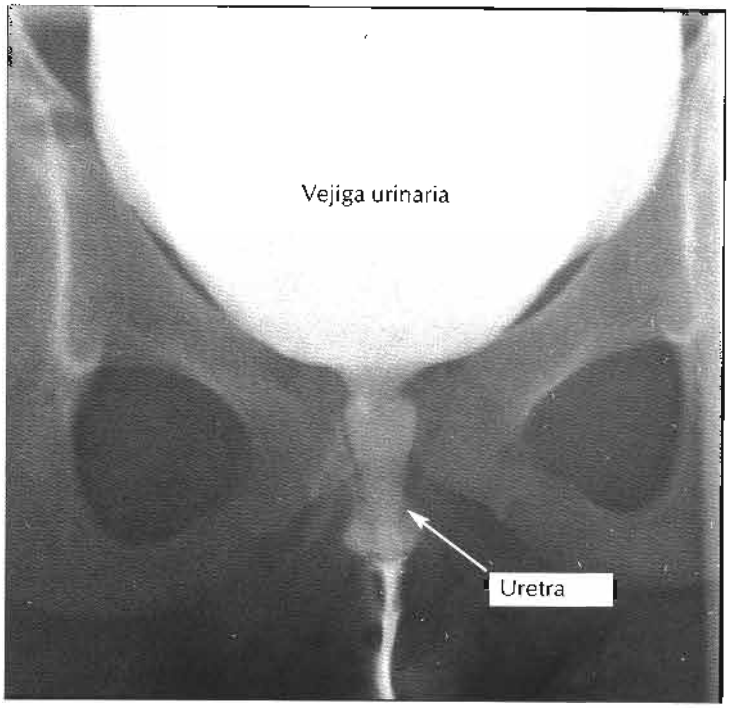


Varón: sección frontal



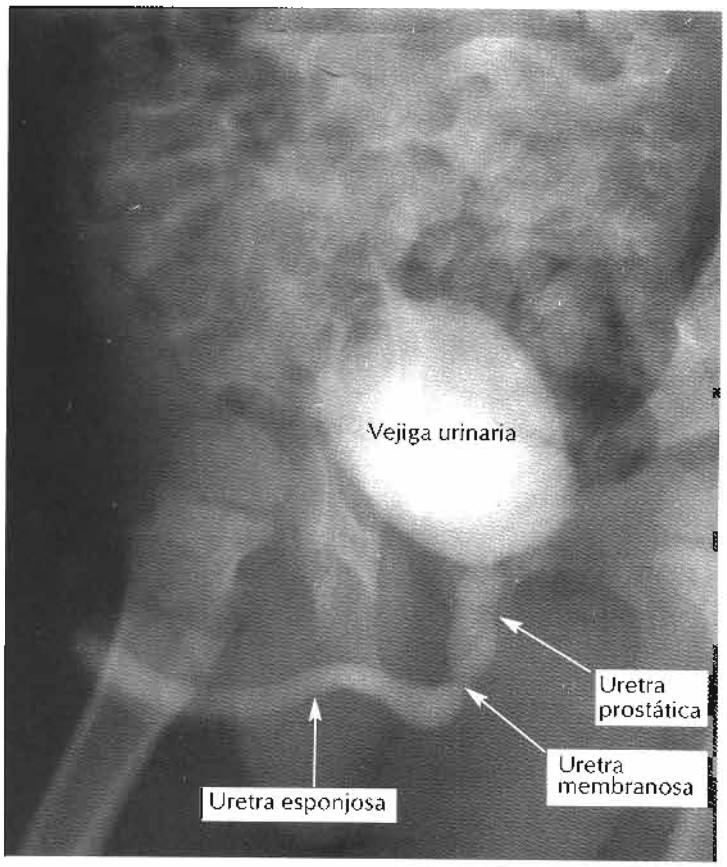
F. Netter M.D.
C. Machado M.D.


Anillo del trígono
Asa posterior
Asa de Heiss
Esfínter interno (involuntario)
Vejiga urinaria
Vagina
Uretra
Músculo elevador del ano
Hiato urogenital
Músculo esfínter de la uretra
Cuerpo perineal
Músculo esfínter uretrovaginal
Músculo compresor de la uretra
Esfínter externo (voluntario)
Pubis
JOHN A. CRAIG M.D.
C. Machado M.D.

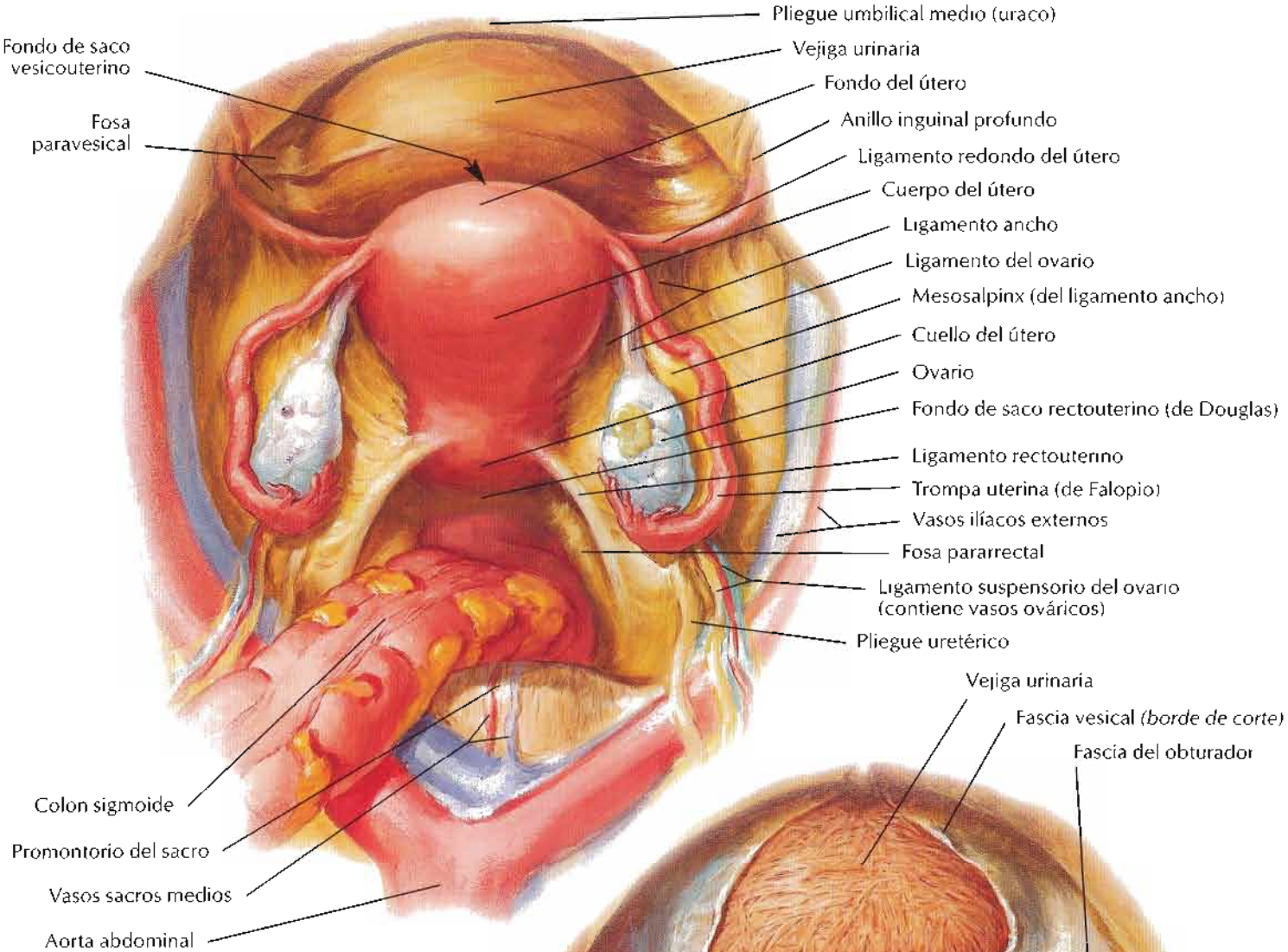


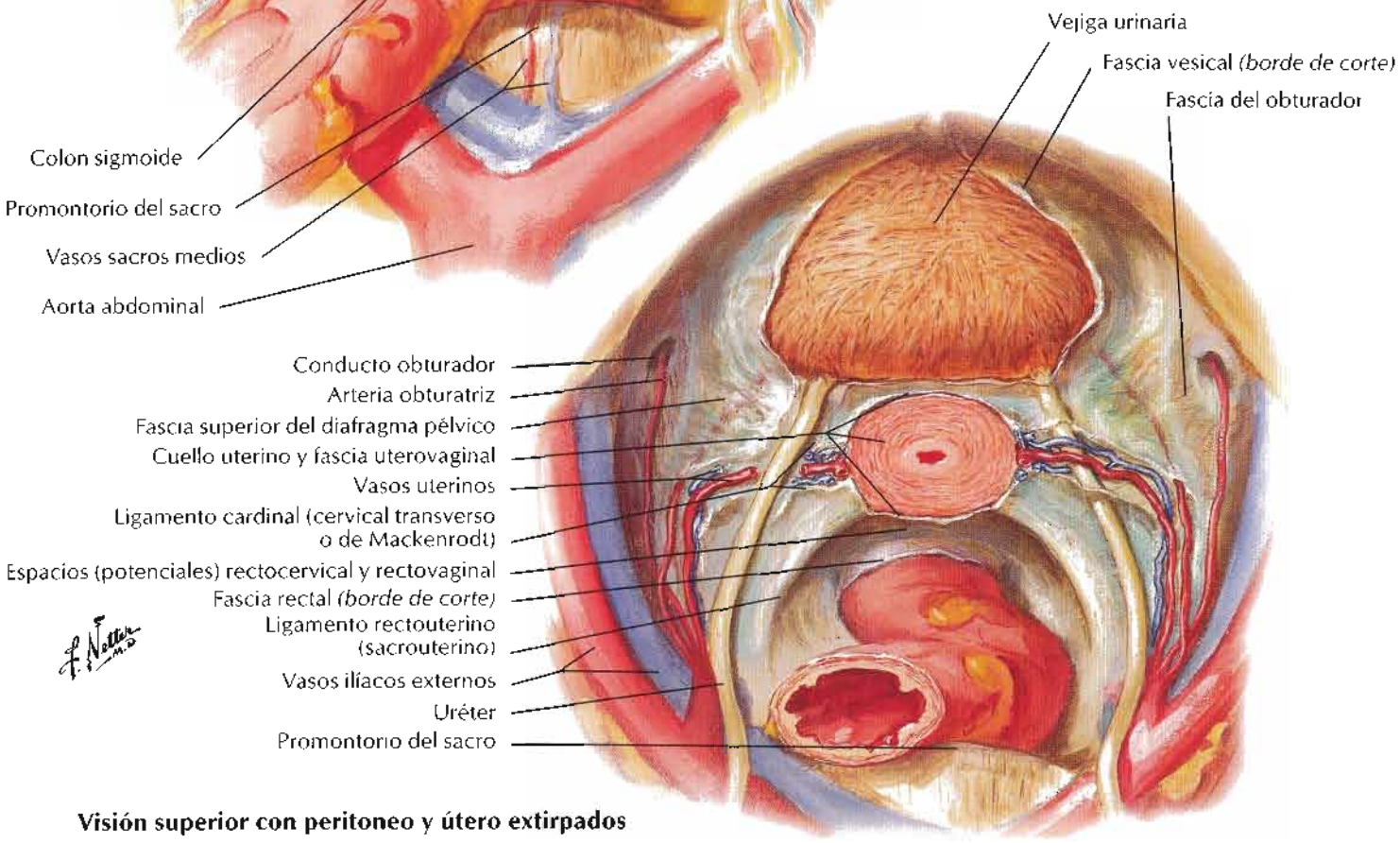
Uretra femenina, niña de 8 años de edad

Cistouretrografía en micción, niño de 2 años de edad



Visión superior con el peritoneo intacto

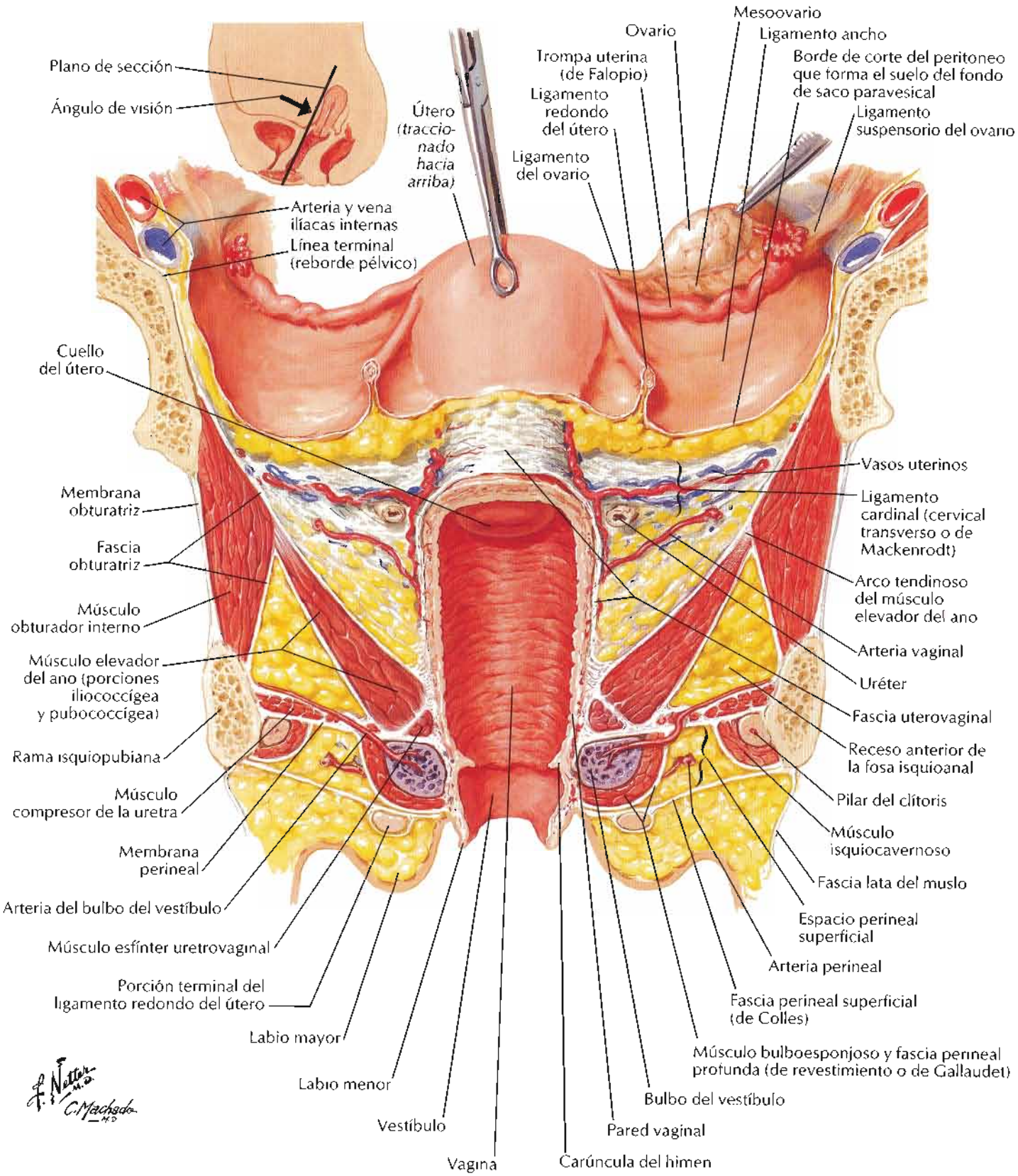


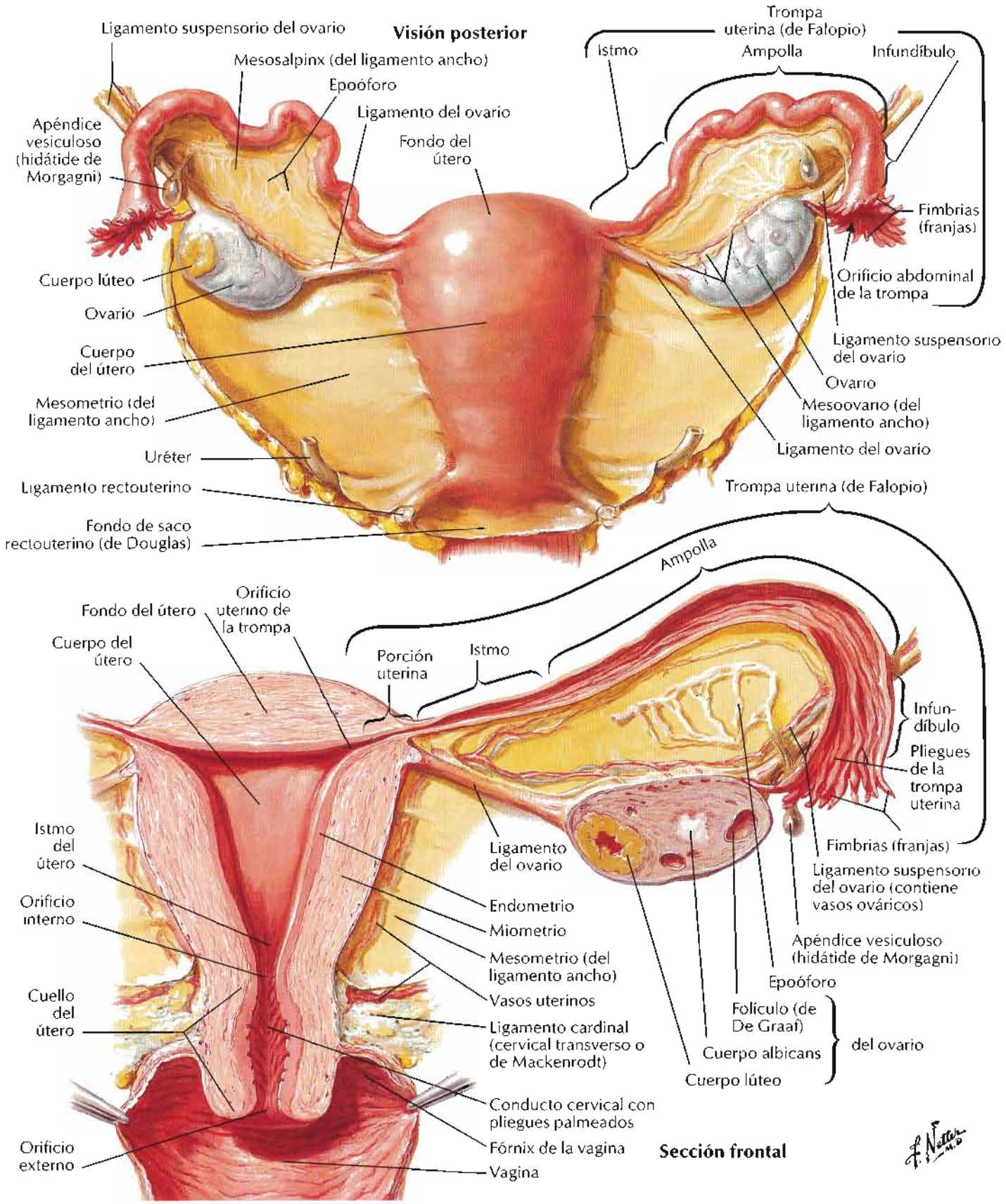


Visión superior con peritoneo y útero extirpados

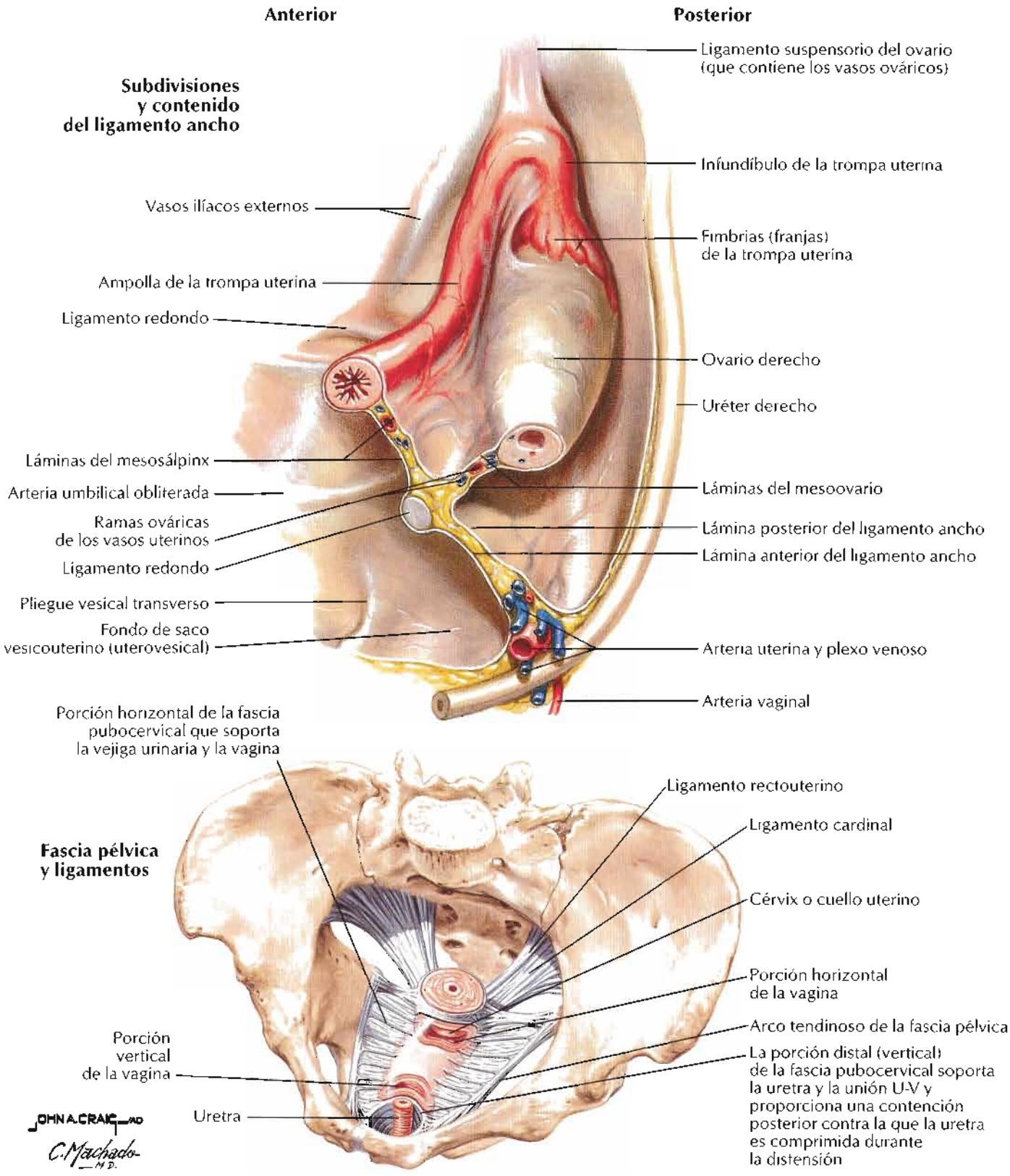
Útero, vagina y estructuras de soporte

Véanse también **láminas 400, 402, 404, 406, 412, 414, 415**

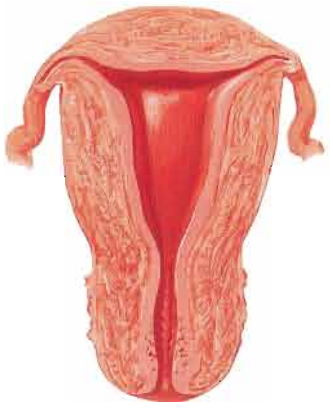



Ligamento suspensorio del ovario
Visión posterior
Mesosalpinx (del ligamento ancho)
Epoóforo
Ligamento del ovario
Apéndice vesiculoso (hidátide de Morgagni)
Fondo del útero
Cuerpo lúteo
Ovario
Cuerpo del útero
Mesometrio (del ligamento ancho)
Uréter
Ligamento rectouterino
Fondo de saco rectouterino (de Douglas)
Trompa uterina (de Falopio)
Istmo
Ampolla
Infundíbulo
Fimbrias (franjas)
Orificio abdominal de la trompa
Ligamento suspensorio del ovario
Ovario
Mesoovario (del ligamento ancho)
Ligamento del ovario
Trompa uterina (de Falopio)
Ampolla
Fondo del útero
Orificio uterino de la trompa
Cuerpo del útero
Porción uterina
Istmo
Infun-díbulo
Pliegues de la trompa uterina
Fimbrias (franjas)
Ligamento suspensorio del ovario (contiene vasos ováricos)
Istmo del útero
Orificio interno
Cuello del útero
Orificio externo
Ligamento del ovario
Endometrio
Miometrio
Mesometrio (del ligamento ancho)
Vasos uterinos
Ligamento cardinal (cervical transverso o de Mackenrodt)
Conducto cervical con pliegues palmeados
Fórnix de la vagina
Vagina
Apéndice vesiculoso (hidátide de Morgagni)
Epoóforo
Folículo (de De Graaf)
Cuerpo albicans
Cuerpo lúteo
del ovario
Sección frontal

Ligamentos pélvicos



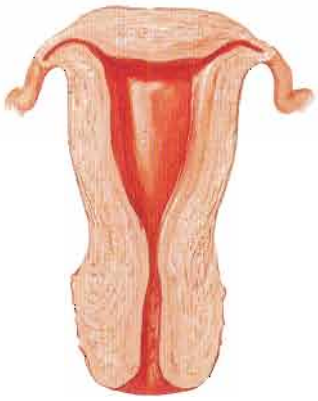
Útero: cambios con la edad y patrón muscular



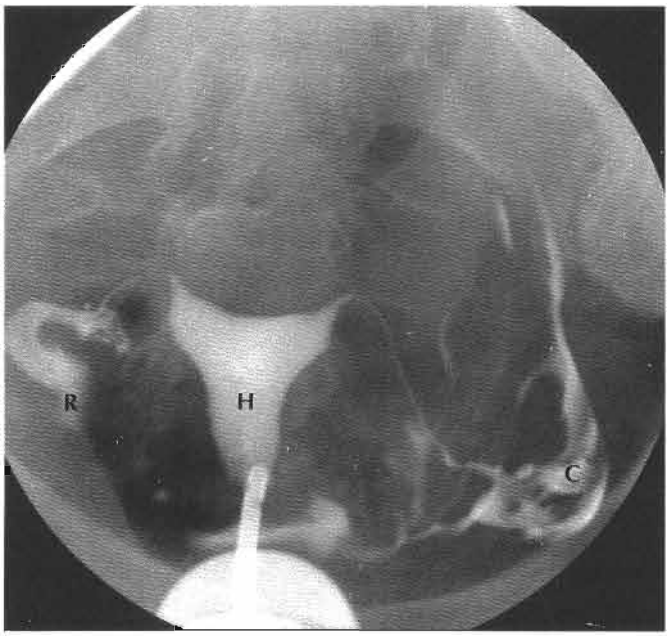
Adulta
(nulípara)



Adulta
(que ha parido)



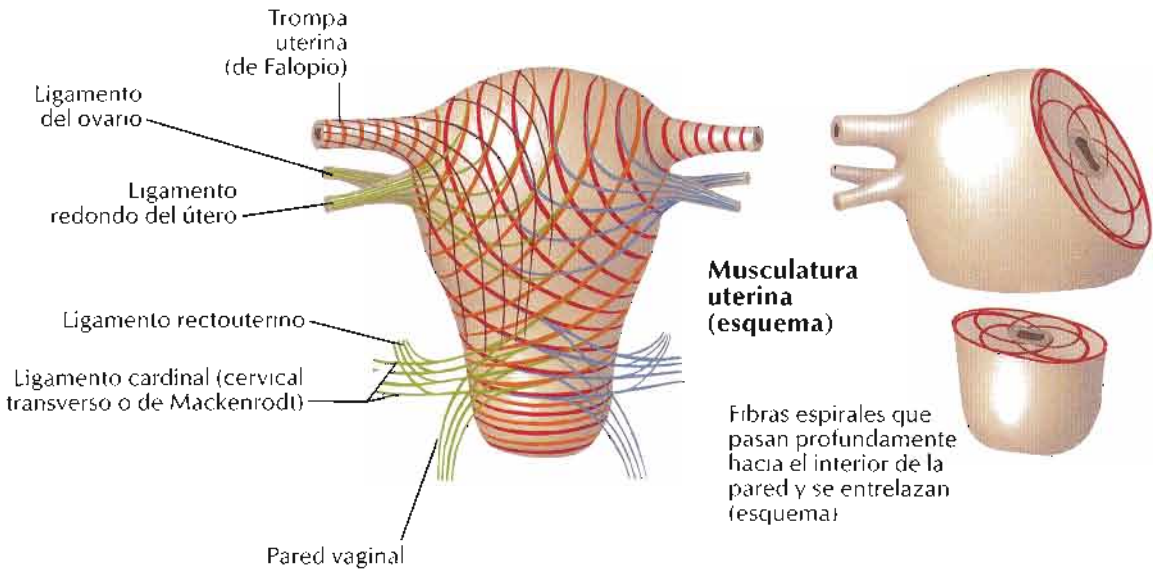
Adulta
(posmenopaúsica)



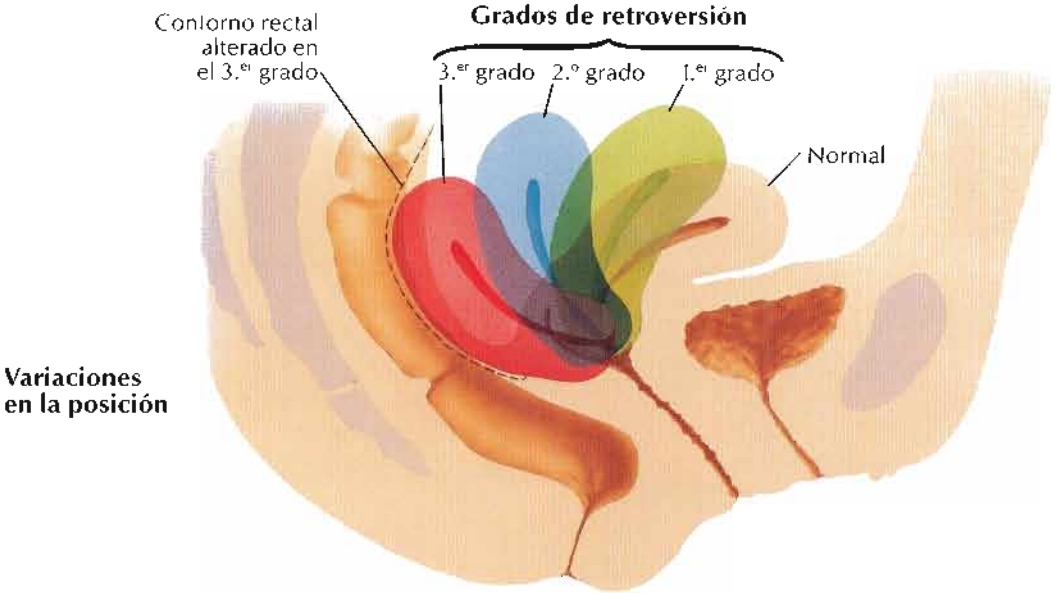
C Medio de contraste en la cavidad abdominal

H Histerosalpingografía uterina

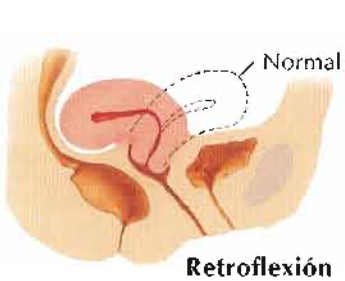
R Infección de la trompa uterina derecha



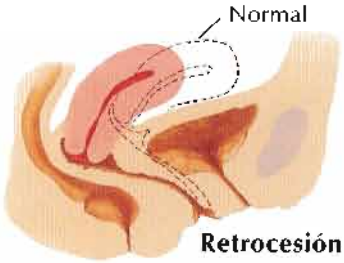
Útero: posición y prolapso



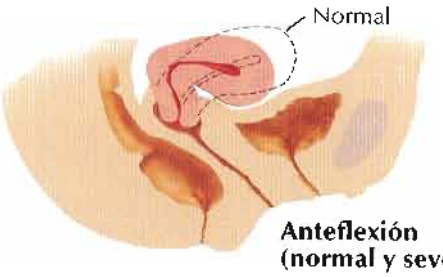
Variaciones en la posición



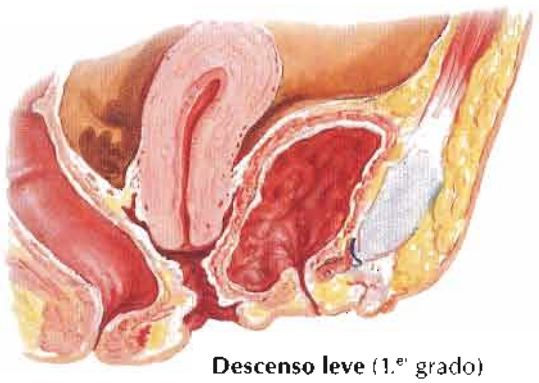
Retroflexión



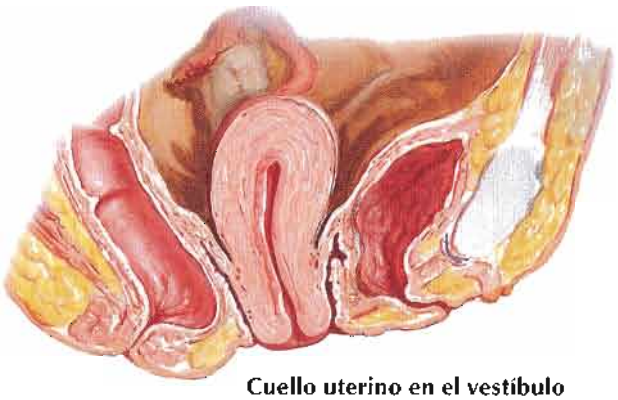
Retrocesión



Anteflexión (normal y severa)

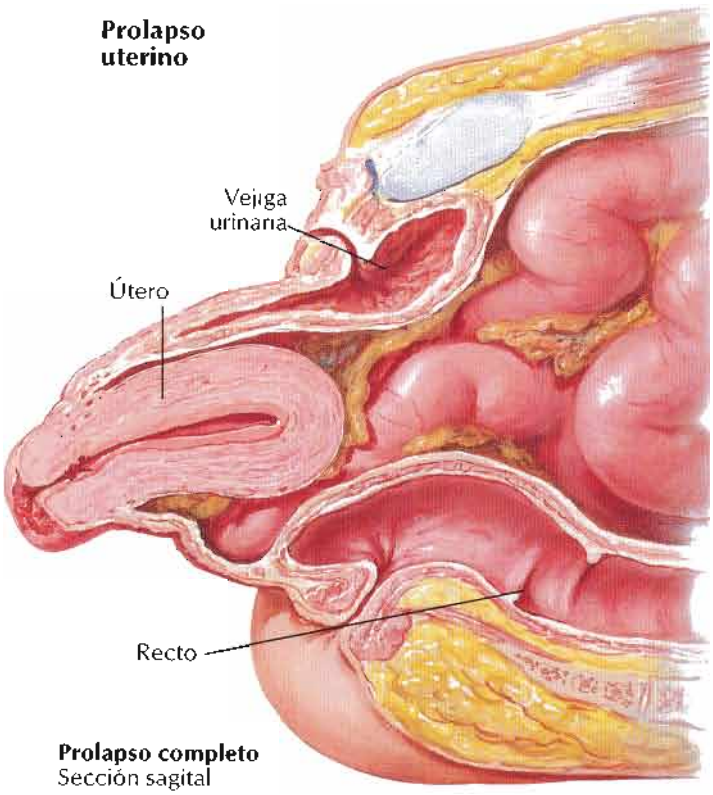


Descenso leve (1.er grado)



Cuello uterino en el vestíbulo vaginal (2.º grado)

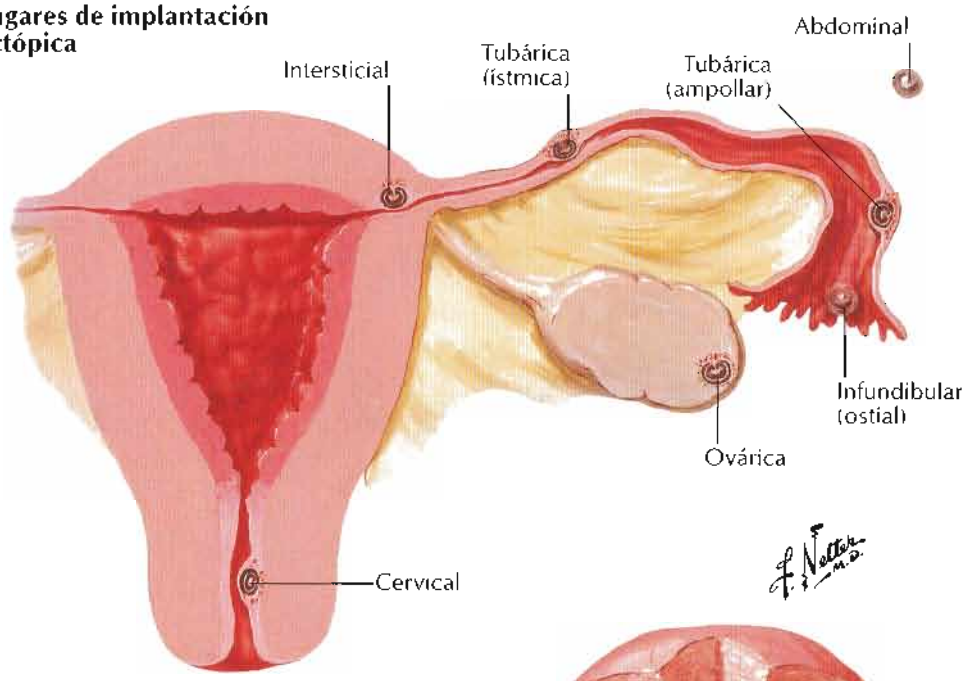
Prolapso uterino

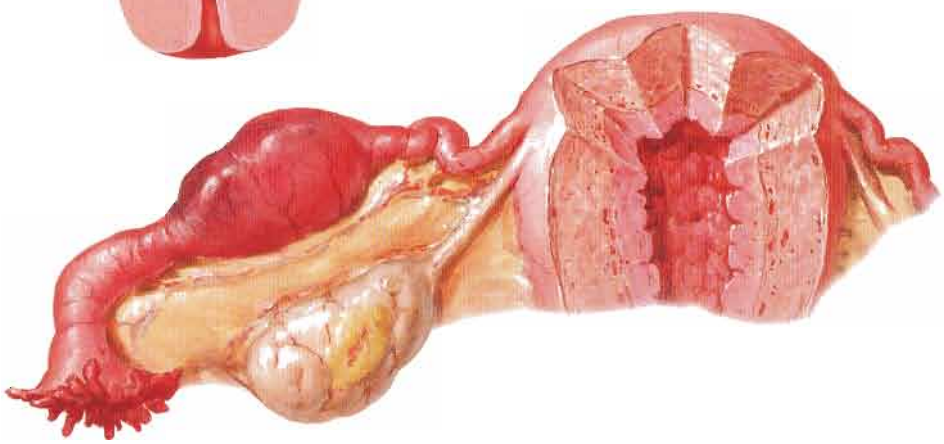


Prolapso completo
Sección sagital

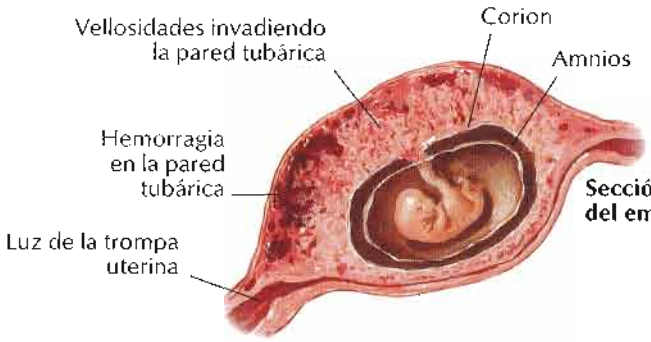
F. Netter M.D.

Lugares de implantación ectópica

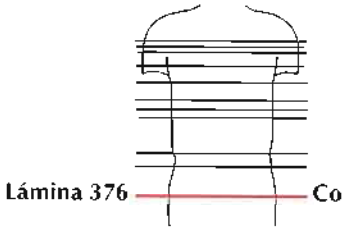




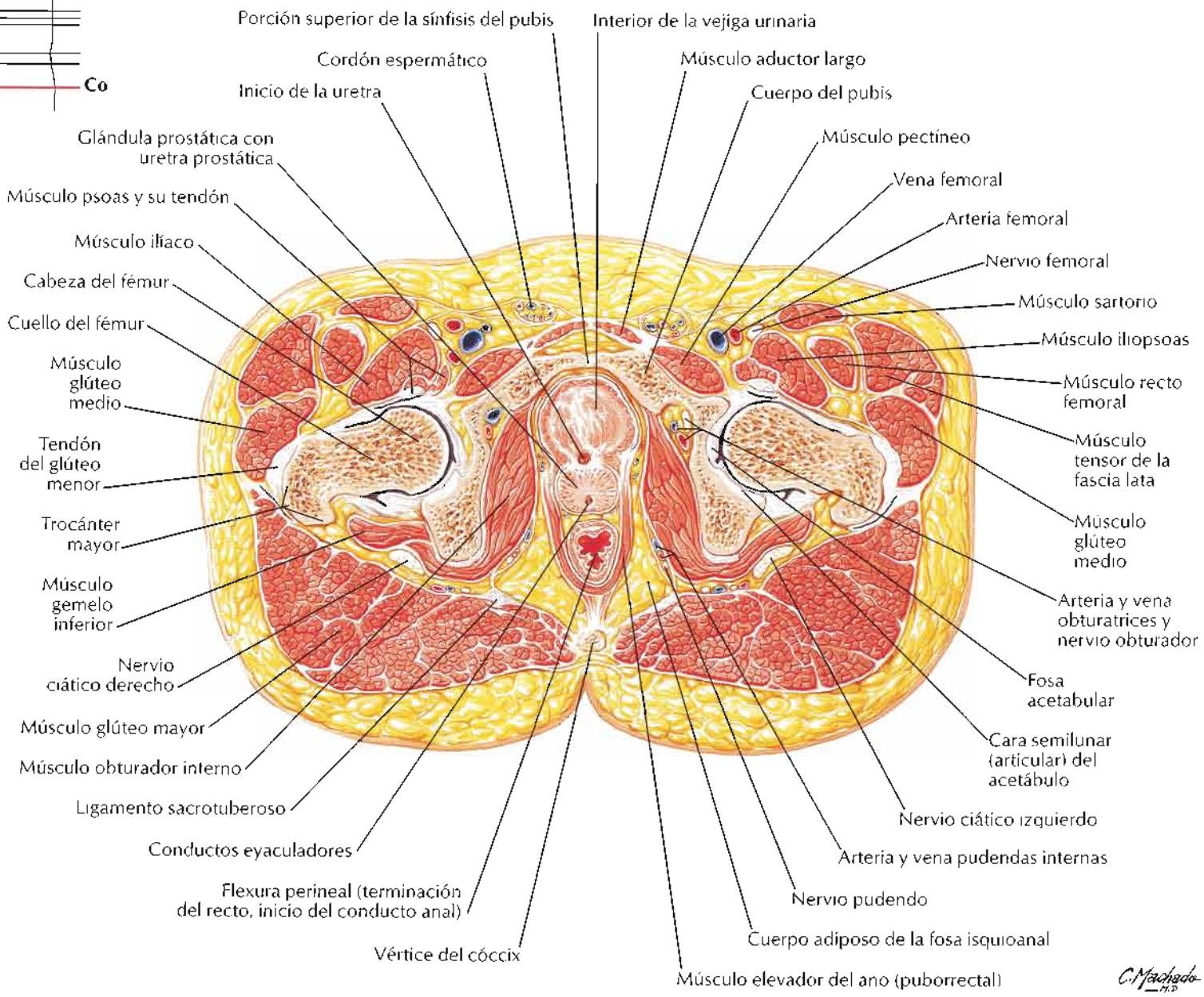
Embarazo tubárico sin rotura



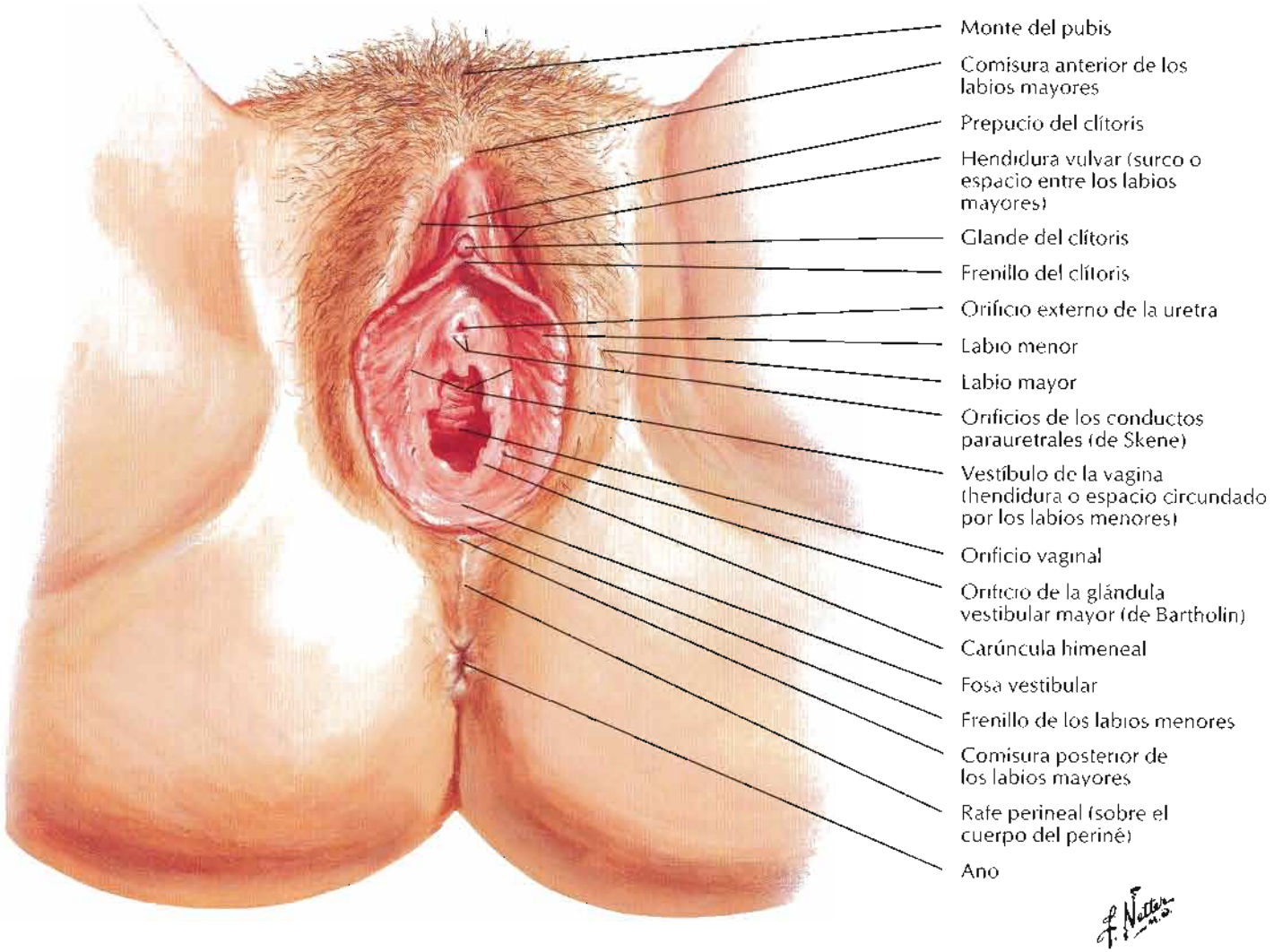
Sección a través del embarazo tubárico

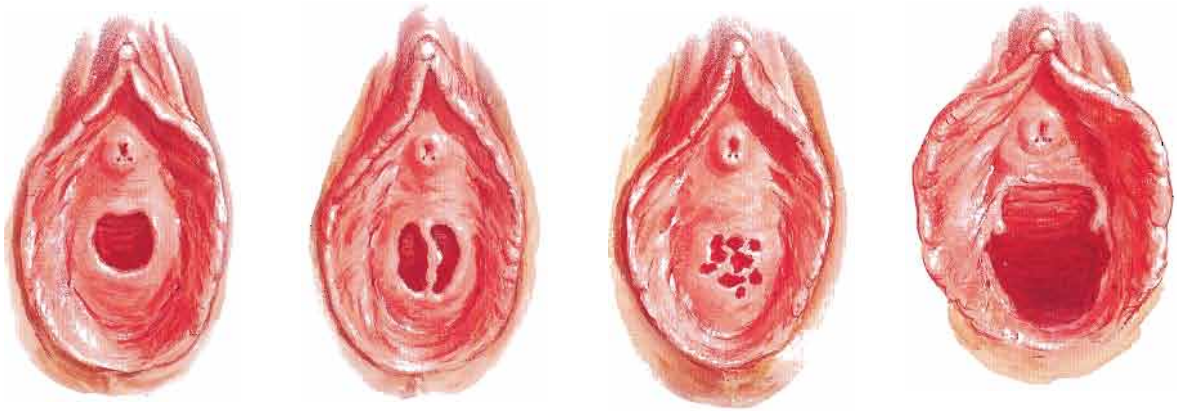


Sección transversal: cresta púbica, cabezas femorales, cóccix



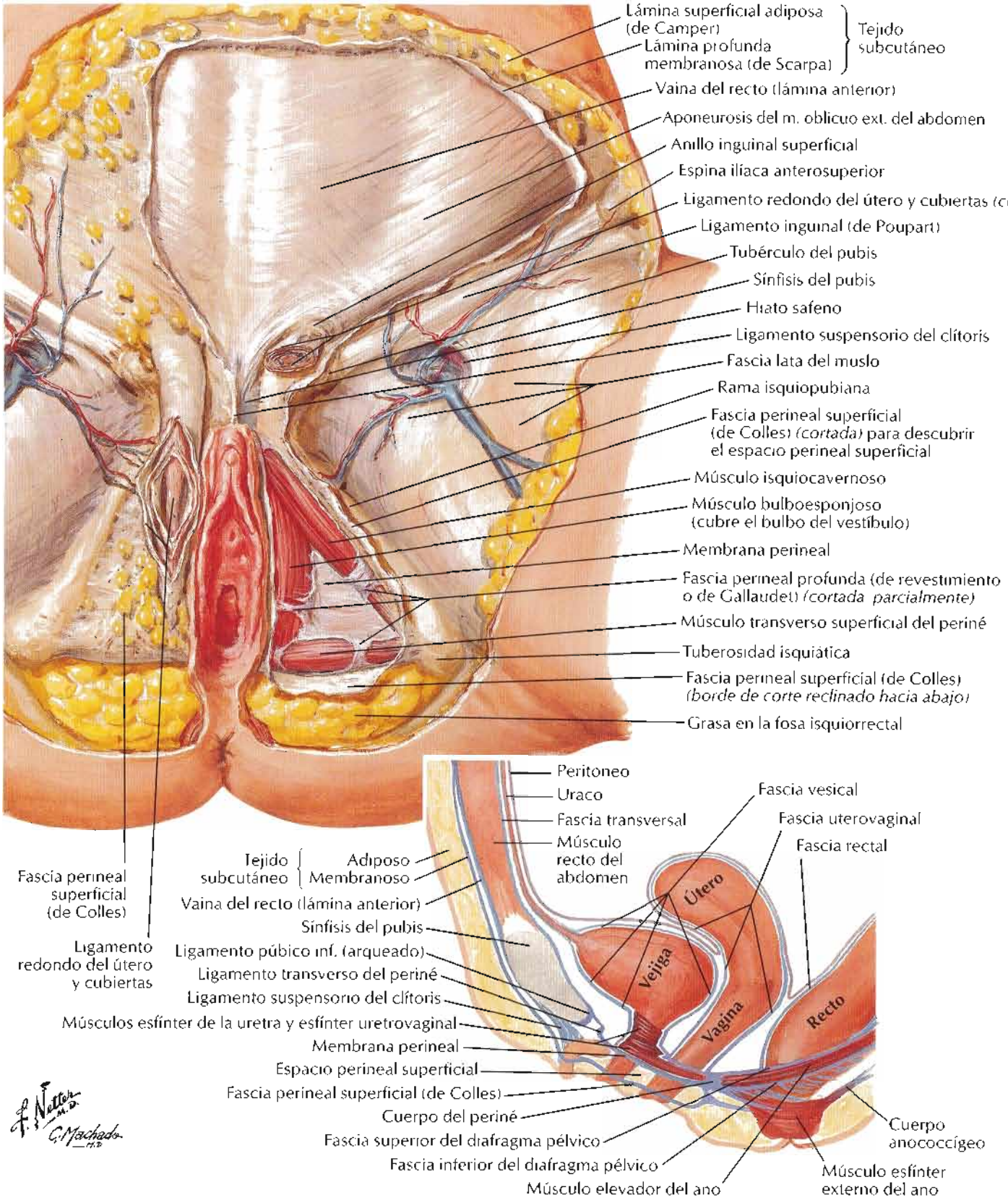
Véanse también **láminas 404, 406, 407, 413**

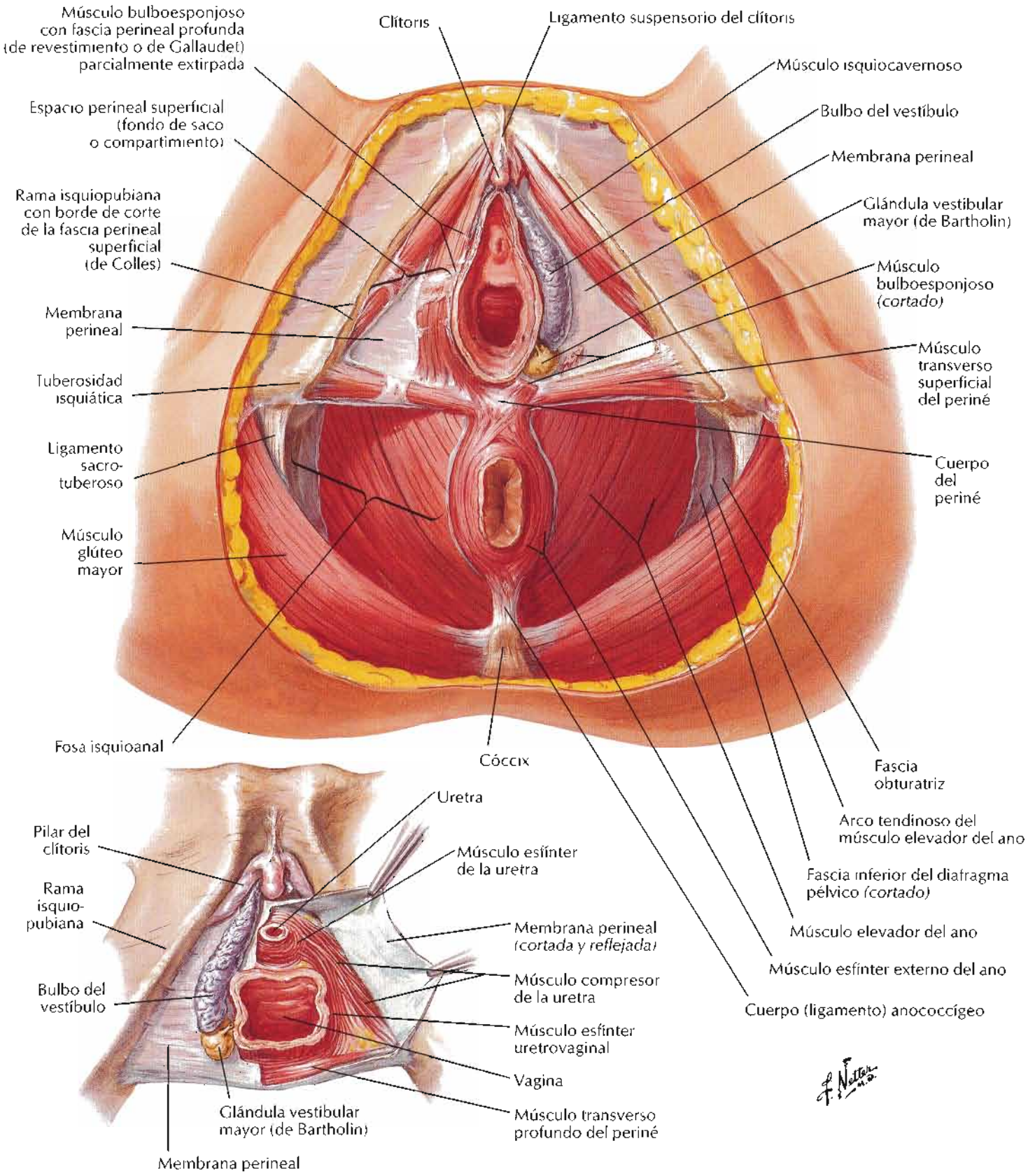




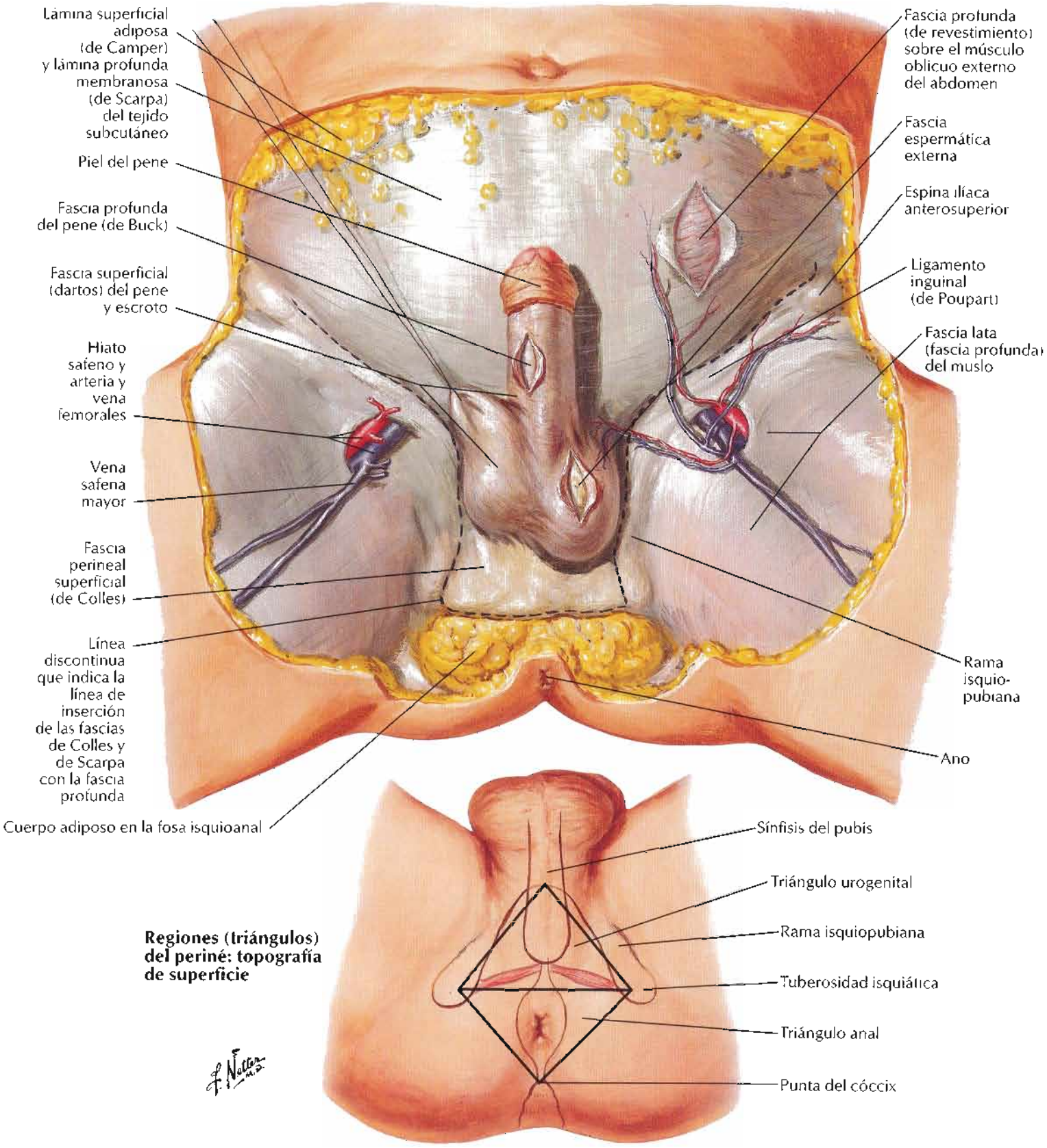
Himen anular | Himen septado | Himen cribiforme | Introito de una mujer que ha parido

Periné femenino (disección superficial)



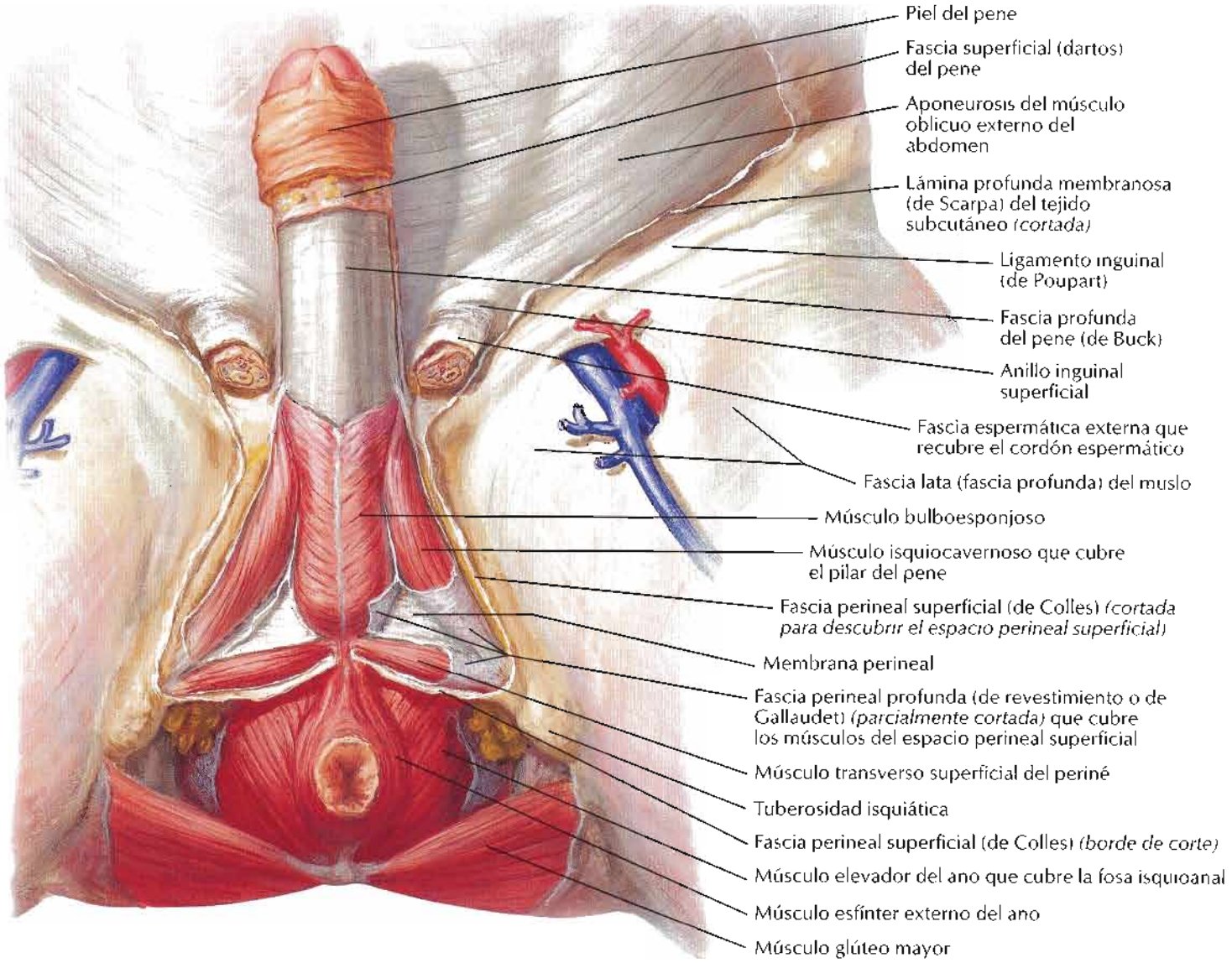

Músculo bulboesponjoso con fascia perineal profunda (de revestimiento o de Gallaudet) parcialmente extirpada
Clítoris
Ligamento suspensorio del clítoris
Músculo isquiocavernoso
Espacio perineal superficial (fondo de saco o compartimiento)
Bulbo del vestíbulo
Membrana perineal
Rama isquiopubiana con borde de corte de la fascia perineal superficial (de Colles)
Glándula vestibular mayor (de Bartholin)
Músculo bulboesponjoso (cortado)
Membrana perineal
Músculo transverso superficial del periné
Tuberosidad isquiática
Ligamento sacro-tuberoso
Cuerpo del periné
Músculo glúteo mayor
Fosa isquioanal
Cóccix
Fascia obturatriz
Arco tendinoso del músculo elevador del ano
Fascia inferior del diafragma pélvico (cortado)
Músculo elevador del ano
Músculo esfínter externo del ano
Cuerpo (ligamento) anococcígeo
Uretra
Pilar del clítoris
Músculo esfínter de la uretra
Rama isquio-pubiana
Membrana perineal (cortada y reflejada)
Músculo compresor de la uretra
Bulbo del vestíbulo
Músculo esfínter uretrovaginal
Vagina
Glándula vestibular mayor (de Bartholin)
Músculo transverso profundo del periné
Membrana perineal

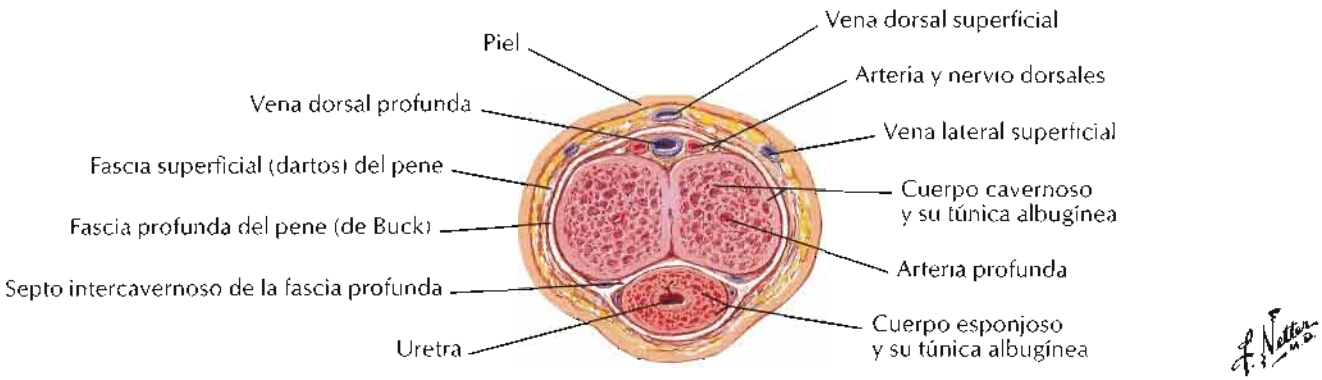
Periné y genitales externos (disección superficial)



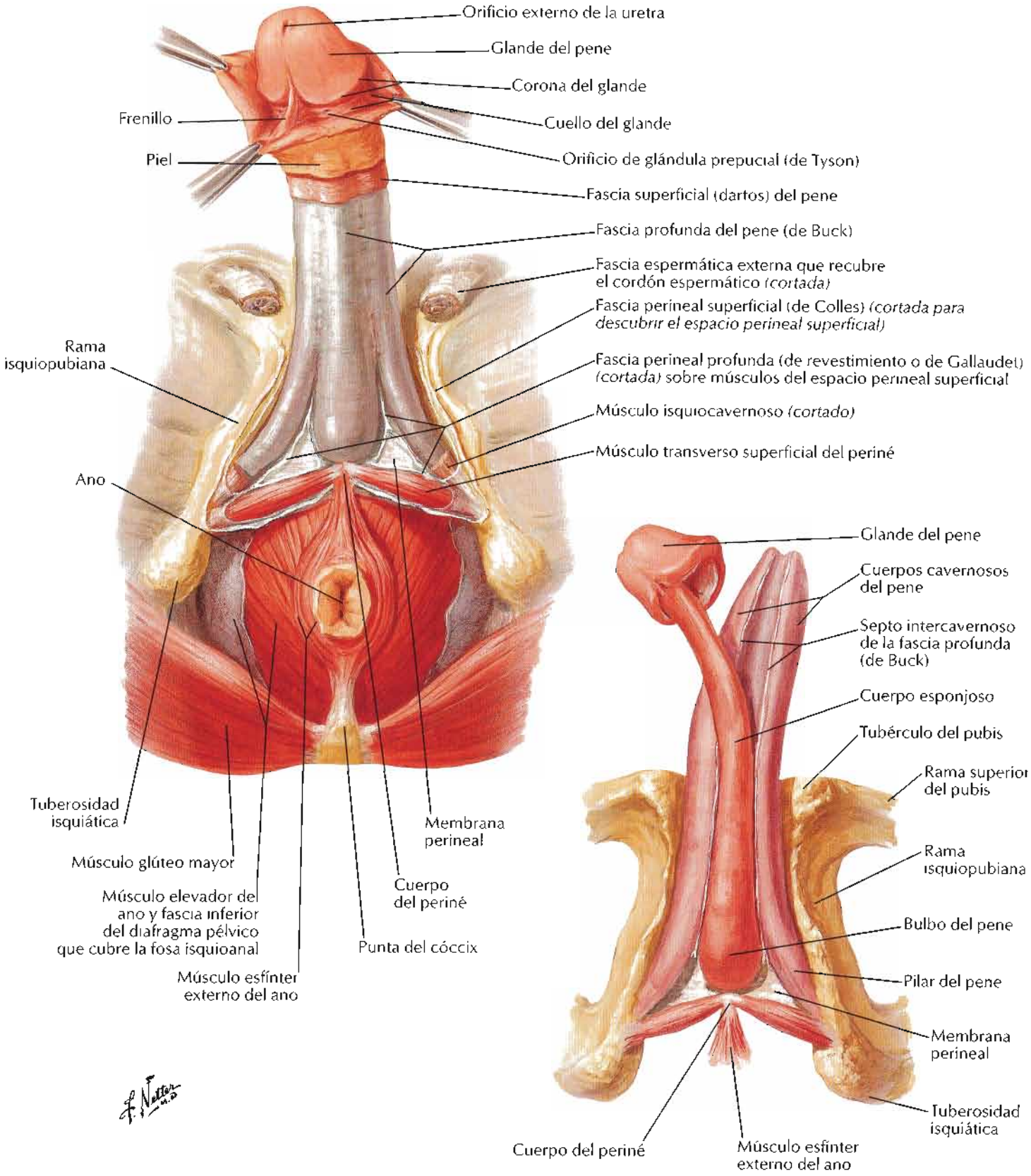
Regiones (triángulos) del periné: topografía de superficie

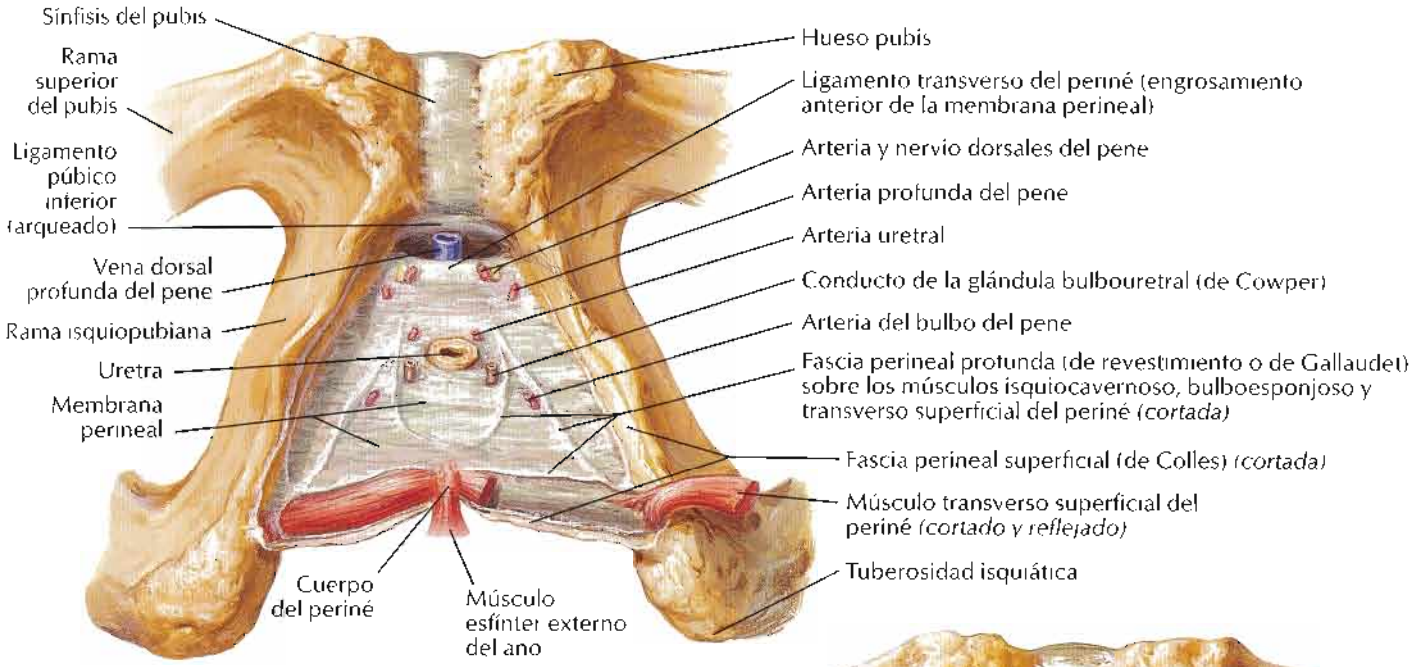
Véanse también **láminas 403, 405, 408-411, 416**



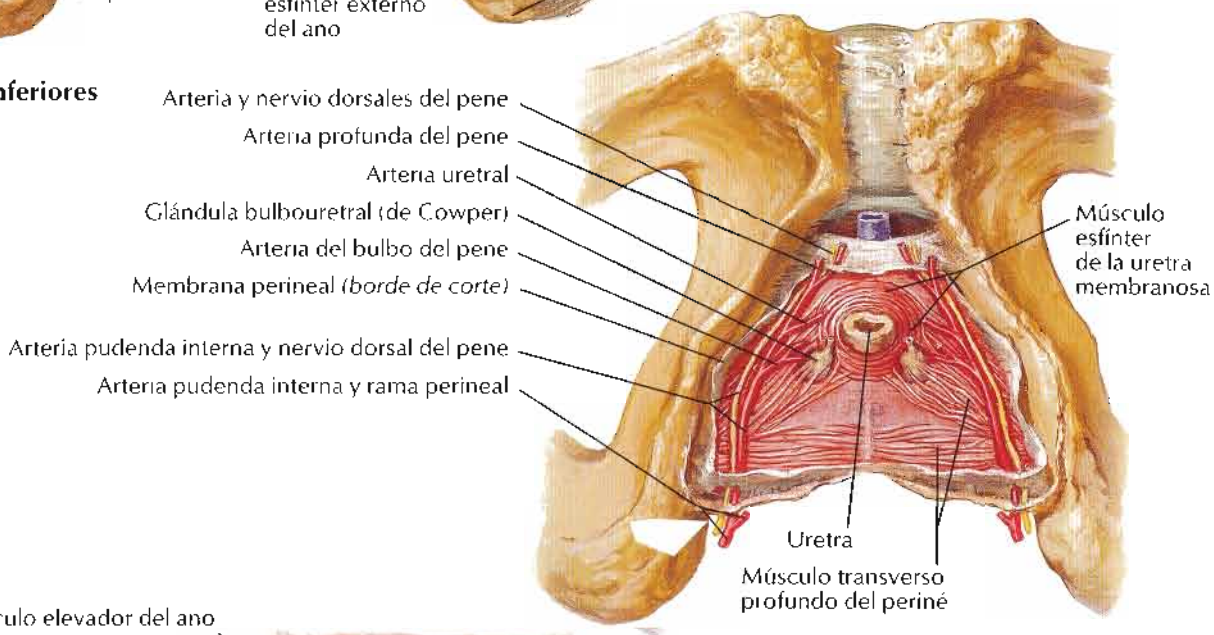


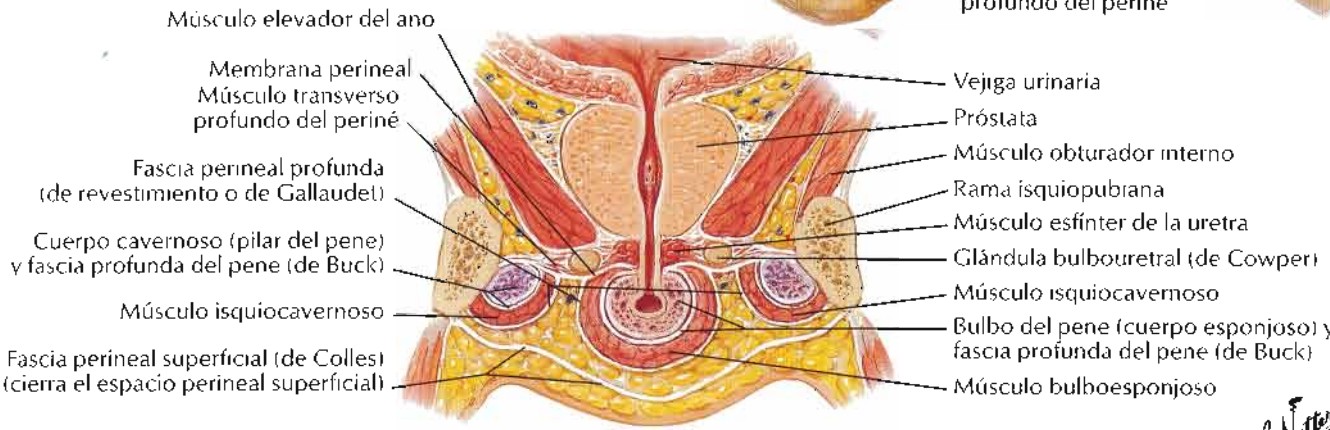
Sección a través del cuerpo del pene


Orificio externo de la uretra
Glande del pene
Corona del glande
Frenillo
Cuello del glande
Piel
Orificio de glándula prepucial (de Tyson)
Fascia superficial (dartos) del pene
Fascia profunda del pene (de Buck)
Fascia espermática externa que recubre el cordón espermático (cortada)
Fascia perineal superficial (de Colles) (cortada para descubrir el espacio perineal superficial)
Rama isquiopubiana
Fascia perineal profunda (de revestimiento o de Gallaudet) (cortada) sobre músculos del espacio perineal superficial
Músculo isquiocavernoso (cortado)
Músculo transverso superficial del periné
Ano
Glande del pene
Cuerpos cavernosos del pene
Septo intercavernoso de la fascia profunda (de Buck)
Cuerpo esponjoso
Tubérculo del pubis
Rama superior del pubis
Tuberosidad isquiática
Membrana perineal
Rama isquiopubiana
Músculo glúteo mayor
Cuerpo del periné
Bulbo del pene
Músculo elevador del ano y fascia inferior del diafragma pélvico que cubre la fosa isquioanal
Punta del cóccix
Pilar del pene
Membrana perineal
Músculo esfínter externo del ano
Tuberosidad isquiática
Cuerpo del periné
Músculo esfínter externo del ano



Visiones inferiores



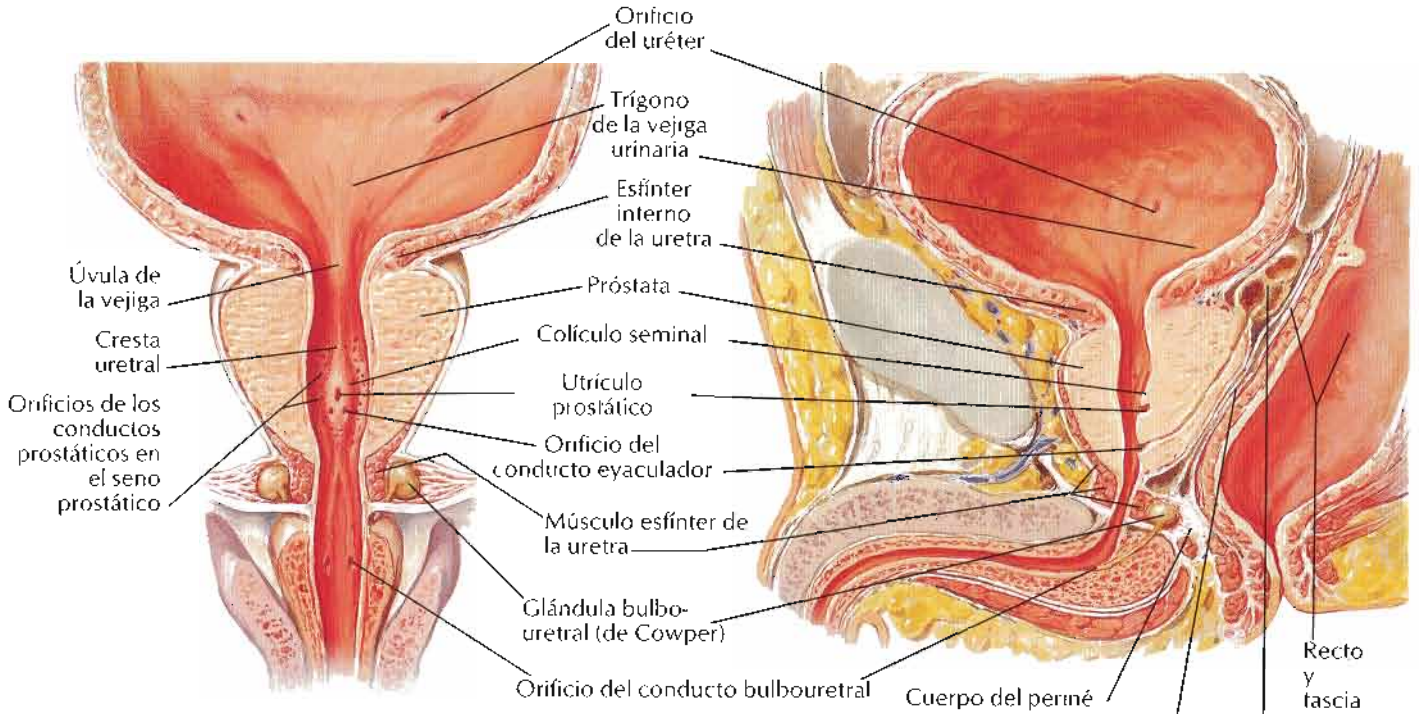


Sección frontal, visión anterior del periné: esquema

F. Netter M.D. C. Machado M.D.

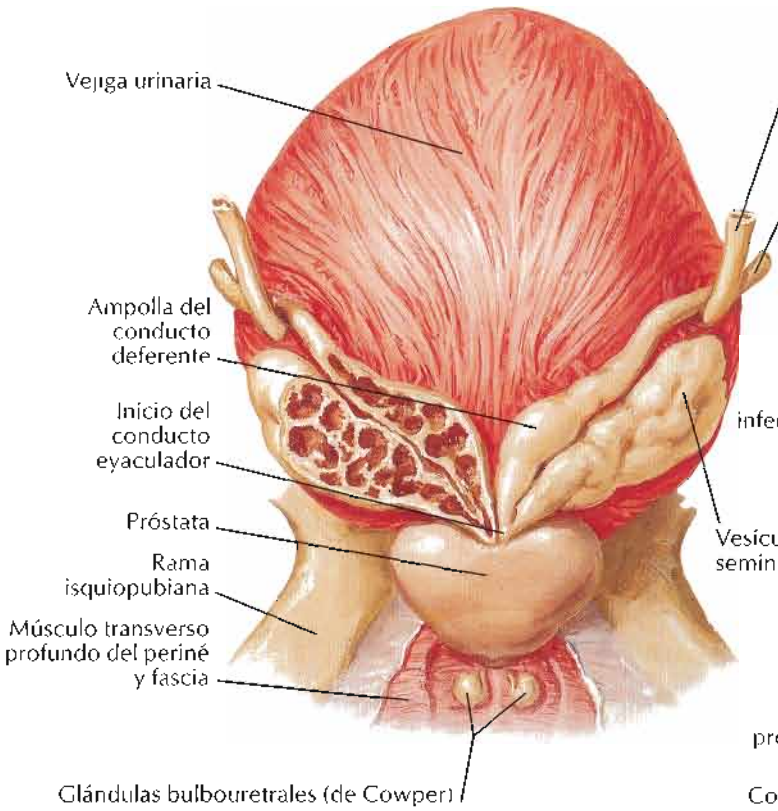
5 Próstata y vesículas seminales

Véanse también **láminas 361, 363, 366, 403, 410**

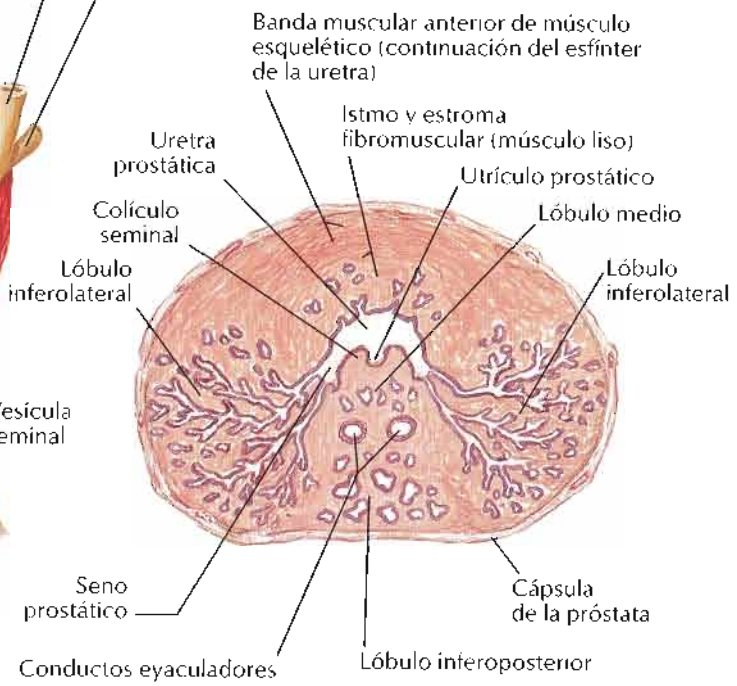


Sección frontal, visión anterior del bulbo de la porción esponjosa de la uretra extendido esquemáticamente

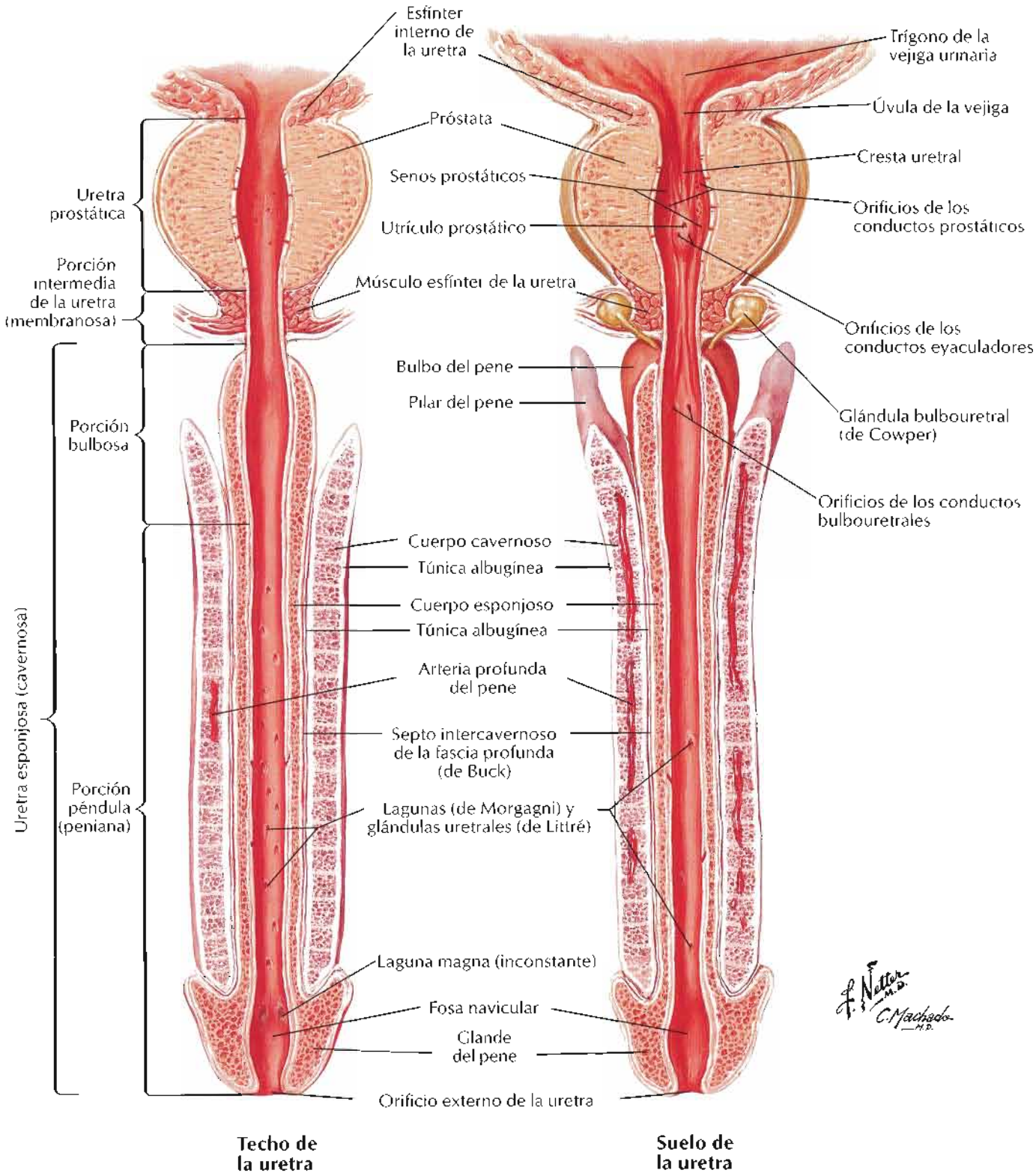
Sección sagital



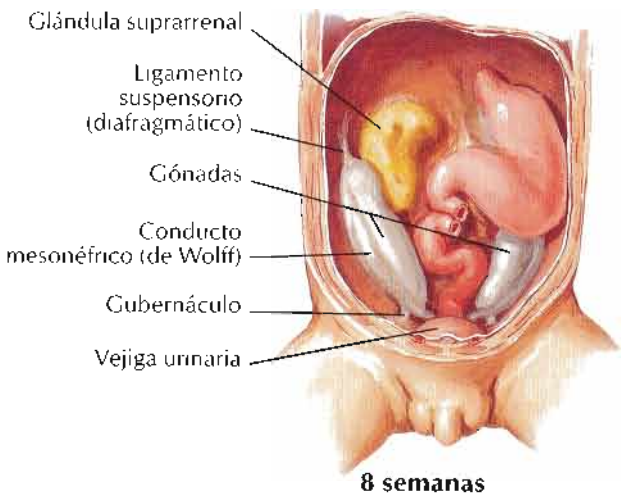
Visión posterior



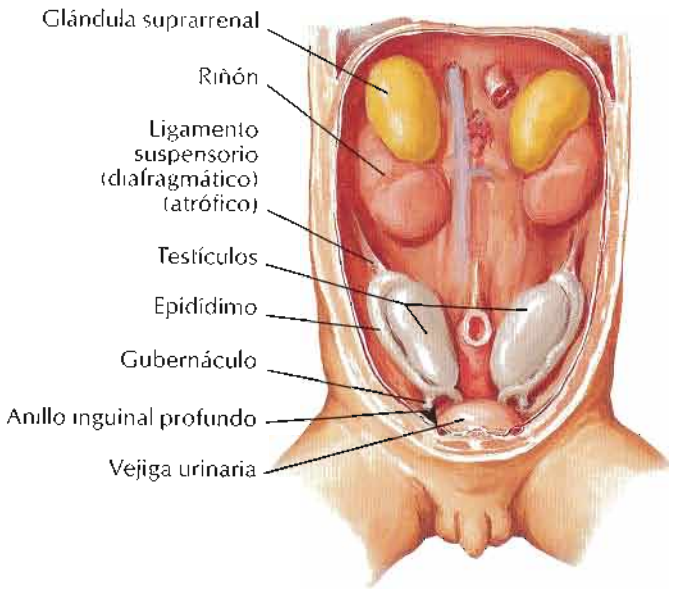
Sección transversal a través de la próstata


Esfínter interno de la uretra
Próstata
Senos prostáticos
Utrículo prostático
Músculo esfínter de la uretra
Bulbo del pene
Pilar del pene
Cuerpo cavernoso
Túnica albugínea
Cuerpo esponjoso
Túnica albugínea
Arteria profunda del pene
Septo intercavernoso de la fascia profunda (de Buck)
Lagunas (de Morgagni) y glándulas uretrales (de Littré)
Laguna magna (inconstante)
Fosa navicular
Glande del pene
Orificio externo de la uretra
Uretra prostática
Porción intermedia de la uretra (membranosa)
Porción bulbosa
Porción péndula (peniana)
Uretra esponjosa (cavernosa)
Techo de la uretra
Trígono de la vejiga urinaria
Úvula de la vejiga
Cresta uretral
Orificios de los conductos prostáticos
Orificios de los conductos eyaculadores
Glándula bulbouretral (de Cowper)
Orificios de los conductos bulbouretrales
Suelo de la uretra
F. Netter M.D.
C. Machado M.D.

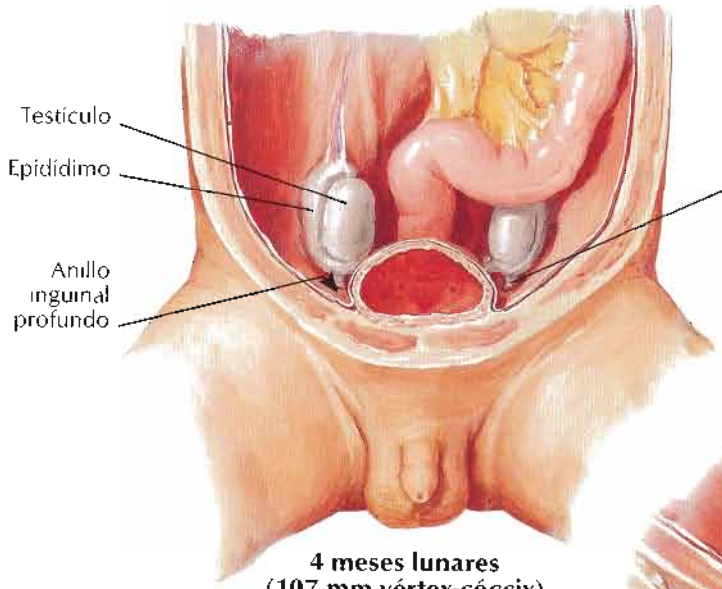
Descenso del testículo



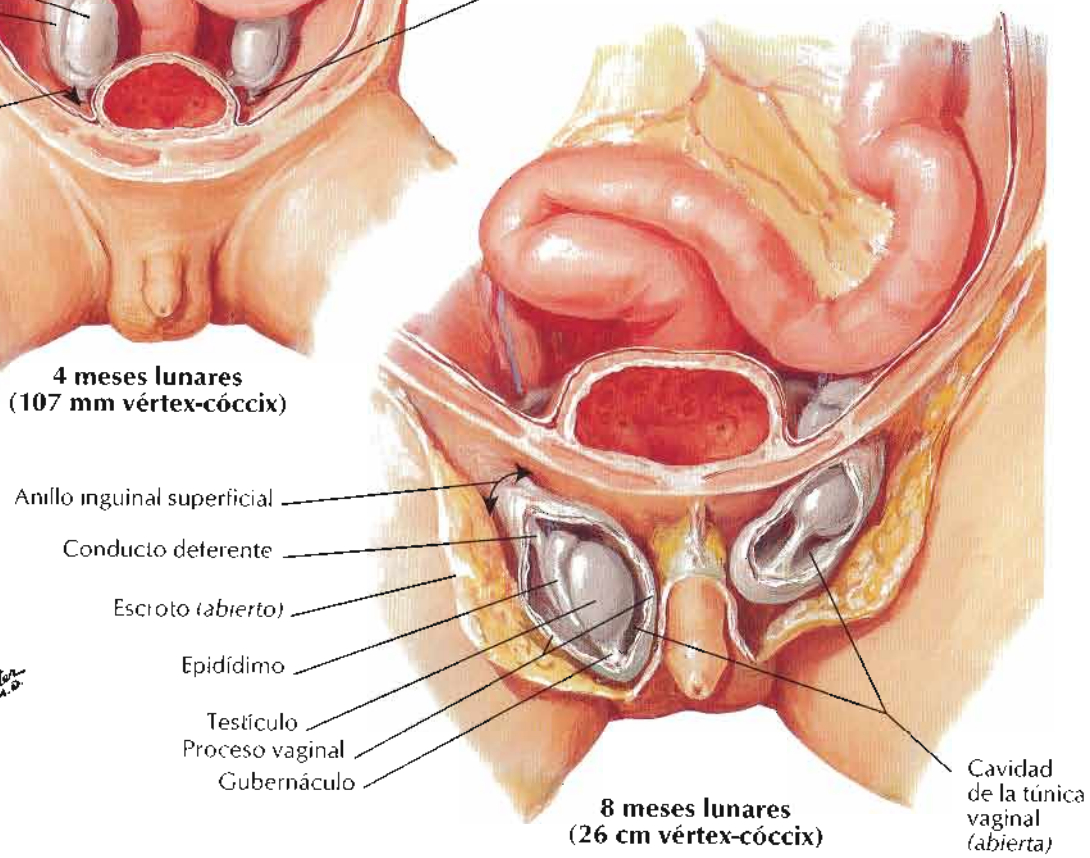
8 semanas
(22,5 mm vértex-cóccix)



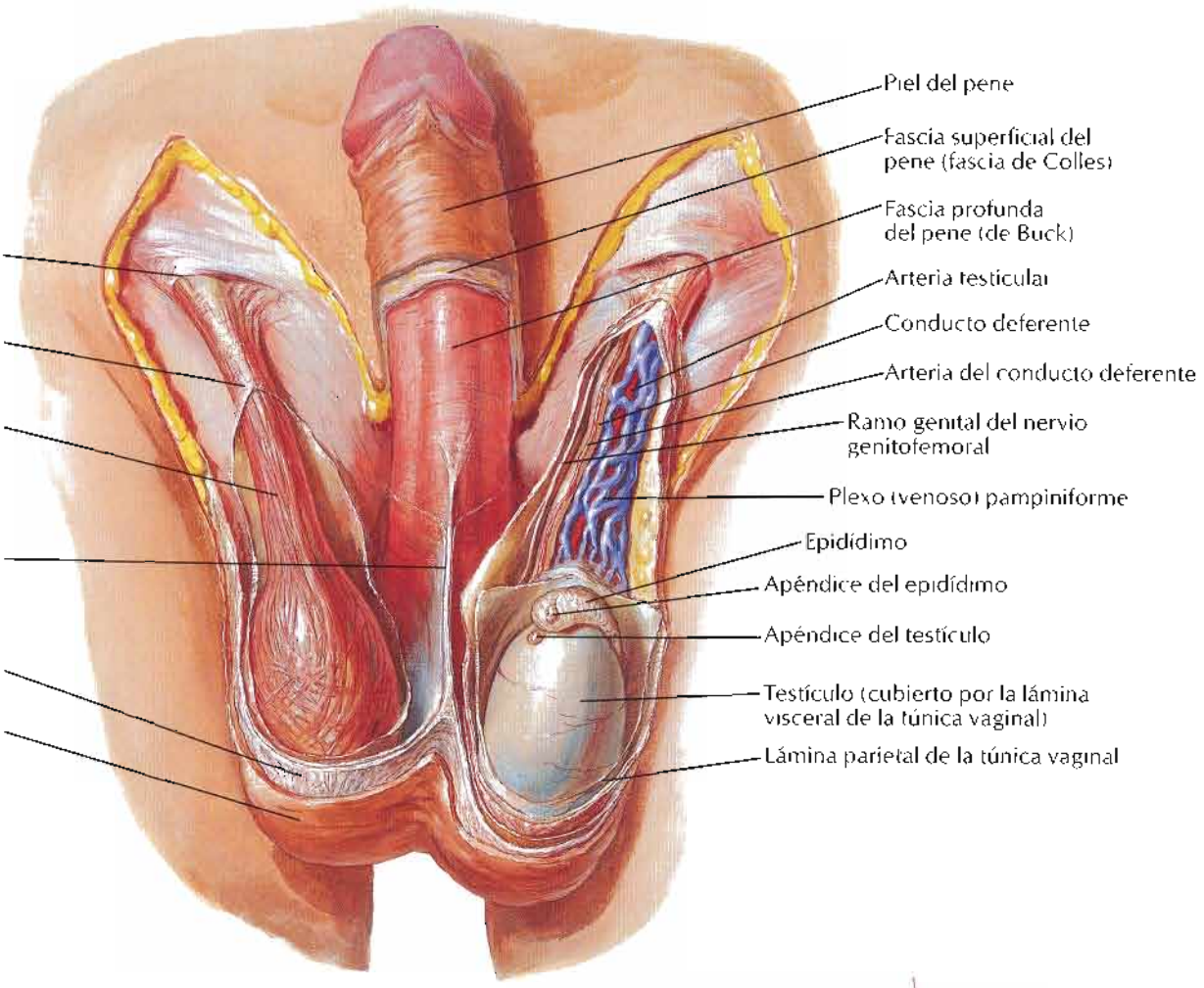
11 semanas
(43 mm vértex-cóccix)

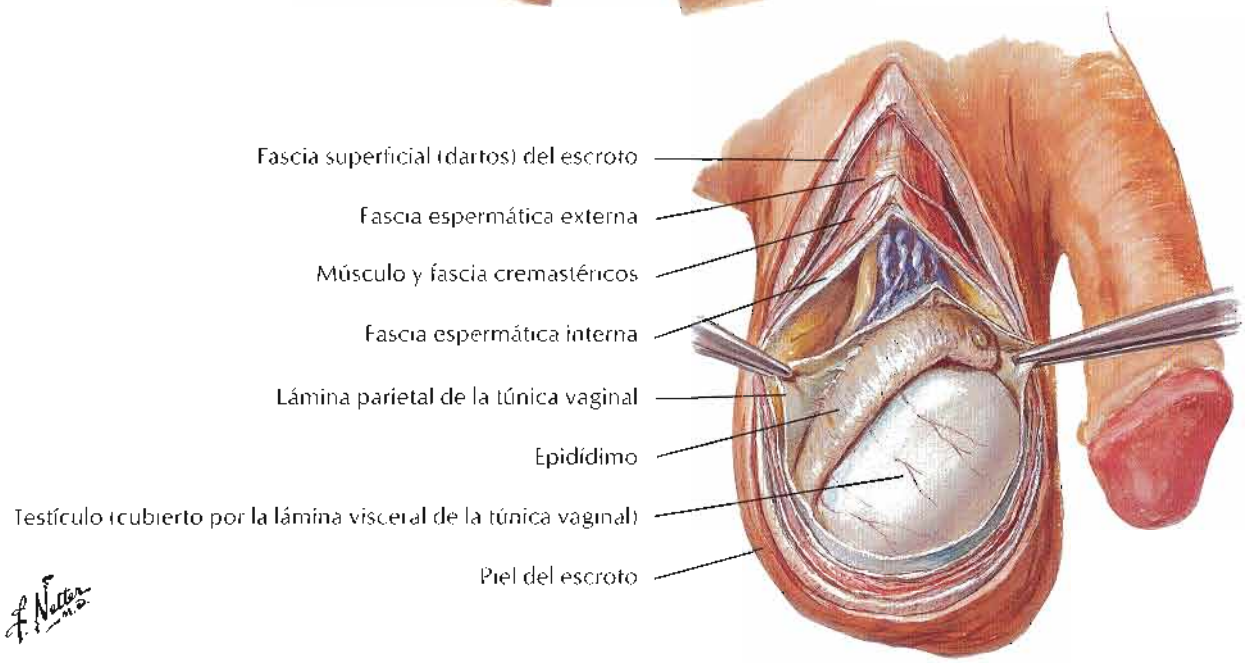


4 meses lunares
(107 mm vértex-cóccix)

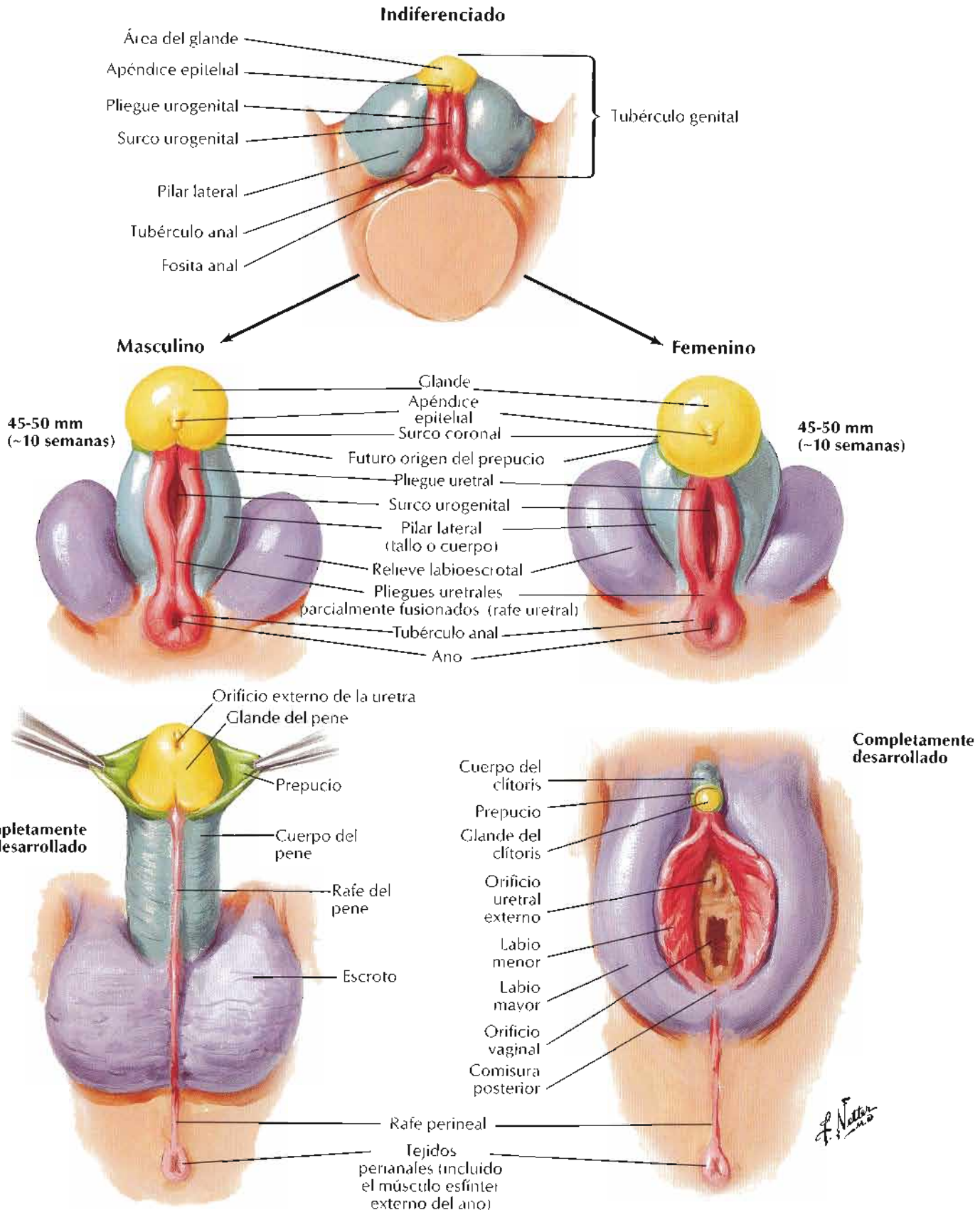


8 meses lunares
(26 cm vértex-cóccix)

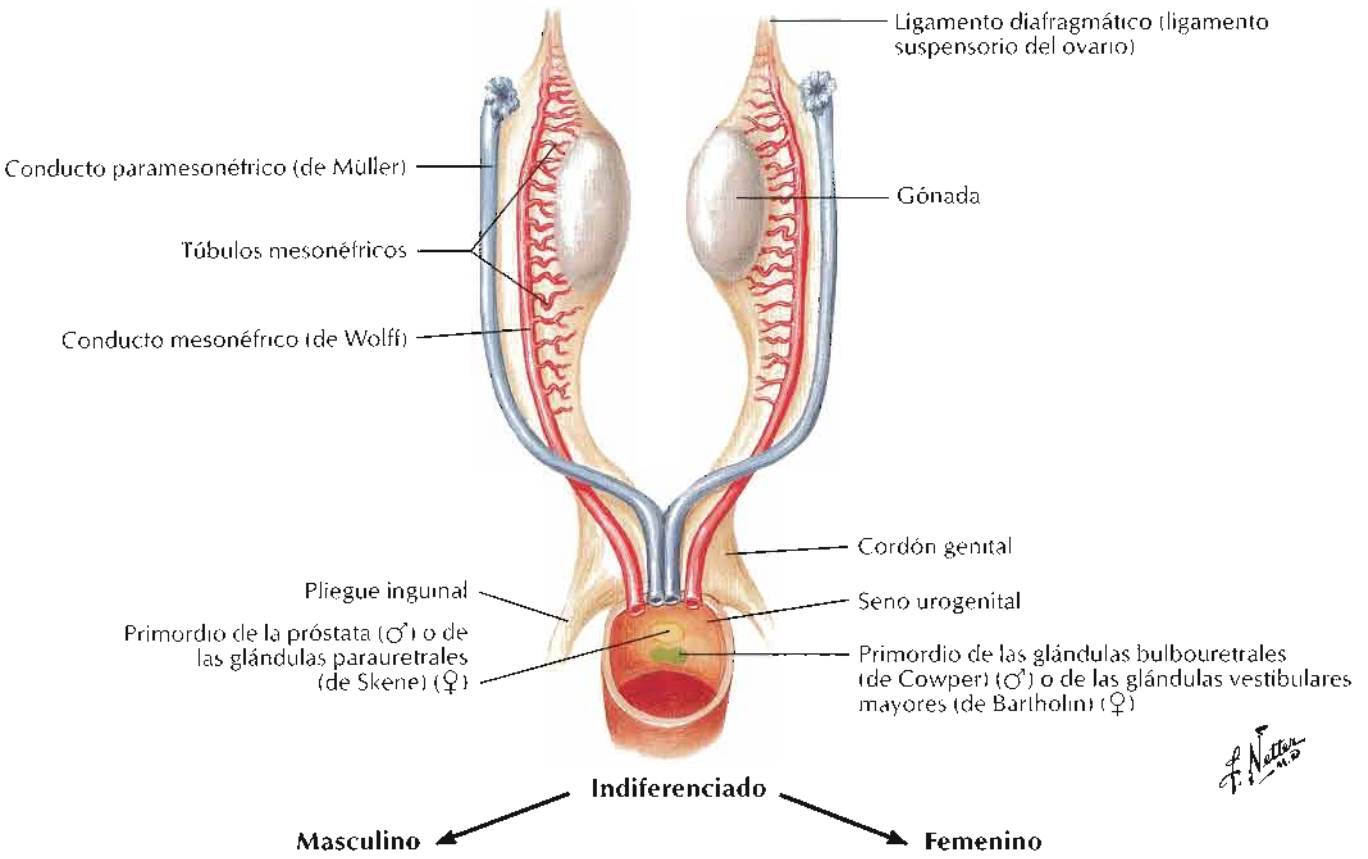

Piel del pene
Fascia superficial del pene (fascia de Colles)
Fascia profunda del pene (de Buck)
Arteria testicular
Conducto deferente
Arteria del conducto deferente
Ramo genital del nervio genitofemoral
Plexo (venoso) pampiniforme
Epidídimo
Apéndice del epidídimo
Apéndice del testículo
Testículo (cubierto por la lámina visceral de la túnica vaginal)
Lámina parietal de la túnica vaginal
Anillo inguinal superficial
Fascia espermática externa
Músculo y fascia cremastéricos
Tabique escrotal (formado por la fascia dartos)
Fascia superficial del escroto (dartos)
Piel del escroto

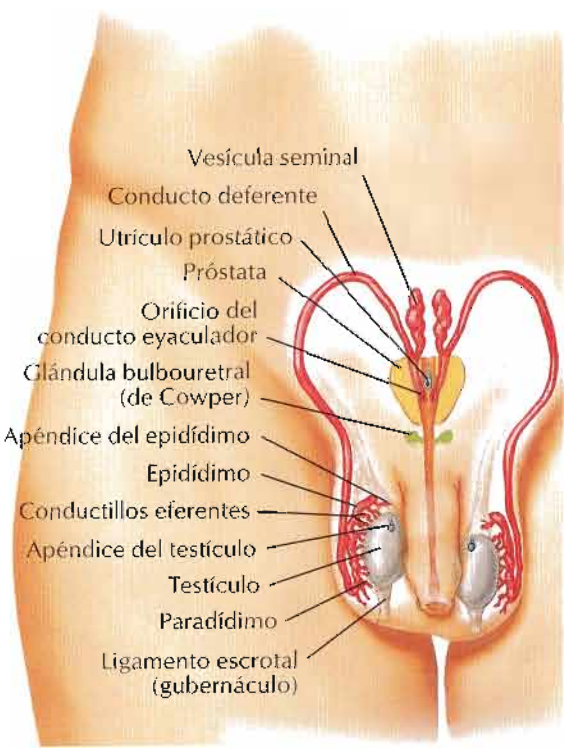

Fascia superficial (dartos) del escroto
Fascia espermática externa
Músculo y fascia cremastéricos
Fascia espermática interna
Lámina parietal de la túnica vaginal
Epidídimo
Testículo (cubierto por la lámina visceral de la túnica vaginal)
Piel del escroto

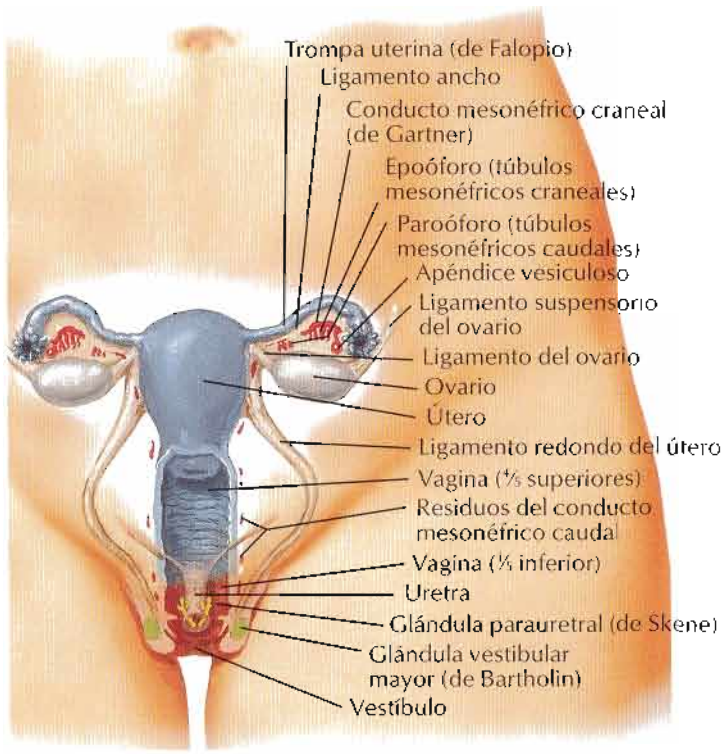
Estructuras homólogas de los genitales externos

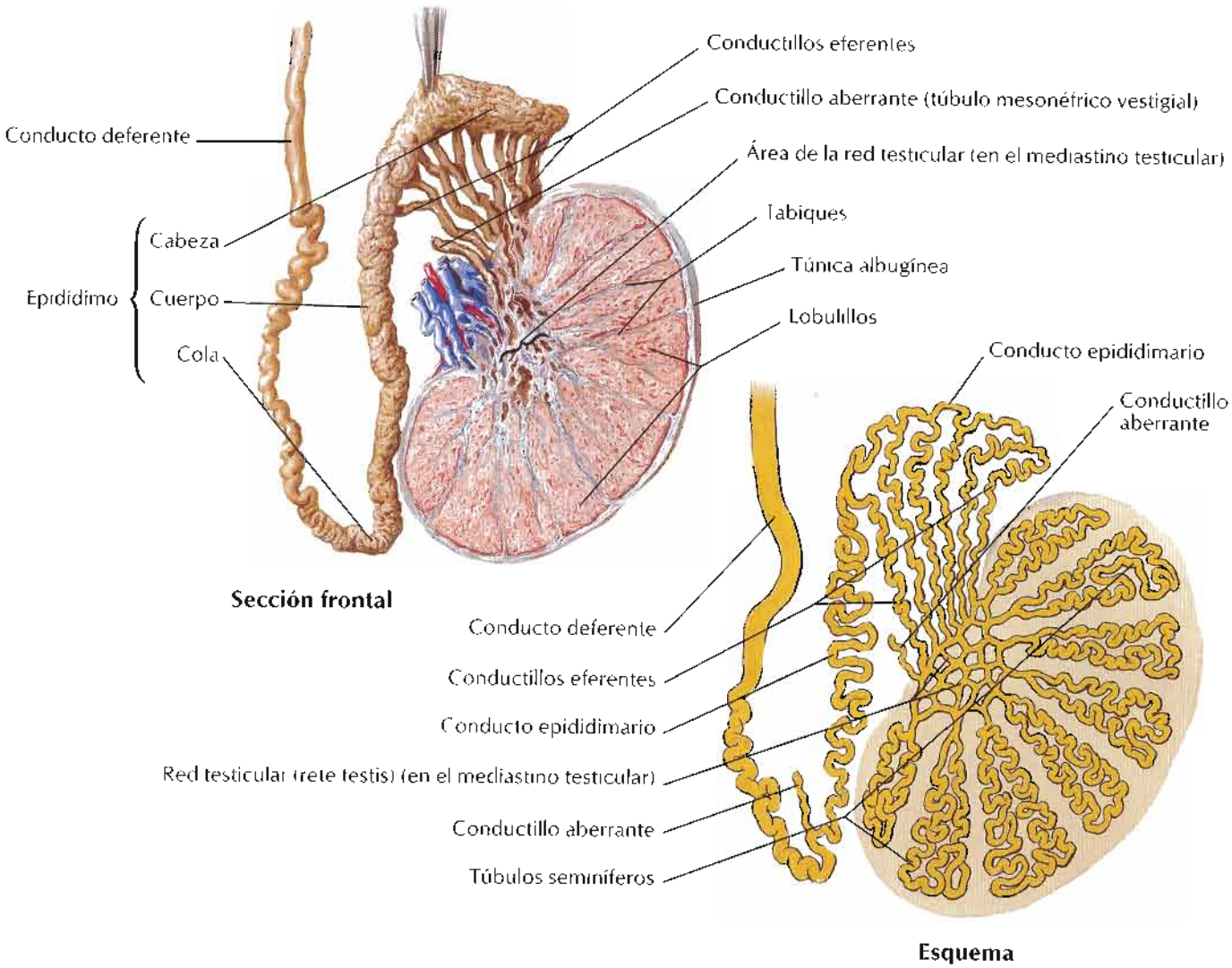


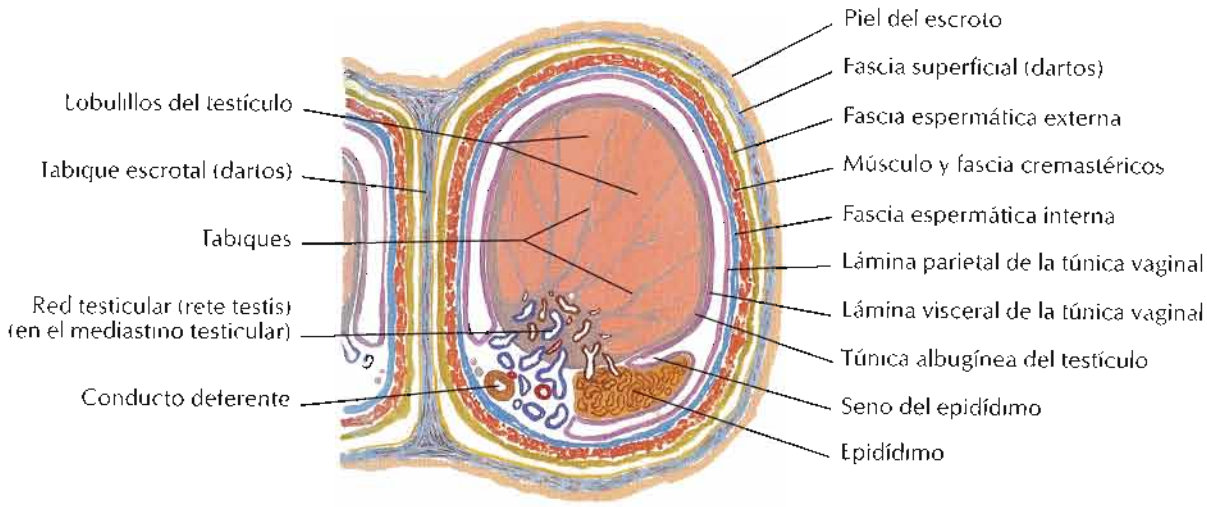
Estructuras homólogas de los genitales internos

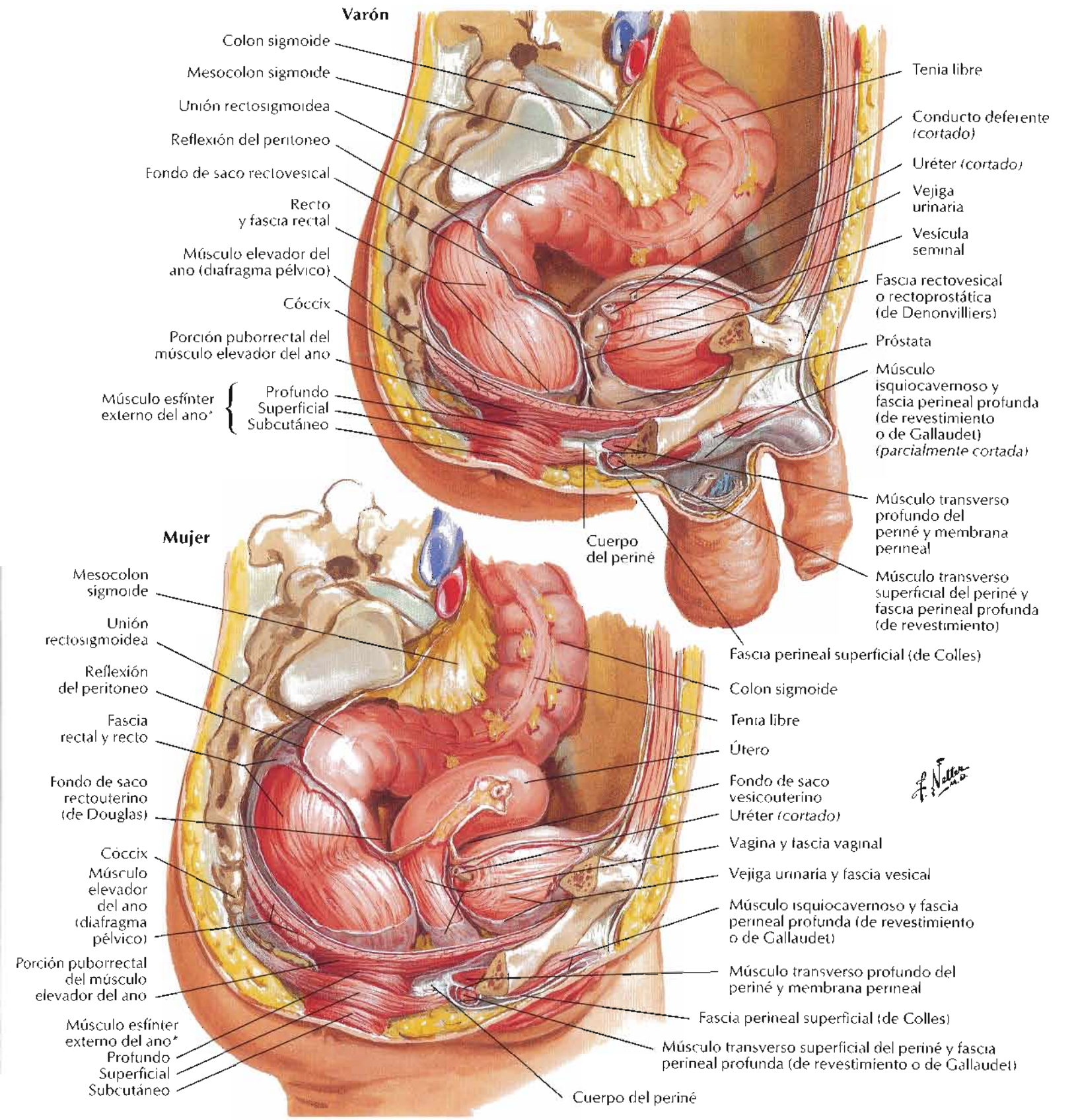







Conductillos eferentes
Conductillo aberrante (túbulo mesonéfrico vestigial)
Conducto deferente
Área de la red testicular (en el mediastino testicular)
Tabiques
Epidídimo
Cabeza
Cuerpo
Cola
Túnica albugínea
Lobulillos
Conducto epididimario
Conductillo aberrante
Sección frontal
Conducto deferente
Conductillos eferentes
Conducto epididimario
Red testicular (rete testis) (en el mediastino testicular)
Conductillo aberrante
Túbulos seminíferos
Esquema

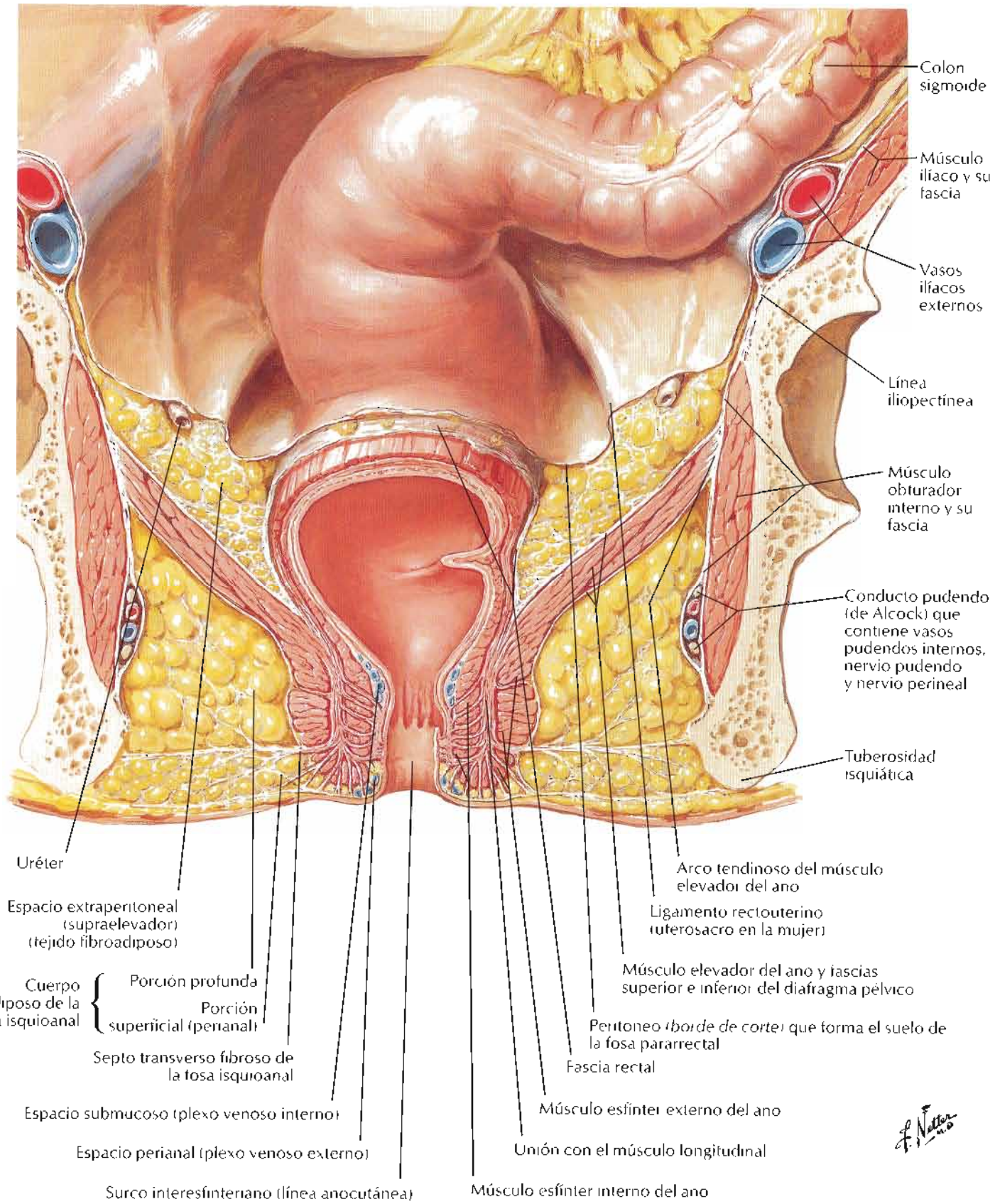

Piel del escroto
Fascia superficial (dartos)
Lobulillos del testículo
Fascia espermática externa
Tabique escrotal (dartos)
Músculo y fascia cremastéricos
Tabiques
Fascia espermática interna
Lámina parietal de la túnica vaginal
Red testicular (rete testis) (en el mediastino testicular)
Lámina visceral de la túnica vaginal
Túnica albugínea del testículo
Conducto deferente
Seno del epidídimo
Epidídimo
Sección transversal a través del escroto y testículo

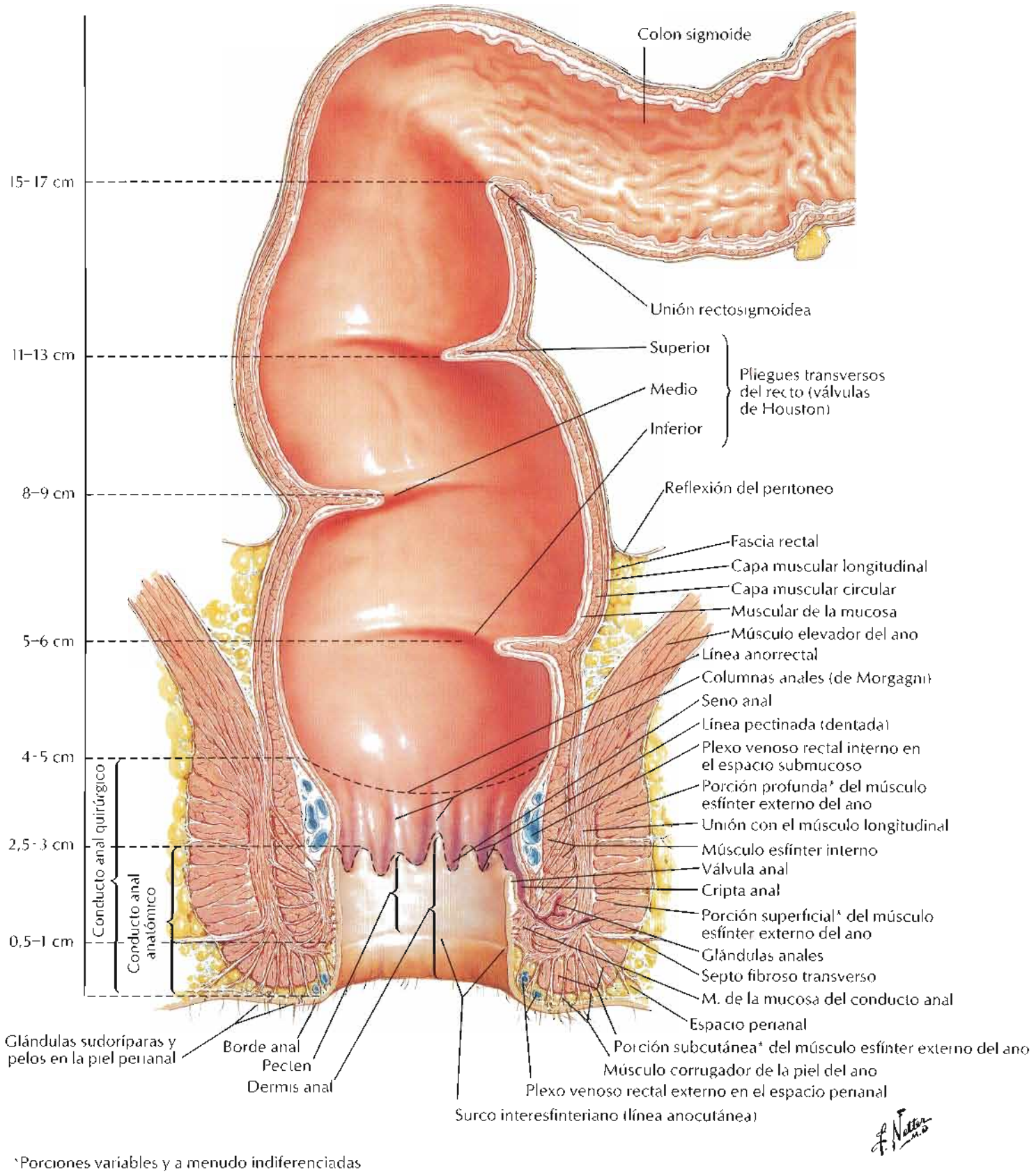


*Porciones variables y a menudo no diferenciadas

5 Fosas isquioanales

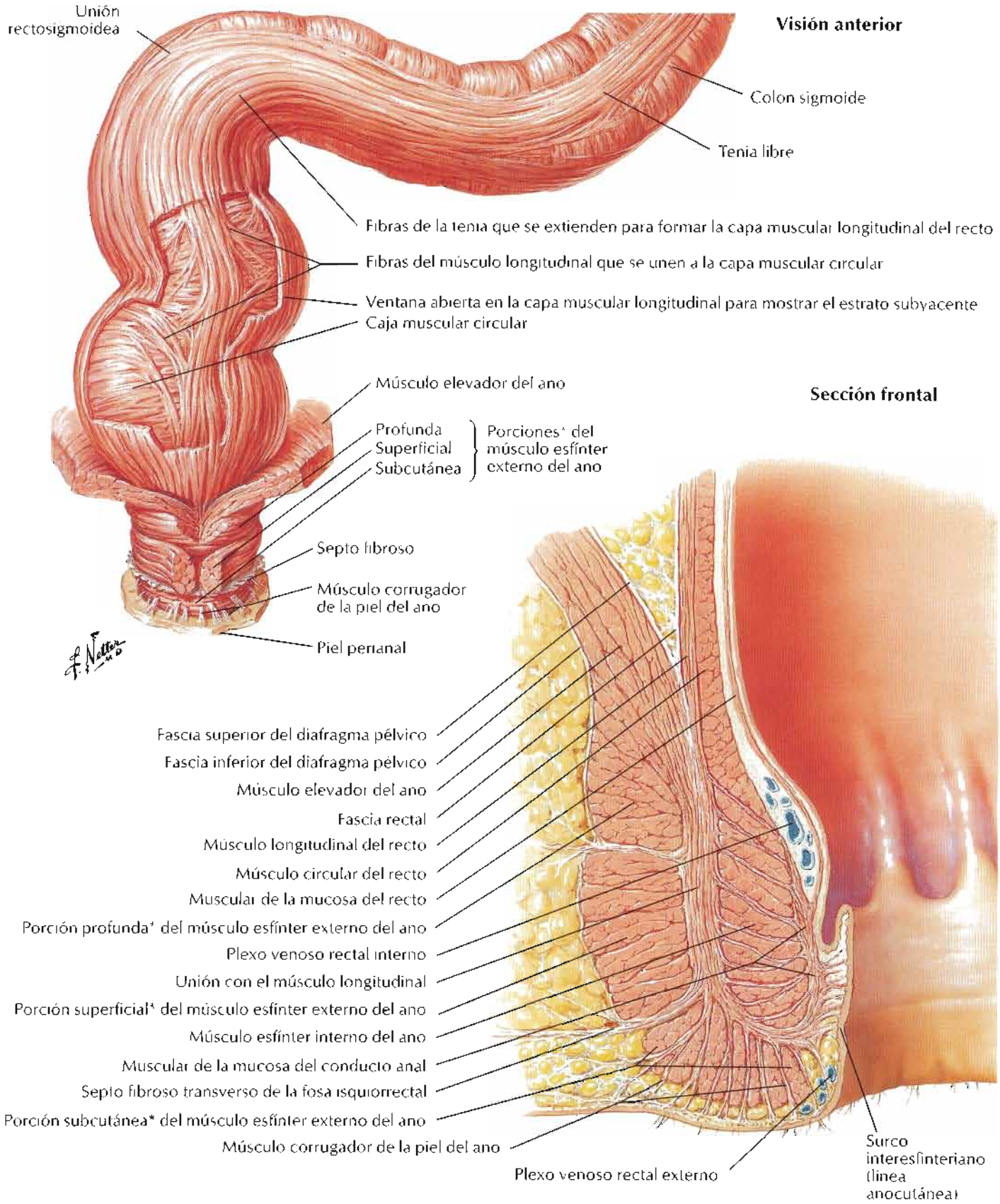
Véanse también **láminas 317, 410-413**





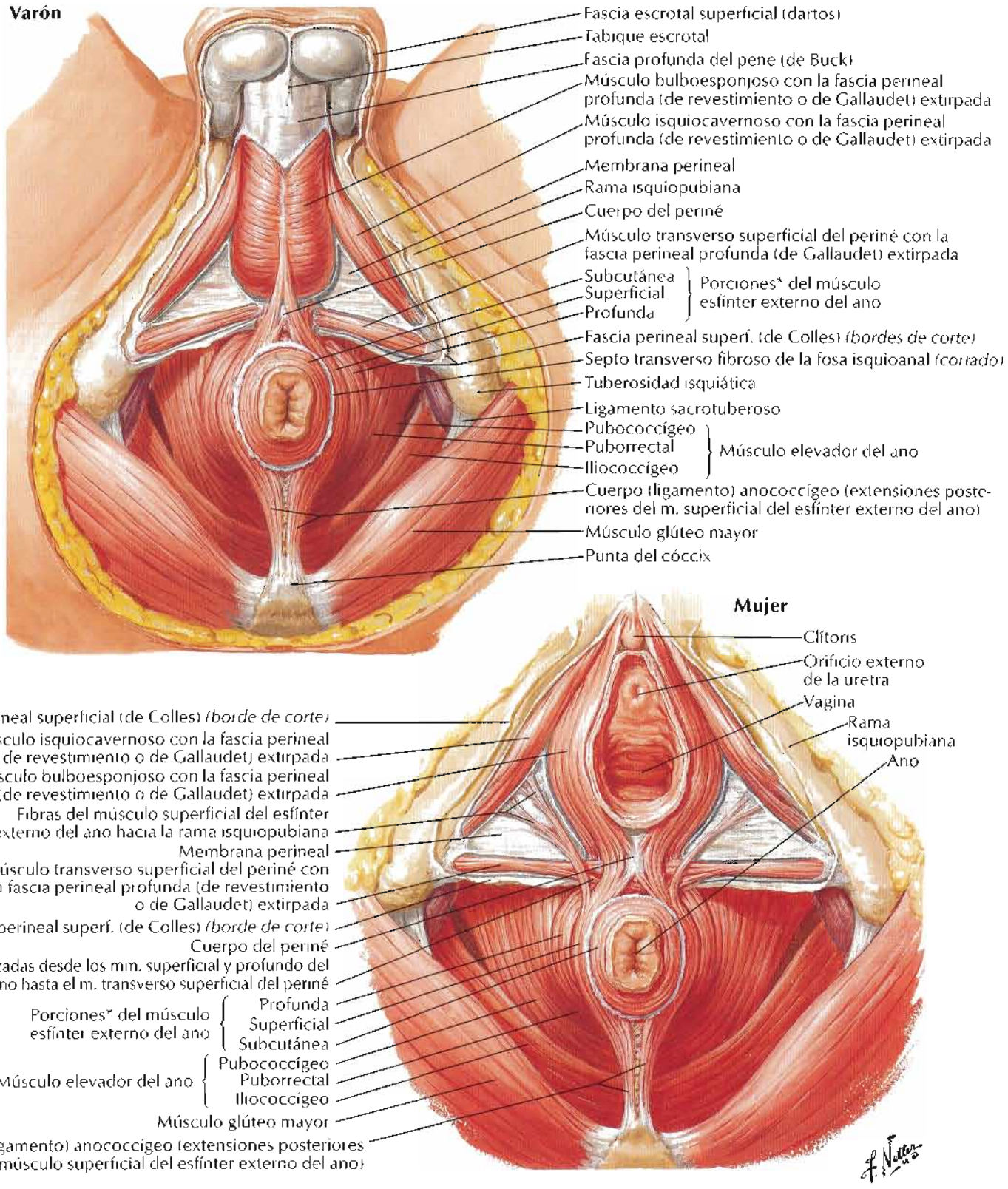
*Porciones variables y a menudo indiferenciadas

Musculatura anorrectal



*Porciones variables y a menudo indiferenciadas

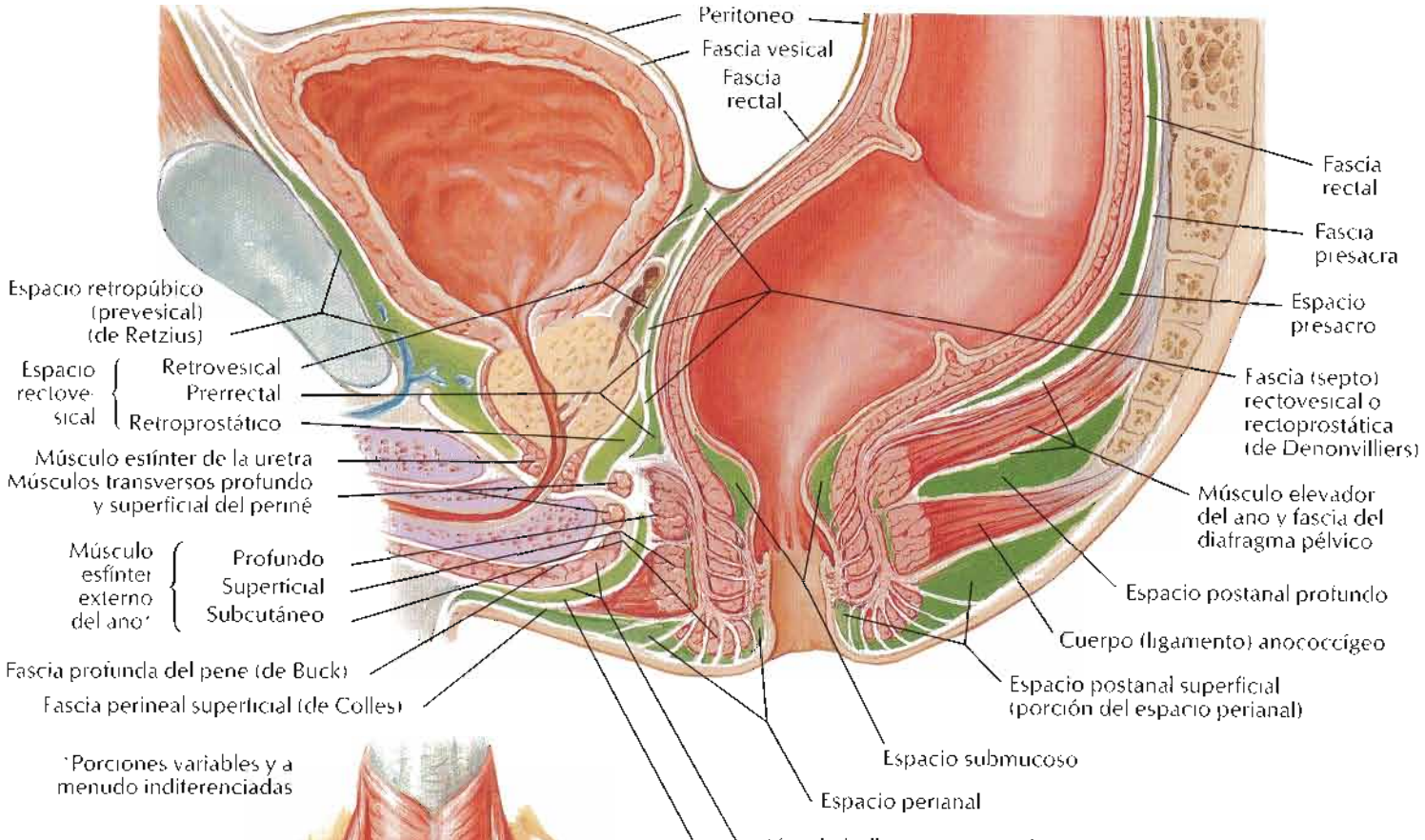
Músculo esfínter externo del ano: visiones perineales

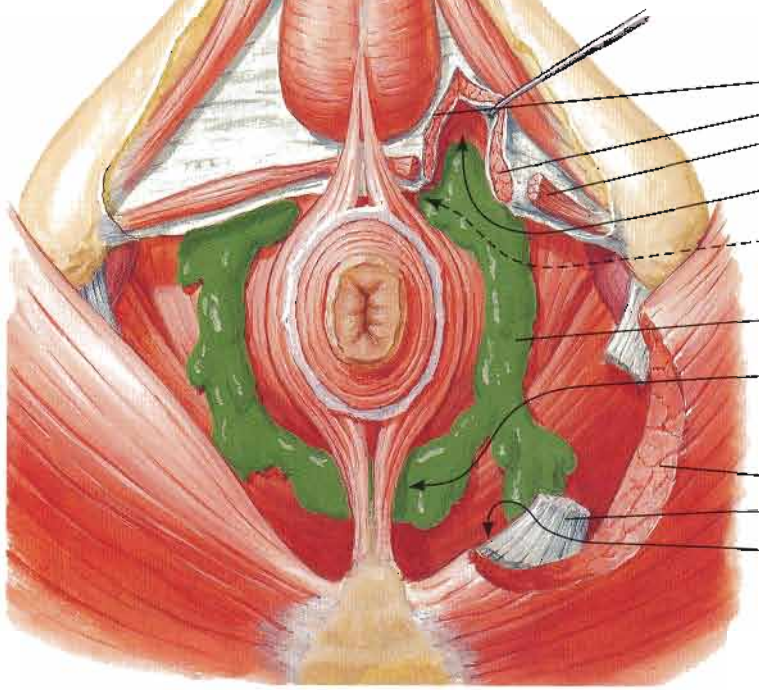


*Porciones variables y a menudo indiferenciadas

Espacios reales y potenciales perineopélvicos

Sección sagital



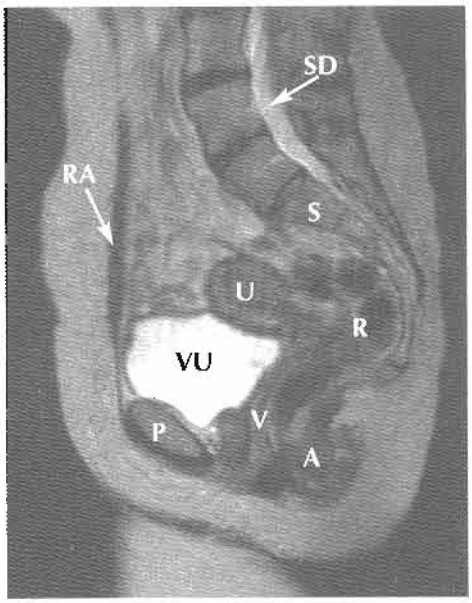


Visión perineal

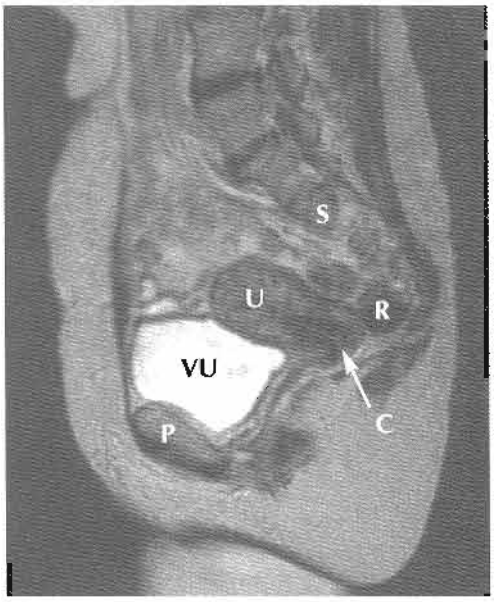
Propagación de un absceso perineal en los espacios perineales

RM sagital media (A) y parasagital (B) de la pelvis femenina

A



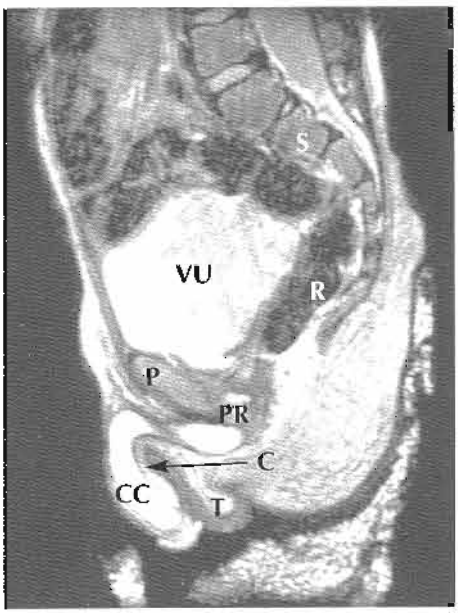
B



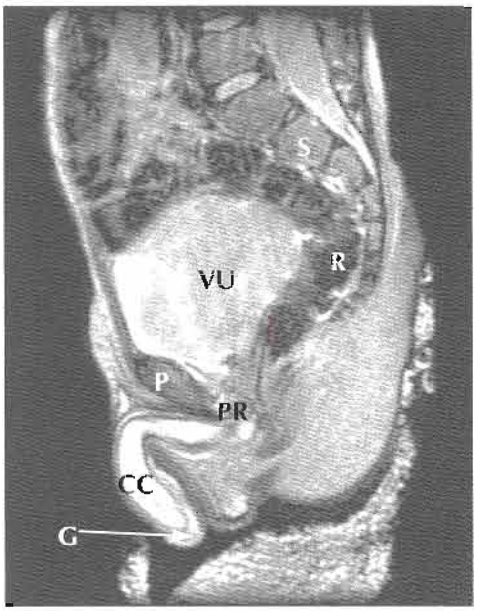
A Conducto anal
C Orificio externo del cuello uterino
P Sínfisis del pubis
R Recto
RA Músculo recto del abdomen
S Sacro
SD Saco de la duramadre espinal (tecal)
U Útero
V Vagina
VU Vejiga urinaria

RM sagital media (C) y parasagital (D) de la pelvis masculina

C

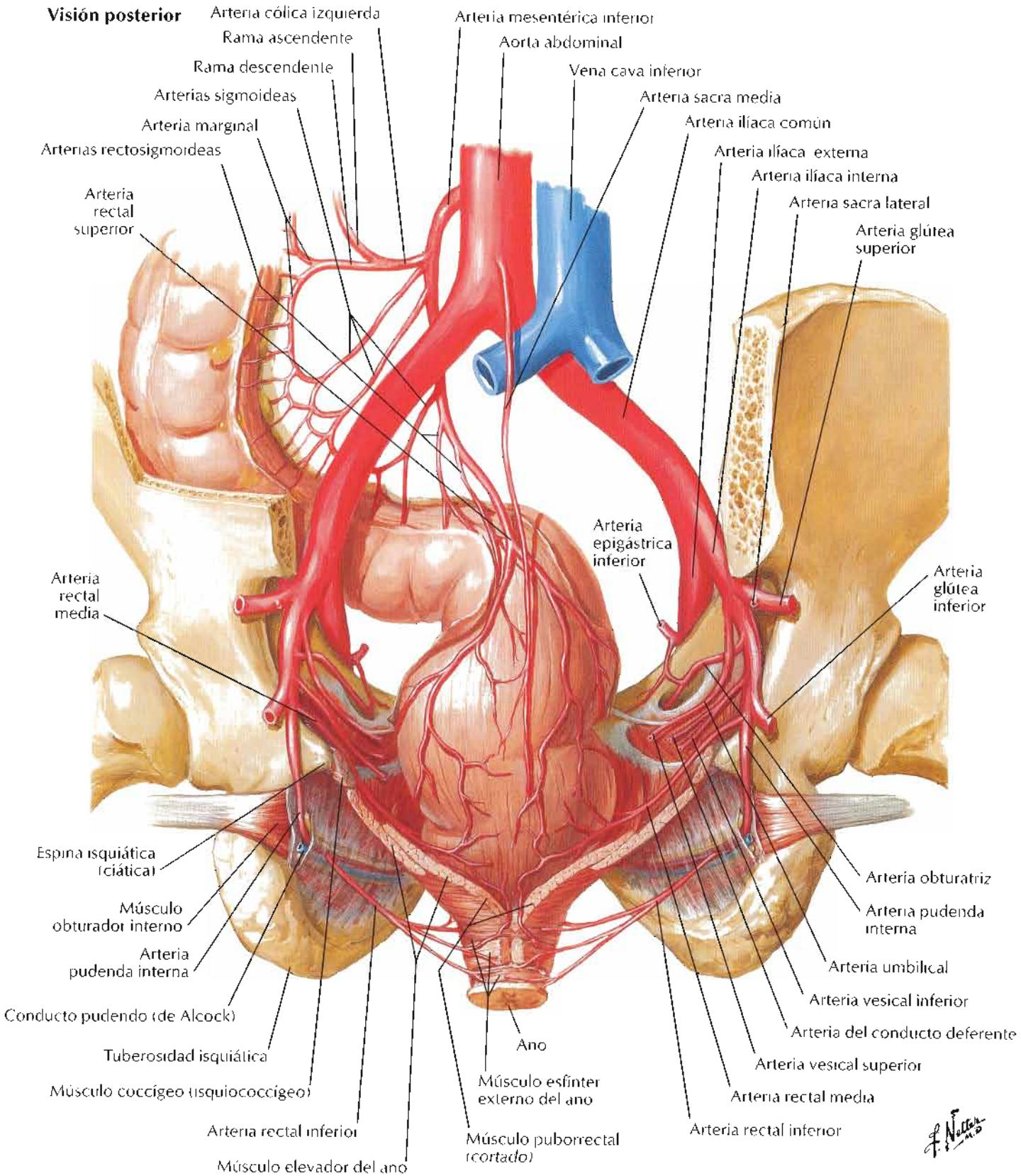


D

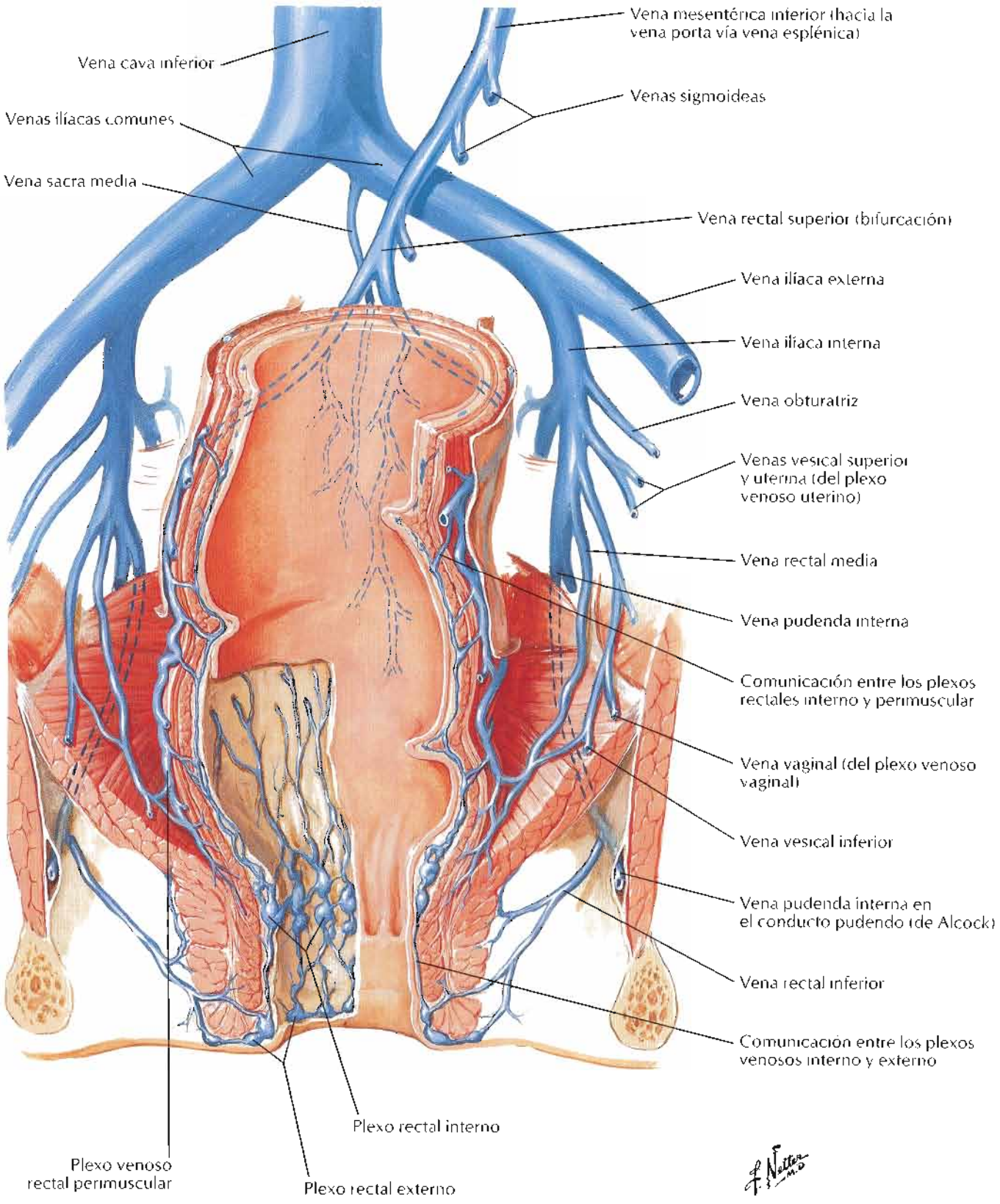


C Cuerpo esponjoso
CC Cuerpo cavernoso
G Glande del pene
P Sínfisis del pubis
PR Próstata
R Recto
S Sacro
T Testículo
VU Vejiga urinaria

Arterias del recto y conducto anal: varón

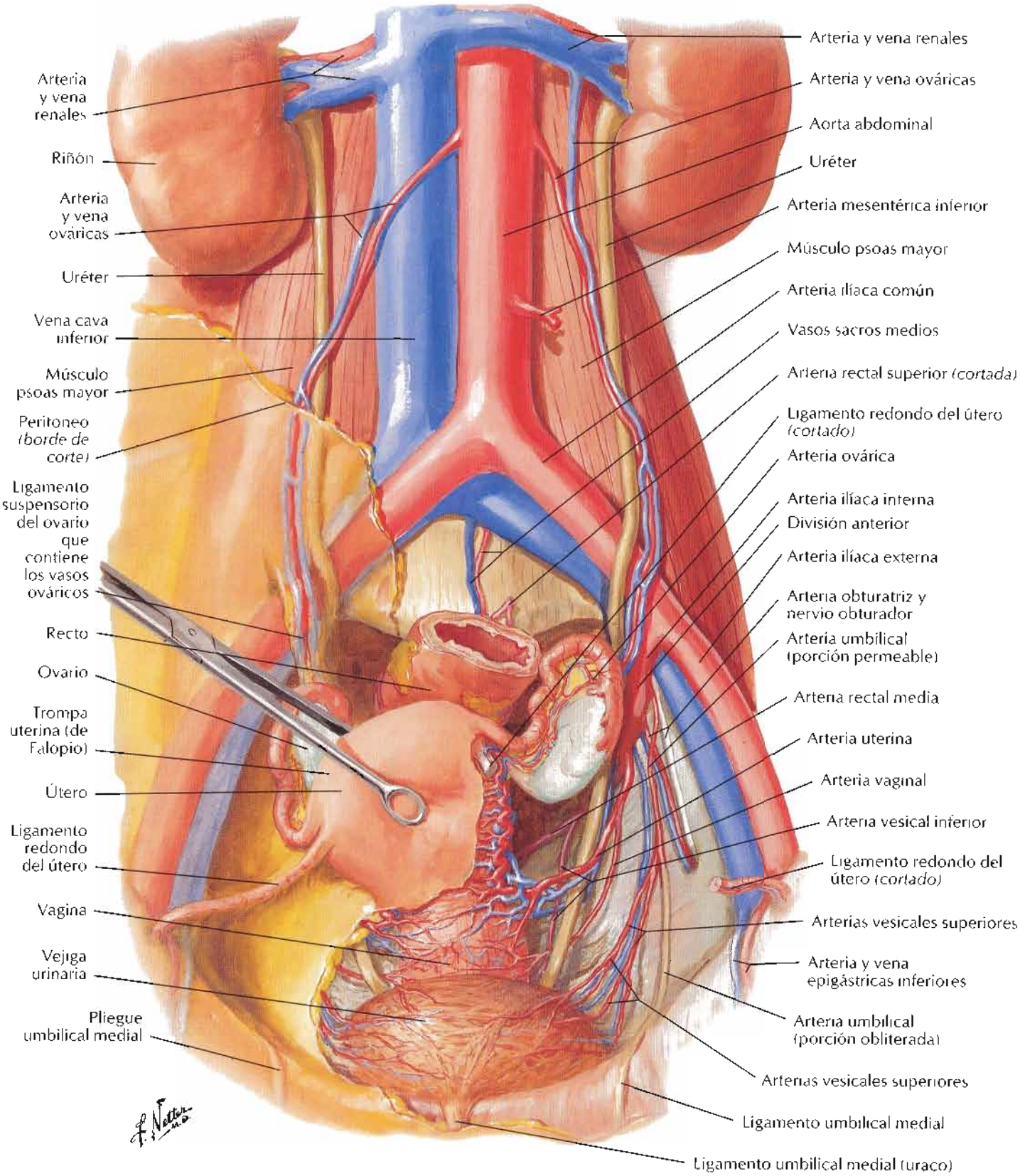


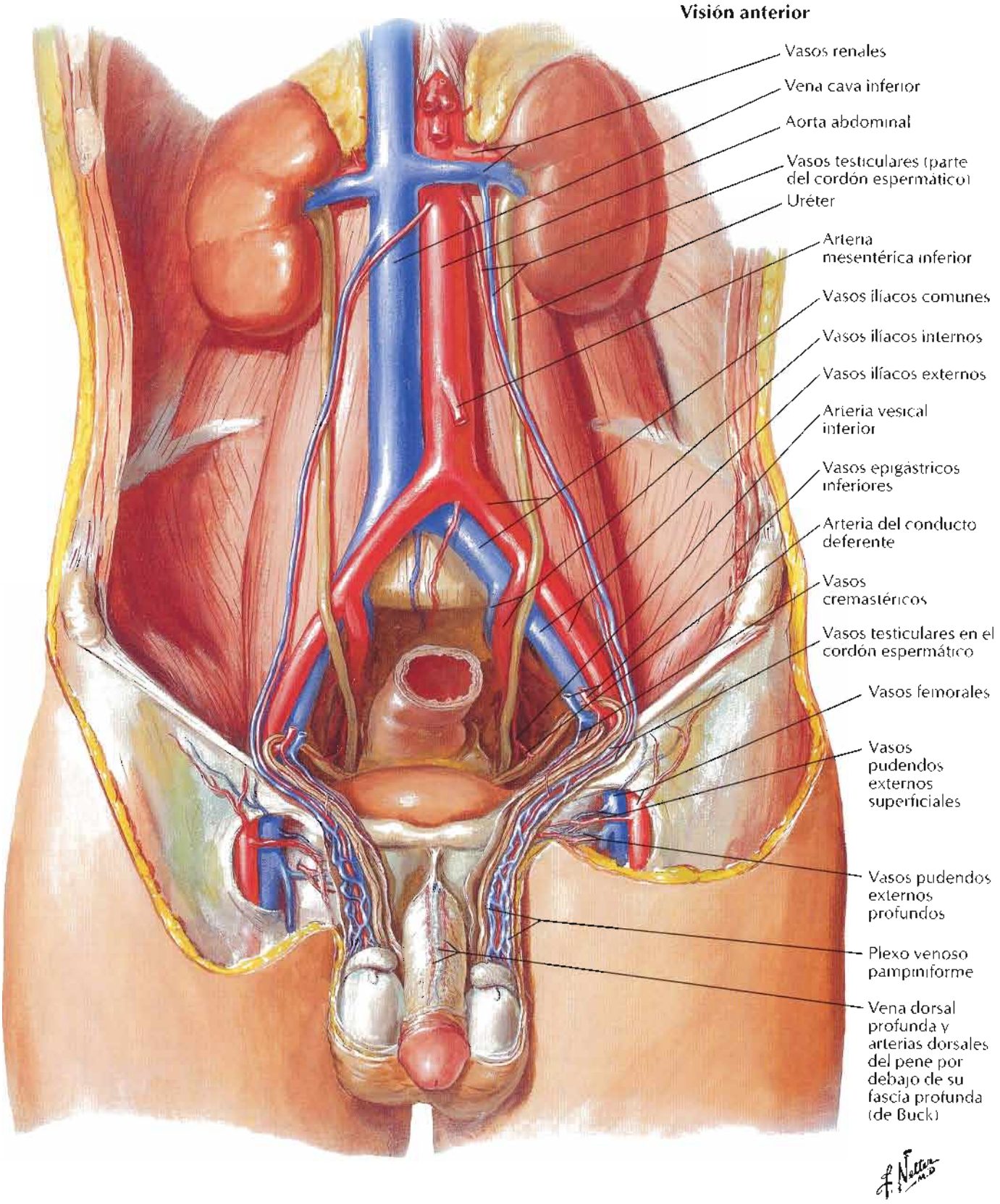
Visión anterior



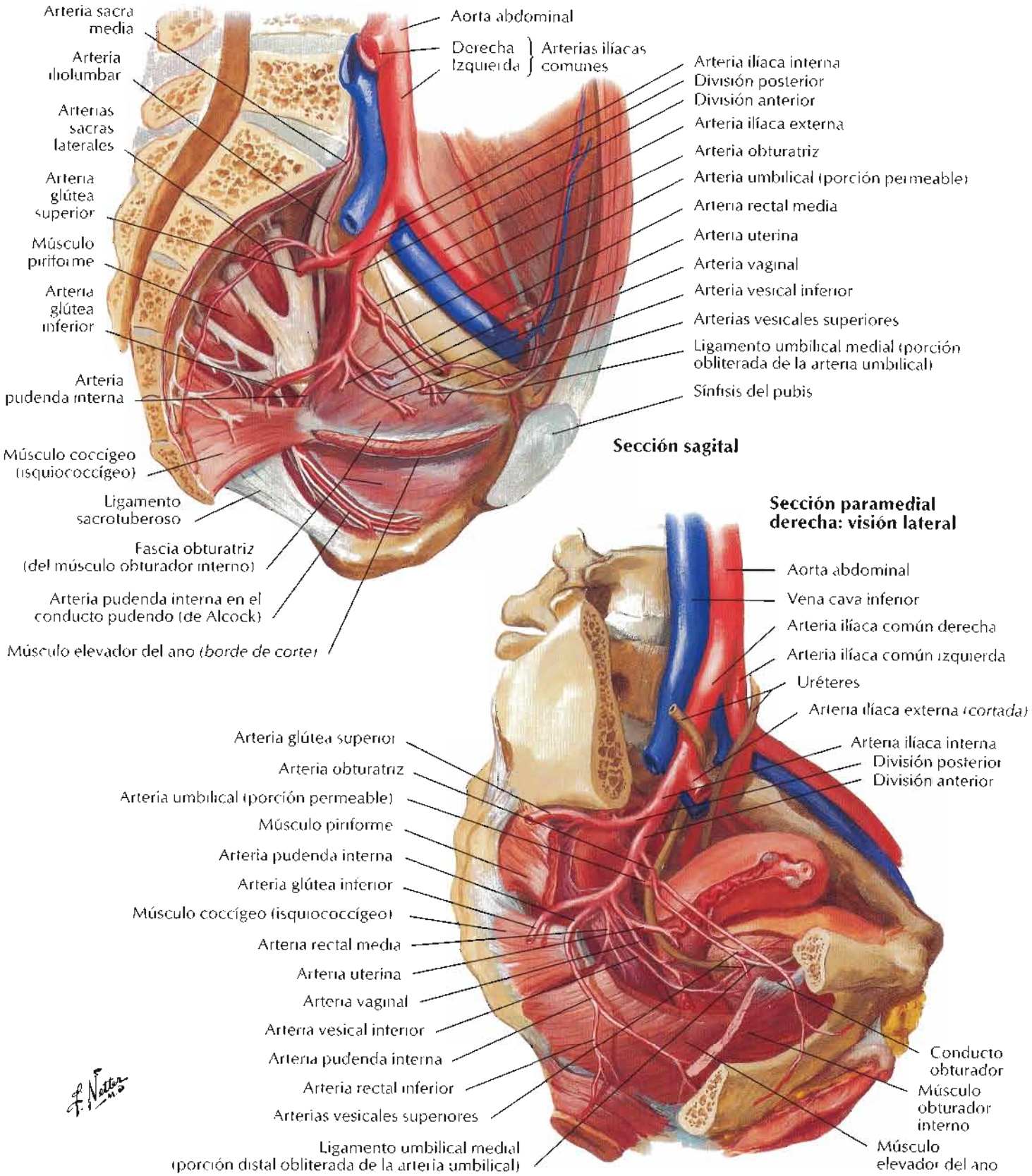
Arterias y venas de los órganos pélvicos: mujer

Visión anterior

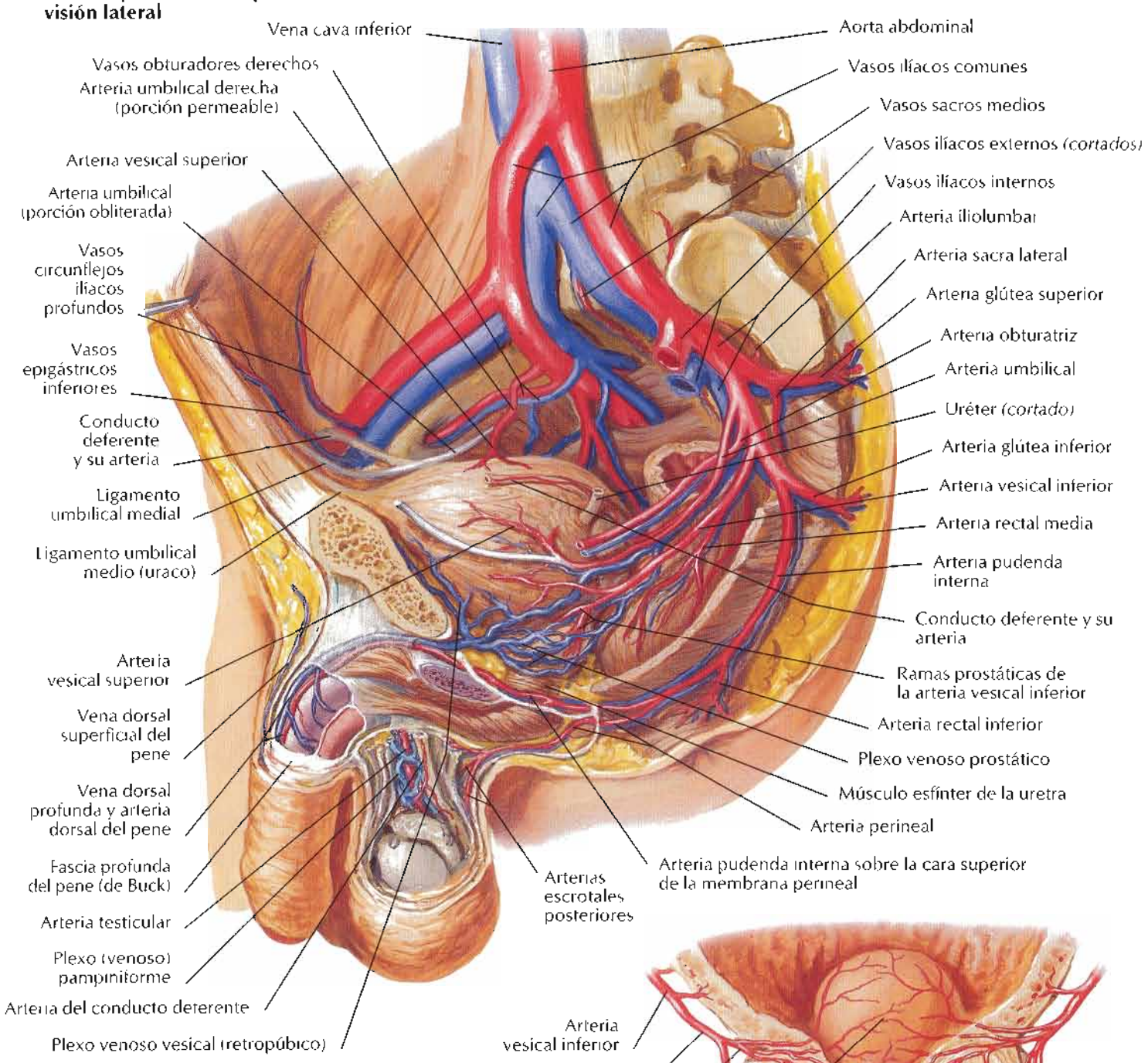


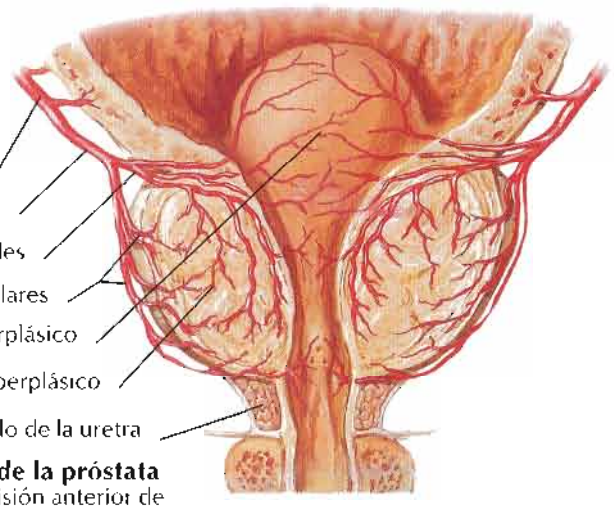

Visión anterior
Vasos renales
Vena cava inferior
Aorta abdominal
Vasos testiculares (parte del cordón espermático)
Uréter
Arteria mesentérica inferior
Vasos ilíacos comunes
Vasos ilíacos internos
Vasos ilíacos externos
Arteria vesical inferior
Vasos epigástricos inferiores
Arteria del conducto deferente
Vasos cremastéricos
Vasos testiculares en el cordón espermático
Vasos femorales
Vasos pudendos externos superficiales
Vasos pudendos externos profundos
Plexo venoso pampiniforme
Vena dorsal profunda y arterias dorsales del pene por debajo de su fascia profunda (de Buck)

Arterias y venas de la pelvis: mujer



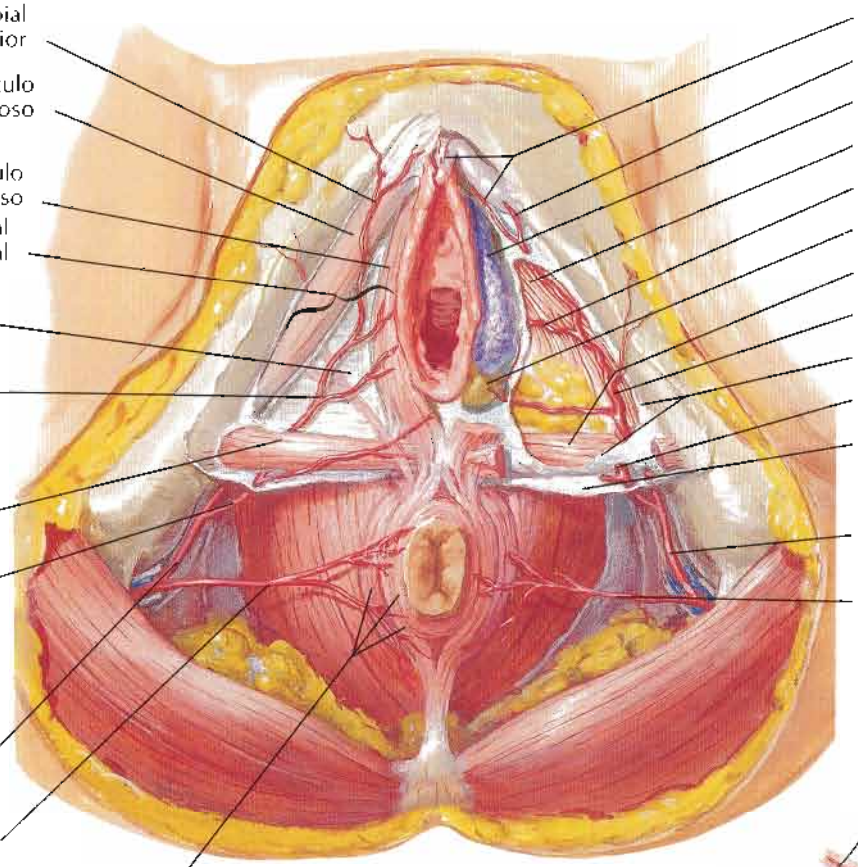
Sección paramedial izquierda: visión lateral



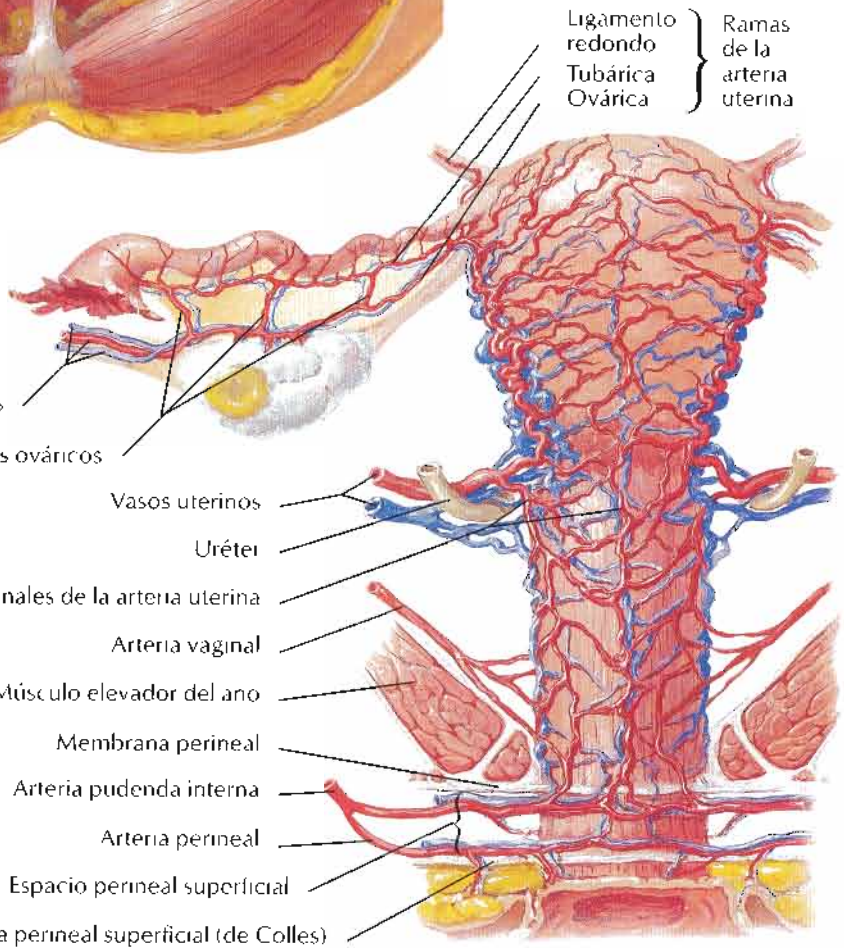


Aporte arterial de la próstata
(sección frontal, visión anterior de espécimen con hiperplasia benigna)

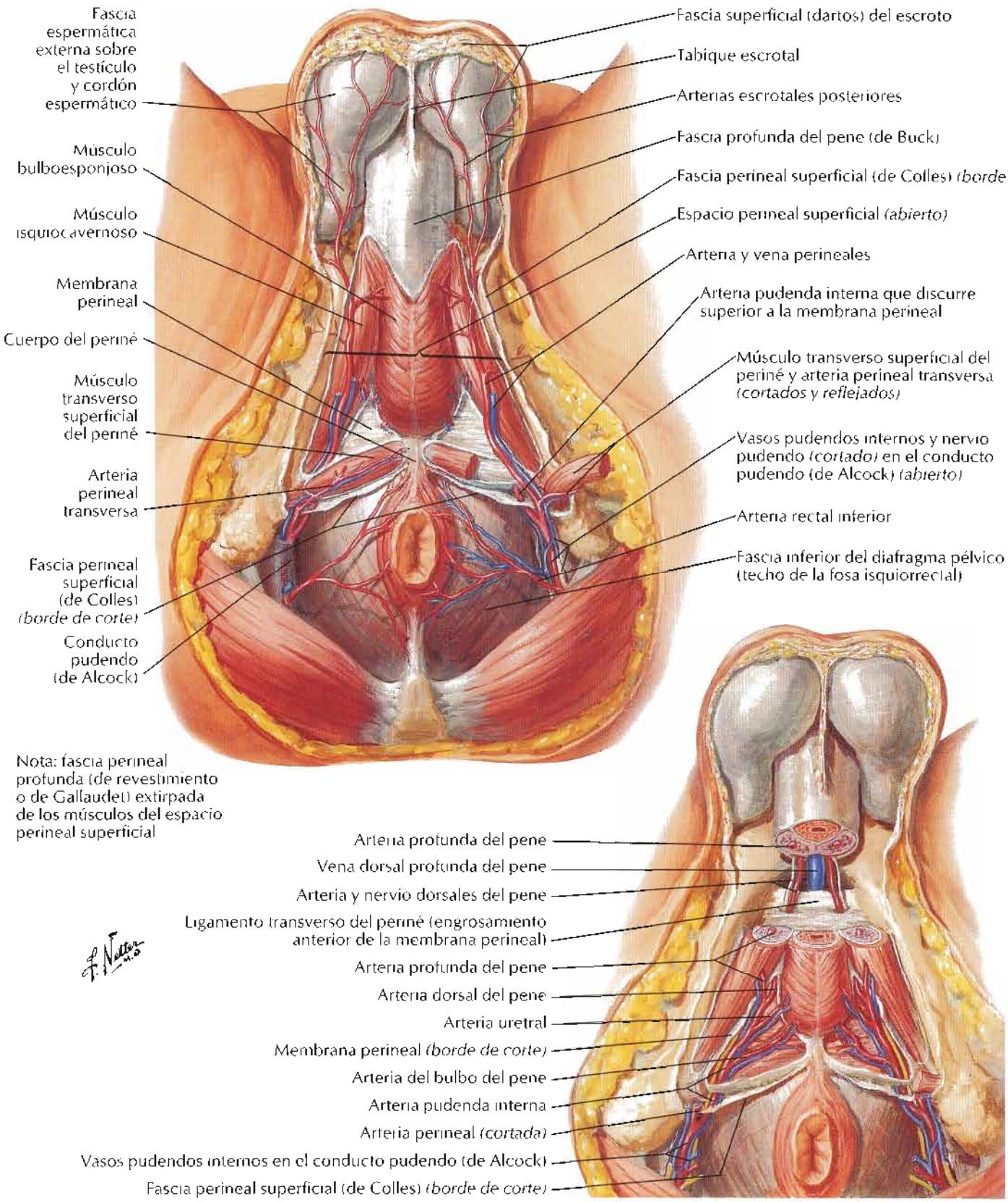
Arterias y venas del periné y útero



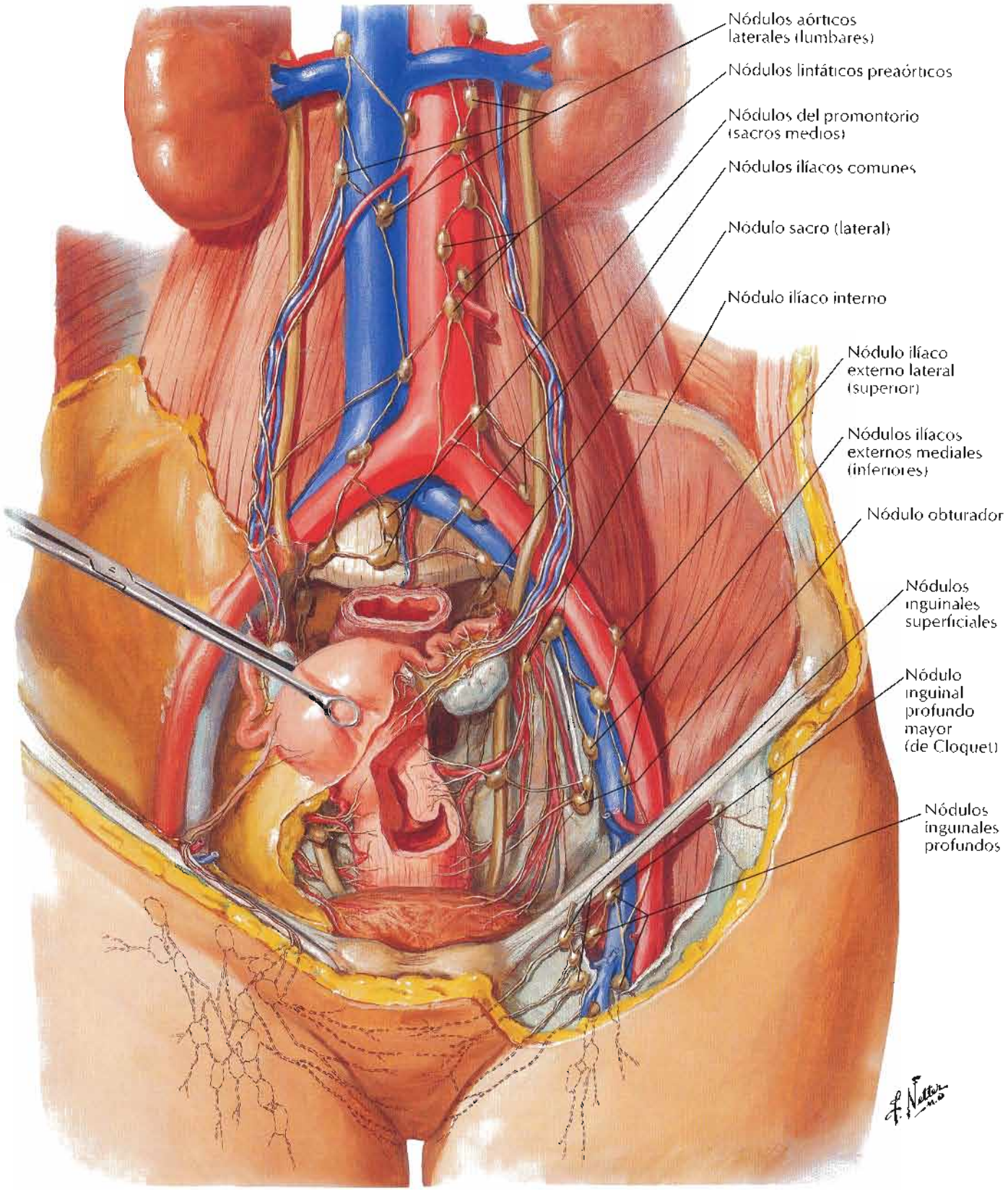
Nota: fascia perineal profunda (de revestimiento o de Gallaudet) extirpada de los músculos del espacio perineal superficial



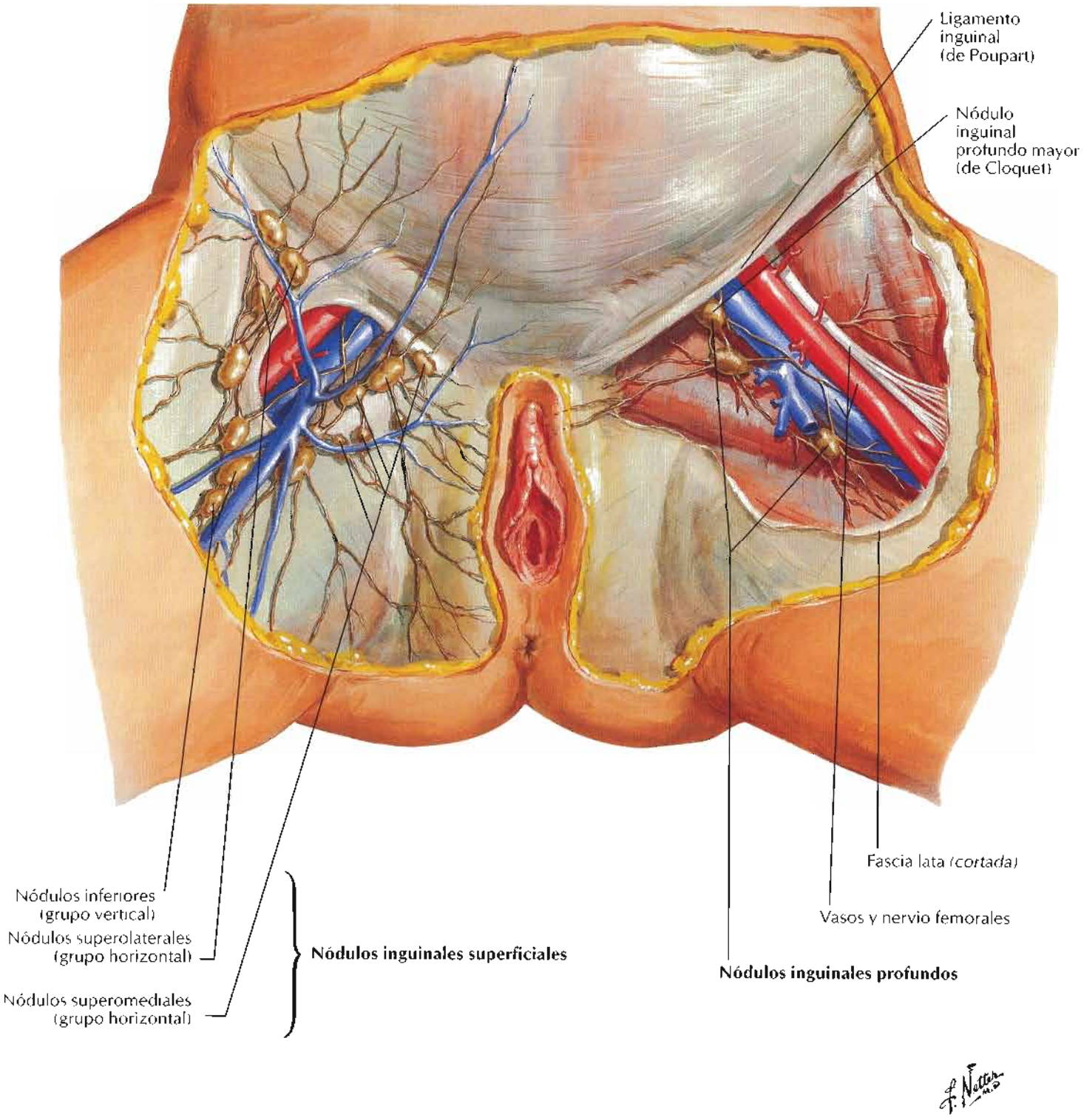
F. Netter M.D.
C. Machado M.D.


Fascia espermática externa sobre el testículo y cordón espermático
Músculo bulboesponjoso
Músculo isquiocavernoso
Membrana perineal
Cuerpo del periné
Músculo transverso superficial del periné
Arteria perineal transversa
Fascia perineal superficial (de Colles) (borde de corte)
Conducto pudendo (de Alcock)
Fascia superficial (dartos) del escroto
Tabique escrotal
Arterias escrotales posteriores
Fascia profunda del pene (de Buck)
Fascia perineal superficial (de Colles) (borde de corte)
Espacio perineal superficial (abierto)
Arteria y vena perineales
Arteria pudenda interna que discurre superior a la membrana perineal
Músculo transverso superficial del periné y arteria perineal transversa (cortados y reflejados)
Vasos pudendos internos y nervio pudendo (cortado) en el conducto pudendo (de Alcock) (abierto)
Arteria rectal inferior
Fascia inferior del diafragma pélvico (techo de la fosa isquiorrectal)
Nota: fascia perineal profunda (de revestimiento o de Gallaudet) extirpada de los músculos del espacio perineal superficial
Arteria profunda del pene
Vena dorsal profunda del pene
Arteria y nervio dorsales del pene
Ligamento transverso del periné (engrosamiento anterior de la membrana perineal)
Arteria profunda del pene
Arteria dorsal del pene
Arteria uretral
Membrana perineal (borde de corte)
Arteria del bulbo del pene
Arteria pudenda interna
Arteria perineal (cortada)
Vasos pudendos internos en el conducto pudendo (de Alcock)
Fascia perineal superficial (de Colles) (borde de corte)

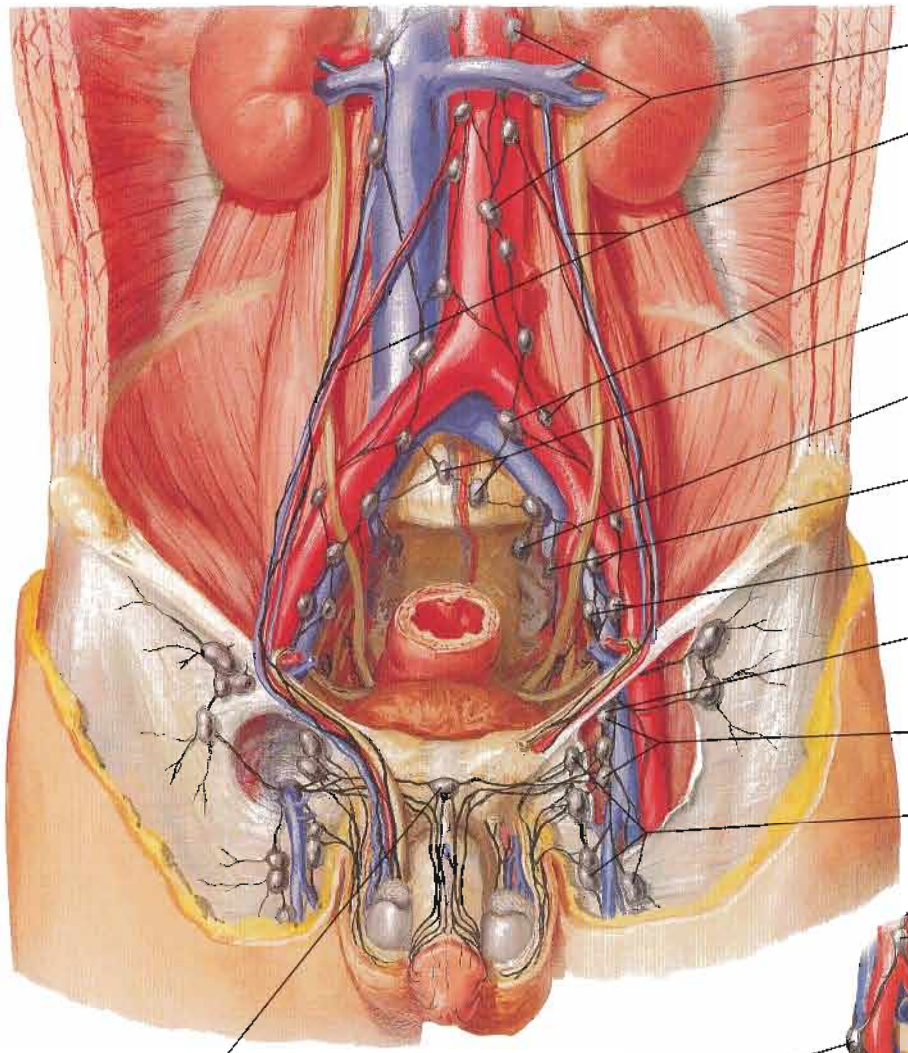
Vasos y nódulos linfáticos de la pelvis y genitales: mujer

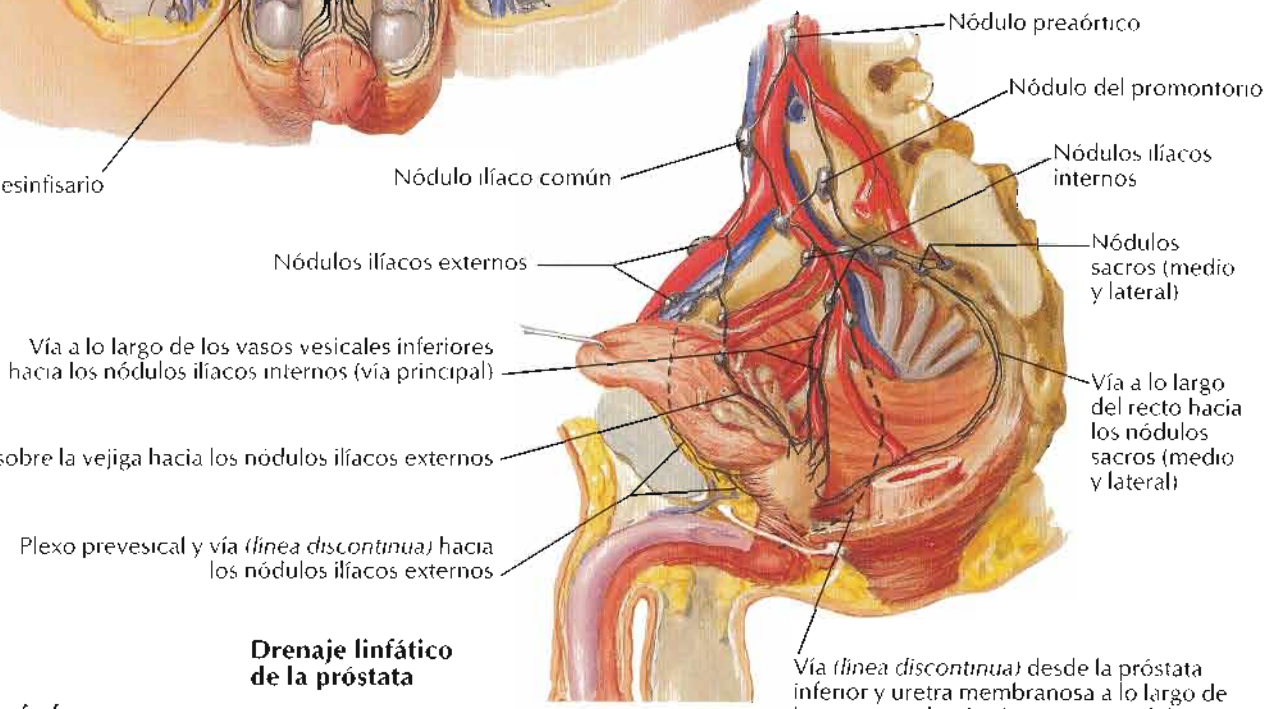


Vasos y nódulos linfáticos del periné: mujer



Vasos y nódulos linfáticos de la pelvis y genitales: varón



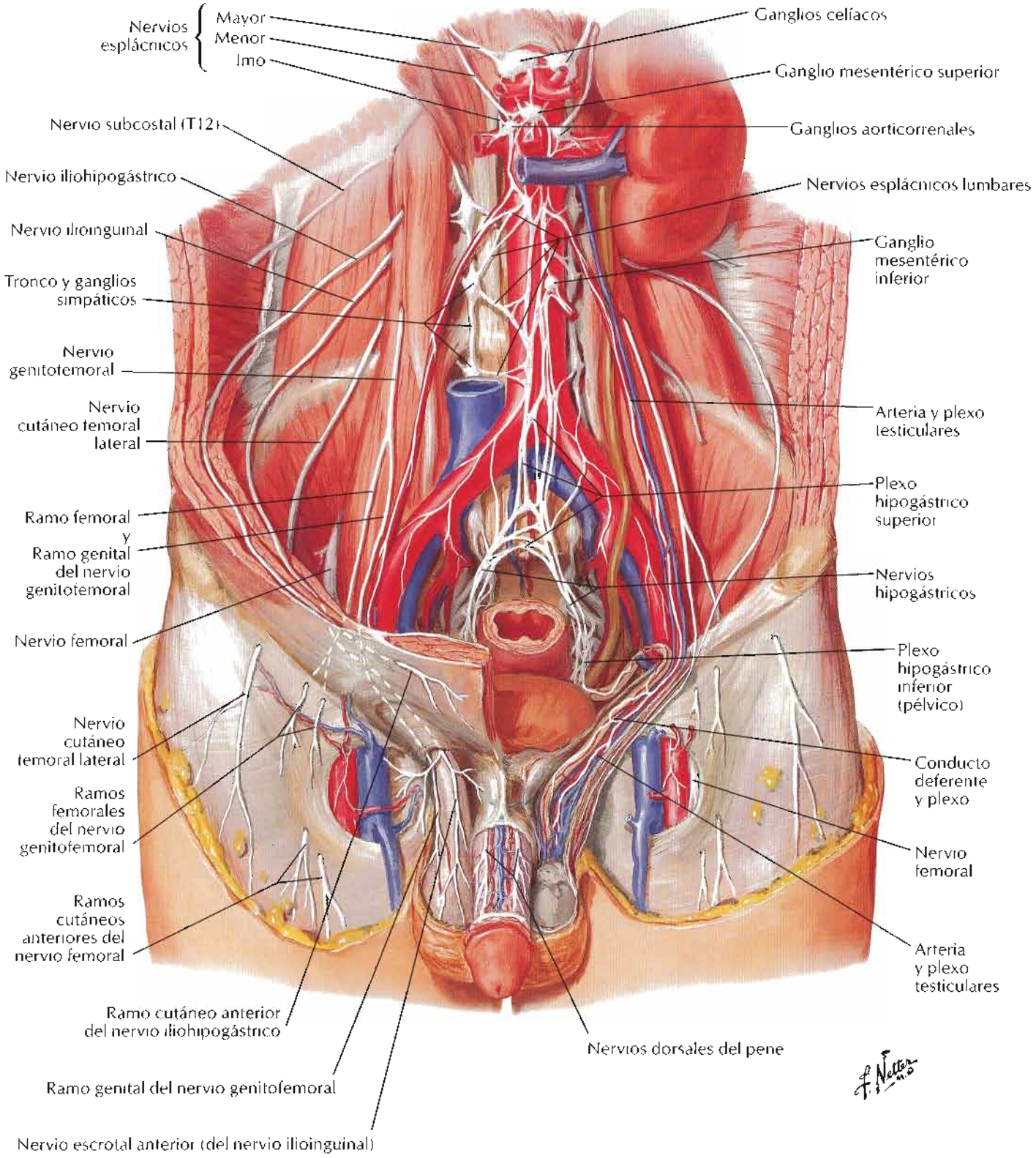


Drenaje linfático de la próstata

F. Netter M.D.
C. Machado M.D.

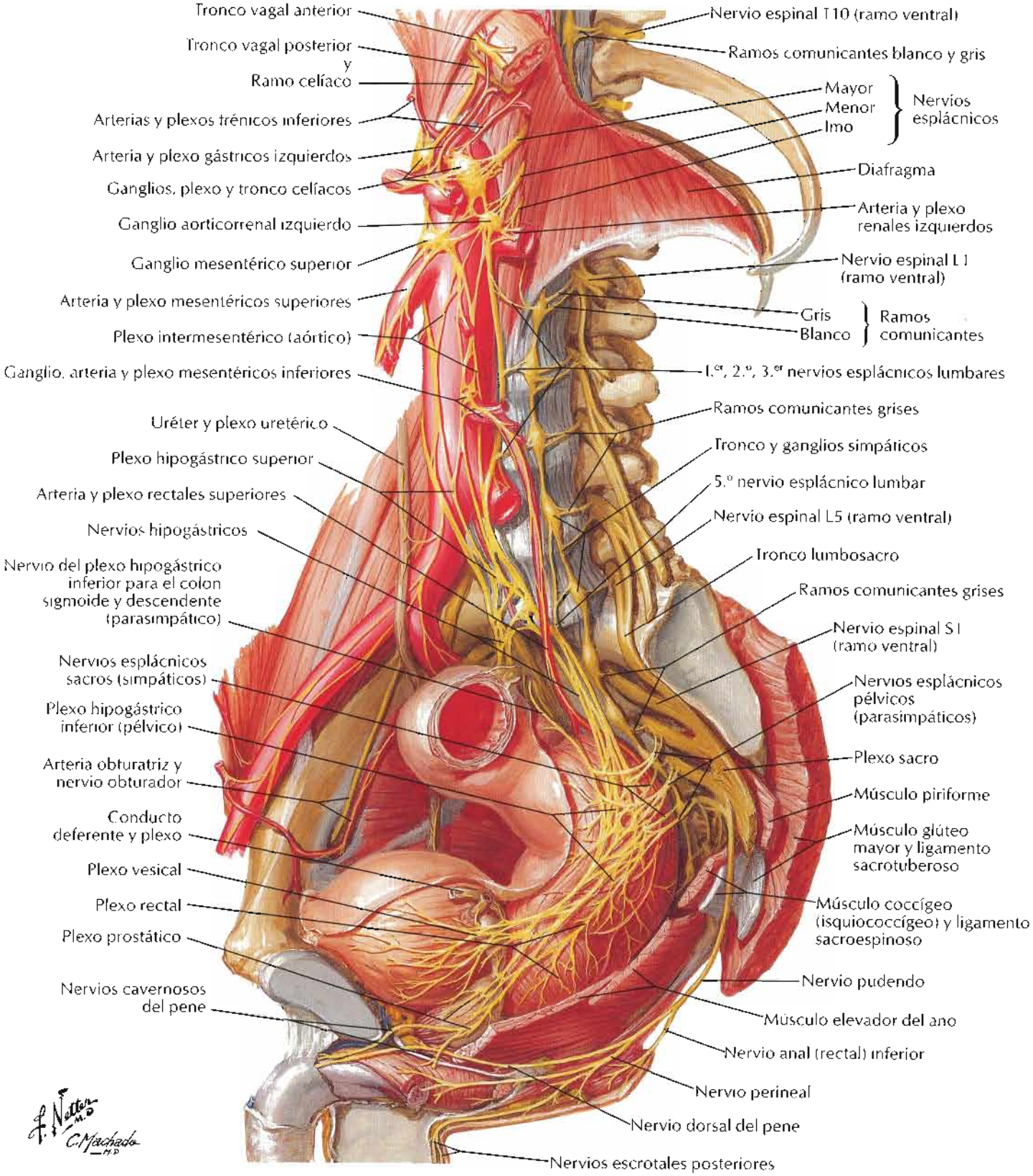
Nervios de los genitales externos: varón

Véanse también **láminas 165, 166, 318**

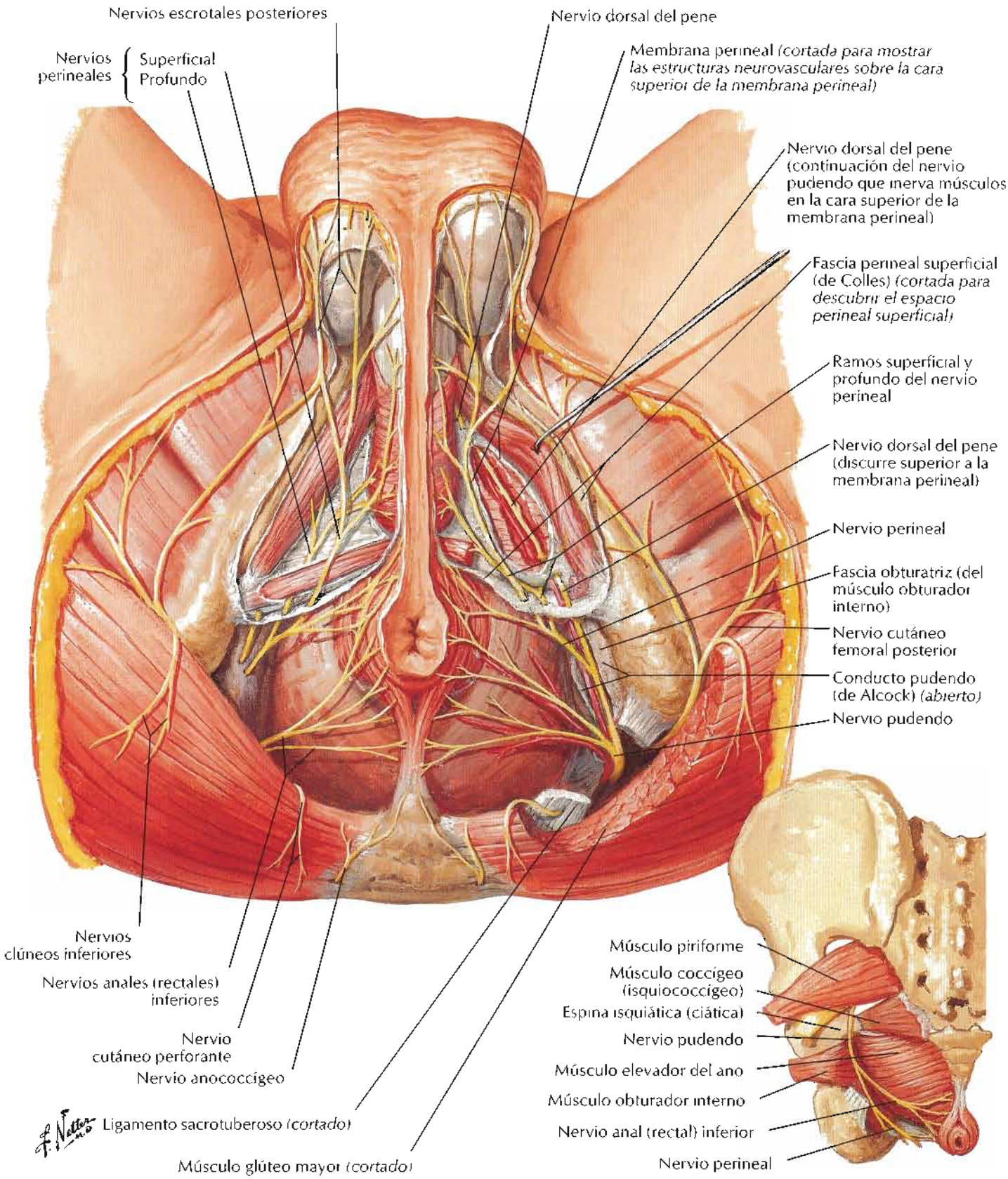


5 Nervios de las vísceras pélvicas: varón

Véanse también **láminas 165, 166, 318**

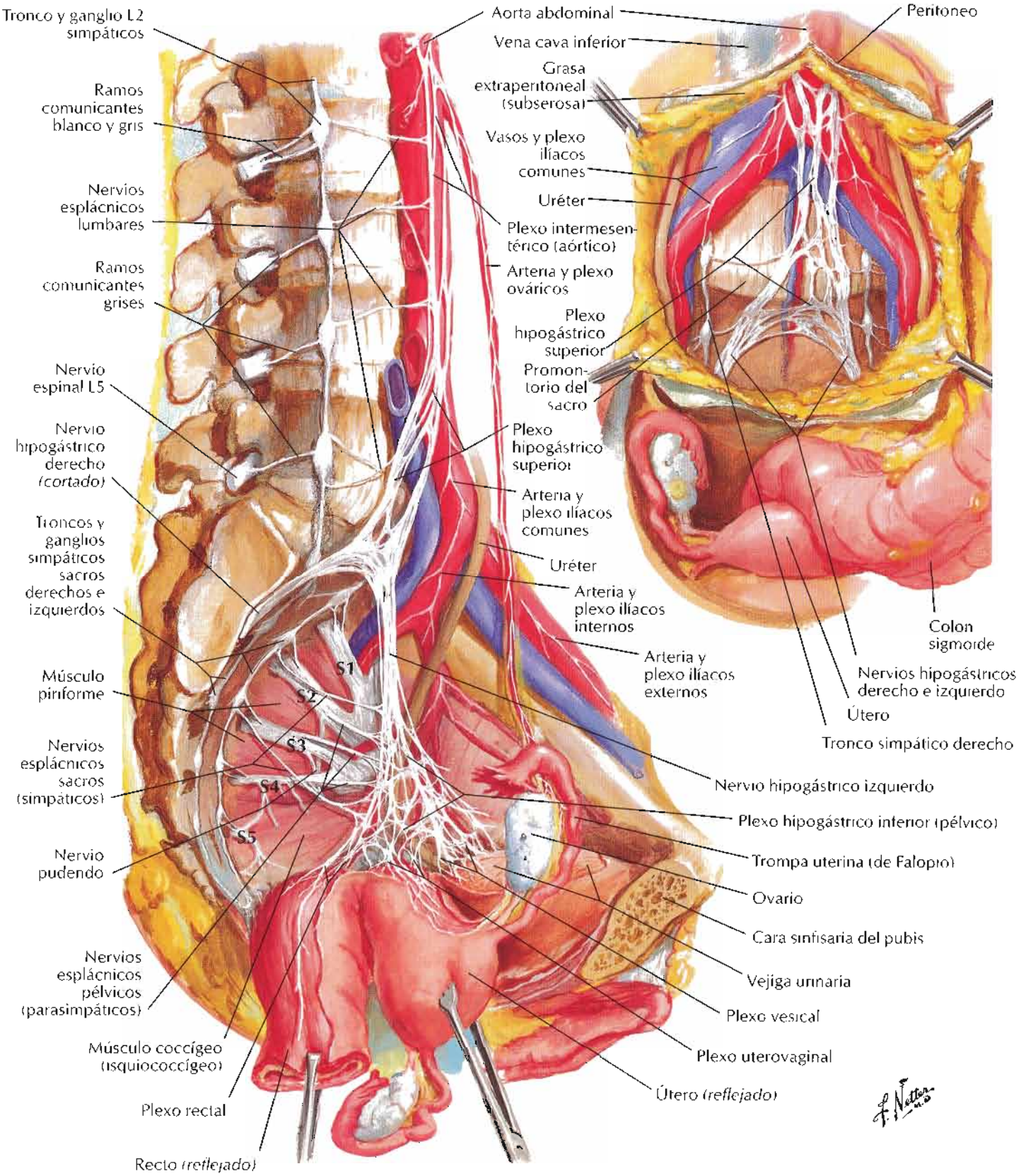


Véase también **lámina 416**



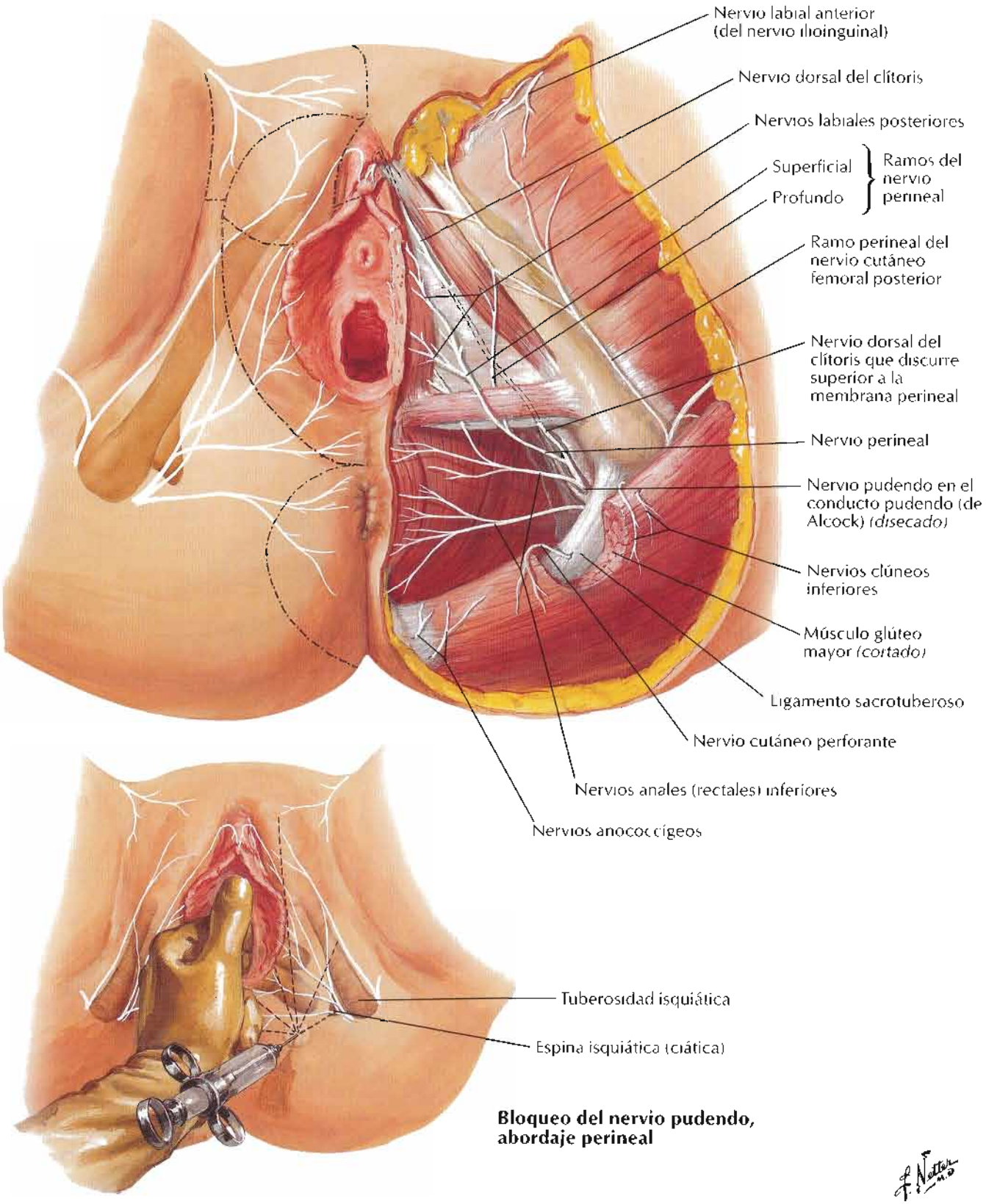
Nervios de las vísceras pélvicas: mujer

Véanse también **láminas 165, 166, 318**



Nervios del periné y genitales externos: mujer

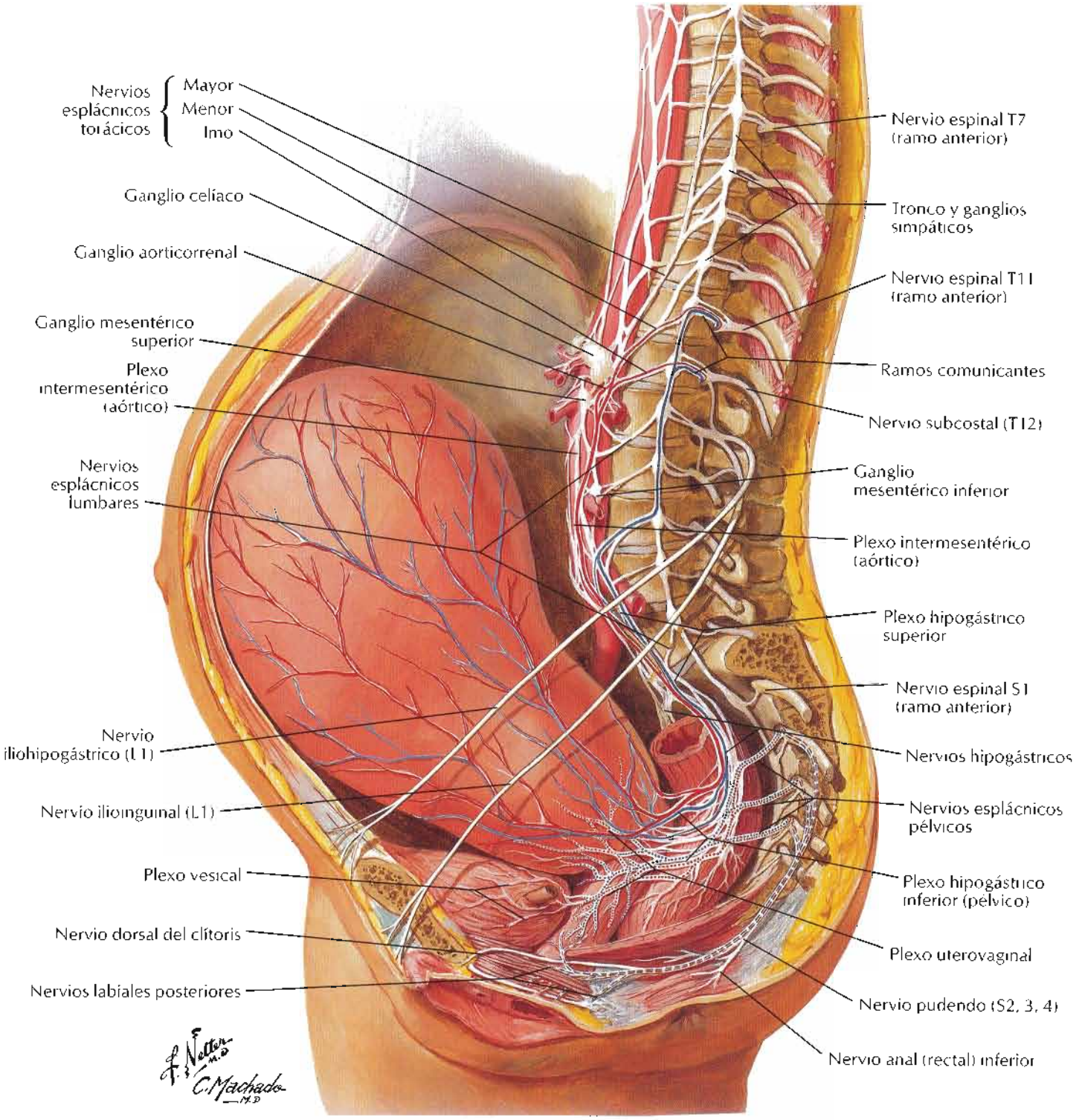
Véase también **lámina 415**



Bloqueo del nervio pudendo, abordaje perineal

5 Vías nerviosas en el parto

Véanse también **láminas 165, 166**



Las fibras sensitivas desde cuerpo y fondo del útero acompañan las fibras simpáticas vía plexos hipogástricos hacia T11, 12 y L1

Fibras motoras hacia el cuerpo y fondo del útero (simpáticas)

Las fibras sensitivas desde el cuello uterino y vagina superior acompañan los nervios esplácnicos pélvicos (parasimpáticos) hacia S2, 3, 4

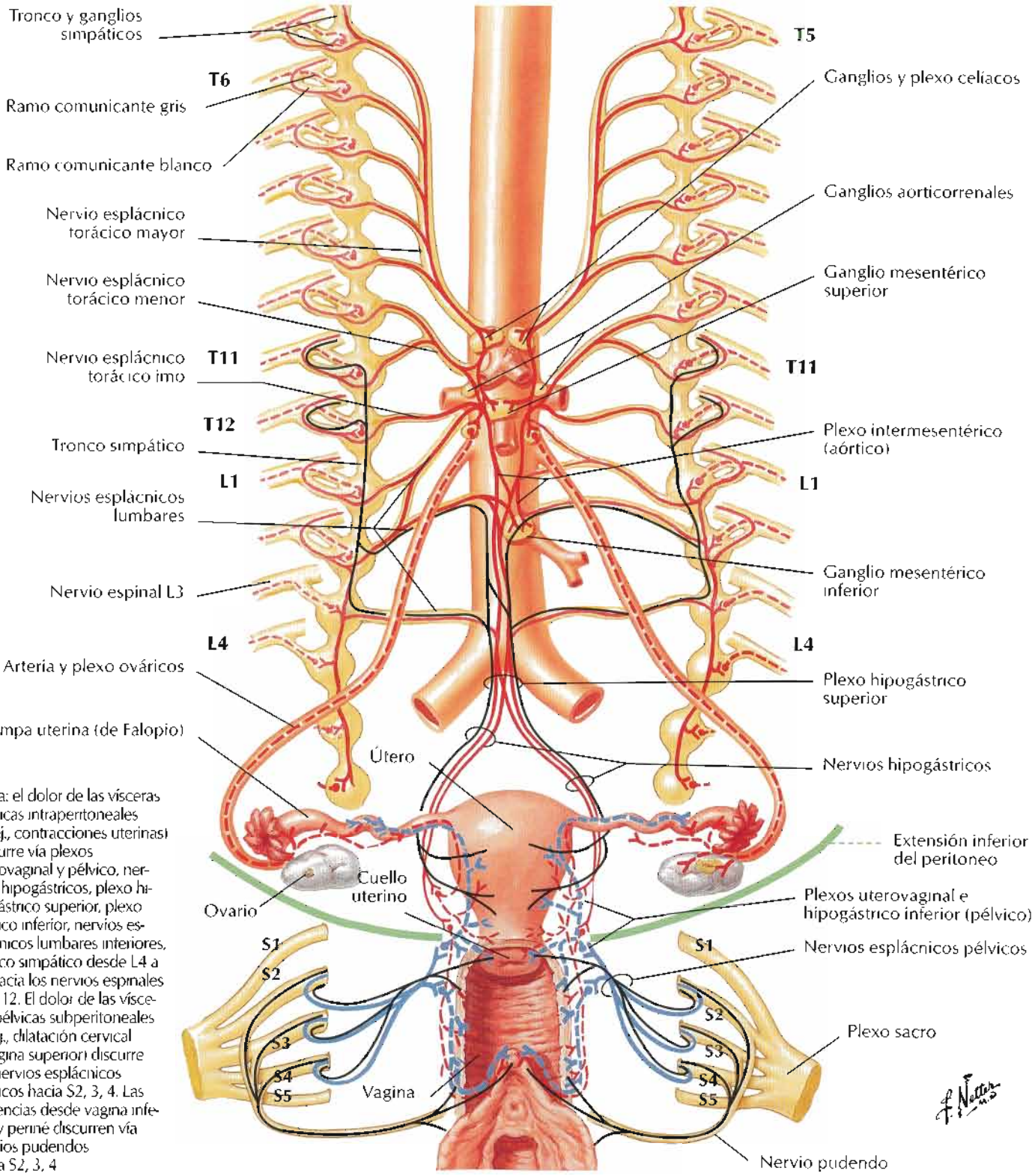
Fibras motoras hacia el segmento uterino inferior, cuello y vagina superior (parasimpáticas)

Las fibras sensitivas desde la vagina inferior y perineé acompañan las fibras somáticas vía nervio pudendo hacia S2, 3, 4

Fibras motoras hacia vagina inferior y perineé vía nervio pudendo (somático)

Inervación de los órganos reproductores femeninos: esquema

Véanse también **láminas 167, 168**

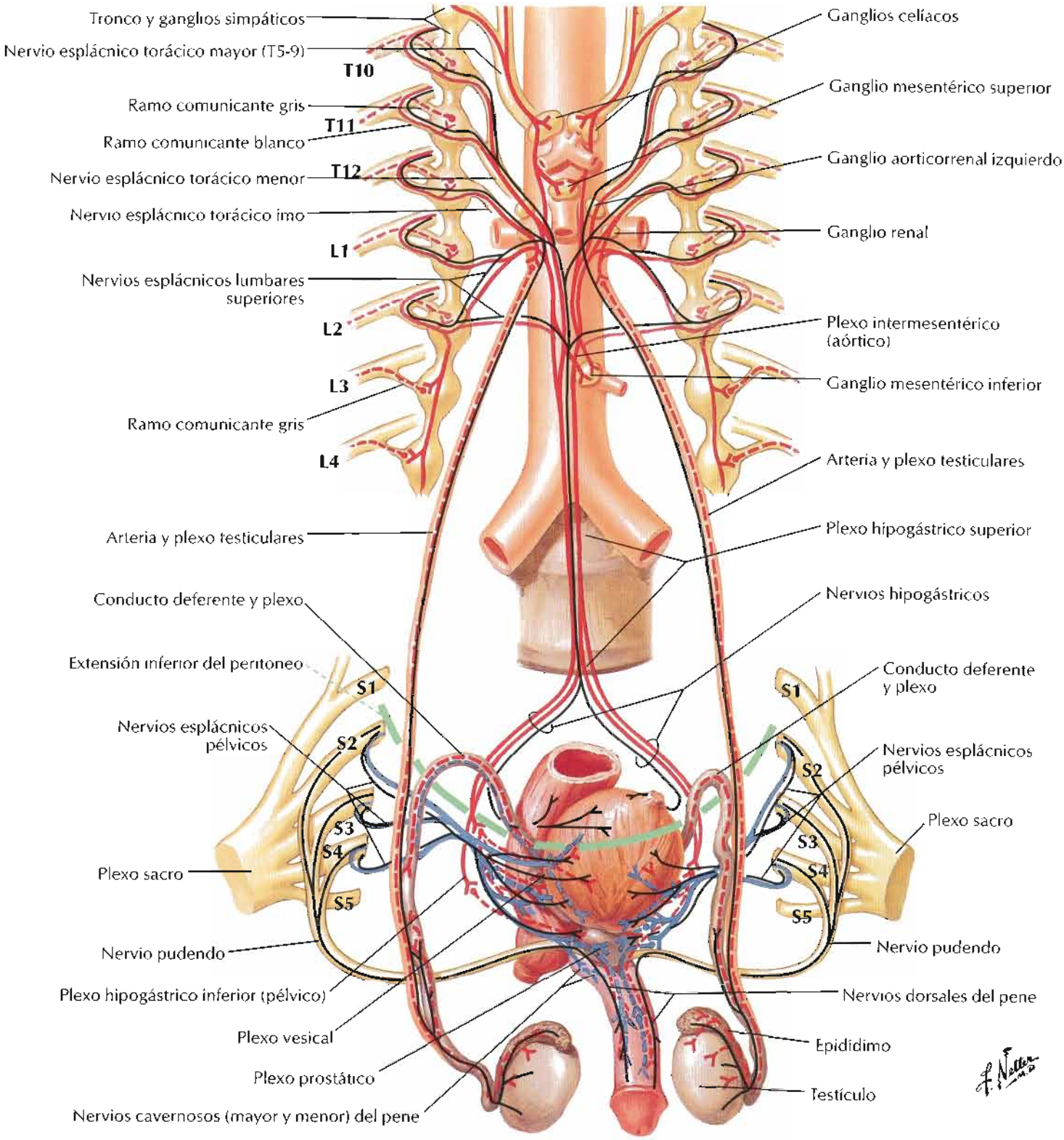


Nota: el dolor de las vísceras pélvicas intraperitoneales (p. ej., contracciones uterinas) discurre vía plexos uterovaginal y pélvico, nervios hipogástricos, plexo hipogástrico superior, plexo aórtico inferior, nervios esplácnicos lumbares inferiores, tronco simpático desde L4 a L5 hacia los nervios espinales T11, 12. El dolor de las vísceras pélvicas subperitoneales (p. ej., dilatación cervical y vagina superior) discurre vía nervios esplácnicos pélvicos hacia S2, 3, 4. Las aferencias desde vagina inferior y perineo discurren vía nervios pudendos hacia S2, 3, 4

Fibras simpáticas { **Preganglionares** / **Posganglionares** — **Fibras parasimpáticas** { **Preganglionares** / **Posganglionares** — **Fibras aferentes**

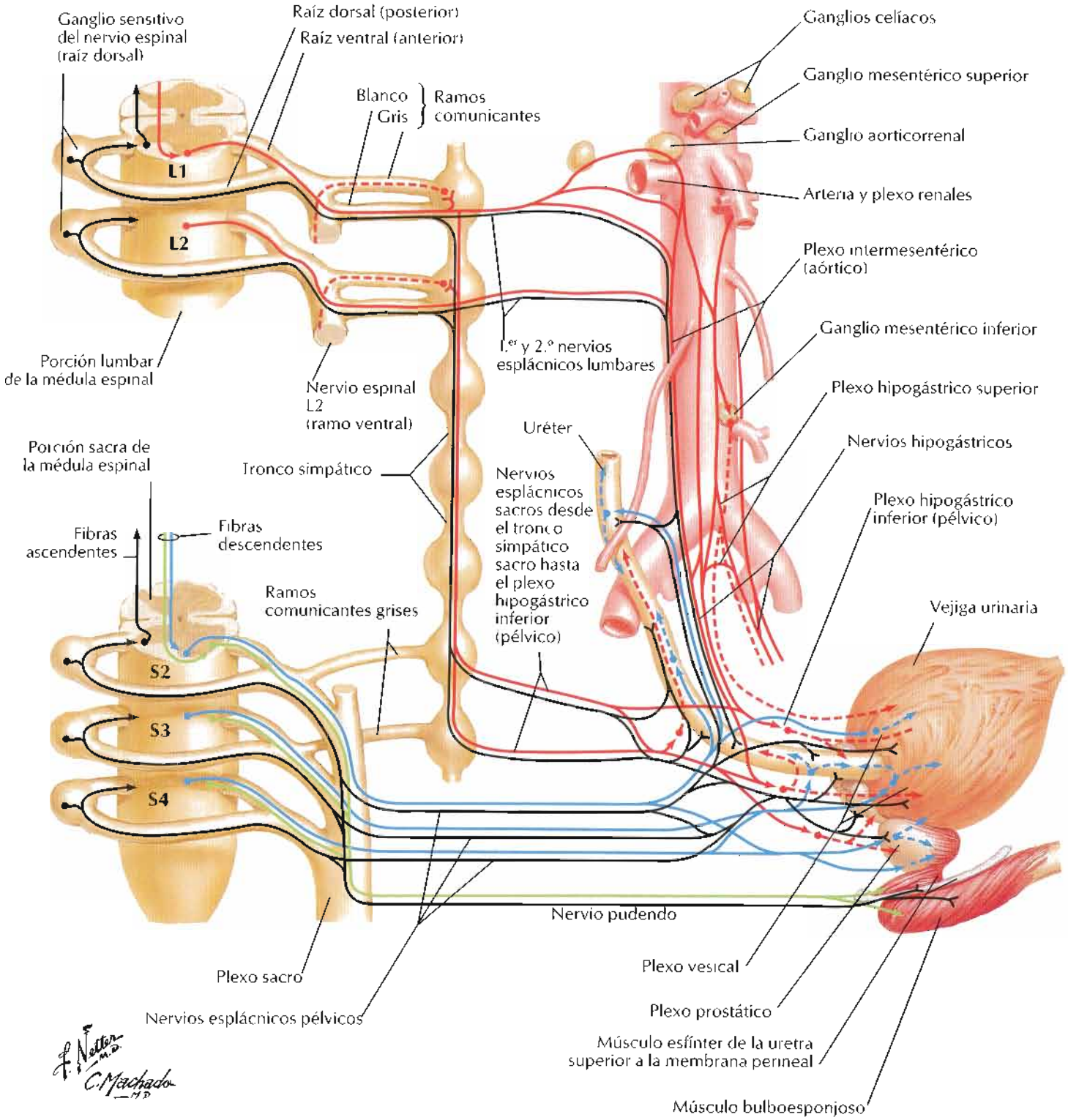
5 Inervación de los órganos reproductores masculinos: esquema

Véanse también **láminas 167, 168**



Inervación de la vejiga urinaria y uréter inferior: esquema

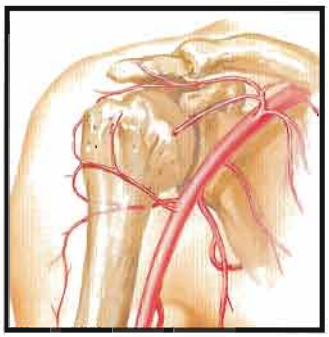
Véanse también **láminas 167, 168**



Fibras simpáticas { **Preganglionares** ——— / **Posganglionares** - - - - **Fibras parasimpáticas** { **Preganglionares** ——— / **Posganglionares** - - - - **Fibras eferentes somáticas** ——— / **Fibras aferentes** ———

Sección 6 Miembro superior



Anatomía de superficie

Lámina 418

418 Miembro superior

Hombro y axila

Láminas 419-430

419 Clavícula y articulación esternoclavicular
420 Húmero y escápula: visiones anteriores
421 Húmero y escápula: visiones posteriores
422 Hombro: radiografía anteroposterior
423 Articulación del hombro (glenohumeral)
424 Músculos del hombro
425 Músculos del manguito rotador
426 Disección escapulohumeral
427 Arteria axilar y anastomosis alrededor de la escápula
428 Fascias pectoral, clavipectoral y axilar
429 Axila (disección): visión anterior
430 Plexo braquial: esquema

Brazo

Láminas 431-435

431 Músculos del brazo: visiones anteriores
432 Músculos del brazo: visiones posteriores
433 Arteria braquial in situ
434 Arteria braquial y anastomosis alrededor del codo
435 Brazo: secciones transversales seriadas

6 Miembro superior

Codo y antebrazo

Láminas 436-451

436 Huesos del codo

437 Codo: radiografías

438 Ligamentos del codo

439 Huesos del antebrazo

440 Músculos individualizados del antebrazo: rotadores del radio

441 Músculos individualizados del antebrazo: extensores del carpo y dedos

442 Músculos individualizados del antebrazo: flexores del carpo

443 Músculos individualizados del antebrazo: flexores de los dedos

444 Músculos del antebrazo (plano superficial): visión posterior

445 Músculos del antebrazo (plano profundo): visión posterior

446 Músculos del antebrazo (plano superficial): visión anterior

447 Músculos del antebrazo (plano intermedio): visión anterior

448 Músculos del antebrazo (plano profundo): visión anterior

449 Antebrazo: secciones transversales seriadas

450 Inserciones de los músculos del antebrazo: visión anterior

451 Inserciones de los músculos del antebrazo: visión posterior

Carpo y mano

Láminas 452-471

452 Huesos del carpo

453 Movimientos del carpo

454 Ligamentos del carpo

455 Ligamentos del carpo *(continuación)*

456 Huesos del carpo y mano

457 Carpo y mano: radiografía anteroposterior

458 Ligamentos metacarpofalángicos e interfalángicos

459 Carpo y mano: disecciones palmares superficiales

460 Carpo y mano: disecciones palmares profundas

461 Tendones flexores, arterias y nervios en el carpo

462 Bolsas, espacios y vainas tendinosas de la mano

463 Músculos lumbricales y bolsas, espacios y vainas: esquema

464 Tendones flexores y extensores en los dedos

465 Músculos intrínsecos de la mano

466 Arterias y nervios de la mano: visiones palmares

467 Carpo y mano: disección radial superficial

468 Carpo y mano: disección dorsal superficial

469 Carpo y mano: disección dorsal profunda

470 Tendones de los extensores del carpo

471 Dedos

Inervación y vasculatura

Láminas 472-483

472 Inervación cutánea del carpo y mano

473 Arterias y nervios del miembro superior

474 Nervio musculocutáneo

475 Nervio mediano

476 Nervio cubital

477 Nervio radial en el brazo y nervios posteriores del hombro

478 Nervio radial en el antebrazo

479 Nervios cutáneos y venas superficiales del hombro y brazo

480 Nervios cutáneos y venas superficiales del antebrazo

481 Inervación cutánea del miembro superior

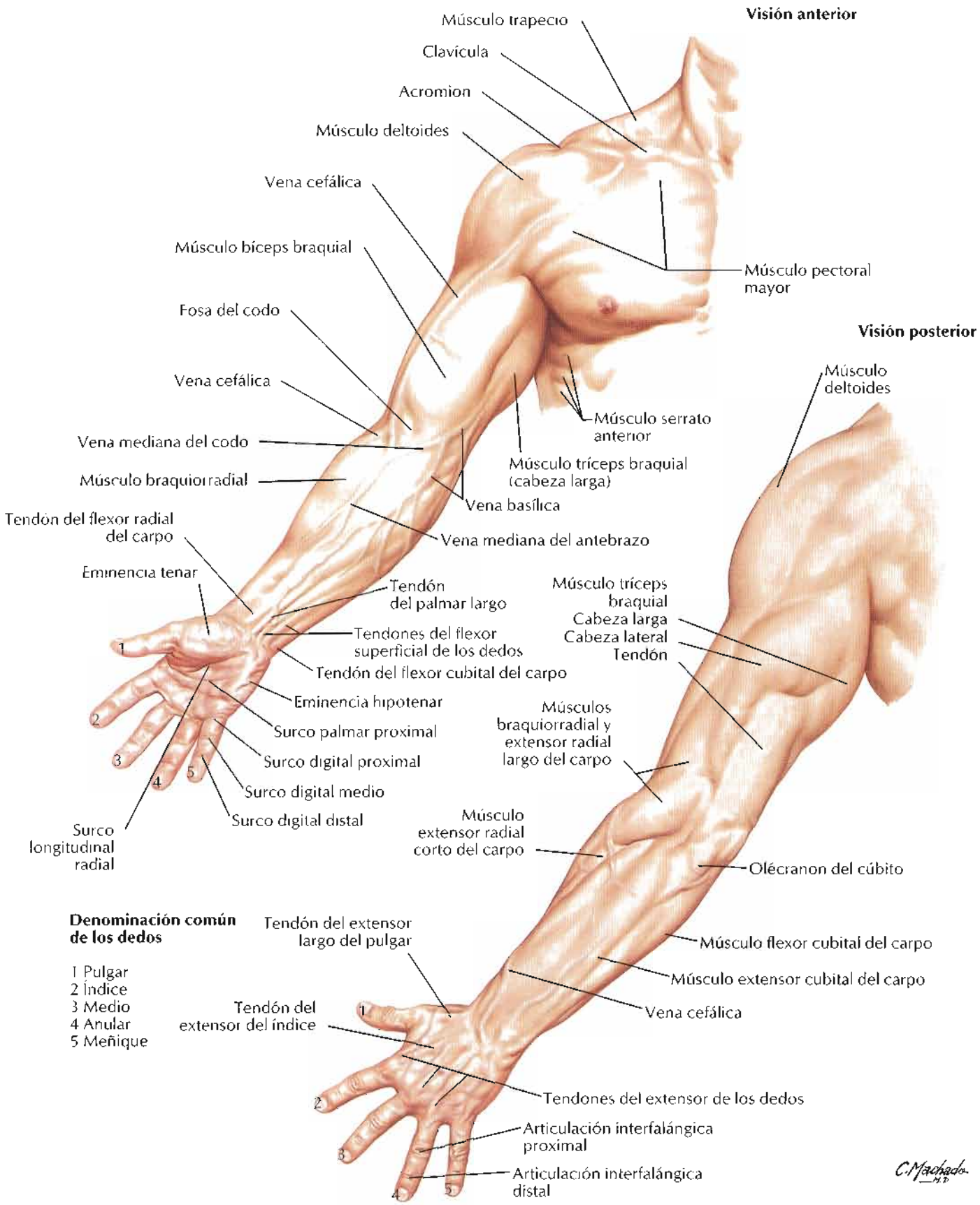
482 Dermatomas del miembro superior

483 Vasos y nódulos linfáticos del miembro superior

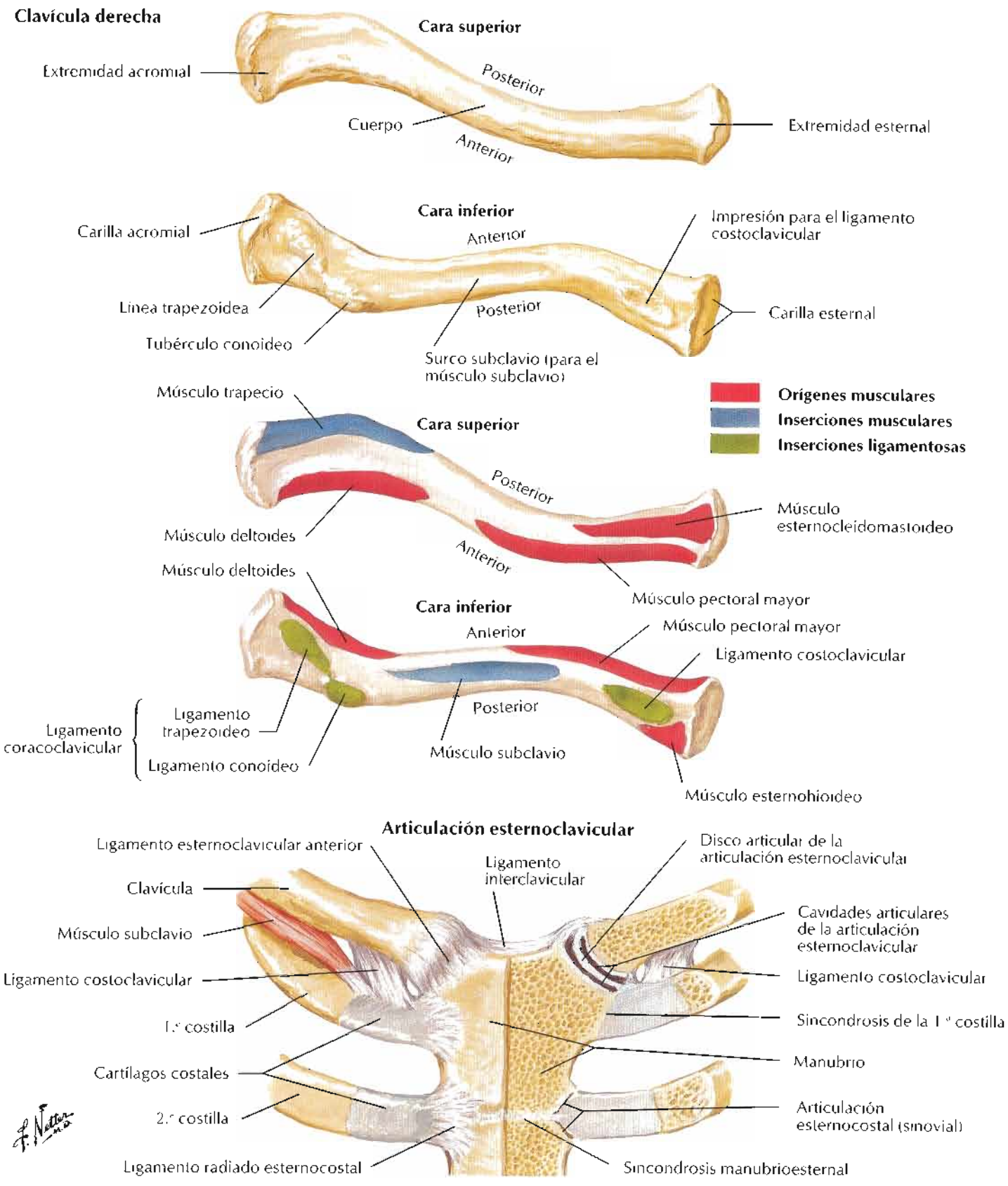
Exploraciones regionales

Lámina 484

484 TC de arteriografías del miembro superior

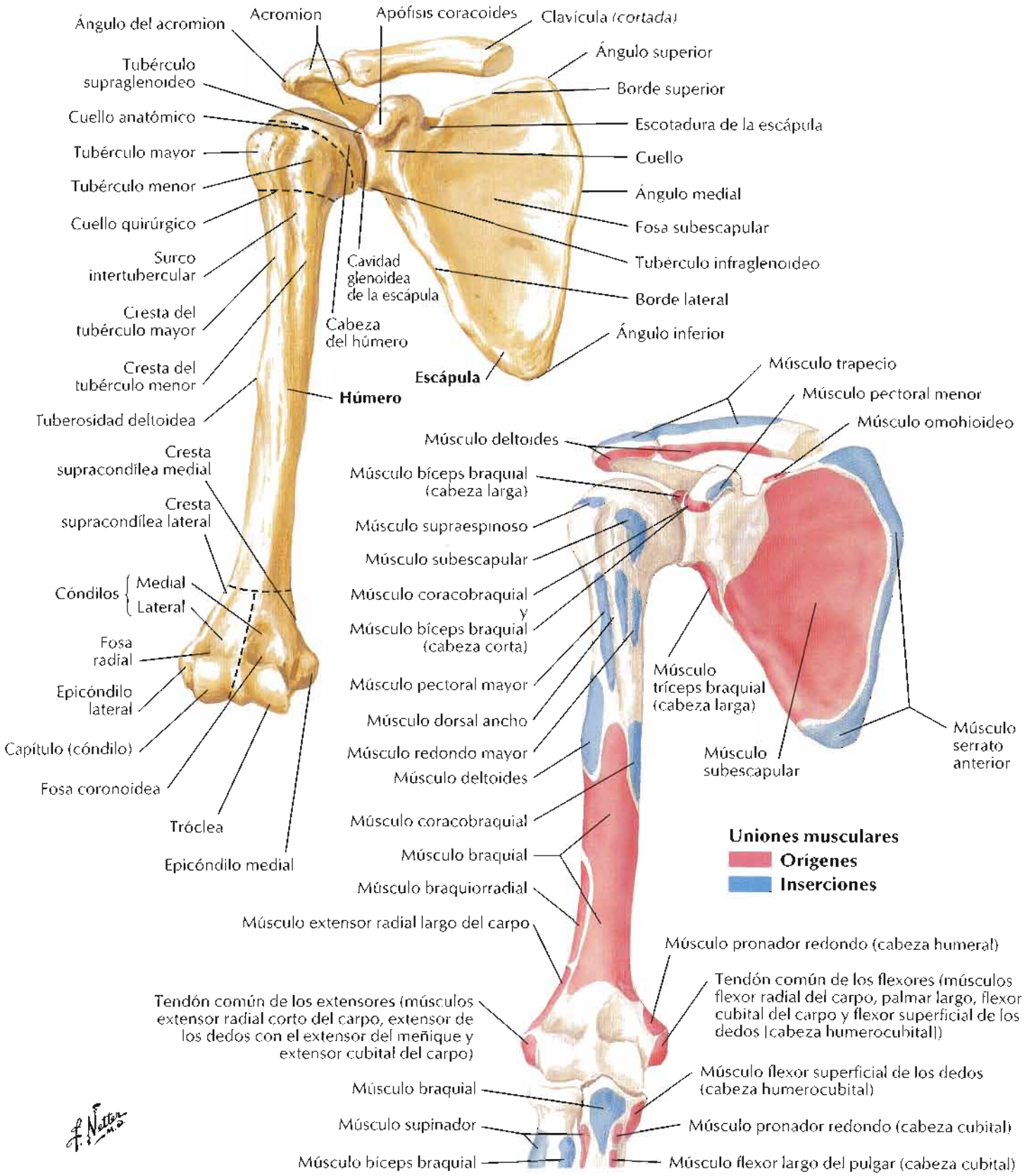

Visión anterior
Músculo trapecio
Clavícula
Acromion
Músculo deltoides
Vena cefálica
Músculo bíceps braquial
Fosa del codo
Vena cefálica
Vena mediana del codo
Músculo braquiorradial
Tendón del flexor radial del carpo
Eminencia tenar
Tendón del palmar largo
Tendones del flexor superficial de los dedos
Tendón del flexor cubital del carpo
Eminencia hipotenar
Surco palmar proximal
Surco digital proximal
Surco digital medio
Surco digital distal
Surco longitudinal radial
Músculo pectoral mayor
Músculo serrato anterior
Músculo tríceps braquial (cabeza larga)
Vena basílica
Vena mediana del antebrazo
Visión posterior
Músculo deltoides
Músculo tríceps braquial
Cabeza larga
Cabeza lateral
Tendón
Músculos braquiorradial y extensor radial largo del carpo
Músculo extensor radial corto del carpo
Olécranon del cúbito
Tendón del extensor largo del pulgar
Tendón del extensor del índice
Tendones del extensor de los dedos
Articulación interfalángica proximal
Articulación interfalángica distal
Músculo flexor cubital del carpo
Músculo extensor cubital del carpo
Vena cefálica
Denominación común de los dedos
1 Pulgar
2 Índice
3 Medio
4 Anular
5 Meñique
C. Machado M.D.

Clavícula y articulación esternoclavicular



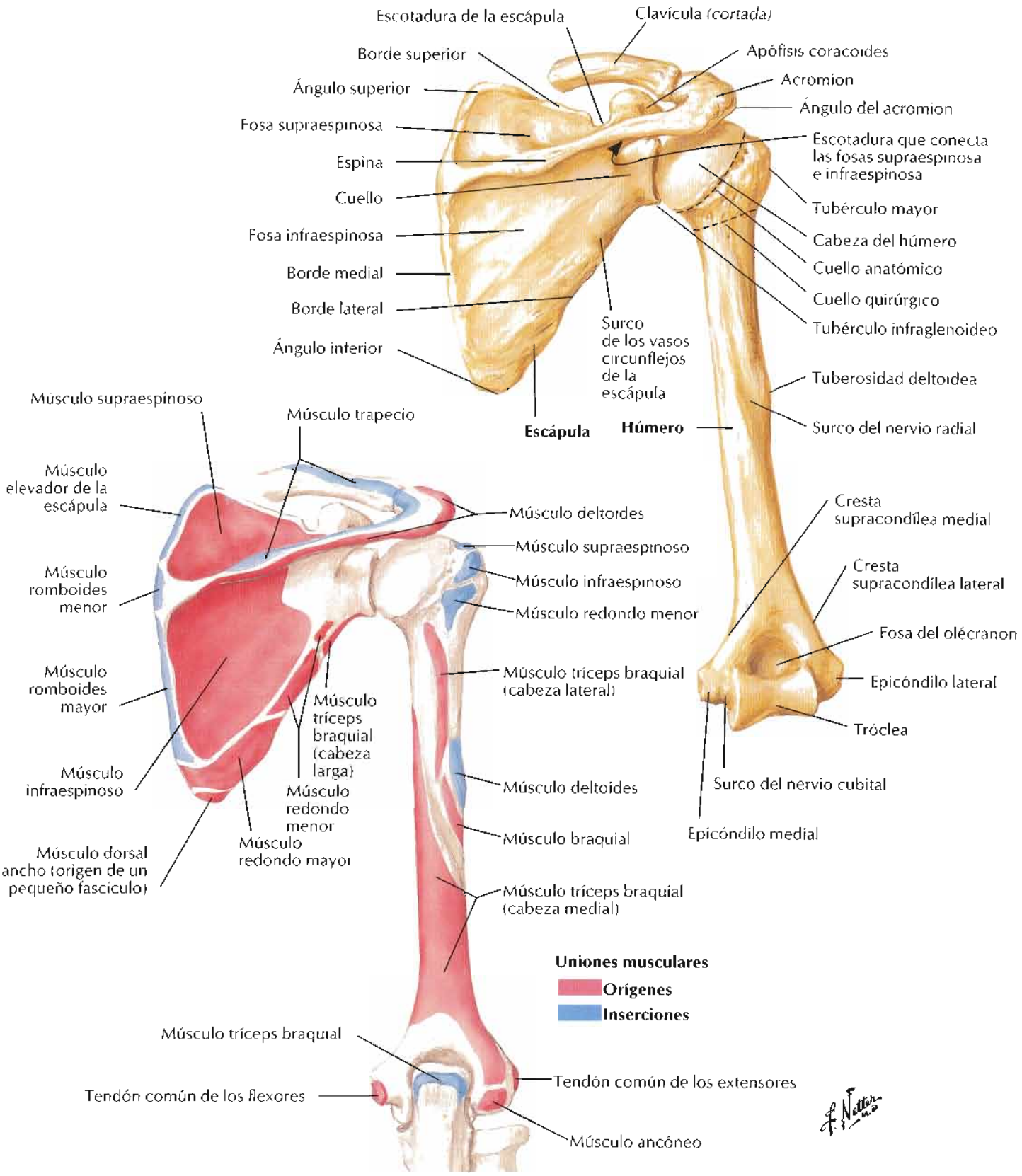
Húmero y escápula: visiones anteriores

Véase también **lámina 185**

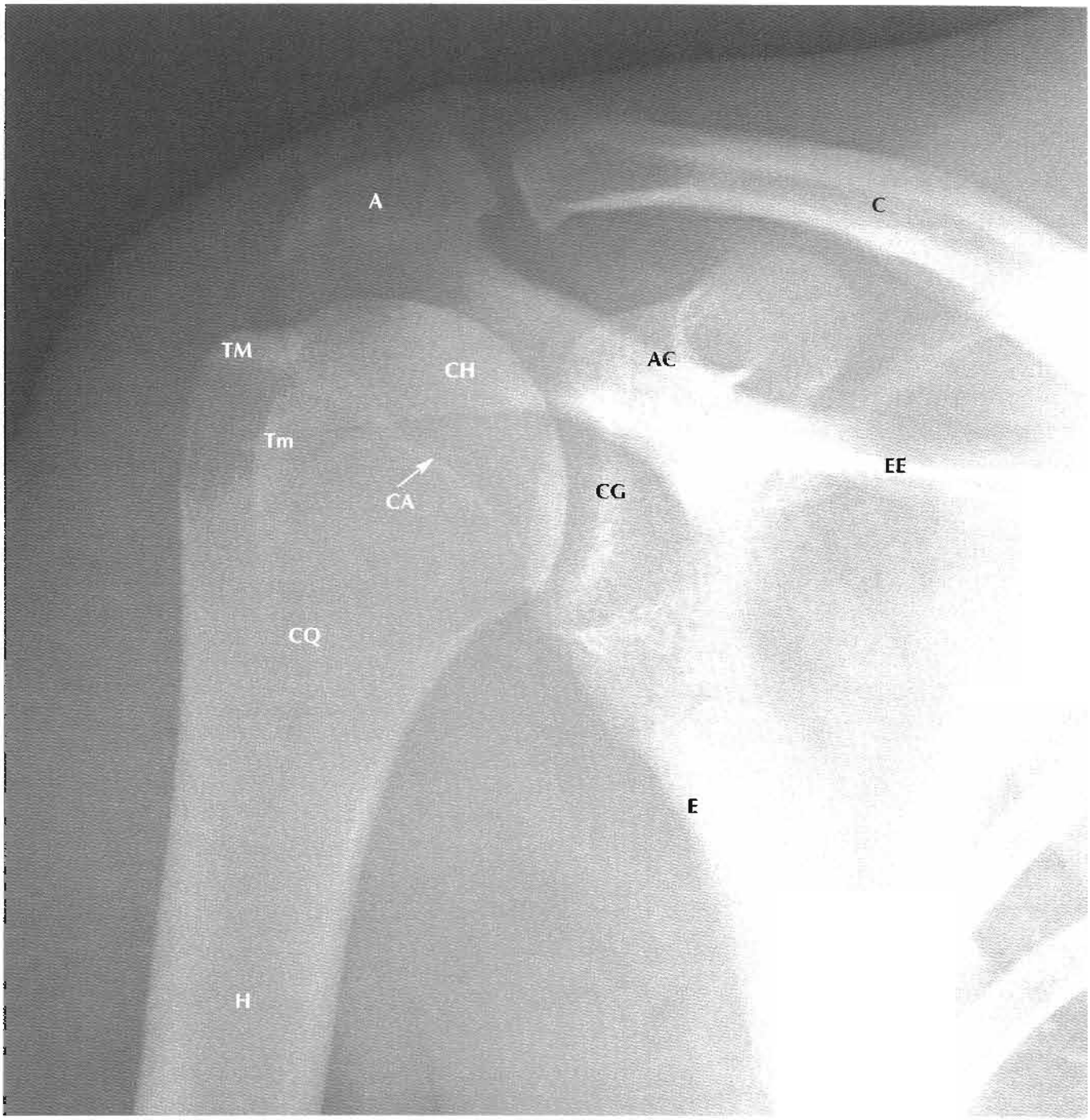


Húmero y escápula: visiones posteriores

Véase también **lámina 185**



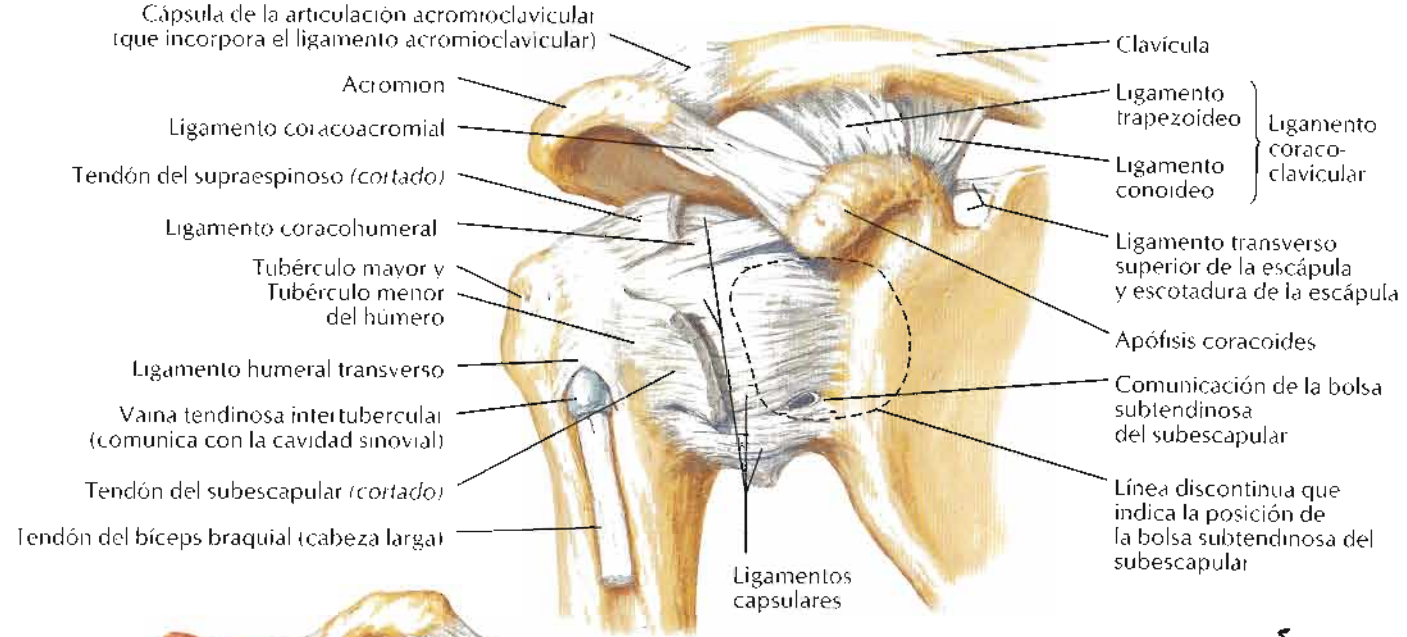
Véase también **lámina 420**

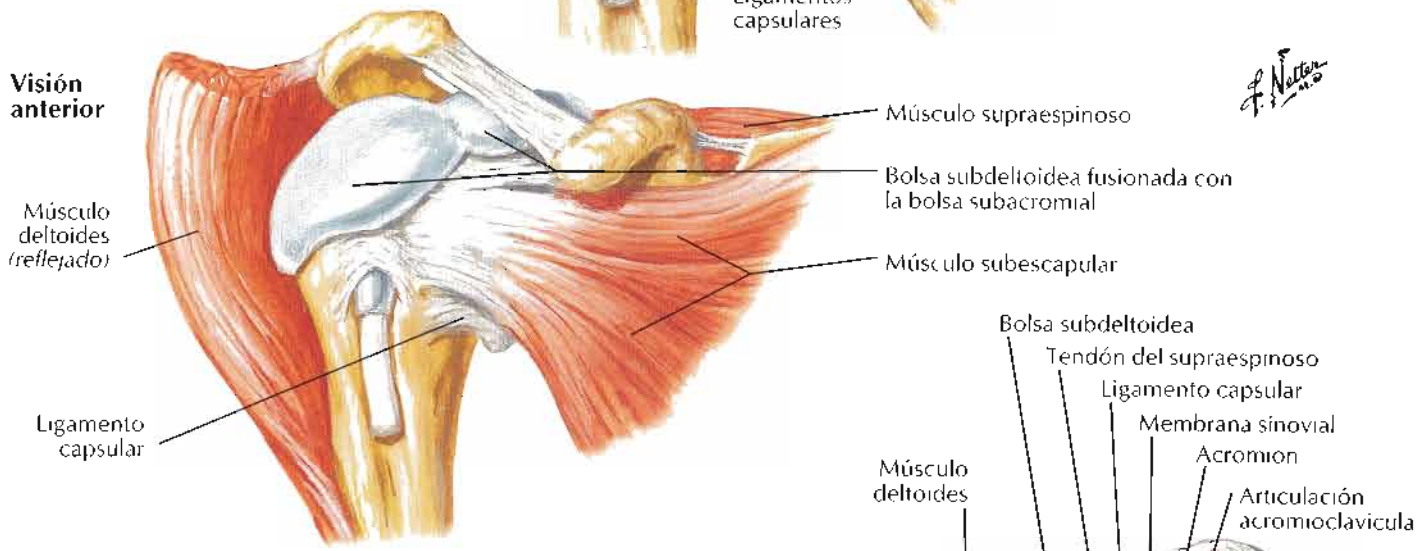


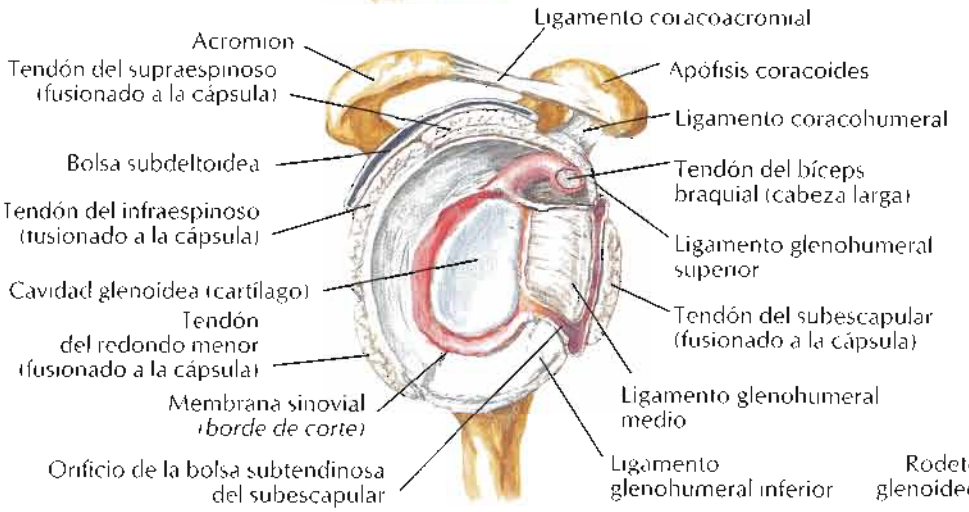
A	Acromion
AC	Apófisis coracoides
C	Clavícula
CA	Cuello anatómico del húmero
CG	Cavidad glenoidea de la escápula
CH	Cabeza del húmero
CQ	Cuello quirúrgico del húmero
E	Escápula (borde lateral)
EE	Espina de la escápula
H	Húmero
Tm	Tubérculo menor
TM	Tubérculo mayor

Articulación del hombro (glenohumeral)

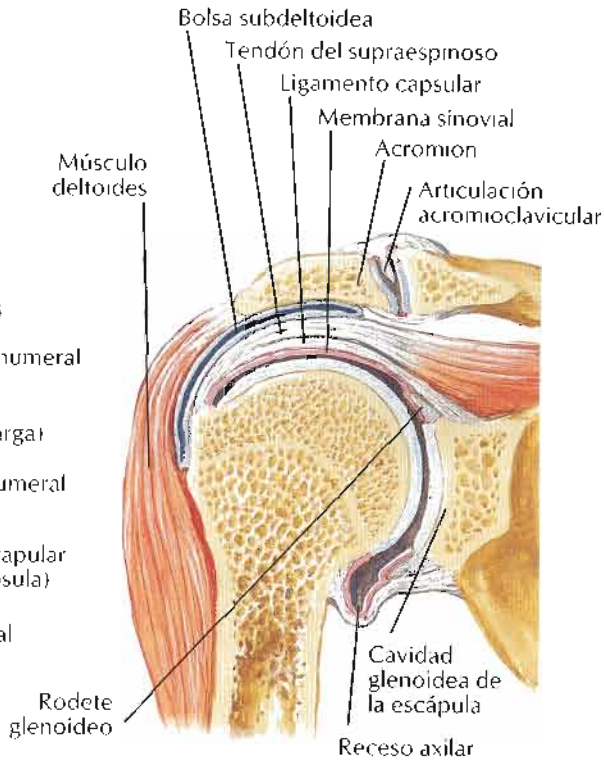
Visión anterior





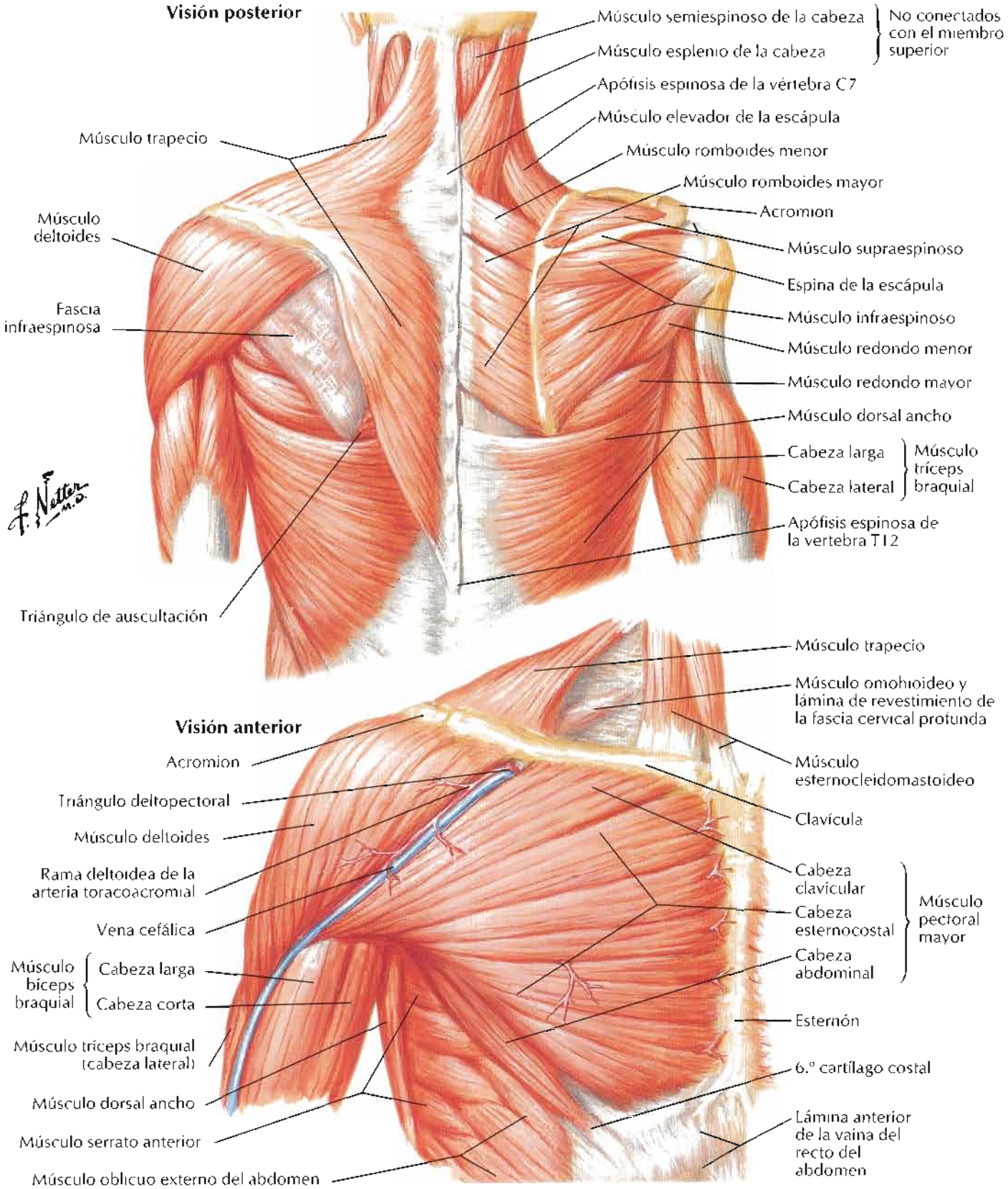


Articulación abierta: visión lateral

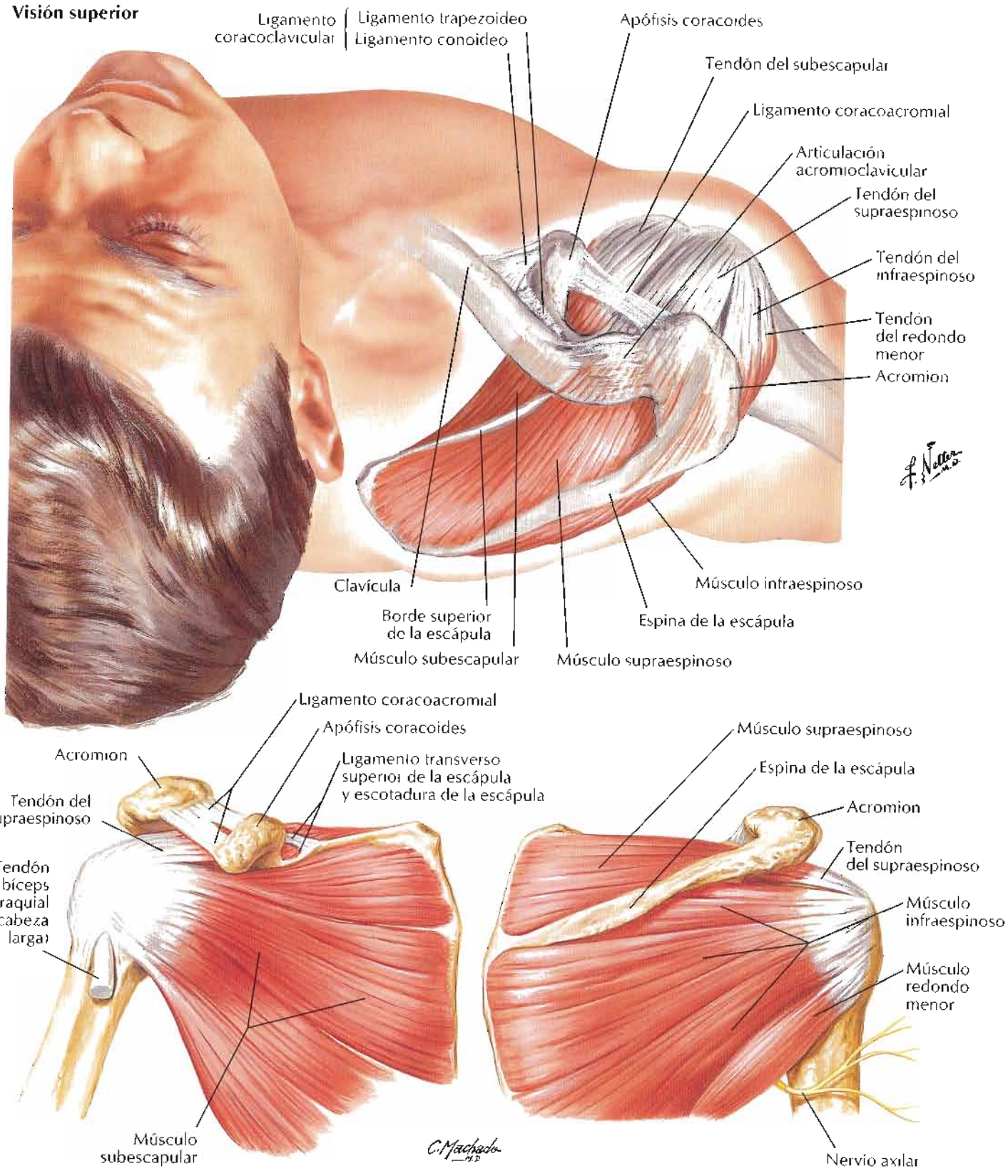


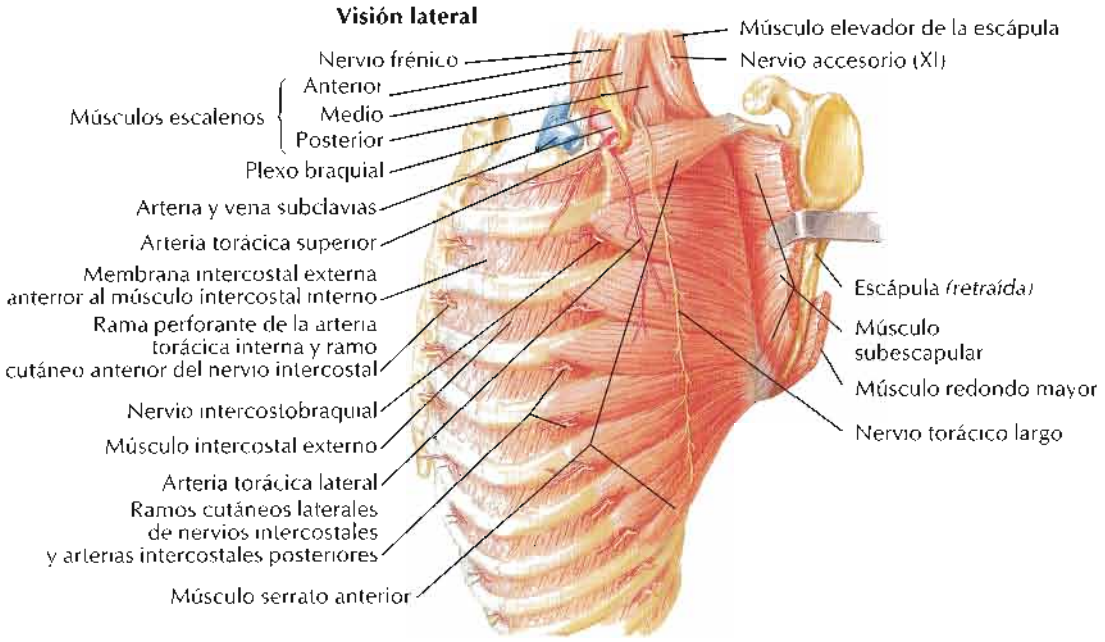
Sección coronal a través de la articulación

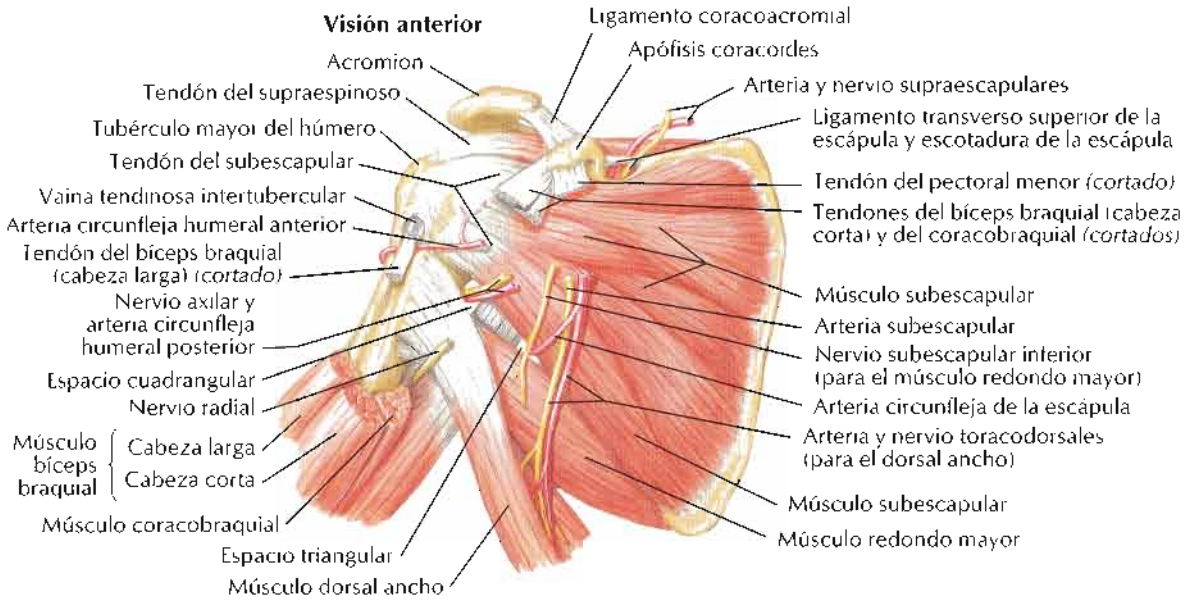
Véanse también **láminas 27, 174, 188, 189**

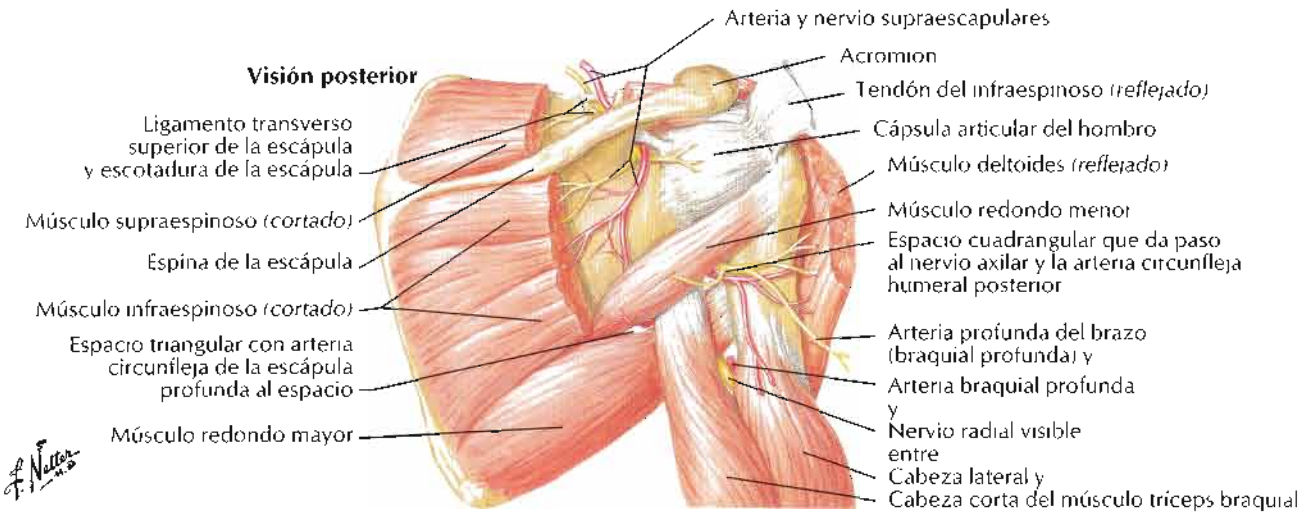


Músculos del manguito rotador



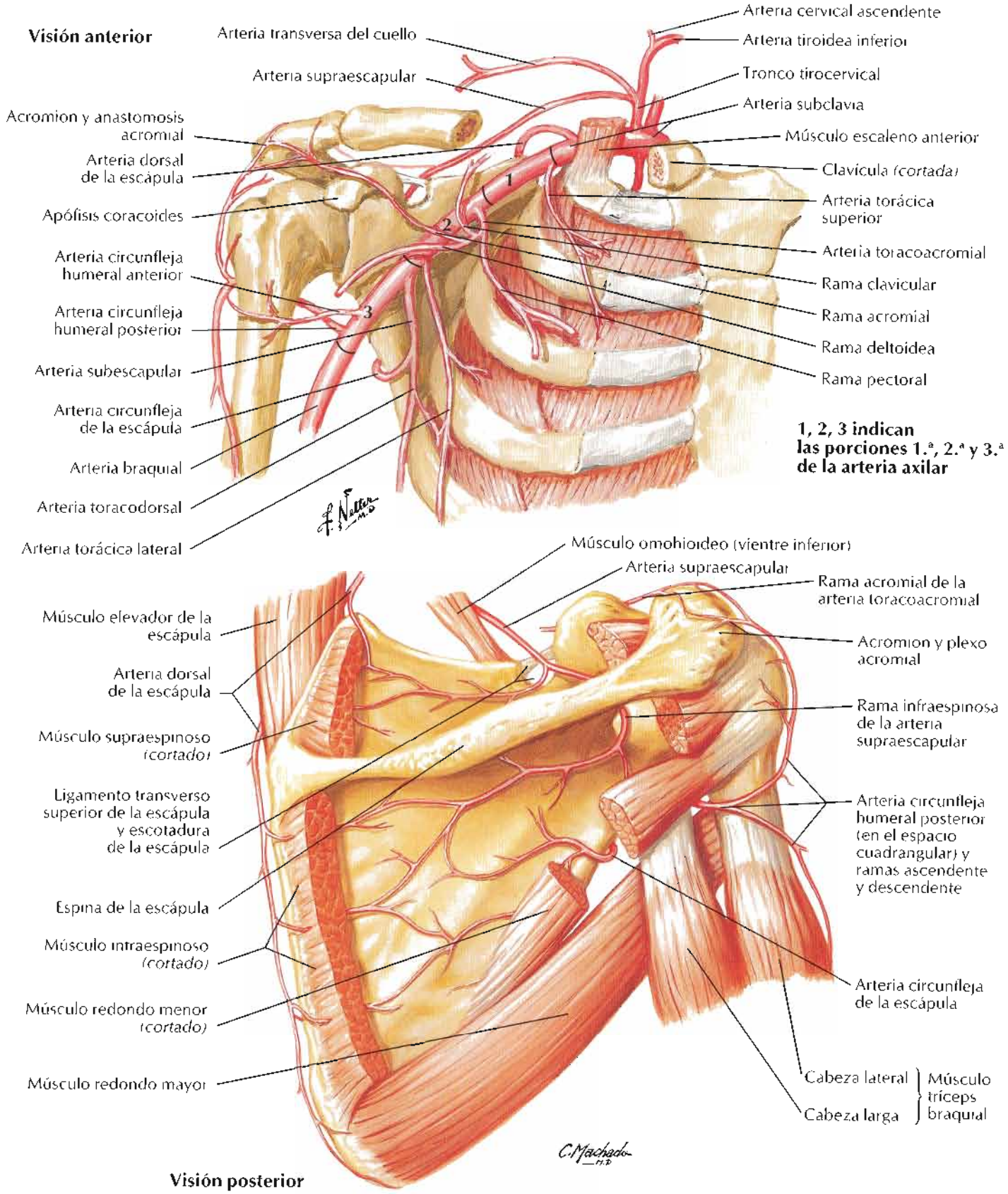

Visión lateral
Nervio frénico
Músculos escalenos
Anterior
Medio
Posterior
Plexo braquial
Arteria y vena subclavias
Arteria torácica superior
Membrana intercostal externa anterior al músculo intercostal interno
Rama perforante de la arteria torácica interna y ramo cutáneo anterior del nervio intercostal
Nervio intercostobraquial
Músculo intercostal externo
Arteria torácica lateral
Ramos cutáneos laterales de nervios intercostales y arterias intercostales posteriores
Músculo serrato anterior
Músculo elevador de la escápula
Nervio accesorio (XI)
Escápula (retraída)
Músculo subescapular
Músculo redondo mayor
Nervio torácico largo


Visión anterior
Acromion
Tendón del supraespinoso
Tubérculo mayor del húmero
Tendón del subescapular
Vaina tendinosa intertubercular
Arteria circunfleja humeral anterior
Tendón del bíceps braquial (cabeza larga) (cortado)
Nervio axilar y arteria circunfleja humeral posterior
Espacio cuadrangular
Nervio radial
Músculo bíceps braquial
Cabeza larga
Cabeza corta
Músculo coracobraquial
Espacio triangular
Músculo dorsal ancho
Ligamento coracoacromial
Apófisis coracoides
Arteria y nervio supraescapulares
Ligamento transverso superior de la escápula y escotadura de la escápula
Tendón del pectoral menor (cortado)
Tendones del bíceps braquial (cabeza corta) y del coracobraquial (cortados)
Músculo subescapular
Arteria subescapular
Nervio subescapular inferior (para el músculo redondo mayor)
Arteria circunfleja de la escápula
Arteria y nervio toracodorsales (para el dorsal ancho)
Músculo subescapular
Músculo redondo mayor


Visión posterior
Ligamento transverso superior de la escápula y escotadura de la escápula
Músculo supraespinoso (cortado)
Espina de la escápula
Músculo infraespinoso (cortado)
Espacio triangular con arteria circunfleja de la escápula profunda al espacio
Músculo redondo mayor
Arteria y nervio supraescapulares
Acromion
Tendón del infraespinoso (reflejado)
Cápsula articular del hombro
Músculo deltoides (reflejado)
Músculo redondo menor
Espacio cuadrangular que da paso al nervio axilar y la arteria circunfleja humeral posterior
Arteria profunda del brazo (braquial profunda) y
Arteria braquial profunda y
Nervio radial visible entre
Cabeza lateral y
Cabeza corta del músculo triceps braquial

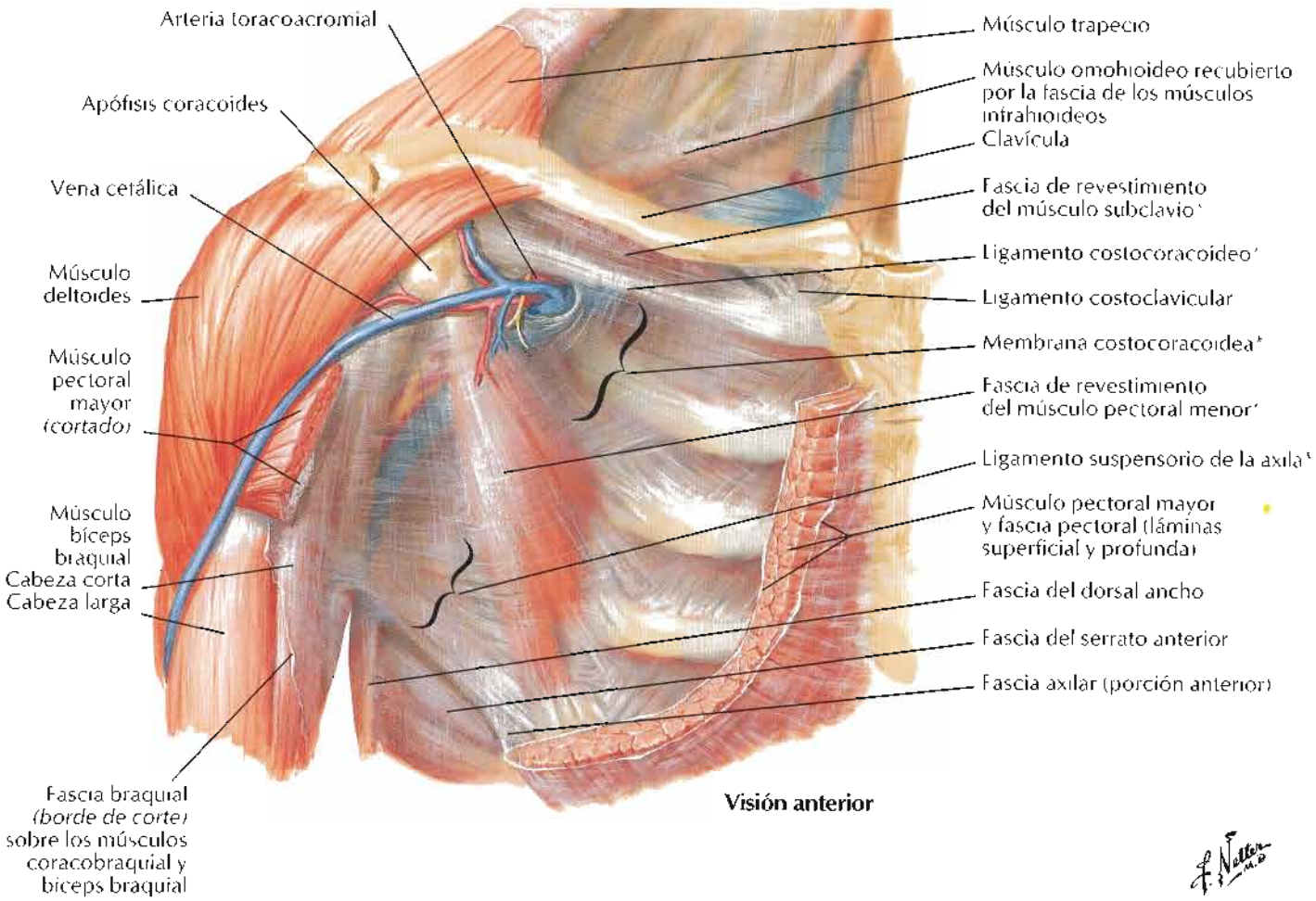
Arteria axilar y anastomosis alrededor de la escápula

Véanse también **láminas 33, 434**



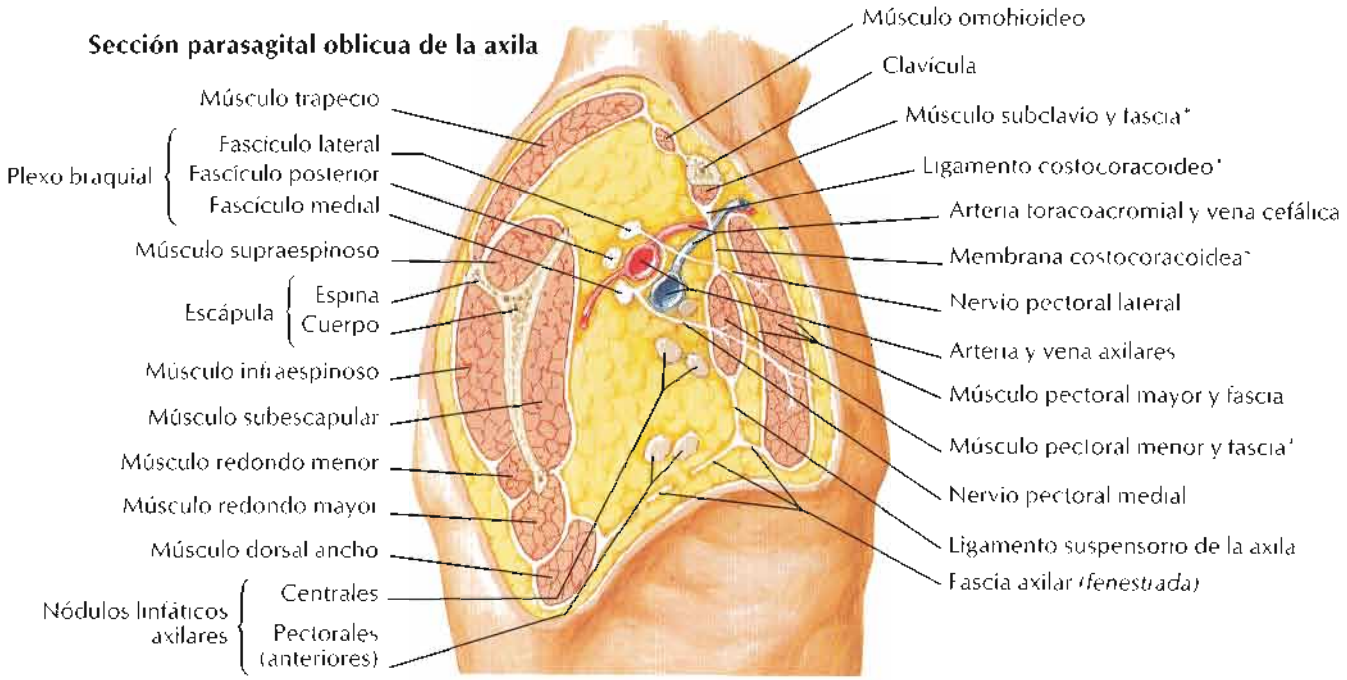
Fascias pectoral, clavipectoral y axilar

Véase también **lámina 188**



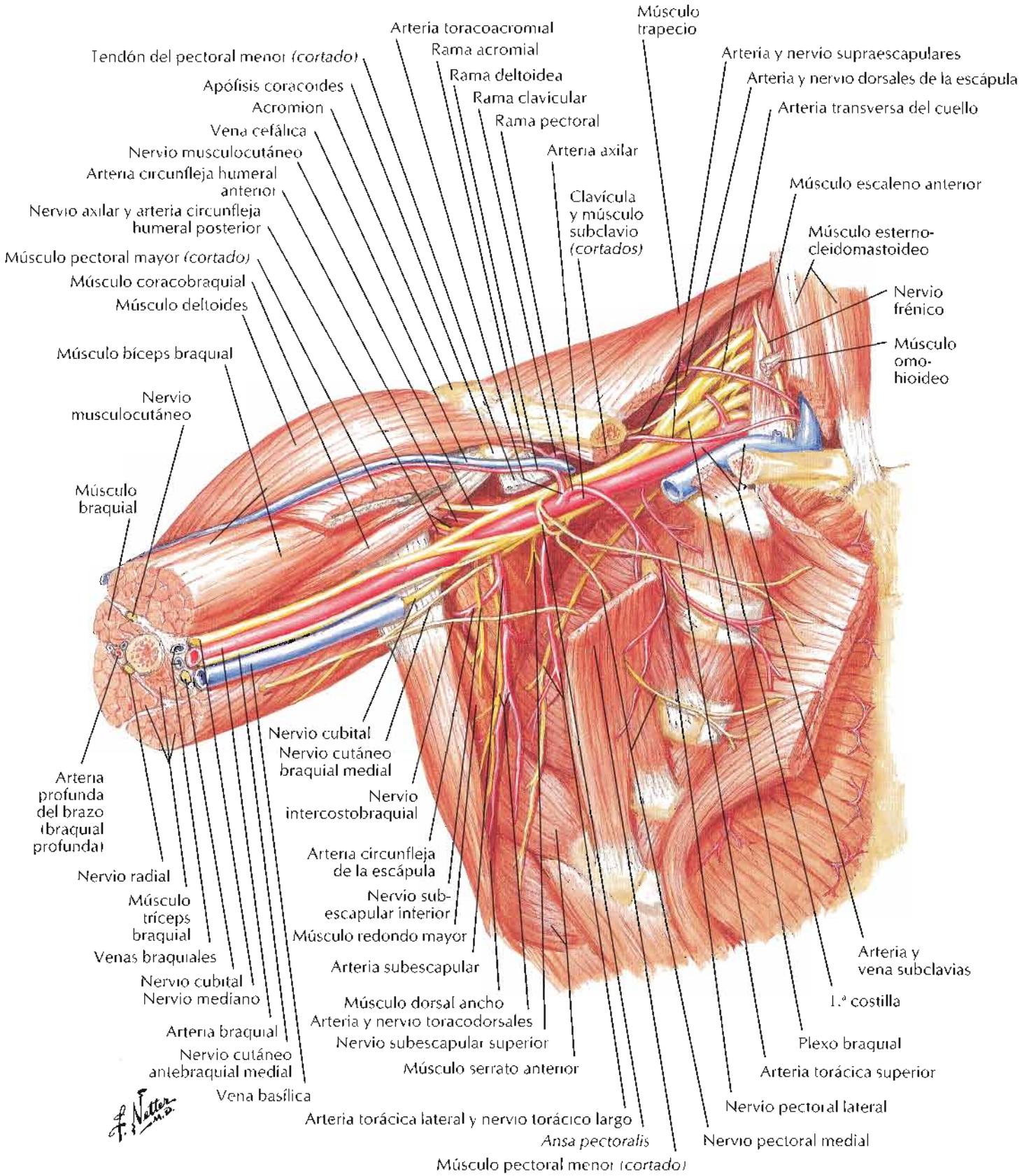
Visión anterior

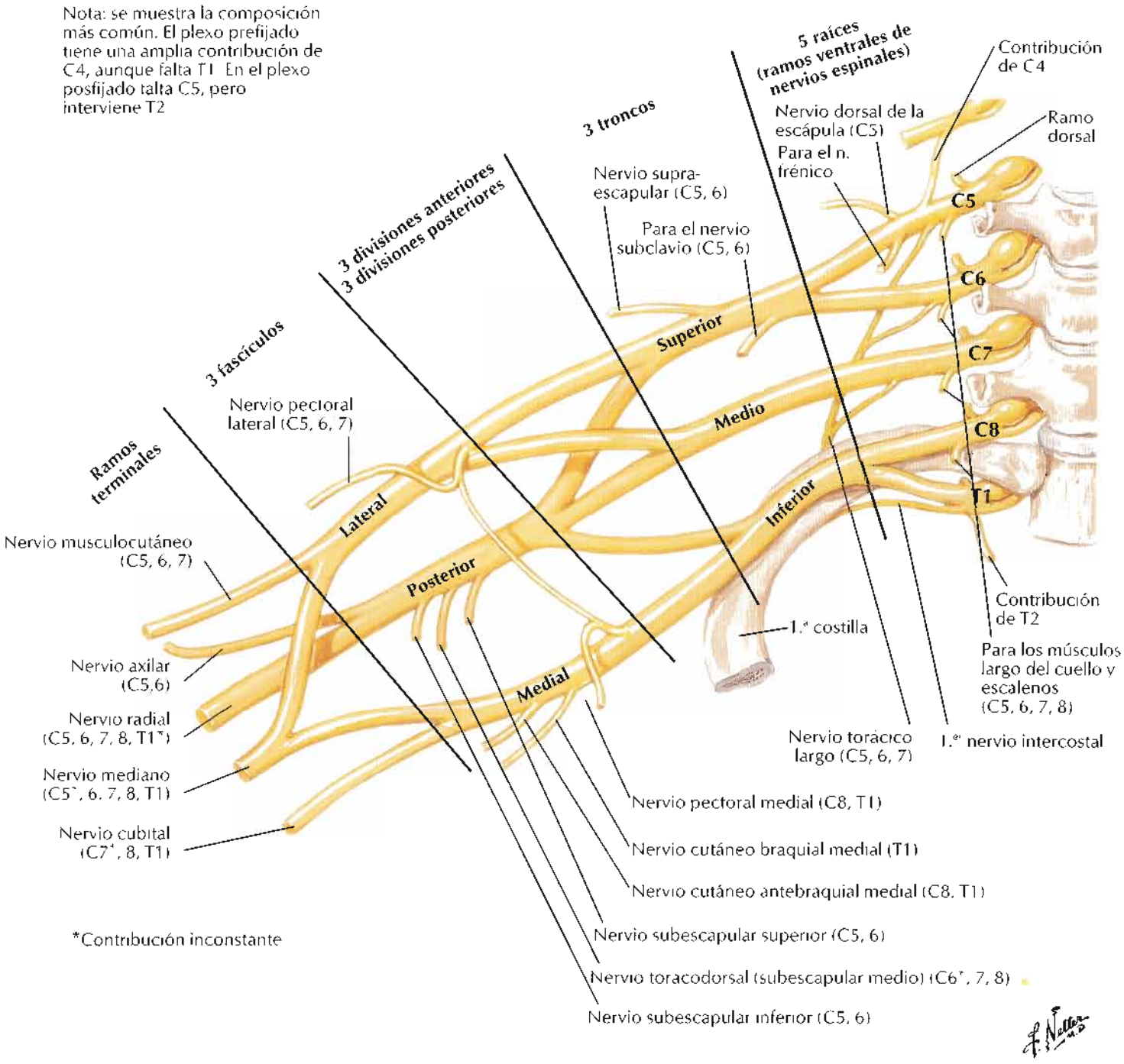
Sección parasagital oblicua de la axila



*Componentes de la fascia clavipectoral

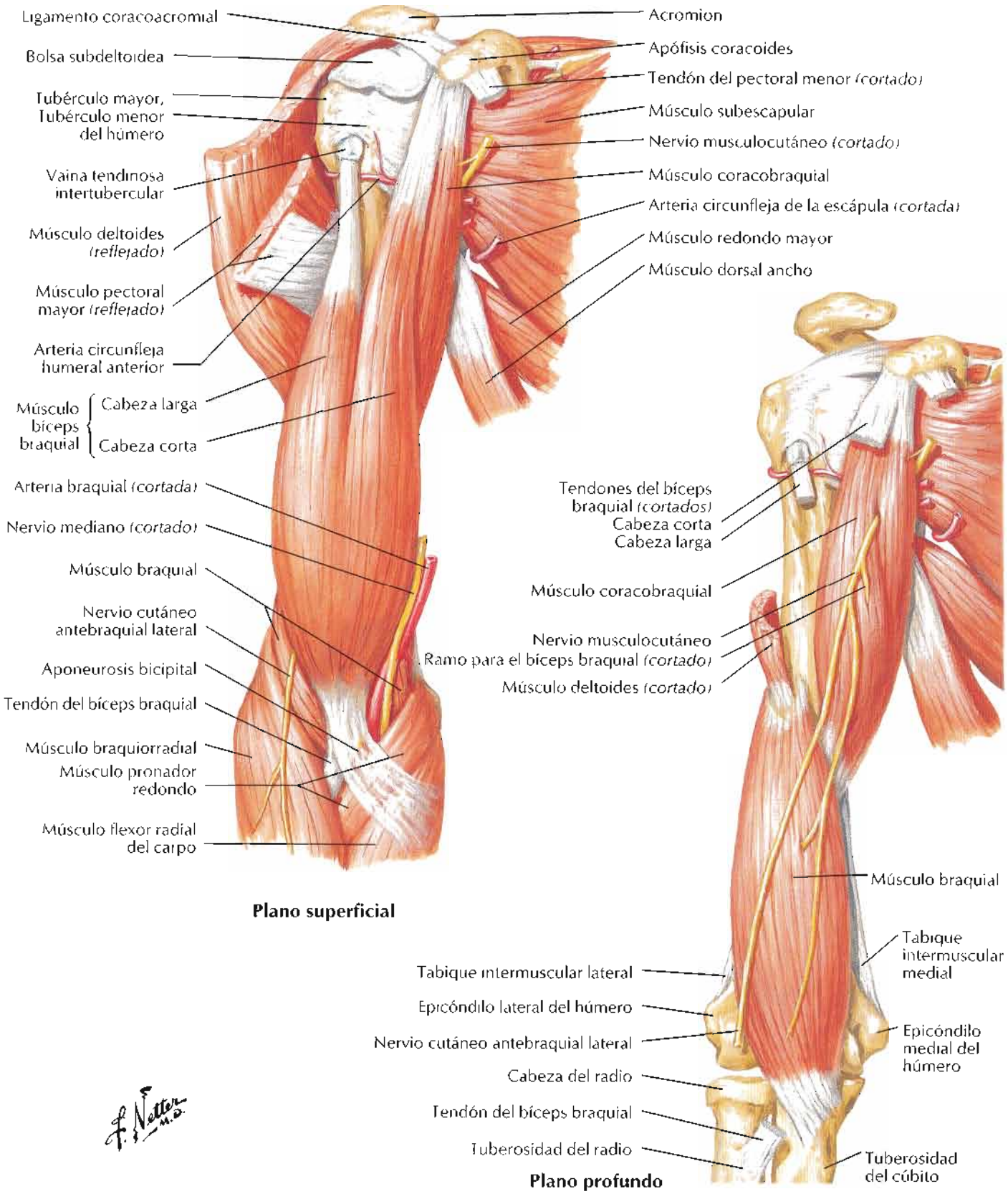
Axila (disección): visión anterior




Nota: se muestra la composición más común. El plexo prefijado tiene una amplia contribución de C4, aunque falta T1. En el plexo posfijado falta C5, pero interviene T2
5 raíces (ramos ventrales de nervios espinales)
3 troncos
3 divisiones anteriores
3 divisiones posteriores
3 fascículos
Ramos terminales
Contribución de C4
Nervio dorsal de la escápula (C5)
Ramo dorsal
Para el n. frénico
Nervio supra-escapular (C5, 6)
Para el nervio subclavio (C5, 6)
C5
C6
C7
C8
T1
Superior
Medio
Inferior
Nervio pectoral lateral (C5, 6, 7)
Lateral
Posterior
Medial
Nervio musculocutáneo (C5, 6, 7)
Nervio axilar (C5,6)
Nervio radial (C5, 6, 7, 8, T1*)
Nervio mediano (C5*, 6, 7, 8, T1)
Nervio cubital (C7*, 8, T1)
1.ª costilla
Contribución de T2
Para los músculos largo del cuello y escalenos (C5, 6, 7, 8)
Nervio torácico largo (C5, 6, 7)
1.º nervio intercostal
Nervio pectoral medial (C8, T1)
Nervio cutáneo braquial medial (T1)
Nervio cutáneo antebraquial medial (C8, T1)
Nervio subescapular superior (C5, 6)
Nervio toracodorsal (subescapular medio) (C6*, 7, 8)
Nervio subescapular inferior (C5, 6)
*Contribución inconstante

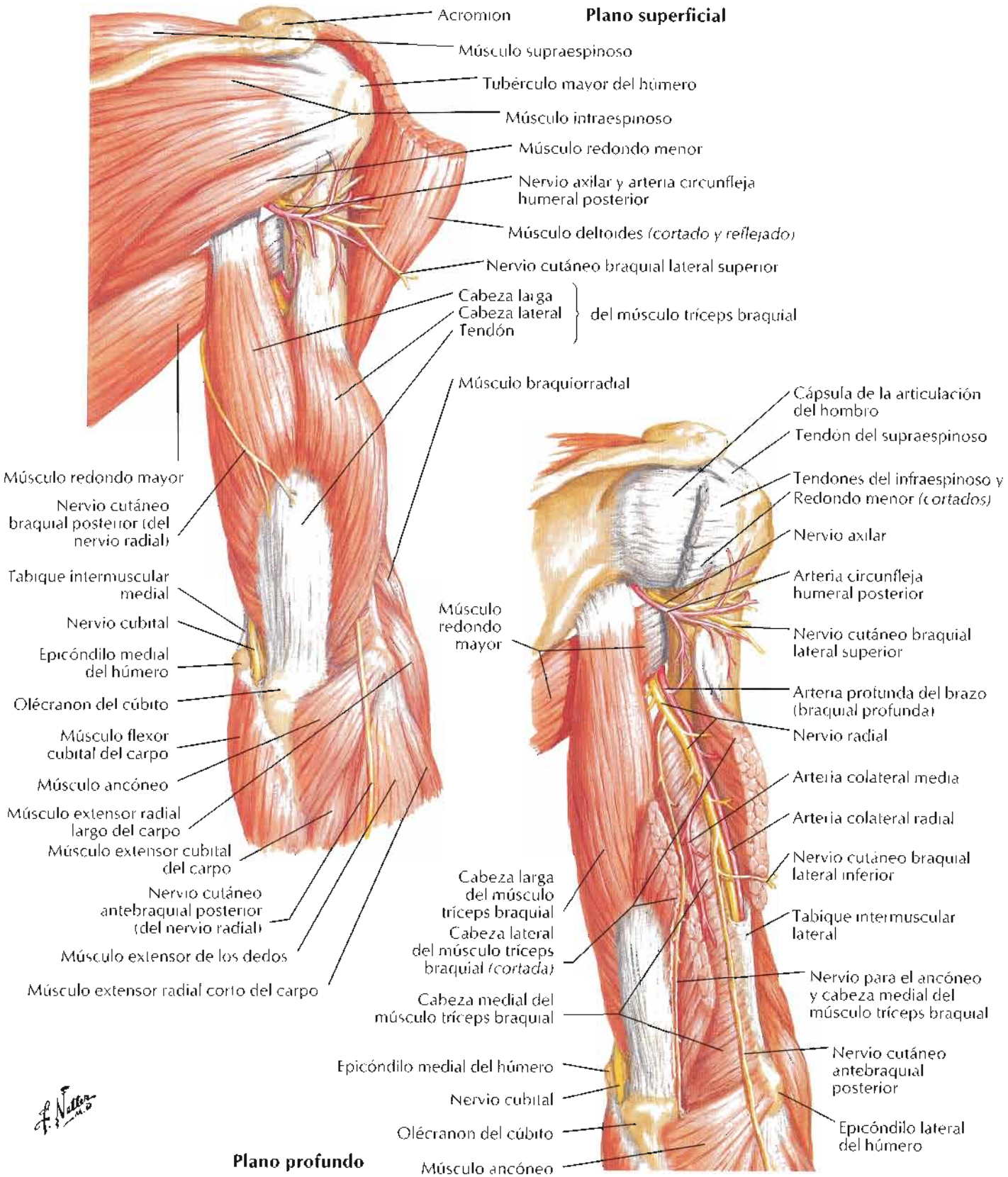
6 Músculos del brazo: visiones anteriores

Véase también **lámina 474**

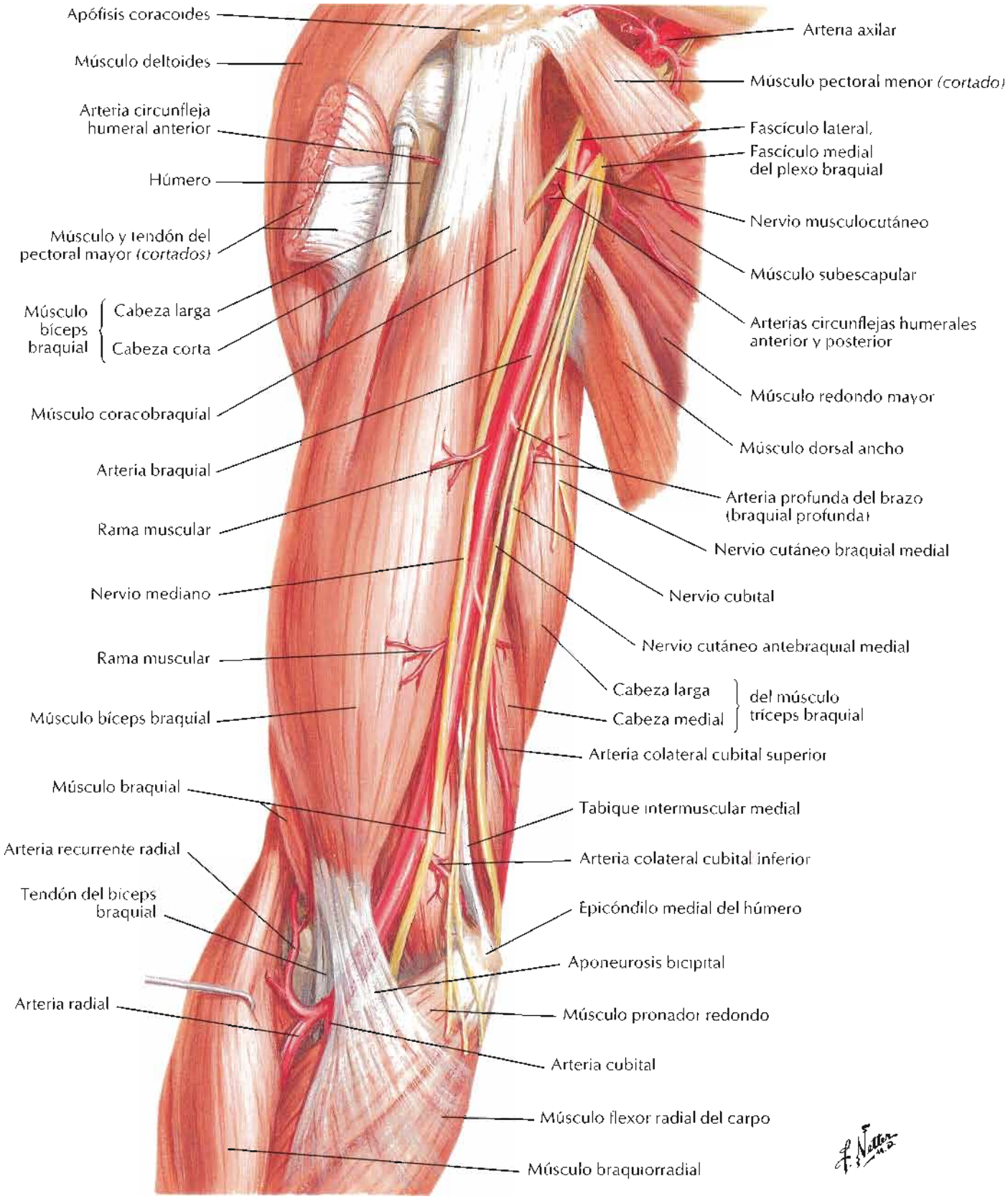


Músculos del brazo: visiones posteriores

Véase también **lámina 477**

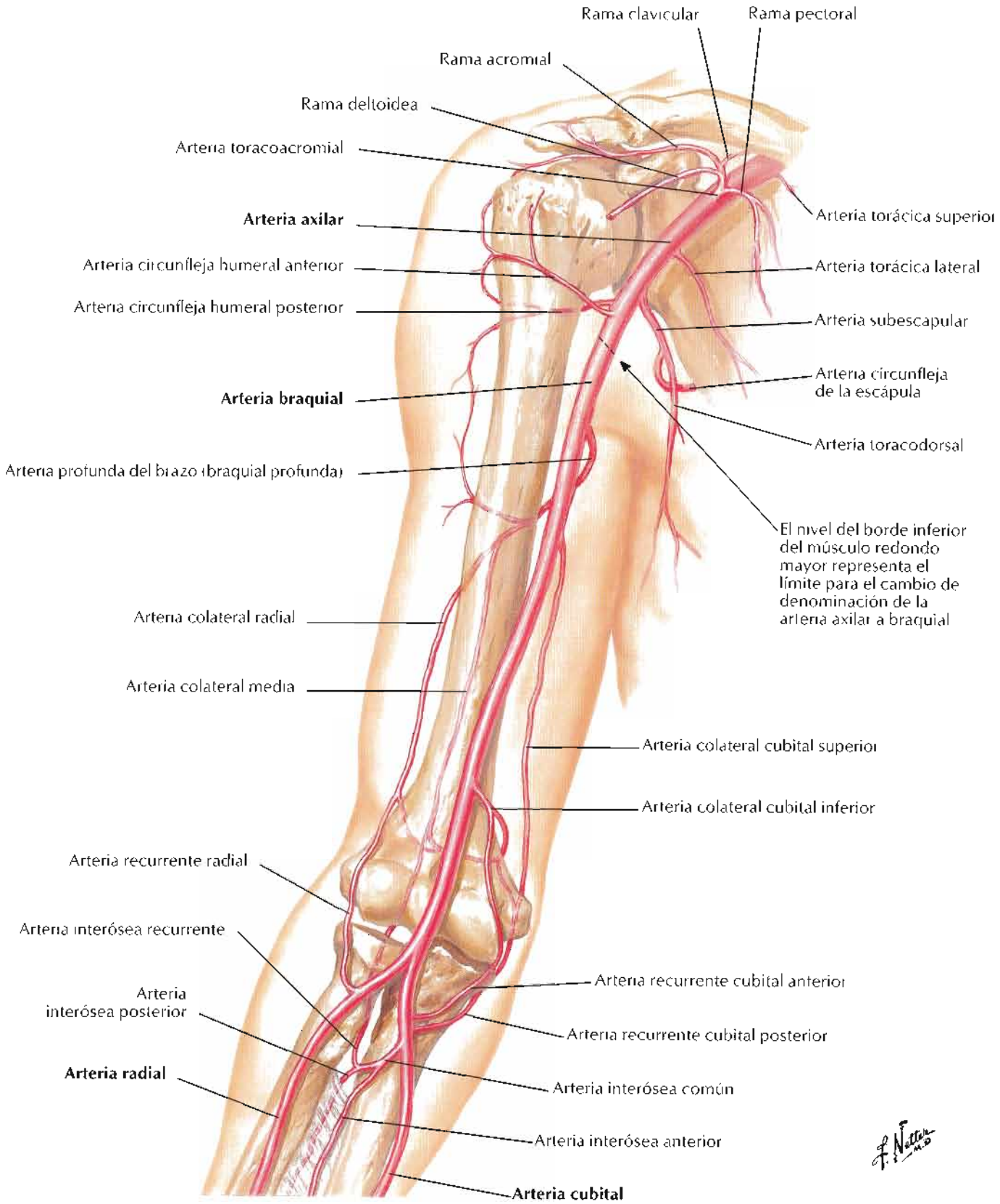


Arteria braquial in situ

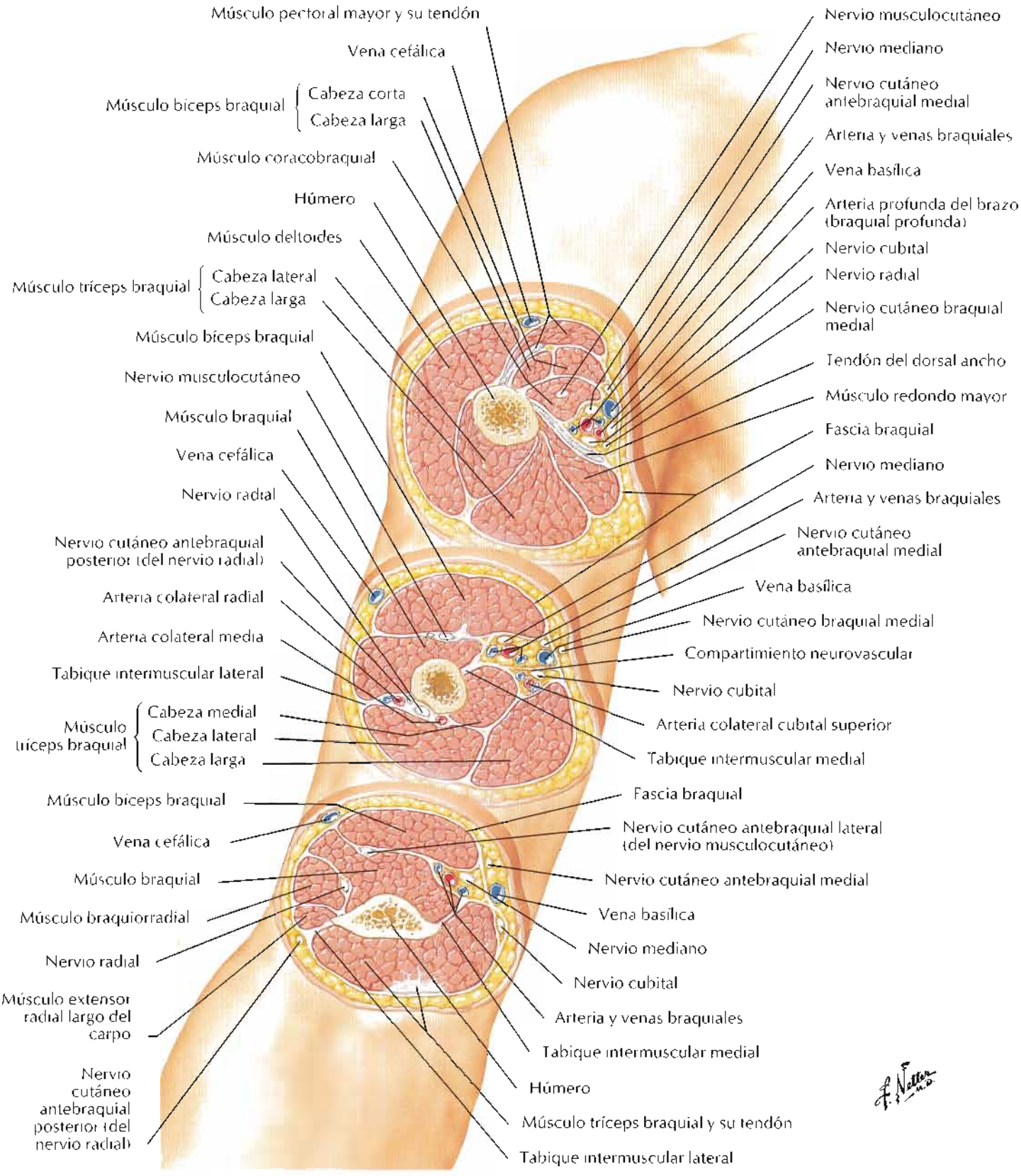


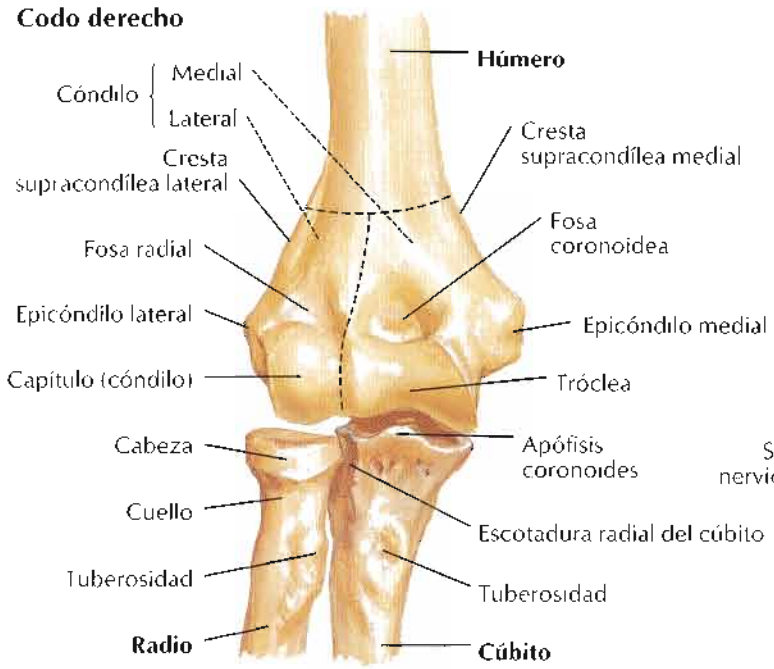
Arteria braquial y anastomosis alrededor del codo

Véase también **lámina 427**

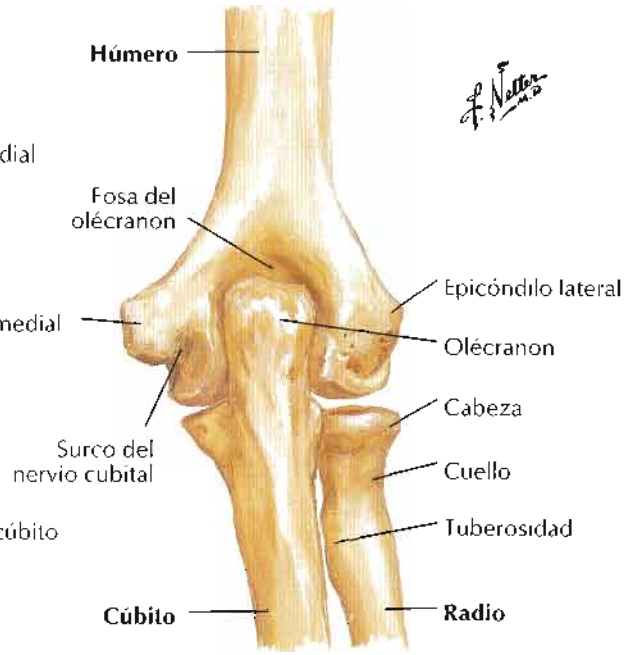


Brazo: secciones transversales seriadas





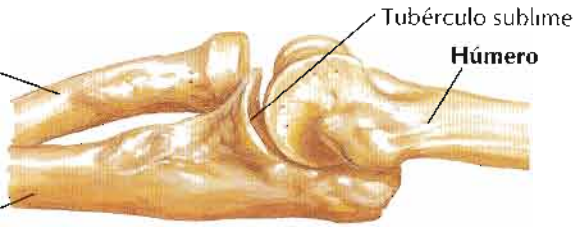
En extensión: visión anterior



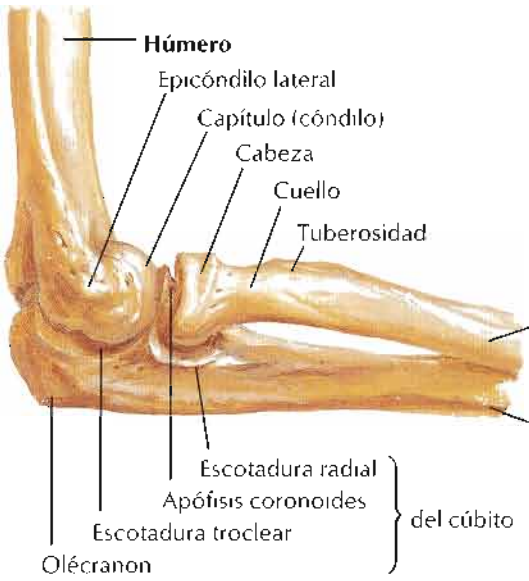
En extensión: visión posterior



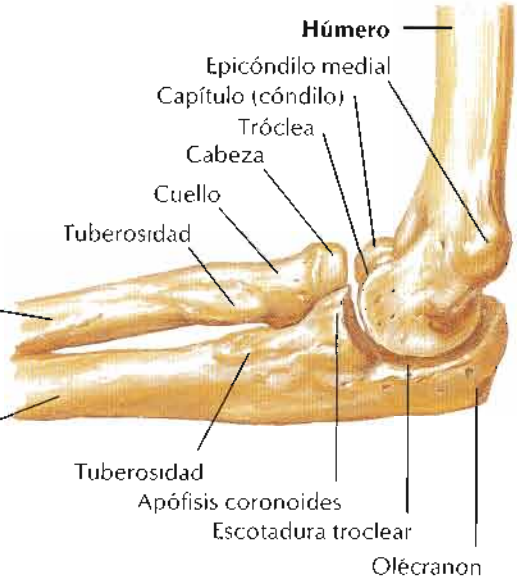
En extensión: visión lateral



En extensión: visión medial

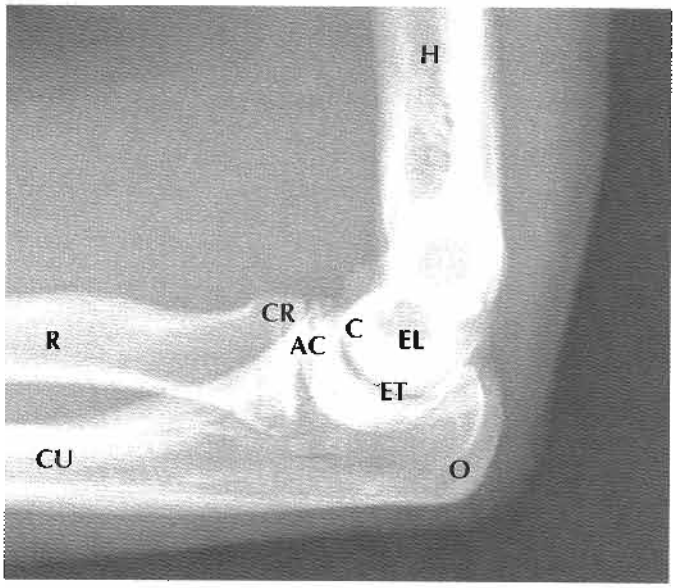


En flexión de 90°: visión lateral



En flexión de 90°: visión medial

Véase también **lámina 436**

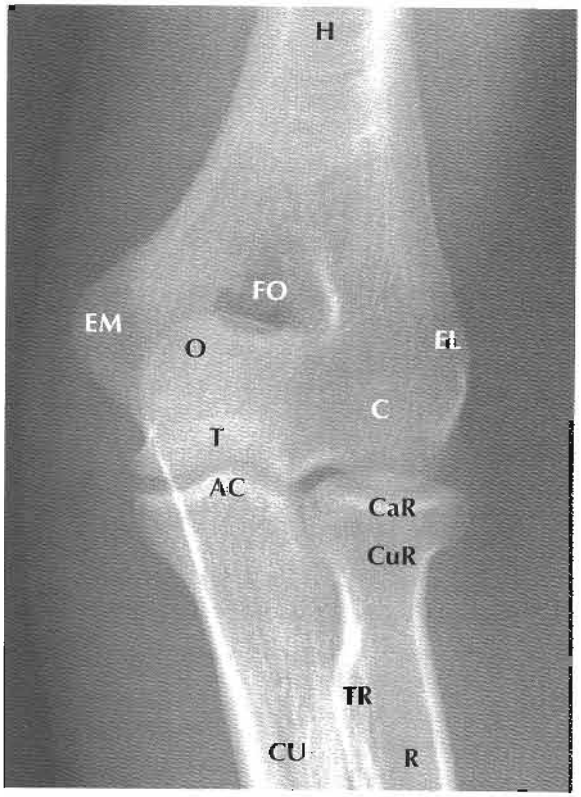


Radiografía lateral

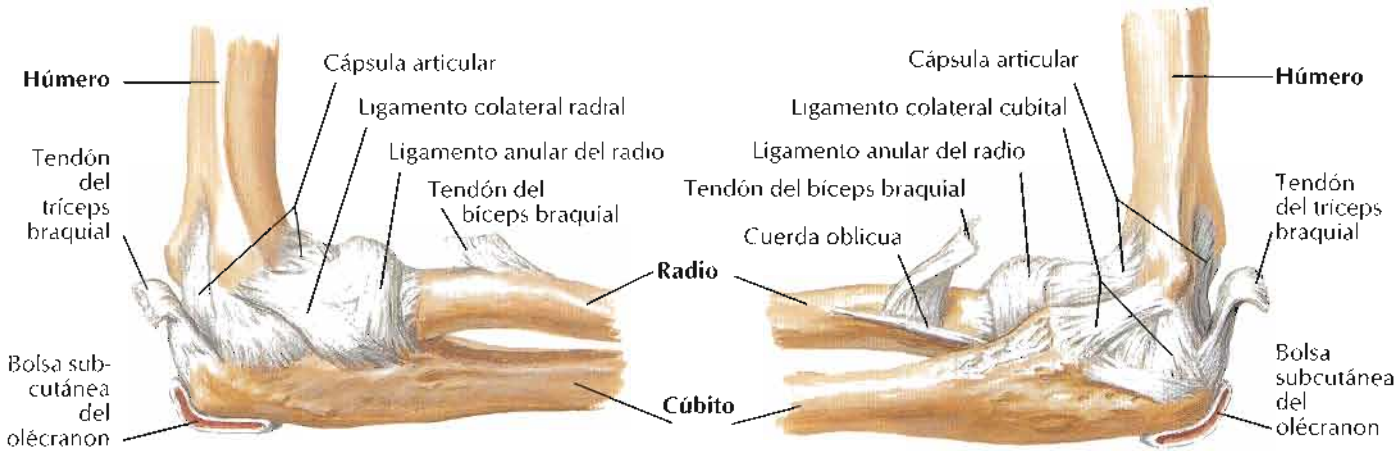
AC	Apófisis coronoides del cúbito
C	Capítulo (cóndilo)
CR	Cabeza del radio
CU	Cúbito
EL	Epicóndilo lateral
ET	Escotadura troclear
H	Húmero
O	Olécranon
R	Radio

Radiografía anteroposterior

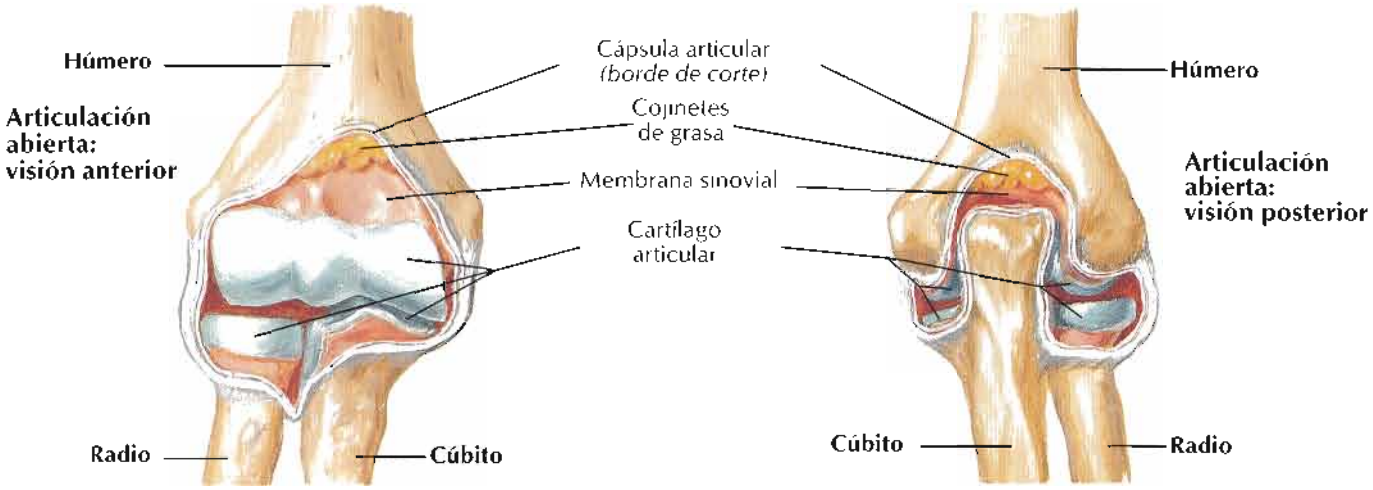
AC	Apófisis coronoides del cúbito
C	Capítulo (cóndilo)
CaR	Cabeza del radio
CU	Cúbito
CuR	Cuello del radio
EL	Epicóndilo lateral
EM	Epicóndilo medial
FO	Fosa del olécranon
H	Húmero
O	Olécranon
R	Radio
T	Tróclea del húmero
TR	Tuberosidad del radio



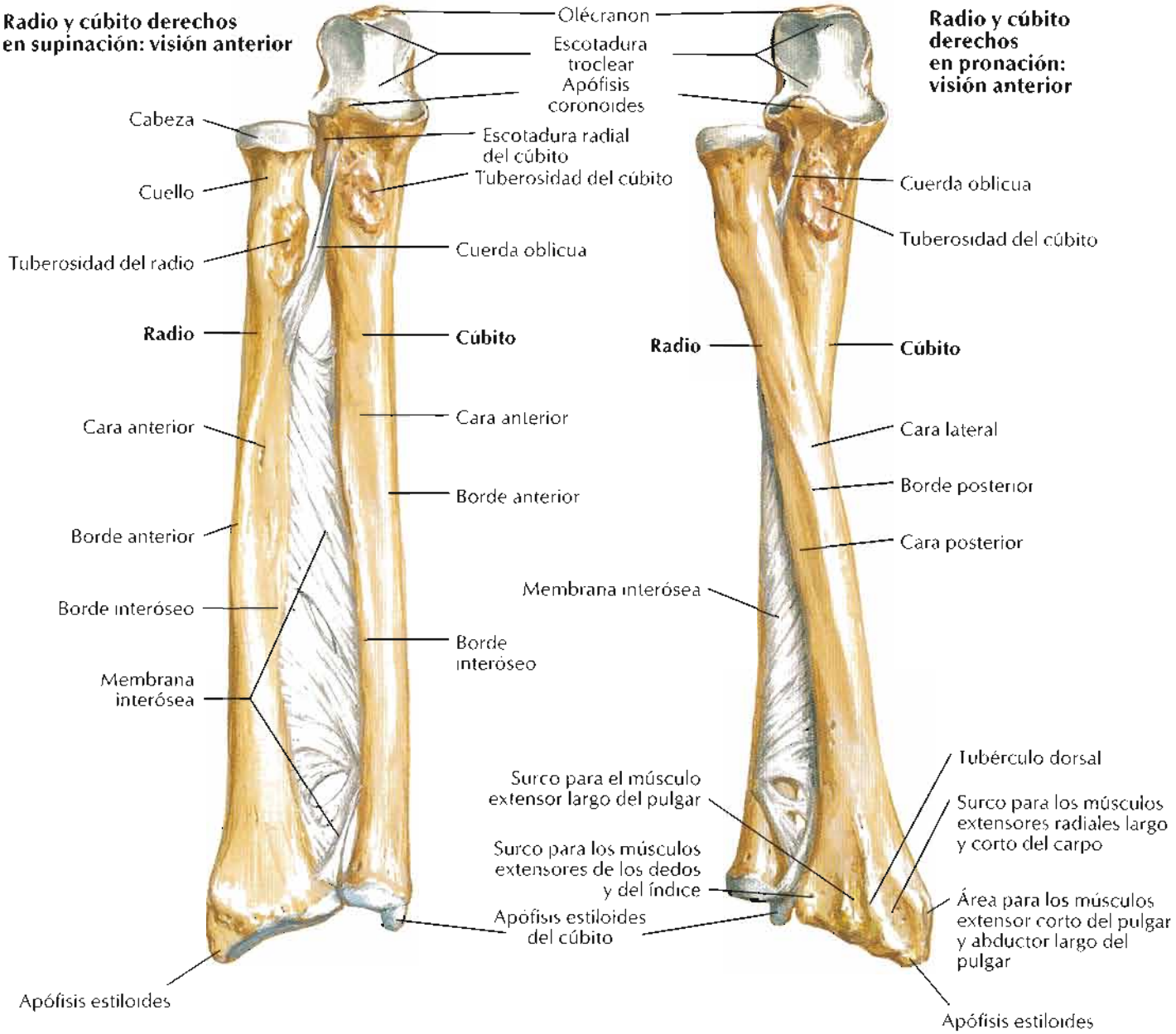


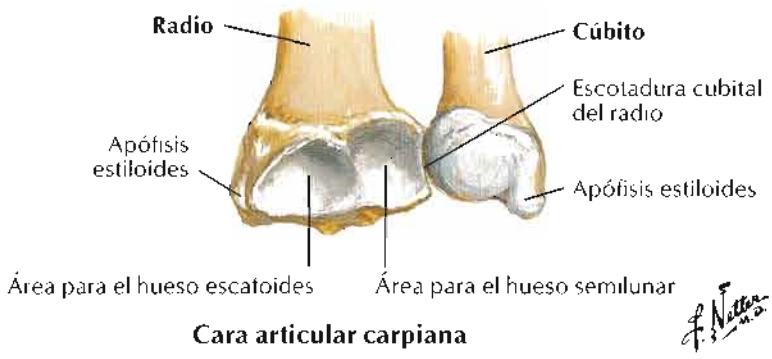


En flexión de 90°: visión lateral **En flexión de 90°: visión medial**



Huesos del antebrazo



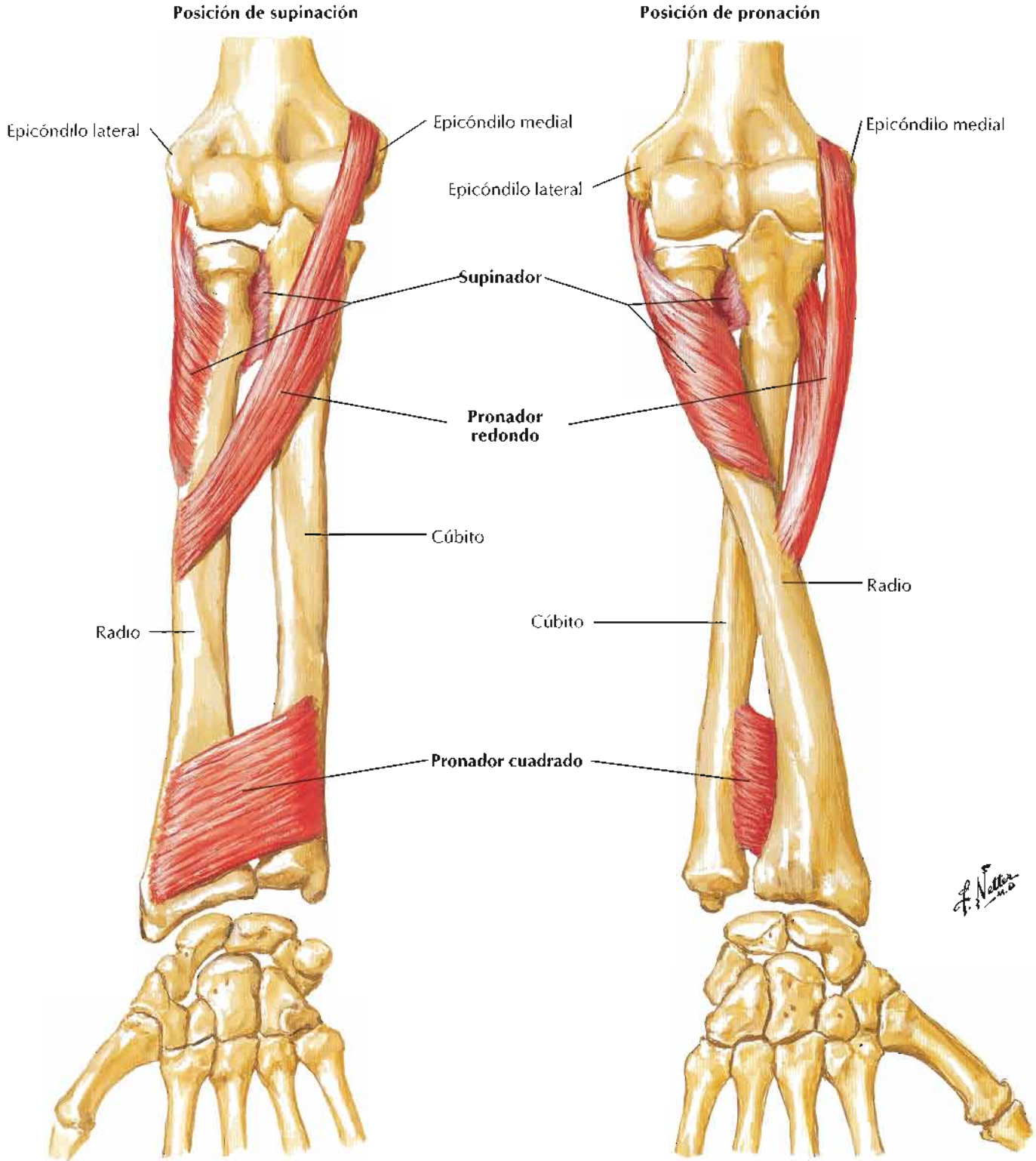


Cara articular carpiana

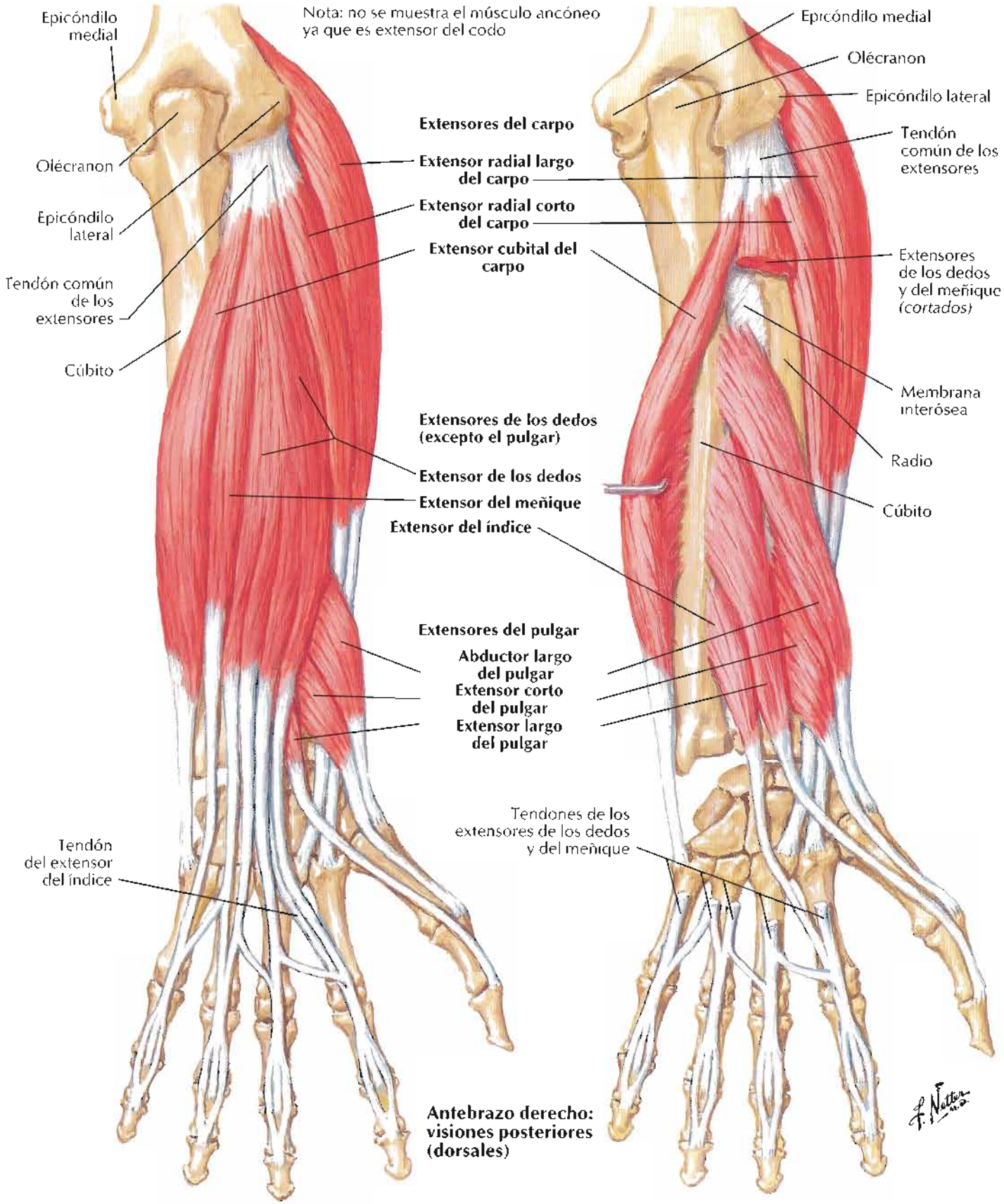


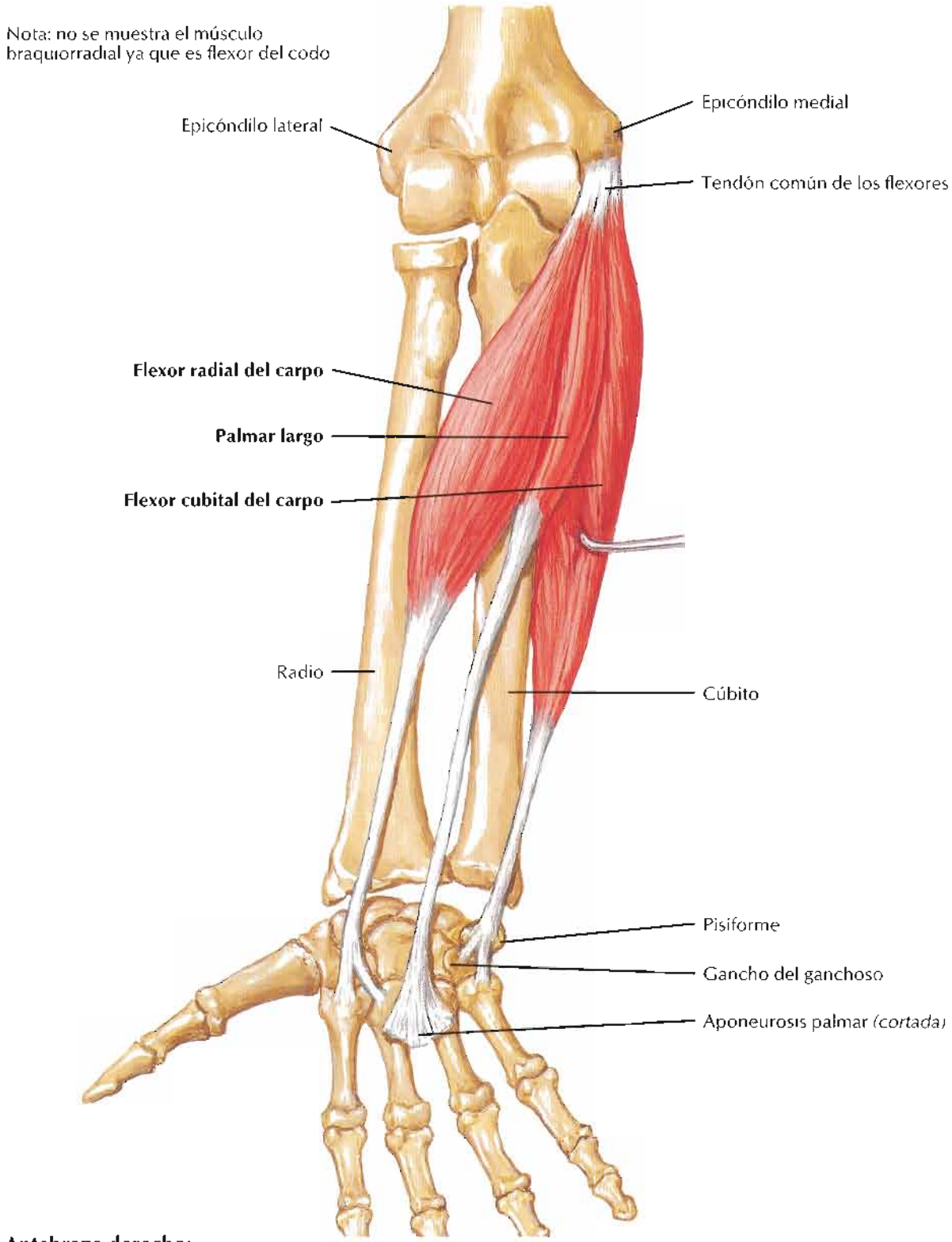
Sección coronal del radio que muestra cómo el espesor del hueso cortical del cuerpo se reduce a una delgada lámina sobre el hueso esponjoso del extremo distal

Antebrazo derecho: visión anterior



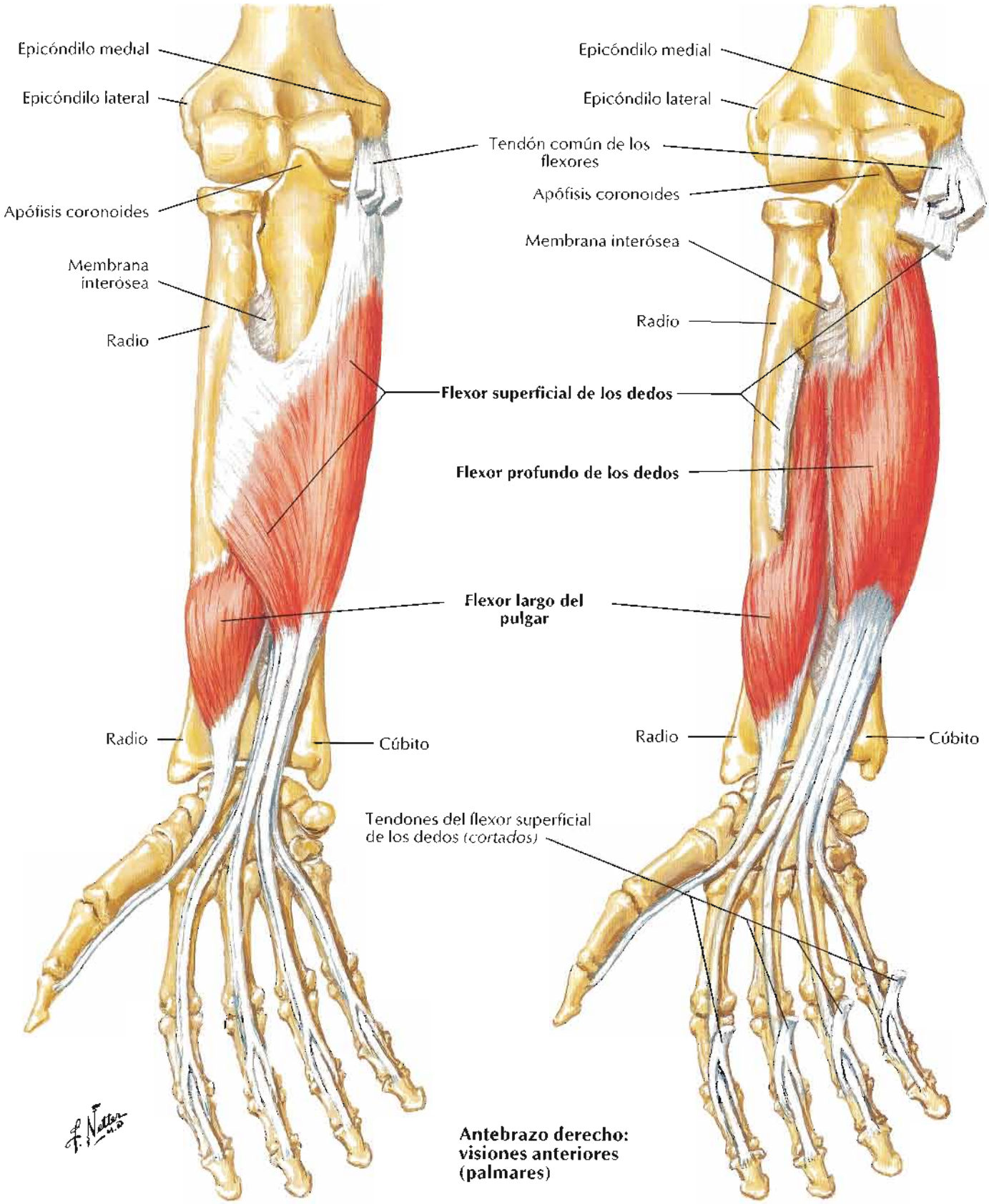
Mm. individualizados del antebrazo: extensores del carpo y dedos





Antebrazo derecho: visión anterior (palmar)

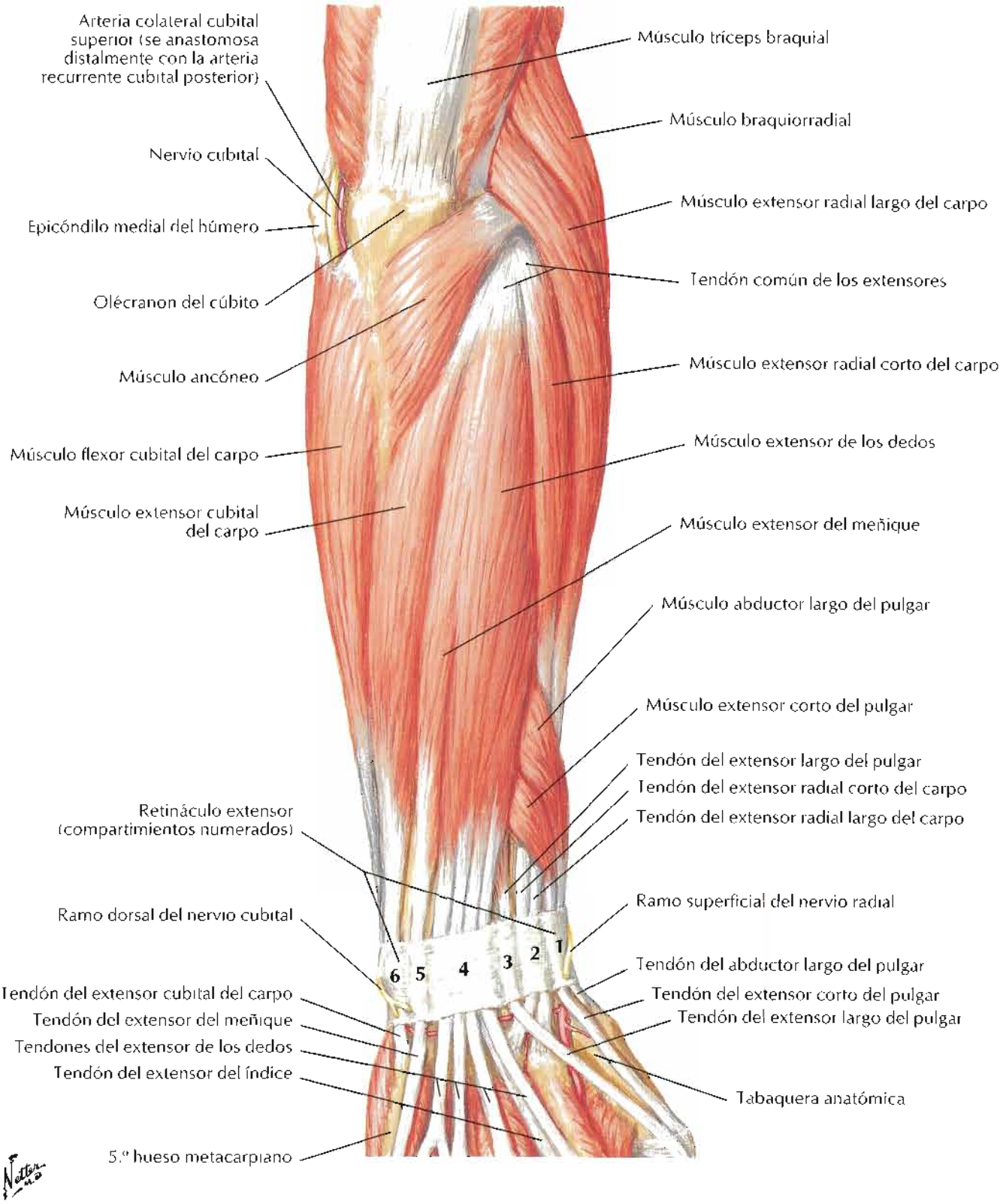
Mm. individualizados del antebrazo: flexores de los dedos



Antebrazo derecho: visiones anteriores (palmares)

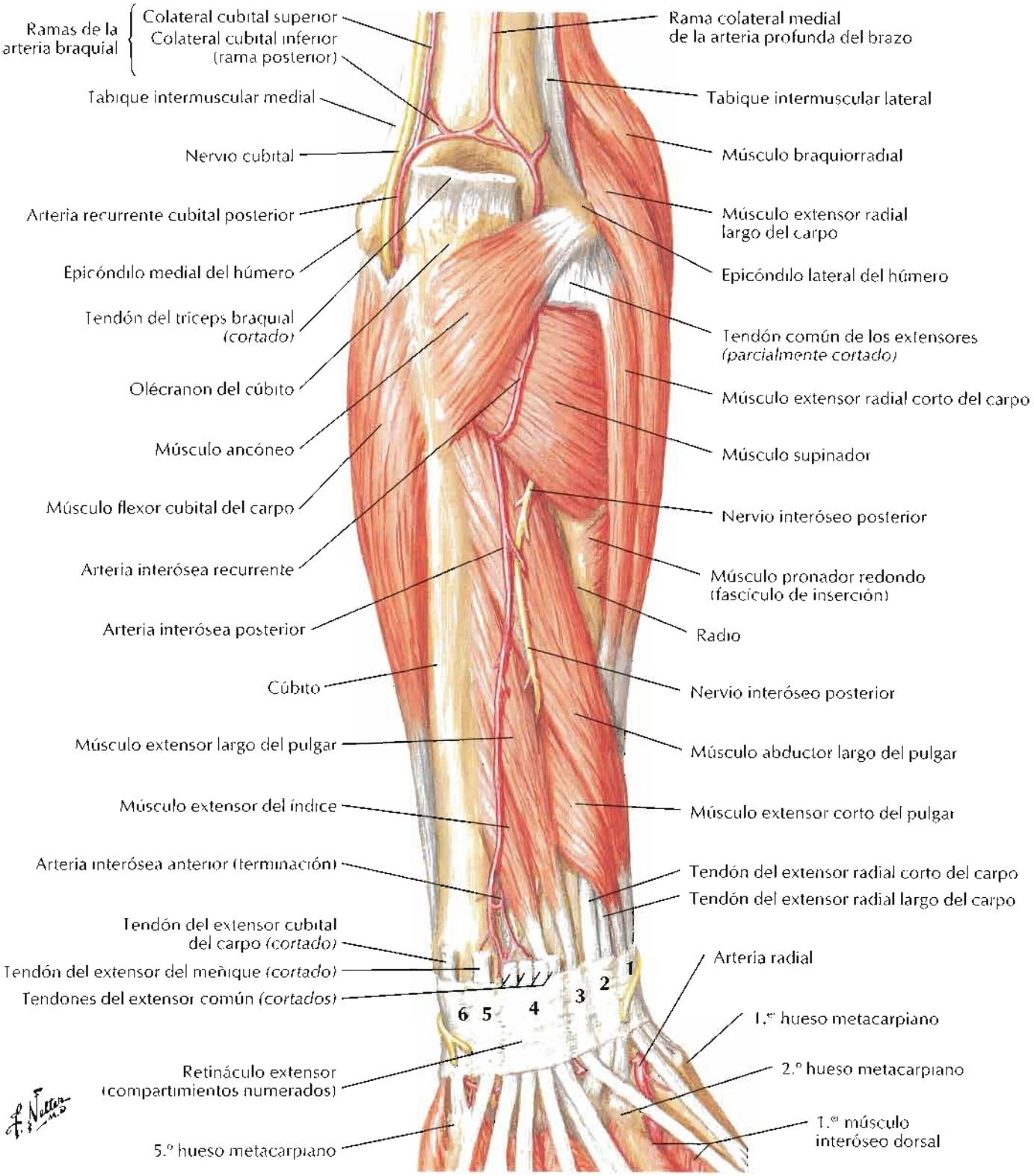
Músculos del antebrazo (plano superficial): visión posterior

Véanse también **láminas 470, 478**



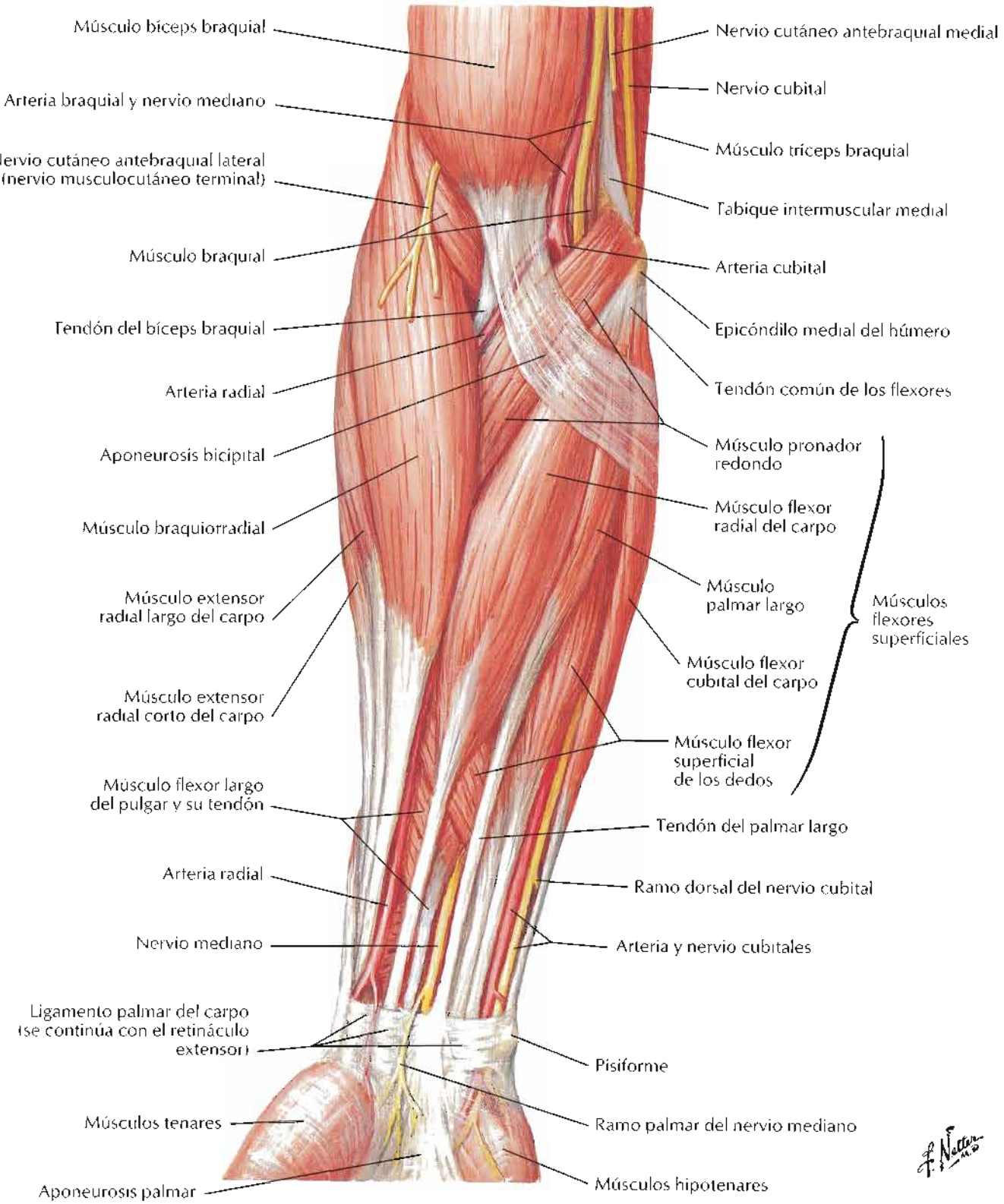
Músculos del antebrazo (plano profundo): visión posterior

Véanse también **láminas 470, 479**



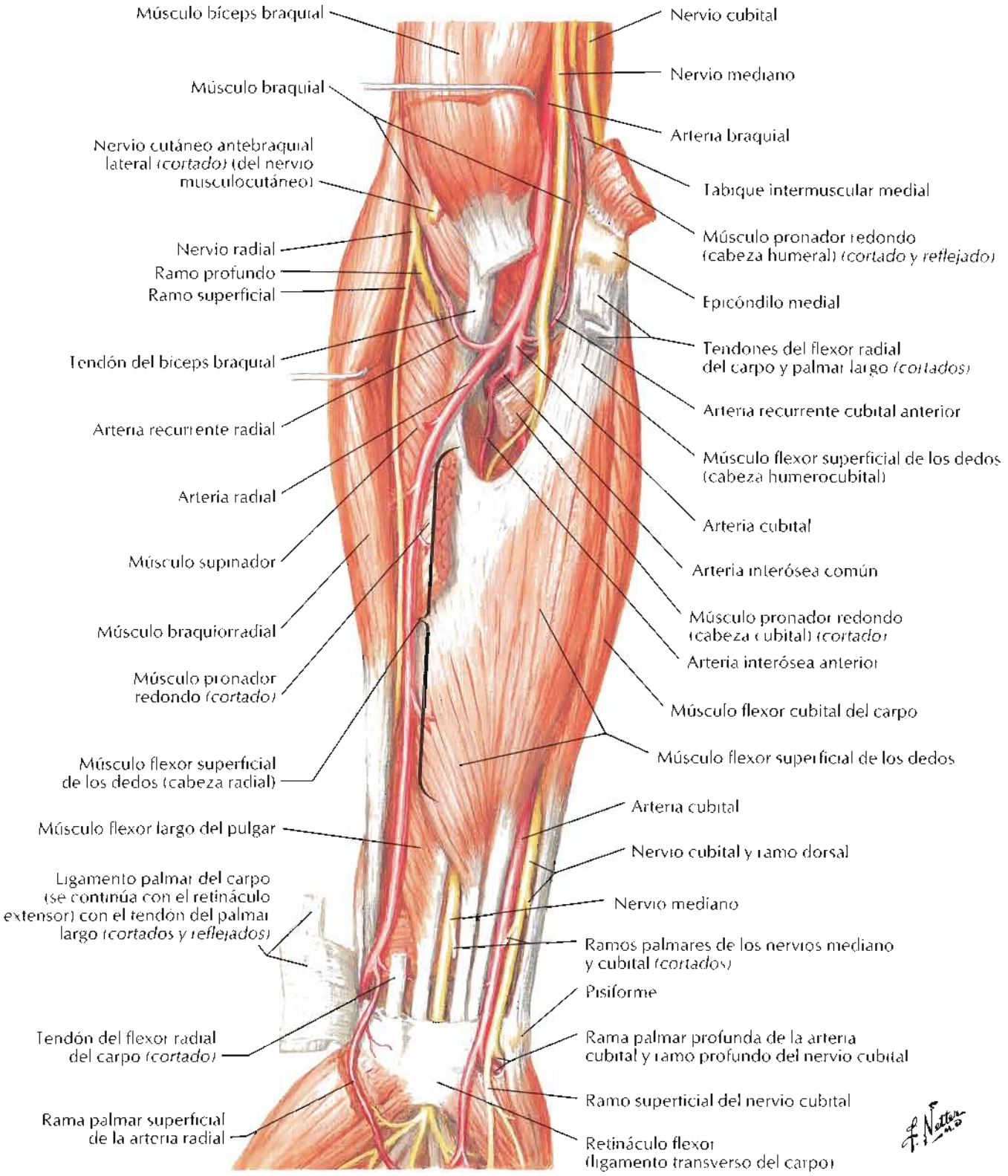
Músculos del antebrazo (plano superficial): visión anterior

Véanse también **láminas 475, 476**



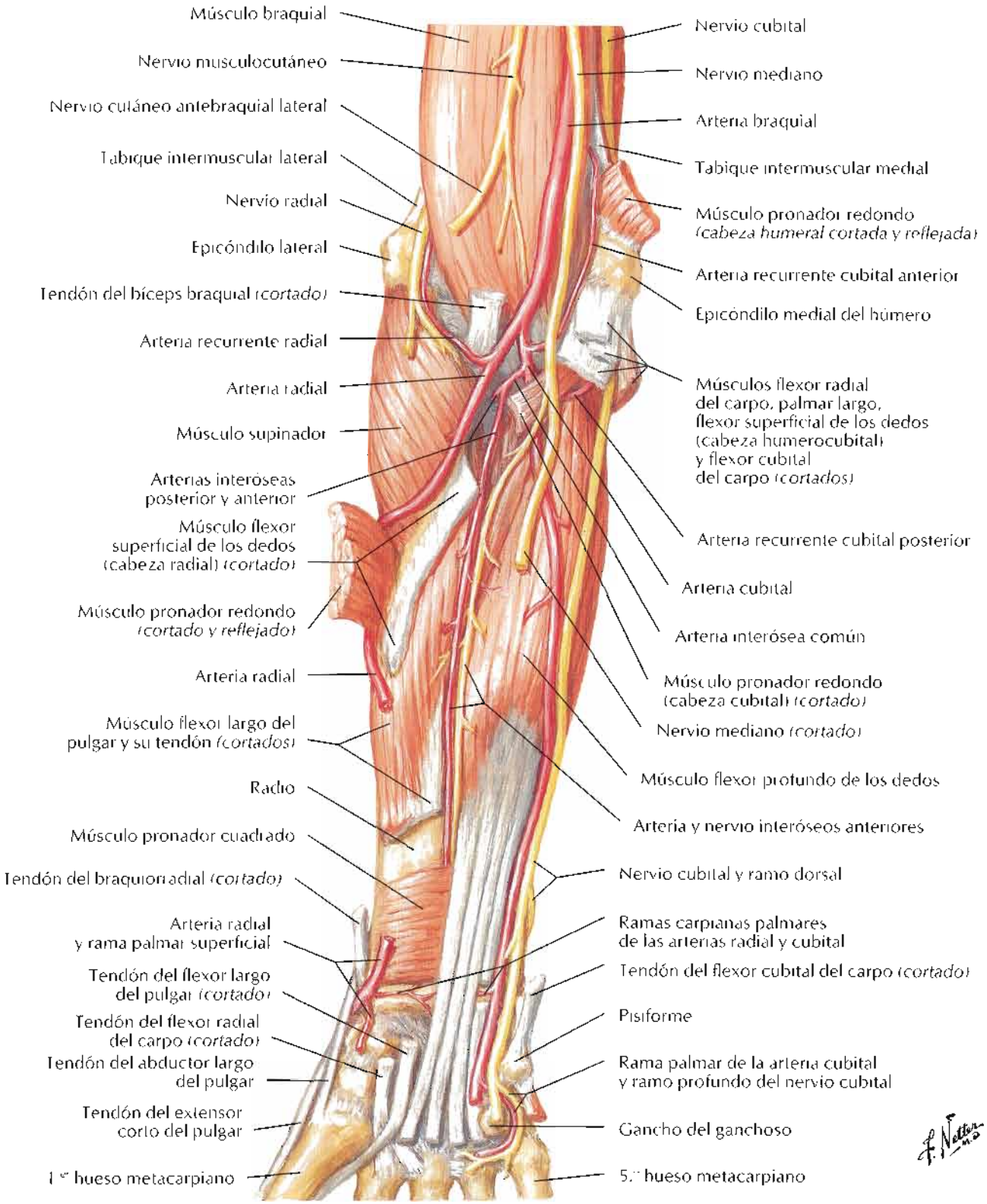
Músculos del antebrazo (plano intermedio): visión anterior

Véanse también **láminas 475, 476**

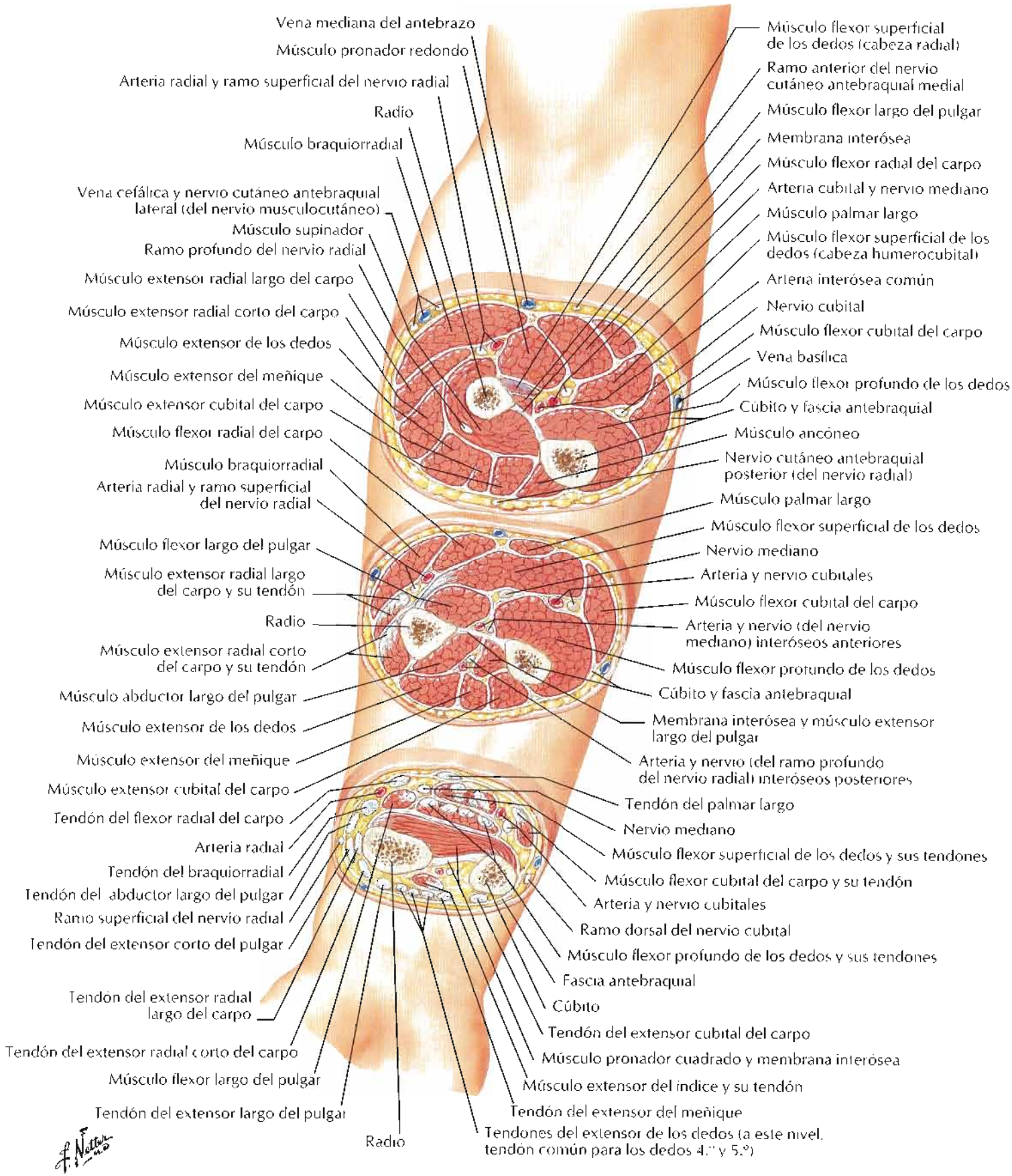


Músculos del antebrazo (plano profundo): visión anterior

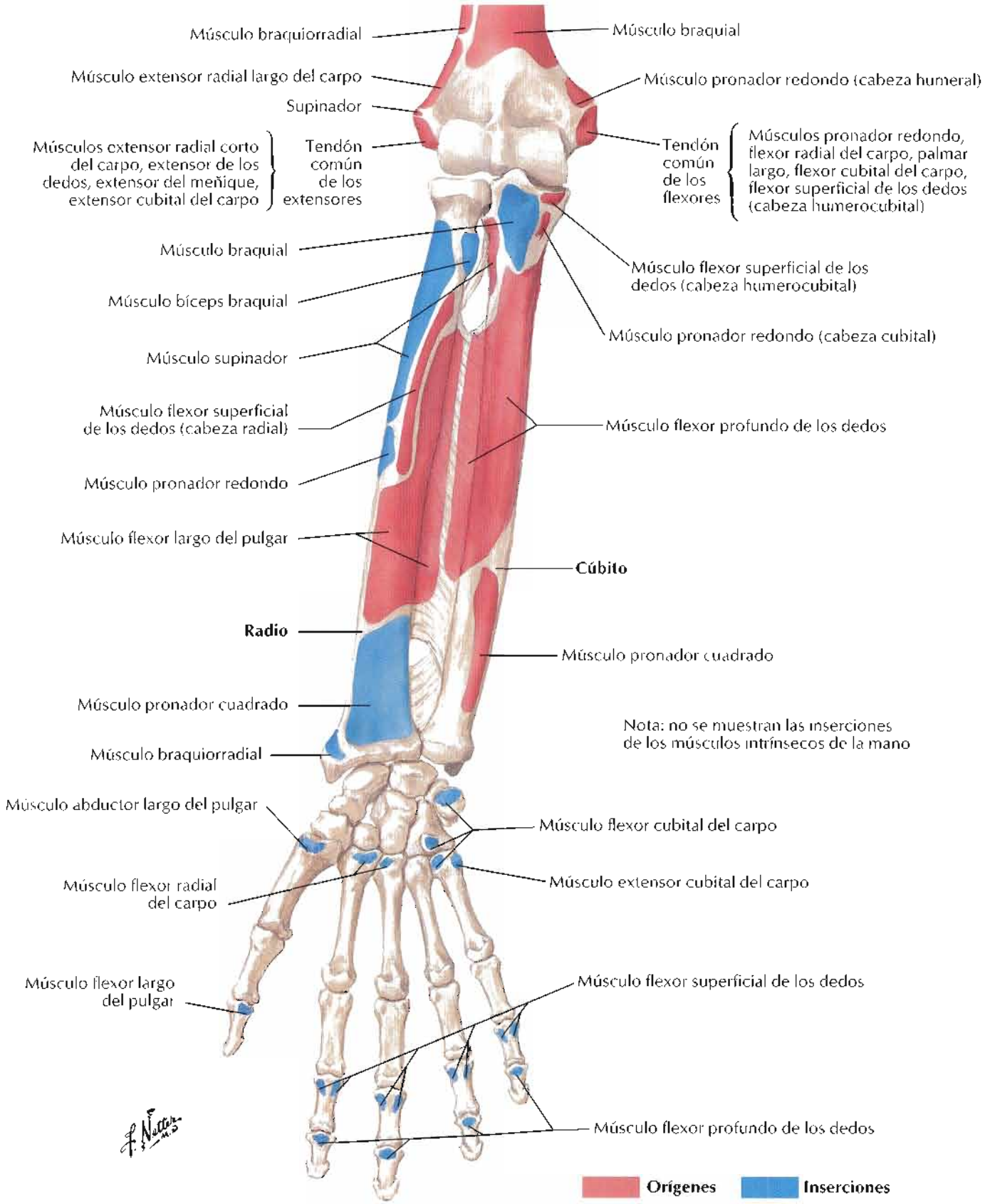
Véanse también **láminas 475, 476**



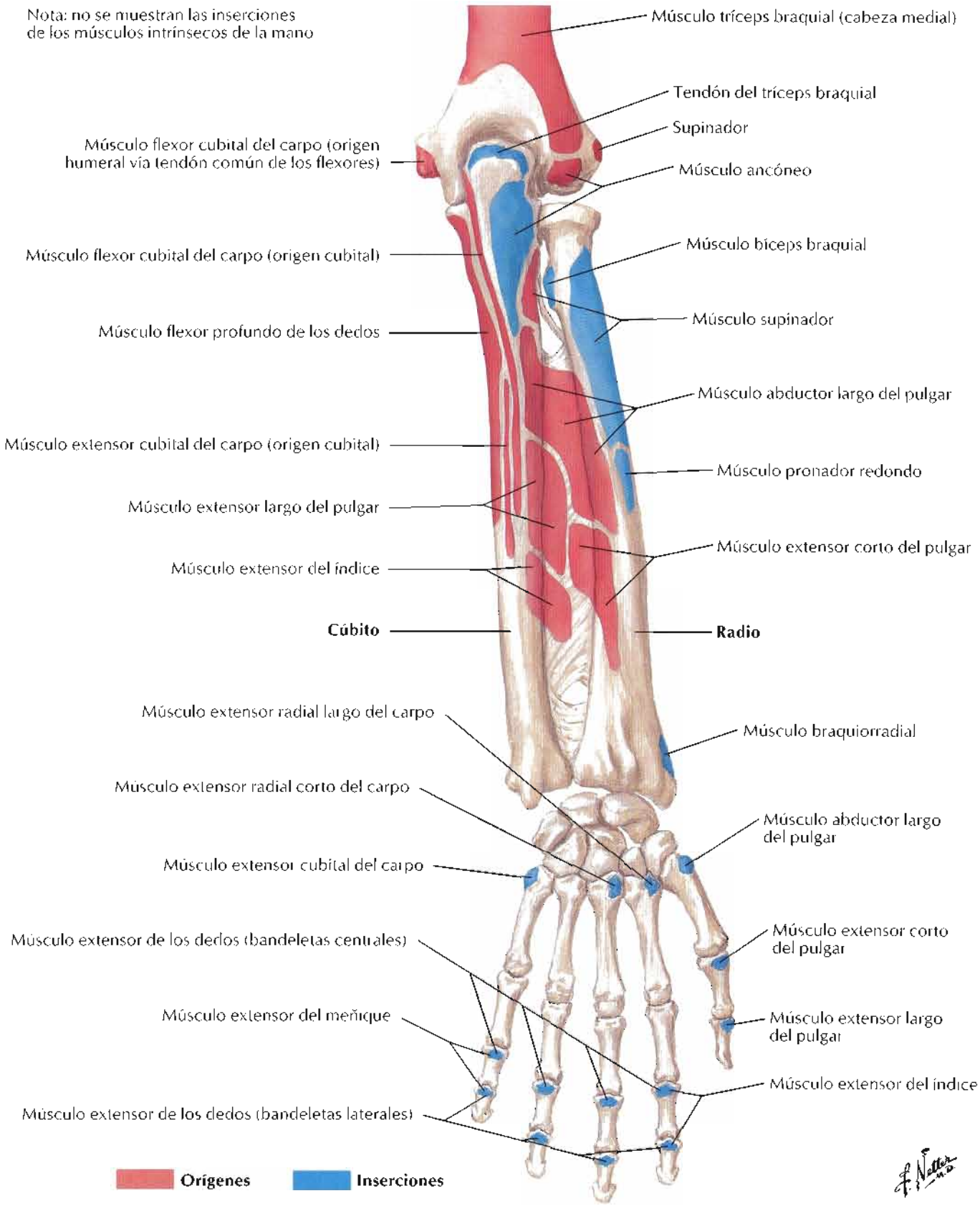
Antebrazo: secciones transversales seriadas



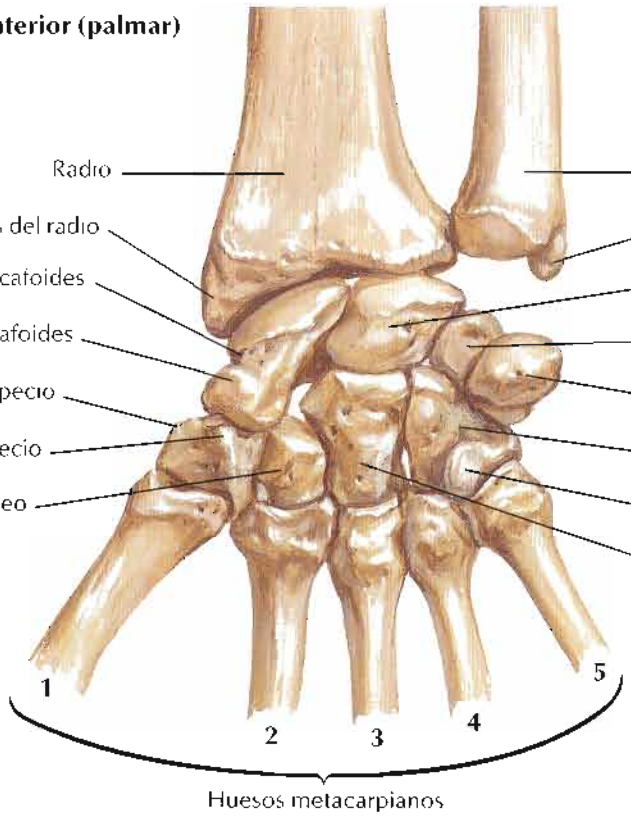
Inserciones de los músculos del antebrazo: visión anterior



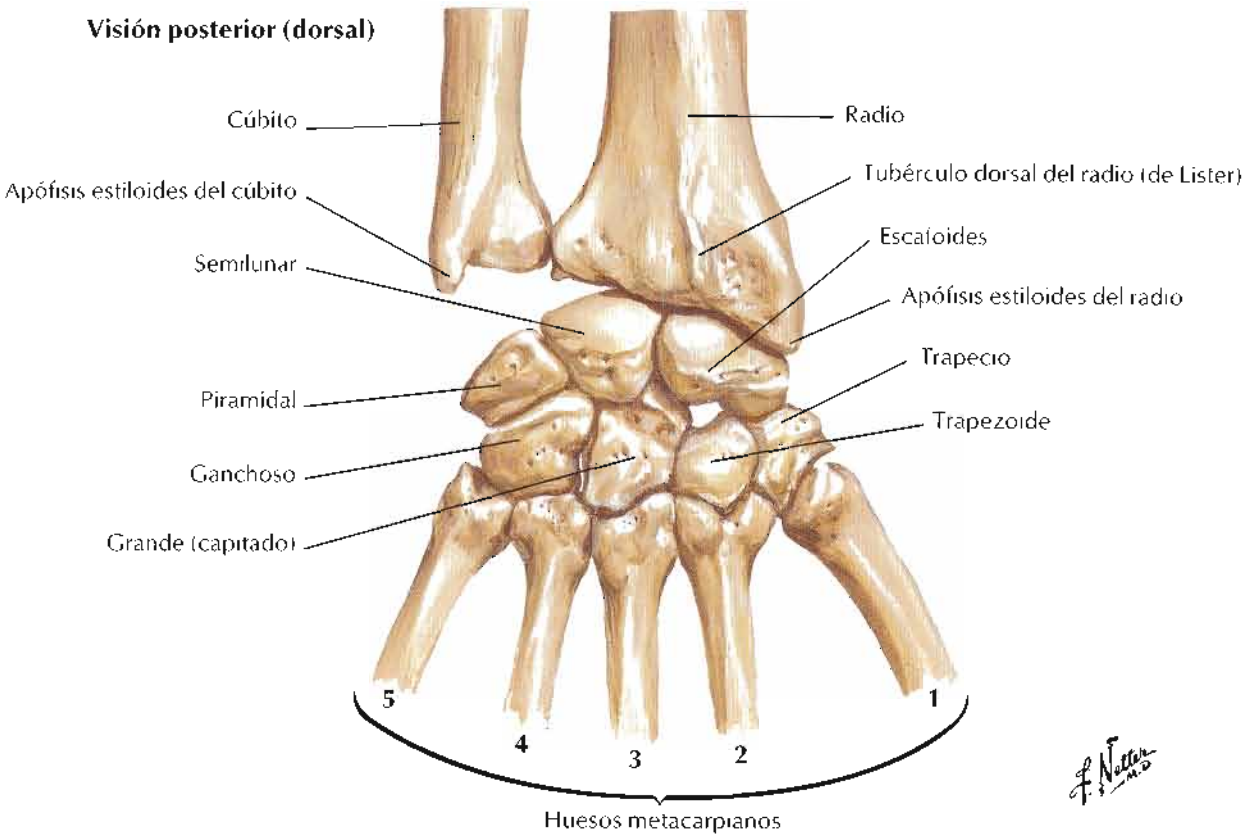
Inserciones de los músculos del antebrazo: visión posterior

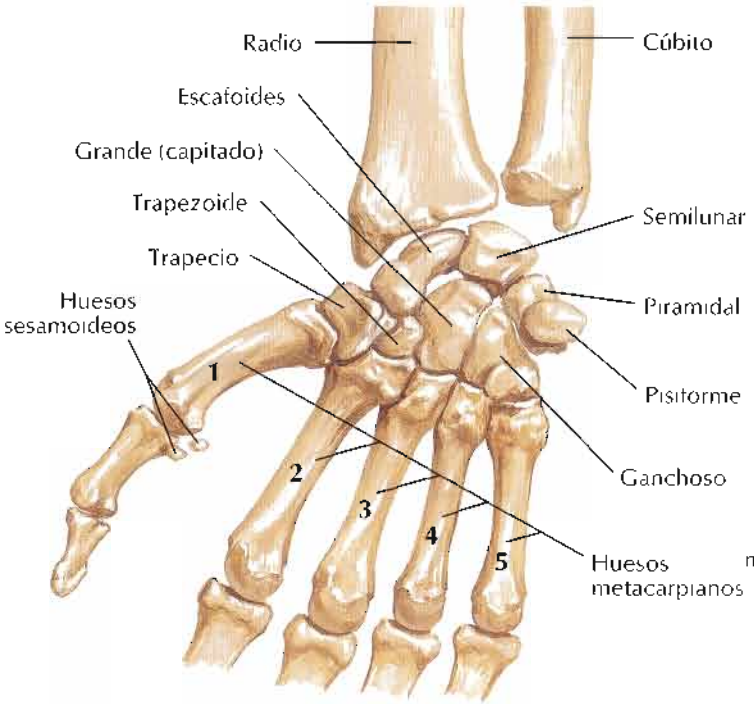


Visión anterior (palmar)

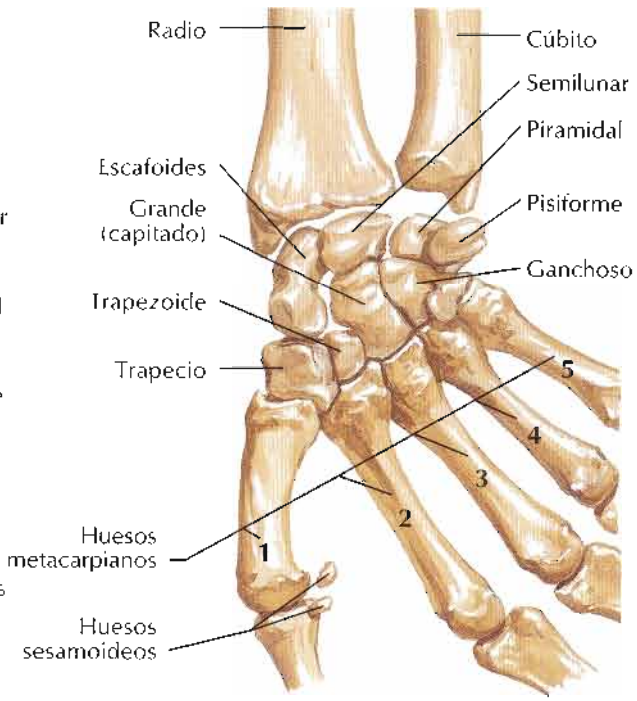


Visión posterior (dorsal)

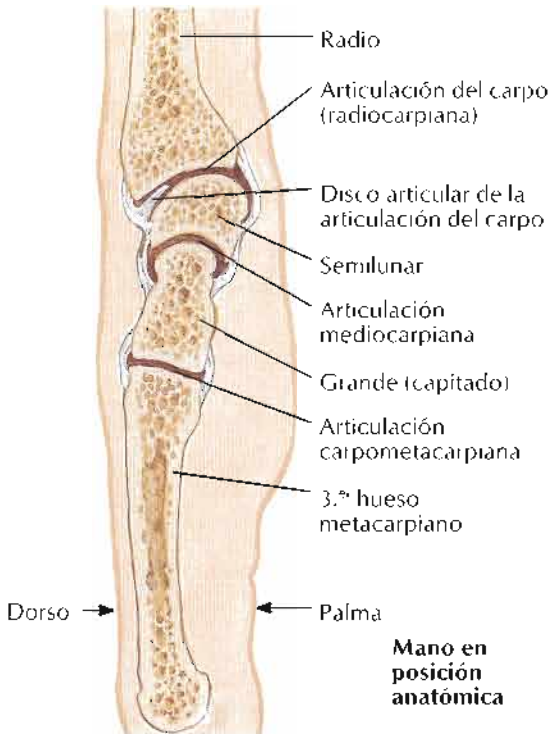


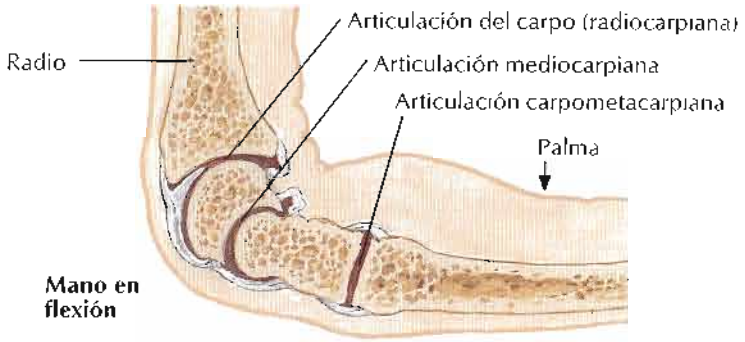


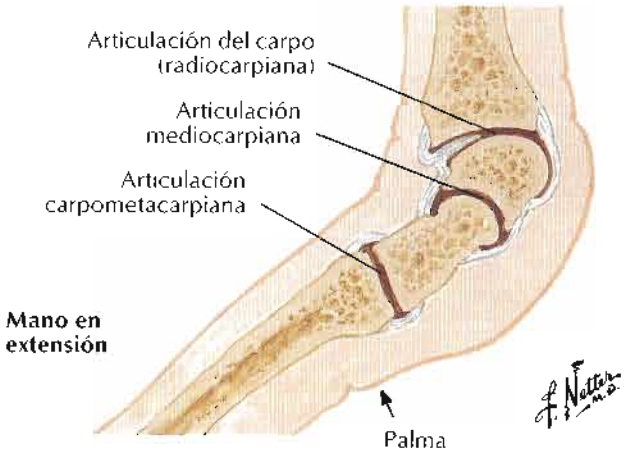
Posición de los huesos del carpo con la mano en abducción: visión anterior (palmar)



Posición de los huesos del carpo con la mano en aducción: visión anterior (palmar)

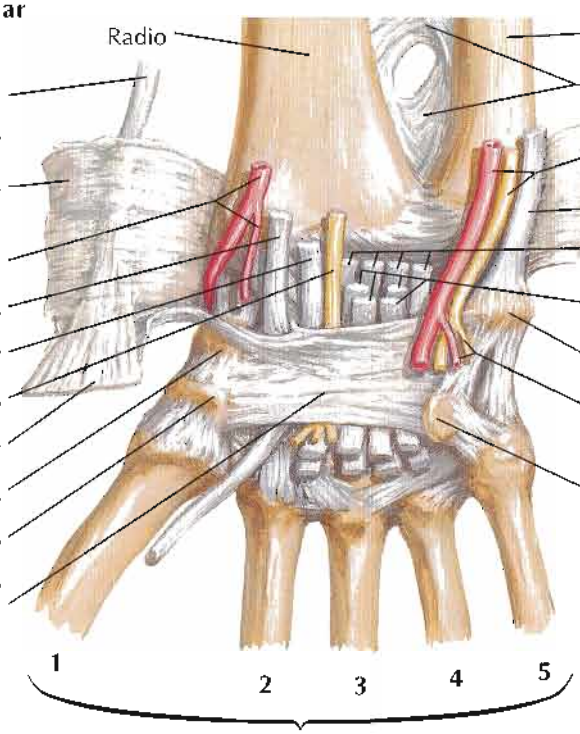




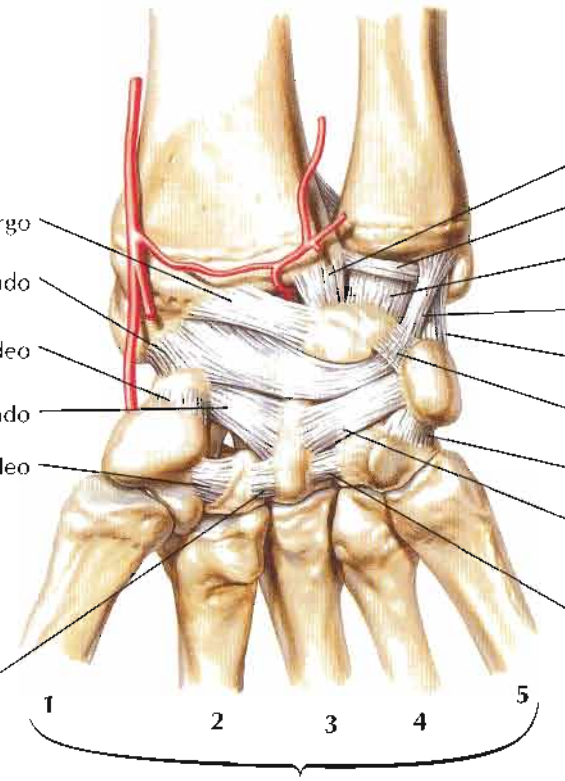


Secciones sagitales a través del carpo y dedo medio (índice)

Túnel carpiano: visión palmar



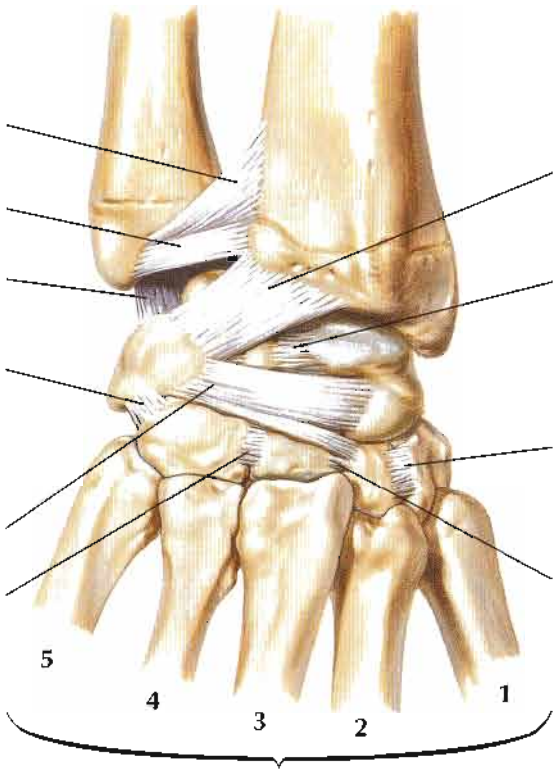
Retináculo flexor extirpado: visión palmar



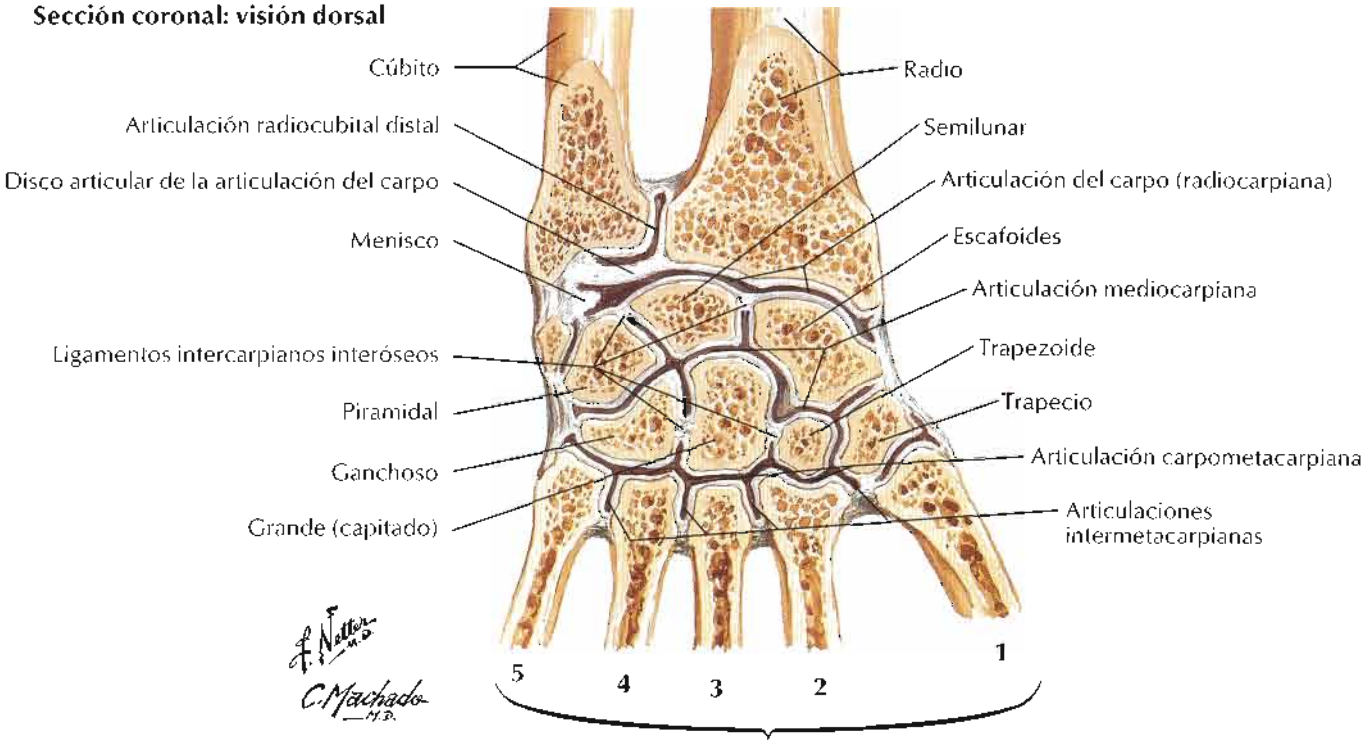
F. Netter M.D. C. Machado M.D.

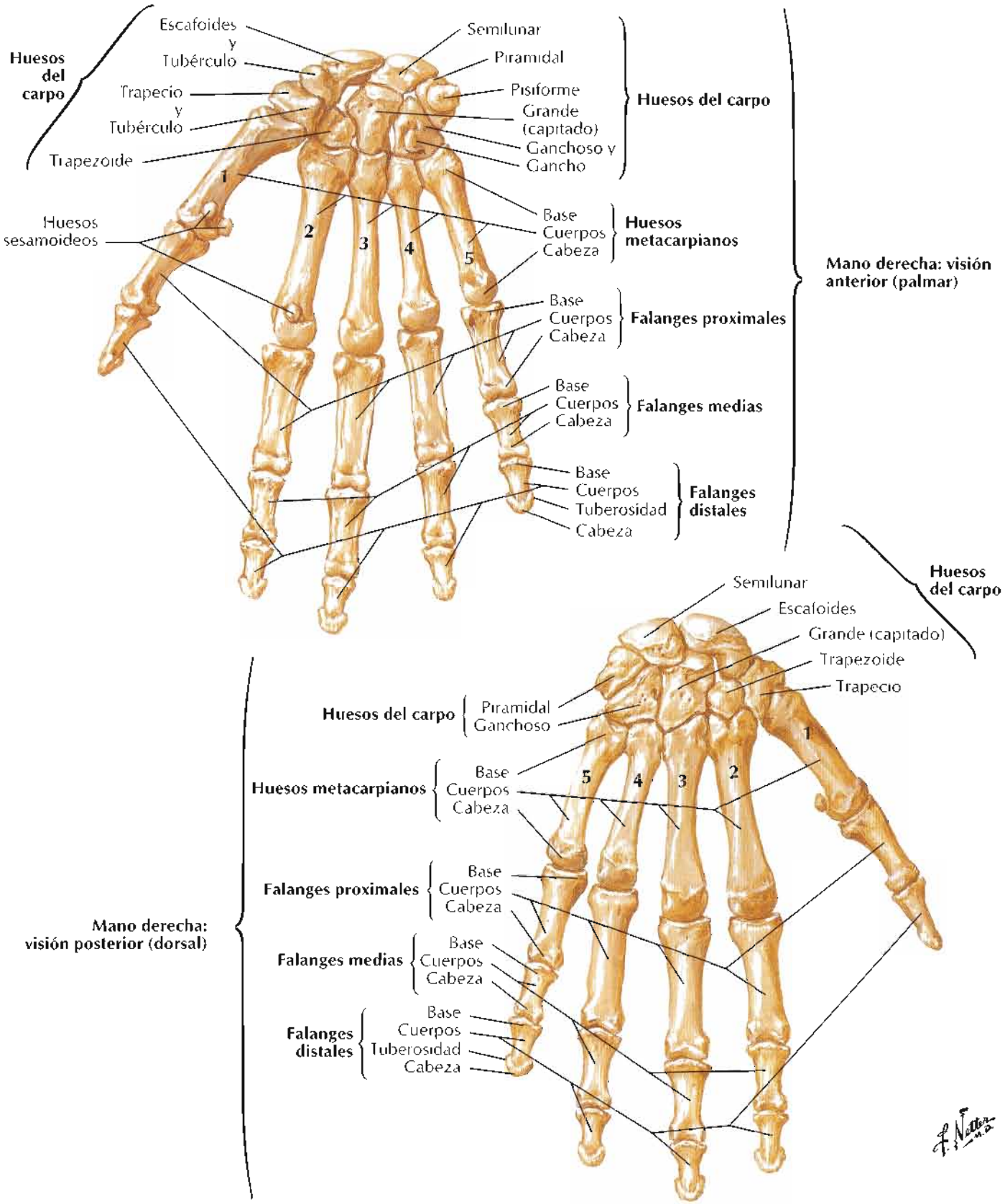
Ligamentos del carpo *(continuación)*

Visión posterior (dorsal)



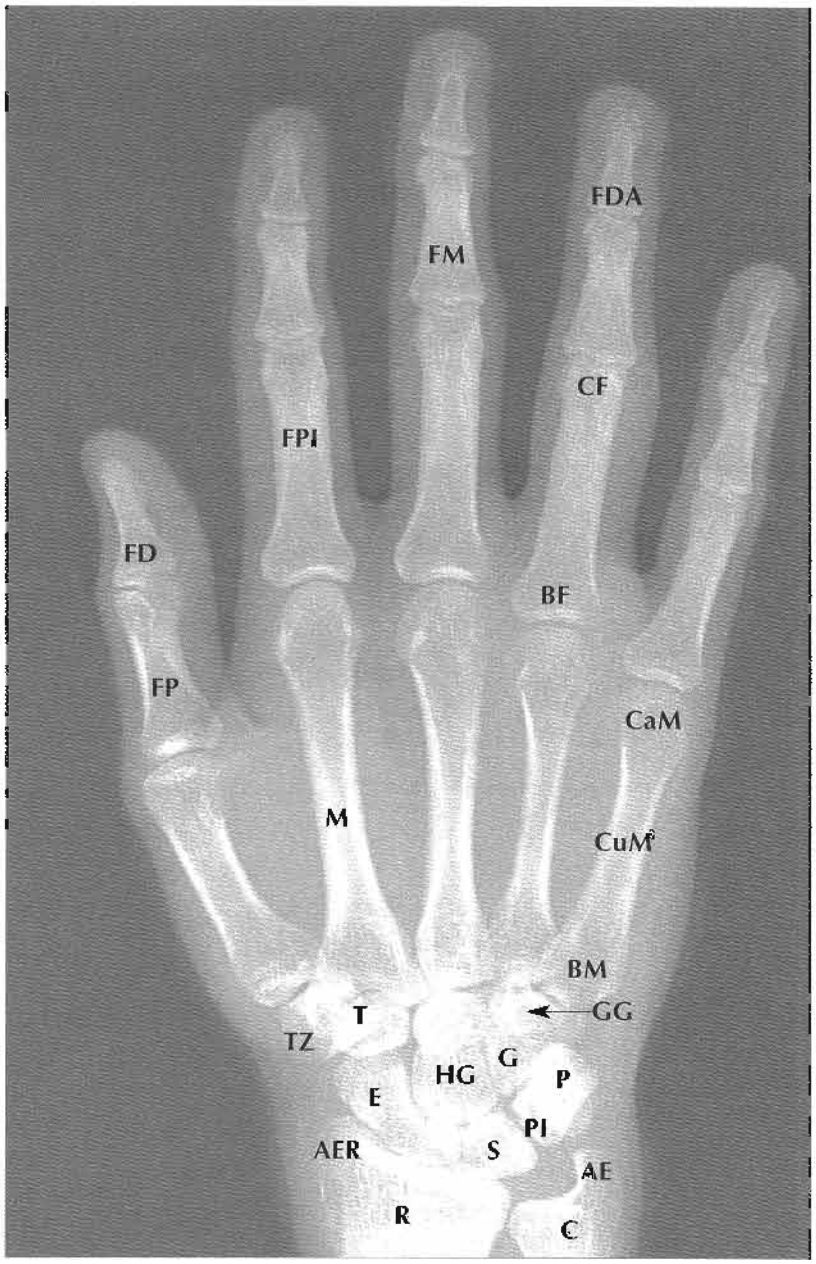
Sección coronal: visión dorsal




Huesos del carpo
Escafoides y Tubérculo
Trapecio y Tubérculo
Trapezoide
Semilunar
Piramidal
Pisiforme
Grande (capitado)
Ganchoso y Gancho
Huesos del carpo
Huesos sesamoideos
1
2
3
4
5
Base
Cuerpos
Cabeza
Huesos metacarpianos
Base
Cuerpos
Cabeza
Falanges proximales
Base
Cuerpos
Cabeza
Falanges medias
Base
Cuerpos
Tuberosidad
Cabeza
Falanges distales
Mano derecha: visión anterior (palmar)
Huesos del carpo
Semilunar
Escafoides
Grande (capitado)
Trapezoide
Trapecio
Huesos del carpo
Piramidal
Ganchoso
Huesos metacarpianos
Base
Cuerpos
Cabeza
Falanges proximales
Base
Cuerpos
Cabeza
Falanges medias
Base
Cuerpos
Cabeza
Falanges distales
Base
Cuerpos
Tuberosidad
Cabeza
Mano derecha: visión posterior (dorsal)

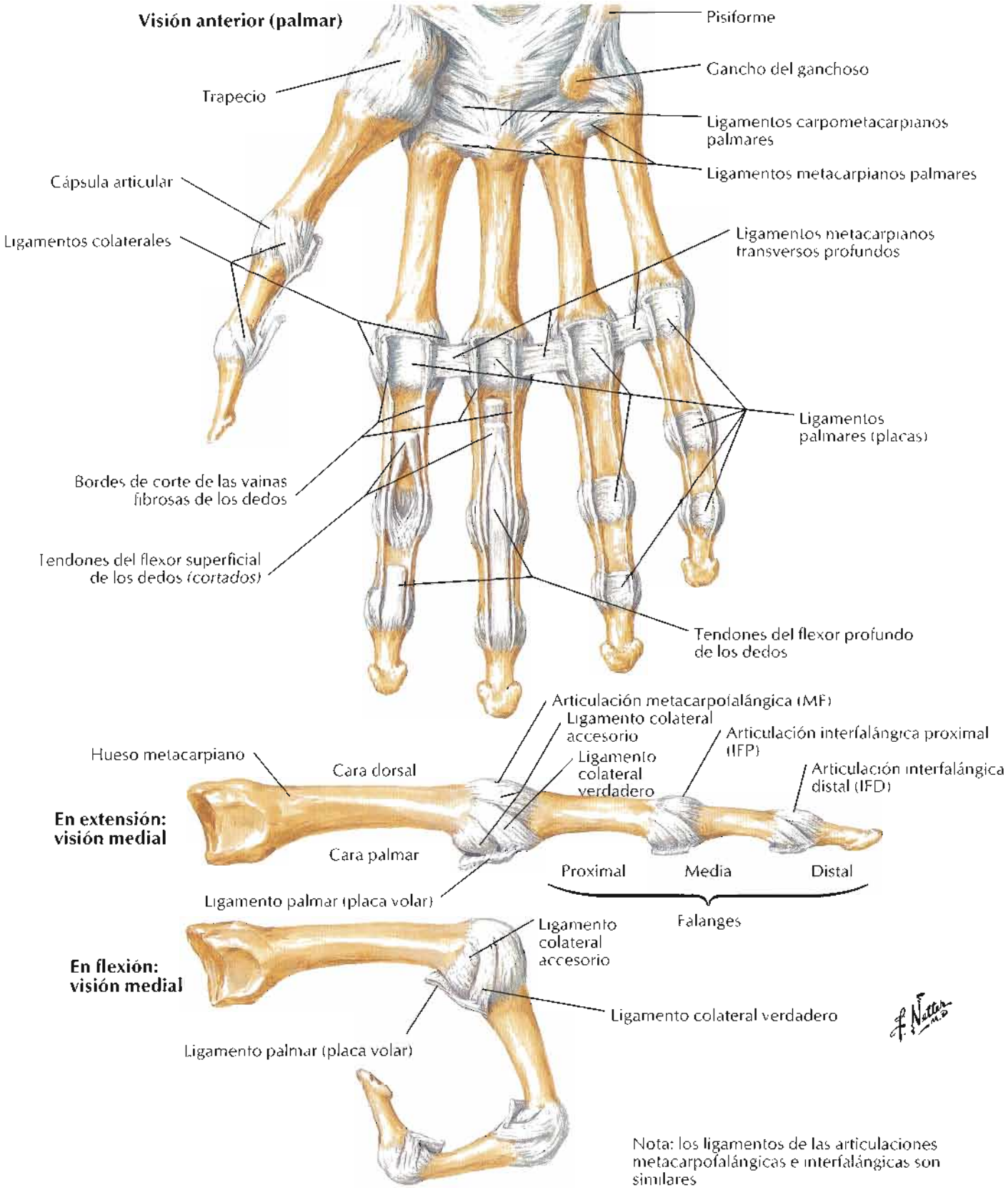
Carpo y mano: radiografía anteroposterior

Véase también **lámina 456**



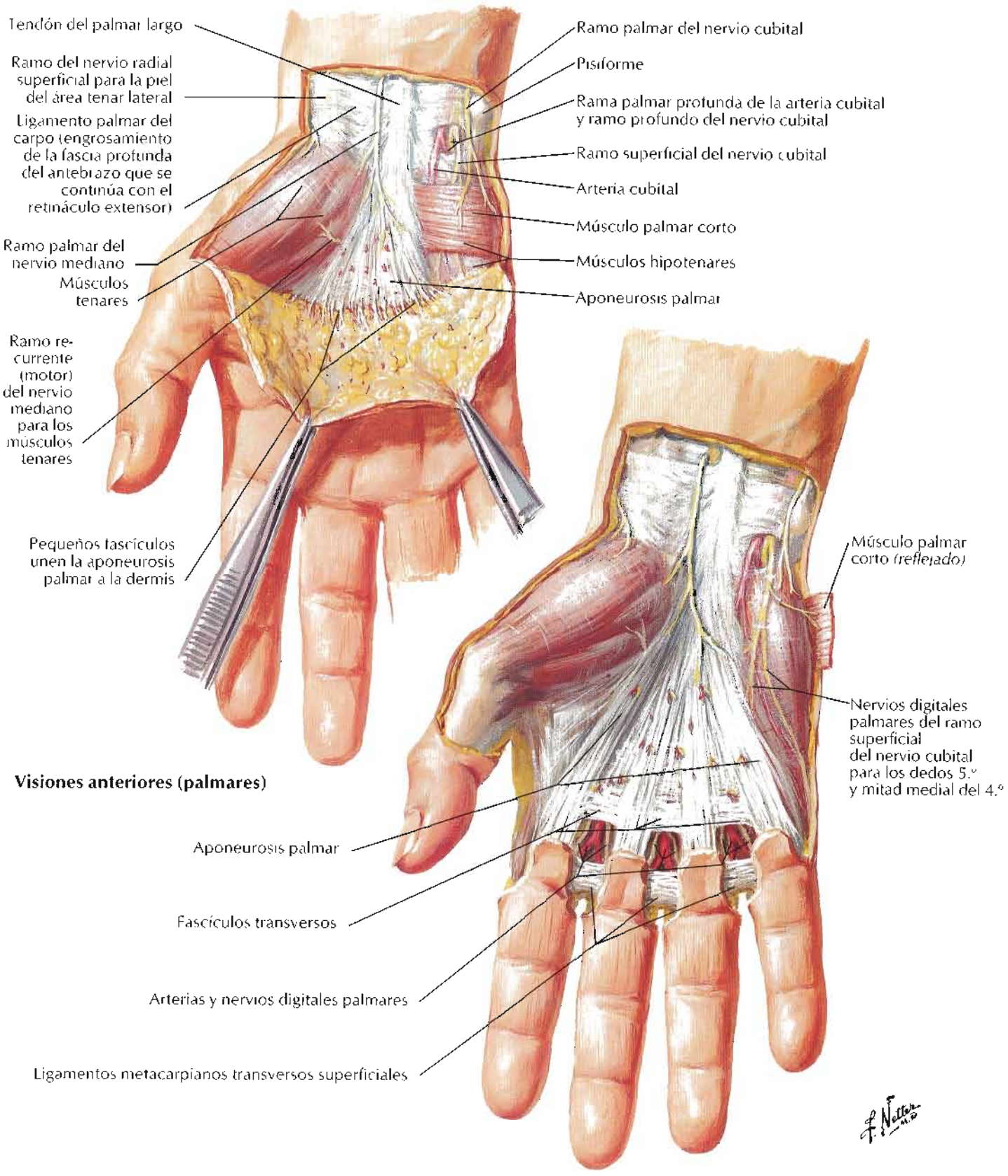
AE	Apófisis estiloides del cúbito
AER	Apófisis estiloides del radio
BF	Base de la falange proximal del 4.º dedo
BM	Base del 5.º metacarpiano
C	Cúbito
CaM	Cabeza del 5.º metacarpiano
CF	Cabeza de la falange proximal
CuM	Cuerpo del 5.º metacarpiano
E	Escafoides
FD	Falange distal del pulgar
FDA	Falange distal del dedo anular
FM	Falange media del dedo medio
FP	Falange proximal del pulgar
FPI	Falange proximal del dedo índice
G	Hueso ganchoso
GG	Gancho del ganchoso
HG	Hueso grande (capitado)
M	Metacarpiano del dedo índice
P	Pisiforme
PI	Piramidal
R	Radio
S	Semilunar
T	Trapezoide
TZ	Trapecio

Ligamentos metacarpofalángicos e interfalángicos

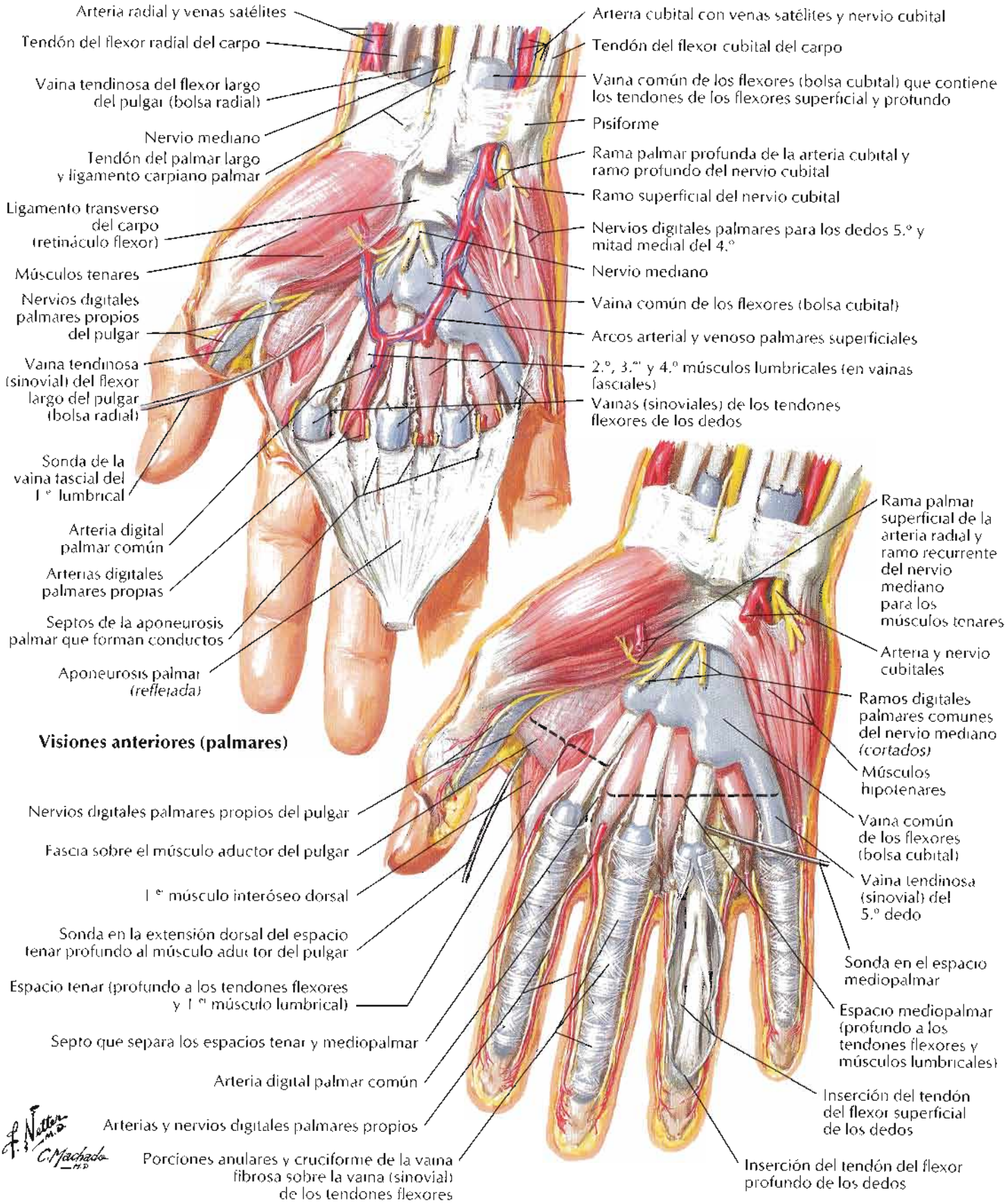


Nota: los ligamentos de las articulaciones metacarpofalángicas e interfalángicas son similares

Carpo y mano: disecciones palmares superficiales



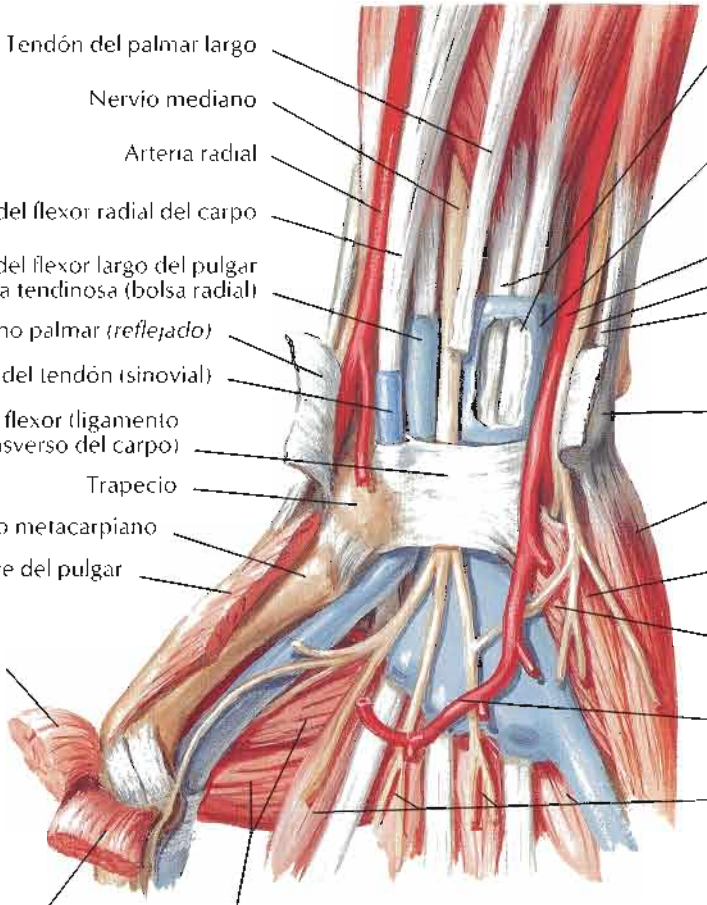
Visiones anteriores (palmares)



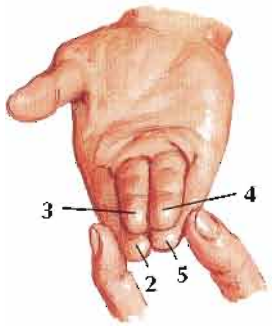
Visiones anteriores (palmares)

Tendones flexores, arterias y nervios en el carpo

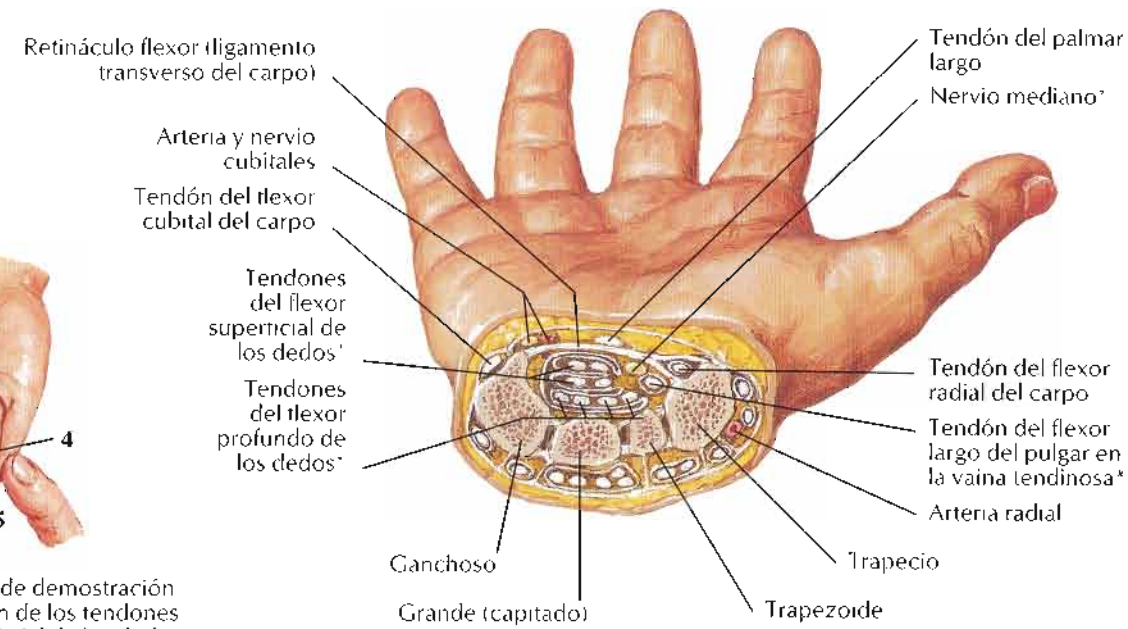
Visión palmar



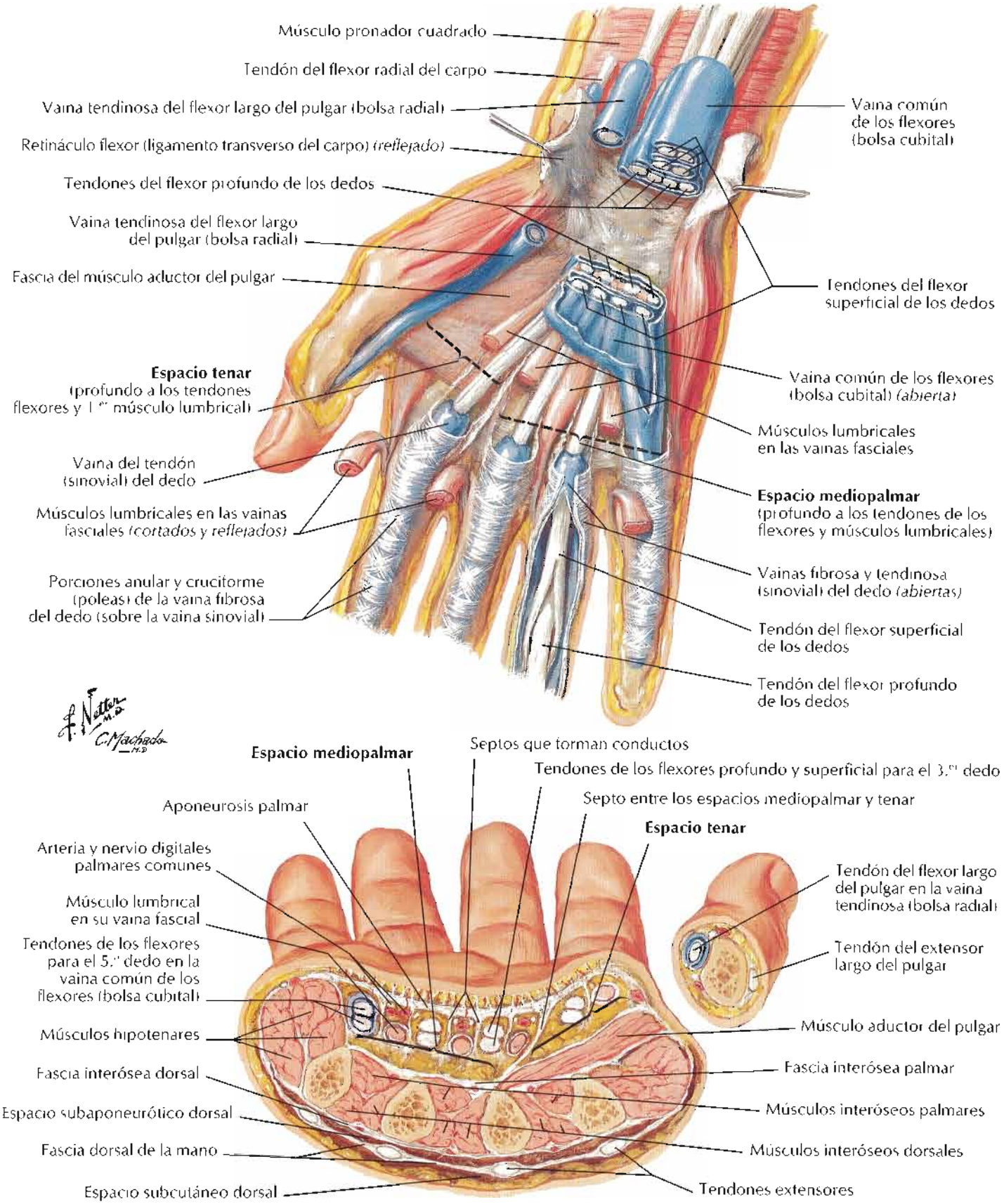
Sección transversal del carpo que muestra el túnel carpiano



Método simple de demostración de la disposición de los tendones del flexor superficial de los dedos dentro del túnel carpiano

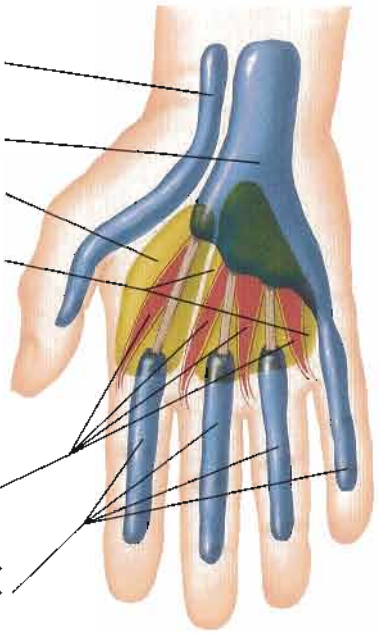


*Contenido del túnel carpiano

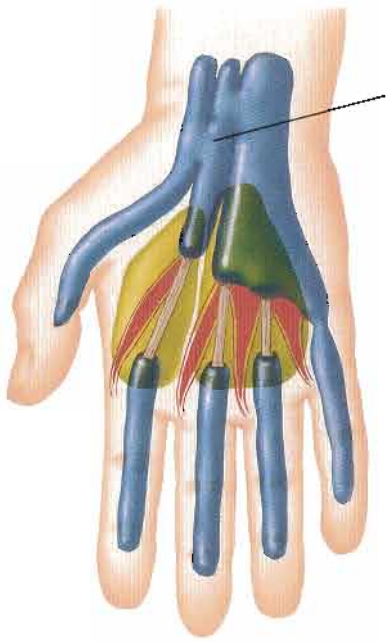

Músculo pronador cuadrado
Tendón del flexor radial del carpo
Vaina tendinosa del flexor largo del pulgar (bolsa radial)
Retináculo flexor (ligamento transverso del carpo) (reflejado)
Tendones del flexor profundo de los dedos
Vaina tendinosa del flexor largo del pulgar (bolsa radial)
Fascia del músculo aductor del pulgar
Espacio tenar (profundo a los tendones flexores y 1.er músculo lumbrical)
Vaina del tendón (sinovial) del dedo
Músculos lumbricales en las vainas fasciales (cortados y reflejados)
Porciones anular y cruciforme (poleas) de la vaina fibrosa del dedo (sobre la vaina sinovial)
Vaina común de los flexores (bolsa cubital)
Tendones del flexor superficial de los dedos
Vaina común de los flexores (bolsa cubital) (abierta)
Músculos lumbricales en las vainas fasciales
Espacio mediopalmar (profundo a los tendones de los flexores y músculos lumbricales)
Vainas fibrosa y tendinosa (sinovial) del dedo (abiertas)
Tendón del flexor superficial de los dedos
Tendón del flexor profundo de los dedos
F. Netter M.D.
C. Machado M.D.
Espacio mediopalmar
Septos que forman conductos
Tendones de los flexores profundo y superficial para el 3.er dedo
Aponeurosis palmar
Septo entre los espacios mediopalmar y tenar
Espacio tenar
Arteria y nervio digitales palmares comunes
Músculo lumbrical en su vaina fascial
Tendones de los flexores para el 5.to dedo en la vaina común de los flexores (bolsa cubital)
Músculos hipotenares
Fascia interósea dorsal
Espacio subaponeurótico dorsal
Fascia dorsal de la mano
Espacio subcutáneo dorsal
Tendón del flexor largo del pulgar en la vaina tendinosa (bolsa radial)
Tendón del extensor largo del pulgar
Músculo aductor del pulgar
Fascia interósea palmar
Músculos interóseos palmares
Músculos interóseos dorsales
Tendones extensores

Músculos lumbricales y bolsas, espacios y vainas: esquema

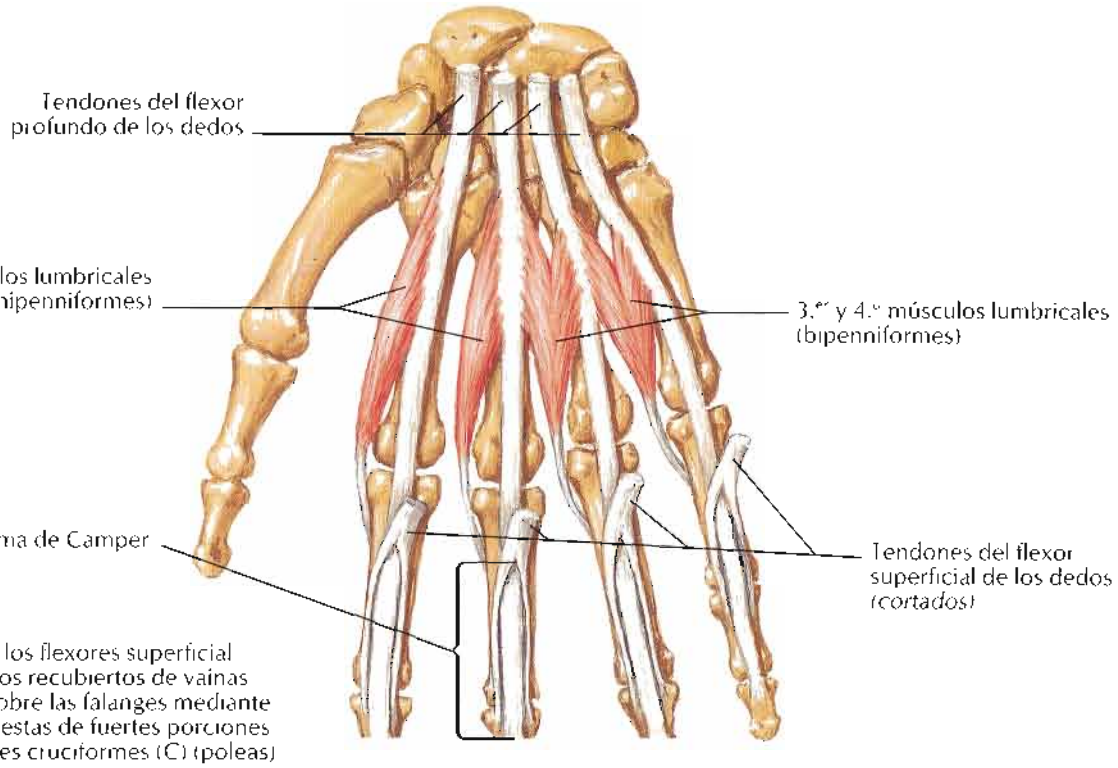
Disposición usual



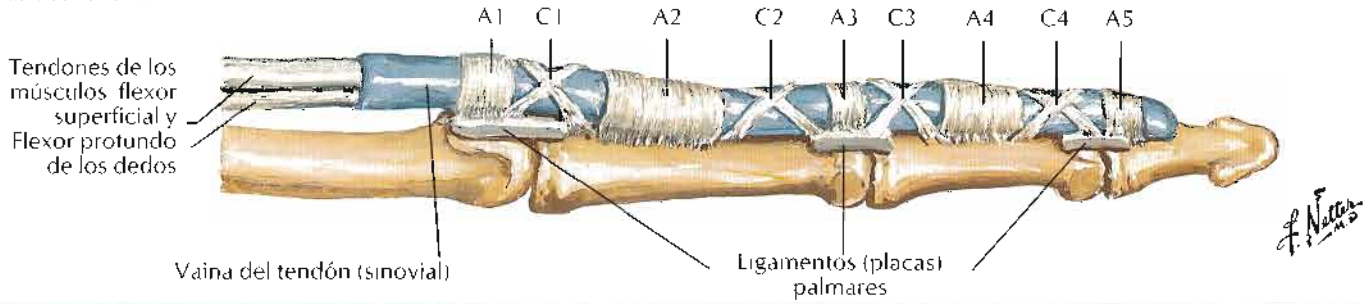
Variación común



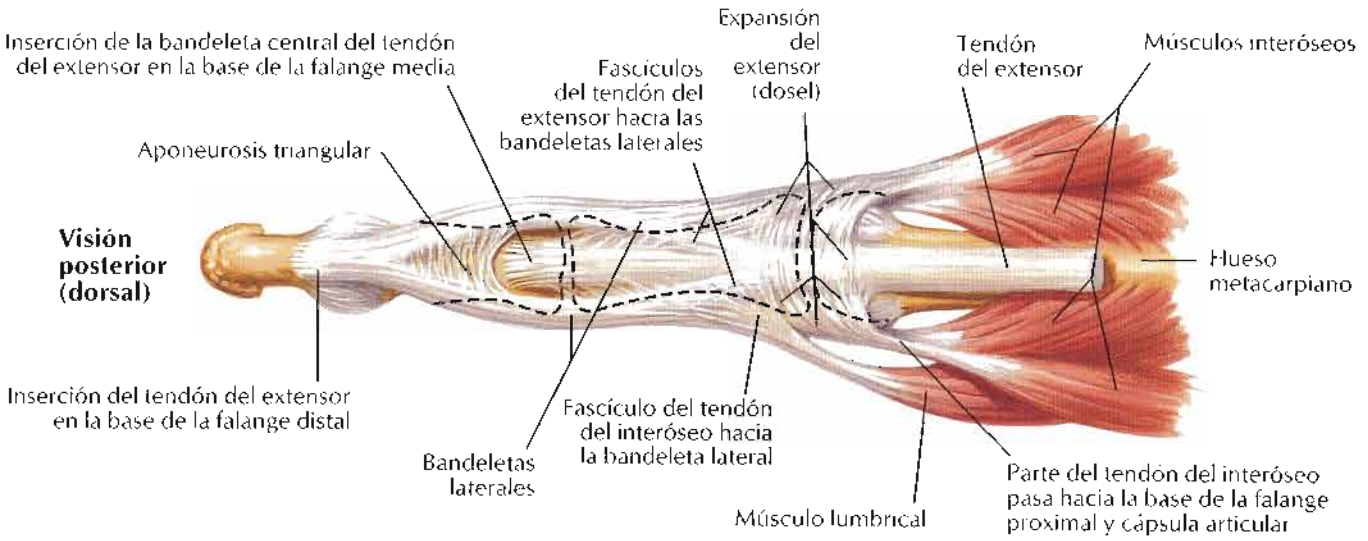
Músculos lumbricales: esquema

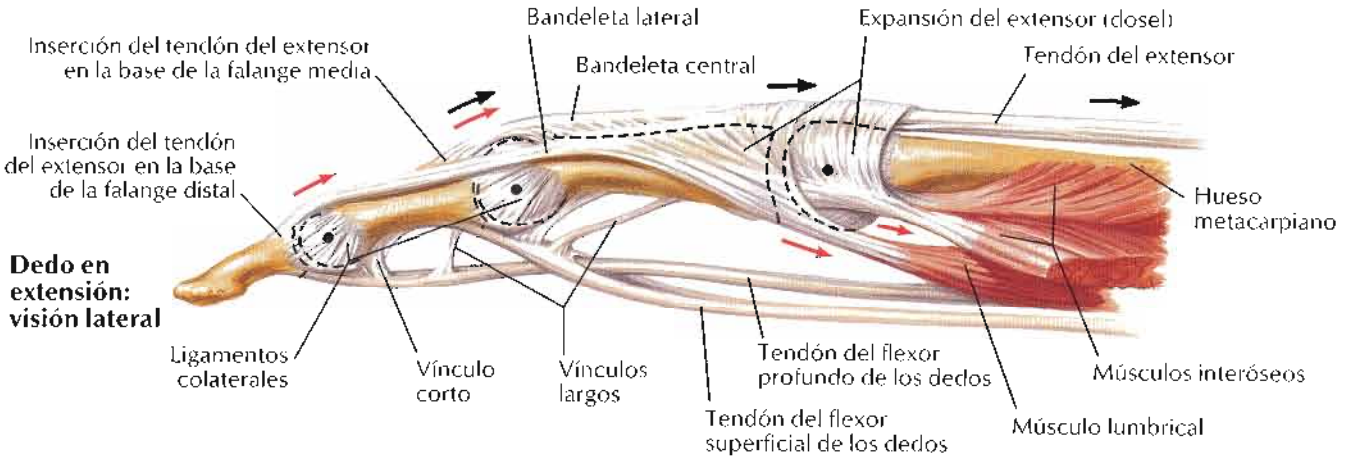


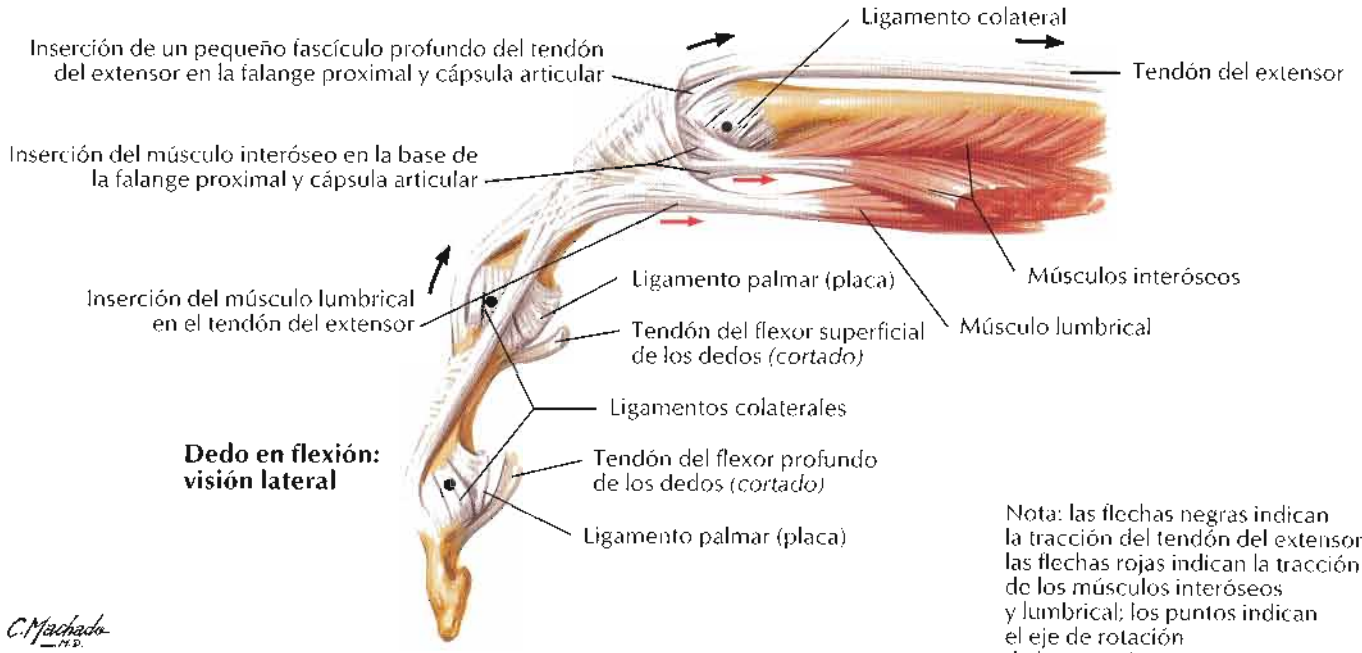
Nota: los tendones de los flexores superficial y profundo de los dedos recubiertos de vainas sinoviales se sujetan sobre las falanges mediante vainas fibrosas compuestas de fuertes porciones anulares (A) y porciones cruciformes (C) (poleas) más débiles alternadas



Tendones flexores y extensores en los dedos



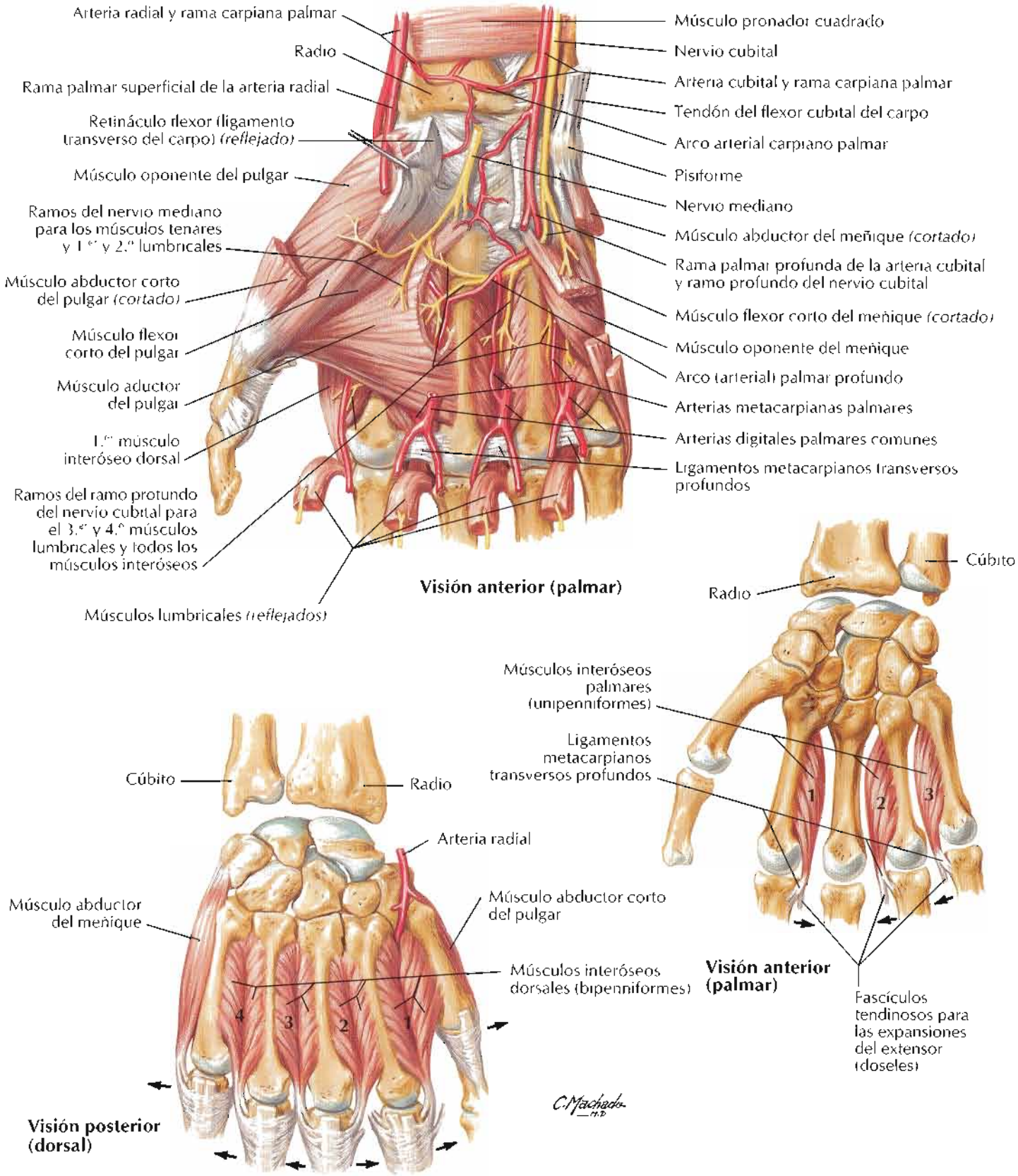




Nota: las flechas negras indican la tracción del tendón del extensor; las flechas rojas indican la tracción de los músculos interóseos y lumbrical; los puntos indican el eje de rotación de las articulaciones

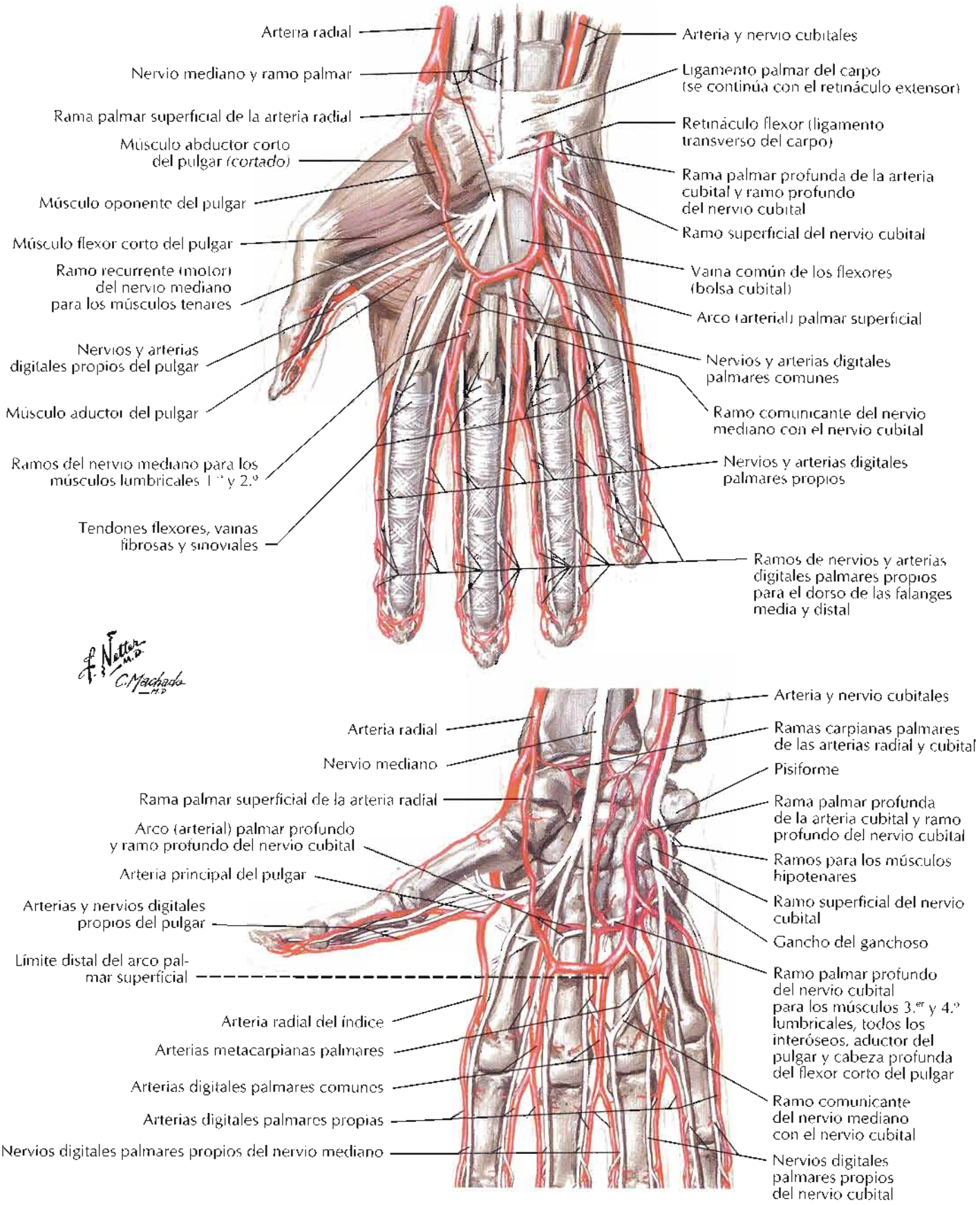
C. Machado M.D.

Músculos intrínsecos de la mano

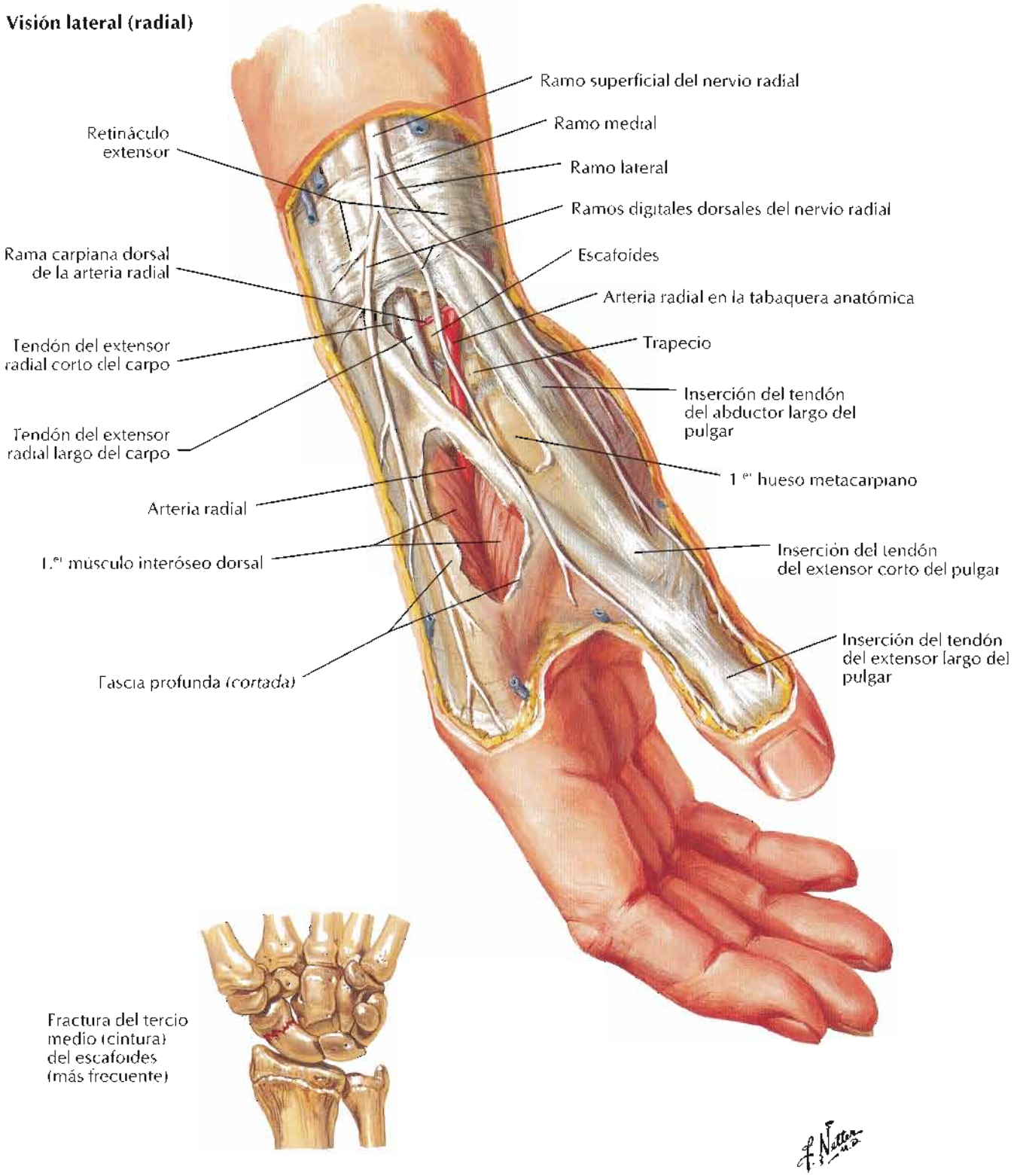


Nota: las flechas indican la acción de los músculos

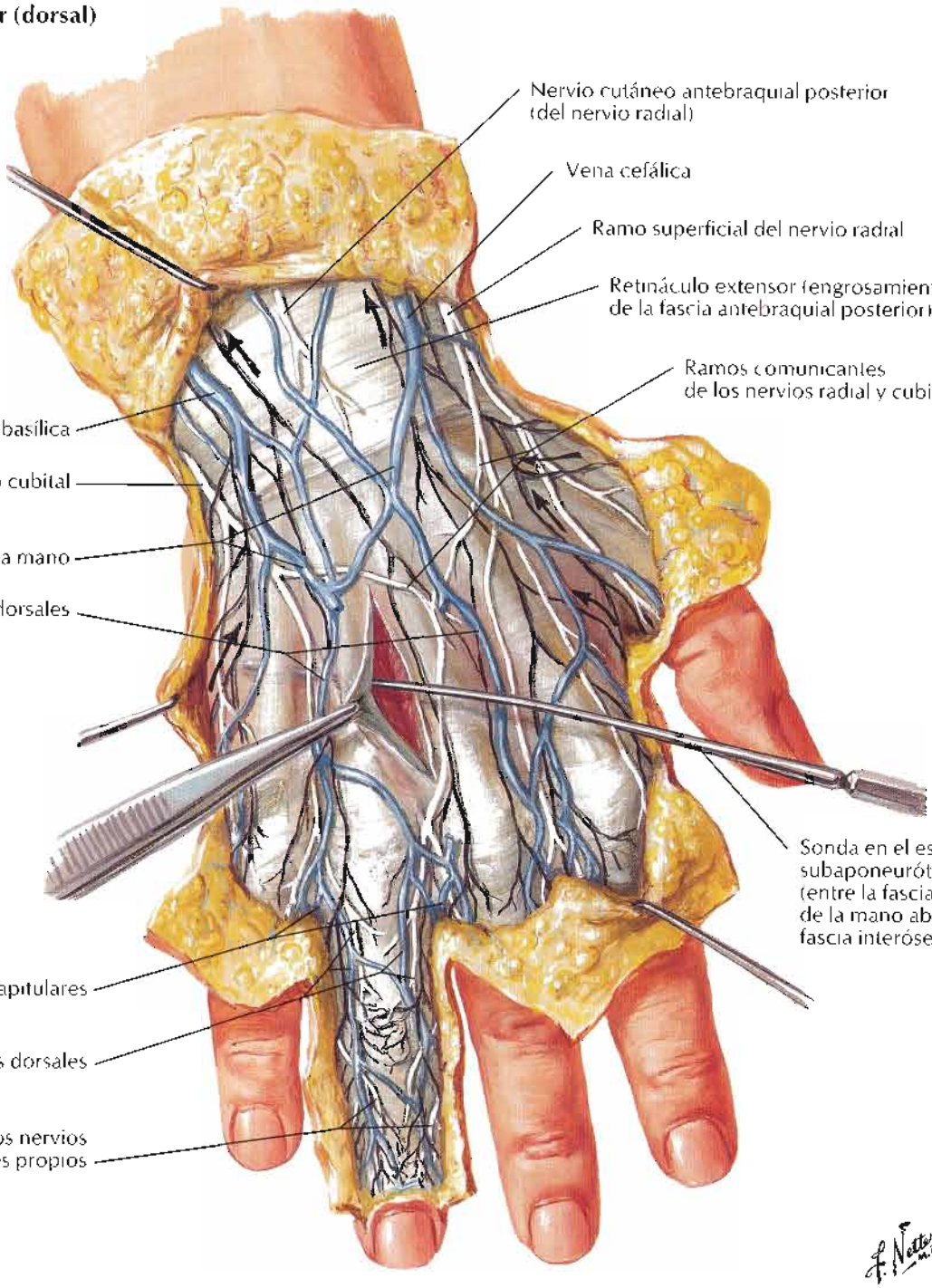
Arterias y nervios de la mano: visiones palmares



Carpo y mano: disección radial superficial

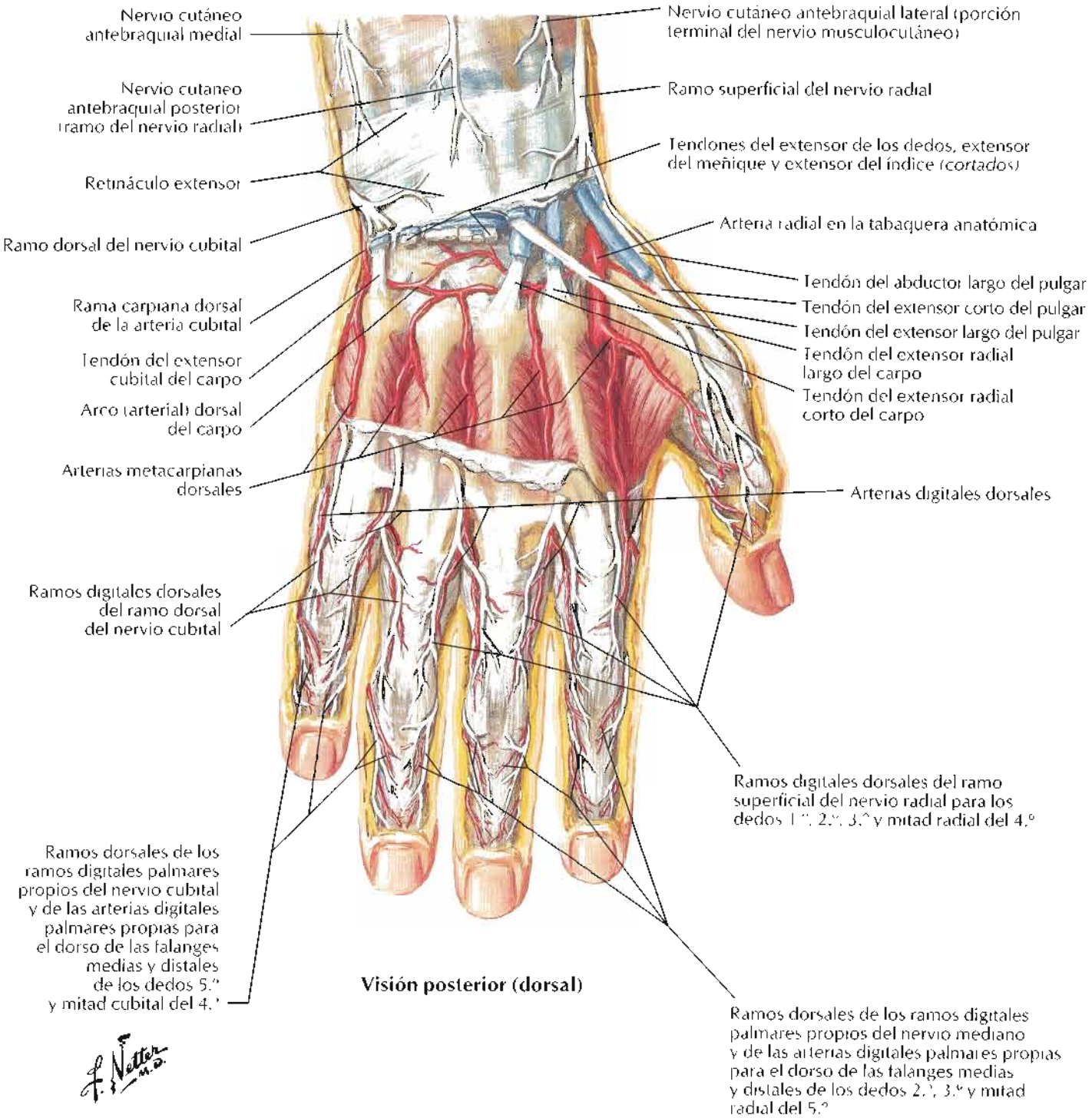


Visión posterior (dorsal)



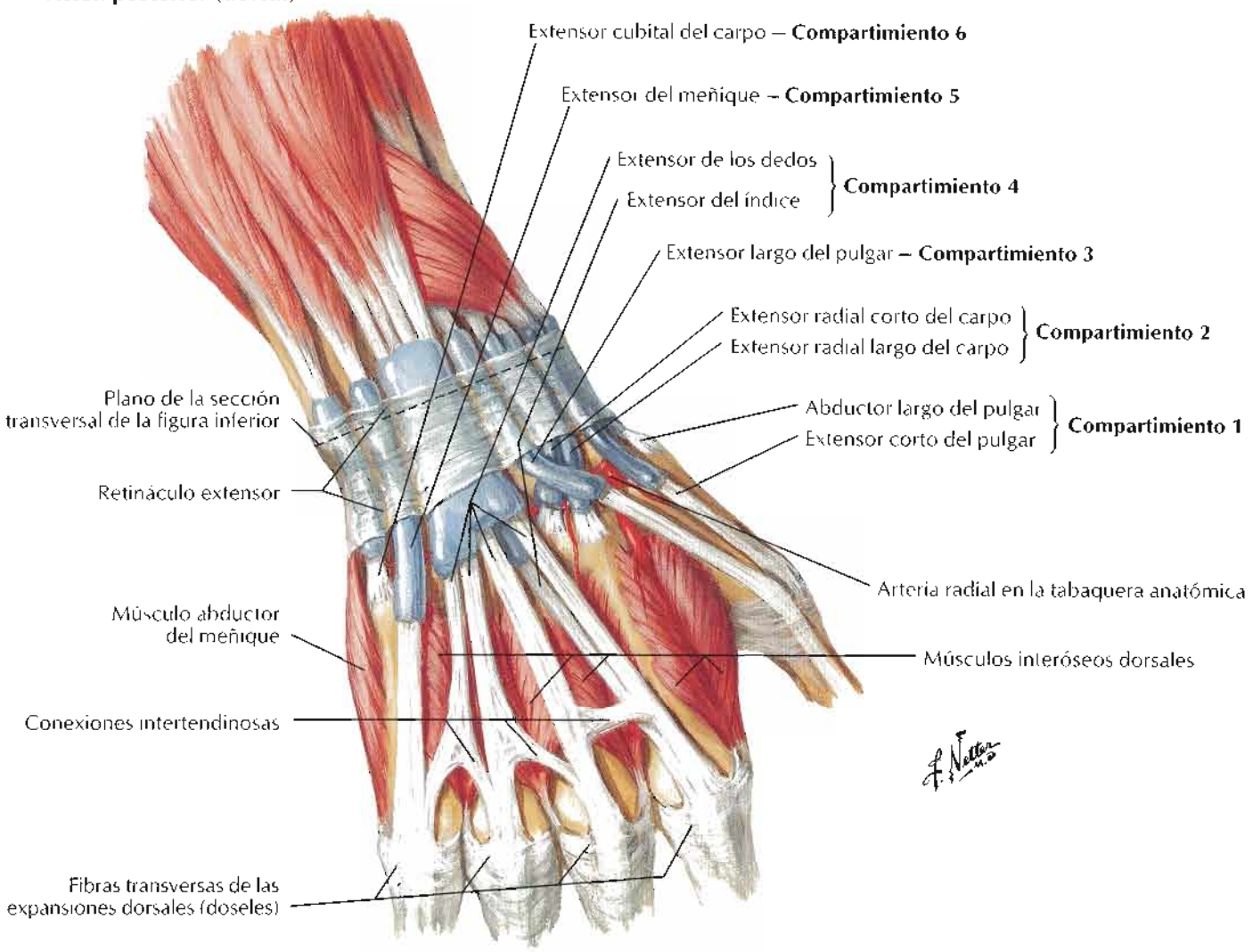
Nota: las vías linfáticas se muestran en negro; las flechas indican la dirección de drenaje

Carpo y mano: disección dorsal profunda

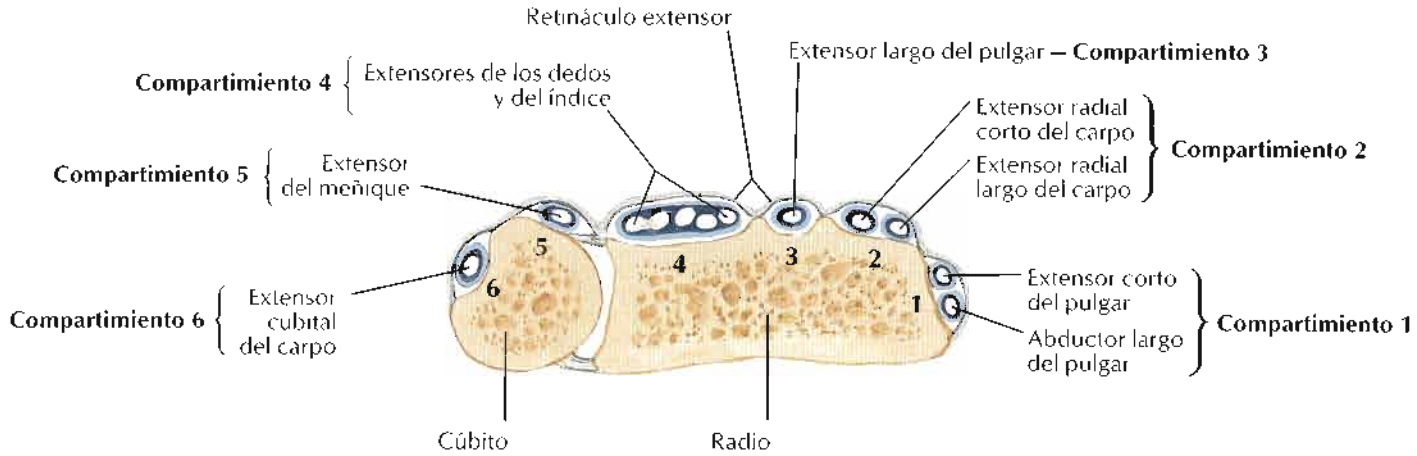


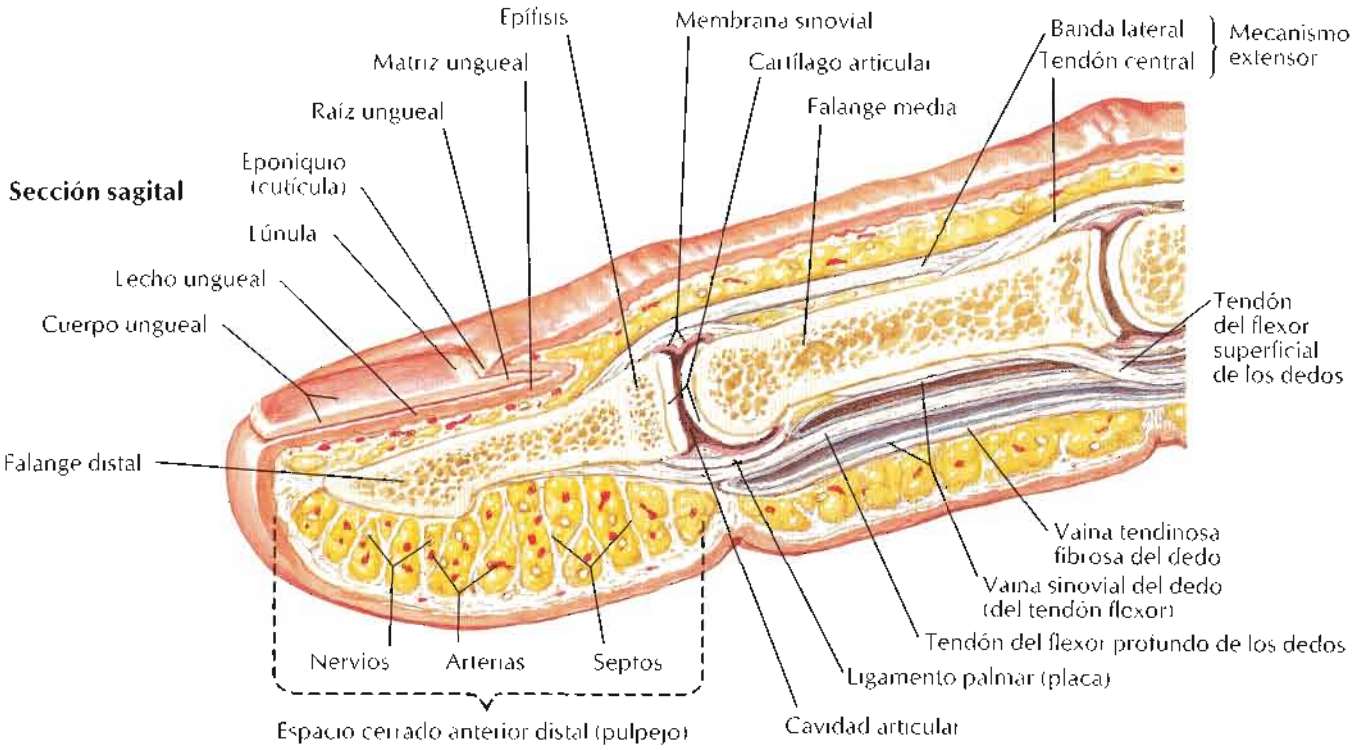
Visión posterior (dorsal)

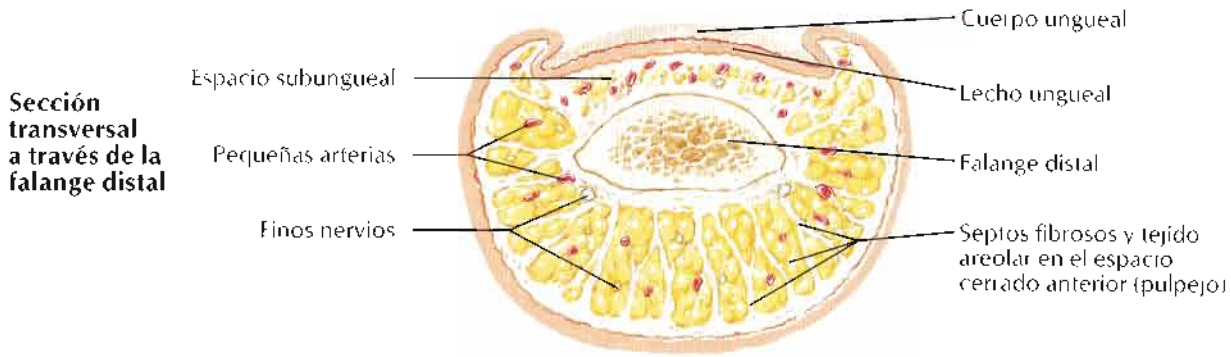
Visión posterior (dorsal)

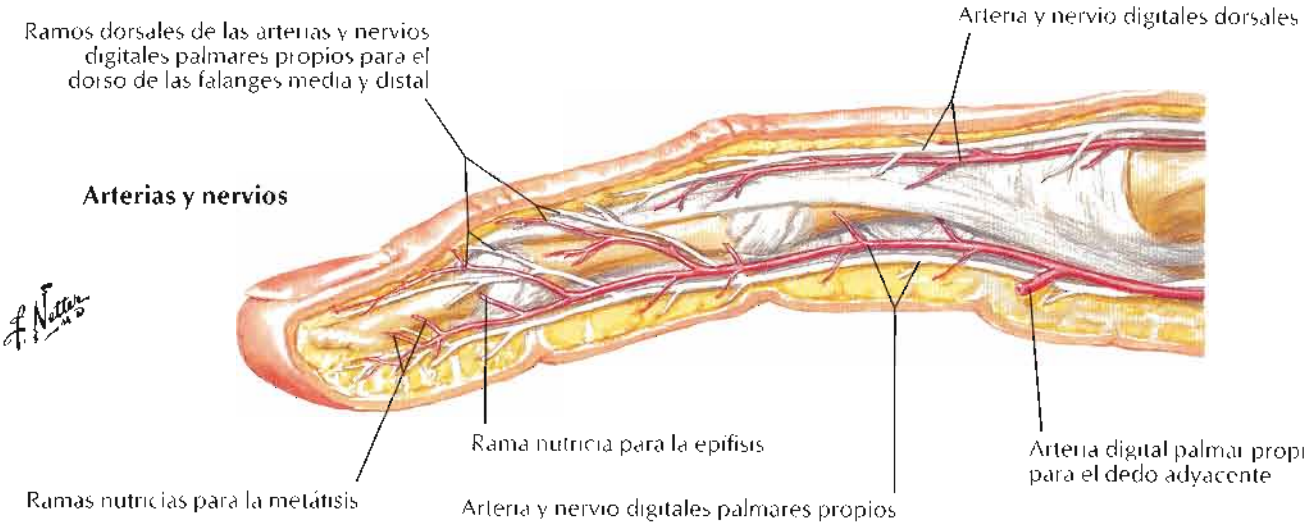


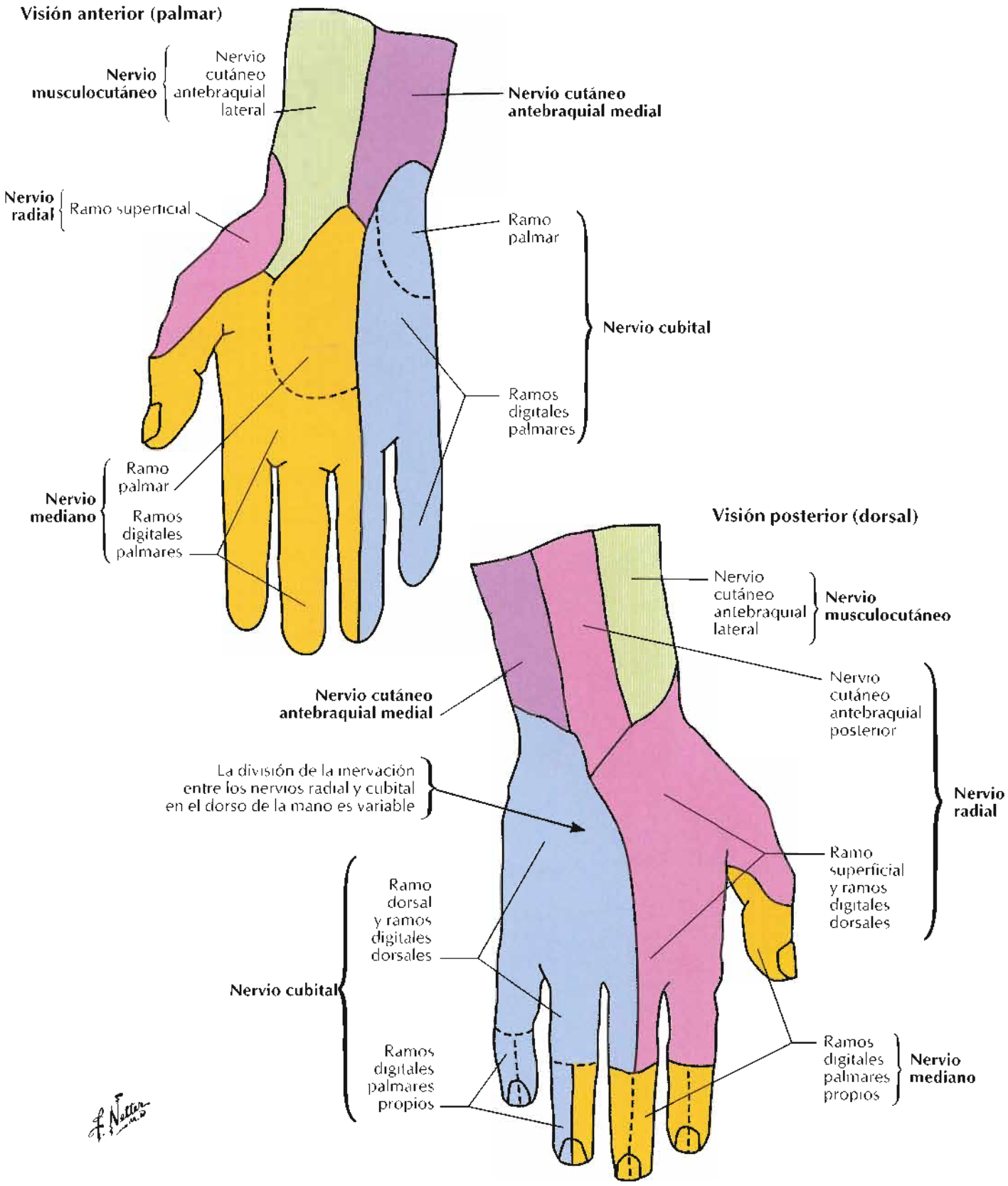
Sección transversal de la porción más distal del antebrazo




Sección sagital
Epífisis
Membrana sinovial
Matriz ungueal
Cartílago articular
Raíz ungueal
Falange media
Eponiquio (cutícula)
Lúnula
Lecho ungueal
Cuerpo ungueal
Falange distal
Banda lateral
Tendón central
Mecanismo extensor
Tendón del flexor superficial de los dedos
Vaina tendinosa fibrosa del dedo
Vaina sinovial del dedo (del tendón flexor)
Tendón del flexor profundo de los dedos
Ligamento palmar (placa)
Cavidad articular
Nervios
Arterias
Septos
Espacio cerrado anterior distal (pulpejo)

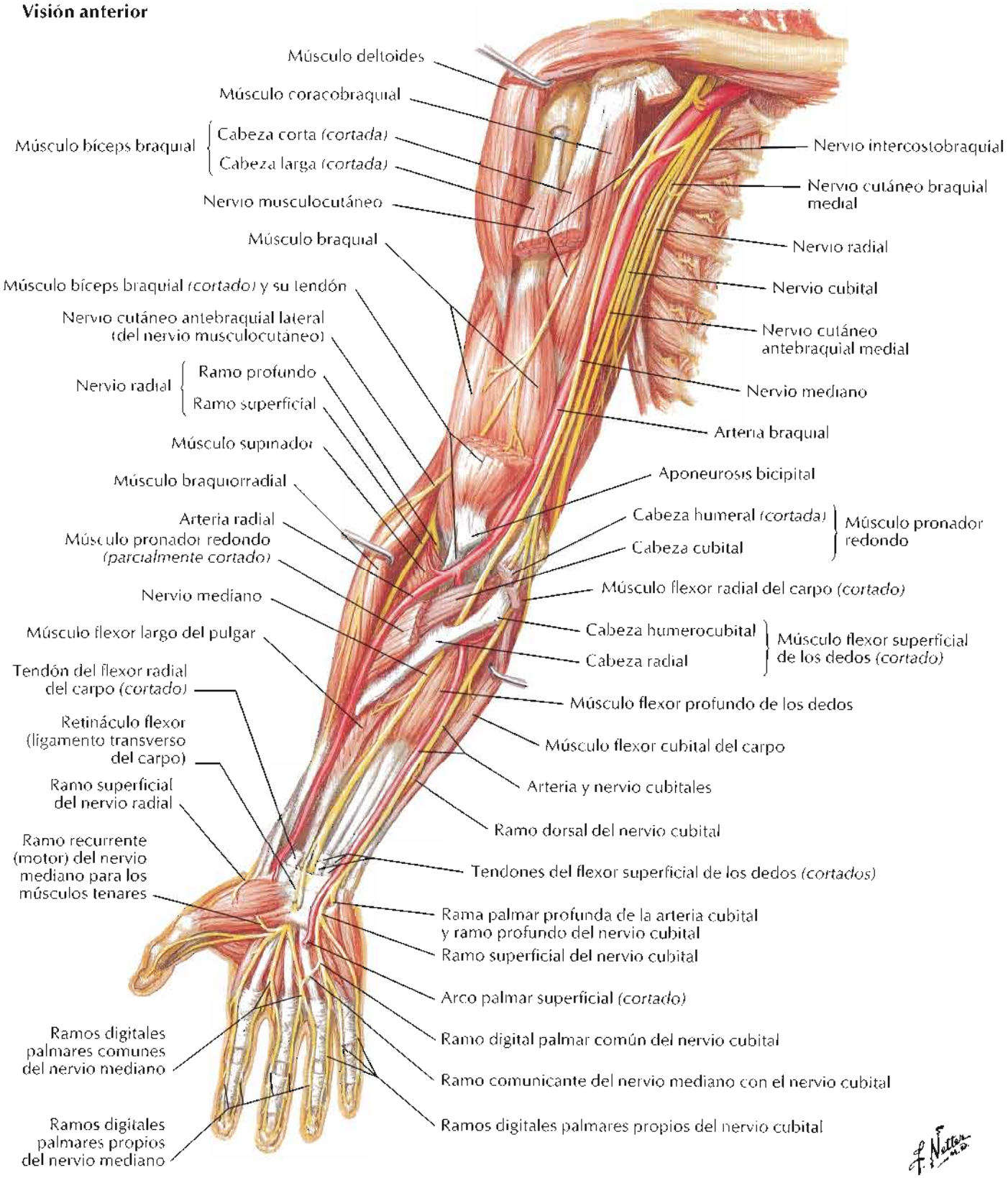

Sección transversal a través de la falange distal
Cuerpo ungueal
Espacio subungueal
Lecho ungueal
Pequeñas arterias
Falange distal
Finos nervios
Septos fibrosos y tejido areolar en el espacio cerrado anterior (pulpejo)

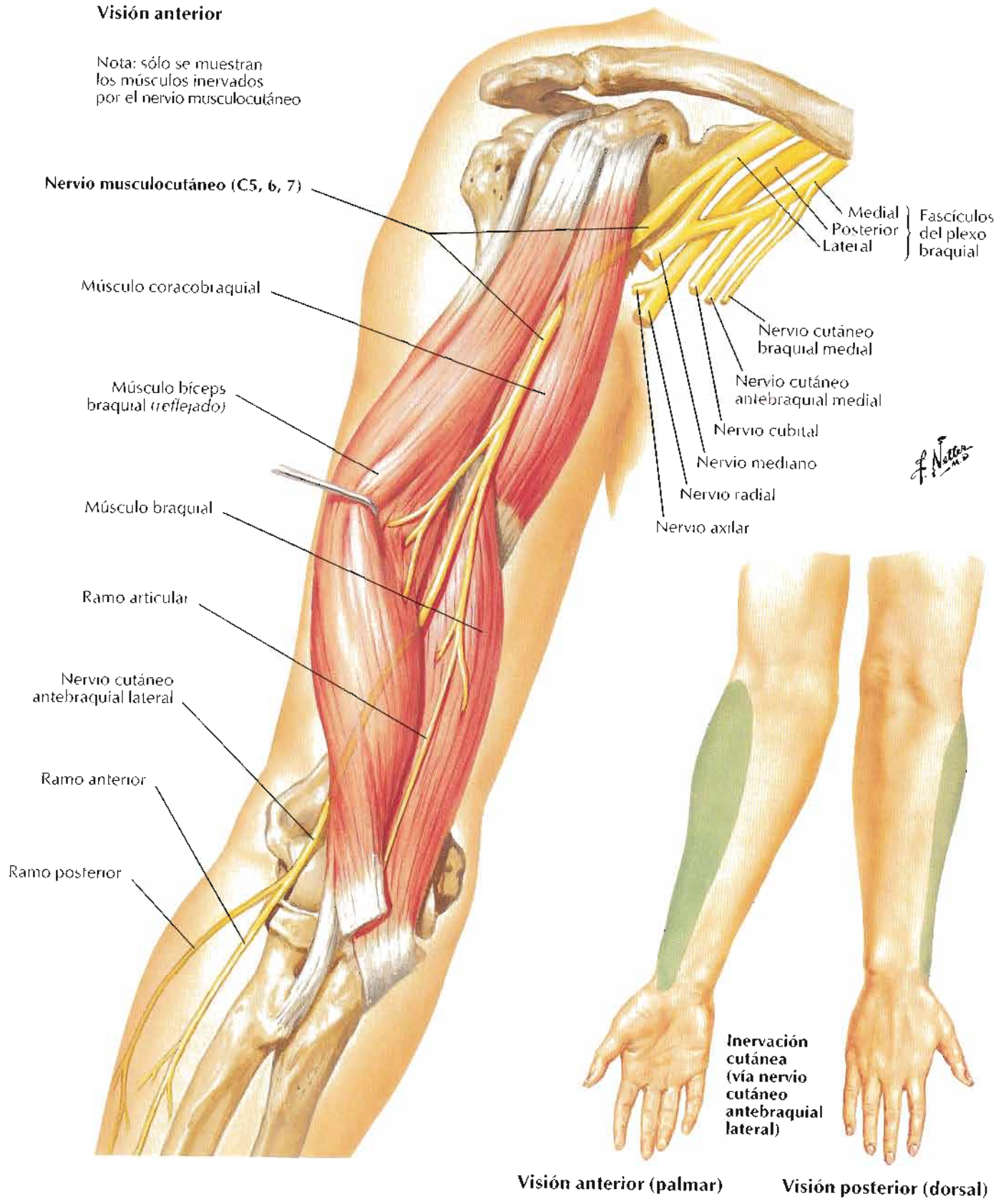

Arterias y nervios
Ramos dorsales de las arterias y nervios digitales palmares propios para el dorso de las falanges media y distal
Arteria y nervio digitales dorsales
Rama nutricia para la epífisis
Arteria digital palmar propia para el dedo adyacente
Ramas nutricias para la metáfisis
Arteria y nervio digitales palmares propios


Visión anterior (palmar)
Nervio musculocutáneo
Nervio cutáneo antebraquial lateral
Nervio cutáneo antebraquial medial
Nervio radial
Ramo superficial
Ramo palmar
Nervio cubital
Ramos digitales palmares
Nervio mediano
Ramo palmar
Ramos digitales palmares
Visión posterior (dorsal)
Nervio cutáneo antebraquial lateral
Nervio musculocutáneo
Nervio cutáneo antebraquial medial
Nervio cutáneo antebraquial posterior
La división de la inervación entre los nervios radial y cubital en el dorso de la mano es variable
Nervio radial
Ramo superficial y ramos digitales dorsales
Ramo dorsal y ramos digitales dorsales
Nervio cubital
Ramos digitales palmares propios
Ramos digitales palmares propios
Nervio mediano

Arterias y nervios del miembro superior

Visión anterior

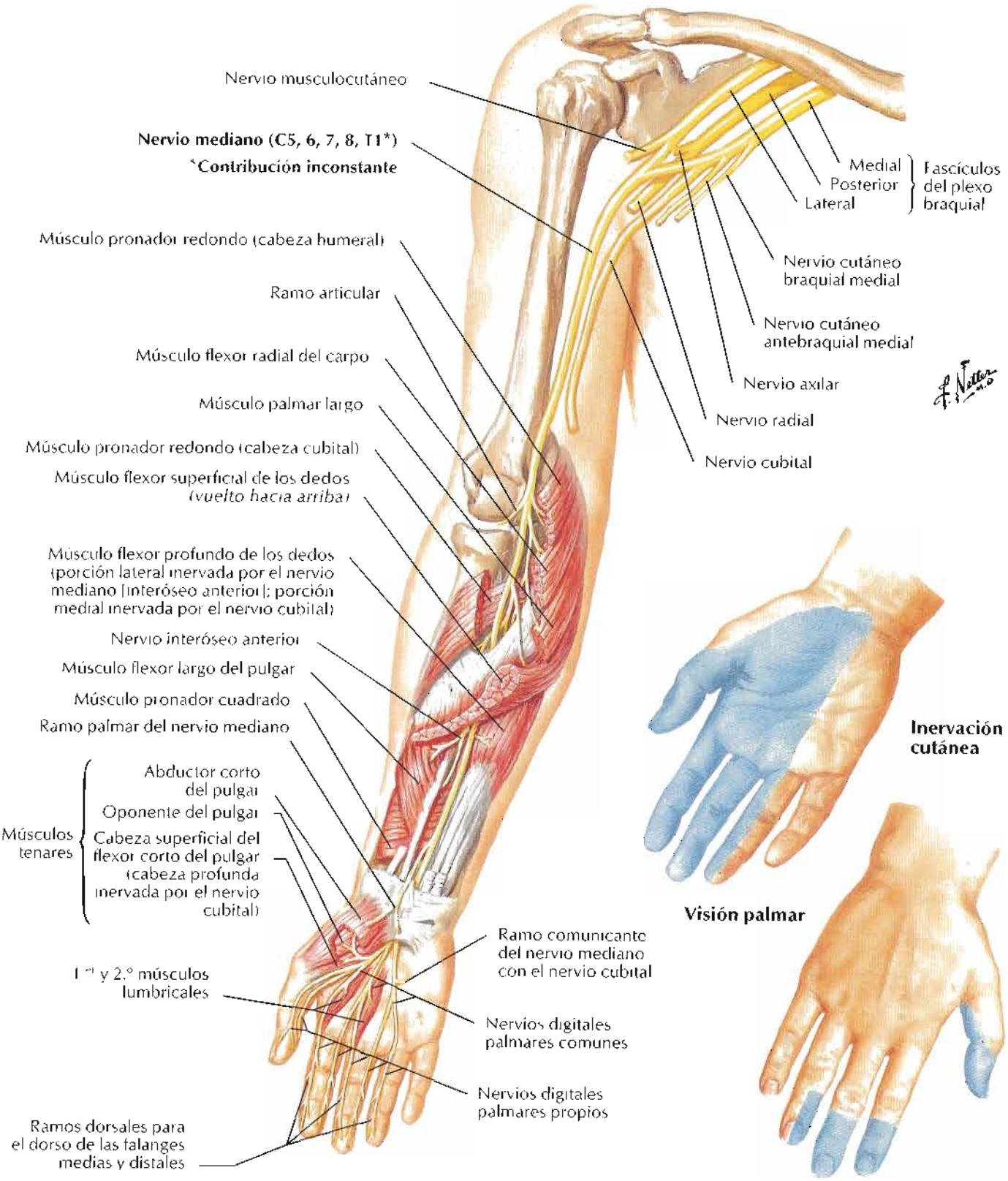



Visión anterior
Nota: sólo se muestran los músculos inervados por el nervio musculocutáneo
Nervio musculocutáneo (C5, 6, 7)
Músculo coracobraquial
Músculo bíceps braquial (reflejado)
Músculo braquial
Ramo articular
Nervio cutáneo antebraquial lateral
Ramo anterior
Ramo posterior
Medial
Posterior
Lateral
Fascículos del plexo braquial
Nervio cutáneo braquial medial
Nervio cutáneo antebraquial medial
Nervio cubital
Nervio mediano
Nervio radial
Nervio axilar
Inervación cutánea (vía nervio cutáneo antebraquial lateral)
Visión anterior (palmar)
Visión posterior (dorsal)

Nervio mediano

Visión anterior

Nota: sólo se muestran los músculos inervados por el nervio mediano



Visión anterior

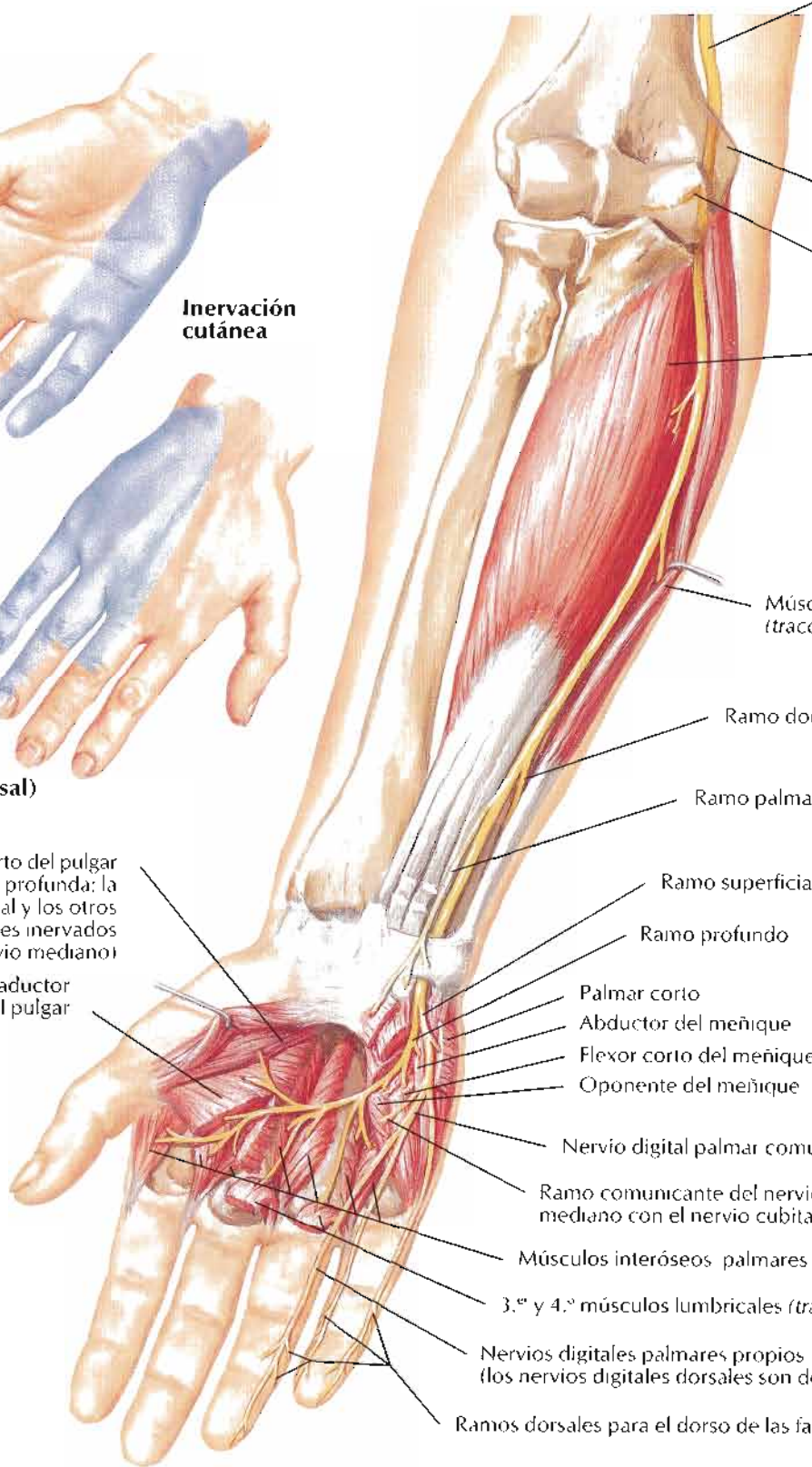
Nota: sólo se muestran los músculos inervados por el nervio cubital



Inervación cutánea

Visión palmar

Visión posterior (dorsal)



Nervio cubital (C7*, 8, T1) (no da ramos por encima del codo)

*Contribución inconstante

Epicóndilo medial

Ramo articular (detrás del cóndilo)

Músculo flexor profundo de los dedos (sólo la porción medial; la porción lateral inervada por el ramo interóseo anterior del nervio mediano)

Músculo flexor cubital del carpo *(traccionado hacia un lado)*

Ramo dorsal del nervio cubital

Ramo palmar

Ramo superficial

Ramo profundo

Músculo flexor corto del pulgar (sólo la cabeza profunda; la cabeza superficial y los otros músculos tenares inervados por el nervio mediano)

Músculo aductor del pulgar

Palmar corto
Abductor del meñique
Flexor corto del meñique
Oponente del meñique
} Músculos hipotenares

Nervio digital palmar común

Ramo comunicante del nervio mediano con el nervio cubital

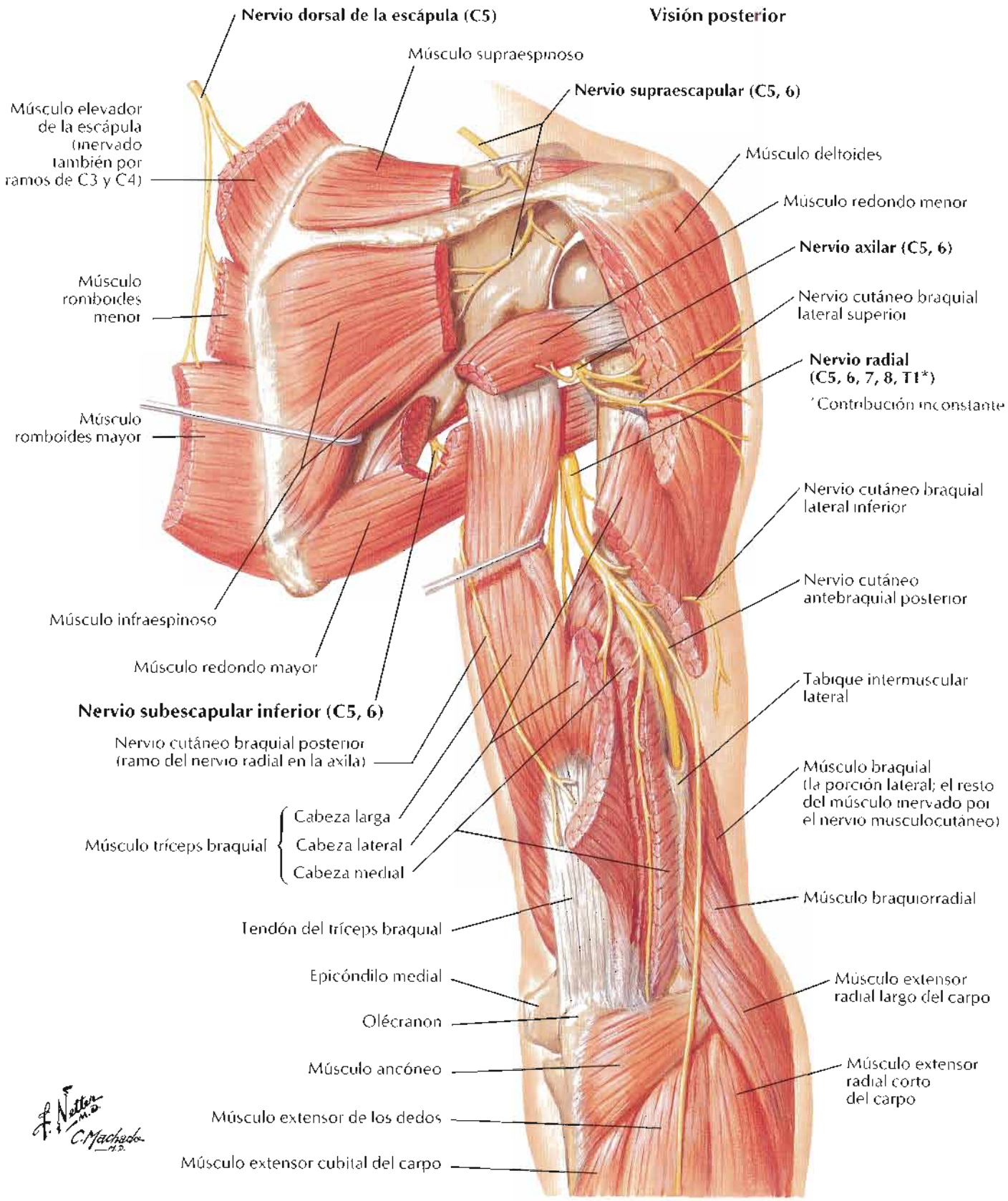
Músculos interóseos palmares y dorsales

3.º y 4.º músculos lumbricales *(traccionados hacia abajo)*

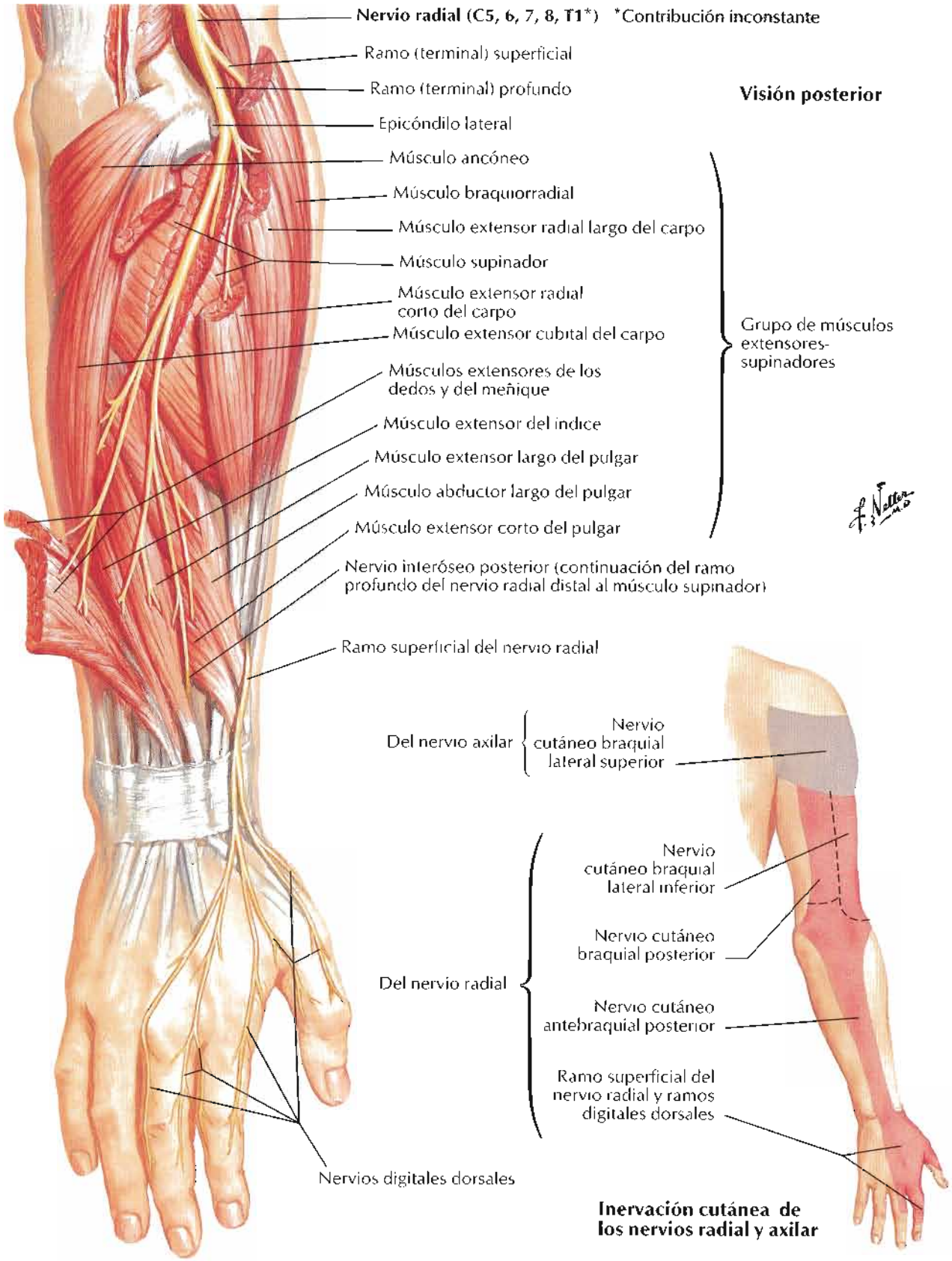
Nervios digitales palmares propios (los nervios digitales dorsales son del ramo dorsal)

Ramos dorsales para el dorso de las falanges medias y distales

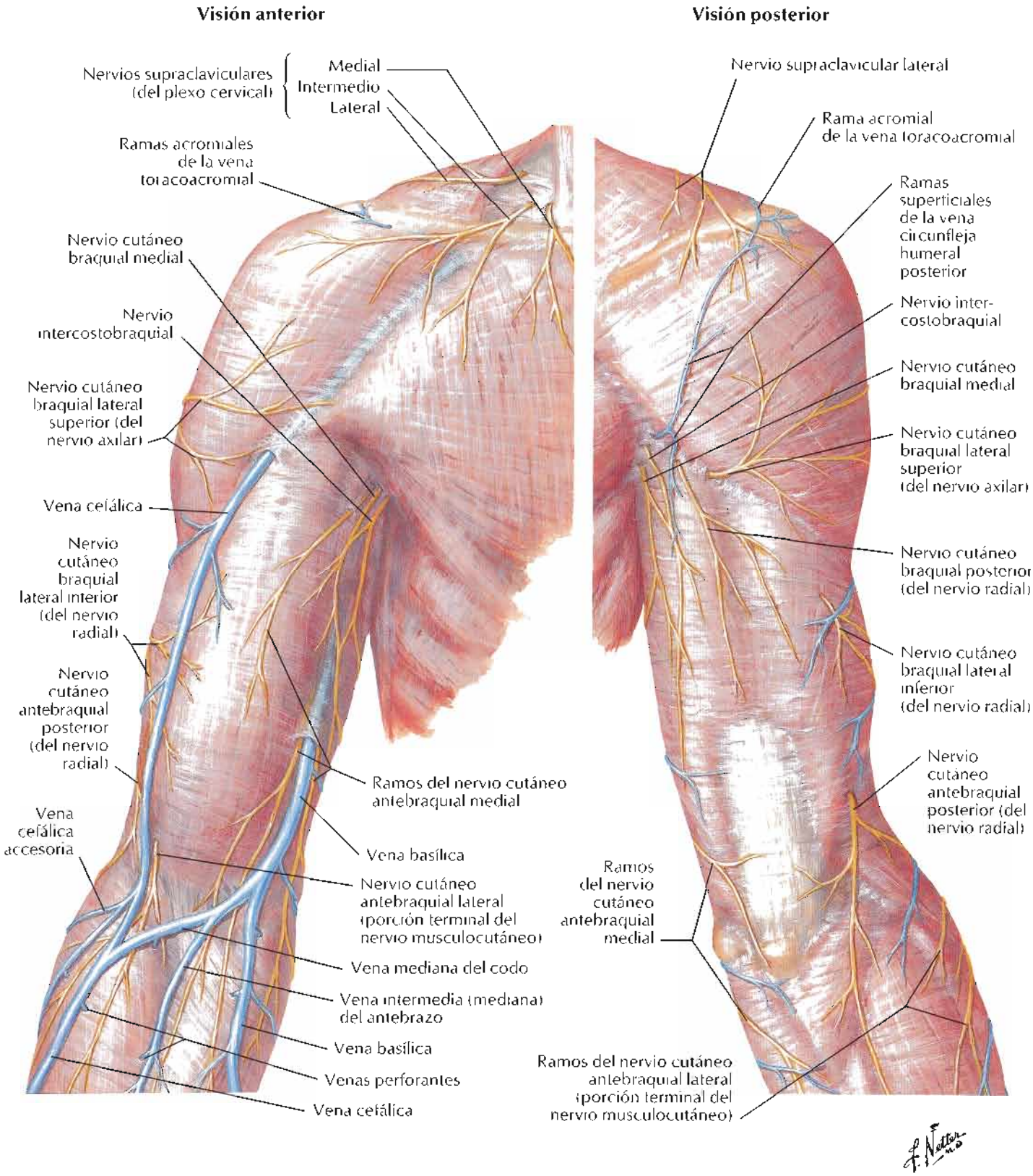
Nervio radial en el brazo y nervios posteriores del hombro

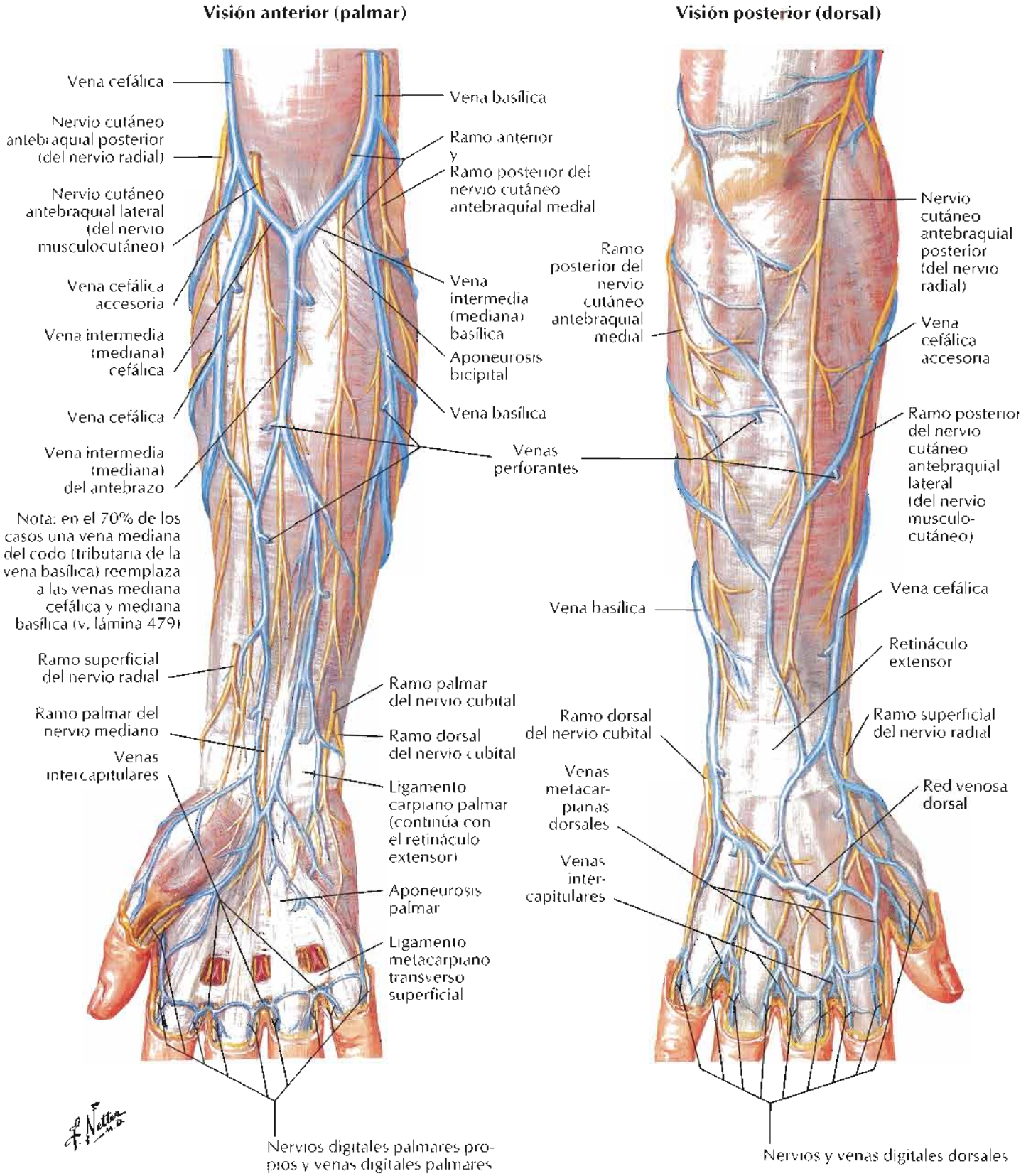


Véase también **lámina 467**

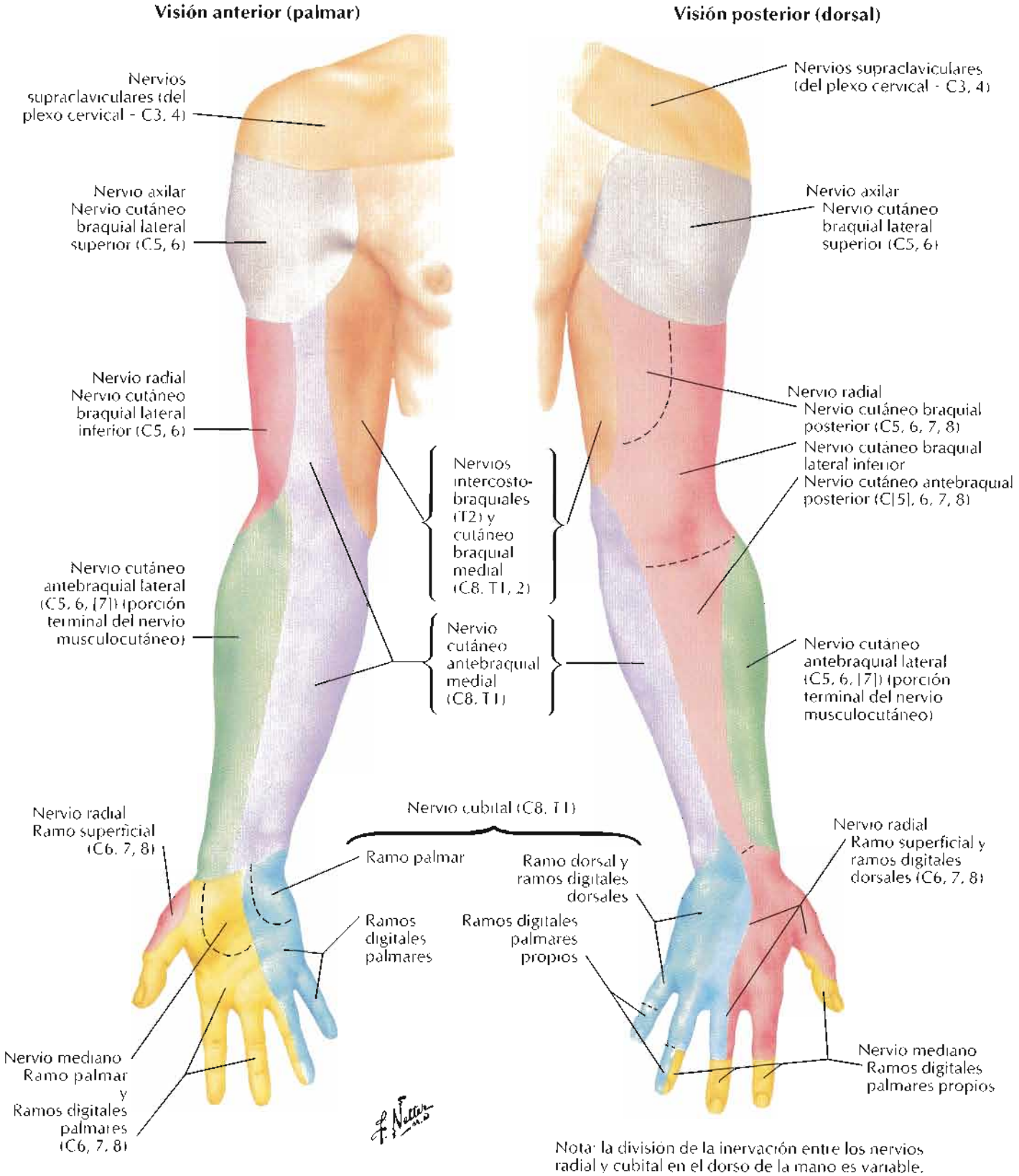


Nervios cutáneos y venas superficiales del hombro y brazo



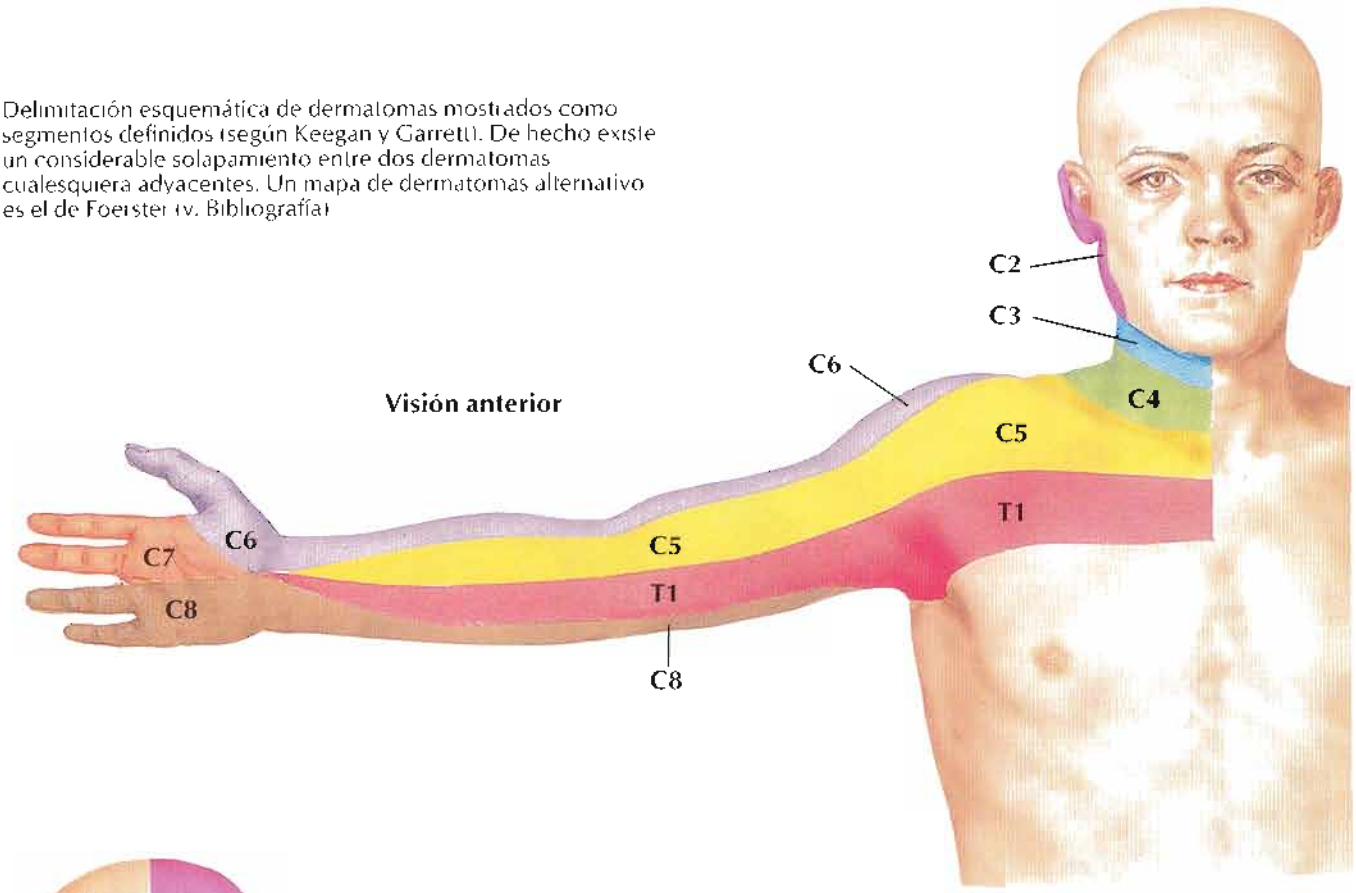

Visión anterior (palmar)
Vena cefálica
Vena basílica
Nervio cutáneo antebraquial posterior (del nervio radial)
Ramo anterior y Ramo posterior del nervio cutáneo antebraquial medial
Nervio cutáneo antebraquial lateral (del nervio musculocutáneo)
Vena cefálica accesoria
Vena intermedia (mediana) basílica
Vena intermedia (mediana) cefálica
Aponeurosis bicipital
Vena cefálica
Vena basílica
Vena intermedia (mediana) del antebrazo
Venas perforantes
Nota: en el 70% de los casos una vena mediana del codo (tributaria de la vena basílica) reemplaza a las venas mediana cefálica y mediana basílica (v. lámina 479)
Ramo superficial del nervio radial
Ramo palmar del nervio cubital
Ramo palmar del nervio mediano
Ramo dorsal del nervio cubital
Venas intercapitulares
Ligamento carpiano palmar (continúa con el retináculo extensor)
Aponeurosis palmar
Ligamento metacarpiano transverso superficial
Nervios digitales palmares propios y venas digitales palmares
Visión posterior (dorsal)
Nervio cutáneo antebraquial posterior (del nervio radial)
Ramo posterior del nervio cutáneo antebraquial medial
Vena cefálica accesoria
Ramo posterior del nervio cutáneo antebraquial lateral (del nervio musculocutáneo)
Vena basílica
Vena cefálica
Retináculo extensor
Ramo dorsal del nervio cubital
Ramo superficial del nervio radial
Venas metacarpianas dorsales
Red venosa dorsal
Venas intercapitulares
Nervios y venas digitales dorsales

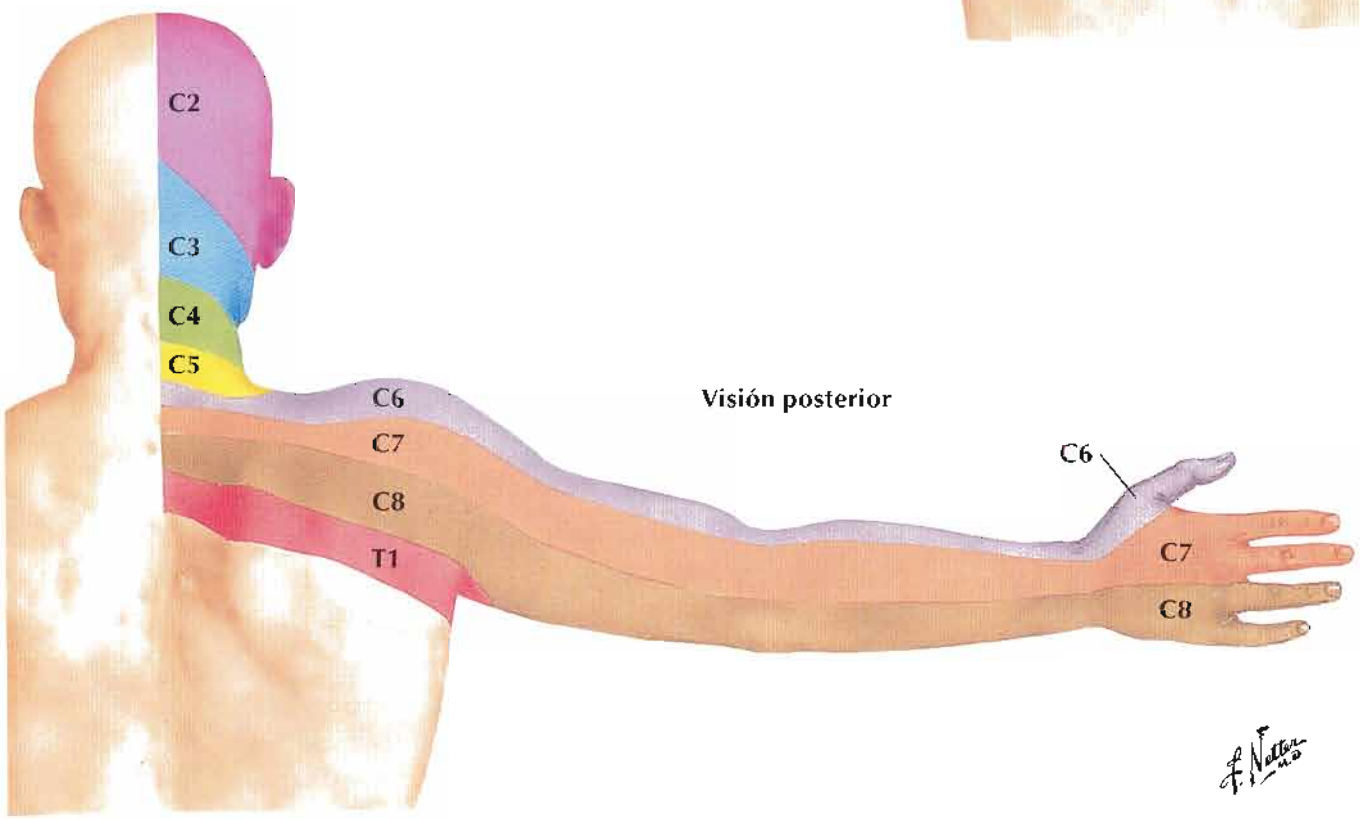
Inervación cutánea del miembro superior



Nota: la división de la inervación entre los nervios radial y cubital en el dorso de la mano es variable.

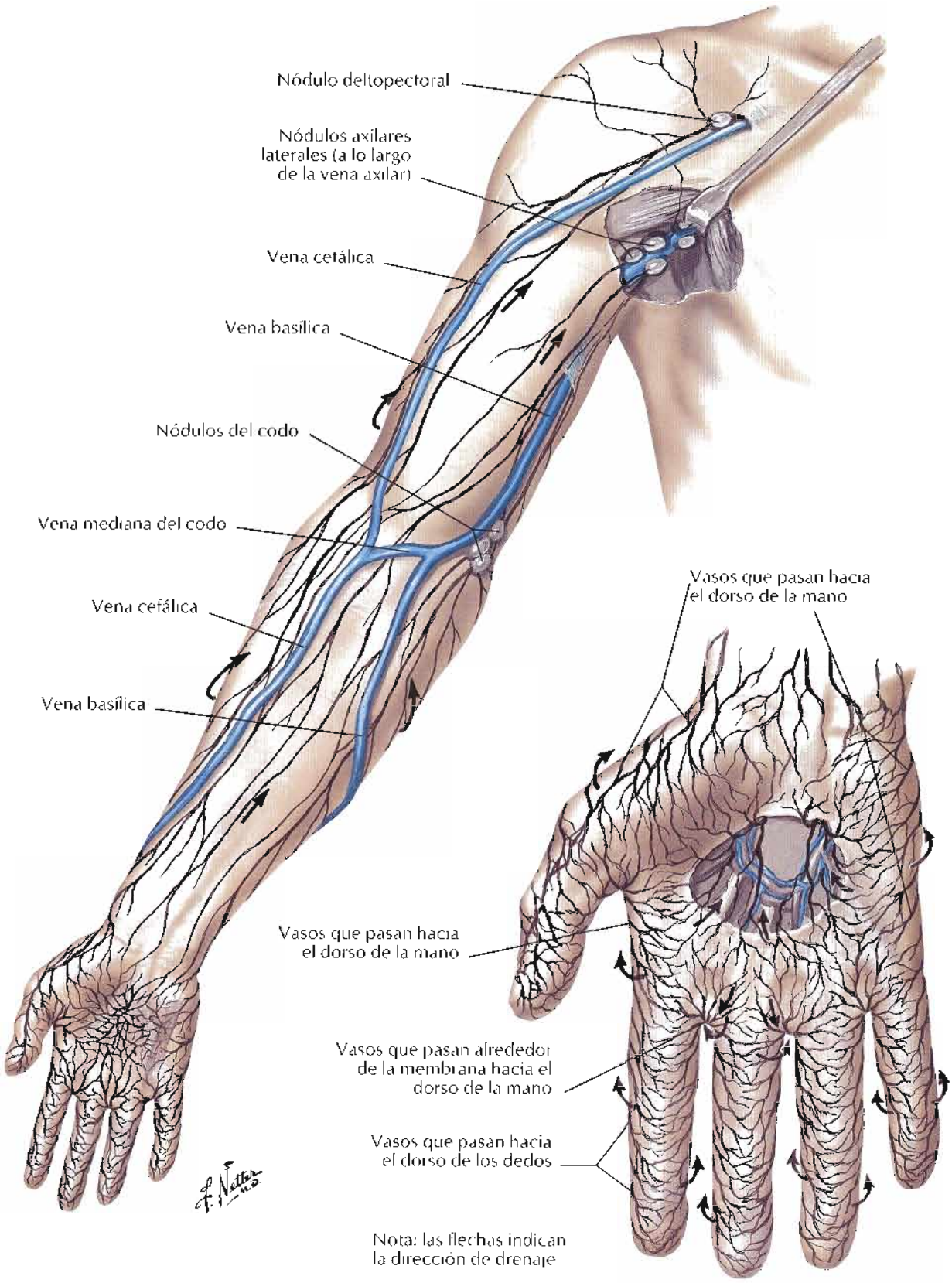
Delimitación esquemática de dermatomas mostrados como segmentos definidos (según Keegan y Garrett). De hecho existe un considerable solapamiento entre dos dermatomas cualesquiera adyacentes. Un mapa de dermatomas alternativo es el de Foerster (v. Bibliografía).

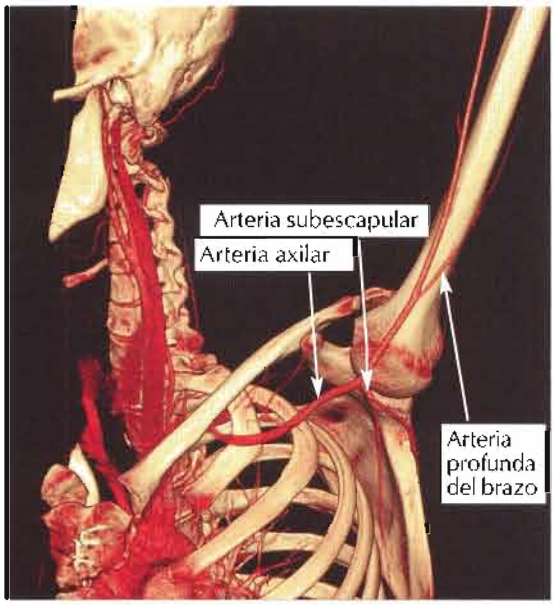


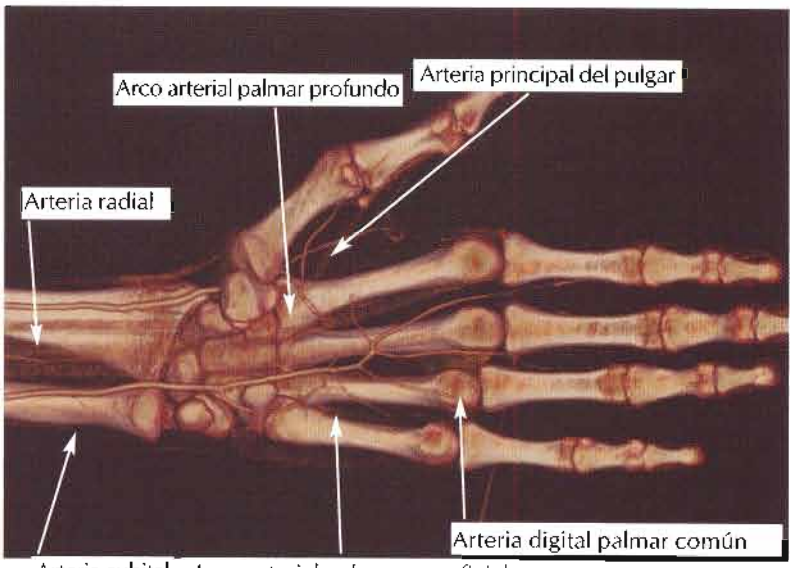


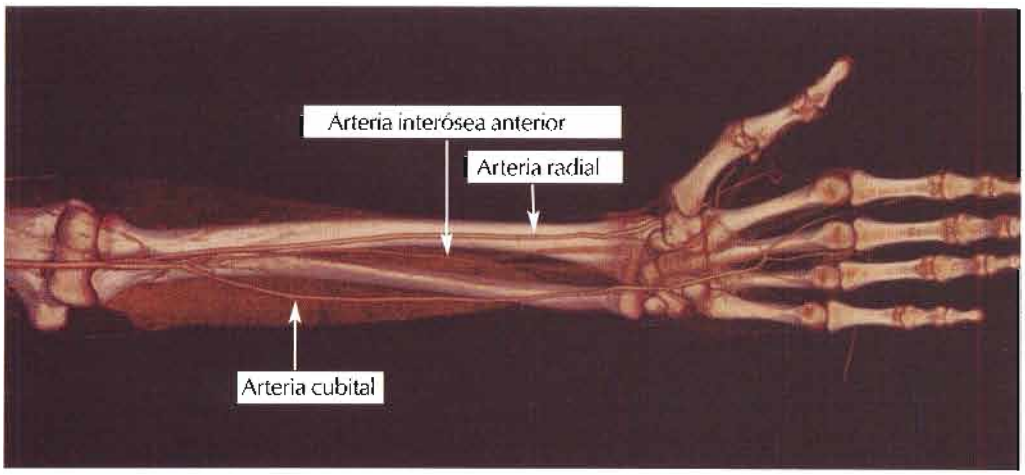
Vasos y nódulos linfáticos del miembro superior

Véanse también **láminas 184, 468**

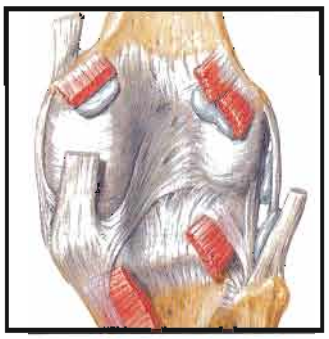
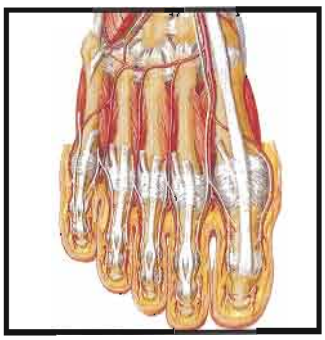
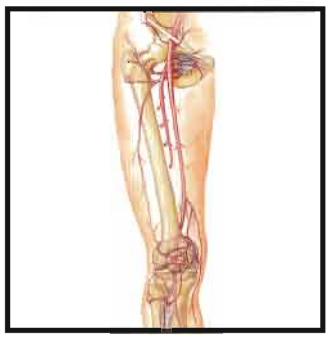



Arteria subescapular
Arteria axilar
Arteria profunda del brazo


Arco arterial palmar profundo
Arteria principal del pulgar
Arteria radial
Arteria digital palmar común
Arteria cubital
Arco arterial palmar superficial


Arteria interósea anterior
Arteria radial
Arteria cubital

Sección 7 Miembro inferior

Anatomía de superficie

Lámina 485

485 Miembro inferior

Cadera y muslo

Láminas 486–505

486 Hueso coxal

487 Articulación de la cadera

488 Artículación de la cadera: radiografía anteroposterior

489 Fémur

490 Inserciones óseas de los músculos de cadera y muslo: visión anterior

491 Inserciones óseas de los músculos de cadera y muslo: visión posterior

492 Músculos del muslo: visiones anteriores

493 Músculos del muslo: visiones anteriores *(continuación)*

494 Músculos de la cadera y muslo: visión lateral

495 Músculos de la cadera y muslo: visiones posteriores

496 Músculos psoas e ilíaco

497 Plexos lumbosacro y coccígeo

498 Plexo lumbar

499 Plexos sacro y coccígeo

500 Arterias y nervios del muslo: visiones anteriores

501 Arterias y nervios del muslo: visiones anteriores *(continuación)*

502 Arterias y nervios del muslo: visión posterior

503 Nervios de la cadera y nalga

504 Arterias de la cabeza y cuello femorales

505 Muslo: secciones transversales seriadas

7 Miembro inferior

Rodilla

Láminas 506–512

506 Rodilla: visiones lateral y medial

507 Rodilla: visiones anteriores

508 Rodilla: interior

509 Rodilla: ligamentos cruzados y colaterales

510 Rodilla: radiografía anteroposterior

511 Rodilla: visiones posterior y sagital

512 Arterias del muslo y rodilla: esquema

Pierna

Láminas 513–522

513 Tibia y peroné

514 Tibia y peroné *(continuación)*

515 Inserciones de los músculos de la pierna

516 Músculos de la pierna (disección superficial): visión posterior

517 Músculos de la pierna (disección intermedia): visión posterior

518 Músculos de la pierna (disección profunda): visión posterior

519 Músculos de la pierna (disección superficial): visión anterior

520 Músculos de la pierna (disección profunda): visión anterior

521 Músculos de la pierna: visión lateral

522 Pierna: secciones transversales y compartimientos de la fascia

Tobillo y pie

Láminas 523–537

523 Huesos del pie

524 Huesos del pie *(continuación)*

525 Calcáneo

526 Tobillo: radiografías

527 Ligamentos y tendones del tobillo

528 Ligamentos y tendones del pie: visión plantar

529 Vainas tendinosas del tobillo

530 Músculos del dorso del pie: disección superficial

531 Dorso del pie: disección profunda

532 Planta del pie: disección superficial

533 Músculos de la planta del pie: primer plano

534 Músculos de la planta del pie: segundo plano

535 Músculos de la planta del pie: tercer plano

536 Músculos interóseos y arterias profundas del pie

537 Músculos interóseos del pie

Inervación y vasculatura

Láminas 538–546

538 Nervios femoral y cutáneo femoral lateral

539 Nervio obturador

540 Nervios ciático y cutáneo femoral posterior

541 Nervio tibial

542 Nervio peroneo común

543 Dermatomas del miembro inferior

544 Nervios y venas superficiales del miembro inferior: visión anterior

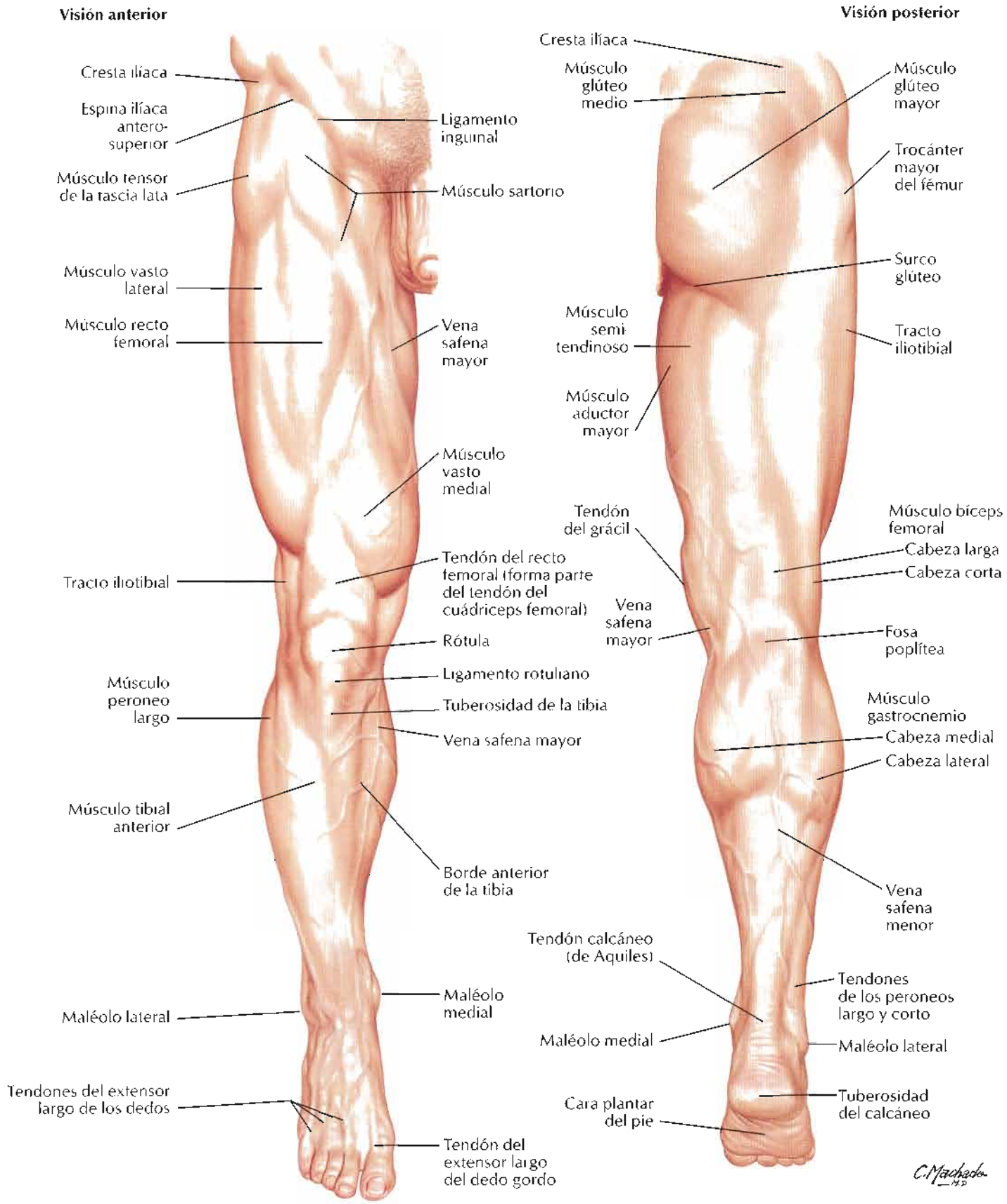
545 Nervios y venas superficiales del miembro inferior: visión posterior

546 Vasos y nódulos linfáticos del miembro inferior

Exploraciones regionales

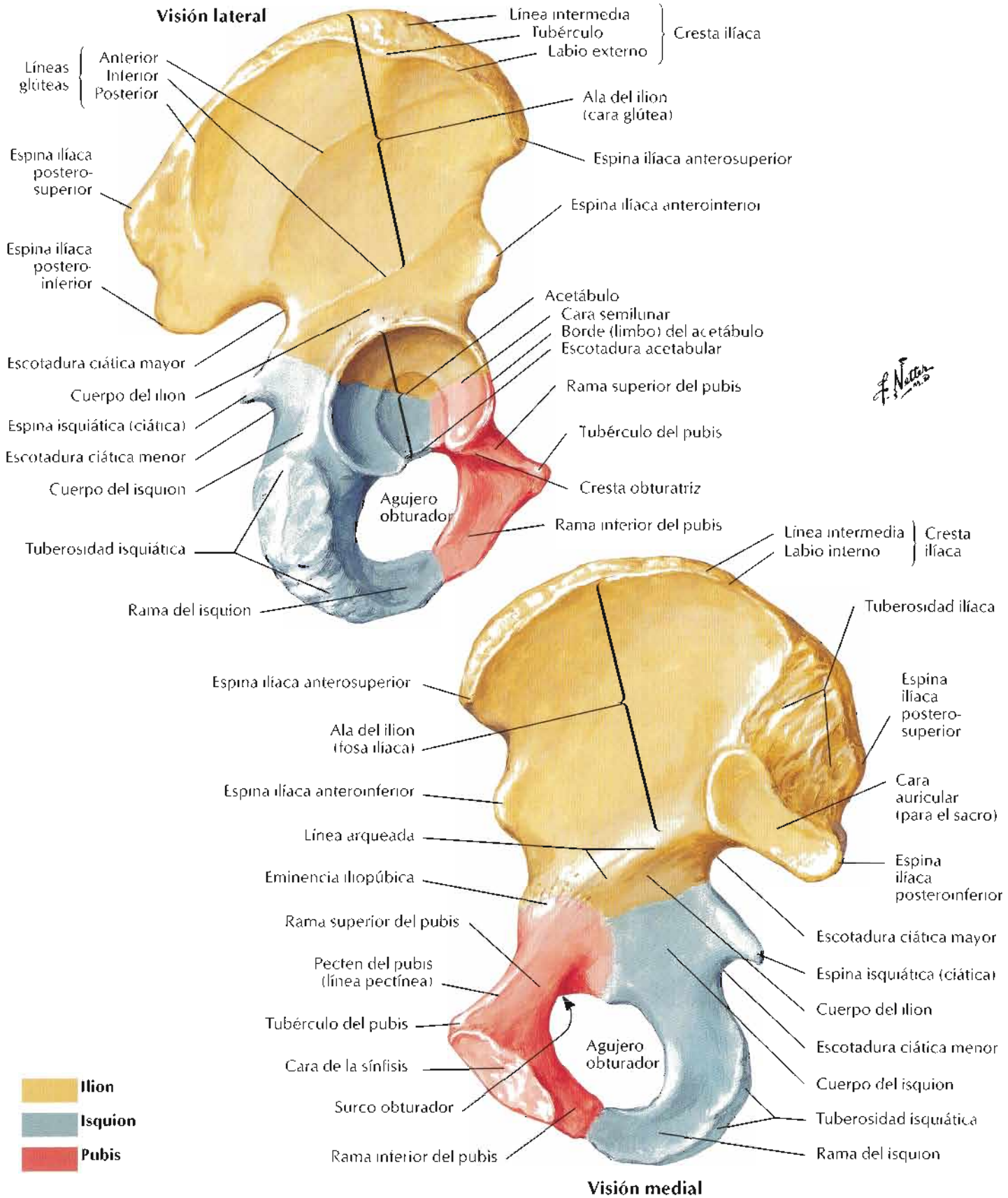
Lámina 547

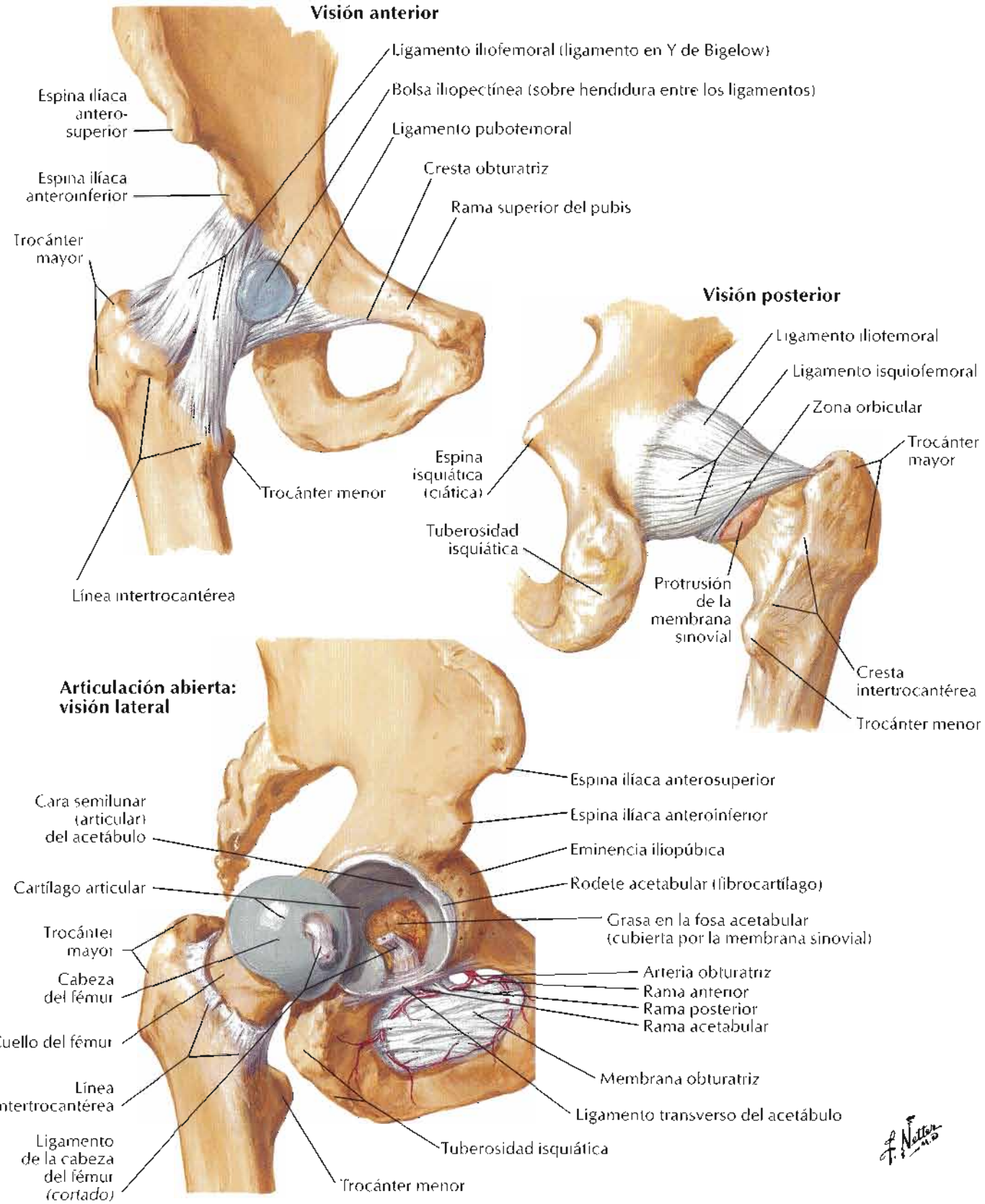
547 TC de arteriografías del miembro inferior


Visión anterior
Cresta ilíaca
Espina ilíaca antero-superior
Músculo tensor de la fascia lata
Ligamento inguinal
Músculo sartorio
Músculo vasto lateral
Músculo recto femoral
Vena safena mayor
Músculo vasto medial
Tracto iliotibial
Tendón del recto femoral (forma parte del tendón del cuádriceps femoral)
Rótula
Ligamento rotuliano
Tuberosidad de la tibia
Vena safena mayor
Músculo peroneo largo
Músculo tibial anterior
Borde anterior de la tibia
Maléolo lateral
Maléolo medial
Tendones del extensor largo de los dedos
Tendón del extensor largo del dedo gordo
Visión posterior
Cresta ilíaca
Músculo glúteo medio
Músculo glúteo mayor
Trocánter mayor del fémur
Surco glúteo
Músculo semi-tendinoso
Tracto iliotibial
Músculo aductor mayor
Tendón del grácil
Músculo bíceps femoral
Cabeza larga
Cabeza corta
Vena safena mayor
Fosa poplítea
Músculo gastrocnemio
Cabeza medial
Cabeza lateral
Vena safena menor
Tendón calcáneo (de Aquiles)
Tendones de los peroneos largo y corto
Maléolo medial
Maléolo lateral
Cara plantar del pie
Tuberosidad del calcáneo
C. Machado M.D.

Hueso coxal

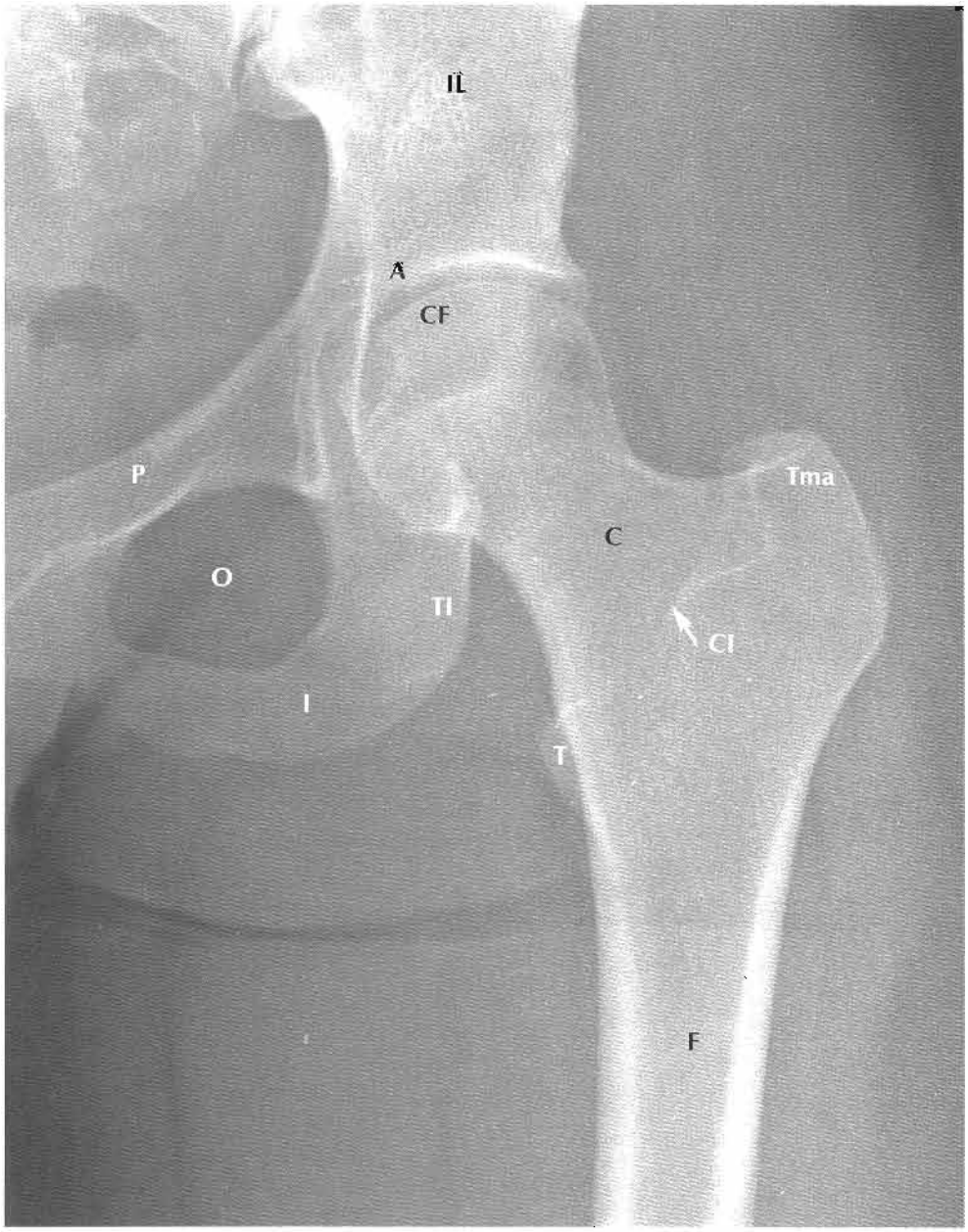
Véanse también **láminas 248, 352, 353**



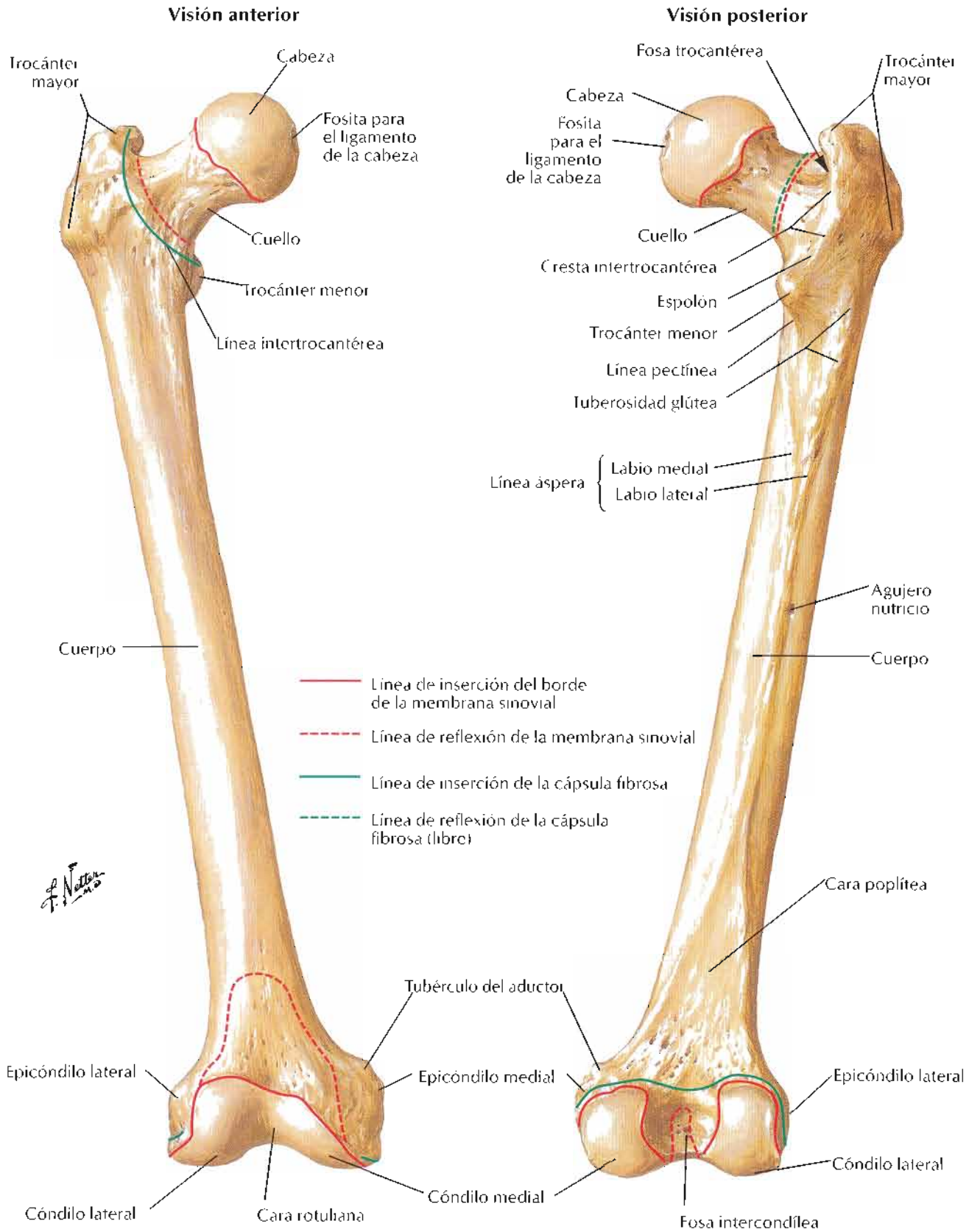

Visión anterior
Ligamento iliofemoral (ligamento en Y de Bigelow)
Bolsa iliopectínea (sobre hendidura entre los ligamentos)
Espina ilíaca antero-superior
Ligamento pubofemoral
Cresta obturatriz
Espina ilíaca anteroinferior
Rama superior del pubis
Trocánter mayor
Trocánter menor
Línea intertrocantérea
Visión posterior
Ligamento iliofemoral
Ligamento isquiofemoral
Zona orbicular
Trocánter mayor
Espina isquiática (ciática)
Tuberosidad isquiática
Protrusión de la membrana sinovial
Cresta intertrocantérea
Trocánter menor
Articulación abierta: visión lateral
Espina ilíaca anterosuperior
Cara semilunar (articular) del acetábulo
Espina ilíaca anteroinferior
Eminencia iliopúbica
Cartílago articular
Rodete acetabular (fibrocartílago)
Grasa en la fosa acetabular (cubierta por la membrana sinovial)
Trocánter mayor
Arteria obturatriz
Cabeza del fémur
Rama anterior
Rama posterior
Rama acetabular
Cuello del fémur
Membrana obturatriz
Línea intertrocantérea
Ligamento transverso del acetábulo
Ligamento de la cabeza del fémur (cortado)
Tuberosidad isquiática
Trocánter menor

7 Articulación de la cadera: radiografía anteroposterior

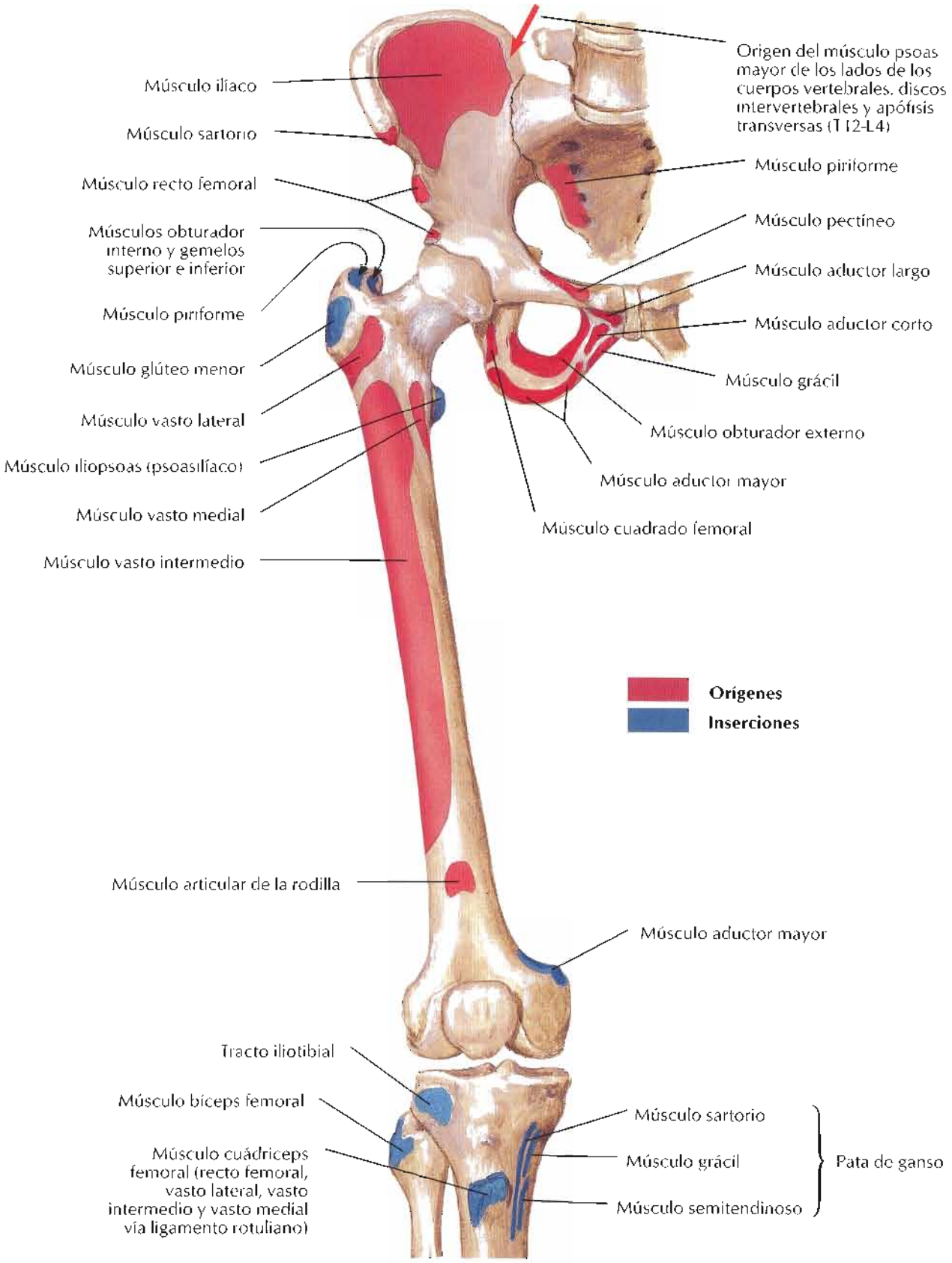
Véanse también **láminas 487, 489**



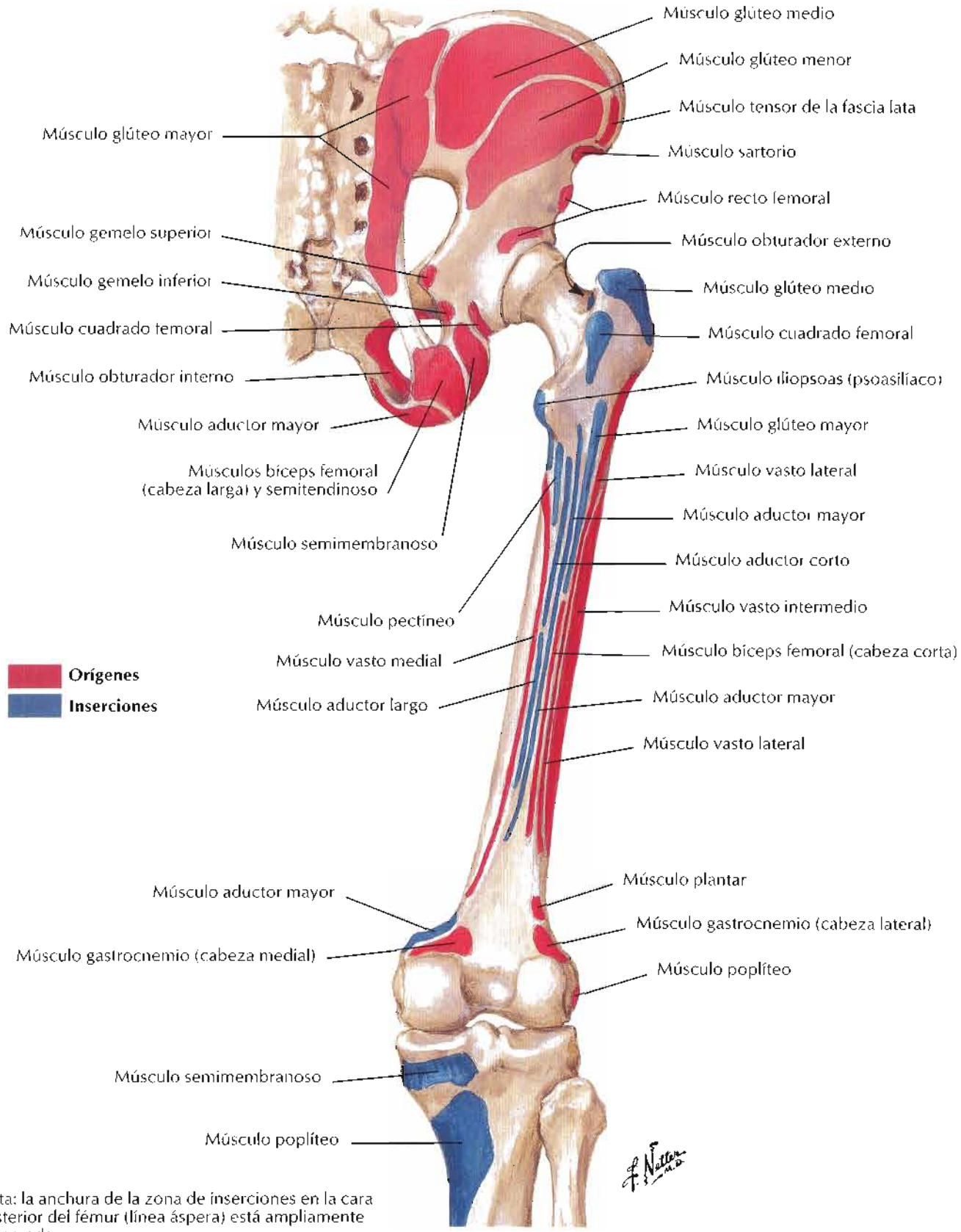
A	Acetábulo
CF	Cabeza del fémur
Cl	Cresta intertrocantérea
F	Fémur
I	Isquion
IL	Ilion
O	Agujero obturado
P	Pubis (rama superior)
T	Trocánter menor
C	Cuello
Tl	Tuberosidad isquiática
TMa	Trocánter mayor


Visión anterior
Trocánter mayor
Cabeza
Fosita para el ligamento de la cabeza
Cuello
Trocánter menor
Línea intertrocantérea
Cuerpo
Epicóndilo lateral
Epicóndilo medial
Cóndilo lateral
Cara rotuliana
Cóndilo medial
Visión posterior
Fosa trocantérea
Trocánter mayor
Cabeza
Fosita para el ligamento de la cabeza
Cuello
Cresta intertrocantérea
Espolón
Trocánter menor
Línea pectínea
Tuberosidad glútea
Línea áspera
Labio medial
Labio lateral
Agujero nutricio
Cuerpo
Cara poplítea
Tubérculo del aductor
Epicóndilo lateral
Epicóndilo lateral
Cóndilo lateral
Fosa intercondílea
Línea de inserción del borde de la membrana sinovial
Línea de reflexión de la membrana sinovial
Línea de inserción de la cápsula fibrosa
Línea de reflexión de la cápsula fibrosa (libre)

Inserciones óseas de los mm. de cadera y muslo: visión anterior

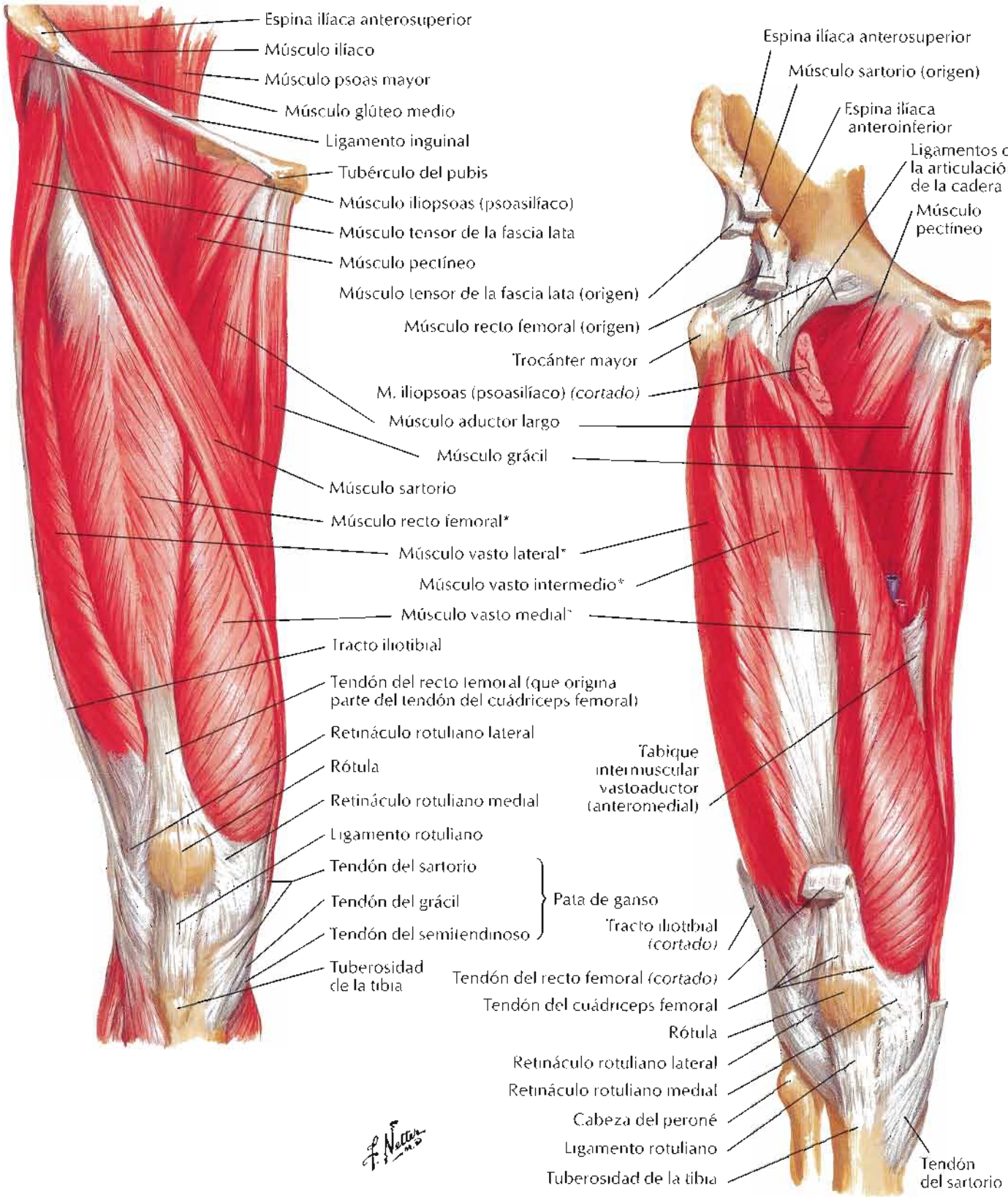


Inserciones óseas de los mm. de cadera y muslo: visión posterior



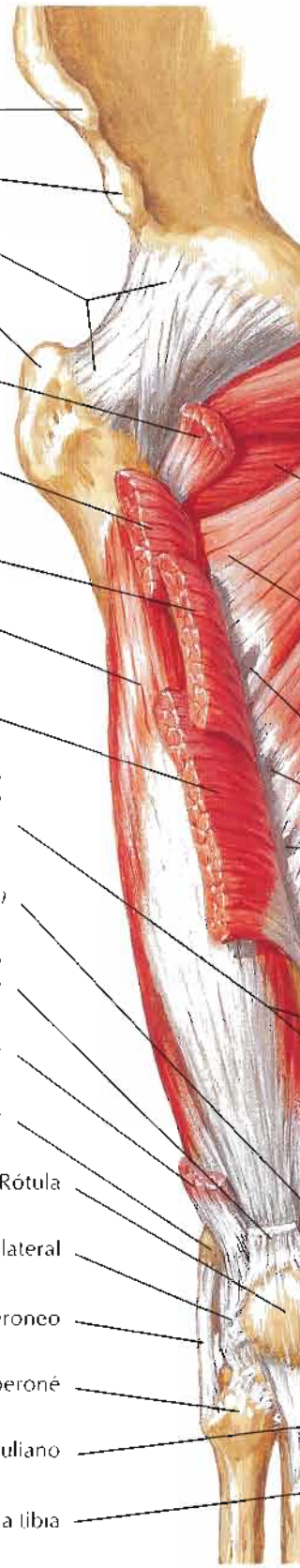
Nota: la anchura de la zona de inserciones en la cara posterior del fémur (línea áspera) está ampliamente exagerada

Músculos del muslo: visiones anteriores



*Músculos del cuádriceps femoral

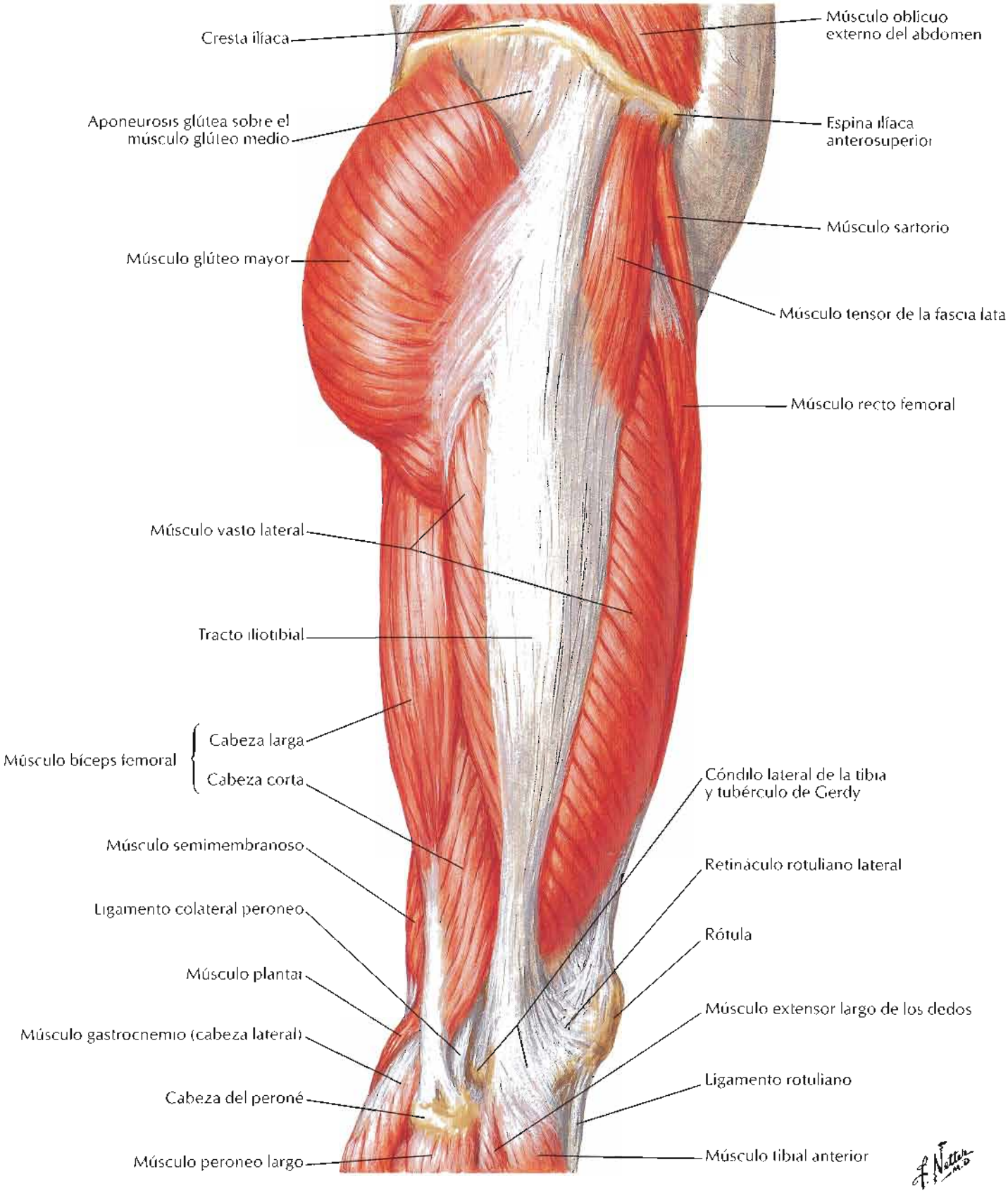
Disección profunda



Espina ilíaca anterosuperior
Espina ilíaca anteroinferior
Ligamentos de la articulación de la cadera
Trocánter mayor del fémur
Músculo iliopsoas (psoasilíaco) *(cortado)*
Músculo pectíneo *(cortado y reflejado)*
Músculo aductor corto *(cortado y reflejado)*
Músculo vasto intermedio
Músculo aductor largo *(cortado y reflejado)*
Arteria y vena femorales que pasan a través del hiato del músculo aductor mayor
Músculo vasto medial *(cortado)*
Tendón del recto femoral *(cortado donde da origen a parte del tendón del cuádriceps)*
Músculo vasto lateral *(cortado)*
Epicóndilo lateral del fémur
Rótula
Retináculo rotuliano lateral
Ligamento colateral peroneo
Cabeza del peroné
Ligamento rotuliano
Tuberosidad de la tibia

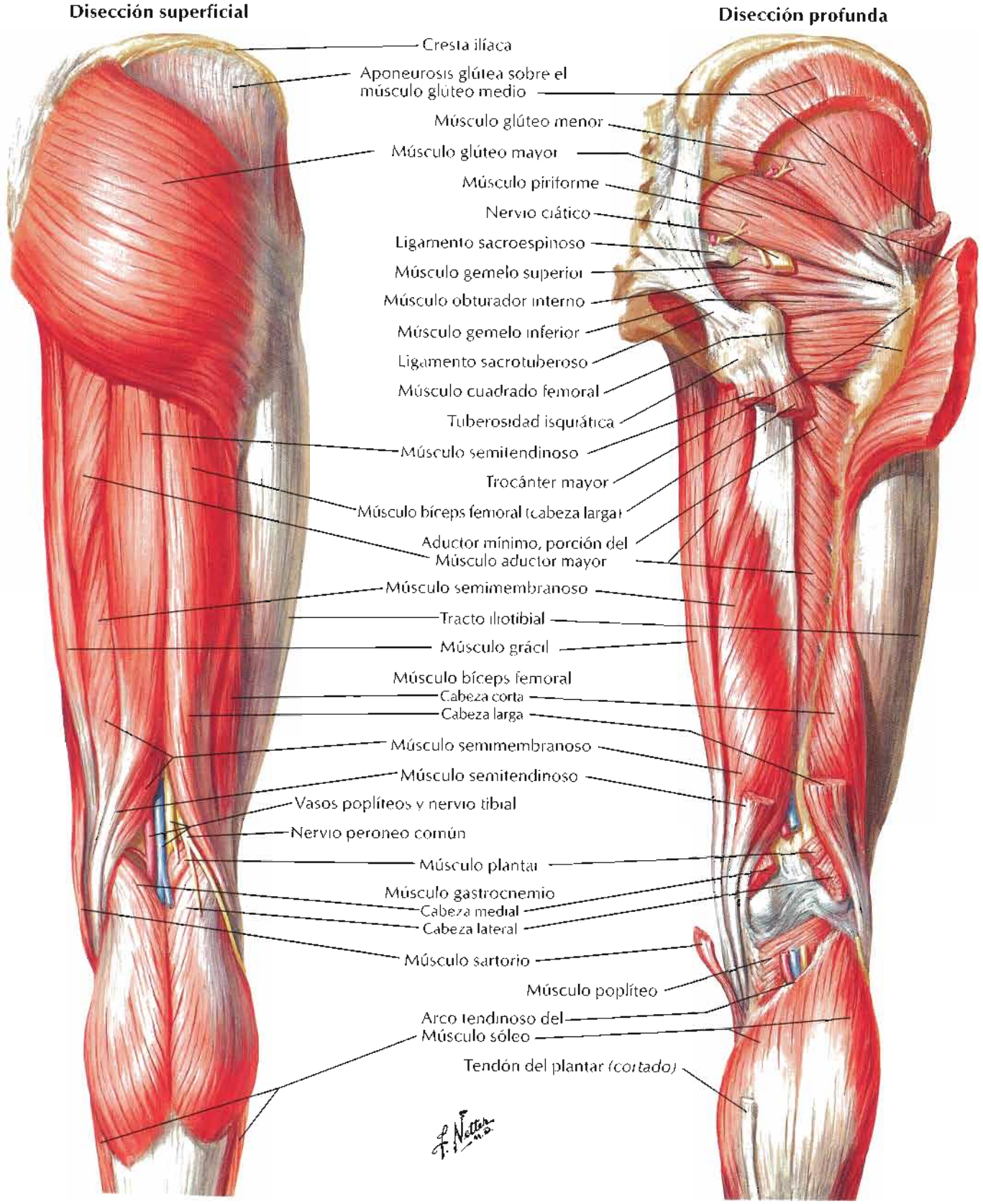
Músculo pectíneo *(cortado y reflejado)*
Rama superior del pubis
Músculo aductor largo *(cortado y reflejado)*
Músculo aductor corto *(cortado)*
Tubérculo del pubis
Músculo grácil *(cortado)*
Músculo obturador externo
Músculo cuadrado femoral
Aductor mínimo, porción del Músculo aductor mayor
Orificios para las ramas perforantes de la arteria femoral profunda
Tendón del músculo aductor mayor que se inserta en el tubérculo del aductor en el epicóndilo medial del fémur
Músculo grácil *(cortado)*
Ligamento colateral tibial
Retináculo rotuliano medial
Tendón del sartorio *(cortado)*
Tendón del grácil
Tendón del semitendinoso
Pata de ganso

Músculos de la cadera y muslo: visión lateral



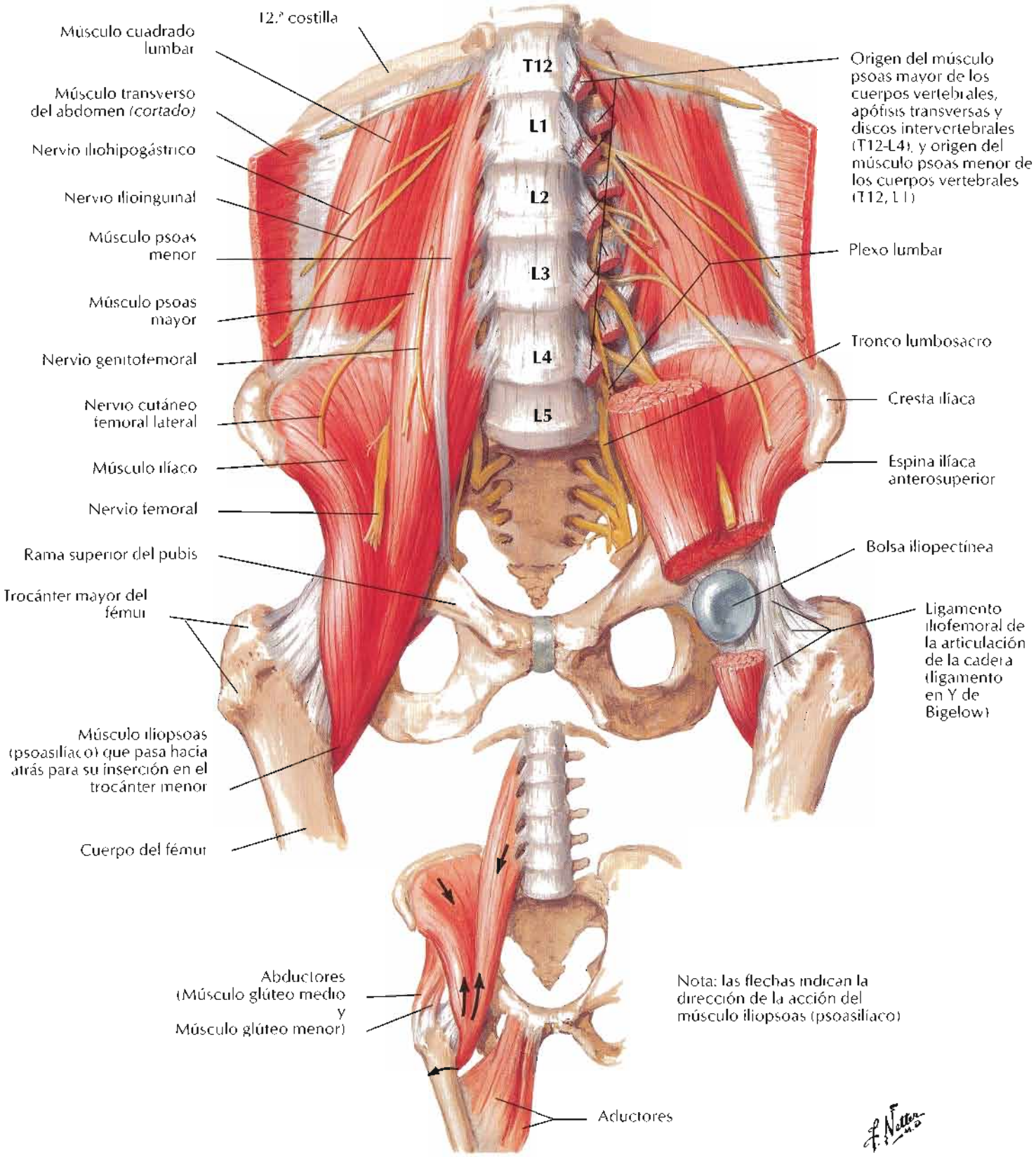
Músculos de la cadera y muslo: visiones posteriores

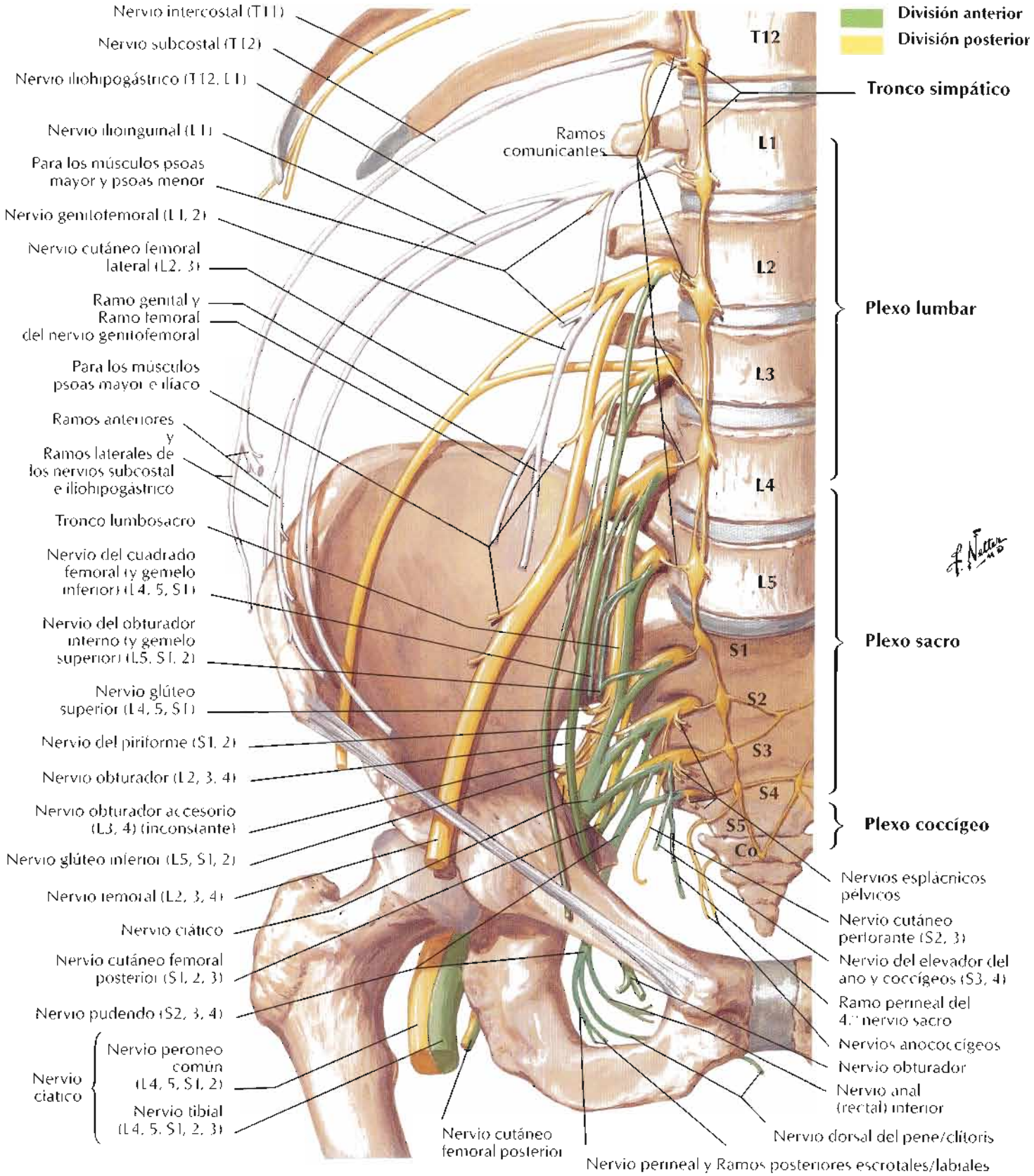
Para el piriforme y obturador interno véanse también **láminas 356, 357;** para el obturador externo véase **lámina 501**



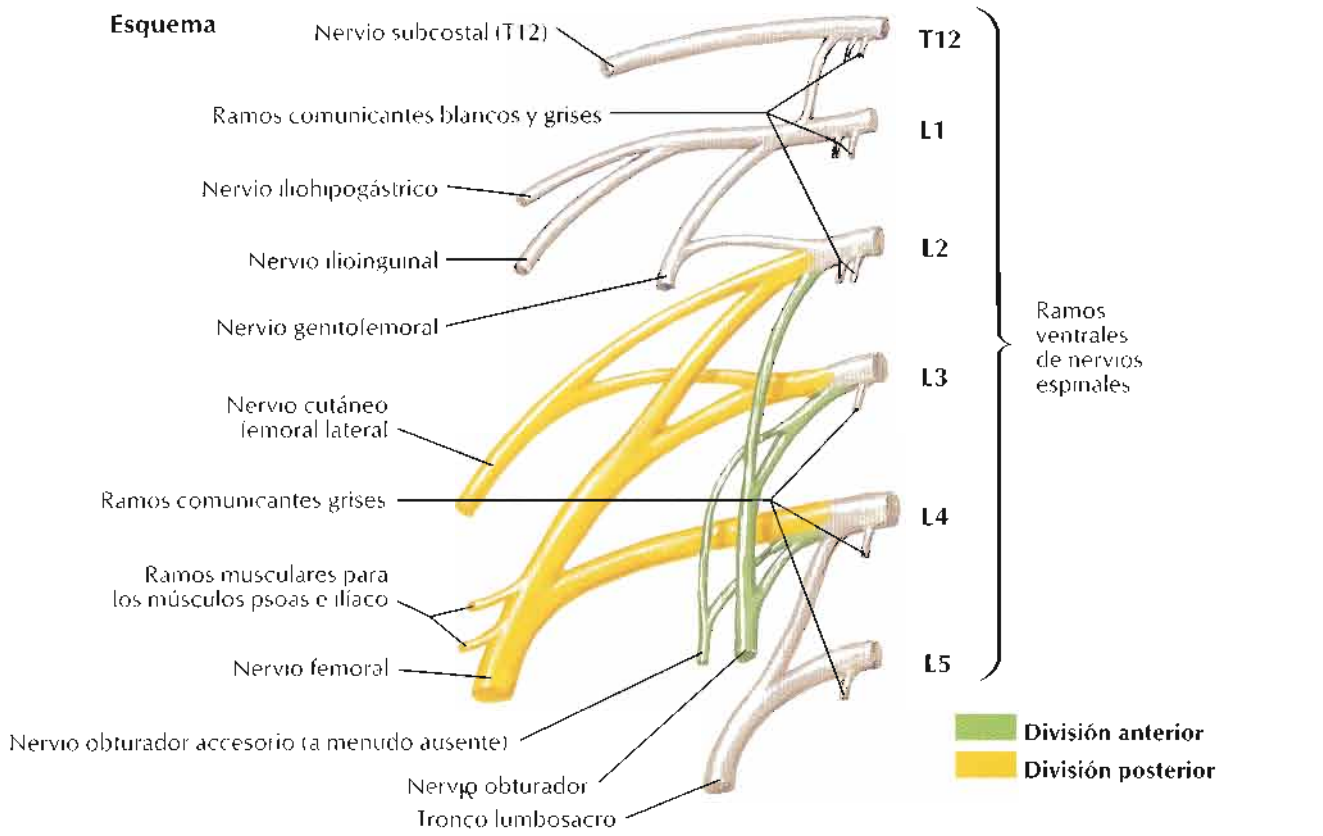
7 Músculos psoas e ilíaco

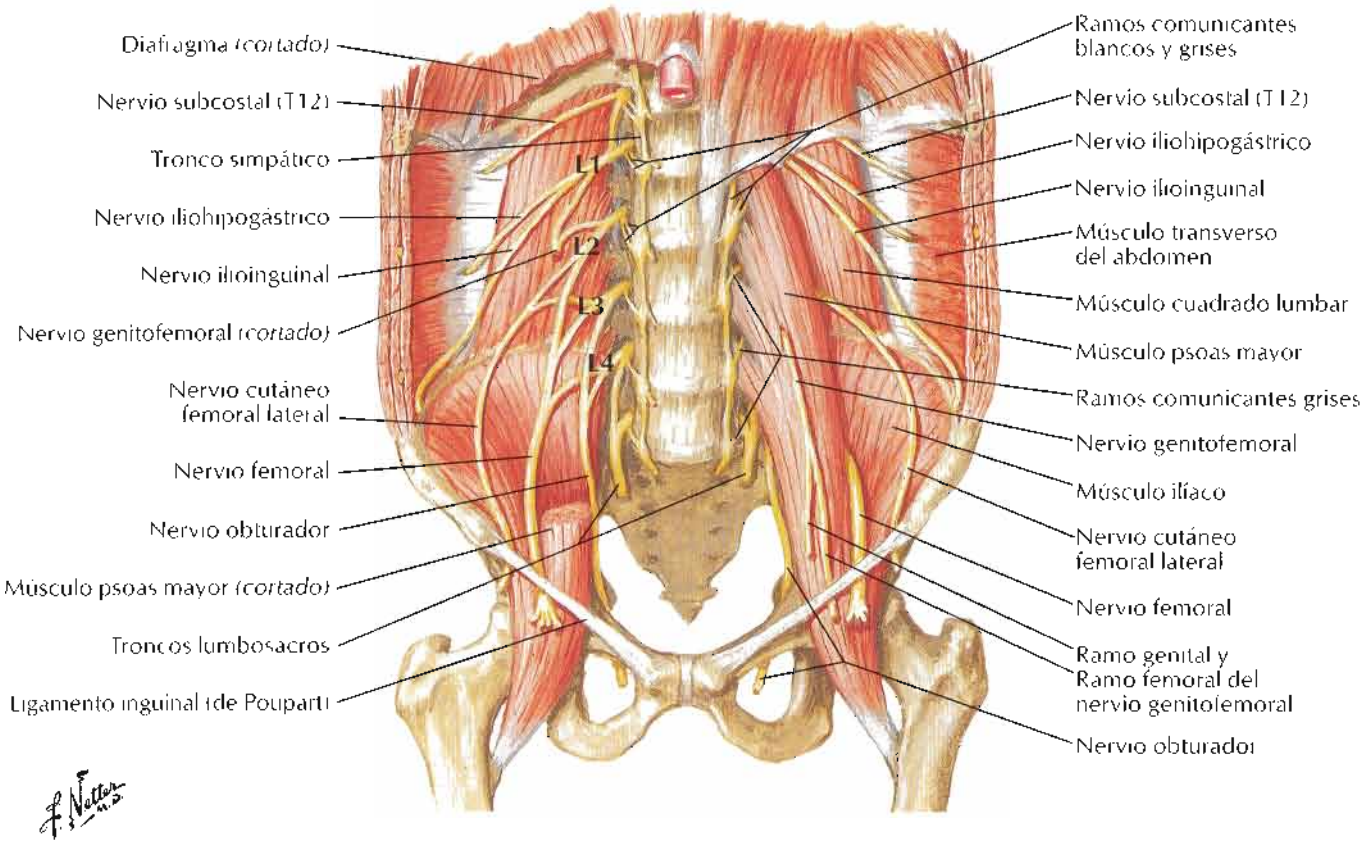
Véase también **lámina 263**

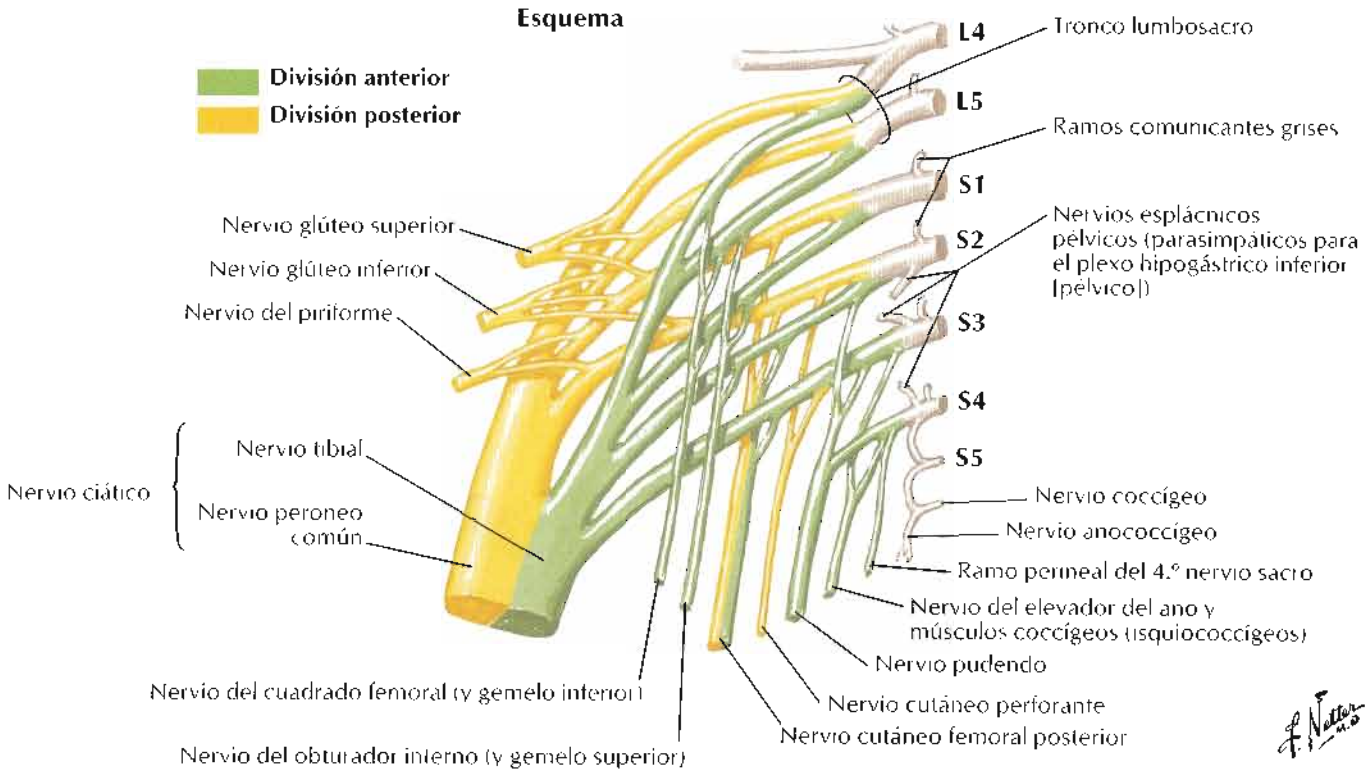


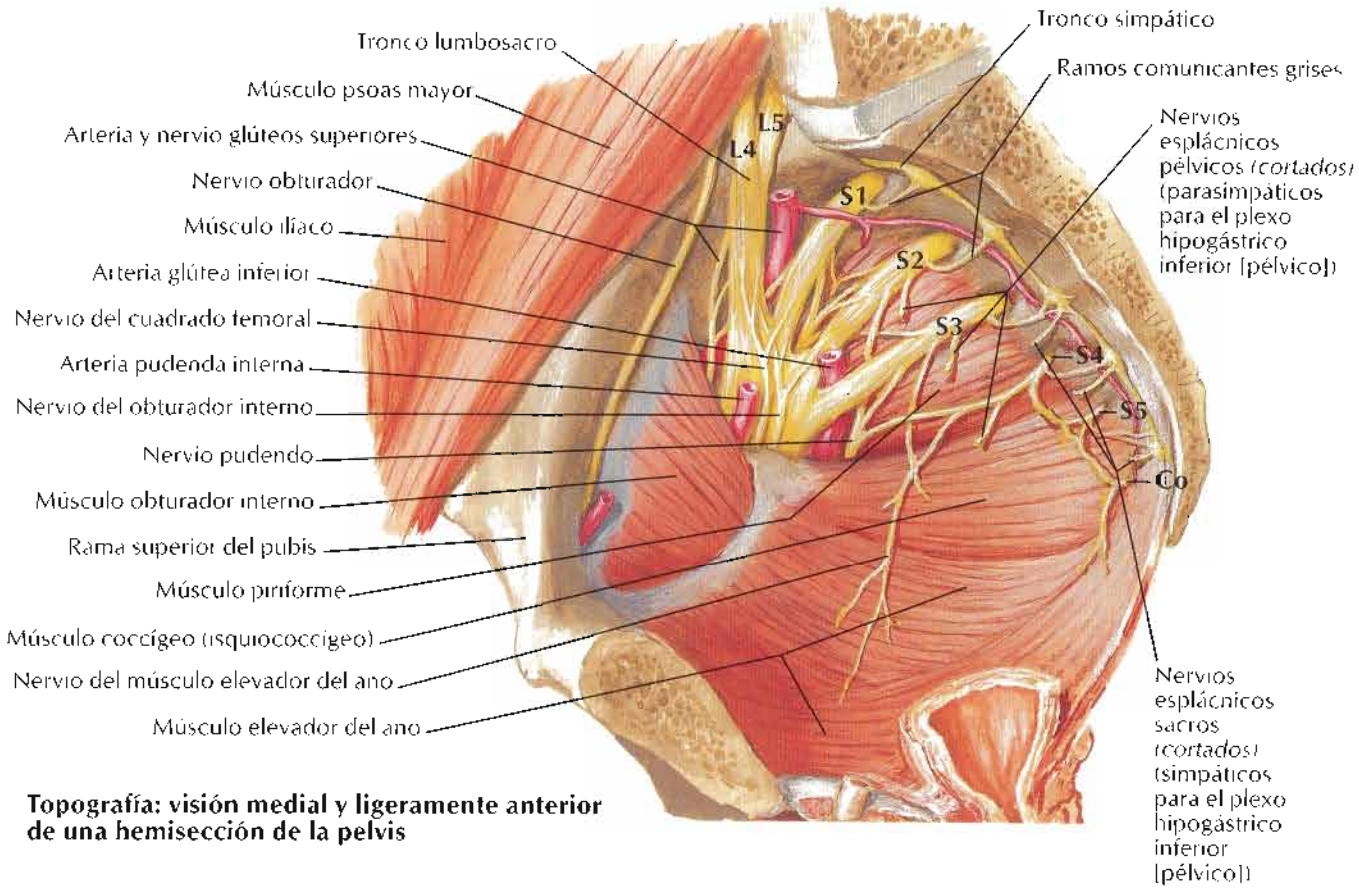

Nervio intercostal (T11)
Nervio subcostal (T12)
Nervio iliohipogástrico (T12, L1)
Nervio ilioinguinal (L1)
Para los músculos psoas mayor y psoas menor
Nervio genitofemoral (L1, 2)
Nervio cutáneo femoral lateral (L2, 3)
Ramo genital y Ramo femoral del nervio genitofemoral
Para los músculos psoas mayor e ilíaco
Ramos anteriores y Ramos laterales de los nervios subcostal e iliohipogástrico
Tronco lumbosacro
Nervio del cuadrado femoral (y gemelo inferior) (L4, 5, S1)
Nervio del obturador interno (y gemelo superior) (L5, S1, 2)
Nervio glúteo superior (L4, 5, S1)
Nervio del piriforme (S1, 2)
Nervio obturador (L2, 3, 4)
Nervio obturador accesorio (L3, 4) (inconstante)
Nervio glúteo inferior (L5, S1, 2)
Nervio femoral (L2, 3, 4)
Nervio ciático
Nervio cutáneo femoral posterior (S1, 2, 3)
Nervio pudendo (S2, 3, 4)
Nervio ciático
Nervio peroneo común (L4, 5, S1, 2)
Nervio tibial (L4, 5, S1, 2, 3)
Ramos comunicantes
T12
L1
L2
L3
L4
L5
S1
S2
S3
S4
S5
Co
División anterior
División posterior
Tronco simpático
Plexo lumbar
Plexo sacro
Plexo coccígeo
Nervios esplácnicos pélvicos
Nervio cutáneo perforante (S2, 3)
Nervio del elevador del ano y coccígeos (S3, 4)
Ramo perineal del 4.° nervio sacro
Nervios anococcígeos
Nervio obturador
Nervio anal (rectal) inferior
Nervio dorsal del pene/clítoris
Nervio cutáneo femoral posterior
Nervio perineal y Ramos posteriores escrotales/labiales

Plexo lumbar





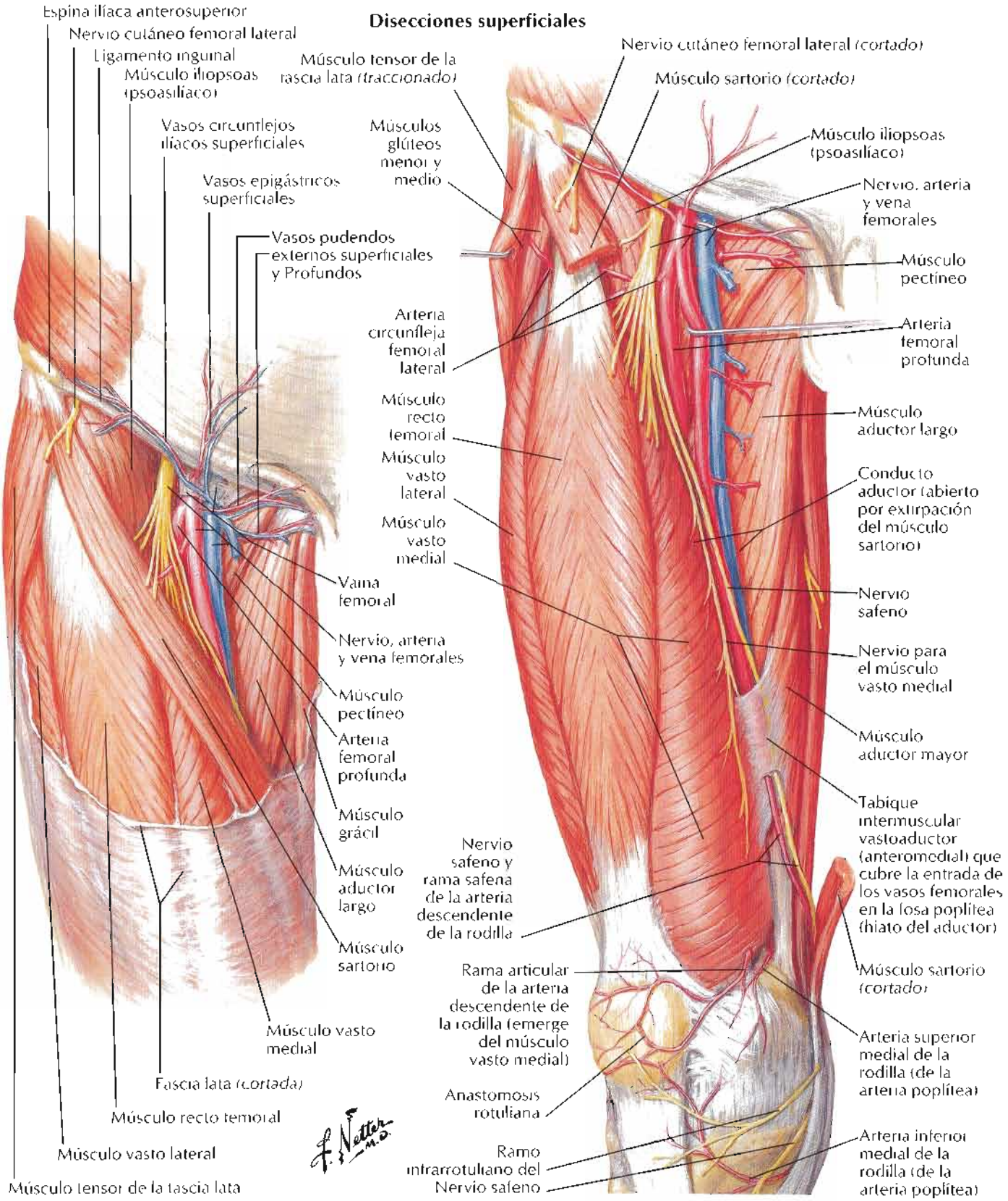




Topografía: visión medial y ligeramente anterior de una hemisección de la pelvis

Arterias y nervios del muslo: visiones anteriores

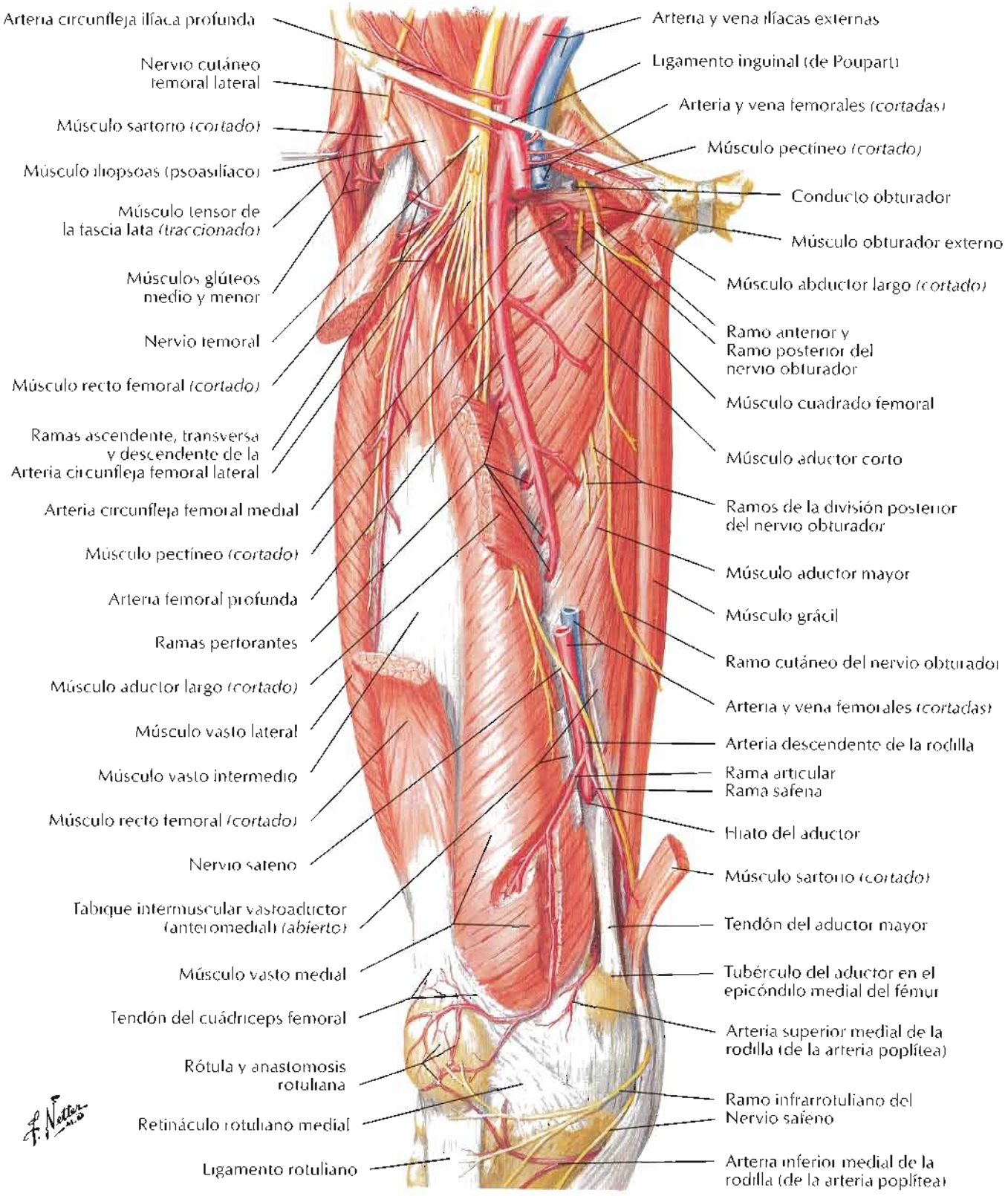
Véase también **lámina 538**



Arterias y nervios del muslo: visiones anteriores *(continuación)*

Véanse también **láminas 538, 539**

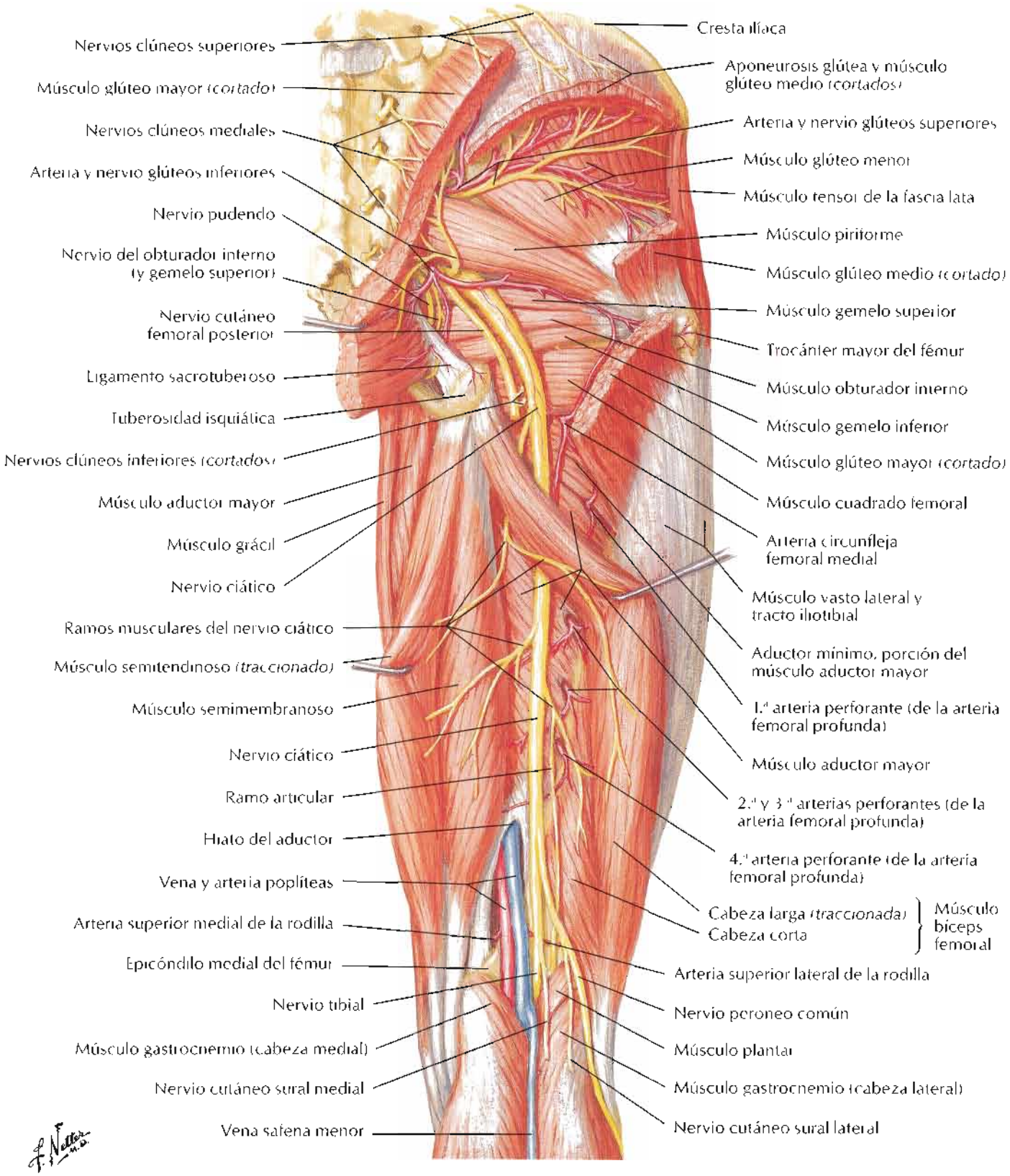
Disección profunda

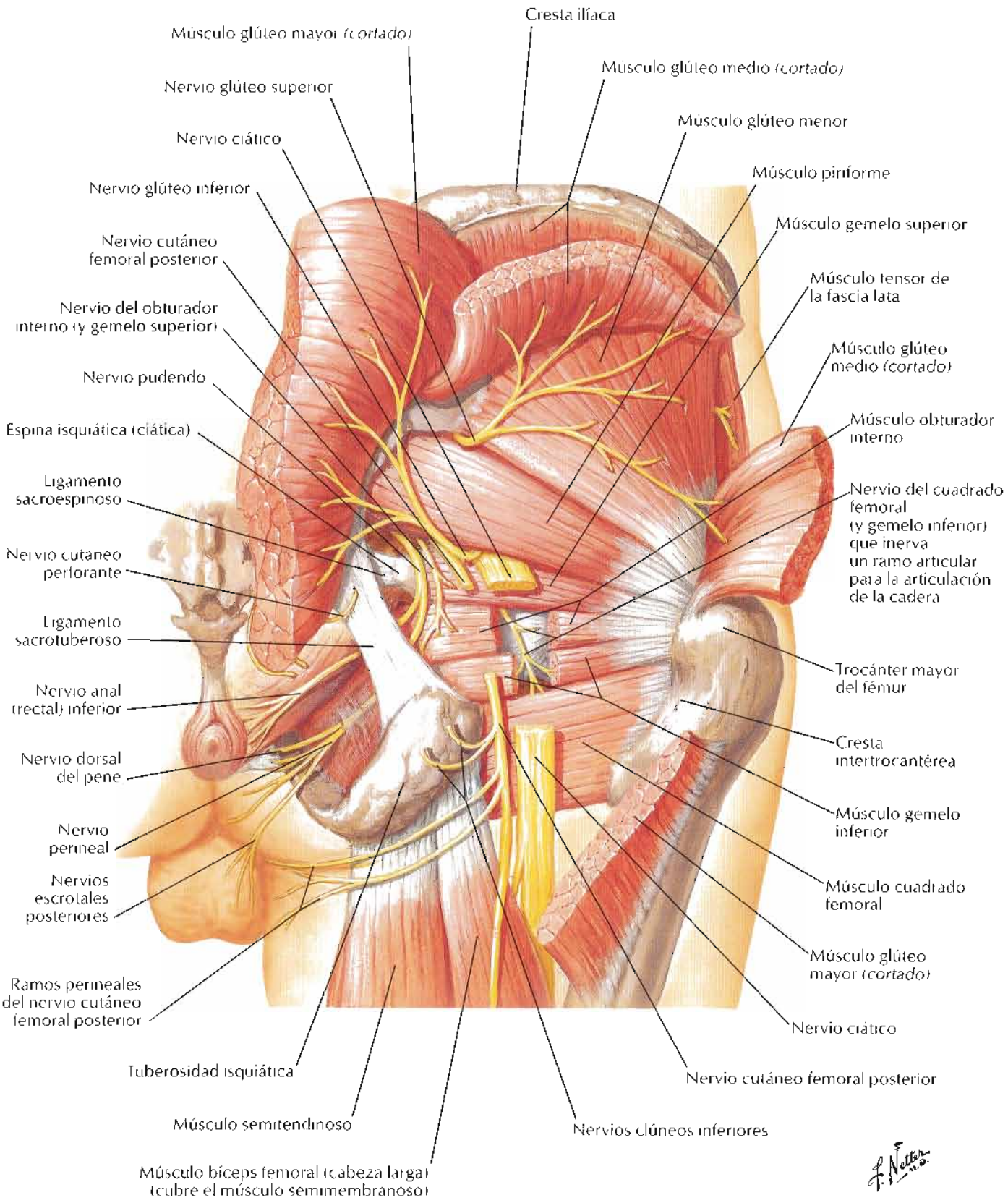


Arterias y nervios del muslo: visión posterior

Véase también **lámina 540**

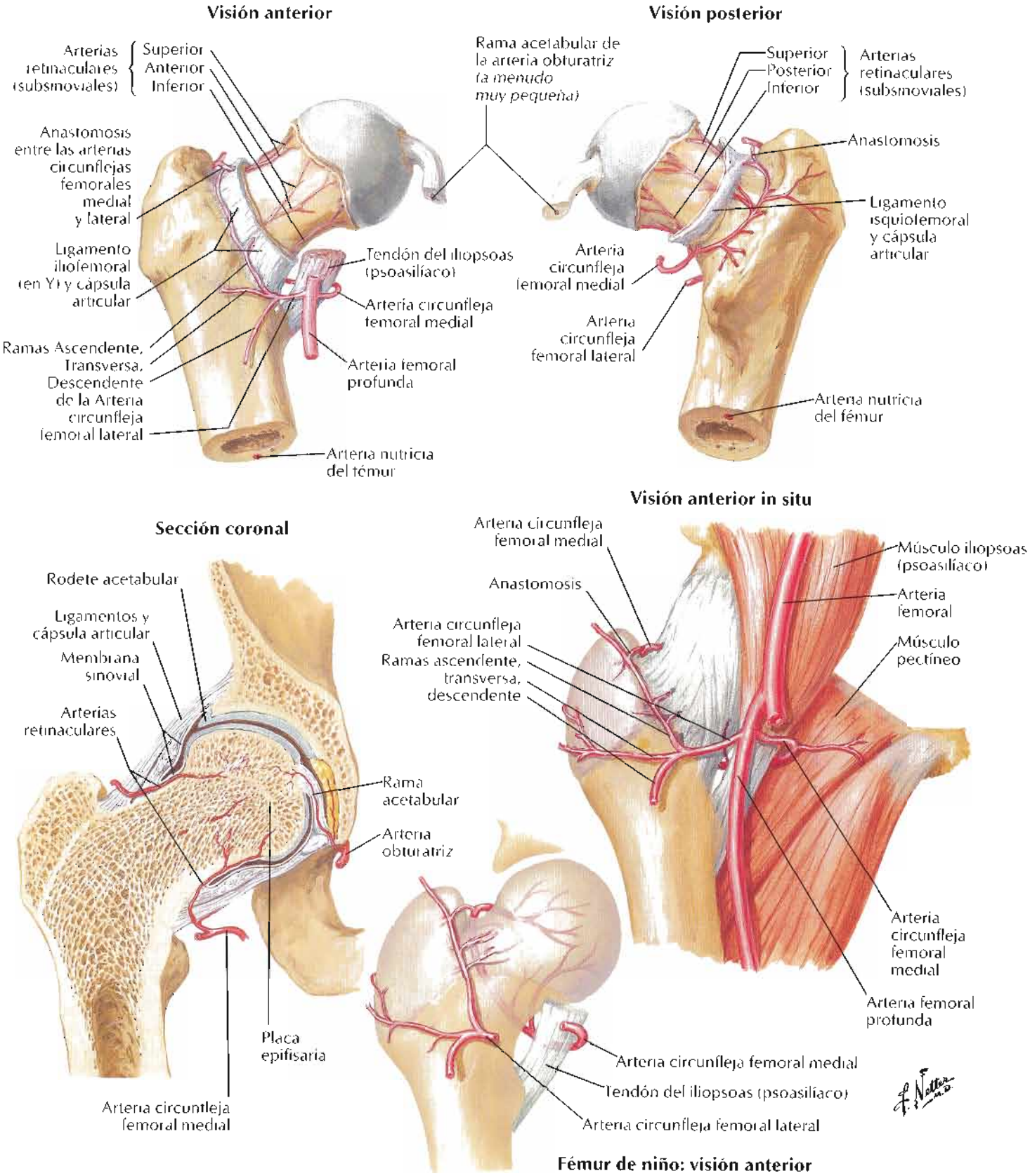
Disección profunda

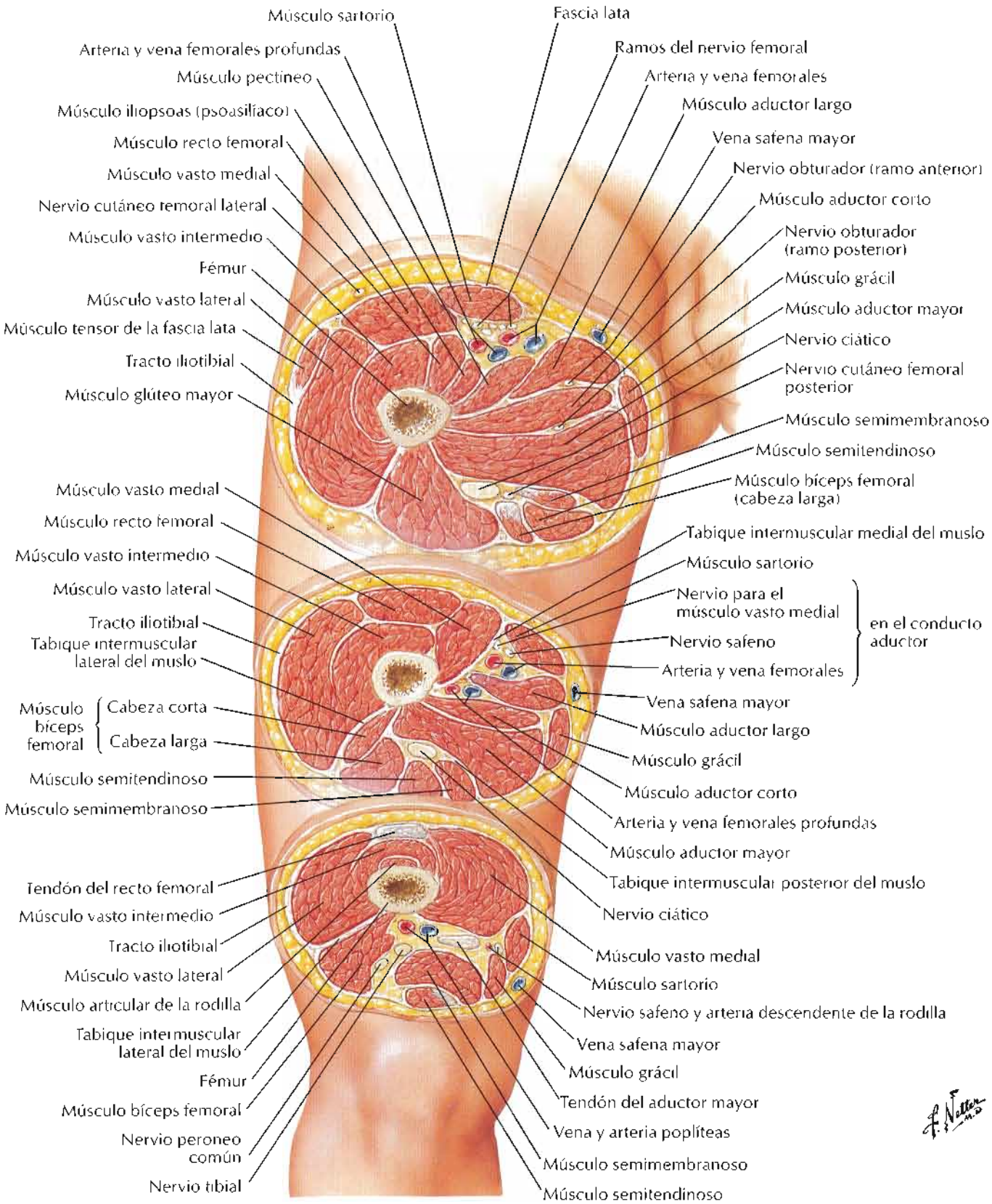



Cresta ilíaca
Músculo glúteo mayor (cortado)
Músculo glúteo medio (cortado)
Nervio glúteo superior
Músculo glúteo menor
Nervio ciático
Músculo piriforme
Nervio glúteo inferior
Músculo gemelo superior
Nervio cutáneo femoral posterior
Músculo tensor de la fascia lata
Nervio del obturador interno (y gemelo superior)
Músculo glúteo medio (cortado)
Nervio pudendo
Músculo obturador interno
Espina isquiática (ciática)
Ligamento sacroespinoso
Nervio del cuadrado femoral (y gemelo inferior) que inerva un ramo articular para la articulación de la cadera
Nervio cutáneo perforante
Ligamento sacrotuberoso
Trocánter mayor del fémur
Nervio anal (rectal) inferior
Cresta intertrocantérea
Nervio dorsal del pene
Músculo gemelo inferior
Nervio perineal
Músculo cuadrado femoral
Nervios escrotales posteriores
Músculo glúteo mayor (cortado)
Ramos perineales del nervio cutáneo femoral posterior
Nervio ciático
Tuberosidad isquiática
Nervio cutáneo femoral posterior
Músculo semitendinoso
Nervios clúneos inferiores
Músculo bíceps femoral (cabeza larga) (cubre el músculo semimembranoso)

Arterias de la cabeza y cuello femorales

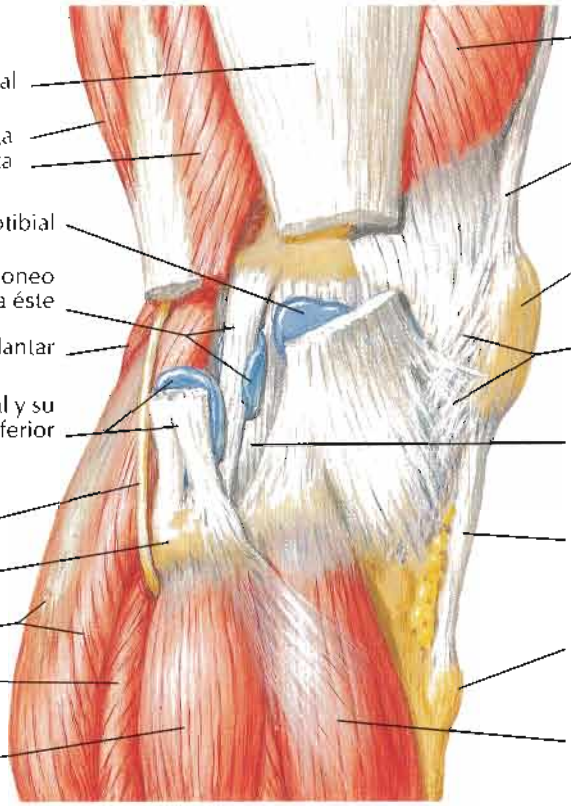
Véase también **lámina 512**



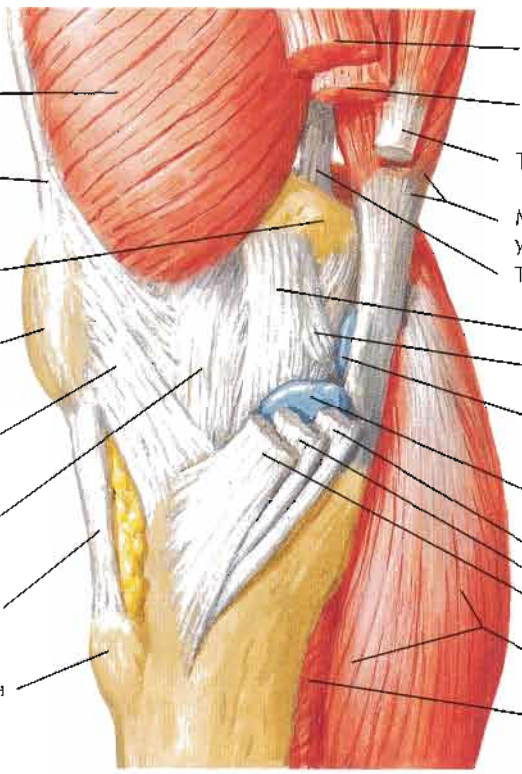

Músculo sartorio
Arteria y vena femorales profundas
Músculo pectíneo
Músculo iliopsoas (psoasilíaco)
Músculo recto femoral
Músculo vasto medial
Nervio cutáneo femoral lateral
Músculo vasto intermedio
Fémur
Músculo vasto lateral
Músculo tensor de la fascia lata
Tracto iliotibial
Músculo glúteo mayor
Fascia lata
Ramos del nervio femoral
Arteria y vena femorales
Músculo aductor largo
Vena safena mayor
Nervio obturador (ramo anterior)
Músculo aductor corto
Nervio obturador (ramo posterior)
Músculo grácil
Músculo aductor mayor
Nervio ciático
Nervio cutáneo femoral posterior
Músculo semimembranoso
Músculo semitendinoso
Músculo bíceps femoral (cabeza larga)
Músculo vasto medial
Músculo recto femoral
Músculo vasto intermedio
Músculo vasto lateral
Tracto iliotibial
Tabique intermuscular lateral del muslo
Músculo bíceps femoral
Cabeza corta
Cabeza larga
Músculo semitendinoso
Músculo semimembranoso
Tabique intermuscular medial del muslo
Músculo sartorio
Nervio para el músculo vasto medial
Nervio safeno
Arteria y vena femorales
en el conducto aductor
Vena safena mayor
Músculo aductor largo
Músculo grácil
Músculo aductor corto
Arteria y vena femorales profundas
Músculo aductor mayor
Tabique intermuscular posterior del muslo
Nervio ciático
Tendón del recto femoral
Músculo vasto intermedio
Tracto iliotibial
Músculo vasto lateral
Músculo articular de la rodilla
Tabique intermuscular lateral del muslo
Fémur
Músculo bíceps femoral
Nervio peroneo común
Nervio tibial
Músculo vasto medial
Músculo sartorio
Nervio safeno y arteria descendente de la rodilla
Vena safena mayor
Músculo grácil
Tendón del aductor mayor
Vena y arteria poplíteas
Músculo semimembranoso
Músculo semitendinoso

Rodilla: visiones lateral y medial

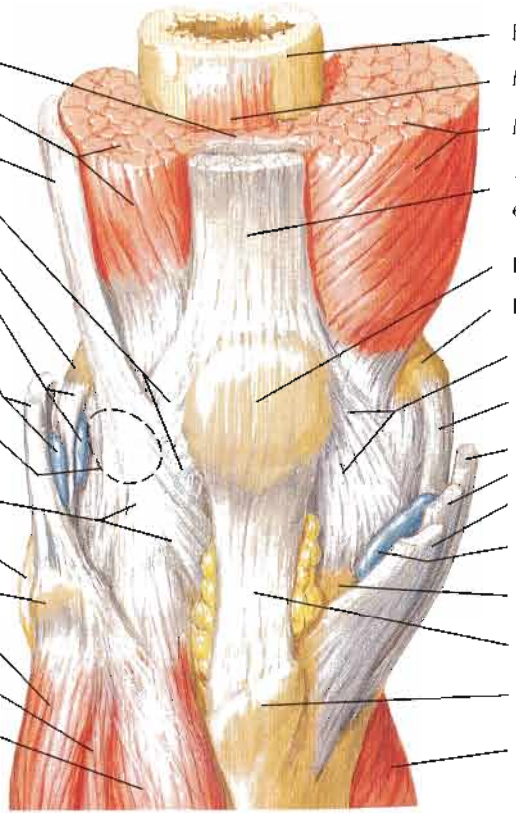
Visión lateral



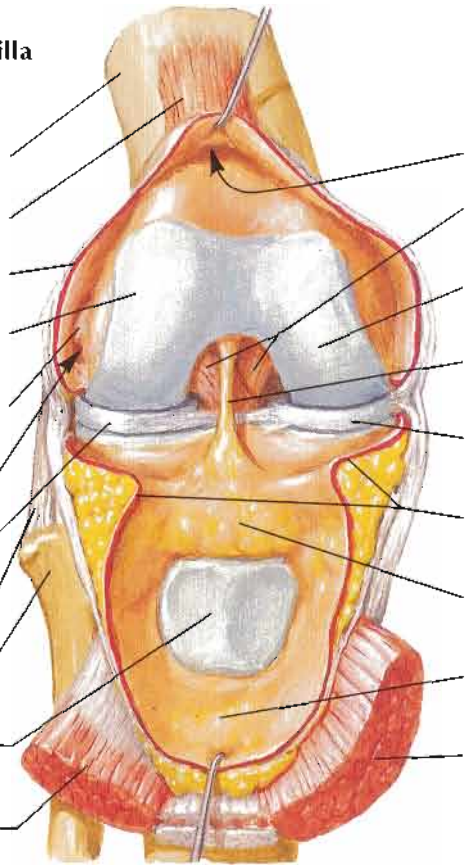
Visión medial



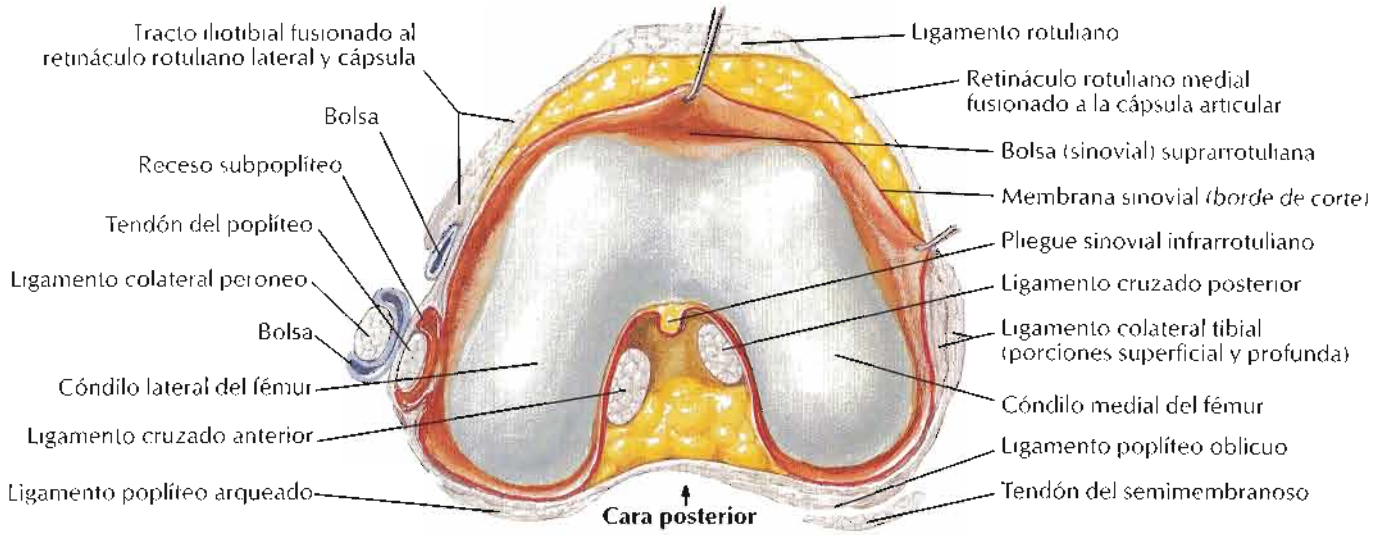
Rodilla derecha en extensión



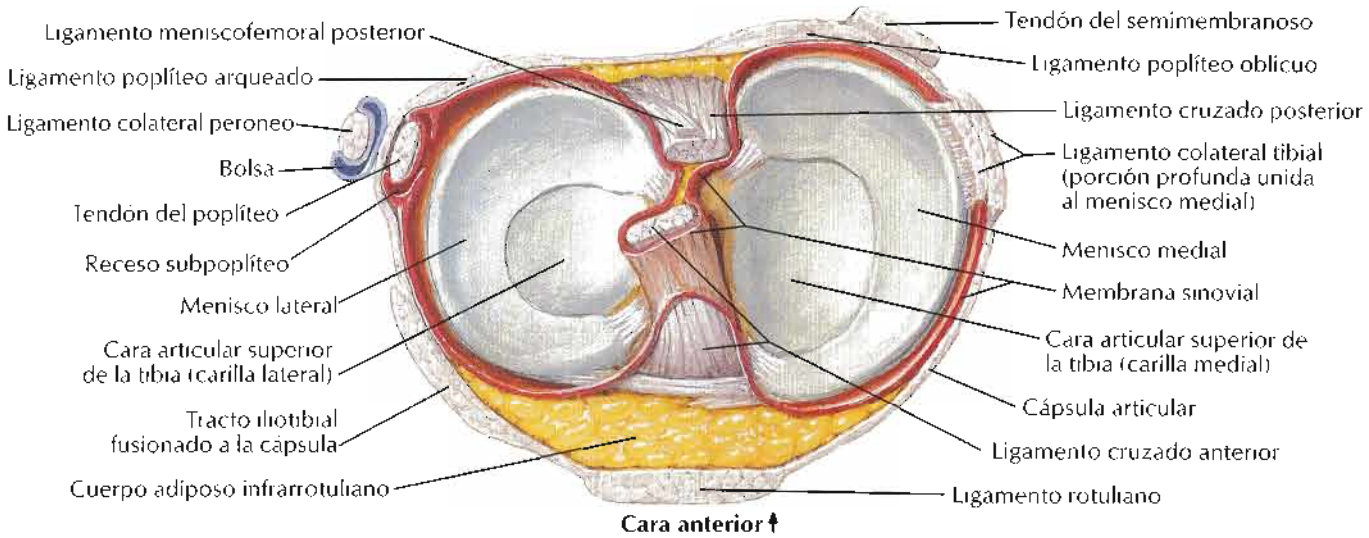
Articulación abierta, rodilla ligeramente flexionada



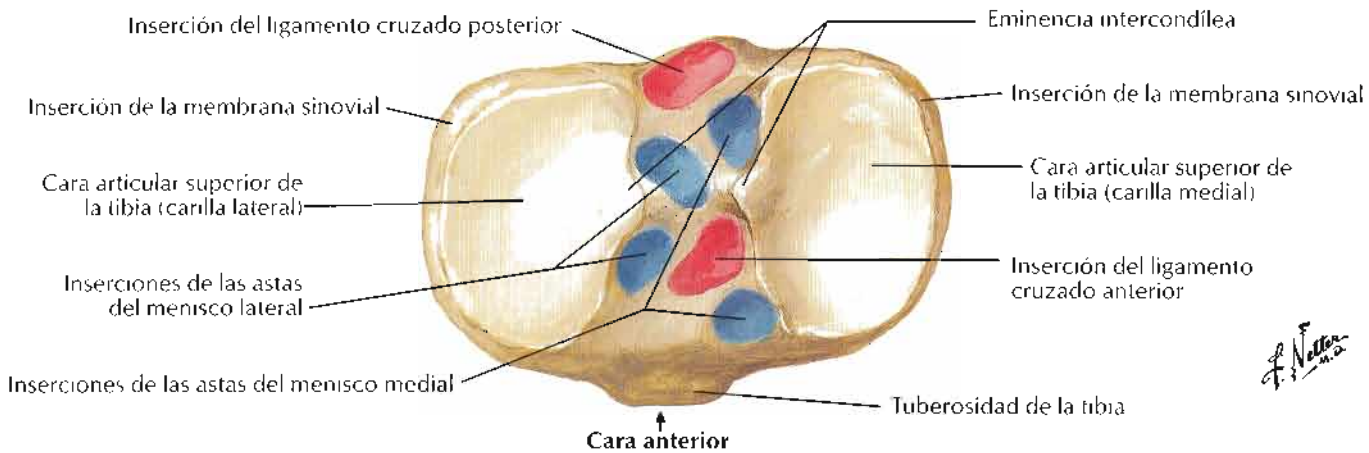
Visión inferior



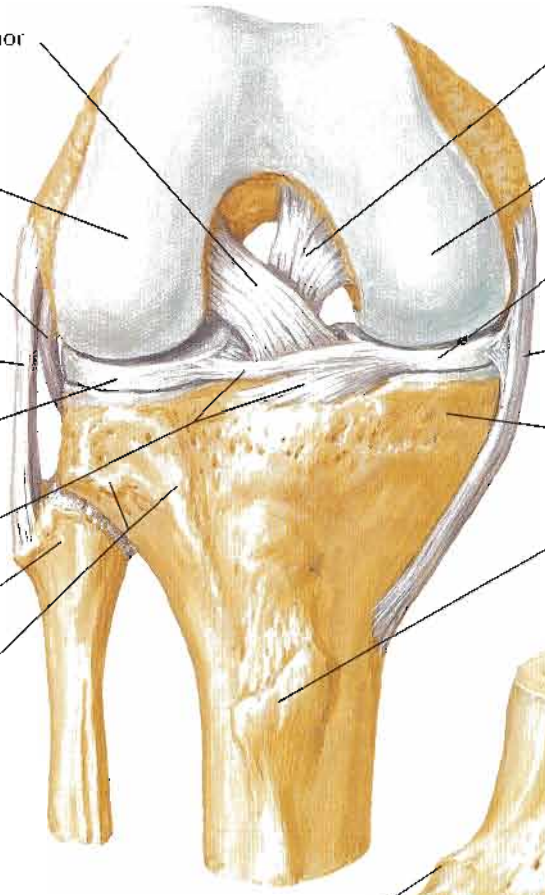
Visión superior



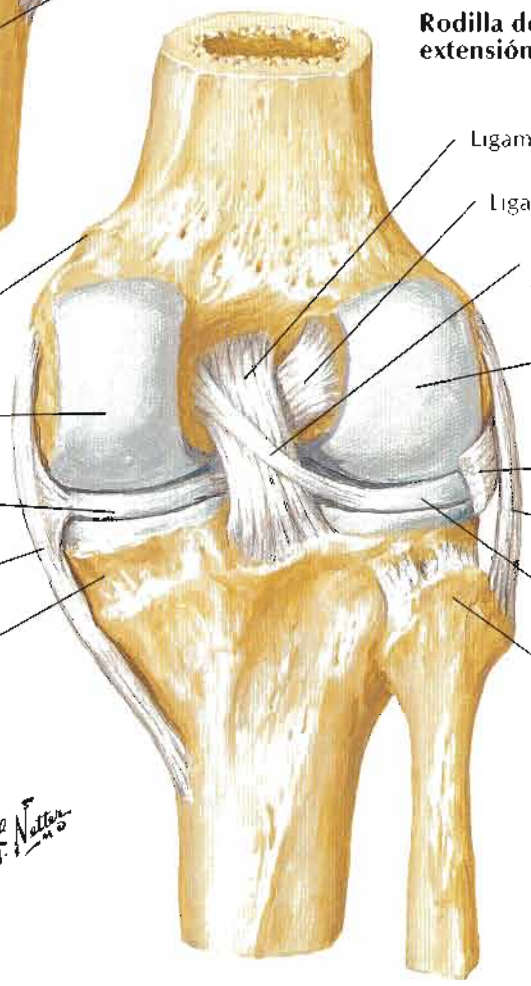
Visión superior: ligamentos y cartílago extirpados



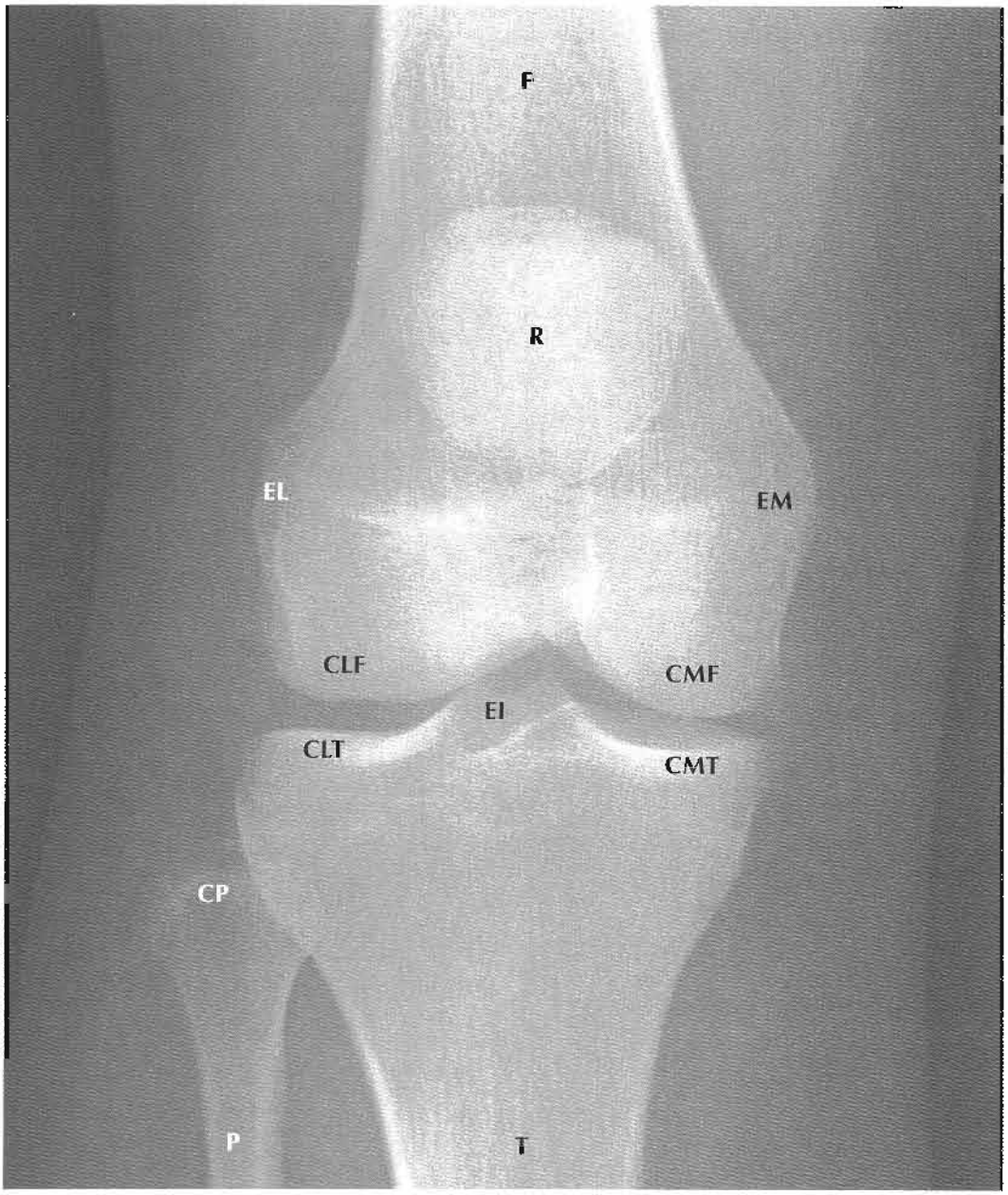
Rodilla derecha en flexión: visión anterior



Rodilla derecha en extensión: visión posterior

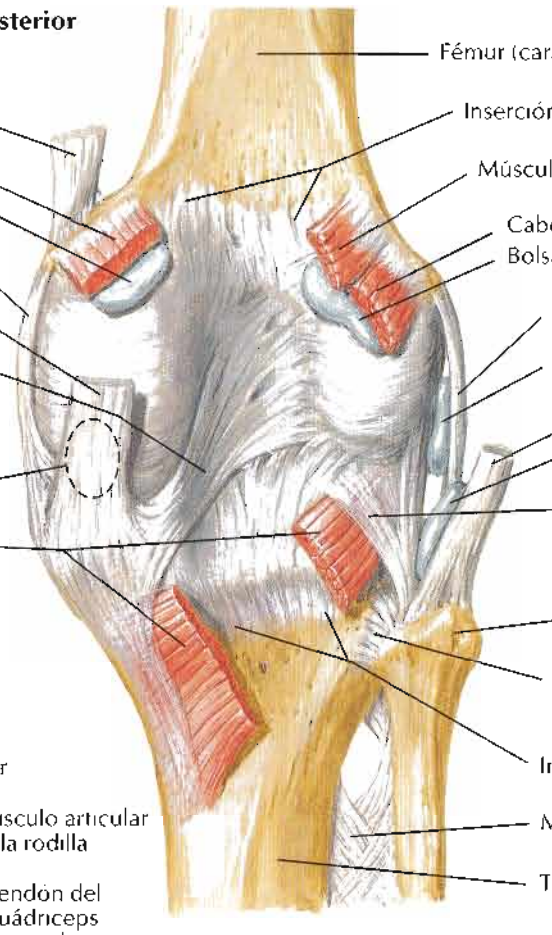


Rodilla: radiografía anteroposterior

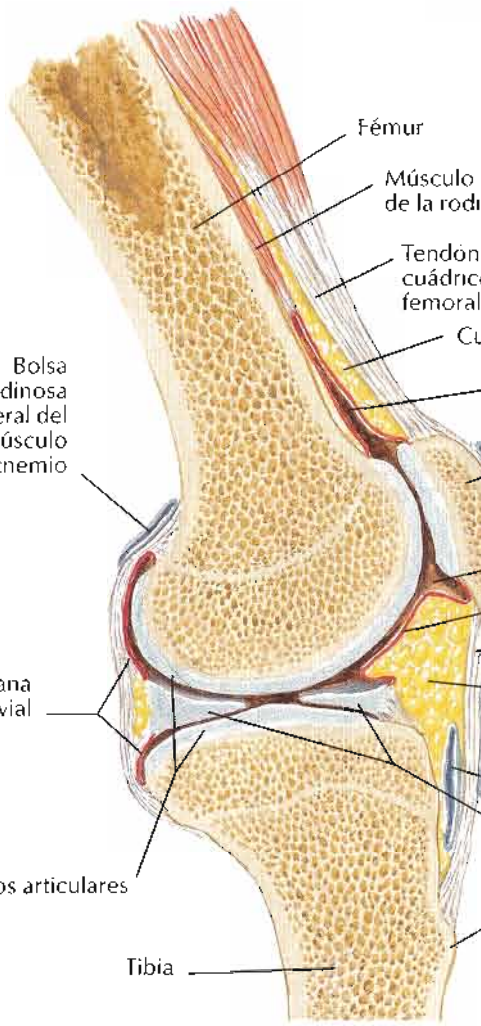


CLF	Cóndilo lateral del fémur
CLT	Cóndilo lateral de la tibia
CMF	Cóndilo medial del fémur
CMT	Cóndilo medial de la tibia
CP	Cabeza del peroné
EI	Eminencia intercondílea
EL	Epicóndilo lateral
EM	Epicóndilo medial
F	Fémur
P	Peroné
R	Rótula
T	Tibia

Rodilla derecha: visión posterior



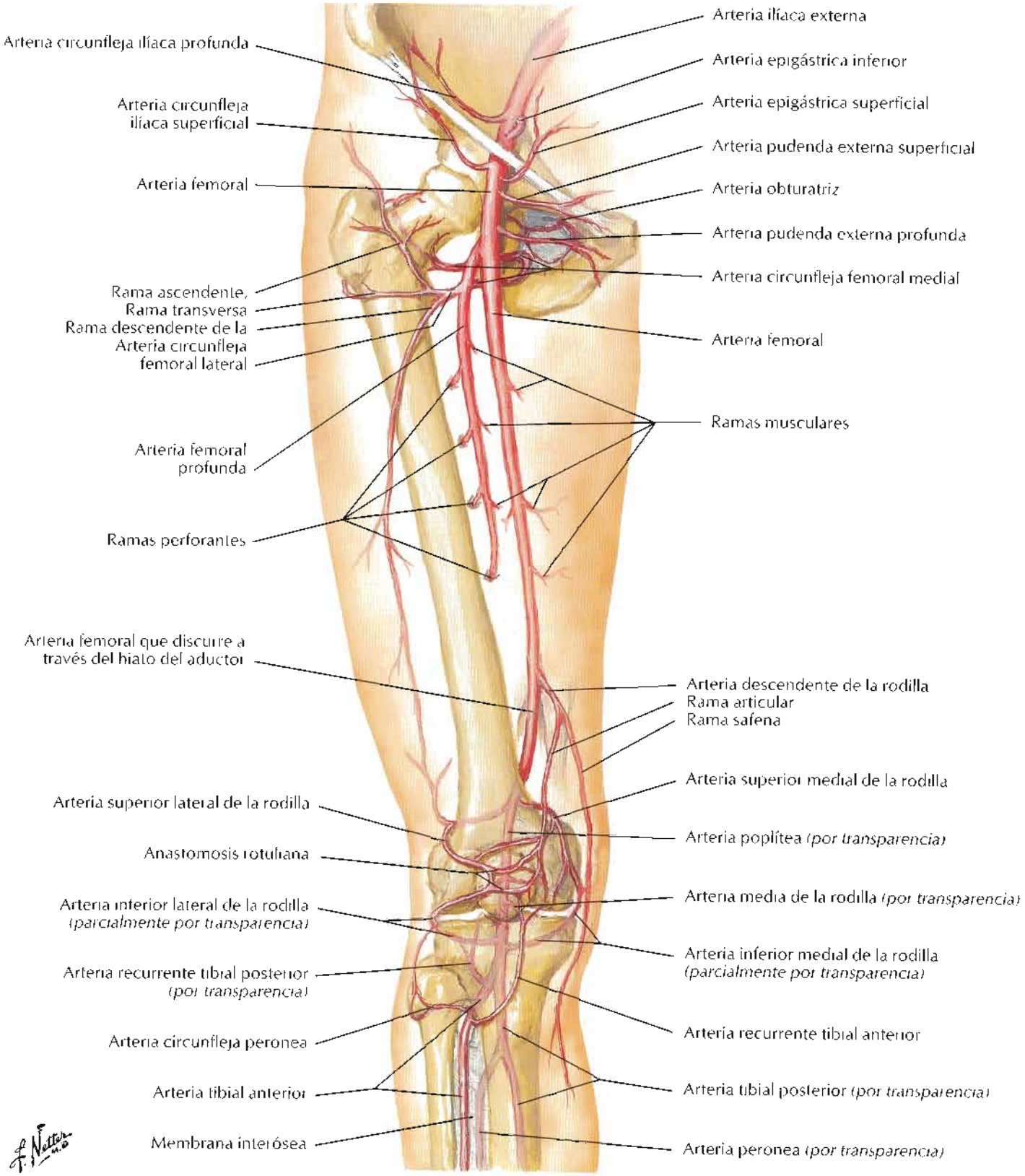
Fémur (cara poplítea)
Inserción de la cápsula articular
Tendón del aductor mayor
Cabeza medial del músculo gastrocnemio y Bolsa subtendinosa
Músculo plantar
Cabeza lateral del músculo gastrocnemio
Bolsa subtendinosa
Ligamento colateral tibial
Tendón del semimembranoso
Ligamento colateral peroneo y
Bolsa por debajo de éste
Ligamento poplíteo oblicuo (expansión tendinosa del músculo semimembranoso)
Tendón del bíceps femoral y su Bolsa subtendinosa inferior
Bolsa del semimembranoso profunda al tendón *(línea discontinua)*
Ligamento poplíteo arqueado (borde de la cápsula que se arquea sobre el músculo poplíteo)
Músculo poplíteo
Cabeza del peroné
Ligamento posterior de la cabeza del peroné
Inserción de la cápsula articular
Membrana interósea
Tibia

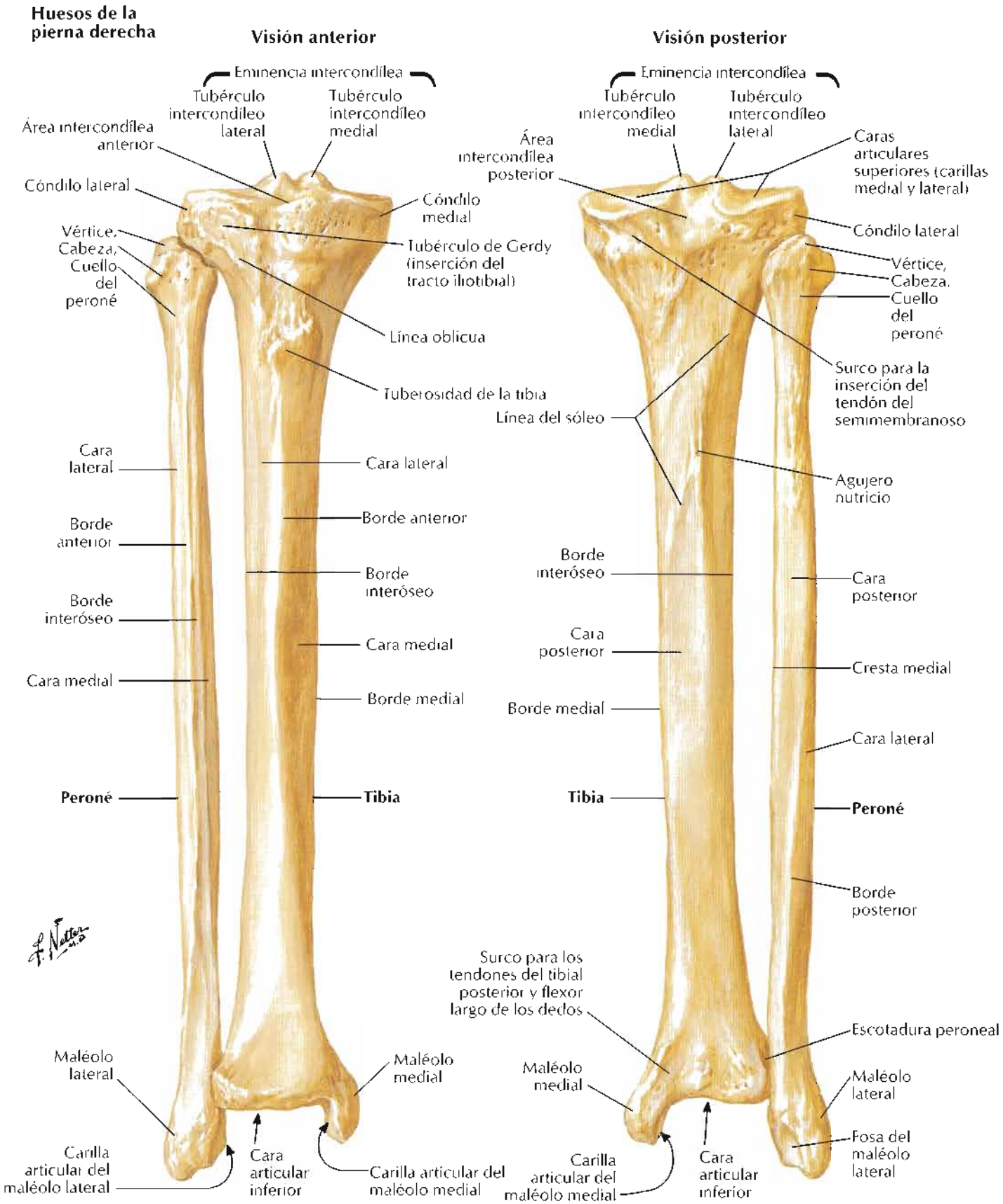


Fémur
Músculo articular de la rodilla
Tendón del cuádriceps femoral
Cuerpo adiposo suprarrotuliano
Bolsa (sinovial) suprarrotuliana
Bolsa subtendinosa lateral del músculo gastrocnemio
Rótula
Bolsa subcutánea prerrotuliana
Cavidad articular
Membrana sinovial
Ligamento rotuliano
Membrana sinovial
Cuerpo adiposo infrarrotuliano
Bolsa subcutánea infrarrotuliana
Bolsa profunda infrarrotuliana (subtendinosa)
Menisco lateral
Cartílagos articulares
Tuberosidad de la tibia
Tibia

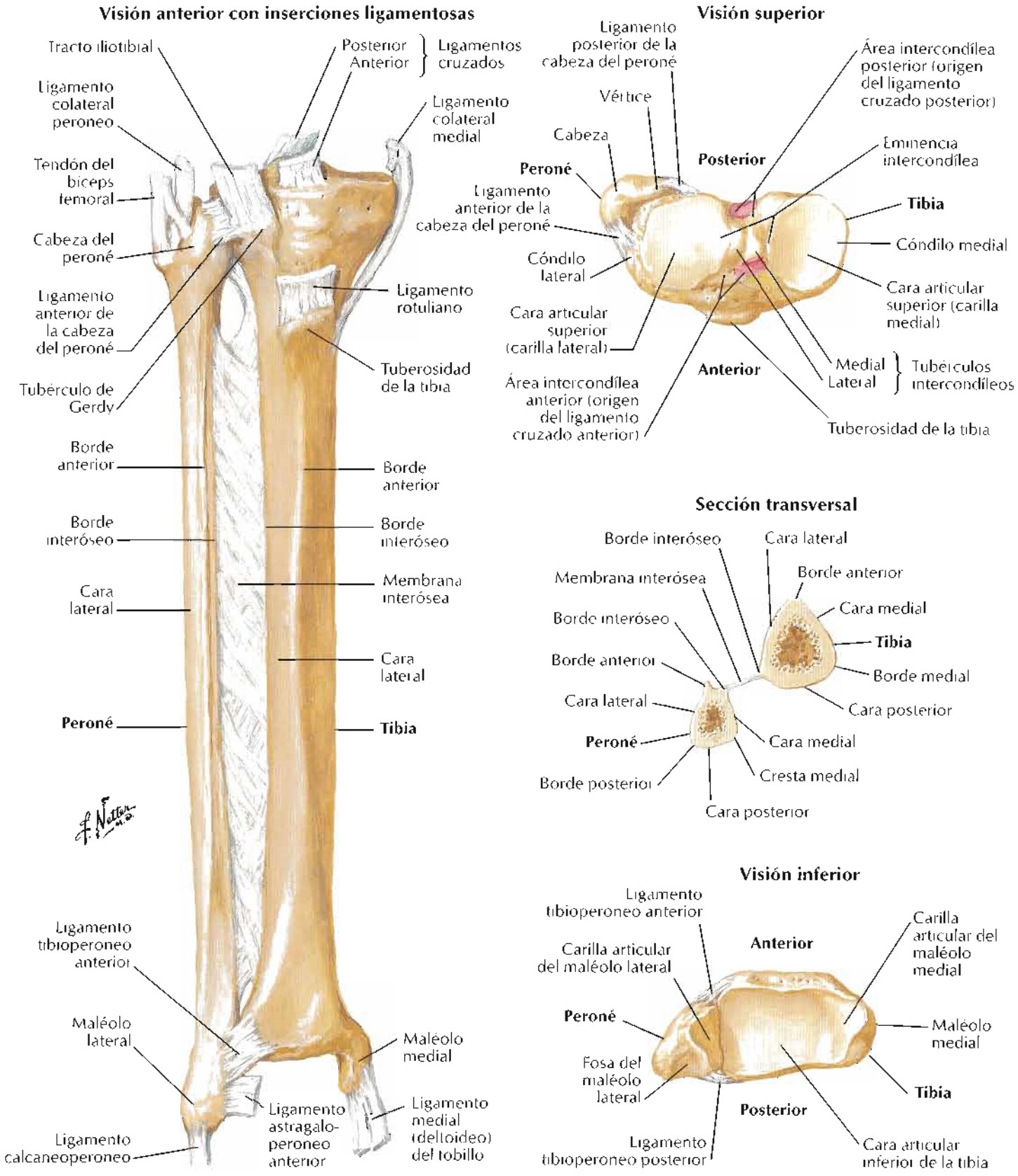
Sección sagital (lateral a la línea media de la rodilla)

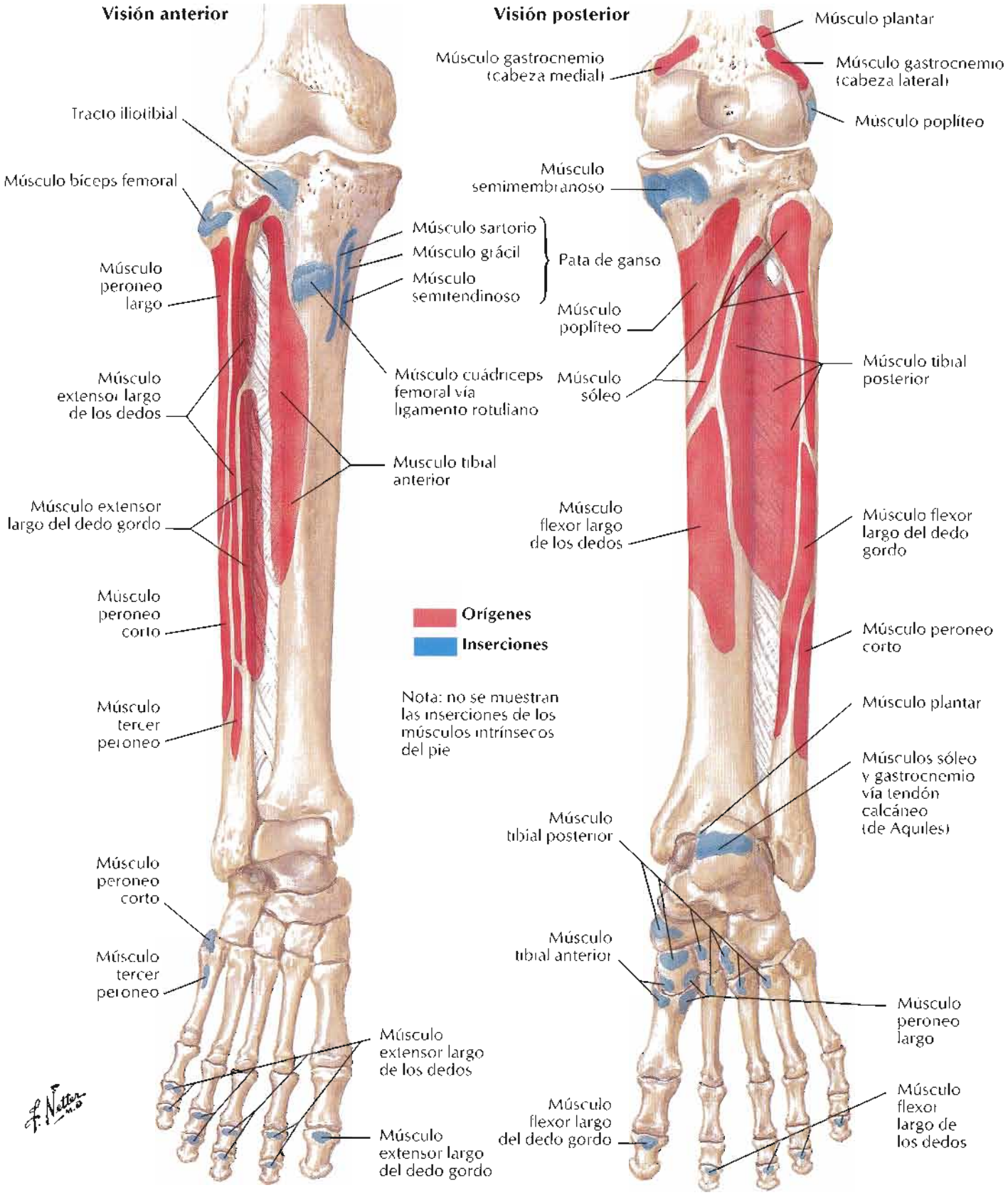
Arterias del muslo y rodilla: esquema




Huesos de la pierna derecha
Visión anterior
Eminencia intercondílea
Tubérculo intercondíleo lateral
Tubérculo intercondíleo medial
Área intercondílea anterior
Cóndilo lateral
Cóndilo medial
Vértice, Cabeza, Cuello del peroné
Tubérculo de Gerdy (inserción del tracto iliotibial)
Línea oblicua
Tuberosidad de la tibia
Cara lateral
Cara lateral
Borde anterior
Borde anterior
Borde interóseo
Borde interóseo
Cara medial
Cara medial
Borde medial
Peroné
Tibia
Maléolo lateral
Maléolo medial
Carilla articular del maléolo lateral
Cara articular inferior
Carilla articular del maléolo medial
Visión posterior
Eminencia intercondílea
Tubérculo intercondíleo medial
Tubérculo intercondíleo lateral
Área intercondílea posterior
Caras articulares superiores (carillas medial y lateral)
Cóndilo lateral
Vértice, Cabeza, Cuello del peroné
Surco para la inserción del tendón del semimembranoso
Línea del sóleo
Agujero nutricio
Borde interóseo
Cara posterior
Cara posterior
Cresta medial
Borde medial
Cara lateral
Tibia
Peroné
Borde posterior
Surco para los tendones del tibial posterior y flexor largo de los dedos
Escotadura peroneal
Maléolo medial
Maléolo lateral
Fosa del maléolo lateral
Carilla articular del maléolo medial
Cara articular inferior

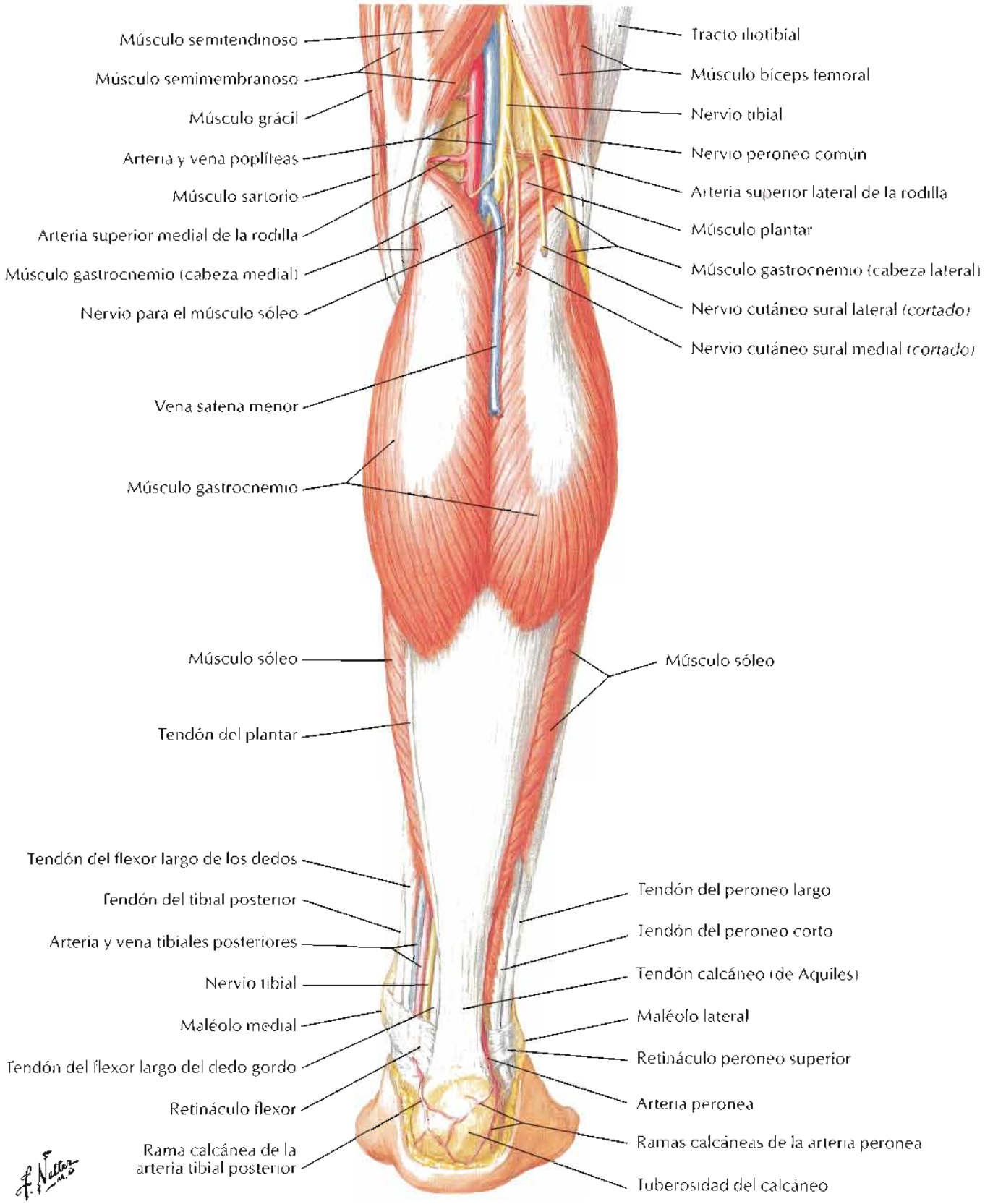
Tibia y peroné *(continuación)*




Visión anterior
Tracto iliotibial
Músculo bíceps femoral
Músculo peroneo largo
Músculo extensor largo de los dedos
Músculo extensor largo del dedo gordo
Músculo peroneo corto
Músculo tercer peroneo
Músculo peroneo corto
Músculo tercer peroneo
Músculo extensor largo de los dedos
Músculo extensor largo del dedo gordo
Músculo sartorio
Músculo grácil
Músculo semitendinoso
Pata de ganso
Músculo cuádriceps femoral vía ligamento rotuliano
Musculo tibial anterior
Orígenes
Inserciones
Nota: no se muestran las inserciones de los músculos intrínsecos del pie
Visión posterior
Músculo plantar
Músculo gastrocnemio (cabeza medial)
Músculo gastrocnemio (cabeza lateral)
Músculo poplíteo
Músculo semimembranoso
Músculo poplíteo
Músculo sóleo
Músculo tibial posterior
Músculo flexor largo de los dedos
Músculo flexor largo del dedo gordo
Músculo peroneo corto
Músculo plantar
Músculos sóleo y gastrocnemio vía tendón calcáneo (de Aquiles)
Músculo tibial posterior
Músculo tibial anterior
Músculo peroneo largo
Músculo flexor largo del dedo gordo
Músculo flexor largo de los dedos

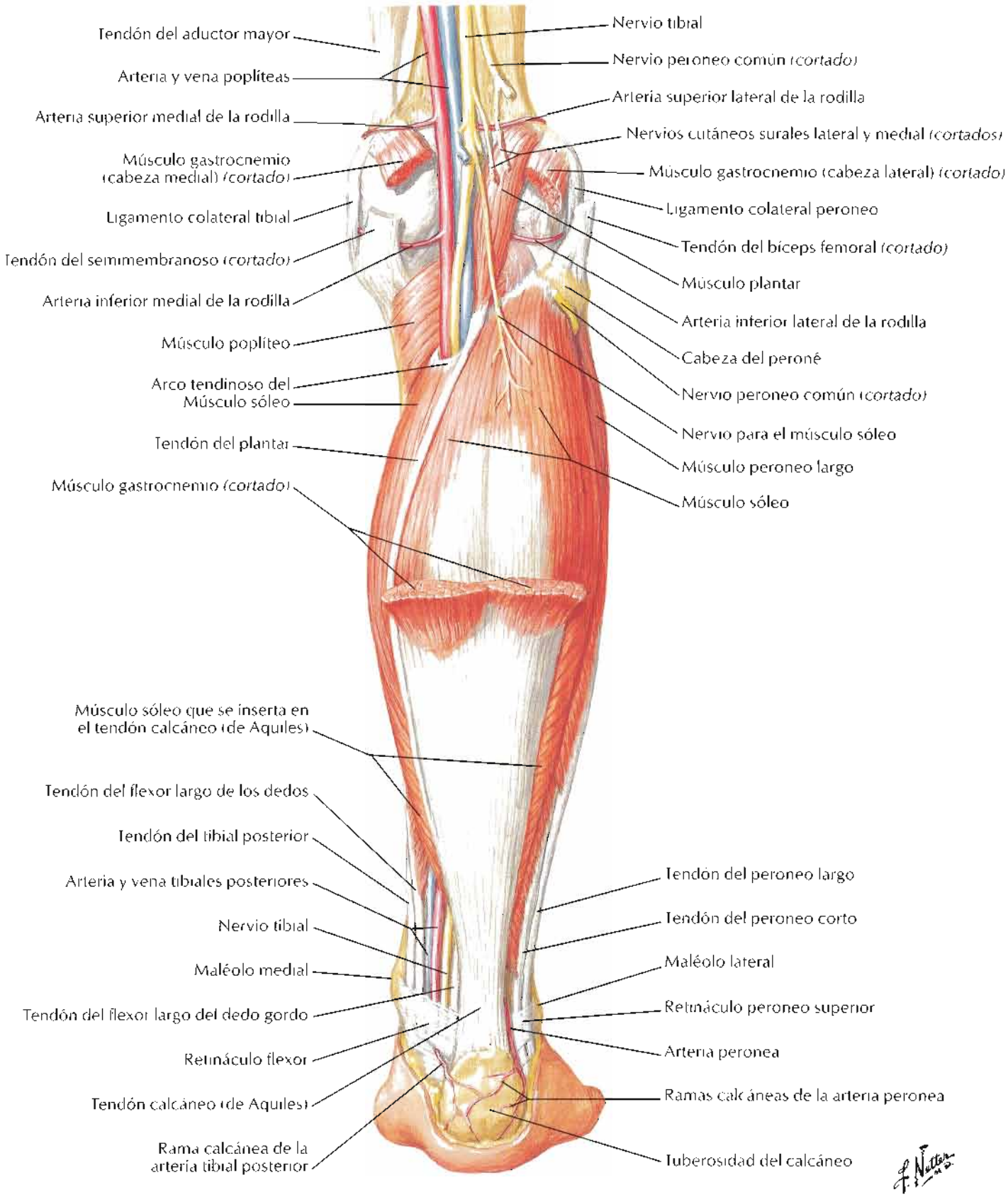
Músculos de la pierna (disección superficial): visión posterior

Véase también **lámina 540**



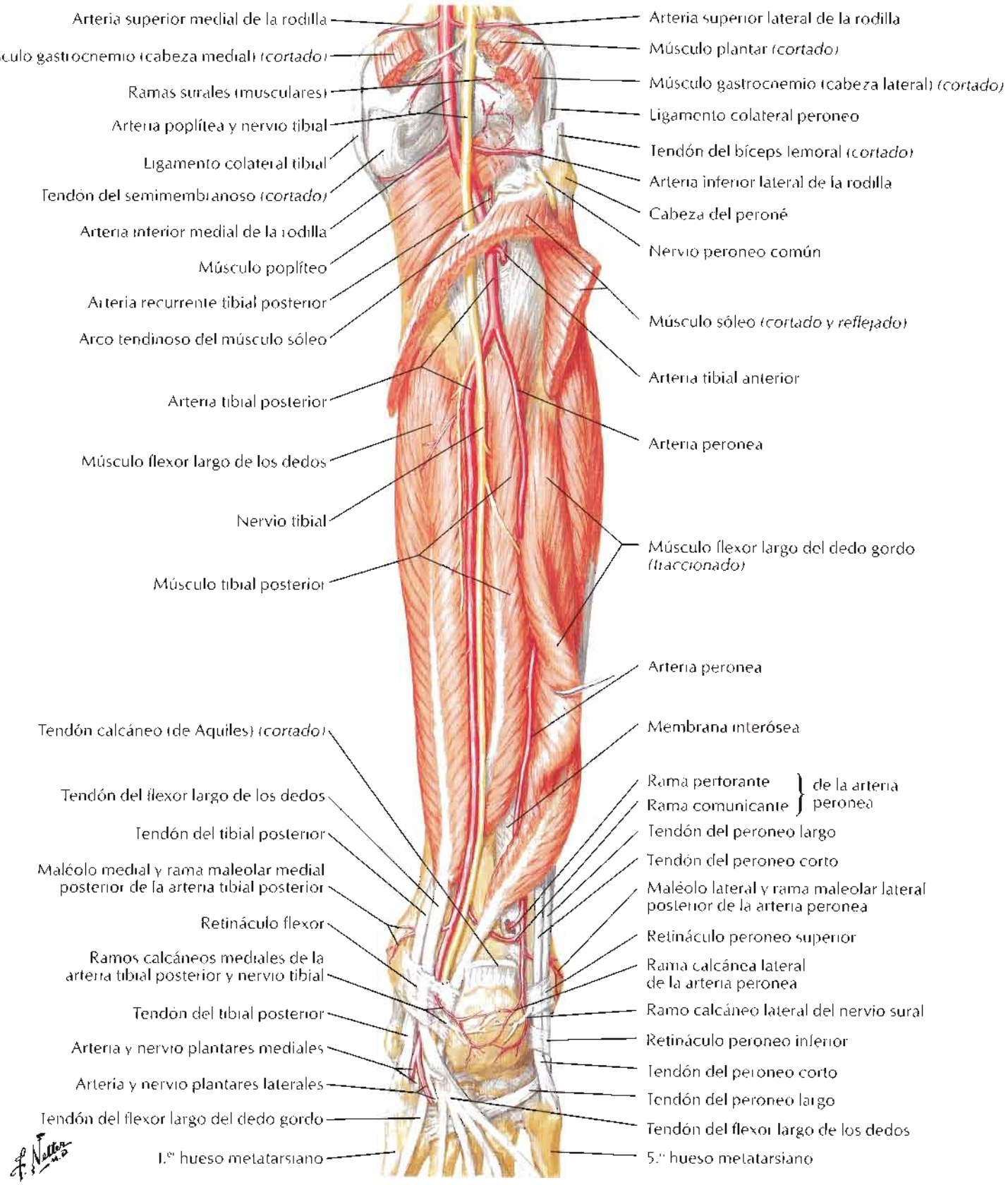
Músculos de la pierna (disección intermedia): visión posterior

Véase también **lámina 541**



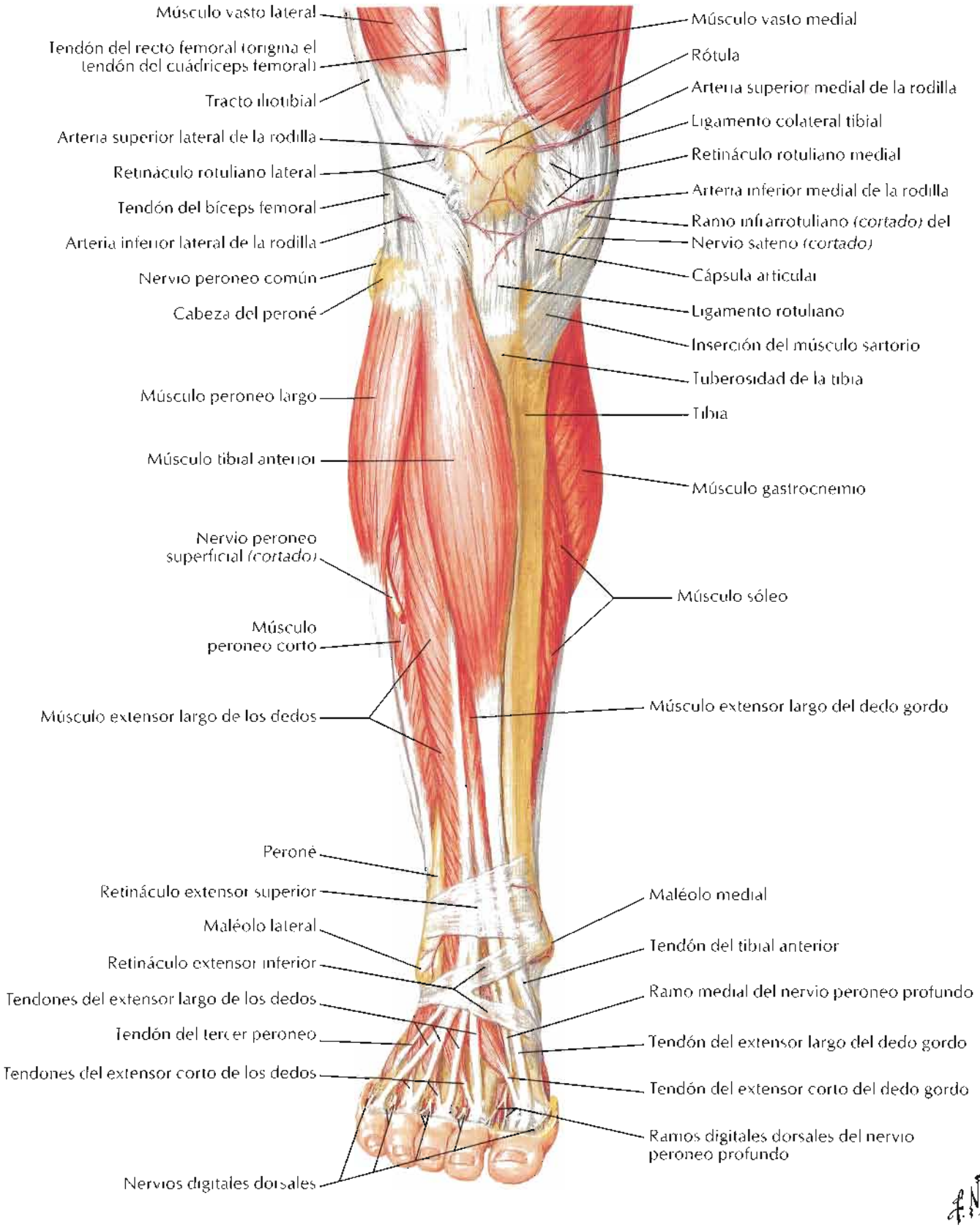
7 Músculos de la pierna (disección profunda): visión posterior

Véase también **lámina 541**



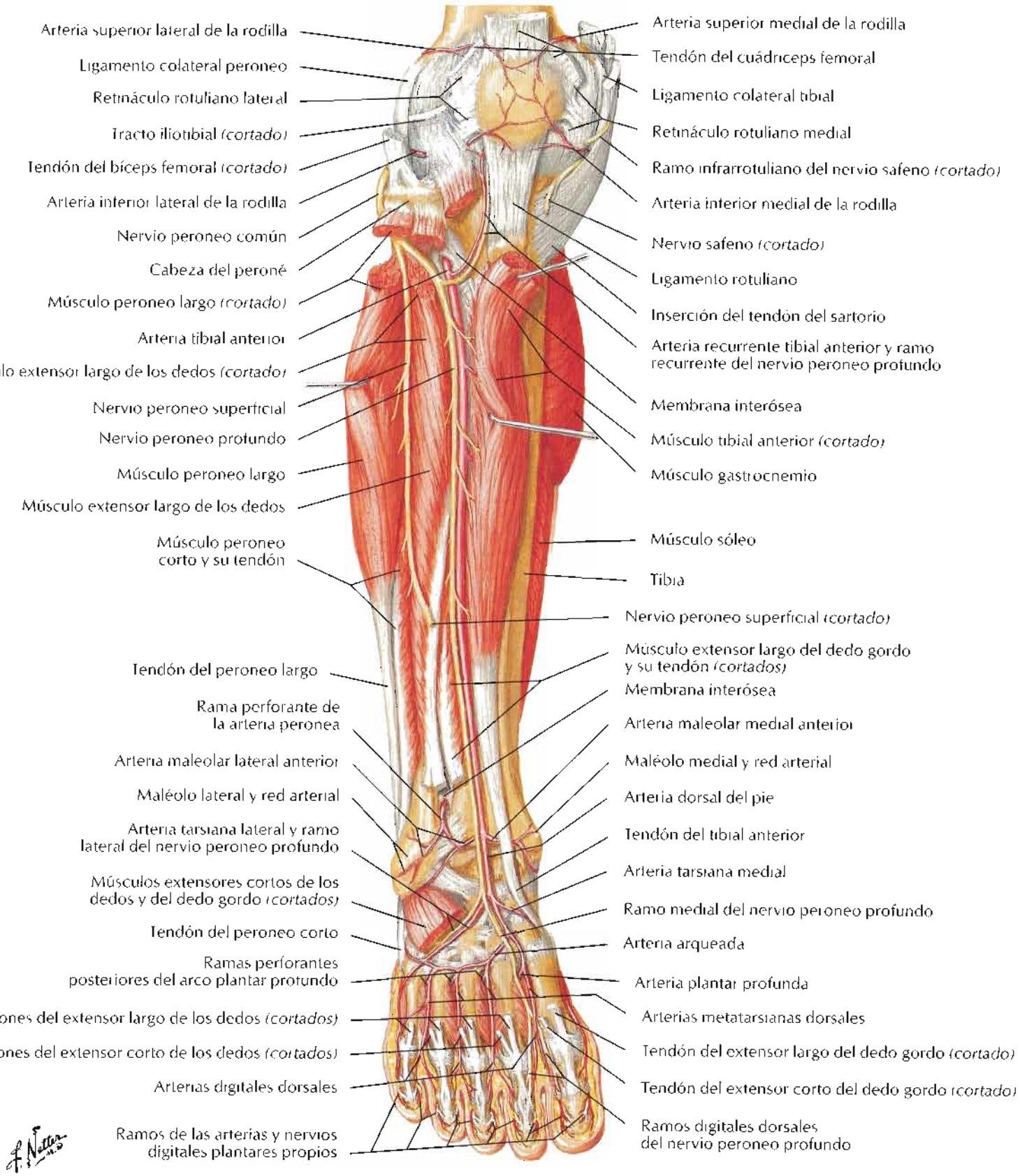
Músculos de la pierna (disección superficial): visión anterior

Véase también **lámina 542**



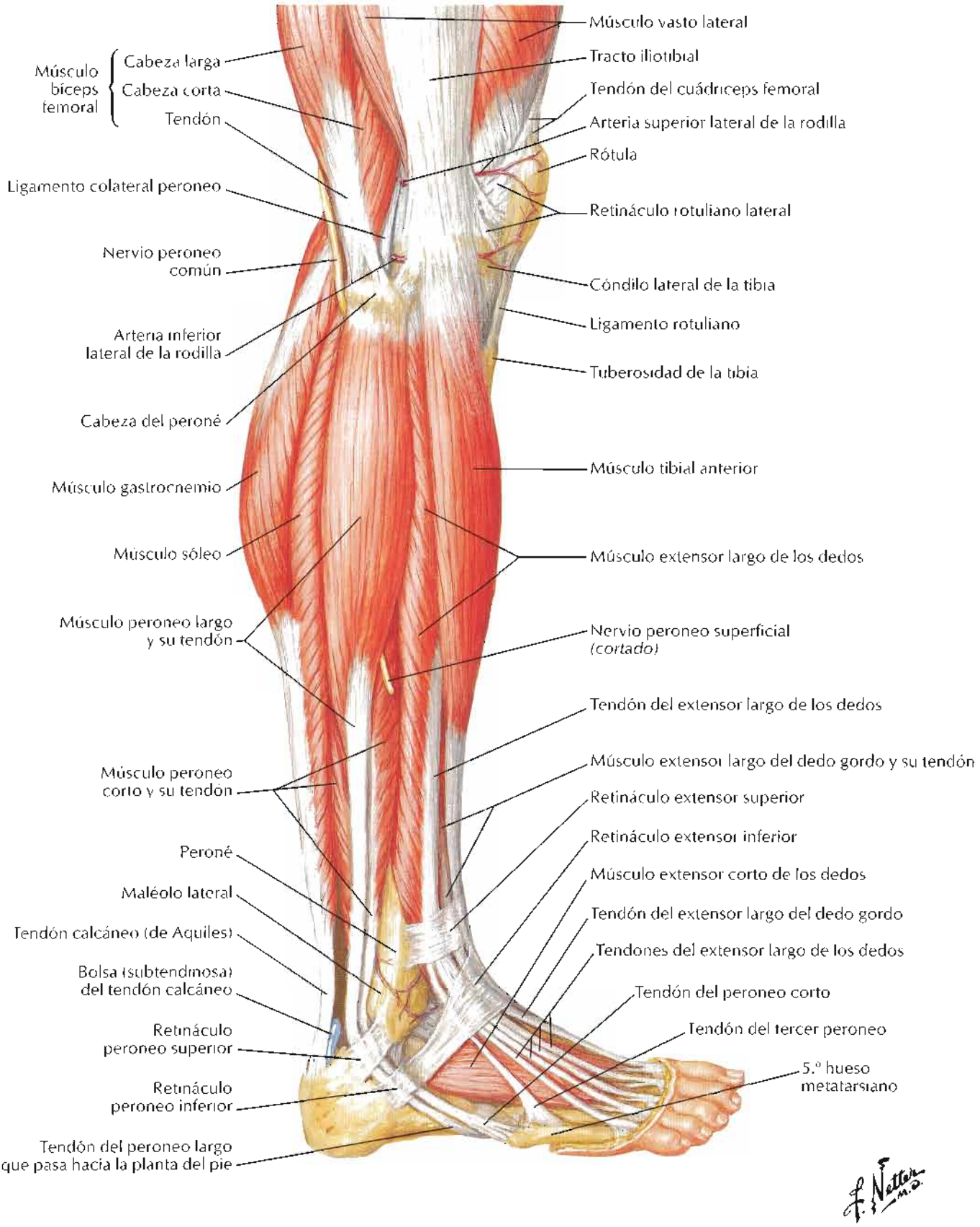
7 Músculos de la pierna (disección profunda): visión anterior

Véase también **lámina 542**

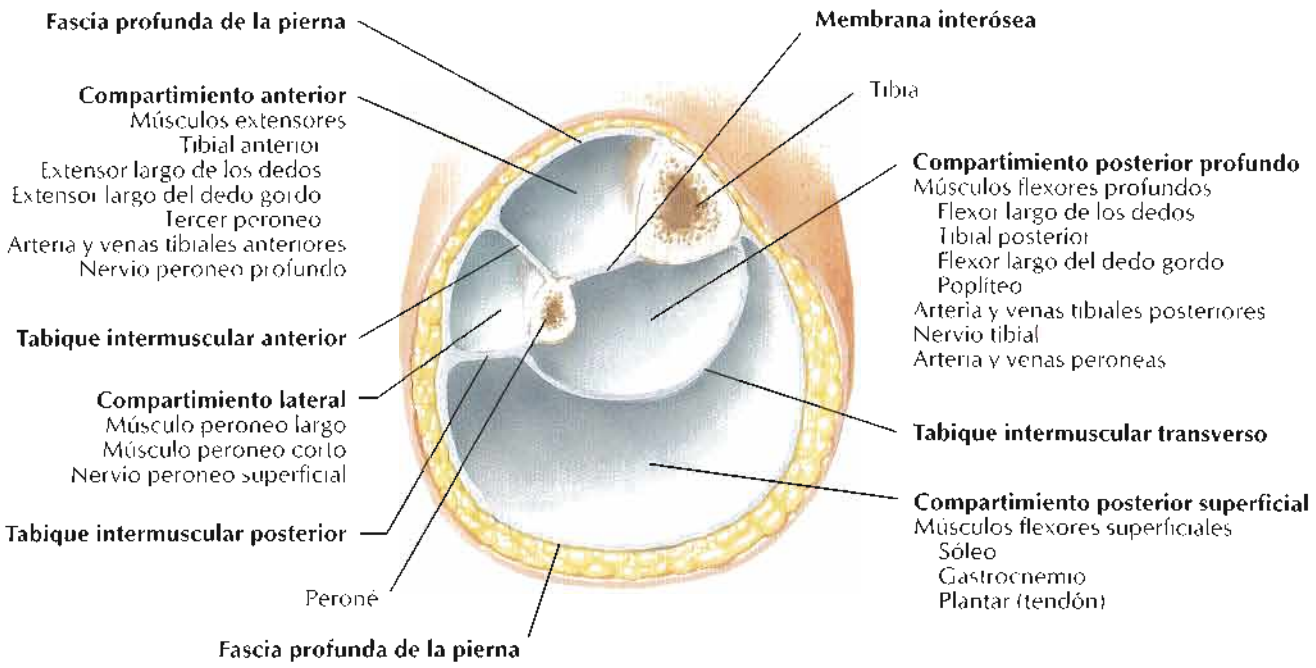


Músculos de la pierna: visión lateral

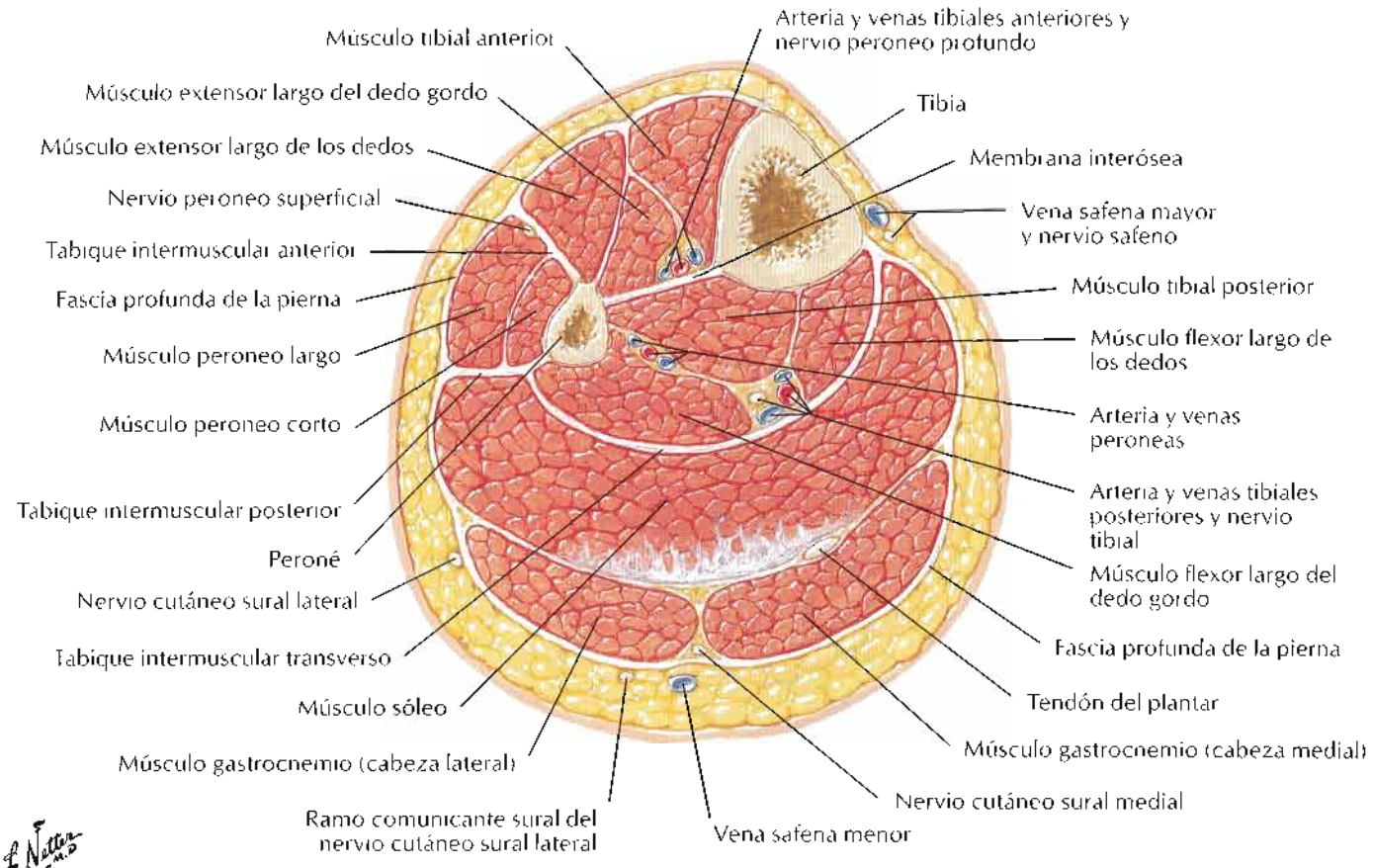
Véase también **lámina 542**

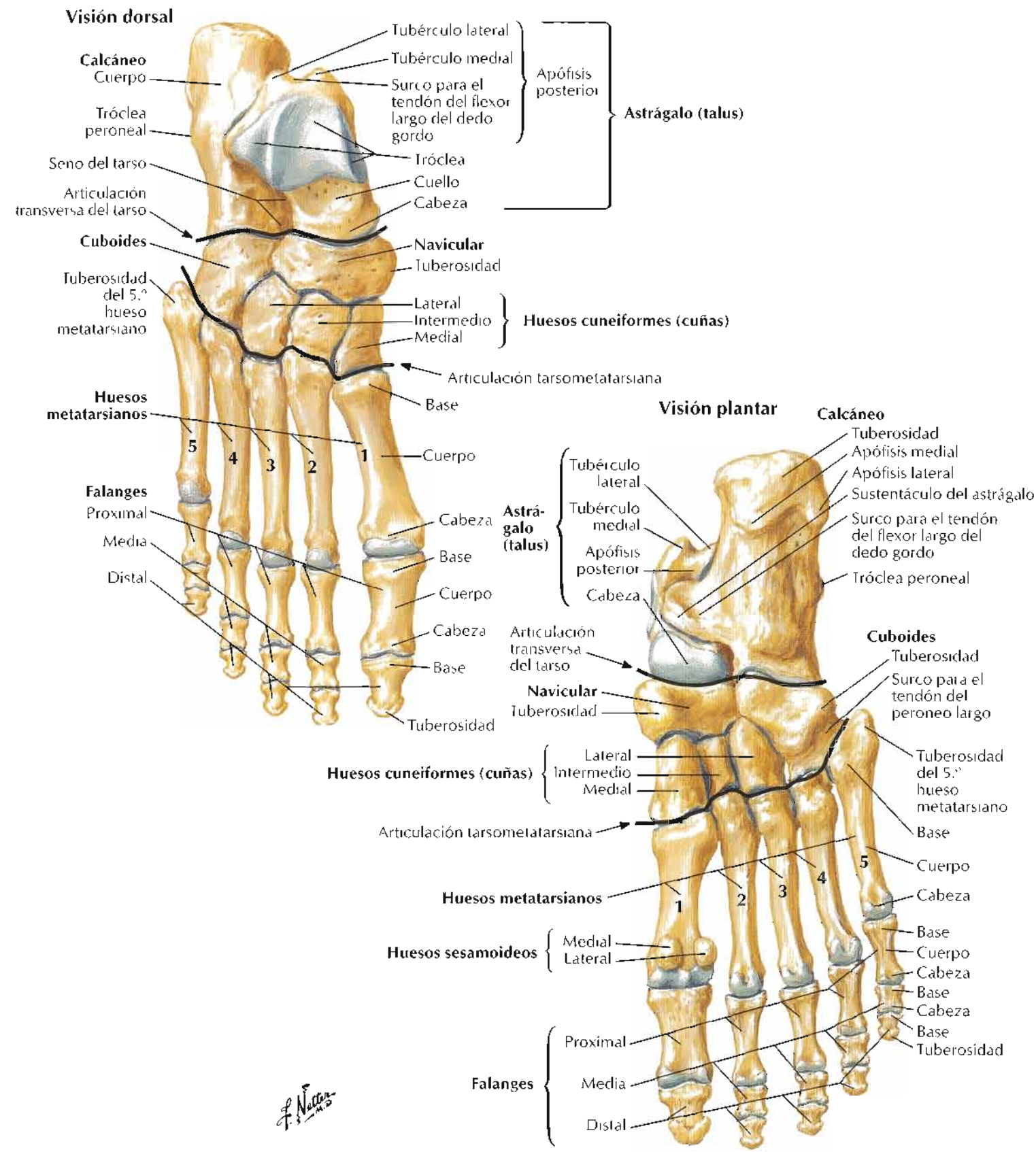


Pierna: secciones transversales y compartimientos de la fascia

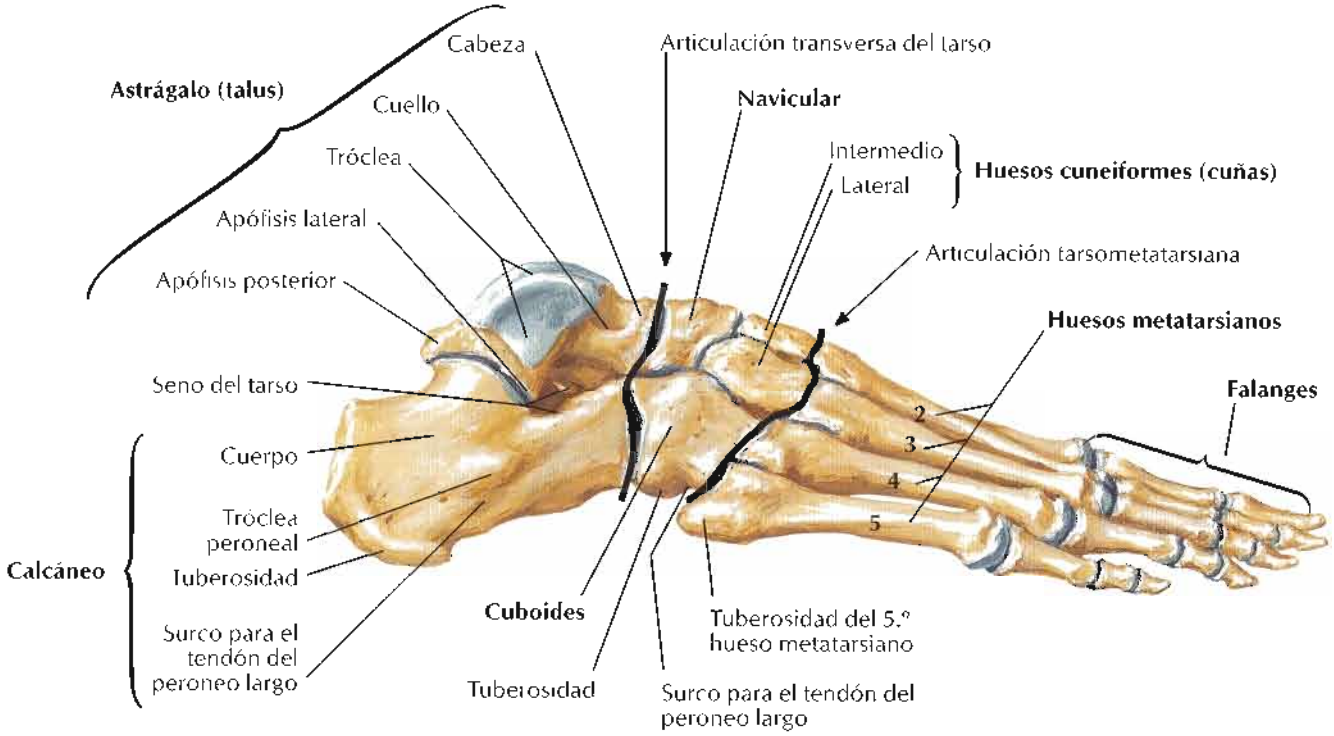


Sección transversal justo por encima de la mitad de la pierna

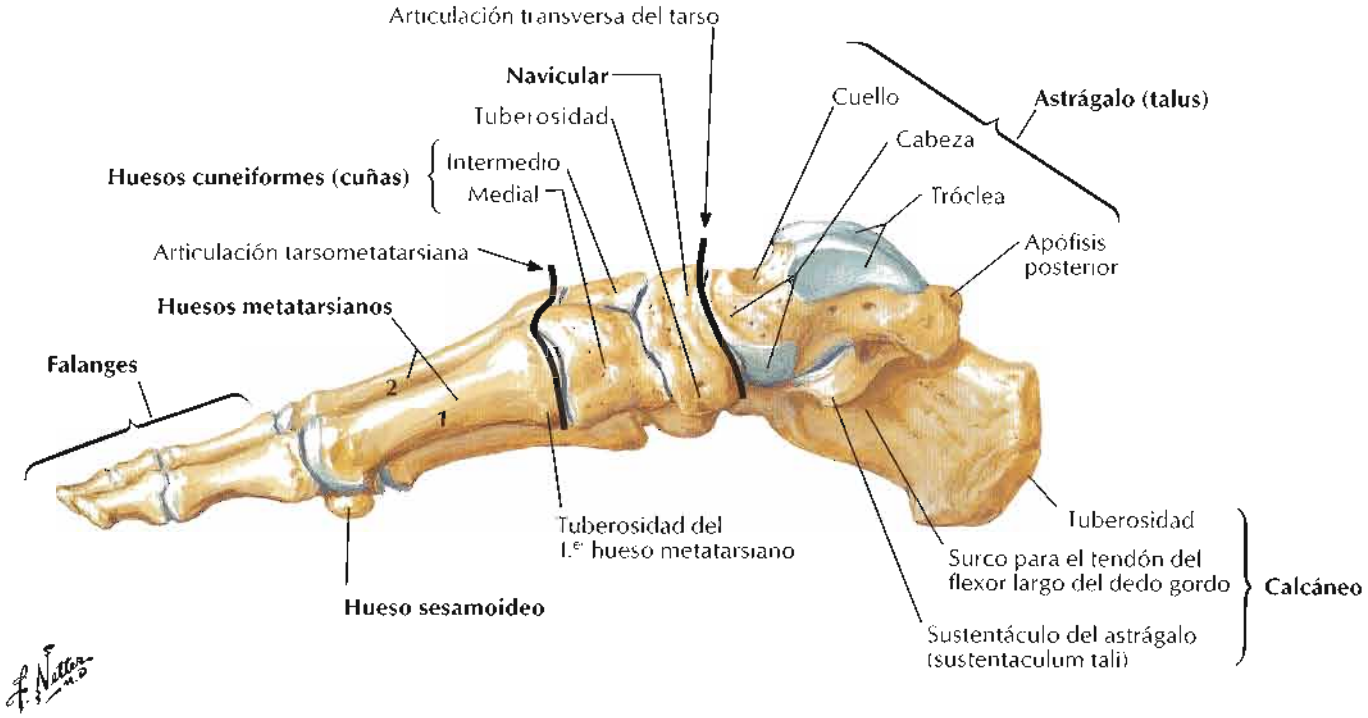


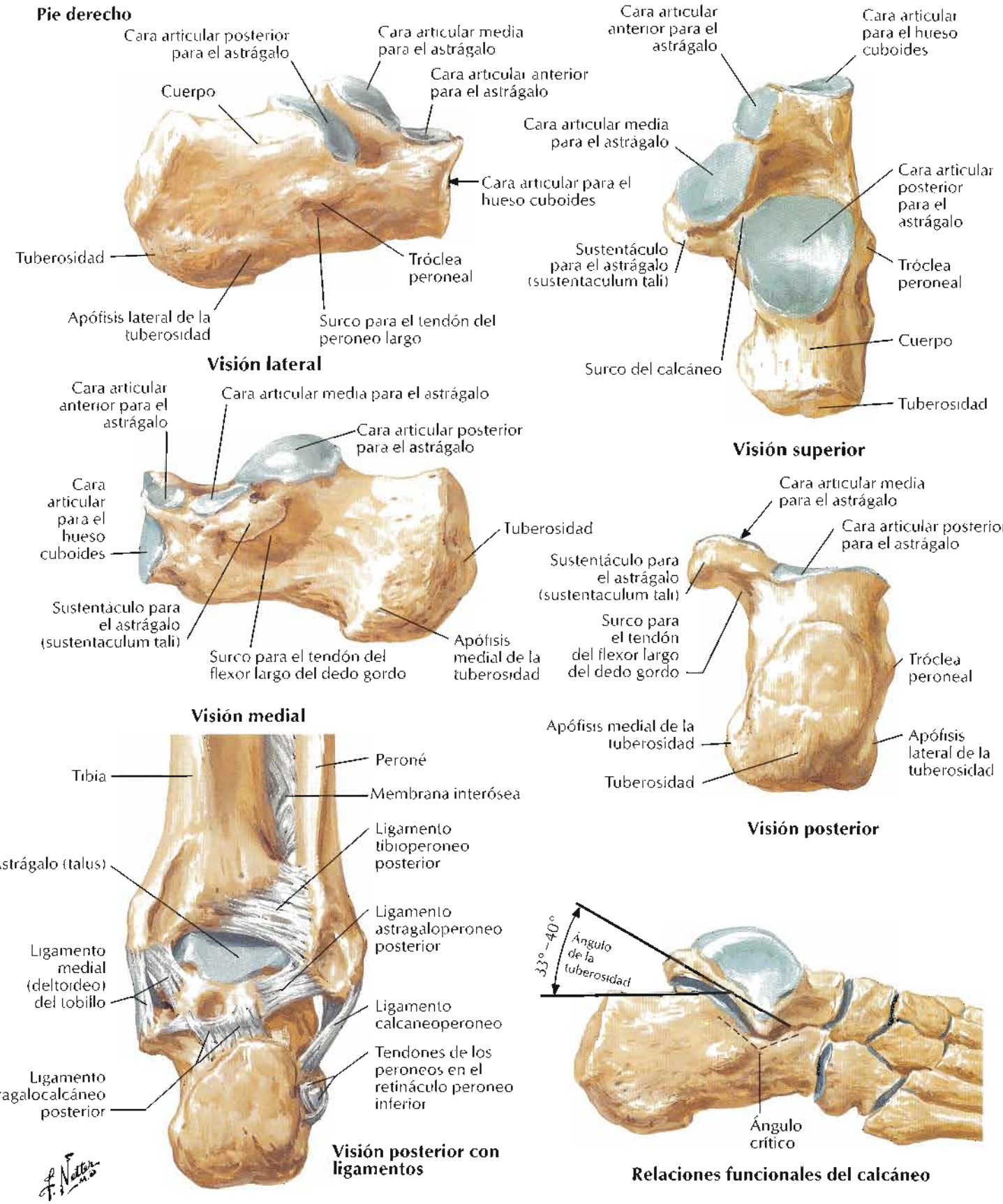

Visión dorsal
Calcáneo
Cuerpo
Tróclea peroneal
Seno del tarso
Articulación transversa del tarso
Cuboides
Tuberosidad del 5.º hueso metatarsiano
Huesos metatarsianos
5
4
3
2
1
Falanges
Proximal
Media
Distal
Tubérculo lateral
Tubérculo medial
Surco para el tendón del flexor largo del dedo gordo
Apófisis posterior
Tróclea
Cuello
Cabeza
Astrágalo (talus)
Navicular
Tuberosidad
Lateral
Intermedio
Medial
Huesos cuneiformes (cuñas)
Articulación tarsometatarsiana
Base
Cuerpo
Cabeza
Base
Cuerpo
Cabeza
Base
Tuberosidad
Visión plantar
Calcáneo
Tuberosidad
Apófisis medial
Apófisis lateral
Sustentáculo del astrágalo
Surco para el tendón del flexor largo del dedo gordo
Tróclea peroneal
Astrágalo (talus)
Tubérculo lateral
Tubérculo medial
Apófisis posterior
Cabeza
Articulación transversa del tarso
Navicular
Tuberosidad
Cuboides
Tuberosidad
Surco para el tendón del peroneo largo
Huesos cuneiformes (cuñas)
Lateral
Intermedio
Medial
Articulación tarsometatarsiana
Tuberosidad del 5.º hueso metatarsiano
Base
Cuerpo
Cabeza
Base
Cuerpo
Cabeza
Base
Cabeza
Base
Tuberosidad
Huesos metatarsianos
1
2
3
4
5
Huesos sesamoideos
Medial
Lateral
Falanges
Proximal
Media
Distal

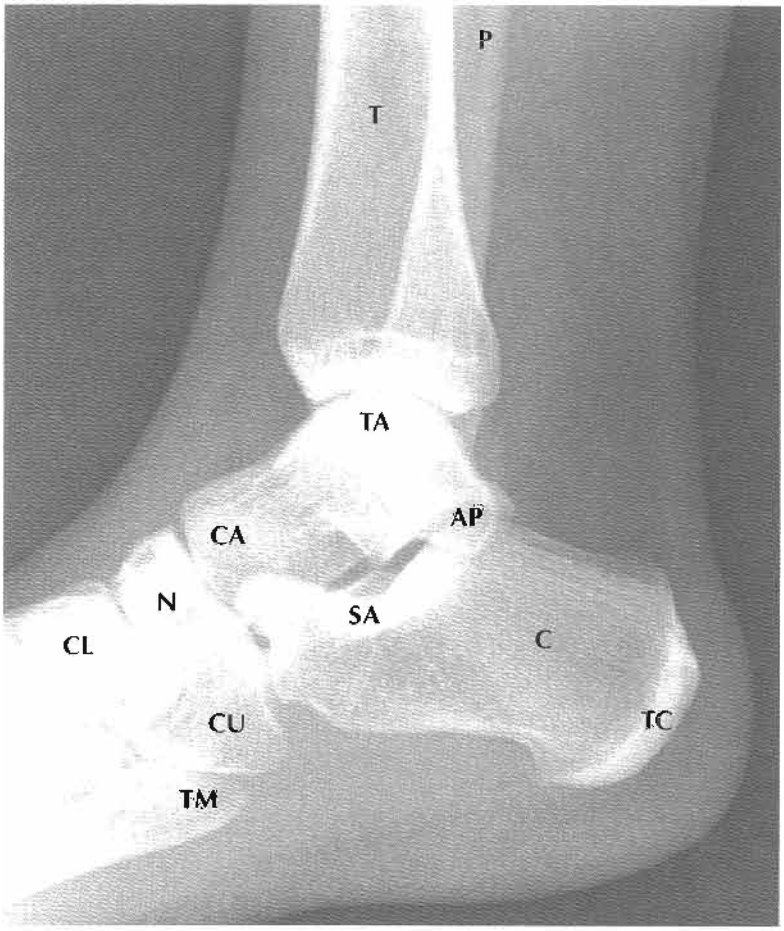
Visión lateral



Visión medial




Pie derecho
Cara articular posterior para el astrágalo
Cara articular media para el astrágalo
Cara articular anterior para el astrágalo
Cuerpo
Cara articular para el hueso cuboides
Tuberosidad
Tróclea peroneal
Apófisis lateral de la tuberosidad
Surco para el tendón del peroneo largo
Visión lateral
Cara articular anterior para el astrágalo
Cara articular para el hueso cuboides
Cara articular media para el astrágalo
Cara articular posterior para el astrágalo
Sustentáculo para el astrágalo (sustentaculum tali)
Tróclea peroneal
Cuerpo
Surco del calcáneo
Tuberosidad
Visión superior
Cara articular anterior para el astrágalo
Cara articular media para el astrágalo
Cara articular posterior para el astrágalo
Cara articular para el hueso cuboides
Tuberosidad
Sustentáculo para el astrágalo (sustentaculum tali)
Surco para el tendón del flexor largo del dedo gordo
Apófisis medial de la tuberosidad
Visión medial
Cara articular media para el astrágalo
Cara articular posterior para el astrágalo
Sustentáculo para el astrágalo (sustentaculum tali)
Surco para el tendón del flexor largo del dedo gordo
Tróclea peroneal
Apófisis medial de la tuberosidad
Tuberosidad
Apófisis lateral de la tuberosidad
Visión posterior
Tibia
Peroné
Membrana interósea
Astrágalo (talus)
Ligamento tibioperoneo posterior
Ligamento astragaloperoneo posterior
Ligamento medial (deltoideo) del tobillo
Ligamento calcaneoperoneo
Tendones de los peroneos en el retináculo peroneo inferior
Ligamento astragalocalcáneo posterior
Visión posterior con ligamentos
33°–40°
Ángulo de la tuberosidad
Ángulo crítico
Relaciones funcionales del calcáneo

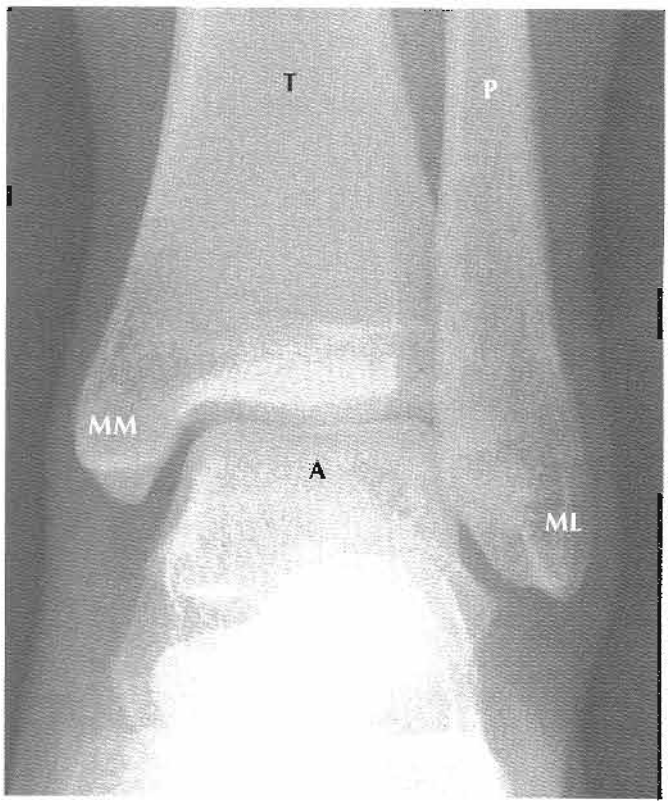


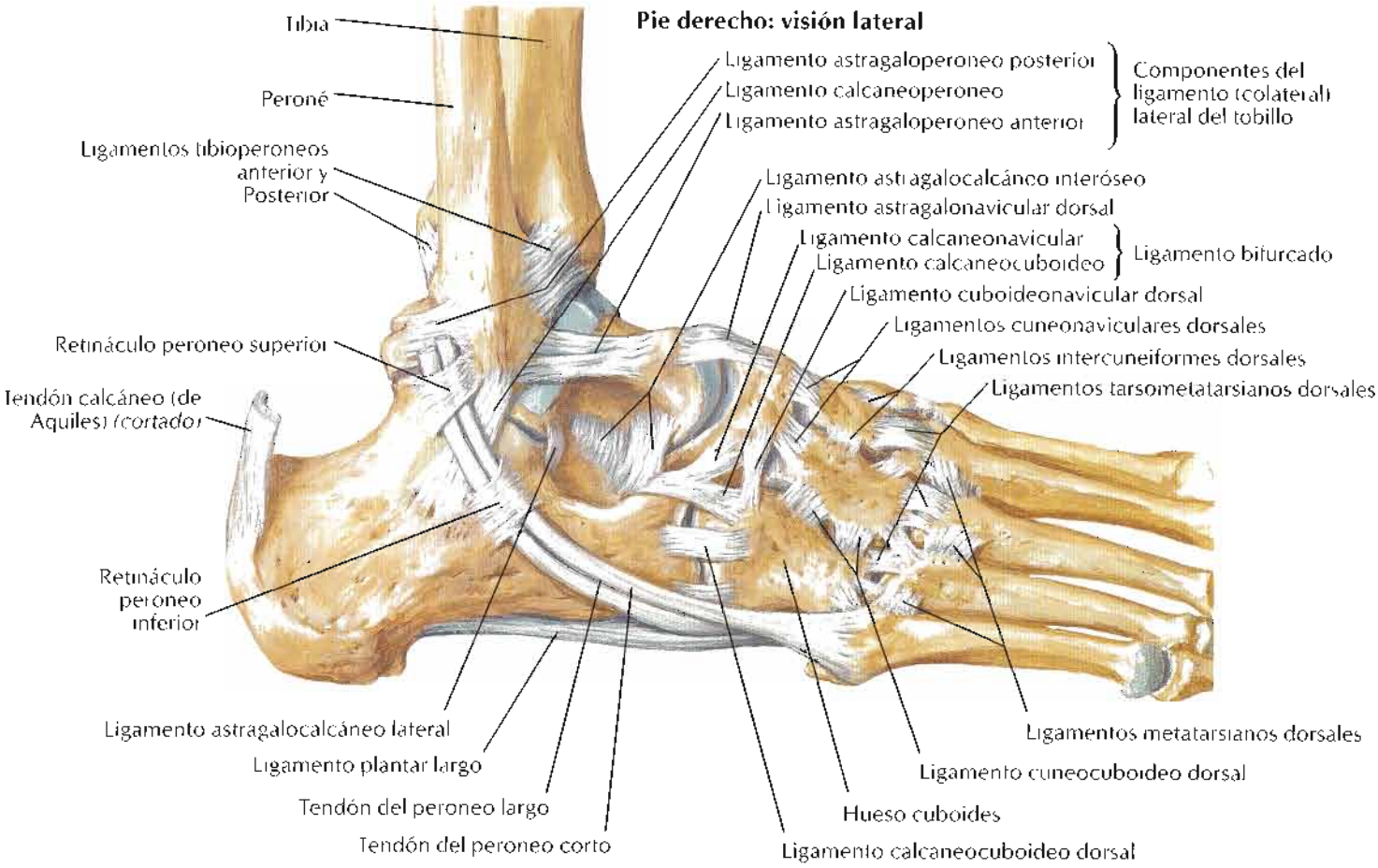
Visión lateral

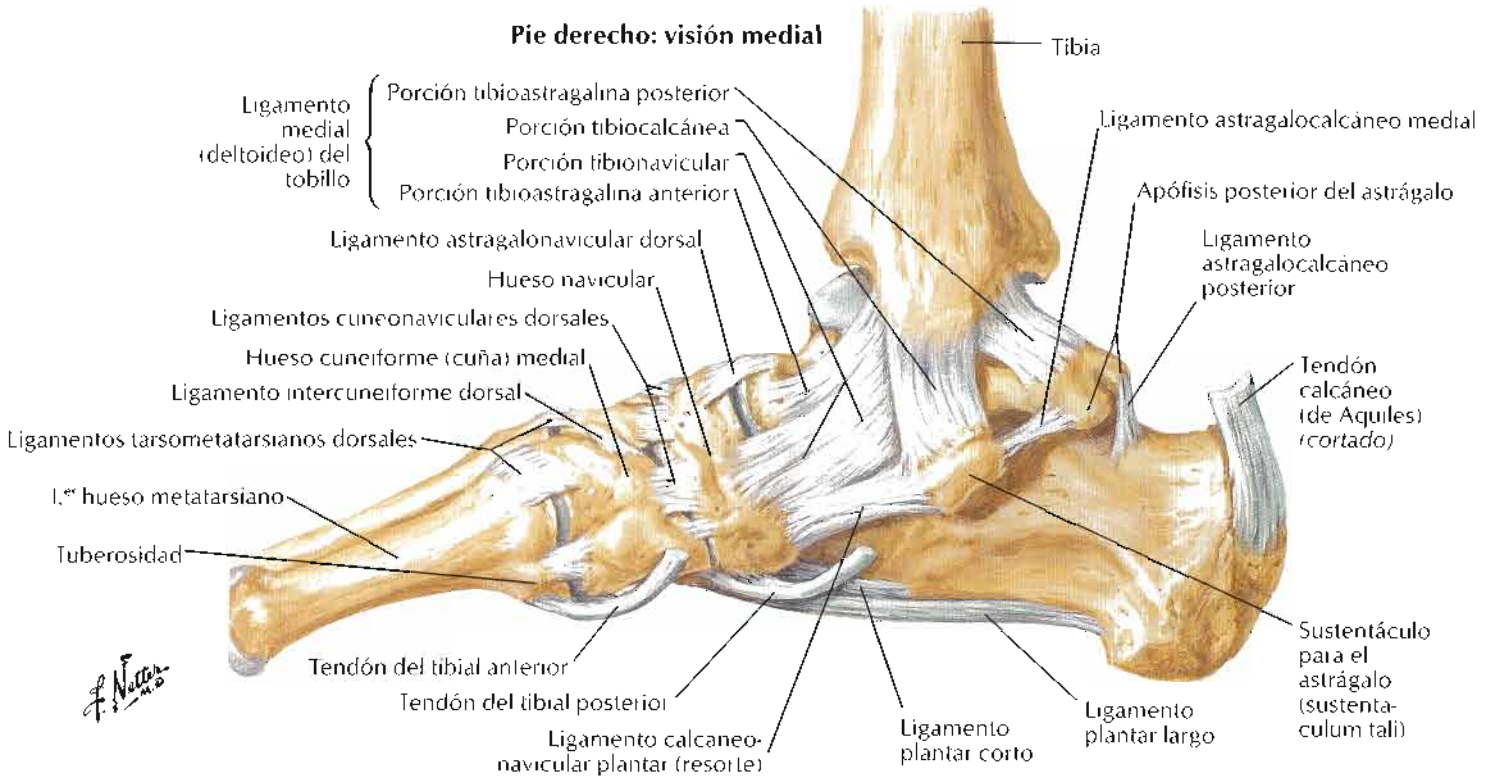
AP	Apófisis posterior del astrágalo
C	Calcáneo
CA	Cabeza del astrágalo
CL	Cuneiforme (cuña) lateral
CU	Cuboides
N	Navicular
P	Peroné
SA	Sustentáculo para el astrágalo del calcáneo
T	Tibia
TA	Tróclea del astrágalo
TC	Tuberosidad del calcáneo
TM	Tuberosidad del 5.° metatarsiano

Visión anterior

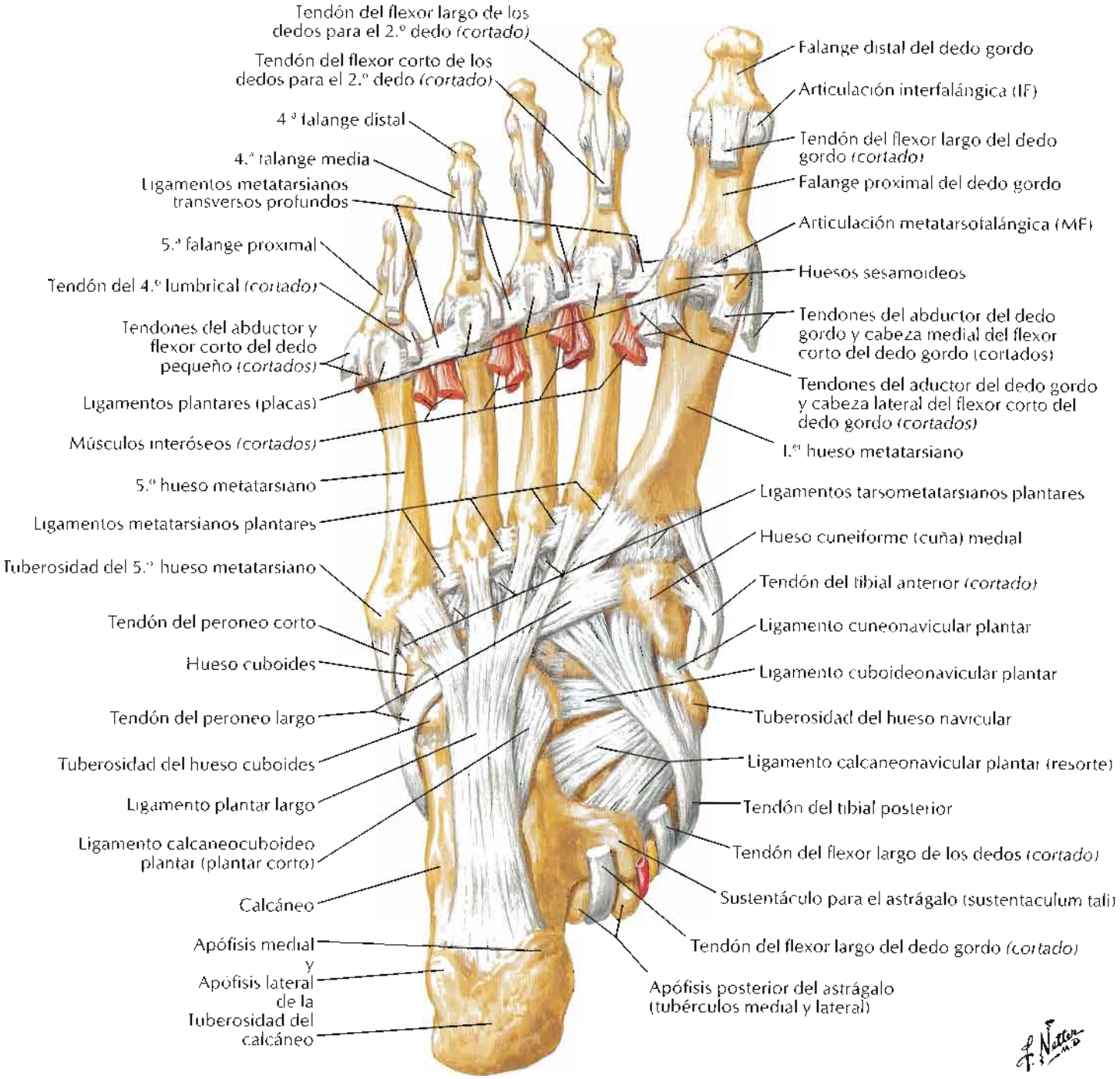
A	Astrágalo
ML	Maléolo lateral
MM	Maléolo medial
P	Peroné
T	Tibia

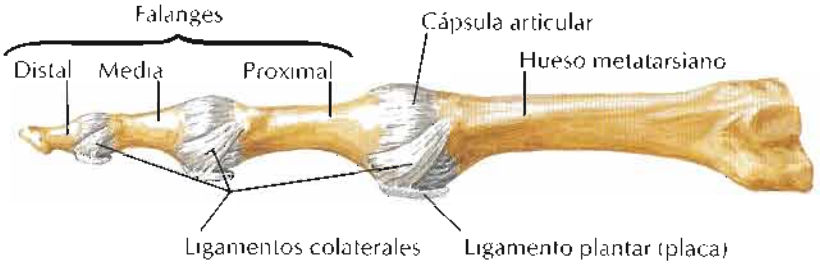



Pie derecho: visión lateral
Tibia
Peroné
Ligamentos tibioperoneos anterior y Posterior
Retináculo peroneo superior
Tendón calcáneo (de Aquiles) (cortado)
Retináculo peroneo inferior
Ligamento astragaloperoneo posterior
Ligamento calcaneoperoneo
Ligamento astragaloperoneo anterior
Componentes del ligamento (colateral) lateral del tobillo
Ligamento astragalocalcáneo interóseo
Ligamento astragalonavicular dorsal
Ligamento calcaneonavicular
Ligamento calcaneocuboideo
Ligamento bifurcado
Ligamento cuboideonavicular dorsal
Ligamentos cuneonaviculares dorsales
Ligamentos intercuneiformes dorsales
Ligamentos tarsometatarsianos dorsales
Ligamento astragalocalcáneo lateral
Ligamento plantar largo
Tendón del peroneo largo
Tendón del peroneo corto
Ligamentos metatarsianos dorsales
Ligamento cuneocuboideo dorsal
Hueso cuboides
Ligamento calcaneocuboideo dorsal

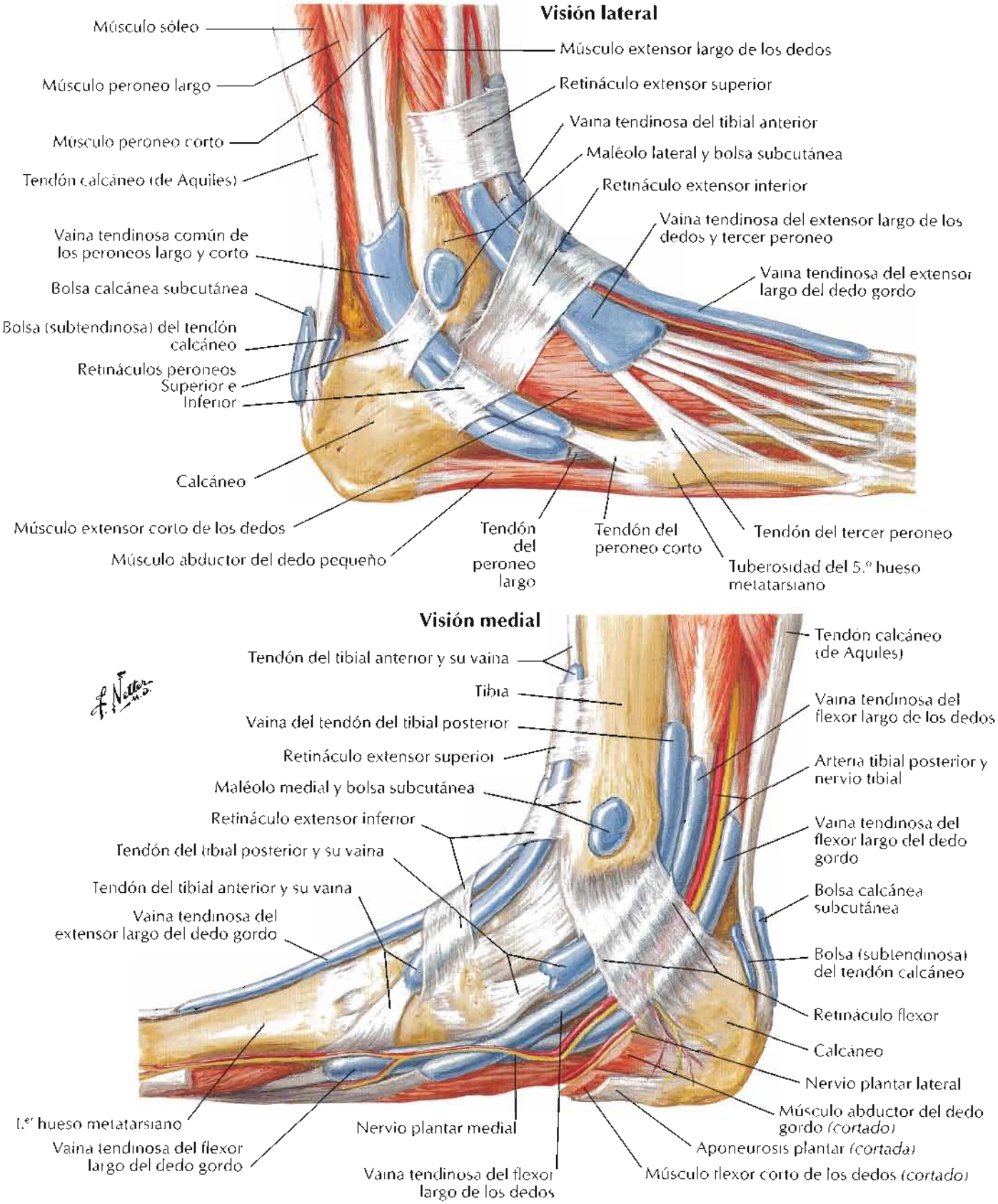

Pie derecho: visión medial
Tibia
Ligamento medial (deltoideo) del tobillo
Porción tibioastragalina posterior
Porción tibiocalcánea
Porción tibionavicular
Porción tibioastragalina anterior
Ligamento astragalocalcáneo medial
Apófisis posterior del astrágalo
Ligamento astragalocalcáneo posterior
Ligamento astragalonavicular dorsal
Hueso navicular
Ligamentos cuneonaviculares dorsales
Hueso cuneiforme (cuña) medial
Ligamento intercuneiforme dorsal
Ligamentos tarsometatarsianos dorsales
1.er hueso metatarsiano
Tuberosidad
Tendón calcáneo (de Aquiles) (cortado)
Sustentáculo para el astrágalo (sustentaculum tali)
Tendón del tibial anterior
Tendón del tibial posterior
Ligamento calcaneonavicular plantar (resorte)
Ligamento plantar corto
Ligamento plantar largo

Ligamentos y tendones del pie: visión plantar

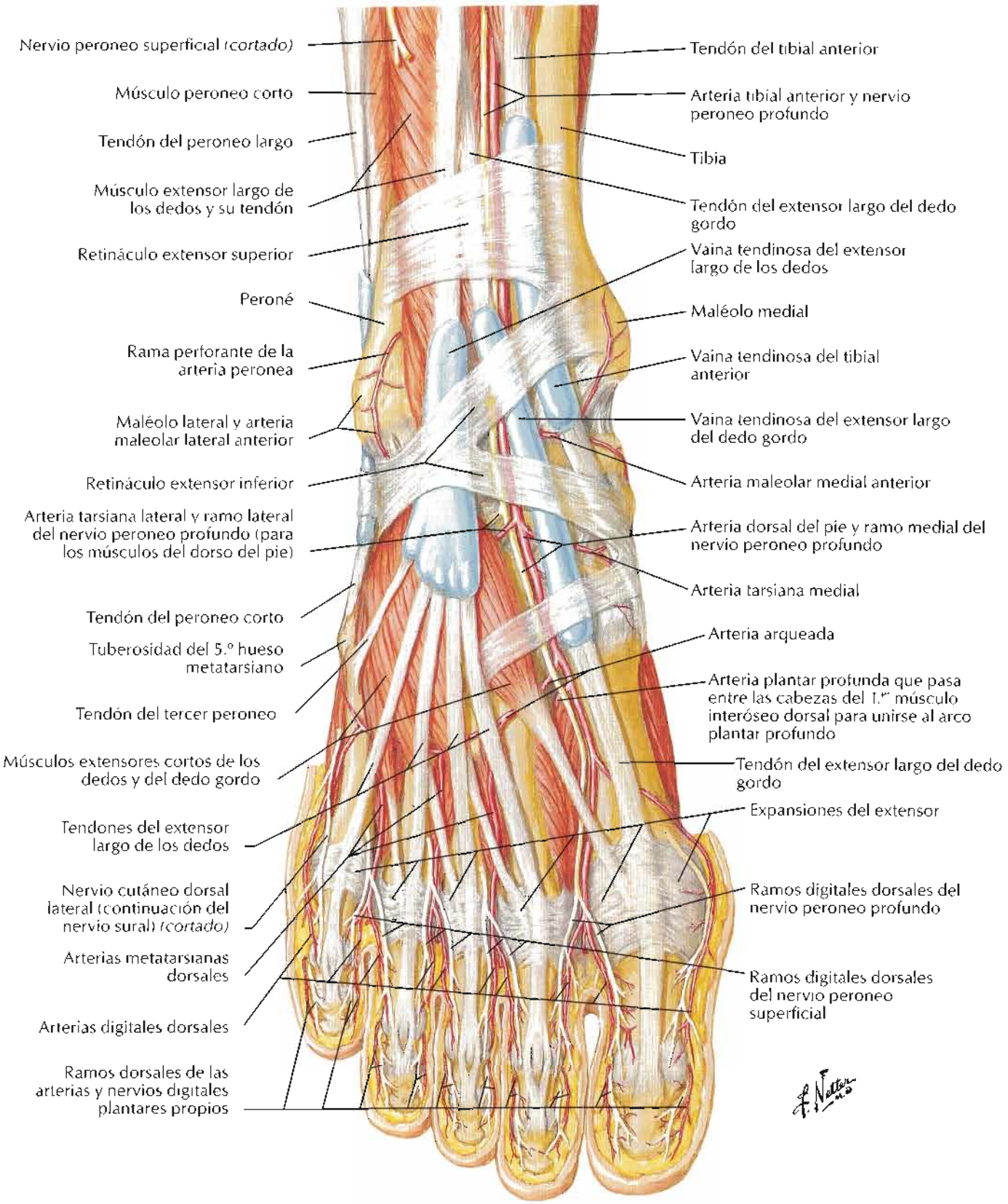


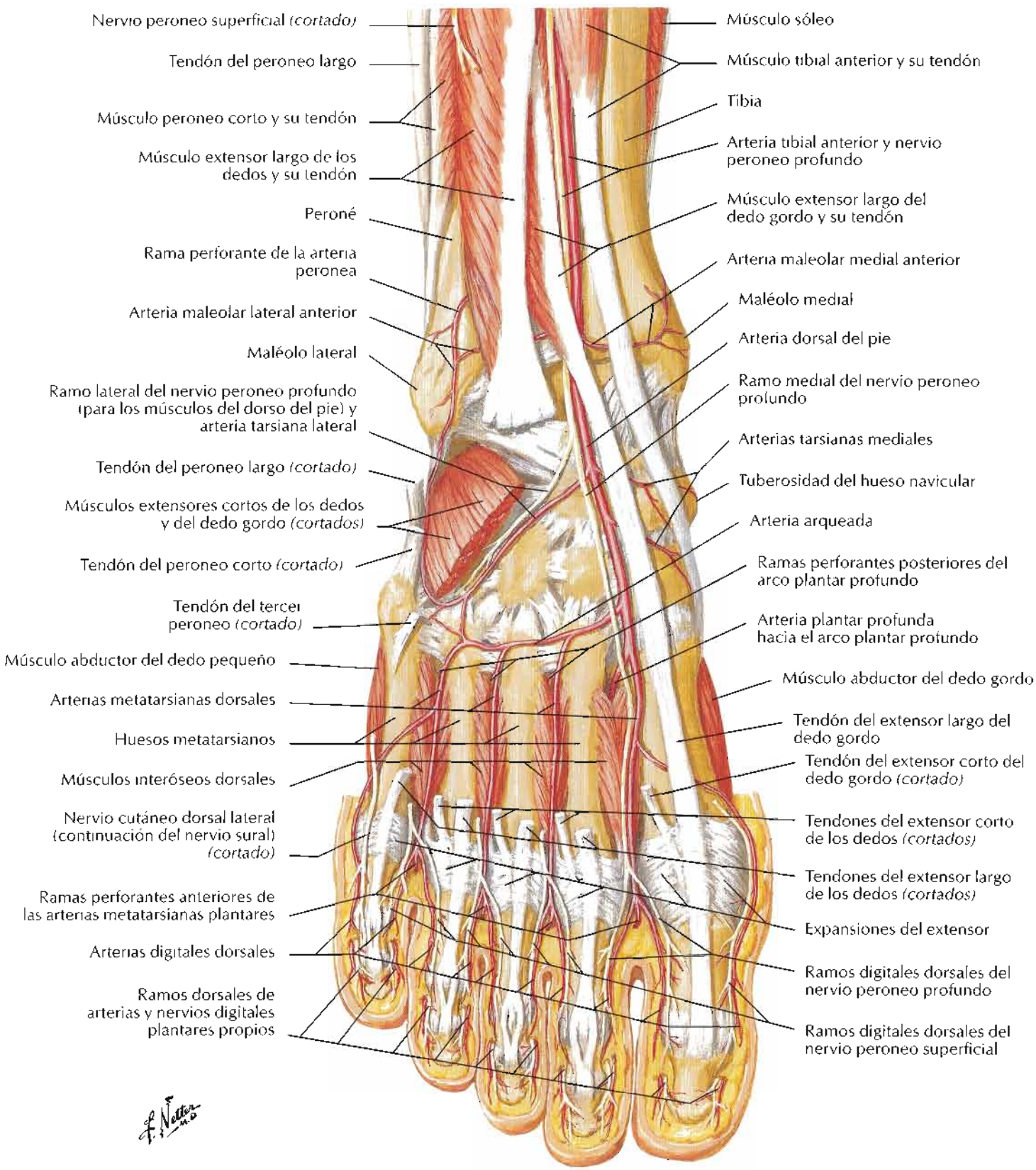


Cápsulas y ligamentos de las articulaciones metatarsofalángicas e interfalángicas: visión lateral

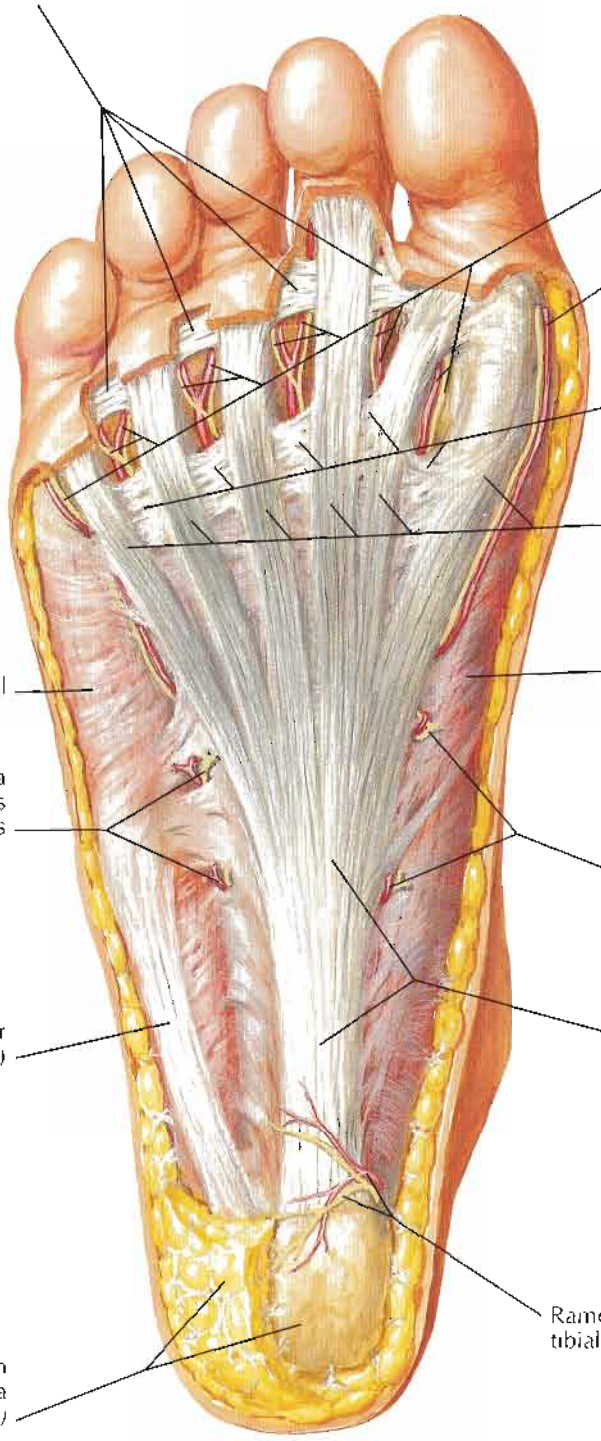

Visión lateral
Músculo sóleo
Músculo peroneo largo
Músculo peroneo corto
Tendón calcáneo (de Aquiles)
Vaina tendinosa común de los peroneos largo y corto
Bolsa calcánea subcutánea
Bolsa (subtendinosa) del tendón calcáneo
Retináculos peroneos Superior e Inferior
Calcáneo
Músculo extensor corto de los dedos
Músculo abductor del dedo pequeño
Tendón del peroneo largo
Tendón del peroneo corto
Tuberosidad del 5.º hueso metatarsiano
Tendón del tercer peroneo
Vaina tendinosa del extensor largo del dedo gordo
Vaina tendinosa del extensor largo de los dedos y tercer peroneo
Retináculo extensor inferior
Maléolo lateral y bolsa subcutánea
Vaina tendinosa del tibial anterior
Retináculo extensor superior
Músculo extensor largo de los dedos
Visión medial
Tendón del tibial anterior y su vaina
Tibia
Vaina del tendón del tibial posterior
Retináculo extensor superior
Maléolo medial y bolsa subcutánea
Retináculo extensor inferior
Tendón del tibial posterior y su vaina
Tendón del tibial anterior y su vaina
Vaina tendinosa del extensor largo del dedo gordo
1.er hueso metatarsiano
Vaina tendinosa del flexor largo del dedo gordo
Nervio plantar medial
Vaina tendinosa del flexor largo de los dedos
Tendón calcáneo (de Aquiles)
Vaina tendinosa del flexor largo de los dedos
Arteria tibial posterior y nervio tibial
Vaina tendinosa del flexor largo del dedo gordo
Bolsa calcánea subcutánea
Bolsa (subtendinosa) del tendón calcáneo
Retináculo flexor
Calcáneo
Nervio plantar lateral
Músculo abductor del dedo gordo (cortado)
Aponeurosis plantar (cortada)
Músculo flexor corto de los dedos (cortado)

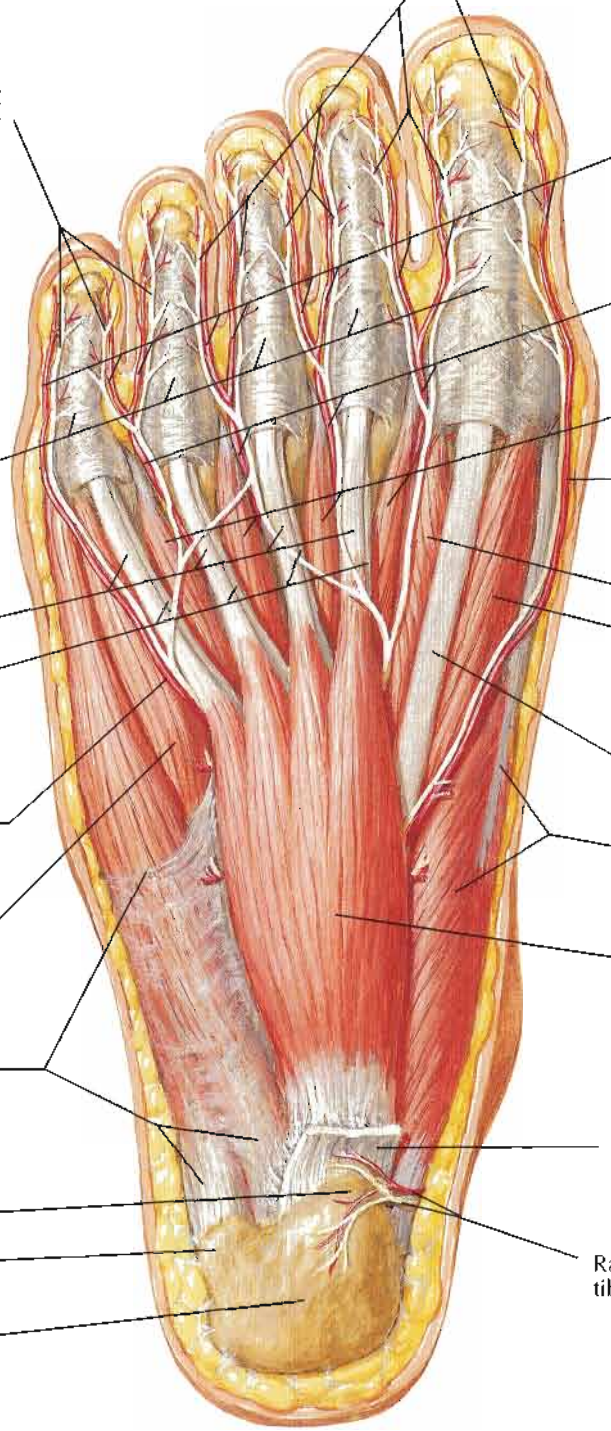
Músculos del dorso del pie: disección superficial




Nervio peroneo superficial (cortado)
Tendón del peroneo largo
Músculo peroneo corto y su tendón
Músculo extensor largo de los dedos y su tendón
Peroné
Rama perforante de la arteria peronea
Arteria maleolar lateral anterior
Maléolo lateral
Ramo lateral del nervio peroneo profundo (para los músculos del dorso del pie) y arteria tarsiana lateral
Tendón del peroneo largo (cortado)
Músculos extensores cortos de los dedos y del dedo gordo (cortados)
Tendón del peroneo corto (cortado)
Tendón del tercer peroneo (cortado)
Músculo abductor del dedo pequeño
Arterias metatarsianas dorsales
Huesos metatarsianos
Músculos interóseos dorsales
Nervio cutáneo dorsal lateral (continuación del nervio sural) (cortado)
Ramas perforantes anteriores de las arterias metatarsianas plantares
Arterias digitales dorsales
Ramos dorsales de arterias y nervios digitales plantares propios
Músculo sóleo
Músculo tibial anterior y su tendón
Tibia
Arteria tibial anterior y nervio peroneo profundo
Músculo extensor largo del dedo gordo y su tendón
Arteria maleolar medial anterior
Maléolo medial
Arteria dorsal del pie
Ramo medial del nervio peroneo profundo
Arterias tarsianas mediales
Tuberosidad del hueso navicular
Arteria arqueada
Ramas perforantes posteriores del arco plantar profundo
Arteria plantar profunda hacia el arco plantar profundo
Músculo abductor del dedo gordo
Tendón del extensor largo del dedo gordo
Tendón del extensor corto del dedo gordo (cortado)
Tendones del extensor corto de los dedos (cortados)
Tendones del extensor largo de los dedos (cortados)
Expansiones del extensor
Ramos digitales dorsales del nervio peroneo profundo
Ramos digitales dorsales del nervio peroneo superficial

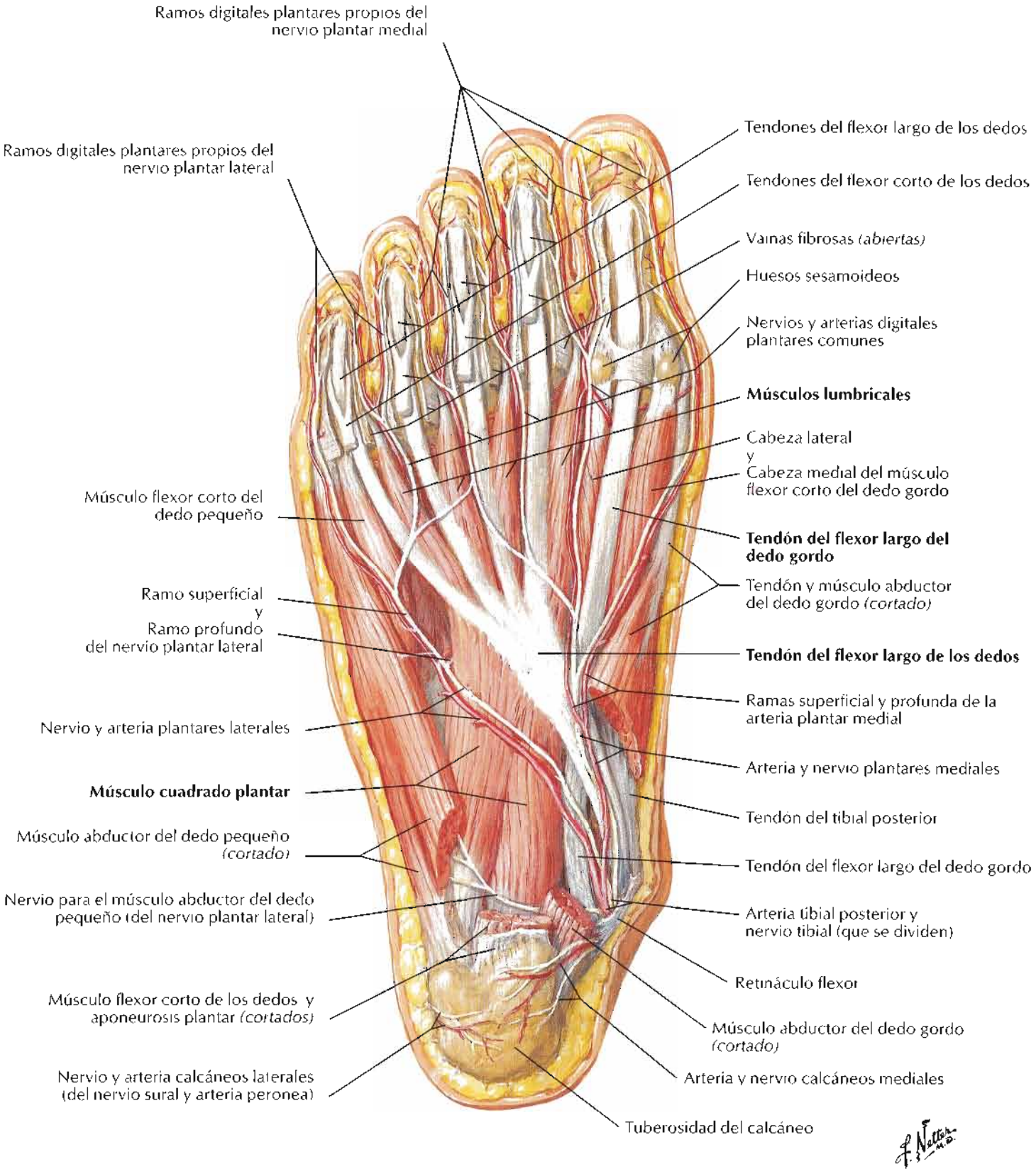
Planta del pie: disección superficial

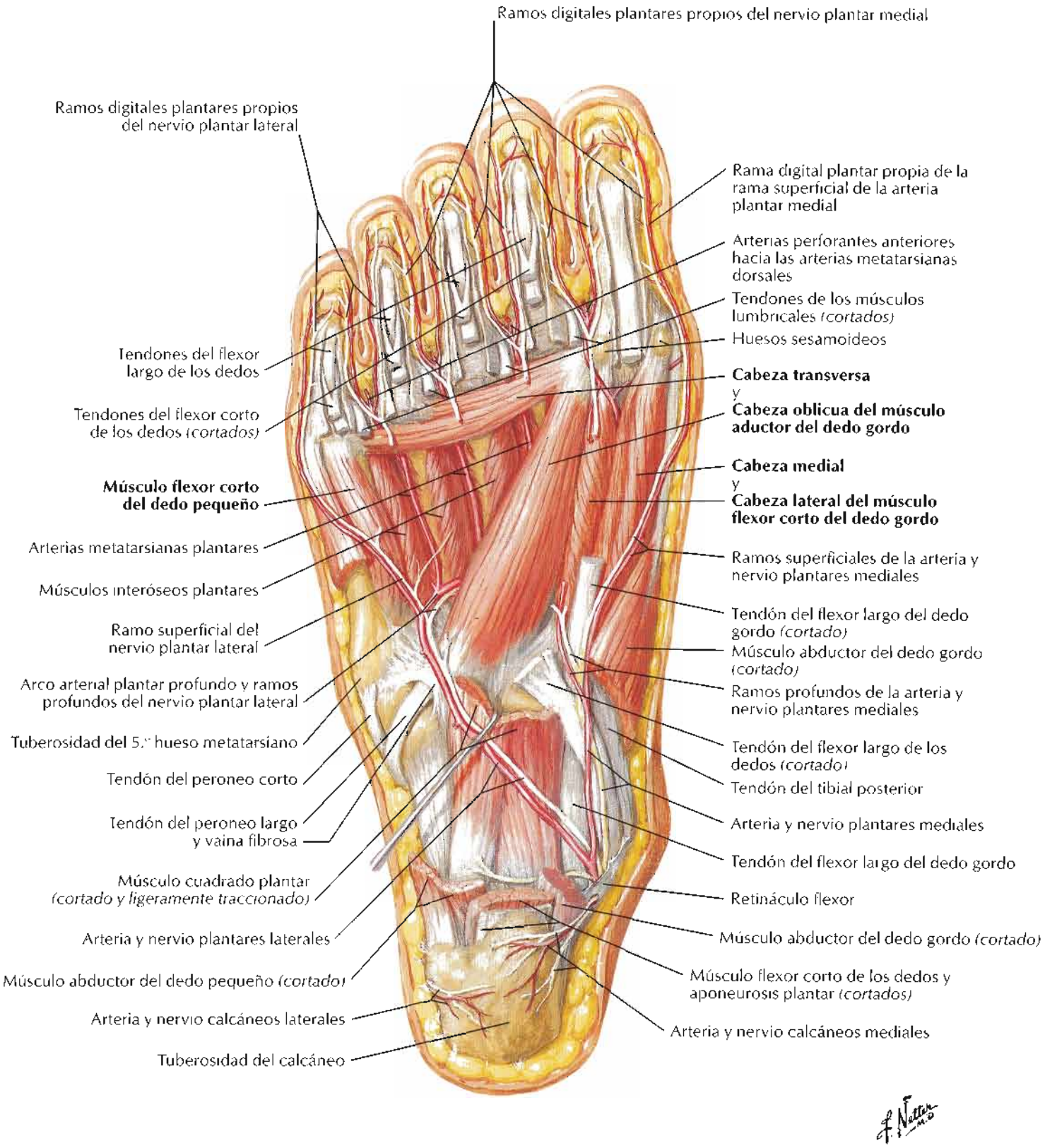




Ramos digitales plantares propios del nervio plantar medial
Ramos digitales plantares propios del nervio plantar lateral
Arterias digitales plantares propias
Arterias digitales plantares comunes de las arterias metatarsianas plantares
Vainas fibrosas de los tendones flexores
Músculos lumbricales
Rama superficial de la arteria plantar medial
Tendones del flexor corto de los dedos superpuestos a los Tendones del flexor largo de los dedos
Cabeza lateral y Cabeza medial del músculo flexor corto del dedo gordo
Tendón del flexor largo del dedo gordo
Rama metatarsiana plantar de la arteria plantar lateral
Músculo abductor del dedo gordo y su tendón
Músculo flexor corto del dedo pequeño
Músculo flexor corto de los dedos
Músculo abductor del dedo pequeño (profundo a la fascia plantar lateral)
Aponeurosis plantar *(cortada)*
Apófisis medial y Apófisis lateral de la Tuberosidad del calcáneo
Ramos calcáneos mediales del nervio tibial y arteria tibial posterior

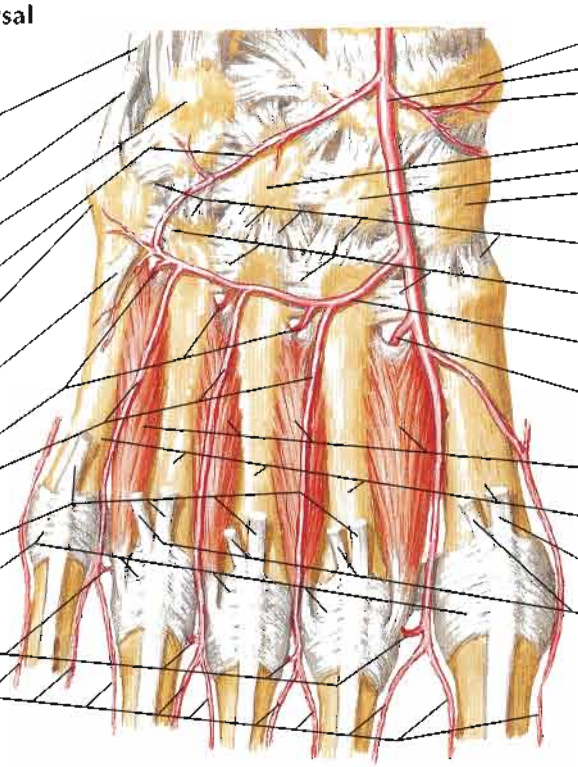
Músculos de la planta del pie: segundo plano




Ramos digitales plantares propios del nervio plantar medial
Ramos digitales plantares propios del nervio plantar lateral
Rama digital plantar propia de la rama superficial de la arteria plantar medial
Arterias perforantes anteriores hacia las arterias metatarsianas dorsales
Tendones de los músculos lumbricales (cortados)
Huesos sesamoideos
Tendones del flexor largo de los dedos
Cabeza transversa y Cabeza oblicua del músculo aductor del dedo gordo
Tendones del flexor corto de los dedos (cortados)
Cabeza medial y Cabeza lateral del músculo flexor corto del dedo gordo
Músculo flexor corto del dedo pequeño
Arterias metatarsianas plantares
Ramos superficiales de la arteria y nervio plantares mediales
Músculos interóseos plantares
Tendón del flexor largo del dedo gordo (cortado)
Ramo superficial del nervio plantar lateral
Músculo abductor del dedo gordo (cortado)
Arco arterial plantar profundo y ramos profundos del nervio plantar lateral
Ramos profundos de la arteria y nervio plantares mediales
Tuberosidad del 5.º hueso metatarsiano
Tendón del flexor largo de los dedos (cortado)
Tendón del peroneo corto
Tendón del tibial posterior
Tendón del peroneo largo y vaina fibrosa
Arteria y nervio plantares mediales
Tendón del flexor largo del dedo gordo
Músculo cuadrado plantar (cortado y ligeramente traccionado)
Retináculo flexor
Arteria y nervio plantares laterales
Músculo abductor del dedo gordo (cortado)
Músculo abductor del dedo pequeño (cortado)
Músculo flexor corto de los dedos y aponeurosis plantar (cortados)
Arteria y nervio calcáneos laterales
Arteria y nervio calcáneos mediales
Tuberosidad del calcáneo

Músculos interóseos y arterias profundas del pie

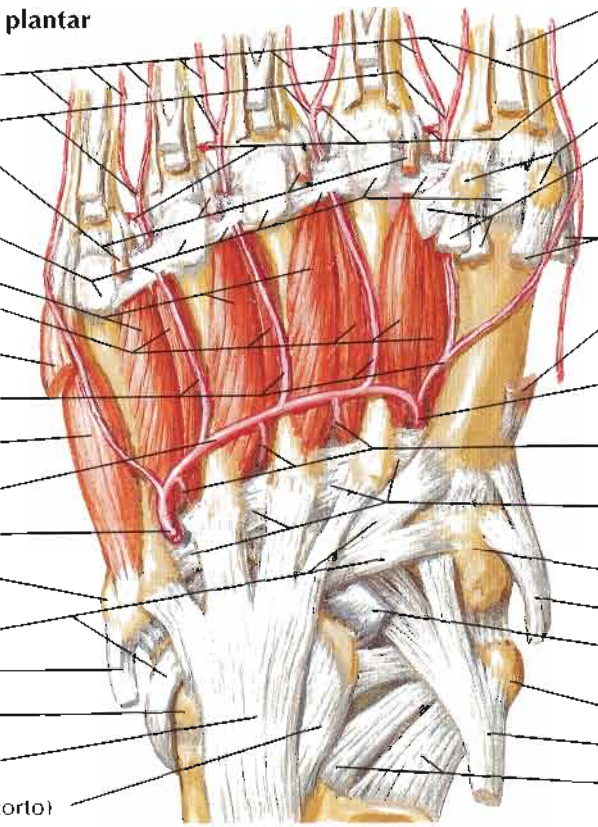
Visión dorsal



Tendón del peroneo largo *(cortado)*
Tendón del peroneo corto *(cortado)*
Hueso cuboides
Arteria tarsiana lateral
Tuberosidad del 5.º hueso metatarsiano
Tendón del tercer peroneo *(cortado)*
Ramas perforantes posteriores (del arco arterial plantar profundo)
Arterias metatarsianas dorsales
Tendones del extensor largo de los dedos *(cortados)*
Expansiones del extensor
Ramas perforantes anteriores (de las arterias metatarsianas plantares)
Arterias digitales dorsales

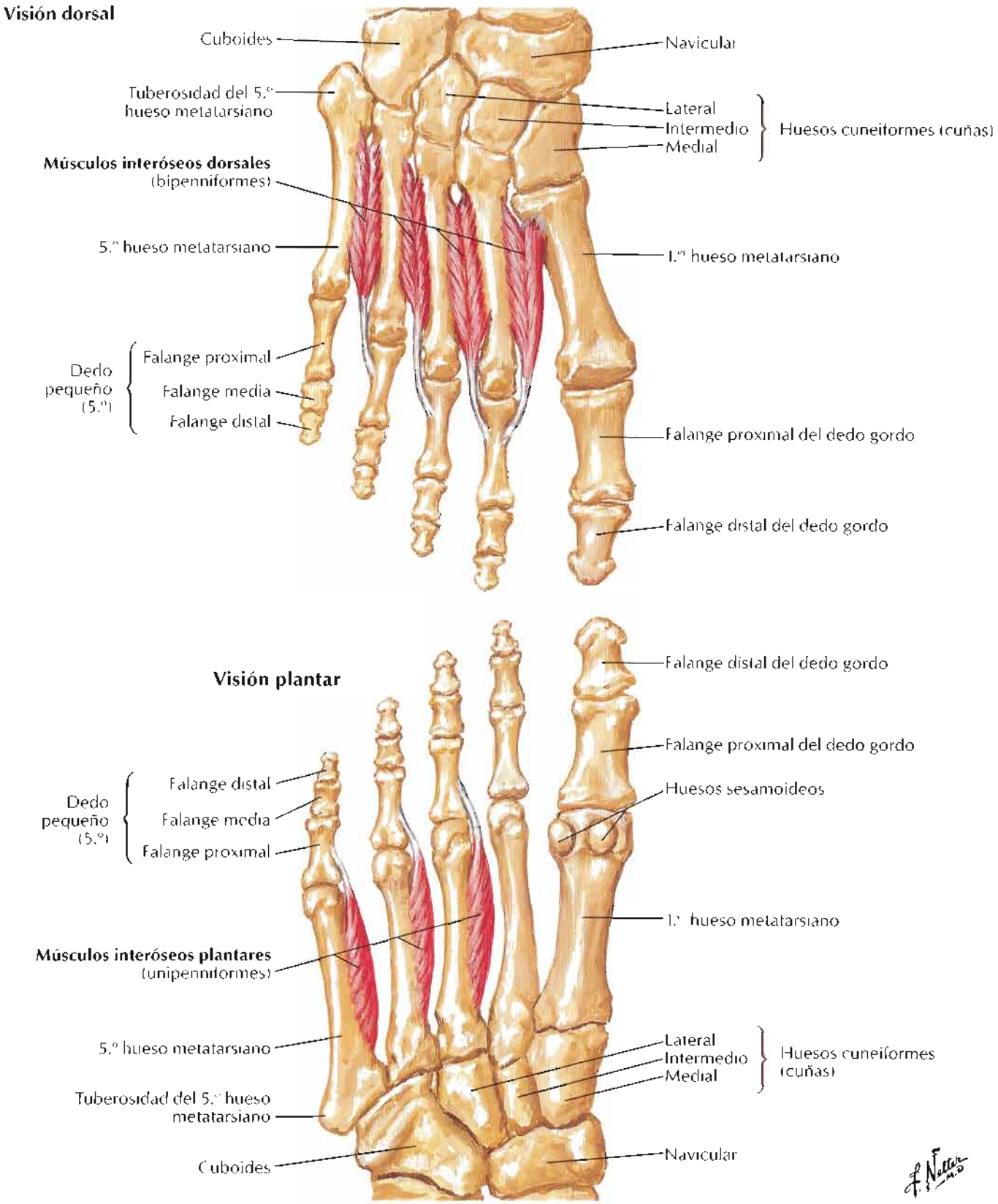
Hueso navicular
Arteria dorsal del pie
Arteria tarsiana medial
Lateral, Intermedio, Medial } Huesos cuneiformes (cuñas)
Ligamentos tarsometatarsianos dorsales
Ligamentos metatarsianos dorsales
Arteria arqueada
Arteria plantar profunda que pasa para contribuir hacia el arco plantar profundo
Músculos interóseos dorsales
Huesos metatarsianos
Tendón del extensor largo del dedo gordo *(cortado)*
Tendones de los extensores cortos de los dedos y del dedo gordo *(cortados)*

Visión plantar

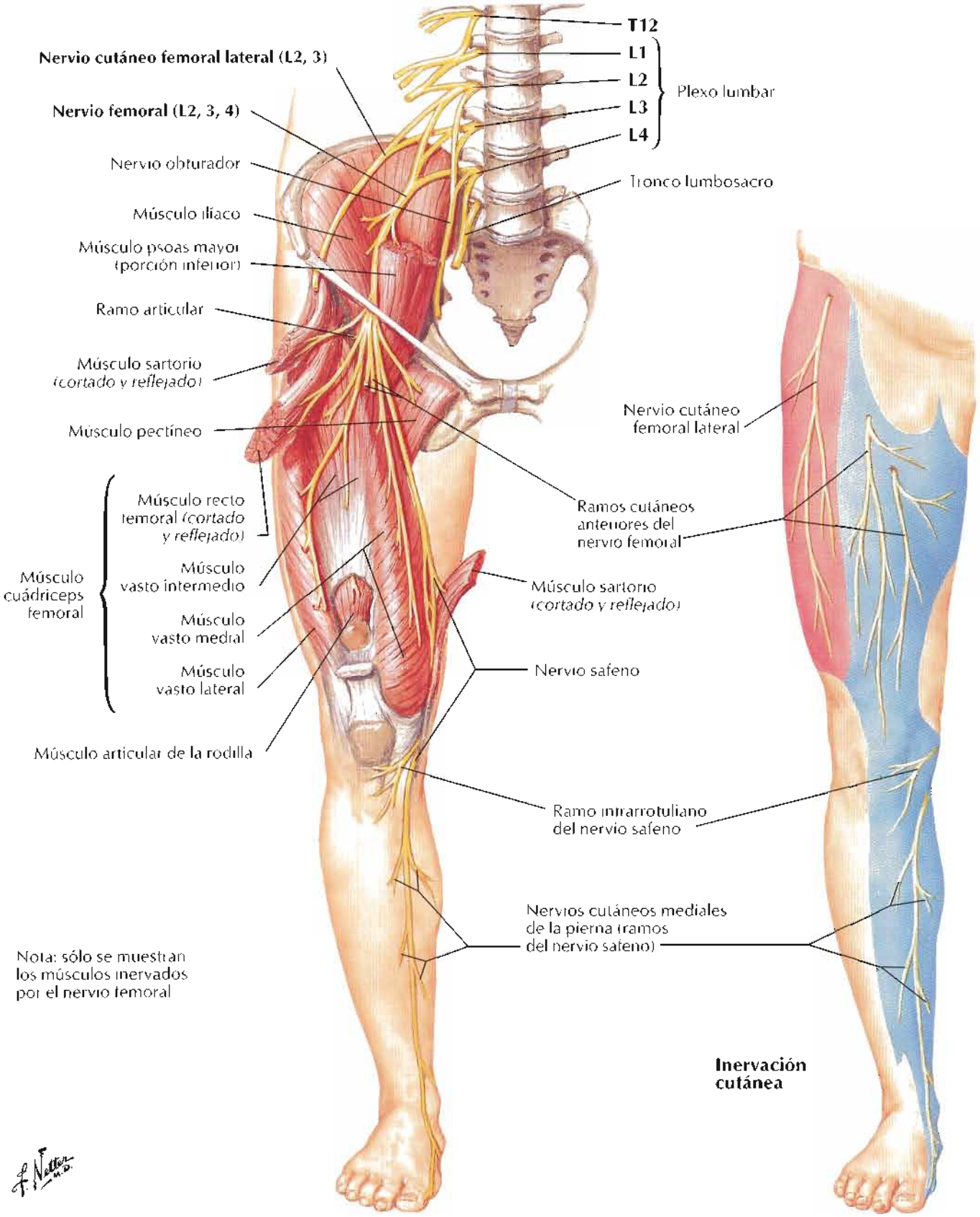


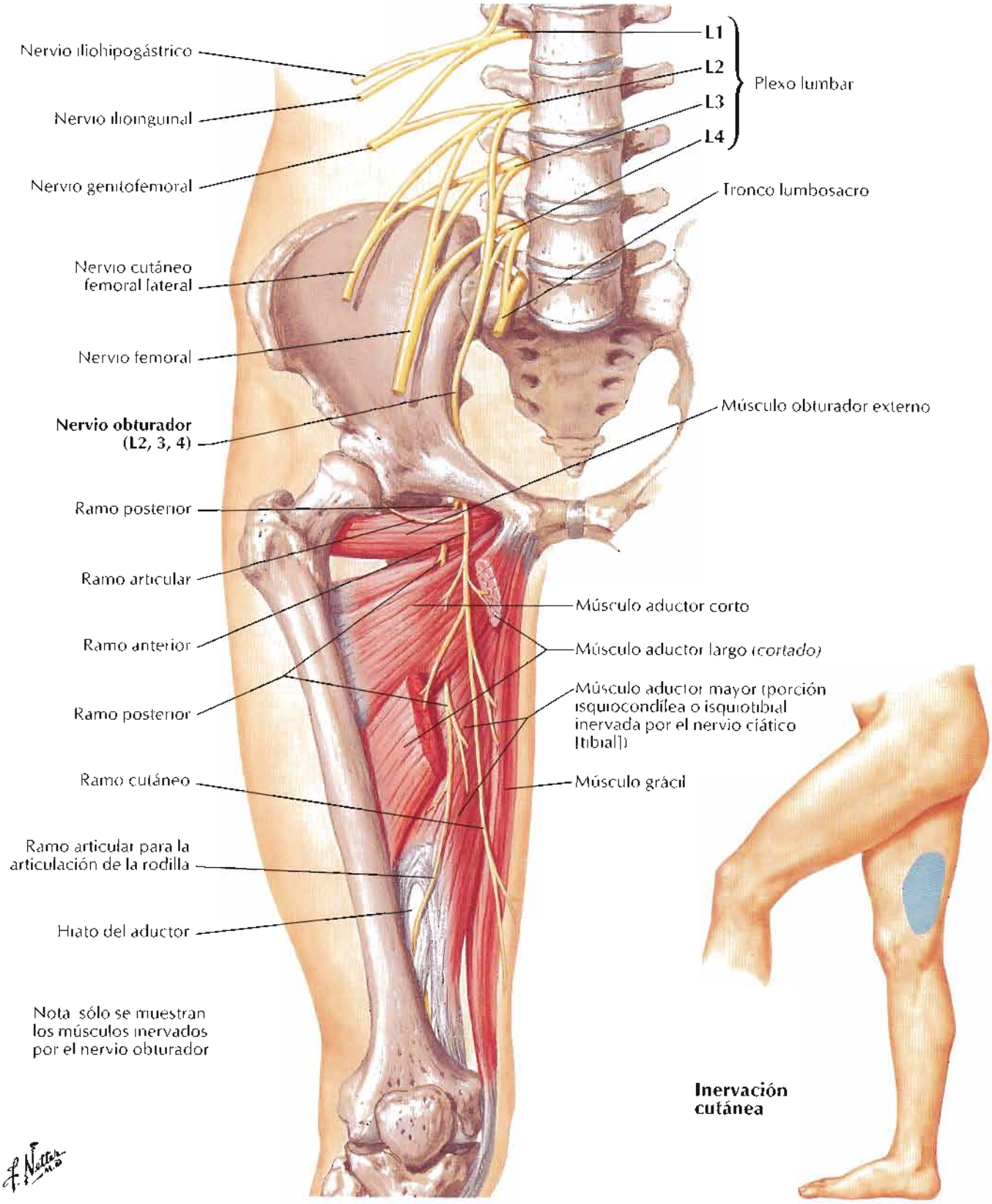
Arterias digitales plantares propias
Arterias digitales plantares comunes
Músculos lumbricales *(cortados)*
Ligamento metatarsiano transverso profundo y ligamentos (placas) plantares
Músculos interóseos { **Plantares** **Dorsales**
Músculo abductor del dedo pequeño *(cortado)*
Arterias metatarsianas plantares
Músculo flexor corto del dedo pequeño
Arco plantar profundo
Arteria plantar lateral *(cortada)*
Tuberosidad del 5.º hueso metatarsiano
Tendón del peroneo largo
Tendón del peroneo corto *(cortado)*
Tuberosidad del hueso cuboides
Ligamento plantar largo
Ligamento calcaneocuboideo (plantar corto)

Tendón del flexor largo del dedo gordo *(cortado)*
Ramas perforantes anteriores (hacia las arterias metatarsianas dorsales)
Huesos sesamoideos
Inserciones del m. aductor del dedo gordo y cabeza lateral del m. flexor corto del dedo gordo *(cortados)*
Inserciones del músculo abductor del dedo gordo y cabeza medial del músculo flexor corto del dedo gordo *(cortados)*
Origen medial del músculo flexor corto del dedo gordo *(cortado)*
Arteria plantar profunda (de la arteria dorsal del pie)
Ramas perforantes posteriores (hacia las arterias metatarsianas dorsales)
Ligamentos metatarsianos plantares (entre las bases de los huesos metatarsianos)
Hueso cuneiforme (cuña) medial
Tendón del tibial anterior *(cortado)*
Origen lateral del tendón del flexor corto del dedo gordo *(cortado)*
Tuberosidad del hueso navicular
Tendón del tibial posterior *(cortado)*
Ligamento calcaneonavicular plantar (resorte)

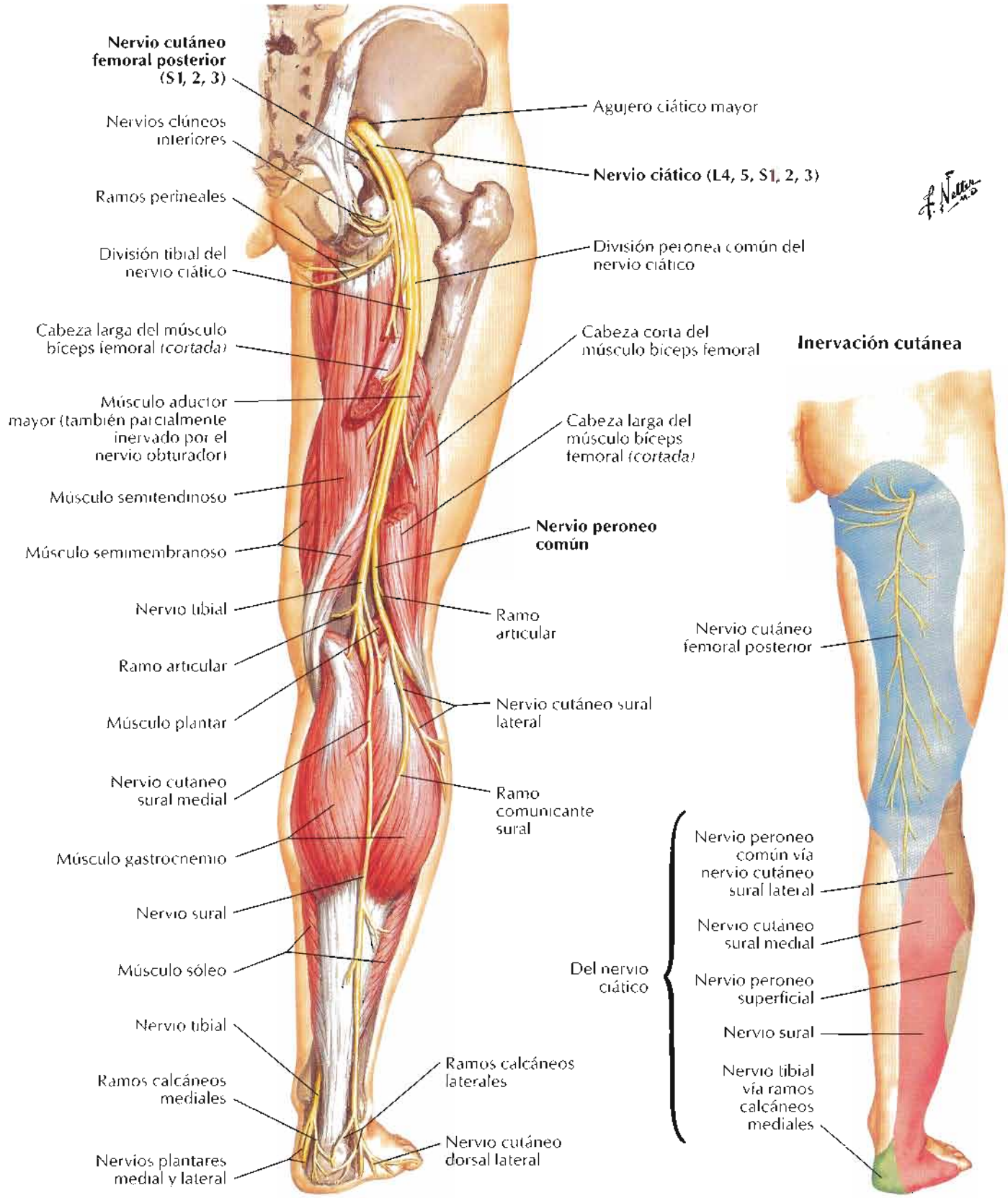

Visión dorsal
Cuboides
Navicular
Tuberosidad del 5.º hueso metatarsiano
Lateral
Intermedio
Medial
Huesos cuneiformes (cuñas)
Músculos interóseos dorsales (bipenniformes)
5.º hueso metatarsiano
1.º hueso metatarsiano
Dedo pequeño (5.º)
Falange proximal
Falange media
Falange distal
Falange proximal del dedo gordo
Falange distal del dedo gordo
Visión plantar
Falange distal del dedo gordo
Falange proximal del dedo gordo
Huesos sesamoideos
Dedo pequeño (5.º)
Falange distal
Falange media
Falange proximal
1.º hueso metatarsiano
Músculos interóseos plantares (unipenniformes)
5.º hueso metatarsiano
Lateral
Intermedio
Medial
Huesos cuneiformes (cuñas)
Tuberosidad del 5.º hueso metatarsiano
Cuboides
Navicular

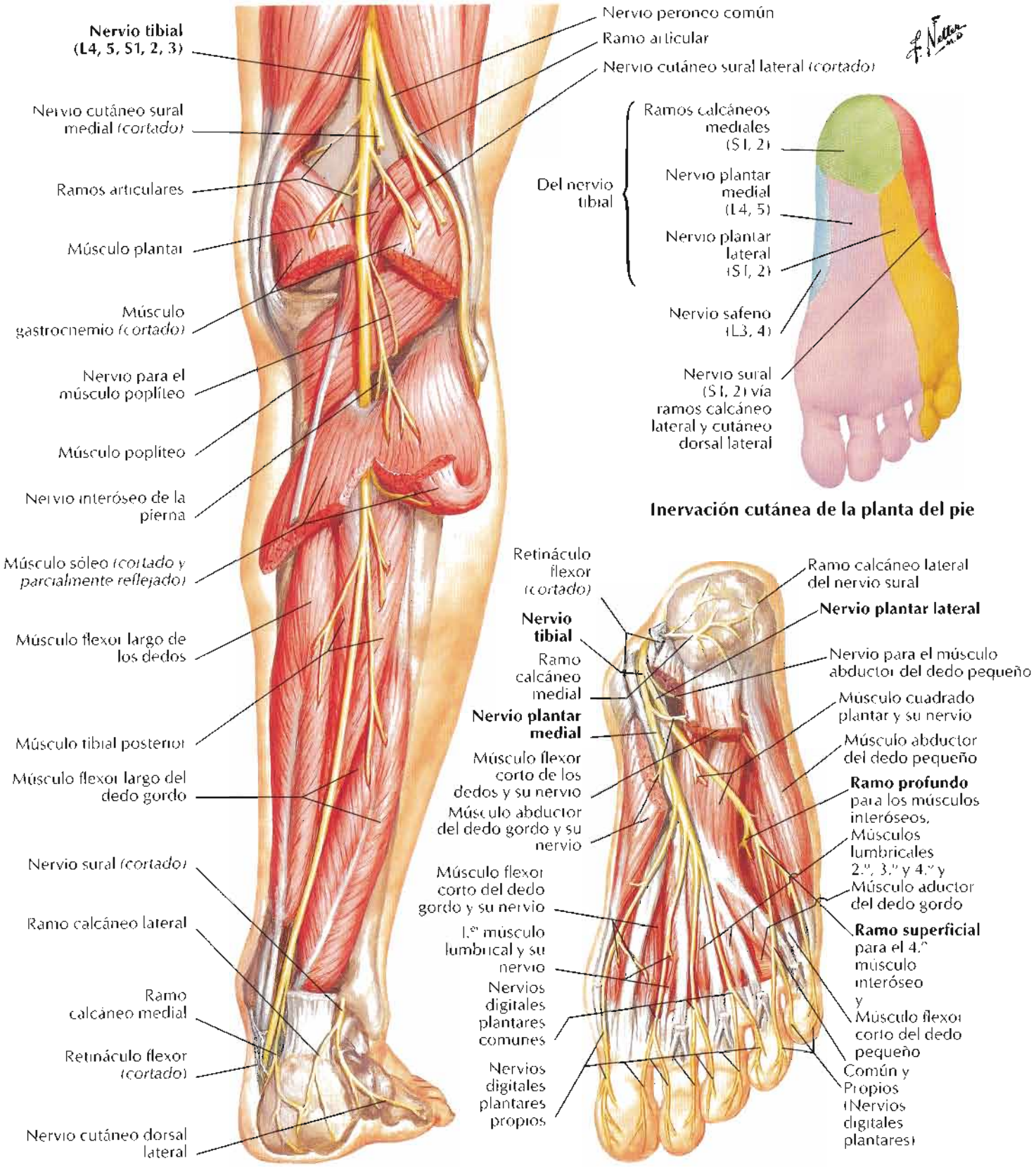
Nervios femoral y cutáneo femoral lateral




Nervio iliohipogástrico
Nervio ilioinguinal
Nervio genitofemoral
Nervio cutáneo femoral lateral
Nervio femoral
Nervio obturador (L2, 3, 4)
Ramo posterior
Ramo articular
Ramo anterior
Ramo posterior
Ramo cutáneo
Ramo articular para la articulación de la rodilla
Hiato del aductor
L1
L2
L3
L4
Plexo lumbar
Tronco lumbosacro
Músculo obturador externo
Músculo aductor corto
Músculo aductor largo (cortado)
Músculo aductor mayor (porción isquiocondílea o isquiotibial inervada por el nervio ciático [tibial])
Músculo grácil
Nota sólo se muestran los músculos inervados por el nervio obturador
Inervación cutánea

Nervios ciático y cutáneo femoral posterior

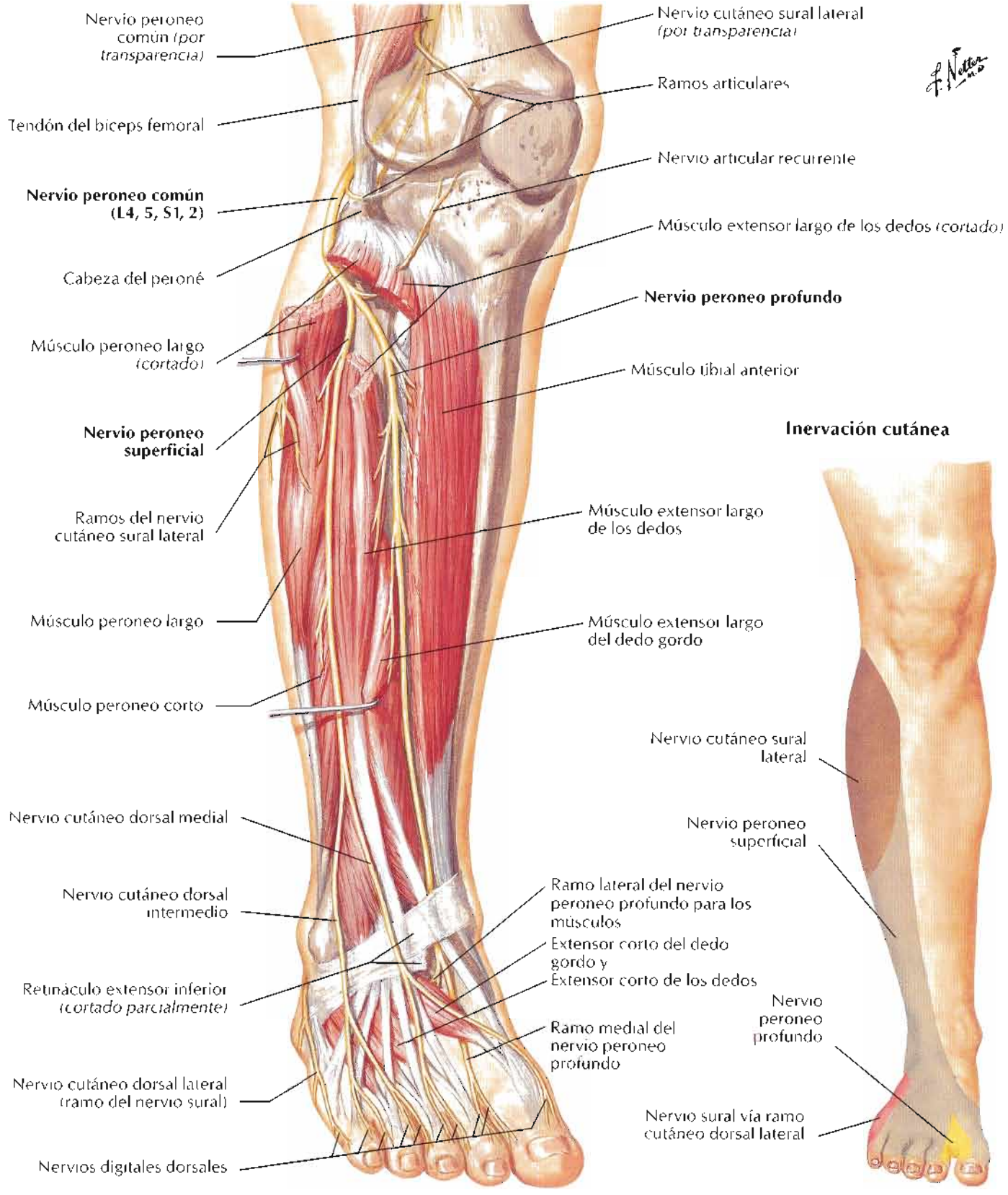




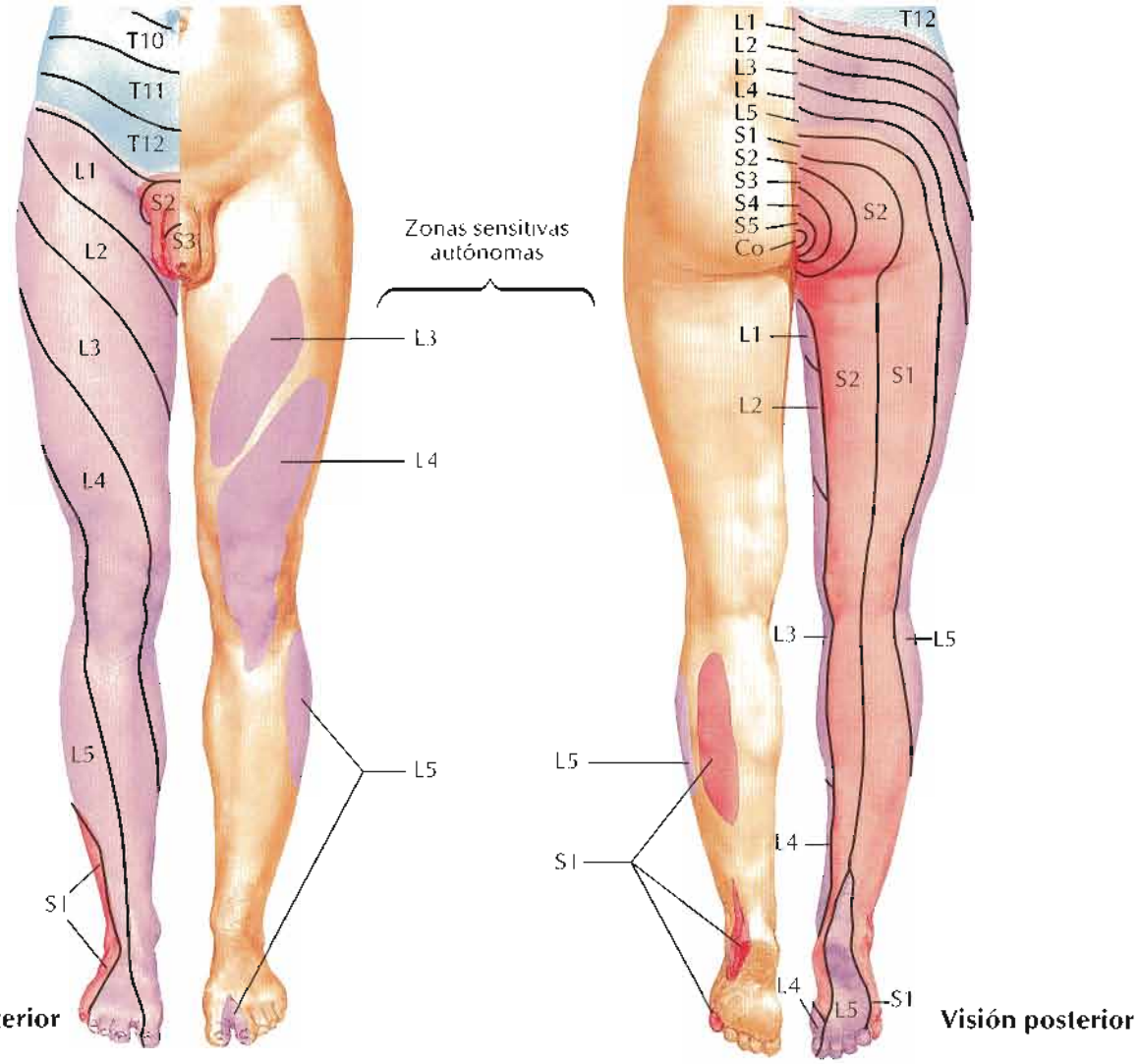
Nota: no se muestran los ramos articulares

7 Nervio peroneo común

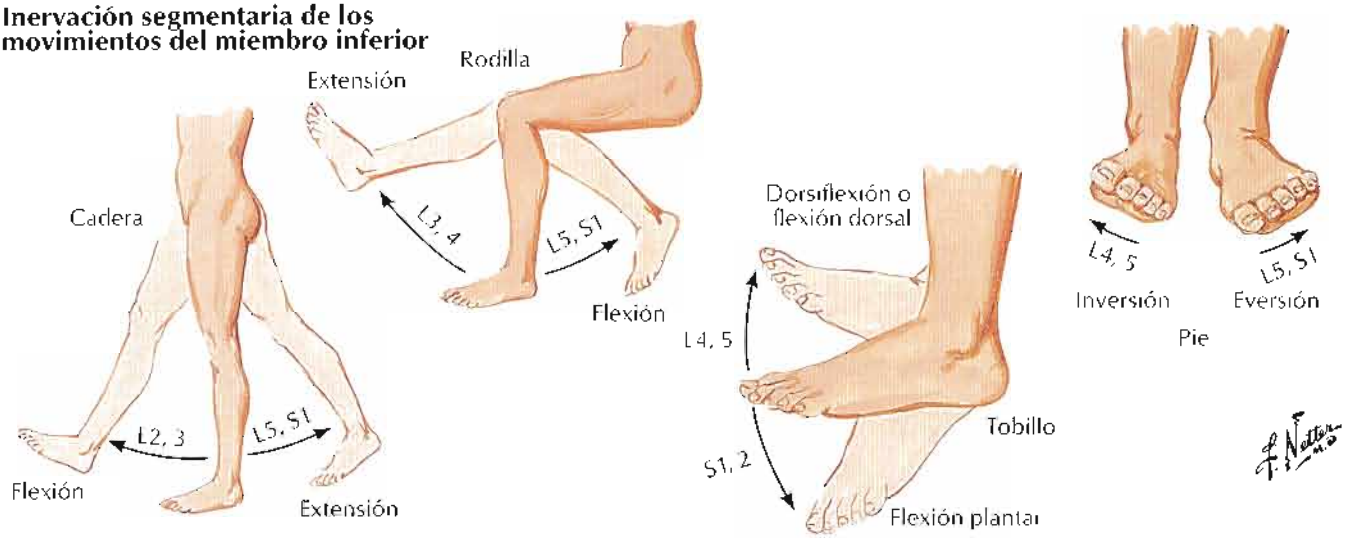
Véanse también **láminas 520, 521**



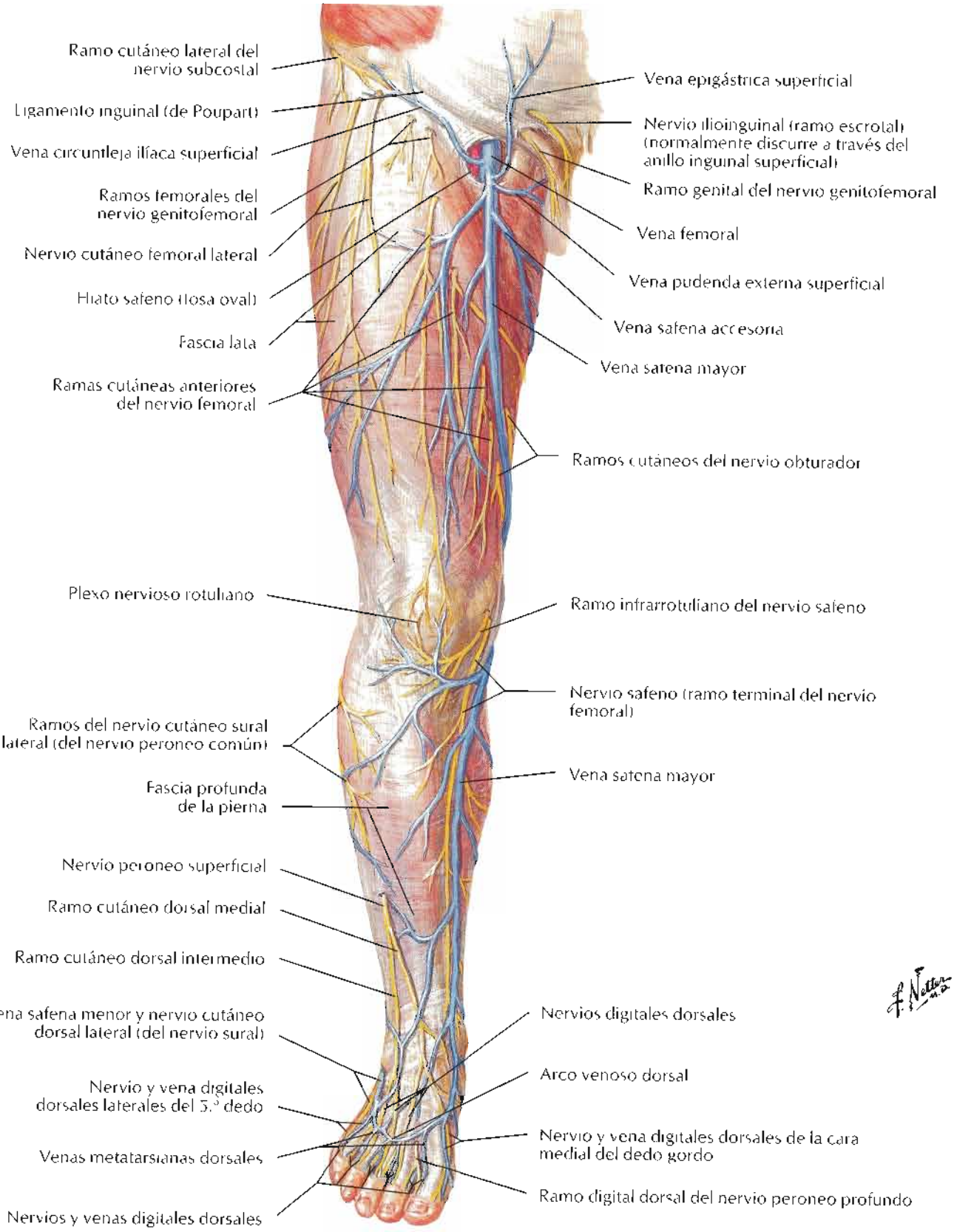
Delimitación esquemática de dermatomas mostrados como segmentos definidos (según Keegan y Garrett). De hecho existe un considerable solapamiento entre dos dermatomas cualesquiera adyacentes. Un mapa de dermatomas alternativo es el de Foerster (v. Bibliografía)

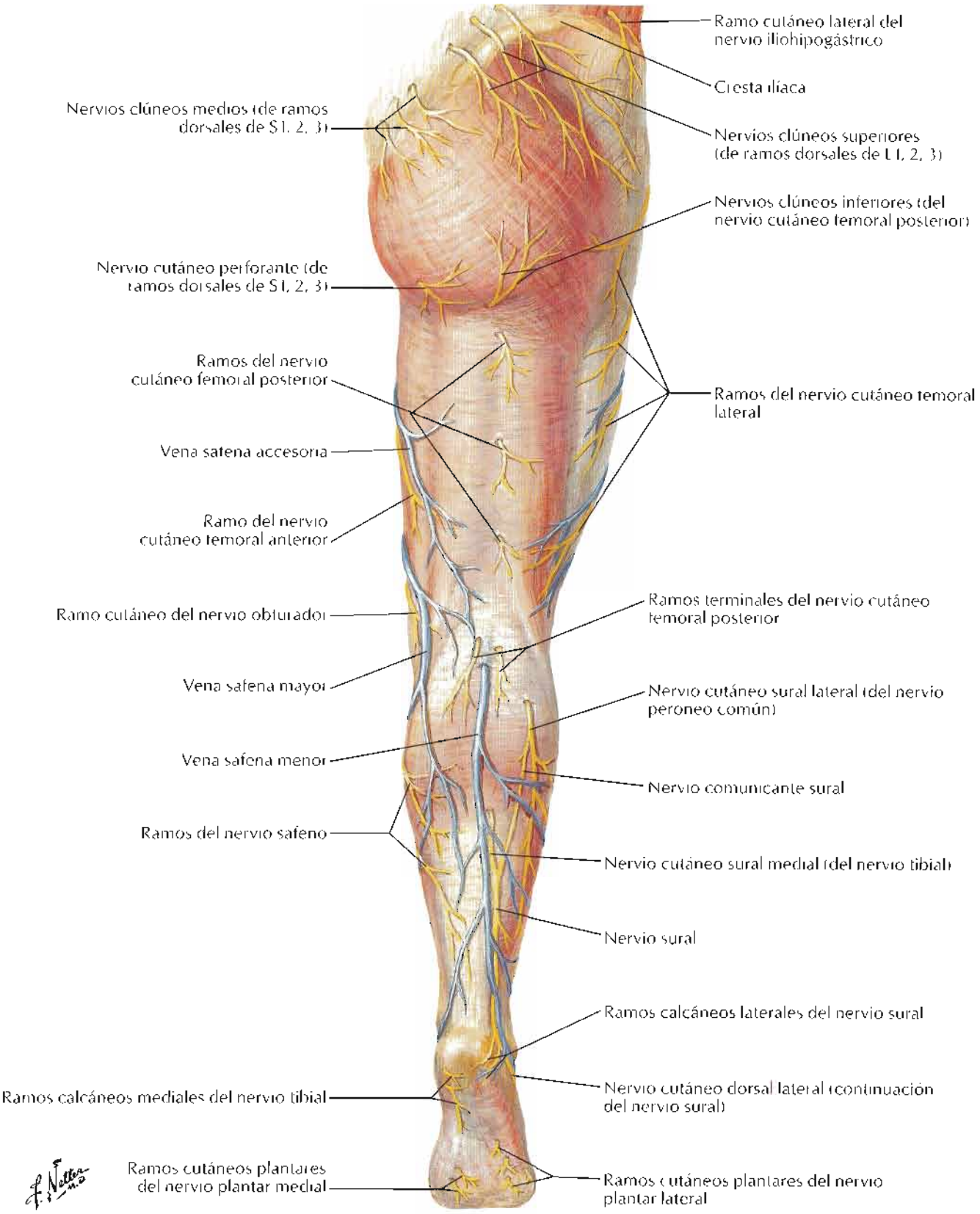


Inervación segmentaria de los movimientos del miembro inferior



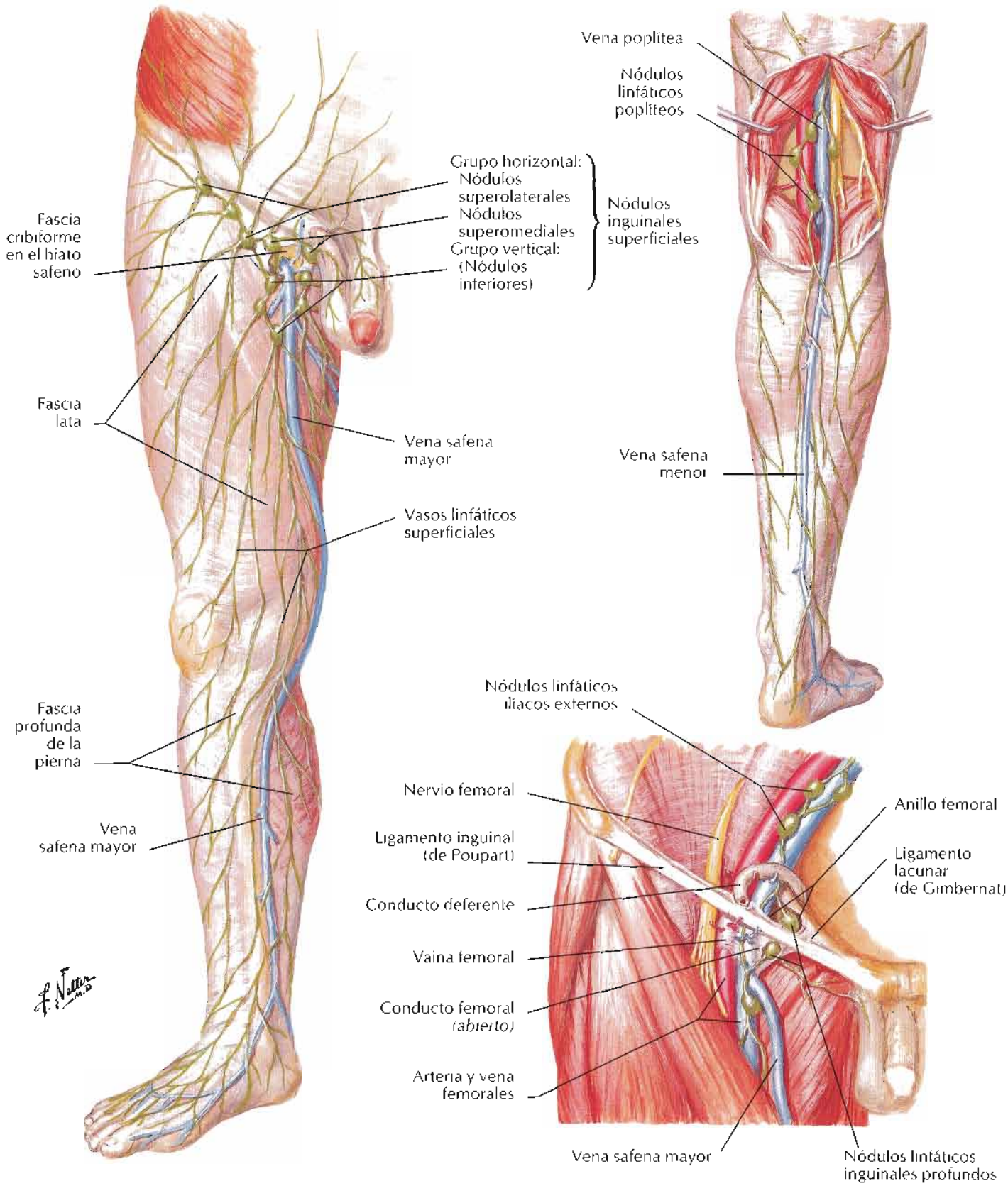
Nn. y vv. superficiales del miembro inferior: visión anterior

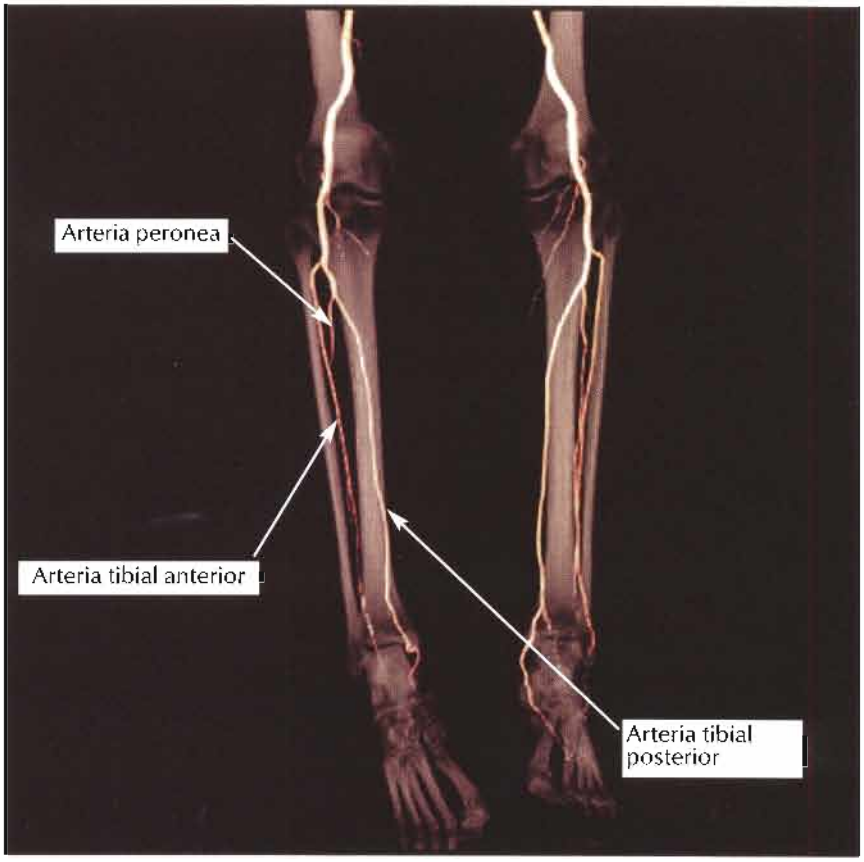


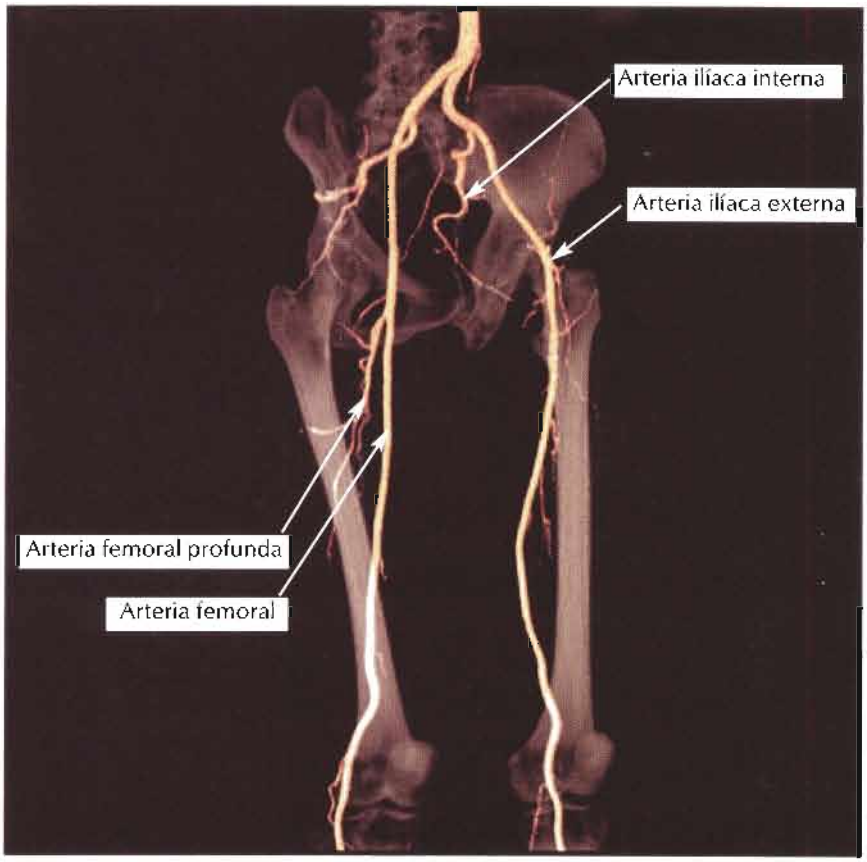

Ramo cutáneo lateral del nervio iliohipogástrico
Cresta ilíaca
Nervios clúneos medios (de ramos dorsales de S1, 2, 3)
Nervios clúneos superiores (de ramos dorsales de L1, 2, 3)
Nervios clúneos inferiores (del nervio cutáneo femoral posterior)
Nervio cutáneo perforante (de ramos dorsales de S1, 2, 3)
Ramos del nervio cutáneo femoral posterior
Ramos del nervio cutáneo femoral lateral
Vena safena accesoria
Ramo del nervio cutáneo femoral anterior
Ramo cutáneo del nervio obturador
Ramos terminales del nervio cutáneo femoral posterior
Vena safena mayor
Nervio cutáneo sural lateral (del nervio peroneo común)
Vena safena menor
Nervio comunicante sural
Ramos del nervio safeno
Nervio cutáneo sural medial (del nervio tibial)
Nervio sural
Ramos calcáneos laterales del nervio sural
Nervio cutáneo dorsal lateral (continuación del nervio sural)
Ramos calcáneos mediales del nervio tibial
Ramos cutáneos plantares del nervio plantar medial
Ramos cutáneos plantares del nervio plantar lateral

Vasos y nódulos linfáticos del miembro inferior

Véanse también **láminas 407, 408**




Arteria peronea
Arteria tibial anterior
Arteria tibial posterior


Arteria ilíaca interna
Arteria ilíaca externa
Arteria femoral profunda
Arteria femoral

Sección 8 Anatomía seccional

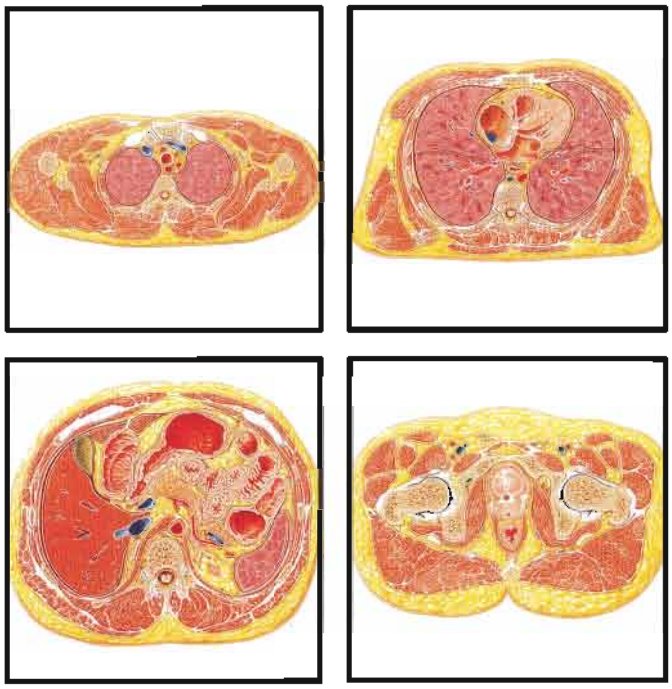
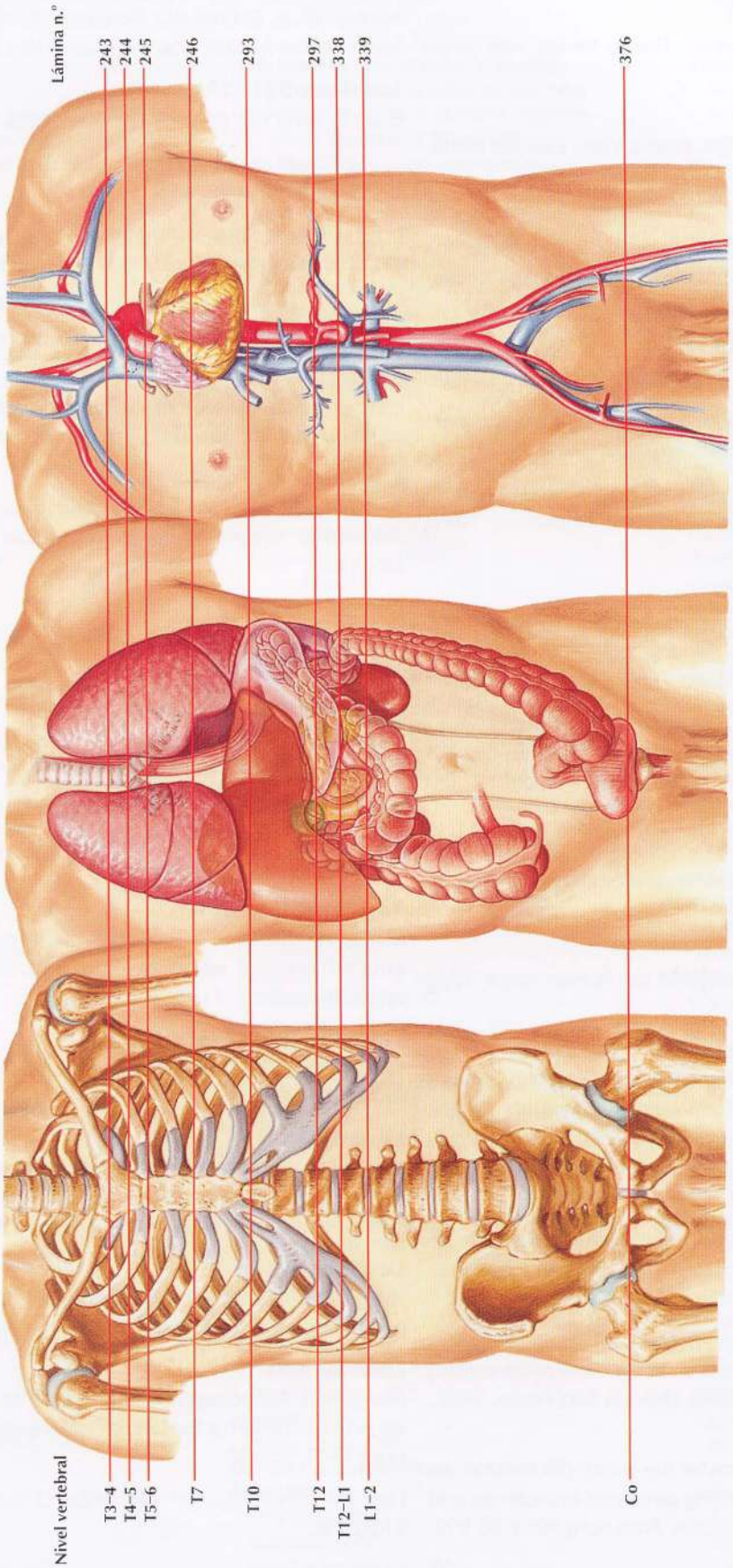


Lámina 548

548 Figuras clave para las secciones transversales



http://publimed.wordpress.com

Lámina 58
Braus H. Anatomie des Menschen. Berlin, Verlag von Julius Springer, 1924.

Lámina 89
Nishida S. The Structure of the Eye. Nueva York, Elsevier North-Holland, 1982.

Láminas 116, 117, 127
Lachman N, Acland RD, Rosse C. Anatomical evidence for the absence of morphologically distinct cranial root of the accessory nerve in man. Clin Anat 2002; 15:4.

Láminas 164, 482, 525, 543
Foerster O. The dermatomes in man. Brain 1933; 56:1.

Garrett FD. The segmental distribution of the cutaneous nerves in the limbs of man. Anat Rec 1948; 102:409.

Keegan JJ. Dermatome hypalgesia with posterolateral herniation of lower cervical intervertebral disc. J Neurosurg 1947; 4:115.

Lámina 172
Turnball IM. Bloody supply of the spinal cord. In Vinken PJ, Bruyn GW (eds): Handbook of Clinical Neurology, XII. Amsterdam, North-Holland, 1972, pp 478–491.

Láminas 200, 201
Jackson CL, Huber JF. Correlated applied anatomy of the bronchial tree and lungs with a system of nomenclature. Dis Chest 1943; 9:319.

Lámina 203
Ikeda S, Ono Y, Miyazawa S, et al. Flexible broncho-fiberscope. Otolaryngology (Tokio) 1970; 42:855.

Lámina 225
James TN. The internodal pathways of the human heart. Prog Cardiovas Dis 2001; 43:495.

Láminas 253, 366, 370, 383
Myers RP, King BF, Cahill DR. Deep perineal "space" as defined by magnetic resonance imaging. Presented at 14th Annual Scientific Session of the American Association of Clinical Anatomists, Honolulu, HI, 1997. [Abstract: Clin Anat 1998;11].

Lámina 282
DiDio LJA. Anatomo-Fisiologia do Piloro ileo-ceco-colica no homen. Actas das Primeiras Jornadas Interuniversitarías Argentinas de Gastroenterologia, Rosario, 1954.

_____. Dados anatomicos sobre o "piloro" ileo-ceco-colico. (Com observacao direta in vivo de "papila" ileo-ceco-colico.) [English summary]. Thesis, Fac Med, Univ de São Paulo, 1952.

Lámina 290
Healey JE Jr, Schroy PC. Anatomy of the biliary duct within the human liver: analysis of the prevailing pattern of branchings and the major variations of the biliary ducts. Arch Surg 1953; 66:599.

Healey JE Jr, Schroy PC, Sörensen RJ. The intrahepatic distribution of the hepatic artery in man. J Int Coll Surg 1953; 20:133.

Láminas 291, 292
Elias H. Liver morphology. Biol Rev 1955; 30:263.

_____. Origin and early development of the liver in various vertebrates. Act Hepat 1955; 3:1.

_____. Morphology of the liver. In Liver Injury, Trans 11th Conference. Nueva York, Macy Foundation, 1953.

____. A re-examination of the structure of the mammalian liver: the hepatic lobule and its relation to the vascular and biliary system. Am J Anat 1949; 85:379.

____. A re-examination of the structure of the mammalian liver: parenchymal architecture. Am J Anat 1949; 84:311.

Láminas 305, 308
Michels NA. Blood Supply and Anatomy of the Upper Abdominal Organs, With a Descriptive Atlas. Filadelfia, JB Lippincott, 1955.

Lámina 326
Thomas MD. In The Ciba Collection of Medical Illustrations, Vol 3, Part II. Summit, NJ, CIBA, p 78.

Láminas 348, 361, 384, 396, 414
Stormont TJ, Cahill DR, King BF, Myers RP. Fascias of the male external genitalia and perineum. Clin Anat 1994; 7:115.

Láminas 356, 360, 365, 370, 378, 379
Oelrich TM. The striated urogenital sphincter muscle in the female. Anat Rec 1983; 205:223.

Láminas 359, 361
Myers RP, Goellner JR, Cahill DR. Prostate shape, external striated urethral sphincter and radical prostatectomy: the apical dissection. J Urol 1987; 138:543.

Láminas 359, 361, 383, 384
Oelrich TM. The urethral sphincter muscle in the male. Am J Anat 1980; 158:229.

Lámina 403
Flocks RH, Kerr HD, Elkins HB, et al. Treatment of carcinoma of the prostate by interstitial radiation with radio-active gold (Au 198): a preliminary report. J Urol 1952; 68(2):510.

Lámina 482
Keegan JJ, Garrett FD. The segmental distribution of the cutaneous nerves in the limbs of man. Anat Rec 1948; 102:409.

Lámina 543
Keegan JJ. Neurological interpretation of dermatome hypalgesia with herniation of the lumbar intervertebral disc. J Bone Joint Surg 1944; 26:238.

Last RJ. Innervation of the limbs. J Bone Joint Surg 1949; 31(B):452.

A

Abdomen, 268
anatomía de superficie, 247
cuadrante
inferior
derecho, 268
izquierdo, 268
superior izquierdo, 268
esqueleto óseo, 248
imágenes axiales de TC, 350
inervación, 318
nervios y ganglios autónomos, 318
regiones y planos, 268
secciones transversales, nivel
L1-2, 349
L3, 349
L3-4, 349
T10, 293
T12, 297, 331, 338
tejido subcutáneo, 249
vísceras, 269
Abertura
conducto auditivo interno, 97
inferior pelvis
diámetro
anteroposterior, 354
transverso, 354
mujer, 354
laríngea, 63, 66, 235
lateral (agujero de Luschka), 109
media (agujero de Magendie), 109
superior pelvis, diámetros, 354
mujer, 354
radiografía, 355
varón, 354
Abombamiento tabique, 37
Acetábulo, 352, 486
borde, 352, 353, 486
cara
articular, 376
semilunar, 486
radiografía, 355
anteroposterior, 488
Ácino, 204
Acromion, 27, 185, 188, 418, 420, 423-425, 427, 429, 432
radiografía anteroposterior, 422
Acueducto
cerebral, 106, 107, 108, 109, 146
coclear, 96
vestibular
conducto endolinfático, 96
orificio externo, 97
Adenohipófisis, 140, 147-148
hendidura, 148
Adhesión intertalámica, 196, 108, 110, 111, 146
Agujero
apical, 53
ciático
mayor, 352, 353, 357, 540
menor, 352, 353, 357
de Luschka, 19, 108-109. V. también *Abertura lateral (agujero de Luschka)*
de Magendie, 108. V. también *Abertura media (agujero de Magendie)*
de Monro. V. *Agujero interventricular (de Monro)*
de Winslow. V. *Orificio omental (de Winslow)*
emisario esfenoides, 11
esfenopalatino, 4, 6, 13, 14, 38, 40, 42
espinoso, 11, 14, 46
estilomastoideo, 25, 123, 125
etmoidal
anterior, 2, 11, 12
posterior, 2, 11
infraorbitario, 12, 36
interventricular (de Monro), 106, 109, 111, 115, 145-146
izquierdo, 108
intervertebral, 19, 180
borde inferior, 154
lumbar, 155
radiografía, 156
magno, 8, 9, 11, 14, 58, 123, 127
mandibular, 15
nervio alveolar inferior, 46
mastoideo, 10
mentoniano, 15
nasolagrimal, nacimiento, 50
nutricio, 489, 513
obturado, 248
radiografía, 355
anteroposterior, 488
oval, 4, 8, 11, 14, 45-46
obliterado, 229
prenatal, 229
válvula, 221
palatino
mayor, 8, 11, 38, 56
menor, 8, 11, 38, 39, 52, 56
parietal, 7
rasgado, 8, 10
nervios petrosos, 10
redondo, 11, 45
sacro
anterior, 157, 353, 358
cuarto posterior, 357
posterior, 157, 353
radiografía, 156
transverso, 19
yugular, 103, 125, 126, 127
Ala, 8
ilion, varón, 354
vena circunfleja ilíaca superficial, 544
porción lateral, 157
Alvéolo, 204
lecho capilar, 205
Amígdala cerebelosa, hernia, 101
Ampolla
de Vater, 294
duodenal, 279
hepatopancreática, 294
esfínter, 295, 327
membranosa
anterior, 95
lateral, 95
posterior, 95
oído, 95-96
semicircular, 92
trompa uterina, 372
Anastomosis
acromial, 427
arterias
carótida-vertebral, 138
esfenopalatina septal-palatina mayor, 41, 138
gastroomental, 272
obturatriz-púbica, 259
subclavia-carótida, 138
subclavia-vertebral, 138
braquial, codo, 433
codo, 434
conducto incisivo, 40
derecha-izquierda, 138
escápula, 427
paravertebral, 172
portocava, 312
prevertebral, 172
rotuliana, 500, 512
venas suprarrenal-frénica, 265
Anestesia epidural, punción lumbar, 162
Anexos, 371
Ángulo
acromion, 420, 421
esternón, 245
iridocorneal, 87-88, 90
red y espacios trabeculares, 88
mastoideo, 9
subpúbico, radiografía, 355
Anillo
adiposo subhiatal, 236
femoral, 259, 262, 363, 364, 546
fibroso, 19, 155
inguinal
profundo, 251, 259, 261, 362-363, 369, 386
localización, 274
superficial, 249, 259, 261, 386, 544
pilar lateral y medial, 259
Ano, 360, 377, 380, 382, 388, 395
fetal, 388
tabique fibroso, 394
transverso, 393
Antebrazo
distal, sección transversal, 470
huesos, 439
inserciones musculares, visión
anterior, 450
posterior, 451
ligamentos, 438
medial, 429-430, 433, 446, 469, 473-475, 479, 481
ramo
anterior, 449, 480
posterior, 480

Antebrazo *(cont.)*
músculos, 440-442, 444, 446-447
plano profundo, visión anterior, 448
superficiales, visión
anterior, 446
posterior, 444
nervios cutáneos, 480
laterales, 435, 446-449, 469, 473, 481
ramo posterior, 480
ramos, 479
plano muscular
intermedio, visión anterior, 447
profundo, visión
anterior, 447
posterior, 445
posterior, 432, 435, 449, 468, 469, 477, 479, 480, 481
pronado, 440
secciones transversales seriadas, 449
supinado, 440
venas superficiales, 480
Antihélix, 1, 93
rama, 1, 93
Antitrago, 1, 93
Antro
mastoideo, 94
pilórico, 275
radiografía bario, 279
Aorta, 207, 263, 324, 330, 342
abdominal, 27, 179, 195, 207, 225, 232, 270, 273-274, 278, 298, 300-301, 324, 327, 329-332, 339, 341-342, 369, 398, 400-401, 403, 412
sección transversal, 338
arco, 237, 244
ascendente, 138, 215, 220, 223, 224, 225, 242, 245
descendente, 237, 242, 245-246
torácica, 194, 242
imágenes axiales de TC, 242, 350
prenatal, 229
torácica, 172, 297
descendente, 172, 231, 241
rama ureteral, 341
ramas esofágicas, 237
sección transversal, 297
Aparato lagrimal, 82
Apéndice(s), 126
epiploicos. V. *Apéndices omentales*
epitelial, 388
fibroso, 287
omentales, 272, 284
vermiforme, 271, 281, 283-284, 362-363
músculo circular, 283
nodulillos linfáticos agregados, 283
orificio, 282
radiografía bario, 283
retrocecal fijado, 283
serosa, 283
submucosa, 283
variaciones posición, 283
vesiculoso (hidátide de Morgagni), 371, 389
Apófisis
articular
inferior, lumbar, 155
superior, lumbar, 155
clinoides
anterior, 9
imágenes coronales de TC, 151
posterior, 9
coracoides, 185, 189, 420-421, 423, 425, 427-429, 433
radiografía anteroposterior, 422
coronoides, 15, 436, 443
radiografía, 422
espinosa
lumbar, 155
radiografía, 156
torácica, 154
estiloides, 14, 27, 29-30, 34, 53, 59
cúbito, 439, 452
radio, 439, 452
mamilar lumbar, 155
mastoides, 14, 25, 27, 28, 29, 30, 34, 53, 59, 176
palatina, 14, 38, 52, 56
piramidal, 8, 12
pterigoides, 6, 8
gancho, 12, 13, 14
hueso palatino, 13
lámina
lateral, 4, 12, 13, 14, 38, 39, 50
medial, 12, 13, 14, 38, 39, 50
láminas, 6
transversa
C6, 136
lumbar, 155
unciforme, 19, 37, 38, 339
xifoides, 185, 191, 196, 198, 247-249, 285-286, 293, 297-298
sección transversal, 297
Aponeurosis
bicipital, 430, 433, 446, 480
epicraneal, 26, 178
faríngea, 235
glútea, 330, 494-495
glúteo medio, 174
oblicuo, 261
externo abdomen, 250, 251, 260, 261, 349
interno abdomen, 253, 257
palatina, 52
palmar, 442, 446, 454, 462, 480
reflejada, 460
tabiques, 460
plantar, 533-535
fascículo lateral, 535
fascículos digitales, 535
transverso abdomen, 252, 330, 349
Aracnoides, 102, 109, 169
granulación, 100, 102, 109
fosita granular, 99
indentación cráneo, 99
lumbar, 170
torácica, 170
venas cerebrales, 102
Árbol traqueobronquial, inervación, 210
Arco
aorta, 74-75, 80, 138, 206, 210-215, 221, 232-233
radiografía, 213
surco, 199
arterial
carotídeo dorsal, 469
carpiano
dorsal, 469
palmar, 465
omental, 305
palmar
profundo, 465
superficial, 460
palpebral, 85
plantar profundo, 531, 536
ramos posteriores, 520, 536
cigomático, 14, 54, 151
de Riolano, 308
palatofaríngeo, 51, 58, 64, 66
palatogloso, 51, 58
palmar profundo, 465
púbico, 248
mujer, 354
varón, 354
superciliar, 1
tendinoso fascias pelvis, 372
venoso
dorsal, 544
palmar, superficial, 460
Área
en V (de Laimer), 234, 235
hipotalámica lateral, 135
intercondílea
anterior, 513
posterior, 513
radiografía, 510
paraolfatoria, 106
pontina, gusto, 135
subcallosa, 106, 119
vestibular, 115
Areola, 182
Arteria(s)
lagrimal, 85
rama meníngea recurrente, 100
alveolar
inferior, 40, 53, 60
rama
lingual, 69
mentoniana, 40, 69
superior
anterior, 40
media, 40
posterior, 40, 69
amigdala cerebelosa, 143
angular, 23, 36, 68, 85, 138
apendicular, 281, 306, 307, 322, 323
arqueada, 335, 337, 530-531, 536
arteriola glomerular aferente, 337
vasos linfáticos, 343
auditiva interna. V. *Arteria laberíntica*
auricular
anterior, 23
posterior, 23, 34, 40, 100, 136, 138, 178
profunda, 40
axilar, 183, 189, 200, 255, 427-429, 433-434
rama
acromial, 434
clavicular, 434
deltoidea, 434
pectoral, 434
tomografía computarizada, 484
visión
anterior, 434
posterior, 434
basilar, 140-141, 143, 171

Arteria(s) *(cont.)*
imagen axial de RM, 150
bazo, 301
braquial, 27, 30, 31, 183, 193, 198, 206, 211, 230, 427, 429, 447
in situ, 433, 434
lateral, fascículos, 428, 433
medial, 428, 433
posterior, 428
profunda, 429
tomografía computarizada, 484
ramas, 433-434
rama muscular, 433, 434
brazo, 484
bronquial, 204-205, 207
derecha, 199, 207, 230, 237
izquierda, 199, 231
inferior, 207, 237
rama esofágica, 237
superior, 207, 237
rama esofágica, 207
variaciones, 207
bucal, 40, 69
cabeza, 23
fémur, 504
y cuello fémur, 504
cadera y muslo, 500-502
calcánea
lateral, 534, 535
medial, 534, 535
calcarina, 142, 143
callosomarginal, 141, 142
capsular, 335
cara, 23
carótida
común, 23, 29, 31-34, 71, 74-76, 100, 125, 128, 130, 133-134, 136-137, 198, 210, 232, 237
derecha, 30, 80, 137, 193
izquierda, 74, 80, 137, 193, 211, 214, 243
disección lateral derecha, 34
externa, 28, 32, 34, 40, 59, 75-76, 85-86, 121, 123, 128, 130-131
esquema, 34
interna, 10, 23, 28, 33-34, 44, 47, 69, 71, 75-76, 85-86, 100, 123, 125, 130-132, 134, 138-142
derecha, 142
izquierda, 142, 143
rama carotidotimpánica, 138
surco, 9
carpo, 461
cavidad nasal, 41
cecal, 323
anterior, 281, 306, 307
posterior, 281, 307
central
anterolateral, 140, 141, 143
anteromedial, 140
posteromedial, 140
precentral, 141
cerebelosa
anterior, 140
inferior
anterior, 136, 138, 139, 140, 141, 143, 171
posterior, 141, 143, 171
posterior, 141, 143
superior, 136, 138, 139, 140, 141, 143, 171
cerebral
anterior, 136, 138, 140-141, 143
derecha, 142
izquierda, 142
ramas, 141
terminales, 142
comunicante, 140
magna, cisterna cuadrigémina, 109
media, 136, 138, 140-141, 143
izquierda, 142
ramas, 141
temporales, 141
posterior, 136, 138, 140-141, 143, 171
derecha, 142, 143
ramas, 136, 138
temporales, 143
terminales, 142
ramas
temporales, 143
posterior y anterior, 142
terminales, 142
cervical
ascendente, 33, 69, 71, 74, 75, 76, 136, 138, 171, 427
profunda, 33, 136, 138, 171
superficial, 74, 75
transversa, 32, 69, 74, 75, 76, 138, 177, 427, 429
cigomaticofacial, 23
cigomaticotemporal, 23
ciliar
anterior, 90-91
rama recurrente, 91
posterior, 85
corta, 90, 91
larga, 90, 91
cingular, 142
circunfleja humeral
anterior, 427, 429, 433, 434
posterior, 427, 429, 432, 433, 434
cística, 294, 300, 301, 305
cola caballo, 171
colateral
cubital
inferior, 433, 434
superior, 433, 434, 444
media, 432, 434, 435
radial, 434, 435
cólica
arco de Riolano, arteria media e izquierda, 308
derecha, 306-308, 322-323, 340
ausencia, 308
izquierda, 264, 307, 318, 323, 324, 340, 398
media, 290, 298, 301, 306-307, 318, 322-323, 340, 348
ausencia, 308
rama
ascendente, 307, 398
descendente, 307, 398
variaciones, 308
colon, 308
comunicante
anterior, 136, 138, 139, 140, 141, 142
posterior, 104, 136, 139, 140, 141, 142, 143
conjuntival posterior, 91
coroidea
anterior, 139, 140 141, 143
posterior
lateral, 139, 143
medial, 139, 143
coronaria
cara
diafragmática, 216
esternocostal, 217
derecha, 217-218
orificio, 223
rama
atrial, 216, 217
interventricular posterior, 216, 217
marginal, 216, 217
ramas posterolaterales, 216
izquierda, 216-217, 219
rama
circunfleja, 216, 217, 219
interventricular anterior, 216, 217, 219
marginal, 216, 217, 219
orificio, 224
rama
circunfleja, 219
rama atrioventricular, 219
cono, 218
interventricular
anterior, 219
anterior, ramas diagonales, 219
posterior, 218
nódulo
atrioventricular, 218
sinoatrial, 216, 218
ventricular izquierda posterior, 217
ramas
posterolaterales, 218, 219
septo interventricular, 216, 217
variaciones, 217
visiones angiográficas, 218, 219
cortical radiada, 335, 337
vasos linfáticos, 343
cremastérica, 255
cricotiroidea, 69
cubital, 433-434, 446-447, 454, 460, 465
rama
carpiana
dorsal, 469
palmar, 465
palmar profunda, 447, 454, 460, 465
recurrente anterior, 447
tomografía computarizada, 484
venas satélites y nervio cubital, 460
cuello, 504
cuero cabelludo, 23
de Adamkiewicz, 171
dedos, 471
digital
común, tomografía computarizada, 484
dorsal, 469, 471, 530, 536
palmar

Arteria(s) *(cont.)*
común, 460, 462, 465
propia, 460, 462, 471
ramas dorsales, 471
plantar
común, 534, 536
propia, 533, 535-536
ramas dorsales, 530
ramas nutricias, 471
distribución intrínseca médula espinal, 172
dorsal pie, 520, 530, 536
duodeno y cabeza páncreas, 301, 304
encéfalo, 136-138, 141-142
visión frontal, 141
visiones lateral y medial, 142
epiescleral, 90
epigástrica
superficial, 211, 511
superior, 188, 189, 192
escápula
circunfleja, 427, 429, 430, 434
dorsal, 32, 137, 427, 429
escrotal posterior, 403, 406
esfenopalatina, 40-41, 69
rama
nasal posterior lateral, 40
septal posterior, 40
esofágica, 207
esófago, 237
espinal
anterior, 11, 141, 171-172
asas anastomóticas, 171
derecha, 172
izquierda, 143, 172
posterior, 11, 172
asas anastomóticas, 171
esplénica, 237, 278, 297-301, 305-306, 318-321, 327-328
arteriografía, 303
izquierda, 264
origen, 302
páncreas, 274
ramas esplénicas, 300
esternocleidomastoidea, 34
estómago, hígado y bazo, 300
estriada medial distal (arteria recurrente de Heubner), 140, 141, 142
etmoidal
anterior, 11, 85
rama meníngea, 100
ramas meningea y septal, 41
posterior, 11, 85, 100
ramas meníngea y septal, 41
facial, 31-32, 34, 36, 40, 60, 75, 85, 131, 133, 136, 138
rama
alar nasal lateral, 41
labial superior, 41
tabique nasal, 41
tonsilar, 64
transversa, 23, 34, 36, 69, 85
faríngea, 40
ascendente, 11, 34, 40, 69, 136, 138
rama
faríngea, 64
meníngea posterior, 136
tonsilar, 64
ramas meníngeas, 100
femoral, 250, 493, 500, 512, 546
circunfleja
ascendente, 501, 512
descendente, 501, 512
lateral, 500, 512
medial, 501, 502, 504, 512
transversa, 501, 512
profunda, 493, 500, 512
ramas musculares, 512
fosa craneal posterior, 142, 143
frénica, inferior, 237, 305, 318, 333, 347
derecha, 300, 319, 320, 333, 346
izquierda, 272, 300, 319-320, 332-333
fibras simpáticas, 240
rama recurrente, 300
frontal, 23
medial, 142
polar, 141, 142
frontobasal
lateral, 141, 142
medial, 141, 142
gástrica, 272, 300, 305, 318-321
arteriografía, 303
corta, 300, 301, 305, 321
derecha, 279, 294, 300, 305, 320-321, 331
arteriografía, 303
fibras simpáticas rama esofágica, 240
izquierda, 206, 237, 264, 300-301, 306, 318-321, 323, 331, 348-349, 410
rama esofágica, 237
rama esofágica, 300
fibras simpáticas, 240
unión omento menor, 274
gastroduodenal, 279, 294, 301, 304-306, 321-322, 327
arteriografía, 303
plexo, 320
gastroepiploica izquierda, 301
gastroomental
derecha, 272, 300, 305-306, 321
origen, 302
izquierda, 300, 301, 305, 306, 321
plexo, 319, 320
glándula mamaria, 183
glútea
inferior, 341, 499
superior, 499
hepática, 297, 337
común, 237, 264, 272, 279, 294, 300-301, 305-306, 318, 321, 327, 331, 349
arteriografía, 303
derecha, 294, 300-301, 305
accesoria, 302
origen, 302
efectos obstrucción, 305
intermedia, 301
izquierda, 294, 300, 301, 305
media, 305
origen, 302
propia, 273, 278-279, 288, 290, 294, 298, 301, 321, 330
arteriografía, 303
bifurcación, 331
omento menor, 348
ramas, 290, 291, 292
sección transversal, 297
hígado, 301
páncreas, duodeno y bazo, 301, 305
y vesícula biliar, variaciones, 305
hipofisaria
inferior, 140, 148
superior, 140, 148
hipotalámica, 140
hipotálamo e hipófisis, 148
ileal, 306-307
asas anastomóticas, 280
ileocólica, 281, 307, 322-323, 340
rama
cólica, 281, 306, 307
ileal, 281, 306, 307
ilíaca
circunfleja
profunda, 501, 512
rama ascendente, 255, 264
superficial, 247, 512
común, 264, 274, 340-341, 398, 400, 412
derecha, 329
imágenes axiales de TC, 350
izquierda, 318
imágenes axiales de TC, 350
rama ureteral, 341
derecha, 323, 329
externa, 264, 274, 318, 329, 340, 398, 400, 402, 412, 501, 512
derecha, 329
interna, 264, 307, 318, 329, 340-341, 370, 398, 412
división anterior, 400
divisiones anterior y posterior, 402
iliolumbar, 264, 341, 402
infraorbitaria, 23, 36, 40, 81, 85
intercostal, 183, 192, 305
anterior, 192
inferior, anastomosis, 255
posterior, 171-172, 188-189, 230-231
rama dorsal, 172
ramas cutánea y mamaria lateral, 183, 192
segunda, 33
tercera derecha, 207, 237
primera posterior, 33
suprema, 33, 136, 138
interlobular, 335, 337
vasos linfáticos, 343
interósea
anterior, 434, 437
tomografía computarizada, 484
común, 434, 447, 448, 449
posterior, 434, 445, 448, 449
recurrente, 434, 445
terminación, 445
intestino grueso, 307
intrarrenales, 335
intrínseca, ojo, 90
laberíntica, 140-141, 143
interna, 143
izquierda, 136
labial
inferior, 69
posterior, 404
superior, 69
laríngea
recurrente derecha, 126
superior, 34, 69, 74, 75, 136

Arteria(s) *(cont.)*
lenticuloestriada, 140-141, 143
central anterolateral, 139
lingual, 23, 32, 34, 59-60, 69, 75, 133, 136, 138
dorsal, 59
profunda, 51, 59
rama tonsilar, 64
lumbar, 171
anastomosis inferior, 255
derecha, 264
quinta, 264
maleolar
lateral anterior, 530
medial anterior, 530
mano, visión palmar, 466
marginal, 307, 323
intestino grueso, 307
izquierda, 216
masetérica, 40, 54, 55
maxilar, 16, 34, 40, 54, 71, 100, 131, 134
ramas, 40
médula espinal, 171
medular segmentaria
anterior, 171-172
mayor, 171
posterior, 171
meníngea, 99-100
accesoria, 11, 40, 100
anterior, 85
media, 40, 55, 99-100, 102, 131, 138
izquierda, 136
posterior, 11
meninges, 136
mesentérica
inferior, 270, 278, 307, 308, 318, 323, 329, 332, 340, 341
superior, 179, 270, 281, 298, 301, 305-308, 319, 321-322, 328, 332, 339-340, 342
origen común, 302
raíz mesenterio, 270
relaciones, 310
metacarpiana
dorsal, 469, 530
palmar, 465
metatarsiana
dorsal, 530, 535-536
ramas perforantes
anteriores, 535
posteriores, 535
plantar, 535-536
ramas perforantes anteriores, 535
miembro superior, 473
tomografía computarizada, 484
mínimas dedo, 471
muscular, 90, 91
musculofrénica, 189, 198, 211, 215
muslo, visión
anterior, 501
posterior, 502
nasal
dorsal, 23, 36, 40, 81, 85
externa, 36
lateral, 36
nódulo sinoatrial, 216, 218, 225
nutricia, fémur, 504, 513
obturatriz, 259, 264, 340, 369, 376, 398, 400, 402-403, 410, 504, 512
rama
acetabular, 487
anterior, 487
posterior, 487
occipital, 23, 34, 100, 178
medial, 142
rama
descendente, 34
esternocleidomastoidea, 34
mastoidea, 100
meníngea, 23
ocasional, 11
occipitotemporal, 142
oftálmica, 11, 23, 40, 83, 86, 132, 140, 143
continuación, 85
rama
muscular, 85
supraorbitaria, 69
supratroclear, 69
omental, 305
orbitofrontal, 141-142
lateral, 139
medial, 139
órganos pelvis femenina, 400
ovárica, 341, 412
derecha, 318, 322
izquierda, 329
rama ureteral, 341
palatina
ascendente, 40
derecha, 40
izquierda, 40
descendente mayor, 40
izquierda, 40
mayor, 52
menor, 40
izquierda, 40
palmar
profunda, tomografía computarizada, 484
superficial, tomografía computarizada, 484
palpebral
lateral, 85
inferior, 85
superior, 85
medial, 85
inferior, 85
superior, 85
pancreática
dorsal, 300, 301, 305, 306
inferior, 301, 305, 306
mayor, 301
pancreatoduodenal
anastomosis, 306
inferior, 302, 305, 307, 322
anterior, 306, 320, 321
plexo, 319, 320, 322
porción común, 306
posterior, 306, 320, 321
rama
anterior, 301
posterior, 301
plexo, 319
superior, 321
anterior, 272, 300, 301, 305, 306, 320, 321
posterior, 301, 305, 306, 320, 321
transparencia, 301
paracentral, 141, 142
paramediana, 140
pared abdominal
anterior, 255
posterior, 264
parietal, 141
anterior, 141, 142
posterior, 141, 142
parietooccipital, 142, 143
pelvis
femenina, 403
masculina, 403
perforante, 501
central anteromedial, 140
muslo, 512
posteromedial, 140
radiada, 335
pericallosa, 141-142
posterior, 143
pericardiofrénica, 194, 206, 211, 230, 241, 255
derecha, 193
izquierda, 193
periné
femenino y útero, 405
masculino, 405
perineal, 370, 403-405
transversa, 405
peronea, 512, 516-518, 522, 534
circunfleja, 512
rama
comunicante, 518
maleolar lateral posterior, 518
perforante, 518, 520, 530, 531
ramas calcáneas, 516, 517
pie, 536
plantar
lateral, 535-536
ramas cutáneas, 535
medial, 534
rama superficial, 533, 534, 535
ramas
cutáneas, 534, 535
profundas, 534
profunda, 530, 535, 536
ramas perforantes posteriores, 536
pontina, 140, 141, 143
poplítea, 512
precuña, 142
prefrontal, 141
principal pulgar, tomografía computarizada, 484
profundas pie, 536
pterigoidea
lateral, 40
medial, 40
pudenda
externa
profunda, 512
superficial, 512
interna, 341, 376, 499
pulmonar, 213
derecha, 205, 210, 214, 220, 230, 245
prenatal, 229
imágenes axiales de TC, 242
izquierda, 206, 213-214, 231, 245
prenatal, 229
radiografía, 213
radiada perforante, 335

Arteria(s) *(cont.)*
radial, 433, 445-449, 454, 460-461, 465, 474
rama
carpiana palmar, 448, 465
palmar superficial, 454, 460, 465
tabaquera anatómica, 469, 470
tomografía computarizada, 484
radicular
anterior, 172
posterior, 172, 173
recta, 307
ileon, 280
rama, 326
yeyuno, 280
rectal
inferior, 307, 398, 402, 403, 404, 405
media, 264, 307, 323, 341, 364, 398, 400, 402, 403
superior, 264, 307, 318, 323-324, 340, 364, 398, 400, 410
bifurcación, 307
rama, 307
rectas, 307
recto y conducto anal, 398
rectosigmoidea, 307, 323, 398
recurrente
cubital
anterior, 434
posterior, 434, 444
de Heubner. V. *Arteria estriada medial distal (arteria recurrente de Heubner)*
radial, 433, 434, 447
regiones bucal y faríngea, 69
renal, 35, 341, 345
derecha, 318, 321, 329
in situ, 332
izquierda, 323, 329, 339, 347
rama
anterior, 335
posterior, 335
uretérica, 335, 336
variaciones, 333
renales, 335
retina, 90
central, 85, 87, 90, 91
retinacular, 504
subsinovial, 504
retroperitoneal, 331
rodilla
descendente, 512
rama
articular, 500, 512
safena, 500, 512
inferior
lateral, 512, 517, 518, 519, 520
medial, 500, 512
media, 512
superior
lateral, 502, 512, 516, 517, 519, 520, 521
medial, 500, 501, 502, 512, 516, 518, 519, 520
sacra
lateral, 171, 264, 341, 398, 402, 403
media, 307, 341, 364, 398, 402
segmentaria
inferior anterior, 335
posterior, 335
superior, 335
anterior, 335
inferior, 335
sigmoidea, 323, 340
subclavia, 30, 32, 74, 76, 130, 171, 183, 189, 198, 206, 211, 237, 427
anómala, 80
derecha, 75, 126, 137, 193, 230
disección anterior, 33
visión oblicua, 33
izquierda, 75, 80, 137, 193, 243
surcos, 186
subcostal, 264
anastomosis inferior, 255
subescapular, 427, 434
tomografía computarizada, 484
sublingual, 59, 61
submentoniana, 40
supinador, 447
supraduodenal, 300, 301, 306
supraescapular, 32, 74-76, 427, 429
rama infraespinosa, 427
suprahioidea, 59
supraorbitaria, 23, 36, 40, 81, 85
supratroclear, 23, 40, 81, 85
surco, 141
central, 141, 142
de Rolando, 142
poscentral, 142
precentral, 141
prefrontal, 142
talamogenicular, 143
talamoperforante, 140, 143
talamotuberal, 140
tarsiana
lateral, 530, 536
medial, 530, 536
temporal
media, 23, 99
polar, 142
profunda, 99
anterior, 40
posterior, 40
rama parietal, 23
superficial, 23, 34, 40, 99-100, 134
rama frontal, 23, 85
testicular, 387, 401, 403, 409, 416
derecha, 332
izquierda, 329, 332
tibial
anterior, 512, 530
posterior, 512, 534
rama
calcánea medial, 533, 535
maleolar medial posterior, 534
timpánica anterior, 40
tiroidea
inferior, 32, 74, 76, 427
rama esofágica, 237
rama laríngea superior, 34
superior, 31, 32, 34, 74, 75, 76
tonsilar, 40
torácica
derecha, 193, 230
inferior, 198, 206, 211, 305
interna, 189, 237, 244-246
arterias perforantes, 188
izquierda, 193, 194
lateral, 183, 188, 189, 427, 434
ramas
intercostales anteriores, 189
perforantes, 183
superior, 189, 427, 429, 434
toracoacromial, 424, 427
rama
acromial, 424, 427, 429
clavicular, 424, 427, 429
deltoidea, 424, 427, 429
pectoral, 424, 427, 429
toracodorsal, 427, 434
umbilical, 340-341, 396
distal, 402
obliterada, 372
porción
obliterada, 229, 362, 363, 364, 400, 403
permeable, 400, 402, 403
prenatal, 229
uretral, 384, 405
uterina, 340-341, 372
ligamento cardinal, 364
ramas vaginales, 404
vaginal, 340
vermis
inferior, 143
superior, 143
vertebral, 10, 21, 32, 75-76, 100, 130, 140-141, 171, 178, 226, 237
derecha, 143
izquierda, 143
plexo venoso, 137
porción atlántica, 178
rama meníngea
anterior, 143
posterior, 100, 143
ramas meníngeas, 10
vesical
inferior, 340
ramas uretéricas, 340
superior, 340-341
ramas uretéricas, 341
yeyunal, 306-307
asa anastomótica, 280
plexo, 319
primera, 302
Arteriografía celíaca, 303
Arteriola
glomerular, 337
aferente, 336
eferente, 336
intralobulillar, 291
macular
inferior, 90
superior, 90
nasal retina
inferior, 90
superior, 90
periportal, 291
portal, 291
Articulación(es)
acromioclavicular, 423, 425
cápsula, 423
atlantoaxial, 19
lateral, 19
cápsula, 21
media, visión superior, 22
radiografía, 17
cadera

Articulación(es) *(cont.)*
cápsula, 504
ligamento iliofemoral, 496
ligamentos, 492
radiografía anteroposterior, 488
visión
anterior, 487
lateral, 487
posterior, 487
carpometacarpiana, 455
cápsula
articular, 454
primera, 455
cigapofisaria, 246
C2-3, 19, 21-22
cápsula, 21, 22
C3-4, 21
costocondral, 186
costovertebral, 243
sección transversal, 187
visión
lateral izquierda, 187
posterolateral derecha, 187
cricotiroidea, 77
eje de giro, 79
esternoclavicular, 196
cavidades articulares, 419
disco articular, 419
sección transversal, 243
esternocostales, 186, 419
hombro, 423
intercondrales, 186
interfalángica, 418
cápsulas y ligamentos, 528
distal, localización, 418
proximal, 418
intermetacarpiana, 455
intervertebral, 18
manubrioesternal, 186
metacarpofalángica (MF), 458
radiocarpiana, 453, 455
radiocubital distal, 455
sacroilíaca, 358
mujer, 354
radiografía, 355
tarsometatarsiana, 523
temporomandibular
disco articular, 54, 55
ligamento lateral, 40
transversa tarso, 523
uncovertebrales, 19
Asa(s)
anastomótica
arterias
espinales posteriores, 171
ileales, 280
yeyunales, 280
intestino delgado, 306
venas intestino delgado, 310
cervical, 31-32, 128-129
raíz
inferior, 32, 34, 71, 74, 128, 129
superior, 32, 34, 71, 74, 128, 129
ramos ventrales, 128
de Galeno, 80
de Heiss, 367
de Henle, 337
rama
ascendente, 336
descendente, 336
segmento
delgado, 336
proximal, 336
intestinal, saco herniario, 261
subclavia, 130, 209, 226, 240
Asta
cóccix, 157
sacro, 157
Astrágalo
apófisis posterior, 523
surco tendón flexor largo dedo gordo, 523
tubérculo
lateral, 523
medial, 523
cabeza, 524
cuello, 523, 524
tróclea, 523, 524
tubérculo
lateral, 523
medial, 523
visión
dorsal, 523
plantar, 523
Atlas (C1), 13, 17, 19, 22, 153, 160
agujero transverso, 17
anterior, 21
apófisis
espinosa, 18
transversa, 17, 21, 30, 39, 176
arco
anterior, 5, 17, 19, 37, 62, 137
posterior, 17, 18, 178
cara articular superior, 17
cóndilo occipital, 17
diente, cara articular, 17
masa lateral, 17
posterior, 21
tubérculo
anterior, 19
posterior, 17, 175, 176
visión
inferior, 17
superior, 17
Atrio (aurícula), 224
derecho, 24, 212-215, 220, 223, 241, 246
abierto, 220
radiografía, 213
izquierdo, 214-215, 220-221, 224, 246
orejuela, 212
sección, 221
vena oblicua, 214, 215, 216
vías conducción internodulares, 225
Axila
disección, 181
visión anterior, 429
ligamento suspensorio, 428
músculos, 424
sección parasagital oblicua, 428
Axis (C2), 13, 17, 19, 22, 153
apófisis
articular inferior, 17
espinosa, 17, 174, 176
transversa, 30
cara articular posterior, 17
cuerpo, 17, 21
diente, 5, 17, 37, 63
pedículo, 17
porción interarticular, 17
tubérculo posterior apófisis transversa, 30
visión
anterior, 153
lateral
izquierda, 153
posterior, 153
posterosuperior, 17

B

Base cráneo
huesos, 9
orificios, 10-11
visión inferior, 10
visión inferior, 8
Bastones, 120
Bazo, 196-197, 272-273, 288, 290, 293, 297, 331, 347, 349
área, 329
arterias, 300, 301
borde superior, 299
cápsula fibrosa, 299
cara
diafragmática, 299
visceral, 299
extremidad
anterior, 299
posterior, 299
hilio, 299
imágenes axiales de TC, 350
impresión
cólica, 299
gástrica, 299
renal, 299
in situ, 299, 347
pulpa, 299
sección transversal, 297, 299, 338
serosa, 299
venas, 309
Boca
inervación aferente, 62
nervios, 62
suelo, 53
techo, 52
visión
anterior, 52
posterior, 52
Bolsa
anserina, 506, 507
colateral peronea, 507
cubital, 460
de Rathke, resto vestigial, 50
iliopectínea, 496
infrarrotuliana, 511
profunda, 511
subcutánea, 511
mano, 462
omental, 272, 331
estómago reflejado, 272
pared posterior, 349
peritoneo parietal, 331
receso superior, 272, 274, 287
sección transversal, 273
prerrotuliana subcutánea, 511
radial, 460, 462

Bolsa *(cont)*
rotuliana, 508
semimembranoso, 511
sinovial suprarrotuliana, 511
subacromial, 423
subcutánea, 511
olécranon, 438
subdeltoidea, 423
subtendinosa, 511
Borde
externo ano, 393
infraorbitario, 1
Botones gustativos, 58
sección, 58
Brazo. V. también *Antebrazo*
arteria profunda, 429, 432-435
colateral media, 445
arterias, 484
compartimiento neurovascular, 435
músculos, 432
capa
profunda, 430, 432
superficial, 430, 432
lateral superior, 432
posterior, 432
visión posterior, 432
visiones anteriores, 430
nervio radial, 477
nervios cutáneos, 479, 481
lateral
inferior, 432, 477, 479, **481**
superior, 432, 477, 479, 481
medial, 257, 429, 432, 435, 473, 474, 479
posterior, 432, 477, 479, 481
secciones transversales seriadas, 435
venas superficiales, 480
Bregma, 7
Bronquio, 167, 202, 204, 234
apicoposterior, 203
basal
anterior, 203
anteromedial, 203
lateral, 203
medial, 203
posterior, 203
derecho, imágenes axiales de TC, 242
extrapulmonar, 202
fibras elásticas, 204
intermedio, 202, 206
intrapulmonar, 202, 204
izquierdo, 203
imágenes axiales de TC, 242
lingular, 202
lobular
inferior, 202
medio, 202, 203
superior, 202, 203, 206
músculo liso, 204
nomenclatura, 203
principal, 202
ramos principales
derechos, 207, 230, 245
izquierdos, 199, 206, 232, 233, 241
Bronquiolo
respiratorio, 204, 205
terminal, 204, 205
Bulbo
olfatorio, 107
células, 119
contralateral, 119
vestíbulo, 366
Bulla etmoidal, 37, 38

C

Cabeza. V. también *Encéfalo; Cráneo;* porciones específicas de la cabeza
anatomía de superficie, 1
arterias, 40-41
fauces, 64
huesos y ligamentos, 4-16
humerocubital, 447
imagen
axial
de RM, 150
de TC, 150
sagital de RM, 149
imágenes coronales de TC, 151
músculos, 26
masticación, 54-55
nervios, 24
autónomos, 131
cutáneos, 24
región
bucal, 50-61
nasal, 36-37, 46-47, 48-49
vasos y nódulos linfáticos, 72-73
Cadera
arterias, 500-502
flexión y extensión, 543
inserciones óseas, visión
anterior, 490
posterior, 491
músculos, 496
visión
lateral, 494
posterior, 495
nervios, 503
radiografía anteroposterior, 488
Calcáneo, 524, 527-528
apófisis
lateral, 523, 533
medial, 523
cara articular
anterior astrágalo, 525
media astrágalo, 525
posterior astrágalo, 525
cuerpo, 523, 524, 525
peroneo, 524
radiografía, 54
relaciones funcionales, 525
surco tendón flexor largo dedo gordo, 523
sustentáculo astrágalo, 523
tróclea, 524
peronea, 523
tuberosidad, 485, 488, 516-517, 523, 533-535
radiografía, 54
visión
dorsal, 523
lateral, 525
medial, 525
plantar, 523
posterior, 525
superior, 525
Calcar avis, 111, 112
Cáliz mayor, 339
Calvaria, 102
visión
inferior, 7
superior, 7
Cámara
anterior, 81, 87-90
endotelio, 88
posterior, 81, 87, 88, 90
vítrea, 90
imágenes coronales de TC, 151
Campos visuales, solapamiento, 120
Canal gástrico, 276
Capa
odontoblastos, 57
tejido subcutáneo (adiposa) de Camper, 249, 361, 348, 378, 380
Capilar subpleural, 205
Capítulo (cóndilo), 420, 436, 437
Cápsula
articulación atlantooccipital, 21, 22
de Bowman, 336
de Glisson. V. *Cápsula fibrosa perivascular (de Glisson)*
de Tenon. V. *Vaina fascial globo ocular (cápsula de Tenon)*
fibrosa perivascular (de Glisson), 290
interna, 108, 141
hendidura, 110
porción retrolenticular, 110
rodilla, 110
ótica, 96
visión anterolateral, 95
rotuliana, tracto iliotibial, 508
Cara
arterias, 19
y venas superficiales, 23
articular
carpo, 439
lumbosacra, 157
articulares, 246
costal
inferior, 187
superior, 187
músculos, 123
nervios sensitivos, 123
orbitaria, 2
poplítea, 489
Cardias, nódulos, 314
Carpo
arterias, 461
disco articular, 455
disección
dorsal
profunda, 469
superficial, 468
palmar
profunda, 460
superficial, 459
radial superficial, 467
huesos, 456
inervación cutánea, 472
ligamentos, 454, 455
movimientos, 453
músculos
extensores, 441
flexores, 442

Carpo *(cont.)*
nervios, 461
radiografía anteroposterior, 457
sección
coronal, 455
sagital, 453
transversal, 461
tendones, 461
extensor, 470
flexores, arterias y nervios, 461
visión
anterior (palmar), 460, 472
posterior (dorsal), 455, 470, 472
Cartílago
accesorio nasal, 36
alar
mayor, 36, 38, 39
menor, 36
pilar lateral y medial, 36
aritenoides, 77-78
apófisis
muscular, 78
vocal, 78
articular
articulación cadera, 487
codo, 438
dedo, 471
rodilla, 511
auricular, 47
bronquial, 204
corniculado, 77
costal, 186, 248. 293, 419
octavo, 415
primera costilla, 243
quinto, 194
izquierdo, 241
sección transversal, 196
segundo, 245
séptimo, 198, 331
sexto, 424
cricoides, 20, 28-29, 74. 77-78, 196, 233-234
arco, 77
cara posterolateral, 234
inserción haz muscular longitudinal, 234
lámina, 77, 78
prominencia lamina. 66
iaringeo, 77
tabique nasal, 39
apófisis lateral, 38. 39
tiroides, 28-29, 31, 74, 196, 202. 206, 233-235
asta superior, 77
lámina, 77, 78
línea oblicua, 29
traqueal, 28, 202
Carúncula
himeneal, 370, 377
lagrimal, 81, 82
sublingual, 51
orificios conductos submandibulares, 51
Cavidad(es)
articular, 471
dedo, 471
bucal, 39, 48, 52-53, 63. V. también *Labio; Boca;* porciones específicas de la cavidad bucal
imágenes coronales de TC, 151
inspección, 51
de Retzius, 348
glenoidea, 185, 423
nasal, 82-83
arterias, 41
crecimiento, 50
fibras posganglionares, vasos y glándulas, 44
huesos, nacimiento, 50
inervación autónoma, 44
pared
lateral, 37, 38
medial, 39
suelo, 37
visión espéculo, 37
pleural, receso
costodiafragmático, 196-197, 330-331
derecho, 194
izquierdo, 104, 206
costomediastínico izquierdo, 194
sinoviales, 22, 187
timpánica, 92, 93, 96, 124, 125
Celdas
etmoidales, 48-49, 83
anterior, 50
hiato semilunar, 37
orificio, 37, 38
media, 50
orificio, 37, 38
posterior, 37-38
orificio, 38
mastoideas, 94
imagen axial de RM, 150
Célula(s)
amacrinas, 120
bastón, 94, 120
bipolares, 120
cimogénica, 276
epitelial, estómago, 276
ganglionares, 120
granulosas, 119
horizontales, 120
mitral, 119
mucosas estómago, 276
neuroendocrina G, 276
olfatorias, 119
parénquima hígado, 290
parietales, 9, 276
penacho, 119
periglomerulares, 119
pigmentarias, 120
pilar, 94, 120
pilosas (cóclea)
externas, 96
internas, 96
Cerebelo, 106, 111, 115, 146
amígdala, 107, 115
cara
inferior, 113
superior, 113
eminencia medial, 115
fisura
horizontal, 113
posterolateral, 107
secundaria, 107
flóculo, 114
fosita
inferior, 115
superior, 115
imagen de RM
axial, 150
sagital, 149
lobulillo digástrico, 113
lóbulo
anterior, 113
floculonodular, 113
posterior, 113
núcleo dentado, 115
partes, 144
receso lateral, 115
sección sagital media, 115
visión posterior, 115
visiones laterales, 105
Cerebro
cápsula interna, 110
circunvoluciones, 107
polo
frontal, 107
occipital, 107
temporal, 107
secciones horizontales, 110
surcos, 107
visión(es)
inferior, 107
laterales, 105
mediales, 106
Cérvix o cuello uterino, 360, 364, 369-372
orificio externo, 371
imágenes sagitales de RM, 397
Ciego, 126, 269, 272, 281, 284, 362-363
pliegue vascular, 281
variaciones unión peritoneal posterior, 281
Circulación sanguínea
intrapulmonar, 205
posnatal, 229
prenatal, 229
Círculo arterial cerebro (de Willis), 139, 140
Circunvolución
angular, 105
arteria cerebral, 141
ramas cerebrales, 141, 142
cíngulo, 106
istmo, 106, 107
dentada, 106, 108, 111, 112, 119
frontal
inferior, 105
media, 105
medial, 106
superior, 105
lingual, 106
occipitotemporal
lateral, 106, 107
medial, 106. 107
orbitaria, 107
parahipocampal, 106, 107, 108, 119
poscentral, 105
precentral, 105
recta, 107
subcallosa, 106
supramarginal, 105
temporal
inferior, 105, 107
media, 105

Circunvolución *(cont.)*
superior, 105
Cisterna
cerebelomedular
posterior, 109
vena, 144
cuadrigémina, 109
interpeduncular, 109
prepontina, 109
quiasmática, 109
quilo, 266, 314, 318
tronco linfático lumbar, 343
Cistouretrografías, varón y mujer, 368
Claustro, 110
Clavícula, 1, 26-29, 31, 181-182, 184, 186, 188-189, 196-198, 213, 230-231, 243, 418, 420-425, 427-429
cara
acromial, 419
esternal, 419
inferior, 419
superior, 419
cuerpo, 419
derecha, 419
extremo
acromial, 419
esternal, 419
impresión ligamento costoclavicular, 419
línea trapezoidea, 419
radiografía, 422
anteroposterior, 422
surco subclavio, 419
tubérculo conoideo, 419
Clítoris
arteria
dorsal, 404
profunda, 404
cuerpo, 388
frenillo, 377
glande, 377, 388
ligamento suspensorio, 378, 379, 380
nervio dorsal, 267, 413, 414
pilar, 360, 366, 370
prepucio, 377
vena dorsal profunda, 356, 357, 360, 364, 365
Clivus, 9
superficie, 22
Coana, 8, 13, 14, 37, 38, 39, 52, 55, 66, 67
Cóccix, 153, 157, 160-161, 248, 352-353, 357, 376, 379, 391
apófisis transversa, 157
nervios espinales, 161
vértice, 354, 357, 359, 376, 380, 382, 395
visión
inferior anterior, 157
superior posterior, 157
Cóclea, 92, 95, 97
helicotrema, 92, 96
ósea, 92, 96
sección, 92, 96
Codo
anastomosis, 434
huesos, 436
ligamentos, 438
músculos, 447-448
inserciones, 450, 451
radiografías
anteroposterior, 437
lateral, 437
Cola caballo, 160-161, 170, 179, 339
punción lumbar, 162
Colangiolo, 292
Colículo
brazos, 114
inferior, 106, 111
brazo, 111
izquierdo, 144
seminal, 366, 384
superior, 106-107, 111, 114-116, 132, 143-144
brazo, 111
izquierdo, 144
Colon
aire radiografía, 355
área, 329
ascendente, 126, 269, 272, 278, 284, 339, 349
imágenes axiales de TC, 350
localización, 274
sección transversal, 338
descendente, 167, 271, 278, 339, 342
área, 329
flexura cólica izquierda, 297
localización, 274
sección transversal, 338, 349
flexura cólica derecha, 297
sección transversal, 297
mucosa y musculatura, 284
músculo circular, 282
nervios, 410
sigmoide, 167-168, 269, 271, 284, 391-394, 412
asa lado derecho, 284
nervios, 410
reflejado, 271
variaciones posición, 285
transverso, 269-270, 273, 278, 284, 291, 294, 298-299, 339
flexura cólica derecha, 297
imágenes axiales de TC, 350
sección transversal, 338
tributarias, 309
tributarias, 311
Columna(s)
anales, 393
celular intermediolateral, 346
renal (de Bertin), 337
vertebral
venas, 137
visión
anterior, 153
lateral izquierda, 153
posterior, 153
Comisura
anterior, 106, 115, 146, 147
fórnix, 112
habénula, 106, 111, 115
posterior, 106, 111, 388
Compartimiento(s)
fasciales pierna, 522
superficial periné, 396
Concha
inferior, 14
nasal
imagen axial de RM, 150
inferior, 37-38, 82
apófisis etmoidal, 38
crecimiento, 50,
imagen sagital de RM, 149
imágenes coronales de TC, 151
media, 2, 6, 37-38, 48, 50, 82
crecimiento, 50
superior, 6, 37-38
borde inferior, 50
suprema, 38
Cóndilo
lateral, 489
medial, 489
occipital, 9, 30, 128
Conducción antidrómica, 167
Conductillo
aberrante, 390
biliar, 290, 292
intralobulillar, 290
periportal, 290, 291, 292
eferente, 389, 390
lagrimal, 82
mastoideo, 10
timpánico, 10
Conducto
aductor, 500
alveolar, 204
orificio, 204
anal, 393
anatómico, 393
arterias, 398
imágenes sagitales de RM, 397
inicio, 376
sección transversal, 357, 521
muscular mucosa, 393, 394
músculo longitudinal, 356, 357
quirúrgico, 393
venas, 399
arterioso
obliterado, 229
prenatal, 229
auditivo
externo, 8, 13, 92-93
cartilaginoso y óseo, 93
imagen axial de RM, 150
imágenes axiales de TC, 150
ramo auricular nervio vago, 24
sección coronal oblicua, 93
interno, 92, 97, 123
carotídeo, 10
arteria carótida interna, 11
orificio externo, 8
plexo nervioso carotídeo interno, 9
cervical, 371
cístico, 331
pliegue espiral, 294
porción lisa, 294
variaciones, 296
colédoco, 126, 167, 273-274, 278-279, 288, 291-292, 294-295, 297-298, 300-301, 304
extrahepático, 294
sección transversal, 338
unión
conductos
hepáticos, 290
pancreáticos, 295
duodeno, 295

Conducto *(cont.)*
condíleo, 11
de Alcock. V. *Conducto pudendo (de Alcock)*
de Gartner. V. *Conducto mesonéfrico craneal (de Gartner)*
de Hering, 291, 292
de Müller. V. *Conducto paramesonéfrico (de Müller)*
de Schlemm. V. *Seno venoso escleral (conducto de Schlemm)*
de Wolff. V. *Conducto mesonéfrico (de Wolff)*
deferente, 259, 261, 340, 389-390, 409, 546
ampolla, 384
arteria, 255, 264, 340, 398, 401, 403
endolinfático, 11, 95
acueducto vestibular, 96
orificio, 97
epididimario, 390
epoóforo, 389
eyaculador, 376
inicio, 384
orificios, 316, 384, 385
facial, 124
prominencia, 93
femoral, 546
nódulos linfáticos, 546
frontonasal, 37
infundíbulo, 38
orificio, 38
galactóforo, 182
hepático, 290
aberrante, 294, 296
accesorio, 296
común, 287, 289, 290, 204, 301, 331
derecho, 294
izquierdo, 294
variaciones, 294, 296
hialoideo, 87
hipogloso, 8, 10, 11
incisivo, 37-39, 43, 63
anastomosis, 40
rama septal posterior arterias esfenopalatina y palatina mayor, 41
infraorbitario, 45
inguinal, 260, 262
linfático, 208
mandibular, 60
mesonéfrico
caudal, restos, 389
craneal (de Gartner), 389
(de Wolff), 389
nasolagrimal, 82
nacimiento, 38
orificio, 37, 82
surco nasoóptico, 50
obturador, 352, 358, 364, 365, 369, 402, 501
óptico, 2, 6, 11, 83
pancreático, 294-295, 298
accesorio, 279, 298
esfínter, 295
principal, 279
unión colédoco, 295
papilar, 336
paramesonéfrico (de Müller), 389
parotídeo, 25, 54
pilórico, 297
sección transversal, 297
prostático, orificios, 384, 385
pterigoideo
arteria, 40
nervio, 122, 123, 125, 131, 133, 135
pudendo (de Alcock), 392, 411
arteria pudenda interna, 402, 404
nervio pudendo, 413
vena pudenda interna, 399
izquierda, 311
reuniens, 96
sacro, 157, 358
semicircular
membranoso, 92
ampolla, 92, 124
anterior, 95, 96
lateral, 95, 97, 124
posterior, 96, 97, 124
superior, ampolla, 124
óseo
anterior, 95, 96, 97
imagen axial de RM, 150
lateral, 95, 96, 97
plano, 97
posterior, 95, 96, 97
prominencia, 92
sublingual, 51
orificios, 61
submandibular, 51, 53, 59, 60
torácico, 189, 194, 198, 206, 209, 211, 244, 245, 246, 263, 266, 293, 318
venoso
obliterado, 229
prenatal, 229
vertebral, lumbar, 155
Conexión intertendinosa mano, 470
Conjuntiva, 91
bulbar, 81, 83, 87, 88, 90
palpebral, 81
párpado
inferior, 81
superior, 81
Cono
arterioso, 212, 218, 220, 222, 224
elástico, 78
luz, 93
medular, 160, 161, 170, 339
Constricción
diafragmática, 233
torácica, 233
Corazón, 126, 233
atrios, ventrículos y septo interventricular, 224
base
superficie, 214
visión posterior, 214
borde
derecho, 196
inferior, 212
izquierdo, 196
cara diafragmática, 214
diástole, 222
esqueleto fibroso, 222
in situ, 211
inervación, 227
esquema, 227
lado
derecho, 225
izquierdo, 225
nervios, 226
saco pericárdico, 282
septo membranoso, 221, 222
sistema conducción, 225
sístole, 222
válvulas, 222
vértice, 212, 213, 214, 246
visión anterior, 212
Corbata suiza, 236, 277
Cordón
espermático, 260-261, 376
conducto deferente, 255
fascia
cremastérica, 260
espermática
externa, 249, 257, 259, 405
interna, 262
músculo cremáster, 257
genital, 389
lateral, 115
Córnea, 81, 83, 87, 88, 90, 91
Cornete. V. *Concha*
Cornetes, 37
Coroides, 87, 89-90
disposición vascular, 91
Corpúsculo
de Malpighio, 336
renal
cortical, 336
yuxtamedular, 336
Corteza
renal, 336, 337, 346
sensorial, 135
Costillas, 186, 244-245
ángulo, 185, 186
cabeza, 185, 186
cuello, 185, 186, 194
cuerpo, 185
duodécima, 160, 174, 195, 342, 349
proyección, 330
falsa, 185
flotante, 185
imágenes axiales de TC, 242, 350
ligamento interarticular, 187
media, 186
novena, 299
octava, 241, 349
primera, 94, 160, 186, 196-197, 211, 230, 419, 429
cartílago costal, 243
sincondrosis, 419
surco, 199
segunda, 182, 185, 419
izquierda, 186
séptima, cabeza, 246
sexta, 182
tubérculo, 185, 186
undécima, 330
verdadera, 185
Coxal
cartílago articular, 487
visión
lateral, 486
medial, 486
Cráneo
base, 66, 160, 161
fractura, 101

Cráneo *(cont.)*
línea nucal superior, 174, 175, 176
orientación laberinto, 97
piel, 102
radiografía anteroposterior, 3
recién nacido, 12
sección
horizontal, 104
sagital media, 6
venas emisarias y diploicas, 99
visión
anterior, 2
lateral, 4
Cresta
buccinador, 68
frontal, 9
ilíaca, 152, 174-177, 247-248, 254, 329-330, 342, 351, 485-486, 494-496, 502-503, 545
labio
externo, 248, 352, 353, 486
interno, 248, 352, 353
superior, 486
línea intermedia, 248, 352, 353, 486
punción lumbar, 162
tubérculo, 248, 352, 353, 486
intertrocantérea, 487, 503
radiografía anteroposterior, 488
interuretérica, 366
obturatriz, 352, 486, 487
occipital externa, 14
Passavant. V. *Esfínter palatofaríngeo (cresta de Passavant)*
pubis, 259, 376
sacra
intermedia, 157
lateral, 157
media, 157, 352, 357
supracondílea, 436
supratroclear, 220, 224
terminal, 220, 225
uretral, 384
Criptas de Lieberkühn, 283
Crista galli, 3, 6, 9, 39
imágenes coronales de TC, 151
Cúbito, 436, 438-443, 454, 465
apófisis coronoides, 437
borde
anterior, 436
interóseo, 436
posterior, 436, 439
cara
anterior, 436
lateral, 429, 436
posterior, 436, 439
escotadura radial, 436
olécranon, 418, 444
radiografía, 437
sección coronal, 455
tubérculo dorsal, 436
tuberosidad, 436, 439
visión
anterior (palmar), 452
posterior (dorsal), 452
Cuello
anatomía de superficie, 1
arterias, 504
esqueleto óseo, 185
fascias, 28
músculos, 27
visión
anterior, 28
posterior, 27
nervios, 24
autónomos, 130
cutáneos, 24
nódulos y vasos linfáticos, 72
plexo cervical, 32
triángulo posterior, 174, 188
venas superficiales y nervios cutáneos, 31
Cuerda(s)
oblicua, 438, 439
tendinosas, 220, 221, 223
Cuero cabelludo
aponeurosis epicraneal, 26
arterias y venas superficiales, 23
piel y tejido subcutáneo, 26
Cuerpo(s)
adiposo
fosa isquioanal, 376
infrarrotuliano, 511
órbita, 83
suprarrotuliano, 511
albicans, 371
amigdalino, 110, 112, 119
tálamo, 110
anococcígeo, 380, 381, 395, 396
calloso, 106-108, 111, 141, 143
anterior, 145
cisterna, 109
esplenio, 106, 107, 110, 112, 143, 144, 145, 146
imagen sagital de RM, 149
pico, 106, 141
rama dorsal derecha, 143
rodilla, 106, 107, 110, 112, 146
surco, 106
tronco, 106, 141
vena dorsal, 144, 146
carotídeo, 34, 125, 130, 210
cavernoso, 361, 382-383, 385
imágenes sagitales de RM, 371, 397
célula simpática preganglionar, 44, 132
ciliar, 87, 90
fibras, 88
orbículo ciliar, 89
vasos sanguíneos, 90
cuadrigéminos, 107
de Arancio, 223
esponjoso, 361, 366, 381-383
imágenes sagitales de RM, 397
estriado, 110, 141
geniculado
lateral, 107, 110, 111, 114, 116, 120, 132, 143, 144, 145
medial, 107, 108, 110, 111, 114, 115, 139, 143, 144, 145
tálamo izquierdo, 143
lúteo, 371
mamilar, 106, 107, 112, 114, 147
perineal, 359, 361, 365, 378, 380, 381, 382, 383, 384, 391, 395, 403, 404, 405
pineal, 106, 110, 111, 114
uña, 471
vertebral, 19
caras articulares, 186
cuarta vértebra torácica, 230
lumbar, 155
vítreo, 87
Culmen, 113, 115, 144
Cuña, 106
vértice, 107
Cúpula coclear, 95
Curvatura
cervical, 18, 153
lumbar, 153
sacra, 153
Cutícula, 471
Cymba, 93

D

Declive, 113
Dedos
de la mano, 418
anillo, falange distal, 457
arterias, 471
y nervios, 471
cuarto, nervios digitales palmares, 460
espacio cerrado anterior distal, 471
extensión, 464
falange media, 457
flexión, 464
flexores, 443
huesos, 452
índice, radiografía, metacarpiano, 457
inervación, 469
inserciones musculares, 450
mecanismo extensor, 471
músculos extensores, 441
nervios, 471
nombres comunes, 418
quinto
nervios digitales palmares, 460
vaina sinovial tendinosa, 460
sección
sagital, 453, 471
media, 453
transversal, 471
tabiques, 471
fibrosos, 471
tendones
extensores, 464
flexores, 464
y extensores, 471
vainas
sinoviales tendones flexores, 460
tendinosas, 462
fibrosas, 471
vasos linfáticos, 483
dorso, 483
visión
lateral, 464
posterior (dorsal), 464
del pie
dedo gordo
falange
distal, 537
proximal, 537
lado medial, 544
quinto
falanges proximal, media y distal, 537

Dedos *(cont.)*
vena, 544
Dentina, 57
Dermatomas
anterior, 482
demarcación esquema, 164
miembro
inferior, 543
superior, visiones anterior y posterior, 482
niveles, 164
posterior, 482
Dermis anal, 393
Diafragma
origen, 198, 206, 211, 215, 230, 233, 236-237, 272-273, 275, 286, 327, 329, 331, 342, 349, 498
área, 330
cara
abdominal, 195
torácica, 193
centro tendinoso, 263
hoja derecha, 194
cúpulas, 213
derecha, 196, 197
izquierda, 196, 197
nervios frénicos, 193
orificio vena cava, 195, 263, 267
pélvico, 361
fascia, 364
superior, 360, 364, 365, 369, 394
fascias inferior y superior, 392
mujer, 356, 357
varón, 358-359
pilares, 179, 293, 338, 342
derecho, 263, 270, 293, 297, 331, 339
izquierdo, 263, 270, 297, 339
porción
costal, 195, 258
esternal, 195
lumbar, 195
sección transversal, 338
visión lateral, 233
Dientes, 137
axis, 19, 37
caninos, 57
capa odontoblástica, 57
cara articular posterior, 22
cemento, 57
conductos raíz, 57
corona, 57
cuello, 57
deciduo, 56
dentina, 57
esmalte, 57
espacios
interglobulares, 57
interproximales, 57
incisivos, 56, 57, 233
ligamento apical, 63, 65
molares, 56-57
crecimiento, 50
primero, 56
segundo, 56
tercero, 56
nervios, 57
orificios apicales, 57
papila, 57
permanentes, 56-57
inferiores, 56
izquierdos, 57
superiores, 56
izquierdos, 57
premolares, 56, 57
raíces, 57
túbulos dentina, 57
visión labiobucal, 57
Díploe, 7
Disco
articular, 16, 243
intervertebral, 19, 155. V. también vértebras específicas.
ángulo esternal, 245
anillo fibroso, 155
lumbar, 157, 339
lumbosacro, 352
núcleo pulposo, 155
óptico, 90
Disección hombro, visión
anterior, 426
lateral, 426
posterior, 426
Dolor
referido, áreas comunes, 327
vía, 325
Dorso
anatomía superficie, 152
huesos y ligamentos, 153-157
músculos
imágenes axiales de TC, 350
plano
intermedio, 175
profundo, 176
superficial, 174
nervios, 177, 179
región lumbar, sección transversal, 179
Drenaje linfático, próstata, 408
Duodeno, 126, 248, 273, 275, 278, 288, 329, 340, 342
arterias, 301, 304
ascendente, 270, 278, 279
descendente, 272, 279, 294
sección transversal, 179
in situ, 278
inervación, 321
ligamento suspensorio, 270
mucosa, 279
musculatura, 279
músculo
circular, 277, 295
longitudinal, 277
suspensorio, 270
nervios, 319, 320, 321
pliegue longitudinal, 279
porción
descendente, 270
inferior, 270
superior, 294
(primera), 297
porciones segunda-tercera, 338
unión, 339
radiografía bario, 279
raíz mesenterio, 278
superior, 276, 278
sección transversal, 297
unión colédoco, 295
venas, 309
Duramadre, 39, 91, 93, 96, 99-100, 102, 109, 119, 137, 169
arterias espinales, 172
capas meníngea y perióstica, 99
columna torácica, 170
espinal, 160, 179
laberintos óseo y membranoso, 96
lumbar, 170
venas cerebrales, 102

E

Eferente parasimpático sacro, 165
Eminencia
arqueada, 9
colateral, 111
hipotenar, 418
iliopúbica, 248, 352, 486-487
mujer, 354
intercondílea, 514
radiografía anteroposterior, 510
nasal, 37, 38
tenar, 418
Encéfalo, 48
arterias, 136, 141-142
esquema, 138
visiones
frontales, 141
inferiores, 139
lateral y medial, 142
sección
coronal, 108
sagital, in situ, 106
venas
profundas, 145
subependimarias, 146
ventrículos, 108
Encía, 57
epitelio, 57
lámina propia, 57
Endometrio, 371
Epéndimo, 108
Epicóndilos
lateral, 438, 440-443, 489
radiografía, 510
medial, 437, 440, 441, 442, 443, 447, 476, 489
Epidídimo, 390
apéndice, 389
cabeza, 390
cola, 390
cuerpo, 390
seno, 390
Epífisis, 471
rama arterial nutricia, 471
Epiglotis, 13, 58, 63, 66, 67, 76, 77, 78, 135, 233, 235
Epitelio escamoso estratificado, lengua, 58
Eponiquio, 471
Epoóforo, 343
Escafa, 93
Escápula, 29, 180, 185, 192, 243-245
acromion, 185
anastomosis, 427
ángulo
inferior, 152, 246, 420
superior, 420

Escápula *(cont.)*
apófisis coracoides, 213
arteria axilar y anastomosis, 427
borde
lateral, 420
radiografía anteroposterior, 422
medial, 152, 420
cavidad glenoidea, 420
radiografía anteroposterior, 422
cuello, 420
cuerpo, 428
escotadura escápula, 184
espina, 152, 174, 177, 185, 197, 213, 424, 427-428
radiografía anteroposterior, 422
fosa
infraespinosa, 185
subescapular, 185
supraespinosa, 421
tubérculo infraglenoideo, 420
visión
anterior, 420, 427
posterior, 421, 427
Esclera, 81, 83, 87-88, 91
conjuntiva bulbar, 81
lámina cribosa, 87
Escotadura
acetabular, 352, 486
cardíaca, 236, 275
cerebelosa
anterior, 97
posterior, 97, 113
ciática
mayor, 248, 486
menor, 248, 486
escápula, 184, 185, 420, 421, 423, 427
interaritenoidea, 66
intertrágica, 93
mandibular, 15
pancreática, 298
peronea, 513
preoccipital, 105
supraorbitaria, 1
agujero, 2
tiroidea, superior, 77
vertebral
inferior, lumbar, 155
superior, lumbar, 155
yugular, 28, 181, 196
Escroto, 351, 388
fascia superficial, 249
piel, 390
sección transversal, 390
Esfínter
ampolla, variaciones, 295
palatofaríngeo (cresta de Passavant), 65
uretra, 396
uretral, interno, 366, 367, 384, 385
uretrovaginal, 367
Esófago, 63, 68, 76, 126, 194, 204, 206-207, 230-231, 233, 240-241, 243-246, 263-264, 270, 274, 323, 329, 332, 348
área desnuda cara ventral, 234
arterias, 237
variaciones comunes, 237
capa muscular
circular, 234, 277
longitudinal, 234, 277
masa lateral, 234
curvatura mayor, 277
engrosamiento muscular, 232
in situ, 232
mucosa, 235-236
unión mucosa gástrica, 276
musculatura, 239
nervios, 240
porción
abdominal, 233, 237, 275
cervical, 237
pilórica, 277
torácica, 232, 237
rama arterial recurrente, 195, 264
submucosa, 235, 236
surco, 199
topografía y constricciones, 233
visión
anterior, 240
lateral, 233
posterior, 240
abierta, 66
zona pobre músculos, 234, 235
Espacio(s)
costomediastínico, 331
lateral, 198
superior, 198
cuadrangular, arteria circunfleja humeral posterior, 427
de Retzius V. *Espacio retropúbico (prevesical) (de Retzius)*
disco intervertebral, 156
epidural
grasa, 170
punción lumbar, 162
epiescleral, 83, 87
extraperitoneal, tejido fibroadiposo, 392
interglobular, 57
mediopalmar, 460, 462
parotídeo, 34
perianal, 392, 393, 396
pericoroidal, 87, 88
perineal
superficial, 361, 370, 378, 404, 405
varón, 383
perineopélvicos, 396
periportal, 291
perisinusoidales, 291
portal, lámina limitante, 291, 292
postanal
profundo, 396
superficial, 396
presacro, 364, 396
rectocervical, 369
rectovaginal, 364, 369
rectovesical
prerrectal, 396
retroprostático, 396
retrovesical, 396
retropúbico (prevesical) (de Retzius), 48, 348, 364, 396
grasa, 251
subaponeurótico, 468
subaracnoideo, 87, 99, 102, 109
punción lumbar, 162
torácico, 170
subcutáneo dorsal mano, 462
submucoso, 392
perianal, 396
plexo venoso rectal interno, 393
subungueal, 471
supraesternal, 28
tenar, 462
extensión dorsal, 460
vesicocervical, 364
vesicovaginal, 364
Espina
ciática, 248, 263, 411, 486-487, 503
mujer, 354
radiografía, 355
ilíaca
anterior, 247-248, 250, 486-487, 492
superior, 248, 249, 259, 263, 486, 487, 492, 493, 496, 500
posterior
inferior, 486
superior, 152, 352, 353, 486
nasal
anterior, 39
posterior, 39
Esplenio cuerpo calloso, 143, 145
Espolón, 489
escleral, 87
Esternón, 26, 29, 180, 194, 233, 246, 424
ángulo, 185
apófisis xifoides, 181, 184, 185, 247
cabeza, 181
cuerpo, 181, 185, 247, 248
escotadura yugular, 185
imágenes axiales de TC, 242
manubrio, 27, 28, 185
Estómago, 167, 215, 237, 269, 273, 276, 294, 297-298, 331
área, 329
arterias, 300
atónico, 275
capa muscular
circular, 236
longitudinal, 236, 277
oblicua, 236
cara posterior, 272
células
epiteliales, 276
musculares, 276
parietales, 276
cuerpo, 275, 279
curvatura
mayor, 275
menor, 275
ramo posterior vago, 240
escotadura angular, 275
folículo linfático, 276
fundus, 233, 236, 275, 293
radiografía bario, 279
ramo vago, 240
hipertónico, 275
hipotónico, 275
imágenes axiales de TC, 350
in situ, 275
inervación, 321
línea zig-zag, 236
mucosa, 276
musculatura, 236, 277
nervios, 319, 320
ortotónico, 275
porciones cardiacas, 233, 236, 277
reflejado, 272
sección transversal, 297

Estómago *(cont.)*
submucosa, 276
variaciones posición y contorno, 275
vasos y nódulos linfáticos, 314
venas, 309
zona
cardiaca, 276
gástrica, 276
Estría
medular, 106
olfatoria
lateral, 119
medial, 119
terminal, 108, 111, 112
Estriado, 110
Estribo, 92-93
base, 92, 93
cabeza, 93
ramas, 92
anterior, 93
posterior, 93
ventana oval, 96
Estroma intermuscular, 326
Expansión músculo recto lateral, 83
Expansiones extensor, 536
dosel, 465
fibras transversas, 470
Exploraciones pelvis, 397

F

Falange, 524
cuarta, radiografía base, 457
distal, 456, 471
dedo
anular, radiografía, 457
gordo, 537
pulgar, radiografía, 457
inervación nervio cubital, 476
sección transversal, 471
dorso, 523
media, 456, 471, 523
inervación nervio cubital, 476
radiografía, 457
proximal, 456, 523
dedo gordo, 537
radiografía, 457
tuberosidad, 523
visión plantar, 523
Faringe
arterias, 69
drenaje linfático, 73
inervación aferente, 62
músculos
sección media (sagital), 65
visión
lateral, 68
posterior parcialmente abierta, 67
nervios, 62
nódulos y vasos linfáticos, 73
pared posterior, 51
sección media, 63
venas, 71
visión posterior, 75
abierta, 66
Fascia
aductor pulgar, 460
antebraquial posterior, engrosamiento, 468
axilar, 428
fenestrada, 428
porción anterior, 428
braquial, 428
bucofaringea, 60, 63, 65
cervical
lámina
pretraqueal, 28
revestimiento, 26, 28
músculos, 188
clavipectoral, 188, 428
músculo
pectoral menor, 188
subclavio, 188
cremastérica, 250, 261, 390
cribiforme, 546
hiato safeno, 249
cuadrado lumbar, 179
dartos, 390
de Buck. V. *Fascia profunda (de Buck).*
de Camper, 348, 361, 378
de Colles. V. *Fascia perineal superficial (de Colles)*
de Denonvilliers. V. *Fascia rectoprostática (de Denonvilliers)*
de Gerota. V. *Fascia renal de Gerota*
de Scarpa, 348, 361, 378
inserción, 380
de Sibson, 230
deltoidea, 26
diafragmática, 342
inferior, 348, 349
dorsal ancho, 428
endopélvica, 364
paravesical, 366
escrotal, 249
superficial, 395
espermática, 249-250, 259, 261
externa, 249, 250, 251, 257, 259, 260, 261, 361, 380, 390, 405
interna, 251, 261, 390
origen, 260, 261
extraperitoneal, 252, 261, 412
faringobasilar, 52, 73
infradiafragmática, 236
infraespinoso, 174, 177, 424
infrahioidea, 28
infrahioideo, 428
interósea
dorsal, 462
palmar, 462
lata, 250, 500, 544
inserción lámina Scarpa, 249
obturador, 356, 369, 379, 402, 411
interno, 364, 392, 402, 411
obturador interno, 365
órbita y globo ocular, 83
parotídea, 26
pectoral, 182, 428
láminas superficial y profunda, 428
menor, 428
pélvica, 372
pene, 249
perineal, 356
profunda, 355, 361, 370, 378, 381-383, 391, 396, 404-405
transversa, 384
superficial (de Colles), 358, 361, 366, 370, 378, 380, 411
inserción, 380
pierna, 522, 546
plantar
lateral, 532
medial, 532
presacra, 348, 364, 396
pretraqueal, 63
lámina visceral, 202
prevertebral, 60, 63, 65
profunda (de Buck), 249-250, 253, 348, 380-383, 396, 401, 403, 405
tabique intercavernoso, 382, 385
psoas mayor, 342
pubocervical, 372
porción
distal, 372
horizontal, 372
rectal, 348, 364, 378, 384, 391, 392, 393, 394, 396
rectoprostática (de Denonvilliers), 348, 359, 361, 386, 391, 396
rectovesical, 384, 391, 396
renal (de Gerota), 339, 342, 347
lámina
anterior, 179
posterior, 179, 342
sección
sagital, 342
transversal, 342
revestimiento
pectoral menor, 428
subclavio, 428
serrato anterior, 428
subclavio, 428
subserosa, 412
superficial, 390
supradiafragmática, 236
temporal, 26, 54
lámina
profunda, 54
superficial, 54
toracolumbar, 174-177, 330
láminas, 179
anterior, 176, 179
media, 179
posterior, 176, 179, 330
transversal, 179, 252, 259, 261, 331
umbilical prevesical, 251, 252, 260, 348, 364, 365
uterina, 364
uterovaginal, 369, 370, 378
vaginal, 391
vesical, 348, 361, 366, 369, 391, 396
Fascículo
atrioventricular, 225
cuneiforme, 114
de His, 225
grácil, 114, 115
longitudinal
dorsal, 147
medial, 113
mamilotalámico, 147
Fauces, 64
Fémur, 489, 511
agujero nutricio, 489
arteria nutricia, 504
cabeza, 376, 487, 489

Fémur *(cont.)*
arterias, 504
fosita ligamento, 489
radiografía, 355
anteroposterior, 488
cápsula fibrosa, 489
cara
poplítea, 489, 511
rotuliana, 489
cóndilo
lateral, 489, 493, 510
medial, 489
inserción músculo aductor mayor, 493
tubérculo aductor, 493
cresta intertrocantérea, 489
cuello, 376
cuerpo, 489, 496
epicóndilo lateral, 489
espolón, 489
fosa intercondílea, 489
ligamento cabeza, 487, 489
línea
áspera, 489
pectínea, 489
niño, 504
radiografía, 355, 510
anteroposterior, 488
trocánter
mayor, 152, 489, 493
menor, 263, 489
tubérculo aductor, 489
tuberosidad glútea, 489
visión
anterior, 489
posterior, 489
Fibras
aferentes, bulbo olfatorio, 119
eferentes, bulbo olfatorio, 119
fasciales vesicocervicales, 364
intercolumnares, 249, 259
músculo prerrectal (de Luschka), 359
parasimpáticas
posganglionares, 44
preganglionares, 44
Purkinje, 225
ramos subendocárdicos, 225
simpáticas
posganglionares, 346
ganglio ciliar, 132
inervación
órgano reproductor femenino, 415
órgano reproductor masculino, 416
vejiga urinaria y uréter inferior, 417
preganglionares, 346
ganglio ciliar, 132
inervación
órgano reproductor femenino, 415
órgano reproductor masculino, 416
vejiga urinaria y uréter inferior, 417
vagales, 126
zonulares, 87, 88, 89, 90
Filtro, 1
Filum terminal
externo, 160, 161
interno, 160, 161
Fimbria hipocampo, 119
Fisura
cerebral
anterior, 143
longitudinal, 107, 143, 145
oblicua, 198
externa, 188, 331
interna, 188, 189
pulmón izquierdo, 244
orbitaria
inferior, 14, 83
superior, 83
petroescamosa, 12
petrotimpánica, 11
pterigomaxilar, 4
retrotonsilar, 113
secundaria, 113
Flanco
derecho, 268
izquierdo, 268
Flexura
cólica
derecha, 269, 288, 297
izquierda, 126, 269, 270, 271, 272, 275, 278, 284, 288, 298, 347
duodenal
inferior, 279
superior, 279
duodenoyeyunal, 270, 279, 342
esplénica. V. también *Flexura cólica izquierda*
hepática. V. *Flexura cólica derecha*
perineal, 376
Flóculo, 113
Folículo, 371
linfático, 58
estómago, 276
Folium, 113, 115, 144
Fondo de saco
de Morison. V. *Receso hepatorrenal (fondo de saco de Morison)*
rectouterino (de Douglas), 360, 362, 369, 371, 391
rectovaginal, 348, 361, 391
uterovesical, 372
vesicouterino, 372
vesicovaginal, 362, 365, 391
Fontanela
anterior, 12
esfenoidal, 12
mastoidea, 12
posterior, 12
Fórnix, 106, 112, 147
columnas, 106, 110, 111, 112, 145
conjuntival, 81
inferior, 81
superior, 81
cuerpo, 106, 108, 112
esquema, 112
pilares, 106, 110, 112, 143
vaginal, 371
porción
anterior, 360
posterior, 360
Fosa
acetabular, 376, 487
grasa, 487
sección transversal, 376
axilar, 243, 244, 245
clavipectoral, 428
codo, 418
coronoidea, 420
craneal
anterior, 9
media, 9
posterior, 9
arterias, 142, 143
venas, 144
venas posteriores, 144
digástrica, 15
duodenal
inferior, 270
superior, 270
escafoidea, 93
faringobasilar, 59
hipofisaria, 5, 9
nacimiento, 50
ilíaca, 352, 353, 363, 486
incisiva, 10, 14, 52, 56
infratemporal, 4, 13
isquioanal, 366, 392
comunicación
posterior derecha-izquierda, 396
preanal derecha-izquierda, 396
cuerpo adiposo, 376, 380, 392
pus, 396
receso
anterior, 366, 370, 396
posterior, 396
tabique fibroso transverso, 392, 394, 395
techo, 405
mandibular, 12, 16
navicular, 361, 385
oval, 220, 544
limbo, 220
paraduodenal, 270
pararrectal, 362-363, 369
suelo, 392
paravesical, 369
piriforme, 233
poplítea, 512
pterigoidea, visión posterior, 14
pterigopalatina, 4, 13, 14, 40, 44, 49
romboidea mayor, 114
subescapular, 185
sublingual, 15
submandibular, 15
temporal, hematoma, 101
triangular, 93
vestibular, 377
yugular, 8, 11
Fosita
anal, 388
granular, 99, 102
pterigoidea, 15
Fóvea central, 87, 90
Frenillo, 282
arteria, 59
labio
inferior, 51
superior, 51
lengua, 51, 61
Fundus estómago, 293

G

Galea aponeurótica, 26, 102, 178
Gancho, 8, 14, 38, 52
  lámina espiral, 95
  pterigoides, 4, 38, 46, 52, 55, 64-65, 68
    nacimiento, 50
Ganchoso, 452, 455-456, 474
  gancho, 442, 452, 454, 456
    radiografía, 457
  sección coronal, 455
  visión
    anterior (palmar), 452
    posterior (dorsal), 452
Ganglio
  aorticorrenal, 165, 167, 267, 318, 320, 324, 344-346, 409, 321 322
    celíaco, 267
    derecho, 318, 320, 323
    izquierdo, 318, 320, 323, 410, 415
    mesentérico superior, 267
  autónomo abdominal, 318
  celíaco, 44, 126, 165, 167, 168, 219, 267, 318, 320, 321, 323, 324, 325, 327, 328, 331, 345, 346, 409
  cervical
    medio, 165
    superior, 165, 167
  cervicotorácico (estrellado), 13, 130, 165, 209, 226-227, 240
    ramos esofágico y nervio recurrente, 240
  ciliar, 45, 86, 121-122, 131-132, 165-166, 168
    esquema, 132
    raíces, 131
      nasociliar, 86, 131, 132
      oculomotora, 132
      parasimpática, 86, 121
      sensitiva, 86, 121, 122, 131
      simpática, 86, 121, 132
  coclear, 124
  espinal dorsal, 170
  espiral, 96
  estrellado. V. *Ganglio cervicotorácico*
  frénico, 320, 327
  L2, 412
  lumbar, 167, 318
  mesentérico, 126
    inferior, 165, 167, 318, 323, 409
    superior, 165, 167, 168, 267, 298, 318, 320, 322, 323, 324, 325, 328, 344, 345, 346, 409
  nodoso, 135
  núcleos basales, 110
  ótico, 55, 122-123, 125, 131, 133-135, 168
    esquema, 134
  petroso, 131, 135
  pterigopalatino, 122-123, 125, 131, 133, 135, 166, 168
    esquema, 133
    fosa pterigopalatina, 44
    ramos ganglionares, 45
  renal, 344-345
    derecho, 346
    izquierdo, 346
  sacro, 167, 318
  sensitivo nervio espinal, 258, 321, 324, 327
  simpático, 409
    cervical
      medio, 32, 60, 130, 131, 132, 133, 134, 167
      superior, 130, 132
    ganglio superior, 125, 128, 131, 133-134, 210, 226
    torácico, 209
  lumbar, 170
  torácico, tercero, 240
  submandibular, 59, 122-123, 131, 133, 166, 168
    esquema, 133
  torácico, 167
  trigémino, 86, 116, 117, 132, 133, 134, 135
  tronco simpático lumbar
    inferior, 228
    superior, 228
  vertebral, 130, 226
  vestibular, 95
Genitales, 388
  externos, 167
    femeninos, 377, 388
    homólogos, 388
    inervación, 168
    masculinos, 388
  indiferenciados, 388
  internos
    femeninos, 389
    homólogos, 389
    masculinos, 389
  nódulos y vasos linfáticos, 406, 407, 408
Glándula(s)
  anales, 393
  areolar, 182
  bulbouretral (de Cowper), 253, 361, 383-384, 389, 417
    conducto, 383
      orificio, 384, 385
    membrana perineal, 348
    primordio, 389
  de Bartholin. V. *Glándula vestibular mayor*
  de Brunner. V. *Glándulas duodenales.*
  de Cowper. V. *Glándula bulbouretral (de Cowper)*
  de Meibomio, 81
  de Skene. V. *Glándulas parauretrales (de Skene)*
  duodenales, 279
  gástricas, 276
  intestinales, 326
  lagrimal, 83, 85-86, 133, 166-168
    conductos excretores, 82
    porción
      orbitaria, 82
      palpebral, 82
  linguales (glándulas serosas de von Ebner), 58
  mamaria
    arterias, 183
    capa tejido subcutáneo, 182
    disección anterolateral, 182
    ligamentos suspensorios, 182
    lobulillos, 182
    sección sagital, 182
    vasos y nódulos linfáticos, 184
  palatina, 52, 63, 64
  paratiroides, 76
    inferior, 75-76
      visión lateral derecha, 75, 76
    superior, 75, 76
    visión superior, 75, 76
  parauretrales (de Skene), 389
    primordio, 389
  parótida, 25-28, 31-32, 55, 125, 134, 166-167
    accesoria, 61
    sección horizontal, 25
    sinapsis adrenérgicas y colinérgicas
    serosa, 61
  pilórica, 276
  pituitaria. V. *Hipófisis*
  prepucial, orificio, 382
  salivares, 61
    lingual, 51
    molar, 52
    sección
      frontal, 51, 60
      horizontal, 51, 60
    sublingual, 51, 60
    submandibular, 51, 60
  sebácea, 81
  serosas de von Ebner. V. *Glándulas linguales (glándulas serosas de von Ebner)*
  sublingual, 51, 53, 61, 123, 133, 167
    mucosa, 61
  submandibular, 27-28, 31-32, 53, 123, 133, 166-167
    mucosa, 61
    serosa, 61
  submucosa, 326
  sudorípara, 9, 167
  suprarrenal, 197, 278, 298-299
    arterias y venas, 332, 333
    derecha, 197, 297, 329, 346
    disección, 346
    esquema, 346
      disección, 346
    in situ, 332
    izquierda, 197, 272, 297, 329, 331, 338, 346
    nervios, 344, 346
      disección, 346
    sección transversal, 347
  tarsal, 81
    orificios, 81
  tiroides, 29, 31, 196, 198, 206
    cápsula fibrosa, 76
    cara articular, 78, 80
    istmo, 74
    lóbulo
      derecho, 74, 75, 76
      piramidal, 74
    visión
      anterior, 74
      posterior, 75
  uretral, 380, 385
    lagunas y orificios, 379
  vestibular, 389
    mayor, 389, 404
      orificio, 377
      primordio, 389

Globo
ocular, 81
arterias y venas, 85
coroides, disposición vascular, 91
tarso, 83
vascularización, 91
pálido, 108, 110, 539
Glomérulo, 119, 136
Gónadas, 389
masculinas, descenso, 386
Grasa
codo, 438
epidural, 137, 170
glándula mamaria, 182
infrarrotuliana, 507, 508, 511
orbitaria, imagen axial de RM, 150
pararrenal, 179, 339
perirrenal, 179, 339, 342
planta pie, 532
retrobulbar, 83
suprarrotuliana, 511
Gubernáculo, 389, 415

H

Habénula, 110
Haustra, 284
Haz muscular accesorio, 67
Helicotrema, 92, 95, 96
Hélix, 93
rama, 93
Hematoma
epidural, 101
subdural, localización, 101
Hemisferio cerebral
cara medial, 106
imagen axial de RM, 150
imágenes axiales de TC, 150
Hemotórax, tubo drenaje torácico, 190
Hendidura
interglútea, 152
nasal, 11
vulvar, 377
Hernia
deslizamiento, 236
discal
L4-5, 162
lumbar, 162
abordaje quirúrgico, 161
inferior izquierda, 161
manifestaciones clínicas, 161
nivel y características clínicas, 161
postura característica, 161
S1-2, 162
inguinal
indirecta, 261
localización, 261
Hiato
aductor, 539
arteria femoral, 512
anorrectal, 358
aórtico, 195
esofágico, 195
sacro, 157
safeno, 250, 544
fascia cribiforme, 249
semilunar, 37-38
nacimiento, 50
orificios celda etmoidal anterior, 38
urogenital, 367
Hidátide de Morgagni. V. *Apéndice vesiculoso (hidátide de Morgagni)*
Hígado, 126, 196-197, 272, 278, 293-294, 297, 331, 339, 342, 347
apéndice fibroso, 287
área, 329
desnuda, 329, 342
arterias, 300, 301
arteriola
intralobulillar, 291
periportal, 291
portal, 291
borde inferior, 268, 275
cápsula fibrosa perivascular, 290
cara, 287
parietal, 289
visceral, 287, 289
distribución
conductos, 289
venosa, 291
estructura, 291
in situ, 288
inervación, 168, 326
lecho, 287
ligamento
coronario, 274
falciforme, 255
redondo, 229, 256, 275, 349
triangular izquierdo, 274
ligamentos, 287, 312
lóbulo(s), 289
anatómicos, 289
caudado, 272, 288
cuadrado, 275
derecho, 269, 275, 288
imágenes axiales de TC, 350
izquierdo, 269, 275, 288
sublobulillares, 290
patrón lobulillar normal, 290
peritoneo visceral, 331
prenatal, 229
proceso papilar, 287
sección
bajo aumento, 292
transversal, 297, 338
segmento(s), 289
lateral posterior, 289
quirúrgicos funcionales, 289
sistema
vascular, 290
vasos y conductos intrahepáticos, 290
topografía, 286
variaciones
arteriales, 305
forma, 288
venas, 291
centrales, 290
vénula, 291
vías linfáticas, 184
visión
anterior, 287
posterior, 287
Himen
anular, 377
cribiforme, 377
tabicado, 377
Hipocampo, 110-112
álveo, 112
disección superior, 112
fimbria, 106, 108, 111, 112
Hipocondrio
derecho, 268
izquierdo, 268
Hipófisis, 106-107, 147
arterias y venas, 148
imagen sagital de RM, 149
lóbulo
anterior, 140, 147, 148
posterior, 140, 147, 148
silla turca, 37
Hipotálamo, 108, 147, 324
arterias, 148
núcleos
arqueado, 147
dorsomedial, 147
paraventricular, 147
posterior, 147
supraóptico, 147
ventromedial, 147
parasimpático, 324
simpático, 324
Histerosalpingografía, útero, 373
Hombro
articulación, 423
cápsula, 432
músculos, 424
nervios, 429-430
cutáneos, 479
posterior, 477
radiografía anteroposterior, 422
sección coronal, 423
venas superficiales, 479
visión
anterior, 423, 474, 479
lateral, 423
posterior, 479
Hoz
cerebelo, 144
cerebro 39, 48, 102, 103, 141, 144
inguinal, 250
tendón conjunto, 250, 253, 259, 263
Huesecillos oído, 93
Hueso. V. también huesos específicos
abdomen, 248
antebrazo, 439
base cráneo, 9
cabeza, 2-16
carpo, 452-453, 456
abducción, 453
aducción, 453
visión
anterior (palmar), 452
posterior (dorsal), 452
cavidades nasal y paranasal, nacimiento, 50
cigomático, 81
codo, 436
cuboides, 523-524, 527, 536-537
base, 523
cara articular, 525
cuerpo, 523
radiografía, 54
surco tendón inserción peroneo largo, 523
tuberosidad, 523, 524, 528, 536

Hueso *(cont.)*
visión
dorsal, 523
plantar, 523
cuneiforme
intermedio, 523, 536
lateral, 523, 536
radiografía, 54
medial, 523, 524, 527, 536
visión plantar, 523
escafoides, 456
área, 439
sección coronal, 455
tubérculo, 452, 454, 456
visión
anterior (palmar), 452
posterior (dorsal), 452
esfenoides, 9, 38
agujero
espinoso, 8
oval, 9
ala
mayor, 2-5, 8-9, 151
cara orbitaria, 2
menor, 2-3, 6, 9
cara orbitaria, 2
apófisis pterigoides, 4, 8, 12, 38
lámina
lateral, 39
medial, 39
clivus, 9
cresta infratemporal, 4
cuerpo, 6, 9, 50
espina, 14
gancho pterigoides, 6
seno esfenoidal, 38
surco carotideo, 9
etmoides, 4, 6, 9, 38
agujero etmoidal anterior, 12
apófisis unciforme, 38
concha nasal, 38
media, 2
crista galli, 39
lámina
cribiforme, 37, 38, 39, 119
orbitaria, 2, 4, 12
perpendicular, 2, 6, 39
frontal, 9, 36, 38, 81-82
escotadura supraorbitaria, 4, 12
espina nasal, 38, 39
glabela, 4
porción
escamosa, 38, 39
orbitaria, 2, 9
seno, 38, 39
grande o capitado, 452-453, 455, 461
radiografía, 457
sección coronal, 455
visión
anterior (palmar), 452
posterior (dorsal), 452
hioides, 27-29, 34, 59-61, 63, 65, 68, 74, 76-77
asta
mayor, 13, 53, 75
menor, 13, 53
cuerpo, 13, 53
vértice asta mayor, 67, 75
lagrimal, 2, 4, 6, 12, 38
nacimiento, 46
mano, 474
maxilar, 47
metacarpiano, 456
base, 456
cabeza, 456
cuerpo, 456
quinto, 444
base, radiografía, 457
segundo, 445
tercero, 456
visión
anterior (palmar), 452
posterior (dorsal), 452
metatarsiano, 523-524, 536
base, 523
cabeza, 523
cuarto, 523
cuerpo, 523
primero, 523, 524, 537
quinto, 523
tuberosidad, 523, 530, 535, 536, 537
segundo, 523
tercero, 523
tuberosidad, 523, 524, 537
visión plantar, 523
miembro inferior, 513, 524
nasal, 1-2, 4, 6, 12, 36, 38-39
nacimiento, 50
navicular, 536-537
tuberosidad, 523, 524, 536
visión plantar, 523
occipital, 4, 7-9, 12
agujero
magno, 6
yugular, 6
apófisis yugular, 30
clivus, 22
cóndilo, 9, 30, 128
conducto hipogloso, 6
cresta occipital
externa, 8
interna, 9
fosa y conducto condíleos, 8
línea nucal
inferior, 8
superior, 83
porción basilar, 6, 8, 9, 22, 30, 37, 38, 39, 52, 65, 66, 67
protuberancia occipital
externa, 4, 6, 8
interna, 9
surco seno
petroso inferior, 6
transverso, 6
tubérculo faríngeo, 8, 63
palatino, 39
agujero palatino menor, 39
apófisis
esfenoidal, 38
orbitaria, 2, 38
piramidal, 14
cresta nasal, 39
posterior, 39
espina nasal posterior, 38
lámina
horizontal, 14, 37, 38, 39, 52, 56
perpendicular, 38, 39
mayor, 71
menor, 71
nacimiento, 488
parietal, 2, 4, 6, 8-9
eminencia o tuberosidad, 12
pelvis, 352-353
pie, 523, 524
pierna derecha, 513
piramidal, 456
visión
anterior (palmar), 452
posterior (dorsal), 452
sesamoideo, 456, 524, 534-537
lateral, 523
medial, 523
visión plantar, 523
temporal, 9
porción
escamosa, 9, 97
petrosa, 9, 97
tórax, 185
trapezoide, 456
sección coronal, 455
visión
anterior (palmar), 452
posterior (dorsal), 452
Húmero, 433, 436, 438
cabeza, 420
radiografía anteroposterior, 422
capítulo, 420, 436
cóndilos, 420, 436
cresta supracondílea
lateral, 420
medial, 420
cuello
anatómico, 420-421
radiografía anteroposterior, 422
quirúrgico, 420
radiografía anteroposterior, 422
cuerpo, 244, 245
derecho, cuello quirúrgico, 423
epicóndilo
lateral, 420, 421, 436, 437, 438, 441, 442, 444, 448
medial, 420, 421, 432, 433, 437, 440, 442, 444, 445, 446, 447, 476, 477
fosa
coronoidea, 420
olécranon, 421, 436, 437
radial, 420
olécranon, 437
radiografías, 437
anteroposterior, 422
surco
intertubercular, 420
nervio cubital, 421
radial, 421
tendón común
extensor, 421
flexor, 421
tróclea, 420, 437
tubérculo
infraglenoideo, 421
intertubercular, 420
mayor, 420-421, 423, 432
cresta, 420
menor, 420, 423
visión

Húmero *(cont.)*
anterior, 420
posterior, 421
Íleon, 269, 282, 284, 339, 349
capa muscular
circular, 280, 282
longitudinal, 280, 282
fibras musculares, 282
mucosa, 280
musculatura, 280
nodulillos linfáticos, 280
radiografía bario, 280
serosa, 280
submucosa, 280
terminal, 271, 281, 282, 362, 363

I

Ilion
ala, 248, 352, 358, 486
cara
articular, 486
glútea, 352
cuerpo, 352, 486
imágenes axiales de TC, 350
línea arqueada, 356
radiografía, 355
anteroposterior, 488
Impresión
cólica, 287
costal, 287
duodenal, 287
esofágica, 287
gástrica, 286
suprarrenal, 287
trigeminal, 9
Infundíbulo, 114, 140, 147, 294
cuello, 114
cuerpo, 114
fondo, 114
trompa uterina, 372
Ingle
derecha, 268
izquierda, 268
Ínsula, 105, 110, 141
circunvoluciones corta y larga, 105
Ínsula
limen, 105, 141
surcos central y circular, 105
Interfase
aracnoides-duramadre, 102
duramadre-cráneo, 102
Intersección tendinosa, 83, 84, 86, 121, 181, 247
Intestino, 167. V. también *Colon; Duodeno; Mesocolon; Vísceras; Yeyuno*
delgado, 126, 269, 322
área, 329
arterias, 306
inervación, 324
mesenterio, 348
mucosa y musculatura, 280
nervios, 322
esquema, 324
nódulos linfáticos, 316
submucosa, 326
vasos linfáticos, 316
venas, 310
grueso
arterias, 307
inervación, 324
mucosa y musculatura, 284
nervios, 323-324
esquema, 324
vasos y nódulos linfáticos, 317
venas, 311
luz, 326
mucosa, 326
músculo
circular, 326
longitudinal, 326
plexo entérico, 325
plexos autónomos intrínsecos, 326
prenatal, 229
relaciones mesenterio, 270, 271
Intumescencia
cervical, 161
lumbar, 161
Iris, 81, 87, 89-90
arterias, 91
círculo arterial
mayor, 88, 90, 91
menor, 88, 90, 91
pliegues, 88
venas, 91
Islotes de Langerhans, 298
Isquion
cuerpo, 486
radiografía, 355
anteroposterior, 488
rama, 486

L

Laberinto
membranoso, 95-96
derecho, 95
esquema, 96
orientación cráneo, 97
óseo, 95-96
derecho, 95
esquema, 96
proyección superior derecha, 97
ramas comunes, 95
rama membranosa común, 95
Labio
filtro, 51
frenillo, 51
ileocecales, 282
inferior, 51
mayor, 360, 365, 388
menor, 360, 365, 388
superior, 51
tubérculo, 1
Lago lagrimal, 81, 82
Laguna
lateral (venosa), 99, 100
magna, 385
uretral, 385
Lambda, 7
Lámina
affixa, 111
cartílago tiroides, 77
borde posterior, 67
cribiforme, 6, 9, 37, 39, 119
orificios, 11
cribosa, 87
cuadrigémina, 115
de Scarpa (membranosa), 249, 380
unión fascia lata, 249
espiral
gancho, 95
ósea, 95, 96
limitante posterior (membrana de Descemet), 88
lumbar, 155
medular
externa, 111
interna, 111
pterigoides
lateral, 13, 47, 55, 68
medial, 52, 55, 64-65
gancho, 13
tectal, 106
terminal, 106, 107, 147
Laringe, 135, 167-168, 210
cartílago, 77
disección lateral, 78
inervación, 168
músculos intrínsecos, 78
acción, 79
nervios, 80
ramos sensitivos, 80
visión
lateral derecha, 77, 78
media, 77
posterior, 77, 78
superior, 80
Laringofaringe, 63
visión posterior abierta, 66
Lecho ungueal, 471
Lengua, 37, 39, 59, 125
cripta, 58
cuerpo, 58
dorso, 58
drenaje linfático, 73
estereograma, 58
frenillo, 51
glándulas salivares, 60
gusto anterior, 125
imagen sagital de RM, 149
músculo longitudinal
inferior, 128
superior, 128
músculos, 59-60
intrínsecos, 128
vertical y transverso, 60
posterior, 125
raíz, 58, 235
sección
frontal, 60
horizontal, 60
vasos y nódulos linfáticos, 73
vértice, 58
visión lateral, 59
Lente, 81, 88, 90
cápsula, 87, 88
córtex, 87, 88
ecuador, 87, 88
eje, 88, 89
estructuras soporte, 88, 89
imagen axial de RM, 150
ligamento suspensorio, 87, 88
núcleo, 88, 89

Leptomeninges, 170
Ligamento(s)
acromioclavicular, 423
alar, 22
amarillo, punción lumbar, 162
amarillos, 21
ancho, 389
lámina
anterior, 372
posterior, 372
mesometrio, 371
mesosálpinx, 369
subdivisiones y contenido, 372
uréter femenino, 340
útero, 360, 362
anular
radio, 438
tráquea, 202
apical diente, 63, 65
arqueado
lateral, 195, 263
medial, 195, 263
medio, 195, 263
metafisario, 455
radial dorsal, 455
arterioso, 206, 212, 221, 229, 231
nódulo, 208
prenatal, 229
astragalocalcáneo interóseo, 527
astragaloperoneo
anterior, 514
posterior, 514
bifurcado, 527
calcaneocuboideo, 527, 536
dorsal, 527
plantar, 528
calcaneometatarsiano, 532
calcaneonavicular, 527
plantar, 527, 528, 536
calcaneoperoneo, 514, 525, 527
capitoganchoso, 454, 455
capsular, 423
hombro, 423
cardinal, 360, 364, 370, 371, 372, 373
carpiano palmar, 446, 447, 454, 460
carpo, 454, 455
carpometacarpiano
dorsal, 455
palmar, 454
carpopiramidal, 454
coccígeo, 160, 161
codo, 438
colateral, 509
cubital, 438
peroneo, 493, 499, 506-507
bolsa subtendinosa inferior, 511
radial, 438, 454, 455
tibial, 493, 514, 511
conoideo, 423, 425
inserción, 419
coracoacromial, 423, 425, 426, 430
coracoclavicular, 423
coracohumeral, 423
coronario
área desnuda hígado, 348
hígado, 287
porción hepatorrenal, 287
costoclavicular, 186, 419
inserción, 419
costocoracoideo, 188, 428
craneocervicales
externos, visión
anterior, 21
lateral derecha, 21
posterior, 21
internos, 22
cricotiroideo
lateral, 77
medio, 74, 77, 202
cruzado, 22, 507, 509
anterior, 508-509, 514
inserción, 508
origen, 514
banda longitudinal
inferior, 22
superior, 22
posterior, 514
inserción, 514
transverso, 22
cubitocapitado, 454
cubitopiramidal, 40, 454
cuboideonavicular plantar, 528
cuneocuboideo dorsal, 527
cuneonavicular
dorsal, 527
plantar, 528
de Bigelow, ligamento en Y, 487, 496
de Cooper. V. *Ligamento pectíneo (de Cooper)*
de Gimbernat. V. *Ligamento lagunar (de Gimbernat)*
de Marshall, 221
de Poupart. V. *Ligamento inguinal (de Poupart)*
de Treitz, 270
dentado, 169, 170
diafragmático, 389
escafocapitado, 454
escafolunar, 455
escafotrapeciotrapezoideo, 454
escrotal, 389
esfenomandibular, 40, 55
espiral, 96
esplenorrenal, 272, 299, 329
vasos esplénicos, 331
esternoclavicular, anterior, 419
esternocostal, 186
intraarticular, 186
radiado, 186, 419
estilohioideo, 13, 59, 64, 65, 68
estilomandibular, 15
falciforme, 252, 269, 274-275, 305, 312, 331, 349
hígado, 305
rama, 255
frenocólico, 272
frenoesofágico, 236
fundiforme, 249
pene, 361
gastrocólico, 272
gastroesplénico, 272-273, 299, 331
vasos gástricos cortos, 299
gastrofrénico, 272, 329
glenohumeral
inferior, 423
superior, 423
hepatoduodenal, 272, 275, 278, 297
hepatogástrico, 302
hioepiglótico, 63, 77
humeral transverso, 423
iliofemoral, 487, 496
iliolumbar, 330, 353
inguinal (de Poupart), 247, 249-250, 259, 263, 351, 356, 378, 380-381, 407, 485, 492, 498, 500-501, 544, 546
reflejado, 250, 251, 259
interarticular, 187
intercarpiano, 455
interóseo, 455
interclavicular, 186, 419
intercuneiforme dorsal, 527
interespinoso
lumbar, 176
lumbosacro, 177
interfalángicos, 458
intertransverso, 187
intraarticular, 187
isquiofemoral, 487
lagunar (de Gimbernat), 250, 251, 259, 263, 546
longitudinal
anterior, 63, 65, 179, 187, 263, 331, 348, 349, 353, 362, 363
posterior, 22
lumbocostal, 330
lunopiramidal, 454
meniscofemoral posterior, 508, 509
metacarpiano
dorsal, 455
palmar, 465
transverso
profundo, 465
superficial, 480
metacarpofalángico, 458
metatarsiano
dorsal, 536
plantar, 528, 536
transverso
profundo, 536
superficial, 532
nucal, 21, 152
palmar, 471
palpebral
lateral, 81
medial, 81, 83
pectíneo (de Cooper), 88, 188, 250, 251, 259, 262, 263
pelvis, 352-353, 372
pie, visión plantar, 528
piramidocapitado, 454,
piramidoganchoso, 454, 455
plantar, 536
corto, 527
largo, 528, 536
poplíteo
arqueado, 508, 511
oblicuo, 508, 511
púbico, inferior, 248, 356, 359, 360, 364, 365, 378, 383
pubofemoral, 487
puboprostático, lateral, 366
pubovesical
lateral, 364, 365
medial, 364, 365
pulmonar, 199, 208, 230, 231

Ligamento(s) *(cont.)*
radiado, 187
esternocostal, 186
radiocapitado, 454
radiocarpiano
dorsal, 455
palmar, 454
porción
radiocapitada, 454
radioescafolunar, 454
radiocubital
dorsal, 455
palmar, 454
radioescafocapitado, 454
radiolunar
corto, 454
largo, 454
palmar, 454
rectoanal, 259
rectouterino (uterosacro), 360, 369, 371, 372, 373
redondo, 229, 288, 349, 372
fisura, 287
hígado, 288, 312
prenatal, 229
útero, 389
rotuliano, 485, 489, 492, 493, 494, 508, 509, 511, 514, 520, 521
sacroespinoso, 352, 353, 357, 359, 410, 495, 503
sacrotuberoso, 357, 376, 379, 395, 402, 410, 411, 495, 502, 503
sacrouterino, 364
supraespinoso, 179
tarsometatarsiano, dorsal, 536
tibioperoneo
anterior, 514
posterior, 514
tiroepiglótico, 77
tobillo, 527
transverso
acetábulo, 352, 487
carpo. V. *Retináculo flexor*
perineé, 356, 358, 361, 364, 380, 383, 405
superior escápula, 423, 425, 427
trapeciocapitado, 454, 455
trapeciotrapezoideo, 455
trapezoidal, 423
umbilical
medial, 229, 259, 341, 401, 402, 403
medio, 340, 364, 365, 400, 403, 409
venoso, 229
fisura, 287
prenatal, 229
vísceras y pared abdominal, 348
vocal, 77-78
abducción, 79
acortamiento, 79
aducción, 79
alargamiento, 79
Limbo corneal, 81
Límen
ínsula, 141
nasi, 37
Línea
alba, 181, 188, 247, 249-250, 258-259, 331
imágenes axiales de TC, 350
anocutánea, 392, 393, 394
anorrectal, 393
arqueada, 248, 251, 255, 259, 279, 348, 352, 353, 356, 486
áspera, 489
glútea
anterior, 352, 486
inferior derecha, 352, 486
superior, 265, 311
iliopectínea, 353, 392
porción
ilíaca, 358
púbica, 358
intertrocantérea, 487, 489
medioclavicular, 268
derecha, 268
izquierda, 268
milohioidea, 15
nucal
cráneo, 174, 175, 176
inferior, 14
pectínea, 248, 263, 352, 353, 393, 486, 489, 505, 538
semilunar, 247
derecha, 268
izquierda, 268
sóleo, 513
terminal, 157, 353, 364, 370
zig-zag (Z), 236
Linfáticos, vasos colectores
apicales, 73
basales, 73
centrales, 73
marginales, 73
Língula, 15, 113, 115, 144, 199
bronquios, 202
Líquido cefalorraquídeo o cerebroespinal, circulación, 109
Lobulillo
cuadrangular, 113
oreja, 1
paracentral, 106
parietal
inferior, 105
superior, 105
semilunar
inferior, 113
posterior, 113
Lóbulo
floculonodular, 113
frontal, 105
occipital, 105
proyección, 120
parietal, 105
piriforme, 119
temporal, 105, 107, 141
hematoma, 101
hernia, 101
imagen axial de RM, 150
Locus ceruleus, 115
Lúnula, 223
Luz, 326

M

Mácula, 90
fóvea central, 90
Maléolo, 92
lateral, 485, 513-514, 520-521, 530-531
cara articular, 513, 514
radiografía, 54
medial, 485, 513-514, 517-519, 530-531
cara articular, 514
radiografía, 526
red arterial, 520
Mandíbula, 15
adulto, visión
posterior izquierda, 15
superior anterolateral, 15
ángulo, 15
apófisis
condilar, 15
coronoides, 15
inserción músculo temporal, 54
base, 15
cabeza, 15
cerrada, 16
cuello, 15
cuerpo, 15, 27
espinas mentonianas, 15
fosita pterigoidea, 15
lactante, 15
ligeramente abierta, 16
línea oblicua, 15
língula, 15
muy abierta, 16
niño, 15
persona anciana, 15
porción alveolar, 15
protuberancia mentoniana, 15
rama, 15, 25, 27
tubérculo mentoniano, 15
Mano
abducción, 453
aducción, 453
anatomía superficie, 418
arterias y nervios. visión palmar, 466, 484
bolsas, 462
disección
dorsal
profunda, 469
superficial, 468
palmar
profunda, 460
superficial, 459-460
radial, superficial, 467
dorso, 483
vasos linfáticos, 483
espacios, 462
y vainas, 462
extensión, 453
fascia dorsal, 462
flexión, 453
huesos, 456
inervación cutánea, 472, 476
músculos, 465
intrínsecos, 465
nervios, visión palmar, 466
palma, 453
posición anatómica, 453
radiografía anteroposterior, 457
red venosa dorsal, 468, 483
surco
digital, 418
medio, 418

Mano *(cont.)*
proximal, 418
longitudinal radial, 418
palmar proximal, 418
tabique entre espacios, 462
vainas tendinosas, 462
vasos linfáticos
dorso, 483
red, 483
vía linfática, 468
visión
anterior, 460
(palmar), 459, 465, 472
posterior (dorsal), 465, 472
Manubrio, 186, 198, 243, 244, 419
Martillo, 96
apófisis
anterior, 93
lateral, 93
cabeza, 92, 93, 124
cuello, 93
ligamento superior, 93
manubrio, 93
visión lateral, 93
Matriz ungueal, 471
Maxilar, 2, 6, 38
agujero infraorbitario, 2, 4, 12
apófisis
alveolar, 2, 4, 6, 13, 38, 48
cigomática, 2, 8
frontal, 2, 4, 36, 38, 81
palatina, 5, 6, 8, 14, 37, 38, 52, 56
cara
infratemporal, 4
nasal, 6
orbitaria, 2
conducto incisivo, 6, 38, 40
espina nasal anterior, 2, 4, 6, 36, 38
fosa incisiva, 8
nacimiento, 50
seno maxilar, 50
sutura palatina media, 8
tuberosidad, 4, 14
Meato nasal
atrio medio, 37
inferior, 37, 82
abierto, 50
medio, 37
abierto, 49
atrio, 37
superior, 37, 50
Mediastino
área pulmón anterior, 194
cuerpo adiposo, 231
sección transversal, 241
superior, grandes vasos, 206
visión lateral
derecha, 230
izquierda, 231
Médula
espinal, 243-244
arterias, 171
distribución intrínseca, 172
conducto central, 108, 109
esquema, 167, 346
fibras
ascendentes, 416
descendentes, 416
imágenes
axiales de TC, 242
sagital de RM, 149
in situ, 160
porción torácica, 132
sacra, 324
torácica, 134, 210, 327, 328
toracolumbar, 324
tractos descendentes, 108
venas, 173
oblongada, 11, 106, 124, 134-135, 168, 324, 345
capa nuclear, 113,
imagen
axial de RM, 150
sagital de RM, 149
porción inferior, 135
sección transversal, 124
renal, 336-337
fibras preganglionares, 346
Membrana
basilar, 96
costocoracoidea, 428
de Descemet. V. *Lámina limitante posterior (membrana de Descemet)*
espinales, 169
fibroelásticas, 234
intercostal
externa, 180, 189, 192, 258
interna, 180, 192, 230, 258
interósea, 439, 441, 443, 444, 454, 455, 511, 512, 517, 518, 520, 522, 525
obturatriz, 263, 352, 370, 487
perineal, 263, 358, 365-366, 380-381, 383, 391, 404-405, 411, 413
izquierda, 354
sinovial, 423, 471
articulación cadera, 487
inserción fémur, 511
suprapleural, 230
cervical, 231
tectoria, 22, 96
porción profunda, 22
timpánica, 92-93, 96
derecha, 93
tirohioidea, 29, 74, 77, 235
vestibular, 96
Meninges, 10, 136
arterias, 99, 136
espinales, 102, 324, 325
inervación, 325
venas, 99
superficiales, 102
Menisco, 455
lateral, 507-509, 511
cuernos o astas, 508
medial, 507-509
cuernos o astas, 508
Mesencéfalo, imagen
axial de RM, 150
sagital de RM, 149
Mesenterio
íleon, 280
intestino delgado, 349
láminas peritoneales, 326
raíz, 270, 274, 278, 296, 298, 310, 340, 362-363
vena mesentérica superior, 310
yeyuno, 280
Mesoapéndice, 281, 283, 322
Mesocolon
sigmoide, 271, 284, 307, 329, 340
unión, 274
transverso, 269-273, 278, 284, 307
unión, 298, 299
Mesometrio, 371
Mesoovario, 370
láminas, 372
Mesosálpinx, 369
láminas, 372
Metáfisis, rama arteria nutricia, 471
Mielencéfalo, 423. V. también *Médula oblongada*
Miembro
inferior. V. también *Pierna*
anatomía de superficie, 485
arterias, 500-502, 504
dermatomas, 543
inervación
cutánea, 487-489
segmentaria, movimientos, 543
músculos, 490-503
nervios y venas superficiales, 544
visión
anterior, 545
posterior, 545
neurovasculatura, 538-546
nódulos y vasos linfáticos, 546
superior. V. también *Brazo*
anatomía de superficie, 418
arterias, 473
tomografía computarizada, 484
nervios, 473
nódulos linfáticos, 483
vasos linfáticos, 483
visión
anterior, 418, 473
posterior, 418
Miometrio, 371
Modiolo cóclea, 96
Mucosa
intestinal, 279, 280
olfatoria, 119
Muscular mucosa, 276
recto y conducto anal, 394
Musculatura anorrectal, 394
Músculo(s)
abdomen
aponeurosis, 255, 330
recto, 181, 188-189, 192, 247, 250-251, 258, 293, 349, 351, 378
imagen axial de TC, 350
rama
capsular, 355
pélvica, 335
sección transversal, 252
vaina, 189
transverso, 25, 94, 96, 179, 189, 255, 257-258, 263, 267, 329, 363, 498
aponeurosis, 252, 330, 349
tendón origen, 175, 176, 179
abductor
corto pulgar, 461, 465
dedo
gordo, 533-535, 541
inserción, 534, 536
meñique o dedo pequeño, 465, 470, 476, 533-534, 536, 541
nervio, 534

Músculo(s) *(cont.)*
tendón, 533
largo pulgar, 441, 444, 449, 451
área, 439
acintado, 118
aductor
corto, 489, 493, 539
inserciones, 489, 491
del dedo gordo, 541
cabeza
oblicua, 535
transversa, 535
inserción, 536
ramo profundo nervio tibial, 541
largo, 376, 489, 492-493, 500, 505, 539
inervación, 540
inserciones, 489, 491
sección transversal, 521
mayor, 485, 489, 495, 500, 502, 505, 540
aductor mínimo, 493
hiato, 493
inervación, 540
inserciones, 489, 491
tendón, 493
pulgar, 462, 465, 476, 535
fascia, 460, 462
aductores muslo, 496
ancóneo, 432, 444-445, 477
nervio, 432
origen, 421
anorrectal, 394
antebrazo, 440, 441, 446, 447, 448
apéndice vermiforme, 283
aritenoepiglótico, 78, 80
aritenoides
oblicuo, 67, 78, 79, 80, 235
transverso, 63, 78-80, 235
acción, 79
articular rodilla, 505, 507, 511, 538
inserción, 489
auricular
anterior, 26
posterior, 26
ramos nervio facial, 123
superior, 26
bíceps
braquial, 181, 418, 420, 429
cabeza
corta, 424, 428, 430, 433, 434, 435, 474
corta, combinación, 244
corta, origen, 420
larga, 424, 426, 428, 433, 435, 474
larga, origen, 420
larga, tendón, 243, 244, 245
fascia, 428
inserción, 420
tendón, 425, 432-433, 438, 446-447
cabeza corta, 430
cabeza larga, 423, 425, 430
femoral, 485, 489, 495, 503, 515
cabeza
corta, 488, 494, 495, 540
corta, inserciones, 491
larga, 485, 494, 495, 540
larga, inserciones, 491
inserciones, 489, 515
tendón, 506, 511, 514, 517, 520, 542
bolsa, 511
cabeza larga, 353
subtendinoso inferior, 506, 507
braquial, 420, 429-430, 433, 435, 446-448
inserción, 420, 438
origen, 420, 421
braquiorradial, 418, 433, 444, 446, 447
brazo, visión
anterior, 430
posterior, 432
buccinador, 15, 26, 48, 52, 54, 55, 60, 65, 68, 123
bulboespojoso, 358, 366, 370, 380, 381, 383, 404, 405, 417
cadera y muslo, 492-493
visión
lateral, 494
posterior, 495
cara, 123
cigomático
mayor, 26, 54, 123
menor, 26, 54, 123
ciliar, 87, 118, 121, 132
fibras
circulares, 88
meridionales, 88
circular, 326
coccígeo (isquiococcígeo), 263, 358, 359, 398, 402, 410, 411, 412
compresor uretra, 367, 370, 404
femenina, 356,
constrictor faringe
inferior, 27, 75-76, 80, 126, 233-234
porción cricofaríngea, 233, 234
medio, 27, 59, 75, 126, 235
porción glosofaríngea, 59
superior, 40, 52, 55, 59, 69, 75, 126, 235
porción glosofaringea, 59, 65
coracobraquial, 244-245, 429-430, 433, 435, 474
fascia, 428
inserción, 420
origen, 420
corrugador
ceja, 25, 36, 123
piel ano, 393
cremáster, 250-251, 259, 261, 390
origen
lateral, 259
medial, 259
cricoaritenoideo
lateral, 78, 80
acción, 78, 79
posterior, 78, 80, 235
acción, 79
cricofaríngeo, 75, 76, 80, 233, 234, 235
cricotiroideo, 126
acción, 79
porción
oblicua, 79
recta, 79
cuadrado
femoral, 492-493, 495, 503, 511, 538
inserciones, 489, 491, 515
nervio, 499, 503
lumbar, 176, 179, 263, 267, 329, 342, 496, 498
área, 330
fascia, 179
plantar, 534, 535, 541
cuádriceps femoral, 538
inserción, 490
ligamento rotuliano, 515
cuello
nervios, 129
visión
anterior, 28
lateral, 27
deltoides, 152, 174, 177, 188-189, 243-245, 423, 428-429
inserción, 420, 421
origen, 419, 420
depresor
ángulo boca, 54
labio inferior, 26, 54, 123
tabique nasal, 36, 123
digástrico, 29, 123
tendón intermedio, 59
asa fibrosa, 59
transparencia, 34
vientre
anterior, 27, 28, 29, 31, 32, 34, 46, 53, 61, 68
posterior, 27-29, 32, 34, 40, 59, 73
nervio, 25
dilatador pupila, 88, 121
dorsal ancho, 152, 174, 177, 179-181, 188, 246, 249-250, 258, 293, 424, 428, 433
fascia, 428
fascículo origen, 421
inserción, 420
origen costal, digitaciones, 254
dorso, 174-176
pie, 530
plano
intermedio, 175
profundo, 176
superficial, 174
duodeno, 279
elevador
ángulo boca, 54, 123
ano, 263, 284, 312
arco tendinoso, 263, 356, 357, 358, 359, 364, 365, 370, 379, 392
borde medial, 359
extensiones fibromusculares, 359
fibras músculo longitudinal conducto anal, 358
izquierdo, 356
lámina elevador, 356, 357
músculos prerrectales, 359
nervios, 267, 499
porción puborrectal, 391
costillas, 176
corto, 176
largo, 176
escápula, 27, 32, 174, 177, 189, 424, 427, 477
inserción, 421
nervios, 129
labio superior, 26, 54, 123

Músculo(s) *(cont.)*
y ala nariz, 26, 54, 123
párpado superior, 81, 83-84, 86, 121
imágenes coronales de TC, 151
inserción, 81
vaina fascial, 83
velo paladar, 47, 51, 55, 64-65, 67-68, 93, 126
fibras interdigitadas, 52
epicraneano, vientre
frontal, 26
occipital, 26
erector
columna, 152, 174, 175, 179, 180, 192, 243, 258, 293, 330, 331, 349
folículo piloso, 167
escaleno
anterior, 27, 30, 32, 74, 186, 189, 193, 198, 206, 211, 230, 427, 429
fascículos origen, 30
medio, 27, 30, 32, 69-70, 186, 189
nervios, 129
posterior, 27, 30, 186, 189, 232
fascículos origen, 30
esfínter
ano
externo, 356, 358, 360, 365
porción profunda, 394, 395, 396
porción superficial, 391, 393, 395, 396
subcutáneo, 391, 393, 395, 396
visión periférica, 395
interno, 393, 394
externo, 367
interno, 367
pupila, 132
uretra, 356, 359, 361, 365, 366, 378, 379, 383, 384, 385, 403, 416
uretrovaginal, 366, 370, 378, 379
esofágico, 202
circular, 75, 235, 236
longitudinal, 75, 235-236
tendón cricoesofágico, 235
espinoso, 175, 331
cuello, 175
tórax, 175
esplenio, 27
cabeza, 174-175, 178, 424
triángulo posterior cuello, 178
cuello, 175, 178
estapedio
nervio, 123
tendón, 93
esternal, inconstante, 188
esternocleidomastoideo, 27, 31-32, 34, 73-74, 127, 129, 174, 178, 188, 198, 247, 419, 424, 429
borde medial, 74
cabeza
clavicular, 27, 28, 181, 247
esternal, 27, 28, 181, 247
nervio accesorio, 127
origen, 419
esternohioideo, 27-29, 31-32, 53, 128-129, 189, 198
fascia cervical, 188
nervio, 71
origen, 419
esternotiroideo, 27-29, 31, 128-129, 198
nervio, 71
estilofaríngeo, 59, 65, 68, 125, 126, 235
estilogloso, 27, 32, 59, 60, 128
estilohioideo, 27-29, 34, 40, 59-61, 67-68, 123
nervio, 25
estómago, 277
extensor
corto
dedo gordo, 520, 530, 542
inervación, 542
tendón, 519, 531, 536
dedos, 520-521, 530-531, 542
inervación, 542
tendón, 519, 520, 531, 536
pulgar, 441, 443-445, 451
área, 439
tendón, 444, 469
cubital carpo, 418, 420, 432, 441, 444, 449, 451, 477
origen cubital, 451, 470
tendón, 444, 469, 470
dedo meñique, 420, 441, 444, 450-451
tendón, 420, 441, 444, 449, 470
dedos, 432, 441, 449-450, 477
bandas
centrales, 451
laterales, 451
surco, 439
tendón, 418, 441, 444, 445, 449, 469, 470, 471
índice, 441, 445, 449
surco, 439
tendón, 418, 441, 444, 469, 470
largo
dedo gordo, 519-522, 531
inervación, 542
inserciones, 515
tendón, 519, 520, 521, 530, 531, 536
tendón, vaina, 530
dedos, 494, 519-520, 522, 530-531, 542
inserciones, 515
tendón, 519, 520, 521, 530, 531, 536, 537
tendón, vaina, 530
pulgar, 418, 441, 444, 449
surco, 439
tendón, 418, 444, 462, 468, 469
radial
corto carpo, 418, 420, 444, 477
surco, 439
tendón, 444, 445, 469, 470
tendón, inserción, 420
largo carpo, 432, 435, 441, 444-446, 451, 477
origen, 439
surco, 439
tendón, 444, 469, 470
extraoculares, imagen sagital de RM, 149
extrínsecos ojo, 84
faciales, 26, 60, 123
visión lateral, 26
faringe, 65, 67-68
visión lateral, 68
flexor
corto
dedo gordo, 541
cabeza lateral, 533, 535
cabeza lateral, inserción, 536
cabeza medial, 533, 534, 535
cabeza medial, inserción, 536
inserción, 536
origen medial, 536
tendón, cabeza lateral y aductor dedo gordo, 528
tendón, origen lateral, 536
tendón, origen medial, 528
dedos, 533-535
tendón, 533, 534, 535
meñique o dedo pequeño, 465, 476, 533-534, 536, 541
ramo superficial nervio tibial, 541
tendón, 528
pulgar, 465, 476
cabeza profunda, 476
cabeza superficial, 476
cubital carpo, 418, 420, 444, 446-447, 476
origen
cubital, 451
humeral, 451
tendón, 418, 420, 448, 449, 454, 461, 465
largo
dedo gordo, 541
inervación, 541
inserción, 515
tendón, 516, 517, 518, 528, 533, 534, 535, 536
tendón, astrágalo, 523
tendón, surco, 523, 524, 525
dedos, 515, 535, 541
inervación, 541
tendón, 513, 516, 517, 528, 533, 534, 535
pulgar, 444, 446-450, 474
cabeza cubital, origen, 420
cabeza superficial, 443, 446
tendón, 446, 448, 449, 454
tendón, vaina tendinosa, 461, 462
vaina sinovial tendinosa, 460
vaina tendinosa, 460, 462
profundo dedos, 476
porción medial, 476
tendón, 460
radial carpo, 420, 433, 442, 446
tendón, 418, 420, 447, 448, 454, 460, 461
superficial dedos, 420, 433, 444, 446-451, 474-476
cabeza
humerocubital, 420
humerocubital, origen, 420
radial, 447, 448, 449, 450, 474
tendón, 418, 420, 446, 449, 454, 461, 462, 474
flexores
antebrazo, superficiales, 446
carpo, 442
dedos, 444
pierna

Músculo(s) *(cont.)*
profundos, 522
superficiales, 522
frontal, 36
gastrocnemio, 506-507, 516, 519-522, 540-541
bolsa
subcutánea, 511
subtendinosa lateral, 511
cabeza
lateral, 485, 495, 511, 515-518
inserciones, 491, 515
medial, 485, 491, 495, 502, 511, 517-518, 522
inserciones, 491, 515
inervación, 541
gemelo
inferior, 376, 495, 503
inserciones, 489, 491
nervio, 503
superior, 495, 499, 503
inserciones, 489, 491
genihioideo, 29, 53, 59, 128, 129
geniogloso, 29, 32, 59-60, 128-129
origen espina mentoniana superior, 52
glúteo
mayor, 152, 174, 177, 254, 330, 376, 381-382, 395-396, 410-411, 413, 485, 494-495, 502-504
inserciones, 491
medio, 152, 376, 492, 496, 500-503
aponeurosis glútea, 330, 494, 495
inserciones, 491
menor, 489, 495-496, 500-503
inserciones, 489, 491
tendón, 376
grácil, 489, 492-493, 495, 500-502, 505-506, 516
inervación, 540
inserciones, 489, 515
hiogloso, 27, 34, 53, 60, 74, 77, 128
medial vena lingual dorsal, 70
hipotenar, 444, 446, 462, 476
hombro, 424
iliaco, 263, 329, 376, 490, 496, 498-499, 538
inserción, 490
rama muscular, 498
iliococcígeo, 356, 357, 358, 359, 395
iliocostal, 175, 331
cuello, 175
lumbar, 175
tórax, 175
iliopsoas, 259, 376, 489, 492-493, 500
inserciones, 489, 491, 496
inervados por nervio
femoral, 538
obturador, 540
infraespinoso, 152, 180, 244-245, 424-425, 427-428, 432
fascia, 174
inserción, 421
origen, 421
infrahioideo, 29
acción, 29
fascia, 28, 428
intercostal, 198, 243-245, 331
anterior membrana intercostal externa, 189
externo, 176, 188, 189, 192, 250, 258
interno, 189, 192, 230, 231, 255, 258
íntimo, 180, 192, 258
rama
cutáneo anterior, 180
lateral, 188
medial, 188
intercostobraquial, 189
interespinoso
cervical, 176
cuello, 176
lumbar, 176
interóseo, 528
dorsal, 462, 465, 470, 476, 531, 536-537
primero, 445, 460, 465, 530
nervio tibial, 541
palmar, 465, 476
pie, 536-537
dorsal, 536
plantar, 535, 537
rama nervio tibial superficial, 541
intertransverso lateral, 176
intestino
delgado, 280
grueso, 284
intrínseco
acción, 79
laringe, 78
lengua, 128
isquiocavernoso, 360-361, 370, 378-379, 381-383, 391, 395, 404-405
pilar, 366
isquiococcígeo, 263, 356-357, 398, 402, 411-412, 499
nervio, 499
isquiocondíleo, 540
largo
cabeza, 27, 30
nervios, 129
cuello, 30
laringe, 78
lengua, 59, 60
longísimo, 175, 331
cabeza, 175, 178
cuello, 175
erector columna, 349
tórax, 175
longitudinal
esófago, inserción cricoidea, 65, 67
faringe, 235
intestino, 326
lengua
inferior, 60
superior, 60
rectal, 393
unión, 392, 394
rectal, 393
lumbrical, 465, 533-534, 536
cuarto, 460, 476
vaina fascial, 460
esquema, 463
inervación, 465, 541
primero, 541
rama profundo nervio tibial, 541
segundo, 460, 541
vaina fascial, 460
tendones, 535
tercero, 460, 476
vaina fascial, 460
y cuarto, 476, 541
vainas fasciales, 460
manguito rotador, 425
mano, 465
masetero, 25, 27-28, 47, 60-61
imagen axial
de RM, 150
de TC, 150
inserción, 54
porción
profunda, 54
superficial, 54
masticación, 54, 55
mentoniano, 26, 54, 123
miembro inferior, 485
milohioideo, 27-29, 31-32, 34, 53, 59-60
nervio, 55, 60
rafe medio, 53
multífido, 176
muslo, 492-495
nasal, 123
porción
alar, 26, 76
transversa, 26, 36
oblicuo
externo abdomen, 174-175, 177, 179, 182, 192, 247, 249-250, 259, 263, 330, 424, 492
aponeurosis, 250, 252, 259, 349
digitaciones, 254
porción
aponeurótica, 249
muscular, 249
sección transversal, 338
inferior, 121
cabeza, 175, 176, 178
interno abdomen
aponeurosis, 175, 179, 250, 252, 259, 261, 263, 330, 349
tendón origen, 179
triángulo lumbar, 174
superior, 83-84, 86, 118, 121
cabeza, 175, 176, 178
obturador
externo, 489, 493, 539
inserciones, 491
interno, 263, 376, 398, 411, 495, 499, 503
fascia obturador, 364, 392, 402, 411
inserciones, 489, 491
nervio, 499, 503
occipitofrontal, vientre
frontal, 123
occipital, 123, 178
omohioideo, 29, 31, 34-35, 53, 189, 198, 420, 424, 428-429
fascia
cervical, 188
músculos infrahioideos, 428
nervio, 32, 71
origen, 420
vientre
inferior, 1, 27, 29, 31, 32, 128, 129, 427
superior, 27, 28, 29, 31, 32, 128
oponente

Músculo(s) *(cont.)*
meñique, 465, 476
pulgar, 461, 465, 475
orbicular
boca, 26, 36, 54, 81, 123
ojo, 123
porción
orbitaria, 26
palpebral, 26
órbita, 48
palatofaríngeo, 52, 58, 59, 126, 235
palatogloso, 52, 58-59, 64, 126
arco palatogloso, 60
palmar
corto, 476
largo, 442, 446, 448, 450, 475
papilar
anterior, 220, 223-225
derecho, 224
izquierdo, 224
posterior, 220, 223, 225
derecho, 224
izquierdo, 224
septal, 220, 223, 224
pectinado, 220
pectíneo, 376, 489, 492-493, 500, 538
inserciones, 489, 491
pectoral, 189
mayor, 27-28, 181-182, 188, 192, 198, 243-247, 249-250, 418-419, 428
cabeza
clavicular, 181
esternocostal, 424
fascia, 26, 428
pectoral, 182
inserción, 420
origen, 419
porción abdominal, 424
tendón, 433
menor, 198, 243-245, 420, 428, 433
fascia, 428
clavipectoral, 188
inserción, 420
periné
fascia profunda, 356
transverso
profundo, 356, 360, 361, 381, 383, 404
superficial, 356, 380, 381, 382, 391, 404, 405
peroneo
corto, 530-531, 542
inervación, 542
inserciones, 515
tendón, 485, 516, 517, 518, 520, 521, 527, 528, 530, 536
largo, 485, 494, 515, 517, 519, 521-522, 542
inervación, 542
inserciones, 515
tendón, 485, 516-518, 520-521, 527-528, 530-531, 536
planta pie, 521
surco, 524
pie, 536
pierna
disección
intermedia, 517
profunda, 516, 520
visión posterior, 518
superficial, visión
anterior, 518, 519
posterior, 516
inserciones, 515
visión
anterior, 520
lateral, 521
posterior, 517
piramidal, 250, 260
piriforme, 263, 411, 489-490, 495, 503
nervio, 499
planta pie, capa muscular
primera, 533
segunda, 534
tercera, 535
plantar, 494-495, 511, 515, 540-541
inervación, 541
inserciones, 491, 515
platisma, 26, 28, 60, 124
popliteo, 491, 511, 515, 541
inserciones, 515, 541
nervio, 541
prevertebral, 30
prócer, 26, 36, 123
pronador
cuadrado, 40, 448, 449, 450, 465, 475
redondo, 420, 433, 440, 446-447
cabeza
cubital, 350, 420, 447, 448, 475
cubital, origen, 420
humeral, 420, 447, 450, 474, 475
humeral, origen, 420
psoas, 376, 496
imágenes axiales de TC, 350
mayor, 179, 267, 278, 329, 339, 342, 492, 498-499
área, 330
fascia, 179, 342
origen, 489, 496
porción inferior, 538
ramo articular, 538
menor, 263, 496
origen, 496
ramo muscular, 498
pterigoideo
lateral, 40, 54-55
imagen axial de RM, 150
medial, 15, 25, 40, 52, 55
nervio, 71
pubococcígeo, 357, 358, 359, 360
puborrectal, 356-359, 376, 398
izquierdo, 356
pupila
dilatador, 121
esfínter, 121
recto
abdomen, 189, 331
imágenes sagitales de RM, 397
cabeza
anterior, 32, 47, 73
lateral, 30, 32
nervio lateral, 129
nervios anterior y lateral, 129
posterior
mayor, 175, 176, 178
menor, 175, 176, 178
femoral, 376, 485, 489, 491-492, 494, 500, 538
inserciones, 490, 491
origen, 492
inferior, 83, 84, 121, 151
lateral, 83-84, 84, 86, 121, 151
imagen axial de RM, 150
tendón, 87
medial, 83
imagen axial de RM, 150
posterior
mayor cabeza, 175, 176, 178
menor cabeza, 175, 176, 178
superior, 83-84, 86, 91, 121
tendón, 91
rectococcígeo, 263
rectoperineal, 262
rectouretral superior, 359
redondo
mayor, 152, 174, 177, 180, 244-245, 424, 427-428, 433
borde inferior, 434
inserción, 420
menor, 174, 177, 243, 244, 245, 423, 424, 425, 427, 428
risorio, 26, 123
romboides, 244
mayor, 174, 177, 180, 192, 243, 245, 424
inserción, 421
menor, 174, 177, 424, 477
inserción, 421
rotadores cuello
corto, 176
largo, 176
salpingofaríngeo, 125
sartorio, 376, 485, 492, 495, 499-500, 538
inserciones, 490, 491, 515
semiespinoso
cabeza, 174-176, 178, 424
triángulo posterior cuello, 178
cuello, 178
tórax, 176
semimembranoso, 494-495, 540
expansión tendinosa, 511
inserciones, 491
semitendinoso, 489, 495, 503, 515, 540
inserciones, 489, 491
serrato
anterior, 174, 180-182, 186, 192, 243, 245-247, 249-250, 258, 418, 420, 424
digitaciones, 186, 188, 189
fascia, 428
inserción, 420
posterior, 174
inferior, 175, 179, 254, 330
superior, 174, 175
sóleo, 506, 516-517, 520-522, 540
arco tendinoso, 495, 517
inervación, 541
inserciones, 515, 517
nervio, 516, 517
subclavio, 186, 189, 230, 419, 428-429
fascia, 428
clavipectoral, 188
inserción, 419
nervio, 430
subcostal, 258

Músculo(s) *(cont.)*
subescapular, 180, 192, 243-245, 425, 428, 433
bolsa subtendinosa, 423
inserción, 420
origen, 420
supinador, 420, 440
inserción, 420
origen, 420
supraespinoso, 177, 423, 427-428
inserción, 420
origen, 420
suprahioideo, acción, 29
temporal, 54
imagen axial de RM, 150
inserción, 15, 54
nervios, 122
tenar, 446, 460
inervación, 460
nervio mediano, 476
tensor
fascia lata, 485, 492, 494, 503
inserciones, 491
origen, 492
tímpano, 93
tendón, 93
velo paladar, 52, 93, 122
tendón, 52
tercer peroneo, 530
inserciones, 515
tendón, 519, 521, 530, 531, 536
tibial posterior, 534, 541
inserción, 515
tendón, 535, 536
tiroaritenoideo, 78, 79, 80
tiroepiglótico, 80
tirohioideo, 27, 28, 29, 31, 32, 53, 128, 129
transverso
abdomen, 180, 192, 261, 362
tórax, 180, 189, 192, 194
transversoespinoso, 243
trapecio, 27, 29, 127, 129, 152, 174, 177, 180, 188, 192, 244, 246-247, 418-420, 428-429
inserción, 420
traqueal, 202
triceps braquial, 152, 429, 444, 446
cabeza
larga, 152, 243, 244, 418, 420, 424, 427, 433
lateral, 152, 181, 245, 418, 424, 427
tendón, 152, 438
úvula, 52
vasto
intermedio, 489, 493, 507, 538
inserciones, 489, 491
lateral, 485, 489, 491-494, 500, 507, 538
inserciones, 489, 491
medial, 485, 489, 492-493, 500, 538
inserciones, 489, 491, 538
nervio, 500
vocal, 78, 80
acción, 79
yugulodigástrico, 73
Muslo
arterias, 500, 501, 512
inervación cutánea, 538, 540
inserciones óseas, visión
anterior, 490
posterior, 491
músculos, visiones
anteriores, 491, 493
laterales, 494
posteriores, 495
nervio(s), 500-501, 538, 540
cutáneo
anterior, 545
lateral, 538
visión
anterior, 501
posterior, 502
secciones transversales seriadas, 505

N

Narina, 1
anterior, 1
posterior. V. *Coana*
Nariz. V. también *Cavidad nasal*
ala, 1
anatomía de superficie, 1
pilar
lateral, 36
medial, 36
sección transversal, 47
visión
anterolateral, 36
inferior, 36
Nasofaringe, 92
imagen sagital de RM, 149
vía aérea, 37
Nefrona
asa de Henle, 337
esquema, 336
Nervio(s)
abdominal, 258
abducens (VI), 83-84, 86, 114, 117-118, 121
distribución, 118
esquema, 118
abductor dedo gordo, 541
accesorio (XI), 34, 114, 116
esquema, 118, 127
núcleo espinal, 116, 117
raíces espinales, 10, 118, 127
raíz craneal, 126, 127
aferentes
boca y faringe, 62
estómago y duodeno, 321
nariz y senos, 210
alveolar, 53, 55, 122, 131, 134
inferior, 16, 40, 53, 55, 60, 131, 134
agujero mandibular, 46
ramo, 40
superior, 62, 71
anterior, 45
ramo nasal, 42
medio, 45
posterior, 44, 45
anal inferior, 410, 411, 414, 496, 503
anococcígeo, 411, 412, 499
antebrazo, 480
aórtico, 228
árbol traqueobronquial, 210
articular
mayor, 32
recurrente, 542
auricular, 122
anterior, 122
mayor, 21, 22, 24, 31, 32, 129, 177, 178
posterior, 25, 123
ramo occipital, 123
ramo articular, 122
auriculotemporal, 16, 24, 40, 55, 71, 122, 125, 134
autónomos
abdomen, 318
cabeza, 131
cavidad nasal, 44
cuello, 24
tórax, 209
axilar, 177, 425, 427, 429, 432, 476-477, 481
nervio cutáneo braquial lateral superior, 479
boca, 62
bucal, 24, 40, 46, 62, 71, 122
ramos, 25
cabeza y cuello, 224
cadera y nalga, 503
calcáneo
lateral, 534, 535
medial, 534, 535
cardiaco
cervical, 165-166, 209
inferior, 165, 226
medio, 165, 226
simpático y vagal, 226
superior, 69, 71, 165, 226
simpático cervical
inferior, 130, 226, 227
medio, 33, 130, 165, 226, 227
superior, 32, 60, 128, 130, 132, 133, 134, 165, 226, 227, 240
torácico, 193, 209
vagal cervical
inferior, 227
superior, 227
vago, 130
carotídeo (IX), 71
externo, 165, 167
interno, 130, 131, 133, 165, 167
carotidotimpánico, 123, 125
carpo, 461, 472
y mano, 473
cavernoso, 166, 410, 412
cavidad nasal, 42-44
cervical, 130-133, 134-135, 161
ramos, 25
superficial, 177
transverso, 24, 31, 71, 129
vértebras, 127, 161
cervicofacial, 25
ciático, 160, 495, 499, 503, 539-540
derecho, 376
división
peronea común, 499, 540
tibial, 499, 540
izquierdo, 376
músculos, 540
ramo articular, 502
ramos, 540
cigomático, 121

Nervio(s) *(cont.)*
cigomaticofacial, 24, 122
cigomaticotemporal, 24, 122
ciliar
corto, 86, 121, 122. 131, 132
largo, 86, 121, 122, 131, 132
clúneo
inferior, 177, 411, 413, 503, 540, 545
medio, 177, 502, 545
superior, 177, 254, 502, 545
coccígeo, 160-161, 499
vértebras, 161
coclear, 92, 95-97
distribución, 118
visión posteromedial, 95
columna vertebral y médula espinal, 173
corazón, 226, 227
craneal, 116, 130-133, 134-135
distribución motora y sensitiva, 118
núcleos
disección medial, 117
esquema, 116
visión posterior transparencia, 116
parálisis, 101
ramo comunicante, 45
vaina carotídea, 60
cuadrado plantar, 541
cubital, 429, 433, 444, 446-447, 454, 460, 465, 476
contribución inconstante, 476
inervación cutánea, 46
músculos inervados, 476
ramo
articular, 476
comunicante, 468
nervio mediano, 476
dorsal, 444, 446, 468-469
ramos digitales dorsales, 469
palmar, 447, 476
profundo, 447, 454, 465, 476
superficial, 447, 460, 476
ramos
digitales palmares propios, 469
dorsales, dorso falanges distal y media, 476
surco, 436
visión
anterior, 476
palmar, 476
posterior (dorsal), 476
cuello, 130
cuerda tímpano, 62, 71, 93, 94, 122, 123, 124, 131, 133, 134, 135, 165
cutáneo
antebraquial
lateral, 447, 469
medial, 429, 432, 469
posterior, 469
braquial lateral superior, 177
cabeza, 24
cuello, 24, 31
dorsal
lateral, 544
miembro inferior
intermedio, 540, 541, 542
lateral, 542, 545
medial, 541, 542
femoral
lateral, 329, 409, 499, 538, 539
posterior, 411
hombro y brazo, 479
perforante, 411, 413, 499
cadera, 503
miembro inferior, 545
sacro, 499
sural
lateral, 540-542, 545
ramo comunicante, 545
ramos, 544
medial, 540, 541, 545
ramo comunicante, 540
ramos articulares, 541, 542
dedos, 471
digital
palmar
común, 476
propio, 476
plantar común, 534, 541
digitales
dorsales, 468, 471, 475, 542, 544
laterales, 544
palmares
comunes, 476
cuarto y quinto dedos, 460
propios, 460, 471, 476
pulgar, 460
ramos dorsales, 468
plantares
comunes, 476, 541
propios, 535, 541
dorsal escápula, 429
dorso, 177
escrotal
anterior, 409
posterior, 411, 503
esófago, 240
espinal, 258
agujero intervertebral, 18
C1, 127, 133
raíces
dorsales, 114
ventrales, 114
ramo
dorsal, 178
ventral, 71
salida, 161
C2, 127, 133
ramo
dorsal, 177, 178
ventral, 32, 71, 177
C3, 19, 127
ramo
dorsal, 177, 178
ventral, 32, 71, 177, 178
C4, 127
C5, ramo ventral, 32
C8, 160
salida, 161
cervical, 127, 160
fibras
ascendentes, 345
descendentes, 345
L1, 160
ramo ventral, 177
L5, 160, 412
ramo anterior, 410
lumbar, 161, 179
origen, 170
raíces dorsal y ventral, 170
ramos dorsales, 177
origen, 170, 258
piel, vasos y glándulas, 325
raíz
dorsal, 180, 325, 327, 328, 345
ventral, 258
ramo
colateral, 258
comunicante, 258
cutáneo
anterior, 180
lateral, 258
dorsal, 169, 170, 258
meníngeo, 258, 325
ventral, 169, 258
ramos
cutáneos anteriores, 258
medulares segmentarios, 170
meníngeos recurrentes, 170
S1, 160, 410
ramo anterior, 414
S2, 160
S5, 160
surco, 19
T1, 132, 133, 134, 160
T10, 410
T11, 414
T12, 133, 160
ramo ventral, 254
T7, 414
ramo cutáneo
lateral, 254
medial, 254
torácico, 133, 160, 258
raíz
dorsal, 133
ventral, 133
espinales
cervicales, 160
C1, 160
salida, 161
C2, ramo dorsal, 177
C3, ramo dorsal, 177
C4, ramo dorsal, 177
C8, 160
salida, 160
ramos dorsales, 24, 32, 177
ramos cutáneos posteriores, 178
ramos mediales, 24
L1-3, ramos dorsales, 254
esplácnico
abdominopélvico, 228, 324, 325
cardiopulmonar, 228
lumbar, 160, 165, 318, 345, 409, 412
cuarto, 318
primero, 323
derecho, 346
izquierdo, 346
segundo, 344
superior, 415
pélvico, 166, 168, 323, 344, 345, 412, 499
sacro, 165, 273, 344, 412, 499
torácico, 346
imo, 209, 263, 267, 320, 322-325, 344-345, 409
derecho, 318, 320, 346

Nervio(s) *(cont.)*
izquierdo, 323, 346
mayor, 167, 209, 230, 240, 258, 263, 267, 320, 324, 327, 409
derecho, 194, 240, 318, 320, 321, 327, 328, 346
izquierdo, 194, 318, 321, 323, 327, 328, 346
menor, 165, 167, 209, 258, 263, 267, 318, 320-322, 324-325, 345, 409
derecho, 346
izquierdo, 318, 319, 323, 346
estómago y duodeno, 319, 320
etmoidal
anterior, 11, 43, 86, 121-122
ramos nasales
externos, 24, 122
internos laterales, 42, 43
internos mediales, 42
posterior, 11, 45, 86, 121, 122
facial (VII), 11, 34, 40, 62, 71, 92, 104, 114, 116-117, 122, 131, 133-135, 165-166
agujero estilomastoideo, 94
comunicaciones, 123, 125
distribución, 118
esquema, 118, 123, 124
intermedio, 133
núcleo motor, 123
raíz motora, 124
ramo marginal mandibular, 30
ramos, 25, 168
bucales, 123
cervicales, 123
cigomáticos, 123
temporales, 123
rodilla
(ganglio geniculado), 97, 123, 124, 125
interna, 117
tronco principal, 25
faríngeo, 133
femoral, 160, 259, 267, 376, 409, 496, 498, 500, 538, 546
cutáneo, 545
anterior, 538, 544
lateral, 267, 329, 496, 498, 500, 544, 565
posterior, 160, 177, 503, 540, 545, 546
ramo terminal, 544
ramos, 545
cutáneos anteriores, 409
fibras cocleares, 96
flexor corto dedos, 541
frénico, 30, 32, 74, 129-130, 189, 193, 198, 206, 210-211, 226, 230, 243, 429
anterior, 195, 321
derecho, 193, 194, 215, 244, 318, 327, 346
fibras aferentes y eferentes, 193
izquierdo, 193, 194, 215, 346
ramo pericárdico, 193
ramos frenicoabdominales, 193
frontal, 83, 86, 121, 122, 131
genitales externos, 409
masculinos, 409
genitofemoral, 329, 340, 409, 496, 498, 539
ramo
femoral, 267, 409, 498, 544
genital, 259, 261, 267, 409, 544
vasos testiculares y ramo genital, 259, 261
glándulas suprarrenales, 345, 346
glosofaríngeo, 34, 114, 116-118, 123, 125-126, 130-131, 133, 135-136
esquema, 118, 125, 134
ganglio inferior, 125, 135
ramo, 168
carotídeo, 34, 125, 126, 130, 131
timpánico, 10
ramos faríngeo, tonsilar y lingual, 125
glúteo
inferior, 160, 499, 503
superior, 160, 499, 503
hígado y tracto biliar, 327
hipogástrico, 165, 218, 324, 344-345, 409-410, 414-416
derecho, 318, 323, 412
inferior, 324
izquierdo, 318, 323, 412
pélvico, 414
superior, 345, 415
hipogloso, 10, 32, 34, 114, 117, 129, 344
distribución, 118
esquema, 118, 128
ramo meníngeo, 128
vena satélite, 59, 60, 70
hombro, 477
iliohipogástrico, 160, 177, 267, 329, 409, 496, 498, 539
esquema, 498
ramo
anterior, 257
cutáneo
anterior, 257, 267, 410
lateral, 545
genital, 409
ilioinguinal, 160, 257, 260, 267, 329-330, 340, 409, 414, 496, 498, 539-540, 544
esquema, 498
ramo labial anterior, 413
ramos escrotales, 267, 409, 544
anteriores, 267, 409
infraorbitario (V2), 24, 36, 44, 81, 83, 121-122
conducto infraorbitario, 45
ramos
alveolares superiores, 122
nasales internos, 122
infratroclear, 24, 36, 56, 81, 86, 122
nervio nasociliar, 45
intercostal, 160, 170, 180, 189, 192, 231
anterior, 258
octavo, 209
porciones abdominales, 188
posterior, 192, 230
primero, 227, 430
ramo ventral, 180
ramos cutáneos
anteriores, 177, 188, 192, 257
laterales, 177, 188, 189, 192, 257
séptimo derecho, 321
sexto, 165, 209
tercero, 240
unión ramo colateral, 258
intercostobraquial, 189, 257, 429, 474, 479, 481
intermedio, 104, 114, 118, 123, 124, 133, 135
interóseo
anterior, 448, 449, 475
pierna, 541
plantar, 537
posterior, 445, 449
intestino
delgado, 322, 324
grueso, 323, 324
intrínseco, páncreas, 328
labial, posterior, 413, 414
lagrimal, 83, 86, 121-122, 131
ramo
cutáneo, 45
palpebral, 82
laríngeo (X), 80
inferior
derecho anómalo, 80
izquierdo, 80
ramos anterior y posterior, 80
izquierdo, ramos anterior y posterior, 80
ramo
externo, 74
interno, 75, 235
recurrente, 33, 71, 76, 130, 206, 209-212, 226, 231-232, 240
derecho, 74, 75, 80, 226, 235, 240
izquierdo, 74, 75, 76, 126, 193, 210, 211, 243, 244
superior, 75-76, 80, 130-131, 235
ramo
externo, 75, 80, 126
interno, agujero, 78
interno, pliegue, 66
ramos internos, 62, 65, 71, 74, 75, 76, 78, 80, 126
lingual, 23, 40, 53, 55, 59-60, 122-123, 131, 133-135
profundo, 51
lumbar, 161
mandibular (V3), 11, 24, 46, 86, 122, 125, 131, 133-135
división
anterior, 46
posterior, 46
marginal, 25, 31
raíz
motora, 46
sensitiva, 46
ramo meníngeo, 10, 86
visión
lateral, 46
medial, 46
mano, 472
visión palmar, 466
masetérico, 40, 54, 55, 122
maxilar (V2), 45, 86, 121-122, 131, 133-135
ramo
faríngeo, 122
meníngeo, 86, 122
nasal, 122

Nervio(s) *(cont.)*
lateral superior posterior, 42, 43
ramos gingivales y dentarios, 45
mediano, 429, 433, 446-447, 454, 460, 465, 474-475
comunicante nervio cubital, 475
inervación cutánea, 475
porción interósea anterior, 476
ramo
articular, 475
comunicante nervio cubital, 476
palmar, 446, 447, 475, 481
recurrente, 474
músculos tenares, 460
ramos
digitales palmares, 473, 481
comunes, 460
propios, 469
músculos tenares y lumbricales, 465
túnel carpiano, 461
visión
anterior, 475
palmar, 475
posterior, 475
meningeo, 45
mentoniano, 24, 46, 71, 122
miembro
inferior, 544, 545
superior, 473, 479, 481
milohioideo, 16, 40, 46, 53, 122
musculocutáneo, 429-430, 433, 435, 447, 449, 474-475, 480
porción terminal, 446, 469, 479, 482
muslo, 500, 501, 540
nalga, 503
nasal
externo, 36
lateral inferior, 131
posterior, 131, 133
superior posterior, 131
nasociliar (V1), 83, 86, 121-122, 131-132
nervio infratroclear, 45
nasopalatino (V2), 10, 42-44, 62
comunicante nervio palatino mayor, 42
tabique, 43
obturador, 267, 340, 376, 498-499, 538-540
accesorio, 267, 498
articulación rodilla, 539
ramo
articular, 539
cutáneo, 539
posterior, 539
ramos cutáneos, 501, 544, 545
occipital
mayor, 24, 177-178
ramo dorsal C2, 129
menor, 32, 129, 177, 178
tercero, 24, 177, 178
oculomotor (III), 84, 86, 101, 114, 116-117, 166
distribución, 118
división
inferior, 118, 121
superior, 118, 121
esquema, 118
ramo, 168
inferior, 83, 86
superior, 83, 86
oftálmico (V1), 24, 45, 121-123, 133-135
ramo tentorial, 86, 122
ramos
lagrimal, frontal y nasociliar, 11
nasales
externos, 122
internos, 122
olfatorio (I), 119
distribución, 118
esquema, 118, 119
fibras, 118, 119
haces, 11
óptico (II), 83, 86-87, 90, 106-107, 113, 132, 143-144
distribución, 118
imagen sagital de RM, 149
imágenes coronales de TC, 151
vaina
externa, 91
interna, 91
vasos, 91
vía visual, 120
palatino
comunicante nervio nasopalatino, 42
descendente, 133
mayor, 11, 42, 43, 44, 45, 52, 62, 122, 131, 133
menor, 42, 43, 45, 52, 62, 122, 131, 133
ramo nasal posterior inferior lateral, 42, 43
palpebral, 24
páncreas, 328
parasimpático, árbol traqueobronquial, 210
pared abdominal, 267
pectoral
lateral, 188, 428, 430
medial, 188, 428, 429, 430
medio, 428
periné
masculino, 411
y genitales externos femeninos, 413
perineal, 410-411, 413, 503
conducto pudendo, 392
profundo, 411, 413, 530
ramo lateral, 530, 531
ramos
labiales y escrotales posteriores, 499
profundos, 411
superficiales, 411
superficial, 411, 413
varón, 411
peroneo
común, 495, 499, 505-508, 518-521, 540-542, 544-545
músculos inervados, 542
profundo, 520, 522, 530, 542
ramo
digital dorsal, 544
lateral, 520, 542
medial, 519, 520, 530, 531, 542
ramos digitales dorsales, 520, 530, 531, 544
ramo articular, 540, 541
superficial, 519-521, 530-531, 542
ramo cutáneo dorsal
intermedio, 544
medial, 544
ramos digitales dorsales, 530
petroso
mayor, 86, 123-125, 131, 133, 135
hiato, 11
surco, 9, 97
menor, 86, 93, 122-123, 125, 134
hiato, 11
surco, 9
profundo, 123, 125, 131, 133
plantar
lateral, 534-535, 540-541
ramo superficial, 535
ramos
cutáneos, 535
cutáneos plantares, 545
digitales plantares propios, 533, 534, 535
profundos, 535
medial, 534, 540
ramo
profundo, 534, 535
superficial, 534
ramos
cutáneos plantares, 535, 545
digitales plantares propios, 533, 534, 535
pterigoideo
lateral, 46, 122
medial, 46, 122
pudendo, 160, 267, 410-412, 415-417, 499-500, 503
bloqueo, 413
interno, 392
radial, 429-430, 432, 435, 447-448, 474-475, 477
brazo, 477
cutáneo posterior, 469, 473, 481
lateral inferior, 481
ramo, 469
comunicante, 468
digital dorsal, 473, 481
profundo, 445, 447, 449, 474
superficial, 444, 447, 449, 468-469, 473-474, 480-481
ramo digital dorsal, 469
rectal
inferior, 411, 503
superior, 503
riñones y uréteres, 344, 345
sacro, 161
ramo perineal, 499
vértebras, 161
safeno, 500, 538, 544
ramo infrarrotuliano, 500, 538
ramos, 538, 545
simpáticos torácicos, 130
subcostal, 160, 267, 409, 498
derecho, 329
ramo cutáneo
femoral lateral, 544
lateral, 267
subescapular
inferior, 429, 430, 477
superior, 429, 430
sublingual, 46
suboccipital, 21, 178
supraclavicular, 24, 31

Nervio(s) *(cont.)*
intermedio, 129, 479
lateral, 129, 479
medial, 129, 479
supraescapular, 429
supraorbitario, 24, 36, 81, 122
ramos, 86
medial y lateral, 86
supratroclear, 81, 122
sural, 534, 540-541, 545
ramo calcáneo
lateral, 541
medial, 541
ramos calcáneo lateral y cutáneo dorsal lateral, 541
temporal
esquema, 122
profundo, 122
anterior, 40
posterior, 40
ramos, 122
tensor
tímpano, 122
velo paladar, 55
tibial, 495, 540-541
músculos inervados, 541
plantar
lateral, 541
medial, 541
posterior, 534
ramo calcáneo medial, 533, 535, 540, 541, 545
ramos articulares, 540
timpánico, 93, 123, 125, 134
torácico, 161
largo, 188, 189, 192
ramo dorsal, 192
toracoabdominal, ramo cutáneo, 188
trigémino, 24, 97, 114, 116-117, 122, 133-135, 144
división
maxilar, 24
oftálmica, 24
esquema, 122
ganglio, 131
núcleo
espinal, 116, 117, 122, 125, 126
mesencefálico, 116, 117
motor, 116, 117, 122, 135
sensitivo, 117
principal, 116, 122
raíz
motora, 131
sensitiva, 118, 131
ramos
parotídeos, 122
superficiales, 122
tracto espinal, 117, 126
troclear (IV), 83-84, 86, 114, 116, 121
esquema, 186
uretérico medio, 344
vago (X), 3, 34, 74-76, 114, 116-118, 125-127, 130-131, 135, 206, 209-211, 325, 345
colinérgico, 210
comunicación, 32
derecho, 75, 80, 193, 226, 230
distribución, 118
esquema, 118, 126
ganglio
inferior, 126, 127, 128, 135
superior, 126, 127
izquierdo, 243, 244
núcleo, 324
posterior, 116, 117, 126, 324, 345
ramo
auricular, 10, 24, 126
cardíaco, 209
cervical inferior, 126
cervical superior, 126, 130, 131
torácico, 126, 226
celíaco, 321
comunicante, 126
faríngeo, 125, 126, 130
meníngeo, 126
plexo pulmonar, 209
vasos sanguíneos, 228
vejiga urinaria, 344
vestibular, 95, 97, 124
inferior, 95, 97, 124
superior, 95, 124
vestibulococlear (VIII), 92, 95, 97, 114, 116-117, 131
esquema, 116, 118, 124
vidiano, 122
visceral torácico, 165
vísceras pélvicas
femeninas, 412
masculinas, 410
Neumotórax, tubo drenaje, 190
Neurohipófisis, 140, 147, 148
Neurovasculatura
brazo, 435
miembro inferior, 538-546
Nodulillo
fibroso (de Albini), 223
linfático
agregado, 283
íleon, 280
yeyuno, 280
Nódulo(s)
apendiculares, 317
atrioventricular, 22, 218, 225
cerebelo, 144
cístico (de Calot), 315
codo, 483
de Albini. V. *Nodulillo fibroso (de Albini)*
de Cloquet, 266, 408
de Rosenmüller, 266
deltopectoral, 483
epicólicos, 317
presinfisario, 408
subparotídeo, 72
vermis inferior, 113
yuguloomohioideo, 73
Nódulo(s) linfático(s)
aórtico, 266
lateral, 266, 343, 406
axilares, 428
apicales, 184
braquiales, 184
centrales, 184, 428
laterales, 483
vena axilar, 483
pectorales, 184, 428
sección parasagital, 428
subescapulares, 184
vena axilar, 484
broncopulmonares, 199, 208, 230, 231
buccinador, 72
cabeza y cuello, 72
celíaco, 266, 314, 315
cervical, 72-73, 208
cadena transversa, 72
lateral
profundo, 73
inferior, 72
superior, 72
superior, 72
profundo
anterior, 72
inferior, 72, 208
superficial
anterior, 72
lateral posterior, 72
codo, 483, 484
cólicos
derechos, 317
izquierdos, 317
medios, 317
deltopectoral, 483, 484
epigástricos inferiores, 266
esplénicos, 314, 315
esternocleidomastoideo, 72
estómago, 314
facial, 72
faringe y lengua, 73
frénicos inferiores, 184, 266
gástricos, 314, 315
gastroomentales
derechos, 314
izquierdos, 314
glándula mamaria, 184
hepáticos, 314, 315
ileocólicos, 317
ilíacos
comunes, 266, 317, 343, 408
externos, 266, 317, 343, 408, 546
mediales, 406
vías linfáticas, 408
internos, 266, 317, 343, 408
laterales, 406
inguinales
horizontales, 266
inferiores, 266
superficiales, 407
profundos, 266, 406, 407, 408, 546
superficiales, 266, 317, 406, 407, 408, 546
superolaterales, 407
superomediales, 407
intercalado, 73
intercostales, 266
interpectorales (de Rotter), 184
intestino
delgado, 316
grueso, 317
lumbares, 266
mandibular, 72
mediastínico, 184, 243
posterior, 266
vía anterior, 184
mesentéricos, 315
inferior, 266, 317
superior, 266, 314, 317, 321
miembro

Nódulo(s) linfático(s) *(cont.)*
inferior, 546
superior, 483
nasolabial, 72
obturador, 406
occipital, 72
pancreáticos, superiores, 314
derecho, 314
izquierdo, 314
pancreatoduodenales, 315
paracólicos, 317
paraesternales, 184
paratraqueales
derechos, 208
izquierdos, 208
pared abdominal posterior, 266
parotídeos
profundos, 72
superficiales, 72
pelvis y genitales, 408
femeninos, 406
masculinos, 408
perianal, 317
periné femenino, 407
pilóricos, 315
poplíteos, 546
poscava, laterales, 343
preaórticos, 317, 408
precava, lateral, 343
prececales, 317
pretraqueal, 74
prevesical lateral, 343
promontorio, 343, 408
pulmonares, 208
rectales, 317
medio, 317
superior, 317
retrofaringeos, 73
retropilóricos, 314
riñones y vejiga urinaria, 343
sacros
lateral, 266, 408
medio, 266, 408
sigmoideos, 317
sinoatriales, 225
subclavio, 184
submandibulares, 60, 73
submentoniano, 73
subpilóricos, 314
suprapilóricos, 314
traqueobronquiales, 244, 266
inferior, 245
superior, 244
viscerales
celíaco, 266
mesentérico
inferior, 266
superior, 266
Núcleo
abducens, 116, 117, 121
accesorio oculomotor, 116, 117, 121, 132
ambiguo, 117, 126
arqueado, 147
basal, organización, 110
caudado, 141
cabeza, 110, 111, 112, 145
cola, 108, 110, 112
cuerpo, 108, 110
tálamo, 110
vena
anterior, 145, 146
posterior, 145
terminal, 146
venas transversas, 145, 146
cerebeloso, 113
dentado, 113
emboliforme, 113
fastigio, 113
globoso, 113
coclear, anterior y posterior, 116, 117, 124
craneales tronco encéfalo, esquema, 117
de Edinger-Westphal, 116, 117, 132
dentado, 108, 112, 119
dorsal vago, 116
dorsomedial, 147
facial, 116, 117
geniculado, lateral dorsal
derecho, 120
izquierdo, 120
hipogloso, 116, 128
trígono hipogloso, 115
infundibular, 147
intermediolateral, 133-134
cuerpos células simpáticas preganglionares, 132
intralaminares, 111
lentiforme, 108, 141
globo pálido, 110
putamen, 110
tálamo, 110
oculomotor, 116-117, 121, 437-438, 441, 444
accesorio, 132
olfatorio anterior, 119
paraventricular, 147
pulposo, 155, 162
lumbar, 19
hernia, 161
reticular, 111
rojo, 107, 116, 117
salivatorio
inferior, 116, 117, 125, 134
superior, 116, 117, 123, 133
supraóptico, 147
tracto solitario, 116, 117, 123, 125, 126, 135, 345
trigémino, 122
troclear, 117
ventromedial, 147
vestibular, 116, 124
esquema, 124

O

Óbex, 115
Oído, 93
externo
sección coronal oblicua, 93
visión superolateral, 93
laberintos óseo y membranoso, 95
sección coronal oblicua media, 93
Ojo, 168
arteria y vena muscular, 90
arterias y venas intrínsecas, 90
cámaras anterior y posterior, 88
imágenes
axial de RM, 150
axiales de TC, 150
coronales de TC, 151
músculos
externos, 90
extrínsecos, 84, 90
vascularización, 91
Olécranon, 436
Oliva, 114, 117
Ombligo, 247, 305, 312
membrana timpano, 93, 96
Omento
mayor, 269, 271, 273, 284, 288, 339
láminas
anteriores, 294, 319
posteriores, 319
unión vasos gastroomentales, 274
menor, 273, 275, 288
borde libre derecho, 278, 279, 298
lámina
anterior, 319
posterior, 319
unión arteria gástrica, 274
vasos sanguíneos borde derecho, 348
Opérculo
frontal, 105
orbitario, 105
parietal, 105
Ora serrata, 87, 89, 90
Orbículo ciliar, 89
Órbita
arterias y venas, 85
crecimiento, 50
disección lateral, 49
fascia, 85
grasa, 48, 83
imagen axial de RM, 150
inserciones musculares, vasos y nervios, 83
nervios, 86
pared medial, 48
visión lateral, frontal derecha, 2
Oreja, 92, 97
anatomía de superficie, 1
cara posteromedial, 24
concha, 93
lobulillo, 1, 93
Orejuela, atrio
derecho, 93, 212, 214, 219, 220, 224
izquierdo, 212, 213, 215, 216, 224, 225
Órgano
espiral (de Corti), 92, 96
pelvis femenina, arterias y venas, 400
reproductores
femeninos, inervación, 415
masculinos, inervación, 415
Orificio
cardíaco, 276
epiploico, 331. V. también *Orificio omental*
ileal, 284
fibras musculares, 282
papilar, 282
omental (de Winslow), 272-273, 275, 288, 331
sonda, 272

Orificio *(cont.)*
pelvis, radiografía, 355
píloro, 276, 279
ureteral, 384
derecho, 366
izquierdo, 366
uretral, 388
externo, 360-361, 377, 379, 382, 385, 388
femenino, 395
útero, 371
vaginal, 388
Orofaringe, 233
visión posterior abierta, 66
Ovario, 340, 360, 362, 369-370, 389, 410, 412, 415
derecho, 372
ligamento, 360, 362, 369-371
suspensorio, 360, 362, 369-372, 389, 400
vasos ováricos, 364

P

Paladar
blando, 37, 39, 51, 63, 64, 66
crecimiento, 50
duro, 48, 63, 64
fibras postsinápticas, vasos y glándulas, 44
Páncreas, 126, 167, 179, 273, 290, 297, 347
ácinos, 298
áreas comunes dolor, 328
arterias, 301
cabeza, 272, 278-279, 294, 298, 304, 338
arterias, 304
cola, 272, 298-299, 329
arteria, 301
cuello, 298
cuerpo, 272
in situ, 347
inervación, 168, 328
proceso uniforme, 298, 339
sección transversal, 297
vasos y nódulos linfáticos, 315
venas, 309
visión
anterior, 315
posterior, 304, 315
Papila(s)
circunvaladas, 58, 135
dientes, 57
duodenal
mayor (de Vater), 279, 294, 295
menor, 279
fibras musculares, 282
filiformes, 58
foliadas, 58, 135
fungiforme, 58, 135
ileal, 282
incisiva, 52
lagrimal
inferior, 81, 82
superior, 81, 82
parotidea, 51
renal, 336
Paradídimo, 389
Pared
abdominal
anterior, 249, 265
arterias, 255, 263
nervios, 267
peritoneo, 274
vasos y nódulos linfáticos, 263
venas, 265
visión interna, 263
disección
intermedia, 251
superficial, 249
nervios, 257
posterior
arterias, 264
nervios, 267
pentoneo, 274
vasos y nódulos linfáticos, 266
venas, 265
visión interna, 263
posterolateral, 254
sección (sagital) media, 348
venas, 255
visión interna, 253
duodeno
capa muscular
circular, 279
longitudinal, 279
submucosa, 279
torácica, anterior, 188-189
vagina, 370, 373
Parénquima
renal, 334
vasos sanguíneos, 337
Párpados, 81
arterias y venas, 85
tarso, 83
Pata ganso, 489, 492-493
inserciones, 489, 515
Pecten, 393
pubis, 248, 486
Pedículo lumbar, 155
Pedúnculo
cerebeloso
inferior, 113, 144
medio, 113, 114, 144
plano superior, 113
superior, 113-115, 144
decusación, 113
cerebral, 106, 115
Pelvis, 351
diferencias sexo, 354
falsa, 351, 362
fascias arco tendinoso, 372
femenina, 356
arterias y venas, 402
contenido, 360
estructuras, 370-375
imágenes sagitales de RM, 397
nódulos y vasos linfáticos, 407
radiografía, 355
huesos y ligamentos, 352-353
línea terminal, 362, 364
masculina, 354
anatomía de superficie, 351
arterias y venas, 401, 403, 405
contenido, 363, 387
estructuras, 380-387
imágenes sagitales de RM, 397
nódulos y vasos linfáticos, 408
radiografía, 355
renal, 339
sección medial, 352
verdadera, 352
vísceras, nervios, 412
visión
anterior, 352
lateral, 352
posterior, 352
Pene
arterias
dorsales, 381, 383, 401
profundas, 381, 383, 385, 404
pudenda interna, 383
bulbo, 382-383, 385
arteria, 383, 405
cuerpo, 351, 388
desarrollo fetal, 388
fascia
profunda, 361, 380, 381, 382, 385, 387, 401, 403, 405
superficial, 249, 250, 381, 382, 387
frenillo, 382
glande, 351, 361, 382, 385, 388
corona, 382
cuello, 382
imágenes sagitales de RM, 397
ligamento
fundiforme, 259, 361
suspensorio, 250, 361
nervio dorsal, 411
nervios
cavernosos, 410, 412
dorsales, 381, 383, 405, 409, 410, 411, 416, 503
piel, 380, 381, 382, 387
pilar, 360, 366, 385
rafe, 388
sección cuerpo, 381
vena
dorsal profunda, 249
lateral superficial, 381
venas dorsales
profundas, 359, 361, 381, 383, 401, 403, 405
hiato, 358
superficiales, 351, 381, 403
Pericardio, 211, 215, 233
área desnuda, 196
fibroso, 198, 230
atrio derecho, 230
línea fusión diafragma, 211
porción
diafragmática, 215
esternocostal, 215
mediastínica, 194
reflexión, 214, 220-221
grandes vasos, 212
Pericráneo, 102
Periné, 347
absceso, 396
femenino, 360, 377, 395
arterias y venas, 404
disección superficial, 378
estructuras, 371-375
nervios, 413
profundo, 379

Periné *(cont.)*
vasos y nódulos linfáticos, 407
fibras interdigitadas, 357
masculino, 361
anatomía de superficie, 351
arterias y venas, 405
disección
profunda, 381
superficial, 380
estructuras, 380-387
nervios, 411
sección frontal, visión anterior, 383
Periodonto, 57
Periórbita, 83
Periostio
alveolar, 57
mandibular o maxilar, 57
Peritoneo, 179, 236, 252, 261, 284, 322, 329, 342, 412
mujer, 365-366, 378, 400, 412
espacios potenciales, 364
inferior, 415
pared abdominal posterior, 274
parietal, 271, 273, 331, 348, 362-363, 373
nervio frénico, 327
pared
abdominal anterior, 348
posterior bolsa omental, 331
suelo fosa pararrectal, 392
varón, 361, 366
inferior, 415
visceral, 273, 326
Peroné, 513, 517, 530
borde
anterior, 513
interóseo, 513, 514
cabeza, 492-494, 511, 513-515, 518, 520-521, 542
ligamento
anterior, 514
posterior, 514
radiografía, 510
anteroposterior, 510
cara
articular superior, 513
lateral, 413, 514
medial, 513
cóndilo lateral, 514
cresta medial, 514
cuello, 513
intercondíleo anterior, 514
radiografía, 510
sección transversal, 514
tobillo, 525, 527, 531
tróclea, 522
vértice, 513, 514
visión
anterior, 513-514
inserciones ligamentosas, 514
posterior, 513
superior, 513
Pestañas, 81
Pezón, 181-182
derecho, 196
izquierdo, 196
Piamadre, 91, 99, 102
médula espinal, 169
torácica, 170
Piamadre-aracnoides, 91
Pie
arterias, 536
profundas, 536
cara plantar, 485
derecho, visión
lateral, 527
medial, 527
dorso
disección profunda, 530, 531
músculos, 530
hipocampo, 111, 112
huesos, 523, 524, 525
inversión y eversión, 543
ligamentos y tendones, 527
visión plantar 528
músculos interóseos, 530, 536
nervio cutáneo dorsal lateral, 530
pedúnculo cerebral, 107, 113, 114, 139, 145
planta
disección superficial, 532
músculos, 533, 534, 535
tendón largo fibroso, 521
tendones, visión plantar, 528
visión
dorsal, 536
plantar, 485
Piel
perianal, 393-394
glándulas sudoríparas y pelo, 393
vaina recto, 252
Pierna
anatomía de superficie, 485
compartimientos fasciales, 522
anterior, 522
lateral, 522
posterior superior, 522
derecha, huesos, 513
fascia profunda, 522, 544, 546
compartimiento posterior, 522
inervación, 538, 539
membrana interósea, 522
músculos
disección
profunda, 518, 520
superficial, 516
inserciones, 515
visión
anterior, 519, 520
lateral, 521
posterior, 516, 517
nervio interóseo, 541
nervios cutáneos mediales, 538
sección transversal, 522
tabique intermuscular
anterior, 522
posterior, 522
transverso, 522
Píloro, 275-276, 278-279
radiografía bario, 279
sección transversal, 297
Pirámide
decusación, 114, 144
vermis
cerebelo, 115
inferior, 113
Pisiforme, 442, 446-447, 454, 456, 460, 465
radiografía, 457
Placa epifisaria, 504
Placas de Peyer, 280
Plano
interespinoso, 268
intertubercular, 268
lateral recto, 268
derecho, 268
izquierdo, 268
semilunar, 286
subcostal, 268
transpilórico, 268
Planta (pie)
inervación cutánea, 541
planos musculares, 532, 533, 535
Pleura, 331
abdominal, 349
costal, 231, 232
cúpula, 74
mediastínica, 194
nervios espinales, 170
parietal, 206
cervical, 196, 197, 230
costal, 194, 198, 206, 211, 230
borde
derecho, 197
izquierdo, 197
porción
diafragmática, 193, 194, 198, 206, 211
mediastínica, 193, 194, 198, 206, 211, 215, 230
torácica, 170
visceral, 205
Plexo
acromial, 427
aórtico, 321-322, 412
abdominal. V. *Plexo intermesentérico*
torácico, 209
apendicular, 322, 323
autónomo carotídeo, 10
braquial, 27, 30-32, 129, 160, 183, 189, 193, 198, 206, 211, 228, 230-232, 428-429
comunicación, 129
divisiones anterior y posterior, 430
esquema, 430
fascículos
lateral, 428, 433
medial, 428
posterior, 428
medial, 428, 433
posterior, 428
raíces, 430
ramos terminales, 430
troncos, 430
capilar, 148, 205
cortical, 337
medular, 337
cardíaco, 126, 165, 209, 226, 227, 240
carotídeo, 86, 121, 131, 209, 226
común, 130, 131
externo, 130, 133, 167
interno 86, 123, 132, 165, 167
cavernoso, 121
cecal, 323
celíaco, 126, 165-166, 240, 319-320, 322-323, 344-346, 410, 415
ramo vagal, 240

Plexo *(cont.)*
tronco vagal posterior, 240
cervical, 160, 177-178, 481
asa cervical, 32, 128
esquema, 32, 129
in situ, 32
nervios supraclaviculares, 479
ramos, 24
coccígeo, 499
esquema, 499
cólico
derecho, 275, 322, 323
izquierdo, 278, 284, 318, 323
medio, 322, 323
conducto deferente, 409, 415
coroideo, 111-112, 145
cuarto ventrículo, 106, 108, 109, 114, 115
tercer ventrículo, 106, 108, 109
ventrículo lateral, 108, 109, 110, 143, 145
de Auerbach. V. *Plexo mientérico (de Auerbach)*
de Meissner. V. *Plexo submucoso (de Meissner)*
dentario
inferior, 122
superior, 122
esofágico, 126, 165-166, 206, 209, 230-232, 241, 321
anterior, 240
porción posterior, 240
ramos simpáticos, 209, 240
esplénico, 318, 319, 320
facial, 131
faríngeo, 62, 71, 125, 126, 130, 131
frénico, 410
inferior, 318
derecho, 319, 320, 323, 346
izquierdo, 319, 320, 323, 346
gástrico, 410
derecho, 319, 320, 322
izquierdo, 318, 319, 320, 322, 323
gastroduodenal, 320, 322, 327
hepático, 126, 319-320, 322
anterior, 327
común, 318
posterior, 327
ramos, 319
cardías, 320
pilóricos, 126
vago, 319
hipogástrico
asas periureterales, 344
derecho, 323
inferior, 165, 166, 168, 323, 324, 344, 345, 409, 412, 499
ramo parasimpático, 165
superior, 165, 318, 323, 324, 345, 409, 412
ileocólico, 322, 323
ilíaco
común, 412
izquierdo, 317
externo, 318, 412
interno, 318, 412
derecho, 323
intermesentérico, 267, 318, 322-324, 344-345, 412
ramos renal y uretérico superior, 344
intramuscular longitudinal, 326
linfático
prevesical, 408
subpleural, 208
lumbar, 160, 496, 498, 538-539
ramos musculares, 267
marginal, 323
maxilar, 131
meníngeo medio, 131
mesentérico
inferior, 165, 318, 323
superior, 165, 166, 318, 319, 320, 322, 328
mientérico (de Auerbach), 326
nervioso
hepático, 349
rotuliano, 544
ovárico, 344, 412, 415
derecho, 318
pampiniforme, 256
venoso, 401, 403
pancreatoduodenal inferior, 322, 323
pélvico, 412
periglandular, 326
perivascular nervio espinal, 322
pial, 171
arterial, 173
ramas periféricas, 173
venoso, 173
prevesical, 408
prostático, 165, 344, 416
pterigoideo, 70, 85
nervio facial profundo, 23
pulmonar, 126, 165-166, 168, 210
anterior, 209
posterior, 209
rectal, 323, 344, 412
comunicación perimuscular e interno, 399
medio, 323
superior, 318, 323
rectosigmoideo, 323
renal, 344-345
derecho, 318, 346
izquierdo, 323, 346
sacro, 160, 177, 267, 344-345, 415-416, 499
derecho, 323
izquierdo, 318
sigmoideo, 323
submucoso (de Meissner), 326
subseroso, 326
subtrapecio, 177
suprarrenal
derecho, 318
izquierdo, 323
testicular, 409, 416
derecho, 318
timpánico, 93, 123, 125, 132, 134
ramo tubárico, 125
uretérico, 410
derecho, 318
venoso, 372
areolar, 256
basilar, 103
perianal
externo, 392
interno, 392
prostático, 403
rectal, 399
comunicación externa e interna, 399
externo, 311, 393, 394, 399
interno, 393, 394, 399
perimuscular, 311, 399
retropúbico, 365
uterino, 399
uterovaginal, 412
vaginal, 398
vertebral, 10, 137
externo, 173
interno, 170, 173
vesical, 366, 403
espacio retropúbico, 361
vertebral, 130
vesical, 323, 344, 412
Pliegue(s)
alar, 507
aritenoepiglótico, 66, 67, 78
axilar, 181
anterior, 181
posterior, 181
cecal, 281, 362, 363
digitales, 418
duodenal
inferior, 278
superior, 270
faringoepiglótico, 235
fibras, 65
fimbriado, 51
gástricos, 236, 276
gastropancreático, 272
glosoepiglótico
lateral, 58
medio, 58
glúteo, 152
ileal, 311, 313
ileocecal, 281
inguinal, 389
maleolar
anterior, 93
posterior, 93
palatinos transversos, 52
peritoneal
arteria hepática, 272
vasos testiculares, 363
rectouterino (uterosacro), 362, 392, 369
sacrogenital, 340
semilunar, 81, 82, 284
sinovial infrarrotuliano, 507, 508
sublingual, 51
orificios sublinguales, 51
uretérico, 362, 363, 369
uretral, 388
parcialmente fusionado, 388
urogenital, 388
vesical transverso, 372
vesicosacro, 363
Polo
frontal, 105
imagen sagital de RM, 149
occipital, 105
imagen sagital de RM, 149
Porción
distal, 147
flácida, 93
interarticular, 155

Porción *(cont.)*
intermedia, 147
tensa, 93
tuberal, 147
Poros de Kohn, 204
Porta hepático, 287
Precuña, 106
Premolares, 56, 57
Prepucio, 388
clítoris, 388
localización, 388
futuro origen, 388
pene, 361
Proceso
axilar (de Spence), 182, 183
ciliar, 87, 88, 89
infundibular, 147
plexo capilar, 148
Prominencia
esofágica pericardial, 215
laríngea, 77
Promontorio, 92-93
sacro, 248, 412
Próstata, 167, 384
aporte arterial, 403
banda músculo esquelético, 384
cápsula, 361, 366, 384
drenaje linfático, 408
estroma fibromuscular, 384
imágenes sagitales de RM, 397
inervación, 168
lóbulo
inferolateral, 384
inferoposterior, 384
istmo, 384
lateral hiperplásico, 403
medio, 384
hiperplásico, 403
músculo esfínter uretra, visión anterior, 359
primordio, 389
uretra prostática, 376
Protrusión disco lumbar, 161
Protuberancia
mentoniana, 1
occipital
externa, 14, 152
interna, 9
Pterión, 4
Pubis, 348, 357, 383
cara sinfisaria, 412
cuerpo, 376
radiografía, 355
anteroposterior, 488
rama superior, 488, 493
Puente, 106, 114, 134-135
imagen
axial de RM, 150
sagital de RM, 149
Pulgar
falange distal, 457
inervación, 460
nervios digitales palmares propios, 460
Pulmones, 167-168, 170, 342
área
esófago, 196
tráquea, 196
borde
anterior, 196
inferior, 196
cara diafragmática, 196
derecho, 193, 196-198, 211, 243-245
lóbulo
inferior, 201, 293
medio, 201
superior, 201
segmentos broncopulmonares, 200, 201
visión medial, 199
escotadura cardíaca, 196, 198
fisura
horizontal, 196, 197, 198
oblicua, 196, 197
grandes vasos, 206
hilio, 196
impresión cardíaca, 196
in situ, visión anterior, 198
izquierdo, 197, 211, 215, 243, 245
fisura oblicua, 244
lóbulo
inferior, 201, 293
superior, 201, 242
segmentos broncopulmonares, 200, 201
visión medial, 199
língula lóbulo superior, 198
lóbulo
inferior, 198, 200
visión medial, 199
medio, 198, 200
superior, 198, 200, 242
medial izquierdo, 198
nervios espinales, 170
nódulos linfáticos, 208
raíz, 193
segmentos broncopulmonares, 200, 201
surco esófago, 196
topografía, visión
anterior, 196
posterior, 197
vasos
linfáticos, 208
y nódulos linfáticos, 208
vértice, 196, 197
visión
anterior, 200
medial, 198, 199
Pulpa
dentaria, 57
esplénica, 299
Pulvinar, 110-111, 143-145
derecho, 144
izquierdo, 144
tálamo, 114
Punción lumbar, 162
Punto de McBurney, 283
Pupila, 81
músculo
dilatador, 88, 121, 132
esfínter, 88, 121, 132
Putamen, 108

Q

Quiasma
de Camper, 461
óptico, 48, 104, 106, 107, 114, 140, 141, 145, 146, 147

R

Radiación óptica, 120
Radio, 436, 438-440, 442-443, 465
borde interóseo, 439
cabeza, 439
derecha, 439
cara anterior, 439
cuello, 437, 439
escotadura cubital, 439
ligamento anular, 438
nervios cutáneo posterior y cutáneo lateral inferior del brazo, 479
radiografía, 437
rama anterior, 439
rotadores, 440
sección coronal, 439, 455
tubérculo dorsal, 452
tuberosidad, 437, 439
visión
anterior (palmar), 452
posterior (dorsal), 452
Radiografía
articulación cadera, 488
bario
apéndice vermiforme, 283
estómago, duodeno y yeyuno proximal, 279
íleon, 279
yeyuno, 279
carpo y mano, 457
codo, 437
colon, aire, 355
hombro, 422
lateral cráneo, 5
mano, 457
pelvis masculina y femenina, 355
rodilla, 510
tobillo, 526
tórax, 213
vértebras
cervicales, 21
lumbares
anteroposterior, 156
lateral, 156
Rafe
faríngeo, 37, 60, 63, 65, 67, 75, 76, 234
palatino, 52
perineal, 388
pterigomandibular, 15, 40, 52, 55, 65, 68
uretral, 388
Raíces
nervios espinales
anterior, 321
dorsal, 114, 169
filamentos, 160
relación vértebras, 161
ventral, 114, 170, 180, 321
visión
anterior, 169
posterior, 169
ungueal, 471
Rama
anastomótica, 301
isquiopubiana, 359, 361, 378, 379, 380, 382, 383, 384, 395
parietal, 220

Rama *(cont.)*
pubis
inferior, 248, 486
superior, 248, 486, 496, 499
Ramo
arteriales septales, 40
comunicantes
blanco, 130, 132, 133, 134, 165, 167, 169, 180, 196, 209, 230, 240, 258, 267, 318, 324, 325, 345, 398, 412, 499
gris, 130, 132, 133, 134, 165, 167, 169, 170, 180, 196, 209, 230, 240, 258, 267, 318, 324, 325, 327, 344, 412, 498, 499
espinal dorsal, 170, 258, 430
nervios
clúneos mediales, 545
cutáneos perforantes, 545
simpático laringofaríngeo, 130
subendocárdico, 225
ventral, 170, 193
in situ, 160
T10, 345, 410
Rampa
timpánica, 91, 95, 96
vestibular, 91, 95, 96
Reborde pelvis, 370
porción sacra, 157
Recepción sonido, vía, 92
Receptores
distensión, 210
irritantes, 210
tos, 210
Receso
axilar, 423
coclear, 95
costodiafragmático, 198, 230-231, 293, 330, 332, 342, 349
derecho, 206
epitimpánico, 92, 93
esfenoetmoidal, 37, 38
faríngeo, 37, 47, 64, 66
hepatorrenal (fondo de saco de Morison), 331
ileocecal
inferior, 281
superior, 281
infundibular, 108
intersigmoideo, 271, 340
mesentericopericárdico, 179, 270, 271
pineal, 108
retrocecal, 271, 281
subpoplíteo, 507, 508
supraóptico, 106, 108
suprapineal, 108
Recto, 263, 271, 284, 329, 356-357, 361, 363-365, 378, 384, 391, 393, 400, 412
arterias, 398
marginal, 398
capa muscular
circular, 393, 394
longitudinal, 393, 394
conducto anal, 393
fosas isquioanales, 392
imágenes sagitales de RM, 397
in situ, 391
mujer, 328, 396
varón, 328, 396
inervación, 168
muscular mucosa, 394
pliegues transversos, 393
terminación, 376
venas, 399
vía linfática, 408
Red testicular, área, 390
Reflejo de Hering-Breuer, receptores, 210
Reflejos aéreos, nervios inicio, 210
Reflexión
pericárdica, 214, 220
pleural, 196
Región
epigástrica, 268
faríngea
arterias, 69
nervios, 71
venas, 70
hipogástrica o púbica, 268
ileocecal, 281, 282
inguinal, 259
visión
anterior, 259
posterior, 259
lumbar, 268
oral
arterias, 69
nervios, 71
venas, 70
umbilical, 268
Relieve labioescrotal, 388
Resonancia magnética (RM)
cabeza, 149, 150
pelvis, 397
Retina, 91
áreas
no pigmentadas, 91
pigmentadas, 91
estructura, 120
porción
ciliar, 87, 88
iridea, 88
óptica, 87, 89
proyección, 120
Retináculo
extensor, 444, 446, 468-470, 530, 542
inferior, 530, 542
superior, 519, 521, 530
flexor, 447, 460-462, 465, 474, 516-517, 534-535, 541
extirpado, 454
transverso, 465
peroneo
inferior, 518, 521, 525, 527
superior, 516, 517, 521, 527
rotuliano
lateral, 492, 493, 507, 508, 519, 520
medial, 492, 493, 501, 506, 508, 519, 520
tracto iliotibial, 508
Riñón, 167, 179, 272, 278, 338
arterias
interlobulares, 335
radiadas corticales, 335
radiada perforante, 335
base pirámide, 334
borde
lateral, 334
medial, 334
cálices
mayores, 334
menores, 334
cápsula fibrosa, 334
cara
anterior, 335
posterior, 335
columna renal, 334
corteza, 334, 336-337
renal, 338
derecho, 197, 275, 298, 329, 330, 340, 342, 347
hilio, 334
imágenes axiales de TC, 350
in situ
posterior, 330
visiones anteriores, 329
inervación, 345
izquierdo, 98, 197, 273, 329, 331, 340, 347
médula, 334
nervios, 334
papila renal, 334
polo
inferior, 334
superior, 272, 297, 334
sección transversal, 338
prenatal, 229
retroperitoneal, 288
sección frontal, 329
vasos
sanguíneos, 332-333, 347
parénquima, 334, 337
y nódulos linfáticos, 343
zona
externa, 336, 345
interna, 336
subcapsular, 336, 337,
Rodete
acetabular, 352, 487
glenoideo, 423
tubárico, 37, 39
Rodilla
arterias, 507
cápsula articular, 506, 508, 519
cavidad articular, 511
cuerpo calloso, 146
derecha
extensión, 507, 509
flexión, 509
extensión, 507
flexión, 509, 543
ganglio geniculado, 116, 131, 135
localización, 124
nervio facial, 97, 116, 125
inserción, 511
interior, 508
ligamentos, 508-509
colaterales, 509
cruzados, 509
ligera flexión, 507
radiografía anteroposterior, 510
visión(es)
anteriores, 507, 508
lateral, 506
medial, 506
posterior, 511

Rodilla *(cont.)*
sagital, 511
Rótula, 485, 492-494, 501, 507, 511, 519, 521
radiografía, 510
anteroposterior, 510

S

Saco
alveolar, 204
de Hartmann. V. *Infundíbulo (saco de Hartmann)*
dural
imágenes sagitales de RM, 397
punción lumbar, 162
terminación, 160, 161
endolinfático, 96
herniario, 261
cuello, 261
lagrimal, 81-82
fosa, 2, 4
pericárdico, visión
anterior, 215
lateral izquierda, 215
tecal, imágenes sagitales de RM, 397
Sacro (S1-5), 152, 160
ala, radiografía, 355
apófisis articular superior, 157
arterias, 171
base, 157
cara
articular, 157, 486
auricular, 155
dorsal, 157
pélvica, 157
caras articulares apófisis articular superior, 157
cresta sacro, 157
crestas trasversas, 157
imágenes sagitales de RM, 397
nervios espinales, 161
promontorio, 157
radiografía, 355
sección
coronal, 157
sagital media, 157
tuberosidad sacra, 157
vértice, 157
visión
anterior, 153, 171
lateral izquierda, 153
posterior, 153
Sáculo, 92, 95, 96, 124
Sección transversal
abdomen
L1-2, 339, 349
L3, 349
L3-4, 349
T10, 293
T12, 297, 331, 338
antebrazo, seriado, 449
duodeno descendente, 179
escroto, 390
testículo, 390
vesícula biliar, 297
Segmentos
broncopulmonares, 200-201
nomenclatura, 203
visión
anterior, 200
lateral, 201
medial, 201
posterior, 200
renal
arterias, 335
vascular, 335
Semilunar, 376, 456, 487
área, 439
radiografía, 457
sección coronal, 455
visión
anterior (palmar), 452
posterior (dorsal), 452
Seno
anal, 393
aórtico, 223, 224
carotídeo, 125, 130, 131, 210
cavernoso, 85, 100, 104, 136, 140
sección coronal, 104
vena
emisaria comunicante, 70
hipofisaria eferente, 148
visión superior, 104
confluencia, 144-145
imagen axial de RM, 150
coronario, 214-216, 221, 233, 241
orificio, 220, 223
válvula, 220
esfenoidal, 6, 37-39, 48-49, 63-64, 83
cubierta ósea, 50
imagen
axial de RM, 150
sagital de RM, 149
imágenes coronales de TC, 151
orificio, 6, 37, 38, 49
esfenoparietal, 103, 145
etmoidal
imagen axial de RM, 150
imágenes coronales de TC, 151
frontal, 3, 5, 37-39, 48, 63
crecimiento, 50
hueso frontal, 50
galactóforo, 182
intercavernoso
anterior, 103
superior, 103
maxilar, 3, 5, 44, 47-49
abertura hiato semilunar, 50
crecimiento, 50
fibras posganglionares vasos y glándulas, 44
imagen
axial de RM, 150
sagital de RM, 149
imágenes coronales de TC, 151
mucosa, 45
orificios, 37, 38, 48, 49, 50
receso
alveolar, 48
cigomático, 48
infraorbitario, 48
occipital, 103, 144
surco, 9
paranasal, 47-50
cambios edad, 50
disección lateral, 49
huesos nacimiento, 50
sección
coronal, 48
horizontal, 48
sagital, 49
transversal, 47
pericardio
oblicuo, 215, 246
transverso, 215, 220
petroso
inferior, 11, 103
surco, 6, 9
superior, 97, 103
surco, 9
prostático, 384, 385
recto, 144, 146
tienda cerebelo, 103
renal, 337
grasa, 334
perirrenal, 337
sagital
inferior, 103, 144, 156
superior, 99-100, 102-103, 106, 109, 144-145
imagen axial de RM, 150
sigmoideo, 11, 97, 103
surco, 6, 9
tarso, 523, 524
transverso, 97, 103, 145
izquierdo, 144
pericardio, 212
surco, 9
urogenital, 389
venoso escleral (conducto de Schlemm), 87-88, 90-91
venas, 91
venosos duramadre, 104
sección
coronal, 104
sagital, 103
visión superior, 104
Septo(s)
interalveolares, 15
interatrial, 220, 246
interventricular, 216, 220
porción muscular, 220, 223, 224, 225
membranoso, porción
atrioventricular, 222, 223, 225
interventricular, 223, 225
mesotelial, 169
tabique, 205
pelúcido, 106, 108, 110-112, 141, 143, 145, 147
vena anterior, 145, 146
venas posteriores, 146
Serosa
apéndice vermiforme, 283
bazo, 299
íleon, 280
yeyuno, 280
Signo de Babinsky, 101
Silla turca, 6, 9, 39
hipófisis, 37
Sincondrosis
esfenooccipital, 63
manubrioesternal, 419
Sínfisis pubis, 247, 259, 263
imágenes sagitales de RM, 397

Sínfisis pubis *(cont.)*
mujer, 354
porción superior, 376
radiografía, 355
varón, 354
Sinusoide, 290, 291, 292
Sistema
biliar intrahepático, esquema, 292
conducción, 225
nervioso
autónomo
esquema, 187
topografía, 167
parasimpático
esquema, 168
topografía, 166
porta hipofisario, plexo
primario, 148
secundario, 148
Submucosa
apéndice vermiforme, 283
estómago, 277
intestino, 326
Suelo pelvis
contenido, 354-356
femenina, 356
Surco
calcarino, 105, 106, 107, 111
carotídeo, 9
central, 106
cingular, 106
colateral, 106
coronal, 246, 385, 388
coronario, 214
costal, 186
de Rolando, 105, 106
de Silvio, 141
frontal
inferior, 105
superior, 105
gingival, 57
hipocampo, 112
hipotalámico, 106, 147
infraorbitario, 2
interesfinteriano, 392, 393, 394
interventricular
anterior, 246
posterior, 214, 215
intraparietal, 105
lateral, 107
cerebro, 141
ramos anterior, ascendente, posterior, 105
limitante, 115
línea media, 58
marginal, 106
medio dorsal, 115
tabique mesoepitelial, 169
milohioideo, 326
nasolabial, 1
nasoóptico, 50
obturador, 486
occipital transverso, 105
occipitotemporal, 106-107
olfatorio, 107
orbitario, 107
palmar proximal, 418
paracentral, 106
paracólico
derecho, 271, 281, 362, 363
izquierdo, 271, 362, 363
parietooccipital, 105, 106, 143
poscentral, 105
precentral, 105
prequiasmático, 9
rinal, 106, 107
semilunar, 105
temporal, inferior, 107
terminal, 58, 214
urogenital, 388
vasos meníngeos
anterior, 9
medio, 6, 7, 9
posterior, 9
vómer, 39
Sustancia
blanca espinal, 169
gris, 169
asta lateral, 170, 325, 346
cuerpos celulares simpáticos preganglionares, 132
espinal, 169
núcleo intermediolateral, 44, 132, 134
negra, 107
perforada, 114
anterior, 107, 114, 119
posterior, 107, 114
Sustentáculo astrágalo, 523, 524
Sutura
coronal, 2, 5
escamosa, 12
intermaxilar, 36
palatina
media, 8
transversa, 8
sagital, 7, 12

T

Tabaquera anatómica, 444
arteria radial, 469, 470
Tabique
intercavernoso, 382, 385
fascia profunda, 381
intermuscular
anterior, 522
anteromedial, 492, 500, 501
lateral, 430, 432, 435, 445, 448
brazo, 477
medial, 430, 432, 433, 445, 446, 447, 448
posterior, 522
transverso, 522
nasal, 39, 41-42, 47-48, 63, 66
cartílago, proceso lateral, 38
crecimiento, 48
imagen
axial de RM, 150
coronal de TC, 151
orbitario, 81
Tálamo, 106, 108, 110, 112, 114, 145, 147, 324
esquema, 111
estría
medular, 106
terminal, 111
imagen sagital de RM, 149
izquierdo, 144
cuerpos geniculados, 143
núcleo ventral posteromedial, 135
núcleos, 111
pulvinares, 107, 111, 143, 145
Tallo
hipofisario, 147
infundibular, 147
Tarso
inferior, 81
párpados, 81
superior, 81
Techo tímpano, 92, 93
Tejido(s)
areolar, 179, 251, 361, 471
conectivo
hígado, 291
subseroso, 326
fibroadiposo alar, 36, 38
perianales, 388
subcutáneo
abdomen, 249, 252
glándula mamaria, 182
lámina adiposa, 348, 361, 378
de Camper y de Scarpa, 249
superficial, 380
membranoso, 348, 361, 378
profundo, 380, 381
vaina recto, 252
Tela coroidea, 108, 111, 145
Tendón
abductor largo pulgar, 444, 469, 470
aductor mayor, 501, 506, 510, 511
braquiorradial, 448, 449
calcáneo, 485, 515-518, 521, 527
inserción músculo sóleo, 515, 517
cuádriceps, 493
femoral, 485, 492, 501, 506, 511, 520, 521
de Aquiles. V. *Tendón calcáneo*
dorsal ancho, 244-245
izquierdo, 244
extensor, 420, 441, 444
carpo, 470
común, antebrazo, 420, 441, 444
dedos, 464
largo pulgar, 444, 469, 470
mano, 445
flexor
cubital carpo, 418, 454, 460, 465
largo pulgar, 454
profundo, vaina flexora común, 460
radial carpo, 447, 454
superficial
dedos, 418, 454, 460, 471
vaina tendinosa común, 460
flexores
carpo, 461
comunes, antebrazo, 443, 446
dedos, 443
profundo y superficial, 462
grácil, 485, 492, 493, 506, 507
iliopsoas, 504
infraespinoso, 423, 425
intermedio digástrico, 60
asa fibrosa, 28, 29, 53
músculo

Tendón *(cont.)*
extensor dedo meñique, 469
subescapular
orificios, 423
posición, 423
obturador interno, 359
palmar largo, 418, 420, 446, 450, 475
pectoral menor, 429, 430
peroneo, 525
corto, 530, 535
largo, 535-536
vaina fibrosa, 535
plantar, 495, 516, 517, 522
poplíteo, 508, 510
psoas, 376
recto femoral, 485, 492-493, 505, 507, 519
origen, 492
sartorio, 492, 493
semimembranoso, 506, 508, 511, 518
surco inserción, 513
semitendinoso, 492, 493, 506, 507
supraespinoso, 423, 425
tibial anterior, 485, 494, 536, 542
inserción, 515
tendón, 530
vaina tendinosa, 530
Tenia
libre, 271, 281, 282
mesocólica, 281, 282, 284
omental, 281, 284
Testículo, 361, 386, 389-390, 416
apéndice, 387, 389
arterias y venas, 401
descenso, 386
esquema, 390
fascia espermática externa, 405
imágenes sagitales de RM, 397
lámina visceral, 387
lobulillos, 390
sección transversal, 390
septos, 390
túnica albugínea, 390
vías linfáticas, 408
Tibia, 511, 530
borde
anterior, 485, 513, 514
interóseo, 513, 514
medial, 513, 514
cara
articular
inferior, 513, 514
superior, 514
lateral, 513, 514
medial, 513, 514
posterior, 514
cóndilo
lateral, 494, 510, 513
medial, 513, 514
línea oblicua, 513
radiografía, 510
sección transversal, 514
tuberosidad, 492, 493, 511, 513, 514
visión
anterior, 513
inserciones ligamento posterior, 513
posterior, 513
superior, 514
Tienda cerebelo, 86, 101, 103, 144-145
imagen sagital de RM, 149
seno recto, 106
Timo, 211, 230, 244
Tobillo
dorsiflexión y flexión plantar, 543
ligamento
lateral, 514
medial, 514
ligamentos, 527
y tendones, 514
radiografía, 526
tendones, 527
Tomografía computarizada (TC)
abdominal, 350
arterias
brazo, 484
miembro superior, 484
cabeza, 150
imágenes coronales, 151
tórax, 242
Tonsila
faríngea, 37, 63, 64, 66, 67
lingual, 58
palatina, 51, 52, 58
Toracocentesis, 190
Tórax
anatomía de superficie, 181
esqueleto óseo, 185
imágenes axiales de TC, 242
nervios autónomos, 209
radiografía, 213
secciones transversales, 246
nivel
disco
T3-4, 244
T4-5, 245
T7, 246
inferior T3, 243
Trabécula, 148
arteria, 148
carnosas, 220
esplénicas, 299
fibrosa, 147
septomarginal, banda moderadora, 220, 224, 225
Tracto
biliar
inervación, 327
intrahepático, 292
espinal, 125-126
nervio trigémino, 116, 117
hipotalamohipofisario, 147
iliopúbico, 259, 362, 363, 364
iliotibial, 485, 492, 494-495, 502, 506-507, 514-515, 519-520
bolsa profunda, 506, 507
inserciones, 515
retináculo rotuliano lateral y cápsula, 508
mamilotalámico, 147
olfatorio, 106-107, 114
núcleo lateral, 119
óptico, 107, 108, 112, 114, 144
supraopticohipofisario, 147
tectoespinal, 132
tuberohipofisario, 147
Trapecio, 456
sección coronal, 455
tubérculo, 452, 454, 456
visión
anterior (palmar), 452
posterior (dorsal), 452
Tráquea, 29, 74-75, 77, 126, 168, 196, 198, 202, 211, 213, 230, 234, 237, 243-244
arterias, 202
bifurcación, imágenes axiales de TC, 242
cartílago, 28, 202
epitelio, 202
fibras elásticas, 202
mucosa pared posterior, 202
nervio, 202
sección transversal, 202
Tríada portal, 273, 278, 290, 297-298
sección transversal, 273
Triángulo
anal, 380
auscultación, 152, 246, 424
de Calot, 301
de Hesselbach. V. *Triángulo inguinal (de Hesselbach)*
de Petit. V. *Triángulo lumbar (de Petit)*
deltopectoral, 247, 424
esternocostal, 195
hepatocístico, 301
inguinal (de Hesselbach), 259
lumbar (de Petit), 152, 254
músculo oblicuo interno abdomen, 174
lumbocostal, 195
suboccipital, 178
urogenital, 380
Trígono
colateral, 111
fibroso
derecho, 222
izquierdo, 222
habénula, 111, 115
olfatorio, 119
vejiga urinaria, 361, 365, 366, 385
Trocánter
mayor, 248, 376, 485, 487, 489, 492, 495-496, 503
radiografía, 355
anteroposterior, 488
menor, radiografía, 355
Tróclea, 420
Trompa
auditiva (faringotimpánica, de Eustaquio), 92-93, 96, 125-126
cartílago, 47
faríngeo, 63, 64, 66, 125
porción cartilaginosa, 52, 55, 64, 65, 67
surco, 8
de Eustaquio. V. *Trompa auditiva (faringotimpánica, de Eustaquio)*
de Falopio. V. *Trompa uterina (de Falopio)*
faringotimpánica. V. *Trompa auditiva (faringotimpánica, de Eustaquio)*
uterina (de Falopio), 360, 362, 369-370, 389, 400, 412, 415
ampolla, 371, 372
fimbrias o franjas, 371, 372
infundíbulo, 371, 372
istmo, 371

Trompa *(cont.)*
orificio abdominal, 371
pliegues, 371
porción uterina, 371
Tronco
braquiocefálico, 33, 74, 75, 76, 136, 193, 206, 211, 212, 214, 232, 237, 243, 420
celíaco, 165, 195, 206, 278, 298, 300, 305, 321, 324, 328-329, 333
arteriografía, 303
bifurcación, 297
origen común, 302
prenatal, 229
sección transversal, 338
variaciones, 302
costocervical, 33, 69, 136, 137, 138
encéfalo
núcleos nervios craneales, 116-117
disección medial, 117
esquema, 117
visión posterior por transparencia, 116
seccionado, 107
visión anterior, 114
esplenogástrico, 302
esplenomesentérico, 302
hepatogástrico, 302
intestinal, 266
linfático, 316
broncomediastínico, 208
derecho, 266
izquierdo, 266
intestinal, 316
lumbar
cisterna quilo y conducto torácico, 343
derecho e izquierdo, 316
subclavio, 208
yugular, 208
lumbar
ascendente, 195, 263, 265, 332
derecho, 266
izquierdo, 266
lumbosacro, 267, 496, 498, 499, 538, 539
meningohipofisario, 100
nervio espinal, 258
pulmonar, 206, 212, 215, 220, 224-225
bifurcación, 215
infundíbulo, 224
prenatal, 229
simpático, 125, 133, 192, 210, 230, 258, 263, 267, 290, 324-325, 327, 344, 409, 412, 499
cervical, 131, 165, 240
ganglio vertebral, 240
derecho, 194, 318, 328, 331, 346
ganglio, primero torácico, 132
ganglios, 321, 325, 344-345
torácicos, 321
izquierdo, 194, 318, 324, 346
lumbar izquierdo, 323
sacro, 323
derecho, 412
izquierdo, 412
torácico, 240
subclavio
derecho, 266
izquierdo, 266
tirocervical, 32, 74-76, 237, 427
derecho, 137
vago, 263, 321-323, 328
anterior, 126, 166, 209, 318-321, 327, 344, 346
ramo
celíaco, 319, 320, 321, 322
gástrico anterior, 319
hepático, 126, 319, 320, 323, 327
ramos gástricos, 126
posterior, 166, 318, 320-323, 327-328, 344, 346
ramo
gástrico posterior, 320, 328
plexo celíaco, 240
ramos celíacos, 216, 319, 320, 321, 322
yugular, 72
derecho, 266
izquierdo, 266
Tuber cinereum, 106-107, 114
eminencia media, 147
Tubérculo
aductor, 489
anal, 388
articular, 55
auricular (de Darwin), 93
corniculado, 77
cuneiforme, 66, 67, 78, 114
de Gerdy, 494, 513
de Lister. V. *Tubérculo dorsal radio (de Lister)*
dorsal radio (de Lister), 452
faríngeo, 64, 65, 67
genital
apéndice epitelial, 388
área glande, 388
porción lateral, 388
grácil, 114, 115
ilíaco, 353
infraglenoideo, 420, 421
olfatorio, 119
púbis, 247, 250, 263, 486, 492, 493
silla, 9
supraglenoideo, 420
Tuberosidad
deltoidea, 420
glútea, 489
ilíaca, 248
isquiática, 248, 352-353, 359, 378-379, 381, 390, 395, 398, 486-487, 502-503
mujer, 354
radiografía, 355
anteroposterior, 488
varón, 354
Tubos drenaje torácico, situación, 190
Túbulo
colector, 336-337
esquema, 337
contorneado
distal, 336
proximal, 336
dentinarios, 57
mesonéfrico
craneal, 389
vestigial, 390
paramesonéfrico, 389
seminífero, 390
Túnel carpiano, 461
sección transversal, 461
visión palmar, 454
Túnica
albugínea, 390
vaginal, lámina
parietal, 390
visceral, 390

U

Uncus, 106, 107, 119
Unidad osteomeatal, 37
Unión
anorrectal, capa muscular circular, 359
duodenoyeyunal, 179
esclerocorneal, 81
esofágica, 236
esofagogástrica, 236
sección transversal, 293
faringoesofágica, 235
ileocecal, fibras musculares, 282
manubrioesternal, 245
mucosa gastroesofágica, 276
rectosigmoidea, 284, 391, 393, 394
ureteropélvica, 339
U-V, 372
vesicoprostática, 376
Uña
cuerpo, 471
lecho ungueal, 471
lúnula, 471
Uréter, 02, 271, 334, 341, 362-366, 391, 400, 403, 410, 412
arterias, 341
derecho, 318, 329, 340, 372
izquierdo, 340
mujer, 340
nervios, 344, 345
recorrido diagonal, 340
retroperitoneal, 340
superior, inervación, 345
varón, 340
Uretra, 263, 367, 372, 389
cavernosa, 368, 385
porción
bulbar, 371
péndula, 371
esponjosa, porción bulbar, 366
extensiones musculofasciales, 357
femenina, 356-357, 360-361, 389
reconstrucción esquema, 379
sección frontal, visión anterior, 379
inicio, 376
masculina, 381, 383
hiato, 358
suelo, 385
techo, 385
membranosa, 368, 385, 408
vía linfática, 408
niño, 368
prostática, 366, 368, 376, 384, 385
Útero, 370, 380, 388-389, 400, 412
anteflexión, 377
arterias y venas, 404
cambios edad y patrón muscular, 373

Útero *(cont.)*
cuello o cérvix, 360, 364, 369, 370, 371
cuerpo, 360, 371
fondo, 360, 362, 365, 369, 371
grados de retroversión, 377
imágenes sagitales de RM, 397
ligamento redondo, 340, 389
orificio
externo, 371
interno, 371
retraído, 412
sección frontal, 371
Utrículo, 92, 95-96, 124
prostático, 389
Úvula, 51
vejiga urinaria, 366, 385

V

Vagina, 367
cuatro quintos superiores, 389
estructuras soporte, 370
extensiones musculofasciales, 356
imágenes sagitales de RM, 397
porción
horizontal, 372
vertical, 372
vestíbulo, 370, 377
Vaina
carotídea, 28, 32
nervios craneales, 60
fascial
globo ocular (cápsula de Tenon), 83, 87
lumbosacra, 462
lumbrical, 460
femoral, 250, 251, 262, 500, 546
fibrosa planta pie, 534
flexores, común, 460
hipogástrica, 364
recto, 83, 189, 249-250, 349
lámina
anterior, 188, 250, 252, 259, 424
posterior, 251, 252, 257, 259
sección transversal, 252
tejido conectivo, 202
tendinosa
común flexores, 460
cubital común, 462
dedo, 471
fibrosa, planta pie, 533
vaina fibrosa, porciones anular y cruciforme, 460
intertubercular, 423
Valécula, 58
Valva semilunar, nodulillo, 223
Válvula
anal, 393
aórtica
anatomía, 23
valvas semilunares, 221-225
izquierda, 224
atrioventricular
derecha. V. *Válvula tricúspide*
izquierda. V. *Válvula mitral*
mitral, 213, 225
anatomía, 223
anillo fibroso, 222
izquierdo, 222
valva, 246
anterior, 222, 223, 224
posterior, 222, 223, 224
valvas comisurales, 222
pulmonar, 213, 220, 222, 225
valva semilunar, 220, 222
tricúspide
anatomía, 223
anillo fibroso derecho, 222, 225
orificio, 246
posterior, 222, 223, 224
valva
anterior, 222, 223, 224
septal, 222, 223, 224
Válvulas
de Houston, 393
de Kerckring, 279, 280
Vasculatura cerebral, 136-138, 139-141, 143-144, 145-146
Vasos
conjuntivales, 90, 91
cremastéricos, 260, 401
epigástricos
inferior, 251, 259, 261, 349, 362, 363, 401, 403
superficial, 249, 500
superior, 331, 500
esfenopalatinos, 11
esplénicos, 274, 348, 349
femorales, 260, 401, 407
orificios, 263, 500
gástricos cortos, 331
gastroomentales
izquierdos, 299
unión omento mayor, 274
hipotalámicos, 148
ilíacos
circunflejos
profundos, 364, 403
superficiales, 249, 500
comunes, 271, 401, 412
externos, 259, 260, 281, 311, 360, 361, 362, 364, 372, 392, 401, 403
internos, 311
intercostales, 331
linfáticos
cabeza y cuello, 72
estómago, 314
glándula mamaria, 184
hígado, 291
interlobulares, 208
intestino
delgado, 316
grueso, 317
medulares (riñón), 343
miembro
inferior, 546
superior, 483
pared abdominal posterior, 266
pelvis y genitales, 408
masculinos, 408
periné femenino, 407
perineales, 317
pulmón, 208
riñones y vejiga urinaria, 343
tráquea, 202
vías drenaje, 204
meníngeos medios, 10
mesentéricos superiores, 278, 349
obturadores, 259
anastomóticos, 262, 263
derecho, 403
ováricos, 332, 340, 362, 364, 404
derechos, 311
izquierdos, 311
ramas tubáricas, 404
palatinos, mayores, 10
pericardiofrénicos, 215
poplíteos, 495
pudendos
externos
profundos, 401,
superficiales, 401
internos, 392
superficiales, 249, 500
rectales superiores, 274
rectos
falsos, 337
verdaderos, 337
retina, derecha, 90
sanguíneos, inervación, 228
sigmoideos, unión, 274
testiculares, 340, 363
cordón espermático, 401
izquierdos, 332
vías linfáticas, 408
uterinos, 360-361, 371
ramas ováricas, 372
vesicales, vía linfática, 408
Vejiga urinaria, 167, 269, 323, 329, 340, 367, 412
arterias, 341
cistouretrografía, 368
cuello, 362, 365, 366
cuerpo, 361, 365, 366
fascia, 361, 364
fondo, 361, 365, 366
imágenes sagitales de RM, 397
inervación, 168, 417
interior, 376
ligamento lateral, 364
mucosa, 340
mujer, 366
nervios, 344
orientación y soporte, 365
orificio ureteral, 366
trígono, 361, 365, 366, 385
úvula, 366, 385
varón, 366
vasos y nódulos linfáticos, 343
vértice, 361, 365
Velo medular
inferior, 106, 113
superior, 106, 113, 114, 115
Vena(s)
hemisférica cerebelosa, inferior, 144
ácigos, 17, 21, 153, 194, 206-207, 209, 230, 241, 245-246, 293, 331, 349
arco, 230, 232, 244
imágenes axiales de TC, 242
surco, 199
alveolar
inferior, 60, 70
superior posterior, 60, 70
anastomótica
inferior (de Labbé), 102, 145
superior, 102

Vena(s) *(cont.)*
angular, 23, 70, 85
antebrazo, 480
intermedia, 418, 479
mediana, 449
apendicular, 311, 312
arqueada, 337
auricular posterior, 23, 70
axilar, 189, 198, 256, 428
nódulos linfáticos, 483
tributarias intercostales, 256
basal, 144, 145, 146
basílica, 418, 429, 449, 468, 480, 483-484
intermedia, 480
basivertebral, 137, 173
bazo, 309
braquial, 429, 435
braquiocefálica, 74, 208
derecha, 75, 137, 206, 210, 211, 212, 230, 243
izquierda, 70, 75, 137, 206, 211, 212, 230, 231, 243
surco, 199
bronquial
derecha, 207
izquierda, 207
capsular, 337
cardíaca
anterior, 216
cara
diafragmática, 216
esternocostal, 216
magna, 216
media, 216
menor, 216
cava
inferior, 179, 194, 206, 209, 213, 215, 220, 225, 230, 272-273, 278, 293, 297-298, 330-331, 333, 339, 342, 347, 412
imágenes axiales de TC, 242, 350
izquierda persistente, 333
orificio, 223
sección transversal, 297, 338
válvula, 220
vena renal derecha, 339
superior, 74-75, 206, 211, 213, 215, 220, 224-225, 230, 244-246
imágenes axiales de TC, 242
prenatal, 229
cecal
anterior, 311, 312
posterior, 311, 312
cefálica, 181, 188-189, 256, 418, 424, 428-429, 449, 468, 479-480, 483-484
accesoria, 479, 480
intermedia, 480
central, 290-291
hígado, 290, 291
cerebelosa
hemisférica inferior, 151
precentral, 144
superior, 144
cerebral magna (de Galeno), 103, 104, 106, 144, 145, 146
cerebrales
anterior, 144, 145, 146
espacio subdural, 99
inferior, 102, 104, 145
interna, 99, 108, 111, 144, 145, 146
lateral directa, 146
magna, 103-104, 106, 115, 144-146
cisterna cuadrigémina, 109
media
profunda, 144, 145, 146
superficial, 145
profunda, 99
media, 144, 145
superficial, 99, 102
media, 99, 102, 104
superior, 102
orificio, 101
cervical
derecha, profunda, 137
profunda, 137
derecha, 137
izquierda, 137
superficial, 177
transversa, 70, 177
cigomaticofacial, 23
cigomaticotemporal, 23
ciliar anterior, 88, 90, 91
circunfleja humeral, 479
cística, disposición típica, 313
codo
intermedia, 480
mediana, 418, 479, 483, 484
cólica
derecha, 311, 312, 313
izquierda, 311, 312, 313
media, 298, 303, 311, 312
comunicante, 31, 137
conjuntival posterior, 91
coroidea, 91
bulbo, 91
superior, 99, 145, 146
coronaria, variaciones, 217
cortical radiada, 337
de Galeno. V. *Vena cerebral magna (de Galeno)*
de Labbé. V. *Vena anastomótica inferior (de Labbé)*
de Rosenthal, 144, 145, 146
digital dorsal, 468, 480, 544
diploica, 102
disección coronal, 99
frontal, 99
occipital, 99
temporal
anterior, 99
posterior, 99
directa lateral, 145, 146
emisaria, 99, 102
agujero parietal, 7
comunicante seno cavernoso, 70
condílea, 137
cráneo, 99
disección coronal, 99, 102
mastoidea, 23, 99, 137
occipital, 99
parietal, 23, 94, 99
seno sagital superior, 7
encéfalo, 146
epiescleral, 90-91
segmento, 91
epigástrica
inferior, 251, 256, 265, 400
superficial, 247, 256, 265, 544
superior, 189, 256
escrotal anterior, 256
esofágica, 312, 313
espinal
anterior, 144, 173
posterior, 144, 173
esplénica, 273, 297, 299, 303, 306, 311-313, 315
sección transversal, 338
estrelladas, 334
etmoidal
anterior, 122
posterior, 122
facial, 23, 30, 32, 59-60, 85
profunda, 23, 85
transversa, 23, 70
tronco común, 23
femoral, 250, 256, 376, 380, 493, 500, 505, 544, 546
fosa craneal posterior, 144
frénica, inferior, 320
izquierda, 320
gástrica
corta, 309, 311, 312, 313
derecha, 309, 310, 311, 312, 313
izquierda, 309-313
tributaria esofágica, 309
gastroomental, 312
derecha, 309, 311, 312, 313
izquierda, 309, 311, 312, 313, 314
glándulas suprarrenales, 347
glútea
inferior, 311
superior, 311
hemiácigos, 236, 245
accesoria, 194, 207
hepática, 194, 232, 265, 274, 287, 290, 309
prenatal, 229
hipofisaria eferente, 140
seno cavernoso, 148
hipotálamo, 148
ileocólica, 311, 312, 313
iliolumbar, 30, 353
infraorbitaria, 23, 70
intercapitular, 468, 480
intercostal
anterior, 256
posterior, 230, 231
superior
derecha, 230
izquierda, 231
intervertebral, 137, 173
intestino
delgado, 309
grueso, 311, 313
intraculmen, 144
intrínseca, ojo, 90
labial
inferior, 70
superior, 70
laríngea superior, 235
lingual
dorsal, 59
profunda, 59, 70
tronco común, 59
lumbar ascendente, 332
maxilar, 85

Vena(s) *(cont.)*
medular
anteromediana, 144
posterior, 173
segmentaria, 173
segmento anterior, 173
meníngea media, 102
mesencefálica
lateral, 144
posterior, 144, 146
mesentérica
inferior, 270, 298, 311, 312, 313, 315
superior, 179, 279, 306, 311-313, 338-339, 342
relaciones, 310
sección transversal, 338
metacarpiana dorsal, 468
metatarsiana dorsal, 544
muscular, 90
musculofrénica, 189, 256
nasal
dorsal, 23
externa, 70
nasofrontal, 23, 85
oblicua atrio izquierdo, 214, 215, 221
obturatriz, 311, 376
anastomótica, 265
occipital, 23
interna, 146
oftálmica
inferior, 85, 91
superior, 83, 85, 91
ovárica
derecha, 311, 332
izquierda, 311, 329, 332
palatina, 70
externa, 70
pancreática, 309, 311, 313
dorsal o superior, 313
mayor, 313
pancreatoduodenal
anterior, 312
inferior, 313
anterior, 311
posterior, 311
posterior, 312, 313
superior, 312
anterior, 311
paraumbilical, 312
ligamento redondo hígado, 256
tributarias, 256
perforante, 337
antebrazo, 480
brazo, 479
pericardiofrénica, 194, 206, 211, 212, 230, 231, 241
perineal, 405
peronea, 522
petrosa, 144
seno petroso, 144
pontina
lateral, 144
transversa, 144
pontomesencefálica anterior, 144
poplítea, 546
porta
hepática, 273, 278-279, 288, 294, 297-298, 300-301, 311-312, 315, 331, 349
disposición típica, 313
omento menor, 348
prenatal, 229
rama, 291, 292
sección transversal, 297, 338
tributarias, 312
variaciones, 313
hipofisaria
corta, 148
larga, 140, 148
preculmen, 144
prepilórica, 311
prostática, derecha, 311
púbica, 265
pudenda
externa, 256, 265
superficial, 544
interna, 376
derecha, 311
izquierda, 311
pulmonar
derecha, 206, 215, 225, 230
inferior, 214, 220, 246
prenatal, 229
superior, 212, 214, 220, 224
izquierda, 205-206, 215, 221, 224, 231
inferior, 214, 241
prenatal, 229
superior, 214
radicular, 173
rectal
derecha, tributarias, 311
inferior, 312
derecha, 311
izquierda, tributarias, 311
media, 312
derecha, 311
izquierda, 311
superior, 311
bifurcación, 399
derecha, 312
izquierda, 312
rectosigmoidea, 311, 312, 399
renal, 341
derecha, 265, 329, 332, 339
in situ, 332
izquierda, 329, 333
doble, 333
vena cava inferior, 339
múltiple, 333
retina, 90
central, 87, 91
retromandibular, 23, 31, 59, 85
anterior, 61, 70
posterior, 61, 70
tronco común, 59, 61, 70
retrotonsilar
inferior, 144
superior, 144
sacra media, 311
safena
accesoria, 544, 546
mayor, 250, 485, 544, 545, 546
menor, 485, 544, 545
sagital inferior, 144
satélites, 59, 60, 460
sigmoidea, 311, 312
subclavia, 30, 32, 74, 189, 198, 206, 211
derecha, 75, 137, 230
izquierda, 75, 137, 186
surcos, 186
subcostal, 498
subependimaria, 146
sublobulillar, 290, 291
submentoniana, 70
superficial, miembro inferior, 545
supraescapular, 70
supraorbitaria, 23, 70, 85
suprarrenal, 333, 347
derecha, 332, 338
inferior, 347
media, 347
supratroclear, 23, 24, 85
surco
anterior, 173
posterior, 173
talámica superior, 146
talamoestriada
inferior, 144, 146
porción posterior, 146
superior, 108, 111, 145, 146
temporal
media, 23, 99
profunda, 99
superficial, 99
ramas, 23, 99
frontal y parietal, 99
tributaria, 102
testicular, 311, 329, 332
derecha, 311, 322
tiroidea
inferior, 74, 75, 198
media, 74
superior, 31, 74
torácica
derecha, 194
interna, 189, 198, 244, 245, 246
izquierda, 194
toracoepigástrica, 249
umbilical, obliterada, 288
uncus, 145
uterina, 404
superior, 399
vaginal, 398
ventricular
hipocampal, 146
inferior, 146
vermis
superior, 144, 146
inferior, 144
vertebral, 137
anterior, 137
vesical
derecha, 311
superior, 265, 399
vesicular, inferior, 399
vorticosa, 85, 90-91
bulbo, 91
tributarias
anteriores, 91
posteriores, 91
supracoroideas, 91
yeyunal, 311, 313
yugular, 1, 10
anterior, 30, 74, 256
comunicación, 70
terminación, 70

Vena(s) *(cont.)*
externa, 23, 31, 74, 198, 206, 211, 256
interna, 23, 28-32, 34, 59, 74-76, 97, 128, 189, 198, 206, 211, 232, 256
bulbo inferior, 75
derecha, 137
izquierda, 137
Ventana
coclear. V. *Ventana redonda (coclear)*
oval, 12, 95
base estribo, 92
estribo, 93, 96
fosa, 94
redonda (coclear), 92, 95
cerrada membrana timpánica secundaria, 96
fosa, 93
vestibular
oval, 95
Ventrículo
(cerebral)
cuarto, 113, 115, 144, 146
aberturas lateral y media, 146
contorno, 143
fosa romboidea, 114
imagen
axial de RM, 150
sagital de RM, 149
plexo coroideo, 106, 114
sección sagital media, 114, 115
vena receso lateral, 144
visión posterior, 115
lateral, 108, 110, 146
asta
occipital, 110, 111, 146
temporal, 108, 111, 146
derecho, 108
asta occipital, 143
imagen sagital de RM, 149
izquierdo, 108
abertura, 108
asta frontal, 108
asta occipital, 108
asta temporal, 108
porción central, 108
visión transparencia, 108
plexo coroideo, 99, 108, 109, 110, 143, 145
vena lateral, 146
venas, 146
plexo coroideo, 109
tercero, 106, 108, 110-111, 146
plexo coroideo, 106, 108
tela coroidea, 108, 111, 145
(corazón)
derecho, 214-215, 224, 246
abierto, 220
imágenes axiales de TC, 242
izquierdo, 213-214, 221, 224, 246
imágenes axiales de TC, 242
pared posterior, 221
vena posterior, 216
Vénula
nasal retina
inferior, 90
superior, 90
rectas, 337
Vermis, 113
inferior, 113
nódulo, 113
pirámide, 113
túber, 113
úvula, 113
superior, 113
culmen, 113
declive, 113
folium, 113
lingula, 113
lobulillo central, 113
tuber, 115
úvula, 115
Vértebra(s). V. también *Atlas (C1); Axis (C2),* vértebras específicas
apófisis espinosa, imágenes axiales de TC, 242
C1. V. *Atlas (C1)*
C2. V. *Axis (C2)*
C3, 13
cara articular inferior, 19
tubérculos apófisis transversa
anterior, 26, 30
posterior, 26, 30
C4
apófisis articular superior, 18
cuerpo, 18
lámina, 18
tubérculo
anterior, 18
posterior, 18
visión posterosuperior, 17, 18
C7, 13, 153, 160
apófisis espinosa, 18, 152, 174, 175, 176, 424
tubérculo posterior apófisis transversa, 30
visión superior, 18
cervicales
arterias, 171
caras costales, 21
ligamentos craneocervicales externos, 21
número, 161
pilar articular, 21
radiografía lateral, 21
superior, 17
visión
anterior, 17, 171
inferior, 18
lateral derecha, 21
superior, 18
cuerpo, imágenes axiales de TC, 242, 350
L1, 153, 160
apófisis
articular
inferior, 156
superior, 156
espinosa, 179
transversa, 338
cuerpo, 273
L2
cuerpo, 179
visión superior, 155
L3
apófisis
espinosa, 156
transversa, 156
cuerpo, 156, 336, 337
pedículo, 156
visión posterior, 155
L4
apófisis espinosa, 156
cuerpo, 352
escotadura vertebral inferior, 156
lámina, 156
visión posterior, 155
L5, 153, 160
cuerpo, 352
escotadura vertebral superior, 156
lumbar, 155
agujero, 155
apófisis
articular
inferior, 155
superior, 155
espinosa, 155
mamilar, 155
transversa, 248
arterias, 171
cuerpo, 153
disco intervertebral, 155
duramadre, 162
escotadura vertebral
inferior, 155
superior, 155
fusionada, 153
lámina, 155
músculos, 179
pecículo seccionado, 179
radiografías, 156
sección transversal, 170
visión
anterior, 171
lateral izquierda, 155
posterior, 153
superior, 155
lumbosacras
agujero intervertebral, 159
apófisis
articular
inferior, 159
superior, 159
espinosa, 159
transversa, 159
lámina, 159
ligamento amarillo, 159
ligamentos, 159
pedículo, 159
prominente, 19, 21
relación nervios espinales, 161
T1, 13, 153, 160
apófisis espinosa, 197
T10, 241
T12, 153, 160
apófisis espinosa, 152, 174, 175, 177
cuerpo, 349
visión lateral, 154
T4, 230
T6, visión
lateral, 154
superior, 154
T8, 241
torácicas, 21, 154
arterias, 171
sección transversal, 170
visión anterior, 171

Vértice cuña, 107
Vesícula
biliar, 126, 167, 196, 269, 272, 275, 294, 301, 331
cuello, 294
cuerpo, 294
fondo, 294
inervación, 168
infundíbulo, 294
orificios glandulares, 294
sección transversal, 297
unión conducto hepático, 294, 296
variaciones arteriales y colaterales, 305
seminal, 361, 363, 384, 389, 391
Vestíbulo, 95, 389
nasal, 37, 39
receso
coclear, 92, 95
elíptico, 95
esférico, 95
vaginal, 389
arteria, 404
bulbo, 370
bulbo, 370, 404
Vía(s)
aérea
intrapulmonar, 204
nasofaringe, 37
drenaje linfático gástrico, 314
gustativas, 135
intrapulmonar, esquema, 204
linfática, mano, 468
nerviosas parto, 414, 415
reflejas
autónomas, 326
distensión, 325
visual, 120
Vísceras
abdominales, 269
pelvis
femenina, 360, 369
nervios, 412
masculina, 361
nervios, 410
nervios, 412
sección sagital media, 348
vasculatura, 300-315
Vómer, 39
Vulva, 377

Y

Yeyuno, 269-271, 278-279, 297-298

capa muscular
circular, 280
longitudinal, 280
mucosa, 280
musculatura, 280
nodulillo linfático, 280
radiografía bario, 279, 280
sección transversal, 297, 338
submucosa, 280
Yugo, 9
Yunque, 89, 93, 96, 124
cara articular, 93
cuerpo, 93
ligamento
posterior, 94
superior, 94
rama
corta, 93
larga, 93
visión lateral, 93

Z

Zona
macular, 120
orbicular, 487

www.labibliotecamed.org
"Donde se prestan los libros para siempre"